ANNALEN DER SCHWEIZERISCHEN METEOROLOGISCHEN ZENTRALANSTALT

SECHSUNDNEUNZIGSTER JAHRGANG

1959

LIBRARY
JUN 13 1961
WEATHER BUREAU

LIBRARY
N.O.A.A.
U.S. Dept. of Commerce

Switzerland. Meteorologische Zentralanstalt.

ANNALEN

der

SCHWEIZERISCHEN METEOROLOGISCHEN ZENTRALANSTALT

1959

Sechsundneunzigster Jahrgang

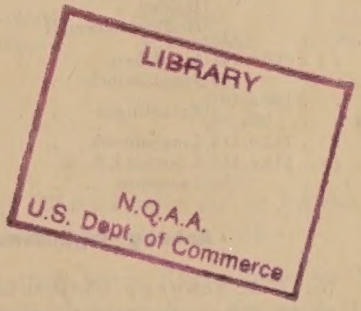

City-Druck AG, Zürich 1
St. Peterstraße 10
1960

QC
989
.S88
A5
1959-60

138 179

Inhalt

Vorwort . . . . . Pag. III
Verzeichnis der schweizerischen meteorologischen Literatur im Jahre 1959 . . . . . Pag. IV
Legende zu «Tägliche Beobachtungen» . . . . . Pag. VII

Tägliche Beobachtungen

der Stationen: Bern, Neuchâtel, Altdorf, Genève, Zürich, Chasseron, Bever, Sion, Lugano, Basel, Säntis und St. Gotthard nebst ergänzenden Witterungsnotizen . . . . . Pag. 1—7
Jungfraujoch: Tägliche Lufttemperaturen . . . . . Pag. 7
Tägliche Maxima und Minima und stündliche Monatsmittel der Lufttemperatur von Zürich und Säntis . . . . . Pag. 78—79
Temperaturextreme von 7 Normal-Stationen . . . . . Pag. 80—84

Monats- und Jahres-Übersichten der meteorologischen Beobachtungen sämtlicher Stationen

Pag. 85—14

	Pag.		Pag.		Pag.		Pag.
Aarau	102 u. 103	Davos-Platz	116 u. 117	Leukerbad	131	Sargans	90 u. 9
Adelboden	129	Delémont	128	Leysin	112 u. 113	Sarnen	96 u. 9
Airolo	134	Disentis	114 u. 115	Locarno-Aeroporto	144	Schaffhausen	104 u. 10
Allerheiligenberg	128			Locarno-Monti	122 u. 123	Schiers	13
Altdorf	96 u. 97	Ebnat	124	Locarno-Muralto	122 u. 123	Schuls	118 u. 11
Altstätten	90 u. 91	Einsiedeln	94 u. 95	Lohn	104 u. 105	Schwäbrig (ob Gais)	12
Andermatt	127	Elm	92 u. 93	Lugano	122 u. 123	Seewis	13
Arosa	116 u. 117	Engelberg	96 u. 97	Lungern	126	Sils-Maria	13
Auen (Linthal)	92 u. 93	Fescoggia	135	Luzern	94 u. 95	Sion	112 u. 11
		Frauenfeld	88 u. 89	Marsens	130	Sion-Aérodrome	14
		Fribourg	106 u. 107	Meiringen	108 u. 109	Soleil Mont	12
Baden	86 u. 87	Genève	110 u. 111	Montana	114 u. 115	Solothurn	102 u. 10
Basel (Binningen)	98 u. 99	Genève-Cointrin	141	Montreux-Clarens	110 u. 111	Splügen-Dorf	120 u. 12
Bâle-Mulhouse	139	Glarus	92 u. 93	Muri (Aargau)	124	Sta. Maria (Münstertal)	13
Beatenberg	106 u. 107	Göschenen	98 u. 99	Neuchâtel	100 u. 101	St. Gallen	88 u. 8
Bellinzona	120 u. 121	Grächen	131	Oberiberg	94 u. 95	St. Gotthard	98 u. 9
Bern	106 u. 107, 140	Grand-St-Bernard	112 u. 113	Olten	102 u. 103	St. Moritz	118 u. 11
Bever	118 u. 119	Grimsel	108 u. 109			Thun	12
Beznau	104 u. 105	Grindelwald	129	Pilatus-Kulm	96 u. 97	Tschiertschen	13
Biel	100 u. 101	Grono	134	Plateau Rosà (Testa Grigia)	143		
Bivio	133	Gurtnellen	126	Platta (Medels)	116 u. 117	Vättis	12
Bosco-Gurin	120 u. 121	Gütsch ob Andermatt	138	Ragaz, Bad	92 u. 93	Vicosoprano	13
Braggio	120 u. 121	Guttannen	108 u. 109	Reckingen	114 u. 115		
Brévine, la	127	Haidenhaus	88 u. 89	Rheinfelden	128	Walchwil	12
Brè Monte (ob Lugano)	135	Hallau	104 u. 105	Rigi-Kaltbad	126	Wald (Faltigberg)	12
Buffalora (Ofenpaß)	118 u. 119	Heiden	90 u. 91	Rigi-Kulm	94 u. 95	Walenstadtberg	12
		Heiligenschwendi	129	Robbia (San Carlo)	133	Weggis	12
Cernier	127	Interlaken	108 u. 109	Rochers de Naye	131	Weißfluhjoch	116 u. 11
Chasseron	100 u. 101	Jungfraujoch	110 u. 111	Romont	130	Winterthur	86 u. 8
Château d'Oex	130	Kreuzlingen	88 u. 89	Rorschach	124	Zermatt	13
Chaumont	100 u. 101	Langenbruck	102 u. 103	Rougemont	130	Zürich-BG	86 u. 8
Chaux-de-Fonds, la	98 u. 99	Langnau i. E.	106 u. 107	Saanen	129	Zürich-Kloten	13
Chippis	112 u. 113	Lausanne	110 u. 111	Saas-Fee	132	Zürich-MZA	86 u. 8
Chur	114 u. 115			Säntis	90 u. 91		
Comprovasco	134						

Anhang: Ergänzende Beobachtungen und Abhandlungen.

Nr. 1 M. Schüepp. Übersicht über den Witterungsverlauf in der Schweiz im Jahre 1959.
Nr. 2 J. Rieker. Liste des chutes de grêle en Suisse pendant l'année 1959.
Nr. 3 Ergebnisse der Niederschlagsmessungen im Jahre 1959.
Ergebnisse der im Alpengebiet aufgestellten Totalisatoren für das hydrologische Jahr 1958/59.
M. Grütter: Die Niederschläge des Jahres 1959.
Nr. 4 Ergebnisse der Registrierungen der Sonnenscheinautographen im Jahre 1959.
Nr. 5 Agrarmeteorologische Beobachtungen im Jahre 1959.
Verdunstung in mm Wasserhöhe von Zürich, Château d'Oex und Pregassona und Bodentemperaturen von Zürich und Pregassona.
Nr. 6 Aerologische Station Payerne: Radiosondierungen 1959.
Nr. 7 Wetterlagen und Fronten im Jahre 1959.
Nr. 8 Atmosphärisches Ozon (10^{-3} cm) Arosa 1959.
Nr. 9 Jean Lugeon: L'échosondage de l'atmosphère.
Beiheft. Klimatologie der Schweiz: C. Lufttemperatur, 1. Teil: Monats-, Jahreszeiten- und Jahresmittel der Temperatur, von M. Schüepp.

Vorwort

Es ist zum Vorwort des Jahrganges 1958 zunächst nachzutragen, daß auf Ende des Jahres die Regenmeß-Stationen Salanfe und Dornhof eingingen. Auf Beginn des Jahres 1959 konnten neu Regenmeß-Stationen in Greng bei Murten (W. Straub-Krenger) und Oeschberg-Koppigen (Kantonale Zentralstelle für Obstbau) in unser Netz eingereiht werden. Es folgten im Laufe des Jahres Breitenhof bei Wintersingen BL (Versuchsgut der Eidg. Versuchsanstalt Wädenswil), Metzerlen SO (Astronomisch-Meteorologische Anstalt Basel), Limmern GL (Kraftwerke Linth-Limmern AG), Sempach (Schweizerische Vogelwarte), Ackersand bei Stalden VS (Lonza AG) und Brig (Furka—Oberalp-Bahn). Dazu kommen 5 Stationen, die zum Studium der unterirdischen Abflußverhältnisse aus dem Becken von La Brévine durch das Département des Travaux publics des Kantons Neuenburg im Gebiet zwischen La Chaux-du-Milieu und Les Verrières eingerichtet worden sind. Aufgehoben wurden die Meteorologischen Stationen Pilatus und Grimmialp sowie die Regenmeß-Stationen Werthenstein und Piandanazzo. Auf Ende des Jahres trat auch Frau A. Mariani als Beobachterin der Meteorologischen Station Locarno-Muralto zurück. Nachdem die beiden Locarneser Stationen nunmehr während 25 Jahren parallel beobachtet haben, wurde kein Ersatz mehr gesucht. Frau Mariani starb bereits im Januar 1960. Es soll an dieser Stelle ihr und ihrem Vater, Herrn Prof. G. Mariani, ehrend gedacht werden, betreuten sie doch nacheinander die Meteorologische Station Locarno seit 1883, also während 77 Jahren.

Bestand:	1. Januar	31. Dezember
Meteorologische Stationen (Klimatologischer Dienst)	126	124
Meteorologische Stationen (Synoptischer Dienst)	8	8
Regenmeßstationen	329	338

Beobachterwechsel (* mit Stationsverlegung, E = Wechsel auf Ende 1959):

Meteorologische Stationen:	bisher	neu
Andermatt	P. A. Jenny	P. R. Hüsser
Auen (Linthal)	J. Zweifel-Vögeli	J. Zweifel-Roth
* Frauenfeld	S. Dannacher	M. Joos-Suter
* Glarus (E)	F. Fridau	Kraftwerk am Löntsch, Netstal
* Göschenen	W. Etterlin	J. Wipfli
* Schaffhausen (E)	Th. Bächtold	Wasserversorgung: A. Stamm
* Zermatt	G. Brantschen	Klinik Dr. Julen
* Zermatt	Klinik Dr. Julen	O. Gruber

Regenmeßstationen:	bisher	neu
La Cure	Fr. G. Spalinger	Fr. G. Machoud
* Kiental	Fr. B. Heimann-Mani	Fr. S. Egger-Mani
Küßnacht a. Rigi (E)	H. Kreienbühl	F. Annen
Sternenberg	H. Kofel	L. Mayer
* Wilchingen	E. Hablützel	W. Goetz

Unter den zurückgetretenen Beobachtern wirkten deren drei während mehr als 40 Jahren: Herr Pfarrer H. Kofel seit 1914, Herr Lehrer E. Hablützel seit 1917 und Herr Prof. S. Dannacher seit 1918.

Zusammen mit diesem Band beginnen wir mit der Herausgabe einer neuen *Klimatologie der Schweiz*. Diese soll abschnittsweise in Form von Beiheften zu den «Annalen» veröffentlicht werden. Das erste Heft, bearbeitet von Dr. M. Schüepp, behandelt die Monats-, Jahreszeiten- und Jahresmittel der Lufttemperatur. Eine kurze Disposition des Gesamtwerkes findet der Leser auf der zweiten Umschlagseite des Beiheftes.

Zürich, im November 1960.

Der Direktor der
Schweizerischen Meteorologischen Zentralanstalt

Jean Lugeon

Verzeichnis der 1959 erschienenen oder sich auf dieses Jahr beziehenden schweizerischen meteorologischen Literatur

Abkürzungen: NG = Naturforschende Gesellschaft. — SNG = Schweizerische Naturforschende Gesellschaft.
Dieses Verzeichnis führt die im vorliegenden Bande publizierten Arbeiten nicht nochmals auf (s. Inhaltsverzeichnis S. II)

Schweizerische Meteorologische Zentralanstalt: Ergebnisse der täglichen Niederschlagsmessungen auf den meteorologischen und Regenmeßstationen der Schweiz im Jahre 1959. — Zürich 1960.

Schweizerische Meteorologischen Zentralanstalt: Annalen der ..., 1959, Jg. 96. — Zürich 1960.

Schweizerische Meteorologische Zentralanstalt: Meteorologische Monatsberichte, Januar—Dezember 1959. [Verf. von] M[ax] Schüepp. — Zürich 1959; je 2 S.

Schweizerische Meteorologische Zentralanstalt: Wetterbericht der ... = Bulletin de l'Institut suisse de météorologie, Jg. 79, Nr. 1—365. — Zürich 1959; erscheint täglich.

Eidg. Institut für Schnee- und Lawinenforschung: Schnee und Lawinen in den Schweizer Alpen, Winter 1957/58. — Winterbericht ... Nr. 22, 128 S., Davos-Platz 1959.

Eidg. Volkswirtschaftsdepartement, Abt. f. Landwirtschaft, Eidg. Kommission zum Studium der Hagelbildung und Hagelabwehr: Großversuch III zur Bekämpfung des Hagels im Tessin. 2. Versuchsjahr. Tätigkeitsbericht Nr. 11, 1958. 105 S. — Bern 1959.

Eidg. Volkswirtschaftsdepartement, Abt. f. Landwirtschaft, Stations fédérales d'essais agricoles, Lausanne: Rapport d'activité 1958. Chap. 2.21, Année météorologique; 22, Dates phénologiques et culturales, Rendement des cultures. — Landwirtschaftl. Jahrbuch d. Schweiz, N. F. 8 (6): 451—460, Bern 1959.

Observatoire cantonal de Neuchâtel. (Schuler, Walter): Observations météorologiques faites en 1958 à l'Observatoire cantonal de Neuchâtel. — Bull. Soc. Neuchâtel. Sc. Nat. 82: 287—308 + diagr., Neuchâtel 1959.

Observatoire météorologique de Lausanne, Champ-de-l'Air: Résumés mensuels 1959. — Lausanne, Obs. mét. cant. vaud. 1960, 12 p.

Observatoire de Genève. (Ruche, J.): Résumé météorologique de l'année 1958 pour Genève. — Publ. Observat. Genève. — Sér. M, (33), 13 p., Genève 1959.

Service de statistique, Bienne: Les observations météorologiques 1958. — Chronique statist. de la ville de Bienne 1958: 7—9, Bienne 1959.

Statistisches Amt des Kantons Basel-Stadt: Klima und Witterung. — Stat. Jahrb. Kt. Basel-Stadt 39 (1959): 6—10, Basel 1960.

Ackermann, P[aul]: Das indifferente Gleichgewicht der Atmosphäre. — Met. Rdsch. 12 (5): 142—143, Offenbach a. M. 1959.

Ackermann, Paul: Die meteorologischen Verhältnisse im schweizerischen Mittelland als Faktor zur Standortswahl und zur Überwachung von Reaktoren. — Mitteilungsblatt d. Delegierten f. Fragen d. Atomenergie (1): 1—3, Bern 1959.

Ackermann P[aul]: Die neue Theorie des indifferenten Gleichgewichtes in der praktischen Anwendung. — Met. Rdsch. 12 (6): 182—183, Offenbach a. M. 1959.

[Anonym]: La pluie ne vient pas des nuages! [Condensé d'un article de G. Lacoste, paru dans «Sciences et avenir», Paris, juillet 1958.] — La forêt 12 (12): 262—264, Neuchâtel 1959.

[Anonym]: Un système d'armes sans armes — Un instrument de reconnaissance météorologique planétaire pour l'U. S. A. F. — Interavia 14 (4): 383—385, Genève 1959.

Bäumler, J[ean]; Müller, Theodor: Stadtluftuntersuchungen in Basel 1957—1959. — Z. f. Präventivmedizin 4: 257—276, Zürich 1959.

B[anister], U. M.: Deuxième session de la Commission de météorologie agricole. — Bull. de l'OMM 8 (1): 14—18, Genève 1959.

Bernasconi, Sergio; Gotsch, Georg: Über die Kondensation verschiedener Dämpfe bei adiabatischer Expansion. — Z. f. angew. Math. u. Phys. 10 (5): 509—519, Basel 1959.

Bider, Max: Klima und Obstbau. — Bauernblatt der Nordwestschweiz, obstbaulicher Beratungsdienst, Winter 1958/59, SS. 5—6, Solothurn 1959.

Bider, Max: 17 Jahre umfassende Messungen der Bodentemperatur in Buus (Basel-Land). — Verh. SNG, Lausanne 1959: 112—114.

Bider, M[ax]; Schüepp, M[ax]; Rudloff, H[ans] von: Die Reduktion der 200jährigen Basler Temperaturreihe. — Arch. Met. Geophys. Biokl., Ser. B, 9 (3—4): 360—412, Wien 1959.

Bouët, Max: Les cumulus dans les Alpes valaisannes. — Arch. Met. Geophys. Biokl., Ser. B, 9 (3—4): 322—326, Wien 1959.

Brunner, H[ans]: s. Hartmann, L[uzius]

Carreras-Patxot, R[afel]; Sänger, R[aymund]: A method for detecting the diffusion of silver iodide particles in the atmosphere. — Geofis. pura e appl. 42: 131—132, Milano 1959/I.

Casparis, Ernst: 30 Jahre Wassermeß-Stationen im Emmental. — Schweiz. Anstalt f. d. forstl. Versuchswesen, Mitteilungen 35 (1): 179—224, Zürich 1959.

Comité consultatif international des radiocommunications (CCIR): Appareil pour le comptage des éclairs proches. — Bull. de l'OMM 8 (1): 19—23, Genève 1959.

Cooper, Sydney: North Atlantic weather ships. — Swissair Journal 13 (1): 14—15, Zürich 1959.

Davies, D. A.: Problèmes météorologiques relatifs à l'énergie atomique. — Bull. de l'OMM 8 (1): 6—9, Genève 1959.

Deschwanden, Peter von: Über die Zusammenhänge zwischen Kapillarresistenz, elektrischer Leitfähigkeit der Luft und Wetter auf mittlerer Höhe. — Diss. Uni. Bern (Mediz. Fak.), 1958, 39 S.

Drotschmann, H[ugo]: Technische Klima-Daten für die Schweiz. Periode 1958/59. — Schweiz. Blätter f. Heizung u. Lüftung 26 (3): 33—37, Zürich 1959.

Dütsch, Hans-Ulrich: Berücksichtigung von Sekundärstreuung und Wolkeneinfluß bei der Auswertung des Umkehreffekts. — Verh. SNG, Lausanne 1959: 114—115.

Dütsch, Hans-Ulrich: Jahresgang der vertikalen Ozonverteilung über Arosa aus Umkehrmessungen. — Verh. SNG, Lausanne 1959: 115—116.

Dütsch, Hans-Ulrich: Vertical ozone distribution from Umkehr observations. — Arch. Met. Geoph. Biokl., Ser. A, 11 (2): 240—251, Wien 1959.

Dütsch, Hans-Ulrich: Vertical ozone distribution over Arosa, from three years' routine observation of the Umkehr effect. Final Report "Ozone and general circulation in the stratosphere". The research reported in this document has been sponsored by the Geophysics Research Directorate of the Air Force Cambridge Research Center, Air Research and Development Command, United States Air Force, through the European Office, ARDC, under Contract No. AF 61 (514—905), and by the Swiss National Foundation for Scientific Research. — 24 + XV S. [o. O.] 1959.

Gockel, P[aula]: Das meteorologische Jahr 1958. — Bull. Soc. Frib. Sc. Nat. 48: 274—276, Fribourg 1959.

Golay, M[arcel]: Densité de la haute atmosphère obtenue à l'aide des satellites artificiels. — Orion 5 (66): 704—706, Schaffhausen 1959.

Gotsch, Georg: Über die Anwendbarkeit der Köhlerschen Gleichgewichtskurven für Lösungströpfchen. — Geofisica pura e appl. 42: 75—88, Milano 1959/I.

Gotsch, Georg: s. auch Bernasconi, Sergio.

Guenin, R[aoul]: L'Organisation météorologique mondiale. — Schweiz. Z. f. Vermessung, Kulturtechn. u. Photogrammetrie 57: 123—126, Winterthur 1959.

Hartmann, L[uzius]; Brunner, H[ans]: Naturchronik für (die) Jahr(e) 1957 (und) 1958. — Jahresber. NG Graubünden, N. F. 88: 13—16, 17—20, Chur 1959.

Israël, H[ans]: Luftelektrische Erfahrungen in den Schweizer Alpen. — Ber. Dt. Wetterd. 8 (54): 33—37, Offenbach a. M. 1959.

J[...], B[...]: Wetterprognosen durch elektronische Rechenautomation. — Internat. Flugrevue (30), 2 S., Bern 1959.

Jefferson, G. J.: Banner cloud over the Matterhorn. — Met. Magazine 88 (1,048): 311—312, London 1959.

Jenal, C.: Erdrotation und Luftdruck. — Leben u. Umwelt (10/11): 224—228, Aarau 1959.

Jenny, J[ean]: Les mesures de température en agriculture. — Terre vaudoise 71(42): 3, Lausanne 1959.

Junod, André: s. Lugeon, Jean.

Kasser, P[eter]: Der Einfluß von Gletscherrückgang und Gletschervorstoß auf den Wasserhaushalt. — Wasser- u. Energiewirtschaft 51 (6): 155—168, Zürich 1959.

Kaufmann, Paul: Ein lüftungstechnisches Analogon zum Talwindsystem. — Verh. SNG, Lausanne 1959: 126.

Kaufmann, P[aul]: Das Segelflugwetter im März. — Schweiz. Aero-Rev. 34 (5): 293, Zürich 1959.

Kaufmann, Paul: Zur groben atmosphärischen Sedimentation. — Verh. SNG, Lausanne 1959: 126.

Kaufmann, P[aul]; Bart, B[ernhard]: Das Segelflugwetter im April. — Schweiz. Aero-Rev. 34 (6): 377, Zürich 1959.

Kü[nzli, Walter]: Einfluß von Luftverunreinigungen auf das Pflanzenwachstum. — Mitt. f. d. schweiz. Landwirtschaft 7 (12): 188—189, Zürich 1959.

Kuhn, W[alter]: Der Firnzuwachs pro 1958/59 in einigen schweizerischen Firngebieten. 46. Bericht. — Vierteljahresschr. NG Zürich 104: 412—422, Zürich 1959.

Kuhn, Walter: Meteorologie als Wissenschaft und Beruf. — Schweiz. Hochschulzeitung 32 (1): 19—27, Zürich 1959.

Lammert, Walter: Was ist medizinische Meteorologie? — Elternzeitschr. 37 (5): 89—92, Zürich 1959.

List, Roland: Der Hagelversuchskanal. — Z. f. angew. Math. u. Phys. 10 (4): 381—415, Basel 1959.

List, Roland: Physikalische Aspekte einer modernen Hageltheorie. — Verh. SNG, Lausanne 1959: 126—128.

List, Roland: Wachstum von Eis-Wassergemischen im Hagelversuchskanal. — Eidg. Komm. z. Studium d. Hagelbildung u. d. Hagelabwehr, Wissenschaftl. Mitt. Nr. 24, 4 S., Zürich 1959.

List, Roland: Zur Aerodynamik von Hagelkörnern. — Z. f. angew. Math. u. Phys. 10 (2): 143—159, Basel 1959.

Lugeon, Jean: Comparaison du régime des parasites atmosphériques polaires et européens. — Verh. SNG, Lausanne 1959: 120—122.

Lugeon, Jean; Junod, André; Wasserfallen, Pierre: Mesures de l'électricité atmosphérique et de la radioactivité de l'air à Murchison Bay, Spitzberg (80°N), pendant l'Année géophysique internationale 1957/58. — Verh. SNG, Lausanne 1959: 122—126.

Lugeon, Jean; Rieker, Jean: Les recoupements radiogoniographiques des grands foyers orageux de l'hémisphère nord depuis la base Spitzberg—Suisse (4200 km). — Verh. SNG, Lausanne 1959: 116—120.

Lusser, Karl Franz: Notizen über «Roter Schnee». — Der Gotthard 7 (12): 121—124, Altdorf 1959.

Meyer, A[lfred]: Internationales Agrarmeteorologisches Treffen 29./30. Oktober 1959, Stuttgart-Hohenheim. — «Die Grüne», Schweiz. landw. Z. 87: 1421—1424, Zürich 1959.

Miller, David, H.: Transmission of insolation through pine forest canopy, as it affects the melting of snow. — Schweiz. Anstalt f. d. forstl. Versuchswesen, Mitteilungen 35 (1): 57—77, Zürich 1959.

Mörikofer, W[alter]: Comparaison d'instruments de mesure du rayonnement. — Bull. de l'OMM 8 (4): 219—220, Genève 1959.

Mörikofer, W[alter]: Grundzüge der Bioklimatologie. — Mitt. NG Bern, N. F. 17: 33—53 (1959).

Mörikofer, W[alter]: Unsere heutigen Anschauungen zum Problem der Wetterfühligkeit. — Annalen d. Schweiz. Ges. f. Balneologie und Klimatologie, 1957—1959 (46/48): 129—139, Genf 1959.

Montandon, Frédéric: Les grandes catastrophes naturelles survenues pendant les années 1948 à 1957. — Rev. p. l'étude des calamités (36): 58—60, Genève 1959.

Müller, Theodor: s. Bäumler, Jean.

Nicollier, Jean: Quelques réactions de la vigne au climat exceptionnel de 1959. — Bull. «Murithienne», Soc. Val. Sc. Nat. 76: 82—87, Sion 1959.

Oechslin, Max: Der Ausbruch des Etzli- und Sellenerbaches in Bristen (infolge einer außerordentlichen Niederschlagsmenge). — Der Gotthard 7 (11): 114—116, Altdorf 1959.

P[...], R[...]: Comparaison des bacs d'évaporation. — Bull. de l'OMM 8 (2): 102—106, Genève 1959.

Penman, H. L.: Notes on the water balance of the Sperbelgraben and the Rappengraben. — Schweiz. Anstalt f. d. forstl. Versuchswesen 35 (1): 99—109, Zürich 1959.

Petitpierre, M.: Klimatherapie rheumatischer Krankheiten. — Annalen d. Schweiz. Ges. f. Balneologie u. Klimatolog. 1957—1959 (46/48): 99—115, Genf 1959.

Peyer, Ernst: Die Erfahrungen mit der Frostschutzberegnung in der Schweiz. — Schweiz. Z. f. Obst- u. Weinbau 68 (25): 572—575, (26): 623—625, Wädenswil 1959.

Peyer, E[rnst]: Internationale Tagung über Fragen des Frostschutzes. — Schweiz. Z. f. Obst- u. Weinbau 68 (23): 525—527, Wädenswil 1959.

Peyer, E[rnst]: Vorläufige Mitteilung über die Erfahrungen bei Frostbekämpfung im Rebbau der Ostschweiz. — Schweiz. Z. f. Obst- u. Weinbau 68 (11): 258—261, Wädenswil 1959.

Pohl, Wolfhard: Dichteverhältnisse der oberen Erdatmosphäre. — Neue Zürcher Zeitg. 180 (118) Bl. 9, Techn. Beil. 14. Januar 1959.

Primault, B[ernard]: De la mesure des températures dans le sol. — Bull. de l'OMM 8 (2): 93—98, Genève 1959.

Primault, B[ernard]: Etude microclimatologique en vue de la protection d'un verger contre le gel. — Geofis. e met. 7 (3—4): 67—74, Genova 1959.

Primault, B[ernard]: Les gels du mois d'avril 1959 en Suisse et le rôle de l'humidité de l'air dans la lutte contre le gel. — Mitt. Informationsstelle f. Frostschutz, Instit. f. Phys. u. Meteorol. d. Landw. Hochschule Hohenheim, Stuttgart (5): 13—20, 1959.

Primault, B[ernard]: Influences atmosphériques sur l'apparition de la fièvre aphteuse. — Ann. d. Schweiz. Ges. f. Balneologie u. Klimatolog. 1957—1959 (46/48): 117—128, Genf 1959.

Primault, B[ernard]: Kann roher Müllkompost als Frostschutzmittel dienen? — Schweiz. Z. f. Obst- u. Weinbau 68 (21): 486—291, Wädenswil 1959.

Primault, B[ernhard]: Pourquoi lutter contre le vent? L'Impartial, 28 juillet 1959, 2 S., La Chaux-de-Fonds.

Primault, B[ernard]: Les répercussions du temps sur la lutte antiparasitaire. — Rev. romande d'agric. 15 (6): 49—51, Lausanne 1959.

Renaud, A[ndré]: Les variations des glaciers suisses 1958. — Die Alpen 35 (3): 227—237, Bern 1959.

Rieker, Jean: s. Lugeon, Jean.

Rima, Alessandro: Dei cicli climatici nella Svizzera italiana. Riv. tecn. d. Svizzera ital. (9—10): 12 S., Lugano 1959.

Rima, Alessandro: Intensità della pioggia della città di Locarno. Legge delle intensità massime. — Wasser- u. Energiewirtschaft 51 (6): 168—170, Zürich 1959.

Ruche, J.: s. Observatoire de Genève.

Sänger, Raymund: Probleme der langfristigen Wettervorhersage. — Neue Zürcher Zeitg. 180 (2884): 3, Techn. Beil. 26. Sept. 1959.

Sänger, R[aymund]: s. auch Carreras-Patxot, Rafel.

Sanuki, M.: Station anémométrique automatique au Japon. — Bull. de l'OMM 8 (2): 79—80, Genève 1959.

Schaefer, Vincent J.; Dieterich, John H.: The seeding of cumulus clouds by ground-based silver iodide generators. — Z. f. angew. Math. u. Phys. 10(2): 174—188, Basel 1959.

Schaufelberger, Paul: Klima-, Klimaboden- und Klimavegetationstypen. — Geogr. helvet. 14(1): 35—42, Bern 1959.

Schüepp, Max: Die Klassifikation der Witterungslagen. — Geofis. pura e appl. 44: 242—248, Milano 1959/III.

Schüepp, Max: Klimatologie der Wetterlagen im Alpengebiet. — Ber. d. Deutschen Wetterd. 8(54): 164—173, Offenbach a. M. 1959.

Schüepp, M[ax]: s. auch Bider, M[ax].

Schuler, Walter: s. Observatoire cantonal de Neuchâtel.

Schumann, T. E. V. — Météorologie mondiale: rétrospective et perspective. — Bull. de l'OMM 8(1): 31—38, Genève 1959.

Sneyers, R[aymond]: Remarques à propos d'une généralisation de l'indice de similitude de M. Bouët. — Arch. Met. Geoph. Biokl., Ser. A, 11(1): 126—135, Wien 1959.

Stahel, M.: Weitere Erfahrungen in der Spätfrostbekämpfung mit Beheizen in einer Obstanlage. — Schweiz. Z. f. Obst- u. Weinbau 68(11): 261—267, Wädenswil 1959.

Staub, A.: s. Wildbolz, Th.

Steinhäußer, Hans: Wasserhaushalt und Landschaft in den südöstlichen Alpen. — Schweiz. Anstalt f. d. forstl. Versuchswesen, Mitteilungen 35 (1): 117—126, Zürich 1959.

Stenz, S.: Die Größenveränderung der Früchte von zwei Apfelsorten (Borkh) im Zusammenhang mit meteorologischen Umweltbedingungen. — Schweiz. Z. f. Obst- u. Weinbau 68(11): 267—270 (12): 285, 288—290, Wädenswil 1959.

Streit, W.: Über ein neues Mikro-Barometer. — Mitt. NG Bern, N. F. 17: 19—25, Bern (1959).

Tardos, Béla: Wellenforschungen in Ungarn. — Schweiz. Aero-Rev. 34(2): 123, Zürich 1959.

Urfer, Alfred: Was zeichnete den 21. April 1959 als Tag der Langstreckenflüge aus? — Schweiz. Aero-Rev. 34(7): 427—431, Zürich 1959.

Van Mieghem, J[acques]: Météorologie de l'Antarctique. — Bull. de l'OMM 8(2): 66—72, Genève 1959.

Van Staveren, J. M.; Mohrmann, J. C. J.: Aperçu général du déficit d'eau en Europe et des besoins d'irrigations complémentaires. — 21 S. + Karten, Brugg 1958.

Verzár, F[ritz]: L'adaptation de l'homme aux grandes altitudes. — Die Alpen 35(3): 184—187, Bern 1959.

Verzár, F[ritz]: The discovery of atmospheric condensation nuclei by Paul-Jean Coulier in 1875. — Experientia 15: 362—363, Basel (1959).

Verzár, Fritz: Influence of sunlight on atmospheric condensation nuclei. — Geofis. pura e appl. 42: 21—23, Milano 1959/I.

Verzár, F[ritz]; Evans, H. D.: Production of atmospheric condensation nuclei by sunrays. — Geofis. pura e appl. 43: 259—268, Milano 1959/II.

Viaut, A[ndré]: L'OMM et l'essor de la météorologie. Progrès et perspectives d'avenir. — Bull. de l'OMM 8(1): 2—5, Genève 1959.

Wagenhoff, A.; Wedel, K. von: Vergleich der bisherigen Ergebnisse der Untersuchungen über den Wasserhaushalt und den Bodenabtrag im Harz mit den langfristigen Beobachtungen im Emmental in der Schweiz. — Schweiz. Anstalt f. d. forstl. Versuchswesen 35, Mitteilungen (1): 127—138, Zürich 1959.

Wallington, C. E.: An introduction to lee waves in the atmosphere. — Schweiz. Aero-Rev. 34(3): 187—190, Zürich 1959.

Wasserfallen, Pierre: s. Lugeon, Jean.

Wildbolz, Th; Staub, A.: Erfahrungen über das Auftreten und die Bekämpfung des Apfelwicklers im Jahre 1959. — Schweiz. Z. f. Obst- u. Weinbau 68(24): 546—552, Wädenswil 1959.

World Meteorological Organization: Use of ground-based radar in meteorology. — WMO, Technical Note No. 27, WMO-No. 84. TP35, 80 S., Geneva 1959.

Zenone, E[leno]: Klimatologie und Meteorologie des Mittelmeergebietes. 21 S. + Karten, (vervielfältigt, Locarno-Monti 1959).

Zenone, E[leno]: Le situazioni di «Südstau» al sud delle Alpi dovute a campi isallobarici negativi di 24 ore. — Geofis. e meteorolog. 7 (5—6): 85—94, Genova 1959.

Nachträge aus früheren Jahren

Büdel, J[ulius Karl]: Eiszeitklima in Afrika. [Referat von] P. Köchli. — Jahresber. Geogr. Ges. Bern 44: 11—12, 1958.

Eichenberger, Willy: Grundlagen der Wetterkunde. — Schweiz. Brauerei-Rundschau 69(11): 194—199, Zürich 1958.

Himmler, Kurt: Diskussionsbeitrag zur Bestimmung der maßgebenden Regenintensität in Entwässerungsnetzen. — Verband Schweiz. Abwasserfachleute, Verbandsber. 63(2): 8 Bl., Zürich 1958.

Kohler, Max A.:Design of hydrological networks. — WMO, Technical Note No. 25, WMO-No. 82. TP. 32, 16 S., Geneva 1958.

Linsley, Ray K.: Techniques for surveying surface-water resources. — WMO, Technical Note No. 26, WMO-No. 82. TP. 32, 41 S., Geneva 1958.

Schaufelberger, P[aul]: Welches sind, nach den Erfahrungen der Bodenkunde, die maßgebenden Klimafaktoren? — Petermann's Mitteil. 102: 113—115, Gotha 1958.

Eidgenössische Meteorologische Kommission 1959

Prof. Dr. Ch. Borel, Gymnasium, La Chaux-de-Fonds, Präsident

Prof. Dr. Fr. Gaßmann. ETH, Zürich, Vizepräsident

Dr. G. von Meiß, Zürich

Dr. M. Bider, Astronomisch-Meteorologische Anstalt, Basel

Prof. Dr. M. Schürer, Universität, Bern

Prof. P. Oguey, Conseiller d' Etat, Lausanne

Prof. Dr. O. Huber, Universität Fribourg

Tägliche Beobachtungen

der Stationen:

Bern, Neuchâtel, Altdorf, Genève, Zürich, Chasseron, Bever, Sion, Lugano, Basel, Säntis und St. Gotthard

im Jahre 1959

Für die Bezeichnung der Hydrometeore und anderer Phänomene werden folgende international vereinbarte Symbole (Wien 1873. Warschau 1935) verwendet:

● = Regen	⊼ = Gewitter	⟋ = starker Wind
❟ = Nebelregen	⊼ = Wetterleuchten	⟋ = Sturm
✳ = Schnee	⊤ = Donner	◖ = Sonnenhof
← = Eisnadeln	≡ = Nebel	◡ = Mondhof
▽ = Regenschauer	⌓ = Tau	⊕ = Sonnenring (Halo)
▽ = Schneeschauer	⌊ = Reif	◡ = Mondring (Halo)
▽ = Regen- und Schneeschauer	⋁ = Rauhreif	◠ = Regenbogen
△ = Graupeln, Riesel	∾ = Glatteis	⩚ = Nordlicht
▲ = Hagel	⁜ = Schneetreiben	⊠ = Schneedecke

Das Zeichen * kennzeichnet interpolierte Daten. Die Windstärken sind in der sechsteiligen (halben) Beaufortskala ausgedrückt. Die Tages- und Monatsmittel der Temperatur werden in diesem Abschnitt aus den drei Terminbeobachtungen nach der Formel $M = 1/3\ (7.30 + 13.30 + 21.30)$ berechnet. Im Abschnitt der Monats- und Jahresübersichten wird dagegen die Formel $M = 1/4\ (7.30 + 13.30 + 2 \cdot 21.30)$ verwendet.

In der Spalte «Witterung» bedeuten die Abkürzungen: fl = Flocken, tr = Tropfen. Gewitter werden mit dem Symbol ⊼ oder, wenn vom Beobachter ausdrücklich als Ferngewitter gemeldet, mit (⊼) ohne jede Zeitangabe bezeichnet. Die näheren Angaben sind den «Ergänzenden Witterungsnotizen» auf Seite 73 ff zu entnehmen. Das Gleiche gilt auch für die Symbole Donner ⊤ und Ferndonner (T).

Die Intensität der einzelnen Erscheinungen wird durch eine dem Symbol als Exponent beigefügte ° als schwach und ² als stark bezeichnet. Das Zeichen ⊠ bedeutet, daß mehr als die Hälfte der Bodenfläche in der Umgebung der Station an dem betreffenden Tage mit Schnee bedeckt war.

Alle Zeitangaben beziehen sich auf *mitteleuropäische Zeit. Vom Jahrgang 1918 an ist die 24-Stundenzählung* durchgeführt. Außerdem werden folgende Abkürzungen verwendet: a (ante meridiem) = vormittags, p (post meridiem) = nachmittags, n = nachts, fr = früh, mtg = mittags, abd = abends, ztw = zeitweise, mU = mit Unterbrechungen. Die römischen Ziffern geben an, daß das betreffende Phänomen um die Zeit des ersten (I), bzw. zweiten (II) oder dritten (III) Beobachtungstermins beobachtet worden ist, die arabischen Zahlen bedeuten die bürgerlichen Zeitstunden.

λ bezeichnet die geographische Länge in Graden von Greenwich, β die geographische Breite, H_b die Höhe des Stationsbarometers über dem Meer in Metern, H die Höhe der Station (des Regenmessers) über der Meeresfläche, G ist die Korrektion, welche an den Luftdruckdaten für deren Reduktion auf die Normalschwere (Konventioneller Standardwert $g_0 = 980{,}665$ cm/sec²) noch anzubringen ist, h_r die Höhe des oberen Randes des Regenmessers über dem Erdboden. Die Stationen, bei denen die Höhe (des Barometergefäßes) bis auf den Dezimeter angegeben ist, sind an das schweizerische Präzisionsnivellement angeschlossen. Alle Höhen sind auf Pierre du Niton 373.6 m (neuer Wert) bezogen.

Die den Schwerekorrektionen zugrundeliegenden Schwerewerte sind für die einzelnen meteorologischen Stationen aus den Schwerebestimmungen von Th. Niethammer (Astronomisch-geodätische Arbeiten in der Schweiz, Bände 12, 13, 15 und 16) abgeleitet worden.

Auf dem Chasseron erfolgten die Abendbeobachtungen um 20.30 Uhr.

ERRATA

1957

Seite 123 *Locarno-Muralto:* Zahl der Tage: ☃, Jahr 118 (nicht 188).

1958

Seit 127 *La Brévine:* «(Les Taillères)» streichen.
Seite 141 Oberste Zeile: Hp = 429 (nicht 424).
Seite 3/7 *Le Locle:* Jahr 1555 (nicht 1552).

1959

Seite 9 *Zürich:* Niederschlag, Summe 4.7 (nicht 148.1).
Seite 15 *Chasseron:* Niederschlag, Summe 204.9 (nicht 4.9).
Seite 17 *Lugano:* Niederschlag am 3. 0.8 (nicht 40.8), am 5. 7.2 (nicht 47,2), Summe 194.6 (nicht 274.6).
Seite 30 *St. Gotthard:* Temperatur, Monatsmittel: Alle 4 Werte sind in dieser Reihenfolge zu ersetzen: 1.5 6.0 1.5 3.0.
Niederschlag, Summe 72.2 (nicht 204.4).
Seite 48 *Säntis:* Niederschlag, Summe 144.4 (nicht 14.4).
Seite 62 *Altdorf:* Niederschlag am 14. **29.0** (nicht 2.9), am 15. 19.6 (nicht **29.0**), Summe 63.6 (nicht 46.9).
Seite 63 *Zürich:* Niederschlag, Summe 48.4 (nicht 30.0).
Seite 86 *Zürich MZA:* Temperatur, Dezember, Mittel 2.6 (nicht 6.6).
Seite 98 *Basel:* Temperatur, Dezember, Minimum —3.2 (nicht —7.3).
Seite 107 *Langnau:* Zahl der Tage ✳, November 4 (nicht 5), Jahr 36 (nicht 37).
Seite 125 *Wald:* Nebel, Zahl der Termine, 7^{30} Jahr 19 (nicht 9).
Seite 127 *La Brévine:* «(Les Taillères)» streichen.
Seite 4/1 *Altdorf:* November 52 (nicht 54).

$\lambda = 7°\,26'$, $\beta = 46°\,57'$,
$H_b = 572.2$ m, G = −0.04 mm

Bern

Januar 1959
Beobachter: *Meteorologisches Observatorium*

Tag	Lufttemperatur 7³⁰	13³⁰	21³⁰	Mittel	Abweich. vom Normalst	Luftdruck 7³⁰	13³⁰	21³⁰	Relative Feuchtigkeit 7³⁰	13³⁰	21³⁰	Windrichtung und Stärke 7³⁰	13³⁰	21³⁰	Bewölkung 7³⁰	13³⁰	21³⁰	Niederschlag	Witterung
1	0.6	4.2	1.3	2.0	3.6	714.9	716.3	715.8	92	98	100	SSE 1	NE 0	SE 1	9	9	10−	3.7	● 8-11½, ≡ 18½ n
2	−2.0	5.2	2.9	2.0	3.6	711.6	706.9	705.4	99	**57**	80	SE 0	WSW 2	WSW 2	10≡	9	9	2.6	● 17-18, ✳ ● 18-19½, ≡ n-7½, *)
3	1.2	1.6	0.5	1.1	2.7	703.2	705.4	706.8	90	78	84	WSW 1	WSW 1	W 1	8	7	10	2.1	┼ 5½ 11¼, 22 n
4	0.6	0.8	−3.2	−0.6	1.1	703.2	**699.8**	709.5	79	94	86	WSW 2	WSW 2	SW 1	10	10*	7	4.2	✳ n-3¼, 6¾-6¾, 10-15½, ⛈ 13 1
5	−3.8	−0.9	−4.0	−2.9	−1.2	712.7	713.6	713.5	77	76	83	ESE 1	SW 0	SSE 1	10	9	1	4.3	✳ 9-9½, 14-17 mU 6
6	−2.7	2.8	2.3	0.8	2.5	709.4	709.5	708.5	93	94	96	SE 1	W 2	SSW 1	10*	10●	10●	12.0	✳ 3¾-10, ● 10-n mU 10
7	4.6	6.2	4.0	4.9	6.7	706.0	702.8	704.0	83	78	84	WSW 1	WSW 2	SW 2	8●	10●	10●	**15.7**	● 0-5 mU, 7-9½ mU, 13-22½ mU 5
8	0.4	1.0	−1.0	0.1	1.9	701.8	703.7	707.7	93	83	86	W 2	W 1	W 1	10*	10*	10*	2.7	⛆ n-0¾, ● 1½-4 mU *) 1
9	−4.0	−1.0	−2.4	−2.5	−0.7	708.6	707.3	703.8	91	86	97	NW 1	W 1	WNW 2	6	9*	10*	5.9	⛆ 0¾-1 mU, ✳ 8¾-12¾ mU, 19¾-22½ 4
10	−2.3	−1.2	−3.0	−2.2	−0.4	705.1	708.1	708.2	94	75	80	WNW 2	NW 2	WSW 2	10*	3	5*	10.4	✳ 0¾-13¾ mU, 20-n mU 10
11	−3.6	−1.9	−2.3	−2.6	−0.8	708.3	707.7	706.3	95	68	83	W 2	WSW 2	W 2	10*	3	3	0.4	✳ n-7½, ⛆ 10½-10¾ 23
12	−2.4	−0.8	−4.0	−2.4	−0.6	704.1	704.7	705.2	88	74	74	WSW 2	SW 1	WSW 1	10*	8	1	0.8	✳ 5¾ 8, 9-9¾ 15
13	−2.9	0.3	−1.9	−1.5	0.3	705.0	705.3	704.9	84	70	79	W 2	W 2	WSW 1	10*	10	10	1.4	✳ 2 11¾, 22 n 14
14	1.9	0.2	1.0	−0.2	1.6	703.8	702.6	700.3	96	94	97	ESE 1	ESE 1	SE 1	10*	10*	10●	15.6	✳ n-5¾, 7-11¾, ● 6-7, ● 14¾-n, ⛈ 1 12
15	5.2	5.5	4.3	5.0	6.8	703.6	704.2	703.3	67	75	75	WSW 2	W 1	SW 1	9	9	8	3.4	● n-4¾ mU, 10½-12¾, *) 5
16	0.3	−1.5	−4.7	−2.0	−0.2	705.2	710.6	716.6	97	86	85	N 1	NNE 1	NNE 0	10*	5*	0	2.1	● n 6¾, ✳ 6¾ 13¾ 2
17	−7.6	−3.6	−6.9	−6.0	−4.3	720.5	720.5	720.2	90	69	85	ESE 1	NE 1	ESE 1	2	0	0	.	5
18	**−9.4**	−2.2	−1.0	−4.2	−2.5	718.5	716.7	716.9	90	68	73	SE 1	W 1	SE 1	1	7	10	.	⌴ I 4
19	−4.2	1.8	−0.1	−0.8	0.9	714.9	712.5	711.1	92	75	87	SSE 1	SSE 1	SW 1	3	10	8	.	4
20	−2.0	4.5	2.3	1.6	3.2	709.2	704.7	703.4	92	73	83	S 1	E 1	W 1	3	9	10	1.6	⌴ I 3
21	5.4	**8.2**	2.6	5.4	7.0	706.4	706.4	706.3	76	66	90	WSW 2	W 2	SE 1	10●	8	5	0.3	● 0-8¼ 1
22	0.9	7.5	5.4	4.6	6.2	705.8	705.4	707.1	93	65	73	SW 1	SE 1	SE 1	5	7	9	0.1	
23	5.0	6.8	3.7	5.2	6.7	709.2	713.0	712.2	84	91	86	WSW 1	SW 1	SW 1	10●	9	8	13.0	● 6 12¾ mU
24	5.4	2.3	0.2	2.6	4.1	712.6	716.5	716.9	92	92	92	N 2	E 1	N 1	10●	9	10	4.2	● 3¼-9, ✳ 9-9½, ● 9½-11¾
25	−2.4	0.4	−2.3	−1.4	0.0	719.1	720.4	722.1	88	65	78	NNE 1	NE 1	E 1	1	1	0	.	⌴ I
26	−5.2	0.4	−2.2	−2.3	−0.9	722.6	722.4	722.7	82	60	82	E 1	E 1	NNE 1	2	4	0	.	⌴ I
27	−5.7	−0.4	−1.7	−2.6	−1.3	**723.8**	723.1	721.8	89	73	75	E 0	NE 1	E 1	1	1	0	.	⌴ I
28	−4.4	0.8	−1.7	−1.8	−0.5	720.2	720.4	721.0	92	76	87	NNE 1	SW 1	SE 1	0	0	0	.	⌴ I
29	−3.6	−1.6	−3.2	−2.8	−1.6	719.6	718.7	718.0	100	94	100	SSE 1	E 1	NNE 1	10≡	1	10≡	.	≡ 0-11½, 18½-n, ⌴ I
30	−4.5	−2.4	−2.9	−3.3	−2.2	716.7	715.4	715.4	100	93	100	SE 1	WSW 1	SE 1	10≡	10≡	10	0.2	✳ 8-11¾, ≡ n-n, ⌴ III
31	−4.8	−2.8	−2.9	−3.5	−2.4	714.5	714.2	714.5	97	94	97	WSW 1	N 1	NE 1	10≡	10≡	0	0.0	✳ fl 9¾-10¾, ≡ n-20
																		Summe	
Mittel	−1.6	1.3	−0.7	−0.3	—	711.0	710.9	711.3	90	79	86				7.4	7.0	6.3	107.0	

*) 2. ⛈ 17, 22½, ⌴ I 8. ✳ ● 4-9¾, 13-21¾ mU, ⛆ 23-23½, ⛈ 2¾ 15. 18½-21, 23-n, ⛈ 1½

$\lambda = 6°\,57'$, $\beta = 47°\,00'$,
$H_b = 487.3$ m, G = 0.00 mm

Neuchâtel

Januar 1959
Beobachter: *Observatoire Cantonal*

1	7.0	7.6	0.6	5.1	5.6	722.7	723.8	723.9	76	51	75	WSW 2	W 1	NE 1	10●	8	0	0.1	● 6¾-8
2	0.4	5.1	3.6	3.0	3.5	719.4	715.0	713.9	58	54	74	WSW 2	SW 3	SW 2	0	10	10	6.3	● 17-19, ⛈ n-n mU, ⛈ 17¼
3	0.5	1.6	1.1	1.1	1.7	710.7	713.4	714.4	99	74	76	SW 2	SW 1	WSW 2	10*	9	10	2.7	✳ 1¾-9½, 16¾-17¾, ⛈ 8-11, ⛈ 19¾
4	1.2	0.3	−3.8	−0.8	0.2	711.1	**707.4**	717.2	82	99	72	SW 3	SW 2	W 1	10	10*	7	13.5	✳ 4½-11½ mU, ⛈ n-19, ⛈ 14½-16¾
5	−2.8	−0.6	−2.1	−1.8	−1.2	720.6	721.6	721.5	71	61	81	W 1	SW 2	W 1	10	9	4	6.1	15
6	0.4	2.6	3.5	2.2	2.9	717.3	717.7	716.1	98	93	97	SW 3	SW 3	WSW 2	10●*	10●	10●	15.1	● ✳ 3¾ 7½, ● 7½ n, *) 15
7	4.7	4.2	4.4	4.4	5.1	713.7	710.6	711.9	88	91	78	SW 3	SW 3	WSW 2	10●	10●	10	**16.7**	● ⛈ n-n mU, ⛈ 13
8	1.1	0.7	0.4	0.7	1.4	709.5	711.4	715.6	82	87	63	W 2	SW 1	NW 1	10*	10*	10*	1.4	✳ n-8, fl 8-n, ⛈ n-1¾ 1
9	−2.0	0.0	−3.0	−1.7	−1.0	716.4	714.9	711.6	68	82	98	NW 1	SW 2	SW 2	9	9	10	12.2	✳ 10¾, 12, 18¾-n mU, ⛈ 18½ 1
10	−1.7	−0.2	−1.7	−1.2	−0.5	713.0	716.4	716.2	76	55	77	W 2	SW 2	SW 2	10*	8	10	6.1	✳ n-8, 22¾-n, ⛈ n-n mU 12
11	−3.7	−0.7	−2.0	−2.1	−1.4	716.5	715.7	714.1	77	59	66	WSW 2	SW 2	W 2	10	2	3	3.5	✳ n-5¾, ⛈ n-n mU 18
12	−2.2	−0.3	−2.6	−1.7	−1.0	711.8	713.0	712.2	97	65	57	SW 3	WSW 2	W 2	10*	10	3	4.3	✳ 2¾-10¾, ⛈ n-n mU, ⛈ 4¾ 20
13	−3.4	−1.1	−1.1	−1.9	−1.2	713.3	713.3	712.2	96	71	67	SW 3	WSW 2	SW 1	10*	10	10	2.3	✳ 1¾-10½, ⛈ n-16½, ⛈ 6¾ 18
14	−1.6	0.1	4.0	0.8	1.5	711.6	710.3	**707.4**	97	96	97	SW 1	SW 0	WSW 2	10*	10*	10●	13.8	✳ 4½-14 mU, ● 16½-n, *) 13
15	5.8	6.1	3.7	5.2	5.8	710.9	712.0	711.1	66	66	87	SW 2	WSW 2	WSW 1	5	10	10●	2.7	● n-5¾, 11¾-11¾, 20-20¼, *)
16	1.4	1.8	−2.2	0.3	0.9	712.1	718.5	724.3	64	**48**	55	NNW 3	NNE 1	N 2	10	2	1	.	● 2¾-5½, ⛈ 6½-8½, 14-23½, *)
17	−6.2	−0.4	−4.8	−3.8	−3.2	728.4	728.5	728.4	81	58	79	NNW 1	NE 1	ENE 1	0	0	0	.	
18	**−7.3**	−1.8	−0.6	−3.2	−2.6	726.2	725.0	724.7	93	72	76	ENE 0	ENE 1	ENE 1	0	2	10	.	
19	−3.6	1.3	1.1	−0.4	0.1	723.0	720.7	718.8	96	81	86	NE 0	E 1	SSW 1	6	9	10	.	
20	−0.2	4.1	5.0	3.0	3.5	716.6	712.4	710.6	93	68	60	ESE 1	E 1	E 1	4	10	10	4.1	
21	4.7	8.0	2.8	5.2	5.7	713.9	714.1	713.7	93	71	96	SW 2	SW 2	NNE 1	10●	8	3	0.1	● 0-8, ⛈ 9
22	0.3	6.3	**10.3**	5.6	6.0	713.4	713.1	714.6	98	72	54	NNE 0	W 1	WSW 2	10≡	7	10	1.8	≡ n-12½, ⛈ 20
23	6.7	7.9	7.1	7.2	7.6	716.7	720.7	720.0	89	69	65	SW 2	SW 2	WSW 2	10●	9	10	3.8	● 5¼ 10¾, ⛈ n-n mU, ⛈ 8½
24	5.0	3.7	1.1	3.3	3.6	720.3	724.8	724.9	82	81	66	W 1	ESE 1	NE 2	10●	10	10	0.3	● 5½ 8¾, ⛈ n 9 mU, ⛈ 8½
25	−2.0	2.9	−0.1	0.3	0.6	727.4	728.3	730.1	80	57	61	NNE 1	ENE 2	NE 2	4	2	0	.	
26	−1.8	2.2	−0.4	0.0	0.2	730.5	730.4	730.8	84	54	63	NE 2	NE 3	NE 2	3	2	0	.	⛈ n-n mU, ⛈ 13½
27	−4.2	1.6	0.0	−0.9	−0.7	**732.1**	731.3	729.8	82	60	66	NE 0	ESE 1	ENE 1	0	0	0	.	
28	−1.9	3.0	−1.6	−0.2	−0.1	728.5	728.6	728.9	82	62	84	NE 1	SSE 1	S 0	0	0	0	.	
29	−4.4	−2.4	−3.4	−3.4	−3.3	727.7	727.0	726.3	98	97	100	S 0	SE 1	ESE 1	10	10≡	10≡	.	≡ ⋁n-n mU
30	−3.9	−2.8	−2.3	−3.0	−3.0	724.9	723.7	723.5	98	97	99	ESE 0	ESE 1	ESE 1	10≡	10≡	10≡	.	≡ ⋁n-n
31	−2.4	−1.6	−2.1	−2.0	−2.0	722.3	722.3	722.4	96	92	81	SW 1	SE 1	NE 3	10≡	10≡	0	.	≡ n-20, ⋁n-n, ⛈ 20 n
																		Summe	
Mittel	−0.5	1.9	0.5	0.6	—	718.8	718.9	719.1	85	72	76				7.5	7.3	6.5	116.9	

*) 6. ⛈ n n, ⛆ 10½ 14. ⛈ 22 n 15. ⛈ n n mU, ⛈ 5¾ 16. ⛈ 7¾

Januar 1959
Beobachter: *Eidg. Armeemagazine*

Altdorf

$\lambda = 8° 38'$, $\beta = 46° 52'$,
$H_b = 450.7$ m, $G = -0.08$ mm

Tag	Lufttemperatur 7³⁰	13³⁰	21³⁰	Mittel	Abweich. vom Normalst	Luftdruck 7³⁰	13³⁰	21³⁰	Relative Feuchtigkeit 7³⁰	13³⁰	21³⁰	Windrichtung und Stärke 7³⁰	13³⁰	21³⁰	Bewölkung 7³⁰	13³⁰	21³⁰	Niederschlag	Witterung
1	−0.6	4.2	2.8	2.1	1.9	725.7	727.2	727.0	76	95	99	SSW 0	NW 1	SSE 0	7	10●	8	0.2	▽ p mU, ⌙ I
2	−1.4	4.8	3.2	2.2	2.0	722.1	718.2	715.7	97	73	90	S 0	SE 0	NNW 1	0	4	10●	3.5	● ✳ p–n mU, ⌙ I
3	−0.4	1.0	0.6	0.4	0.3	713.3	715.4	716.9	98	90	90	SSE 0	N 1	W 2	10	10*	10	5.1	✳ a–p, fl p–n mU, ∼ I
4	0.6	2.2	−1.4	0.5	0.4	714.4	**709.4**	719.4	98	58	65	SE 2	SE 4	NNE 1	10	10*	10	7.0	✳ fl n–a, ▽ a–p mU, ⸗ a–p 6
5	−4.4	0.0	−6.0	−3.5	−3.6	723.2	724.3	725.6	91	63	88	S 1	S 0	SE 0	10	6	0	.	14
6	0.8	2.0	1.8	1.0	0.9	719.8	719.8	719.4	90	100	100	SE 0	W 0	SSE 0	10	10●	10	**25.2**	● a–n mU 11
7	3.2	4.8	3.4	3.8	3.7	716.2	713.0	714.3	98	90	98	SSE 1	SE 1	SE 1	10	10	10	9.1	● tr abd ● ✳ n (7./8.), ∼ I 3
8	0.8	1.6	0.2	0.9	0.8	710.0	713.8	717.1	95	72	71	N 3	N 3	NNE 2	10●	10	10	6.5	● ✳ n-a, ▽ fl a-n mU, ⸗ n-n 1
9	−0.2	0.4	−0.8	−0.2	−0.3	718.4	717.2	713.0	68	63	66	N 2	NW 1	SE 0	10	9	10	1.8	✳ n (9./10.) 4
10	−0.2	0.0	−3.0	−1.1	−1.2	713.3	717.2	718.7	71	65	95	N 3	N 3	S 1	10*	10*	10*	2.5	▽ n–n mU, ⸗ n–p 6
11	−2.8	−1.4	−5.2	−3.1	−3.2	717.7	718.6	717.1	100	67	77	NW 1	SSW 1	N 0	10*	10*	1	.	▽ n–p mU 6
12	−2.8	−1.4	−5.0	−3.1	−3.3	714.2	715.2	715.4	69	92	75	SE 0	SE 0	SE 0	10	10*	0	1.6	✳ a–p mU 5
13	−2.8	0.6	−1.4	−1.2	−1.4	715.2	715.8	715.3	81	65	81	S 1	E 1	SE 1	10	9	4	2.5	▽ p–n mU 7
14	1.8	1.2	0.4	0.1	0.3	714.9	713.5	710.4	100	83	100	S 0	SE 0	NW 0	10	10	10	6.9	✳ n–p mU, ● p n mU 9
15	4.2	6.4	3.0	4.5	4.3	712.3	714.4	714.3	84	61	84	SW 1	N 0	S 0	10	10	10	3.2	● ✳ n–a mU 6
16	1.2	−0.4	−1.2	−0.1	−0.3	714.5	720.2	726.6	93	90	75	NW 3	NW 3	NNW 3	10	10*	9	0.1	✳ fl a ▽ 13½, ∼ I, ⸗ n–n 4
17	5.4	0.6	−6.2	−3.7	−3.9	731.3	732.4	731.7	61	45	83	E 2	SE 0	SE 0	10	0	0	.	∼ I, III 3
18	**−7.8**	0.0	−1.0	−2.9	−3.2	729.6	727.9	728.0	92	63	84	SE 1	N 0	SSE 0	0	0	7	.	∼ I, III 2
19	2.0	3.8	13.2	5.0	4.7	726.0	723.2	720.2	98	80	**25**	SSE 1	NW 0	SSE 3	2	10	10	.	∼ I, ⸗ p–n 2
20	11.0	12.8	11.2	11.7	11.4	720.2	716.6	715.9	37	34	36	SSE 4	SSE 5	SSE 3	2	7	1	.	⸗ n–n
21	6.6	11.6	13.0	10.4	10.1	716.9	716.6	716.0	80	55	37	NW 2	N 1	SSE 4	10	2	5	7.2	⸗ p–n
22	13.0	**14.8**	14.0	13.9	13.5	715.7	715.5	717.3	40	35	35	SE 4	SE 5	SE 3	10	9	5	14.3	⸗ n–n
23	8.8	7.4	3.6	6.6	6.2	719.3	723.7	722.7	74	97	95	N 1	N 0	SSE 0	10	10	10	.	● tr a–p, n (23./24.)
24	4.2	1.6	0.6	2.1	1.7	721.5	728.3	728.2	100	100	97	S 0	NW 0	NW 0	10	10*	10	.	● tr a, ✳ a–n mU
25	−1.8	1.6	−3.2	−1.1	−1.6	730.6	731.5	733.9	69	68	80	ESE 1	WNW 1	SE 0	8	1	1	.	⌙ III
26	−4.2	1.1	−3.6	−2.2	−2.7	734.6	734.3	734.8	80	57	88	SE 0	NW 1	SSE 0	0	1	0	.	⌙ I, III
27	−5.0	0.8	−3.0	−2.4	−3.0	**735.1**	734.7	733.3	96	78	99	SE 1	NNW 1	S 0	1	1	0	.	⌙ I, III
28	−2.2	−0.8	−1.4	−1.5	−2.1	732.0	731.5	732.4	99	97	96	S 0	S 0	E 0	10	10	2	.	≡ p–n mU, ⌙ I
29	−3.2	−1.0	−2.4	−2.2	−2.9	731.0	730.4	729.4	100	100	100	SSE 1	SSE 0	SE 0	10≡	10	10≡	.	≡ n–n mU, ⌙ I
30	−3.0	−1.2	−2.2	−2.1	−2.8	727.9	726.8	726.4	100	100	100	SSE 1	E 0	S 1	10≡	10≡	10≡	.	≡ n–n ⌙ I
31	−3.4	−1.2	−1.2	−1.9	−2.7	725.6	726.5	726.2	100	100	100	SSE 1	S 0	S 0	10≡	10≡	10	0.0	≡ n–p, ⌙ I
																		Summe	
Mittel	−0.1	2.5	0.7	1.0	—	721.4	721.7	722.0	85	75	81				8.1	7.7	6.5	96.7	

Januar 1959
Beobachter: *Observatoire*

Genève

$\lambda = 6° 09'$, $\beta = 46° 12'$,
$H_b = 405.0$ m, $G = -0.05$ mm

1	7.0	8.2	3.1	6.1	5.8	730.7	731.1	731.3	69	77	95	SW 1	ENE 0	N 1	10	9	1	0.2	● 8 10 mU
2	0.2	5.3	4.1	3.2	2.9	727.6	724.4	722.5	92	71	71	S 1	SW 2	SSW 3	1	9	10●	5.8	● 17¾ 20, 21¼–24 mU, ⸗ p-n
3	2.3	4.0	0.8	2.4	2.1	719.7	720.4	722.9	91	68	96	S 2	SW 1	E 1	10**	8	10*	4.0	● 3¾–6¾ mU, ● ✳ 7–8½, *)
4	1.8	3.5	−1.0	1.4	1.2	720.7	717.4	725.2	76	72	60	S 2	SW 1	N 1	10	7*	1	2.6	✳ 8¾–14¾
5	−4.2	0.3	−2.3	−2.1	−2.3	728.9	729.6	729.5	78	59	76	WNW 1	S 1	N 1	9	5	3	4.7	
6	−0.3	3.8	3.2	2.2	2.0	727.0	726.6	723.5	98	93	98	SW 1	NNE 1	N 1	10●*	10●	10	**13.7**	✳ 3–7½, ● ✳ 7½–14¾, *) 5
7	7.1	5.8	5.7	6.2	6.0	723.0	719.6	720.9	76	89	79	SW 1	S 1	SSW 2	10●	10●	9	9.5	● 0¾ 3½, 7½–7¾, 11–23¾ mU
8	4.3	2.1	0.4	2.3	2.1	719.0	720.0	723.6	55	85	80	NW 1	SSE 1	NNW 1	9	9	9*	2.9	● 4–5¾, ✳ 10¾–12¾, *)
9	1.5	2.1	0.7	0.0	−0.2	724.4	723.4	719.7	84	64	88	S 1	S 1	SSW 2	10	6	10*	2.0	✳ 20 21¾, 23¾ n 1
10	−0.5	1.2	−1.2	−0.2	−0.4	722.3	724.6	723.2	80	49	66	W 1	WNW 1	S 1	10	4	9	0.2	✳ n–8½ mU, 9¾–10¾ 5
11	−1.6	1.8	−1.1	−0.3	−0.5	725.2	724.6	723.2	74	52	62	SSW 3	S 1	S 1	9	3	3	.	⸗ n–a 3
12	−1.1	0.1	−2.9	−1.3	−1.5	720.9	721.2	722.1	79	72	81	NNW 1	SSW 1	WNW 1	10	8*	4	0.1	✳ a–p 2
13	−0.5	0.5	−0.2	−0.1	−0.3	722.0	721.8	720.7	66	60	65	ENE 1	NNE 1	W 1	10	10	10	1.5	1
14	0.8	3.5	6.3	3.5	3.3	719.1	718.3	**716.5**	96	91	90	SE 1	W 1	SSW 2	10	10●	10	9.6	✳ 0 7, ● 12¾–n mU 4
15	8.2	10.0	7.7	8.6	8.3	720.5	719.7	719.4	58	48	78	S 2	WSW 2	SSE 1	9	7	8	1.4	● n–1½ mU, 22–22¾
16	3.8	2.2	−0.8	1.7	1.4	719.3	724.6	731.7	94	65	58	SE 1	NNE 3	NNE 3	10	4	1	.	● 7–7¾, ⸗ a–n
17	2.3	0.3	2.0	1.5	1.8	734.9	735.5	735.8	73	62	70	NNE 3	NNE 2	NNE 1	1	0	1	.	⸗ n a
18	**−5.9**	−0.1	1.3	−1.6	−1.9	734.0	731.6	732.4	88	69	70	S 1	NW 1	NE 0	0	3	10	.	
19	−2.3	2.9	6.2	2.3	1.9	730.3	728.0	726.6	90	67	75	S 1	SW 1	SSW 1	5≡	9	3	.	≡ n–a
20	4.1	9.4	9.7	7.7	7.3	724.0	720.0	718.6	70	**41**	48	NNE 1	SW 1	S 3	9	10	10	5.5	● 20¾ ● mU, ⸗ p–n
21	7.5	9.5	6.2	7.7	7.3	721.9	722.0	721.1	77	80	86	S 3	SW 1	NE 1	9	6	5	.	● n–7½ mU, ⸗ n–a
22	9.7	**14.1**	11.0	11.6	11.1	720.8	720.5	722.6	62	50	63	SW 1	S 2	SSW 3	8	10	4	3.1	⸗ p n
23	13.1	12.5	9.1	11.6	11.1	725.0	728.8	728.0	89	58	73	SW 1	S 2	NW 1	10	5	9	3.3	● 2¾ 5¾, 7–10¾ mU
24	9.0	3.8	3.5	5.4	4.8	727.3	731.7	731.6	86	94	64	W 1	N 1	NNE 0	10	10●	10	2.8	● 7½ 15 mU
25	0.6	3.5	1.1	1.7	1.1	734.4	735.4	736.3	81	63	65	NE 3	NE 2	NE 2	2	1	1	.	⸗ n–n mU
26	−1.4	1.4	0.4	0.1	−0.6	737.1	737.3	737.8	76	66	75	NE 1	NNE 2	NNE 2	2	2	1	.	
27	1.5	0.9	1.2	0.2	−0.5	**739.1**	738.2	736.8	88	79	75	ENE 1	NNE 1	NE 1	8	1	0	.	
28	−2.0	3.3	0.3	0.5	−0.3	735.3	736.3	736.2	93	66	91	SSW 1	NE 1	NE 1	3≡	1	3	.	≡ n–a, ⌙ I, III
29	−3.7	−0.6	−0.3	−1.5	−2.3	735.1	734.2	733.3	97	97	98	E 0	S 1	ESE 1	2≡	10≡	10≡	.	≡ n–n, ⌙ I
30	−1.7	−0.8	−0.9	−1.1	−2.0	732.1	730.9	730.9	99	94	97	E 1	SE 1	E 1	10≡	10≡	10≡	.	≡ n–n
31	3.5	1.7	0.1	1.8	2.8	729.8	729.4	729.4	100	96	86	SE 1	NW 1	NE 1	10≡	10≡	9≡	.	≡ n n [*) 3. ✳ 21 23
																		Summe	6. ● 15–21¼ mU
Mittel	1.5	3.6	2.2	2.4	—	726.8	726.7	726.9	82	71	77				7.6	6.7	6.3	72.9	8. 17¾ 18¾, 21½–22¾]

$\lambda = 8°\,34'$, $\beta = 47°\,23'$,
$H_b = 569.4$ m, G = –0.01 mm

Zürich

Januar 1959
Beobachter: *Meteorologische Zentralanstalt*

Tag	Lufttemperatur 7³⁰	13³⁰	21³⁰	Mittel	Abweich. vom Normalst	Luftdruck 7³⁰	13³⁰	21³⁰	Relative Feuchtigkeit 7³⁰	13³⁰	21³⁰	Windrichtung und Stärke 7³⁰	13³⁰	21³⁰	Bewölkung 7³⁰	13³⁰	21³⁰	Niederschlag	Witterung
1	6.9	4.6	0.9	4.1	5.7	714.6	716.4	716.1	66	87	94	WSW 2	S 1	SSE 1	9	9	0	1.3	● 8¾ 12¼, tr 12¼ p mU, ⌙ III
2	–0.5	4.4	3.2	2.4	4.0	711.2	706.5	704.4	96	61	76	SSW 1	SSW 2	SSW 2	8	9	10	1.3	● tr p, 19¾–20¾, ⌙ I, II, ⌿ a
3	1.3	0.5	0.1	0.6	2.2	702.7	704.8	706.5	84	84	89	SW 1	W 2	SW 1	10	9	10	4.1	✳ 9–13¼, fl 16½, fl abd, *)
4	0.3	0.7	3.5	1.5	0.2	702.6	**698.8**	708.7	76	93	81	SW 2	S 1	SW 1	10	10*	7	14.0	⊹ 6½ 7, 11¾ 24 mU, *) 1
5	–2.5	–0.8	–3.2	–2.2	–0.5	711.8	713.4	713.5	54	57	78	SW 2	SW 2	S 1	10	10	0	1.6	✳ fl a, 14-16¾, ⌿ n-14½ mU 11
6	–1.9	2.6	2.2	1.0	2.7	708.2	708.5	708.1	97	90	97	SSW 2	SW 2	SSW 1	10*=	10●	10=●	**34.1**	✳ 7¼ 9¾, ● 9¾ 22¾, *) 10
7	5.9	7.1	4.7	5.9	7.6	704.6	702.1	702.8	63	61	70	SW 3	SSW 2	SW 2	7	6	10	3.4	● 0-4¾ mU, 15¾-20, ⌿ 2-n mU 3
8	0.0	0.6	–1.6	–0.3	1.5	699.9	702.6	706.8	97	76	91	WSW 2	W 2	SW 1	10*	9	10*	2.0	✳ 5½–8¾, fl a-p mU, *) 1
9	–2.4	–1.2	–2.3	–2.0	–0.2	707.9	706.4	702.1	81	70	82	SW 1	SSW 2	SSW 2	10	9	10*	4.4	✳ fl a-n mU, ⌿ 16–n mU, ⌙ I 3
10	–2.4	–2.1	–4.2	–2.9	–1.1	703.2	706.8	707.3	81	78	92	WSW 2	WSW 2	SSW 2	10	9	10*	9.7	✳ 4¾–14½, 21½, 23¾–n, *) 8
11	–5.3	–2.5	–2.5	–3.4	–1.6	707.6	707.4	705.5	83	52	56	W 2	SSW 2	SSW 2	10*	9	9	0.5	✳ n–1, 3¾–a mU, ⌿ n 1¾ *) 23
12	3.1	0.2	2.9	2.1	0.3	703.6	704.1	704.0	90	61	57	WSW 2	SW 2	SSW 2	10+	9	9	1.9	✳ 7¼ 13¼, fl p, ⌿ n 1¾, *) 16
13	3.1	0.0	2.0	1.7	0.1	704.0	704.7	704.4	80	67	67	SW 2	WSW 2	WSW 1	10+	10	4	1.3	✳ fl a, ⌿ n 17¼ mU 16
14	–2.2	1.3	0.5	–0.1	1.7	703.9	702.4	699.8	93	81	97	S 1	SSW 1	SSW 0	10+	10*	10●=	20.2	✳ 3 9, fl a p mU, *) 17
15	5.0	5.4	2.9	4.4	6.2	701.8	704.1	702.9	68	66	85	WSW 3	SW 2	S 1	10	10	10	4.5	● n–1, 6¾–6¾, tr a, *) 8
16	–2.5	–1.1	–5.3	–3.0	–1.2	705.7	710.8	716.9	92	75	85	N 1	NNE 1	N 1	10*	10*	9*	0.4	✳ 2–13¾ mU, fl 21½ 8
17	–5.6	0.4	–6.9	–4.0	–2.2	720.6	720.6	720.5	84	50	87	WNW 0	SW 1	SE 1	10	1	0	.	⌙ I 8
18	**–7.8**	–0.7	–1.5	–3.3	–1.6	718.2	716.7	717.2	96	60	74	SSE 1	SSW 1	NW 1	10	8	10	.	≡ n 9½ mU, ⌙ I 7
19	–3.3	4.2	1.0	0.6	2.3	715.0	712.5	710.5	85	51	81	E 0	SSW 1	WSW 0	5	10	9	.	⌙ I 7
20	1.9	10.0	8.5	6.8	8.5	708.4	704.2	703.7	70	**38**	42	N 1	WNW 1	SW 1	4	9	10	9.4	6
21	4.1	8.9	3.7	5.6	7.3	706.1	706.5	706.2	88	62	80	SSW 2	SW 2	WSW 1	10	6	3	0.5	● 4-9½ mU, ⌿ 1½-6¾, 11½-12 2
22	3.1	**10.2**	8.7	7.3	9.0	705.2	705.2	707.3	70	48	56	NE 1	WSW 1	SSW 1	9	6	10	0.7	⌿ 23¼ –n, ⌙ I, ⌓ II
23	6.2	7.3	3.5	5.7	7.3	709.0	712.4	711.7	83	75	96	WSW 1	SSW 2	SW 1	10●	9	10	16.0	● 7¼-12¼, ⌿ n-5, 9¼-17¾ mU, 23½-n
24	3.3	3.5	1.0	1.9	3.5	712.2	717.1	717.7	88	68	94	NW 1	SSW 1	S 0	10●	9	9	4.5	● 5¼ 10, 11–12, ⌿ n 8½ mU
25	–3.0	2.4	–2.2	–0.9	0.7	719.9	720.7	722.8	96	63	81	S 0	ENE 1	SW 0	10	3	5	0.0	⌙ I, III, ⌓ II
26	–4.3	2.3	–2.3	–1.4	0.2	723.6	723.5	**724.1**	93	58	81	NE 1	NE 2	NNE 2	2	2	0	0.0	⌙ I, III, ⌓ II
27	–5.4	2.6	–1.9	–1.6	–0.1	724.0	723.5	722.3	87	47	79	NE 1	NE 1	NNE 1	0	1	1	0.0	⌙ I, III, ⌓ II
28	–5.1	2.5	–2.3	–1.6	–0.1	720.9	720.3	721.4	94	58	91	ENE 1	NNE 1	SE 1	0	0	0	0.0	⌙ I, III, ⌓ II
29	–4.7	–2.2	–3.8	–3.6	–2.1	719.7	719.3	718.7	97	90	97	ENE 1	SSE 1	E 0	10≡	10≡	10≡	0.0	≡ ⋁ n–n
30	–4.9	–2.7	–3.1	–3.6	–2.2	716.8	715.6	715.5	95	96	97	E 1	SSW 0	SE 1	10	10	10≡	0.0	≡ n–n mU ⋁, n–p
31	–4.6	–2.6	–2.9	–3.4	–2.0	714.5	715.0	715.9	95	97	94	SSE 0	ENE 1	NNE 1	10≡	10	10	0.0	≡ n–a, ⋁n–p
Mittel	–1.2	2.1	–0.5	0.1	—	710.6	710.7	711.1	85	68	81				8.5	7.8	7.3	Summe 135.8	

*) 3. ⌙ I, ⌿ n–6 4. ⌿ 7–8½ mU, 15¾–n mU, ⌅ 6. ≡ n–n mU, ⌿ 10½-15½ mU 8. 17½–24 mU, ⌿ n–6¾ 10. ⌿ n–3¾, 14¼–n mU

$\lambda = 6°\,32'$, $\beta = 46°\,51'$,
$H_b = 1601$ m, G = –0.16 mm

Chasseron

Januar 1959
Beobachter: *J. Liardon*

1	–1.0	–2.8	–5.8	–3.2	—	630.6	631.2	631.1	100	100	100	WNW 4	NW 2	SSE 2	10≡*	8	4	.	✳ 4–7½, ≡ n–18 mU, ⌿ n-a 7
2	–6.4	2.4	5.8	–4.9	—	626.3	623.5	619.8	100	82	100	W 4	W 5	WNW 6	2	8	10≡*	18.3	✳ 15-n, ≡ 15¾-n, ⊹ p-n, *) 7
3	–5.4	–6.8	–7.0	–6.4	—	618.3	620.7	621.5	100	100	100	W 4	NW 3	W 3	10≡*	10≡*	10=*	16.2	✳ ≡ n–n, ⌿ n–a 22
4	7.2	6.0	11.0	8.1	—	618.5	**615.1**	621.8	100	100	100	WNW 4	WNW 6	WNW 3	10=*	10=*	10≡	21.0	⊹ n-18, ≡ n n, ⌿ n p, ⌿ 11½-13 30
5	–10.4	–7.0	–8.8	–8.7	—	625.7	626.9	627.4	100	100	100	W 3	WNW 3	S 3	10≡*	10≡	4	14.3	✳ n–11½, ≡ n–p 40
6	2.2	1.2	0.2	1.2	—	624.8	625.2	624.7	100	100	100	W 4	W 5	W 5	10=*	10=*	10=●	36.8	⊹ n-p, ● p-n, III n-n, *) 40
7	1.8	1.8	3.0	2.2	—	621.7	618.4	618.7	100	100	100	W 5	W 6	W 6	10=*	10*	10=*	38.0	✳ ≡ n-n mU, ∼ II, ⌿ ⊹ n-n 40
8	–7.0	–7.5	–8.0	–7.5	—	616.9	618.0	621.1	100	100	100	NW 5	NW 4	WNW 4	10=*	10	10=*	13.4	✳ ≡ ⌿ n-n mU 60
9	9.8	9.0	8.8	9.2	—	622.1	621.0	617.4	100	100	100	N 2	WNW 2	WNW 5	10≡	10=*	10=*	18.0	⊹ 11-n, ≡ n-n, \ a, ⌿ ⊹ p-n 65
10	9.6	9.4	10.4	9.8	—	618.9	621.4	621.3	100	100	100	WNW 5	WNW 4	WNW 4	10=*	10=*	10=*	24.4	⊹ ≡ ⌿ ⊹ n-n, ⌿ I 75
11	10.6	9.2	10.4	10.1	—	621.3	621.5	619.9	100	100	100	W 2	WSW 2	W 3	10=	6	10=	9.6	⊹ 10, n (11./12.), n-n mU, ⊹ III 79
12	9.4	8.8	11.0	9.7	—	618.2	618.6	618.8	100	100	100	W 4	W N W 3	W 4	10=*	10=*	10*=	12.0	⊹ ≡ \ n-n, ⌿ ⊹ p-n 80
13	10.4	8.8	9.0	9.4	—	618.5	619.9	619.5	100	100	100	W 4	NW 4	SW 3	10=*	10=*	10	20.8	⊹ n–14¾, ≡ ⌿ n-n mU 83
14	–4.6	1.0	–0.2	–1.9	—	618.5	618.5	617.0	100	100	100	W 3	W 3	W 5	10=*	10=*	10=●*	**38.4**	⊹ n-p, ⊹● p-n, ≡ n-n, ⌿ 20-n 87
15	–2.3	–2.0	–2.6	–2.3	—	619.1	621.0	619.7	100	100	100	NW 6	SW 4	W 3	10=*	8	10*=	15.4	✳ n-11, 17¼-n, ≡ n-12¾, *) 87
16	–3.3	–6.4	**–13.0**	–7.6	—	620.0	624.4	627.7	100	100	100	NW 3	NNW 3	NE 2	10=*	10=	7=	.	✳ n–12½, ≡ n-n mU 92
17	–11.6	–9.2	–10.8	–10.5	—	631.5	632.5	632.4	100	100	100	NE 3	E 2	E 2	0	3	4	.	88
18	–7.0	–3.2	1.0	–3.1	—	631.3	631.3	631.8	61	41	35	SW 2	W 4	W 5	5	8	10	.	⌿ a-n 85
19	0.2	3.0	5.0	2.7	—	630.0	628.5	627.9	31	55	57	S 4	S 4	S 4	3	8	7	.	⌿ n-p, ⌿ p-n 80
20	3.8	5.2	3.5	4.2	—	624.4	621.6	619.4	42	36	52	S 6	S 6	S 5	7	8	10	7.4	⌿ n-n 78
21	–1.4	–0.6	3.0	0.3	—	621.9	622.6	622.5	100	100	72	W 4	W 4	WSW 4	10	8	6	.	⌿ n-n 75
22	3.5	4.2	3.0	3.6	—	622.5	622.8	624.6	62	49	60	WSW 4	SW 4	WSW 4	7	6	6	2.2	✳ n (22./23.), ⌿ n-n 60
23	0.1	1.0	0.8	0.6	—	625.6	628.8	628.3	100	100	100	W 4	W 4	W 3	10*=	10=	5	22.0	⊹ 12¾-n mU, ≡ n-15, ⌿ n-p 58
24	–1.2	–6.8	–6.4	–4.8	—	627.5	630.7	630.8	100	100	35	WSW 4	NNE 2	E 2	10≡	7	10	2.2	✳ n-12 mU, ≡ n-12½, ⌿ n-a 66
25	–8.8	–8.0	–9.8	–8.9	—	632.2	633.2	634.1	72	97	96	E 2	E 2	E 2	2	3	2	.	66
26	–9.4	–6.8	–4.3	–6.8	—	634.1	634.8	635.5	86	61	18	E 3	E 3	E 3	3	3	2	.	66
27	–2.4	2.0	1.0	0.2	—	635.9	**636.7**	636.1	15	**12**	14	E 4	E 3	E 2	2	2	2	.	⌿ n-a 60
28	2.8	3.0	1.0	2.3	—	635.3	635.0	635.1	30	28	23	E 2	E 2	E 3	0	0	0	.	58
29	4.8	7.0	4.6	5.5	—	634.8	634.2	633.5	14	16	15	SW 1	WSW 1	S 2	0	0	0	.	55
30	5.6	**7.8**	5.0	6.1	—	631.7	631.3	631.1	13	**12**	13	E 2	E 1	C 0	0	0	0	.	54
31	2.4	2.0	–3.0	0.5	—	629.7	629.9	628.7	18	24	48	C 0	C 0	E 3	0	0	0	.	50
Mittel	–3.9	–2.9	–4.0	–3.6	—	625.4	625.8	625.8	79	78	75				6.8	7.0	6.7	Summe 330.4	

*) *Zürich:* 11. 10¾ n mU 12. 4¾ 9 mU, 12½ n mU 14. ✳ ● 15¾ n, ≡ 17 n 15. ⌿ 0¾ 15¾ mU
*) *Chasseron:* 2. ⌿ n–a, ⌿ a-p 6. ∼ II, ⌿ n-n mU 15. 17½ n, ⌿ n-p

Januar 1959
Beobachter: *Stationspersonal Rh. B.*

Bever

$\lambda = 9° 53'$, $\beta = 46° 33'$,
$H_b = 1711.8$ m, $G = -0.26$ mm

Tag	Lufttemperatur 7³⁰	13³⁰	21³⁰	Mittel	Abweich. vom Normalst	Luftdruck 7³⁰	13³⁰	21³⁰	Relative Feuchtigkeit 7³⁰	13³⁰	21³⁰	Windrichtung und Stärke 7³⁰	13³⁰	21³⁰	Bewölkung 7³⁰	13³⁰	21³⁰	Niederschlag	Witterung	
1	-12.0	-4.1	-8.4	-8.2	1.4	622.2	621.1	621.4	90	64	92	SW 0	SW 0	SW 0	2	10	4	.		77
2	-15.8	-2.5	-5.4	-7.9	1.7	619.0	615.4	611.8	92	62	84	SW 0	SW 0	SW 0	9	8	10	1.5	✳ n (2./3.)	77
3	-11.4	-6.0	-11.8	-9.7	0.0	611.7	608.3	611.4	95	69	73	SW 0	SW 0	SW 0	7	6	3	0.5	✳ 15–17 mU	79
4	-18.8	-8.0	-11.0	-12.6	-2.9	615.3	607.1	610.0	93	75	90	SW 0	SW 0	SW 0	2	10	10	1.6	✳ 19–n mU	79
5	-13.8	-12.6	-21.4	-15.9	-6.2	615.6	616.9	619.3	71	49	91	SW 0	SW 0	SW 0	10	7	1	0.0	✳ fl n (5./6.)	79
6	-12.0	-5.8	-6.0	-7.9	1.9	618.1	617.5	617.1	84	81	92	NW 0	SW 0	SW 0	10	10	4	2.1	✳ fl 6–8, 15–n mU	78
7	-1.8	0.3	-6.0	-2.5	7.3	613.6	611.7	610.4	91	65	91	SW 0	SW 0	SW 0	10*	10	10	0.2	✳ n 8½	78
8	-12.0	-6.4	-9.2	-9.2	0.6	**606.1**	606.5	608.3	95	65	75	SE 0	NE 1	SE 2	10	10	10	**4.5**	✳ 8½–12, ⫩ 12–n mU	78
9	-10.2	-8.6	-18.0	-12.3	-2.5	610.5	609.4	608.4	62	55	92	NE 0	NE 0	E 0	10	10	10	2.8	✳ n (9./10.)	78
10	-13.8	-10.0	-14.0	-12.6	-2.7	610.8	609.0	611.4	90	84	85	SW 0	NE 0	SW 0	10	10	10	0.8	✳ 5–a mU	78
11	-12.7	-8.8	-22.4	-14.6	-4.7	613.5	608.5	618.0	82	46	92	SW 0	W 0	SW 0	10	8	0	.		78
12	**-26.6**	-9.0	-22.0	-19.2	-9.3	609.9	609.1	609.7	87	51	88	SW 2	SW 0	SW 0	2	6	2	.	V I	78
13	-18.2	-5.5	-15.5	-13.1	-3.2	609.3	610.2	610.5	84	42	81	SW 0	SW 0	SW 0	7	6	10	.		78
14	-12.6	-6.6	-5.4	-8.2	1.6	610.6	611.5	610.3	86	60	83	SW 0	E 0	SW 0	10	10	7	0.1	✳ 20–20½	78
15	-2.3	-0.7	-9.2	-4.1	5.7	609.5	611.1	611.6	79	50	86	SW 0	SW 0	SW 0	10	10	3	.	✳ 5–5¾	78
16	-16.4	-5.5	-10.8	-11.2	-1.4	609.9	610.7	617.2	96	74	74	SW 0	NE 0	N 1	10	10	8	0.1	✳ 10½–17 mU, ⸗ a-p mU	78
17	-19.6	-10.0	21.8	-17.1	-7.3	621.1	622.3	624.2	75	57	85	SW 0	SE 0	SW 0	0	0	0	.		77
18	-22.2	-6.0	-9.2	-12.5	-2.8	623.5	623.5	623.4	90	50	80	SW 0	SW 0	SW 0	1	3	8	.		77
19	-12.8	0.8	-4.8	-5.6	4.1	623.5	622.7	622.7	98	54	78	SW 0	SW 0	SW 0	1	10	10	.		77
20	-4.0	0.0	-2.3	-2.1	7.6	622.8	620.2	616.2	77	70	88	SW 0	SW 0	SW 1	10	10	10	0.2	✳ n (20./21)	77
21	-2.0	0.5	-0.5	-0.7	8.9	616.7	616.7	617.5	92	76	84	SW 2	SW 1	SW 0	10	9	8	0.6	✳ n–10 mU, n (21./22.)	77
22	-0.4	1.3	0.6	0.5	10.1	617.9	617.6	618.7	94	86	84	W 1	SW 1	W 0	10•*	10	10	0.1	✳ n-p mU	77
23	-0.4	1.3	-8.5	-2.5	7.0	618.3	618.8	621.7	96	82	90	W 0	SW 0	SW 0	10*	10	2	0.2	✳ 7½, 10½–12	77
24	-0.8	-2.5	-11.2	-4.8	4.6	616.4	619.4	621.3	89	74	60	SW 4	SW 1	NE 0	10	10	9	.	⸗ ⫩ 9–12, ⸗ I	77
25	-22.0	-6.4	-13.6	-14.0	-4.6	621.7	622.0	624.4	80	**34**	63	SW 0	N 1	NE 0	0	0	1	.		76
26	-22.0	-9.3	-18.6	-16.6	-7.3	626.2	626.5	627.8	95	**34**	63	NW 0	SW 0	SW 0	0	0	0	.	V I	76
27	-22.2	-4.4	-12.0	-12.9	-3.7	628.6	**628.7**	626.9	94	46	80	SW 0	SW 0	SW 0	1	2	0	.		76
28	-18.0	-2.9	-13.2	11.4	-2.2	627.1	626.5	626.7	95	51	85	SW 0	SW 0	SW 0	0	0	0	.		75
29	-15.0	0.0	-11.2	-8.7	0.4	626.0	624.5	625.3	96	50	88	SW 0	SW 0	SW 0	0	0	0	.		75
30	-14.8	**1.7**	-10.4	-7.8	1.2	624.3	622.6	622.7	96	47	91	SW 0	SW 0	SW 0	0	0	0	.	⸗ I	74
31	-14.8	0.9	-11.5	-8.5	0.4	622.1	620.0	618.7	98	48	92	SW 0	SW 1	SW 0	0	0	0	.		73
Mittel	-13.0	-4.4	-11.1	-9.5	.—	617.5	616.6	617.6	88	60	83				5.9	6.6	5.5	Summe 15.3		

Januar 1959
Beobachter: *Couvent des Capucins*

Sion

$\lambda = 7° 22'$, $\beta = 46° 14'$,
$H_b = 548.6$ m, $G = -0.14$ mm

1	-0.9	4.3	2.9	2.1	2.9	719.3	718.6	718.9	86	69	80	W 0	WSW 0	W 0	5	10	10	.		
2	0.2	4.2	2.2	2.2	3.1	715.9	712.7	709.1	82	61	91	NE 0	NE 0	W 0	0	4	10	0.5	● ✳ n (2./3.)	
3	0.2	1.8	0.1	0.7	1.6	707.5	708.1	709.8	96	92	78	W 0	W 1	W 1	10	9	10	3.8	✳ fl n 13¾, n (3./4.)	1
4	0.0	0.4	-2.9	-0.8	0.1	708.0	703.9	711.3	90	93	78	W 0	W 0	E 0	10	10*	0	3.7	✳ 10¾–18½	3
5	-4.4	-1.0	-4.4	-3.3	-2.3	716.5	717.0	718.1	75	65	77	NE 0	ENE 0	ENE 1	10	1	6	2.8		6
6	-3.0	-0.5	0.2	-1.1	-0.1	716.6	714.9	714.2	95	90	97	ENE 0	NE 0	NE 1	10*	10●	8	**20.5**	✳ 3¼–13, ● 13–20¼, 22¼–23	16
7	1.2	2.8	3.3	2.4	3.4	711.1	708.3	708.4	99	93	88	NE 0	NE 0	NW 0	7	10●	5	11.8	● ✳ 3–5¼, 13¼–21 mU	18
8	0.8	0.1	-0.6	0.1	1.1	**703.4**	706.1	709.9	97	92	88	NW 0	W 3	W 2	10•*	10*	5	1.9	● ✳ 5½–8½, ✳ fl 10½–11½, *)	10
9	-4.1	0.0	-2.0	-2.0	-1.0	711.5	710.7	708.2	77	62	81	NE 2	W 1	W 0	0	6	10	1.9	✳ 9¾, 22–24	15
10	-0.7	2.2	-2.1	-0.2	0.8	708.1	710.2	712.3	70	**44**	60	W 1	W 1	W 0	10	6	10	0.6	✳ 10½–11½	17
11	-2.4	0.9	-3.2	-1.6	-0.6	711.8	711.4	711.3	68	56	65	W 0	WSW 2	E 0	10	4	3	.		17
12	-0.6	-2.4	-5.6	-2.9	-1.9	709.4	708.8	709.7	69	76	71	E 0	E 1	NE 1	9	5	0	0.1	✳ fl 8½–12	10
13	-4.5	0.3	-2.1	2.1	1.1	710.1	709.3	709.1	81	68	75	NE 0	NE 0	NE 0	10	4	10	3.7	✳ 22 n	10
14	-2.1	0.7	0.8	-0.2	0.7	708.5	706.9	705.4	95	81	96	NE 0	NE 0	NE 0	10*	10	10●	9.4	✳ n-9 mU, 15¾–18½, ● 19½-n	15
15	4.8	7.3	3.4	5.2	6.1	708.1	708.3	707.3	66	58	74	W 0	W 0	W 0	10	9	7	0.1	● n 3	12
16	0.3	2.0	-1.9	0.1	1.0	707.3	709.4	717.3	96	77	64	W 0	W 1	W 0	10	8	0	0.4	✳ 8–9¾	8
17	-6.5	-2.8	-6.0	-5.1	-4.3	721.7	722.6	723.2	70	60	66	NE 2	NE 1	NE 1	0	0	0	.		8
18	**-8.4**	-1.3	0.1	-3.2	-2.4	722.0	719.8	720.2	73	56	65	NE 0	NE 0	NE 0	0	0	10	.		8
19	-1.2	5.4	4.7	3.0	3.7	720.2	717.4	715.8	79	52	63	NE 0	NE 0	NE 0	3	8	7	.		8
20	2.5	8.2	4.8	5.2	5.9	715.7	711.7	710.6	64	50	61	ENE 0	ENE 0	ENE 0	3	8	8	0.4		5
21	3.6	6.0	4.8	4.8	5.4	711.6	712.1	711.1	95	76	63	NE 0	NE 0	NE 0	10●	1	6	2.5	● 7¼–10½	5
22	4.0	**10.0**	6.2	6.7	7.3	711.5	711.0	712.7	65	47	62	NE 1	NE 0	ENE 0	2	3	9	6.9		5
23	3.6	5.3	3.7	4.2	4.7	714.7	716.6	716.8	95	92	93	NE 0	NE 0	ENE 0	10●	5	10	7.0	● 3¼–11¾	2
24	2.8	3.7	2.4	3.0	3.4	714.6	717.6	719.4	97	88	90	NE 0	W 1	W 0	10●	10●	10	10.1	● 3½–16, ● ✳ 16–18½	
25	0.4	2.8	-1.4	0.6	1.0	720.4	721.2	723.5	82	66	75	W 0	S 0	WNW 0	4	1	0	.		
26	-4.3	0.1	-1.9	-2.0	-1.7	725.0	724.3	725.4	84	57	76	W 0	W 0	W 0	2	1	0	.		
27	-3.9	2.1	-0.5	-0.8	-0.6	**726.4**	725.1	724.3	89	66	80	W 0	W 0	W 0	0	0	0	.		
28	-2.5	3.7	0.8	0.1	0.2	722.7	722.3	723.7	90	73	90	W 0	W 1	W 0	0	0	0	.		
29	-2.6	4.2	0.1	0.6	0.6	722.2	720.8	720.9	92	62	82	W 0	W 1	W 0	0	0	0	.		
30	-1.3	6.2	1.3	2.1	2.0	719.4	718.0	719.7	81	54	97	W 0	W 0	S 0	0	0	0	.		
31	-2.1	3.4	-0.6	0.2	0.0	717.4	716.2	716.2	92	71	94	S 0	S 1	W 0	0	0	10	.		
Mittel	-1.0	2.6	0.2	0.6	—	714.8	714.2	715.0	84	69	78				5.6	4.9	5.6	Summe 88.1	*) 8. 15–16¾, 19¾–20½ ⸗ III	

$\lambda = 8°\,58'$, $\beta = 46°\,00'$,
$H_b = 276.2$ m, G = –0.04 mm

Lugano

Januar 1959
Beobachter: *A. Tison*

Tag	Lufttemperatur 7³⁰	13³⁰	21³⁰	Mittel	Abweich. vom Normalst	Luftdruck 7³⁰	13³⁰	21³⁰	Relative Feuchtigkeit 7³⁰	13³⁰	21³⁰	Windrichtung und Stärke 7³⁰	13³⁰	21³⁰	Bewölkung 7³⁰	13³⁰	21³⁰	Niederschlag	Witterung
1	4.3	9.9	4.8	6.3	4.1	741.6	741.6	741.5	92	50	78	N 1	SSE 1	NNE 1	9	4	9	.	
2	0.0	4.4	3.7	2.7	0.5	739.5	736.0	732.0	94	78	84	N 1	S 1	NNE 0	0	9	10	.	⌴ I
3	0.4	6.9	4.3	3.6	1.4	727.7	726.6	729.2	94	53	28	N 1	S 1	N 2	1	2	0	.	⌴ I
4	–0.8	2.7	2.9	1.6	–0.5	729.4	726.4	729.7	59	51	44	N 1	NNW 1	NNE 2	5	10	0	.	
5	0.6	9.1	0.2	3.3	1.2	735.4	736.7	740.3	29	21	42	N 1	NNE 2	N 1	0	1	0	.	
6	–0.9	5.8	1.4	2.1	0.0	740.0	739.2	738.2	58	41	63	NNW 1	S 1	NNW 1	5	3	9	4.6	● ✳ n (6./7.)
7	0.4	1.8	1.2	1.1	–1.0	734.9	734.0	730.8	97	91	97	NNE 1	SE 1	NNE 1	10●*	10	10	.	● ✳ n-8
8	–0.3	8.7	4.3	4.2	2.1	724.7	**722.9**	725.8	93	23	25	N 1	N 3	NNE 3	10*	5	1	0.0	☔ 7½, 10–10¼, 🌧 12-n
9	3.9	7.2	0.8	4.0	2.0	729.4	729.2	729.1	22	17	30	NNE 3	NE 3	NNE 1	1	1	0	.	🌧 n-p
10	–0.7	6.3	–1.2	1.5	–0.5	728.7	730.3	733.4	60	33	39	NNW 1	NE 1	NNE 1	8	5	0	.	⌴ I
11	–3.8	5.2	–1.8	–0.1	–2.2	733.8	732.2	732.6	62	36	52	NNE 1	E 1	NNE 1	6	1	0	.	⌴ I
12	**–5.4**	4.8	–2.4	–1.0	–3.1	731.5	729.8	729.3	61	33	54	N 1	SSE 1	N 1	1	2	0	.	⌴ I
13	–3.7	6.4	–0.4	0.8	–1.3	729.8	730.5	731.7	55	37	56	N 1	SSE 1	N 1	0	1	4	.	⌴ I
14	0.2	7.4	1.7	3.1	1.0	732.0	731.8	730.7	77	45	70	N 1	SE 1	N 1	7	6	10	.	
15	–1.3	9.4	1.7	3.3	1.1	729.6	729.1	728.2	87	45	74	N 1	SE 1	NNW 1	1	1	0	.	⌴ I
16	–0.8	**11.8**	3.8	4.9	2.7	728.0	727.2	735.8	92	27	23	N 1	NE 2	NNE 4	3	1	0	.	🌧 13¾-n, 🌨 III, ⌴ I
17	4.2	9.8	–0.6	4.5	2.3	740.1	740.3	744.4	17	14	41	NNE 3	NNE 2	NE 1	0	1	0	.	🌧 n-a
18	–3.4	6.2	1.2	1.3	–0.9	746.4	746.4	745.8	62	41	57	N 1	S 0	N 1	5	8	10	.	☾ 18½
19	–2.6	5.7	3.3	2.1	–0.2	745.9	745.6	745.4	69	49	65	N 1	SSE 1	N 0	1	10	10	.	
20	2.4	4.3	2.6	3.1	0.8	743.9	742.1	740.2	76	73	97	N 1	SSW 1	NNW 0	10	10	10●	7.6	● ❩ 17¼-n, ● ✳ n (20./21.)
21	1.0	1.4	2.2	1.5	0.8	737.5	738.4	739.2	97	97	97	SW 1	SSW 1	NNW 1	10●*	10❩	10❩	**8.4**	● ✳ n 9¼, ❩ 9¼-n
22	3.4	4.7	4.3	4.1	1.7	738.7	738.7	739.3	97	97	97	N 1	W 0	NNW 1	10❩	10●	10❩	6.7	❩ ● n-n mU
23	4.2	6.3	3.4	4.6	2.2	738.5	739.8	740.6	97	95	97	NE 0	E 1	N 1	10●	9	3	1.7	❩ ● n–9½
24	3.8	10.8	9.6	8.1	5.6	737.5	736.2	737.4	94	55	19	N 1	SSE 1	N 2	10	3	2	.	● tr 10, 🌧 15-n
25	6.2	10.9	6.4	7.8	5.3	740.7	741.4	743.5	13	**11**	13	N 2	NE 3	NE 3	0	1	0	.	🌧 n-n mU, 🌧 18
26	–1.0	9.0	0.2	2.7	0.1	746.0	747.0	748.3	56	42	77	N 1	S 0	N 1	1	1	1	.	
27	2.2	9.9	1.6	3.1	0.5	747.3	747.7	748.0	78	36	61	N 1	S 1	NNW 1	0	0	0	.	⌴ I
28	–2.4	8.4	1.3	2.4	–0.3	**748.6**	747.1	746.1	81	46	67	N 1	SSW 1	NNE 1	0	0	0	.	⌴ I
29	–1.7	7.8	1.0	2.4	–0.3	746.0	744.2	742.4	84	53	80	N 1	S 1	NNE 1	0	0	0	.	⌴ I
30	–1.6	9.9	1.8	3.4	0.6	742.0	741.9	741.9	93	47	82	N 1	S 0	NNE 1	0	0	0	.	⌴ I
31	–1.3	9.0	1.9	3.2	0.3	739.2	738.0	737.2	93	52	78	N 1	S 1	NNW 1	0	0	0	.	⌴ I
Mittel	0.0	7.2	2.1	3.1	—	737.2	736.7	737.4	72	48	61				4.0	4.0	3.5	Summe 29.0	

$\lambda = 7°\,35'$, $\beta = 47°\,33'$,
$H_b = 317.3$ m, G = 0.08 mm

Basel

Januar 1959
Beobachter: *Astronom.-Meteorol. Anstalt*

Tag	Lufttemperatur 7³⁰	13³⁰	21³⁰	Mittel	Abweich. vom Normalst	Luftdruck 7³⁰	13³⁰	21³⁰	Relative Feuchtigkeit 7³⁰	13³⁰	21³⁰	Windrichtung und Stärke 7³⁰	13³⁰	21³⁰	Bewölkung 7³⁰	13³⁰	21³⁰	Niederschlag	Witterung
1	6.6	7.4	0.2	4.7	5.2	737.7	739.2	738.7	97	73	100	W 2	W 1	SE 1	10	9	0	0.4	● 7–9½ mU
2	3.7	7.4	3.7	2.5	3.0	734.4	728.6	727.5	100	55	77	ESE 1	SW 2	WSW 2	1	10	7	5.5	● 16 19½ mU, ⌴ ⋁ I
3	1.1	2.2	0.6	1.3	1.9	726.1	728.9	729.6	100	93	94	E 1	WSW 2	WSW 1	10●	10	10	0.0	● 2¼-3½, 6¾-8¼, ● ✳ 5¾-6½, ✳ 9-9¾
4	1.0	0.5	–3.6	–0.7	–0.1	725.5	**722.2**	732.6	90	100	92	SSW 1	SE 0	WSW 1	10	10*	4	8.2	✳ 6½–6¾, ● ✳ 10–18¾
5	1.2	2.1	0.8	0.0	0.6	734.9	736.2	735.9	90	78	93	W 0	W 1	E 1	10	10	0	2.2	● ✳ 6½ 7¼, ● 8½ 13 5
6	2.4	3.4	3.7	3.2	3.8	729.8	730.7	730.5	98	98	100	SW 1	NE 1	E 1	10	10	10	5.0	● 3½ 9¼ mU, 18¼ 20 3
7	8.2	9.2	6.0	7.8	8.4	727.3	724.3	725.4	74	67	83	SW 2	SW 2	WSW 2	10●	10	10	5.3	● 0½–3¾, 7½–9 mU, *)
8	1.4	1.8	0.7	1.3	1.9	723.6	726.5	730.1	95	88	90	WNW 2	W 2	W 2	10●*	9	10	0.0	● 1½–5¼, ● ✳ 5½–7½
9	–0.3	1.6	–1.6	–0.1	0.5	731.7	730.1	726.2	90	73	95	W 1	WSW 2	WSW 2	9	10	10*	1.3	☔ 7¾–8¼, 9½–9¾, 14–14¼, *)
10	–0.6	1.1	–2.4	–0.6	0.0	727.4	731.2	731.4	95	68	100	WNW 2	WNW 2	W 1	10*	6	10*	2.5	✳ 10½–12¾, 21½–23 mU, 🌧 13 2
11	–3.4	0.9	–1.1	–1.2	–0.6	731.7	731.2	729.2	93	55	75	WSW 2	WSW 2	W 1	10	7	9	0.3	✳ 3½–5¾, 12–14 mU 7
12	0.2	0.5	1.6	0.4	0.2	727.9	728.4	727.8	90	67	67	W 2	W 1	WSW 2	9	10	10	0.8	✳ 5¼ 5¾ 5
13	–1.6	1.0	–1.1	–0.6	0.0	727.4	728.1	727.9	97	96	93	WSW 1	WSW 2	E 1	10*	10	0	0.0	✳ 2½–5¼ mU, 7¼–7¾, *) 4
14	1.6	0.5	–0.3	0.5	0.1	727.0	726.0	723.0	97	100	100	E 1	E 1	WNW 1	10	10	10●	**22.2**	✳ 8¼ 10½, ● 14 n 2
15	6.3	0.2	0.6	1.8	2.3	723.8	727.5	726.7	81	100	100	WSW 3	NNW 1	N 1	7●	10●	10	6.2	● n 1¾, 2½ 6¼ mU tr 7½, *)
16	1.5	2.4	4.3	2.7	2.2	730.3	734.6	741.0	100	98	98	NW 1	NW 1	W 1	10*	10	10	0.6	✳ 1½ 9¼ mU 2
17	–5.9	–0.1	–4.8	–3.6	–3.1	743.6	744.0	742.6	98	68	96	SE 1	ESE 1	E 1	9	0	0	.	✳ 10½–11¾, ⌴ I 2
18	**7.8**	2.2	1.4	3.8	3.3	741.0	739.1	738.8	94	80	86	ESE 1	E 1	ESE 2	1	9	9	0.0	✳ fl 19¾ 20, ⌴ I 2
19	–1.8	2.9	0.8	0.6	1.0	736.7	734.4	733.4	86	65	84	ESE 2	ESE 2	SSE 1	4	10	10	.	2
20	3.2	6.9	11.0	7.0	7.4	730.3	726.0	725.2	76	56	60	ESE 2	ESE 2	ENE 1	4	10	10●	2.4	● 23¾ 24, 🌧 22
21	6.6	11.4	5.4	7.8	8.2	727.9	729.0	728.7	86	51	88	SSW 2	WSW 1	E 1	10	7	9	.	● 0¾–5¼ mU
22	4.6	**15.6**	13.9	11.4	11.7	727.7	727.3	728.3	92	**40**	**40**	ESE 2	SSW 2	WSW 2	7	7	7	3.7	☔ 21½, 🌧 12
23	7.4	9.1	5.3	7.3	7.6	731.2	734.7	733.7	96	80	84	SSW 2	SSW 2	SSE 1	10	10	7	11.1	● 6¾–11¾ mU
24	2.4	5.0	0.2	2.4	2.6	736.1	740.0	740.7	100	75	100	WNW 2	W 1	SW 1	10●	9	10	2.8	● 1-7¼, ☔ 7¾-9¾, ☔ 19-21, 🌧 5
25	2.0	3.2	1.7	0.2	0.0	743.3	744.3	746.2	100	76	83	E 1	WNW 1	SE 0	10	3	0	.	⌴ I
26	–4.1	2.9	–0.6	–0.6	–0.5	747.1	746.8	**747.5**	100	77	67	E 0	W 1	ENE 1	7	4	0	.	⌴ I
27	–4.6	4.8	–0.5	–0.1	0.0	746.9	746.2	745.3	99	43	82	NW 1	ESE 1	E 0	0	1.	0	.	⌴ I
28	–3.8	0.9	–2.9	–1.9	–1.9	743.9	743.5	744.4	99	91	100	NW 0	WNW 1	E 0	0	0	10≡	.	≡ p-n, ⌴ I
29	–4.0	1.6	–2.3	–1.6	–1.7	742.7	741.7	740.7	100	88	100	ENE 0	NE 1	ENE 1	10≡	0	0	.	≡ ⌴ ⋁ n-a
30	–4.0	1.6	–2.9	–1.8	–1.9	739.3	738.5	737.9	100	80	100	SE 1	NW 1	N 0	0	0	8	.	≡ 17½–19¾, ⌴ I
31	4.1	3.9	2.6	3.5	3.7	737.8	738.8	739.2	100	100	100	ESE 1	NNW 1	S 1	10	10	10	0.0	☔ fl 11½ 11¾, ≡ 18½ 19¼, [⌴ ⋁ I]
Mittel	–0.2	3.1	0.5	1.1	—	733.6	733.8	734.1	94	77	88				7.7	7.4	6.8	Summe 80.5	

*) 7. 11¼ 15½ mU, 17 21½ mU 9. ● 8¾ 9, ☔ 19¼ 21½, 🌧 18¼ 13. 9 10¾, 🌧 24¾ 15. ● ☔ 9¾ 13¼, 20¾ 20¾, ☔ 12¼ 12¾, 22¼ 23¾, 🌧 n-a

Januar 1959
Beobachter: *Observatorium*

Säntis

$\lambda = 9°\,21'$, $\beta = 47°\,15'$,
$H_b = 2500.1$ m, $G = -0.29$ mm

Tag	Lufttemperatur 7³⁰	13³⁰	21³⁰	Mittel	Abweich. vom Normalst	Luftdruck 7³⁰	13³⁰	21³⁰	Relative Feuchtigkeit 7³⁰	13³⁰	21³⁰	Windrichtung und Stärke 7³⁰	13³⁰	21³⁰	Bewölkung 7³⁰	13³⁰	21³⁰	Niederschlag	Witterung
1	-6.7	7.0	9.2	7.6	0.5	561.7	562.4	561.6	100	100	100	W 4	WNW 2	W 2	10≡	10≡*	10 ≡	6.7	✳ 8 18¾, ≡ ⋁ n-n, ☄ n-a
2	-7.8	5.9	9.8	-7.8	0.4	558.1	555.1	551.5	46	43	100	WNW 4	NW 3	NW 3	1	9	10≡*	2.0	✳ 20-n, ⫩ 18¾-n ☄ p-n, *) 180
3	-12.0	-11.4	14.4	-12.6	-4.4	549.8	549.7	551.1	100	100	100	WNW 4	NW 3	NW 3	10≡	10≡*	10≡*	15.1	✳ 8-n, ≡ ⋁ n-n, ☄ n-a
4	-15.0	-12.9	-17.4	15.1	-6.9	548.7	546.3	551.4	100	100	100	W 4	SW 3	NW 2	10≡*	10≡*	10≡*	9.4	✳ ≡ ⋁ n-n, ☄ ⫩ n-n mU
5	18.0	-15.3	16.2	-16.5	-8.2	553.7	555.8	557.2	100	100	79	SW 3	WSW 3	W 3	10≡*	10≡*	1	2.7	✳ ≡ ⋁ n-20, ⫩ n-n
6	-7.2	-5.2	4.3	-5.6	2.7	554.1	555.9	556.9	100	100	100	W 6	W 6	W 4	10≡*	10≡*	10≡*	7.4	✳ ≡ ⋁ ⫩ ☄ n-n
7	-6.7	-6.8	-8.6	-7.4	0.9	553.4	551.8	550.9	100	100	100	W 5	WSW 4	WSW 4	10≡*	5	10≡*	9.0	✳ ≡ n-11½, 15¾-n, *)
8	-10.1	-14.0	-15.7	-13.3	-4.9	**545.6**	547.9	550.2	100	100	100	W 4	WNW 3	NW 3	10≡*	10≡*	10≡*	**24.1**	✳ ≡ ⋁ ⫩ n-n, ☄ n-a
9	-17.2	-16.1	16.2	-16.5	-8.1	551.4	550.8	546.6	100	100	100	NW 2	W 3	W 5	10≡*	10-*	10≡*	5.8	✳ ≡ ⋁ n-n, ☄ ⫩ 16-n 230
10	16.9	17.0	18.2	-17.4	-9.0	546.8	549.2	549.9	100	100	100	W 4	NW 3	NW 4	10≡*	10≡*	10≡*	7.4	✳ ≡ ⋁ ⫩ n-n, ☄ I, III
11	-17.8	**19.2**	-18.4	18.5	-10.1	549.0	549.3	549.3	100	100	87	NW 5	WNW 5	W 3	10≡*	10-*	10	2.4	✳ ≡ ⋁ n-15½, ⫩ n-n, ☄ n-p
12	-16.2	-16.0	-18.7	-17.0	-8.5	547.3	548.0	547.9	100	100	89	W 5	W 4	W 4	10≡*	10≡*	7	3.3	✳ ≡ ⋁ ⫩ ☄ n-n, ☄ I
13	-17.2	14.0	14.4	-15.2	-6.7	547.6	549.2	550.2	100	100	100	W 5	W 4	WSW 3	10-*	10≡*	1	2.0	✳ ≡ ⫩ n-20, ⋁ n-n, *)
14	-11.8	-7.4	-5.0	-8.1	0.4	549.8	550.3	549.7	100	100	100	WNW 3	W 5	W 4	10≡*	10-*	10≡*	1.6	✳ ≡ ⋁ ⫩ ☄ n-n, ☄ II
15	-7.8	8.0	-8.7	-8.2	0.4	549.3	551.6	551.8	100	100	100	W 5	W 4	W 3	10≡	10-	10≡	2.0	✳ ≡ n-n mU, ⋁ n-n, *)
16	-9.0	-14.7	-18.0	-13.9	-5.3	551.0	553.2	557.2	100	100	100	WNW 2	WNW 3	WNW 2	10≡*	10≡*	10≡*	0.0	✳ ≡ ⋁ n-n 250
17	-18.0	16.4	-13.4	-15.9	7.3	560.4	561.8	562.9	100	90	90	WNW 3	WNW 2	WNW 2	0	1	0	.	
18	11.4	-9.8	-6.6	-9.3	-0.6	562.4	562.9	563.6	80	60	60	WSW 4	WSW 4	W 4	3	9	10	.	⫩ ☄ n-n
19	-4.4	-0.5	-0.8	1.9	6.8	563.3	562.9	561.8	80	56	50	N 3	SW 2	SW 3	4	9	10	.	
20	-1.4	-0.6	-6.2	-2.7	6.0	560.3	558.0	554.5	50	47	82	WSW 3	SW 3	SW 5	8	5	8	0.0	⫩ ☄ 16-n, ☄ III
21	-7.2	-5.6	-4.9	-5.9	2.9	554.9	556.2	556.8	97	75	75	WSW 3	WSW 3	SW 3	10	6	9	0.8	✳ 8-10¾, ≡ n-10¾ mU
22	-4.6	-2.8	-3.8	-3.7	5.1	556.9	556.8	558.3	75	70	67	SSW 4	SW 4	WSW 3	9	8	9	1.2	☄ n-p mU
23	-4.9	6.0	8.4	-6.4	2.4	558.2	559.2	560.6	98	100	100	WSW 3	W 4	W 3	10≡*	10≡*	8	8.6	✳ ≡ 6¾-18¾, ☄ a-p 210
24	-6.0	-14.6	14.0	-11.5	-2.7	557.2	561.8	561.9	100	96	86	W 4	W 3	NW 3	10≡*	9	3	4.2	✳ ≡ ⋁ n-12½, ☄ I
25	-16.3	-16.0	-16.7	-16.3	-7.4	561.1	562.1	563.9	74	91	90	NW 3	NNW 2	N 2	1	1	8	0.0	✳ 17-19, ≡ 9-19 mU
26	-16.2	-10.7	-10.4	-12.4	-3.5	564.6	566.2	567.2	44	24	37	NNE 3	E 2	E 3	1	1	0	.	
27	-7.4	-3.6	-2.9	-4.6	4.3	568.0	**568.7**	568.6	36	39	80	NE 3	NE 3	NE 3	1	1	1	.	
28	-3.0	1.6	0.8	-0.2	8.8	567.3	567.9	568.2	**21**	22	26	NNE 3	ENE 3	E 3	1	1	0	.	
29	-1.0	0.6	0.0	-0.1	8.9	567.2	567.0	566.6	46	22	31	E 2	NE 2	NE 2	0	1	0	.	
30	0.0	**2.8**	-0.4	0.8	9.8	565.4	564.9	564.9	34	29	25	E 2	ESE 1	NNW 1	1	1	1	.	200
31	-4.3	-4.8	-9.2	-6.1	3.0	562.1	561.5	560.0	32	48	56	W 3	WNW 3	W 2	1	1	1	0.0	
																		Summe	
Mittel	-9.8	-8.9	-10.0	-9.6	—	556.3	556.9	557.2	81	78	81				6.8	7.0	6.7	115.7	

*) 2. ⊕ 13½-14 7. ⋁ ⫩ ☄ n-n, ☄ I 13. ☄ n-a, ☄ a-p 15. ☄ n-a, ☄ a-p

Januar 1959
Beobachter: *E. Chiesa*

St. Gotthard (Hospiz)

$\lambda = 8°\,34'$, $\beta = 46°\,33'$,
$H_b = 2095$ m, $G = -0.27$ mm

1	-6.0	-4.8	-7.0	-5.9	1.1	592.3	591.9	591.9	65	97	95	NW 2	SE 3	SE 2	0	10≡	10≡	.	≡ 12¼-n, ☄ a-p 140
2	-6.2	-5.8	-6.6	-6.2	0.9	589.1	586.7	582.9	63	82	90	SE 2	SE 1	SE 3	0	6	10*	.	✳ 18-n mU, ⫩ ☄ p-n 140
3	-8.6	-8.2	-10.2	-9.0	-1.9	580.0	580.1	580.9	65	90	85	NW 2	NW 3	NW 3	3	9	10	16.1	✳ n (3./4.), ⫩ ☄ a-n 140
4	11.3	10.4	13.2	-11.6	-4.5	580.1	577.4	580.7	92	90	83	NW 0	SE 3	SE 3	10≡	10≡*	10≡*	13.7	✳ ≡ n-n mU, ⫩ ☄ a-n 145
5	-14.8	-11.9	-12.6	-13.1	-6.0	585.1	586.1	587.7	85	85	60	NW 3	SE 2	NW 1	6	7	0	.	160
6	11.8	9.1	-4.8	-8.6	-1.5	587.5	587.8	587.7	96	88	97	NW 3	SE 2	SE 1	9	10*	10≡*	13.3	✳ 12¼-n mU, ≡ 14½-n mU *) 155
7	5.1	-3.4	-4.8	-4.4	2.8	585.1	583.3	581.9	96	88	90	SE 1	SE 1	SE 1	10*	10≡*	10≡*	7.9	✳ ≡ n-n mU 170
8	7.0	-9.8	-13.0	9.9	2.7	**577.1**	577.2	578.2	92	70	85	NW 0	NW 3	NW 3	10≡*	10-	10≡*	**55.8**	✳ n-a, 20¾-n, ≡ n-n, *) 180
9	-13.8	-11.8	13.0	12.9	-5.7	580.7	580.4	578.4	76	58	77	NW 3	NW 2	NW 0	10≡*	9	10	9.3	✳ n-a mU, 21½-n, ≡ ⫩ ☄ n-8¾ 190
10	-13.0	-13.2	-14.3	13.5	-6.3	577.9	579.7	581.3	83	85	80	NW 1	NW 2	NW 2	10≡*	10≡*	10≡*	16.1	✳ ≡ n-n, ⫩ 8-n 195
11	-14.6	-13.0	-15.0	-14.2	-7.0	581.3	582.3	582.1	87	74	64	S 0	NW 1	NW 0	10≡*	3	0	.	✳ ≡ n 15¾ 200
12	-13.4	9.6	14.3	-12.4	-5.2	579.5	579.4	579.2	75	60	49	NW 0	NW 0	NW 1	10	0	0	3.6	✳ 8-11 mU, n (12./13.) 200
13	-13.5	9.0	11.0	-11.2	3.9	579.2	580.4	580.9	86	63	66	SE 1	NW 1	NW 0	10*	3	10	3.7	✳ n 10½ mU, n (13./14.) 200
14	-12.2	7.6	8.8	-9.5	-2.2	581.0	581.9	581.0	93	82	95	SE 1	SE 1	SE 1	10*	10≡*	10≡*	7.0	✳ n 8¼, 13 n, ≡ 13 n 200
15	-3.8	-3.2	-7.4	-4.8	2.5	581.0	582.6	582.0	58	71	70	NW 2	NW 0	NW 0	10	9	0	2.0	✳ n (15./16.) 200
16	-7.8	11.2	14.0	-11.0	3.7	580.3	581.9	586.5	96	91	76	NW 2	NW 3	NW 4	10≡*	10≡*	0	34.7	✳ n-p, ≡ n-20, *) 200
17	**-17.2**	-12.4	-10.2	-13.3	-6.0	590.0	591.3	592.5	89	54	25	NW 3	NW 3	NW 1	0	0	0	.	☄ n-p 230
18	-7.2	-3.4	-2.8	-4.5	2.8	592.6	592.8	593.2	25	30	40	NW 0	NW 0	NW 1	0	0	6	.	225
19	4.0	3.3	7.0	4.8	2.6	593.3	593.4	593.2	75	69	98	SE 0	SE 1	SE 2	0	6	10	1.3	✳ n (19./20.) 225
20	-5.6	-4.8	-6.2	-5.5	1.9	591.7	590.6	587.6	98	98	97	SE 2	SE 2	SE 2	10≡	10-*	10≡*	24.2	✳ a-n mU, ≡ n-n ⫩ a-n 225
21	-6.6	4.0	3.8	-4.8	2.6	586.0	587.0	588.0	97	98	94	SE 1	SE 2	SE 3	10≡*	10≡*	10≡*	15.8	✳ n-n mU, ≡ ⫩ n-n, ☄ III 220
22	-3.6	2.0	2.6	2.7	4.7	588.2	588.4	589.1	97	89	91	SE 2	SE 2	SE 1	10≡*	10≡*	10≡*	9.9	✳ n-n mU, ≡ ⫩ n-n 220
23	3.6	0.8	3.7	2.7	4.7	588.7	590.3	591.3	98	95	44	SE 1	SE 0	NW 0	10≡*	10≡*	6	5.1	✳ ≡ n 15¼ 220
24	-4.2	8.4	11.0	7.9	-0.5	588.5	590.5	590.3	98	93	90	SE 1	NW 2	NW 3	10≡*	10-*	10-*	24.0	✳ n-n mU, ≡ n-n, *) 220
25	-14.2	12.4	15.2	13.9	6.5	590.5	591.4	594.0	89	85	94	NW 3	NW 3	NW 2	10≡	10≡	0	11.0	✳ n-p mU, ≡ ⫩ ☄ n-18 210
26	-14.2	-8.8	-7.5	-10.2	-2.7	594.5	595.4	596.4	92	30	35	NW 2	NW 2	NW 1	0	0	0	.	205
27	-4.8	-1.4	-0.6	-2.3	5.2	596.7	**597.6**	597.2	34	34	57	NW 2	NW 1	NW 1	0	0	0	.	205
28	-3.0	3.2	2.5	0.9	8.4	596.3	596.5	596.7	45	25	**22**	NW 1	NW 0	NW 0	0	0	0	.	205
29	1.8	2.8	0.6	1.7	9.2	595.8	595.7	595.6	24	30	32	NW 1	NW 1	NW 0	0	0	0	.	205
30	1.0	**4.8**	-0.8	1.7	9.2	594.3	594.1	593.5	31	31	40	NW 1	NW 0	NW 0	0	0	0	.	205
31	-1.3	-1.1	-6.4	-2.9	4.6	590.7	590.8	589.6	40	44	86	NW 1	NW 1	NW 2	0	0	0	0.7	205
																		Summe	
Mittel	-8.1	-6.3	-7.9	-7.4	—	586.9	587.2	587.5	75	70	71				6.1	6.2	5.5	275.2	

*) 6. ⫩ ☄ n-a 8. ⫩ ☄ 7¾-n 16. ⫩ ☄ a-n, ☄ III 24. ⫩ a-n, ☄ p-n

$\lambda = 7°\,26'$, $\beta = 46°\,57'$,
$H_b = 572.2$ m, $G = -0.04$ mm

Bern

Februar 1959
Beobachter: *Meteorologisches Observatorium*

Tag	Lufttemperatur					Luftdruck			Relative Feuchtigkeit			Windrichtung und Stärke						Bewölkung			Niederschlag	Witterung
	7^{30}	13^{30}	21^{30}	Mittel	Abweich. vom Normalst	7^{30}	13^{30}	21^{30}	7^{30}	13^{30}	21^{30}	7^{30}		13^{30}		21^{30}		7^{30}	13^{30}	21^{30}		
1	−3.2	−0.9	−1.6	−1.9	−0.9	713.9	712.2	**711.8**	82	68	72	E	1	NE	2	E	2	2	10	10	.	13¾, 20¼
2	−2.0	−0.7	−2.0	−1.6	−0.6	712.2	713.1	714.1	72	63	78	ENE	2	NE	1	NNE	2	10	10	9	.	
3	−2.9	−0.9	−3.2	−2.3	−1.4	717.8	718.0	717.8	84	75	80	NE	1	NNE	1	NNE	1	10	1	3	.	
4	−4.3	−2.1	−2.8	−3.1	−2.3	718.3	718.2	719.3	89	81	85	NE	1	NNE	1	NNE	1	10	2	3	.	
5	−4.2	3.5	0.0	−0.2	0.5	719.4	719.7	720.0	89	70	84	WSW	0	NNE	0	SSE	1	9	7	0	.	⌊ I
6	−2.4	6.3	1.0	1.6	2.2	720.0	718.5	717.9	90	60	81	SE	1	NNE	1	E	1	0	1	0	.	⌊ I
7	−2.0	6.6	1.3	2.0	2.6	716.4	715.1	715.1	88	57	79	SE	1	W	1	SE	1	1	0	0	.	⌊ I
8	−1.9	6.4	1.2	1.9	2.4	716.6	716.5	718.6	88	57	86	SE	1	NNE	1	NNW	1	0	4	1	0.2	⌊ I
9	−1.8	6.6	2.7	2.5	2.9	720.9	721.1	723.1	93	56	80	SE	1	E	1	SE	1	7	4	7	.	● 6½–7¾, ⌊ I
10	1.6	7.8	4.1	4.5	4.8	723.7	722.4	721.7	84	59	88	SE	1	NE	1	NNE	1	9	3	1	0.0	❩ 23–n
11	−0.1	2.2	1.2	1.1	1.3	721.3	720.7	720.7	92	88	93	S	0	NNE	1	NNE	1	10≡	10	10≡	.	❩ n–1½, ≡ 0–11¼, 19½ n
12	−0.4	0.2	−0.7	−0.3	−0.2	720.5	720.6	722.1	92	83	100	W	1	SW	1	NNE	1	10≡	9	10≡	.	≡ n–1½, 7–11, 19–n
13	−2.0	0.0	−0.9	−1.0	−1.0	724.7	725.9	727.0	100	88	92	NE	1	NNE	1	NNE	1	10≡	9	0	.	≡ n–13¾, 23–n, ⌊ III
14	−3.2	−0.9	2.0	2.0	2.1	728.0	728.6	729.5	99	88	98	W	1	NW	1	N	1	10≡	8	10-	0.0	≡ n 11½, 18–n, ⌊ I
15	−3.8	0.8	−2.3	−1.8	−2.0	**730.8**	730.4	730.6	98	81	95	SE	1	W	1	NW	1	10≡	7	10≡	.	≡ n–11½, 21¾–n
16	**−4.6**	−1.2	1.2	−1.5	−1.8	730.6	729.2	728.5	100	89	62	E	1	N	1	NNE	1	10≡	0	0	0.0	≡ n–13
17	−3.0	4.9	1.7	1.2	0.8	729.3	728.8	727.3	86	56	63	SSE	1	W	1	ENE	1	1	2	5	.	
18	−1.7	6.7	1.9	2.3	1.8	726.7	726.6	726.1	85	53	75	WSW	1	NE	1	SE	1	2	2	1	.	
19	−2.4	7.9	2.4	2.6	2.0	725.5	724.4	723·8	91	48	76	SE	1	NNE	1	W	1	1	1	1	.	
20	−1.4	9.4	5.8	4.6	3.9	722.5	720.7	720.8	88	46	58	SSE	1	WNW	1	N	1	1	0	4	.	
21	0.6	8.2	4.4	4.4	3.6	720.5	719.7	719.3	80	54	69	SW	1	SW	1	SW	1	4	9	10	**1.7**	● 23¼–n
22	2.5	5.9	4.7	4.4	3.5	718.5	719.1	720.1	90	90	93	SE	1	SSE	1	NE	1	10●	9	9	0.3	● n–12¾, 17–17½
23	1.4	7.5	3.7	4.2	3.2	720.4	720.1	719.5	93	71	80	NNE	1	E	1	SW	0	2	0	0	.	
24	−1.0	9.6	5.1	4.6	3.5	719.1	718.0	718.2	93	56	81	SE	1	NE	1	N	1	0≡	4	6	.	≡ 5¾–8½
25	0.2	10.1	5.1	5.1	3.9	719.0	719.5	720.5	90	58	80	SE	1	W	1	SE	1	0	0	0	.	
26	0.1	10.6	5.3	5.3	3.9	721.2	720.8	722.2	92	53	75	SE	1	NNW	1	SE	1	0	0	0	.	
27	0.1	10.6	5.3	5.3	3.8	722.2	721.3	721.0	88	53	76	SE	1	NE	1	SE	1	0	0	0	.	⌊ I
28	0.5	**11.8**	7.6	6.6	5.0	720.8	718.8	718.0	88	**43**	72	SE	1	WNW	1	SE	1	0	0	2	.	⌊ I
Mittel	−1.5	4.9	1.8	1.7	—	721.5	721.0	721.2	89	66	80							5.0	4.0	4.0	Summe 2.2	

$\lambda = 6°\,57'$, $\beta = 47°\,00'$,
$H_b = 487.3$ m, $G = 0.00$ mm

Neuchâtel

Februar 1959
Beobachter: *Observatoire Cantonal*

1	−1.4	0.3	−0.5	−0.5	−0.6	721.7	720.2	**719.0**	50	50	53	NE	3	N	3	NE	4	3	9	9	.	n-n mU
2	−1.2	0.0	−1.3	−0.8	−0.9	719.6	721.1	722.0	59	56	61	NE	4	NE	3	NE	3	10	9	2	.	n-n mU
3	−2.3	−0.9	−2.4	−1.9	−2.1	725.8	726.2	726.0	68	66	73	NE	2	NE	2	NE	2	10	9	10	.	n-n mU
4	−3.6	−1.7	−2.6	−2.6	−2.9	726.4	726.5	727.4	83	75	82	NE	1	ENE	1	NE	1	10	9	0	.	
5	**−3.8**	2.3	0.1	−0.5	−0.8	727.5	727.9	728.0	94	63	84	NE	1	NE	1	NE	1	10	8	0	.	⌊ I
6	−3.3	2.3	0.4	−0.2	−0.6	727.9	726.8	725.6	99	78	76	NE	0	NE	0	NE	0	10≡	0	0	.	≡ ⋁ n-12¾
7	−3.7	0.4	−0.8	−1.4	−1.9	724.3	723.2	723.0	98	94	88	NE	0	NE	0	NE	0	10≡	10≡	0	.	≡ n-p, ⋁ n-a
8	−3.5	0.6	−0.4	−1.1	−1.6	724.5	724.8	726.6	98	98	87	NE	0	NE	0	NE	0	0	10≡	0	.	≡ a-p
9	−2.6	1.5	1.7	0.2	−0.4	729.1	729.5	731.1	98	96	93	NE	0	NE	0	NE	0	10≡	10≡	4	.	≡ n–13½, ⋁ I
10	1.0	7.7	3.9	4.2	3.5	731.7	730.5	729.8	98	56	84	NE	0	NE	1	NE	1	10≡	2	0	.	≡ n–11½
11	0.2	3.7	1.4	1.8	1.0	729.3	728.7	728.8	97	75	91	NE	0	NE	0	NE	1	10	10	10	.	⋁ I
12	0.0	3.3	−0.5	0.9	0.1	728.4	728.6	730.1	95	70	95	NE	0	ENE	1	ENE	1	10	9	10	.	
13	−1.0	0.7	−1.7	−0.7	−1.6	732.7	734.3	735.3	94	85	93	ENE	0	ENE	1	ENE	0	10	10	0	.	
14	−2.2	1.2	−2.4	1.9	2.9	736.2	736.9	738.1	98	94	97	ENE	1	ENE	1	ENE	1	10≡	10	10≡	.	≡ n-n mU
15	−2.8	−1.3	−2.8	−2.3	−3.4	739.0	**739.2**	**739.2**	94	88	97	ENE	0	ENE	1	ENE	0	10	10	10	.	
16	**−3.8**	−0.6	3.0	−0.5	−1.7	738.8	737.8	736.7	99	83	48	ENE	1	NE	1	NE	2	10≡	7	0	.	≡ ⋁ n-a, 15–n mU
17	−1.2	7.0	3.9	3.2	2.0	737.2	737.2	735.2	62	**43**	**43**	NE	0	ENE	1	NE	2	1	0	1	.	
18	0.2	7.5	2.2	3.3	2.0	734.7	735.9	734.3	67	48	64	NE	1	E	1	E	1	2	2	0	.	0¾
19	−2.0	7.1	2.7	2.6	1.2	733.3	732.6	731.5	89	50	58	E	0	E	1	E	0	1	1	0	.	⌊ I
20	−1.7	8.3	8.0	4.9	3.4	730.5	728.8	728.7	89	52	44	E	0	E	1	SW	2	1	0	2	.	14½–n mU, ⌊ I
21	5.6	7.0	5.1	5.9	4.3	728.4	727.9	727.0	63	58	64	W	2	SW	1	W	1	9	10	10	**0.6**	
22	4.2	7.5	6.5	6.1	4.4	726.3	726.9	727.6	90	81	72	SW	2	S	2	NE	1	10	7	8	0.1	● 0 9½ mU
23	2.1	9.6	4.4	5.4	3.6	728.3	728.0	727.3	92	54	70	NE	2	ENE	2	NE	1	1	0	0	.	n 19¼ mU
24	−0.6	8.9	5.9	4.7	2.8	727.0	726.1	725.8	98	51	72	NE	0	NE	1	NE	1	0	6	2	.	⋁ I
25	0.7	9.0	5.1	4.9	2.9	726.8	727.5	728.2	97	55	76	NE	0	NE	1	E	1	1	0	0	.	≡ n–11 mU, ⌊ I
26	0.2	8.9	5.0	4.7	2.6	728.9	728.9	730.0	99	49	59	E	1	ENE	1	E	0	2	0	0	.	≡ n–9½ mU
27	0.1	**10.8**	5.8	5.6	3.4	730.2	729.4	728.7	96	47	59	E	0	E	1	E	1	1	0	0	.	⌊ I
28	0.1	10.6	7.1	5.9	3.6	728.6	727.0	725.7	97	**43**	54	E	0	E	1	E	0	0	0	0	.	⌊ I
Mittel	−0.9	4.3	2.0	1.8	—	729.4	729.2	729.2	88	66	73							6.1	5.6	3.1	Summe 0.7	

Februar 1959
Beobachter: *Eidg. Armeemagazine*

Altdorf

$\lambda = 8° 38'$, $\beta = 46° 52'$,
$H_b = 450.7$ m, G = –0.08 mm

Tag	Lufttemperatur					Luftdruck			Relative Feuchtigkeit			Windrichtung und Stärke			Bewölkung			Niederschlag	Witterung
	7^{30}	13^{30}	21^{30}	Mittel	Abweich. vom Normalst	7^{30}	13^{30}	21^{30}	7^{30}	13^{30}	21^{30}	7^{30}	13^{30}	21^{30}	7^{30}	13^{30}	21^{30}		
1	–0.8	2.2	–1.4	0.0	–0.8	725.2	723.4	**723.1**	82	53	76	NE 0	N 0	SE 0	10	8	3	.	⌙ I
2	–4.4	1.6	–2.2	–1.7	–2.6	723.6	724.4	725.7	92	57	85	SE 0	NNW 1	SE 0	2	1	0	.	
3	–1.6	1.4	–1.2	–0.5	–1.5	728.7	729.7	729.2	87	75	88	SE 0	NNW 1	NW 0	10	2	5	.	
4	–2.8	2.4	2.8	0.8	–0.2	729.4	728.6	729.5	93	78	65	N 0	NW 3	NNW 2	2	7	3	.	⌙ I, ⸝ a-n mU
5	–0.8	4.8	–0.6	1.1	0.0	730.1	730.7	731.1	93	70	96	NW 2	NNW 1	NW 0	2	1	0	.	⌙ I
6	–2.4	2.0	–0.8	–0.4	–1.6	730.8	730.1	729.1	99	100	100	W 0	NW 0	S 0	10	10≡	0	.	≡ a-p, ⌙ I, III
7	**–5.0**	0.6	–2.2	–2.2	–3.4	727.3	726.5	726.0	100	100	97	S 0	NNW 0	SSE 0	1≡	10≡	0	.	≡ a-p, ⋁ I
8	–4.0	4.0	0.0	0.0	–1.3	727.9	727.8	729.6	100	87	88	W 0	NW 0	S 0	10≡	1	0	.	≡ n-a, ⋁ I, ⌙ III
9	–2.4	5.6	0.8	1.3	–0.1	732.1	732.5	734.2	90	67	83	S 1	NW 1	SSE 0	1	1	0	.	⌙ I, III
10	1.2	8.2	1.8	3.7	2.3	734.5	733.5	733.1	84	58	85	SE 1	N 0	SSE 0	9	3	0	.	
11	–1.6	3.4	1.8	1.2	–0.3	732.5	731.8	731.6	98	85	93	S 0	NW 1	SE 0	10	9	10	.	≡ n-a mU, ⌙ I
12	–1.2	2.8	–1.6	0.0	–1.6	731.6	731.7	733.1	97	80	97	E 0	NW 1	SSE 0	10≡	3	0	.	≡ n-a, p-n mU
13	–3.2	0.4	–3.0	1.9	–3.5	735.9	737.4	738.1	100	94	98	SE 1	NE 0	S 0	10≡	10	0	.	≡ n-p mU, ⌙ I, III
14	–2.6	0.8	–2.6	–1.5	–3.2	739.5	740.4	741.0	100	84	98	S 1	S 0	S 0	10	10	5	.	≡ n-a mU, ⌙ I
15	–2.8	1.6	–1.0	–0.7	–2.5	742.1	741.8	**742.3**	100	85	99	SE 1	NNW 1	S 0	10≡	2	0	.	≡ n-a mU, ⌙ I
16	–1.8	0.8	–1.2	–0.7	–2.6	742.1	741.5	741.2	100	87	100	S 1	E 0	SSE 0	10≡	10	10	.	≡ n-p mU, ⌙ I, III
17	–1.4	4.0	0.0	0.9	–1.0	740.7	740.4	739.5	90	67	89	E 0	S 0	S 0	10	3	0	.	
18	–2.6	7.6	0.6	1.9	–0.1	734.5	733.5	733.1	93	60	87	SE 1	NW 1	SSE 0	4	2	0	.	⌙ I
19	–3.2	7.4	1.4	1.9	–0.2	736.5	735.6	734.5	93	60	75	N 0	NNW 1	SSE 0	0	0	0	.	⌙ I
20	–2.8	10.1	1.2	2.8	0.6	733.3	731.7	731.0	88	**40**	83	S 0	N 0	SE 0	0	0	0	.	⌙ I
21	–0.8	8.6	4.0	3.9	1.7	731.8	729.9	729.1	92	55	91	SE 1	NE 0	NW 1	6	10	10●	**14.6**	⛆ 21½ ● ✳ n (21./22.), ⌙ I
22	0.6	2.4	3.2	2.1	–0.2	728.1	729.7	730.8	100	100	99	NNE 0	S 0	NNE 0	10●	10●	10	7.8	● ✳ n-p mU
23	2.6	8.6	1.8	4.3	1.9	731.6	731.4	730.6	100	67	99	N 0	NW 1	SSE 1	10	1	0	.	✳ fl a mU
24	–1.6	7.6	3.2	3.1	0.6	730.3	729.1	729.0	98	74	90	S 0	NW 1	NNW 0	0	6	7	.	⌙ I
25	–0.6	9.6	3.4	4.1	1.5	729.8	730.6	731.3	97	65	80	SE 0	NW 1	SE 0	0	0	0	.	⌙ I
26	–0.6	9.8	2.4	3.9	1.1	732.1	731.7	733.1	93	52	84	SE 1	NW 1	S 1	0	0	0	.	⌙ I
27	–0.3	11.0	3.2	4.6	1.7	733.6	732.3	732.0	94	50	80	S 1	NW 0	SSE 0	0	0	0	.	⌙ I
28	–1.4	**11.2**	4.8	4.9	1.9	731.4	730.1	728.6	93	48	76	SE 0	SSE 0	SE 0	0	0	7	.	⌙ I
Mittel	–1.7	5.0	0.7	1.3	—	732.4	732.1	732.2	95	71	89				5.6	4.3	2.5	Summe 22.4	

Februar 1959
Beobachter: *Observatoire*

Genève

$\lambda = 6° 09'$, $\beta = 46° 12'$,
$H_b = 405.0$ m, G = –0.05 mm

Tag																			
1	0.0	1.3	0.5	0.6	–0.4	728.0	725.6	**724.1**	63	56	61	NNE 3	NNE 3	NNE 4	10	8	3	.	⸝ n-n, ⸝ III
2	–0.2	1.2	0.3	0.4	–0.7	725.9	727.6	729.3	66	64	66	NNE 3	NNE 3	NNE 2	9	10	10	.	⸝ n-n mU
3	–0.6	0.7	–0.3	–0.1	–1.3	732.5	732.7	732.8	73	68	75	NNE 2	NNE 1	NE 2	10	9	10	.	
4	–1.6	–0.8	–0.4	–0.9	–2.1	733.3	733.5	734.3	83	81	84	NNE 1	NNE 1	NE 1	10	10	3	.	
5	–2.5	4.0	1.4	1.0	–0.3	734.9	735.0	735.3	92	68	85	E 1	NNE 1	NNE 1	10≡	4	4≡	.	≡ n-n mU
6	–1.5	5.3	2.0	1.9	0.5	735.2	733.7	732.9	94	67	85	S 1	NNE 1	NE 1	10≡	3	0	.	≡ n-a, ⌙ I
7	–1.7	6.3	2.0	2.2	0.8	731.4	730.2	730.2	94	62	86	S 1	N 1	NNE 1	7≡	2	3	.	≡ n-a, ⌙ I
8	–1.4	6.1	2.1	2.3	0.8	731.7	732.6	733.7	94	63	84	SW 0	NE 1	NE 0	4	2	2	.	
9	–1.3	5.4	2.6	2.2	0.6	736.5	736.7	738.3	92	66	81	S 1	NNE 1	NNE 1	5≡	6	3	.	≡ n-a, ⌙ I
10	–0.6	6.2	3.6	3.1	1.5	739.2	737.5	736.8	94	64	81	SW 1	NNE 1	S 1	7≡	8	4	.	≡ n-n mU, ⌙ I
11	0.2	4.2	3.5	2.6	0.9	735.6	735.7	735.7	94	87	89	SE 1	NNE 1	NNE 1	10	8	9	.	⌙ I
12	2.0	2.8	0.5	1.8	0.0	735.5	735.8	738.0	94	84	91	NE 1	NE 1	SW 0	10	10	6≡	.	≡ n-n mU
13	–0.1	1.6	–0.7	0.3	–1.6	740.0	741.4	742.6	100	86	96	E 1	N 1	E 1	10≡	10	7≡	.	≡ n-n mU, ⌙ III
14	–0.6	0.9	0.3	0.2	–1.7	743.5	744.2	745.3	94	84	88	SE 1	NNE 1	NE 1	10	10	10	.	
15	–1.6	0.4	0.5	–0.2	–2.2	**746.5**	746.4	746.4	96	85	95	E 1	N 1	E 1	10	6	10≡	.	≡ p-n
16	–1.9	0.3	0.2	0.5	–2.6	746.0	744.5	742.9	98	84	80	NE 1	NE 1	E 1	10≡	9	3	.	≡ n-a
17	**–3.7**	4.0	4.6	1.6	–0.6	744.7	744.4	741.6	88	58	61	SE 1	NNE 1	NE 1	9	1	0	.	⌙ I
18	–1.2	6.5	2.7	2.7	0.5	742.4	742.0	741.4	87	56	76	SE 1	NNE 1	E 1	5	1	3	.	
19	–1.6	5.7	2.8	2.3	0.0	740.7	739.7	739.0	92	58	77	S 1	NNE 1	E 1	4≡	1	2	.	≡ n-a, ⌙ I
20	–1.5	9.7	9.0	5.7	3.3	738.1	736.2	736.4	92	**46**	47	SE 1	NNE 1	SW 1	1	0	3	.	⌙ I, Ψ III
21	0.7	7.7	5.2	4.5	2.0	735.6	734.7	734.9	81	62	71	SE 0	NNE 1	NNE 1	1	6	3	.	
22	3.4	6.9	7.3	5.9	3.3	734.4	734.2	734.0	81	79	76	N 1	NNE 1	NNE 2	10	3	1	.	
23	3.6	7.7	4.8	5.4	2.8	734.9	734.9	734.9	92	70	79	NE 0	NW 1	ENE 1	7	1	0	.	
24	–0.3	7.9	6.8	4.8	2.1	734.3	732.9	733.8	94	66	80	S 1	NNE 1	E 1	2	6	0	.	⌙ I
25	0.9	6.8	5.2	4.3	1.5	734.4	734.5	735.3	94	80	94	S 1	NNE 1	NNE 1	5≡	2	2	.	≡ n-a
26	1.0	8.9	5.3	5.1	2.2	736.2	736.0	737.1	92	59	91	S 0	N 1	NNE 1	4	0	2	.	⌙ I
27	0.6	9.8	5.1	5.2	2.1	737.4	736.4	736.2	92	52	77	SE 1	NNE 1	NNE 0	1	1	2	.	
28	0.0	**10.5**	6.3	5.6	2.4	735.7	734.0	732.9	91	47	75	S 1	NNE 1	NE 1	0	0	6	.	⌙ I
Mittel	–0.4	4.9	3.0	2.5	—	736.6	736.2	736.3	89	68	80				6.8	4.9	4.0	Summe 0.0	

$\lambda = 8°\,34'$, $\beta = 47°\,23'$,
$H_b = 569.4$ m, $G = -0.01$ mm

Zürich

Februar 1959
Beobachter: *Meteorologische Zentralanstalt*

Tag	Lufttemperatur 7³⁰	13³⁰	21³⁰	Mittel	Abweich. vom Normalst	Luftdruck 7³⁰	13³⁰	21³⁰	Relative Feuchtigkeit 7³⁰	13³⁰	21³⁰	Windrichtung und Stärke 7³⁰	13³⁰	21³⁰	Bewölkung 7³⁰	13³⁰	21³⁰	Niederschlag	Witterung
1	−3.5	−1.1	−2.0	−2.2	−0.9	715.0	713.9	**713.7**	90	72	71	NE 1	NE 2	NE 2	7	9	10	0.0	✳ fl a, ⌿ 13 n–n mU, ⌴ I
2	−2.5	−0.4	−2.7	−1.9	−0.7	**713.7**	714.3	715.3	71	57	69	ENE 2	NE 2	NE 2	10	7	8	.	⌿ n–n mU
3	−4.1	−1.9	−4.8	−3.6	−2.4	718.4	719.4	718.5	77	68	82	NE 1	NE 2	NNE 2	8	8	5	.	⌿ n–3¼, 14–21¼
4	**−5.4**	−1.4	−4.0	−3.6	−2.5	718.7	718.7	719.7	88	71	87	NE 1	NNE 2	NE 1	10	9	0	0.0	
5	−4.8	6.1	1.1	0.8	1.8	719.7	719.7	720.0	92	49	74	N 1	SW 1	E 1	2	1	0	0.0	≡ 8–11, ⌴ I
6	−1.7	7.5	1.5	2.4	3.3	719.8	719.0	718.2	91	52	82	W 0	S 1	NE 1	0	0	0	0.0	≡ 10–12½, ⌴ I, II, ⌓ III
7	−2.7	4.8	0.2	0.8	1.6	716.3	715.4	715.5	97	65	85	NE 0	SW 1	SE 0	0	0	0	0.0	≡ 8–11¾, ⌴ I, ⌓ III
8	−4.1	5.1	0.3	0.4	1.1	716.9	717.0	719.2	97	57	82	E 0	S 1	SW 0	0≡	1	0	0.0	≡ ⋁ 8–11, ⌓ II, ⌴ III
9	−2.5	7.0	2.9	2.5	3.1	721.3	721.8	723.3	98	58	76	NE 0	SSW 1	N 1	10≡	2	10	0.1	≡ 7–12, ⌴ I
10	1.9	6.7	2.1	3.6	4.1	723.9	722.9	722.3	89	67	90	WNW 0	NE 1	N 1	10●	3	9	1.4	● 7–7½, 9–10½, ≡ 8½–10
11	0.1	0.6	−0.7	0.0	0.4	721.7	721.1	721.1	97	90	95	ENE 1	NNE 1	E 1	10≡	10	10	0.1	≡ n–10, ⌴ I
12	−1.1	0.2	−1.1	−0.7	−0.4	720.7	720.8	722.4	97	86	93	E 1	WNW 1	ENE 1	10≡	10	10	.	≡ n–10, ⌓ I
13	−1.9	3.8	−1.2	0.2	0.4	724.8	726.3	727.5	90	59	88	NE 1	SSE 1	NE 1	10	0	0	0.0	⌓ I
14	−3.2	−0.6	−2.7	−2.2	−2.1	728.3	729.0	730.2	95	81	95	ENE 1	SSW 1	NW 1	10	10	10≡	.	≡ p–n, ⌴ I, ⌓ II
15	−3.5	−0.5	−1.4	−1.8	−1.8	731.0	730.9	**731.2**	95	87	95	N 1	NE 1	ESE 1	10≡	6	10≡	0.0	≡ n–12, p-n, ⋁ I, ⌴ III
16	−3.9	1.7	−1.2	−1.1	−1.2	731.0	730.3	730.0	93	67	82	NE 1	E 1	NE 1	10≡	1	0	.	≡ n–11½, ⋁ I, ⌴ III
17	−3.9	5.6	0.6	0.8	0.6	729.6	729.3	728.4	85	52	74	NE 0	SSW 1	E 1	1	6	0	.	≡ 8½–11, ⌴ I, ⌓ III
18	−0.9	9.3	1.9	3.4	3.1	727.1	726.9	726.6	79	42	71	NE 1	WSW 1	NE 0	9	5	0	.	⌴ I
19	−2.1	9.5	2.6	3.3	2.9	725.5	725.0	723.8	90	46	73	NNE 0	SW 1	NE 0	0	0	0	.	⌴ I
20	−0.4	11.0	6.6	5.7	5.2	722.2	720.9	720.3	80	42	52	E 0	WSW 1	SSW 2	0	0	9	.	⌴ I
21	3.7	5.5	2.3	3.8	3.2	719.7	719.1	718.7	70	69	93	SSW 1	WSW 1	SSW 2	7	10	10●	**2.6**	● 20¼-n, ⌿ 3–12¾, mU
22	2.5	4.5	4.4	3.8	3.1	717.4	718.7	720.5	92	81	86	WSW 2	SW 2	W 1	10●	10	10	0.5	● n–8½
23	−1.1	8.0	2.8	3.2	2.4	721.1	721.1	719.8	92	58	71	E 1	NNE 1	NNE 1	1	1	0	0.0	⌴ I, ⌓ III
24	−0.2	11.2	4.7	5.2	4.3	719.1	718.4	718.7	96	48	80	ENE 0	WSW 1	NE 1	0	7	6	0.0	≡ 6½–8¾ mU, ⌴ I, ⌓ III
25	−0.3	11.4	4.7	5.3	4.3	719.3	719.6	720.7	95	50	80	NE 1	WSW 1	SE 1	0	0	0	.	⌴ I, ⌓ III
26	0.8	11.3	5.3	5.8	4.7	721.2	721.1	722.3	87	50	75	WNW 0	WSW 1	N 0	0	0	0	.	≡ 8–12 mU, ⌴ I, ⌓ III
27	1.4	12.6	−5.6	6.5	5.3	722.7	721.7	721.1	87	44	75	NE 0	NE 1	NNW 1	0	0	0	.	⌴ I, ⌓ III
28	1.5	**13.6**	7.5	7.5	6.2	720.7	719.1	717.9	86	**41**	61	NE 0	SSW 1	SSE 0	0	0	0	.	⌴ I, ⌓ III
Mittel	−1.5	5.4	1.3	1.7	—	721.7	721.5	721.7	89	61	80				5.2	4.1	4.2	Summe ~~148.1~~ 4.7	

$\lambda = 6°\,32'$, $\beta = 46°\,51'$,
$H_b = 1601$ m, $G = -0.16$ mm

Chasseron

Februar 1959
Beobachter: *J. Liardon*

1	**−11.5**	−9.0	−10.4	−10.3	—	626.0	626.0	**623.9**	100	100	100	E 4	E 4	E 4	8	6	10≡	2.4	✧ 14-15. ≡ ⋁ 19-n, ⌿ n-n	50
2	−11.0	−8.4	−9.8	−9.7	—	624.5	625.8	626.7	100	100	100	E 4	E 4	E 4	10≡	10≡	8	.	≡ n–n mU, ⋁ I, ⌿ n–n	48
3	−5.0	−2.0	−1.8	−2.9	—	630.7	631.2	633.1	62	57	53	E 3	E 3	ESE 3	4	5	6	.		48
4	−0.2	4.0	1.4	1.7	—	632.0	633.2	634.3	41	34	44	ESE 2	SE 2	SE 2	5	4	5	.		48
5	3.0	5.8	3.6	4.1	—	635.2	635.8	636.2	44	31	41	SSE 2	W 2	W 2	7	6	3	.		48
6	2.4	4.4	1.6	2.8	—	635.6	634.9	634.0	30	40	46	N 2	N 1	E 2	3	2	2	.		45
7	2.0	4.6	1.4	2.7	—	631.9	631.6	631.2	36	42	48	SW 1	WNW 1	C 0	2	2	2	.		40
8	−1.0	1.8	1.4	0.7	—	631.6	631.7	633.5	49	57	70	E 2	E 2	E 2	3	4	2	.		38
9	0.8	2.2	1.4	1.5	—	635.9	637.0	638.1	78	68	70	ENE 2	NE 2	NE 2	4	5	7	.		36
10	0.0	1.4	−1.0	0.1	—	638.4	637.8	636.6	79	80	100	N 1	E 2	E 2	8	6	7	.		35
11	−2.0	0.4	−1.4	−1.0	—	635.3	635.0	634.8	100	74	75	E 2	C 0	ESE 2	5	5	3	.		34
12	−1.4	2.8	−0.8	0.2	—	634.3	634.9	635.8	72	38	46	W 1	NNW 2	E 2	2	3	2	.		34
13	−1.8	2.7	−0.2	0.7	—	638.4	639.8	640.5	45	31	34	C 0	N 1	E 2	3	2	2	.		34
14	0.8	5.6	1.8	2.7	—	641.1	642.3	643.1	21	16	16	ESE 2	C 0	C 0	0	0	0	.		31
15	4.4	5.8	3.0	4.4	—	644.3	644.8	**645.0**	**10**	**10**	**10**	NE 1	C 0	ENE 2	2	3	2	.		30
16	1.8	3.0	−0.0	1.6	—	643.8	642.9	642.2	**10**	12	20	NNE 2	E 2	E 4	2	2	0	.		30
17	−0.8	2.8	1.0	1.0	—	642.6	643.0	641.9	42	38	**10**	E 2	E 2	E 3	2	2	4	.		29
18	0.0	6.2	3.6	3.3	—	640.1	641.4	641.3	48	26	26	E 3	W 1	NW 1	4	3	2	.		25
19	4.0	**7.0**	5.6	5.5	—	640.2	640.1	639.4	22	23	**10**	N 1	ENE 1	E 2	2	0	0	.		24
20	3.2	4.0	3.4	3.5	—	638.0	637.1	636.0	32	37	82	W 2	WNW 3	WNW 4	0	2	4	.	⌿ p–n	23
21	3.4	3.0	−4.6	−3.7	—	634.1	634.2	632.9	100	100	100	NNW 3	NNW 3	NNW 3	10≡	10≡	10≡	2.7	● ✳ n (21./22.), ⋁ n n	23
22	3.2	−1.0	1.7	−2.0	—	632.3	633.9	632.1	100	100	100	WNW 4	NNW 2	NNW 3	10≡	10≡	10≡	**5.0**	✳ fl n-s, ≡ ⋁ n n, ⌿ n-a	24
23	−1.7	3.7	3.6	1.9	—	632.1	635.0	634.8	45	50	48	ENE 3	E 2	SSE 3	1	0	0	.		24
24	2.0	5.8	1.0	2.9	—	634.0	634.2	633.9	45	48	66	WNW 2	WSW 2	E 3	2	6	5	.		24
25	1.2	2.8	1.4	1.8	—	634.4	635.7	636.5	64	72	86	C 0	N 2	NE 1	2	1	0	.		22
26	0.4	4.6	3.0	2.7	—	636.2	637.1	637.8	90	41	56	NE 2	NE 1	E 2	0	2	0	.		21
27	1.4	**7.0**	4.4	4.3	—	637.1	637.7	637.4	58	26	26	E 3	ESE 1	E 2	0	1	0	.		21
28	3.0	6.8	4.6	4.8	—	636.2	635.8	635.2	50	35	46	W 2	NNE 2	E 1	0	0	3	.		20
Mittel	−0.4	2.6	0.5	0.9	—	635.6	636.1	636.0	56	49	55				3.6	3.6	3.5	Summe 10.1		

Februar 1959
Beobachter: *Stationspersonal Rh. B.*

Bever

$\lambda = 9° 53'$, $\beta = 46° 33'$,
$H_b = 1711.8$ m, G = –0.26 mm

Tag	Lufttemperatur					Luftdruck			Relative Feuchtigkeit			Windrichtung und Stärke			Bewölkung			Niederschlag	Witterung	
	7^{30}	13^{30}	21^{30}	Mittel	Abweich. vom Normalst	7^{30}	13^{30}	21^{30}	7^{30}	13^{30}	21^{30}	7^{30}	13^{30}	21^{30}	7^{30}	13^{30}	21^{30}			
1	–12.0	–8.1	–11.2	–10.4	–1.5	**617.3**	617.4	617.4	82	83	83	NW 1	NW 0	NW 0	4	10	10	0.0	✳ 15–nmU	73
2	–12.2	–6.8	–13.0	–10.7	–1.9	618.8	619.5	621.8	93	68	92	NW 0	SW 0	SW 0	10	2	0	.		73
3	–11.8	–0.6	–11.4	–7.9	0.8	623.8	624.5	626.5	95	61	95	SW 0	SW 0	W 0	7	9	0	.		73
4	–12.8	–0.5	–8.3	–7.2	1.4	627.5	627.3	628.7	97	62	90	SW 0	NE 0	SW 0	10	10	1	.		73
5	–9.4	2.8	–9.0	–5.2	3.3	628.3	628.5	627.7	97	62	93	SW 0	SW 0	SW 0	10	7	4	.		73
6	–13.8	0.0	–10.4	–8.1	0.3	626.8	625.1	625.8	100	59	89	SW 0	SW 0	SW 0	0	0	0	.		73
7	–15.5	3.2	–11.6	–8.0	0.3	623.8	622.8	624.0	100	41	90	SW 0	SW 0	W 0	0	0	0	.		72
8	–15.8	0.8	–12.5	–9.2	–1.0	624.4	623.9	625.5	98	50	91	W 0	SW 0	SW 0	0	0	0	.		72
9	–18.0	0.0	–11.2	–9.7	–1.6	627.3	627.3	629.3	100	46	89	SW 0	SW 0	SW 0	0	0	0	.		71
10	–10.8	2.3	–9.2	–5.9	2.1	629.1	628.2	628.5	89	53	88	SW 0	SW 0	SW 0	0	1	0	.		71
11	–16.4	0.2	–13.4	–9.9	–2.0	627.0	626.2	627.1	98	53	85	SW 0	SW 0	W 0	0	0	0	.		70
12	–19.0	–0.8	–14.8	–11.5	–3.7	626.5	626.8	628.4	98	44	83	W 0	W 0	W 0	0	0	0	.		70
13	–19.4	–1.2	–14.6	–11.7	–4.0	630.5	630.7	632.6	98	45	84	SW 0	SW 0	SW 0	0	7	0	.		70
14	**–20.0**	1.0	–11.2	–10.1	–2.5	633.7	633.6	635.3	95	50	84	SW 0	SW 0	SW 0	0	0	0	.		69
15	–16.8	2.6	–10.8	–8.3	–0.7	**636.2**	635.6	636.0	96	44	91	SW 0	NW 0	NW 0	0	0	0	.		69
16	–15.6	3.9	–7.2	–6.3	1.2	634.7	633.2	634.1	94	**25**	80	NW 0	N 0	W 0	4	2	0	.		69
17	–16.6	0.0	–0.9	–5.8	1.6	634.3	632.6	632.5	99	45	49	SW 0	E 0	NE 0	6	2	7	.		68
18	–13.9	1.9	–8.0	–6.7	0.6	632.7	631.3	632.7	97	49	85	SW 0	SW 0	SW 0	4	1	0	.		67
19	–16.0	5.0	–9.0	–6.7	0.5	631.9	631.3	630.9	98	47	80	SW 0	SW 0	SW 0	0	0	0	.		66
20	–15.0	5.3	–6.0	–5.2	1.9	629.2	626.8	626.6	95	39	79	SW 0	SW 0	SW 0	0	0	0	.	⌐ I	65
21	–9.4	3.3	0.0	–2.0	5.0	622.8	621.8	621.4	79	49	71	SW 0	SW 0	N 1	2	7	10	0.0	✳ 20–nmU	65
22	–1.4	1.5	–1.0	–0.3	6.6	620.8	622.5	622.9	81	60	85	E 0	NW 1	NW 1	10*	10	10	**0.1**	✳ n–9, ⫩ 13–nmU	65
23	–7.2	4.8	–7.8	–3.4	3.4	625.1	626.1	626.5	85	52	89	SW 0	NW 0	SW 0	7	6	0	.		65
24	–12.2	3.9	–5.0	–4.4	2.3	626.2	624.8	625.9	100	46	91	SW 0	SW 0	SW 0	0	0	8	.		63
25	–11.6	3.2	–7.5	–5.3	1.3	626.6	625.9	627.5	100	52	92	SW 0	SW 0	SW 0	0	0	0	.		62
26	–13.7	7.4	–6.0	–4.1	2.4	627.4	622.1	629.1	98	39	90	SW 0	SW 0	SW 0	0	0	0	.		62
27	–12.4	4.9	–6.6	–4.7	1.7	629.4	628.8	629.9	98	38	85	SW 0	SW 0	SW 0	0	0	0	.		61
28	–13.1	**9.0**	–5.0	–3.0	3.3	629.0	627.2	627.2	97	30	89	SW 0	SW 0	SW 0	0	0	0	.		61
Mittel	–13.6	1.8	–8.9	–6.9	—	627.5	627.0	627.9	95	50	85				2.6	2.6	1.8	Summe 0.1		

Februar 1959
Beobachter: *Couvent des Capucins*

Sion

$\lambda = 7° 22'$, $\beta = 46° 14'$,
$H_b = 548.6$ m, G = –0.14 mm

1	–0.8	0.4	–2.2	–0.9	–1.2	715.1	713.7	**712.2**	87	84	77	WSW 0	WSW 0	WSW 0	10	9	0	0.0	✳ fl 9–11½	
2	**–4.0**	2.7	–1.0	–0.8	–1.2	713.8	714.3	715.9	85	66	84	WSW 0	SSE 1	WSW 0	0	2	0	.		
3	–2.5	7.0	4.7	3.1	2.6	719.7	719.3	719.9	90	43	51	N 0	WSW 1	WSW 0	1	3	0	.		
4	3.8	11.4	7.4	7.5	6.9	720.3	719.7	721.8	56	42	57	NE 0	NE 0	E 1	2	6	0	.		
5	5.2	12.3	6.7	8.1	7.4	722.3	721.8	722.7	64	44	59	E 1	E 0	ENE 1	8	2	0	.		
6	1.5	8.5	5.2	5.1	4.3	723.1	720.9	719.9	82	48	64	ENE 1	ENE 0	ENE 1	0	0	0	.		
7	1.0	7.4	3.5	4.0	3.1	719.7	717.9	719.6	76	45	67	NE 0	NE 1	NE 0	1	0	0	.		
8	0.0	8.1	3.8	4.0	3.0	719.9	719.2	721.4	79	46	67	NE 0	NE 0	W 0	0	4	0	.		
9	–0.6	8.5	4.1	4.0	2.9	724.2	724.3	726.1	82	40	66	W 1	W 0	W 0	2	3	3	.		
10	1.5	8.7	4.1	4.8	3.6	726.6	724.1	724.4	77	46	66	SW 1	SW 0	W 0	9	1	0	.		
11	–0.7	7.1	2.4	2.9	1.6	724.0	722.5	723.2	87	53	75	W 0	W 1	W 0	2	5	0	.		
12	–1.1	6.4	1.0	2.1	0.7	723.3	722.5	724.8	82	45	78	W 0	W 0	SSE 0	0	1	0	.		
13	–2.0	7.1	0.8	2.0	0.5	727.8	727.6	729.6	74	41	83	SSE 0	S 0	W 0	0	0	0	.		
14	–1.5	7.9	0.2	2.2	0.6	731.0	729.7	731.9	74	43	85	WSW 0	WSW 1	WSW 0	0	0	0	.		
15	–1.7	7.8	1.0	2.4	0.7	**733.1**	732.3	733.0	85	45	89	WSW 0	WSW 0	WSW 0	0	0	0	.		
16	–1.0	5.6	0.0	1.5	–0.3	732.4	730.3	730.1	83	62	91	SW 0	SW 2	W 0	1	0	0	.		
17	–2.0	7.5	2.9	2.8	0.9	731.5	729.8	728.8	91	51	70	W 1	S 1	WSW 1	1	0	0	.		
18	–1.0	8.3	4.3	3.9	1.9	728.9	728.3	728.2	85	51	69	ENE 0	ENE 1	WSW 1	0	0	0	.		
19	–0.1	9.8	4.1	4.6	2.4	728.0	726.2	726.2	81	45	69	WSW 0	WSW 1	SW 0	0	0	0	.		
20	0.5	11.1	5.8	5.8	3.5	726.1	723.2	722.6	77	39	60	SW 0	SW 0	W 0	0	0	0	.		
21	2.2	9.4	4.8	5.5	3.1	722.2	719.8	720.9	73	56	72	E 0	SW 3	W 2	1	3	5	**0.8**	● n (21./22.), ☄ a–p	
22	3.2	9.6	7.0	6.6	4.1	721.2	720.0	720.7	96	69	72	W 1	WNW 2	WNW 1	10	3	6	0.4	● a	
23	3.2	11.0	5.2	6.5	3.9	722.5	721.5	722.3	85	55	78	ENE 0	NE 1	W 0	3	0	0	.		
24	2.2	12.3	6.8	7.1	4.4	722.2	719.7	720.6	80	43	62	W 1	SSE 1	ENE 0	0	4	6	.		
25	0.8	11.0	6.4	6.1	3.3	722.6	721.2	723.2	87	47	68	ENE 0	W 1	W 0	0	0	0	.		
26	0.8	11.7	6.8	6.4	3.4	724.0	722.8	724.9	85	45	63	NNE 0	N 0	ENE 0	0	0	0	.		
27	1.2	13.0	7.2	7.1	4.0	725.2	723.3	723.9	80	37	60	ENE 1	W 0	N 1	0	0	0	.		
28	1.2	**13.8**	7.8	7.6	4.4	723.6	720.8	721.0	76	**35**	56	N 0	N 0	NW 0	0	0	0	.		
Mittel	0.3	8.8	4.0	4.4	—	724.1	722.7	723.6	81	49	70				1.8	1.6	0.7	Summe 1.2		

$\lambda = 8° 58'$, $\beta = 46° 00'$,
$H_b = 276.2$ m, G = –0.04 mm

Lugano

Februar 1959
Beobachter: *A. Tison*

Tag	Lufttemperatur					Luftdruck			Relative Feuchtigkeit			Windrichtung und Stärke			Bewölkung			Niederschlag	Witterung
	7^{30}	13^{30}	21^{30}	Mittel	Abweich. vom Normalst.	7^{30}	13^{30}	21^{30}	7^{30}	13^{30}	21^{30}	7^{30}	13^{30}	21^{30}	7^{30}	13^{30}	21^{30}		
1	–1.4	3.6	1.2	1.1	–1.8	**734.7**	735.5	739.1	92	86	97	N 1	SSE 1	NNW 1	5	10	10	4.6	✳ 20–nmU
2	0.6	3.7	1.5	1.9	–1.1	740.6	742.2	743.3	97	80	91	N 1	SSW 1	NW 1	10*	10*	10●	8.3	✳ n-p, ● p-p, ● ✳ n (2./3.) 3
3	0.6	3.2	2.2	2.0	–1.1	747.1	748.4	748.7	97	73	92	N 1	S 0	NNE 1	10●*	10	10	.	✳ ● n–5, 7½ 3
4	2.2	6.1	3.4	3.9	0.8	749.4	749.4	750.7	89	68	87	NNW 0	SSW 1	NNW 1	10	9	10	.	
5	3.2	7.4	2.4	4.3	1.1	750.3	749.6	748.6	93	66	93	SSE 0	S 1	NNE 1	10	8	4	.	
6	0.2	10.9	3.7	4.9	1.6	746.1	745.4	745.4	97	42	84	N 1	SSE 1	NNW 1	0	1	0	.	⌊ I
7	0.2	11.2	3.9	5.1	1.7	744.0	743.3	743.9	90	41	66	N 1	S 0	NNE 1	0	0	0	.	⌊ I
8	–0.6	10.4	1.9	3.9	0.5	745.1	745.7	747.1	88	36	73	N 1	S 1	N 1	0	1	0	.	⌊ I
9	–1.4	8.2	2.7	3.2	–0.3	749.3	749.5	751.4	95	48	83	N 1	S 1	NNE 1	3	1	3	.	⌊ I
10	–0.3	10.1	3.1	4.3	0.7	751.3	749.6	749.3	93	41	80	N 1	S 1	NE 1	6	1	0	.	⌊ I
11	–0.8	10.0	2.1	3.8	0.1	748.7	747.7	748.1	97	48	80	N 1	SSE 1	NNE 1	2	0	0	.	⌊ I
12	–1.0	9.4	1.4	3.3	–0.5	747.6	748.4	751.2	88	43	68	N 1	S 1	N 1	0	0	0	.	⌊ I
13	**–2.2**	8.3	1.2	2.4	–1.4	753.0	752.8	754.7	83	44	76	NNW 1	S 1	NNE 1	0	1	0	.	⌊ I
14	–1.8	9.9	2.1	3.4	–0.5	755.5	755.1	755.7	84	37	65	N 1	S 1	N 1	0	0	0	.	⌊ I
15	–0.6	14.1	5.2	6.2	2.2	**755.9**	754.9	754.4	69	27	55	N 1	SSE 1	N 1	0	0	0	.	⌊ I
16	0.4	12.2	6.0	6.2	2.1	753.0	751.8	753.9	73	43	57	N 1	SE 1	N 1	5	0	0	.	⌊ I
17	–0.4	12.0	3.9	5.2	1.0	754.9	752.7	753.0	81	41	77	N 0	S 1	NNE 1	1	1	1	.	⌊ I
18	–0.1	11.7	5.0	5.5	1.2	753.4	751.8	751.7	92	45	73	NNW 1	SSE 1	NNE 1	3	0	0	.	⌊ I
19	0.0	12.8	5.3	6.0	1.7	749.7	749.2	749.2	89	44	66	N 1	SSE 0	N 1	1	0	0	.	⌊ I
20	0.7	13.1	6.8	6.9	2.5	747.1	745.2	744.0	83	47	64	N 1	SSW 1	N 1	0	0	0	.	⌊ I
21	1.0	15.4	11.6	9.3	4.8	740.0	737.1	736.9	88	36	28	N 1	S 1	NNE 2	1	3	1	.	⌊ I
22	12.8	**19.7**	14.2	15.6	11.0	736.2	736.1	738.9	33	**22**	25	N 3	NE 3	NNE 2	1	1	0	.	⸝ n-p
23	5.4	11.8	7.0	8.1	3.4	745.1	745.8	746.6	84	57	79	N 1	S 1	N 1	10	6	10	.	
24	5.3	12.1	6.1	7.8	3.0	747.1	746.3	747.6	94	54	83	E 0	S 1	NNW 0	10	5	10	.	
25	1.4	13.0	5.8	6.7	1.8	748.2	746.8	746.7	97	49	78	N 0	SSE 1	N 1	8	2	0	.	
26	1.7	13.7	7.1	7.5	2.4	747.1	747.1	748.0	93	44	72	N 1	S 1	N 1	0	0	0	.	⌊ I
27	1.8	14.7	8.8	8.4	3.2	748.4	747.9	748.0	88	37	57	N 1	S 0	N 1	0	0	0	.	⌊ I
28	2.6	15.4	9.7	9.2	3.9	747.2	745.8	745.4	86	41	48	N 1	S 1	NNE 1	0	0	2	.	
Mittel	1.1	10.9	4.8	5.6	—	747.7	747.2	747.9	87	48	71				3.4	2.5	2.5	Summ 12.9	

$\lambda = 7° 35'$, $\beta = 47° 33'$,
$H_b = 317.3$ m, G = 0.08 mm

Basel

Februar 1959
Beobachter: *Astronom.-Meteorol. Anstalt*

1	–4.5	–1.6	0.6	–1.8	–2.0	738.7	737.7	**737.1**	100	98	56	NW 1	WNW 0	ENE 2	10≡	10	10	.	≡ 5¼–14½mU, ⌊ I, ⸝ 21¼
2	0.2	1.0	–0.5	0.2	–0.1	**737.1**	737.9	738.8	62	55	58	ENE 2	ENE 2	ENE 1	10	10	10	.	⸝ 3¼
3	–1.6	0.2	–2.8	–1.4	–1.7	741.7	742.6	741.9	68	66	70	ESE 2	E 2	ESE 2	10	5	0	.	⸝ 22¼
4	–3.6	1.1	–1.2	–1.2	–1.6	741.6	741.5	742.2	83	71	81	E 2	E 1	E 0	10	0	0	.	
5	–2.6	6.8	–1.9	0.8	0.3	742.0	742.1	743.3	94	53	98	ESE 1	NW 0	SW 0	6	3	0	.	
6	–5.4	6.0	–1.7	–0.4	–0.9	743.2	741.9	741.1	100	65	99	E 0	E 0	SW 0	0	0	0	.	⌊ I
7	**–5.8**	5.8	0.3	0.1	–0.5	738.9	737.9	737.7	100	70	91	E 0	WNW 1	E 1	0≡	0	0	.	≡ 7½–8¾, ⌊ I
8	–1.3	7.8	1.3	2.6	1.9	739.1	739.5	741.6	97	64	84	ESE 1	ESE 1	ENE 0	0	1	0	.	⌊ I
9	–1.1	8.7	3.7	3.8	3.1	743.7	744.1	745.8	95	62	77	ENE 1	SE 1	E 0	1	1	5	1.0	⌊ I
10	2.6	7.8	3.8	4.7	3.9	746.4	745.7	745.5	100	84	97	ESE 1	ESE 1	NW 1	10	10	10	1.1	● 7–8 mU
11	1.1	4.1	0.4	1.9	1.0	744.6	744.2	743.7	100	93	98	NW 0	WNW 1	E 1	10≡	5	0	.	≡ 5–11
12	–0.2	4.1	0.7	1.5	0.5	743.3	743.5	745.2	100	85	100	E 1	NW 1	ENE 1	10	6	10	.	
13	–1.6	5.1	–1.2	0.8	–0.2	747.3	749.1	751.0	100	77	100	SE 1	WSW 1	NW 0	0	0	10≡	.	≡ 17¾–n
14	–3.0	5.6	–2.4	0.1	–1.0	751.3	751.7	753.2	100	66	100	ENE 1	ESE 1	NW 0	4	0	10≡	.	≡ n–2, 19–23¾
15	–3.7	4.2	–3.7	–1.1	–2.3	754.2	754.1	**754.7**	100	68	100	E 0	E 0	WNW 0	10≡	7	10≡	.	≡ 3¾–9, 20½–n, ⌊ I
16	–4.0	3.2	–3.4	–1.4	–2.7	754.0	753.4	753.7	100	75	100	ESE 1	NW 1	NW 1	7	0	10≡	.	≡ n–4¾, 19¾–n, ⌊ I
17	–4.3	3.8	–0.7	–0.4	–1.7	753.4	752.8	751.7	100	79	93	SSE 1	NW 1	SW 0	10≡	6	0	.	≡ n–10¾, ⌊ ⋁ I
18	–1.8	1.2	–1.5	–0.7	–2.1	750.6	750.3	749.8	100	98	100	SSW 0	WNW 1	NW 0	10≡	10	10≡	.	≡ 5¼–14½ mU, 18–n
19	3.2	1.2	2.7	1.6	3.1	748.5	748.0	747.2	100	97	100	SE 0	NW 1	NW 0	10≡	7	10≡	.	≡ n 11¾, 18¼ –n
20	–4.0	11.3	5.8	4.4	2.8	745.0	743.4	743.0	100	**48**	78	ESE 1	E 0	SW 1	10≡	0	0	.	≡ n–9¾, ⌊ ⋁ I
21	3.0	6.0	4.8	4.6	3.0	742.9	742.9	741.9	92	81	90	WSW 2	WNW 2	WSW 2	9	10	10	**3.4**	● 21 nmU
22	4.8	7.1	3.8	5.2	3.5	740.4	741.5	743.7	90	88	93	WSW 2	WNW 2	NW 1	10	10	10	.	●n–2¾
23	–0.2	8.2	1.4	3.1	1.3	743.9	743.9	742.4	100	65	98	NW 0	NNW 1	SW 1	5≡	0	0	.	≡ 7½–9 mU
24	0.0	10.9	4.0	5.0	3.1	741.6	741.0	741.8	100	56	97	ESE 1	NW 1	WSW 1	0	9	9	.	⌊ I
25	0.6	9.4	3.8	4.6	2.6	741.8	742.4	743.0	100	66	89	SE 1	WNW 1	E 1	10≡	0	0	.	≡ 1¾–11¼
26	1.2	13.4	4.5	6.4	4.3	743.5	743.3	744.7	93	50	88	ESE 1	NNE 1	E 0	0	0	0	.	⌊ I
27	1.0	13.5	3.2	5.9	3.7	744.9	744.1	743.4	93	52	99	E 1	NNE 1	WNW 1	0	0	0	.	⌊ I
28	1.6	**15.2**	6.0	7.6	5.3	742.8	741.0	740.5	100	50	88	ESE 1	SE 1	W 0	0	0	4	.	⌊ I
Mittel	–1.3	6.1	0.9	1.9	—	744.5	744.3	744.6	95	71	90				6.1	3.9	4.9	Summe 5.5	

Februar 1959
Beobachter: *Observatorium*

Säntis

$\lambda = 9° 21'$, $\beta = 47° 15'$,
$H_b = 2500.1$ m, G = –0.29 mm

Tag	Lufttemperatur					Luftdruck			Relative Feuchtigkeit			Windrichtung und Stärke			Bewölkung			Niederschlag	Witterung	
	7^{30}	13^{30}	21^{30}	Mittel	Abweich. vom Normalst	7^{30}	13^{30}	21^{30}	7^{30}	13^{30}	21^{30}	7^{30}	13^{30}	21^{30}	7^{30}	13^{30}	21^{30}			
1	**-17.4**	-16.0	-16.4	-16.6	-7.5	557.1	**556.3**	556.5	100	100	88	NE 2	NE 3	E 3	10≡*	10≡	10≡	0.0	6¾–7½, 15¾–16½, ≡ n-n mU	190
2	-11.2	-8.4	-8.4	-9.3	-0.2	557.6	558.9	560.2	78	64	71	SE 3	SE 3	SSE 4	1	1	7	.		190
3	-7.2	-4.4	-4.1	-5.2	4.0	562.7	564.4	564.7	84	65	56	SSE 3	SW 2	SW 3	8	9	1	.	⊕ 11–16½	190
4	-3.2	-3.0	-2.8	-3.0	6.2	565.7	566.4	567.9	58	72	62	SW 3	SE 3	S 3	1	8	3	.		190
5	-4.2	-0.4	-3.1	-2.6	6.6	567.6	568.1	568.5	76	66	60	SW 3	SW 2	W 2	1	1	1	.		190
6	-5.0	-2.9	-4.4	-4.1	5.1	567.0	566.6	565.9	76	64	54	W 3	W 2	W 3	1	1	1	.		190
7	-3.8	-1.0	-4.6	-3.1	6.1	564.2	563.9	563.8	38	42	52	WNW1	WSW2	WSW2	1	1	1	.		190
8	-4.9	-3.0	-4.8	-4.2	5.0	564.2	564.9	566.3	46	45	48	NE 2	ESE 1	E 2	1	1	1	.		180
9	-5.8	-2.8	-5.4	-4.7	4.5	567.5	568.4	569.8	87	78	96	N 2	N 1	WNW2	1	5	10	0.0	✳ n (9./10.)	180
10	-6.2	-3.3	-6.2	-5.2	4.0	569.4	569.0	568.2	100	86	69	W 2	SW 1	E 1	10≡*	9	5	0.0	✳ 6½–9, ≡ 6½–17 mU	170
11	-6.4	-4.8	-8.0	-6.4	2.8	566.9	566.6	566.4	62	48	38	E 1	SE 1	SSW 2	1	1	1	.		170
12	-8.3	-5.0	-8.4	-7.2	2.0	565.7	566.1	567.4	49	52	54	N 1	SE 1	SW 2	0	1	0	.		160
13	-6.9	-3.4	-4.8	-5.0	4.2	569.5	571.3	572.2	42	24	36	WSW2	SE 2	SE 1	1	1	0	.		160
14	-5.2	-0.8	-3.4	-3.1	6.0	572.9	574.0	575.1	27	33	37	SW 1	SW 2	SW 2	1	1	0	.		160
15	-3.2	0.7	-3.4	-2.0	7.1	575.8	**576.5**	576.3	35	25	27	SW 1	WNW1	N 1	1	6	9	.	⊕ 13½-n, ⏦ 21½	160
16	-5.0	-3.8	-6.2	-5.0	4.1	574.8	574.7	574.2	20	28	64	N 2	NE 2	E 3	1	8	1	.	⟠ 14¾–17 mU	160
17	-3.4	-4.2	-5.4	-4.3	4.7	574.0	574.0	573.5	**9**	14	91	NE 3	NE 2	E 3	5	5	7	.		160
18	-2.8	2.0	0.2	-0.2	8.8	572.8	573.5	573.5	36	15	20	E 3	E 2	NE 2	7	5	1	.		160
19	-1.3	0.4	-2.0	-1.0	8.0	572.1	572.3	571.3	**9**	41	39	N 3	SE 1	NE 2	1	1	0	.		160
20	-3.2	-2.2	-6.6	-4.0	4.9	569.4	568.6	565.7	38	41	96	W 3	W 3	W 4	1	1	10	0.0	⸝ p–n	160
21	-9.4	-8.0	-9.8	-9.1	-0.2	563.2	563.0	562.1	100	100	100	W 5	WSW4	W 4	10≡*	10≡	10≡*	**25.1**	✳ n-9¼, 19-n, ≡ ⋁ ⸝ n-n. ⸝ I	160
22	-9.0	-7.7	-8.0	-8.2	0.6	560.7	563.3	565.1	100	100	100	W 4	W 4	W 3	10≡*	10≡*	10≡*	17.6	✳ ≡ ⋁ n-n, ⸝ ⸸ n–19	186
23	-6.4	-4.8	-6.0	-5.7	3.1	566.2	567.3	567.2	91	85	73	NNE 3	NNE 2	NW 2	1	1	0	.		200
24	-5.8	-4.2	-4.4	-4.8	3.9	565.9	566.2	566.8	86	88	66	W 4	W 3	W 2	1	1	7	.	⏦ 21½	200
25	-3.2	-1.0	-3.4	-2.5	6.1	567.0	567.7	568.6	50	53	43	WNW2	S 1	N 1	1	1	1	.		190
26	0.4	3.4	0.4	1.4	10.0	568.4	569.2	**570.3**	28	24	24	S 2	SW 2	WSW2	0	1	0	.		190
27	-0.4	**4.2**	1.0	1.6	10.1	570.4	571.0	570.7	22	21	25	W 1	SSE 1	E 1	0	1	0	.		190
28	0.8	2.4	0.6	1.3	9.7	569.2	568.4	567.8	22	21	26	E 2	SE 2	SW 2	1	1	5	.		180
Mittel	-5.3	-2.9	-4.9	-4.4	—	567.4	567.9	568.1	56	53	58				2.8	3.6	3.6	Summe 42.7		

Februar 1959
Beobachter: *E. Chiesa*

St. Gotthard (Hospiz)

$\lambda = 8° 34'$, $\beta = 46° 33'$,
$H_b = 2095$ m, G = –0.27 mm

1	-12.4	-12.5	**-12.7**	-12.5	-5.0	586.6	**585.9**	586.3	95	93	95	NW 3	NW 2	NW 2	10≡	10	10-	5.1	✳ n-n mU, ≡ ⋁ n-n mU, *)	200
2	-9.7	-6.2	-9.4	-8.4	-0.9	587.3	589.0	590.1	94	96	95	SE 0	SE 0	SE 0	10≡*	10≡*	9	4.4	✳ ≡ n–18¾	210
3	-7.0	-4.7	-5.0	-5.6	1.9	592.9	594.6	595.6	96	97	96	SE 1	SE 1	SE 1	10	10	10	0.4	✳ fl a, p mU	215
4	-4.8	-1.6	-2.8	-3.1	4.4	596.1	597.1	598.5	96	82	90	SE 1	SE 1	SE 1	10	10	10*	6.8	✳ 14½–n	215
5	-4.0	0.5	-4.8	-2.8	4.7	598.1	598.4	597.9	98	75	71	SE 0	SE 0	SE 0	10≡*	10	0	.	✳ ≡ n–9¾	215
6	-2.4	0.6	-3.0	-1.6	5.9	596.3	596.4	595.6	51	43	53	NW 1	NW 0	NW 1	0	0	0	.		215
7	-7.2	0.2	-5.8	-4.3	3.2	593.8	593.9	593.8	60	64	74	E 0	SE 1	SE 1	0	0	0	.		205
8	-8.0	-0.6	-5.8	-4.8	2.7	593.8	594.2	595.5	73	56	64	NW 0	SE 0	NW 0	0	0	0	.		205
9	-4.4	-0.6	-3.8	-2.9	4.5	596.6	597.5	599.0	45	43	60	NW 1	NW 1	NW 0	0	0	0	.		205
10	-4.4	-1.4	-6.0	-3.9	3.5	599.1	598.6	598.2	62	66	75	NW 1	NW 0	NW 0	0	0	0	.		205
11	-6.5	-0.8	-8.8	-5.4	2.0	596.8	596.8	596.6	81	61	84	SE 0	SE 0	SE 0	6	0	0	.		200
12	-8.6	-2.0	-9.4	-6.7	0.7	595.6	595.9	598.5	39	35	51	NW 0	SE 0	SE 0	0	0	0	.		200
13	-5.4	-1.4	-6.0	-4.3	3.1	599.2	600.5	601.8	34	35	40	NW 0	NW 0	NW 0	0	0	0	.		195
14	-5.5	2.0	-4.2	-2.6	4.7	602.3	603.2	603.8	27	28	38	NW 0	SE 0	NW 0	0	0	0	.		190
15	-3.0	2.4	-0.8	-0.5	6.8	604.3	**606.0**	605.2	33	30	37	NW 0	NW 1	NW 1	0	0	0	.		188
16	-2.1	-1.5	-5.0	-2.9	4.4	603.6	603.4	603.6	35	38	53	NW 3	NW 2	NW 1	3	0	0	.		186
17	-3.0	-1.2	-2.0	-2.1	5.1	603.3	603.3	603.0	**26**	40	55	NW 1	NW 2	NW 1	0	0	0	.		186
18	-1.7	2.0	-0.6	-0.1	7.1	602.0	602.2	602.4	44	35	40	NW 0	NW 1	NW 1	0	0	0	.		185
19	-2.0	3.1	-2.4	-0.4	6.7	601.1	601.4	600.8	37	36	35	NW 2	NW 1	NW 0	0	0	0	.		180
20	-2.2	2.0	-2.2	-0.8	6.2	598.9	598.3	596.7	42	41	59	NW 1	NW 1	NW 2	0	0	0	.		178
21	-4.8	-4.7	-5.8	-5.1	1.9	593.1	593.1	592.3	71	83	98	NW 3	NW 3	NW 3	0	3	10≡	**23.0**	✳ n (21./22.), ≡ 14–18 mU, *)	175
22	-5.0	3.0	-4.0	4.0	2.9	591.7	593.0	593.7	99	95	96	NW 3	NW 3	NW 3	10*	10≡	10≡	15.0	✳ n-a, ≡ n n mU, *)	180
23	-5.8	0.2	-1.8	-2.5	4.4	595.3	596.5	596.6	97	60	54	NW 1	NW 0	NW 0	0	0	0	.	⋁ I	180
24	-4.6	1.4	-4.4	-2.5	4.3	596.2	596.0	596.2	53	43	71	NW 0	NW 0	SE 0	0	0	3	.		180
25	-5.4	4.0	-4.0	-1.8	4.9	596.7	596.9	597.1	60	43	76	SE 0	SE 0	NW 1	0	0	0	.		175
26	-3.6	**5.6**	-1.5	0.2	6.9	597.2	598.2	599.0	28	32	39	SE 0	SE 0	SE 0	0	0	0	.		173
27	0.2	5.4	-0.3	1.8	8.4	599.0	600.0	599.9	30	38	41	NW 0	SE 0	SE 0	0	0	0	.		170
28	-3.0	4.6	-1.0	0.2	6.8	598.2	598.2	597.4	40	41	65	SE 0	SE 0	SE 0	0	0	0	.		167
Mittel	-4.9	-0.3	-4.4	-3.2	—	597.0	597.4	597.7	59	55	64				2.5	2.2	2.2	Summe 54.7		

*) 1. ⸝ n-a, ⸸ p–n
21. 18-n, ⸝ ⸸ n-n
22. ⸝ ⸸ n–n

$\lambda = 7°\,26'$, $\beta = 46°\,57'$,
$H_b = 572.2$ m, G = −0.04 mm

Bern

März 1959
Beobachter: *Meteorologisches Observatorium*

Tag	Lufttemperatur					Luftdruck			Relative Feuchtigkeit			Windrichtung und Stärke			Bewölkung			Niederschlag	Witterung
	7³⁰	13³⁰	21³⁰	Mittel	Abweich. vom Normalst	7³⁰	13³⁰	21³⁰	7³⁰	13³⁰	21³⁰	7³⁰	13³⁰	21³⁰	7³⁰	13³⁰	21³⁰		
1	1.3	12.5	6.5	6.8	5.1	718.2	716.4	716.1	86	50	74	SE 1	N 1	WSW 1	1	3	1	.	
2	0.7	12.2	6.9	6.6	4.8	716.1	714.7	714.7	84	**42**	71	ESE 1	N 1	ESE 1	1	6	1	.	
3	1.1	10.4	8.4	6.6	4.7	713.5	711.4	710.4	85	52	67	WSW 1	W 1	WSW 1	7	9	10	.	
4	6.4	10.8	6.3	7.8	5.7	706.3	704.3	705.7	80	65	93	WSW 1	W 1	NE 1	9	10	9	3.8	● 10½–11, 14–21 mU
5	4.6	10.3	7.4	7.4	5.2	706.0	705.9	705.1	95	76	89	E 1	ENE 1	W 1	10	7	5	.	≡ 3–7
6	6.6	14.0	8.9	9.8	7.5	705.2	704.6	704.8	90	57	94	SE 1	E 0	E 1	10	10●	10●	**24.6**	● 13¾–**n**
7	6.7	7.5	5.8	6.7	4.3	**703.1**	703.8	706.4	96	90	94	NW 1	W 1	ENE 1	10●	10●	10●	11.0	● **n**–23
8	4.7	8.4	6.1	6.4	3.9	708.8	709.1	710.9	96	79	82	SE 1	ENE 1	SE 1	9	7	0	0.9	● 5–10¾ mU
9	1.8	8.6	6.5	5.6	2.9	710.5	709.9	709.0	96	73	80	E 1	NNE 1	NNE 1	9	9	8	.	
10	4.2	10.6	8.9	7.9	5.1	708.6	708.7	708.8	92	66	80	E 1	NW 1	NNE 1	10	9	10	.	
11	3.6	12.4	9.7	8.6	5.7	707.4	705.2	704.7	94	51	75	S 1	E 1	WNW 0	7≡	3	10	5.2	≡ 4¾–10½
12	5.4	6.2	4.5	5.4	2.4	705.5	706.9	710.7	92	87	91	SW 1	SW 1	SW 1	10●	10●	10●	19.5	● 0¾–**n**
13	2.8	5.7	5.0	4.5	1.3	713.6	714.5	716.6	94	87	83	SE 1	SE 1	E 1	10●	9●	7	1.6	● **n**–13¾
14	2.8	5.7	4.2	4.2	0.9	716.4	716.5	716.9	92	74	77	ENE 1	ENE 1	ENE 2	9	7	4	.	
15	0.2	5.4	3.3	3.0	−0.4	716.8	716.2	715.1	97	72	74	NE 1	NE 1	WSW 1	6	7	2	0.0	
16	2.4	4.1	0.9	2.5	−1.1	712.3	711.1	709.3	87	82	97	SSE 1	W 1	NNE 1	10●	10●	10	4.2	● 7½–18¾, ✳ ● 18¾–21
17	2.3	4.7	3.0	3.3	−0.4	708.6	709.3	709.3	91	77	85	NNE 1	NNE 1	WNW 1	10	9	0	.	
18	**−0.1**	9.1	8.3	5.8	2.0	710.1	710.1	711.1	96	61	70	SE 1	NE 1	E 1	10≡	3	9	0.6	≡ 5–10, ⌙ I
19	5.3	12.1	8.0	8.5	4.5	713.5	712.6	713.1	90	53	83	SE 1	N 1	NE 1	10●	9	4	2.6	∀ 3¾–3½, 16–16¾, ● 4–8¾
20	5.7	13.0	10.4	9.7	5.6	714.8	714.7	715.1	84	58	75	SE 1	N 1	SE 1	8	5	3	.	● 0½–3¼ mU
21	4.0	15.0	11.2	10.1	5.9	716.9	716.6	718.0	91	48	68	SSE 1	WNW 1	SE 1	1	9	10	.	
22	7.4	14.1	10.6	10.7	6.3	718.6	719.0	**720.4**	85	63	85	SE 1	W 1	W 1	9	10●	10●	1.0	● 12¾–18¾ mU, 21–**n** mU
23	9.5	13.9	10.1	11.2	6.7	720.2	719.0	718.0	92	66	82	SE 1	NNE 1	E 0	10	6	1	.	● **n**–7¾
24	5.9	**15.7**	13.1	11.6	7.0	717.5	716.0	714.5	90	55	69	SE 1	NE 1	W 1	2	6	9	.	
25	9.7	9.1	6.0	8.3	3.5	711.9	711.3	711.8	89	80	91	WSW 1	W 1	SW 1	10	10●	10●	11.4	● 8–**n** mU
26	4.8	10.1	7.5	7.5	2.6	711.8	711.7	712.0	93	52	73	NE 1	ENE 1	NE 1	9	5	9	.	● **n**–5¾ mU
27	2.7	12.5	8.8	8.0	3.0	711.8	710.1	709.0	88	53	78	SE 1	W 1	S 1	1	4	9	1.2	⌙ I
28	7.4	9.2	7.6	8.1	2.9	710.0	710.6	711.5	88	86	91	SSW 1	WSW 1	NNW 1	10●	10●	10●	12.5	● 4¼–14 mU, 15¾–16¾, *)
29	6.7	11.7	9.4	9.3	4.0	710.5	708.8	706.5	82	48	66	ESE 1	ESE 1	ESE 1	9	5	9	3.7	● **n**–0¼
30	5.3	8.8	6.4	6.8	1.4	706.6	705.7	705.2	90	53	74	W 1	WSW 1	NNE 1	9	9	7	0.0	● 2–6¼
31	4.8	8.7	6.6	6.7	1.1	709.3	711.8	716.2	82	66	83	ENE 1	NE 1	NNE 1	10●	9	1	0.0	● 6–8¾
																		Summe	
Mittel	4.4	10.1	7.3	7.3		711.6	711.2	711.5	90	65	80				7.9	7.6	6.7	103.8	

*) 28. 20¾–**n**, ∀ 15¼–15¾

$\lambda = 6°\,57'$, $\beta = 47°\,00'$,
$H_b = 487.3$ m, G = 0.00 mm

Neuchâtel

März 1959
Beobachter: *Observatoire Cantonal*

1	1.4	11.8	6.7	6.6	4.2	725.9	724.3	723.7	94	43	49	ENE 0	ENE 1	SSW 0	2	1	0	.	⌙ I
2	1.0	10.9	6.4	6.1	3.6	724.0	722.8	722.4	94	46	61	SSW 0	S 1	SSE 1	1	3	0	.	
3	1.7	7.6	7.7	5.7	3.0	721.0	719.4	717.9	94	59	68	SSE 1	SSE 1	SW 1	6	10	10	1.3	
4	6.2	7.2	5.7	6.4	3.6	713.7	711.9	713.3	97	98	95	SE 0	SW 1	SW 0	10●	10●	10●	15.7	● 0–6½ mU, 6½–22
5	5.2	8.9	7.0	7.0	4.1	713.3	713.6	712.4	97	78	90	SW 1	S 1	SW 0	10≡	6	10	.	≡ **n**–12
6	5.8	10.6	8.3	8.2	5.1	712.4	712.1	712.2	97	66	97	SW 1	SW 1	SW 0	8	10	10●	**36.8**	● 13¾–**n**
7	6.0	7.2	6.0	6.4	3.2	**710.4**	711.6	714.0	93	94	94	NNW 0	SW 1	SW 1	10●	10●	10	7.3	● **n**–20½
8	5.2	11.4	6.6	7.7	4.4	716.6	716.9	718.4	93	53	82	WSW 1	S 1	NNE 1	10	3	0	.	● tr 7½
9	3.5	10.0	9.3	7.6	4.1	718.4	717.7	716.3	97	61	61	NNE 0	S 1	NNE 2	10	8	0	.	
10	5.7	9.9	9.0	8.2	4.6	716.4	716.5	716.4	89	66	73	NE 1	E 1	E 1	10	8	10	.	
11	3.7	11.8	9.6	8.4	4.7	714.9	713.0	712.3	96	57	80	E 0	E 1	W 1	3	2	10●	0.1	● 20½–21½
12	7.0	7.6	5.4	6.7	2.8	712.9	714.5	718.3	66	68	80	E 1	SW 1	N 1	10	10	10●	0.9	● tr 13½, 19-22½, ⸝ 2-5½, ⸝ 18-19½
13	4.4	9.1	4.6	6.0	2.0	721.2	722.3	724.2	96	62	74	NNE 1	E 2	NNE 0	10●	9	0	0.5	● 4¾–9¾, 17½–17¾
14	2.2	7.4	5.0	4.9	0.8	724.3	724.4	725.0	92	63	58	NNE 1	NE 2	N 2	3	10	0	.	
15	1.6	7.7	3.7	4.3	0.0	724.7	724.1	723.0	85	61	79	NE 2	ESE 1	ESE 1	0	1	3	.	
16	2.7	4.8	0.5	2.7	−1.7	720.2	719.0	717.3	97	81	99	ESE 0	ESE 1	ENE 1	10	10	10*	4.8	● tr 7½, 15¼–19½, *)
17	3.3	6.2	3.4	4.3	−0.2	716.3	717.1	717.2	76	64	85	NE 2	NE 2	NE 1	10	9	5	.	⸝ **n**–20 mU
18	**−0.3**	8.2	5.8	4.6	−0.1	717.9	718.0	718.7	100	58	66	NNE 0	ENE 1	ENE 0	10≡	7	8	0.3	≡ **n**–11, ⌙ I
19	5.1	12.6	8.5	8.7	3.9	720.9	720.6	720.6	92	52	79	WNW 1	E 1	SW 1	9	9	8	4.3	● 1¼–3¾, 23¾–**n**
20	6.3	13.0	9.1	9.5	4.6	722.5	722.5	722.7	96	61	76	SSW 0	S 1	SE 1	10≡	7	8	.	● **n**–3¾, ≡ 7¼–9½
21	4.8	14.5	10.3	9.9	4.8	724.8	724.7	725.7	96	44	70	SE 0	SSW 1	S 0	2	8	10	.	
22	7.8	12.3	9.7	9.9	4.7	726.3	727.2	727.9	92	65	93	S 0	SW 1	W 1	10	10	10●	1.9	● 14½–15½, 18–24
23	9.0	15.9	10.5	11.8	6.5	**728.1**	727.0	725.7	94	57	74	W 1	S 1	S 0	10	3	1	.	
24	7.0	**16.7**	12.0	11.9	6.4	725.1	724.0	722.4	96	53	82	S 1	S 1	WSW 1	6	3	10●	1.8	● 21½–24
25	9.1	8.3	5.8	7.7	2.1	719.7	719.0	719.6	94	92	89	SW 1	SW 2	SW 1	10●	10●	10●	6.3	● 6¼ 8½, 11 23¼
26	3.9	10.3	6.6	6.9	1.2	719.7	719.7	720.6	93	59	80	SW 1	S 1	NNE 1	7	9	2	.	
27	3.1	12.4	8.3	7.9	2.0	719.6	718.2	716.9	93	44	66	N 0	SE 1	SE 0	1	3	10	2.3	
28	7.6	11.0	7.8	8.8	2.8	717.3	718.4	719.0	93	86	91	SW 2	SSW 2	NW 1	10●	8	10●	3.8	● 3½ 15¼ mU, 19¾ 21½
29	4.6	13.0	10.0	9.2	3.1	717.9	716.6	713.9	94	**40**	57	NNE 0	ESE 1	ESE 1	2	2	10	0.8	
30	6.0	9.3	7.3	7.5	1.2	714.0	713.1	712.9	65	52	62	SW 2	S 2	NNW 1	6	9	10	0.2	● 1¼ 3, 18¾ 19¼, ⸝ 1½
31	5.6	11.3	8.9	8.6	2.2	716.8	719.3	723.6	84	54	60	NE 1	ENE 2	NE 2	3	10	0	.	⸝ **n**–**n** mU
																		Summe	
Mittel	4.7	10.3	7.3	7.4	—	719.3	719.0	719.2	91	63	76				7.1	7.0	6.6	89.1	

*) 16 ✳ 19½ 22½, ⸝ 23 **n**

März 1959
Beobachter: *Eidg. Armeemagazine*

Altdorf

$\lambda = 8° 38'$, $\beta = 46° 52'$,
$H_b = 450.7$ m, G = –0.08 mm

Tag	Lufttemperatur					Luftdruck			Relative Feuchtigkeit			Windrichtung und Stärke			Bewölkung			Niederschlag	Witterung
	7^{30}	13^{30}	21^{30}	Mittel	Abweich. vom Normalst	7^{30}	13^{30}	21^{30}	7^{30}	13^{30}	21^{30}	7^{30}	13^{30}	21^{30}	7^{30}	13^{30}	21^{30}		
1	0.6	3.6	4.6	2.9	–0.2	729.1	727.0	726.8	91	40	85	S 1	W 1	SSE 0	0	1	0	.	⌴ I
2	2.0	12.8	13.4	9.4	6.1	726.6	725.2	725.6	97	55	34	S 0	NW 2	SSE 2	0	2	0	.	
3	13.8	16.4	14.2	14.8	11.4	724.2	722.9	721.5	33	**30**	34	SSE 5	SSE 5	S 3	4	9	4	.	⸙ n p, ⸙ p–n
4	13.8	17.6	8.4	13.3	9.8	716.8	714.4	716.2	38	34	82	SE 5	SE 5	NW 1	8	5	5	.	⸙ n–p
5	5.2	11.8	15.0	10.7	7.1	716.4	716.7	715.6	99	69	35	S 1	NNW 1	SSE 3	10	6	0	.	⸙ p–n
6	16.4	18.0	16.0	16.8	13.0	714.6	714.5	713.8	34	33	35	SSE 4	SSE 5	SSE 2	6	6	10	.	⸙ n–n mU
7	9.2	9.6	5.8	8.2	4.3	**712.6**	713.4	716.6	94	84	98	NW 1	NW 1	NW 0	10	10	10●	**14.8**	● p–n
8	4.6	11.0	6.0	7.2	3.2	719.6	719.7	721.0	100	71	83	S 0	NNW 1	SE 0	9	5	0	.	
9	2.4	9.0	13.8	8.4	4.3	721.6	720.0	719.0	97	80	33	SE 1	NNW 2	SSE 4	10	7	0	.	⸙ p–n, ⌴ I
10	13.6	10.6	7.6	10.6	6.3	718.5	728.4	719.5	32	56	92	SSE 5	NW 2	SSE 0	7	10	0	.	⸙ n–a
11	5.4	13.6	7.6	8.9	4.5	718.0	715.6	715.5	99	59	76	W 0	NW 1	SSE 0	10	4	0	0.2	● n (11./12.)
12	6.0	6.8	4.6	5.8	1.3	715.3	716.9	721.3	97	88	92	NE 0	NW 1	NW 1	10●	10	10	8.9	● n a, tr a–p mU, n (12./13.)
13	3.6	4.8	4.4	4.3	–0.3	723.8	725.5	727.4	100	94	96	E 1	N 1	N 0	10●	10	10	5.8	● n–p
14	4.2	8.4	3.6	5.4	0.6	727.1	727.6	728.3	100	75	89	N 0	N 1	N 0	9	9	10	.	● tr 7½
15	**–0.8**	8.4	3.2	3.6	–1.3	728.0	726.8	726.1	97	66	94	S 0	NNW 2	NW 0	0	2	0	.	⏢ I
16	2.2	6.8	3.6	4.2	–0.8	723.1	721.3	720.3	90	83	99	E 0	NW 1	NW 0	9	10	9	1.6	● n (16./17.), ⌴ I
17	9.2	9.0	8.8	9.0	3.9	718.6	719.1	720.1	41	69	64	SE 4	NW 3	S 1	5	1	0	.	⸙ n–p
18	8.6	14.0	11.4	11.3	6.1	720.4	720.3	721.7	53	37	38	SE 2	S 4	SSE 1	6	6	8	.	⸙ a–p
19	4.4	13.4	9.2	9.0	3.6	723.9	723.0	723.8	89	57	69	S 0	NW 1	SE 0	6	4	4	.	
20	4.4	15.2	14.0	11.2	5.7	725.4	725.0	725.9	91	54	40	SW 0	NW 1	SSE 2	4	2	0	.	
21	13.6	**18.2**	14.8	15.5	9.9	727.3	726.9	728.3	43	37	40	SSE 3	SSE 2	SSE 2	1	2	3	.	⸙ n–a
22	9.4	16.8	11.2	12.5	6.8	728.8	728.9	730.9	77	59	88	NNW 0	NNW 1	N 0	9	7	10	0.6	● tr p–n mU
23	9.2	15.2	9.4	11.3	5.4	**731.2**	729.4	729.0	98	75	87	S 0	NW 2	E 0	7	5	1	.	● tr n–a mU
24	4.6	15.2	9.8	9.9	3.9	728.2	726.7	724.8	100	65	85	NE 0	NNW 1	NW 0	1	2	9	.	
25	6.6	12.4	7.6	8.9	2.8	722.6	720.9	721.6	100	81	95	NW 0	NW 1	NW 1	10	10	10●	11.1	● p–n mU, ⏢ I
26	5.4	9.2	5.8	6.8	0.6	722.6	722.8	723.8	100	80	88	S 1	NW 0	SSE 0	10●	10	5	0.4	● n–a, tr a–p mU,
27	2.2	12.6	6.0	6.9	0.5	722.5	720.8	719.9	100	61	73	SE 0	N 1	SE 0	0	1	0	.	⏢ I
28	6.8	9.4	7.4	7.9	1.4	719.8	721.4	721.9	94	84	100	S 0	NNW 0	SSE 0	10	10●	10●	8.0	● a–n mU, ⏢ I
29	7.2	11.0	6.0	8.1	1.5	721.0	719.3	717.1	100	60	85	NW 0	NW 1	S 0	9	5	0	2.1	● tr 7½, n (29./30.), ⏢ III
30	5.8	8.4	5.8	6.7	0.0	716.7	716.6	716.0	91	80	91	NW 1	NNW 0	NNW 0	10●	10	10●	3.3	▽ n–a mU, ● 13½–n mU
31	4.6	7.0	4.4	5.3	–1.6	717.1	722.7	726.9	100	88	100	N 0	NW 1	SSE 0	10	10	0	0.5	● a mU
																		Summe	
Mittel	6.6	11.5	8.5	8.9	—	722.0	721.9	722.1	83	65	74				6.8	6.2	4.4	57.3	

März 1959
Beobachter: *Observatoire*

Genève

$\lambda = 6° 09'$, $\beta = 46° 12'$,
$H_b = 405.0$ m, G = –0.05 mm

1	1.8	10.7	6.0	6.2	2.9	733.0	731.6	731.5	89	55	77	S 0	NNE 1	ESE 0	8	9	2	.	
2	**0.9**	10.6	6.7	6.1	2.7	731.1	729.9	729.3	94	52	75	SSW 1	N 1	NNE 0	6	4	0	.	⌴ I
3	1.6	9.9	11.7	7.7	4.2	728.2	726.5	725.4	90	57	65	S 0	NW 1	S 2	10	10	10●	5.9	● 20–21½, ⏢ I
4	7.2	8.4	6.4	7.3	3.6	721.4	720.6	721.5	96	92	93	NNE 1	SSE 2	NE 1	10●	10●	10	31.3	● 0¾–1¾, 3¾–20¾
5	5.9	6.8	7.2	6.6	2.8	722.1	720.8	720.4	95	91	89	S 0	N 1	NNW 0	10	9	10	.	
6	10.6	11.0	7.4	9.7	5.8	719.7	719.7	719.5	58	72	97	NE 1	SW 1	N 1	10	10	10	**47.1**	● 12¾–n mU
7	6.8	7.9	7.3	7.3	3.3	**717.9**	719.6	720.9	96	85	84	N 1	NNE 0	E 1	10	10	3	7.2	● n–17 mU
8	6.4	7.1	7.8	7.1	3.0	723.9	724.0	724.9	89	60	70	NNE 0	NE 1	ENE 0	9	2	3	.	
9	3.8	8.4	8.2	6.8	2.5	725.2	724.6	723.8	90	65	74	S 0	N 1	ESE 1	10	9	10	.	
10	6.0	10.5	8.5	8.3	3.9	723.1	723.7	723.8	86	57	83	S 0	N 1	NNE 1	10	10	8	.	
11	4.4	11.9	10.8	9.0	4.5	722.2	720.1	719.5	94	58	58	NW 0	NNE 1	NE 1	5	3	8	3.4	● 23¾–n
12	6.4	7.7	6.3	6.8	2.2	720.8	722.4	726.0	89	80	85	SW 1	NNE 1	NNE 1	10●	10●	10●	2.1	● n–11¾ mU, 15¾–20¾
13	5.6	8.1	7.4	7.0	2.3	728.3	729.1	731.0	87	70	70	NNE 1	NNE 1	ENE 2	9	9	9	.	
14	5.0	8.3	6.2	6.5	1.6	730.8	730.6	731.4	78	60	65	NE 2	NNE 3	NE 3	1	3	0	.	⸙ n–n mU
15	3.2	5.4	5.9	4.8	–0.2	732.1	731.3	730.6	87	74	73	NE 1	NNE 2	NE 1	10	2	3	.	
16	2.2	7.2	1.2	3.5	–1.6	727.7	725.8	724.9	90	71	98	E 1	NNE 2	NNE 2	10	9	10*	6.7	● ✳ 18½–20¾
17	1.4	6.8	5.1	4.4	–0.8	723.8	723.8	724.7	93	74	76	NE 1	NNE 2	NE 2	10	8	4	0.8	● ✳ 1¾–8½ mU
18	1.3	8.6	7.9	5.9	0.6	725.1	725.3	726.1	92	63	65	NE 1	NNE 1	NE 1	4	3	10	.	⌴ I
19	7.0	10.3	9.8	9.0	3.5	728.1	727.7	727.9	87	60	74	NE 1	NNE 1	ENE 1	7	6	8	0.2	● tr p, 20–20¾
20	8.9	**17.0**	12.5	12.8	7.2	729.7	728.9	729.9	80	**41**	64	SE 1	W 1	SW 1	3	2	4	.	
21	6.6	14.5	10.7	10.6	4.9	732.2	731.9	732.8	89	54	76	NNE 1	NW 1	N 1	1	9	9	0.4	
22	10.1	13.9	10.9	11.6	5.8	733.4	734.2	**735.3**	88	61	92	NW 0	SW 1	SSW 1	10	10●	10●	2.0	● 6½ 7½, 13½, 14¾ 18¾ mU,*)
23	8.9	13.7	12.3	11.6	5.7	735.0	734.0	732.9	97	58	68	NNE 1	NNE 1	SSW 0	10≡	1	10	.	≡ n–a
24	8.1	14.6	11.5	11.4	5.3	732.3	731.5	729.9	95	59	85	NNE 0	NNE 1	WNW 1	5	10	10●	4.5	● 18¾–22¾ mU
25	9.3	8.9	7.2	8.5	2.3	727.6	726.8	727.0	93	84	90	SSE 1	S 1	NE 0	10●	10●	10●	9.6	● 1¾–22¾
26	5.9	10.7	8.6	8.4	2.1	726.7	726.7	727.6	91	56	69	NNE 0	N 2	NNE 1	9	3	1	.	
27	3.9	10.5	9.4	7.9	1.5	726.6	725.3	724.4	84	57	72	WSW 1	NNE 1	NNE 1	3	8	10	2.2	
28	8.5	12.1	9.7	10.1	3.6	725.3	725.7	725.8	89	69	84	S 1	SW 1	E 1	10●	10	10●	1.0	● 3¾ 9¾, 12 12½, tr 21½, 23–23½,
29	7.3	11.2	12.0	10.2	3.5	725.4	723.7	721.6	94	50	49	S 0	NNE 1	SSW 2	6	4	10	3.6	● 0–1¾, 23¾–n mU
30	6.9	12.0	8.7	9.2	2.4	722.3	720.6	719.7	62	48	61	S 1	S 2	NW 1	2	9	9	.	● n–3¾ mU, tr p
31	7.5	10.4	9.1	9.0	2.1	723.1	725.0	729.6	74	58	73	NNE 3	NNE 3	NNE 2	8	8	1	.	⸙ n–n mU
																		Summe	
Mittel	5.8	10.2	8.4	8.1	—	726.6	726.2	726.4	88	64	76				7.6	7.1	7.2	128.0	

*) **22.** 20¾–22¾ mU

$\lambda = 8°\,34'$, $\beta = 47°\,23'$,
$H_b = 569.4$ m, $G = -0.01$ mm

Zürich

März 1959
Beobachter: *Meteorologische Zentralanstalt*

Tag	Lufttemperatur					Luftdruck			Relative Feuchtigkeit			Windrichtung und Stärke			Bewölkung			Niederschlag	Witterung
	7^{30}	13^{30}	21^{30}	Mittel	Abweich. vom Normalst	7^{30}	13^{30}	21^{30}	7^{30}	13^{30}	21^{30}	7^{30}	13^{30}	21^{30}	7^{30}	13^{30}	21^{30}		
1	3.8	14.6	7.0	8.5	7.0	718.0	716.7	716.6	81	41	61	SE 0	SW 1	SSW 0	0	1	0	.	⌓ I, III
2	2.1	15.2	7.7	8.3	6.7	716.2	715.1	715.0	82	41	64	N 0	ENE 1	ENE 0	0	3	0	.	⌊ I, ⌓ III
3	3.6	14.2	9.7	9.2	7.5	713.5	711.7	710.1	68	48	53	ENE 0	WSW 1	WNW 0	5	9	10	.	⌊ I
4	7.5	14.7	7.1	9.8	8.0	705.9	703.5	706.2	71	48	85	SSW 1	WSW 1	SW 1	10	4	10●	0.1	● tr 16-n mU, ⸝ 16-16¼
5	4.7	12.4	8.4	8.5	6.6	705.8	706.4	704.7	93	55	78	SSW 0	W 1	E 1	10	9	4	.	⌓ III
6	7.3	16.0	9.1	10.8	8.8	704.9	703.9	704.7	86	42	92	WNW 0	W 1	S 0	9	10	10●	1.0	● tr p n mU, ⌓ I
7	7.6	7.5	5.4	6.8	4.6	**702.7**	703.1	706.4	95	90	93	WNW 1	W 1	S 1	10≡●	10●	10●	18.4	● 1-1¾, 6 n mU, ≡ 7½-8½
8	4.4	10.6	5.7	6.9	4.6	708.9	709.4	711.1	94	58	86	S 1	SSE 0	ENE 1	10	9	0	0.1	● n-4½
9	1.7	11.0	7.3	6.7	4.3	711.2	710.1	709.5	95	52	75	NE 1	NNE 2	NNE 2	10	9	0	.	≡ 7-8½ mU, ⌓ I, III
10	3.9	9.1	6.2	6.4	3.9	709.2	709.0	709.2	91	61	81	NE 1	ENE 1	NNE 1	10	10	10	.	⌓ I, III
11	3.5	13.6	6.9	8.0	5.3	707.7	705.7	705.0	92	41	83	NE 0	SW 0	E 1	10	5	9	3.2	⌓ I, III
12	5.3	5.2	3.7	4.7	1.9	705.1	706.5	710.5	93	90	93	WNW 1	SW 1	WSW 1	10●	10●	10●	**21.0**	● 4¾-n
13	2.4	4.2	3.5	3.4	0.5	713.5	714.7	716.7	94	87	95	S 1	S 1	SSE 0	10●	10	10	5.0	● n-12¾, 14¾-23¾ mU
14	3.2	5.7	2.3	3.7	0.7	717.0	717.5	717.9	92	70	86	NE 1	NNE 1	NE 1	10	10	0	0.0	⌓ III
15	**0.4**	5.9	2.8	3.0	−0.2	717.4	716.6	715.5	91	61	83	NE 1	NNE 1	NW 1	10	3	9	0.0	⌊ I, ⌓ II, III
16	2.9	3.3	3.1	3.1	−0.2	712.4	711.4	710.1	88	85	86	S 1	NE 1	NE 1	10●	10●	10	2.8	● tr a, 9¾-21
17	1.1	7.2	2.6	3.6	0.2	709.7	709.8	709.7	86	57	82	NNE 2	NE 2	ESE 1	9	4	0	.	
18	0.9	10.4	6.1	5.8	2.2	710.4	710.5	711.5	96	52	81	NE 1	S 1	SE 0	10≡	2	4	0.0	≡ n-11, ⌓ I, III, ⊕ 12
19	5.0	14.1	9.1	9.4	5.7	713.4	712.8	713.2	85	40	66	WSW 1	ESE 1	S 1	9	4	6	0.0	⌓ I
20	5.5	14.1	9.3	9.6	5.8	714.9	715.1	715.4	80	48	72	NW 1	W 1	ESE 1	6	7	1	.	⌓ I, III
21	7.3	**17.9**	11.1	12.1	8.1	716.8	716.6	718.2	65	**37**	62	SSE 1	SW 1	SW 1	1	4	7	.	⌓ I, III
22	7.7	15.1	10.7	11.2	7.1	718.5	718.7	720.4	73	55	80	E 0	SSW 1	S 1	9●	7	10●	3.8	● tr 21½, ⌓ I
23	9.1	14.8	10.4	11.4	7.2	**720.6**	719.2	718.3	93	58	82	S 1	NW 1	NE 1	10●	6	0	0.2	● 1¾-8½, ⌓ III
24	6.7	15.5	11.4	11.2	6.8	717.9	716.6	714.4	95	62	80	SW 0	N 1	SE 0	10≡	4	10	.	≡ n-9¾, ⌓ I, III
25	7.9	10.7	6.1	8.2	3.7	712.3	710.8	711.7	90	66	90	W 0	W 1	WSW 1	9	10	10●	7.8	● 18¼-n mU, ⌓ I, II
26	4.7	9.9	5.9	6.8	2-2	712.1	712.4	713.1	93	60	79	SSE 1	S 1	NE 1	10●	9	10	0.4	● n 7½, tr a, ⌓ III
27	2.7	11.8	8.7	7.7	2.9	712.0	710.4	709.2	94	47	64	W 0	NE 1	SSE 1	0	3	0	1.7	⌊ I, ⌓ III
28	6.9	8.5	6.1	7.2	2.3	709.6	710.7	711.7	84	80	93	SW 1	SSW 1	ESE 1	10●	10●	9	5.4	● 4¾-n mU, ⸝ 5½
29	5.8	10.7	7.5	8.0	2.9	710.7	709.5	706.4	93	60	66	ENE 0	E 1	SE 1	10●	6	9	4.3	● n-8¾, ◔ a
30	5.7	7.9	5.4	6.3	1.1	706.5	706.1	705.6	79	59	77	SW 1	S 1	NNE 1	9	10	10	1.0	● 3¾-6, tr a mU
31	4.4	8.5	5.0	6.0	0.6	709.8	712.3	716.6	90	67	85	NW 1	ENE 1	NNE 1	10	10	0	.	● 3 3¼, 5¼ 6¾, ⌓ III
Mittel	4.7	11.0	6.8	7.5	—	711.8	711.4	711.8	87	59	79				8.2	7.0	6.1	Summe 76.2	

$\lambda = 6°\,32'$, $\beta = 46°\,51'$,
$H_b = 1601$ m, $G = -0.16$ mm

Chasseron

März 1959
Beobachter: *J. Liardon*

1	3.2	6.4	3.4	4.3	—	633.2	633.4	632.8	60	37	62	W 2	SE 2	ESE 2	3	4	3	.		18
2	2.0	6.0	4.0	4.0	—	632.3	632.1	632.0	49	37	43	SE 2	SSE 2	SSE 2	3	3	2	.		18
3	2.8	5.0	2.2	3.3	—	629.9	629.2	627.6	44	39	73	SE 3	S 3	S 3	7	8	10	3.0	● 20¾-n mU	17
4	1.0	0.8	0.4	0.5	-	622.8	621.9	622.1	100	100	100	S 4	W 3	WNW 4	10+●	10−*	10-	16.1	● n-a, ● ✳ a-p, ✳ p 15,*)	16
5	2.8	5.2	2.0	3.3	—	623.4	623.8	623.3	68	52	78	SW 4	SW 3	SSW 3	10	6	7	.	⸝ n-a	12
6	6.0	2.8	3.8	4.2	—	622.9	622.5	622.3	49	100	100	SSW 4	S 4	SW 4	7	10−●	10≡●	29.9	● 13-n, ⸝ n (6./7.), *)	10
7	-0.8	-0.4	-1.0	-0.7	—	**620.3**	621.1	622.1	100	100	100	NNE 3	WNW 2	WNW 3	10≡*	10≡*	10≡*	21.7	✳ ≡ n-n	20
8	-1.4	0.2	-0.6	-0.6	—	626.0	626.1	627.2	100	100	100	WNW 2	E 1	E 2	10≡*	8	2	1.4	✳ n-8¾, ≡ n-11	28
9	0.8	3.0	3.4	2.4	—	626.8	626.9	626.1	50	27	**26**	E 2	E 2	SE 3	7	7	8	.		25
10	3.4	5.2	2.8	3.8	—	625.7	626.4	626.5	36	32	33	SSE 2	SSE 2	N 2	8	8	8	.		23
11	1.4	5.8	2.2	3.1	—	624.7	623.4	623.0	74	65	86	NE 2	SE 1	NW 2	4	5	8	4.6	✳ n (11./12.)	20
12	-2.4	-2.0	-3.0	-2.5	—	621.9	623.2	625.8	100	100	100	NW 3	W 3	N 3	10≡*	10≡*	10≡*	**43.7**	✳ ≡ ⸸ n-n	28
13	4.0	-2.0	3.0	3.0	—	628.9	629.9	631.6	100	100	100	WNW 3	NNW 2	N 2	10+*	10≡	10≡	0.5	✳ n 12½, ≡ n nmU	42
14	-4.4	-2.6	-4.5	-3.8	—	631.0	631.5	631.7	100	100	100	NE 2	NE 2	E 3	10≡	10≡	0	.	≡ n-17¾	35
15	-4.8	-2.0	0.2	-2.2	—	631.1	632.1	631.4	100	62	96	ESE 4	E 2	NNW 2	1	3	4	0.4	⸝ n-a	35
16	-3.0	-2.6	**-7.0**	-4.2	—	628.0	626.6	624.5	69	100	100	NW 3	NNW 2	N 4	8	10≡	10≡*	12.3	✳ 17-n, ≡ 11¼-n, ⸝ p-n	30
17	-5.0	0.6	-0.8	-1.7	—	623.7	625.2	625.6	100	70	60	ENE 3	SE 3	E 2	10≡	2	2	.	✳ n-7, ≡ n-9	32
18	0.8	4.0	2.0	2.3	—	626.2	627.3	628.4	37	42	39	WSW 2	S 1	W 2	2	4	8	3.8	✳ n (18./19.)	30
19	0.2	2.0	1.4	1.2	—	629.5	629.5	629.7	100	92	100	WSW 2	SSE 2	S 2	10	8	10	4.5	▽ a mU, ▽ n (19./20.)	33
20	1.0	3.4	4.0	2.8	—	631.2	631.8	632.4	100	100	84	S 2	S 2	S 2	8	8	4	.	≡ n-13½ mU	30
21	2.6	6.2	5.2	4.7	—	633.4	634.3	635.2	97	52	64	SE 2	S 2	S 2	3	7	8	0.3	▽ n (21./22.)	25
22	3.6	2.4	3.0	3.0	—	635.1	635.8	**636.3**	100	100	100	S 2	S 2	WSW 2	10	10	10+◔	7.7	▽ 6¾-a mU, ◔ p-n, ≡ 14-n	20
23	3.0	4.4	4.0	3.8	—	**636.3**	636.2	635.4	100	97	100	ESE 2	E 1	E 2	4	8	2	.	≡ 8½ 12½, 12½ 21 mU	15
24	4.0	**7.2**	4.2	5.1	—	633.3	633.9	632.5	100	67	100	E 2	S 2	S 2	5	7	10-●	13.0	▽ 21 12- ✳ ● n (24./25.), *)	13
25	0.0	0.0	1.8	0.6	—	629.0	627.9	627.8	100	100	100	W 2	WNW 2	NNW 3	10+	10≡	10-	20.0	✳ n n mU, ≡ n n	14
26	2.0	0.8	1.2	0.8	—	627.8	628.6	629.4	84	87	100	NE 2	NE 1	NNE 2	5	8	3-	0.3	≡ abd n mU	24
27	2.0	4.2	2.8	1.7	—	627.5	627.2	626.9	100	67	72	E 2	SSW 1	SSW 2	2	6	8	4.3	● ✳ n (27. 28.), ≡ n 8¾ mU	20
28	0.2	1.2	0.8	0.2	—	626.6	627.3	627.5	100	100	100	WNW 3	WNW 3	WNW 3	10−●+	10 ●+	10 ✳	7.2	● ✳ n 15½, ✳ 15½ 19 *)	20
29	0.8	0.8	0.7	0.2	—	626.7	626.1	623.2	100	94	100	N 2	E 1	W 2	3	7	10	9.0	● tr p ✳ n (29. 30.)	18
30	3.0	2.0	2.0	2.3	-	622.7	622.2	622.0	100	100	100	W 3	W 3	N 1	10−*	9-	9	1.2	✳ n 8, ▽ a, ≡ n-p mU	15
31	2.4	0.4	0.4	1.1	-	625.0	628.0	632.2	100	100	100	ENE 2	ENE 2	E 3	10-	9	5	.	≡ n 11½	13
Mittel	0.1	2.1	0.8	1.0	—	627.8	628.1	628.2	84	78	84				7.1	7.6	7.1	Summe ~~4.9~~ 204.9		

*) 4. ≡ ⸝ n-n mU 6. ≡ 13½-n, ⸝ n-n 24. ≡ 18¾-n, ⌓ I 28. 21½, ≡ n-21½

März 1959
Beobachter: *Stationspersonal Rh. B.*

Bever

$\lambda = 9° 53'$, $\beta = 46° 33'$,
$H_b = 1711.8$ m, G = −0.26 mm

Tag	Lufttemperatur 7³⁰	13³⁰	21³⁰	Mittel	Abweich. vom Normalst	Luftdruck 7³⁰	13³⁰	21³⁰	Relative Feuchtigkeit 7³⁰	13³⁰	21³⁰	Windrichtung und Stärke 7³⁰	13³⁰	21³⁰	Bewölkung 7³⁰	13³⁰	21³⁰	Niederschlag	Witterung	
1	−12.0	6.8	−4.6	−3.3	2.9	626.4	625.1	625.4	100	41	95	SW 0	SW 0	SW 0	0	1	0	.		57
2	−10.3	7.5	−3.9	−2.2	3.9	626.1	624.8	625.4	100	37	97	SW 0	SW 0	SW 0	0	0	0	.		56
3	−9.4	4.2	0.2	−1.7	4.2	625.4	624.0	622.3	100	55	71	SW 0	SW 2	SW 0	1	9	2	0.0	✳ fl n (3./4.)	55
4	0.4	2.6	1.0	1.3	7.1	619.1	617.3	617.0	98	84	100	SW 0	SW 0	SW 0	10	10	10	3.6	✳ 8½-11, 18-n mU, ● 16-18	54
5	1.9	3.6	0.5	2.0	7.6	616.2	616.9	618.5	94	80	92	SW 0	S 0	SW 0	10	10	8	.		52
6	1.3	2.4	1.3	1.7	7.2	618.6	618.0	617.0	92	83	93	W 0	SW 0	SW 0	10	10	10	7.7	✳ 18½-n mU	52
7	1.1	1.9	0.7	1.2	6.5	613.0	**609.0**	611.7	98	93	94	SW 0	SW 0	NE 0	10●	10	10	**19.4**	✳ ● n-18 mU, ✳ 18-n mU	61
8	−1.6	4.0	−6.0	−1.2	4.0	614.4	617.0	619.6	99	45	93	NE 0	NW 0	SW 0	10	5	4	.		61
9	−9.5	5.0	−4.0	−2.8	2.2	620.8	620.9	621.0	94	73	55	SW 0	SW 0	SW 0	10	10	0	.		60
10	−5.6	2.8	−0.7	−1.2	3.7	620.3	619.2	617.5	94	58	96	SW 0	SW 0	NE 0	9	10	10	3.5	✳ 20¼-n mU	60
11	−3.4	3.6	−0.4	−0.1	4.6	615.8	614.3	613.8	100	63	100	NW 0	NW 0	NE 0	10	10	10	0.8	✳ n-n mU	59
12	−4.6	4.0	1.0	0.1	4.7	613.0	612.7	614.8	100	50	65	NE 0	NE 0	NW 0	10≡	8	10	0.0	≡ n-9	58
13	−0.8	0.8	−0.6	−0.2	4.2	616.8	618.2	620.6	70	50	65	NW 0	NW 0	NE 0	9	10	10	0.0	✳ fl 19-n mU	57
14	−2.4	0.6	−3.0	−1.6	2.7	620.4	620.9	622.8	70	50	70	NE 0	NE 0	NE 0	8	8	0	.		56
15	**−14.6**	5.2	−5.2	−4.9	−0.8	622.8	623.0	621.1	80	**30**	60	SW 0	SW 0	SW 0	0	0	0	.	⌴ I	55
16	−5.6	3.2	−4.0	−2.1	1.9	617.4	616.0	617.3	65	60	90	SW 0	SW 0	SW 0	9	7	2	.		54
17	−9.6	1.3	−3.0	−3.8	0.1	618.4	618.0	618.7	95	58	85	SW 0	SW 0	SW 0	10	4	8	.		53
18	−4.0	0.4	−1.9	−1.8	1.9	619.5	620.2	620.9	85	73	90	NE 0	SW 1	NE 0	10	10	10	0.5	✳ fl 15¾-n mU	54
19	−4.0	4.2	0.4	−0.1	3.5	621.8	621.1	622.6	98	58	84	SW 1	SE 0	SW 0	10	10	8	0.0	✳ fl n-17 mU	53
20	−8.0	5.0	−0.7	−1.2	2.2	624.3	623.9	625.1	91	55	87	SW 0	SW 0	SW 0	2	1	2	.		51
21	0.4	5.4	2.0	2.6	5.9	626.9	626.9	**628.0**	82	58	77	W 0	SW 0	SW 0	10	7	9	.		50
22	−0.2	5.5	1.2	1.4	4.5	626.8	627.1	627.1	89	51	87	SW 0	SW 1	SW 1	10	8	4	.		40
23	−3.0	**8.4**	0.2	1.9	4.9	627.6	626.2	626.9	96	48	90	SW 0	SW 0	SW 0	7	4	2	.		35
24	−4.2	7.9	1.6	1.8	4.6	626.0	625.0	624.9	100	47	79	SW 0	SW 0	SW 0	0	3	4	.		32
25	−3.2	5.0	1.4	1.1	3.8	622.4	619.6	618.2	100	54	96	SW 0	SW 0	SW 0	10	10	10	1.4	● 18½-n mU	30
26	0.2	2.5	0.4	1.0	3.5	617.3	617.6	618.9	91	58	78	NE 0	NW 1	SW 0	10*	10	10	0.1	✳ fl n-13½	28
27	−1.8	6.1	−1.8	0.8	3.2	619.2	618.2	618.1	71	42	79	NW 0	SW 0	SW 0	6	3	1	.		25
28	2.0	3.9	0.8	0.9	3.1	617.4	617.5	618.7	82	63	95	SW 0	SW 1	S 0	10	10	10	0.0	✳ ● 18½-20½	22
29	−0.5	3.2	−0.2	0.8	2.9	617.6	616.3	615.6	96	62	38	SW 0	E 0	W 0	10	9	7	1.2	✳ 7-12 mU	20
30	−1.2	−2.0	−4.0	−2.4	−0.5	613.3	613.4	613.1	92	90	100	NE 0	N 0	N 0	10	10	10	11.8	✳ 8-n mU	16
31	−3.1	2.0	0.7	−0.1	1.7	613.5	618.0	621.6	80	59	67	NW 0	NW 2	SW 0	10	10	2			20
Mittel	−3.9	3.8	−1.1	−0.4	—	620.0	619.6	620.1	90	59	84				7.8	7.3	5.9	Summe 50.0		

März 1959
Beobachter: *Couvent des Capucins*

Sion

$\lambda = 7° 22'$, $\beta = 46° 14'$,
$H_b = 548.6$ m, G = −0.14 mm

1	1.8	12.7	8.1	7.5	4.2	721.2	718.8	719.4	75	41	56	NE 0	NE 0	N 1	0	7	0	.		
2	4.8	15.1	9.9	9.9	6.5	719.6	717.7	718.5	65	39	49	ENE 0	E 1	E 0	1	3	0	.	⸗ 15½-18	
3	7.2	16.0	12.7	12.0	8.4	718.0	715.6	714.8	54	39	45	E 0	E 4	E 2	8	9	10	.	⸗ 12-19	
4	8.5	12.7	9.0	10.1	6.4	712.1	709.1	709.4	61	51	71	E 0	NE 1	NE 1	10	10	6	0.0	● tr p	
5	6.2	15.0	12.0	11.1	7.3	709.6	706.9	709.7	80	50	50	NE 1	NE 0	NE 0	10	5	0	.		
6	10.3	15.4	10.7	12.1	8.1	710.3	708.9	708.9	57	55	71	NE 0	W 1	W 0	10	10	10	0.0	● tr p	
7	8.3	13.9	6.0	9.4	5.3	**705.4**	705.6	708.8	93	63	91	W 0	WSW 2	W 1	10	9	10	2.4	● 14¾-20¾	
8	4.4	12.7	6.9	8.0	3.7	712.1	711.9	714.0	90	51	66	WSW 0	WSW 0	W 1	3	4	0	.		
9	3.5	15.5	11.9	10.3	5.9	714.2	713.7	712.8	75	36	43	W 1	W 0	ENE 1	4	6	9	.		
10	8.9	15.5	8.5	11.0	6.4	713.1	712.1	711.4	54	38	68	ENE 0	ENE 0	ENE 0	9	9	2	.		
11	5.9	15.3	11.4	10.9	6.2	710.6	708.2	707.4	78	48	62	ENE 0	SE 1	W 0	3	2	9	1.0		
12	6.5	9.4	5.8	7.2	2.3	707.7	708.5	712.3	88	69	80	W 1	W 3	W 0	10	8	10	.	● 4½-7⅞, ⸗ s-p	
13	5.1	10.9	5.5	7.2	2.2	715.0	715.1	717.1	82	58	71	WNW 0	WNW 2	WNW 1	7	6	2	.		
14	2.7	11.9	4.7	6.4	1.2	718.0	717.0	718.9	84	47	77	N 1	WSW 1	W 0	7	7	1	.		
15	**0.8**	11.9	4.9	5.9	0.6	719.5	717.5	718.0	87	46	76	ENE 1	SSW 1	W 0	0	1	0	.	⌴ I	
16	**0.8**	9.6	5.3	5.2	−0.3	716.0	712.9	713.1	93	60	93	W 0	W 1	W 0	10	9	10●	2.2	✳ +18½, ● 18½-21½, ⌴ I	
17	3.4	13.2	7.7	8.1	2.5	712.4	711.4	712.8	75	32	42	W 0	E 2	ENE 0	5	1	1	.	⌴ I	
18	4.9	13.7	9.6	9.4	3.6	714.6	713.4	715.3	58	**31**	42	E 1	E 1	E 0	5	8	10	.		
19	5.0	15.7	9.2	10.0	4.1	716.4	715.7	716.5	65	43	60	ENE 1	W 0	W 0	8	7	2	.		
20	5.6	16.5	10.0	10.7	4.6	718.8	716.8	719.1	68	37	52	NE 0	NE 0	NE 0	2	1	1	.		
21	7.1	17.0	11.8	12.0	5.7	720.6	719.5	720.9	61	39	52	ENE 0	ENE 1	ENE 1	1	7	1	.		
22	8.0	17.2	11.0	12.1	5.7	720.4	720.8	722.3	59	42	81	NE 1	ENE 1	W 1	10	9	9	0.2		
23	9.5	18.4	12.3	13.4	6.8	**722.9**	720.0	719.9	87	43	76	W 0	S 1	W 0	8	2	7	.		
24	8.2	**19.5**	12.2	13.3	6.6	720.3	718.0	716.3	79	36	70	W 0	SW 1	W 0	2	4	7	.		
25	9.6	11.1	6.7	9.1	2.2	715.4	713.7	714.2	87	76	95	WNW 0	W 2	W 1	10	9	10●	8.2	● 15½-n	
26	6.1	11.7	8.3	8.7	1.7	714.2	714.4	715.0	92	63	67	W 0	WSW 1	W 0	10●	4	0	0.1	● n-8	
27	5.1	14.1	9.3	9.5	2.3	715.1	713.4	712.5	81	40	60	W 0	WSW 1	W 0	3	1	2	.		
28	7.7	12.4	9.7	9.9	2.6	713.5	714.0	713.3	79	59	80	W 0	W 0	W 0	10	9	9	1.0	● 7½-9⅝	
29	8.0	15.1	9.1	10.7	3.2	713.2	710.9	709.6	82	47	64	W 1	W 1	W 0	7	4	0	0.7	● 3¾-4¾	
30	6.5	12.7	7.7	9.0	1.4	709.3	707.7	707.3	84	44	61	W 1	W 1	W 0	9	8	10	.	● 4¼-5½	
31	5.6	12.4	9.8	9.3	1.5	710.7	712.2	716.6	84	42	55	NE 1	W 0	W 0	8	4	3	.		
Mittel	6.0	14.0	9.0	9.7	—	714.8	713.6	714.4	76	47	65				6.4	5.9	4.9	Summe 15.8		

$\lambda = 8°\,58'$, $\beta = 46°\,00'$,
$H_b = 276.2$ m, G = −0.04 mm

Lugano

März 1959
Beobachter: *A. Tison*

Tag	Lufttemperatur 7³⁰	13³⁰	21³⁰	Mittel	Abweich. vom Normalst	Luftdruck 7³⁰	13³⁰	21³⁰	Relative Feuchtigkeit 7³⁰	13³⁰	21³⁰	Windrichtung und Stärke 7³⁰	13³⁰	21³⁰	Bewölkung 7³⁰	13³⁰	21³⁰	Niederschlag	Witterung
1	3.0	18.2	8.4	9.9	4.4	745.1	743.7	743.8	83	32	57	NNE 0	E 1	N 1	1	6	0	.	
2	3.9	17.3	8.7	10.0	4.4	744.2	743.5	744.0	82	36	59	N 1	SSE 1	NNE 1	0	1	1	.	
3	5.2	14.4	10.2	9.9	4.1	744.5	743.2	741.9	83	41	60	NNW 0	SSW 0	N 1	7	9	10	0.8	☽ n (3.,4.)
4	7.2	7.4	6.9	7.2	1.3	740.0	737.9	736.3	97	97	97	N 1	SSW 1	NNW 1	10☽	10●	10●	45.8	☽ ● n-n
5	6.4	9.3	8.2	8.0	2.0	735.4	736.2	736.9	97	87	97	NNW 1	NNW 1	N 1	10●	9●	10	17.2	● n 13½, ☽ n (5., 6.)
6	7.7	8.8	8.4	8.3	2.1	737.2	736.4	735.4	97	97	97	SSW 1	E 0	NW 0	10☽≡	10●	10●	41.0	☽ ● n-n mU, ≡ n-8½
7	7.0	8.4	7.4	7.6	1.3	731.0	729.6	729.0	96	90	96	SW 1	NNW 1	NNW 1	10●	10●	10●	38.2	● n-n
8	4.6	**19.8**	8.4	10.9	4.5	731.3	732.5	735.7	87	**18**	52	SSW 1	N 2	N 1	0	1	0	.	
9	5.3	16.1	10.1	10.5	3.9	739.2	738.8	739.3	87	38	85	S 0	SE 1	NW 1	9	7	10	.	
10	7.4	9.7	7.8	8.3	1.6	738.7	738.0	736.7	89	85	97	SSW 0	NNE 1	SW 0	10	10☽	10●	4.4	☽ 10½ 17, ● 19½-n mU
11	6.4	6.8	6.2	6.5	−0.3	733.8	733.7	732.9	96	83	97	NNE 0	S 1	NW 1	10	10☽	10	.	☽ a-p mU
12	5.8	10.7	7.9	8.1	1.1	731.6	730.7	732.1	95	61	80	N 1	S 0	N 1	10	8	2	.	
13	3.4	18.4	12.3	11.4	4.3	734.0	734.4	737.2	97	19	24	S 0	N 3	N 2	3	1	1	.	⸗ 10½-14½
14	4.3	15.1	7.2	8.9	1.7	737.9	738.6	740.5	88	43	78	N 1	S 1	N 1	1	1	0	.	
15	**2.6**	15.1	9.3	9.0	1.6	741.9	740.8	739.9	92	43	63	N 0	SSE 1	N 1	1	1	10	.	
16	5.6	11.8	6.8	8.1	0.6	737.8	736.6	737.7	86	43	97	NE 0	SSE 1	W 1	10	10	10☽	1.6	☽ 19-n mU
17	5.7	13.4	8.4	9.2	1.6	739.4	739.0	740.0	92	43	61	N 1	S 1	NW 1	10	5	10	.	● n (17./18.)
18	6.4	10.8	6.4	7.9	0.1	740.4	740.7	742.2	91	55	97	S 0	SSE 1	SSW 1	10●	10	10☽	3.4	● 7-a, ☽ 18-n
19	5.8	8.4	8.3	7.5	−0.4	741.7	741.8	742.4	97	79	87	N 1	SSE 0	NNW 0	10☽	10	10	1.6	☽ n-a
20	6.8	12.4	10.7	10.0	2.0	743.7	744.2	745.7	96	57	74	SSE 0	S 1	NW 0	7	10	10	.	
21	7.9	11.4	10.4	9.9	1.7	746.9	747.3	**748.2**	93	72	78	NNE 0	S 0	N 1	6	10	9	.	
22	7.8	15.4	11.9	11.7	3.4	747.3	746.1	746.0	88	57	66	NNE 1	S 1	NW 0	9	6	10	.	
23	7.1	17.9	14.1	13.0	4.6	746.7	745.3	745.4	86	49	63	NNE 0	S 1	SSW 2	7	5	7	.	
24	7.0	18.7	13.0	12.9	4.3	745.2	744.0	743.0	93	45	75	N 0	S 1	NNW 1	1	6	10	.	
25	9.4	11.2	9.1	9.9	1.2	740.4	738.4	736.9	94	94	94	WSW 0	WSW 1	N 1	10☽	10●	10●	29.9	☽ 7½, ● ☽ 11½-n
26	7.6	12.1	9.7	9.8	1.0	735.2	734.2	736.0	93	63	87	NW 1	E 0	NW 1	10●	9	10	1.4	● n-10
27	7.6	19.7	11.4	12.9	3.9	735.8	735.9	736.4	87	32	70	N 1	SSE 1	N 1	7	6	2	.	
28	9.2	13.8	8.6	10.5	1.4	736.3	735.8	735.3	92	59	87	NNW 0	SSE 0	N 1	10	10	2	.	
29	8.6	15.2	10.4	11.4	2.2	734.9	733.9	733 8	93	58	86	S 0	S 1	SSW 1	10	10	10	.	☽ n (29. 30.)
30	8.8	7.8	7.6	8.1	−1.3	731.1	730.2	**728.7**	92	92	72	S 0	N 0	E 2	10☽	10●	10☽	19.3	☽ 6½-a, ● ☽ a-n mU
31	7.2	12.4	9.9	9.8	0.3	729.4	733.5	739.3	78	58	86	SE 1	S 1	SSW 1	10	10	10	.	
Mittel	6.4	13.2	9.2	9.6	—	738.6	738.2	738.7	91	59	78				7.4	7.4	7.5	Summe 194.6	

$\lambda = 7°\,35'$, $\beta = 47°\,33'$,
$H_b = 317.3$ m, G = 0.08 mm

Basel

März 1959
Beobachter: *Astronom.-Meteorol. Anstalt*

1	2.4	15.6	8.1	8.7	6.2	740.2	738.6	738.1	100	42	67	ESE 1	E 1	ESE 1	1	1	0	.	
2	2.2	15.9	6.7	8.3	5.7	738.4	737.4	736.7	93	**40**	77	ESE 1	E 1	E 1	0	2	0	.	
3	3.0	14.8	10.1	9.3	6.6	736.1	734.5	732.3	97	50	70	ESE 1	E 1	SW 1	8	10	10	0.7	
4	6.6	8.7	6.1	7.1	4.3	729.0	727.4	728.6	100	100	100	SW 0	WNW 1	NE 1	10	10	10	6.9	● 2¾-6¾ mU, 14-19 mU, 23-24
5	6.9	13.6	10.9	10.5	7.5	727.6	728.3	727.1	97	74	75	E 1	ENE 1	E 1	10	8	10	.	
6	8.2	15.4	9.8	11.1	8.0	726.8	726.6	727.1	94	66	100	E 1	SSW 0	SE 1	10	10	10	21.7	● 13½-n
7	7.4	10.0	7.2	8.2	5.0	**726.0**	726.7	728.2	100	93	100	S 0	W 1	S 1	10	10	10	5.0	● n-17¾
8	7.0	11.0	6.4	8.1	4.8	731.6	732.0	733.7	97	77	90	S 0	W 0	E 0	10	9	0	1.2	● 8½-9½, 11¾, 13-13¾
9	1.2	9.6	6.0	5.6	2.1	733.8	733.7	732.1	100	80	94	SSW 0	NNW 1	SW 1	10	8	4	.	≡ 6¾-9½ mU, ⊕ 10½
10	3.6	10.9	7.1	7.2	3.6	732.2	732.2	732.1	100	78	81	NW 0	W 0	WNW 1	10	8	10	.	≡ 9-10½ mU
11	3.6	12.0	8.4	8.0	4.3	730.9	728.8	728.0	100	71	80	NW 0	NNE 1	SW 1	10≡	6	10	5.4	≡ 4½-10¾ mU
12	5.9	7.6	5.6	6.4	2.5	728.1	729.8	732.8	100	98	100	SSW 1	W 1	WNW 1	10	10	10	**23.2**	● 1½-n
13	4.6	8.2	4.4	5.7	1.7	736.1	737.6	739.6	100	76	82	SSW 1	N 1	WSW 1	10	10	1	0.8	● n-10¾
14	3.4	6.1	2.1	3.9	−0.2	740.0	740.4	740.6	97	96	95	W 1	NW 0	S 1	10	10	6	.	
15	**-1.7**	8.6	5.0	4.0	−0.2	740.4	739.2	737.9	100	64	82	SE 0	NNE 1	S 0	10≡	7	9	0.0	≡ 6-9½, ⌴ ⋁ I
16	3.2	1.8	0.3	1.8	−2.6	735.6	735.0	733.7	97	100	100	ESE 0	NW 1	SSW 1	10	10	10	9.0	● 7¾ 8½, ● ☽ 11 20½ mU
17	1.2	6.8	3.2	3.7	−0.8	733.0	733.1	732.8	100	78	93	NNW 1	NNE 1	SW 1	10≡	9	8	.	≡ n-10¾
18	1.2	10.0	4.8	5.3	0.7	733.2	733.2	733.9	100	68	77	NW 0	NNW 1	SW 1	10≡	3	0	0.0	≡ 6½-10
19	4.8	16.0	10.3	10.4	5.7	735.3	735.0	735.1	99	44	70	ESE 1	ENE 1	S 1	8	7	5	0.1	● 5¼-5¾
20	7.6	13.2	7.4	9.4	4.5	736.6	737.5	737.1	96	78	95	E 2	E 1	S 0	9	9	2	0.4	● 2-2½, 8¾-11 mU
21	5.6	**19.3**	9.8	11.6	6.6	739.2	738.7	739.8	100	50	78	E 1	NNE 1	ESE 1	1	6	10	.	
22	8.2	15.2	11.6	11.7	6.6	740.8	741.1	742.4	95	61	82	SE 0	N 0	NW 0	10	10	10	0.7	● 21¾-24 mU
23	10.1	17.4	11.1	12.9	7.6	**742.7**	741.5	740.3	90	55	57	S 0	W 1	E 1	9	5	0	.	● 2¼
24	6.6	18.4	11.2	12.1	6.7	739.6	738.2	737.5	100	56	90	ESE 1	ENE 1	SW 1	1	5	8	.	
25	10.1	10.9	6.6	9.2	3.7	735.0	734.2	734.6	100	86	100	N 0	W 1	SW 1	10	10	10	6.0	● 15¾-23¾
26	5.4	12.4	6.0	7.9	2.3	734.6	734.5	735.8	100	62	96	SE 1	SSW 1	SE 1	9	8	2	0.0	● 8½-8¾, 16¾-20 mU, ≡ 8½ 8¾
27	2.6	16.7	9.0	9.4	3.6	735.0	733.0	732.0	100	50	83	SE 1	SE 1	S 1	1	6	10	5.9	⌓ I
28	7.4	8.4	7.8	7.9	2.0	732.0	733.5	735.8	100	97	96	E 0	W 1	S 0	10●	10●	10	2.5	● 3¾-13½ mU, 19¾-20¾
29	6.1	14.2	9.0	9.8	3.8	733.8	732.0	729.2	100	57	62	E 0	WSW 1	ESE 1	9	5	9	0.6	● 13¾-13½
30	6.9	9.4	7.1	7.8	1.6	729.3	728.1	728.2	80	61	76	W 1	E 1	NW 1	9	10	5	0.0	● 1¾ 3½ mU
31	4.0	10.8	8.1	7.6	1.3	732.8	734.7	739.4	100	65	80	SW 1	NNE 2	SE 1	10	10	0	.	● tr a
Mittel	5.0	11.9	7.3	8.1	—	734.4	734.1	734.3	98	70	85				8.2	7.8	6.4	Summe 90.1	

März 1959
Beobachter: *Observatorium*

Säntis

$\lambda = 9° 21'$, $\beta = 47° 15'$,
$H_b = 2500.1$ m, G = –0.29 mm

Tag	Lufttemperatur					Luftdruck			Relative Feuchtigkeit			Windrichtung und Stärke						Bewölkung			Niederschlag	Witterung	✳
	7^{30}	13^{30}	21^{30}	Mittel	Abweich. vom Normalst	7^{30}	13^{30}	21^{30}	7^{30}	13^{30}	21^{30}	7^{30}		13^{30}		21^{30}		7^{30}	13^{30}	21^{30}			
1	–2.4	0.0	–3.2	1.9	6.5	566.6	566.0	566.0	30	58	66	SW	2	SW	2	SW	2	1	1	1	.		185
2	–3.4	–0.2	–3.0	–2.2	6.1	565.4	565.3	565.3	53	52	54	SW	1	SW	2	SW	1	1	1	1	.		180
3	4.3	0.1	2.4	2.2	6.1	563.8	563.2	561.5	68	62	75	SW	2	S	3	SSW	3	1	9	9	.	⊕ 13½–14	175
4	–2.8	–0.8	–2.8	–2.1	6.1	558.4	556.7	557.2	84	78	93	SSW	3	SW	4	SW	3	9	9	10	.	⌿ a-p	170
5	–2.0	1.0	–1.3	–0.8	7.3	557.2	558.1	558.2	93	80	68	SW	3	SW	3	S	2	10	9	1	.	⊕ 13½–14½	165
6	–1.0	2.0	–0.8	0.1	8.2	557.7	557.7	556.9	76	68	81	SW	2	S	2	SW	3	10	9	8	.	⊕ 10½–13½	160
7	–2.0	1.0	–6.0	–2.3	5.7	**553.7**	553.8	553.8	96	86	100	SW	3	SW	2	WNW	3	10	10≡*	10≡*	**20.8**	✳ ≡ ⋁ 12¼–n	160
8	–6.6	–5.0	–7.8	–6.5	1.4	556.7	558.3	559.8	100	99	97	W	3	W	2	SW	1	10≡*	1	0	0.0	✳ ≡ n–9	170
9	–7.2	–0.8	–1.1	–3.0	4.9	560.0	560.4	560.4	96	46	45	WSW	2	S	2	SSE	2	9	9	5	.	⊕ 13½	170
10	–2.1	2.6	–3.9	–1.1	6.7	559.7	559.6	559.4	50	50	80	S	2	SW	2	NW	2	10	9	9	0.7	✳ 15½–n mU, ⊕ 10½	170
11	–5.4	–2.8	–5.2	4.5	3.2	557.3	556.6	555.9	70	78	74	WSW	2	WSW	2	W	2	9	9	1	0.8	✳ n (11./12.), ≡ 17–18 mU	170
12	–5.6	–1.6	–7.3	–4.8	2.9	554.5	555.1	557.1	100	77	100	WNW	2	NNW	1	W	2	10≡*	10≡*	10≡*	9.2	✳ ≡ ⋁ n–n mU	170
13	–8.7	–6.8	–8.4	–8.0	–0.4	559.0	560.5	562.2	100	97	97	WNW	2	NW	2	N	2	10≡*	10≡*	10≡*	6.8	✳ ≡ ⋁ n–n mU	190
14	**–9.3**	–7.4	–8.8	–8.5	–1.0	562.0	562.6	563.4	98	97	76	NW	2	ENE	1	ENE	3	10≡*	10≡	0	0.0	✳ n–11, ≡ ⋁ n–19	200
15	–4.4	–2.0	–4.8	–3.7	3.8	563.2	563.6	562.6	31	**12**	14	ENE	2	NNE	2	W	2	1	3	4	0.0	✳ n (15./16.), ⊕ 16½	200
16	–9.1	–7.0	–8.2	–8.1	–0.7	559.0	558.0	557.5	80	100	100	W	2	W	2	SE	3	9	10≡*	5	.	✳ n–17 mU, ≡ 8–n mU	190
17	–6.8	–4.0	–7.4	–6.1	1.2	557.8	558.3	558.2	70	64	80	SSE	2	S	2	S	2	1	1	1	.		200
18	–6.8	–2.9	–4.4	–4.7	2.6	558.5	559.8	561.2	74	66	64	WSW	2	SW	2	SSW	2	9	9	10	.	⊕ 10½–13½	195
19	–4.8	–2.1	–4.3	–3.7	3.5	562.0	562.4	563.0	78	85	91	SE	2	S	2	S	1	8	8	1	.	⊕ 13½	195
20	–2.8	1.2	–2.8	–1.5	5.6	564.2	564.8	565.3	70	67	74	S	2	SW	2	SE	2	9	7	1	.	≡ 15½–16¾ mU	190
21	–1.8	2.2	0.7	0.4	7.5	566.4	567.3	568.5	64	53	56	SE	2	SW	2	WSW	1	1	9	3	.	⊕ 13½–16½	185
22	0.4	1.4	–1.4	0.1	7.1	567.7	568.1	**568.9**	54	73	100	E	2	SW	2	ESE	1	9	8	10≡*	0.0	✳ 20½–n, ≡ 15–17 mU,*)	180
23	–1.4	2.8	–1.1	0.1	7.0	568.8	568.4	568.0	100	78	91	W	1	SW	1	SW	2	10≡*	10	1	0.0	✳ ≡ ⋁ n–8¾	175
24	–1.0	**3.2**	–1.0	0.4	7.3	567.1	567.1	565.7	83	63	80	WSW	2	SW	2	S	2	1	4	10	.	⊽ III	170
25	–1.3	0.2	–2.6	–1.2	5.6	562.6	561.1	559.9	64	68	100	SE	2	SW	3	SE	2	9	9	10≡*	3.9	✳ ≡ 18¾–n	160
26	–6.4	–4.4	–7.3	–6.0	0.7	559.3	559.9	561.0	100	97	95	NW	2	NW	2	N	2	10≡*	10≡*	10≡	0.8	✳ ≡ n–n mU, ⋁ n–n	170
27	–6.4	1.0	–4.2	3.9	2.8	559.7	559.8	559.8	90	84	94	NE	2	SSW	1	SW	2	1	3	1	0.3	✳ n (27./28.), ≡ 12¾–19 mU	170
28	–5.4	–4.0	–6.2	–5.2	1.4	558.5	559.6	560.2	100	100	100	W	3	W	3	NW	2	10≡*	10≡*	10≡*	7.5	✳ ≡ ⋁ 5¾–n. ⌿ 10½	171
29	–5.8	–2.0	–5.8	–4.5	2.0	558.7	558.4	556.6	98	100	94	W	2	WSW	1	WSW	2	10≡	10≡	1	6.6	✳ n (29./30.), ≡ ⋁ n–18¾	187
30	–6.7	–7.8	–9.2	–7.9	–1.4	554.7	554.7	554.5	100	100	100	W	3	W	2	NE	2	10≡*	10≡*	10*	13.6	✳ n–11, 20½–n, *)	198
31	–7.4	–5.2	–6.4	–6.3	0.1	556.6	559.9	563.4	100	96	100	NE	3	NE	2	NE	2	10≡*	10*	10*	0.0	✳ n–9, ≡ ⋁ n–n	218
																					Summe		
Mittel	–4.5	–1.6	–4.5	–3.5	—	560.5	560.8	561.0	80	75	82							7.4	7.6	5.6	71.0		

*) **22.** 20¾–n, ⊕ 7½–10½ **30.** ≡ ⋁ n–14¾, ⫩ n–11

März 1959
Beobachter: *E. Chiesa*

St. Gotthard (Hospiz)

$\lambda = 8° 34'$, $\beta = 46° 33'$,
$H_b = 2095$ m, G = –0.27 mm

1	–4.3	–2.4	–2.3	–3.0	3.5	596.2	596.1	595.6	55	48	75	NW	0	SE	1	SE	0	0	6	0	.		165
2	–4.1	2.0	–1.2	–1.1	5.3	595.3	595.5	595.5	78	61	73	SE	0	SE	1	SE	1	0	3	3	.		163
3	–1.8	1.3	–2.2	–0.9	5.5	595.1	594.5	593.4	81	72	85	SE	2	SE	2	SE	2	9	9	9	3.6	✳ n (3./4.)	162
4	–3.6	–2.5	–3.2	–3.1	3.2	589.6	588.7	586.5	98	98	97	SE	2	SE	1	SE	1	10≡*	10≡*	10≡*	21.9	✳ n–n mU, ≡ n–n	162
5	–1.0	1.2	–2.0	–0.6	5.7	586.3	588.2	588.9	98	87	89	SE	1	SE	0	SE	3	10≡*	10≡	10≡*	10.6	✳ ≡ n–n mU, ⌿ III	170
6	–2.0	0.6	–2.0	–1.5	4.7	588.6	588.5	587.5	98	96	98	SE	1	SE	2	SE	2	10≡*	10≡*	10≡*	19.8	✳ n–n mU, ≡ n–n	174
7	–1.4	0.0	–3.8	–1.7	4.4	583.9	583.3	583.5	99	92	95	SE	1	SE	1	NW	2	10≡*	10≡*	10*	26.2	✳ n–n mU, ≡ n–p, *)	185
8	–4.9	–2.9	–4.5	–4.1	2.0	585.9	587.5	589.7	93	79	66	NW	2	NW	0	NW	0	6	0	0	.		180
9	–3.4	1.6	–2.0	–1.3	4.7	590.3	591.1	591.2	77	66	85	SE	1	SE	2	SE	1	9	10	10	.		180
10	–2.8	3.2	–2.7	–0.8	5.2	590.6	590.2	588.9	75	62	90	SE	1	SE	2	SE	0	9	10	10	.		175
11	–2.5	1.3	–5.0	–2.1	3.8	586.5	585.7	585.3	82	52	98	NW	1	NW	1	NW	0	9	6	3	0.6	✳ n (11./12.)	175
12	–3.6	–2.2	–6.0	–3.9	1.9	583.7	584.1	586.5	93	97	96	NW	1	NW	1	NW	3	9	10≡	10	14.4	✳ n (12./13.), ≡ 8¾–p, ⌿ III	170
13	–6.4	–4.4	–6.0	–5.6	0.2	587.6	589.6	591.0	95	96	95	NW	3	NW	3	NW	3	10≡	10≡	10≡	12.0	≡ ⋁ ⌿ n–n	175
14	–6.4	–4.8	**–7.1**	–6.1	–0.4	590.9	591.6	592.3	94	97	91	NW	2	NW	2	NW	1	10≡	10≡	0	.	≡ n–14, ⋁ n–a	175
15	–4.9	1.0	–2.8	–2.2	3.5	592.2	592.5	592.3	28	**23**	29	NW	1	NW	1	NW	1	0	0	0	.		175
16	–5.7	–1.4	–5.2	–4.1	1.5	588.5	587.8	587.0	61	65	92	NW	2	NW	1	NW	1	6	10	10	15.5	✳ 14½–n mU, ≡ 14–n mU	172
17	–6.2	–2.2	–5.3	–4.6	0.9	588.0	588.8	589.1	97	93	90	SE	1	SE	1	SE	1	10≡*	10≡*	10≡*	7.2	✳ ≡ n–n	185
18	–6.0	–3.0	–5.2	–4.7	0.8	589.0	590.2	591.4	96	92	96	SE	2	SE	2	SE	1	10≡*	10≡*	10≡*	4.1	✳ n–n mU, ≡ n–n	190
19	–4.0	1.2	–2.5	–1.8	3.6	591.5	592.0	593.0	97	73	98	SE	0	SE	1	SE	0	10	10	10≡	0.3	✳ 11½–n mU, *)	190
20	–3.0	1.2	–2.2	–1.3	4.1	593.5	594.6	595.6	76	65	99	NW	0	SE	2	SE	1	6	10	10	0.9	✳ 21–n mU, ≡ 16½–n mU	190
21	2.0	1.2	1.0	0.6	4.7	596.8	597.5	**598.5**	97	74	84	SE	1	SE	2	SE	0	10≡	10≡	10	.	✳ n–20	190
22	–0.8	3.5	0.4	1.0	6.2	597.8	598.0	598.0	84	63	88	SE	1	SE	1	SE	0	10	10	9	0.5	✳ n (22./23.)	190
23	0.0	**6.0**	1.2	2.4	7.6	597.9	597.9	597.7	97	55	97	NW	1	SE	0	SE	0	10	6	10	.	≡ 21 n mU	190
24	–1.2	4.7	1.4	1.6	6.7	596.5	596.6	595.7	84	59	85	SE	0	SE	1	SE	0	0	10	10	.		185
25	0.0	1.0	1.4	0.1	5.0	592.6	590.5	589.3	83	91	99	SE	2	SE	3	SE	1	10	10*	10≡*	**32.5**	✳ 8¾–n mU, ≡ 14–n, ⌿ II	180
26	4.5	2.0	4.8	3.8	1.2	588.6	588.9	590.0	97	95	97	NW	2	NW	2	NW	2	10≡*	10≡	10≡	3.1	✳ n–a mU, ≡ n–n	200
27	–6.0	3.8	–1.7	–1.3	3.6	589.1	589.5	589.5	84	45	75	NW	1	SE	1	SE	0	0	0	0	.		200
28	–0.8	5.6	–3.4	0.5	5.4	588.7	589.0	589.3	88	60	98	SE	1	SE	0	NW	2	10≡	10≡*	10≡*	1.6	✳ 11–n mU, ≡ n–n	195
29	–3.4	–1.0	–1.1	–1.8	3.0	588.1	587.3	586.4	97	80	97	NW	2	NW	2	NW	0	10≡	3	10	2.7	✳ n (29./30.), ≡ n–8¾, *)	195
30	3.7	4.0	3.8	1.5	0.3	584.0	583.8	**583.1**	96	95	95	NW	2	NW	2	NW	3	10–	10–	10–	24.2	✳ n (30./31.), ≡ n–n, *)	195
31	–6.0	–2.8	–3.8	–4.2	0.5	584.9	587.7	592.0	95	97	96	NW	3	NW	2	NW	1	10≡	10≡	10–	2.7	≡ ⋁ n–n, ⌿ n–a	195
																					Summe		
Mittel	–3.4	0.1	–3.0	–2.1	—	590.3	590.6	590.8	86	75	89							7.8	8.2	7.9	204.4		

*) **7.** ⫩ n (7./8.) **19.** ≡ 11¾–18 mU, 18–n **29.** 18½–n mU, ⋁ 1 **30.** ⫩ n–a, ⌿ ⋁ p–n

$\lambda = 7°\,26'$, $\beta = 46°\,57'$,
$H_b = 572.2$ m, $G = -0.04$ mm

Bern

April 1959
Beobachter: *Meteorologisches Observatorium*

Tag	Lufttemperatur					Luftdruck			Relative Feuchtigkeit			Windrichtung und Stärke			Bewölkung			Niederschlag	Witterung
	7^{30}	13^{30}	21^{30}	Mittel	Abweich. vom Normalst	7^{30}	13^{30}	21^{30}	7^{30}	13^{30}	21^{30}	7^{30}	13^{30}	21^{30}	7^{30}	13^{30}	21^{30}		
1	2.7	13.3	8.3	8.1	2.4	718.2	717.9	**718.5**	91	38	56	SE 1	E 2	E 1	0	1	0	.	⧋ I
2	2.7	14.5	10.2	9.1	3.3	**718.5**	717.7	717.1	85	45	59	E 1	NE 1	NE 1	0	0	1	.	
3	4.0	16.4	11.3	10.6	4.6	715.9	714.9	714.7	90	47	65	E 0	NE 1	SW 1	0	0	1	.	⧋ I
4	5.9	19.1	13.1	12.7	6.6	714.9	713.6	712.5	81	46	55	E 1	SE 1	WNW 1	0	1	1	.	
5	6.7	20.3	12.8	13.3	7.0	712.3	709.9	709.7	83	**33**	45	SSE 1	W 2	SW 1	3	2	0	.	⧋ I
6	6.3	18.9	12.1	12.4	6.0	708.0	704.2	701.8	65	**33**	57	SE 1	WSW 2	WNW 2	2	7	9●	7.7	⛉ 17¾–18, ● tr 21½
7	7.6	8.1	7.2	7.6	1.0	699.8	702.1	705.5	83	58	73	W 2	W 3	WSW 2	10	6	10●	5.8	● 3–6¾, 11½–13, 21½–23¾, *)
8	7.6	15.8	11.4	11.6	4.9	705.1	703.3	701.4	74	45	59	WSW 1	WSW 3	W 1	1	1	3	.	⛈ a–p
9	9.4	6.9	4.3	6.9	0.0	698.5	700.6	700.1	65	84	90	SW 1	WSW 1	WSW 1	9	10●	7●	7.0	● 8½–13¾, ⛉ 17¾–22¾ mU, ⛈ 8¾
10	2.7	6.9	3.0	4.2	−2.8	698.0	700.2	702.4	92	70	90	S 1	WSW 2	E 0	9●	8●	10●	9.3	⛉ 5¾–7½ mU, ● 12–14 mU, *)
11	3.8	9.9	8.1	7.3	0.1	706.5	707.9	709.5	90	59	68	WSW 1	WSW 2	SW 1	9●	9	9	0.0	⛉ 1¾–3½ mU, ● tr 7½
12	7.6	17.1	11.6	12.1	4.7	711.8	711.0	711.4	70	48	73	SE 0	W 2	SE 1	7	2	9	.	
13	7.1	19.6	13.4	13.4	5.9	712.2	710.3	710.0	83	44	72	SE 1	NNE 1	WSW 1	1	0	4	.	⧋ I
14	9.5	**21.5**	15.7	15.6	7.9	710.2	708.9	707.3	79	38	55	SE 1	S 1	WNW 1	8	5	1	.	
15	9.4	19.1	14.6	14.4	6.5	708.5	708.7	708.1	75	45	63	ESE 1	W 1	W 1	2	8	9	.	
16	9.4	13.4	5.9	9.6	1.5	701.6	**697.6**	700.0	76	70	91	SE 1	NW 1	WSW 1	10	9	10●	8.1	● 20–n
17	5.2	8.5	7.9	7.2	−1.1	699.9	700.3	702.5	91	76	85	SW 1	SW 1	WSW 1	10●	10	9	2.5	● n–11¼
18	8.3	10.6	9.6	9.5	1.0	703.6	704.0	704.5	82	78	94	SSE 1	SW 1	W 1	10	10	10●	18.1	● 19¾–n
19	7.3	7.9	5.0	6.7	−1.9	707.4	710.3	713.8	91	84	94	WSW 1	WSW 1	SSW 1	10●	10●	10●	2.2	● n–7½, 8½–10¼, 12¾–n
20	3.5	5.8	3.4	4.2	−4.6	715.1	715.0	715.9	88	56	65	NNE 1	NE 1	E 1	10●	9	6	0.0	● n–8½
21	0.3	6.2	2.9	3.1	−5.9	716.2	716.5	717.7	75	37	53	NNE 1	E 2	ENE 0	1	6	1	.	⊔ I
22	**−0.1**	9.9	5.5	5.1	−4.0	717.8	716.8	715.9	73	**33**	53	ENE 0	NE 2	N 1	1	1	0	.	⊔ I
23	1.2	12.9	8.0	7.4	−1.9	713.9	711.9	712.1	72	35	51	ESE 1	N 2	N 1	1	1	1	.	⊔ I
24	3.5	15.7	9.9	9.7	0.3	713.5	713.0	713.6	73	35	56	SE 1	NNE 1	SW 1	1	2	4	.	⊔ I
25	5.1	18.0	12.0	11.7	2.1	714.4	712.8	711.7	74	36	60	SSE 1	W 1	SE 1	2	3	5	.	⧋ I
26	8.8	14.0	8.6	10.5	0.8	710.8	710.3	710.0	73	53	90	SE 1	W 1	W 1	8	10	10●	4.2	● 17–n
27	8.1	16.3	11.0	11.8	1.9	709.6	707.8	706.9	92	46	84	WNW 1	W 2	NNW 1	10●	8	10●	6.4	● n–0½, 3¼–5¼, 7¼–9¼, 20¼–n
28	8.7	10.0	8.5	9.1	0.9	705.7	705.8	707.7	95	93	94	W 1	W 1	ESE 1	10●	10●	10●	17.3	● n 8¾, 11½ 24
29	7.0	12.9	11.1	10.3	0.1	706.1	703.2	700.9	93	79	90	E 1	W 1	WSW 1	10	10	7	1.9	
30	7.0	9.4	5.4	7.3	−3.0	704.4	706.1	709.3	93	83	90	WSW 1	SW 1	W 2	10●	10●	10●	**22.7**	● 3½–11½, 12¾–20¾, 23–n
Mittel	5.9	13.3	9.1	9.4		709.3	708.7	709.1	82	54	71				5.5	5.6	5.9	Summe 113.2	

*) **7.** ⛉ 8¾–11½ mU, 17¾–18¾, ⛈ n–n mU, ⛈ 4½, 13¾ **10.** 19¾–20¾, ● 7½–8¾, 9¾–10½, 14–14¼, 20¾–24, ✳ 8¾–9¾, ⧳ 14¾–15½, ⛈ 12

$\lambda = 6°\,57'$, $\beta = 47°\,00'$,
$H_b = 487.3$ m, $G = 0.00$ mm

Neuchâtel

April 1959
Beobachter: *Observatoire Cantonal*

1	5.9	15.0	11.1	10.7	4.2	725.9	725.4	**726.2**	84	34	40	NE 1	ESE 3	NNE 2	2	0	0	.	⛈ a n
2	5.5	16.3	12.4	11.4	4.7	726.1	725.2	724.6	82	40	44	NE 1	NE 2	NNE 2	0	0	0	.	⛈ n–21¾ mU, ⛈ 9¾
3	5.5	16.9	12.5	11.6	4.8	723.9	722.4	722.3	88	43	44	E 1	ESE 1	NNE 1	0	0	0	.	
4	5.9	19.3	12.4	12.5	5.6	722.6	721.5	719.9	92	41	48	NNE 0	SW 1	SW 1	0	0	0	.	
5	9.7	19.7	13.7	14.4	7.3	719.7	717.7	717.2	65	39	45	SW 1	SW 2	SW 1	1	1	0	.	
6	8.4	15.4	10.7	11.5	4.3	715.5	711.7	709.1	81	48	84	WSW 0	SW 2	SW 2	6	9	10	4.1	● tr 21, ⛈ 14½–16½
7	7.1	10.7	6.7	8.2	0.8	707.3	709.2	713.4	86	47	82	W 2	WSW 3	SW 2	10●	3	8	2.7	● 1½–12, 19¼, ⛈ 12–15
8	7.5	16.1	12.1	11.9	4.4	712.7	709.8	708.5	80	45	59	WSW 2	SW 2	WNW 2	1	3	3	0.1	⛈ 8¼
9	8.7	7.0	4.6	6.8	0.9	705.7	707.9	707.5	82	86	94	WSW 2	SW 2	S 0	10●	10	9	5.7	● 7–16½, 19¾–20½, ⛈ a–16 mU
10	3.5	7.5	3.8	4.9	−2.9	704.9	707.9	709.7	99	58	97	SW 2	SW 2	SW 1	10●	9	10●	5.9	● 6–n mU, ⛈ 17½
11	4.1	8.7	8.6	7.1	−0.9	714.1	715.9	717.1	92	69	59	WSW 2	SW 2	WSW 2	10●	8	8	0.2	● n–11 mU, ⛈ 13
12	8.8	17.4	11.4	12.5	4.4	719.3	718.8	718.7	72	40	68	WSW 1	SW 2	SW 0	6	1	4	.	
13	7.4	19.4	12.8	13.2	4.9	719.9	718.2	717.4	93	36	61	SW 0	S 2	WSW 0	1	0	2	.	
14	8.8	**21.6**	14.4	14.9	6.5	717.7	716.3	714.6	96	30	58	WSW 0	S 1	S 0	6	1	0	.	
15	10.8	19.6	13.1	14.5	5.9	716.0	716.2	715.5	78	42	68	S 0	SW 1	W 1	6	4	8	.	
16	9.6	13.3	5.7	9.5	0.7	708.9	**704.6**	707.7	92	63	97	W 0	S 1	SW 2	10	10	10●	7.5	● 19½–n, ⛈ 16¼–18
17	5.0	8.4	8.6	7.3	−1.6	707.1	707.8	710.0	93	75	68	WSW 1	SSW 0	NNW 1	10●	10	10	2.2	● n–12
18	8.0	11.1	10.1	9.7	0.6	711.2	711.6	711.9	89	75	78	NNW 1	SW 2	W 1	10	7	10●	3.1	● 8¼–8¾, 16¼–20
19	7.8	7.2	6.2	7.1	−2.1	714.8	717.9	721.4	65	62	70	NW 3	NW 3	NE 1	10	10	10	0.5	● 3¾–4½, 17¾–19¾, ⛈ 0½–19¾
20	5.0	7.3	4.6	5.6	−3.8	722.9	722.9	723.7	75	53	47	NE 1	E 2	NE 2	10	10	9	.	⛈ 20–n mU
21	**2.2**	9.9	4.5	5.5	−4.1	724.1	724.3	725.7	56	31	37	NE 2	ENE 2	NNE 2	0	2	0	.	⛈ n–19 mU
22	3.2	11.7	6.9	7.3	−2.4	725.7	724.3	723.6	50	**29**	38	NE 2	ENE 2	N 2	0	0	0	.	⛈ 12¾
23	4.8	14.6	10.7	10.0	0.1	721.8	720.2	719.7	58	30	32	NE 2	E 2	NNE 2	1	1	0	.	⛈ 9½
24	4.3	16.8	11.3	10.8	0.8	721.2	720.8	721.1	70	32	42	NE 1	E 1	NE 1	0	2	0	.	
25	5.7	18.7	11.9	12.1	1.9	722.2	720.7	719.2	81	30	45	NNE 1	E 1	SSW 1	2	2	0	.	
26	10.5	12.9	9.0	10.8	0.4	718.5	717.9	717.9	71	57	87	W 1	S 1	WSW 2	7	10	10●	0.6	● 21½–22¼, ⛈ 14½
27	8.7	16.7	10.9	12.1	1.6	717.0	715.4	714.1	79	34	77	WSW 1	SW 2	W 1	10	4	10●	8.2	● 20¼–n
28	8.9	9.0	9.0	9.0	−1.7	713.1	713.2	715.2	93	93	89	SW 1	WSW 2	W 1	10	10●	10●	26.9	● n–n mU
29	8.0	12.3	10.3	10.2	0.6	713.4	710.8	708.0	94	69	83	NE 1	SSE 1	SW 1	10	10	2	7.3	● n 1, 15¾ 16½
30	7.3	8.6	5.5	7.1	3.9	711.9	713.8	717.2	95	76	94	SW 1	WSW 1	SW 2	10●	10	10●	**31.9**	● 3¼ 11½, 16 n
Mittel	6.9	13.6	9.5	10.0	—	716.8	716.3	716.6	81	50	64				5.6	4.9	5.1	Summe 106.9	

April 1959
Beobachter: *Eidg. Armeemagazine*

Altdorf

$\lambda = 8° 38'$, $\beta = 46° 52'$,
$H_b = 450.7$ m, G = −0.08 mm

Tag	Lufttemperatur					Luftdruck			Relative Feuchtigkeit			Windrichtung und Stärke			Bewölkung			Niederschlag	Witterung
	7^{30}	13^{30}	21^{30}	Mittel	Abweich. vom Normalst	7^{30}	13^{30}	21^{30}	7^{30}	13^{30}	21^{30}	7^{30}	13^{30}	21^{30}	7^{30}	13^{30}	21^{30}		
1	4.8	11.2	8.2	8.1	1.1	729.2	729.0	**729.6**	100	75	71	N 0	NNW 1	SSE 0	10	6	0	0.1	● tr n–a mU, ⧋ I, III
2	1.6	14.4	7.8	7.9	0.8	729.3	728.8	728.4	97	59	82	S 1	S 1	SSE 0	0	0	0	.	⧋ I, III
3	2.8	14.8	10.0	9.2	1.9	727.0	725.5	725.5	98	59	75	SE 0	NW 1	SSE 0	0	1	0	.	⧋ I, III
4	4.0	18.0	11.2	11.1	3.7	725.3	724.0	722.6	87	45	61	SSE 1	NNW 0	SE 1	0	0	0	.	⧋ I, III
5	7.0	20.0	11.0	12.7	5.2	722.4	719.7	719.7	87	47	64	SSE 0	NW 1	SSE 1	3	0	0	.	⧋ I
6	7.2	17.6	12.2	12.3	4.6	718.2	713.7	710.4	79	47	86	SSE 1	NW 2	SSE 0	2	5	8	2.4	● n (6./7.), ⧋ I
7	8.6	5.6	5.8	6.7	−1.1	708.4	710.6	715.5	92	85	92	NE 1	NNE 3	SSE 1	10●	10●	10	6.7	● n–p, ⸗ a–p
8	4.2	17.4	15.4	12.3	4.4	715.6	711.6	711.5	90	47	38	S 1	SSE 1	SSE 3	0	1	1	.	⧋ I, ⸗ p–n
9	13.4	6.8	4.0	8.1	0.0	707.9	710.9	710.4	61	93	100	SSE 2	WNW 1	SSW 0	9	10●	10	5.7	● a–n mU
10	4.6	7.4	5.2	5.7	−2.5	**707.8**	709.9	712.6	83	81	95	W 0	S 1	S 0	9	10	10	6.2	● p–n mU, ⧋ I
11	4.4	10.6	7.2	7.4	−1.0	717.0	718.3	720.5	98	60	73	S 1	S 0	S 0	6	7	10	.	
12	8.2	16.4	9.8	11.5	3.0	722.4	721.4	722.2	77	54	74	S 1	NW 2	S 0	4	1	0	.	⧋ III
13	6.8	19.2	19.0	15.0	6.4	722.7	720.4	720.1	88	54	**35**	S 1	NW 1	S 2	1	0	0	.	⸗ p, ⧋ I
14	14.6	19.4	**20.6**	18.2	9.4	719.9	719.4	718.4	**35**	55	**35**	NNW 1	NW 1	SSE 2	1	8	0	.	⸗ p
15	12.8	**20.6**	12.4	15.3	6.4	718.5	718.1	718.5	44	55	68	NNW 1	WNW 2	SE 0	3	2	0	.	
16	17.2	17.8	12.0	15.7	6.6	712.5	708.2	708.0	42	40	67	SE 2	SSE 3	WNW 2	9	9	10	13.2	● n (16./17.), ⸗ n–n mU
17	6.0	10.0	8.2	8.1	−1.1	710.2	710.7	712.8	100	78	91	SE 0	NW 1	N 0	10●	10	10	4.1	● n–a mU, n (17./18.)
18	7.6	9.0	8.2	8.3	−1.1	714.0	714.4	714.6	100	98	100	N 0	S 0	NW 0	10	10●	10●	**35.8**	● a–n, ⛥
19	7.4	8.4	5.4	7.1	−2.4	717.2	719.9	723.9	100	89	89	N 0	NW 1	NW 1	10●	10●	10	14.3	● n–n mU
20	4.8	6.6	4.4	5.3	−4.3	724.9	725.7	726.9	90	71	64	NNW 2	NNW 2	NNE 1	10●	10	8	.	● n–7½
21	2.8	8.4	3.4	4.9	−4.9	727.1	727.4	728.8	79	53	59	NW 1	NW 2	E 0	8	7	5	.	⧋ I
22	**0.4**	11.2	4.2	5.3	−4.6	728.9	727.7	727.1	83	46	59	SE 0	NNW 2	SE 0	1	4	0	.	⧋ I
23	1.4	13.6	7.4	7.5	−2.6	725.2	723.0	723.1	88	49	62	SE 1	NW 1	SE 0	0	1	0	.	⧋ I
24	4.4	16.2	9.8	10.1	−0.1	724.1	723.3	724.4	90	50	60	SE 0	NW 1	SE 0	2	5	0	.	⧋ I
25	7.8	18.2	10.2	12.1	1.8	724.7	723.3	722.1	80	49	67	SE 0	NW 1	ESE 1	0	0	0	.	⧋ I
26	16.0	17.4	14.8	16.1	5.6	721.0	720.1	719.2	43	38	37	SE 2	SSE 3	SSE 2	2	10	0	.	⸗ n–n mU
27	10.0	14.4	12.6	12.3	1.7	719.9	718.9	716.5	93	67	75	S 1	NW 2	NE 0	8	7	10	.	
28	11.0	17.8	10.8	13.2	2.5	716.1	714.3	718.2	85	37	80	NW 1	S 4	NW 0	5	10	2	.	
29	9.4	19.2	16.6	15.1	4.2	716.9	714.0	715.1	92	**35**	40	NW 1	S 3	SE 3	9	10	2	2.3	● n (29./30.), ⧋ I, ⸗ a–n
30	10.0	10.0	8.0	9.3	−1.7	713.6	716.2	719.1	98	94	93	SW 1	N 1	NW 1	10●	10●	10	6.9	● n–p
Mittel	7.4	13.9	9.9	10.4	—	719.6	718.9	719.5	83	60	70				5.1	5.8	4.2	Summe 97.7	

April 1959
Beobachter: *Observatoire*

Genève

$\lambda = 6° 09'$, $\beta = 46° 12'$,
$H_b = 405.0$ m, G = −0.05 mm

1	7.5	12.9	10.8	10.4	3.4	731.6	731.1	732.3	79	46	50	NE 1	NNE 3	NE 1	2	3	1	.	⸗ a–p
2	7.5	13.4	11.7	10.9	3.8	**732.8**	732.0	731.4	68	54	59	N 1	NNE 1	NE 1	0	0	0	.	
3	6.0	14.7	12.3	11.0	3.7	730.6	729.6	729.5	86	50	61	NE 0	NNE 1	N 0	0	0	0	.	
4	6.8	20.5	15.0	14.1	6.7	729.9	728.3	727.9	83	38	43	S 1	S 1	SE 1	0	1	1	.	
5	9.0	**20.8**	14.5	14.8	7.2	727.5	725.5	724.6	70	35	40	N 1	S 1	SE 1	1	1	1	.	
6	9.7	17.7	12.6	13.3	5.6	722.6	720.5	718.4	67	38	61	N 1	SSW 2	SSW 2	1	7	10●	14.6	● p mU, 21½
7	7.6	10.4	8.7	8.9	1.1	717.1	719.0	721.6	88	62	71	SW 2	SSE 1	S 2	8	9	8●	3.1	● 2¾–13 mU, 14¾–16¼, 21–21½
8	7.2	16.8	13.4	12.5	4.5	721.2	718.1	716.9	84	44	54	NNE 1	S 2	S 1	1	1	4	0.5	
9	8.7	6.7	5.4	6.9	−1.2	714.4	716.4	715.2	86	87	83	S 2	S 2	ENE 1	10●	10	4	5.9	● 7–10¾, 12–13½, 16–18¾ mU
10	6.2	7.5	4.4	6.0	−2.3	**713.1**	716.6	717.2	75	69	95	S 2	S 2	SE 1	6	9	8	8.5	● 4½–7¾ mU, 10¾–23 mU
11	5.8	10.6	10.3	8.9	0.5	722.4	723.7	724.9	79	50	51	S 2	S 2	SSW 1	8	9	10	.	● 3¾–6¾
12	9.5	18.5	13.7	13.9	5.1	726.6	725.8	726.2	63	42	63	NNE 1	SSW 1	S 1	6	1	0	.	
13	9.9	14.7	13.2	12.6	3.9	726.7	725.2	724.7	77	54	60	NNE 1	NNE 1	N 1	0	0	1	.	
14	9.5	18.1	16.0	14.5	5.7	725.0	723.2	722.5	86	**33**	59	N 1	NE 1	ENE 1	9	4	1	.	
15	11.5	17.1	15.2	14.6	5.6	723.2	724.1	722.7	72	49	64	N 1	W 1	SE 1	7	10	9	0.0	● tr p
16	9.9	11.4	5.5	8.9	0.2	716.3	713.3	715.6	94	82	93	ESE 1	S 2	WNW 2	10●	10●	10●	3.2	● 7½–16¾ mU, 21½
17	5.6	10.4	9.1	8.4	−0.9	714.9	714.9	717.2	92	71	78	NNE 1	NNE 1	NNE 1	10	8	7	.	
18	9.0	11.7	9.6	10.1	0.7	718.7	719.2	719.9	81	74	93	NW 1	S 1	NNE 0	10	10	10	7.0	● 10¾–16¾ mU, 21–22¾ mU
19	7.7	7.6	6.7	7.3	2.3	723.1	725.5	728.6	76	87	75	NNE 1	NNW 1	NNE 1	10●	10●	10	0.8	● 0¾ 13½ mU, 19¾–19¾
20	6.7	8.2	5.8	6.9	−2.9	729.1	729.1	729.6	68	54	57	NNE 2	NNE 2	NNE 3	8	10	2	.	● 6½–7, ⸗ a–n mU
21	**2.6**	7.3	5.3	5.1	−4.8	730.3	730.2	731.8	61	41	45	NNE 2	NNE 3	NNE 3	2	1	0	.	⸗ n–n mU
22	4.1	9.7	7.5	7.1	−3.0	732.3	730.8	729.9	54	41	51	NE 1	NNE 3	NNE 1	0	0	0	.	⸗ n–p mU
23	3.7	11.2	10.3	8.4	−1.8	728.9	727.2	727.1	70	38	56	S 1	N 1	N 1	0	2	1	.	
24	5.3	13.9	11.3	10.2	−0.2	728.1	727.8	728.2	75	36	51	SW 0	NNE 1	N 1	0	1	2	.	
25	7.2	15.2	15.1	12.5	2.0	729.3	727.8	726.6	70	45	47	N 0	N 1	S 1	0	2	2	.	
26	11.4	15.0	9.6	12.0	1.3	726.0	725.3	725.6	68	50	88	ENE 1	SSW 2	SW 1	9	10	10●	0.5	● 16¾–22¾ mU
27	10.2	17.3	12.0	13.2	2.4	724.7	722.9	721.7	81	36	71	S 1	SSW 2	SSE 1	9	7	10	8.1	● 4¾–4¾, 22½–n
28	9.0	12.1	8.6	9.9	1.1	720.1	720.6	722.6	95	79	97	N 1	S 1	N 2	10●	10	10	**21.9**	● n 13½ mU, 17¾–23 mU, ⛥, ▲
29	8.2	11.2	9.8	9.7	1.4	720.9	717.9	717.0	96	77	86	NW 1	NNW 1	S 2	10●	10	10●	5.8	● 6¾ 7¾, 11¾ 15¾, 18¾–21½
30	7.8	9.6	5.9	7.8	−3.5	719.6	722.1	725.4	90	66	87	NE 1	S 2	S 1	10●	10●	10●	18.2	● 7½–11, 13½, 15¾–n
Mittel	7.7	13.1	10.3	10.4	—	724.2	723.8	724.1	78	54	66				5.2	5.5	5.1	Summe 98.1	

$\lambda = 8°\,34'$, $\beta = 47°\,23'$,
$H_b = 569.4$ m, $G = -0.01$ mm

Zürich

April 1959
Beobachter: *Meteorologische Zentralanstalt*

Tag	Lufttemperatur					Luftdruck			Relative Feuchtigkeit			Windrichtung und Stärke			Bewölkung			Niederschlag	Witterung
	7^{30}	13^{30}	21^{30}	Mittel	Abweich. vom Normalst	7^{30}	13^{30}	21^{30}	7^{30}	13^{30}	21^{30}	7^{30}	13^{30}	21^{30}	7^{30}	13^{30}	21^{30}		
1	3.5	14.5	8.7	8.9	3.4	718.7	718.7	**719.2**	91	30	55	NE 0	NE 1	NE 1	0	1	0	.	⊏ I, △ III
2	5.0	15.3	9.9	10.1	4.4	718.8	718.5	717.7	77	37	48	NNE 1	ENE 1	NE 1	0	0	0	.	⊏ I, △ III
3	5.3	17.2	10.5	11.0	5.2	716.4	715.3	715.0	71	37	55	NE 1	NE 2	SE 1	0	2	0	.	△ I, III
4	7.0	20.2	15.6	14.3	8.3	714.5	713.8	712.3	79	37	41	SSE 0	WSW 1	SSW 1	0	1	0	.	△ I, III
5	10.9	20.6	14.4	15.3	9.2	711.6	709.7	709.2	62	33	42	SW 1	SW 2	W 1	5	1	0	.	△ I, III
6	10.7	18.6	12.6	14.0	7.7	707.5	703.6	700.5	53	38	55	SSW 1	SW 2	SW 2	1	4	8	2.5	△ I, ⛈ 13¾-n mU
7	7.1	6.5	5.9	6.5	0.1	698.0	700.8	705.0	81	77	67	WSW 3	WSW 3	WSW 2	10●	8	10	7.2	● 3¾-5¾, 10¾-14¾ mU, *)
8	5.6	15.8	10.1	10.5	3.9	704.7	702.1	701.3	76	44	80	S 1	SSW 2	NNW 1	1	1	10	0.1	● 0¾-0¾, ⛈ n-14¾
9	8.6	5.7	3.8	6.0	−0.7	698.0	700.6	699.5	77	87	86	W 0	SSW 2	SSW 1	9	10●	10	4.8	● tr a, 10½-23 mU, ⛈ 5, *)
10	3.6	4.2	3.5	3.8	−3.1	**697.3**	699.2	702.6	88	78	80	SSE 0	SSW 3	SSW 1	9	9	10●*	6.7	● 3-3½, 8½-9, 13¾-15½ mU, *)
11	3.8	7.5	8.8	6.7	−0.3	706.2	707.6	709.7	79	65	48	SSW 1	WSW 2	SSW 2	8	9●	10	0.8	● n-6¾, 10¾-10¾, ⛆ 13½-14¾, *)
12	9.1	16.8	10.8	12.2	5.0	711.5	711.3	711.8	57	43	68	SSW 1	SSW 1	SE 1	10	3	0	.	⛈ 1¾-11¾ mU, △ III
13	8.7	20.9	14.2	14.6	7.3	712.3	710.7	710.0	75	39	49	S 0	ENE 1	SE 0	3	1	0	.	△ I, III
14	11.1	**21.7**	16.1	16.3	8.8	710.2	709.2	707.3	68	32	43	W 0	NNE 1	E 1	2	7	1	.	△ I, III
15	13.1	21.3	12.9	15.8	8.2	708.8	708.4	708.2	64	37	63	ENE 0	NW 1	NNW 1	3	6	4	.	△ I, III
16	10.1	17.8	8.3	12.1	4.3	701.3	**697.3**	698.6	79	52	78	ENE 1	SE 1	SW 2	9	10	10	4.8	△ I, ⛈ 18¾-24 mU
17	4.5	8.1	7.4	6.7	−1.2	699.6	700.3	702.5	90	67	85	SSW 1	WSW 1	SE 1	10●	10	10	4.9	● 2¾-11¾
18	8.1	10.2	8.7	9.0	0.9	703.4	703.5	704.1	78	72	95	S 1	SSW 1	SSW 1	10	10	10●	**12.7**	● tr a mU, 13½-15½, 19¾-21, ⛆ 11¾
19	8.6	6.5	4.1	6.4	−1.8	706.7	709.9	713.7	93	89	90	WNW 1	W 2	S 1	10	10	10●	10.6	● 1¾-5½, tr a, 11-12¾, 17¾-n, *)
20	2.7	6.3	2.2	3.7	−4.7	715.3	715.8	717.0	84	49	49	NNE 1	ENE 1	NE 2	10●	9	6	.	● n-8, △ III
21	**0.4**	7.4	1.0	2.9	−5.6	717.0	717.4	718.4	65	30	56	ENE 1	NE 2	ENE 1	1	4	0	.	● 9-15½ mU, △ I
22	1.3	10.0	4.5	5.3	−3.4	718.4	717.4	716.4	59	31	45	ENE 1	N 2	ENE 1	1	1	0	.	⊏ I, △ III
23	3.1	14.5	8.1	8.6	−0.2	714.6	712.9	712.8	59	29	45	NE 1	NNE 2	ENE 1	1	1	0	.	⊏ I
24	6.0	15.9	9.4	10.4	1.4	713.7	713.4	714.2	62	31	60	WNW 0	E 1	E 1	5	10	9	.	⊏ I, △ III
25	7.8	19.2	12.3	13.1	4.0	714.5	713.1	711.7	66	**26**	48	ESE 0	SSW 1	SSE 1	0	3	0	.	△ I, III
26	11.3	16.3	9.8	12.5	3.3	711.0	709.9	709.9	61	47	68	SSW 0	WSW 2	W 1	4	10	8	1.4	△ I
27	8.9	13.3	10.3	10.8	1.4	709.7	708.7	706.5	79	53	66	SSW 1	SW 1	E 0	10	8	9	0.9	● 0¾-1¾, 5½-6¾, 7¾-11¾, △ III
28	9.2	12.4	8.7	10.1	0.6	706.0	705.5	707.5	81	62	83	S 1	WSW 2	SE 1	9	10	8	1.4	● 15-15½, 19½-21½, ⛈ 14-14¾, 18-20
29	9.9	18.5	15.5	14.6	5.0	706.7	703.2	700.5	76	44	39	SSW 1	NNE 1	ESE 1	9	10	0	0.0	△ III
30	9.0	8.7	6.0	7.9	−1.9	703.6	705.7	708.8	80	82	88	WSW 1	SSW 1	SW 2	10	10●	10	12.5	● 7¾-9¾, tr a, 13-18¾
Mittel	7.1	13.7	9.1	10.0	—	709.2	708.8	709.1	74	49	63				5.3	6.0	5.1	Summe 71.3	

*) 7. 18¾-19¾, 23¾, ⛈ n-16 ⛆ 9. 8¾-19¾ mU 10. 23½-n, ● ✳ 21 22, ⛈ 8¾-21½ mU, ≡ 5¾-6 11. ⛈ 0¾-17¾ mU 19. ☂ p mU

$\lambda = 6°\,32'$, $\beta = 46°\,51'$,
$H_b = 1601$ m, $G = -0.16$ mm

Chasseron

April 1959
Beobachter: *J. Liardon*

1	−0.4	3.4	2.0	1.7	—	633.3	634.2	**634.8**	100	52	62	E 4	E 3	E 3	3	3	3	.	⛈ n-n, ⛈ I	13
2	0.8	7.0	3.8	3.9	—	633.8	**634.8**	634.3	76	53	49	E 4	E 0	E 3	0	2	0	.	⛈ n-n mU, ⛈ I	10
3	5.2	10.6	7.2	7.7	—	632.3	632.9	632.9	32	**18**	50	E 3	N 1	E 1	0	1	2	.	⛈ n-a	8
4	8.0	11.0	8.6	9.2	—	632.1	632.5	631.1	43	46	28	SW 3	S 2	W 4	0	1	2	.	⛈ n-n mU, ⛈ III	3
5	6.4	11.6	5.8	7.9	—	629.8	629.3	628.4	28	32	46	W 4	WNW 3	W 3	3	3	2	.	⛈ n-n, ⛈ I	
6	5.2	6.4	2.4	4.7	—	625.9	623.6	619.5	55	64	100	W 3	WNW 3	W 5	8	7	10	6.4	✳ n (6., 7.), ⛈ n-n, ⛈ III	
7	−1.0	3.6	−1.2	−1.9	—	616.0	618.4	621.5	100	100	100	WNW 6	NW 6	W 4	10≡*	10≡	10≡	19.3	⛆ n-n mU, ≡ ⛈ n-n	1
8	−0.6	3.7	1.8	1.6	—	622.0	621.2	619.8	100	88	100	WSW 3	W 4	W 4	7	6	10≡	9.1	✳ n (8./9.), ≡ n-7½, 19½-n, *)	
9	0.6	−2.2	−3.2	−1.6	—	616.1	617.3	616.3	100	100	100	W 4	W 4	W 4	10≡	10≡	10≡	22.5	✳ 8-11, ⛆ 15¾-n mU, *)	1
10	−4.2	−3.6	−3.5	−3.8	—	**613.8**	616.6	617.9	100	100	100	W 4	W 4	NW 5	10≡	10≡	10≡	23.6	✳ n-n mU, ≡ ⛈ n-n	9
11	−3.4	−1.4	−1.2	−2.0	—	622.1	624.7	626.3	100	100	82	W 4	SW 3	SW 4	10≡	5	5	1.1	✳ n-7, ≡ n-12, ⛈ n-n mU	15
12	0.6	6.5	7.3	4.8	—	628.4	629.5	630.2	92	82	63	SW 3	SSW 2	SW 3	5	4	2	.	⛈ n-n mU	11
13	4.6	11.0	9.0	8.2	—	629.3	629.7	629.1	67	51	55	S 4	SSW 2	S 2	2	0	3	.	⛈ n-a	7
14	8.4	**13.6**	10.2	10.7	—	628.6	628.5	627.5	49	41	66	S 3	SE 2	SE 2	6	4	1	.	⛈ n-a	3
15	7.2	9.8	6.4	7.8	—	627.3	628.0	627.4	67	70	83	S 3	WNW 1	W 3	6	5	9	1.0	⛆ 16½-17, ⛈ n-n mU	1
16	4.6	6.2	1.6	3.1	—	620.4	617.4	617.0	91	100	100	SSE 2	W 2	WNW 3	10	10	10−	22.7	✳ n (16., 17.), ≡ 14-n, ⛈ p-n	1
17	1.2	0.0	0.6	0.6	—	616.6	618.0	619.6	100	100	100	WNW 2	NW 2	NNW 3	10≡	10−	10≡	3.4	⛆ 8-9½, ☂ n (17., 18.), ≡ n-n.*	5
18	3.2	3.4	2.2	2.9	—	621.8	622.3	622.4	100	100	100	NNE 2	NNE 3	NW 4	10≡	10≡	10≡	16.9	⛆ n-n mU, ⛆ n (18./19.), *)	3
19	−1.3	−2.0	−2.6	−2.0	—	624.4	626.9	629.2	100	100	100	NW 3	NNW 3	N 3	10≡	10≡	10≡	4.7	⛆ 8-9½, ≡ ⛈ n-n	2
20	−4.0	−3.4	−6.0	−4.5	—	629.8	630.1	630.2	100	100	100	N 2	N 2	E 2	10≡	10≡*	5	.	✳ n-p mU, ≡ n-n mU	4
21	**−8.0**	−4.2	−5.4	−5.9	—	629.5	630.1	631.7	100	59	63	E 3	E 3	E 3	2	4	1	.	⛈ n-n	2
22	−5.0	−0.0	−2.3	−2.4	—	631.7	632.2	631.1	52	45	54	E 3	E 2	E 2	1	0	1	.	⛈ n-n mU	
23	−2.4	4.0	1.4	1.0	—	628.8	629.3	629.2	50	30	37	E 4	ENE 2	E 2	1	1	1	.	⛈ n-a	
24	2.0	6.4	4.2	4.2	—	630.0	630.6	631.2	38	40	40	E 1	E 2	E 2	1	3	2	.		
25	4.6	8.8	6.4	6.6	—	631.4	631.3	630.2	46	43	53	W 1	S 2	SSW 2	2	3	4	.		
26	5.0	4.8	1.0	3.6	—	628.7	627.9	627.0	70	40	100	S 3	SW 4	S 3	7	10	10−	2.1	☂ 15¾, 18¾ n mU, *)	
27	0.0	4.8	2.8	2.5	—	626.1	625.7	624.5	100	50	100	W 3	WSW 2	SW 3	10≡	7	10	8.8	☂ 20-n, ≡ n-9½, ⛈ n-n mU	
28	1.6	2.8	3.0	2.5	—	622.8	623.1	624.8	100	100	100	SSW 3	SSW 3	W 3	10≡	10≡	10≡	26.8	☂ n-11 mU, ☂ 15½-15¾, *)	
29	2.4	5.2	4.8	4.1	—	623.2	621.9	620.5	100	65	100	ESE 2	SSE 3	SSW 2	8	9	10	6.6	☂ n-8, 20-n mU, ☂ n (29., 30.), *)	
30	0.0	1.0	1.6	0.9	—	621.6	623.2	625.3	100	100	100	WNW 3	WNW 3	WNW 1	10 *	10−	10− *	**37.2**	● n-13, 16¾-n, ≡ ⛈ n-n, ⛈ III	2
Mittel	1.3	4.0	2.0	2.4	—	625.9	626.4	626.4	78	69	78				6.1	5.9	6.1	Summe 212.2		

*) 8. ⛈ n-n, ⛈ a-n

9. ≡ n-n mU, ⛈ n-n 17. ⛈ p-n 18. ≡ n-n, ⛈ a-p, ⛈ p-n 26. ≡ 19-n mU, ⛈ n-n, ⛈ II 28. ⛆, ≡ ⛈ n-n 29. ≡ n-7¾, ⛈ n-n mU

April 1959
Beobachter: *Stationspersonal Rh. B.*

Bever

$\lambda = 9° 53'$, $\beta = 46° 33'$,
$H_b = 1711.8$ m, $G = -0.26$ mm

Tag	Lufttemperatur					Luftdruck			Relative Feuchtigkeit			Windrichtung und Stärke			Bewölkung			Niederschlag	Witterung
	7^{30}	13^{30}	21^{30}	Mittel	Abweich. vom Normalst	7^{30}	13^{30}	21^{30}	7^{30}	13^{30}	21^{30}	7^{30}	13^{30}	21^{30}	7^{30}	13^{30}	21^{30}		
1	−0.2	4.4	0.4	1.5	3.1	624.0	624.1	625.4	77	46	59	NE 0	W 1	NE 1	9	1	1	.	20
2	**−8.8**	9.8	−0.9	0.0	1.5	**626.2**	624.6	624.9	95	**26**	69	SW 0	NE 0	SW 0	0	0	0	.	16
3	−7.4	9.2	−1.0	0.3	1.6	623.9	622.9	624.4	88	36	80	SW 0	SW 0	SW 0	0	0	0	.	10
4	−6.0	10.7	0.2	1.6	2.8	623.9	622.3	623.0	34	36	75	SW 0	SW 0	SW 0	0	0	0	.	7
5	−4.8	12.9	0.5	2.9	3.9	621.0	618.6	618.7	86	39	77	SW 0	SW 1	SW 0	0	0	0	.	4
6	−5.5	11.0	3.2	2.9	3.8	617.6	614.6	611.9	90	41	90	SW 0	**SW** 0	SW 1	4	4	10	1.6	● n (6./7.)	2
7	2.5	1.0	−0.5	1.0	1.7	607.3	607.6	611.3	88	90	53	SW 2	W 0	SW 0	8	10*	4	.	✳ 12½–p mU	1
8	−6.2	7.8	2.2	1.3	1.9	615.0	614.2	612.9	84	39	73	SW 0	SW 2	SW 0	0	0	9	2.3	✳ n (8./9.)	
9	1.7	4.8	2.6	1.3	1.7	610.4	608.7	606.6	79	60	83	W 0	SW 2	SW 1	10	10	10*	1.9	● 14–16, ✳ 16–n mU	
10	**−8.8**	0.7	−3.8	−4.0	−3.7	**606.3**	606.6	609.9	91	58	65	SW 0	SW 0	SW 0	5	10	3	0.1	✳ fl a	1
11	−4.2	3.6	−2.8	−1.1	−1.0	612.1	614.2	617.7	64	39	64	SW 0	SW 0	SW 0	9	8	0	.		
12	−2.4	8.6	0.5	2.2	2.1	620.0	619.1	621.8	64	44	78	SE 0	SW 1	SW 0	4	3	4	.		
13	−3.0	14.1	2.6	4.6	4.4	622.7	621.9	622.5	93	33	87	SW 0	SW 1	SW 0	2	0	2	.		
14	−2.4	**14.5**	5.4	5.8	5.4	622.7	621.3	621.0	96	28	86	SW 0	SW 1	SW 0	0	0	7	.		
15	1.0	13.4	3.0	5.8	5.2	621.1	619.9	619.1	96	36	79	SW 0	SW 1	SW 0	7	0	0	.		
16	3.2	8.2	2.0	4.5	3.8	614.5	611.5	609.2	78	54	80	SW 0	SW 0	SW 0	10	10	10	**11.8**	● n (16./17.)	
17	0.4	5.8	2.2	2.8	1.9	606.6	607.8	610.1	100	49	86	SW 1	SE 0	NE 0	10	10	10	0.4	● n-6½, ✳ 6½–11 mU, ● tr 21–n mU	
18	4.1	7.4	3.2	4.9	3.8	609.9	611.1	612.0	71	48	87	S 0	NW 2	NE 0	9	9	10	0.0	● tr 18 n mU	
19	2.6	4.8	2.3	3.2	1.9	612.3	614.8	617.8	86	60	56	SW 0	N 1	NW 0	10	10	10	0.1	● tr n–a mU	
20	0.8	3.2	−3.9	0.0	−1.4	618.7	618.7	619.7	56	39	54	E 0	NW 2	NE 1	10	6	7	0.0	● tr ✳ fl a mU	
21	−6.4	−0.3	−4.6	−3.8	−5.4	620.2	619.6	621.0	64	40	54	NE 1	NW 2	NW 2	3	2	4	.		
22	−5.8	1.9	−3.0	−2.3	−4.1	621.0	620.3	622.0	60	37	47	NE 1	NW 2	NE 0	1	1	0	.		
23	−8.3	7.7	−1.8	−0.8	−2.8	620.7	619.0	619.9	82	28	73	SW 0	W 1	SW 0	0	0	0	.		
24	−5.6	8.4	0.0	0.9	−1.3	620.4	619.4	622.1	90	33	60	SW 0	SW 0	W 0	0	0	3	.		
25	−3.2	10.3	2.4	3.2	0.9	622.8	622.0	622.3	83	34	82	SW 0	SW 2	W 0	0	0	1	.		
26	2.5	7.1	1.4	3.7	1.2	621.5	620.7	620.3	70	58	76	SW 0	SW 2	SW 0	5	10	3	.		
27	2.8	8.8	2.6	4.7	2.0	618.2	617.4	617.8	68	42	85	SW 0	SW 1	SW 0	8	10	10	0.1	● tr n (27./28.)	
28	2.4	6.6	1.1	3.4	0.5	616.8	616.6	617.9	87	61	92	SW 0	SW 1	SW 0	10	10	10	0.6	● n (28./29.)	
29	2.8	5.8	3.0	3.9	0.8	617.9	617.0	616.3	90	77	96	SW 0	SW 0	SW 0	10	10	10	8.0	● p–n mU	
30	1.5	4.5	3.4	3.1	−0.2	614.6	614.2	614.5	95	78	70	SW 0	SW 0	NW 1	10	10	10	3.4	✳ 9–p, ▲	
																		Summe	
Mittel	−2.0	7.2	0.6	1.9	—	617.7	617.0	617.8	80	46	74				5.1	4.8	4.9	30.3	

April 1959
Beobachter: *Couvent des Capucins*

Sion

$\lambda = 7° 22'$, $\beta = 46° 14'$,
$H_b = 548.6$ m, $G = -0.14$ mm

1	4.5	15.9	9.7	10.0	2.1	719.9	718.2	720.0	84	43	57	NE 0	NW 1	W 0	1	1	0	.	⏢ I
2	5.2	17.8	11.4	11.5	3.4	**720.9**	718.2	720.3	72	36	61	NE 0	NE 0	W 0	0	0	0	.	⏢ I
3	6.5	19.6	12.7	12.9	4.7	718.9	716.4	717.8	80	34	62	NE 0	NE 0	NNE 1	0	0	0	.	⏢ I
4	8.7	20.7	13.9	14.4	6.0	718.4	716.2	715.6	71	36	56	N 0	W 2	W 1	0	0	0	.	⏢ I
5	9.0	20.8	13.5	14.4	5.9	716.3	713.2	712.5	70	37	48	ENE 1	ENE 1	W 1	0	0	0	.	⏢ I
6	8.4	19.5	13.3	13.7	5.0	712.1	706.7	705.3	66	39	56	W 0	WSW 1	W 1	5	5	8	0.0	● tr n (6./7.), ⏢ I
7	9.8	10.7	8.4	9.6	0.8	703.1	705.0	708.3	70	61	70	NW 2	SW 1	WNW 2	10	9	8	0.4	● 9½–10¾, ⏢ I	
8	5.3	17.2	13.5	12.0	3.0	709.9	706.2	704.8	77	41	46	NNW 1	N 1	E 1	0	0	7	.		
9	9.3	7.8	6.7	7.9	−1.2	702.3	702.9	703.3	69	80	80	ENE 0	W 2	W 2	8	10●	6	3.7	● 11–15¾, ⏢ I	
10	4.5	9.0	5.7	6.4	−2.9	701.4	703.2	705.5	81	74	75	NE 0	W 1	WNW 0	10	5	10●	9.0	● 8½–9, 12¾–13, ✳ ● 22¼–n	
11	3.7	12.2	9.2	8.4	−1.0	710.1	711.5	713.4	93	53	55	WSW 0	SSE 0	W 0	10●	5	10	0.5	● ✳ n–0¾, ● 1½–9	
12	7.8	17.8	11.6	12.4	2.8	715.7	714.3	715.0	70	40	65	S 0	SSE 0	E 0	7	1	0	.		
13	8.7	22.7	14.1	15.2	5.5	715.8	713.1	713.9	74	**29**	59	S 0	S 0	W 0	1	0	0	.	⏢ I	
14	11.0	**22.8**	16.8	16.9	7.0	714.7	711.6	711.8	62	33	45	NNE 0	NNE 0	E 0	9	4	2	.	⏢ I	
15	13.3	21.3	14.9	16.5	6.5	712.6	710.9	711.4	56	41	60	E 1	W 2	W 0	5	7	6	.	⏢ I	
16	13.1	18.1	6.7	12.6	2.4	705.3	**700.7**	702.2	65	40	93	W 0	E 4	W 2	10	10	10●	11.2	● 21–n, ☄ 8–20, ⏢ I	
17	5.8	11.7	7.5	8.3	−2.0	703.8	702.9	704.9	92	62	82	N 0	E 1	W 0	10●	6	4	0.3	● n–8½	
18	8.5	12.2	10.5	10.4	−0.1	707.1	707.0	707.0	89	65	79	W 0	W 1	W 2	8	8	9	.		
19	9.0	11.8	6.3	9.0	−1.6	708.9	710.9	714.4	80	69	80	WSW 1	WSW 3	WSW 3	9	6	6	.	☄ a–n	
20	7.0	12.4	5.9	8.4	−2.4	715.8	714.4	715.9	78	46	60	W 0	WSW 3	W 2	6	2	2	.	☄ a–p	
21	4.5	11.9	5.5	7.3	−3.6	717.0	715.3	717.9	69	39	46	WNW 1	WSW 3	W 3	7	2	2	.	☄ a–n, ⏢ I	
22	**2.5**	12.3	6.7	7.2	−3.9	719.0	717.2	716.9	69	38	46	NE 1	W 2	NE 1	0	0	0	.	⊔ I	
23	4.1	15.1	9.0	9.4	−1.8	716.8	714.2	714.2	63	36	56	NE 0	W 2	SW 1	0	0	0	.	⏢ I	
24	6.1	17.5	11.0	11.5	0.1	715.9	714.8	716.0	70	36	55	NE 0	W 1	SW 0	0	0	0	.	⏢ I	
25	8.3	20.2	13.0	13.8	2.3	717.7	715.3	715.2	69	34	50	NE 0	NE 0	NE 0	1	3	1	.	⏢ I	
26	11.6	16.3	11.3	13.1	1.4	714.9	713.4	713.8	60	42	73	NE 0	NE 1	W 1	8	10	10●	5.5	● tr 13½, 21¼–n, ⏢ I	
27	8.7	17.9	13.1	13.2	1.4	713.4	710.5	709.8	90	35	54	W 0	SE 1	W 1	9	7	10	0.1	● n–7½ mU, 10	
28	12.3	11.2	10.2	11.2	−0.8	709.2	709.6	711.6	65	86	90	W 0	W 1	E 0	7	10●	7	3.5	● 13¼–16, 19¾–21½	
29	8.8	18.4	13.1	13.4	1.3	710.9	707.2	705.7	79	41	55	E 0	E 0	E 3	9	10	10	**21.8**	● 22¾–n, ☄ III	
30	6.9	10.5	6.9	8.1	−4.2	707.8	709.1	712.2	96	76	81	SW 1	SW 0	W 0	10●	10	10	10.3	● n–12¼	
																		Summe	
Mittel	7.8	15.8	10.4	11.3	—	712.5	711.0	711.9	74	47	63				5.3	4.4	4.6	66.3	

$\lambda = 8°\,58'$, $\beta = 46°\,00'$,
$H_b = 276.2$ m, $G = -0.04$ mm

Lugano

April 1959
Beobachter: *A. Tison*

Tag	Lufttemperatur 7³⁰	13³⁰	21³⁰	Mittel	Abweich. vom Normalst	Luftdruck 7³⁰	13³⁰	21³⁰	Relative Feuchtigkeit 7³⁰	13³⁰	21³⁰	Windrichtung und Stärke 7³⁰	13³⁰	21³⁰	Bewölkung 7³⁰	13³⁰	21³⁰	Niederschlag	Witterung
1	6.1	21.2	12.2	13.2	3.5	740.1	738.9	742.0	91	29	56	N 1	ESE 1	N 1	0	0	0	.	
2	7.2	20.3	12.1	13.2	3.4	**744.0**	742.2	742.1	80	36	65	N 1	S 1	N 1	0	0	0	.	
3	7.0	19.0	11.6	12.5	2.5	742.2	742.0	742.2	90	40	67	N 1	S 1	N 1	2	4	0	.	
4	8.4	21.3	13.8	14.5	4.4	742.6	740.6	739.9	92	37	69	NNW 0	S 1	NNE 1	1	1	0	.	
5	7.9	19.4	13.6	13.6	3.4	738.5	736.3	735.6	91	47	73	N 0	S 1	SSW 1	0	0	4	.	
6	8.9	15.8	12.0	12.2	1.8	733.9	731.3	729.0	91	57	80	NNE 0	S 1	NNW 2	5	8	10◔	5.6	◔ 19–n mU
7	10.2	18.8	13.2	14.1	3.6	723.8	**722.0**	726.5	97	44	28	SE 0	S 1	NNE 2	9	8	0	.	
8	7.8	20.4	10.6	12.9	2.3	732.2	732.1	731.5	53	32	94	N 2	S 1	NE 1	0	3	10	3.2	● 19–n mU
9	10.2	10.0	7.6	9.3	−1.5	727.8	725.5	722.9	94	97	82	SW 0	SE 0	N 3	10◔	10●	10●	30.6	● ◔ n 22½ mU, ⸗ p–n
10	4.3	8.7	6.8	6.6	−4.3	723.2	724.1	726.4	74	77	74	NNE 1	N 1	N 1	3	10	2	2.1	⛆ 13–13½, ⛾ ▲
11	4.4	19.4	11.0	11.6	0.5	730.0	731.2	734.6	68	**17**	46	N 1	N 1	N 1	0	1	1	.	
12	5.6	19.2	12.4	12.4	1.2	738.9	738.5	739.9	78	43	59	N 1	S 1	N 1	6	3	3	.	
13	8.4	19.6	14.4	14.1	2.8	740.5	739.5	739.9	84	48	71	N 0	S 1	N 1	2	2	4	.	
14	10.8	19.0	12.7	14.2	2.7	739.7	738.3	738.1	84	49	84	N 1	S 1	NNW 0	3	7	3	.	
15	10.2	**23.0**	14.1	15.8	4.2	737.9	735.9	736.1	86	39	61	NNW 0	S 1	N 1	3	3	4	.	
16	11.2	11.8	9.4	10.8	−0.9	733.4	730.5	725.6	83	94	97	NNW 1	NNE 1	NW 1	10●	10●	10●	33.3	● 8–n
17	8.1	16.3	11.0	11.8	−0.1	724.1	723.7	725.7	93	43	73	N 1	S 1	NW 1	10	7	9	.	● n–5
18	9.2	16.7	11.9	12.6	0.5	725.5	726.0	726.2	91	52	77	S 1	SE 1	SW 1	9	6	6	.	
19	15.0	**23.0**	15.6	17.9	5.7	725.0	727.0	732.2	37	23	26	N 2	N 3	N 4	4	2	1	.	⸗ 8½–n, ⸗ III
20	13.2	19.4	12.0	14.9	2.6	734.5	733.7	735.8	28	21	23	N 3	N 3	N 3	6	3	1	.	⸗ n–n
21	7.4	13.7	7.0	9.4	−3.1	740.3	739.6	741.8	57	41	66	NNW 1	S 1	N 1	9◔	6	1	0.0	◔ 7½–8½
22	4.2	15.4	8.4	9.3	−3.3	742.7	740.2	740.4	67	37	61	N 1	S 1	N 1	3	1	1	.	
23	**4.0**	15.9	10.0	10.0	−2.7	740.9	738.8	739.0	79	41	60	N 1	S 1	NNW 1	0	2	1	.	
24	5.7	18.4	11.8	12.0	−0.9	739.6	738.3	738.9	82	41	59	N 1	S 1	N 1	0	1	0	.	
25	7.6	19.4	12.7	13.2	0.2	741.4	740.5	741.2	83	40	59	NE 0	S 1	SW 1	0	2	6	.	
26	10.8	16.4	12.6	13.3	0.2	741.0	739.6	738.4	81	45	62	WSW 1	S 1	N 1	9	10	6	.	
27	11.2	15.4	10.2	12.3	−1.0	736.9	736.1	736.0	79	62	97	W 0	WSW 1	NE 1	9	10◔	10●	19.4	◔ 14½–p, ● p–n
28	9.2	10.9	9.6	9.9	−3.5	735.7	735.4	736.3	97	93	96	N 0	N 1	N 1	10●	10●	10◔	8.1	◔ n–n mU
29	9.2	10.4	10.0	9.9	−3.6	737.0	736.0	733.0	96	94	97	NW 0	NNW 1	NW 1	10◔	10●	10●	**89.0**	● ◔ n–n
30	9.0	11.4	10.6	10.3	−3.4	729.7	731.0	731.5	95	82	85	NNW 1	WSW 1	N 1	10●	10	5	13.3	● n–11½
Mittel	8.4	17.0	11.4	12.3	—	735.4	734.5	735.0	80	50	68				4.8	5.0	4.3	Summe 204.6	

$\lambda = 7°\,35'$, $\beta = 47°\,33'$,
$H_b = 317.3$ m, $G = 0.08$ mm

Basel

April 1959
Beobachter: *Astronom.-Meteorol. Anstalt*

Tag	Lufttemperatur 7³⁰	13³⁰	21³⁰	Mittel	Abweich. vom Normalst	Luftdruck 7³⁰	13³⁰	21³⁰	Relative Feuchtigkeit 7³⁰	13³⁰	21³⁰	Windrichtung und Stärke 7³⁰	13³⁰	21³⁰	Bewölkung 7³⁰	13³⁰	21³⁰	Niederschlag	Witterung
1	3.0	15.4	8.2	8.9	2.4	741.6	741.1	741.5	100	47	60	SE 0	NW 1	SE 0	0	2	0	.	◺ I
2	3.3	16.4	8.7	9.5	2.9	**741.8**	741.0	739.8	97	44	80	ESE 1	ENE 1	NW 0	0	0	0	.	⊔ I
3	3.3	18.2	9.3	10.3	3.6	738.9	737.6	737.0	100	40	85	S 0	WNW 1	SSE 0	0	0	3	.	◺ I
4	6.8	22.2	12.5	13.8	6.9	736.6	735.4	733.9	90	34	68	ESE 1	NNE 1	S 1	1	1	0	.	◺ I
5	7.1	21.9	13.0	14.0	7.0	734.2	732.4	731.6	98	34	53	E 0	WNW 1	SW 1	7	1	2	.	◺ I
6	9.2	19.5	13.9	14.2	7.0	730.1	726.6	722.8	81	53	56	ESE 0	W 1	WSW 2	1	6	10	4.2	⛆ 12¾–13, ⸗ 23¾
7	8.4	2.9	6.0	5.8	−1.5	720.7	725.3	727.6	80	100	97	W 3	W 3	NW 1	9	9●	10●	10.3	● 1½–22½ mU, ✳ 13–13½, ⸗ n–p
8	10.8	14.0	9.6	11.5	4.1	727.5	725.1	724.4	73	60	88	SW 1	WNW 2	SSE 1	4	4	9	0.0	● tr p, ⸗ 14
9	8.1	9.0	4.5	7.2	−0.4	721.3	722.8	722.3	98	84	100	W 0	WSW 1	WNW 0	10	10	0	5.0	● 7½–12½, 15½–16¾
10	4.2	8.8	5.4	6.1	1.6	720.0	722.1	724.5	100	67	96	NW 0	WNW 2	SE 0	9	9	10	2.0	● 5½–9½ mU, 14½ 19¾, *)
11	5.0	10.4	8.6	8.0	0.1	728.7	730.0	731.5	100	59	81	WNW 1	WSW 2	NNE 0	9	9	9	1.3	● 0¾ 7¾ mU, ⸗ 15¾, ⊕ 16½
12	8.8	17.0	12.0	12.6	4.6	733.3	733.4	733.5	88	51	78	NE 1	W 2	ESE 1	10	9	0	.	
13	9.4	22.2	15.7	15.8	7.7	734.9	733.0	731.5	90	38	57	ESE 1	ENE 1	ESE 1	1	0	0	.	
14	11.6	**25.2**	13.5	16.8	8.5	732.1	730.4	729.1	85	38	75	E 1	SE 1	ENE 0	9	5	0	.	◺ I
15	11.2	19.7	14.0	15.0	6.6	731.0	731.4	731.1	88	43	84	E 1	WNW 1	SW 1	2	9	9	0.0	● tr 21¾, tr 22
16	10.1	14.9	9.0	11.3	2.7	724.4	**719.6**	721.8	100	77	82	S 1	NNE 1	WSW 2	10	10	10	5.4	● tr 13¾, 22¼–22¾
17	7.3	9.4	8.7	8.5	−0.2	722.0	723.2	725.1	100	94	94	SSW 1	SSW 1	SW 0	10	10	10	5.4	● 2½–12¾ mU
18	9.0	12.6	10.0	10.5	1.6	725.8	725.8	726.6	100	94	100	SW 0	WSW 1	WNW 1	10	10	10	24.5	● 17–n mU
19	8.1	5.8	5.9	6.6	2.4	730.4	733.6	736.4	100	100	100	NW 1	W 1	SW 1	10	10	10	3.9	● n–6¼, 9–12½, 16½–23¾ mU
20	3.6	7.8	5.0	5.5	−3.6	738.5	738.7	740.5	97	64	52	N 1	ENE 0	ENE 1	10	9	9	.	
21	**0.6**	10.4	4.0	5.0	−4.3	740.8	740.1	741.2	90	29	53	NW 0	ESE 2	ESE 1	0	5	0	.	◺ I
22	1.9	12.4	6.0	6.8	−2.6	741.7	740.2	738.8	82	32	62	S 0	ESE 1	S 0	1	3	0	.	◺ I
23	3.6	15.6	7.2	8.8	−0.8	737.3	735.6	734.8	75	**27**	70	E 1	ESE 2	ENE 0	2	0	0	.	◺ I
24	5.3	17.4	8.5	10.4	0.7	736.1	735.9	736.3	77	34	87	SE 0	NNE 1	N 0	3	5	2	.	⊔ I
25	7.6	20.4	11.2	13.1	3.3	736.7	734.9	733.5	88	33	75	ESE 1	SE 1	SE 1	1	7	0	.	
26	10.1	15.6	9.9	11.9	1.9	732.8	732.5	732.1	81	57	97	SE 1	WNW 1	NW 0	10	10	10●	2.4	● tr 17–19, 19¼–23
27	9.0	15.6	10.6	11.7	1.6	732.3	731.5	729.4	95	55	90	W 1	S 1	SSW 1	9	8	10	8.9	● 2¾ 3, 21 n mU
28	9.1	10.5	10.0	9.9	0.4	728.3	728.0	729.6	100	96	93	ESE 2	SSE 1	SSW 1	10	10	10	11.2	● n–6¼ mU, 9½–22 mU
29	9.0	13.5	12.0	11.5	1.1	728.6	726.5	723.4	98	91	100	E 1	N 1	W 1	10	10	10	0.1	● 1¾–2¾, ⸗ 16¾
30	9.4	10.0	5.9	8.4	−2.1	726.2	728.4	731.3	95	98	100	WSW 1	WNW 2	S 0	10	10	10	**31.6**	● 5¾–n mU
Mittel	7.1	14.5	9.3	10.3	—	731.8	731.4	731.4	92	59	80				5.9	6.4	5.4	Summe 116.2	

*) 10. 21½–22¾, ⸗ 12¾

April 1959
Beobachter: *Observatorium*

Säntis

$\lambda = 9° 21'$, $\beta = 47° 15'$,
$H_b = 2500.1$ m, $G = -0.29$ mm

Tag	Lufttemperatur					Luftdruck			Relative Feuchtigkeit			Windrichtung und Stärke						Bewölkung			Niederschlag	Witterung	
	7^{30}	13^{30}	21^{30}	Mittel	Abweich. vom Normalst	7^{30}	13^{30}	21^{30}	7^{30}	13^{30}	21^{30}	7^{30}		13^{30}		21^{30}		7^{30}	13^{30}	21^{30}			
1	−6.4	−5.0	−5.6	−5.7	0.7	565.1	566.4	567.1	100	97	75	NE	3	NE	2	ENE	2	10≡	5	1	.	≡ ⋁ n–11	190
2	−0.4	0.2	−0.1	−0.1	6.2	566.7	**567.4**	567.3	12	11	**10**	NE	3	ENE	2	NNE	2	1	0	1	.		185
3	0.7	2.6	2.0	1.8	8.0	565.8	566.4	566.6	32	**10**	20	NNE	2	ENE	2	N	2	1	1	1	.		180
4	3.6	5.1	2.0	3.6	9.8	565.9	566.0	565.1	18	31	60	W	2	W	2	W	2	1	1	1	.		175
5	−0.4	2.7	−0.8	0.5	6.6	562.8	562.3	561.2	63	51	95	W	3	SW	3	W	3	3	1	7	.		170
6	−2.4	1.7	−2.0	−0.9	5.1	558.7	557.3	553.0	100	62	100	W	3	W	2	W	3	10≡	5	10≡*	10.6	✳ 18-n, ≡ n-8, 18-n, ⋁ n-8	165
7	−5.4	−7.4	−9.2	−7.3	−1.4	547.7	548.4	552.3	100	100	100	W	4	W	4	W	4	10≡*	10≡*	10≡*	21.5	✳ ≡ ⋁ ⊹ ⸝ n–n	180
8	−6.4	−2.8	−4.4	−4.5	1.4	554.2	555.0	554.2	95	60	81	W	4	WSW	2	SW	3	1	1	4	.	⸝ n–a	206
9	−2.8	−6.4	−9.0	−6.1	−0.3	550.8	549.8	548.7	88	100	100	SW	3	W	3	NW	3	9	10≡*	10≡*	8.2	✳ 10–n, ≡ ⋁ 9¾–n, *)	210
10	−8.9	−9.0	−10.4	−9.4	−3.7	**547.3**	548.3	550.4	86	100	100	SW	2	NW	3	N	3	9	10≡*	10≡*	17.6	✳ 11–n, ≡ ⋁ 9½–n, *)	200
11	−10.0	−8.4	−8.0	−8.8	−3.2	553.0	555.1	558.0	100	100	100	W	3	W	3	W	3	10≡*	10≡*	10	3.2	✳ n–17, ≡ n–n mU, *)	242
12	−5.0	−1.9	−1.2	−2.7	2.8	559.9	562.1	563.6	100	84	86	W	4	WSW	3	WSW	3	10≡	9	8	.	≡ ⋁ n–11, ⸝ n–a, Ψ III	254
13	−0.8	5.7	4.0	3.0	8.4	564.1	564.4	564.4	43	29	30	SW	2	SW	2	SE	3	8	1	0	.	◯ I	240
14	6.0	**8.2**	3.9	6.0	11.3	564.0	564.3	562.7	32	44	34	NW	3	NW	1	SW	3	1	8	5	.	◯ II	210
15	5.2	6.7	1.4	4.4	9.6	562.6	562.2	561.3	30	47	86	W	2	WSW	2	S	2	1	4	4	.	≡ 16–17 mU, 19¾–n mU, *)	180
16	1.0	1.6	0.0	0.9	5.9	556.3	553.1	551.4	65	70	80	SW	3	SW	3	SSE	2	9	9	10	0.7	✳ n (16./17.)	145
17	−3.6	−0.4	−2.4	−2.1	2.8	549.6	550.9	553.4	100	100	100	NE	2	SE	2	N	3	10≡*	10	10≡	0.0	✳ n–11, 15½–n mU, *)	146
18	−1.8	−1.8	−2.4	−2.0	2.8	554.3	554.7	555.3	100	100	100	N	2	NW	3	N	3	10≡	10≡*	10≡*	34.3	✳ 10¾–n, ≡ ⋁ n–n	147
19	−3.0	−3.7	−7.4	−4.7	−0.1	556.4	558.1	560.1	100	100	100	N	3	N	2	NW	2	10≡*	10≡*	10≡*	**38.1**	✳ ≡ ⋁ n–n	173
20	−9.4	−5.0	−13.1	−9.2	−4.7	560.0	560.6	561.0	100	100	100	NW	2	W	1	N	2	10≡*	10≡	10≡*	2.6	✳ n–11¾, 16½–n, ≡ ⋁ n–n	219
21	**14.0**	11.6	−13.0	12.9	8.6	560.1	561.3	562.2	95	96	100	E	2	NE	2	NE	2	4	10≡*	10≡	0.6	⊦ 11–19 mU, ≡ ⸌ 13½–n	230
22	−12.9	−10.0	−10.6	−11.2	−7.0	561.8	562.7	562.7	50	95	95	NE	3	NE	1	NE	2	1	9	1	.		232
23	−6.1	−5.0	−6.4	−5.8	−1.8	561.0	561.5	561.6	48	53	84	ENE	2	SE	1	W	2	1	8	1	.	◯ 13½	225
24	−4.0	−2.4	−4.9	−3.8	0.0	561.7	562.9	563.7	41	90	78	NNE	1	N	1	NW	2	8	9	4	.	◯ 10½–16½	200
25	−3.0	1.7	−1.0	−0.8	2.9	563.7	564.3	563.8	67	62	67	W	2	WSW	1	WSW	2	1	3	1	.		190
26	0.8	2.8	−3.0	0.2	3.7	562.4	561.8	560.2	60	68	86	SE	2	SW	2	SW	2	1	10	8	0.0	✳ 18¾–19	190
27	−2.8	0.8	−2.2	−1.4	1.9	559.3	559.2	558.4	91	96	74	WSW	2	SW	3	SW	3	9	10≡	9	.	≡ 11–16¾	185
28	−0.4	1.8	−3.0	−0.5	2.6	556.0	556.9	558.5	70	64	100	SW	3	WSW	3	WSW	3	5	10	10≡	0.0	✳ 14¾–16½, ≡ 14¾, 16½, 19–n	180
29	0.4	2.6	0.6	1.2	4.1	558.5	557.9	555.7	58	53	71	SW	3	SW	3	SE	3	4	9	7	.		171
30	−0.4	−1.6	−4.8	−2.3	0.4	555.3	555.9	557.3	88	100	100	SE	2	SSW	2	W	3	10	10≡*	10≡*	5.9	✳ 11¾–17, 18¾–n mU, *)	165
Mittel	−3.1	−1.3	−3.7	−2.7	—	558.8	559.2	559.4	71	72	80							5.9	7.1	6.4	Summe 143.3		

*) 9. ⊹ 13–n, ⸝ p, ◯ I 10. ⊹ 14–n mU 11. ⋁ ⊹ n–n 15. ⊕ 15¾–16½ 17. ≡ ⋁ n–11, 20–n 30. ≡ 8¾–n mU, ⋁ 16–n

April 1959
Beobachter: *E. Chiesa*

St. Gotthard (Hospiz)

$\lambda = 8° 34'$, $\beta = 46° 33'$,
$H_b = 2095$ m, $G = -0.27$ mm

1	−4.1	−1.0	−2.5	−2.5	2.1	593.4	595.2	596.0	96	73	80	NW	2	NW	2	NW	2	10≡	0	0	.	≡ ⋁ n–10½	195
2	−0.8	4.8	−0.2	1.3	5.8	595.4	596.0	**596.2**	**29**	32	72	NW	1	NW	1	NW	1	0	0	0	.		195
3	1.4	6.8	2.5	3.6	8.1	594.3	595.0	595.1	31	44	46	NW	1	NW	0	NW	0	0	0	0	.		190
4	1.4	8.8	2.5	4.2	8.6	594.8	595.1	594.9	37	50	48	NW	0	SE	0	NW	0	0	0	0	.		185
5	1.8	8.0	1.2	3.7	8.0	592.5	591.6	590.5	52	34	65	NW	1	NW	0	NW	0	0	0	0	.		180
6	0.0	7.2	0.2	2.5	6.7	588.5	586.2	583.8	57	51	99	NW	1	SE	1	SE	2	0	0	10●≡*	4.9	● ✳ 18–n mU, ≡ 20–n	178
7	−1.6	1.0	−4.7	−1.8	2.3	579.2	579.4	582.1	86	47	98	SE	1	NW	1	NW	2	10≡*	10≡*	6	18.6	✳ ≡ n–16¾	175
8	−3.0	2.5	−1.0	−0.5	3.5	584.9	585.4	584.6	58	55	90	SE	1	SE	2	SE	2	0	6	10	15.3	✳ 17¾–n mU, ≡ n (8./9.)	195
9	−1.4	0.2	−6.3	−2.5	1.3	581.1	579.7	578.1	98	85	95	SE	1	SE	0	NW	2	10≡*	10≡*	10≡*	32.2	✳ ≡ n–n	205
10	−9.2	−1.2	−6.8	−5.7	−2.1	**577.2**	578.4	580.6	86	50	90	NW	1	NW	0	NW	1	6	10≡*	10*	4.7	✳ 11¾–n mU, ≡ a–p	225
11	−5.8	−0.4	−2.0	−2.7	0.8	583.1	585.6	588.0	75	54	55	NW	1	NW	1	NW	0	9	6	3	.		225
12	−1.1	4.4	0.0	1.1	4.4	590.3	591.5	592.9	68	56	82	SE	0	SE	1	SE	1	3	0	0	.		220
13	0.8	7.1	2.3	3.4	6.5	592.7	593.3	593.6	68	51	100	SE	0	SE	2	SE	2	0	0	10≡	.	≡ 19¾–n	205
14	1.6	**9.0**	3.5	4.7	7.6	592.9	593.2	592.6	72	43	85	SE	0	SE	0	SE	2	0	6	10	.		190
15	2.0	8.2	3.0	4.4	7.1	591.6	591.7	591.1	79	46	86	SE	1	SE	1	SE	1	0	0	10	0.6	✳ n (15./16.)	180
16	0.8	1.0	1.8	0.0	2.5	586.5	583.3	580.1	98	89	99	SE	3	SE	3	SE	1	10	10≡*	10≡*	31.5	△ n 14½, ✳ 14½ n *)	170
17	3.2	3.0	2.4	0.9	1.4	578.4	580.0	581.5	97	50	99	NW	1	NW	0	NW	2	10	9	10≡	3.9	✳ n–10, ≡ n–10, 16¾–n, *)	185
18	−1.6	0.2	−1.0	−0.8	1.3	582.7	583.0	583.2	98	99	99	NW	1	NW	2	NW	3	10≡	10≡	10≡	13.0	✳ n (18./19.), ≡ n–n, *)	185
19	2.0	0.6	4.0	−2.2	−0.3	584.0	586.4	588.4	99	94	90	NW	3	NW	2	NW	3	10*	10≡	10≡	15.5	⸝ n–a, ≡ n–n, \ ⸝ n–n mU	190
20	6.0	5.6	9.0	6.9	−5.2	589.0	589.3	590.4	97	95	97	NW	3	NW	3	NW	3	10≡	10≡	10≡	2.6	✳ n–n mU, ≡ ⸌ ⸝ n–n	190
21	**−11.6**	−7.0	−9.8	−9.5	−8.0	589.9	590.5	591.9	96	77	82	NW	2	NW	2	NW	2	0	0	10	.		190
22	−11.5	−5.0	−7.8	−8.1	−6.8	591.5	591.9	592.2	76	49	87	NW	1	NW	1	NW	1	0	0	0	.		190
23	−5.0	2.0	−3.3	−2.1	−1.0	589.3	590.6	590.5	48	34	72	NW	1	NW	0	NW	1	0	0	0	.		190
24	−4.4	3.0	−1.8	−1.1	−0.2	590.5	591.7	592.7	70	58	80	NW	2	NW	0	NW	1	0	0	0	.		187
25	−2.1	6.4	0.9	1.7	2.4	592.8	593.1	593.2	67	48	96	NW	0	SE	1	SE	1	0	0	10	0.9	✳ fl n (25./26.)	184
26	0.3	0.9	1.5	0.3	0.2	592.3	591.8	590.7	98	86	87	SE	2	SE	2	SE	2	10*	10≡	10≡*	9.8	△ n–a, ✳ 11½–n mU, ≡ n–n	180
27	−1.6	1.4	−0.9	−0.4	−0.1	589.0	589.2	588.4	97	75	99	SE	1	SE	1	SE	1	10≡	10≡*	10≡*	14.3	✳ 8¾–n, ≡ n–n	185
28	2.0	0.6	1.8	1.1	1.0	587.2	587.2	588.6	98	95	98	SE	2	SE	2	SE	1	10*	10≡*	10*	9.4	⸝ n mU, ≡ n–n	197
29	−0.6	1.8	−1.6	−0.1	−0.2	588.4	588.0	586.1	97	91	98	SE	2	SE	2	SE	2	10≡*	10≡*	10≡*	**32.6**	✳ ≡ n–n	205
30	0.6	4.0	2.2	0.4	0.1	583.8	585.1	586.2	96	61	98	SE	1	SE	0	NW	2	10*	10*	10*	9.7	⸝ n 16½, ≡ n–n, \ p–n	230
Mittel	−2.3	2.4	−1.9	−0.6	—	588.2	588.6	588.8	77	62	86							4.9	4.9	6.6	Summe 219.5		

*) 16. ≡ n–n, ⸝ n–p 17. ⋁ 16¾–n 18. ⋁ n–a, p–n, ⸝ p–n

$\lambda = 7°\,26'$, $\beta = 46°\,57'$,
$H_b = 572.2$ m, G = −0.04 mm

Bern

Mai 1959
Beobachter: *Meteorologisches Observatorium*

Tag	Lufttemperatur 7³⁰	13³⁰	21³⁰	Mittel	Abweich. vom Normalst	Luftdruck 7³⁰	13³⁰	21³⁰	Relative Feuchtigkeit 7³⁰	13³⁰	21³⁰	Windrichtung und Stärke 7³⁰	13³⁰	21³⁰	Bewölkung 7³⁰	13³⁰	21³⁰	Niederschlag	Witterung
1	**3.6**	5.4	5.8	4.9	−5.5	711.5	713.8	716.0	98	88	85	W 1	WSW 1	WSW 1	10●	10●	10●	7.9	● n -15¼, 21¼-n
2	6.0	10.9	7.9	8.3	−2.3	715.5	715.0	714.8	94	58	83	S 1	WNW 1	W 1	9	10	10	0.9	● n-5½, 22-n
3	6.3	12.2	8.4	9.0	1.7	715.1	714.0	712.7	98	40	73	NNW 0	SSE 1	SSE 1	8	5	1	.	● n-3½mU
4	5.6	16.9	11.2	11.2	0.3	712.5	711.4	711.4	86	42	64	SE 1	W 1	SE 0	9	3	2	.	
5	7.8	18.0	13.5	13.1	2.1	712 3	711.5	712.2	87	47	67	N 0	NNE 1	SW 0	8	4	5	.	
6	10.6	18.8	14.5	14.6	3.5	714.3	713.6	714.0	81	54	71	SE 1	N 1	NE 1	8	4	2	.	
7	10.0	19.6	14.9	14.8	3.5	714.9	712.5	711.9	86	50	87	SE 1	NE 1	SW 1	1	6	10●	0.8	● 17¾-23 mU, ⏢ I
8	11.5	22.2	17.2	17.0	5.6	709.8	707.5	705.6	93	44	65	SE 1	NNE 1	SW 1	3	3	1	.	≡ 5¾-7, ⏢ I
9	12.1	21.4	16.9	16.8	5.3	704.6	**703.5**	**703.5**	73	41	47	ESE 1	N 1	E 1	5	9	9	.	⏢ I
10	13.4	22.2	15.9	17.2	5.5	705.9	706.4	708.8	66	38	61	SE 1	NE 1	SE 1	8	6	3	0.2	∴ 15-15¼
11	11.7	23.3	13.9	16.3	4.5	710.9	710.7	712.9	75	44	91	ESE 1	NNE 1	E 1	4	3	8	**20.9**	∴ 6-6¼, ● 15¼-15¾, 18½-21, ⛥ ▲
12	13.6	21.0	15.5	16.7	4.8	714.1	714.3	715.0	87	50	73	E 1	NNE 1	NNE 1	5	3	2	.	
13	10.7	18.7	13.2	14.2	2.1	**716.9**	716.2	716.7	72	38	55	NE 1	NNE 1	NE 1	1	1	2	.	
14	9.3	17.5	11.7	12.8	0.6	716.4	715.2	714.5	75	**31**	72	E 1	NE 1	NW 1	0	5	10	5.6	
15	8.7	12.0	8.9	9.9	−2.4	712.1	712.4	712.4	88	67	84	SE 1	NE 1	E 1	10●	9●	9	1.1	∴ 1-2¾ mU, ⛥
16	7.3	14.1	12.9	11.4	−1.0	711.2	710.9	711.0	89	62	72	SE 1	NE 1	N 1	10	8	9	.	
17	9.4	17.5	13.7	13.5	0.9	710.2	709.2	709.1	85	60	77	SE 1	NE 1	SW 1	4	1	1	.	
18	12.0	22.0	15.3	16.4	3.7	709.1	707.8	708.4	78	36	67	S 1	N 1	SE 1	2	4	6	1.2	⏢ I
19	12.7	20.6	14.6	16.0	3.2	708.8	708.2	709.7	85	44	69	SE 1	ESE 1	ESE 1	9	7	6	0.4	● 0¾-5¼ mU
20	13.9	22.7	18.1	18.2	5.3	710.0	709.1	708.0	80	48	67	SE 1	NNE 1	NNE 1	1	2	9●	0.0	∴ 21½, ⏢ I
21	15.6	**24.3**	17.5	19.1	6.0	707.0	706.9	709.0	82	42	60	SE 1	WNW 1	WNW 1	3	8	7	0.0	∴ 18-18½ mU, ⏢ I
22	14.4	16.3	15.3	15.3	2.1	707.0	705.8	705.1	80	77	83	ENE 1	NE 1	NNE 2	8	10	10	0.0	● 14½-15¾, ⏢ I
23	14.1	17.7	15.4	15.7	2.4	706.8	708.8	709.7	86	68	72	NNE 2	NE 2	ENE 1	9	9	10	.	
24	11.0	18.0	15.2	14.7	1.3	711.5	711.5	711.9	73	62	65	ENE 1	NE 1	NNE 1	10	4	6	.	
25	13.1	20.3	14.1	15.8	2.3	712.2	712.0	712.3	58	45	75	NNE 1	N 2	SE 1	5	3	1	.	
26	12.0	21.5	16.0	16.5	2.8	713.5	712.4	712.0	80	34	57	SE 1	N 1	WNW 1	1	1	4	.	
27	12.6	21.4	14.2	16.1	2.3	712.0	710.7	711.4	62	42	67	SE 1	N 2	NNE 1	5	7	3	.	
28	11.0	17.8	14.1	14.3	0.4	710.4	709.0	708.4	77	44	54	NNE 1	ENE 1	ENE 1	8	2	5	.	
29	10.3	16.0	10.9	12.4	−1.6	706.9	706.3	708.0	66	49	61	NE 1	NNE 2	ENE 1	9	9	10	.	
30	9.6	14.1	10.5	11.4	−2.7	707.9	707.5	708.8	68	43	68	NNE 1	NNE 2	SE 1	1	8	9	12.6	∴ 15¼
31	7.4	10.2	9.0	8.9	−5.3	708.8	710.5	712.9	93	73	86	SE 1	NW 1	W 1	10●	9	1	3.5	● 0-11½
																		Summe	
Mittel	10.6	17.9	13.4	14.0		711.0	710.5	710.9	81	50	70				5.9	5.6	5.8	55.1	

$\lambda = 6°\,57'$, $\beta = 47°\,00'$,
$H_b = 487.3$ m, G = 0.00 mm

Neuchâtel

Mai 1959
Beobachter: *Observatoire Cantonal*

1	**3.8**	5.8	6.2	5.3	5.8	719.4	721.5	724.0	94	91	88	WSW 2	WSW 2	WSW 2	10●	10●	10●	1.5	● n-13½, 19½-21½, ⛆ n-n mU
2	5.8	8.7	7.7	7.4	−3.9	723.3	722.9	722.7	91	61	66	SW 0	SSW 1	NW 2	10	10	10●	0.6	● 21-21½, ⛆ 20½ 22
3	6.3	14.4	8.3	9.7	−1.7	722.9	722.0	720.5	81	34	56	NE 1	SSE 1	SSE 0	1	4	0	.	
4	5.9	16.3	12.5	11.6	0.0	720.4	719.4	718.9	83	37	53	SSE 1	SSE 1	NNW 1	8	2	0	.	
5	9.1	18.3	13.5	13.6	1.9	720.2	719.4	719.9	80	43	61	NW 0	E 1	SE 0	9	5	1	0.3	
6	9.8	19.4	16.1	15.1	3.3	721.9	721.4	721.4	94	49	48	SE 0	SE 1	N 1	10	4	2	.	● 6½
7	10.7	20.1	13.5	14.8	2.8	722.6	720.4	719.6	85	47	81	NE 1	S 1	W 1	0	2	10●	1.4	● 19¾-22
8	10.8	20.7	19.3	16.9	4.8	717.3	715.1	712.6	97	52	48	SSE 0	SE 1	NE 2	10≡	9	0	.	≡ n-8¼
9	12.7	21.9	15.7	16.8	4.6	711.5	**710.5**	710.7	86	42	57	E 1	E 1	E 1	0	8	2	.	
10	13.9	23.6	17.7	18.4	6.0	713.3	714.0	716.3	85	**33**	54	SSE 1	SSE 1	NE 0	7	5	3	.	
11	13.0	23.6	14.0	16.9	4.4	718.5	718.4	720.1	87	41	94	NE 1	ESE 1	SW 1	7	2	10	1.9	● 18¼-20½, ⛆ 18 20½ mU
12	13.6	19.1	17.0	16.6	4.0	721.8	722.1	722.7	92	78	50	NE 1	E 1	NNE 2	3	2	1	**8.0**	● 12-12½, ⛥
13	12.7	21.0	14.8	16.2	3.4	**724.6**	723.8	724.2	65	36	42	E 1	ENE 2	NNE 2	1	1	0	.	⛆ 15-18
14	11.2	16.9	11.7	13.3	0.4	724.0	722.9	722.1	63	42	73	ENE 1	ENE 1	NE 1	0	8	10●	3.9	● 18¼, 21½-24, ⛆ 16½ 18¾
15	8.5	11.7	9.0	9.7	3.3	719.6	720.1	720.2	74	56	79	NNW 2	NE 1	E 1	9	10	9	.	● 6½-7, 11½
16	10.0	15.9	14.4	13.4	0.3	718.9	718.8	718.4	85	58	56	NE 1	ENE 2	NE 2	10	8	10	.	⛆ 11½-23½ mU
17	10.8	19.7	14.2	14.9	1.6	717.7	716.6	716.5	90	49	78	NE 1	ESE 1	NE 1	9	1	0	.	
18	11.5	22.3	15.7	16.5	3.1	716.7	715.2	715.9	89	41	62	NE 1	E 1	NE 0	1	1	10	0.2	● 17½-18½, ⛆ 16½-20
19	13.3	20.9	13.7	16.0	2.5	716.2	715.6	717.1	92	46	89	NW 1	ESE 1	NNE 1	9	4	10	0.8	● 18½-21
20	13.6	23.4	20.2	19.1	5.5	717.5	716.7	715.3	88	44	45	S 1	S 1	NNE 2	0	1	10	.	
21	15.5	21.7	16.7	18.0	4.2	714.5	714.4	716.6	81	54	69	ENE 1	S 0	W 1	1	10	10	.	● tr 21½, ⛆ 15 17½
22	15.6	17.8	16.4	16.6	2.7	714.3	713.1	712.6	78	73	77	ENE 2	ENE 2	NE 2	8	10	10	.	⛆ 20-21½
23	14.4	20.2	16.1	16.9	2.9	714.1	716.0	717.6	85	56	61	NE 2	ENE 2	NE 2	10	5	10	.	⛆ 2
24	12.6	16.9	15.4	15.0	0.9	719.0	719.2	719.5	67	61	61	ENE 1	ENE 1	ENE 1	9	7	1	.	
25	13.0	22.6	16.0	17.2	3.0	720.0	719.7	719.9	66	36	42	ENE 2	E 2	NE 1	4	4	0	.	
26	11.2	**23.8**	18.3	17.8	3.4	721.2	719.9	719.2	87	34	39	NE 1	ESE 1	N 2	0	1	1	.	
27	12.0	22.4	14.1	16.2	1.7	719.8	718.4	718.9	80	37	54	NNE 0	S 1	WNW 2	1	2	0	.	⛆ 13¾-22 mU
28	11.2	21.5	13.6	15.4	0.8	718.0	716.3	715.8	84	41	55	NE 1	SE 1	N 2	3	3	0	.	⛆ 15¼-22¾ mU
29	10.6	15.4	11.3	12.4	2.3	714.6	714.0	716.5	78	50	56	E 1	NNW 2	N 2	6	7	10	.	⛆ 12-21½ mU
30	9.6	15.9	10.6	12.0	−2.8	715.8	715.5	716.3	68	44	59	N 1	S 1	SSW 1	1	6	10	6.4	● 23½-n
31	6.4	13.1	8.3	9.3	5.6	716.4	718.4	720.4	99	63	87	NW 0	SSE 1	SSE 1	10●	5	0	3.3	● n 10
																		Summe	
Mittel	10.9	18.5	13.9	14.4	—	718.6	718.1	718.5	83	49	63				5.4	5.1	5.2	28.3	

Mai 1959
Beobachter: *Eidg. Armeemagazine*

Altdorf

$\lambda = 8° 38'$, $\beta = 46° 52'$,
$H_b = 450.7$ m, G = –0.08 mm

Tag	Lufttemperatur					Luftdruck			Relative Feuchtigkeit			Windrichtung und Stärke			Bewölkung			Niederschlag	Witterung
	7^{30}	13^{30}	21^{30}	Mittel	Abweich. vom Normalst	7^{30}	13^{30}	21^{30}	7^{30}	13^{30}	21^{30}	7^{30}	13^{30}	21^{30}	7^{30}	13^{30}	21^{30}		
1	6.8	7.6	**5.6**	6.7	–4.5	720.9	722.5	723.4	98	99	100	N 1	NE 0	S 0	10	10●	10	**22.6**	● n–n mU
2	7.0	11.4	7.4	8.6	–2.7	725.5	725.3	725.3	83	59	85	W 1	NNW 0	NNW 0	10	9	10	1.9	● n (2./3.)
3	6.2	12.2	6.4	8.3	–3.2	725.9	725.2	724.0	93	55	82	N 1	NNW 1	SSE 0	10●	8	0	.	● n–7½
4	6.8	16.0	11.2	11.3	–0.3	723.2	721.9	722.2	79	53	68	E 0	NW 2	SSE 0	6	2	0	.	
5	8.4	18.2	11.6	12.7	0.9	723.0	722.1	722.8	94	60	78	N 0	NNW 2	S 0	7	3	1	.	△ I
6	10.8	19.2	14.4	14.8	2.9	724.4	724.0	724.7	92	62	56	NW 1	NW 2	SE 0	8	4	0	.	△ I
7	11.2	19.2	18.8	16.4	4.3	725.0	722.9	721.6	84	60	41	N 0	NW 0	SSE 0	1	7	3	.	
8	13.4	22.0	20.6	18.7	6.5	720.4	717.6	716.2	89	62	36	NW 0	NNW 2	SSE 2	1	1	0	.	⸗ p–n mU
9	18.6	22.8	17.8	19.7	7.4	714.3	718.6	714.6	41	35	43	S 3	SE 1	SSW 1	5	10	0	.	⸗ n–a
10	18.2	**24.6**	18.0	20.3	7.8	715.8	716.7	719.1	49	34	42	SSE 1	SSE 2	SSE 1	5	5	0	.	
11	13.8	22.6	16.2	17.5	4.9	**711.1**	720.8	723.1	85	60	72	S 0	NW 2	NW 0	3	4	4	.	
12	14.0	18.6	13.0	15.2	2.4	724.4	725.1	726.1	90	79	94	W 0	NW 2	SE 0	5	6	0	0.8	∻ 16, K
13	10.6	19.4	12.8	14.3	1.4	726.7	726.4	727.0	99	52	55	W 0	N 3	E 0	7	6	1	.	⸗ a–p
14	9.0	14.4	9.4	10.9	–2.1	**727.4**	726.1	725.3	89	56	95	SE 0	E 3	SE 0	8	9	10	19.1	● 17½–n mU
15	7.0	12.2	9.2	9.5	–3.7	723.0	722.9	723.4	96	71	95	W 0	NW 1	NW 0	10●	9	10	1.9	● n–a mU, n (15./16.)
16	8.2	17.2	12.4	12.6	–0.7	722.7	721.0	721.4	94	65	83	N 0	NW 2	E 0	1	4	0	.	△ I
17	10.2	17.6	14.2	14.0	0.6	720.9	719.3	719.5	38	70	85	SE 0	NW 2	SE 1	0	5	8	.	△ I, III
18	13.0	22.2	14.8	16.7	3.2	719.2	717.7	718.3	70	60	75	SSE 0	NW 1	NW 0	1	4	2	.	△ I
19	14.0	21.6	14.6	16.7	3.0	719.2	718.3	719.8	83	60	83	S 1	N 1	SW 0	9	9	9	.	
20	12.6	22.8	20.4	18.6	4.8	720.3	719.0	718.5	85	61	46	SE 0	NW 2	SSE 1	1	1	1	.	△ I
21	23.4	23.8	18.2	21.8	7.9	716.8	717.4	719.2	**31**	34	55	SE 3	S 4	NW 2	7	10	9	.	● tr p–n mU, ⸗ n–p, ⸗ II
22	14.2	16.8	15.2	15.4	1.4	717.3	716.5	715.6	93	81	99	N 1	NNW 0	SW 0	9	10	10	.	
23	15.0	20.4	15.2	16.9	2.8	717.0	718.1	720.4	99	72	100	N 1	NW 2	NW 0	2	7	10	1.3	● 18–n mU, △ I
24	13.6	17.8	14.2	15.2	1.0	721.9	722.1	722.8	83	67	84	NW 1	NW 1	SW 0	10	7	10	.	
25	13.6	20.0	13.6	15.7	1.4	722.7	722.2	723.1	92	57	87	NW 1	NW 2	SE 0	9	6●	2	0.5	∻ 13½–13¾
26	12.2	23.2	15.6	17.0	2.6	723.9	722.1	722.2	89	46	56	S 0	NNW 2	E 0	5	4	0	.	△ I
27	12.8	22.4	16.6	17.3	2.8	722.4	720.7	722.4	76	44	55	SSE 1	NW 2	NW 1	5	6	10	.	
28	13.0	18.6	14.8	15.5	0.9	720.7	719.1	719.2	87	60	69	NW 1	NW 2	NW 0	10	7	9	.	
29	11.6	13.8	9.8	11.7	–3.0	717.5	716.5	718.4	86	80	99	N 1	NNW 1	NW 1	6	10	10●	10.6	● tr 13½, p–n mU
30	9.0	13.6	8.4	10.3	–4.5	718.5	718.5	719.5	87	59	96	E 0	SSW 0	SSE 0	10	6	7	1.3	● n (30./31.)
31	8.6	14.4	10.8	11.3	–3.6	719.4	719.9	723.0	95	64	88	W 0	NW 2	SE 0	10	9	10	0.9	● n (31./1.)
																		Summe	
Mittel	11.8	18.3	13.6	14.6	—	721.0	720.8	721.4	82	60	74				6.2	6.4	5.0	60.9	

Mai 1959
Beobachter: *Observatoire*

Genève

$\lambda = 6° 09'$, $\beta = 46° 12'$,
$H_b = 405.0$ m, G = –0.05 mm

1	**4.5**	7.6	6.2	6.1	–5.3	727.7	729.9	**733.1**	92	79	91	NE 1	SSE 1	E 1	10●	10	10●	**7.6**	● n–13 mU, 17¾–n mU
2	6.2	9.3	9.4	8.3	–3.3	730.7	730.0	730.0	88	61	60	NE 1	N 1	NNE 1	9	10	10	.	● n–2½
3	7.1	12.1	10.5	9.9	–1.8	729.9	728.9	727.6	68	36	50	NNE 1	NNE 1	NNE 1	0	1	1	.	
4	7.6	15.0	13.2	11.9	0.0	727.5	726.2	725.9	76	45	56	E 0	N 1	SE 1	1	5	1	.	
5	9.3	15.3	15.5	13.4	1.4	727.1	726.2	727.4	83	50	54	NE 1	N 1	SSW 2	3	2	7	.	
6	11.3	17.5	16.5	15.1	2.9	728.8	728.4	728.6	75	52	63	NNE 1	NNE 1	NNE 1	2	2	4	.	
7	12.3	19.5	13.6	15.1	2.8	729.4	727.7	726.2	77	50	91	NE 0	SE 1	E 1	9	7	5	1.3	● 17¾–18¾
8	11.1	19.5	17.8	16.1	3.6	724.3	724.0	719.6	88	53	65	N 1	NE 1	NNE 1	2	3	1	.	
9	13.6	20.0	15.3	16.3	3.7	718.9	**717.7**	718.5	73	41	44	NNE 1	NNE 1	NW 1	2	8	9	.	
10	14.9	21.7	17.9	18.2	5.5	722.3	721.1	723.5	59	**35**	57	NNE 1	NNE 1	S 1	8	3	2	.	
11	14.9	23.0	17.3	18.4	5.5	725.7	725.6	727.1	75	43	67	W 1	E 1	ENE 1	0	2	4	.	
12	13.9	20.0	15.6	16.5	3.5	728.8	728.6	729.3	83	56	37	SW 1	SW 1	NE 1	10	9	0	0.3	● 7¾–8¾
13	13.6	19.5	15.3	16.1	3.0	731.3	730.1	730.5	67	45	55	NNE 1	N 1	NNE 1	0	1	0	.	
14	12.3	18.5	13.6	14.8	1.5	730.7	729.4	728.8	60	36	63	N 1	NNE 2	NNE 1	0	2	4	0.2	
15	12.6	15.4	10.5	12.8	–0.6	726.4	726.4	726.5	72	46	74	NE 1	NNE 2	NE 1	6	8	5	0.1	● 0¾–0½, 4½–4¾, 15½–16¾
16	10.1	14.9	13.7	12.9	–0.6	726.1	725.6	725.2	80	60	66	NNE 1	NNE 2	N 1	4	2	3	.	
17	12.8	17.8	15.3	15.3	1.6	724.9	723.5	723.4	79	55	73	NE 0	NNE 1	NNE 1	3	4	3	0.0	● tr–p
18	13.1	20.6	16.7	16.8	3.0	723.7	722.6	723.0	83	44	73	NNE 1	NNE 1	ENE 1	7	7●	10	0.2	● 13½, 16¾–16¾, 23¾–23½
19	13.9	19.6	16.8	16.8	2.9	723.4	722.7	723.9	84	55	70	ESE 1	NNE 1	E 1	10	5	10	.	
20	15.3	19.9	18.7	18.0	4.0	724.4	723.4	722.1	78	59	73	ESE 1	NNE 1	NNE 1	0	7	2	.	
21	16.7	**23.6**	16.3	18.9	4.7	721.6	721.7	723.2	76	51	73	ESE 1	S 1	NNE 1	4	7	6	0.6	● tr 18, 20¾–21¾
22	13.6	18.4	17.1	16.4	2.1	721.6	719.9	718.9	86	70	79	SE 1	N 1	NNE 2	10	10	10	.	
23	15.6	20.8	16.8	17.7	3.3	720.9	722.0	724.1	87	62	76	NNE 2	NNE 2	N 1	10	2	9	0.0	● tr abd
24	15.5	18.4	14.7	16.2	1.7	726.0	725.6	726.4	68	65	92	NE 1	NE 2	SSW 1	2	6	10●	3.3	● 19¾–21½ mU
25	15.0	16.7	16.2	16.0	1.3	726.8	727.2	726.9	52	57	74	NNE 2	N 1	N 1	7	9	10	.	● 0½–1¾ mU
26	15.1	20.0	17.1	17.4	2.6	727.9	726.7	726.4	81	47	67	N 1	N 1	NW 0	0	2	0	.	
27	14.0	22.3	17.0	17.8	2.9	726.8	725.8	725.1	68	**35**	51	NW 0	NW 2	NNW 1	1	3	3	.	
28	12.4	18.3	15.6	15.4	0.4	725.0	723.4	722.6	76	51	53	NNW 1	NNE 1	NE 2	0	1	0	.	
29	12.1	17.7	14.0	14.6	–0.6	721.7	720.8	722.3	71	51	50	NNE 1	NNE 1	NNE 2	1	7	1	.	
30	11.4	16.2	12.0	13.2	–2.1	722.8	722.5	723.7	67	43	55	NNE 2	NNE 2	N 1	1	3	1	.	
31	9.2	11.5	10.0	10.2	–5.2	723.9	725.8	727.4	75	70	73	ENE 1	NNE 1	NNE 0	10	10	2	1.0	● 9½–10½
																		Summe	
Mittel	12.3	17.8	14.7	14.9	—	725.7	725.1	725.4	76	52	65				4.3	5.1	4.6	14.6	

$\lambda = 8°\,34'$, $\beta = 47°\,23'$,
$H_b = 569.4$ m, $G = -0.01$ mm

Zürich

Mai 1959
Beobachter: *Meteorologische Zentralanstalt*

Tag	Lufttemperatur					Luftdruck			Relative Feuchtigkeit			Windrichtung und Stärke			Bewölkung			Niederschlag	Witterung
	7^{30}	13^{30}	21^{30}	Mittel	Abweich. vom Normalst	7^{30}	13^{30}	21^{30}	7^{30}	13^{30}	21^{30}	7^{30}	13^{30}	21^{30}	7^{30}	13^{30}	21^{30}		
1	**5.0**	5.1	6.5	5.5	4.4	710.3	712.0	714.5	82	87	79	WSW 2	SW 2	SW 2	9	10	10	**18.2**	● 3-5¾, 9-12½ mU, 15¼-19½, *)
2	5.5	9.8	7.5	7.6	−2.5	715.2	714.8	714.9	90	56	76	SW 1	SSW 1	SSW 1	10	9	9	2.7	● 0¾-6¾, 13½-14¾, ⌿ n-1¾
3	5.4	10.5	6.4	7.4	−2.8	715.5	714.8	713.3	86	45	68	S 1	N 1	ENE 1	10	6	0	.	● 0-5¾ mU, ⧋ III
4	6.6	15.6	11.0	11.1	0.7	712.7	712.1	712.0	75	40	59	S 0	W 1	NNE 1	8	4	0	.	⧋ I, III
5	8.7	18.7	12.2	13.2	2.6	712.9	712.3	712.7	77	43	72	ENE 1	NE 1	NE 1	9	2	0	.	⧋ I, III
6	10.7	20.3	13.1	14.7	4.0	714.5	714.2	714.8	79	41	67	W 0	N 1	NE 1	8	7	0	.	● tr 7½, ⧋ I, III
7	11.5	20.1	16.1	15.9	5.0	715.0	712.8	711.4	73	48	56	NE 1	N 1	NE 1	4	9	10	.	⧋ I
8	13.8	22.7	16.5	17.7	6.7	710.0	708.0	705.9	77	43	70	SSW 0	NNE 1	NE 1	2	3	0	.	⧋ I
9	14.5	23.3	17.5	18.4	7.2	704.5	**703.5**	703.9	68	40	40	ENE 1	SSW 1	SSE 1	2	9	0	.	⧋ I, III
10	14.4	**23.8**	14.4	17.5	6.1	706.0	706.8	708.9	66	36	67	SSW 0	SSW 1	NE 2	7	6	9	2.5	● 19¼ 21¼ mU, ⌿ 19½ 20¼
11	14.8	23.5	14.9	17.7	6.2	711.1	711.0	712.9	71	45	82	SW 0	NW 1	WNW 1	2	3	10	0.7	● 18¾-19, ⚿
12	13.1	21.3	12.9	15.8	4.1	714.4	714.9	715.9	85	50	63	ESE 1	ENE 1	ENE 1	9	6	0	0.6	● 8½-8¾, ⧋ III
13	10.3	18.5	10.3	13.0	1.2	**717.5**	717.0	717.4	70	41	62	NE 1	NNE 1	NE 1	1	2	0	.	⧋ I, III
14	10.3	16.9	9.3	12.2	0.3	716.8	715.5	713.8	68	48	85	SSW 1	NNW 1	S 1	1	6	10	13.6	● 15¾-17¾, tr 21½, 21¾-n, ⧋ I
15	7.3	11.4	8.3	9.0	−3.0	712.3	712.8	713.0	88	62	92	NE 0	N 1	N 1	10	9	9	1.3	● n-2½, 5¾-6½, 11-11¾, 16¾-17
16	9.4	17.7	10.3	12.5	0.3	711.7	711.0	711.5	85	50	86	NNE 1	NE 1	N 1	10	7	0	.	⧋ III
17	10.1	17.5	13.3	13.6	1.3	710.4	709.6	709.2	87	54	85	ENE 1	SSE 1	S 0	10	2	4	.	⧋ I, III
18	13.5	22.6	15.4	17.2	4.7	709.1	708.0	708.5	80	41	71	SW 0	NNE 1	W 2	1	2	10	7.0	● 15¾-16½, ⚿, ⧋ I
19	14.7	22.3	13.5	16.8	4.2	708.7	708.1	709.7	76	42	81	S 0	NW 1	NE 1	9	9	4	.	● 5¾-5¾, ⧋ III
20	14.0	23.2	17.3	18.2	5.5	710.3	709.5	708.7	78	43	60	E 0	NNE 1	NE 1	1	1	3	.	⧋ I, III
21	15.9	23.0	14.5	17.8	4.9	707.2	707.1	709.4	72	50	90	NE 2	NNW 1	SSE 1	4	10	9	0.7	● 20¾, ⧋ I
22	12.6	18.3	14.1	15.0	2.0	707.3	706.3	706.0	90	67	91	NNE 1	NE 1	NE 2	10	10	10●	4.5	● 15½-n
23	12.4	15.7	14.2	14.1	0.9	707.5	709.2	711.1	89	72	63	ENE 1	NE 2	ENE 2	10	10	9	.	● n-0¾, ⌿ 1-23½ mU
24	9.2	14.3	11.3	11.6	−1.7	712.6	712.8	712.5	71	62	86	NE 1	NE 1	E 0	10	10	1	.	⧋ I, III
25	11.4	20.7	13.4	15.2	1.8	712.7	712.7	712.7	65	37	59	NE 1	NNE 2	NE 1	1	1	0	.	⧋ I, III
26	12.0	21.1	14.7	15.9	2.3	713.6	712.7	711.9	65	**32**	55	S 1	NE 2	NW 0	0	1	7	.	⧋ I
27	13.8	20.7	13.2	15.9	2.2	712.1	711.2	712.4	72	41	72	SSW 1	WNW 2	NNE 1	3	1	8	.	⧋ I, III
28	11.7	16.0	12.8	13.5	−0.3	710.7	709.5	708.7	73	53	62	NNE 1	NW 1	N 1	8	3	4	.	
29	9.1	17.5	9.1	11.9	−2.0	707.4	706.4	708.4	76	48	83	NW 1	N 1	ENE 1	9	9	10	0.0	⧋ I
30	8.5	12.9	7.7	9.7	−4.3	708.2	708.1	709.1	77	51	89	ESE 1	N 1	SE 0	1	6	9	1.1	⧋ I
31	7.6	14.9	10.9	11.1	−3.0	709.2	710.2	712.8	88	54	78	NE 1	W 1	W 0	10	5	10	0.3	● 4¾ 7½ mU, 16½ 16¾
																		Summe	
Mittel	10.9	18.1	12.3	13.8	—	711.2	710.8	711.2	77	49	73				6.1	5.7	5.3	53.2	

*) **1.** ⌿ 6¾-n mU

$\lambda = 6°\,32'$, $\beta = 46°\,51'$,
$H_b = 1601$ m, $G = -0.16$ mm

Chasseron

Mai 1959
Beobachter: *J. Liardon*

1	−1.6	−0.4	1.0	1.0	—	627.1	629.3	631.2	100	100	100	NNW 3	WNW 4	WNW 5	10≡*	10≡●	10●≡	**8.0**	✳ ● ≡ ⌿ n n, ⌿ a n	12
2	−2.2	−0.4	−1.0	−1.2	—	631.0	631.0	631.0	100	100	100	NW 2	WNW 2	NNW 3	10≡	10≡	10≡	4.7	≡ n-n mU, ⌿ p-n	15
3	**−3.4**	1.6	0.4	−0.5	—	630.6	630.9	630.0	100	100	83	N 2	E 1	ESE 2	4	4	5	.		17
4	2.0	6.0	4.3	4.1	—	629.1	629.6	629.6	68	67	74	W 2	S 2	N 2	7	5	5	.		10
5	4.6	6.2	6.0	5.6	—	629.6	630.1	630.8	72	70	60	S 2	S 2	ESE 2	7	7	7	1.0		6
6	6.0	9.8	7.6	7.8	—	631.8	632.4	632.6	85	62	60	S 1	SSW 1	E 2	4	5	6	.		
7	7.2	9.8	7.5	8.2	—	632.5	631.8	631.0	82	59	100	E 2	SSE 1	C 0	0	2	7	10	2.4	⛆ 20 n mU
8	10.8	11.8	10.4	11.0	—	628.5	627.7	626.2	60	62	62	C 0	NE 2	E 2	4	7	5	.		
9	11.4	12.4	9.8	11.2	—	**623.9**	**623.9**	624.0	54	**37**	56	ESE 2	SE 2	ESE 2	3	7	6	.		
10	9.0	13.0	9.4	10.5	—	625.2	626.9	628.5	48	45	68	W 1	SE 1	N 2	7	6	4	.		
11	11.0	**13.6**	8.7	11.1	—	632.0	631.0	631.9	76	58	76	E 2	E 1	E 2	2	6	8	.		
12	9.8	10.4	8.4	9.5	—	632.7	633.7	633.7	72	75	80	N 2	NE 2	E 3	5	7	4	6.2	⛆ 12¾-13, ⌿ III, ⚿	
13	7.8	9.0	5.6	7.5	—	634.4	**634.5**	634.3	48	54	74	E 2	NE 2	NNE 2	1	3	3	.		
14	5.2	7.6	3.8	5.5	—	633.3	634.0	632.2	89	52	50	E 3	N 2	N 2	0	6	5	1.2	⛆ 12, ⌿ I	
15	1.2	3.2	0.6	1.7	—	628.8	630.5	628.9	100	78	100	N 2	N 2	E 2	10≡	10	10≡	.	● tr ✳ fl a. ≡ n-12, 16-n	
16	1.8	3.8	4.8	3.5	—	627.9	628.9	629.2	100	100	100	E 3	E 3	E 2	10≡	10≡	8	.	≡ n-p mU, ⌿ n-p	
17	5.2	10.2	7.0	7.5	—	628.0	628.3	628.4	100	75	85	ESE 2	C 0	E 2	3	8	4	.		
18	9.0	12.2	8.2	9.8	—	627.9	627.9	627.9	66	40	66	N 1	SE 2	NNW 2	4	5	10	.		
19	7.0	9.4	7.8	8.1	—	627.6	627.9	628.5	85	84	86	S 2	NNW 2	S 2	8	6	8	6.7	⛆ 17-19½ mU, ⚿	
20	10.0	13.0	11.0	11.3	—	628.9	629.5	628.7	75	50	68	S 1	S 2	SE 0	1	2	8	.		
21	13.0	**13.6**	8.2	11.6	—	627.3	628.0	629.0	42	76	74	ESE 2	WSW 2	SW 2	5	9	10	3.0	⛆ 15-16, 19-20, ⚿	
22	10.2	9.2	8.2	9.2	—	626.2	625.6	624.6	56	87	100	ENE 2	ENE 2	E 3	9	10	10≡	0.5	● tr 15, ≡ a-19 mU, 19-n, ⌿ III	
23	7.0	9.2	6.8	7.7	—	625.5	627.8	628.6	100	100	100	E 3	ESE 1	E 3	10≡	10≡	10≡	.	≡ n-14, 19-n, ⌿ n-n mU, ⧋ III	
24	8.4	8.0	6.8	7.7	—	629.9	630.2	630.2	100	100	100	W 2	NE 2	E 3	10	10≡	10	.	● tr 16, ≡ 13¾ 18½, ⌿ p n	
25	5.6	9.0	7.6	7.4	—	630.2	631.1	631.0	60	57	50	E 3	E 2	E 2	6	5	5	.	⌿ n-n mU	
26	8.8	10.4	9.0	9.4	—	631.6	631.7	631.3	47	50	43	E 1	E 2	NE 2	0	5	3	.		
27	9.4	11.2	5.8	8.8	—	630.8	630.5	630.0	57	52	100	N 2	NNW 2	NNW 3	3	3	1	.	⌿ p-n	
28	6.8	9.6	4.6	7.0	—	628.0	628.0	627.3	40	63	80	W 2	N 2	N 2	0	5	1	.		
29	6.4	3.8	1.2	3.8	—	624.8	625.0	625.4	78	90	90	NNW 1	NNW 2	N 2	6	8	9	.		
30	1.4	5.4	0.2	2.3	—	625.3	625.8	625.5	72	52	100	ENE 2	N 2	N 3	1	6	9≡	1.0	⛆ 15¾ 16, ≡ n (30, 31.), *)	
31	2.0	2.0	2.0	0.7	—	625.3	627.8	629.6	100	100	100	NNE 3	N 2	N 2	10≡	10≡	7≡	0.5	≡ n-9¼ mU, ≡ ⌿ n-n mU	15
																		Summe		
Mittel	6.0	8.2	5.8	6.7	—	628.9	629.4	629.4	75	71	80				5.2	6.8	6.8	35.2		

*) 30. ≡ 19¾ n, ⌿ p n

Mai 1959
Beobachter: *Stationspersonal Rh. B.*

Bever

$\lambda = 9° 53'$, $\beta = 46° 33'$,
$H_b = 1711.8$ m, G = –0.26 mm

Tag	Lufttemperatur					Luftdruck			Relative Feuchtigkeit			Windrichtung und Stärke						Bewölkung			Niederschlag	Witterung
	7^{30}	13^{30}	21^{30}	Mittel	Abweich. vom Normalst	7^{30}	13^{30}	21^{30}	7^{30}	13^{30}	21^{30}	7^{30}		13^{30}		21^{30}		7^{30}	13^{30}	21^{30}		
1	2.3	0.8	0.2	1.1	–2.4	615.9	617.0	619.5	82	94	98	SW	0	E	0	E	0	10	10	10	2.5	✳ 9-p mU
2	0.6	2.7	2.1	1.8	–1.8	619.7	619.9	620.4	86	54	52	SW	0	NW	2	NW	1	10	9	4	.	5
3	0.1	5.7	–1.7	1.4	–2.4	620.0	620.3	620.9	66	49	57	S	0	SW	0	NW	0	6	4	0	.	
4	**–2.8**	10.0	1.2	2.8	–1.2	620.3	619.8	621.3	72	34	71	SW	0	SW	1	SW	0	1	1	4	.	
5	–2.2	11.4	2.2	3.8	–0.4	622.2	622.1	622.9	70	**30**	83	SW	0	SW	1	SW	0	1	8	1	.	⌐ I
6	–0.6	1.2	3.2	1.3	–3.1	624.3	623.6	624.6	88	**30**	79	SW	0	SW	0	SW	0	1	3	0	.	⌐ I
7	0.8	12.0	5.0	5.9	1.3	**624.7**	623.4	623.0	90	37	73	SW	0	SW	0	SW	0	2	9	6	0.0	● n (7./8.)
8	5.8	15.0	6.8	9.2	4.4	621.1	619.0	618.9	76	43	81	SW	0	SW	0	SW	0	6	6	4	.	
9	5.3	12.4	4.2	7.3	2.3	616.5	615.4	618.4	86	44	85	SW	0	SW	0	SW	0	6	10	2	.	
10	6.3	13.0	7.0	8.8	3.7	618.0	618.3	620.9	74	43	82	SW	0	SW	0	SW	0	9	9	4	.	
11	4.0	15.0	6.6	8.5	3.2	622.2	622.4	623.2	90	47	91	SW	0	SW	0	NW	0	8	5	10	3.0	● 18½–n mU
12	4.0	12.5	6.2	7.6	2.1	623.2	622.8	624.3	99	43	69	SW	0	SW	1	NE	1	8≡	6	7	.	≡ n–a
13	2.5	10.2	4.4	5.7	0.1	624.0	623.5	624.6	91	37	67	SW	0	NW	0	NE	0	8	10	4	0.0	∻ 18
14	–0.4	5.8	1.6	2.3	–3.5	623.1	621.9	620.9	86	54	93	SW	0	SE	0	NE	0	10	10	10	1.3	✳ 18–19, n (14./15.)
15	2.6	1.6	0.0	1.4	–4.6	618.8	619.5	619.9	81	91	96	SW	0	SW	1	SW	0	10	10	10	5.8	● ✳ 8–n mU
16	1.3	10.8	5.8	6.0	–0.1	619.9	619.3	619.5	83	41	69	W	0	E	0	SW	0	7	10	8	.	
17	3.0	12.2	4.8	6.7	0.4	619.7	618.1	618.8	80	34	77	SW	0	SW	0	SW	0	7	8	8	0.0	∻ 17
18	4.0	15.0	6.0	8.3	1.9	619.2	618.6	618.7	82	39	81	SW	0	SW	1	SW	0	0	6	4	.	
19	6.8	11.0	6.8	8.2	1.6	619.1	618.8	620.3	76	59	77	SW	0	SW	0	SW	0	7	10	8	.	
20	4.5	**16.4**	7.0	9.3	2.6	620.8	620.0	620.6	86	39	78	SW	0	SW	0	SW	0	1	1	1	.	
21	7.2	11.2	7.3	8.6	1.7	621.2	621.3	620.8	85	56	83	SW	0	SW	1	SW	0	9	10●	10	0.0	● 13¾–17 mU
22	5.4	11.4	7.8	8.2	1.2	618.6	617.2	617.9	89	61	85	S	0	SW	0	SW	0	9	10	10●	2.3	● tr a–p, p–n mU
23	8.4	14.4	8.0	10.3	3.2	618.3	618.5	621.1	82	44	79	SW	0	SW	0	SW	0	6	8	10	.	∻ 16½
24	8.0	11.4	5.2	8.2	0.9	620.6	620.8	622.3	87	59	88	SW	0	SW	0	SW	0	10	10	10	**6.1**	● 14½–n mU
25	6.1	11.2	6.9	8.1	0.7	621.7	621.3	622.3	83	54	81	N	0	SW	2	SW	0	10	10	10	1.8	∻ 18¾–19, ● 22½–n mU
26	7.2	14.3	5.8	9.1	1.6	622.8	621.2	621.3	75	33	73	S	0	W	0	SW	0	8	8	8	.	
27	4.5	12.4	7.2	8.0	0.3	621.1	620.0	620.7	83	39	70	SW	0	SW	0	NW	0	9	10	8	0.0	∻ 20
28	4.2	15.0	6.4	8.5	0.7	618.4	618.4	617.7	84	41	89	SW	0	SW	2	SW	0	1	5	7	0.5	∻ 17
29	4.2	7.0	4.4	5.2	–2.7	615.3	**614.3**	615.4	82	75	78	SE	0	SW	0	NE	0	9	10	10	1.9	✳ 10-p mU
30	4.2	6.2	3.6	4.7	–3.3	614.4	614.8	616.1	64	44	54	NW	1	NW	2	NE	0	7	9	8	.	
31	2.0	9.0	4.0	5.0	–3.1	616.2	617.9	619.4	88	40	67	SE	0	SW	1	SW	0	9	6	10	0.2	● n (31./1.)
																					Summe	
Mittel	3.5	10.3	4.7	6.2	—	620.0	619.7	620.5	82	48	78							6.6	7.8	6.6	25.4	

Mai 1959
Beobachter: *Couvent des Capucins*

Sion

$\lambda = 7° 22'$, $\beta = 46° 14'$,
$H_b = 548.6$ m, G = –0.14 mm

1	**4.8**	8.1	6.8	6.6	–5.8	714.8	716.3	717.9	94	82	81	W	0	WSW	0	ENE	0	10	10	10	1.8	● 3¾–7½, 11½–15¾ mU
2	7.7	13.3	8.9	10.0	–2.6	717.4	716.3	716.9	74	48	62	W	0	SW	3	W	2	9	3	8	.	☂ a–n mU
3	8.6	15.7	9.8	11.4	–1.3	717.3	715.6	715.1	70	42	60	WNW	0	WSW	2	W	0	1	1	1	.	
4	8.1	18.8	11.7	12.9	0.0	715.5	714.0	713.9	71	41	57	NNE	0	SW	0	WNW	0	2	3	0	.	△ I
5	9.4	20.9	13.4	14.6	1.6	715.8	713.9	715.1	70	**33**	56	ENE	0	ENE	0	WNW	0	0	2	8	.	△ I
6	11.9	22.0	14.6	16.2	3.0	717.2	715.9	716.7	65	**33**	50	N	0	N	1	N	0	3	2	0	.	△ I
7	11.4	21.8	15.8	16.3	3.0	718.3	715.8	715.1	66	40	70	NE	0	NE	0	SW	0	0	8	10	.	△ I
8	14.1	24.4	17.6	18.7	5.2	714.2	709.9	708.9	66	39	44	ENE	1	ENE	1	ENE	1	1	2	1	.	△ I
9	14.5	21.2	15.4	17.0	3.4	709.0	706.8	708.4	56	40	53	ENE	0	WNW	2	ENE	2	2	10	10	.	△ I
10	15.4	22.1	15.9	17.8	4.0	709.7	709.9	712.3	62	43	48	E	1	E	1	E	1	6	7	0	.	△ I
11	15.9	**25.6**	17.8	19.8	5.9	714.5	713.5	715.0	59	35	54	ENE	0	E	0	W	0	1	4	4	.	△ I
12	15.1	21.4	14.7	17.1	3.1	717.2	716.3	717.2	66	54	67	NE	0	N	0	W	1	10	9	3	1.2	● 13¾–14½, △ I
13	16.0	23.2	13.6	17.6	3.4	**719.0**	716.5	717.9	67	42	60	W	0	SW	1	W	0	2	4	2	.	
14	11.7	20.2	15.1	15.7	1.4	718.1	716.4	717.0	72	35	50	NE	0	E	0	NE	0	1	5	8	3.7	● n (14./15.), △ I
15	14.1	15.7	10.5	13.4	–1.0	714.3	714.2	714.3	71	59	69	SW	0	W	1	W	0	9	8	7	0.2	● n–6, 14¾–14¾
16	11.0	19.1	13.2	14.4	–0.2	714.2	712.4	713.1	68	44	64	W	0	W	1	W	1	1	4	6	.	
17	12.4	20.7	15.9	16.3	1.6	713.4	712.0	711.7	72	47	58	NE	0	W	2	W	1	0	8	7	.	● tr 17½, △ I
18	13.4	22.1	18.1	17.9	3.1	712.4	710.3	710.4	64	41	52	WSW	0	W	0	W	1	1	3	8	.	△ I
19	14.3	19.1	17.7	17.0	2.1	711.7	711.7	711.9	69	56	61	W	0	E	1	WSW	1	8	3	8	0.1	● 11–11¾, △ I
20	15.1	25.5	19.4	20.0	4.9	713.2	711.3	711.1	67	42	56	WSW	0	WSW	1	W	0	0	3	7	.	△ I
21	17.6	20.7	17.9	18.7	3.5	711.6	711.9	711.7	60	47	54	W	0	NE	1	ENE	1	2	8	8	.	△ I
22	16.1	20.0	15.6	17.2	1.9	709.7	707.8	708.5	66	58	72	ENE	0	W	1	E	1	7	9	9	0.0	● tr 19¾, △ I
23	17.5	24.3	18.4	20.1	4.7	709.7	709.1	712.0	65	37	65	ENE	0	E	2	W	0	1	4	4	.	△ I
24	16.8	24.2	17.1	19.4	3.9	714.1	712.3	714.0	72	51	72	W	0	WNW	2	W	0	4	6	9	**14.1**	● 23¼–n, △ I
25	16.1	20.3	15.0	17.1	1.4	714.8	714.7	715.2	82	61	72	W	0	W	1	W	0	9	7	8	.	● n–6¾
26	16.1	23.5	16.7	18.8	3.0	716.3	713.8	714.5	75	44	60	W	0	W	1	W	0	9	4	3	.	
27	15.8	25.3	17.8	19.6	3.7	715.1	713.0	713.0	64	**33**	50	W	0	W	1	W	0	1	4	1	.	△ I
28	15.5	21.7	16.6	17.9	1.9	713.2	709.6	709.7	65	47	56	W	0	W	2	W	1	1	3	2	.	△ I
29	14.7	21.3	13.9	16.6	0.5	709.6	**706.5**	708.6	65	45	56	W	0	SW	2	W	3	2	5	4	.	△ I, ☂ p–n
30	14.1	20.1	12.0	15.4	0.8	709.6	708.2	712.0	59	36	57	WSW	0	W	0	W	1	2	4	3	.	△ I
31	10.0	12.4	10.5	11.0	5.3	712.1	712.6	714.9	69	70	71	W	0	W	2	SW	1	10	8	2	0.3	● tr 7½, 9¼ 10¾, △ I
																					Summe	
Mittel	13.4	20.5	14.7	16.2	—	714.0	712.5	713.4	68	46	60							3.7	5.2	5.0	21.4	

$\lambda = 8°\,58'$, $\beta = 46°\,00'$,
$H_b = 276.2$ m, $G = -0.04$ mm

Lugano

Mai 1959
Beobachter: *A. Tison*

Tag	Lufttemperatur					Luftdruck			Relative Feuchtigkeit			Windrichtung und Stärke						Bewölkung			Niederschlag	Witterung
	7^{30}	13^{30}	21^{30}	Mittel	Abweich. vom Normalst	7^{30}	13^{30}	21^{30}	7^{30}	13^{30}	21^{30}	7^{30}		13^{30}		21^{30}		7^{30}	13^{30}	21^{30}		
1	**9.2**	15.8	10.1	11.7	−2.1	732.8	732.5	734.5	88	57	78	N	1	S	1	N	1	7	7	0	.	● tr 14½
2	14.2	24.2	13.6	17.3	3.4	734.6	734.0	735.8	32	**20**	47	N	2	N	2	NNE	1	5	2	0	.	
3	10.8	20.2	12.0	14.3	0.2	737.1	736.8	738.8	60	35	84	NNE	1	S	1	SW	1	1	3	10	.	
4	10.9	19.2	12.3	14.1	−0.1	739.7	738.9	738.7	82	45	71	N	0	SSE	0	N	1	10	6	6	.	
5	11.1	21.0	15.8	16.0	1.7	739.6	739.0	739.9	86	40	55	S	0	S	1	N	1	4	4	8	.	
6	10.1	20.1	13.0	14.4	−0.1	742.1	741.3	742.2	86	44	75	N	1	S	1	N	1	4	7	4	.	
7	11.9	19.9	16.0	15.9	1.3	**742.3**	740.6	739.2	84	48	68	E	0	SSW	1	NW	0	2	10	10	.	
8	12.2	20.3	16.7	16.4	1.7	737.7	735.5	734.1	81	49	70	N	0	S	1	N	1	0	5	8	0.0	● tr n (8./9.)
9	13.8	18.8	13.4	15.3	0.4	732.4	731.7	733.7	83	64	97	NNE	1	S	0	NW	1	5	10●	10●	11.8	● 16½-17, 20-20½, n (9./10.), ⛥
10	11.6	19.2	14.4	15.1	0.1	734.7	734.8	737.5	95	52	85	NNW	1	SSE	0	NW	0	10●	7	10	0.0	● tr n–7½, tr n (10./11.)
11	11.2	25.4	16.4	17.7	2.6	738.1	738.0	738.0	87	32	74	NNE	1	S	1	NW	1	1	3	5	.	
12	14.4	24.2	17.4	18.7	3.4	739.0	738.0	739.6	84	47	59	NW	0	SSE	1	NE	1	7	6	4	.	
13	14.7	24.2	16.2	18.4	3.0	740.9	739.2	740.3	83	41	63	NNE	1	S	1	NE	1	1	5	2	.	
14	12.0	24.6	16.1	17.6	2.1	741.0	738.0	737.7	76	**20**	58	N	1	N	2	S	1	2	6	4	0.9	▽ n (14./15.), ☄ 10¾
15	11.8	12.1	11.2	11.7	−4.0	735.7	737.1	737.3	82	58	94	N	1	ESE	1	N	1	9●	10●	10●	5.2	▽ 7, ● 9-13¾, ● 18-21½ mU
16	9.3	21.6	13.2	14.7	−1.1	736.7	734.8	735.9	84	38	93	N	1	S	1	N	1	4	6	10●	1.3	● 18½-19, 21½, ⊕ 13½
17	13.2	21.7	16.2	17.0	1.1	735.7	734.2	734.7	83	47	73	NNE	1	S	1	N	1	2	8	8	.	
18	11.6	**25.6**	17.7	18.3	2.2	735.1	734.1	734.3	83	37	63	N	1	S	1	N	1	1	3	1	.	
19	14.4	21.6	14.2	16.7	0.5	734.8	735.3	736.4	82	46	77	ESE	0	SE	1	N	1	7●	5	3	0.4	▽ 7½-8¾, ● 9-9¾
20	12.0	**25.6**	18.3	18.6	2.3	737.1	736.0	736.8	86	40	67	N	1	S	1	N	1	0	3	7	.	
21	16.4	16.4	15.6	16.1	−0.4	737.2	737.5	735.9	78	96	92	N	1	S	0	NNE	1	10	10●	10	9.2	● 13–14¼
22	16.2	16.3	14.9	15.8	−0.8	733.4	732.4	732.5	76	91	97	NE	0	NNW	1	NW	1	10●	10●	10●	20.2	● 7½, 9¾–n mU
23	14.1	22.0	14.8	17.0	0.3	734.4	735.3	738.6	92	58	97	NE	1	S	2	N	1	9	8●	10●	12.4	● n–11, 13½-15½, p–n mU
24	13.0	18.3	15.4	15.6	−1.3	739.7	739.0	738.8	94	52	78	NW	1	E	0	N	1	10	10	10	.	
25	14.0	20.3	17.0	17.1	0.1	739.0	739.2	738.8	83	44	62	W	1	SSE	1	W	1	10●	7	9	1.4	● ☾ 7½-11¾
26	14.8	24.3	19.0	19.4	2.3	739.5	737.7	737.3	79	39	62	N	0	S	1	WNW	1	9	3	9	.	
27	14.4	25.4	16.2	18.7	1.4	736.2	734.4	734.5	83	42	76	N	1	S	1	N	1	1	4	3	.	
28	14.8	21.2	15.4	17.1	0.3	734.3	733.3	733.0	74	60	82	NNE	0	S	1	W	1	3●	9●	10●	15.6	▽ 10½ 10¾, ● 16¼ 16¾, 21-n, ⛥
29	13.6	13.0	14.0	13.5	4.0	731.7	731.7	730.0	94	93	86	NNE	1	WNW	1	N	1	9●	10●	9	**29.0**	● n 15½ mU
30	11.0	21.6	17.6	16.7	−1.0	730.1	**728.6**	730.1	85	38	28	N	0	S	1	N	2	1	4	9	.	☄ 20
31	11.4	22.8	14.6	16.3	−1.5	732.6	732.3	734.7	71	38	77	E	1	S	1	NNW	1	3	4	4	.	
																					Summe	
Mittel	12.7	20.9	15.1	16.2	—	736.6	735.8	736.4	81	49	74							5.1	6.3	6.9	107.4	

$\lambda = 7°\,35'$, $\beta = 47°\,33'$,
$H_b = 317.3$ m, $G = 0.08$ mm

Basel

Mai 1959
Beobachter: *Astronom.-Meteorol. Anstalt*

1	7.1	7.8	7.8	7.6	−3.1	732.6	734.9	737.5	100	100	96	SSE	1	WSW	2	WNW	2	10	10●	10	6.1	● n 6½mU, 8¾ 13½mU, ☄ 16¼
2	7.2	11.0	8.2	8.8	−2.0	737.8	737.7	738.0	90	66	96	ESE	1	WNW	1	NW	1	10	10	10●	2.0	● 21¼-22¾
3	7.8	14.7	7.0	9.8	−1.2	738.2	737.2	735.8	97	35	78	S	0	W	1	S	0	2	4	4	.	⊕ 17¾
4	**6.3**	17.5	10.5	11.4	0.3	735.2	734.6	734.0	79	40	75	E	1	SSE	1	WNW	1	9	4	0	0.0	● tr n (4./5.), ⊕ 6½–7¾
5	7.5	15.2	11.5	11.4	0.2	735.6	735.1	735.8	100	68	88	SW	0	NW	1	S	1	10	3	2	.	
6	10.8	19.6	12.6	14.3	2.9	736.5	736.6	737.1	89	48	90	E	1	NW	1	SW	1	7	8	0	.	⊕ 7, 10¾
7	9.2	20.5	16.6	15.4	3.9	737.6	735.4	733.9	100	55	81	SE	0	WNW	1	WSW	1	10	6	10	0.0	● tr n (7./8.), ⊕ 11½
8	13.4	23.6	15.6	17.5	5.8	732.7	731.0	728.5	95	53	97	SE	0	NW	1	SW	1	7	4	3	.	⊕ 14
9	13.0	25.2	13.9	17.4	5.6	727.3	725.4	**725.2**	98	40	92	SE	1	E	1	E	0	0	9	6	.	≡ n–6½, ⌓ I
10	15.3	25.8	16.1	19.1	7.2	727.6	728.3	730.9	70	37	82	E	0	W	1	SW	1	8	7	9	0.6	● 23½-24
11	16.0	**26.3**	15.4	19.2	7.1	733.0	733.1	735.3	91	50	95	E	1	NNW	1	ENE	1	7	8	10●	0.8	● 20¾-21½
12	15.2	21.8	15.3	17.4	5.2	736.6	736.8	737.7	98	67	94	SE	0	N	1	S	0	6	7	2	0.0	▽ 14½-14¾
13	12.3	18.8	15.1	15.4	3.0	**740.0**	739.3	739.3	78	51	46	SW	0	NNE	1	E	1	1	10	10	0.0	● tr 18¼
14	11.8	19.4	10.6	13.9	1.4	739.3	738.0	736.1	77	37	97	SSE	1	NNW	1	S	1	1	6	10●	3.2	● 16¾-17, 20¾-24 mU
15	10.0	10.9	9.0	10.0	−2.6	735.3	735.5	736.0	100	87	100	NNW	1	WNW	1	S	1	10	10	4	1.8	● 16¾–16¾, 19½
16	8.6	16.2	11.4	12.1	−0.7	734.9	733.4	734.0	100	78	97	NW	1	WNW	1	SW	1	10	7	8	2.1	● 16¾
17	11.1	19.2	12.8	14.4	1.5	733.1	732.1	731.1	100	65	90	SW	0	SE	0	S	0	9	7	2	0.0	● tr 22
18	13.6	24.1	15.0	17.6	4.6	731.3	730.6	730.6	90	34	83	E	1	WNW	1	SSE	1	0	2	8	0.8	● 22¼-22¾
19	15.1	23.4	15.2	17.9	4.7	730.8	730.6	731.6	89	51	95	SE	0	W	1	SSW	1	9	8	8	0.0	● 5½–5¾, ⊕ 10¾
20	13.2	25.6	16.4	18.4	5.1	732.1	731.1	730.7	97	41	88	ENE	1	WNW	0	SW	1	8	1	3	0.0	● tr 22¾
21	17.0	24.6	14.0	18.5	5.1	729.7	729.7	731.5	89	54	93	SW	0	NNW	1	SW	1	1	10	8	0.0	● tr 13¾, ⊕ p
22	13.4	19.1	16.8	16.4	2.9	730.9	729.7	728.8	99	75	83	SW	0	N	1	ESE	2	10	10	10	0.3	● 17–18 mU, 23¾ n
23	13.2	19.6	17.0	16.6	2.9	730.0	731.5	733.1	97	68	57	WNW	1	SE	1	NE	1	10	9	6	0.0	● n–1½, tr 21½
24	10.6	20.4	14.4	15.1	1.3	734.8	734.6	734.6	85	53	61	NW	1	N	1	ENE	0	4	4	1	.	
25	13.0	22.5	15.2	16.9	3.0	735.5	735.2	735.0	72	42	48	SW	0	WNW	1	E	0	1	3	0	.	⌓ I
26	14.8	23.0	15.4	17.7	3.7	736.0	735.0	734.0	75	**34**	72	E	0	NNW	1	SW	1	1	1	7	.	
27	11.5	19.6	13.1	14.7	0.6	735.0	734.7	734.9	95	63	71	WNW	1	WNW	1	NW	1	4	5	10	.	
28	9.6	18.8	12.5	13.6	−0.6	734.0	733.1	731.8	91	45	65	NW	1	NNW	1	NW	1	10	3	8	.	
29	9.4	14.0	9.2	10.9	−3.4	730.9	730.9	731.0	91	66	81	WNW	1	NNW	2	NW	0	10	10	3		
30	7.9	14.8	9.2	10.6	−3.8	731.3	731.1	731.0	98	57	94	S	0	SW	1	NW	1	9	9	10●	**7.6**	● 21–n
31	8.4	15.8	10.0	11.4	−3.1	731.8	733.1	735.0	100	68	87	SE	1	WNW	1	SSW	1	10●	8	3	0.0	● n 7½mU
																					Summe	
Mittel	11.4	19.3	13.0	14.6	—	733.8	733.4	733.5	91	56	83							6.6	6.5	6.0	25.3	

Mai 1959
Beobachter: *Observatorium*

Säntis

$\lambda = 9° 21'$, $\beta = 47° 15'$,
$H_b = 2500.1$ m, G = –0.29 mm

Tag	Lufttemperatur 7³⁰	13³⁰	21³⁰	Mittel	Abweich. vom Normalst	Luftdruck 7³⁰	13³⁰	21³⁰	Relative Feuchtigkeit 7³⁰	13³⁰	21³⁰	Windrichtung und Stärke 7³⁰	13³⁰	21³⁰	Bewölkung 7³⁰	13³⁰	21³⁰	Niederschlag	Witterung
1	4.4	4.6	-5.2	4.7	2.2	558.3	559.2	561.2	100	100	100	W 2	W 3	W 4	10≡*	10≡*	10≡*	**92.7**	✳ ≡ ⋁ n-n, ☂ 8-n, ⸗ a, p-n 177
2	-6.9	-5.8	-6.5	-6.4	-4.1	561.3	561.7	562.3	100	100	100	NNW 3	W 3	WSW 2	10≡*	10≡	10≡	14.5	✳ n-10¾, ≡ ⋁ n-n 213
3	**-8.0**	5.9	6.8	-6.9	-4.8	561.3	561.9	561.7	100	100	100	NW 3	W 3	W 3	10≡*	8	10≡	0.5	✳ n-a, ≡ n-n mU 225
4	-4.7	-2.6	-2.4	-3.2	-1.3	561.1	562.1	562.9	76	70	98	W 3	W 3	W 3	9	5	5	.	⊕ I 225
5	0.4	3.7	-0.2	1.3	3.0	563.0	563.6	564.2	74	68	88	WNW 2	SW 1	SW 2	9	7	9	.	⊕ 7½, 16½ 220
6	0.8	3.3	0.4	1.5	3.1	564.9	565.6	566.3	78	71	90	WNW 1	S 1	WSW 2	5	10	9	.	≡ 15¾-19, ⊕ 13½ 210
7	3.1	4.9	2.0	3.3	4.7	566.0	565.6	564.6	70	56	89	C 0	SW 2	SW 2	8	9	9	.	⊕ n-p 200
8	5.8	7.2	3.5	5.5	6.7	563.0	562.7	561.1	88	71	90	W 2	SSW 2	SE 3	5	5	2	.	≡ 17½-19½ 190
9	4.8	7.4	3.4	5.2	6.3	559.2	559.2	559.5	57	51	80	ESE 2	S 1	SE 1	4	10	1	.	⊕ 10½ 185
10	6.0	8.4	3.8	6.1	7.0	559.9	561.8	563.4	46	53	90	SW 1	SW 2	NE 2	4	5	1	0.0	● tr n (10./11.) 180
11	5.4	6.4	2.8	4.9	5.7	564.3	565.4	566.0	66	82	90	NE 2	S 1	N 2	1	9●	4	5.5	⛆ 13¾-18¾ mU, ⛾ ▲ 170
12	3.4	2.7	0.0	2.0	2.7	566.0	567.1	**567.2**	72	100	100	N 1	NNE 2	NE 2	1	10	10≡	1.5	⛆ △ 13¾-16¾ mU, *) 160
13	-1.4	1.4	-3.3	-1.1	-0.6	566.8	567.1	566.8	74	77	94	NE 2	E 1	NE 2	5	9	5	.	≡ 5¾-6¾ 155
14	-3.4	-3.0	-3.4	-3.3	-2.9	565.2	564.7	563.1	81	96	100	N 2	N 2	NNW 3	4	10■	10≡*	25.0	⛆ 10-n mU, ≡ 8½-n, ⋁ 15-n 150
15	-4.2	-2.6	-4.2	-3.7	-3.4	560.3	561.3	561.8	100	100	100	NW 2	N 2	ENE 2	10≡	10≡	10≡	0.0	⛆ 10-12½, 18-20, ≡ ⋁ n-n 169
16	-3.2	-0.8	-1.2	-1.7	-1.5	561.4	562.3	562.7	78	89	100	E 2	E 2	E 2	4	10	10■	.	≡ 20¾-n 180
17	3.8	4.8	2.0	3.5	3.5	561.8	562.1	562.6	45	67	70	SE 1	SE 1	N 2	1	8	9	0.6	● △ 16¾-20 170
18	6.1	6.8	3.1	5.3	5.2	562.0	562.2	562.1	60	76	74	W 1	SSW 1	WSW 2	1	10	10	0.0	⛆ 15¾-16, ● 19-n mU 160
19	5.8	7.8	2.0	5.2	5.0	561.6	562.0	562.9	71	64	90	W 1	SW 1	W 2	7	10	1	0.0	⛆ 14¾-19¾ mU 150
20	6.7	7.2	5.0	6.3	6.0	563.2	564.1	563.9	56	72	75	WSW 1	SSW 2	SSW 2	1	7	1	.	130
21	**9.5**	9.0	3.6	7.4	7.0	562.9	563.2	563.0	41	**40**	94	SW 2	SE 2	W 2	6	9	10	0.0	● tr n (21./22.), ⛾ 120
22	7.0	5.4	3.4	5.3	4.8	561.6	560.9	560.2	53	60	100	S 2	SE 2	E 2	8	10	10≡●	0.3	● 14-17¼, 19-22 mU, *) 115
23	6.0	6.9	3.8	5.6	5.0	561.1	562.5	563.4	54	67	100	E 2	SE 1	SE 2	5	6	10≡	.	≡ 20½-n 105
24	6.7	6.2	0.0	4.3	3.6	563.4	564.1	564.3	78	76	100	WNW 1	C 0	ENE 2	5	10≡	10≡	0.0	❩ 15-17, ≡ 9½-n 100
25	5.2	5.2	1.0	3.8	3.0	563.3	564.7	564.9	70	95	85	C 0	W 1	E 1	1	9	1	.	≡ 17-19¾ 85
26	3.7	4.8	1.4	3.3	2.4	564.8	565.1	564.8	78	87	58	N 1	SW 1	N 1	1	9	1	.	70
27	0.6	2.0	0.4	1.0	0.0	563.7	563.6	563.3	100	100	100	NW 2	W 2	NW 2	10≡	10≡	10≡	.	≡ n-16½, 16½-19¾ mU, 19¾-n 65
28	-0.8	1.2	-1.8	-0.5	-1.6	561.0	560.9	560.5	100	81	100	W 3	WNW 3	NW 2	10≡	7	8	0.0	≡ n-8¾ 60
29	-1.1	0.4	-3.1	-1.3	-2.5	558.1	558.0	558.1	100	100	100	W 2	NW 2	N 1	10≡	10≡	10≡*	6.0	✳ 15¾-n mU, ≡ n-n mU 55
30	-4.8	-3.0	-5.4	-4.4	-5.7	**557.2**	557.9	558.7	100	96	100	NW 2	W 2	W 2	10≡*	9	10≡	0.6	✳ 6¾-17¾ mU, ≡ n-n mU, *) 62
31	-3.4	2.0	-3.6	3.0	-4.4	558.5	560.1	562.4	91	100	100	NE 1	N 1	N 3	10≡	10≡*	10■*	0.3	⛆ 11¾-n mU, ≡ 7-n mU, *) 63
																		Summe	
Mittel	1.4	2.7	-0.2	1.3	—	562.1	562.7	562.9	76	80	92				6.0	8.7	7.3	147.5	

*) **12.** ⛾ ▲, ≡ 14½-n mU **22.** ≡ 17½-n **30.** ⋁ n-10, 19-n **31.** ⋁ 20-n

Mai 1959
Beobachter: *E. Chiesa*

St. Gotthard (Hospiz)

$\lambda = 8° 34'$, $\beta = 46° 33'$,
$H_b = 2095$ m, G = –0.27 mm

1	2.0	1.0	-1.8	-1.6	-2.1	587.3	588.3	590.5	97	95	99	NW 2	NW 2	NW 3	10≡	10≡	10≡	**16.8**	✳ a-n mU, ≡ n-n, *) 230
2	-4.0	1.8	-4.8	3.5	4.1	590.7	590.8	591.2	96	89	90	NW 3	NW 3	NW 2	10≡	10≡	10≡	13.4	✳ ⋁ n-n mU, ≡ n-n, ⸗ n-p 230
3	**-5.0**	-0.8	-4.6	-3.5	-4.3	590.8	591.3	591.5	92	84	70	NW 2	NW 1	NW 0	10≡*	6	0	.	✳ ≡ ⋁ n-11¾ 230
4	-4.2	6.6	0.0	0.8	-0.1	590.0	591.6	591.9	69	46	80	SE 0	SE 0	NW 0	0	0	0	.	230
5	-1.2	8.6	1.8	3.1	2.0	592.0	593.6	593.8	70	49	90	NW 0	SE 1	SE 1	3	6	9	.	230
6	1.6	6.3	1.7	3.2	2.0	594.0	594.7	595.3	81	49	77	SE 0	SE 1	SE 0	6	9	9	.	220
7	1.8	7.6	3.0	4.1	2.8	595.1	594.9	594.2	70	50	93	SE 0	SE 1	SE 1	3	6	10■	.	≡ 19¾-n 210
8	3.0	9.9	3.9	5.6	4.2	592.2	591.5	590.6	85	49	95	SE 1	SE 1	SE 1	0	6	9	.	200
9	5.0	7.4	2.5	5.0	3.5	588.4	588.1	588.7	60	60	92	SE 1	SE 1	SE 1	6	10	10≡●	3.2	● 14½ n mU, ≡ 19-n 185
10	1.6	9.8	2.4	4.6	3.0	588.8	590.3	592.3	99	46	89	SE 0	SE 1	SE 1	10≡●	9	10	.	● n-a mU, ≡ n-10¾ 175
11	4.2	10.0	4.5	6.2	4.5	592.8	594.0	594.4	62	45	90	SE 0	SE 1	SE 0	0	0	0	.	168
12	4.2	5.9	3.3	4.5	2.7	594.3	595.0	595.5	85	90	91	NW 1	NW 1	NW 1	3	6	3	.	150
13	2.0	5.5	0.6	2.7	0.8	595.3	595.4	**595.7**	89	66	96	NW 2	NW 2	NW 1	3	3	3	.	135
14	-1.5	1.0	-1.3	-0.6	-2.6	594.2	594.0	592.7	94	94	99	NW 1	NW 2	NW 2	3	10≡	10≡	6.9	✳ n (14./15.), ≡ 11-n, ☂ p-n 125
15	-2.0	0.2	-2.0	-1.3	-3.4	589.4	590.0	590.3	97	85	99	NW 1	NW 2	NW 2	10■*	10≡	10≡	4.4	✳ n-7½, 19½-n mU, ≡ n-n 128
16	-1.2	6.4	2.2	2.5	0.3	590.0	590.4	590.7	66	48	95	NW 2	NW 1	NW 1	0	6	9	.	128
17	3.0	10.3	3.0	5.4	3.1	590.3	590.6	590.8	63	**42**	85	NW 0	SE 1	SE 0	0	6	0	.	122
18	4.4	11.0	3.0	6.1	3.7	590.4	590.7	590.7	75	45	76	SE 0	SE 1	SE 0	0	6	3	.	110
19	4.4	4.0	3.2	3.9	1.4	590.3	591.0	591.6	82	98	98	SE 0	SE 1	SE 0	10≡	10≡●	10	2.7	● 9½-13½ mU, ≡ n-p 100
20	4.2	10.8	5.2	6.7	4.1	591.7	592.7	592.8	70	50	95	SE 0	SE 1	SE 1	0	3	10	.	95
21	6.3	8.0	3.8	6.0	3.3	592.6	592.6	592.0	72	88	96	SE 0	SE 2	SE 1	9	10	10	.	≡ 14 n mU 88
22	5.6	6.0	3.5	5.0	2.2	589.8	589.5	589.0	67	86	99	NW 0	SE 0	SE 2	6	10●	10≡●	8.8	● 11¼ n, ≡ 21-n 84
23	5.4	**11.2**	4.3	7.0	4.1	589.4	591.0	592.3	69	50	90	SE 0	SE 1	SE 1	10	9	10	7.7	● 14¼-14½, 17¾-n, *) 75
24	2.0	6.0	2.2	3.4	0.4	592.8	593.2	593.0	98	76	99	SE 1	SE 1	SE 0	10≡●	10≡❩	10≡❩	0.8	● n 7½, ❩ 7½-n, ≡ n-n 70
25	3.2	7.0	3.3	4.5	1.4	592.8	593.3	593.5	96	73	97	SE 1	SE 0	NW 1	10≡❩	6	10	5.1	❩ n-7½, ● 16¼-17½, *) 65
26	3.0	10.0	3.8	5.6	2.4	593.5	593.7	593.2	86	57	84	SE 0	SE 0	NW 1	10	6	0	.	60
27	3.0	7.8	3.4	4.7	1.4	592.3	592.0	591.9	79	62	92	NW 1	NW 1	NW 1	0	9	10	.	50
28	2.7	5.7	1.8	3.4	0.0	590.2	589.6	589.0	74	85	100	NW 1	NW 1	NW 2	0	3	10	.	≡ 16¼-n mU 45
29	3.0	4.0	-1.2	1.9	-1.6	587.1	586.3	586.7	76	82	91	SE 0	NW 2	NW 2	3	10	10■	2.4	✳ 17¼-n mU, ≡ 14-n, *) 40
30	2.2	0.5	2.8	-1.5	5.1	**586.0**	586.5	587.2	98	75	96	NW 2	NW 2	NW 2	10≡	6	10≡	.	≡ ⋁ n-10, 15¾-n 40
31	-2.6	2.6	-0.8	-0.3	-3.9	586.8	588.3	590.5	83	75	100	NW 2	NW 2	NW 2	6	6	10■	.	≡ 16¾-n 38
																		Summe	
Mittel	~~2.3~~ 1.5	~~2.4~~ 6.0	~~1.9~~ 1.5	~~0.6~~ 3.0	—	591.0	591.4	591.7	77	62	86				4.9	4.9	6.6	~~204.4~~ 72.1	

*) **1.** ⋁ n-n mU, ⸗ p-n **23.** ≡ 17-n mU **25.** ≡ n-11¾ **29.** ⋁ 20-n

$\lambda = 7°\,26'$, $\beta = 46°\,57'$,
$H_b = 572.2$ m, $G = -0.04$ mm

Bern

Juni 1959
Beobachter: *Meteorologisches Observatorium*

Tag	Lufttemperatur 7³⁰	13³⁰	21³⁰	Mittel	Abweich. vom Normalst	Luftdruck 7³⁰	13³⁰	21³⁰	Relative Feuchtigkeit 7³⁰	13³⁰	21³⁰	Windrichtung und Stärke 7³⁰	13³⁰	21³⁰	Bewölkung 7³⁰	13³⁰	21³⁰	Niederschlag	Witterung
1	**8.6**	18.3	14.6	13.8	−0.5	714.3	714.6	716.8	81	46	70	NW 1	N 1	NNE 1	0	5	2	0.3	⌓ I
2	11.9	19.5	15.3	15.6	1.1	718.6	718.1	717.9	87	48	68	SE 1	NNE 2	NE 1	10	6	2	.	● 5½–6½
3	12.6	22.6	17.2	17.5	2.9	718.0	716.5	716.3	78	40	59	SE 1	ESE 1	SW 1	2	9	1	.	
4	15.7	25.7	20.4	20.6	5.9	715.7	713.0	711.3	68	**33**	51	SE 1	N 1	NE 1	1	3	2	.	
5	16.4	25.8	16.3	19.5	4.7	710.7	709.2	711.5	69	40	81	W 1	NNE 1	NW 1	6	8	9●	0.1	● 21–21¾, ⛈ 17¾–17¾
6	14.9	24.7	17.5	19.0	4.1	712.5	711.4	710.6	79	41	72	SE 1	W 1	ESE 1	3	2	9●	0.7	● 18¾–19½, tr 21½, ⛆
7	17.6	24.2	16.0	19.3	4.3	711.0	710.9	713.4	75	50	90	SE 1	NNE 2	SE 1	4	7	10	**38.8**	● 16¼–19¼, 22½-n. ⛆
8	15.3	13.1	14.6	14.3	−0.8	713.9	715.4	715.3	93	87	84	W 1	NE 1	SE 1	10	10◑	9	0.5	● n–2½, 11½–13¾
9	14.1	15.7	13.2	14.3	−0.9	714.1	713.7	713.3	83	77	84	W 1	W 1	WNW 1	10	10●	7	1.4	● 9–18½ mU
10	11.7	15.3	11.6	12.9	−2.4	716.2	716.5	718.1	64	43	66	W 1	NNW 1	NW 1	3	8	5	0.0	⛆ 6½
11	11.3	15.4	11.3	12.7	−2.7	718.6	718.4	719.2	75	42	59	SSE 1	NNE 1	NNE 1	8	7	9	.	
12	9.9	12.4	9.9	10.7	−4.8	718.1	718.0	718.8	70	58	81	NE 1	NE 1	NE 1	7	9	9	0.5	⛆ 10½–11 mU, ● 11–12¾, *)
13	10.1	12.8	12.7	11.9	−3.7	717.9	718.9	**719.7**	88	86	93	ESE 1	NE 1	E 1	10◑	9●	10◑	3.7	◑ n 1, ● ◑ 5½ n
14	13.7	19.4	16.0	16.4	0.7	**719.7**	719.2	718.8	83	59	62	E 1	E 2	ENE 1	8	5	2	.	● ◑ n–2¾
15	14.2	21.8	16.6	17.5	1.7	716.8	715.6	714.5	75	49	60	NE 1	N 1	W 1	7	3	2	.	⌓ I
16	14.9	23.5	17.9	18.8	2.9	712.9	712.1	712.9	69	46	62	SE 1	N 1	NNE 1	1	7	7	.	⌓ I
17	14.6	25.2	18.6	19.5	3.5	713.9	713.5	714.2	73	42	74	N 1	NNW 1	SE 1	1	1	3	1.9	
18	17.7	20.3	18.7	18.9	2.8	715.0	714.7	718.6	79	70	67	S 1	WNW 2	SE 1	8	9●	6	0.0	⛆ 0½–0¾, 13½–13¾, ⛆
19	17.4	**26.7**	19.3	21.1	4.9	715.1	713.9	714.1	70	38	65	SE 1	NE 1	SE 2	1	8	9	0.2	⌓ I
20	17.7	24.2	17.9	19.9	3.6	713.7	713.5	714.7	74	53	87	NNE 1	NNE 1	E 1	4	7	9	1.2	⛆ 1¾–2, ● 19¾–21¾
21	16.0	23.5	16.8	18.8	2.4	714.5	714.0	715.3	85	57	88	W 1	WNW 1	SW 1	8	5	10●	8.9	● 19¾–20¾, tr 21½, ⌓ I
22	16.1	23.6	18.8	19.5	3.0	716.3	716.4	717.5	92	57	80	SE 1	WSW 1	SE 1	9	8	9	.	● 3 3¾
23	17.8	24.5	20.2	20.8	4.2	716.7	715.1	714.9	81	48	75	SE 1	NE 1	N 1	2	1	4	.	
24	15.7	22.6	19.7	19.3	2.7	713.4	711.8	711.5	92	62	86	NNW 1	N 1	W 1	10≡	7	7	.	≡ 6–8
25	17.7	19.4	18.2	18.4	1.7	711.4	711.5	711.7	80	83	90	SE 1	E 1	NNW 1	8	7●	9	3.3	⛆ 11¾–13½ mU
26	16.7	18.6	17.2	17.5	0.7	711.3	711.7	712.0	92	86	87	W 1	SW 1	W 0	10●	10●	9	11.0	● 7½–11¼, tr 13½, 19–20¾
27	16.4	23.0	18.3	19.2	2.3	712.4	711.8	712.1	90	52	65	WSW 1	WSW 1	WSW 1	9	7	5	.	◑ 3½–6½ mU
28	15.6	21.5	17.7	18.3	1.3	711.7	709.9	708.1	71	52	64	W 1	NW 2	NNW 1	9	9	9	19.0	● 23¾–n
29	13.8	14.9	11.2	13.3	−3.7	**707.2**	707.8	709.2	89	61	87	SW 1	W 1	WSW 1	10●	9	7	20.1	● n–9½, 20¼ n mU, *)
30	10.1	11.9	11.5	11.2	−5.9	710.2	712.0	715.0	91	89	86	SW 1	W 1	SW 1	10●	9●	8	15.1	● n–9¾ mU, 12½–16¾ mU, *)
Mittel	14.5	20.3	16.2	17.0	—	714.4	714.0	714.6	80	56	75				6.3	6.8	6.6	Summe 126.7	

*) **12.** ◑ 23–n **29.** ⛆ 16½–17¼ **30.** 23¾–n, ⛆ 12–12½, ⛆

$\lambda = 6°\,57'$, $\beta = 47°\,00'$,
$H_b = 487.3$ m, $G = 0.00$ mm

Neuchâtel

Juni 1959
Beobachter: *Observatorium Cantonal*

1	**9.3**	19.9	16.2	15.1	0.1	722.4	722.6	724.1	89	43	52	SSE 1	S 1	NNW 3	0	4	3	.	⛈ 20–22¾
2	13.8	19.6	16.8	16.7	1.5	726.2	725.7	725.4	83	50	54	NE 1	SE 1	NNE 2	4	4	0	.	
3	13.0	24.0	17.6	18.2	2.9	725.8	724.3	723.6	84	35	56	N 1	ESE 1	ESE 1	2	3	0	.	
4	14.4	**28.4**	20.2	20.3	4.9	723.3	720.7	718.6	82	**33**	54	ESE 1	ESE 1	NE 0	1	1	2	.	
5	16.0	21.9	15.1	17.7	2.2	718.3	717.3	719.1	83	47	93	NE 0	WNW 1	W 1	5	9	10	1.7	● 18¾–19¾, ⛆
6	14.5	24.8	19.7	19.7	4.1	719.9	719.1	718.0	94	38	56	NW 0	SE 1	N 0	8	1	10	0.3	
7	17.3	25.0	17.2	19.8	4.1	718.3	718.5	720.5	87	42	72	E 0	N 2	NE 3	8	7	10	**13.7**	● 5¾, 16¾ 19¼, ⛈ 14 16½
8	15.5	15.1	15.2	15.3	−0.5	721.6	722.9	722.8	75	58	55	NNW 1	NNW 2	W 1	9	10	3	.	● 0½–3¾, ⛈ 8½–13½
9	14.3	14.5	13.2	14.0	−1.9	721.5	721.3	721.3	66	69	67	WSW 1	W 1	NW 2	10	10●	10●	1.0	● 13 14, 17, 21½, ⛈ 20 n mU
10	11.6	17.0	13.1	13.9	−2.1	724.0	724.5	725.4	57	40	46	SSE 1	NW 2	NNW 3	1	7	8	.	⛈ n–n mU
11	12.3	16.6	12.1	13.7	−2.4	726.4	726.0	726.7	69	40	52	ENE 1	E 1	N 1	5	5	10	.	⛈ 14–n mU
12	10.6	14.2	10.7	11.8	−4.4	725.7	725.5	726.5	67	56	80	NE 2	NE 2	NE 2	8	9	10	0.5	● 15–16¾, ⛈ n–n mU
13	11.1	14.6	12.9	12.9	−3.4	725.6	726.3	**727.4**	93	77	96	ENE 1	ENE 1	ENE 1	10●	10	10	0.4	● tr7½, 18¾–23½ mU
14	15.2	21.1	17.0	17.8	1.4	726.9	726.3	726.2	75	45	54	NE 2	NE 2	NE 2	3	5	2	.	⛈ n–n mU
15	15.5	24.5	18.8	19.6	3.1	724.7	723.2	721.8	61	33	39	NE 2	E 2	NE 2	3	2	1	.	
16	14.4	25.8	18.7	19.6	3.0	720.9	719.8	720.4	75	38	54	NE 1	SE 1	NE 1	1	4	1	.	⛈ 14–21
17	15.2	25.4	17.4	19.3	2.6	721.8	721.3	721.5	67	37	74	NE 1	SE 1	E 1	1	2	1	0.1	
18	16.5	19.7	18.1	18.1	1.3	722.4	722.0	722.6	93	79	69	WNW 1	W 2	WNW 0	2	10	8	5.9	● 0½, 11–13, 25¾, ⛆
19	16.8	25.9	20.3	21.0	4.1	722.8	721.5	721.1	81	44	53	NE 0	ESE 1	W 1	1	8	10	0.5	● 20
20	17.4	26.1	20.7	21.4	4.4	721.6	720.9	722.3	89	44	72	NE 1	S 1	SW 1	2	2	9	1.0	● 4½–6, 21¾–n
21	16.1	21.3	17.7	18.4	1.4	722.2	721.8	722.8	87	61	87	N 0	SW 2	E 0	8	10	10	0.3	◑ n 1, 20¾ 22½ mU
22	17.6	17.6	17.8	17.7	0.6	723.7	724.1	724.9	83	94	91	SW 1	N 1	N 1	9	10	10	10.3	● 12¾ 14 mU, ⛆
23	16.2	25.2	17.5	19.6	2.4	724.1	722.7	722.3	95	48	82	NNE 1	SE 1	NE 1	10	7	1	2.6	● 18¾–18¾
24	16.8	24.2	18.7	19.9	2.6	720.9	719.4	719.1	93	56	83	NE 1	SSE 1	SW 0	10	6	10	0.1	● 15½
25	17.1	23.0	17.7	19.3	1.9	719.1	718.6	719.1	88	66	83	SSE 0	E 2	NE 1	8	8	10	7.8	
26	16.1	17.1	15.7	16.3	−1.2	718.6	719.3	719.5	96	94	92	SW 1	WSW 1	W 1	10●	10●	8	12.1	● 5¾ 9, 11¾ 19½
27	16.3	22.0	18.4	18.9	1.4	719.9	719.4	719.6	86	47	51	NE 1	SW 1	WSW 1	4	8	4	.	● 2¾–5, ⛈ 16
28	15.8	21.3	17.9	18.3	0.7	719.2	717.5	715.1	54	44	59	W 2	W 2	W 1	8	8	10	10.3	● 22¾ n, ⛈ 3 6
29	13.4	17.1	11.9	14.1	3.6	**714.7**	715.0	716.7	94	42	74	W 1	W 2	W 1	10	8	8	10.1	● n–17¾ mU, 19¾–n mU, ⛈ 19–20
30	9.6	14.5	10.3	11.5	−6.3	717.7	719.4	722.6	93	68	83	W 1	SSW 1	W 1	10	7	9	6.8	● n–12½ mU, 19¾–20
Mittel	14.7	20.8	16.5	17.3	—	722.0	721.6	721.9	81	52	68				5.7	6.5	6.6	Summe 85.5	

Juni 1959
Beobachter: *Eidg. Armeemagazine*

Altdorf

$\lambda = 8° 38'$, $\beta = 46° 52'$,
$H_b = 450.7$ m, G = –0.08 mm

Tag	Lufttemperatur 7³⁰	13³⁰	21³⁰	Mittel	Abweich. vom Normalst	Luftdruck 7³⁰	13³⁰	21³⁰	Relative Feuchtigkeit 7³⁰	13³⁰	21³⁰	Windrichtung und Stärke 7³⁰	13³⁰	21³⁰	Bewölkung 7³⁰	13³⁰	21³⁰	Niederschlag	Witterung
1	12.4	17.6	14.8	14.9	–0.1	724.8	725.0	727.0	83	59	75	N 0	WNW 1	SE 0	6	9	9	.	
2	14.4	16.6	13.0	14.7	–0.4	729.1	729.1	728.8	82	73	84	E 0	N 1	SSE 0	10	10	1	.	● tr 7½
3	13.2	22.4	17.4	17.7	2.5	728.6	726.8	726.7	76	50	64	E 0	NW 2	SSE 0	2	5	0	.	
4	16.4	25.2	20.4	20.6	5.4	726.1	723.0	721.6	71	52	61	SE 0	NW 2	SE 0	1	4	1	.	
5	17.2	23.4	17.0	19.2	3.8	720.7	720.7	721.2	75	58	79	N 0	SE 3	SE 0	3	6	10	2.6	● 10–12, n (5./6.) mU, ⛉ ⛈ a-p
6	17.2	24.6	18.6	20.1	4.7	722.6	722.3	720.7	83	53	85	SE 0	NW 1	S 0	4	6	10	0.7	▽̇ p-abd mU
7	17.8	24.6	19.0	20.5	5.0	721.2	721.2	723.1	79	68	69	SE 0	NW 1	NW 2	5	4	10	3.1	● 21¾–n mU
8	17.2	17.0	24.0	19.4	3.8	724.0	724.2	726.0	86	79	94	NW 1	NW 3	NW 1	9	10●	10	0.4	● a–p, ⛈ II
9	14.4	16.8	13.2	14.8	–0.9	724.6	723.6	723.5	89	71	96	S 0	NW 2	NW 0	10	10	10●	12.8	● a–n mU
10	9.6	14.2	10.2	11.3	–4.5	726.7	727.0	728.6	87	60	86	NW 1	NW 2	E 0	10●	8	8	10.0	● n–n mU
11	10.0	10.0	**8.4**	9.5	–6.4	728.9	730.1	730.2	84	82	94	NNW 2	NW 0	ESE 0	10●	8	10	9.4	● n–a, n (11./12.)
12	**8.4**	12.0	10.0	10.1	–5.8	728.7	728.5	729.6	83	62	86	NE 0	E 2	E 0	10●	10	10	2.0	● n–n mU
13	10.0	12.0	11.8	11.3	–4.7	728.9	729.9	730.4	97	85	97	SW 0	NNE 0	SW 0	10	10●	10	15.6	● n–n mU
14	12.0	17.6	13.6	14.4	–1.7	**730.6**	**730.6**	729.7	96	69	89	SSW 0	NNW 0	SSE 0	10	8	1	1.2	● n–a mU
15	12.6	21.6	17.4	17.2	1.0	727.9	725.9	724.8	80	57	75	SE 0	NW 1	SSE 0	4	3	7	.	
16	15.8	22.0	17.2	18.3	2.0	723.5	722.8	723.6	83	57	83	N 1	NW 1	S 0	3	6	10	0.2	● tr p–n mU, ⛆ I
17	15.0	23.6	17.0	18.5	2.2	724.4	724.1	725.6	87	58	87	N 1	NW 2	SSW 0	2	4	10●	3.4	▽̇ p–n mU, ⛉
18	17.2	25.0	16.4	19.5	3.1	725.2	724.3	725.7	81	53	86	NW 0	S 1	SSE 0	5	5	2	0.8	▽̇ 11½, 15
19	17.4	**26.6**	22.0	22.0	5.5	725.7	724.0	723.9	77	54	51	NW 0	NW 2	SW 3	2	3	10	3.9	▽̇ abd mU, ⛉, ⛈ p–n
20	18.0	24.4	18.0	20.1	3.5	725.1	723.8	724.8	73	60	90	SE 0	NW 0	SSE 0	2	4	7	.	
21	18.2	25.0	16.6	19.9	3.3	725.1	723.6	725.2	88	**36**	86	S 0	S 2	E 0	5	5	1	1.3	● n (21./22.)
22	16.6	21.0	16.8	18.1	1.4	726.4	726.9	728.1	92	74	93	SE 0	NW 1	S 0	10	9	10	3.1	● 16–n mU
23	16.6	23.2	19.4	19.7	2.9	727.3	725.6	725.1	85	61	80	SE 0	NW 2	SE 0	8	7	1	.	
24	16.8	20.8	18.0	18.5	1.6	723.9	722.3	721.8	86	78	93	S 0	N 0	SSW 0	1	6	8	11.9	▽̇ n (24./25.) mU
25	17.2	18.2	16.2	17.2	0.3	722.0	723.0	722.3	84	81	89	SSW 0	SE 0	SSW 0	8	8	3	4.6	⛉
26	16.0	18.8	17.4	17.4	0.4	720.9	722.3	722.5	92	85	90	N 0	S 0	NW 0	9	10	10●	**34.6**	● a–n mU
27	16.0	20.6	18.0	18.2	1.1	722.5	722.2	722.3	96	65	83	NNW 0	NNW 0	E 0	10●	7	10	3.6	● n–a, n (27./28.) mU
28	18.0	21.4	17.0	18.8	1.7	721.5	720.1	718.1	76	63	89	SE 0	NNW 2	NNW 0	6	6	10	9.2	● n (28./29.) mU
29	15.0	14.4	10.8	13.4	–3.8	**717.0**	717.7	718.8	92	76	92	ENE 0	WNW 2	SSE 0	10	10●	10	17.2	● n–n mU
30	10.6	14.2	12.0	12.3	–5.0	720.1	721.5	725.1	88	62	82	N 0	NE 1	SE 0	10●	9	10	5.2	● n–n mU
Mittel	14.9	19.8	16.0	16.9	—	724.8	724.4	724.8	84	65	84				6.5	7.0	7.3	Summe 156.8	

Juni 1959
Beobachter: *Observatoire*

Genève

$\lambda = 6° 09'$, $\beta = 46° 12'$,
$H_b = 405.0$ m, G = –0.05 mm

1	**9.7**	18.2	16.3	14.7	–0.8	729.3	729.4	731.2	78	50	65	NE 1	N 1	N 0	0	1	0	.	
2	14.9	21.5	17.3	17.9	2.3	732.8	732.3	732.2	73	49	70	N 0	N 2	NNE 1	0	8	2	.	
3	14.1	20.7	19.5	18.1	2.4	732.6	431.0	730.5	75	56	55	NE 1	N 1	N 0	1	2	2	.	
4	16.3	23.6	21.8	20.6	4.7	730.1	727.5	725.8	74	41	60	SE 1	N 1	NNE 0	0	1	1	.	
5	13.3	**27.5**	16.6	19.1	3.1	725.1	723.8	726.5	78	40	88	E 0	S 1	NNE 1	5	3	7	1.7	● 17½–20 mU
6	15.7	21.7	21.4	19.6	3.5	726.8	725.8	724.8	82	54	56	NW 0	N 1	ESE 1	0	1	6	4.5	● 23½–n
7	17.5	23.4	17.8	19.6	3.4	725.4	725.2	728.1	83	51	80	N 1	N 2	NNE 1	3	10	10	6.4	● n–4 mU, 15¾–16¾, 22–n
8	15.2	16.4	16.1	15.9	–0.4	729.0	729.9	730.2	85	79	77	NW 1	SE 1	SSE 0	10	10	10	0.3	● n–1, 12
9	15.3	17.9	15.0	16.1	–0.3	729.0	728.6	728.9	69	40	78	S 1	SE 1	E 0	10	10	8	0.1	● 15–15¾
10	13.2	16.8	13.8	14.6	–1.9	731.0	731.2	732.5	55	39	50	N 1	N 2	N 1	1	3	1	.	
11	13.0	16.7	13.5	14.4	–2.2	**733.2**	732.4	732.9	62	**37**	51	N 2	N 2	NE 1	3	3	5	.	⛈ n–n mU
12	11.7	14.4	12.6	12.9	–3.8	731.9	731.1	731.8	62	50	66	N 3	N 3	NE 3	1	1	3	.	⛈ n–n
13	13.0	16.4	14.6	14.7	–2.1	731.7	732.1	732.9	77	65	80	N 3	N 3	N 2	7	10	4	.	⛈ n–n mU
14	16.8	21.0	18.7	18.8	1.9	733.0	732.0	732.4	73	58	64	N 3	N 3	N 1	1	2	0	.	⛈ n–p
15	14.8	21.0	20.0	18.6	1.6	731.7	730.2	738.6	76	54	63	N 1	N 1	N 0	1	3	3	.	
16	17.6	25.7	20.0	21.1	4.0	727.9	726.6	726.8	72	40	60	S 0	N 1	NNE 1	1	4	0	.	
17	17.0	22.9	21.6	20.5	3.3	728.7	727.8	728.4	72	53	50	N 0	N 1	S 1	0	3	10	1.3	● 22½–23½, ⛉
18	18.0	23.5	20.8	20.8	3.5	729.6	729.7	729.4	80	47	63	S 0	N 1	NNE 0	8	10	2	.	
19	17.0	23.2	20.6	20.3	2.9	729.6	728.1	727.9	85	49	57	N 1	N 1	NNE 0	2	6	5	**16.2**	● 23½–n, ⛉
20	17.2	22.4	18.0	19.2	1.7	728.6	728.1	730.4	78	59	67	E 1	N 1	SW 0	8	6	10	0.5	● n–4¾, 16–20 mU
21	16.5	21.8	17.6	18.6	1.0	729.2	728.9	730.1	80	65	91	W 1	SW 2	S 1	8	8	9	2.3	
22	17.7	21.8	19.4	19.6	2.0	731.0	731.0	731.7	87	68	81	N 1	NNE 2	N 1	9	7	6	.	
23	17.2	24.4	22.4	21.3	3.6	730.8	729.3	728.7	80	46	60	NNW 1	N 1	N 1	1	8	6	.	
24	18.6	22.8	19.5	20.3	2.5	727.8	726.0	726.1	77	64	77	NNE 1	N 1	NNE 1	7	6	7	1.1	● 16¼ 16¾, 23¾–n
25	18.8	26.7	20.8	22.1	4.2	726.2	725.0	725.8	78	38	72	NW 1	W 1	NNE 1	5	3	10	9.4	● n–0½
26	17.3	18.9	17.6	17.9	–0.1	726.3	726.5	727.0	91	81	93	S 1	N 1	E 1	10●	10●	8	8.1	● 5¾–13¾ mU, 16¾–19¾, ⛉
27	17.5	24.8	19.4	20.6	2.5	727.2	726.6	727.0	89	39	55	SSE 1	SW 2	SW 1	7	7	3	.	● 2¾–23¾
28	18.2	22.6	20.1	20.3	2.2	726.8	725.0	722.7	59	45	56	NE 1	WSW 2	S 1	3	2	7	4.7	
29	15.7	18.5	14.0	16.1	–2.1	**722.4**	722.8	724.6	75	42	57	SSE 1	S 1	E 1	10●	7	9	10.3	● 1¾ 4¾, 7¾ 8¾
30	11.2	11.0	12.6	11.6	6.7	725.6	727.5	730.4	93	80	82	ESE 1	N 2	ENE 1	10●	10●	2	13.5	● 0¾ 10¾ mU, 13¾ 14¾, *)
Mitte	15.7	20.9	18.0	18.2	—	729.0	728.4	728.9	77	53	68				4.4	5.5	5.2	Summe 80.4	

*) **30.** 19¾, 22¾–23½

$\lambda = 8°\,34'$, $\beta = 47°\,23'$,
$H_b = 569.4$ m, $G = -0.01$ mm

Zürich

Juni 1959
Beobachter: *Meteorologische Zentralanstalt*

Tag	Lufttemperatur 7³⁰	13³⁰	21³⁰	Mittel	Abweich. vom Normalst	Luftdruck 7³⁰	13³⁰	21³⁰	Relative Feuchtigkeit 7³⁰	13³⁰	21³⁰	Windrichtung und Stärke 7³⁰	13³⁰	21³⁰	Bewölkung 7³⁰	13³⁰	21³⁰	Niederschlag	Witterung
1	12.0	17.9	14.3	14.7	0.5	714.6	715.0	716.8	72	46	72	S 0	SE 1	SE 0	2	4	9	4.2	⊿ I
2	11.4	18.2	13.7	14.4	0.1	718.9	718.8	718.5	92	55	76	N 1	SW 1	NE 1	10●	7	9	0.1	● 5½–7½, ⊿ III
3	12.7	22.9	16.7	17.4	3.0	718.3	716.9	716.5	82	**37**	58	S 1	NNE 1	NNE 1	6	6	0	.	⊿ I, III
4	15.8	26.4	18.7	20.3	5.8	715.8	713.6	711.6	72	**37**	55	SSW 0	ESE 1	NNE 1	1	2	3	.	⊿ I, III
5	16.5	24.7	18.6	19.9	5.3	710.7	710.2	711.4	70	47	61	NE 1	NE 1	SW 1	1	7	10	0.0	⊿ I
6	17.6	25.0	18.4	20.3	5.6	712.4	711.4	710.6	77	38	73	S 1	WSW 1	NNE 1	3	1	1	0.2	⊿ III
7	17.6	23.5	15.4	18.8	4.0	711.1	711.5	713.6	78	55	91	SW 1	NNW 1	NW 1	9	4	10●	**41.1**	● 19¾–n, ⌿ 20, ⛉
8	15.1	13.0	12.9	13.7	−1.2	713.9	715.0	715.5	90	87	83	WNW 1	WNW 1	SSE 1	10	10●	10	0.2	● n–6½ mU, 13½–13¾
9	14.9	14.7	11.4	13.7	−1.3	713.9	713.6	713.5	74	81	91	WSW 1	W 1	WSW 1	9	10●	10	4.5	● 10½–16¾, 19¼–23 mU, ⊿ I
10	9.8	16.3	11.5	12.5	−2.5	716.3	716.6	718.2	80	39	63	W 1	W 1	WNW 2	4	5	10	0.3	
11	10.5	16.9	9.7	12.4	−2.7	718.9	718.5	719.3	72	40	73	N 1	ENE 1	N 1	3	6	9	0.5	● 4–4¾, 21
12	**8.8**	11.7	9.1	9.9	−5.3	718.5	718.5	719.1	82	65	96	NNE 1	NE 1	SE 1	9	10●	10●	11.6	● 13½–13¾, tr p, 17¾–n
13	9.1	11.7	11.9	10.9	−4.4	718.2	719.1	719.8	95	88	94	S 1	W 1	NW 1	10●	10●	10≡●	29.8	● n–n mU, ≡ 8¾–9½, 14½–n
14	13.3	11.7	13.1	14.7	−0.7	720.3	**720.6**	719.9	85	56	82	N 1	NE 1	NE 1	10	8	1	0.1	● n–6
15	13.1	21.9	15.7	16.9	1.5	717.4	716.1	714.3	74	43	63	NNE 1	NNE 1	ESE 1	4	2	1	.	⊿ I, III
16	14.9	20.9	15.9	17.2	1.7	713.4	713.0	713.6	69	54	66	ENE 0	NNW 1	NE 1	2	2	9	.	⊿ I, III
17	13.0	24.1	18.7	18.6	3.0	714.6	714.3	714.2	70	45	66	NE 1	WNW 1	SSE 1	0	1	9	1.2	⊿ I, III
18	18.8	25.3	17.2	20.4	4.7	714.9	714.3	715.2	72	49	80	S 1	SSW 1	S 1	5	7	6	0.0	● 2–2¼, ⊿ III, ⛉
19	17.5	**27.6**	20.1	21.7	5.9	715.5	714.5	713.8	73	41	64	SSW 1	NNW 1	NNE 0	1	2	10	1.2	● 23¼–n, ⊿ I, ⛉
20	18.9	25.4	19.4	21.2	5.4	714.7	714.0	714.6	66	52	82	SSE 1	NNE 1	NE 1	5	7	9	.	● n–1¾ mU, ⊿ III
21	17.3	25.6	15.9	19.6	3.7	714.8	713.7	714.9	81	55	94	NW 1	NW 1	SSW 1	9	6	9	13.4	● 15¾–18½, ⊿ I, ⛉
22	17.3	18.8	17.4	17.8	1.8	716.2	716.8	717.5	82	78	80	SSW 1	SSE 1	S 1	10	10●	10	0.8	● 1¾–2¾, ⛆ 13½–13¾
23	18.2	20.7	17.5	18.8	2.7	716.5	715.7	715.3	76	76	92	SSW 1	NE 1	NE 1	9	9●	9	0.0	● 13½, tr p mU
24	16.4	23.1	18.9	19.5	3.4	713.7	712.4	711.3	86	57	74	NE 1	NE 1	NE 1	10	3	9	.	⊿ III
25	18.1	18.5	16.8	17.8	1.6	711.8	712.6	712.1	79	79	90	SW 1	S 1	NE 1	6	10	9	21.7	● 9–12¾ mU, ⌿ 10¾, ⛉, ⊿ I
26	16.1	17.8	17.0	17.0	0.7	711.0	711.7	711.8	86	82	87	NE 0	S 1	SSW 1	10●	10	9	11.8	● 7½–12½ mU, 18–18¾
27	16.4	22.3	16.9	18.5	2.2	712.3	711.9	712.3	85	50	73	WSW 1	W 1	SSW 1	10	3	9	.	● 3½–3¾
28	16.9	21.5	11.7	18.0	1.6	711.6	710.0	708.3	60	52	74	WSW 1	WSW 2	WNW 1	7	6	10	14.2	⊿ I
29	13.4	15.3	11.9	13.5	−3.0	**706.8**	707.6	708.5	89	52	67	SW 1	SW 2	NNW 1	10●	7	10	7.3	● 1¾–10, 21½–23½, ⌿ 21¼
30	10.1	11.4	10.6	10.7	−5.8	709.6	710.9	714.6	89	87	87	SW 1	S 1	SSW 1	10	9	9	13.8	● 4¼–13½ mU, 15–17½, 19¾, ⛉
Mittel	14.7	20.0	15.4	16.7	—	714.6	714.3	714.6	79	57	77				6.5	6.1	8.0	Summe 178.0	

$\lambda = 6°\,32'$, $\beta = 46°\,51'$,
$H_b = 1601$ m, $G = -0.16$ mm

Chasseron

Juni 1959
Beobachter: *J. Liardon*

1	4.6	7.4	6.4	6.1	—	631.9	633.4	635.4	80	75	90	E 2	ENE 2	N 2	2	6	4	.	
2	8.0	9.2	8.2	8.5	—	636.0	636.7	635.8	78	78	86	N 1	ENE 2	E 2	2	7	3	.	⊿ I
3	9.8	13.4	11.2	11.5	—	635.9	636.0	635.8	60	66	84	E 2	W 2	NE 1	4	4	4	.	⊿ I, III
4	11.8	**17.0**	12.7	13.8	—	634.6	633.5	632.1	65	53	75	W 1	W 2	NNE 2	1	4	5	.	
5	15.0	16.0	9.0	13.3	—	630.5	630.5	630.9	64	71	81	ESE 1	WNW 2	SSE 3	5	6	10	27.3	● tr 12–13, 15½–18, ⛉, ⌿ p-n
6	10.0	13.0	12.2	11.7	—	631.2	631.8	630.7	69	88	74	W 3	S 2	S 1	7	5	7	3.1	⛆ 13½, 19¼–20, ⌿ n-a
7	8.6	11.0	9.0	9.5	—	630.5	631.4	632.1	100	88	100	WNW 2	N 3	N 2	10≡	9	10≡●	26.2	⛆ 17-n mU, ≡ 7–7½, 19-n, ⌿ n-n mU
8	6.0	5.6	5.6	5.7	—	632.7	633.3	632.9	100	100	100	N 2	W 2	WNW 3	10≡ ☽	10≡	6	1.8	● ☽ n–12½, ≡ n–14½, ⌿ n-n mU
9	4.6	6.4	2.0	4.3	—	631.9	631.6	630.7	100	100	100	W 3	W 4	NNW 4	8	10≡●	10≡	2.8	⛆ 12½–14, ≡ n-9, 12¾-n, ⌿ n-n
10	1.2	3.6	2.8	2.5	—	632.6	634.0	634.5	100	82	88	NNW 4	WNW 3	N 3	6	8	7	.	≡ n–7 mU, ⌿ n-n, ⌿ I
11	2.6	4.6	2.2	3.1	—	635.1	635.3	635.4	83	71	96	N 2	N 2	N 2	7	7	8	.	⛆ n (11., 12.)
12	**0.2**	1.6	2.2	1.3	—	633.8	634.3	634.6	100	94	100	NNE 3	NNE 2	NNE 3	10≡	9	10≡ ☽	2.2	⛆ 10–10¼, 11½, ☽ p–n, *)
13	5.6	5.4	6.8	5.9	—	634.7	635.9	636.7	100	100	100	NE 3	N 2	E 4	10≡ ☽	10≡	10≡	0.0	☽ n-8, ≡ n-n, ⌿ n-n mU, ⌿ III
14	6.8	10.6	7.8	8.4	—	636.9	**637.4**	636.5	100	74	86	E 4	E 2	E 3	10	6	5	.	≡ n–9¾ mU, ⌿ n-n mU, ⌿ I
15	8.8	12.5	10.8	10.7	—	634.8	635.0	634.0	81	85	49	E 2	ESE 2	ENE 2	4	4	4	.	
16	12.8	13.6	10.0	12.1	—	632.3	632.6	632.4	71	67	**48**	WNW 2	WNW 3	C 0	3	4	3	.	⌿ n–20 mU, ⊿ III
17	9.4	14.4	12.8	12.2	—	632.7	633.8	633.7	63	74	86	W 2	WNW 2	NW 2	3	6	4	4.3	⛆ n (17./18.)
18	12.4	12.4	13.6	12.8	—	634.0	634.6	635.2	66	65	63	W 4	WSW 3	W 2	5	8	5	.	⌿ n–p, ⌿ I
19	14.2	14.6	12.6	13.8	—	634.8	634.7	633.9	65	58	69	W 1	S 2	SE 3	4	6	8	5.3	⛆ 13¼–14½, 17½–18½, ⌿ III
20	13.0	15.5	12.7	13.7	—	633.1	633.9	634.4	60	56	80	WSW 2	SE 2	ESE 2	5	5	9	.	
21	12.8	11.0	10.4	11.4	—	633.6	634.2	634.5	77	87	100	ESE 2	NNE 2	NNE 2	7	9	9	.	⛉
22	9.4	13.4	10.4	11.1	—	635.1	636.2	636.6	100	82	87	NW 2	NW 2	N 2	10≡	10	9	1.5	⛆ 16¾–17¼, ≡ n–10¾, ⛉
23	10.2	14.6	12.3	12.4	—	635.6	635.6	634.9	100	71	92	NNE 2	N 1	S 2	0≡	7	7	2.5	⛆ 18, ≡ 7-a mU
24	13.0	15.6	12.2	13.6	—	632.9	632.5	631.7	77	78	70	ESE 2	W 1	WSW 2	3	3	7	4.9	⛆ 15–16¾ mU, ⛉
25	12.0	14.2	12.8	13.0	—	631.4	631.6	631.6	85	84	94	WNW 2	WNW 3	NW 2	7	8	10	24.5	⛆ 13¼–17 mU, ≡ 5–7, ⌿ a-p
26	10.2	11.1	9.4	10.2	—	630.9	631.3	631.2	100	100	100	W 2	SSW 1	NNW 2	10≡	10≡	8	**29.3**	⛆ 4½–5½, 12¾–13, *)
27	8.2	12.8	9.2	10.1	—	631.5	631.7	631.4	100	70	90	NNW 3	W 3	WNW 3	10≡	7	6	.	≡ n–8, ⌿ n-n
28	5.2	9.0	8.2	7.5	—	630.1	629.6	627.9	100	80	98	WNW 4	W 3	W 4	8	8	8	15.1	● n (28./29.), ⌿ n-n mU
29	4.6	5.4	2.8	4.3	—	**625.4**	626.3	626.3	100	87	100	NW 4	NW 4	NW 5	10≡●	8	10≡●	16.6	● n–8, 18¾, 19–n, ⌿ n-n
30	2.8	3.8	3.6	3.4	—	627.8	629.6	631.9	100	100	100	WNW 2	WNW 2	WNW 2	10≡●	10≡●	8	21.4	⛆ n-n mU, ≡ n-n
Mittel	8.5	10.6	8.7	9.3	—	632.8	633.3	633.2	85	80	86				6.4	7.1	7.1	Summe 188.8	

*) 12. ≡ n–8½, 14½–n, ⌿ n-n mU 26. ● n (26./27.), ⛉ ≡ n-n mU

Juni 1959
Beobachter: *Stationspersonal Rh. B.*

Bever

$\lambda = 9° 53'$, $\beta = 46° 33'$,
$H_b = 1711.8$ m, G = –0.26 mm

Tag	Lufttemperatur					Luftdruck			Relative Feuchtigkeit			Windrichtung und Stärke						Bewölkung			Niederschlag	Witterung
	7^{30}	13^{30}	21^{30}	Mittel	Abweich. vom Normalst	7^{30}	13^{30}	21^{30}	7^{30}	13^{30}	21^{30}	7^{30}		13^{30}		21^{30}		7^{30}	13^{30}	21^{30}		
1	7.0	11.0	7.8	8.6	0.4	621.7	623.1	620.6	58	41	54	W	1	SW	1	NW	0	6	8	9	.	
2	6.5	12.8	7.8	9.0	0.7	626.1	625.9	627.1	72	41	59	SW	0	SW	0	SW	0	9	8	0	.	
3	4.3	17.0	9.7	10.3	1.9	626.8	625.4	626.8	79	34	52	SW	0	SW	0	NW	0	1	4	3	.	
4	6.7	19.6	9.2	11.8	3.3	625.9	623.7	622.9	78	32	60	SW	0	NE	0	NW	0	2	1	2	.	
5	8.6	14.2	9.6	10.8	2.2	622.4	622.4	622.7	72	51	74	SW	0	SW	1	SW	0	9	10	4	.	
6	10.4	11.4	8.5	10.1	1.4	622.8	622.9	623.0	74	80	60	NW	0	NW	1	SW	0	4	9	6	0.2	● 13¾–14
7	8.6	17.5	11.0	12.4	3.6	622.5	622.1	623.7	82	47	71	W	0	SW	0	SW	0	3	8	10	1.0	● 17–n mU, ⌓ I
8	7.2	16.0	9.6	10.9	2.0	623.7	622.4	623.4	96	43	89	W	0	SW	1	NE	0	3	10	10	3.5	● 17–n mU, ≡ n–7, ⌓ I
9	9.6	10.0	7.3	9.0	0.0	622.9	621.7	621.3	86	61	89	SW	0	SW	1	NW	0	10	10	10●	5.2	≡ n–n mU
10	4.2	5.0	**1.9**	3.7	–5.4	621.3	622.4	623.9	83	51	82	SW	1	W	2	N	0	9	10	10	0.4	● tr n–n mU
11	4.4	6.2	2.3	4.3	–4.9	622.8	624.0	624.9	49	46	45	SE	1	NE	2	NE	1	9	9	10	0.0	✳ 7¾–a mU
12	2.2	5.5	2.5	3.4	–5.9	623.1	622.9	624.5	59	55	70	NE	0	NW	0	SW	0	9	10	10	0.3	● abd
13	3.8	7.8	6.0	5.9	–3.5	623.9	622.9	625.7	84	62	80	NE	0	N	0	NE	1	10	10	10	0.6	● 15–n mU
14	6.0	10.6	5.4	7.3	–2.2	626.0	627.2	**628.3**	85	59	80	NE	1	NE	1	N	0	10	10	10	.	
15	4.1	18.0	9.0	10.4	0.8	626.6	624.1	624.1	81	43	54	E	0	SW	1	N	0	0	2	1	.	≡ n–7
16	7.0	17.0	11.4	11.8	2.1	623.0	622.9	633.1	70	51	54	W	0	NW	1	NE	0	6	3	7	.	
17	7.6	16.6	11.2	11.8	2.0	624.4	624.1	625.9	75	40	78	SW	0	SW	0	SW	0	1	7	8	.	
18	11.0	16.2	8.4	11.9	2.0	625.7	625.0	627.0	76	49	73	SW	0	SW	0	SW	0	7	9	1	0.2	∴ 12¾
19	9.3	**20.2**	13.2	14.2	4.2	626.5	625.1	625.7	72	**29**	74	SW	0	SW	0	SW	1	2	3	8	0.1	∴ 12¾, 22¾–23, ⛥
20	10.0	17.1	10.2	12.4	2.3	625.1	625.0	626.4	79	44	88	SW	0	SW	0	NE	0	9	8	10	3.0	∴ 17, ● 21–n mU
21	11.2	11.6	10.0	10.9	0.8	625.9	626.0	625.2	76	71	78	N	0	SW	2	W	0	10	10	8	1.1	● 11–p mU
22	9.7	14.9	11.0	11.9	1.7	624.0	622.7	623.1	79	49	71	SW	0	W	1	W	0	10	9	10	.	
23	9.0	16.2	11.3	12.2	1.9	625.8	625.7	625.8	90	43	69	W	0	W	1	NW	0	10	8	10	0.0	● 18–n mU
24	7.8	17.6	9.8	11.7	1.3	624.3	622.5	623.2	91	48	88	NW	0	SW	1	NW	0	8	10	10	2.8	● 13¾–n mU
25	10.2	14.9	8.8	11.3	0.9	622.6	622.6	623.1	89	51	76	SW	0	SW	0	NW	0	10	10	10	.	
26	10.1	12.5	10.3	11.0	0.5	622.9	623.0	621.9	77	74	86	W	0	SW	0	SW	0	10	10	10	3.4	● 11–p mU, n (26./27.)
27	10.8	14.0	9.5	11.4	0.8	621.4	621.5	622.3	86	56	68	NE	0	SW	0	N	0	10	9	9	0.0	● n–a mU
28	9.0	18.0	12.4	13.1	2.5	621.0	619.5	618.7	73	38	78	SW	0	SW	2	W	0	8	10	10●	10.9	● 21–n mU
29	7.4	11.8	3.0	7.4	–3.3	615.8	**613.2**	**613.2**	75	55	100	NW	2	NE	0	NW	0	10●	10	10	**17.0**	● n–n mU, ⛥
30	4.0	8.5	5.2	5.9	–4.9	617.1	619.0	621.2	98	56	65	W	0	W	1	NE	0	10	10	10●	1.6	● n–n mU
Mittel	7.6	13.7	8.4	9.9	—	623.5	623.0	623.6	78	50	72							7.2	8.2	7.9	Summe 51.3	

Juni 1959
Beobachter: *Couvent des Capucins*

Sion

$\lambda = 7° 22'$, $\beta = 46° 14'$,
$H_b = 548.6$ m, G = –0.14 mm

1	**10.8**	21.4	15.9	16.0	–0.4	717.7	718.0	718.7	67	40	57	SW	0	SW	1	W	0	1	2	1	.	
2	14.8	23.4	16.8	18.3	1.8	720.9	719.1	719.2	67	46	56	N	0	W	2	W	0	7	6	0	.	
3	15.1	25.0	18.4	19.5	2.9	720.6	717.9	718.7	64	42	54	NE	0	SW	1	W	0	0	1	0	.	
4	17.2	26.8	21.5	21.8	5.1	718.6	714.8	713.8	62	42	49	N	0	W	2	W	0	0	1	3	.	
5	18.9	23.4	16.3	19.5	2.7	714.2	712.7	716.3	66	54	82	N	0	W	0	W	0	4	10●	10	**13.7**	● 13¾–20¾, tr 21½, ⛥
6	17.2	25.8	20.1	21.0	4.1	716.0	713.9	713.9	77	48	57	W	0	WSW	1	W	0	0	4	3	0.2	⸗ 17½–19
7	18.2	25.2	17.4	20.3	3.3	714.1	713.1	715.9	70	47	88	W	0	W	1	W	0	1	8	10	1.5	● 0–1, 18¾–20¾, ⸗ 17
8	18.0	20.8	16.8	18.5	1.4	716.5	716.1	716.8	79	65	68	W	1	W	2	W	2	10	5	10	.	
9	17.5	18.7	15.6	17.3	0.1	716.9	715.6	715.4	70	62	69	W	0	WSW	1	WSW	1	9	10	10	0.7	● 15½–16, 17¾, tr 20
10	13.1	18.2	19.2	16.8	–0.5	717.6	717.6	718.9	63	**37**	47	W	2	WSW	1	W	0	4	8	4	.	
11	14.4	18.8	12.5	15.2	–2.1	719.9	718.7	719.8	58	38	46	WSW	0	WSW	1	N	0	4	6	5	.	
12	13.2	18.2	13.9	15.1	–2.3	718.7	717.6	718.6	55	**37**	52	N	0	W	0	W	0	3	8	3	.	
13	12.6	20.0	15.7	16.1	–1.4	720.0	718.1	719.7	73	46	65	W	0	W	0	W	1	8	8	3	.	
14	14.8	24.1	19.5	19.5	1.9	**721.2**	718.4	718.3	75	47	60	W	1	W	1	W	1	8	2	1	.	
15	17.2	24.3	21.0	20.8	3.1	719.3	716.5	715.9	65	54	56	W	0	W	2	W	2	1	3	4	.	
16	19.1	27.5	19.7	22.1	4.3	715.9	714.0	714.6	66	42	60	W	0	W	2	W	0	2	3	1	.	
17	17.7	26.9	22.0	22.2	4.3	717.9	715.4	715.5	66	47	54	W	0	W	1	WSW	0	1	2	3	3.7	
18	17.4	26.4	19.3	21.0	3.1	718.3	716.3	717.7	80	42	63	WSW	0	WSW	1	NE	0	7	9	1	1.7	● 1–2½, ∴ 14–14¾, 17¾
19	18.3	**29.9**	16.2	21.5	3.5	718.4	715.8	718.8	66	37	92	NE	0	NNE	0	ENE	1	1	3	8●	9.2	● 19¾ n, ⸗ 18½–19
20	17.3	21.7	20.1	19.7	1.6	718.0	716.7	717.4	74	62	71	E	0	E	1	E	0	7	5	9	0.6	● 10¾–12¾
21	19.1	20.3	18.2	19.2	1.0	717.5	717.9	717.7	77	63	71	NE	0	ENE	0	W	1	8	7	10	4.2	● 10½–12¾
22	18.5	23.9	20.1	20.8	2.5	719.1	718.3	719.3	87	58	71	W	0	W	0	W	0	10	8	10	.	
23	18.8	27.8	20.7	22.4	4.0	718.8	716.4	716.9	75	45	60	W	0	W	0	W	0	1	4	2	.	
24	19.5	26.7	19.2	21.8	3.4	716.4	713.5	713.9	68	50	71	W	0	W	1	W	0	3	6	8	0.0	● tr 18½–19
25	18.5	25.9	21.7	22.0	3.5	714.9	712.7	714.2	74	53	57	WNW	0	W	0	W	0	7	8	7	0.0	∴ 16
26	18.7	18.0	17.7	18.1	–0.5	714.1	715.7	715.2	77	83	93	W	0	W	0	W	0	8	10	10●	12.7	● 8–13½, 19–22½ mU
27	17.6	23.2	19.2	20.0	1.3	715.3	714.1	714.4	84	54	61	W	0	WSW	3	W	2	9	5	2	.	⸗ a–p
28	20.1	23.8	19.8	21.2	2.4	714.6	712.0	**710.0**	62	53	60	WSW	0	WSW	2	WSW	0	4	5	8	10.0	
29	14.8	18.8	11.7	15.1	–3.7	711.0	**710.0**	712.3	85	52	87	W	1	WSW	2	W	1	10	5	9●	4.0	● 2½ 7¾, 11, 20½–24
30	12.5	15.8	12.7	13.7	–5.2	713.1	714.0	717.4	83	65	70	W	0	W	0	W	0	9●	9	3	1.1	● 2–4, 7¾–12 mU
Mittel	16.7	23.0	18.0	19.2	—	717.2	715.7	716.5	71	50	65							4.9	5.7	5.3	Summe 63.3	

$\lambda = 8°\,58'$, $\beta = 46°\,00'$,
$H_b = 276.2$ m, G = −0.04 mm

Lugano

Juni 1959
Beobachter: *A. Tison*

Tag	Lufttemperatur 7³⁰	13³⁰	21³⁰	Mittel	Abweich. vom Normalst	Luftdruck 7³⁰	13³⁰	21³⁰	Relative Feuchtigkeit 7³⁰	13³⁰	21³⁰	Windrichtung und Stärke 7³⁰	13³⁰	21³⁰	Bewölkung 7³⁰	13³⁰	21³⁰	Niederschlag	Witterung
1	**10.3**	24.3	17.3	17.3	−0.6	737.4	738.2	740.2	87	41	61	N 1	SSE 1	N 1	0	2	3	.	
2	15.6	26.3	17.0	19.6	1.6	742.2	741.0	742.2	70	42	63	E 0	S 1	NNW 1	4	3	2	.	
3	14.4	26.3	19.7	20.1	1.9	**743.2**	741.2	741.3	77	41	72	NE 1	S 1	N 1	0	7	1	.	
4	16.4	28.3	20.3	21.7	3.4	740.0	737.3	737.0	87	41	72	NE 0	S 1	NNW 0	0	5	2	.	
5	18.1	19.3	18.0	18.5	0.1	737.4	738.6	738.5	90	78	91	E 0	WSW 1	N 1	10	10●	10●	30.4	● 10¾–11¼, 20¾–21½
6	16.7	25.7	19.8	20.7	2.2	738.6	738.2	738.0	92	48	73	NW 1	S 1	WSW 0	9●	5	10	3.2	● 1½–2½, 21¾ 23½, K
7	17.8	24.3	20.0	20.7	2.1	737.7	737.4	738.3	79	57	84	W 0	S 1	N 1	8●	7●	10	5.2	∀ 16¾–17¼
8	17.7	28.1	21.4	22.4	3.6	738.2	737.0	736.6	82	42	72	NE 0	S 1	N 1	5	4	1	5.7	∀ n (8. 9.)
9	17.7	17.3	18.0	17.7	−1.2	736.9	737.0	735.0	85	94	88	NNE 1	S 1	N 1	9●	10●	10	14.6	∀ 7, 11½–14½ mU
10	17.7	23.0	17.8	19.5	0.5	735.6	736.6	739.1	27	**21**	24	N 3	NNE 2	NNE 2	2	1	1	.	⸗ n–n mU
11	15.2	22.6	16.0	17.9	−1.2	739.4	739.3	741.1	49	23	28	NNE 1	NE 2	NNE 2	2	3	2	.	⸗ n–n mU
12	14.1	22.3	18.4	18.3	−0.9	739.2	738.4	739.0	30	24	27	NNE 2	N 2	NNE 3	1	7	10	.	⸗ n–n mU
13	14.6	19.4	16.1	16.7	−2.6	740.6	740.7	741.1	64	50	80	NNE 1	ESE 1	N 1	9	10	8	.	
14	14.9	28.8	21.1	21.6	2.2	741.4	740.2	741.3	79	25	36	S 0	NNE 2	NNE 1	5	3	1	.	
15	16.3	27.6	20.9	21.6	2.1	741.7	738.9	738.4	72	37	73	E 0	S 1	N 1	6	3	2	.	
16	17.4	26.2	21.4	21.7	2.1	737.3	736.3	737.3	79	54	76	E 0	S 1	S 1	2	5	7	4.8	∀ n (16./17.)
17	17.4	25.8	19.4	20.9	1.2	740.2	740.9	741.4	90	48	81	SSE 1	SW 0	W 1	10●	6	8	0.0	∀ 1, K
18	19.2	24.2	20.8	21.4	1.6	741.6	740.8	740.8	82	55	72	W 1	S 1	SSW 1	9	9	2	.	● tr 18½
19	17.4	**29.3**	22.9	23.2	3.3	741.5	740.0	739.7	77	42	74	NNW 0	S 1	ESE 1	1	2	10	.	
20	18.7	25.0	20.4	21.4	1.4	739.9	740.8	740.8	82	52	79	NW 0	SSE 1	N 1	7●	5	2	0.5	∀ 10½–11½
21	18.6	18.4	17.4	18.1	−2.0	740.9	742.2	741.7	92	89	91	N 1	S 0	NW 1	9●	10●	10	29.5	∀ 5¼–5½, 8¼, 9–9½, *)
22	17.2	27.9	20.9	22.0	1.8	741.3	740.3	740.3	91	41	76	N 1	S 1	N 1	7●	3	2	.	
23	18.6	28.4	23.0	23.3	3.0	739.9	738.4	738.4	82	47	75	SE 0	S 1	N 1	3	5	6	2.3	
24	19.9	26.7	18.9	21.8	1.4	739.4	737.4	737.8	88	51	93	SW 1	S 1	N 1	9●	9●	10●	6.7	● 3½–3¾, 17½–21½ mU, K
25	18.9	26.4	19.6	21.6	1.1	737.4	736.4	737.2	81	49	87	S 1	S 1	N 1	6	8	2	.	
26	20.1	20.4	16.9	19.1	1.4	737.5	737.5	737.1	90	83	96	S 1	N 1	N 1	10●	10●	10●	44.3	∀ 8, 10¼ 11, ● 18½–n, K
27	17.4	27.1	20.6	21.7	1.1	735.1	734.7	735.2	93	46	85	N 0	S 1	NNW 1	10●	2	3	0.2	
28	18.7	27.4	19.6	21.9	1.2	735.1	733.4	732.4	80	48	92	NNE 0	SSE 1	W 1	7	6	10●	33.4	∀ 21¼–22¾, K
29	17.2	20.9	18.4	18.8	−2.0	729.1	**727.8**	728.9	97	65	28	NNW 1	NNE 1	NNE 2	10●	9	5	**74.0**	∀ 7–7½, 14–16½, K
30	15.6	23.1	18.2	19.0	−1.8	731.8	732.7	735.4	52	30	30	NNE 1	N 1	NNE 1	6	9	2	.	
Mittel	17.0	24.7	19.3	20.3	—	738.6	738.0	738.4	77	49	69				5.9	5.9	5.4	Summe 254.8	

*) **21.** 13¾–14¾, ● n (20./21.), K

$\lambda = 7°\,35'$, $\beta = 47°\,33'$,
$H_b = 317.3$ m, G = 0.08 mm

Basel

Juni 1959
Beobachter: *Astronom.-Meteorol. Anstalt*

1	12.2	22.8	14.9	16.6	2.0	737.0	735.8	738.9	83	**37**	75	SE 1	NNE 1	W 1	0	1	10	2.9	
2	13.7	20.8	14.0	16.2	1.5	740.9	740.5	740.3	100	58	80	SW 0	ESE 1	NNW 0	10	8	2	.	● 2¾–6¼
3	14.3	25.0	15.0	18.1	3.3	740.4	738.8	738.1	88	41	85	E 0	ESE 1	SSW 1	2	7	0	.	
4	17.4	27.6	17.2	20.7	5.8	737.5	735.3	733.6	72	**37**	83	ESE 0	NNW 1	SW 1	1	6	1	.	
5	17.9	27.4	18.6	21.3	6.3	732.8	732.4	733.0	74	43	76	E 1	W 1	NNW 1	4	4	10	0.0	● tr 20½
6	19.5	27.0	18.6	21.7	6.6	733.9	733.6	733.0	75	39	85	ESE 1	SSW 1	SW 1	6	4	6	.	
7	19.1	23.6	18.6	20.4	5.2	733.3	734.0	735.7	85	66	81	SW 0	WNW 1	NW 1	8	9	10●	10.0	● 21¾–n
8	14.0	13.0	11.8	12.9	2.4	736.1	737.9	737.0	100	100	76	WSW 1	W 1	SSW 1	10●	10	3	4.9	● n 0½, 4¼ 13¼ mU
9	13.0	15.0	12.5	13.5	−1.9	736.3	736.1	736.0	97	92	93	E 1	SSE 1	WSW 1	10	10	9	1.9	● 8½–13¼ mU, 18¼
10	12.1	14.7	11.2	12.7	−2.8	738.7	739.5	740.5	76	51	84	WNW 1	WNW 2	S 1	5	10	10	0.2	
11	10.0	17.0	11.7	12.9	2.7	741.7	741.5	742.0	99	40	62	NW 1	NNW 1	NNW 1	10	7	10	0.2	● 7¼ 7¾ mU, 22½–23 mU
12	**8.9**	15.4	11.8	12.0	−3.7	741.5	741.0	741.5	97	62	93	N 1	NNW 2	SE 0	10	9	10	1.2	● 15½–15¾
13	11.6	12.7	12.8	12.4	3.4	740.5	741.7	742.1	100	98	100	NW 1	WNW 1	S 1	10	10	10	1.5	● 4¼–8¼ mU, 11¼–12, 16–19¼ mU
14	13.0	21.0	14.6	16.2	0.3	**743.0**	742.2	741.8	91	69	71	WNW 1	NNW 1	NW 0	10	6	2	.	
15	13.1	23.2	15.7	17.3	1.3	739.7	738.3	736.4	81	47	86	NW 1	NNW 1	SSW 1	3	2	1	.	
16	13.0	19.8	14.5	15.8	−0.3	736.4	736.0	735.9	93	60	65	NW 1	NW 1	WSW 1	9	3	4	.	
17	13.6	25.1	17.4	18.7	2.5	736.6	736.5	735.4	78	44	92	E 0	NNW 1	SSE 1	0	1	2	0.6	⌒ 17½
18	16.5	22.8	18.5	19.3	3.0	736.1	735.9	736.2	100	70	97	SSE 1	SSE 2	E 1	9	9	9	13.0	● 3¼–8¼ mU, 13¼–15, 18¼, K ▲
19	18.4	**29.0**	20.6	22.7	6.3	736.8	735.9	735.5	85	43	76	ESE 1	WNW 1	SSW 1	1	4	9	.	
20	17.3	26.0	18.7	20.7	4.2	736.2	735.8	735.6	78	57	94	NE 0	NNE 1	SSW 1	9	7	4	.	
21	18.2	23.0	16.2	19.1	2.5	736.0	735.7	736.3	97	72	100	E 0	NW 1	SE 0	7	10	7	**28.7**	● 8, 14¾, 17½ 20 mU, K
22	18.8	23.5	18.7	20.3	3.6	737.8	738.2	738.9	95	70	93	SSE 1	WNW 1	SSE 1	9	8	7	.	
23	18.5	26.1	19.3	21.3	4.6	738.5	737.1	737.0	96	52	90	S 0	NW 1	ESE 1	8	3	4	.	
24	17.0	24.4	19.4	20.3	3.5	735.8	734.5	733.2	100	65	99	N 0	ENE 1	SSW 1	10	6	7	.	
25	19.3	21.1	18.6	19.7	2.8	733.4	733.8	733.4	87	88	96	E 0	E 1	E 1	10	10	5	6.1	● 8¼–10¼, 13¾–14¾ mU
26	17.2	21.7	17.2	18.7	1.7	733.5	733.5	733.8	100	100	100	E 0	NW 1	SE 0	10	10	10	22.1	● 7¼ 9¼ mU, 13½ 15½, K
27	18.6	24.3	16.6	19.8	2.7	734.2	733.9	734.2	91	50	93	W 1	W 1	S 1	8	6	7	1.3	● 1¼ 4 mU
28	16.0	20.3	15.4	17.2	0.1	734.0	733.7	731.0	73	59	96	WSW 1	WNW 2	WNW 1	10	9	10●	14.9	● 3 3¼, 18½ n mU
29	13.8	18.8	12.9	15.2	2.0	**729.3**	730.2	730.8	100	56	80	WSW 1	WSW 2	WNW 1	10●	8	10	2.3	● n 8 mU
30	12.7	17.6	13.5	14.6	2.7	732.0	732.9	736.2	93	58	80	WSW 1	WSW 2	WSW 1	9	7	10	2.4	● 2½ 3½ mU, 15¼, 23½ n
Mittel	15.3	21.7	15.9	17.6	—	736.7	736.4	736.4	90	61	86				7.3	6.8	6.6	Summe 115.2	

Juni 1959
Beobachter: *Observatorium*

Säntis

$\lambda = 9° 21'$, $\beta = 47° 15'$,
$H_b = 2500.1$ m, $G = -0.29$ mm

Tag	Lufttemperatur					Luftdruck			Relative Feuchtigkeit			Windrichtung und Stärke						Bewölkung			Niederschlag	Witterung
	7^{30}	13^{30}	21^{30}	Mittel	Abweich. vom Normalst	7^{30}	13^{30}	21^{30}	7^{30}	13^{30}	21^{30}	7^{30}		13^{30}		21^{30}		7^{30}	13^{30}	21^{30}		
1	−3.0	2.0	0.2	−0.3	1.8	564.1	566.0	567.8	100	92	100	NE	3	SE	1	NW	2	10≡	10≡	10≡	0.0	≡ n-n mU
2	−0.2	4.0	0.4	1.4	−0.2	568.3	569.2	569.7	100	95	98	W	2	W	1	W	2	10≡*	10≡	3	3.0	∀ 6¾–12 mU, ≡ n–15¾
3	3.2	7.8	4.9	5.3	3.6	569.3	569.8	569.8	60	82	94	NNE	1	SW	1	W	2	8	9	1	.	⊕ 7½
4	4.7	9.4	6.4	6.8	5.0	568.8	568.1	566.8	88	78	57	NW	2	SW	2	W	1	10	9	1	.	≡ 7–8 mU
5	8.8	6.8	5.7	7.1	5.2	565.2	565.6	565.6	74	98	79	C	0	W	2	W	2	3	10≡●	9	9.0	∀ △ 12¾–15½ mU, *)
6	4.4	8.6	6.4	6.5	4.5	565.8	566.4	566.0	98	82	86	WSW	2	W	2	S	1	9	9	4	1.9	∀ 6¾–8 mU, 15¾–17½
7	7.8	5.2	4.8	5.9	3.8	565.2	566.0	566.9	74	92	100	SE	2	N	2	E	2	4	10≡●	10≡●	35.8	∀ 11–15½ mU, 17½–n mU,*)
8	7.3	5.4	3.2	5.3	3.2	566.2	566.6	566.7	88	100	100	C	0	W	2	W	2	10≡	10≡●	10≡	2.3	∀ 10½–17 mU, ≡ 6¾–n mU
9	2.0	2.9	0.6	1.8	−0.4	565.4	564.9	563.9	100	100	100	W	2	W	2	NW	2	10≡	10≡	10●≡*	24.4	● 13½–15, ● ✳ 15-n, ≡ n-n
10	−4.6	−3.2	−3.5	−3.8	6.1	564.2	565.0	566.3	100	100	100	NNE	2	N	1	NW	2	10−*	10≡*	10≡*	13.6	✳ n-8, ∀ 10¾-n mU, ≡ ⋁ n-n
11	−4.6	−4.4	−5.0	−4.7	−7.1	565.9	566.4	567.2	100	100	100	N	3	NNE	1	N	1	10≡*	10≡*	10≡*	20.3	∀ △ n-n mU, ≡ ⋁ n-n, ⛷
12	**−5.2**	−3.4	−2.6	−3.7	−6.2	566.4	567.0	567.9	100	100	100	NE	2	E	2	NE	3	10≡*	10−*	10≡*	5.4	✳ n-n mU, ≡ ⋁ n-n
13	−0.4	0.0	1.7	0.4	−2.2	566.9	568.2	569.8	100	100	100	NE	3	N	3	N	3	10≡*	10≡*	10≡●	22.0	✳ n-16, ● 16-n, ≡ n-n
14	1.6	2.4	0.9	1.6	−1.1	569.8	570.9	**571.0**	100	100	100	NE	3	NNE	2	NE	2	10≡●	10■●	10≡	.	● n–13¾, ≡ n-n
15	5.1	7.2	3.9	5.4	2.6	568.4	568.7	567.8	**36**	79	79	E	2	NNE	2	NNW	2	7	9	1	.	≡ 16½–18½
16	3.2	5.0	2.4	3.5	0.7	565.7	566.0	566.1	86	91	67	W	3	NW	3	W	3	7	9	10	.	≡ 8–10½, 14–20 mU
17	3.8	8.8	6.1	6.2	3.3	566.6	568.1	568.7	100	70	97	WSW	3	W	2	W	2	10≡	5	10	9.6	∀ 20-n mU, ≡ n–10½
18	5.2	8.7	5.4	6.4	3.4	568.4	569.1	569.3	92	81	100	W	3	WSW	2	W	3	9	4	10■	6.8	∀ 16 17¾, ≡ 15¾-n mU
19	6.2	11.3	8.0	8.5	5.4	569.3	569.8	569.2	88	67	88	W	2	W	2	W	1	1	5	8	11.6	
20	6.8	**11.8**	7.2	8.6	5.4	568.4	568.9	569.1	79	84	100	WSW	2	S	1	SSW	2	4	10	10≡	0.0	∀ 16–17¾
21	7.8	10.2	6.0	8.0	4.7	568.5	568.7	568.4	74	82	90	S	2	**SW**	2	SW	2	8	9	5	.	
22	4.8	6.0	5.0	5.3	1.9	568.6	569.5	569.9	100	99	100	W	2	W	2	W	3	10≡●	10≡	10≡●	8.4	∀ n-n mU, ≡ n-n
23	5.0	5.4	5.2	5.2	1.7	569.2	569.2	569.2	100	100	89	W	2	W	2	WNW	2	10≡	10≡●	3	3.9	● 9¼–15, ∀ 17¾–19 mU,*)
24	9.7	10.0	6.4	8.7	5.2	567.3	567.2	566.2	79	75	87	SW	1	W	2	W	2	1	9	4	5.6	∀ 12½ 16¾ mU
25	5.7	2.9	5.4	4.7	1.1	565.7	565.8	566.5	100	100	100	NW	2	W	3	W	3	10−●	10≡●	10≡	20.9	∀ n-14½ mU, ≡ n-14½, 20-n, ⛷
26	7.4	4.7	5.2	5.8	2.1	565.6	565.7	565.5	75	100	100	W	2	SW	3	W	2	10	10	10≡●	29.0	∀ 6¾–8 mU, ● 11¾–15½ mU,*)
27	4.0	4.2	4.4	4.2	0.4	565.2	565.5	565.6	100	100	100	N	3	W	2	W	2	10≡●	10≡●	10≡	2.2	● n 8½, 11½–14¾, *)
28	3.2	7.5	5.0	5.2	1.3	564.0	563.5	562.1	100	82	100	WSW	3	WSW	2	W	2	10≡	8	10≡	24.6	● ☽ n (28./29.), ≡ n-11, 16¾-n
29	0.1	−1.5	−1.1	−0.8	−4.8	558.8	**558.2**	558.9	100	100	100	WSW	3	W	3	WNW	3	10≡*	10≡	10≡	**41.2**	● ✳ n -12¾ mU, *)
30	−2.4	−1.2	−1.6	−1.7	−5.8	559.4	561.2	569.3	100	100	100	W	2	W	3	WSW	3	10≡*	10≡*	10≡	23.4	✳ n-n mU, ≡ ⋁ n-n
																					Summe	
Mittel	3.2	4.8	3.2	3.7	—	566.3	566.8	567.1	90	91	94							8.4	9.2	8.0	324.9	

*) **5.** ≡ 12½–14¾ **7.** ≡ 13½, 17¾-n **23.** ≡ n–17 mU **26.** 18¾-n, ≡ 17¼–n **27.** 17¾–19, ≡ n–n mU **29.** ✳ 16–n mU, ≡ n-n ⛷

Juni 1959
Beobachter: *E. Chiesa*

St. Gotthard (Hospiz)

$\lambda = 8° 34'$, $\beta = 46° 33'$,
$H_b = 2095$ m, $G = -0.27$ mm

1	0.1	6.1	2.7	3.0	−0.7	592.4	594.1	596.2	98	60	96	NW	2	NW	2	NW	1	10≡	3	6	.	≡ n–11¾
2	2.4	7.6	3.3	4.4	0.6	594.9	597.5	597.5	96	61	92	NW	1	NW	2	NW	1	10≡	6	3	.	≡ n–11¾
3	4.3	12.2	7.0	7.8	3.9	597.6	597.9	598.3	58	**32**	84	NW	1	NW	1	NW	1	0	0	0	.	
4	6.8	13.3	8.0	9.4	5.4	597.2	596.2	595.2	81	46	88	NW	1	NW	1	NW	1	0	0	3	.	
5	8.0	7.8	6.3	7.4	3.3	593.6	594.3	594.3	82	86	94	SE	0	SE	0	SE	0	6	10≡●	10	8.9	● 10¾–19, ≡ 10–19 mU
6	6.2	11.4	7.0	8.2	4.0	594.3	594.7	594.3	84	65	97	SE	0	NW	0	SE	1	0	9	10≡●	1.6	● 21 n, ≡ 20½ n
7	6.2	11.4	5.5	7.7	3.4	593.9	594.1	594.4	95	60	96	SE	1	SE	0	SE	1	6	3	10≡●	4.7	● 20½–n, ≡ 20¾-n
8	6.6	11.2	5.0	7.6	3.2	594.8	595.1	595.1	92	66	99	NW	0	NW	0	NW	1	9	9	10≡☽	0.8	☽ ≡ 15–n
9	4.0	8.0	3.2	5.1	0.6	594.0	593.6	582.4	99	76	99	NW	1	NW	1	NW	2	10≡☽	10	10−☽	6.0	☽ ≡ n-9½, 15¾-n, ✳ n (9./10.)
10	−2.0	1.2	0.1	−0.2	−4.8	592.5	593.4	594.2	99	72	78	NW	2	NW	3	NW	3	10≡*	6	9	1.6	✳ n-7½, ≡ n-11½, *)
11	−0.1	0.2	3.0	−1.0	−5.7	593.9	594.8	595.1	79	90	98	NW	3	NW	3	NW	3	10≡*	10≡	10≡*	4.8	✳ 7½, 17-n mU, ≡ ⛷ n-n, ⋁ I
12	**−3.4**	−1.0	−0.8	−1.7	−6.5	593.9	594.5	595.4	97	89	99	NW	2	NW	2	NW	3	10≡*	10	10≡	2.2	✳ n-7½, ≡ n-11, *)
13	0.4	1.7	2.6	1.6	−3.3	595.5	596.3	597.3	99	99	100	NW	2	NW	3	NW	2	10−☽	10≡☽	10≡☽	5.0	☽ n-20½, ● 20½-n, ≡ n-n.*)
14	3.3	7.4	4.6	5.1	0.1	597.6	**598.6**	**598.6**	98	80	90	NW	2	NW	1	NW	2	10≡☽	6	10≡	.	☽ n a, ≡ n-10¾, 19¼ n
15	5.4	11.0	6.9	7.8	2.7	597.1	596.9	596.1	45	57	98	NW	0	NW	2	NW	2	0	0	10−	.	≡ 19¾–n
16	6.0	9.6	5.9	7.2	2.1	594.6	594.4	594.5	81	71	98	NW	1	NW	1	NW	1	1	6	10≡	.	≡ 17¼–n
17	7.2	6.2	8.8	7.4	2.2	595.3	596.3	597.4	77	62	80	NW	0	SE	0	SE	1	0	6	10	.	≡ 17½–20½
18	8.5	11.2	9.0	9.6	4.3	597.1	597.4	597.5	92	63	65	SE	0	NW	1	NW	1	9	6	3	.	△ I
19	9.0	**15.8**	9.2	11.3	5.9	597.5	597.7	597.7	60	42	70	NW	0	SE	0	SE	1	0	3	10	5.0	● 19 21, △ I
20	8.8	9.4	9.2	9.1	3.6	596.9	597.2	597.8	71	97	99	SE	0	SE	1	SE	1	3	10≡	10≡	0.3	≡ 12–14¾, 20½ n mU, △ I
21	7.8	9.0	7.1	8.0	2.4	597.2	597.6	597.3	97	80	82	SE	0	**SE**	1	SE	0	10≡☽	9	10	11.4	● 7¾–12½ mU, 14–15¾ mU, *)
22	7.2	11.2	7.0	8.5	2.8	597.4	597.9	598.4	81	66	99	NW	0	NW	1	NW	2	10	9	10	0.2	● 18¾–19, ≡ 18–19
23	6.8	12.8	8.8	9.5	3.7	597.5	597.5	597.2	96	59	89	NW	2	NW	1	NW	1	10≡	6	0	.	≡ n–8¾, △ I
24	9.2	13.6	8.3	10.4	4.5	595.9	595.1	594.4	72	75	92	SE	0	SE	0	NW	0	0	6	3	.	△ I
25	8.4	11.4	8.9	9.6	3.6	594.0	594.5	594.7	78	72	84	NW	1	NW	1	NW	0	3	6	3	.	● 11¾–12, △ I
26	8.8	7.8	7.2	7.9	1.8	594.2	594.4	593.8	94	99	99	SE	1	SE	1	NW	1	10	10≡	10≡	5.8	● 10 n mU, ≡ 10-n, △ I
27	6.6	9.3	6.8	7.6	1.4	593.0	593.5	594.0	98	76	96	NW	2	NW	2	NW	2	10≡☽	9	6	.	☽ ≡ n–12½, △ I
28	6.8	14.5	9.2	10.2	3.9	592.8	592.2	589.9	92	50	99	NW	0	NW	0	SE	1	6	6	10−	13.1	● (28. 29.), ≡ 17¾-n mU, △ I
29	4.0	4.2	0.0	2.7	3.7	588.0	587.4	**587.3**	96	95	99	NW	1	NW	2	NW	3	10	10−	10−*	**16.0**	● 8 12 mU, ✳ 19¼ n, *)
30	0.0	3.6	0.7	1.4	5.1	588.0	590.2	592.0	99	74	97	NW	2	NW	2	NW	3	10−*	10	10≡●	7.0	✳ n-7½, ● 7½–10¾, 17½-n,*)
																					Summe	
Mittel	5.1	8.6	5.5	6.4	—	594.7	595.2	595.3	86	71	92							6.4	6.8	7.9	95.0	

*) **10.** 18–n mU, ⛷ a-n, ⋁ I **12.** 16¾–n mU, ⛷ n-n mU **13.** ⛷ n-n mU **21.** ≡ ☽ n-a **29.** ≡ 8¾–15½ mU, 15½–n, ⛷ p-n **30.** ≡ ⛷ n-n mU

$\lambda = 7°\,26'$, $\beta = 46°\,57'$,
$H_b = 572.2$ m, G = −0.04 mm

Bern

Juli 1959
Beobachter: *Meteorologisches Observatorium*

Tag	Lufttemperatur 7³⁰	13³⁰	21³⁰	Mittel	Abweich. vom Normalst	Luftdruck 7³⁰	13³⁰	21³⁰	Relative Feuchtigkeit 7³⁰	13³⁰	21³⁰	Windrichtung und Stärke 7³⁰	13³⁰	21³⁰	Bewölkung 7³⁰	13³⁰	21³⁰	Niederschlag	Witterung
1	**11.4**	14.2	12.7	12.8	4.4	717.8	720.0	**721.2**	91	78	86	SW 1	SW 1	SE 1	10	10	5	0.9	● 2½ 6½ mU, ∴ 8½ 9, *)
2	13.3	21.2	17.0	17.2	0.1	721.1	720.3	719.2	83	56	76	SE 1	WNW 1	S 1	9	5	1	.	
3	15.2	25.9	18.6	19.9	2.5	718.5	716.8	715.9	75	**29**	69	ESE 1	WSW 1	W 1	3	7	8	.	◬ I
4	17.7	26.4	21.2	21.8	4.4	715.5	714.5	714.7	64	31	63	SSE 1	N 1	ENE 1	2	1	0	.	
5	18.0	28.6	22.4	23.0	5.5	715.7	715.5	715.6	71	40	71	ESE 1	WSW 1	S 1	1	1	1	.	◬ I
6	19.3	28.5	20.0	22.6	5.0	716.5	716.5	718.0	67	49	77	SE 1	NNW 1	NNE 1	4	5	6	.	
7	19.3	25.4	21.6	22.1	4.5	718.1	717.2	716.4	82	59	68	NE 1	NE 1	ENE 1	0	5	1	.	
8	18.7	29.1	24.1	24.0	6.3	716.4	715.3	715.1	77	42	72	E 1	W 1	N 1	0	1	0	.	
9	20.7	29.7	24.4	24.9	7.2	715.9	714.5	714.3	79	44	71	SE 1	NW 1	W 1	8	1	1	.	
10	21.9	**30.0**	24.3	25.4	7.6	715.3	714.1	713.4	77	48	73	SE 1	NNE 1	WSW 1	1	1	5	.	
11	21.4	25.7	18.7	21.9	4.1	712.8	711.8	713.2	70	58	89	ESE 1	W 1	N 1	9	8	10	7.0	● 18¾–20¾, ⚿
12	18.7	28.5	19.6	22.3	4.4	712.2	710.8	712.3	82	48	73	W 1	W 1	SE 2	5	4	6	1.7	● 18¾–19
13	16.3	24.3	20.6	20.4	2.5	713.2	712.8	713.0	89	57	65	SE 1	W 1	NNE 1	10	4	6	.	∴ 4¾–5¾
14	17.9	26.0	18.1	20.7	2.8	712.6	710.7	710.1	76	48	81	SE 1	NNE 1	NE 1	3	6	9	1.3	● n (14-/15.)
15	15.8	15.4	14.4	15.2	−2.7	710.0	711.7	713.4	89	88	91	WNW 1	SE 1	SE 1	10●	10	10	3.0	● n–n mU
16	15.2	20.6	16.2	17.3	−0.7	713.5	713.2	714.8	88	58	78	ESE 1	N 1	NNE 1	7	7	0	.	
17	12.6	22.7	18.2	17.8	−0.2	716.5	716.0	716.1	93	44	67	NE 1	NNE 1	NNE 1	1	1	1	.	◬ I
18	15.2	24.7	19.6	19.8	1.8	715.1	713.9	714.1	81	48	58	E 1	NE 2	E 1	0	1	0	.	◬ I
19	15.0	25.9	20.2	20.4	2.4	715.0	714.7	714.7	78	40	58	SE 1	NNW 1	ENE 0	0	2	1	.	◬ I
20	17.5	27.4	21.0	22.0	4.0	714.7	714.1	714.5	76	43	70	SE 1	NE 2	NNE 1	0	2	4	.	
21	17.7	27.7	21.0	22.1	4.1	714.0	713.1	712.7	76	41	57	ESE 1	NE 1	NE 1	0	1	1	.	
22	16.9	27.5	21.5	22.0	4.0	712.4	711.4	711.1	69	32	56	SE 1	NE 1	NNE 1	0	1	1	.	
23	17.5	27.7	20.9	22.0	4.0	711.3	710.6	711.5	73	37	63	ESE 1	N 1	W 1	1	1	9	0.5	
24	18.1	21.3	19.6	19.7	1.7	711.7	711.6	711.6	86	69	60	S 0	NE 1	SE 1	10	10●	9	0.3	∴ 0¾–2¾, ● 5–6, 9¾–13 mU
25	17.6	26.9	21.4	22.0	4.0	712.6	711.7	711.9	74	42	65	SE 1	NNE 1	SE 0	3	3	5	.	
26	17.0	27.9	20.5	21.8	3.9	712.6	711.9	712.4	76	38	61	SE 1	WNW 1	SE 1	1	5	1	.	
27	17.5	29.4	22.0	23.0	5.1	713.5	712.7	712.1	66	35	64	SE 1	SW 1	SE 1	8	3	1	.	
28	19.8	28.0	22.0	23.3	5.4	712.1	709.9	709.1	71	53	67	SE 1	WNW 1	SSW 1	8	4	10●	**10.5**	∴ 21¾–22½ mU, ⚿
29	16.4	21.8	15.7	18.0	0.1	708.4	707.3	707.1	89	60	90	WSW 1	WSW 3	SW 1	9	4	9	6.7	● 1¼ 5½, 20¼ 21½, *)
30	15.5	19.5	13.6	16.2	−1.6	**707.0**	707.3	709.6	75	57	81	W 2	W 1	WSW 0	7	7	2	0.7	● 0–3½, ∴ 17½–19¾ mU
31	13.3	17.8	13.3	14.8	−3.0	710.5	711.4	713.8	84	63	90	SW 1	SW 2	WSW 0	10	7●	9●	9.7	● 8-9¾, 15¼-15¾, ∴ 14¾-15¼,*)
Mittel	17.0	25.0	19.5	20.5	—	714.0	713.3	713.6	78	49	71				4.5	4.1	4.3	Summe 42.3	

*) **1.** 10½–10¾ **29.** ∴ 7¾–10¾ mU, ⚿, ⚷ II **31.** 18¾–21½ mU, ⚿

$\lambda = 6°\,57'$, $\beta = 47°\,00'$,
$H_b = 487.3$ m, G = 0.00 mm

Neuchâtel

Juli 1959
Beobachter: *Observatoire Cantonal*

1	**11.8**	14.4	12.8	13.0	−4.9	724.9	727.7	**728.8**	90	67	84	W 1	WSW 1	W 1	10	10	5	1.8	● 1¾–2¾, 10–11¼
2	14.8	19.0	18.4	17.4	−0.5	728.6	728.0	726.4	77	64	59	SW 1	WSW 1	NW 2	10	8	0	.	
3	15.0	25.4	21.7	20.7	2.7	726.1	724.6	723.0	79	37	42	NNE 1	SSE 1	NNW 2	3	6	5	.	
4	16.6	27.8	22.9	22.4	4.3	723.2	722.1	722.2	70	38	49	ENE 1	SE 1	N 2	1	1	0	.	
5	17.6	27.8	21.5	22.3	4.1	723.0	723.0	722.9	85	44	48	NE 1	S 1	W 0	0	1	0	.	
6	18.8	28.2	20.5	22.5	4.3	723.7	724.0	725.1	81	40	67	NW 0	W 2	N 3	5	4	2	.	⚷ 18–n
7	19.7	27.1	22.5	23.1	4.8	725.5	724.7	723.8	82	51	52	NE 2	NE 2	NE 2	3	7	0	.	⚷ n–n mU
8	19.3	27.4	23.8	23.5	5.1	723.9	723.0	722.6	74	48	65	ENE 1	SE 1	SE 1	0	0	2	.	
9	20.4	31.0	24.5	25.3	6.9	723.3	722.1	721.4	89	34	54	N 0	S 1	NW 0	0	0	2	.	
10	21.3	30.3	25.5	25.7	7.2	722.9	721.5	720.5	85	38	61	NW 0	SE 1	NNE 0	2	0	10	.	
11	22.0	**31.3**	18.7	24.0	5.4	720.4	719.1	720.9	87	34	93	NE 0	S 2	NE 1	9	5	10●	2.9	● 15½–15¾, 18¼-23 mU, *)
12	19.2	26.4	17.2	20.9	2.3	719.5	718.4	719.9	88	47	93	NE 1	S 1	N 1	2	10	3	13.5	● 14–14¾, 17–19¼, ⚿ ▲, *)
13	18.5	26.2	21.0	21.9	3.2	720.6	720.1	720.3	92	41	47	NNE 1	SE 1	N 2	6	3	4	.	
14	18.0	25.3	19.9	21.1	2.4	720.3	718.5	717.6	79	46	61	N 1	S 1	NE 1	3	8	9	.	
15	17.6	18.0	16.4	17.3	−1.4	717.3	719.2	720.8	61	61	75	ENE 1	SE 1	W 1	10	10	9	.	
16	15.7	23.6	17.8	19.0	0.2	720.9	720.8	722.3	88	46	56	ENE 1	SE 0	NE 1	7	3	0	.	
17	15.3	25.1	19.2	19.9	1.1	724.1	723.4	723.6	87	39	55	NE 2	ENE 2	NE 2	8	1	0	.	
18	17.6	27.2	21.3	22.0	3.2	722.6	721.7	721.5	67	33	43	ENE 2	ENE 2	NNE 2	0	0	0	.	
19	16.0	27.5	22.8	22.1	3.3	722.8	722.1	722.1	79	40	46	NNE 1	SE 1	N 1	0	2	0	.	
20	18.1	29.4	22.7	23.4	4.6	722.2	721.5	721.9	83	36	30	NE 0	E 2	NE 1	0	4	1	.	
21	19.6	29.6	23.1	24.1	5.3	721.4	720.7	720.0	75	32	44	ENE 1	ENE 2	N 1	2	4	0	.	
22	17.4	30.8	23.8	24.0	5.1	719.9	719.0	718.5	82	**25**	40	NE 0	E 2	NNE 2	0	3	0	.	
23	17.7	31.1	21.4	23.4	4.5	718.8	717.9	718.6	78	29	65	NE 1	ENE 2	SW 2	0	0	10	2.4	⚷ 18¾–21½ mU
24	16.9	19.5	20.0	18.8	−0.1	719.1	719.1	719.0	94	92	52	WSW 0	NW 1	N 2	10●	10	10	6.3	● 3¼–8½, 10½–13¼, 19–19½,*)
25	17.7	27.8	22.0	22.5	3.6	720.0	719.2	719.4	76	40	47	ENE 1	SE 1	N 1	0	2	3	.	
26	17.6	28.7	20.8	22.4	3.5	720.1	719.4	719.8	82	36	43	N 0	S 1	NW 1	10	2	0	.	⚿
27	17.3	27.9	22.3	22.5	3.6	721.1	720.3	719.2	74	36	52	N 1	S 1	WSW 0	3	5	4	.	
28	21.8	26.1	22.8	23.6	4.8	719.6	717.4	716.2	59	51	54	WSW 1	NNW 2	WNW 2	7	8	10	**26.3**	● 22½, ⚿ ⚷ 13–n mU
29	15.4	23.2	16.1	18.2	−0.6	715.9	714.6	**714.2**	90	39	78	SW 2	SW 3	SW 2	10●	3	10	7.5	◕ 1–5, 6¾–7½, 19½–20½, *)
30	16.3	22.0	15.4	17.9	0.9	**714.2**	714.7	716.9	53	37	62	SW 2	SW 2	W 1	8	3	7	.	⚷ n 20 mU
31	15.3	19.7	15.0	16.7	−2.1	717.9	719.1	721.5	64	55	80	SW 1	SSW 2	SW 1	10	8	10	0.6	∴ 14, ⚷ 15
Mittel	17.6	26.0	20.4	21.3	—	721.4	720.9	721.0	79	44	58				4.5	4.2	4.1	Summe 61.3	

*) **11.** ⚿, ⚷ 15¾–16 **12.** ⚷ 13½–19 mU **24.** ⚷ 19–22 mU **29.** ⚿ ⚷ n–n mU

Juli 1959
Beobachter: *Eidg. Armeemagazine*

Altdorf

$\lambda = 8° 38'$, $\beta = 46° 52'$,
$H_b = 450.7$ m, G = –0.08 mm

Tag	Lufttemperatur					Luftdruck			Relative Feuchtigkeit			Windrichtung und Stärke			Bewölkung			Niederschlag	Witterung
	7^{30}	13^{30}	21^{30}	Mittel	Abweich. vom Normalst	7^{30}	13^{30}	21^{30}	7^{30}	13^{30}	21^{30}	7^{30}	13^{30}	21^{30}	7^{30}	13^{30}	21^{30}		
1	**11.8**	13.2	12.4	12.5	–4.8	727.4	730.1	**731.8**	85	84	93	NW 1	NW 1	SSE 0	10●	10●	10	6.1	● n–p
2	13.6	20.4	15.8	16.6	–0.8	731.7	730.2	729.5	86	53	82	S 0	NW 2	SE 0	10	6	1	.	
3	15.0	25.0	18.0	19.3	1.9	729.2	726.8	728.0	74	**49**	93	S 0	NW 2	S 0	5	4	5	0.0	● tr 8, ⏢ I
4	17.6	25.2	19.6	20.8	3.3	726.2	724.9	725.4	68	55	65	SE 1	NW 1	SSE 0	3	1	0	.	
5	17.2	26.6	20.0	21.3	3.8	725.5	725.3	725.9	76	57	75	NW 1	NW 1	SSE 2	0	1	0	.	⏢ I
6	18.4	17.6	16.6	17.5	–0.1	726.4	729.6	728.0	83	92	67	NW 1	SSE 2	SE 0	9	8●	10	10.7	● a–p mU
7	18.0	26.2	21.4	21.9	4.3	729.0	727.3	726.8	83	67	81	S 0	NW 2	NNW 0	1	4	2	.	⏢ I
8	18.2	26.2	21.1	21.8	4.1	726.7	725.6	725.5	86	64	82	SE 0	NW 1	S 0	0	1	0	.	⏢ I
9	20.4	29.0	23.6	24.3	6.6	725.9	724.2	724.6	79	57	79	SE 0	NW 1	S 0	2	3	0	.	⏢ I
10	21.6	**30.0**	25.0	25.5	7.8	725.3	724.2	723.0	84	59	70	SE 0	NW 2	SE 0	1	3	7	7.1	● a–p mU, n (10./11.), ⏢ I
11	20.6	28.0	18.6	22.4	4.6	723.7	721.4	724.7	82	57	90	NNW 0	NE 0	SSE 0	9	5	8	12.8	● p–n mU, ⛆
12	19.8	26.8	17.6	21.4	3.6	723.3	720.5	723.9	84	59	94	SSE 0	NW 0	S 1	9	5	10	6.0	● a–n mU, ⛆
13	17.6	25.0	19.6	20.7	2.9	723.2	722.7	723.2	83	65	95	SE 0	NW 2	S 0	2	3	9	0.5	● n (13./14.), ⏢ I
14	19.4	24.4	17.2	20.3	2.5	722.9	720.9	720.6	86	62	96	S 0	NW 1	NNW 0	3	6	10	**31.0**	● 15½–n mU
15	15.6	14.4	14.4	14.8	–3.1	719.6	722.0	723.6	96	92	95	NE 0	NW 2	NW 0	10●	10●	10	11.2	● n–n mU
16	14.6	20.8	16.4	17.3	–0.6	723.9	723.8	725.4	95	64	85	NW 0	NW 0	SE 0	10●	9	8	2.6	● n–a
17	14.0	21.4	17.0	17.5	–0.4	726.8	726.5	726.8	85	67	75	SE 0	NW 2	SSE 0	1	3	0	.	⏢ I
18	14.2	23.6	18.0	18.6	0.7	725.8	724.2	724.4	83	61	75	SE 0	NW 1	SE 0	0	1	0	.	⏢ I
19	15.8	24.2	19.2	19.7	1.8	725.6	724.8	725.4	79	54	77	S 0	NW 1	ESE 0	0	1	0	.	⏢ I
20	17.0	24.8	18.0	19.9	2.0	725.1	724.3	725.3	81	63	93	SE 0	NE 1	SSE 0	1	7	2	0.1	● tr 13½–p, ⛆, ⏢ I
21	17.0	26.0	19.6	20.9	2.9	724.7	723.1	722.8	83	59	65	S 1	NW 2	SE 0	2	5	0	.	⏢ I
22	17.2	26.2	19.6	21.0	3.0	722.8	721.7	721.5	78	50	78	SE 0	NW 1	SSE 0	0	1	0	.	⏢ I
23	17.8	26.0	21.0	21.6	3.6	722.0	720.7	721.7	87	58	61	SE 0	NW 1	SE 0	5	4	10	.	
24	18.2	22.0	19.2	19.8	1.8	721.7	722.0	721.8	88	66	80	SE 0	SE 0	SSW 1	10	10	10	1.1	● a–p mU
25	18.0	23.0	19.8	20.3	2.3	722.7	722.5	722.3	87	69	75	S 0	NNW 0	SSE 0	4	8	2	.	
26	17.6	23.8	17.0	19.5	1.5	722.7	722.2	722.9	81	53	87	SSE 0	SSW 1	SE 0	1	6	2	.	
27	18.0	27.0	20.4	21.8	3.8	723.6	723.0	722.5	72	50	70	SE 0	NW 1	SE 0	1	5	7	.	
28	19.0	26.0	18.8	21.3	3.3	722.4	719.8	719.6	74	64	96	SE 1	NW 2	SW 0	1	4	10	20.2	● 15–n mU, ⛆
29	17.8	17.8	17.4	17.7	–0.3	718.2	718.1	**716.1**	92	74	88	SW 0	N 2	NNE 0	10●	10	10	17.4	● n–n mU
30	14.6	16.8	14.0	15.1	2.9	717.1	717.5	720.0	95	80	94	S 0	NW 1	NE 0	10●	10●	10●	9.0	● n–n mU
31	13.2	15.8	12.6	13.9	–4.0	720.6	722.1	724.1	95	68	94	SE 1	W 0	SW 0	10	10	10	7.7	● n–n mU
																		Summe	
Mittel	17.1	23.3	18.4	19.6	—	724.2	723.6	724.1	83	64	82				4.5	5.3	5.3	143.5	

Juli 1959
Beobachter: *Observatoire*

Genève

$\lambda = 6° 09'$, $\beta = 46° 12'$,
$H_b = 405.0$ m, G = –0.05 mm

1	**12.3**	16.7	14.6	14.5	–3.9	733.4	735.0	736.1	87	55	76	WNW 1	WNW 1	NNE 1	10	9	5	.	
2	15.1	21.2	18.4	18.2	–0.3	**736.3**	734.8	733.6	72	49	68	SSE 1	NNE 1	N 1	6	2	0	.	
3	16.1	23.9	21.3	20.4	1.8	733.2	731.2	730.0	76	47	49	N 1	N 1	N 0	4	3	2	.	
4	17.5	24.8	23.2	21.8	3.2	730.0	728.6	728.6	67	43	55	S 1	NNE 1	N 1	0	1	0	.	
5	20.1	25.9	23.8	23.3	4.6	730.1	729.6	729.7	66	56	64	N 0	NNE 5	N 1	0	1	1	.	
6	21.7	28.0	22.9	24.2	5.4	731.0	730.6	731.4	69	49	66	SE 1	ENE 1	NNW 1	5	4	0	.	
7	19.7	24.8	22.8	22.4	3.5	732.1	730.9	730.1	83	64	74	NNE 2	NNE 2	NNE 1	10	6	1	.	
8	20.4	26.4	24.6	23.8	4.8	730.7	729.5	729.2	74	61	73	NE 1	NNW 1	W 0	3	2	0	.	
9	22.2	**31.2**	26.8	26.7	7.7	730.1	728.6	728.5	66	39	50	N 1	SW 1	SSW 1	2	2	3	.	
10	22.5	28.9	27.4	26.3	7.2	729.7	728.2	727.5	58	44	60	NNE 1	NE 1	SW 1	9	2	10	0.3	
11	23.5	30.7	23.9	26.0	6.8	727.4	726.1	726.6	63	36	54	W 1	SW 2	N 1	5	3	4	.	● 6¾–6½
12	20.4	29.8	22.0	24.1	4.8	726.5	725.7	726.4	70	43	60	N 1	SW 2	N 1	3	8	8	0.2	● 12¾–12½
13	21.4	28.0	23.4	24.3	5.0	727.6	726.8	727.0	70	42	53	S 2	S 2	NNE 1	8	2	3	.	
14	20.6	25.0	16.7	20.8	1.4	727.1	725.1	725.2	71	57	94	NNE 1	NNE 1	E 1	3	8	10	**32.6**	● 20¾–n mU, ⛆
15	16.2	18.3	17.2	17.2	–2.2	725.4	726.2	727.7	86	58	70	S 1	E 1	E 1	10●	10	7	0.5	● n–10¾
16	15.3	22.9	20.1	19.4	0.0	727.9	727.4	728.7	81	46	58	SSE 1	NNE 2	NNE 1	3	3	0	.	
17	16.8	23.1	20.7	20.2	0.8	730.7	729.8	729.8	79	51	60	N 1	N 2	NNE 1	2	0	1	.	
18	17.3	23.3	22.2	20.9	1.4	729.5	728.4	728.1	73	50	60	N 1	NNW 1	NNW 1	0	1	0	.	
19	19.1	25.8	22.7	22.5	3.0	729.4	728.8	728.6	69	52	58	N 1	NNE 2	NNE 1	0	0	0	.	
20	20.1	25.2	22.9	22.7	3.2	729.0	728.1	727.9	66	54	63	E 0	NNE 1	NNE 1	0	7	0	.	
21	19.5	25.9	23.1	22.8	3.3	728.0	727.0	726.5	74	52	50	S 1	NNE 2	NNE 1	0	1	0	.	
22	18.9	25.9	23.0	22.6	3.1	726.5	725.9	725.2	70	46	62	SE 1	N 1	N 1	0	1	0	.	
23	19.2	24.8	20.4	21.5	2.0	725.5	724.8	725.9	69	51	62	SE 0	NNE 1	ENE 1	0	8	10	2.0	● 16¾–17, ⛆
24	18.5	23.9	21.7	21.4	1.9	726.0	725.5	725.5	82	52	65	ENE 1	NNE 1	N 0	6	6	7	.	
25	19.2	24.4	22.7	22.1	2.6	726.9	725.8	726.2	79	58	56	S 1	N 1	NNW 1	2	3	3	.	
26	19.2	28.5	23.5	23.7	4.3	727.1	726.4	726.8	76	38	45	W 1	W 1	S 1	8	4	0	.	
27	18.3	29.6	25.0	24.3	4.9	728.2	727.3	726.4	62	**35**	46	SW 1	S 2	SSW 1	6	9	3	0.0	● tr 20 ¾
28	23.8	29.2	18.5	23.8	4.4	726.3	724.1	723.7	61	46	90	S 1	S 2	SW 1	0	3	9●	7.9	⛆ 20½–21½, 23¾–n, ⛆ ▲
29	17.8	23.1	19.4	20.1	0.7	723.7	722.4	**722.1**	77	48	53	S 1	S 2	S 1	9●	2	8	0.4	⛆ n–1½ mU, ● 2¼–4, 6–8¾ mU, ⛆
30	16.8	20.3	17.2	18.1	–1.2	722.3	722.7	724.1	59	50	62	S 2	S 1	SSW 1	8	9	9	0.2	● 6½, 15¼–15¾
31	14.4	20.4	14.3	16.4	2.9	726.0	727.0	729.3	73	49	84	ENE 1	S 2	ESE 1	10	8	10	2.4	● 10–10¼, 13¾–14¼, 16–16¾, 21–21½
																		Summe	
Mittel	18.8	25.2	21.5	21.8	—	728.5	727.7	727.8	72	49	63				4.3	4.1	3.7	46.5	

$\lambda = 8°\,34'$, $\beta = 47°\,23'$,
$H_b = 569.4$ m, $G = -0.01$ mm

Zürich

Juli 1959
Beobachter: *Meteorologische Zentralanstalt*

Tag	Lufttemperatur 7³⁰	13³⁰	21³⁰	Mittel	Abweich. vom Normalst	Luftdruck 7³⁰	13³⁰	21³⁰	Relative Feuchtigkeit 7³⁰	13³⁰	21³⁰	Windrichtung und Stärke 7³⁰	13³⁰	21³⁰	Bewölkung 7³⁰	13³⁰	21³⁰	Niederschlag	Witterung
1	**10.5**	11.4	12.0	11.3	−5.3	717.0	719.2	**721.4**	92	97	88	WSW 1	SW 1	SW 1	10●	10●	9	6.7	● 1½–3¾, 6¾–8½, 10½–16¾ mU
2	13.9	21.1	15.6	16.9	0.2	720.7	720.2	719.1	74	57	87	SSW 1	WNW 1	ESE 1	10	6	1	.	⊿ III
3	16.5	25.1	17.3	19.6	2.9	718.3	716.9	715.9	71	41	70	S 1	SW 1	WSW 0	2	6	6	.	⊿ I, III
4	17.0	26.3	20.0	21.1	4.3	715.9	715.1	715.5	80	38	71	S 1	SW 1	NE 1	1	1	1	.	⊿ I, III
5	17.6	27.0	21.0	21.9	5.0	715.7	715.7	715.7	77	43	60	ENE 1	WNW 1	N 1	0	1	1	.	⊿ I, III
6	20.0	22.9	17.8	20.2	3.3	715.9	717.3	718.1	75	62	91	S 0	S 2	WNW 1	4	6	2	9.7	● 10¾-12, 14-17½ mU, ⛆, ⊿ I
7	18.5	25.3	19.1	21.0	4.0	718.9	718.0	717.4	85	55	71	SSE 1	ENE 1	ENE 1	10	3	0	.	≡ 5¾–7 mU, ⊿ III
8	17.0	26.6	20.9	21.5	4.4	716.7	715.9	715.5	80	53	70	ENE 1	N 1	NNE 1	0	1	1	.	⊿ I
9	19.8	30.9	23.2	24.6	7.5	715.9	714.8	714.2	79	39	72	ESE 1	NW 1	NE 1	1	1	0	.	⊿ I, III
10	22.6	**31.3**	23.8	25.9	8.7	715.2	714.5	713.1	75	47	73	WSW 0	SSW 1	N 1	1	3	3	.	⊿ I, III
11	21.6	29.9	16.9	22.8	5.5	712.6	711.7	713.8	82	52	90	W 0	SSW 1	WNW 1	9	5	10	22.5	● 17½-21½, ⛆, ⛈ 17¾-19¾, ⊿ I
12	18.4	29.3	18.5	22.1	4.8	712.4	711.1	712.6	82	45	75	SW 0	S 1	S 1	9	4	10	2.0	● 16¼–18, ⛆, ⛈ 15¾–16¼
13	19.4	24.8	19.9	21.4	4.0	713.6	713.5	713.3	75	55	60	W 1	WNW 1	NW 1	8	5	10	.	⊿ III
14	17.4	26.3	17.9	20.5	3.1	713.0	711.4	710.5	72	43	89	NNE 1	WNW 1	NE 0	3	4	9	4.8	● 19¼–19¾, ⊿ I
15	15.0	13.3	14.0	14.1	−3.3	709.7	711.8	713.4	92	92	94	WNW 1	WSW 1	S 1	10●	10●	10	13.2	● 5¾–8, 9½–20¾ mU
16	13.9	21.1	13.9	16.3	−1.2	714.0	713.8	715.4	94	55	94	NW 0	WSW 0	NE 1	10≡●	5	1	0.6	● 6¼–8¾, tr 15½, ≡ 7¼–8¾, *)
17	13.5	20.5	15.6	16.5	−1.0	717.0	717.2	716.8	87	56	74	E 1	NE 1	NE 1	10	2	1	.	⊿ III
18	15.5	24.5	18.1	19.4	1.9	715.6	714.8	714.8	73	36	67	S 1	ENE 2	NNE 0	0	1	0	.	⊿ I, III
19	15.9	25.9	19.7	20.5	3.0	715.5	715.2	715.1	80	40	78	NNE 0	N 1	NNE 1	0	1	3	.	⊿ I, III
20	18.3	25.8	19.1	21.1	3.5	715.0	714.8	715.0	82	46	77	WSW 1	NNE 1	NNE 1	0	6	9	.	⊿ I, III
21	18.2	27.3	19.1	21.5	3.9	714.3	713.7	713.3	80	36	68	NE 0	NE 1	NE 1	0	1	0	.	⊿ I, III
22	17.4	27.7	18.9	21.3	3.7	712.8	712.0	711.7	69	39	54	SSE 1	NE 2	ENE 1	0	0	0	.	⊿ I, III
23	17.6	28.1	21.2	22.3	4.7	711.7	711.3	711.4	70	36	62	NE 1	ENE 1	ESE 1	1	1	3	.	⊿ I, III
24	19.1	20.8	19.0	19.6	2.0	711.6	711.8	711.5	70	80	87	SW 1	S 1	SSW 1	9	10	10	0.0	● tr 13½, ⊿ I
25	18.6	26.6	19.9	21.7	4.1	712.7	712.1	712.4	82	45	62	WSW 0	E 1	NE 1	2	5	0	.	⊿ I, III
26	17.6	26.3	18.7	20.9	3.3	712.5	712.1	712.6	84	42	77	ESE 1	W 1	S 1	0	2	0	.	⊿ I, III
27	18.3	28.3	21.2	22.6	5.0	713.3	713.0	712.2	72	**34**	66	S 1	S 2	NE 0	1	2	9	0.1	⊿ I
28	20.1	26.3	20.4	22.3	4.8	712.5	710.4	709.4	78	55	72	S 1	NNW 1	ENE 1	8	2	10	**26.5**	● 22¾–23¾, ⛆
29	16.3	18.9	15.9	17.0	0.5	708.2	707.9	**706.9**	84	67	74	SW 1	SSE 1	WNW 2	10	9	10	3.9	● 0 6¾ mU, 9 10½ mU, *)
30	15.1	18.0	13.3	15.5	−2.0	707.0	707.3	709.8	82	47	90	SSE 0	WSW 2	S 1	9	9	9	1.0	● 0–2¾ mU, 5½–7½, *)
31	13.4	15.8	13.5	14.2	−3.3	710.6	711.7	713.2	81	76	78	SW 1	SW 1	SSW 2	10	9	10	6.7	● 8½–8¾, 12½–13, *)
																		Summe	
Mittel	17.2	24.3	18.2	19.9	—	714.1	713.7	713.9	79	52	76				4.8	4.2	4.8	97.7	

*) **16.** ⛈ 14-14¾ **29.** 21½ 23¼, ⛆, ⛈ 9½ **30.** 19¼ 22¼ mU, ⛈ 12¼-14 mU **31.** 15¼–18¼ mU, 23¾-24, ⛆, ⛈ 22¾ n

$\lambda = 6°\,32'$, $\beta = 46°\,51'$,
$H_b = 1601$ m, $G = -0.16$ mm

Chasseron

Juli 1959
Beobachter: *J. Liardon*

Tag	Lufttemperatur 7³⁰	13³⁰	21³⁰	Mittel	Abweich. vom Normalst	Luftdruck 7³⁰	13³⁰	21³⁰	Relative Feuchtigkeit 7³⁰	13³⁰	21³⁰	Windrichtung und Stärke 7³⁰	13³⁰	21³⁰	Bewölkung 7³⁰	13³⁰	21³⁰	Niederschlag	Witterung
1	**3.8**	5.4	5.4	4.9	—	634.5	637.1	638.4	100	100	100	NNW 3	NNW 3	WNW 2	10≡	10≡	10	1.1	∴ 8½, a, ≡ ⛈ n-n mU
2	6.8	11.6	10.0	9.5	—	638.5	**638.8**	638.3	97	70	93	WNW 3	NW 3	NNW 2	7	7	2	.	≡ n-10 mU, ⛈ n-n mU
3	12.4	16.4	12.8	13.9	—	637.1	637.3	636.1	45	**42**	44	NW 2	NNE 1	N 2	3	5	5	.	
4	15.2	17.8	14.0	15.7	—	635.2	635.3	635.3	46	62	76	E 1	E 1	E 1	2	1	1	.	
5	14.8	19.6	17.0	17.1	—	635.4	636.6	636.9	66	57	54	WSW 2	WNW 2	NNW 2	0	2	4	.	⊿ I
6	14.0	17.0	11.4	14.1	—	636.5	637.2	637.5	100	80	100	WNW 3	NNW 3	NNW 3	10≡	7	10≡	.	≡ 7¼–11, 19¼–n, ⛈ n-n mU
7	11.6	17.6	14.0	14.4	—	637.1	637.7	636.7	100	63	87	NNW 3	E 2	E 2	10≡	4	1	.	≡ n-9, ⛈ n-n mU
8	15.4	20.2	17.8	17.8	—	636.2	636.7	636.5	76	68	84	W 2	W 1	NNE 1	1	3	0	.	⊿ I
9	17.0	20.0	18.0	18.3	—	636.6	636.3	636.0	67	64	73	SSW 2	SSE 1	NW 2	0	3	3	.	⊿ I
10	16.4	**22.0**	19.0	19.1	—	636.4	636.1	635.3	67	64	72	WNW 2	C 0	E 2	3	3	6	8.0	∴ 21¾ 22¾, ⛆, ▲
11	16.6	20.0	14.5	17.0	—	633.9	633.8	633.6	68	66	88	WNW 3	S 2	E 2	5	5	8	**27.2**	∴ 13¼ 15½, 16¼ 18, ⛆, ▲, *)
12	14.3	12.6	13.0	13.3	—	632.4	632.7	632.9	66	100	82	S 3	S 4	S 4	5	10-	8	3.0	● tr 13½, ∴ 19, ≡ a p mU, *)
13	10.0	15.2	11.5	12.2	—	632.5	633.3	633.1	100	75	76	WNW 3	NW 2	WNW 2	10≡	7	6	.	≡ n-9½, ⛈ n-n mU
14	13.4	15.2	12.0	13.5	—	632.3	631.9	630.4	52	74	78	NW 2	NW 2	E 2	5	8	6	7.2	∴ n (14./15.)
15	7.4	6.8	8.5	7.6	—	629.3	631.0	631.8	90	100	95	NW 4	NW 3	NW 2	10	10≡	3	0.4	● tr a, ≡ n-8 mU, 8–16½, *)
16	9.4	11.0	12.0	10.8	—	632.2	632.9	633.1	70	60	84	N 2	C 0	C 0	5	6	7	10.0	● tr 21
17	11.6	14.0	11.4	12.3	—	635.0	635.5	633.8	57	67	76	E 2	E 2	E 3	0	2	0	. .	⛈ p-n
18	11.2	15.0	13.1	13.1	—	633.8	634.3	634.3	72	67	65	E 3	ESE 1	ESE 1	0	1	0	.	⛈ n-a
19	13.6	16.6	13.7	14.6	—	634.4	635.3	635.3	62	52	79	NNE 2	NNW 2	NE 2	0	1	1	.	
20	13.8	16.2	13.8	14.6	—	634.6	635.1	635.0	81	68	88	E 2	ENE 2	ENE 2	0	7	2	.	
21	14.2	15.9	14.2	14.8	—	634.1	634.2	635.3	72	56	65	E 2	ESE 2	E 2	0	4	0	.	
22	14.2	17.2	14.8	15.4	—	632.4	632.8	632.1	61	51	62	E 3	SE 2	E 2	1	0	2	.	⛈ n-a
23	14.9	17.5	12.8	15.1	—	631.6	632.2	631.9	67	64	71	ESE 2	ESE 1	S 2	0	3	9	25.6	∴ 18¼–19, ⛆, ▲
24	11.9	12.8	11.1	11.9	—	631.7	631.8	631.8	82	75	92	N 1	ENE 2	ENE 2	10	10	10	.	
25	13.6	15.8	14.7	14.7	—	632.1	632.6	632.7	78	80	73	ENE 2	SE 1	NE 2	1	4	8	.	
26	14.0	17.4	14.3	15.2		632.6	633.2	633.2	63	59	54	NW 2	NNW 3	NW 2	0	3	2	.	⛈ a p
27	15.1	16.7	17.3	16.4	—	633.6	635.2	633.3	44	68	58	W 3	S 2	W 3	6	4	3	.	⛈ n-n mU
28	11.2	13.0	12.6	12.3		632.2	631.1	629.8	100	96	88	WSW 2	WNW 2	WNW 3	10-	10-	8	23.0	∴ 21 22¾ mU, ⛆, ▲, *)
29	7.8	9.8	7.6	8.4		627.2	627.1	**625.2**	100	76	100	NW 4	W 3	N 7	10	7	10	9.0	● n-n mU, ≡ p-n mU, ⛈ n-n
30	5.2	8.4	6.0	6.5	—	625.5	626.4	627.1	100	66	98	W 4	W 4	W 4	10≡	8	10≡	.	≡ n-n mU, ⛈ n-n
31	5.6	6.9	6.5	6.3	—	628.5	630.1	631.3	89	99	100	WNW 3	NW 3	WNW 3	10-	10-	10-	3.0	● n-n mU, ≡ n-n mU, ⛈ n-n
																		Summe	
Mittel	12.1	14.9	12.7	13.2	—	633.4	633.9	633.6	75	71	79				4.6	5.3	5.0	107.5	

*) **11.** ⛈ n-n mU **12.** ⛈ n-n mU **15.** ⛈ n-p, ⛈ I **28.** ≡ n-p mU, ⛈ n-n mU

Juli 1959
Beobachter: *Stationspersonal Rh. B.*

Bever

$\lambda = 9° 53'$, $\beta = 46° 33'$,
$H_b = 1711.8$ m, $G = -0.26$ mm

Tag	Lufttemperatur 7³⁰	13³⁰	21³⁰	Mittel	Abweich. vom Normalst	Luftdruck 7³⁰	13³⁰	21³⁰	Relative Feuchtigkeit 7³⁰	13³⁰	21³⁰	Windrichtung und Stärke 7³⁰	13³⁰	21³⁰	Bewölkung 7³⁰	13³⁰	21³⁰	Niederschlag	Witterung
1	**4.3**	9.8	6.0	6.7	4.1	623.3	625.3	628.1	83	61	78	NW 0	NE 0	SW 0	10●	10●	10	1.4	● n-n mU
2	6.8	15.0	9.5	10.4	−0.5	628.5	627.5	628.0	76	65	74	SW 0	E 0	SW 0	9	10	10	.	
3	5.8	18.0	9.3	11.0	0.0	628.0	627.0	626.1	84	34	54	W 0	E 0	NW 0	10	8	1	.	
4	8.2	18.0	11.0	12.4	1.4	626.2	625.6	625.8	71	34	68	W 0	SW 1	NW 0	9	2	0	.	
5	11.5	21.2	15.2	16.0	4.9	627.0	627.5	627.5	61	32	52	W 0	SW 0	N 0	0	1	1	.	
6	11.2	16.2	9.8	12.4	1.2	627.7	628.4	628.5	68	42	82	SW 0	NE 0	NE 0	1	10●	1	2.6	● 13¾–15 mU
7	10.0	21.2	14.2	15.1	3.9	628.4	627.2	628.2	85	36	60	N 0	NE 0	N 0	2	4	1	.	
8	9.8	21.5	13.0	14.8	3.5	627.8	626.5	**628.6**	82	45	87	W 0	SW 0	SW 0	0	1	5	.	
9	13.6	21.6	14.6	16.6	5.2	628.2	626.5	627.3	81	51	84	NW 0	SW 2	NW 0	4	2	5	.	
10	14.4	**25.4**	13.8	17.9	6.5	627.0	625.6	626.2	82	33	91	W 0	NW 0	N 0	3	5	10	**25.5**	⛆ 13¾, 16¾–18, ⛉, ▲
11	13.9	19.3	12.8	15.3	3.8	625.7	624.4	625.5	81	55	86	W 0	SW 2	NW 0	3	10	10	0.2	⛆ 19½, n (11./12.)
12	10.6	19.8	10.0	13.5	2.0	625.0	624.2	625.1	92	41	83	SW 0	SW 0	NW 0	10	6	0	.	
13	9.2	23.0	14.5	15.6	4.1	624.5	622.8	623.2	90	33	87	W 0	SW 1	SW 0	0	2	2	.	
14	12.4	18.6	10.8	13.9	2.3	623.9	622.5	621.8	80	45	92	W 0	SW 3	NE 0	3	9	10	14.6	● 19-n mU, ⸗ a-p
15	10.8	11.0	9.5	10.4	−1.2	618.6	618.8	621.9	91	57	79	NE 1	N 1	N 1	9●	9●	10	2.2	● n-n mU
16	8.7	11.0	9.4	9.7	−1.9	621.6	623.0	624.7	84	61	70	NE 0	N 0	NE 0	10	10	10	0.0	⛆° a-p mU
17	5.6	14.8	10.4	10.3	−1.4	625.1	624.8	626.8	95	42	59	NE 0	NE 0	NE 0	10	8	1	.	
18	4.9	19.4	9.2	11.2	−0.5	625.5	623.2	625.2	95	27	45	NW 0	NW 0	NW 0	10	0	0	.	
19	6.8	21.5	15.0	14.4	2.7	625.0	624.5	624.9	63	41	52	SW 0	SW 1	NW 0	1	4	5	.	⛆ I
20	8.2	19.8	8.0	12.0	0.3	625.3	624.9	625.5	81	42	97	SW 0	SW 0	NE 0	3	9	1	.	
21	6.8	19.5	14.0	13.4	1.6	625.3	624.4	624.8	94	40	41	NW 0	NE 0	NE 0	10	7	5	.	
22	6.0	21.6	11.4	13.0	1.2	624.1	622.4	623.6	80	29	52	NW 0	NE 0	NW 0	0	0	0	.	
23	7.6	18.8	12.4	12.9	1.1	623.2	622.7	624.2	86	39	78	NW 0	NW 0	NW 0	2	8	10●	1.2	● 20½-n
24	10.0	17.8	11.6	13.1	1.3	623.9	622.7	623.2	81	41	78	SW 1	SW 1	SW 0	10●	9	0	0.4	● n-9, 21½
25	10.2	18.4	10.8	13.1	1.3	623.2	622.9	623.5	88	39	66	N 0	NW 0	NE 0	10	9	4	.	
26	8.8	19.2	13.6	13.9	2.2	623.7	622.8	623.9	84	38	52	W 0	NW 0	NW 0	8	4	7	0.0	⛆ 17–17¼
27	7.6	21.0	10.5	13.0	1.3	624.6	624.1	626.0	85	28	51	SW 0	NW 1	SW 0	0	3	0	.	
28	8.6	23.4	15.6	15.9	4.2	624.4	622.8	622.0	76	**23**	63	SW 0	SW 1	NW 3	1	7	8	8.5	● 21½-n, ⛉, ⸗ III
29	9.0	18.8	11.5	13.1	1.4	619.2	617.9	**616.1**	91	41	79	NW 0	SW 2	NW 0	10	9	10	3.8	● 8–11 mU, 20-n mU
30	8.2	15.0	7.0	10.1	−1.5	617.2	616.6	618.6	91	50	90	SW 0	N 0	NW 0	10●	10	10	17.8	● n-11 mU, 15-n mU
31	4.8	9.8	6.0	6.9	−4.7	620.3	620.5	622.0	90	53	80	N 0	NW 1	NW 0	10●	10	8	5.0	● n-n mU
Mittel	8.9	18.4	11.3	12.9	—	624.6	623.9	624.7	83	42	71				5.7	6.3	5.0	Summe 83.2	

Juli 1959
Beobachter: *Couvent des Capucins*

Sion

$\lambda = 7° 22'$, $\beta = 46° 14'$,
$H_b = 548.6$ m, $G = -0.14$ mm

1	12.3	15.8	14.3	14.1	−4.9	719.6	721.1	722.4	81	64	71	W 1	W 1	W 1	9	8	8	.	tr 7½
2	14.4	24.8	17.4	18.9	−0.1	**723.8**	720.6	720.8	73	45	60	WSW 0	WSW 1	WSW 0	5	2	0	.	
3	16.0	25.3	20.3	20.5	1.4	721.1	718.0	718.0	71	46	49	WSW 0	WSW 1	W 0	2	1	2	.	⛆ I
4	18.4	27.7	21.7	22.6	3.4	718.3	716.7	716.4	59	**41**	55	N 0	SW 1	W 0	0	1	1	.	⛆ I
5	19.8	29.2	22.1	23.7	4.5	718.0	717.2	718.2	65	45	51	NE 0	W 2	W 0	0	0	0	1.8	⛆ I
6	18.3	24.2	20.2	20.9	1.6	720.0	719.1	719.8	78	59	72	SSW 0	SW 0	E 0	3	8	2	1.9	⛆ 6¾–7, 12½, 14–14¾
7	19.4	28.7	23.8	24.0	4.7	720.1	718.4	717.9	75	47	71	E 0	W 1	W 0	0	3	0	.	
8	21.0	29.6	24.6	25.1	5.8	719.1	717.0	717.4	69	54	59	W 0	W 0	W 0	0	2	0	.	⛆ I
9	23.4	30.2	24.5	26.0	6.6	718.3	716.3	716.9	66	47	62	NNE 0	NW 1	W 0	3	2	4	.	⛆ I
10	23.0	**30.6**	25.3	26.3	6.9	718.1	715.7	716.2	66	50	61	W 0	W 0	W 2	3	4	10	0.0	● tr, abd, ⛆ I
11	22.1	30.3	20.8	24.4	5.0	716.9	714.5	716.9	73	56	70	W 0	WSW 0	NE 2	6	5	10	0.0	● tr 21, ⛆ I
12	21.0	28.2	18.9	22.7	3.2	716.3	713.3	717.6	69	47	85	ENE 1	W 1	E 0	5	8	10	6.0	● 18¾–20½, ⛉
13	19.0	27.0	20.9	22.3	2.8	716.7	715.1	715.0	74	51	65	E 1	WSW 1	WNW 1	1	3	3	.	
14	20.0	26.2	19.5	21.9	2.4	715.3	713.0	713.3	72	54	86	NNW 0	WSW 1	W 0	1	8	10●	**18.5**	● 20½ n, ⛆ I
15	16.9	17.3	17.0	17.1	−2.4	712.6	713.8	715.5	89	70	66	W 0	W 1	W 0	9●	9	9	0.2	● n-8½
16	15.3	24.2	19.1	19.5	−0.1	716.1	714.7	716.1	78	53	61	W 0	WSW 1	W 0	3	4	4	.	
17	17.4	25.5	19.2	20.7	1.1	718.6	717.9	717.5	71	52	61	NE 0	W 1	W 0	1	1	2	.	⛆ I
18	18.1	25.6	21.2	21.6	2.0	717.8	715.5	715.9	66	55	56	W 0	SW 0	W 0	0	0	0	.	⛆ I
19	18.4	28.1	21.9	22.8	3.2	717.3	715.5	716.6	68	**41**	49	NNE 0	W 2	W 0	0	1	0	.	⛆ I
20	19.0	27.0	22.1	22.7	3.1	717.4	714.6	715.9	68	49	59	NNE 0	NW 1	W 0	0	4	3	.	⛆ I
21	19.0	28.1	21.9	23.0	3.4	716.5	714.7	714.4	68	47	54	E 0	NW 1	W 0	0	2	0	.	⛆ I
22	19.2	28.1	22.1	23.1	3.6	715.3	713.4	713.6	64	47	57	NE 0	W 1	W 1	0	3	4	.	⛆ I
23	19.2	28.5	17.4	21.7	2.2	714.5	713.9	716.0	67	46	88	N 0	W 1	W 0	1	8	10	4.3	● 16¾–20¼, ⛆ I
24	17.6	26.1	16.7	20.1	0.6	715.1	713.1	715.3	86	50	86	W 0	W 0	NE 1	9	7	5	5.3	● 16¾–20¾, ⛉
25	17.8	26.4	21.0	21.7	2.2	715.9	714.3	714.7	77	49	60	NE 0	NE 0	WSW 1	0	3	0	.	
26	18.3	27.6	20.2	22.0	2.6	716.0	714.3	715.6	73	45	50	WSW 1	WSW 1	WSW 1	1	3	0	.	
27	17.9	28.9	22.1	23.0	3.6	717.3	715.6	715.4	67	42	59	NNE 1	NNE 0	NNE 0	2	4	5	.	⛆ I
28	20.7	28.3	22.1	23.7	4.3	715.3	712.7	712.5	66	51	74	NNE 0	W 1	W 2	3	3	10	12.5	⛆ 18½–18¾, ● 21¼–21½, ⛆ I
29	17.8	22.4	20.0	20.1	0.7	712.5	709.8	709.6	87	61	61	NNE 0	SW 1	W 2	10	5	6	0.6	● 1–8¾ mU, 20¾
30	16.4	22.3	16.2	18.3	−1.0	710.6	**709.3**	711.9	73	50	71	W 0	W 4	W 3	7	8	4	4.6	⸗ a-n, ⸗ II
31	**12.2**	17.0	14.2	14.5	4.8	714.5	715.1	717.3	88	70	86	W 0	W 0	W 0	10	10	10	3.3	● 2 9½ mU, 19¾–20¾
Mittel	18.4	26.1	20.3	21.6	—	716.9	715.3	716.1	73	51	65				3.0	4.2	4.3	Summe 59.0	

$\lambda = 8° 58'$, $\beta = 46° 00'$,
$H_b = 276.2$ m, G = –0.04 mm

Lugano

Juli 1959
Beobachter: *A. Tison*

Tag	Lufttemperatur					Luftdruck			Relative Feuchtigkeit			Windrichtung und Stärke			Bewölkung			Niederschlag	Witterung
	7^{30}	13^{30}	21^{30}	Mittel	Abweich. vom Normalst	7^{30}	13^{30}	21^{30}	7^{30}	13^{30}	21^{30}	7^{30}	13^{30}	21^{30}	7^{30}	13^{30}	21^{30}		
1	16.2	25.6	17.6	19.8	–1.1	739.0	740.0	743.6	57	27	44	NNE 0	NE 1	N 1	5	5	1	.	
2	18.0	28.3	21.7	22.7	1.7	**743.9**	742.8	741.7	46	38	54	N 0	SSE 1	N 1	7	4	0	.	
3	16.8	27.4	21.7	22.0	1.0	741.7	740.3	739.1	65	47	66	N 1	S 1	N 1	8	8	6	.	
4	18.0	30.4	21.4	23.3	2.2	739.3	738.4	740.3	57	38	63	N 1	S 1	N 1	1	1	0	.	
5	20.0	29.2	21.2	23.5	2.4	742.1	741.4	741.8	78	44	77	N 0	S 1	NNE 1	6	4	1	.	
6	19.4	27.2	24.6	23.7	2.5	741.5	740.0	740.0	91	58	36	E 1	NNE 0	NNW 1	2	10	2	.	
7	19.3	31.3	21.6	24.1	2.8	742.0	740.8	741.4	74	40	75	SSE 1	S 1	N 1	0	2	0	.	
8	21.4	28.4	22.9	24.2	2.9	743.0	743.0	743.0	87	46	75	ESE 0	SE 1	N 1	10	9	9	.	
9	22.4	29.6	24.0	25.3	3.9	742.7	741.7	741.1	85	45	77	SE 0	SSE 1	N 1	9	6	2	.	
10	22.2	30.8	25.0	26.0	4.6	740.9	739.7	739.1	82	53	73	N 0	S 1	N 1	1	6	7	1.6	● 2¼-3¼, 19¼-23½ mU, ⛆
11	23.4	31.0	22.7	25.7	4.2	739.5	738.0	738.7	87	43	93	S 0	S 1	N 1	9●	7	10●	9.7	● 5-6¾ ⛆
12	19.0	29.3	23.8	24.0	2.5	739.5	737.7	737.8	96	43	45	NW 1	SE 1	NW 1	10●	3	7	.	
13	19.4	31.4	24.3	25.0	3.4	737.6	736.1	735.6	76	38	64	N 0	S 1	N 1	0	1	4	.	
14	22.0	24.8	21.7	22.8	1.2	737.2	736.3	734.9	69	57	80	NNW 0	S 0	N 1	7	9●	10	**68.8**	● 8-9½, 22¼-23
15	17.4	20.0	21.8	19.7	–2.0	732.6	733.0	734.2	95	84	38	S 0	S 1	N 1	10●	10●	6	3.8	● 3¼-5½, a-p mU
16	18.3	29.6	22.3	23.4	1.7	734.9	734.8	737.4	67	27	31	SSE 1	N 2	N 2	1	1	1	.	
17	18.2	29.2	19.2	22.2	0.4	739.0	738.3	739.8	66	40	68	SSW 1	SSE 1	N 1	0	0	0	.	
18	17.2	29.8	22.4	23.1	1.3	739.9	737.8	738.0	73	42	78	N 1	S 1	N 1	0	1	1	.	
19	18.2	30.3	23.4	24.0	2.2	738.4	737.5	738.4	80	42	80	N 1	S 1	N 1	1	1	1	.	
20	19.1	31.4	21.2	23.9	2.0	738.4	737.0	737.7	81	43	57	N 1	SSE 1	N 1	0	1	5	.	
21	19.0	**33.8**	24.2	25.7	3.8	737.8	736.0	736.4	62	**21**	61	N 1	N 1	N 1	1	1	1	.	
22	19.4	30.6	23.9	24.6	2.7	737.8	736.7	736.8	65	45	75	N 1	SSE 1	N 1	1	1	3	.	
23	21.7	25.9	24.1	23.9	2.0	737.9	737.4	736.7	87	58	72	N 0	SSW 1	N 1	10●	9	7	9.8	● 7½-9½
24	18.4	27.2	21.0	22.2	0.2	738.1	736.9	737.3	91	41	68	N 1	E 1	N 1	9●	6	10	.	● 1¾-4¼, ⛆
25	19.2	29.0	22.9	23.7	1.7	737.6	737.1	736.9	72	45	79	SW 0	S 1	N 1	4	4	6	1.4	
26	18.1	29.0	21.6	22.9	0.9	738.1	736.4	737.5	93	43	82	NW 0	SSE 1	N 1	2●	2	1●	0.1	● 1-3¼, ⛆ 17, ⛆
27	18.2	30.6	22.2	23.7	1.8	738.7	738.0	738.2	84	37	58	N 1	S 1	N 1	2	4	1	.	
28	19.8	31.3	18.7	23.3	1.4	738.4	736.9	736.9	73	47	97	N 1	S 1	NW 1	1	2	10●	54.2	● 19½-21¾, ⛆
29	18.9	28.0	19.8	22.2	0.3	733.8	732.4	**730.4**	83	43	71	NE 1	SSE 1	E 2	10	5●	9●	14.9	⛆ 18-20¾, ⛆, ⛆ 20-20¾
30	17.6	25.0	16.1	19.6	–2.3	730.6	730.9	732.5	97	51	96	NE 1	SE 1	N 1	9●	7	5●	12.0	⛆ 3¾, 17¼-18¼
31	**14.2**	24.2	18.9	19.1	–2.7	733.2	734.2	735.5	89	46	38	NW 1	SE 1	N 1	7●	5	1	.	⛆ 4¼-5
																		Summe	
Mittel	19.0	28.7	21.9	23.2	—	738.6	737.7	738.0	78	44	67				4.6	4.3	4.1	176.3	

$\lambda = 7° 35'$, $\beta = 47° 33'$,
$H_b = 317.3$ m, G = 0.08 mm

Basel

Juli 1959
Beobachter: *Astronom.-Meteorol. Anstalt*

1	**12.1**	15.6	13.6	13.8	-3.6	739.2	741.7	**742.9**	100	85	93	SW 1	WSW 1	S 1	10●	10	10	0.3	● n 0½, 4½-7½ mU
2	15.4	22.2	16.6	18.1	0.7	742.6	741.9	740.8	93	63	90	S 0	WNW 2	SSW 1	9	7	0	.	
3	16.6	26.3	18.3	20.4	2.9	740.1	738.5	737.6	88	50	54	ESE 1	WNW 1	SW 1	1	8	9	.	
4	19.1	27.2	19.0	21.8	4.2	737.6	736.9	737.2	82	49	81	E 0	NNW 1	SW 1	1	1	0	.	
5	19.1	29.1	20.8	23.0	5.4	737.2	736.9	736.9	82	47	80	NE 1	WNW 1	SSW 1	0	1	1	.	
6	21.9	29.2	20.4	23.8	6.1	737.2	737.8	740.5	77	57	91	E 1	WSW 2	WSW 1	7	6	10	0.7	● 18¼-19¼ mU
7	19.8	26.3	20.0	22.0	4.2	740.5	739.4	738.6	97	71	86	SW 0	NNW 1	N 0	10	8	0	.	
8	19.6	29.5	21.2	23.4	5.6	738.2	737.0	736.6	80	54	86	NW 0	NNE 1	S 1	0	0	0	.	
9	21.4	**33.4**	22.5	25.8	7.9	736.9	736.0	735.2	85	45	91	E 1	S 0	S 1	0	1	0	.	
10	23.2	32.4	23.4	26.3	8.4	736.5	735.8	734.7	85	46	89	ESE 1	WNW 1	SSW 1	0	1	5	.	
11	23.6	30.9	19.9	24.8	6.8	734.0	733.7	733.9	93	57	82	E 1	WNW 1	ESE 1	2	8	10	0.0	⛆
12	18.7	27.0	19.4	21.7	3.7	733.5	732.7	733.7	94	54	92	ESE 1	WNW 2	SE 1	7	10	8	1.8	● 14¼ 18¼ mU, ⛆
13	19.2	25.3	19.3	21.3	3.3	735.3	735.1	735.1	87	61	77	WSW 1	NW 1	WSW 1	9	9	7	.	
14	18.1	26.9	18.8	21.3	3.2	735.2	733.7	732.8	81	44	74	NW 1	WNW 1	WNW 1	1	4	10	1.2	
15	14.4	17.3	15.3	15.7	2.4	732.6	734.0	734.9	98	81	98	WSW 1	W 1	ESE 1	10	10	8	0.3	● 4¼-6¼ mU, 8¼ 8½, 17 17¼
16	16.9	23.8	17.5	19.4	1.3	735.4	735.4	736.9	95	53	72	S 1	NNW 1	E 1	1	8	0	.	
17	15.7	25.0	18.6	19.8	1.7	738.7	738.4	738.3	94	41	73	ESE 1	E 1	E 0	8	1	0	.	
18	17.4	27.0	19.6	21.3	3.1	737.5	736.4	735.9	85	33	62	ENE 0	SE 1	E 1	0	0	0	.	
19	18.1	27.2	20.9	22.1	3.9	737.1	736.6	736.4	78	37	74	E 1	NE 1	E 1	0	3	1	.	
20	20.0	27.8	19.7	22.5	4.3	736.8	736.3	736.4	85	47	74	SSE 0	N 1	ENE 0	0	9	1	.	
21	18.2	29.0	19.8	22.3	4.1	736.5	735.4	734.7	91	37	77	E 0	ENE 1	SW 1	0	4	0	.	
22	17.9	29.6	19.3	22.3	4.1	734.6	734.0	733.3	81	**28**	65	E 1	E 1	SE 0	0	1	1	.	
23	17.8	30.4	21.2	23.1	4.8	733.6	733.0	732.6	75	29	64	E 0	E 1	WNW 1	1	1	9	.	
24	18.0	27.0	20.9	22.0	3.7	733.3	733.1	733.2	85	46	76	S 1	SE 0	S 1	10	8	9	0.0	● tr 13¾
25	19.4	28.3	20.0	22.6	4.3	734.1	733.5	734.2	86	38	80	ENE 1	NNE 1	S 1	0	4	2	.	
26	18.4	29.0	20.0	22.5	4.3	734.1	733.9	733.8	87	39	67	SE 1	WNW 1	SSW 1	1	5	0	.	
27	19.0	31.6	22.5	24.4	6.2	734.4	734.0	733.7	80	33	79	ESE 1	WNW 1	E 1	2	3	1	.	
28	21.8	24.8	18.6	21.7	3.5	734.1	733.1	731.4	74	64	84	W 0	NW 1	SSW 0	9	9	8	**9.6**	● tr 15¼
29	15.1	21.8	15.3	17.4	0.8	730.5	729.8	**729.2**	100	53	90	WSW 1	W 1	SW 0	9●	5	10	2.6	● 2 7½ mU, 9 9¼, 19¼ 21½ mU
30	16.8	19.5	14.5	16.9	1.2	729.5	729.4	731.5	74	61	91	WNW 1	WNW 2	S 1	9	8	9	0.0	● 16½ 16¾
31	15.0	20.0	16.0	17.0	1.1	732.8	733.2	734.7	85	61	75	SW 0	WNW 1	SW 1	10	10	9	1.0	● 10¼ 10¾, 15 15¾
																		Summe	
Mittel	18.3	26.5	19.1	21.3	—	735.8	735.4	735.4	86	50	80				4.1	5.3	4.4	17.5	

Juli 1959
Beobachter: *Observatorium*

Säntis

$\lambda = 9° 21'$, $\beta = 47° 15'$,
$H_b = 2500.1$ m, G = –0.29 mm

Tag	Lufttemperatur					Luftdruck			Relative Feuchtigkeit			Windrichtung und Stärke						Bewölkung			Niederschlag	Witterung
	7^{30}	13^{30}	21^{30}	Mittel	Abweich. vom Normalst	7^{30}	13^{30}	21^{30}	7^{30}	13^{30}	21^{30}	7^{30}		13^{30}		21^{30}		7^{30}	13^{30}	21^{30}		
1	-1.0	0.0	0.1	-0.3	-4.5	565.1	567.7	570.1	100	100	100	WNW	3	WNW	3	NW	3	10≡*	10–	10≡●	35.5	✳ ● n–n mU, ≡ n–n
2	0.1	3.2	2.8	2.0	-2.3	570.0	570.7	571.3	100	100	100	W	3	W	4	W	3	10≡●	10≡●	9	1.8	● n–7¾, 13–16¾, ≡ n–n,*)
3	3.0	7.2	5.0	5.1	0.8	570.2	570.5	569.7	78	60	68	W	3	W	2	WSW	2	7	7	7	.	≡ n–6¾, 22¾-n, ⊕ 10½, 16½
4	5.3	10.7	7.6	7.9	3.5	568.9	569.8	570.1	69	66	55	W	2	W	1	W	2	7	9	1	.	≡ n-6½ mU, 15½–17, (|) 10½
5	9.7	12.7	8.6	10.3	5.8	569.8	571.0	571.2	58	75	96	W	2	SW	2	W	3	1	1	1	.	≡ 15¾–18
6	9.8	6.7	6.6	7.7	3.1	571.2	571.3	571.5	60	87	100	WNW	2	W	1	W	2	6	10	4≡	25.3	● 8, 11½–13¾, 15¾–17, *)
7	8.2	10.5	8.5	9.1	4.5	571.9	**572.5**	572.1	86	85	89	NNE	2	NNE	1	E	2	1	7≡	1	.	≡ 9½–18 mU
8	14.0	14.8	11.5	13.4	8.7	571.2	571.9	571.8	22	64	54	ESE	1	SW	1	W	2	1	2	1	.	
9	10.6	14.6	12.4	12.5	7.7	571.4	571.5	571.4	80	82	66	W	2	SSW	1	NNW	1	3≡	9	1	.	≡ 5–18¾ mU
10	11.9	12.5	11.0	11.8	7.0	571.1	571.4	570.4	70	100	100	NNE	2	N	1	ENE	2	1	10≡	9	.	≡ 10½–16¾ mU, 19¾–21¼
11	15.2	**16.1**	7.8	13.0	8.1	569.1	568.9	569.3	55	60	72	WSW	2	SW	2	W	3	6	8	10	2.1	▽△16¼-20¾, K, ≡ 18-20¾
12	12.4	14.4	7.8	11.5	6.6	568.4	568.2	567.9	59	47	75	SW	1	SW	2	W	3	10	9	4	15.0	▽ 15½–19¾, K, ≡ 17½–19¾
13	10.2	12.8	8.3	10.4	5.4	567.6	568.1	568.0	61	82	100	WSW	2	SW	2	W	2	1	10	10≡	.	≡ 19–n
14	7.8	12.9	7.0	9.2	4.2	567.2	566.9	565.7	95	71	95	W	2	SW	2	N	1	10≡	9	9	4.0	▽ 16¾-nmU, K, ≡ n-18¾ mU
15	3.4	3.6	3.4	3.5	-1.6	562.8	563.9	565.5	100	100	100	NE	3	NNE	2	W	2	10–●	10≡●	10≡●	20.0	● ≡ n n, ⸝ 10½
16	1.8	4.0	2.8	2.9	-2.2	565.5	566.6	567.9	100	93	86	N	3	NE	1	NW	2	10≡●	9	4	0.3	● n–9¾ mU, ▽ 16¼–17¾, *)
17	3.2	7.0	5.0	5.1	0.0	568.2	569.3	569.8	63	100	65	NW	2	SW	1	NW	1	0	10	0	.	
18	7.2	9.6	7.7	8.2	3.0	568.5	568.6	568.6	11	76	18	NE	2	SW	1	W	2	0	8	0	.	
19	7.3	10.7	7.6	8.5	3.3	568.3	569.3	569.7	27	81	91	NW	2	SW	2	W	2	1	9	3	.	
20	7.7	8.8	6.2	7.6	2.4	568.9	569.5	569.8	84	74	91	ENE	2	E	1	SE	2	4	9●	3	0.0	▽ 11¼–12¾
21	7.1	8.2	5.9	7.1	1.8	568.5	568.8	568.4	82	80	88	NE	2	NE	1	E	2	7	9	1	.	≡ n–7
22	9.2	10.4	8.0	9.2	3.9	567.2	567.8	567.5	46	88	**8**	NE	2	S	2	C	0	0	4	1	.	
23	10.0	12.7	8.3	10.3	5.0	566.6	567.4	567.4	68	58	100	W	1	SW	2	SW	2	1	4	9	0.0	
24	6.9	8.6	6.4	7.3	2.0	566.3	566.5	566.5	84	91	94	SE	1	SE	1	E	2	10	10≡●	10	1.0	▽ 9–9½, 13–15¾ mU, *)
25	5.6	9.0	6.9	7.2	1.8	566.5	567.5	567.7	100	84	66	NE	2	NNE	1	NW	1	10≡	9	1	.	≡ n–8½
26	7.2	9.0	7.3	7.8	2.4	567.1	567.6	567.6	64	80	74	NW	2	W	1	WSW	2	3	10≡●	5	2.3	▽ 12¾–14½, 16¾–20, K, *)
27	6.7	10.3	9.1	8.7	3.3	567.8	569.0	568.9	65	55	72	W	3	W	2	W	3	1	9	10	.	
28	11.0	13.8	9.4	11.4	6.0	567.7	567.3	565.8	60	53	68	SW	2	WSW	3	W	2	1	1	10	17.0	▽ 15¾ nmU, ≡ 15¾–17
29	5.7	4.4	4.7	4.9	-0.5	562.3	561.8	560.6	100	100	100	WSW	3	W	2	W	3	10≡●	10≡●	10≡●	34.6	▽ ≡ n–n
30	1.4	2.8	0.1	1.4	-4.0	**559.9**	560.7	561.6	100	100	100	W	3	W	2	W	3	10≡●	10–●*	10–●*	22.2	▽ n-9, 9 9-18¾, ● ✳ 18¾-n
31	0.0	0.1	0.1	0.1	-5.3	561.8	563.1	564.0	100	100	100	W	2	W	2	W	3	10≡	10≡*	10≡●,	35.3	▽ 9½–12½, ▽ 12½–15¾, *)
Mittel	7.1	9.1	6.6	7.6	—	567.6	568.2	568.3	73	80	80							5.2	8.1	5.6	Summe 216.4	

*) 2. ⸝ a–p 6. K ▲, ≡ 11¾–12¾, 16–16½, 20½–n 16. ≡ n–19 mU 24. ≡ 13–15¾ 26. ≡ 12¾–14 31. ▽ 15¾–n

Juli 1959
Beobachter: *E. Chiesa*

St. Gotthard (Hospiz)

$\lambda = 8° 34'$, $\beta = 46° 33'$,
$H_b = 2095$ m, G = –0.27 mm

1	**0.8**	4.2	2.2	2.4	-4.2	593.7	596.7	598.0	98	71	99	NW	2	NW	2	NW	2	10≡*	9	10≡●	3.9	✳ 9½–10¾ mU, ≡ n-11, 20¼
2	4.1	9.8	6.9	6.9	0.2	599.3	599.5	599.3	75	62	90	NW	1	NW	3	NW	1	6	3	3	.	⸝ II
3	5.8	13.6	8.4	9.3	2.5	598.7	598.7	598.0	84	**30**	80	NW	2	NW	2	NW	1	6	0	0	.	△ I
4	8.2	15.2	10.5	11.3	4.4	597.3	597.3	597.6	75	42	74	NW	0	NW	1	NW	1	0	0	0	.	△ I
5	9.4	17.1	12.8	13.1	6.1	597.8	598.4	599.3	78	48	65	SE	0	NW	1	NW	1	6	0	0	.	△ I
6	12.4	8.2	9.6	10.1	3.0	599.3	599.9	599.2	59	92	89	NW	1	NW	2	NW	1	6	10≡●	6	15.4	● 8-p, ≡ a–13¾, △ I
7	9.0	16.2	11.2	12.1	4.9	599.7	599.9	599.7	87	40	93	NW	1	NW	1	NW	1	0	0	0	.	△ I
8	10.9	17.6	11.2	13.2	5.9	599.1	599.6	**600.0**	93	79	97	SE	0	SE	1	SE	1	3	6	10≡9	.	9 ≡ 16½–n, △ I
9	11.2	**18.8**	13.4	14.5	7.1	599.7	599.3	599.1	86	62	95	SE	0	SE	1	SE	0	0	3	6	.	△ I
10	13.2	18.4	13.8	15.1	7.6	599.1	599.0	597.9	80	47	98	NW	1	NW	1	SE	0	0	3	10	13.1	● n (10./11.), △ I
11	13.2	17.9	12.0	14.4	6.8	597.6	596.8	597.4	66	70	59	SE	0	SE	0	SE	1	6	6	10	5.3	● 14¾–16 mU, K
12	11.3	15.2	9.4	12.0	4.3	596.6	596.3	596.3	66	60	80	SE	0	SE	1	NW	1	6	9	0	15.9	● 14¾–17½, △ I
13	10.4	16.2	10.6	12.4	4.6	595.6	595.6	595.7	59	53	90	NW	0	NW	1	NW	1	0	0	0	.	≡ 18–21 mU, △I
14	10.2	13.2	8.8	10.7	2.8	595.4	595.1	593.7	78	77	89	NW	0	SE	0	NW	1	0	9	10	**29.2**	● 12¾–13, 16¾–n mU, △ I
15	6.6	5.8	5.2	5.9	-2.1	590.9	591.6	593.3	94	99	100	NW	2	NW	2	NW	2	10●	10≡●	10≡●	5.7	● n–n, ≡ 10½–n
16	5.4	7.5	5.8	6.2	-1.9	593.7	594.5	596.0	99	72	98	NW	1	NW	1	NW	1	10≡9	6	10≡	.	9 n–7½, ≡ n–12½, 17–n
17	5.2	10.6	6.2	7.3	-0.9	595.6	596.9	597.9	65	59	99	NW	1	NW	1	NW	1	0	0	3	.	△ I
18	7.0	13.8	8.8	9.9	1.6	596.6	596.6	596.7	57	36	94	NW	1	NW	1	NW	2	0	0	0	.	△ I
19	7.5	13.4	8.8	9.9	1.6	596.5	596.9	597.6	82	64	86	NW	2	NW	2	NW	1	0	0	0	.	△ I
20	8.4	13.8	9.2	10.5	2.1	596.9	597.0	597.4	86	51	95	NW	1	NW	2	NW	2	0	3	10	1.8	● 18–19¼ mU, △ I
21	7.8	13.8	9.2	10.3	1.9	596.4	596.7	596.7	82	39	89	NW	0	NW	1	NW	0	0	0	0	.	△ I
22	8.2	16.0	11.0	11.7	3.3	595.5	595.4	595.8	80	37	90	NW	0	NW	1	NW	1	0	0	0	.	△ I
23	10.8	17.0	10.2	12.7	4.2	594.8	595.4	595.2	88	48	84	SE	0	SE	1	NW	1	3	6	0	1.3	● n (23., 24.), ≡ 9½–21 mU, △ I
24	7.2	12.3	9.0	9.5	1.0	595.1	594.7	594.7	98	66	89	SE	1	N	0	NW	1	10≡●	9	6	1.2	● n-7½, 19¼-21 mU, ≡ n-10¾
25	8.2	12.6	9.4	10.1	1.6	594.6	595.2	595.5	94	69	95	NW	1	NW	1	NW	1	10	9	3	.	
26	9.4	13.2	9.8	10.8	2.3	595.3	595.4	596.0	70	59	71	NW	1	NW	1	NW	0	0	3	0	0.2	● 15. △ I
27	9.4	15.2	12.0	12.2	3.7	596.2	597.2	597.2	58	36	69	NW	0	NW	1	NW	0	0	3	0	.	△ I
28	12.2	16.6	12.0	13.6	5.1	596.0	595.3	594.2	71	61	70	SE	0	SE	2	SE	0	0	6	6	12.0	● 14¼–14¾, n (28. 29.), △ I
29	8.5	10.8	10.0	9.8	1.3	591.1	590.1	589.6	90	97	95	SE	0	SE	2	SE	1	10●	10–	10–	0.9	● n a, K, ≡ 10¼ n mU
30	6.3	8.4	5.0	6.6	1.9	**588.5**	588.6	590.2	93	88	99	NW	1	NW	1	NW	1	9	9	10	0.6	● 19 20¼ mU, ≡ 20¼-n mU
31	2.8	5.4	3.2	3.8	4.7	590.2	591.8	592.8	99	77	89	NW	2	NW	2	NW	2	10≡9	10	10≡	4.2	9 7½, ● 20-n mU, ≡ n-10, 21-n
Mittel	8.4	13.2	9.2	10.3	—	595.9	596.2	596.4	80	61	87							3.9	4.6	4.6	Summe 110.7	

$\lambda = 7°\,26'$, $\beta = 46°\,57'$,
$H_b = 572.2$ m, $G = -0.04$ mm

Bern

August 1959
Beobachter: *Meteorologisches Observatorium*

Tag	Lufttemperatur 7³⁰	13³⁰	21³⁰	Mittel	Abweich. vom Normalst	Luftdruck 7³⁰	13³⁰	21³⁰	Relative Feuchtigkeit 7³⁰	13³⁰	21³⁰	Windrichtung und Stärke 7³⁰	13³⁰	21³⁰	Bewölkung 7³⁰	13³⁰	21³⁰	Niederschlag	Witterung
1	14.7	19.5	15.1	16.4	−1.3	714.5	714.8	714.2	81	53	72	WNW 1	W 1	NE 1	9	5	1	.	
2	12.2	17.3	12.5	14.0	−3.7	712.4	712.3	713.7	90	62	90	NW 0	NNW 2	ESE 1	7	10●	10	3.2	● 13–15¾ mU, ∻ 19–19½, ⊼
3	11.1	19.6	15.5	15.4	−2.2	713.0	712.1	712.0	91	56	76	SE 1	NW 1	E 1	8	7	1	.	
4	13.9	21.9	17.1	17.6	0.0	711.7	711.4	712.6	84	46	58	E 1	N 1	ENE 1	6	5	7	.	
5	13.5	22.3	17.7	17.8	0.3	712.8	712.3	712.9	80	**44**	68	SE 1	NNE 1	ENE 0	1	7	7	.	
6	14.9	22.6	17.7	18.4	0.9	713.6	713.2	713.3	76	54	75	SE 1	NE 2	NNE 1	1	3	0	.	
7	13.9	25.4	20.1	19.8	2.4	713.6	713.0	712.0	88	52	77	W 1	W 1	NNE 1	6	1	0	.	
8	17.8	25.5	16.4	19.9	2.5	712.3	712.2	713.8	73	58	91	SSE 1	NW 1	ENE 1	9	9	8	8.4	● 16¾–19¾, ⊼, ⊿ I
9	16.5	24.9	20.3	20.6	3.3	713.7	712.8	712.2	90	59	78	SE 1	W 1	E 1	8	6	1	0.0	∻ 2¾–5 mU
10	17.9	**26.6**	14.5	19.7	2.5	711.9	**708.7**	710.2	85	53	90	SE 1	NNE 1	SSE 1	1	7	1	17.0	●14¾–17, ⊼, ⌿ 14¾–16
11	12.9	23.0	16.0	17.3	0.1	712.6	711.2	711.4	91	48	86	SE 1	NW 1	SE 2	2	4	8	1.8	● 16¾–17¾, ⊿ I
12	15.0	20.3	15.4	16.9	−0.2	711.9	711.7	711.8	87	62	88	SE 1	NE 1	S 1	7	9	2	0.4	● 14–15½, ⊿ I
13	12.9	22.7	19.2	18.3	1.3	711.3	709.9	709.8	87	54	76	SSW 1	NNE 1	W 1	2	4	4	.	⊿ I
14	15.1	21.3	18.7	18.4	1.4	710.8	711.4	711.8	85	66	88	SE 1	W 0	WSW 1	9	9	10●	**17.3**	● 21¾–n, ⊿ I
15	15.7	20.6	17.0	17.8	0.9	712.9	713.6	714.6	94	60	81	WSW 1	N 1	NNE 1	9●	7	7	0.5	● n–8¾
16	14.0	19.9	15.6	16.5	−0.3	715.7	716.4	717.4	90	52	77	E 1	N 2	NNE 1	6	6	4	.	
17	13.0	19.5	14.3	15.6	−1.2	717.3	717.0	717.0	84	48	69	NNE 1	NNE 2	NNE 1	0	2	3	.	
18	13.8	19.1	16.1	16.3	−0.4	715.7	715.9	715.1	75	63	77	E 1	NE 1	ENE 1	9	6	1	.	
19	13.9	19.4	17.4	16.9	0.3	714.1	713.6	712.8	86	66	82	ENE 1	NE 1	S 1	10	8	1	.	⊿ III
20	13.8	23.4	15.9	17.7	1.1	712.6	711.1	711.9	90	63	75	SE 1	NE 1	W 1	7	7	1	0.0	● 15¼–15¾, ⌿ 15¾, ⊿ I
21	12.2	20.3	16.2	16.2	−0.3	712.2	712.1	712.4	90	64	83	S 1	NW 1	SSW 1	9	9	7	2.3	● 15½–16¼
22	15.0	17.1	13.8	15.3	−1.1	713.8	714.1	715.4	94	85	98	SW 1	SE 1	SE 1	9	9●	10●	15.8	● 4¼ 7¼, 12¼ 13½, 16½ n
23	13.6	17.0	17.2	15.9	0.5	715.8	716.7	718.0	96	88	95	ESE 1	NNE 1	W 1	10●	10	10●	0.8	● n 8½, 20¼ n, ⊼
24	15.6	23.8	19.6	19.7	3.4	718.1	717.9	719.3	92	69	88	ENE 1	NNE 2	SE 0	8	1	2	.	● n–0¾
25	16.4	25.7	20.2	20.8	4.6	**719.8**	719.3	719.1	86	62	85	SE 1	NE 1	E 1	1	3	1	.	⊿ I
26	16.6	25.8	19.8	20.7	4.6	719.2	717.7	716.7	92	65	88	SE 1	N 1	E 0	0	2	1	.	⊿ I
27	17.9	24.9	19.9	20.9	4.8	715.7	714.5	713.6	90	65	81	SE 1	NNE 2	NE 1	0	2	0	.	⊿ I
28	15.7	23.3	16.9	18.6	2.6	712.8	711.5	711.2	84	64	79	WNW 1	NW 1	SW 0	9	4	1	.	
29	13.2	22.2	15.6	17.0	1.1	711.5	710.8	712.0	86	53	68	SE 1	N 1	NNE 1	1	1	8	.	⊿ I
30	11.6	15.7	13.3	13.5	−2.3	711.7	711.9	712.3	70	59	63	NNE 1	ENE 2	NNE 1	7	6	8	.	
31	**9.4**	16.6	13.4	13.1	−2.6	712.3	712.3	713.3	77	55	61	NE 1	ENE 1	NE 1	0	2	4	.	
Mittel	14.3	21.5	16.7	17.5	—	713.8	713.3	713.7	86	60	79				5.5	5.5	4.2	Summe 67.5	

$\lambda = 6°\,57'$, $\beta = 47°\,00'$,
$H_b = 487.3$ m, $G = 0.00$ mm

Neuchâtel

August 1959
Beobachter: *Observatoire Cantonal*

1	15.4	19.7	16.2	17.1	−1.6	722.0	722.4	721.9	65	46	53	WSW 2	W 1	NNW 1	8	8	0	.	
2	12.9	15.1	14.5	14.2	−4.5	719.9	719.8	721.0	87	73	65	N 1	NNW 2	SE 0	5	9	8	0.8	● 13 14 mU, ⌿ 18 20
3	12.2	20.3	16.3	16.3	−2.4	720.7	719.8	719.7	89	44	62	N 1	N 2	NE 1	10	3	3	.	
4	15.1	22.7	17.6	18.5	−0.1	719.3	718.9	720.0	83	43	56	E 1	E 1	ENE 1	2	4	8	.	⌿ 17–22½ mU
5	14.8	24.6	19.2	19.5	0.9	720.3	719.9	720.3	82	40	53	E 1	SE 2	N 2	0	7	8	.	⌿ 17–22½ mU
6	15.8	25.3	18.8	20.0	1.5	721.0	720.3	721.0	80	43	62	N 1	ENE 2	NE 1	0	2	4	.	
7	15.6	25.4	21.8	20.9	2.4	721.4	720.6	719.4	87	43	59	E 1	SE 1	NNE 2	2	0	0	.	
8	17.2	23.6	17.0	19.3	0.9	719.9	719.5	721.3	81	61	94	NE 0	SE 1	NE 0	8	10	10●	5.4	● 16¼ 18½, 21–n mU
9	16.5	25.4	21.7	21.2	2.9	721.0	720.2	719.4	94	46	62	NE 0	SE 1	N 2	7	2	1	.	● n–5¼ mU
10	18.0	**28.0**	14.6	20.2	1.9	719.2	**716.3**	720.7	86	42	87	NE 1	ESE 1	WNW 1	2	8	0	13.9	● 14¼ 16½, ⌿ 14½ 15½
11	14.6	22.2	17.7	18.2	0.0	720.2	718.6	718.9	90	52	66	E 1	SE 1	N 1	2	5	7	.	⌿ 14¼ 19 mU
12	16.2	20.4	15.8	17.5	−0.6	719.3	719.2	719.3	83	56	89	E 1	S 1	N 1	7	9	10	1.4	● 16–17
13	14.0	24.5	18.6	19.0	0.9	718.7	717.4	717.2	94	45	56	N 1	SE 1	NW 0	8	2	1	.	
14	16.1	20.8	17.5	18.1	0.1	718.1	718.9	719.2	87	63	94	NW 0	SSE 1	W 0	10	9	10●	10.5	● 19 n
15	15.6	21.7	18.4	18.6	0.7	720.2	721.0	722.3	92	46	59	W 1	S 1	N 0	10	8	9	.	● n–3¾
16	14.7	23.1	16.6	18.1	0.2	723.3	723.7	725.0	86	**33**	53	NE 0	N 2	N 1	4	2	1	.	
17	14.4	21.7	14.7	16.9	−0.9	724.8	724.6	724.5	78	39	62	NE 2	NE 2	NE 1	0	2	1	.	⌿ a mU
18	14.3	19.1	17.8	17.1	−0.6	723.3	723.6	722.5	81	57	64	ENE 2	NE 2	NE 2	10	9	0	.	⌿ n–n mU
19	15.6	22.5	20.1	19.4	1.7	721.7	721.4	720.3	78	51	57	NE 2	E 2	NNE 2	10	2	1	.	
20	14.9	21.6	15.8	17.4	−0.2	720.3	718.9	719.4	92	53	72	E 0	S 0	E 0	8	8	0	0.6	● 15¾–16¼
21	14.1	20.0	16.9	17.0	−0.5	719.6	719.7	719.7	93	65	78	NE 1	SE 0	SW 0	9	9	10	3.0	
22	15.3	18.3	14.3	16.0	−1.4	721.2	721.7	723.0	94	72	93	W 0	ENE 1	W 1	9	10●	10●	**37.9**	● 0–3½, 13½–n
23	14.5	16.7	16.8	16.0	1.4	723.3	723.9	725.4	94	90	92	SE 0	ESE 1	ESE 1	10	10	10	4.8	● n 9 mU, 21¼ 23¼
24	17.1	25.4	21.4	21.3	4.0	725.4	725.4	726.7	86	56	68	NE 2	NE 2	NNE 2	0	1	0	.	
25	19.0	27.1	23.3	23.2	6.0	**727.1**	726.7	726.5	79	46	56	NE 1	ENE 2	NNE 2	0	2	0	.	
26	18.1	27.0	20.5	21.9	4.8	726.7	725.5	724.0	84	47	62	NE 1	ESE 1	N 0	0	0	0	.	
27	19.1	26.2	21.2	22.2	5.2	723.0	722.1	721.0	89	54	64	NE 1	NE 2	NE 2	0	0	0	.	
28	16.6	23.9	18.3	19.6	2.7	720.4	719.2	718.8	85	53	64	ENE 1	SSE 1	ENE 0	1	3	0	.	
29	14.7	24.0	16.6	18.4	1.6	718.9	718.3	718.7	84	42	62	ENE 1	SE 1	NE 1	0	2	9	.	
30	13.4	18.6	14.7	15.6	1.1	719.3	719.4	719.9	69	45	50	NE 2	ENE 2	NE 2	8	6	0	.	⌿ 11¼
31	**11.3**	20.2	14.9	15.5	1.1	719.8	719.8	720.8	68	37	48	NE 2	NE 3	NE 2	0	0	0	.	⌿ n n mU
Mittel	15.4	22.4	17.7	18.5	–	721.3	720.9	721.2	84	51	66				4.8	4.9	3.9	Summe 78.3	

August 1959
Beobachter: *Eidg. Armeemagazine*

Altdorf

$\lambda = 8° 38'$, $\beta = 46° 52'$,
$H_b = 450.7$ m, G = –0.08 mm

Tag	Lufttemperatur					Luftdruck			Relative Feuchtigkeit			Windrichtung und Stärke			Bewölkung			Niederschlag	Witterung
	7^{30}	13^{30}	21^{30}	Mittel	Abweich. vom Normalst	7^{30}	13^{30}	21^{30}	7^{30}	13^{30}	21^{30}	7^{30}	13^{30}	21^{30}	7^{30}	13^{30}	21^{30}		
1	13.0	15.8	14.8	14.5	–3.4	720.6	722.1	724.1	90	85	97	SE 0	N 0	ESE 0	10	10	10	0.6	● 9–a
2	**11.4**	14.0	12.0	12.5	–5.4	724.6	725.6	725.6	100	98	100	SSE 0	S 0	NW 0	10	10	10●	11.5	● p–n
3	12.6	18.2	14.4	15.1	–2.8	722.6	723.2	723.6	97	70	92	S 1	NW 1	SSE 0	1	9	8	.	
4	12.4	19.6	15.2	15.7	–2.1	723.6	722.7	722.9	96	72	100	S 0	S 0	S 0	5	8	10	0.4	● p–n mU
5	14.0	21.2	17.2	17.5	–0.3	722.1	721.9	723.0	95	79	85	S 0	NW 2	E 0	7	3	10	.	
6	15.0	23.2	17.8	18.7	0.9	723.3	722.9	723.1	96	60	88	S 1	NNW 2	NW 0	10	5	2	.	
7	13.8	21.4	18.0	17.7	0.0	724.1	723.5	724.1	98	82	95	SSE 0	NW 1	SSE 0	0	1	0	.	△ I
8	16.8	25.8	18.4	20.3	2.6	723.9	723.7	723.3	97	70	98	SSE 0	NNW 0	SSE 0	3	8	5	0.3	● n (8./9.)
9	17.6	24.4	16.6	19.9	2.2	722.7	722.1	724.6	96	72	98	SSE 0	NNW 1	SSE 0	4	6	1	.	
10	18.4	**28.8**	14.8	20.7	3.1	723.9	722.9	722.9	96	**41**	100	N 1	S 4	E 0	8	3	0	10.5	● 9½–16¾ mU, ⸗ II
11	13.4	21.2	15.2	16.6	–1.0	722.2	**719.2**	723.7	100	73	98	S 0	NW 2	SE 1	0	9	10●	**24.0**	● 16–n mU, △ I
12	13.6	18.0	16.0	15.9	–1.6	723.2	721.2	723.3	100	86	98	S 0	W 0	SE 0	10●	9	10	7.7	● n–n mU
13	14.2	20.8	17.6	17.5	0.0	722.2	722.4	722.2	90	72	89	SE 0	NW 2	SSE 1	1	10	1	.	△ I
14	15.0	23.2	13.0	17.1	–0.3	721.5	720.5	720.4	96	74	100	SE 0	NW 2	S 0	8	9	10	10.5	● n (14-/15.), △ I
15	15.8	17.2	14.8	15.9	–1.5	720.4	721.0	721.8	100	89	100	S 0	NW 1	SSE 0	10●	10	10	0.5	● n–a
16	15.0	18.2	15.2	16.1	–1.2	722.8	724.6	725.3	100	71	87	SSE 0	NNW 2	E 0	10	10	10	0.2	● tr a, △ III
17	15.0	18.0	14.6	15.9	–1.3	725.8	727.7	728.1	86	67	88	SE 0	NW 3	E 0	3	7	10	.	⸗ II
18	11.6	19.0	16.0	15.5	–1.7	726.7	726.4	726.4	96	78	96	SE 0	NW 3	S 0	0	9	10	.	△ I, III, ⸗ II
19	13.8	21.0	17.4	17.4	0.3	724.8	723.9	723.3	97	75	98	SE 0	NW 2	SE 0	9	2	0	0.2	△ I, III
20	14.8	19.2	15.0	16.3	–0.7	723.3	722.3	723.4	95	85	89	SE 0	NW 1	SE 0	5	7	3	1.2	● 13–18½ mU, ⛉, △ I, III
21	14.2	20.0	18.2	17.5	0.5	722.6	722.1	722.4	99	78	89	S 0	NW 2	W 0	8	10	9	.	△ I
22	15.6	19.8	15.4	16.9	0.0	724.2	724.6	725.2	100	76	100	S 0	NW 1	SSE 1	10	9	8	2.2	● n (22./23.), △ I, III
23	14.4	21.8	16.8	17.7	0.9	726.1	726.0	729.0	99	78	100	SSE 1	NW 2	SW 0	8	4	7●	6.2	● p–n
24	14.0	22.4	18.2	18.2	1.5	728.8	728.5	730.2	100	81	100	S 0	NW 2	SE 0	0	2	2	3.0	● p mU, △ I, III
25	14.8	24.6	19.6	19.7	3.0	**730.4**	729.8	729.5	100	69	99	SE 1	NW 2	SE 0	0	1	0	.	△ I
26	16.2	25.8	20.2	20.7	4.1	729.7	727.2	726.9	100	74	99	S 0	NNW 2	SE 0	0	5	0	.	△ I
27	18.2	24.2	19.6	20.7	4.2	726.4	725.0	723.7	100	80	100	S 0	NW 2	S 0	10≡	7≡	10	.	≡ n–p
28	18.4	23.2	16.8	19.5	3.1	722.8	721.6	721.3	98	80	97	NW 0	NW 2	SE 0	10≡	5≡	0	.	≡ n–p
29	15.6	20.4	17.4	17.8	1.5	721.9	721.2	721.7	100	71	84	S 0	NW 1	NW 1	10≡	5	10	.	≡ n–a
30	14.0	14.0	13.0	13.7	–2.5	722.0	723.0	722.9	89	90	99	NW 1	E 0	E 0	10	10	10	.	
31	12.0	18.8	14.2	15.0	–1.1	722.7	722.7	723.8	91	66	85	NW 1	NW 2	ESE 0	9	6	0	.	
																		Summe	
Mittel	14.7	20.7	16.3	17.2	—	723.9	723.6	724.2	97	76	95				6.1	6.7	6.0	79.0	

August 1959
Beobachter: *Observatoire*

Genève

$\lambda = 6° 09'$, $\beta = 46° 12'$,
$H_b = 405.0$ m, G = –0.05 mm

1	14.2	21.8	17.3	17.8	–1.5	729.7	729.0	728.1	90	41	68	W 1	NNW 1	NNE 1	3	6	0	.	
2	14.2	20.9	16.5	17.2	–2.0	727.4	726.5	727.8	80	44	62	NNE 1	NNE 1	NNE 1	0	7	9	0.0	● tr p
3	13.3	20.5	18.2	17.3	–1.9	727.6	726.3	726.0	78	55	66	S 1	NNE 2	NNW 1	1	2	2	.	
4	15.3	21.4	19.5	18.7	–0.5	726.2	725.9	726.2	79	53	61	SE 0	N 1	NNE 1	1	3	2	.	
5	16.3	21.9	20.3	19.5	0.4	727.2	726.6	726.9	73	54	57	ESE 1	N 2	N 1	0	1	5	.	
6	16.9	23.4	20.4	20.2	1.1	727.6	727.0	727.2	75	52	63	SE 0	NNE 1	NNE 1	0	1	2	.	
7	16.3	22.4	21.3	20.0	1.0	728.1	727.3	726.0	84	60	74	W 0	NNE 1	N 1	0	1	2	.	
8	18.4	**25.6**	18.6	20.9	1.9	727.1	726.5	728.2	80	51	96	NE 1	N 1	NNE 1	8	8	10●	3.8	● 18–23¾
9	18.5	24.3	21.4	21.4	2.5	728.1	727.6	726.1	93	61	74	SSE 1	S 1	N 1	6	3	2	.	
10	19.6	22.0	17.2	19.6	0.8	725.9	726.9	727.9	79	58	70	E 0	S 3	SSW 1	3	10●	0	9.7	● ⸗ 13½–15¼, ⛉
11	16.5	23.7	19.1	19.8	1.0	727.1	725.4	725.5	77	51	62	W 0	NW 1	E 1	1	6	5	.	
12	16.2	21.8	18.8	18.9	0.2	726.6	726.1	725.8	83	48	66	NE 1	NNE 1	NNE 1	10●	7	2	0.3	● 7½–8
13	14.9	20.4	19.2	18.2	–0.4	725.7	724.7	**724.1**	85	59	60	N 1	N 1	N 1	10	4	3	.	
14	17.4	22.5	18.2	19.4	0.9	725.1	725.4	726.6	78	59	96	NNE 1	NNE 1	SSW 1	10	10	10	7.1	● 17¼–n mU
15	16.4	20.3	19.8	18.8	0.3	727.6	727.8	728.8	97	82	55	S 1	NNE 2	NNE 1	6	7	1	.	● n–7¾ mU
16	16.8	22.3	18.2	19.1	0.7	729.9	730.1	731.2	76	**36**	54	NNE 1	NNE 3	N 2	3	1	1	.	⸗ a–p
17	15.8	20.6	17.2	17.9	–0.4	730.9	729.9	729.8	72	46	53	NNE 2	NNE 3	NNE 3	1	1	0	.	⸗ n–n mU
18	14.7	19.5	17.9	17.4	–0.8	730.0	730.2	729.2	74	60	68	NE 1	NNE 2	N 1	9	1	0	.	
19	16.0	19.9	18.4	18.1	0.0	728.7	728.0	727.4	86	61	69	NW 1	N 2	NNW 1	9	9	1	.	
20	15.7	25.4	17.6	19.6	1.6	727.3	725.4	726.9	83	47	82	NW 1	S 0	N 1	0	4	8	5.8	● 19, 23–n
21	16.4	19.5	16.4	17.4	–0.6	726.3	726.7	727.6	95	70	99	SW 0	N 1	S 1	10	10	10	**9.8**	● n 2, 19¼–24 mU, ⛉
22	15.5	16.6	15.4	15.8	2.1	728.4	729.2	730.3	92	84	95	S 1	S 1	NNE 1	10	10	10	7.0	● 5½–10¼ mU, 12½–13½, 16¾–19½, 22¾–n
23	14.6	18.9	18.6	17.4	–0.4	730.3	730.9	731.8	100	72	83	NW 0	NNE 1	N 1	10≡●	9	5	0.4	● n–8¼ mU, ≡ n–a
24	18.3	23.7	20.9	21.0	3.3	732.0	732.0	733.2	82	62	73	NNE 1	NNE 1	NNE 0	3	2	3	.	
25	17.9	24.3	22.5	21.6	4.0	**734.2**	733.6	733.1	90	56	67	NE 0	NNE 1	N 1	1	2	2	.	
26	18.4	24.4	22.5	21.8	4.3	733.6	732.2	730.7	90	59	70	NE 1	NNE 1	N 1	0	1	1	.	
27	18.8	24.7	22.2	21.9	4.5	729.8	728.5	727.4	89	60	74	S 1	NNE 1	N 1	9	3	6	.	
28	18.8	24.3	19.4	20.8	3.5	727.3	725.6	725.7	81	62	82	NNE 1	NNE 1	NE 1	9	4	9	0.5	● 19½–19¾, ⛉
29	16.5	22.2	19.2	19.3	2.1	725.9	724.9	725.3	91	51	57	SW 0	NNE 1	NE 1	1	1	3	.	
30	14.5	19.1	16.3	16.6	–0.5	726.0	725.9	725.9	59	55	51	N 2	NNE 1	NNE 2	10	3	0	.	
31	**12.5**	18.6	16.2	15.8	–1.2	726.5	726.6	727.4	64	48	50	NNE 1	NNE 2	NNE 1	1	1	0	.	
																		Summe	
Mittel	16.3	21.8	18.9	19.0	—	728.2	727.7	727.9	82	57	70				4.7	4.5	3.7	44.4	

$\lambda = 8°\,34'$, $\beta = 47°\,23'$,
$H_b = 569.4$ m, $G = -0.01$ mm

Zürich

August 1959
Beobachter: *Meteorologische Zentralanstalt*

Tag	Lufttemperatur 7³⁰	13³⁰	21³⁰	Mittel	Abweich. vom Normalst	Luftdruck 7³⁰	13³⁰	21³⁰	Relative Feuchtigkeit 7³⁰	13³⁰	21³⁰	Windrichtung und Stärke 7³⁰	13³⁰	21³⁰	Bewölkung 7³⁰	13³⁰	21³⁰	Niederschlag	Witterung
1	12.9	19.1	13.3	15.1	−2.3	713.9	715.1	714.9	87	54	87	WSW 1	WSW 2	E 1	10	8	3	0.0	● 0¾-1, 2¾-3¾, 6½-7½, ⸝ n-2½
2	12.5	16.0	12.3	13.6	−3.8	712.5	712.5	713.6	90	63	92	ESE 0	NW 2	SW 1	10	9	10	1.1	● 11¾-11½, tr 13½-20½, ⧋ I
3	12.4	18.0	13.8	14.7	−2.7	713.1	712.7	712.7	83	54	88	SSW 1	NW 1	N 1	9	8	3	.	⧋ I
4	13.9	20.4	13.9	16.1	−1.2	711.8	712.1	713.1	85	48	87	NE 0	N 1	NNE 1	2	6	0	.	⧋ I, III
5	13.0	20.3	16.9	16.7	−0.6	713.3	712.8	713.2	87	48	69	NE 0	N 1	N 1	5	7	10	.	⧋ I, III, ⊕ p
6	14.2	21.5	15.5	17.1	−0.1	714.0	714.2	714.3	88	53	65	ENE 1	ENE 1	ENE 2	10	5	0	.	⧋ I, III
7	13.4	22.7	18.1	18.1	0.9	713.8	713.7	712.8	86	49	73	NNE 1	N 1	NE 1	9	1	0	.	⧋ I, III
8	16.9	26.3	17.7	20.3	3.2	712.6	712.2	714.2	85	46	74	NE 0	WNW 1	E 1	9	9	10	1.3	● 16¾-17½, 22¼-22¾, *)
9	17.3	26.5	18.1	20.6	3.5	713.7	712.7	712.7	85	47	83	S 1	N 1	S 0	9	3	0	.	
10	18.0	25.4	13.8	19.1	2.1	712.0	**709.7**	713.5	81	53	90	SW 1	NE 2	S 1	3	6	1	2.6	● 16½-19¼, ⸝ 16-17¼, ⧋ I
11	14.7	22.9	15.7	17.8	0.9	712.7	711.3	711.5	82	47	91	S 1	W 1	SSE 1	2	3	10●	1.7	● 18¾-19¼, 20½-22½ mU, *)
12	15.4	21.4	15.8	17.5	0.6	711.9	711.7	712.1	80	55	81	WSW 1	WSW 1	SE 1	9	8	10	.	⧋ I
13	14.2	23.7	17.6	18.5	1.7	711.3	710.3	710.2	88	44	70	S 0	N 1	NE 1	8	4	0	.	≡ 6¾-8 mU, ⧋ I, III
14	16.2	21.6	18.7	18.8	2.1	710.7	711.5	711.7	81	56	85	SW 0	WNW 1	ENE 1	7	9	10	**17.7**	● tr 13½, ⧋ I, III
15	14.7	16.6	14.0	15.1	−1.5	712.5	714.1	715.6	91	82	90	WNW 1	WSW 2	ESE 0	10●	10	9	**17.7**	● 0½-12¾ mU, 19-20, *)
16	14.0	20.3	14.5	16.3	−0.2	715.9	716.9	718.0	90	**41**	75	NE 1	NNE 1	NE 1	10	8	10	.	● n-0½, ≡ 6-6¾, ⧋ III
17	12.6	19.7	12.7	15.0	−1.4	718.2	717.8	718.3	80	44	88	NE 1	N 1	NNE 2	8	4	10	.	⧋ I, III, ⸝ 9-10
18	13.1	19.1	14.9	15.7	−0.6	716.5	716.1	715.8	83	61	88	NE 2	ENE 1	ENE 1	9	9	1	.	⧋ I, III
19	14.4	22.8	16.5	17.9	1.7	714.8	713.9	713.1	82	55	82	ENE 1	NE 2	NE 1	9	2	1	.	⧋ I, III
20	14.4	20.4	16.1	17.0	0.9	712.8	712.3	712.1	84	64	85	NE 1	ENE 1	NE 0	4	5	7	.	⧋ I, III
21	15.0	22.3	18.0	18.4	2.4	712.3	711.9	712.2	85	62	77	SSE 1	NE 1	WNW 1	9	9	9	.	⧋ I
22	15.8	17.5	16.5	16.6	0.6	714.2	714.6	715.3	92	81	92	NW 0	S 1	WNW 1	10●	9	10	4.8	● 7¾-9¾, 11-12½, 22¾-23½
23	15.1	21.2	15.8	17.4	1.5	716.0	716.3	718.4	97	70	94	NW 0	NE 1	S 1	10	8	10●	7.0	● 0-5¾ mU, 19¼-21¾
24	16.0	24.6	19.3	20.0	4.2	718.6	718.7	720.0	90	62	87	SSE 1	NNE 1	SSW 0	9	1	9	0.0	● 0¾-1, ⸜, ≡ 7¾-9, ⧋ III
25	16.7	27.1	19.5	21.1	5.4	**720.2**	719.7	719.6	87	50	85	ESE 0	ENE 2	NE 1	1	1	0	.	⧋ I, III
26	17.4	**27.5**	20.3	21.7	6.1	719.5	718.2	716.9	86	50	83	ENE 0	ENE 1	NNE 1	1	5	0	.	⧋ I, III
27	17.9	24.9	18.6	20.5	5.0	716.2	715.3	714.3	86	60	81	SE 1	NE 1	NE 2	1	2	0	.	⧋ I, III
28	14.7	23.6	18.0	18.8	3.4	712.9	711.8	711.3	81	62	70	NE 1	WSW 1	NNW 1	10	1	4	.	⧋ I, III
29	13.9	21.9	14.7	16.8	1.4	711.8	711.3	712.9	80	51	70	WSW 0	NNW 1	NNE 2	0	2	10	.	⧋ I, III
30	11.5	18.4	10.3	13.4	−1.9	712.5	712.7	713.3	73	51	81	NNE 1	NE 1	ENE 1	9	2	0	.	⧋ I, III
31	**9.4**	18.1	12.7	13.4	−1.8	712.9	713.1	714.2	83	44	68	NNE 1	NE 2	NE 1	0	2	2	.	⧋ I
																		Summe	
Mittel	14.6	21.7	15.9	17.4	—	714.0	713.8	714.2	85	55	82				6.8	5.4	5.1	53.9	

*) **8.** ⸝ 19¼-19½, ⧋ I **11.** ⸝ 18, ⧋ I **15.** 22½-n, ≡ 10½-10¾

$\lambda = 6°\,32'$, $\beta = 46°\,51'$,
$H_b = 1601$ m, $G = -0.16$ mm

Chasseron

August 1959
Beobachter: *J. Liardon*

1	4.9	9.4	7.0	7.1	—	632.4	633.4	633.4	100	81	98	WNW 3	WNW 2	N 1	10≡	9	1	.	● n-9¼, ⸝ n-a
2	7.7	6.8	4.9	6.5	—	630.6	631.0	631.2	67	100	100	NE 1	N 3	N 3	7	10≡	4	3.0	⛆ 12-15 mU, ≡ 11½-n mU, ⸝ a-n
3	5.4	9.0	7.2	7.2	—	630.8	631.2	630.9	90	84	100	N 1	N 2	ENE 1	9	6	5	.	≡ 8-n mU
4	8.2	11.8	8.5	9.5	—	630.4	631.1	631.3	80	74	71	E 1	NE 2	ENE 3	4	8	5	.	⸝ p-n
5	9.4	11.8	9.4	10.2	—	631.3	632.1	632.4	72	74	86	E 2	N 1	N 2	1	6	5	.	
6	8.4	13.4	10.2	10.7	—	632.1	632.8	632.5	90	78	89	NE 3	ENE 2	E 2	0	4	0	.	⸝ n-n mU
7	11.0	16.7	15.8	14.5	—	632.5	633.4	632.9	90	75	65	WSW 2	WSW 1	S 1	0	3	0	.	
8	15.2	17.7	10.4	14.4	—	632.6	633.0	633.3	64	53	91	S 3	WSW 2	SE 2	9	8	10	3.7	● n (8./9.), ≡ 18-19¼, ⸝ n-n mU
9	10.7	14.4	14.3	13.1	—	632.9	633.1	632.7	100	96	75	SE 3	SSW 2	S 2	9	9	4	1.5	⛆ n (9./10.), ≡ n-p mU, ⸝ n-n mU
10	13.8	16.6	8.2	12.9	—	631.8	630.4	631.0	84	60	90	SSE 3	W 1	W 5	3	9	3	3.8	⛆ n-15 mU, ⸜, ⸝ n-n mU, ⸝ III
11	8.7	11.4	10.0	10.0	—	631.4	631.0	630.8	95	90	90	W 2	WNW 2	NW 2	10≡	7	9	5.0	⛆ 12-15 mU, ≡ n-8¾
12	7.8	10.8	9.7	9.4	—	631.0	631.2	630.4	100	90	90	N 1	NW 2	N 2	10≡	7	6	.	≡ n-9¾
13	10.8	13.4	11.2	11.8	—	630.2	630.2	630.3	80	78	69	E 2	E 1	ESE 2	4	7	3	3.0	⛆ 15
14	11.1	12.2	11.0	11.4	—	630.7	631.1	631.3	86	99	90	W 2	W 2	W 2	9	10	10	12.6	⛆ 17-n mU, ≡ 10½-p mU
15	7.7	10.6	9.2	9.2	—	631.5	632.9	633.5	100	86	96	NW 3	N 2	N 2	10	9	3	.	≡ n-7½ mU, ⸝ n-n mU
16	8.3	9.8	8.2	8.8		633.6	634.9	635.7	60	60	74	ENE 2	N 2	N 2	1	5	3	.	
17	6.4	9.0	6.0	7.1	—	634.4	635.1	634.4	80	67	98	E 3	ENE 2	E 3	3	4	3	.	⸝ n-n mU
18	6.0	8.7	8.6	7.8	—	632.9	634.3	633.8	100	93	100	E 4	E 4	E 4	10≡	8	3	.	≡ n-14 mU, ⸝ n-n
19	8.2	10.4	10.6	9.7	—	632.4	633.0	632.6	100	95	94	E 3	E 2	E 3	0	2	2	.	≡ n-17 mU, ⸝ n-n mU, ⧋ I
20	11.2	12.6	8.6	10.8	—	631.8	631.6	631.4	94	92	100	C 0	S 2	ESE 3	4	8	10≡	11.0	⛆ 15-17, ≡ 20-n, ⧋ I, ⸝ p-n
21	9.3	12.8	10.6	10.9		630.9	631.7	631.5	84	89	84	S 2	S 2	W 2	8	8	10	11.8	● 22-n
22	7.8	8.4	7.6	7.9		632.1	633.1	635.8	100	100	81	WNW 2	WNW 1	NNW 2	10≡	10≡	10	**16.0**	● n-7¾, 11¾-n mU, ⛆ n (22./23.), ≡ n-18
23	8.5	10.2	11.4	10.0		634.1	635.5	637.1	100	100	100	NE 2	NE 2	NE 2	10−	10≡	10≡	1.3	⛆ n-12 mU, ≡ n-n
24	12.6	15.6	13.8	14.0	—	636.8	638.1	639.1	87	69	100	E 3	E 3	E 2	2	4	10≡	.	≡ a mU, 20-n, ⸝ n-n mU
25	13.2	16.8	14.6	14.9	—	638.8	**639.8**	639.2	83	70	90	E 3	E 2	E 3	1	3	4	.	⸝ n-n mU
26	13.8	**17.8**	15.6	15.7	—	638.5	638.7	637.2	85	69	57	E 2	W 1	E 2	1	4	2	.	
27	13.6	16.9	13.2	14.6	—	635.5	635.5	634.0	90	90	100	E 3	ESE 2	E 3	1	9	10≡	.	≡ n 7, 20 n, ⸝ n n mU
28	12.6	17.2	11.6	13.8	—	632.5	632.5	631.6	100	68	70	W 2	WNW 2	NE 2	10	8	5	.	≡ n-10, ⧋ I
29	11.8	13.0	8.0	10.9		631.5	631.0	630.6	70	76	100	NNW 1	NW 2	NE 2	0	6	8	.	⧋ I
30	4.6	8.2	5.0	5.9		629.5	630.1	630.0	94	75	80	E 2	E 2	E 3	5	6	3	.	⧋ I, ⸝ p n
31	**4.0**	8.0	5.2	5.7		**629.3**	631.2	631.1	75	**47**	70	E 3	E 3	E 3	1	3	1	.	⸝ n n
																		Summe	
Mittel	9.4	12.3	9.9	10.5		632.5	633.0	633.0	87	80	87				5.2	6.8	5.2	72.7	

August 1959
Beobachter: *Stationspersonal Rh. B.*

Bever

$\lambda = 9° 53'$, $\beta = 46° 33'$,
$H_b = 1711.8$ m, G = –0.26 mm

Tag	Lufttemperatur 7³⁰	13³⁰	21³⁰	Mittel	Abweich. vom Normalst	Luftdruck 7³⁰	13³⁰	21³⁰	Relative Feuchtigkeit 7³⁰	13³⁰	21³⁰	Windrichtung und Stärke 7³⁰	13³⁰	21³⁰	Bewölkung 7³⁰	13³⁰	21³⁰	Niederschlag	Witterung
1	7.0	12.0	8.2	9.1	–2.5	622.0	623.6	623.9	60	63	64	SW 1	SW 1	NW 0	10	10	10	1.4	● 7–9 mU
2	2.8	8.8	5.8	5.8	–5.7	621.6	620.8	622.0	90	77	91	NW 0	NW 0	SW 0	10	10●	10	3.1	● 12¾–n mU
3	7.0	10.6	6.8	8.1	–3.4	620.6	621.2	622.3	69	47	69	NW 1	NW 1	NW 0	9●	10●	4	0.0	● n–p mU
4	2.3	14.2	10.2	8.9	–2.5	622.1	620.9	622.2	93	41	56	W 0	SW 2	N 1	5	9	10	0.0	● 20–n mU, ⧋ II
5	4.2	17.0	11.2	10.8	–0.6	623.2	621.6	622.6	95	33	51	W 0	NW 1	N 1	3	4	8	.	
6	8.1	15.2	7.8	10.4	–1.0	623.2	623.1	623.9	70	33	79	NE 0	W 2	NW 0	7	6	4	.	
7	5.4	20.0	12.0	12.5	1.2	624.2	623.3	625.4	96	39	85	NW 0	SW 1	W 0	10	0	0	.	
8	12.0	18.4	13.0	14.5	3.2	624.9	624.6	625.4	76	48	78	SW 0	SW 0	SW 1	9	8	7	0.8	● n (8./9.)
9	10.2	16.5	10.0	12.2	1.0	625.4	625.1	625.9	92	58	77	NW 0	SW 2	NW 0	10	10	1	0.0	● 17–18½ mU
10	9.2	16.3	9.9	11.8	0.6	625.3	624.2	623.7	92	54	87	NW 0	SW 0	NW 0	10	10	10	3.8	● 18¾–n mU
11	4.8	18.4	11.0	11.4	0.3	623.5	621.4	621.3	95	41	76	NW 0	SW 1	SW 1	10≡	8	10●	7.4	● 17–n, ≡ n–8
12	7.3	11.0	8.2	8.8	–2.3	619.9	620.3	621.9	86	64	83	SW 0	NW 0	NW 0	10	10	10	0.8	● n–a mU
13	8.5	17.2	9.4	11.7	0.7	620.8	620.0	621.7	80	41	78	SE 0	SE 1	N 0	10	8	6	0.3	∴ 18
14	3.3	21.7	13.6	12.9	2.0	622.3	621.2	622.5	95	**29**	78	SW 0	NE 0	W 0	10	3	9	1.4	● n (14./15.), ≡ n–a
15	11.1	9.8	8.4	9.8	–1.1	622.1	624.1	624.1	92	81	79	S 0	NE 0	NE 0	10●	10●	10●	**15.2**	● n–n
16	8.0	13.0	8.0	9.7	–1.1	624.9	623.7	625.4	90	44	50	N 0	NW 0	N 1	10	9	10	0.0	● 21
17	6.5	9.0	7.2	7.6	–3.1	625.4	623.3	625.5	69	50	66	NE 1	NW 0	NE 1	9	10	10	.	
18	6.7	19.1	10.4	12.1	1.4	625.5	623.6	625.3	80	39	63	SW 0	NW 1	N 0	8	7	4	.	
19	7.6	15.8	8.0	10.5	–0.1	625.2	624.2	623.2	79	40	69	NW 0	SW 1	SW 0	9	8	8	.	⧋ I
20	6.7	14.8	9.0	10.2	–0.3	623.7	624.0	624.0	91	54	68	W 0	SW 2	SW 0	6	8	10	1.2	● 11¾–12, ⧋ I
21	4.8	14.6	10.0	9.8	–0.6	623.8	623.1	623.9	94	51	64	W 0	SW 0	SW 0	4	10	10	.	
22	8.0	12.0	9.8	9.9	–0.5	624.6	624.1	624.3	90	63	80	N 0	SW 0	SW 0	10	10	10●	6.4	● 7½–n mU
23	9.2	16.3	10.8	12.1	1.8	623.7	624.7	628.9	87	46	78	SW 0	E 0	NW 0	9	8	3	.	
24	9.4	16.7	11.4	12.5	2.3	629.0	628.9	630.7	81	50	87	NW 0	SW 0	NW 0	10	7	7	2.2	∴ 13¾–14¾
25	6.9	21.6	11.6	13.4	3.3	**631.0**	629.8	630.7	96	35	79	NW 0	SW 0	W 0	10	4	0	.	
26	6.6	22.1	11.4	13.4	3.4	630.6	628.4	628.4	94	34	86	SW 0	SW 0	W 0	0	2	0	.	
27	7.2	**22.4**	11.8	13.8	3.9	627.1	624.7	624.7	95	37	83	W 0	NW 1	SW 0	0	5	6	0.9	● 16–n mU
28	10.6	18.0	9.0	12.5	2.7	623.2	622.5	622.1	88	47	91	NW 0	SW 1	SW 0	10	8	7	11.9	● 15–n mU
29	3.4	16.2	9.0	9.5	–0.2	621.8	620.8	621.1	95	32	64	W 0	NW 1	NW 0	6	7	8	.	≡ n–7
30	3.1	14.9	5.6	7.9	–1.7	620.7	**618.9**	621.0	90	42	65	SW 0	NW 2	N 0	5	2	1	.	
31	**–2.0**	14.4	5.8	6.1	–3.4	620.9	619.7	622.5	90	44	69	SW 0	SW 0	NW 0	1	1	0	.	
																		Summe	
Mittel	6.6	15.7	9.5	10.6	—	623.9	623.2	624.2	87	47	74				7.7	7.2	6.5	56.8	

August 1959
Beobachter: *Couvent des Capucins*

Sion

$\lambda = 7° 22'$, $\beta = 46° 14'$,
$H_b = 548.6$ m, G = –0.14 mm

1	14.6	23.8	16.0	18.1	–1.2	717.4	716.2	716.1	79	**40**	65	N 0	W 1	W 0	10	6	0	.	
2	14.6	22.4	14.6	17.2	–2.0	715.8	713.3	716.0	75	49	85	WNW 0	SW 2	W 0	10	7	0	0.7	∴ 16½, 18¾–19¾ mU, 22¾–23
3	15.2	22.2	16.2	17.9	–1.3	715.9	714.0	714.0	72	51	66	W 0	W 1	W 1	5	3	2	.	
4	16.4	22.4	18.4	19.1	0.0	714.3	713.1	714.1	73	53	61	W 0	W 1	W 0	6	4	0	.	⧋ I
5	17.0	24.2	19.8	20.3	1.2	715.5	713.7	714.5	70	49	57	NE 1	W 2	W 1	1	1	0	0.0	⧋ I
6	17.8	25.0	19.8	20.9	1.9	715.8	714.2	715.0	68	49	67	W 0	W 1	W 0	0	1	0	0.0	⧋ I
7	17.0	25.8	21.0	21.3	2.3	716.2	715.0	715.0	77	55	60	W 1	W 1	W 1	1	1	0	0.0	⧋ I
8	18.6	26.0	18.2	20.9	2.0	715.8	714.9	717.1	74	47	90	N 0	W 1	W 0	7	6	10	3.7	● 15½–16¾, 18¾–19¾ mU, 21¾–23, ⧋ I
9	18.0	24.2	21.2	21.1	2.3	717.0	715.8	715.6	87	58	67	W 0	W 0	W 0	6	5	0	.	● 1½–2¾
10	18.6	28.4	15.8	20.9	2.1	715.8	**711.3**	716.7	71	42	81	NNE 0	NNE 1	NE 1	0	10	0	4.3	● 15–17¾, ⧋ I
11	15.2	24.2	19.0	19.5	0.8	716.2	713.0	713.4	80	50	62	E 0	SW 1	W 1	0	3	7	0.4	
12	16.8	22.2	16.4	18.5	–0.1	714.7	713.5	714.2	80	54	70	W 0	W 1	W 1	7	9	0	0.0	● 1½–2¾
13	16.2	24.2	18.4	19.6	1.0	714.4	712.0	712.8	70	48	76	W 0	W 1	W 0	2	7	0	0.0	⧋ I
14	16.2	25.7	19.8	20.6	2.1	714.0	713.3	714.1	78	52	73	W 0	WSW 1	W 1	6	3	5	**21.8**	● 22¾–n, ⧋ I
15	17.2	21.2	17.8	18.7	0.3	715.4	715.3	716.3	85	60	75	W 2	W 0	W 0	10●	1	4	0.2	● n–7¾
16	17.0	22.2	17.0	18.7	0.4	717.6	716.7	718.6	74	58	57	W 0	W 2	SW 0	4	7	2	.	
17	14.3	22.3	17.2	17.9	–0.4	718.6	716.7	717.1	71	45	57	WSW 0	WSW 1	W 2	0	1	0	.	⧋ I
18	15.1	22.6	18.0	18.6	0.4	717.6	716.4	716.8	71	53	71	W 0	WSW 1	W 2	2	1	2	.	⧋ I
19	16.3	23.1	17.1	18.8	0.7	716.8	715.6	715.7	81	58	80	W 0	WSW 2	WSW 0	1	2	1	.	⧋ I
20	15.6	22.4	14.1	17.4	–0.6	715.9	714.0	717.6	82	59	91	WSW 0	WSW 0	E 0	1	9	8	11.8	● 14¾–21, ⧋ I
21	14.1	**28.6**	17.0	19.9	1.9	716.6	717.4	717.5	83	55	75	E 1	E 0	N 0	8	10	10	.	
22	16.7	16.8	16.2	16.6	–1.3	718.7	718.7	719.9	87	88	86	N 0	W 2	W 1	10	10	10	4.3	● 12¾–16¾ mU, 22–24¾
23	15.8	22.8	16.5	18.4	0.6	720.5	719.9	722.0	88	59	82	W 0	W 1	W 1	9	8	0	.	
24	17.1	25.4	19.9	20.8	3.1	722.4	721.4	720.8	78	53	76	WSW 1	W 1	W 0	0	4	10	.	
25	17.8	26.7	21.0	21.8	4.2	**724.5**	722.3	723.0	73	48	69	N 0	NW 0	W 1	0	1	0	.	
26	18.0	27.2	20.9	22.0	4.4	723.9	721.3	720.8	74	49	72	W 0	W 1	W 0	0	1	0	.	⧋ I
27	18.3	27.8	23.0	23.0	5.5	720.4	714.9	717.3	82	57	75	WSW 1	WSW 1	WSW 1	1	1	4	14.3	
28	19.3	21.6	18.6	20.8	3.4	717.6	715.8	715.6	94	70	75	WSW 0	WSW 1	W 0	10●	9	10	0.8	● 3¾ 8¾, 16–17¾ mU, K
29	18.9	25.4	18.7	21.0	3.7	716.0	713.2	714.7	79	49	69	WSW 0	WSW 1	W 0	7	6	0	.	
30	15.3	20.4	15.6	17.1	–0.1	715.5	712.1	715.4	82	62	70	WSW 0	WSW 1	W 1	10	2	0	.	
31	**13.6**	20.1	15.6	16.4	–0.7	716.2	713.3	714.9	80	58	66	SW 0	W 0	W 0	10	2	0•	.	⧋ I
																		Summe	
Mittel	16.5	23.9	18.0	19.5	—	717.2	715.4	716.5	78	54	72				4.6	4.5	2.7	62.3	

$\lambda = 8°\,58'$, $\beta = 46°\,00'$,
$H_b = 276.2$ m, $G = -0.04$ mm

Lugano

August 1959
Beobachter: *A. Tison*

Tag	Lufttemperatur 7³⁰	13³⁰	21³⁰	Mittel	Abweich. vom Normalst	Luftdruck 7³⁰	13³⁰	21³⁰	Relative Feuchtigkeit 7³⁰	13³⁰	21³⁰	Windrichtung und Stärke 7³⁰	13³⁰	21³⁰	Bewölkung 7³⁰	13³⁰	21³⁰	Niederschlag	Witterung
1	14.6	28.8	19.0	20.8	−1.0	737.1	736.7	737.3	70	33	37	NNW 1	SSW 1	NNE 2	1	2	1	.	
2	16.7	21.4	18.2	18.8	−3.0	736.9	736.4	736.4	52	56	57	N 1	S 1	WNW 1	8	7	3	0.3	▽ 10¾–12½
3	**13.2**	26.7	19.6	19.8	−1.9	736.6	735.7	736.4	82	39	74	N 1	SSW 1	N 1	0	2	2	.	
4	16.3	25.0	18.2	19.8	−1.9	737.4	736.6	736.2	81	53	94	N 1	S 1	NNE 1	5	8	6	5.1	● 16–18
5	15.7	27.1	19.2	20.7	−0.9	737.7	736.7	736.8	78	44	75	W 1	S 1	N 1	5	4	5	.	
6	17.3	26.6	21.7	21.9	0.3	737.1	738.3	738.2	74	47	75	N 1	S 1	N 0	7	4	9	.	
7	20.0	28.1	22.8	23.6	2.1	739.5	739.5	739.7	78	44	65	ENE 0	S 1	W 1	9	3	7	.	
8	19.0	28.3	19.4	22.2	0.7	740.6	740.1	740.5	84	44	93	N 1	SSW 1	NW 1	5	5	10●	7.2	▽ 21¼–21¾, ⚑
9	18.3	28.2	19.6	22.0	0.6	740.4	739.7	740.3	88	46	82	NNW 1	SSE 1	N 1	10	5	2	.	
10	20.0	27.1	18.2	21.8	0.4	740.3	738.7	738.5	81	58	96	NW 0	SSW 1	E 1	8	7	10●	28.1	▽ 17–21¾ mU, ⚑
11	17.1	28.1	20.6	21.9	0.6	738.3	736.4	735.2	90	47	77	NNE 1	SSW 1	W 1	3	3	10●	6.6	▽ 21¼–22¾
12	15.6	26.9	21.2	21.2	−0.1	734.0	733.4	734.5	90	42	38	N 1	SSE 1	N 1	9	3	1	.	
13	16.6	29.2	19.8	21.9	0.7	734.1	**733.2**	734.9	70	36	74	N 1	S 1	N 1	1	1	1	.	
14	17.0	28.2	22.2	22.5	1.4	736.4	737.2	736.6	85	53	78	N 1	S 1	NW 1	2	2	9	30.2	
15	17.8	24.8	20.9	21.2	0.1	736.8	736.0	736.9	96	49	41	SSE 1	SSE 1	N 1	10●	5	1	3.0	● 4½–9½, ⚑
16	17.0	29.3	21.0	22.4	1.4	737.3	736.8	739.5	64	25	29	SSE 1	NNE 2	NNE 2	1	1	0	.	
17	18.2	27.2	20.9	22.1	1.2	738.9	738.4	739.1	39	**24**	49	NNE 2	NNE 2	S 1	1	1	7	.	
18	16.3	26.7	19.0	20.7	−0.1	740.9	740.2	740.1	71	43	89	N 1	S 1	NNE 1	9	1	10	1.0	● 19–20¾, ⚑
19	16.6	24.1	19.7	20.1	−0.7	740.5	740.0	739.5	81	45	76	NE 1	SE 0	N 1	7	8	7	.	
20	16.4	24.3	16.4	19.0	−1.7	739.5	738.5	740.0	72	39	88	NW 1	S 1	NNW 1	8	8	7	0.8	● 14½–16, ⚑
21	16.9	21.3	18.9	19.0	−1.6	740.1	740.2	739.8	84	66	83	NNE 1	W 0	N 1	10	10	9	25.4	
22	16.4	17.8	16.1	16.8	−3.7	740.0	740.7	740.9	96	87	95	N 1	NNE 1	NW 1	10	10	10	**54.4**	● 3¼, 13¼–16¾ mU, ● n (22. 23.), ⚑
23	15.2	22.9	19.1	19.1	−1.3	741.9	742.0	742.1	94	45	88	NW 1	S 0	N 1	10●	6	3	1.3	● n–8½
24	16.2	27.8	21.1	21.7	1.3	743.8	744.5	745.0	83	50	83	N 1	SE 1	NNE 1	3	3	7	.	
25	16.6	28.6	19.8	21.7	1.4	**745.8**	745.2	745.1	85	41	75	N 1	SE 1	N 1	0	1	3	.	
26	17.2	**29.4**	21.6	22.7	2.5	745.0	743.6	742.0	84	44	72	NNW 1	S 1	N 1	2	1	1	.	
27	17.3	29.2	22.9	23.1	3.0	740.0	738.8	737.9	87	46	79	N 1	S 1	N 1	1	1	1	.	
28	18.7	28.7	20.1	22.5	2.5	737.5	735.9	734.9	92	44	87	N 1	S 1	NNW 1	1	3	8	2.3	▽ 14¾–15¾
29	16.7	28.4	21.7	22.3	2.4	735.0	733.6	733.9	84	46	80	NNW 1	S 1	N 1	1	1	2	2.1	● 23¾–n
30	17.8	20.4	16.6	18.3	−1.5	735.4	735.0	736.3	97	70	88	NNE 1	S 1	N 1	10	10	7	3.1	● n–1, ⚑
31	13.2	19.1	16.2	16.2	−3.5	738.4	738.7	739.1	95	51	75	NNE 1	S 1	NNW 1	10●	8	10	1.8	● 5–9
																		Summe	
Mittel	16.8	26.1	19.7	20.9	—	738.8	738.3	738.5	81	47	74				5.4	4.3	5.4	172.7	

$\lambda = 7°\,35'$, $\beta = 47°\,33'$,
$H_b = 317.3$ m, $G = 0.08$ mm

Basel

August 1959
Beobachter: *Astronom.-Meteorol. Anstalt*

1	14.4	18.7	13.6	15.6	2.5	736.5	737.2	736.5	86	67	92	WNW 1	W 2	S 0	10	9	2	0.0	● 1¾–2¼ mU, tr a
2	12.4	14.2	13.2	13.3	−4.7	734.4	735.6	735.3	98	97	100	E 1	S 0	S 0	8	10	6	4.5	● 12–14 mU, 18¾–19
3	13.0	19.6	13.9	15.5	−2.5	735.3	735.0	734.7	93	68	95	S 0	WNW 1	NNW 0	10	7	0	.	
4	15.0	21.8	14.6	17.1	−0.8	734.3	734.1	735.0	98	51	75	S 0	NW 1	SW 1	1	8	0	.	
5	13.1	23.7	17.8	18.2	0.4	735.5	735.0	735.4	96	48	75	S 0	WNW 1	W 1	0	7	8	.	⊕ 14½
6	16.2	22.4	18.9	19.2	1.4	736.0	735.9	736.2	87	58	76	SW 0	NNE 1	ENE 1	9	8	5	.	
7	15.1	26.4	20.4	20.6	2.9	736.0	735.1	734.4	93	55	68	W 1	ENE 1	E 1	0	0	0	.	
8	18.0	27.6	16.7	20.8	3.2	734.0	734.0	735.2	88	51	97	ESE 1	NW 1	SSE 1	8	9	10	6.5	● 13–14 mU, 18¾–21 mU, ⚑
9	18.0	23.0	20.2	20.4	2.8	734.8	734.6	734.0	98	65	86	ESE 1	W 2	ESE 1	9	10●	0	5.8	●2½–4¼ mU, 13½–13¾, 16½–16¾, 18¾–⚑
10	19.6	**28.2**	15.0	20.9	3.4	733.7	**731.2**	734.6	87	52	97	ENE 1	NNE 1	SE 1	6	4	0	9.8	● 15¾–17½, ⛈ 15¼, ⚑
11	14.9	24.2	16.3	18.5	1.1	734.8	733.5	733.2	99	59	82	ESE 1	W 1	ESE 1	9	6	5	0.0	● tr 13½
12	15.5	24.1	17.6	19.1	1.8	733.9	733.7	733.9	100	52	80	**8** 0	SSW 1	SE 1	3	8	0	.	● 1¾–2¼ mU
13	14.7	26.6	18.2	19.8	2.5	733.6	732.3	731.7	97	**38**	78	E 0	ESE 1	SW 1	0	2	0	.	⌓ l
14	16.3	20.6	19.4	18.8	1.6	732.4	733.5	733.4	89	81	93	E 1	NW 1	S 0	10	10	10●	15.1	● tr 7½, 8–8¾, 10¾, 21½, 23–n
15	15.9	22.1	16.8	18.3	1.2	734.7	735.5	736.8	100	66	92	SW 0	NW 1	NW 1	10●	9	9	0.3	● n–7¾, 10–10¾, 20½–20¾
16	14.9	21.8	16.6	17.8	0.8	738.4	738.6	739.9	100	52	60	SSW 1	NNW 1	NNW 0	10	4	9	.	≡ 7¾–8½
17	12.8	19.0	14.5	15.4	−1.6	740.5	739.6	740.1	100	52	85	SW 0	NNW 1	NW 1	10	8	9	.	
18	14.3	23.0	17.6	18.3	1.4	738.6	737.9	737.6	100	55	78	NW 0	ESE 1	ENE 0	10	1	0	.	
19	14.4	24.8	18.6	19.3	2.5	736.9	735.7	735.1	100	51	73	NW 1	E 2	ENE 1	8	1	0	.	
20	15.7	24.3	16.3	18.8	2.1	734.9	733.8	733.5	93	58	72	NE 1	NE 1	ESE 1	3	2	1	0.0	● tr 18½
21	14.2	25.8	18.4	19.5	2.9	733.5	733.7	734.0	93	47	90	ESE 1	SE 1	SW 0	10	6	6	1.3	● tr 17¾
22	16.4	18.8	15.6	16.9	0.4	736.0	736.6	737.6	100	87	98	E 1	E 1	S 1	10	10	10●	**19.4**	● 2¾–6¾ mU, 9¾–9½, 20½–n mU
23	15.4	20.8	18.4	18.2	1.7	737.9	738.6	739.5	100	92	97	NW 1	SW 1	SSE 1	10	10	8	5.8	● n 6¾ mU, 19, 21¾ 22¾ mU
24	17.0	25.2	19.7	20.6	4.2	740.6	740.4	741.3	100	71	96	SSE 1	WNW 1	SW 1	10	0	0	0.2	● 0 3¼ mU, 15 15½ mU, ⚑
25	16.5	27.3	20.1	21.3	5.0	**742.0**	741.6	741.0	100	64	88	NE 0	NNW 1	SSW 0	10≡	0	0	.	≡ 6¾–10
26	17.9	27.5	21.3	22.2	6.0	741.2	739.7	738.4	98	59	85	S 1	WSW 1	SSW 1	0	7	0	.	
27	17.6	23.6	16.7	19.3	3.2	738.3	737.3	736.3	100	75	76	W 1	NNW 1	SW 1	10	8	4	.	
28	13.9	24.8	16.0	18.2	2.2	735.3	734.0	733.6	97	55	80	SSW 0	WNW 1	SW 1	1	1	0	.	
29	13.8	20.2	15.6	16.5	0.5	734.3	734.2	735.4	95	59	65	SSW 0	NNW 1	NNW 1	0	2	10	.	
30	10.0	20.0	13.1	14.4	−1.5	735.5	734.9	735.6	88	50	70	WNW 1	NNW 1	WSW 0	5	6	0	.	
31	**8.4**	19.4	13.2	13.7	−2.1	735.8	735.3	736.0	87	44	63	W 1	NNW 1	E 1	0	5	0	.	
																		Summe	
Mittel	15.0	22.9	16.9	18.3	—	736.1	735.7	736.0	96	61	83				6.4	5.7	3.6	68.7	

August 1959
Beobachter: *Observatorium*

Säntis

$\lambda = 9° 21'$, $\beta = 47° 15'$,
$H_b = 2500.1$ m, $G = -0.29$ mm

Tag	Lufttemperatur 7³⁰	13³⁰	21³⁰	Mittel	Abweich. vom Normalst	Luftdruck 7³⁰	13³⁰	21³⁰	Relative Feuchtigkeit 7³⁰	13³⁰	21³⁰	Windrichtung und Stärke 7³⁰	13³⁰	21³⁰	Bewölkung 7³⁰	13³⁰	21³⁰	Niederschlag	Witterung
1	0.0	0.7	0.4	0.4	−5.0	563.8	565.7	566.4	100	100	100	W 3	W 3	WNW 2	10≡●	10≡●	10≡	0.0	▽ △ n−16¾, ≡ n−n
2	1.8	2.7	0.4	1.6	−3.8	563.8	564.1	564.4	90	92	100	WSW 2	W 2	W 2	9	10≡	10≡●*	6.5	▽ 15−16½, 20¾−n, ⛤, 8¾−n mU
3	−0.4	2.8	1.8	1.4	−4.0	563.9	564.6	564.9	100	83	97	W 2	W 1	WSW 2	10	9	10	.	≡ n−7, 8½−15¾ mU
4	4.2	6.0	1.2	3.8	−1.5	564.0	564.8	565.5	73	80	92	WSW 2	W 1	W 2	9	10	3	0.9	▽ 12¾−18¾ mU, ≡ 15¾ 20
5	4.8	8.0	3.0	5.3	0.0	565.0	565.9	566.1	72	73	80	SW 1	SSW 2	W 2	1	10	10	1.2	▽ 20−n mU, ≡ 17¾−20½, ⊕ 16½
6	2.7	6.7	4.6	4.7	−0.6	565.9	567.1	567.5	100	86	100	W 2	N 1	WSW 2	10≡●	10≡	10≡	5.5	▽ 6¾−11 mU, ≡ n−15½, 20½−n
7	6.8	9.3	8.0	8.0	2.7	566.8	568.3	568.3	56	73	97	WSW 2	W 2	W 2	0	3	0	.	
8	9.2	**14.3**	6.4	10.0	4.7	568.1	568.7	568.4	68	68	91	W 2	SW 2	ENE 1	9	10	10●	15.4	▽ 16¾−n mU, ⛤, ≡ 15¾−19, *)
9	8.4	10.4	7.6	8.8	3.6	568.1	568.2	568.3	83	89	89	WSW 2	SSE 1	W 2	9	9	1	10.2	▽ 13−17 mU, ⛤
10	10.0	11.6	4.0	8.5	3.3	568.0	567.1	566.6	71	68	95	N 1	SW 3	W 3	1	8	9●	8.2	▽ 17−n
11	5.1	10.1	3.9	6.4	1.2	566.1	565.9	565.4	73	89	93	WSW 2	SW 2	WNW 2	1	10	10●	20.9	▽ 14½−n mU, ≡ p mU
12	2.6	4.0	2.0	2.9	−2.3	563.9	564.7	565.2	100	100	91	NW 3	NW 2	N 2	10−●	10≡	10	3.3	▽ n−8½, 14−16¾, ≡ n−20
13	3.3	8.3	5.4	5.7	0.6	564.4	564.7	565.2	89	82	83	NNE 2	NE 1	SW 2	9≡	10	1	0.0	≡ 9¾−p mU
14	6.2	10.7	7.7	8.2	3.1	565.0	566.3	566.6	81	90	89	WSW 2	WSW 2	W 2	3	9	9	14.0	☽ 15−16, ● n (14./15.)
15	4.2	3.8	2.1	3.4	−1.7	565.0	566.1	567.2	100	100	100	WNW 2	W 3	N 3	10≡●	10−●	10≡●	**27.4**	● n−n mU, ≡ n−n
16	2.1	2.9	−0.1	1.6	3.4	567.2	568.0	568.8	100	94	81	NW 2	WNW 2	N 2	9−	10≡	7≡	0.2	✳ n (16./17.), ≡ n−n mU
17	**−1.5**	1.6	0.8	0.3	−4.7	567.8	568.2	568.3	97	91	100	NNE 2	NNE 2	NE 3	10	10≡	10≡●	1.3	☽ 16¼n−n mU, ≡ n−n mU
18	4.8	7.3	4.2	5.4	0.5	568.2	568.4	568.6	75	55	100	ENE 2	E 2	NE 2	1	1	5≡	0.0	≡ p−n mU
19	6.2	8.9	5.7	6.9	2.0	567.1	567.8	567.4	69	83	94	ESE 2	SW 1	E 2	1	10≡	2	0.0	≡ 13−18
20	5.6	10.1	5.6	7.1	2.3	566.2	566.6	566.6	100	72	85	WSW 2	SW 2	SSW 2	10≡	8	9	0.0	▽ 11½−11¾, ≡ 7−9½ mU
21	7.2	10.2	6.2	7.9	3.1	566.2	567.0	567.0	70	66	85	WSW 1	WSW 2	SW 3	2	8	9	0.0	
22	4.5	5.7	5.0	5.1	0.4	566.9	567.4	568.2	100	95	100	SSW 2	SE 3	NNE 2	10≡	9	10≡	4.3	☽ 7½−13, ▽ 21−21½, *)
23	6.9	9.7	6.3	7.6	3.0	568.6	569.9	571.4	76	89	100	E 2	SE 1	NE 2	8	10≡	10	0.4	▽ 16−17, ≡ 13−n mU
24	8.1	10.4	7.3	8.6	4.0	571.8	572.8	573.7	59	92	100	ENE 2	SW 1	NE 2	0	2	10≡	24.3	● 16¾−18¼ ⛤, ▲, *)
25	9.3	10.9	9.3	9.8	5.3	573.5	**574.3**	**574.3**	73	95	54	E 2	ESE 1	ENE 2	2	10≡	1	0.0	≡ 12½−20 mU
26	11.2	12.8	9.7	11.2	6.8	573.6	573.6	572.1	56	85	61	E 2	SSE 2	ENE 2	1	6	0	0.0	≡ 14−16½ mU
27	9.8	11.9	8.6	10.1	5.7	570.4	570.3	569.0	86	86	54	ENE 1	SSE 1	ESE 1	1	9	1	0.0	≡ 9−18 mU
28	8.0	8.8	5.1	7.3	3.0	566.9	566.9	566.1	100	97	92	WSW 3	W 2	N 2	1	10≡	2	0.2	≡ 7−16¾ mU
29	4.2	5.2	3.0	4.1	−0.1	564.6	564.9	564.9	100	96	100	W 2	W 2	WSW 2	10≡	9	10≡	0.2	≡ n−n mU
30	2.9	4.2	−0.9	2.1	−2.0	563.5	563.9	563.9	100	81	86	WSW 2	WNW 2	ENE 1	9≡	10≡	0	0.0	≡ n−20¾ mU
31	3.0	3.7	−0.2	2.2	−1.8	**562.9**	564.1	565.0	**34**	92	99	ESE 2	ESE 1	SSW 2	1	9≡	0	0.0	≡ 12½−20½ mU
Mittel	5.2	7.5	4.3	5.7	—	566.7	567.3	567.5	82	85	90				5.7	8.7	6.4	Summe 144.4	

*) 8. ⊕ 10½ 22. ≡ 7−13, 20¾−n 24. ≡ 13½−n mU

August 1959
Beobachter: *E. Chiesa*

St. Gotthard (Hospiz)

$\lambda = 8° 34'$, $\beta = 46° 33'$,
$H_b = 2095$ m, $G = -0.27$ mm

1	3.2	6.4	3.7	4.4	−4.1	593.2	594.4	594.4	94	69	98	NW 2	NW 1	NW 1	6	6	10≡	.	≡ 17¾−n
2	6.6	4.9	2.4	4.6	−3.9	592.9	592.7	592.7	64	95	96	NW 1	NW 2	NW 1	6	10	6	11.7	● ≡ 12¾−20¾ mU
3	**1.6**	7.6	4.0	4.4	−4.1	592.4	592.8	593.2	99	86	97	NW 2	NW 2	NW 1	10≡☽	6	3	.	≡ n−8½
4	6.3	7.9	5.4	6.5	−1.9	592.6	592.8	593.6	65	85	99	SE 0	NW 1	NW 1	0	9	10≡☽	.	☽ ≡ 15¾−n, △ ⌴ I
5	5.0	10.6	6.2	7.3	−1.1	593.3	593.6	594.0	81	60	96	NW 1	NW 1	NW 1	0	3	9	.	≡ 19¾−n mU
6	5.2	10.6	7.0	7.6	−0.8	594.2	594.6	595.5	97	63	92	NW 1	NW 1	NW 1	10≡	3	10≡	.	≡ n−8, 19½−n
7	8.6	15.6	10.3	11.5	3.1	595.3	595.9	596.3	83	56	97	SE 0	SE 1	SE 0	6	3	10≡	.	≡ 18¾−n
8	9.3	14.0	10.2	11.2	2.9	596.6	596.7	596.5	98	75	88	SE 0	SE 2	SE 1	10≡	10≡	10≡	5.3	● 15¼−16¼, ≡ n−n
9	8.9	9.2	9.3	9.1	0.8	596.5	596.7	596.8	90	98	90	SE 0	SE 1	SE 0	10	10≡●	10	5.6	● 8¾−16½, ≡ a−p
10	8.4	9.6	7.0	8.3	0.0	596.4	595.8	595.2	98	90	97	SE 1	SE 1	SE 0	10≡●	10●	0	**23.7**	● n−p, ≡ n−18½
11	8.2	11.7	6.0	8.6	0.4	594.5	594.0	593.1	70	72	98	NW 0	SE 0	NW 2	6	6	10≡☽	13.2	● 15−16½, ⛤, ≡ ☽ 20−n
12	4.8	7.4	5.6	5.9	−2.3	592.1	592.6	593.1	99	85	95	NW 2	NW 2	NW 2	10≡	9	9	0.3	≡ n−a
13	5.0	11.0	7.8	7.9	−0.2	592.5	592.5	592.8	88	62	95	NW 1	NW 1	NW 1	0	3	3	.	
14	9.4	12.4	9.2	10.3	2.2	593.0	593.8	594.1	64	60	97	NW 0	NW 0	NW 0	0	9	10	17.1	● 19¼−20½, n (14./15.), △ I
15	6.6	7.6	4.7	6.3	−1.7	593.6	593.9	594.6	97	93	98	NW 1	NW 2	NW 2	10●	10≡	9	1.6	● n−8¾, ≡ n−17¼ mU
16	5.0	6.3	4.8	5.4	−2.5	595.2	595.8	596.4	99	90	95	NW 2	NW 2	NW 2	10≡	6	10≡	.	≡ n−9¾, 20−n
17	2.5	6.6	3.7	4.3	−3.6	595.9	596.0	596.1	96	50	95	NW 3	NW 2	NW 1	6	3	10≡	.	≡ 16¾−n
18	6.5	13.9	6.6	9.0	1.2	596.1	596.2	596.2	68	55	100	NW 1	NW 0	NW 1	0	0	10−☽	.	☽ ≡ 16¾ n
19	6.4	12.2	7.8	8.8	1.1	595.8	595.9	595.7	96	58	85	SE 0	SE 0	SE 0	10≡	6	10	1.0	● n (19./20.), ≡ n−8¾
20	6.4	8.6	6.0	7.0	−0.6	594.8	594.9	595.2	93	77	80	SE 0	SE 1	SE 0	6	9	6	3.0	● 14¼−16½ mU, n (20./21.)
21	6.4	7.9	7.0	7.1	0.5	595.0	595.9	595.7	95	84	92	SE 0	SE 1	SE 0	10≡●	10≡	10−	4.0	● n 8½, n (21. 22.), ≡ n n
22	5.8	6.2	6.0	6.0	−1.5	595.3	595.9	595.9	99	97	80	SE 1	SE 0	SE 0	10≡●	10≡●	10≡●	16.0	● ≡ n-n
23	7.4	11.4	8.1	9.0	1.6	596.5	598.0	598.3	82	68	86	SE 0	SE 0	NW 0	9	9	6	.	△ I
24	9.6	15.1	10.6	11.9	4.6	599.6	600.6	601.9	78	56	97	NW 0	SE 1	SE 0	0	3	10≡☽	1.2	● 18¾ 19½, ≡ ☽ 20−n, △ I
25	10.0	17.2	11.0	12.7	5.5	601.9	**602.1**	602.0	60	**43**	94	NW 0	SE 0	NW 1	0	0	10≡	.	≡ 18¾−n, △ I
26	11.2	**18.9**	12.0	14.0	6.8	601.8	601.5	600.3	71	47	95	NW 0	SE 0	NW 0	0	0	0	.	△ I
27	11.0	15.4	11.1	12.5	5.4	598.5	597.8	596.9	86	62	94	NW 1	NW 1	NW 1	0	3	9	.	△ I
28	9.6	12.8	8.0	10.1	3.1	595.2	594.5	594.0	98	82	95	NW 1	NW 2	NW 0	10≡	9	3	1.2	● 18½−18¾, ≡ n−18
29	7.2	12.8	6.4	8.8	1.9	592.8	592.9	593.2	82	52	99	NW 1	NW 1	NW 2	0	3	10≡	.	≡ 19 n, △ I
30	4.8	3.8	2.4	3.7	−3.1	592.1	**591.7**	592.4	99	99	100	NW 1	NW 2	NW 2	10≡	10≡☽	10≡☽	0.0	☽ a n, ≡ n−n, △ I
31	3.0	8.2	3.2	4.8	−1.9	591.8	592.5	593.7	74	62	84	SE 1	NW 0	NW 1	0	3	3	.	≡ 16−21
Mittel	6.8	10.5	6.9	8.1	—	595.1	595.3	595.5	86	72	94				5.6	6.2	7.9	Summe 104.9	

$\lambda = 7°\,26'$, $\beta = 46°\,57'$,
$H_b = 572.2$ m, G = –0.04 mm

Bern

September 1959
Beobachter: *Meteorologisches Observatorium*

Tag	Lufttemperatur					Luftdruck			Relative Feuchtigkeit			Windrichtung und Stärke			Bewölkung			Niederschlag	Witterung
	7^{30}	13^{30}	21^{30}	Mittel	Abweich. vom Normalst	7^{30}	13^{30}	21^{30}	7^{30}	13^{30}	21^{30}	7^{30}	13^{30}	21^{30}	7^{30}	13^{30}	21^{30}		
1	9.1	18.5	13.7	13.8	–1.8	713.0	712.8	712.7	81	58	70	NNE 1	NE 1	NNE 1	0	1	3	.	
2	10.2	18.1	15.1	14.5	–1.0	712.6	712.0	711.9	81	62	73	NNE 1	NNE 1	NNE 1	4	7	10	.	
3	10.9	19.3	15.9	15.4	0.1	712.3	712.3	713.5	80	64	77	NNE 1	NNE 1	NNE 1	1	5	9	0.0	● tr n (3./4.)
4	11.9	20.4	15.3	15.9	0.7	714.5	714.4	713.7	79	60	86	NE 1	NE 1	ENE 1	8	5	1	.	
5	11.0	18.0	14.4	14.5	–0.6	711.4	711.2	711.4	95	69	86	NNE 1	NNE 1	ENE 1	8	10	0	.	≡ a
6	11.7	18.8	12.7	14.4	–0.5	712.1	712.2	713.7	77	59	83	NNE 1	NNE 1	NNE 1	4	5	0	.	
7	9.0	19.5	14.9	14.5	–0.3	714.2	714.0	714.6	88	**48**	62	SE 1	NE 2	NE 1	0	1	0	.	⌓ I
8	8.2	20.7	13.8	14.2	–0.5	716.5	716.2	716.6	91	56	85	SE 1	W 1	SSE 0	0	1	0	.	
9	9.9	21.1	15.3	15.4	0.9	717.1	716.3	716.3	93	56	83	ESE 1	N 1	ENE 1	0	1	0	.	
10	10.9	22.4	16.1	16.5	2.1	717.2	716.7	716.4	92	60	85	ESE 1	W 1	SW 1	0	1	0	.	
11	11.7	24.0	15.4	17.0	2.8	716.8	715.4	714.9	98	**48**	80	SE 1	N 1	W 1	0≡	3	0	.	≡ 6½–7½
12	11.0	23.9	17.4	17.4	3.3	714.5	712.9	712.5	94	57	82	SE 1	NW 1	SE 1	0	1	2	.	
13	13.3	23.6	17.3	18.1	4.2	712.4	711.0	710.8	93	56	84	ESE 1	E 1	W 1	1	5	6	.	
14	14.0	22.4	16.3	17.6	3.8	710.5	**709.4**	711.1	91	61	95	WNW 1	NE 1	E 1	9	6	8	1.4	● 18–21 mU, K$_\lambda$
15	13.7	22.3	16.7	17.6	4.0	711.7	711.6	711.9	98	67	91	SE 1	NW 1	SE 1	10≡	5	3	.	≡ 1 8
16	14.5	23.1	17.4	18.3	4.8	711.7	710.8	710.5	90	60	85	SE 1	W 1	SW 1	3	9	9	5.6	
17	15.7	18.7	15.5	16.6	3.3	710.5	710.6	712.6	97	75	98	SE 1	SE 1	NE 0	10●	9	9	1.3	● 5–7, 14¾–16¾, ∴ 10¾–10½
18	11.9	18.7	13.4	14.7	1.5	713.7	714.0	715.2	96	68	78	NE 1	NE 1	NNE 1	10	1	0	.	
19	10.0	18.9	14.6	14.5	1.5	715.8	715.5	715.7	81	70	83	WNW 1	NNE 1	NE 1	10	1	0	.	
20	10.2	19.4	14.8	14.8	1.9	716.3	716.0	716.0	96	68	86	E 1	NNE 1	E 1	10	1	1	.	
21	10.8	20.8	14.8	15.5	2.8	717.0	716.6	716.4	95	68	94	SE 1	WSW 1	SW 1	9	8	1	.	⌓ I
22	12.6	21.8	17.3	17.2	4.7	717.1	717.1	717.2	96	64	88	SE 1	WNW 1	SE 1	8	10	9	0.1	∴ 14–14¼, ⌓ I
23	13.6	**24.2**	18.7	18.8	6.4	717.2	715.8	715.4	97	60	88	SE 1	WNW 1	SE 1	1	3	8	.	⌓ I
24	15.4	23.8	18.0	19.1	6.9	714.1	712.3	711.3	93	60	86	SE 1	NW 1	NE 1	7	8	1	.	
25	12.8	20.1	17.5	16.8	4.7	711.0	710.5	710.3	89	76	91	WNW 1	W 1	SE 1	9	9	9	.	⌓ I
26	14.1	21.0	16.2	17.1	5.2	710.2	710.2	712.3	93	73	96	SE 1	W 1	SE 1	9	9	10	**28.3**	◔ 17¼ 21¼, K$_\lambda$, ⌓ I
27	15.0	14.4	13.9	14.4	2.7	713.3	714.6	716.1	99	83	89	ENE 1	NE 1	ENE 1	10●	10	9	0.7	● 3¼–11¼ mU
28	11.2	13.9	11.4	12.2	0.7	717.7	717.8	717.7	89	83	79	NNE 1	NNE 1	NE 2	7	9	3	.	
29	8.3	13.5	10.8	10.9	–0.4	**717.9**	717.5	716.2	78	78	83	N 1	NE 1	NNE 1	10	8	0	.	
30	**7.1**	11.3	9.6	9.3	–1.8	716.0	715.4	717.2	79	77	91	NNE 1	NNE 1	NW 1	10	10	1	.	
Mittel	11.7	19.9	15.1	15.6	—	714.2	713.8	714.1	90	65	85				5.6	5.4	3.7	Summe 37.4	

$\lambda = 6°\,57'$, $\beta = 47°\,00'$,
$H_b = 487.3$ m, G = 0.00 mm

Neuchâtel

September 1959
Beobachter: *Observatoire Cantonal*

1	11.6	20.6	16.3	16.2	–0.3	720.5	720.5	720.1	71	44	47	ENE 2	ENE 2	NNE 2	1	0	0	.	⌿ n–n mU
2	12.1	20.5	17.0	16.5	0.1	720.5	719.7	719.3	72	47	52	NE 1	NE 2	NNE 2	2	7	8	.	
3	12.6	21.2	17.2	17.0	0.7	720.0	719.7	721.0	71	51	62	NE 2	SE 1	NE 2	2	3	10	.	
4	14.2	20.9	17.6	17.6	1.4	722.2	722.0	721.2	64	50	63	NE 1	SE 1	NNE 2	8	8	0	.	
5	13.4	18.2	16.5	16.0	–0.1	719.3	718.9	718.8	78	64	55	NE 1	E 1	NE 2	9	10	0	.	
6	11.6	22.2	15.5	16.4	0.4	719.9	719.7	721.2	87	42	64	NE 1	ENE 2	N 1	1	1	0	.	
7	12.2	22.8	16.4	17.1	1.3	722.0	721.3	722.2	69	**38**	46	ENE 1	ENE 3	NNE 2	0	1	0	.	⌿ a–n mU
8	10.9	20.0	16.9	15.9	0.2	724.1	723.9	724.3	85	44	60	NNE 0	SE 1	N 1	0	1	0	.	
9	10.9	22.9	18.3	17.4	1.8	724.8	723.9	723.7	95	39	46	N 0	E 2	NNE 2	1	0	0	.	
10	12.3	22.4	17.9	17.5	2.1	725.0	724.4	724.0	91	42	61	NE 1	SE 1	NNE 1	1	0	0	.	
11	13.0	24.2	19.3	18.8	3.5	724.4	723.0	722.3	95	46	41	N 0	SE 1	N 1	1	0	0	.	⌓ I
12	11.5	24.2	18.2	18.0	2.8	722.3	720.3	719.9	87	39	57	W 0	SSE 1	SE 1	0	0	1	.	
13	14.8	24.6	19.4	19.6	4.6	719.9	718.5	718.3	85	41	66	S 1	SSE 1	N 0	0	0	5	.	
14	14.6	23.7	18.1	18.8	3.9	717.8	**717.0**	718.5	91	44	84	NW 0	SE 1	SW 0	8	3	10	0.0	tr 21½
15	16.3	23.3	17.2	18.9	4.2	719.1	719.0	719.1	91	48	76	SE 1	SSE 1	W 0	10	2	1	.	
16	15.0	22.9	17.2	18.4	3.8	719.1	718.2	717.7	93	51	78	W 0	SW 1	N 0	8	7	7	0.7	∴ 15½
17	16.9	17.6	14.6	16.4	2.0	717.6	718.4	720.2	91	95	94	SW 0	ENE 1	N 0	9	10●	9	**34.6**	● 0 1, 11¾–18½, K$_\lambda$
18	13.7	21.2	15.7	16.9	2.7	721.3	721.5	722.8	85	45	49	NNE 2	NE 2	NNE 2	4	0	0	.	⌿ a–18 mU
19	10.8	19.7	16.6	15.7	1.6	723.5	723.2	723.0	74	48	58	NE 1	E 1	NE 1	2	0	1	.	
20	11.3	20.7	16.9	16.3	2.4	724.0	723.7	723.4	89	49	61	NNE 1	SE 1	N 1	0	0	0	.	
21	11.7	20.9	17.2	16.6	2.9	724.5	724.2	724.0	93	54	79	NW 0	SW 1	W 2	0	1	2	.	
22	13.6	20.4	17.3	17.1	3.5	724.6	724.6	724.7	94	64	84	WNW 0	SW 1	ENE 0	0	1	0	.	
23	14.7	24.1	20.5	19.8	6.4	724.6	723.5	722.7	95	48	65	ENE 0	S 1	NE 1	0≡	1	1	.	≡ n–9¾
24	15.2	**24.9**	18.3	19.5	6.3	721.6	719.9	718.7	90	48	73	NE 0	SSE 1	NE 0	0	1	0	.	
25	14.2	20.2	17.3	17.2	4.2	718.5	717.8	717.5	88	59	82	NE 0	SSE 1	SSE 1	0	1	1	.	
26	14.6	20.1	16.7	17.1	4.3	717.8	717.7	719.7	95	74	94	ESE 0	S 1	ESE 0	0	1	0	1.7	● 17¼ 17¼, 20¾ 21¼
27	15.3	17.4	15.5	16.1	3.5	720.7	722.0	723.4	95	68	63	E 0	E 2	ENE 1	10	10	0	.	● 0–5½ mU
28	12.4	15.5	13.7	13.9	1.5	725.2	725.4	**725.5**	74	62	47	NE 2	NE 3	NE 2	8	7	0	.	⌿ n–n mU
29	10.6	16.8	13.4	13.6	1.4	**725.5**	725.3	723.9	56	49	44	NE 2	SE 1	NE 2	10	0	0	.	⌿ 16–n mU
30	**9.3**	13.9	9.5	10.9	–1.1	723.8	723.0	724.8	56	54	77	NE 1	ENE 2	N 1	10	3	0	.	
Mittel	13.0	20.9	16.7	16.9	—	721.8	721.3	721.5	83	52	64				3.5	2.6	1.9	Summe 37.0	

September 1959
Beobachter: *Eidg. Armeemagazine*

Altdorf

$\lambda = 8° 38'$, $\beta = 46° 52'$,
$H_b = 450.7$ m, G = –0.08 mm

Tag	Lufttemperatur					Luftdruck			Relative Feuchtigkeit			Windrichtung und Stärke			Bewölkung			Niederschlag	Witterung
	7^{30}	13^{30}	21^{30}	Mittel	Abweich. vom Normalst	7^{30}	13^{30}	21^{30}	7^{30}	13^{30}	21^{30}	7^{30}	13^{30}	21^{30}	7^{30}	13^{30}	21^{30}		
1	10.8	19.0	13.2	14.3	–1.7	724.0	723.5	723.2	95	71	94	S 0	NW 1	SSE 0	9	2	0	.	
2	12.2	18.8	12.6	14.5	–1.4	724.3	722.7	722.5	100	70	91	S 0	NNW 2	SE 0	8	4	0	.	⊿ I, III
3	11.8	18.8	16.2	15.6	–0.2	723.0	722.7	723.9	100	67	92	SE 0	NW 1	NW 0	6	9	8	.	⊿ I
4	12.0	20.6	14.8	15.8	0.1	725.0	724.8	724.3	100	69	98	SE 0	NW 1	S 0	6	6	0	.	⊿ I
5	12.6	17.2	14.2	14.7	–0.9	722.2	721.8	721.8	100	81	100	NW 0	NW 0	NW 0	9	10	10	.	⊿ I
6	13.6	17.2	13.2	14.7	–0.8	722.3	722.8	724.2	89	75	88	NW 1	NW 1	E 0	10	8	0	.	
7	9.4	20.8	13.6	14.6	–0.8	725.4	724.4	725.4	100	60	77	S 1	NNW 3	SE 0	0	7	0	.	⸗ a-p, ⊿ I
8	9.4	20.2	14.6	14.7	–0.6	726.8	726.6	727.3	100	67	88	E 0	NW 1	SE 0	1	3	0	.	⊿ I
9	10.4	20.4	15.8	15.5	0.3	727.6	726.5	726.7	100	67	95	SE 1	NW 1	S 0	0	1	2	.	⊿ I
10	12.0	22.0	15.8	16.6	1.5	727.7	727.0	727.1	98	63	96	SE 1	N 1	SSE 0	0	0	0	.	
11	11.6	22.6	15.8	16.7	1.7	727.5	726.0	725.5	95	65	95	SE 1	N 1	SSE 0	0	1	0	.	⊿ I
12	11.6	23.0	15.8	16.8	1.9	724.8	723.0	722.7	97	65	95	SE 1	NW 1	SSE 1	0	0	2	.	⊿ I
13	13.8	**24.4**	16.6	18.3	3.6	722.8	721.0	721.1	97	**59**	91	SE 1	NW 1	ESE 0	2	3	0	.	
14	12.4	22.0	17.2	17.2	2.6	720.7	**719.7**	720.7	100	70	98	SE 0	NW 1	SSE 0	5	2	4	.	
15	14.2	22.8	17.6	18.2	3.7	722.2	721.5	722.0	97	70	91	SE 1	NW 2	SSE 0	0	3	6	.	
16	12.8	21.6	16.6	17.0	2.6	722.1	720.8	720.5	92	71	100	SE 1	NW 1	SSE 0	1	9	10	**28.2**	● 15¾–n mU
17	15.2	17.2	14.4	15.6	1.4	721.0	721.6	722.9	100	95	100	SE 0	NW 1	NW 1	10●	10●	9	4.9	● n-p mU
18	13.8	19.2	13.4	15.5	1.4	724.2	724.3	726.1	92	78	98	SE 1	NNW 2	SSE 0	7	2	5	.	⊿ III
19	13.8	19.4	13.0	15.4	1.4	726.2	726.1	726.3	89	76	96	SSE 0	NNW 1	S 0	2	2	0	.	
20	11.6	18.6	13.4	14.5	0.7	727.0	726.9	726.7	99	78	99	S 0	NW 1	SSE 1	9	1	0	.	
21	10.0	21.0	16.0	15.7	2.0	727.6	726.8	726.4	100	68	96	SE 0	W 0	SE 0	9	7	4	.	⊿ I
22	14.6	21.0	16.0	17.2	3.7	727.4	727.4	727.7	91	80	95	SE 0	W 0	SE 0	9	9	2	.	
23	15.0	22.8	17.8	18.5	5.2	727.6	726.1	725.7	97	72	100	SE 1	N 0	SE 0	6	3	0	.	⊿ I
24	15.6	22.0	17.6	18.4	5.2	724.5	722.6	721.9	100	79	100	SE 0	NW 1	SSE 1	6	9	0	.	
25	14.4	18.2	15.8	16.1	3.1	720.9	720.9	720.8	100	93	100	SE 0	NW 1	SE 0	9	10	2	3.8	● 14–n mU, ⊿ I
26	13.4	18.6	15.4	15.8	3.0	720.6	720.8	722.3	100	85	100	SE 1	S 0	S 0	6	10	8	0.9	● n (26./27.)
27	16.0	16.6	15.0	15.9	3.2	722.9	724.0	726.8	100	93	100	NW 1	NW 2	NW 2	10●	10	9	1.0	● n-a
28	13.8	15.6	13.4	14.3	1.8	728.2	728.4	**728.6**	96	85	100	NW 0	NW 1	NW 0	10	10	10	.	
29	11.6	13.6	12.8	12.7	0.4	728.3	728.4	726.9	90	81	100	NW 0	NW 1	NW 0	10	10	10	.	
30	10.4	15.2	**8.2**	11.3	–0.8	726.5	726.4	727.8	87	78	100	NW 1	NW 1	SW 1	10	2	0	.	
Mittel	12.7	19.7	14.9	15.7	—	724.7	724.2	724.5	97	74	96				5.7	5.4	3.4	Summe 38.8	

September 1959
Beobachter: *Observatoire*

Genève

$\lambda = 6° 09'$, $\beta = 46° 12'$,
$H_b = 405.0$ m, G = –0.05 mm

1	**11.1**	17.9	17.6	15.5	–1.4	727.7	727.4	727.0	75	56	61	S 1	NNE 1	N 1	7	3	2	.	
2	14.1	17.7	17.0	16.3	–0.5	727.4	726.4	726.2	65	57	70	N 1	N 1	NNW 1	8	10	10	.	● tr p
3	15.3	18.8	15.4	16.5	–0.2	726.7	727.0	728.4	65	55	89	N 1	N 1	N 1	10	10	10●	4.1	● 19–24¼
4	14.4	21.0	17.2	17.5	0.9	729.1	728.7	727.7	98	44	73	W 0	NE 1	N 1	10	4	2	.	
5	15.5	17.5	16.8	16.6	0.1	726.0	725.9	725.6	85	68	73	E 1	N 1	N 1	10	10	10	.	
6	15.4	18.3	17.2	17.0	0.6	726.7	726.5	727.6	63	58	57	NNE 2	NNE 1	ENE 1	9	3	1	.	
7	11.5	20.2	17.3	16.3	0.0	728.8	727.9	728.7	90	**43**	48	SSW 1	NNE 2	NNE 2	2	1	1	.	
8	11.2	19.3	16.9	15.8	–0.3	731.3	730.7	731.1	81	52	74	S 1	NE 1	W 1	4	6	1	.	
9	11.5	20.3	16.7	16.2	0.2	731.8	730.9	730.8	92	52	61	S 1	NNE 1	N 1	1	1	1	.	
10	12.3	21.0	17.9	17.1	1.2	732.0	730.9	730.8	87	50	78	S 0	NNE 1	N 1	0	0	1	.	
11	13.3	22.1	18.9	18.1	2.3	731.4	729.9	729.0	92	57	75	SE 0	N 1	N 0	0	0	1	.	
12	14.1	23.4	20.5	19.3	3.6	728.9	726.8	727.1	92	53	54	S 1	N 1	SSW 1	0	1	0	.	
13	15.3	22.2	19.8	19.1	3.6	727.0	725.4	725.2	82	65	57	WSW 1	ENE 1	WSW 1	3	5	8	.	
14	17.0	19.8	18.0	18.3	2.9	725.0	724.7	725.6	80	67	91	E 0	SE 1	NE 1	8	10●	10	0.3	● 9½–10¾, 13½
15	16.1	22.1	18.8	19.0	3.7	726.2	726.1	726.3	96	60	88	SE 1	N 1	SSW 0	10	8	3	.	
16	15.4	**25.0**	20.1	20.2	5.1	726.3	725.4	724.7	94	**43**	66	SE 0	S 1	S 0	9	7	10	.	
17	17.0	17.1	16.2	16.8	1.8	724.8	725.1	726.8	93	91	98	NE 1	S 1	SW 1	8	10●	10	4.3	● 12½ 16¾, 18¼–18½
18	16.1	19.5	15.9	17.2	2.4	727.6	728.4	729.7	91	61	63	NNE 2	N 1	NNE 1	10	3	2	.	
19	12.2	18.8	17.3	16.1	1.4	730.5	729.9	730.1	81	58	73	W 0	NNE 1	N 1	10	3	8	.	
20	11.9	19.9	17.5	16.4	1.9	730.9	730.8	730.2	96	65	82	S 1	N 1	N 1	2	0	1	.	
21	13.2	20.2	17.5	17.0	2.7	731.9	731.5	731.2	95	66	83	S 0	NE 1	ENE 1	10	10	4	.	
22	16.6	24.1	20.2	20.3	6.2	731.7	731.7	731.6	86	49	73	SE 0	S 2	SW 1	10	4	3	.	
23	15.6	23.5	19.6	19.6	5.7	731.6	730.2	729.4	95	64	88	S 1	NNE 1	W 1	1	2	0	.	
24	17.2	22.7	19.6	19.8	6.1	728.5	726.7	725.4	92	56	75	W 1	NNE 1	W 0	6	9	2	15.4	
25	15.8	19.5	18.1	17.8	4.3	725.5	724.7	**724.6**	100	79	91	NW 0	NNE 1	N 1	10=●	5	2	1.2	⛆ 5¾–8½ mU, ≡ n–a
26	15.1	20.2	16.3	17.2	3.9	724.8	725.1	727.1	100	74	97	SE 1	NNE 1	S 1	10=	8	10●	**37.1**	⛆ 19½ n mU, ≡ n-a
27	14.4	16.5	16.7	15.9	2.8	727.8	728.4	729.6	100	94	65	S 1	W 1	NNE 2	10	10	10	.	⛆ n–7¾ mU
28	14.2	15.3	14.9	14.8	1.9	731.8	732.1	732.2	77	72	75	NNE 2	NNE 2	NNE 1	10	10	10	.	
29	12.5	15.0	14.8	14.1	1.4	**732.3**	731.9	730.8	62	61	70	NNE 1	NNE 1	N 1	10	3	10	.	
30	11.7	15.6	12.9	13.4	0.9	730.4	729.6	731.9	61	62	75	N 1	NNE 1	NNE 1	10	3	2	.	
Mittel	14.2	19.8	17.4	17.2	—	728.8	728.2	728.4	86	61	74				6.9	5.3	4.8	Summe 62.4	

$\lambda = 8°\,34'$, $\beta = 47°\,23'$,
$H_b = 569.4$ m, $G = -0.01$ mm

Zürich

September 1959
Beobachter: *Meteorologische Zentralanstalt*

Tag	Lufttemperatur 7³⁰	13³⁰	21³⁰	Mittel	Abweich. vom Normalst	Luftdruck 7³⁰	13³⁰	21³⁰	Relative Feuchtigkeit 7³⁰	13³⁰	21³⁰	Windrichtung und Stärke 7³⁰	13³⁰	21³⁰	Bewölkung 7³⁰	13³⁰	21³⁰	Niederschlag	Witterung
1	9.0	19.6	13.2	13.9	−1.2	713.6	713.5	713.4	87	46	63	NE 1	NNE 2	NE 2	0	1	0	.	△ I, III
2	9.3	18.7	13.6	13.9	−1.1	713.5	712.8	712.6	85	55	69	NNE 1	NE 2	NE 1	2	3	1	.	△ I, III
3	9.9	18.7	13.9	14.2	−0.7	712.9	713.1	714.1	86	60	70	NNE 1	NNE 1	NE 1	6	4	0	.	△ I, III
4	10.8	19.3	14.2	14.8	0.0	715.1	715.0	714.1	86	61	81	NE 1	NNE 1	NE 1	3	7	0	.	△ I, III
5	11.1	18.3	11.9	13.8	−0.9	712.0	711.6	711.7	87	67	82	NE 1	NE 1	NE 1	6	10	0	.	△ I, III
6	10.1	18.0	12.0	13.4	−1.2	712.8	713.0	714.2	89	59	82	NNE 1	NE 2	NE 1	5	4	1	.	△ I, III
7	10.4	20.8	12.8	14.7	0.2	715.1	714.9	715.7	84	45	71	NE 1	NE 2	NE 1	0	2	0	.	△ I, III
8	9.4	20.3	13.1	14.3	0.0	716.6	716.9	717.2	91	53	89	NE 0	SW 1	NE 0	0	0	0	.	△ I, III
9	10.7	22.2	15.1	16.0	1.8	717.4	716.9	717.0	92	50	68	NE 1	NNE 2	NE 1	0	0	0	.	△ I, III
10	10.8	22.7	15.3	16.3	2.2	717.6	717.1	716.9	90	51	87	NNE 0	E 1	NE 0	1	0	0	.	△ I, III
11	12.1	24.4	15.1	17.2	3.3	717.0	716.2	715.2	96	44	70	NE 0	E 1	NE 0	0	1	0	.	△ I
12	11.9	23.6	16.5	17.3	3.5	714.5	713.0	712.6	95	47	84	ENE 0	W 1	E 0	0	0	1	.	△ I, III
13	14.1	**25.8**	16.9	18.9	5.3	712.5	711.3	710.8	90	**39**	81	SSE 0	ESE 1	NE 0	1	0	1	.	△ I, III
14	13.5	23.3	16.6	17.8	4.3	710.8	**709.9**	710.8	90	49	78	NNE 1	NE 2	NNE 1	4	0	9	.	△ I, III
15	12.9	22.9	16.5	17.4	4.0	711.9	711.7	711.9	87	53	90	NE 0	WSW 1	E 0	0	0	9	.	△ I, III
16	14.8	24.9	18.9	19.5	6.3	711.8	710.6	710.3	94	45	69	SSE 0	S 1	WSW 1	2	8	8	0.4	△ I, III
17	15.9	17.8	14.3	16.0	2.9	710.4	711.5	713.1	92	83	99	S 1	S 1	NE 1	9	9	9	2.8	● 6¾–11¾ mU
18	9.8	19.5	12.3	13.9	1.0	714.7	714.9	716.1	90	52	70	NNE 1	NE 1	NNE 2	7	1	0	0.1	△ I, III
19	8.2	19.3	13.5	13.7	0.9	716.3	716.3	716.4	83	55	70	NE 1	NE 1	NE 2	0	0	0	.	△ I, III
20	8.8	20.4	12.8	14.0	1.4	717.0	716.7	716.5	87	54	92	NE 1	ENE 1	E 1	0	0	0	.	△ I, III
21	11.6	20.1	15.5	15.7	3.3	717.0	716.7	716.2	97	63	89	S 1	WNW 1	S 1	10≡	7	0	.	≡ 5½–8½, △ I
22	14.0	23.9	17.3	18.4	6.1	717.0	716.9	717.4	88	52	93	SSW 1	WSW 2	N 0	3	7	8	.	△ I, III
23	15.9	24.8	18.3	19.7	7.6	717.1	716.1	715.5	91	51	83	WSW 0	SW 1	WNW 1	6	3	8	.	△ I, III
24	16.5	23.5	16.3	18.8	6.9	714.3	713.0	711.7	95	51	75	E 0	W 1	N 1	7	6	0	.	△ I
25	12.5	17.4	15.5	15.1	3.4	711.1	711.0	710.5	90	76	95	NE 1	NE 1	SE 1	10	8	9	.	△ I
26	12.9	19.5	15.3	15.9	4.4	710.5	710.7	712.6	96	68	98	NE 1	W 1	N 1	10≡	9	10	**8.7**	● 19½–20¼, 22½-n, ≡ 6¾ 10
27	14.5	16.8	12.9	14.7	3.4	713.7	714.8	716.9	96	74	91	N 1	NNW 1	NNE 1	10●	8	9	0.4	● n-5½, 7¼ 10½, △ III
28	10.1	17.3	10.5	12.6	1.5	718.4	718.1	**718.8**	88	55	63	NNE 1	NE 2	ENE 1	7	2	0	.	△ I, III
29	6.6	16.5	9.2	10.8	−0.1	718.4	717.9	716.9	80	50	57	NE 1	NE 2	NE 1	1	0	0	.	△ I
30	**5.3**	13.5	8.1	9.0	−1.7	716.5	716.3	717.1	80	61	75	NNE 1	NE 1	NNE 1	8	1	0	.	△ I, III
																		Summe	
Mittel	11.5	20.5	14.2	15.4	—	714.6	714.3	714.5	89	56	80				3.9	3.4	2.8	12.4	

$\lambda = 6°\,32'$, $\beta = 46°\,51'$,
$H_b = 1601$ m, $G = -0.16$ mm

Chasseron

September 1959
Beobachter: *J. Liardon*

1	4.8	9.0	7.2	7.0	—	630.3	631.4	631.2	84	84	77	E 3	E 1	E 2	3	4	3	.	
2	7.2	10.2	7.2	8.2	—	630.9	630.8	630.7	87	78	90	E 2	E 1	E 2	6	6	9	.	△ I
3	7.6	11.6	7.6	8.9	—	630.6	631.1	632.1	93	84	100	SE 1	WNW 1	E 2	4	7	10	0.0	● tr p, △ I
4	8.1	12.2	8.8	9.7	—	632.8	633.3	632.6	82	56	72	NE 1	SSE 2	E 2	6	6	4	.	△ I
5	8.8	11.0	7.2	9.0	—	630.2	630.5	630.2	89	81	90	E 2	C 0	E 2	8	10	7	.	≡ 20-n mU
6	6.0	9.6	7.0	7.5	—	630.2	631.1	631.9	95	70	92	E 2	E 2	E 2	5	6	3	.	△ I
7	7.2	10.4	7.2	8.3	—	632.1	632.8	632.8	59	57	72	E 3	E 3	E 3	2	2	1	.	⸝ n-n
8	7.4	11.6	9.0	9.3	—	633.9	635.0	635.4	85	68	87	WSW 1	WNW 2	E 2	0	4	1	.	△ I
9	9.4	12.4	9.6	10.5	—	635.1	635.6	635.2	67	74	72	N 2	E 1	E 2	0	2	0	.	△ I
10	11.2	16.0	12.2	13.1	—	635.6	636.4	636.3	73	60	74	E 1	WNW 1	E 2	0	0	0	.	△ I
11	13.0	17.0	13.0	14.3	—	635.7	635.7	635.2	75	71	57	E 2	S 1	E 2	0	2	0	.	△ I
12	14.2	**17.4**	13.0	14.9	—	633.6	633.1	632.9	67	**55**	61	ENE 1	NW 1	NW 2	0	2	0	.	△ I
13	12.2	14.8	12.6	13.2	—	631.9	631.6	631.3	61	60	70	C 0	WNW 1	E 2	1	4	7	.	
14	10.8	13.8	11.4	12.0	—	639.9	630.1	630.6	88	58	88	E 2	E 2	ESE 2	7	6	10	0.0	● tr 19½
15	9.6	13.8	11.8	11.7	—	630.9	631.6	631.5	100	83	65	SSE 1	WSW 1	ESE 2	6	8	4	0.0	● tr 13½
16	10.0	12.6	11.6	11.4	—	631.2	631.0	630.2	100	89	86	S 2	S 2	W 2	4	8	8	.	
17	10.2	9.6	8.8	9.5	—	**629.8**	630.5	631.4	100	87	100	WNW 3	N 1	E 2	10≡	10≡	10	**17.8**	⛆ 10¾-19 mU, ⛆, ≡ n-20 mU
18	7.0	11.2	7.2	8.5	—	631.8	632.9	633.4	100	60	72	E 3	E 2	E 3	10≡	2	0	.	≡ n-9½ mU, ⸝ n-n mU
19	9.4	12.6	9.0	10.3	—	633.6	634.4	634.3	61	73	100	WSW 1	WNW 1	E 3	3	6	2	.	△ I, ⸝ p-n
20	10.4	14.4	11.4	12.1	—	634.7	635.5	635.3	87	67	65	N 1	C 0	E 2	0	4	3	.	△ I
21	10.0	14.0	11.0	11.7	—	635.7	635.9	635.4	77	74	**55**	W 2	W 2	S 2	6	7	3	.	⸝ a-p mU, △ I
22	10.4	12.6	12.4	11.8	—	635.6	**636.7**	636.6	99	93	100	W 3	WNW 3	WNW 3	8	8	10≡	.	≡ 20¾-n, ⸝ n-n
23	12.2	16.2	12.0	13.5	—	636.3	636.4	635.8	87	65	89	WSW 2	NW 3	NW 2	3	6	4	.	⸝ n-n mU, △ I
24	11.0	15.2	12.2	12.8	—	633.6	633.1	631.8	100	64	88	WNW 2	WNW 2	SE 2	5	8	5	.	⸝ n-9 mU
25	9.8	12.4	11.4	11.2	—	630.4	630.2	630.2	100	88	88	SE 2	W 2	SE 2	10	8	7	.	△ I
26	11.6	11.8	9.8	11.1	—	630.0	630.1	631.4	88	97	100	S 2	WNW 2	NW 2	4	10	10●	5.0	● 17¾-n mU, ≡ 15-n mU, △ I
27	8.7	8.9	7.2	8.3	—	632.1	633.0	633.8	100	100	96	NE 2	E 2	E 3	10	10	6	.	≡ n-17½, ⸝ n-n mU
28	5.2	8.0	**4.2**	5.8	—	634.4	634.9	634.7	100	93	96	E 3	E 3	E 3	3	3	4	.	≡ n-7, 15½-20, ⸝ n-n
29	8.6	12.8	5.0	8.8		634.7	635.2	634.1	87	71	100	C 0	WNW 2	E 2	1	2	0	.	△ I
30	8.6	13.4	9.0	10.3	—	632.9	633.1	634.4	87	67	93	WNW 2	WNW 2	SSE 2	2	2	0	.	△ I
																		Summe	
Mittel	9.4	12.5	9.6	10.5	—	632.8	633.1	633.1	86	74	83				4.2	5.4	4.4	22.8	

September 1959
Beobachter: *Stationspersonal Rh. B.*

Bever

$\lambda = 9° 53'$, $\beta = 46° 33'$,
$H_b = 1711.8$ m, G = –0.26 mm

Tag	Lufttemperatur 7³⁰	13³⁰	21³⁰	Mittel	Abweich. vom Normalst	Luftdruck 7³⁰	13³⁰	21³⁰	Relative Feuchtigkeit 7³⁰	13³⁰	21³⁰	Windrichtung und Stärke 7³⁰	13³⁰	21³⁰	Bewölkung 7³⁰	13³⁰	21³⁰	Niederschlag	Witterung
1	3.6	13.6	5.6	7.6	–1.8	622.7	621.8	622.9	87	41	81	NE 0	SW 2	NW 0	9	2	1	.	
2	4.7	11.0	6.0	7.2	–2.1	623.5	622.8	623.0	89	53	81	NW 0	SW 2	NW 0	8	9	6	.	
3	6.2	9.2	7.4	7.6	–1.5	623.0	622.9	623.3	83	64	78	NW 0	SW 2	SW 0	10	10	8	.	
4	7.2	14.2	8.4	9.9	0.9	624.5	623.9	625.3	88	47	80	NW 0	SW 1	W 0	10	9	8	.	
5	6.8	13.9	7.4	9.4	0.5	623.2	622.0	621.5	90	47	83	W 0	SW 0	W 0	6	10	10	.	
6	8.0	14.8	8.8	10.5	1.7	620.8	**619.8**	622.5	91	41	53	NE 0	NW 2	NW 1	8	6	0	.	
7	–0.3	15.2	5.9	6.9	–1.7	623.7	622.7	624.8	95	31	84	SW 0	N 0	NW 0	1	4	3	.	⌊ I
8	2.2	13.2	3.6	6.3	–2.2	625.9	625.4	626.5	94	47	90	NW 0	SW 0	NW 0	2	1	0	.	
9	–0.4	20.0	5.2	8.3	–0.1	624.5	624.5	626.6	88	30	67	NW 0	NW 0	W 0	10≡	0	0	.	≡ n-a
10	–1.7	19.2	6.5	8.0	–0.2	626.0	625.1	627.0	96	39	69	SW 0	SW 1	SW 0	10≡	0	0	.	≡ n-a
11	–1.9	**21.7**	5.0	8.3	0.2	626.0	625.0	626.4	89	**18**	63	SW 0	SW 0	SW 0	0	0	0	.	
12	–0.9	18.6	6.5	8.1	0.1	625.6	623.3	624.7	94	34	71	SW 0	SW 0	SW 0	0	0	0	.	
13	1.5	19.2	7.4	9.4	1.6	623.0	622.1	622.5	98	26	86	SW 0	SW 0	SW 0	0	0	1	.	
14	4.5	17.9	8.2	10.2	2.5	622.7	622.3	622.3	100	42	86	NW 0	SW 0	SW 0	6	2	4	.	
15	6.6	17.0	7.0	10.2	2.6	623.0	622.0	622.1	98	42	97	SW 0	SW 0	SW 0	10≡	4	10	.	≡ n-9½
16	8.0	19.0	8.9	12.0	4.6	622.7	622.3	621.2	81	47	84	SW 0	SW 0	NW 0	10	8	4	2.4	● n (16./17.)
17	8.6	13.6	8.0	10.1	2.8	620.6	620.6	622.2	91	52	87	NE 0	NE 0	NE 0	9	9	10	.	
18	–0.8	17.8	5.0	7.3	0.1	623.6	622.8	625.3	96	28	90	NW 0	SW 0	SW 0	10≡	0	0	.	● n-a
19	–0.3	17.8	5.0	7.5	0.5	625.2	623.4	625.5	96	29	81	NW 0	SW 0	SW 0	0	0	0	.	
20	–1.0	20.0	8.0	9.0	2.1	626.1	625.0	626.8	96	33	94	NW 0	SW 1	SW 0	0	0	0	.	
21	–1.0	15.5	7.8	7.4	0.6	627.1	627.0	627.1	69	38	56	SW 0	SW 1	NW 0	5	10	1	.	
22	0.1	18.4	6.2	8.2	1.6	**628.1**	627.0	626.5	93	35	62	W 0	N 1	NW 0	6	9	2	.	⌊ I
23	1.5	19.4	8.0	9.6	3.1	627.7	626.0	626.4	94	34	74	SW 0	SW 0	W 0	2	8	0	.	
24	3.2	18.7	9.4	10.4	4.0	625.0	622.9	622.9	93	34	71	W 0	NW 0	NW 0	9	6	8	.	
25	5.0	15.0	10.2	10.1	3.9	621.9	620.7	622.5	94	59	82	NW 0	SW 0	SW 0	6	10	10	.	
26	7.5	13.0	10.0	10.2	4.1	622.4	622.6	623.1	99	44	90	W 1	W 0	SW 0	10	10	10	2.7	● 7½-n mU
27	9.4	11.0	9.3	9.9	3.9	622.7	622.8	625.4	94	75	83	SW 0	NE 0	NE 0	10●	10	10	**3.4**	● n-p mU
28	2.6	16.0	4.4	7.7	1.9	627.2	626.0	627.5	97	34	70	NW 0	NE 0	N 0	10≡	1	0	.	≡ 7-9½
29	**–2.3**	15.8	6.2	6.6	0.9	627.6	625.4	626.1	96	43	89	W 0	SW 1	SW 0	0	1	8	.	⌊ I
30	5.8	12.4	0.0	6.1	0.6	625.1	624.6	627.3	86	44	87	SW 0	SW 1	SW 0	10	0	0	.	
Mittel	3.1	16.1	6.8	8.7	—	624.4	623.5	624.6	92	41	79				6.2	4.6	3.8	Summe 8.5	

September 1959
Beobachter: *Couvent des Capucins*

Sion

$\lambda = 7° 22'$, $\beta = 46° 14'$,
$H_b = 548.6$ m, G = –0.14 mm

1	14.7	20.2	15.7	16.9	–0.1	715.8	714.5	715.3	75	57	70	W 0	WSW 1	S 0	4	3	0	.	△ I
2	15.3	20.4	16.6	17.4	0.5	715.4	714.4	714.9	75	59	59	S 0	S 0	S 0	9	9	10	.	△ I
3	14.8	22.4	17.2	18.1	1.3	715.5	714.3	716.0	64	**46**	69	S 0	WSW 1	WSW 0	5	5	10	.	△ I
4	15.5	22.7	17.8	18.7	2.0	717.5	715.9	716.6	79	48	69	W 0	W 0	W 0	7	4	2	.	△ I
5	13.9	19.8	15.7	16.5	–0.1	714.6	713.6	713.6	76	61	81	N 0	NNW 1	NNW 0	4	10	10	.	△ I
6	15.2	20.0	15.1	16.8	0.4	714.1	713.5	715.2	83	57	69	NNW 0	W 1	W 0	9	5	0	.	△ I
7	**12.1**	20.8	15.4	16.1	–0.2	716.7	715.4	716.6	89	55	66	W 0	W 1	W 0	7	1	0	.	△ I
8	12.6	21.2	15.6	16.5	0.3	719.1	718.0	719.0	81	49	65	NW 0	W 1	W 0	6	2	0	.	△ I
9	12.7	21.9	15.5	16.7	0.6	720.0	718.0	718.9	77	51	70	NW 0	W 1	W 1	0	0	0	.	△ I
10	12.8	22.9	17.8	17.8	1.8	719.9	718.3	719.2	85	55	67	W 0	WSW 1	W 0	0	0	0	.	△ I
11	14.3	24.6	19.0	19.3	3.5	719.8	717.5	717.7	71	50	69	W 0	W 0	W 0	0	1	0	.	△ I
12	14.3	24.7	19.4	19.5	3.8	717.9	715.1	715.3	83	49	55	W 0	W 1	NW 1	0	1	0	.	△ I
13	15.0	24.2	17.0	18.7	3.1	715.7	713.5	714.4	86	56	90	NNW 0	S 1	W 1	0	4	10●	4.5	⛆ 19½, ● 20¾-21¾, ⛉, △ I
14	16.6	20.8	17.4	18.3	2.8	713.7	**712.7**	713.9	85	64	96	WNW 0	W 1	W 0	10	10	8	0.1	● 13¾-14, 17-19
15	14.6	22.0	16.7	17.8	2.5	715.0	714.4	715.1	85	59	78	W 0	W 1	W 1	4	9	2	.	
16	13.2	23.6	17.7	18.2	3.0	715.4	713.7	713.2	86	55	76	W 0	WSW 2	W 0	0	5	7	.	△ I
17	15.8	20.6	14.8	17.1	2.0	713.2	713.4	715.1	87	71	95	WSW 0	WSW 1	WSW 0	10	9	10	5.7	● 15¾-18½, △ I
18	13.8	22.0	17.4	17.7	2.8	716.4	715.5	717.2	92	55	75	SW 1	SW 2	W 1	9	1	1	.	
19	15.9	21.8	16.2	18.0	3.2	718.3	717.0	718.1	88	58	72	W 0	WSW 1	W 0	10	3	3	.	
20	14.2	22.4	17.2	17.9	3.3	719.2	717.6	718.6	81	55	74	W 0	WSW 1	W 0	0	1	0	.	△ I, Ψ III
21	13.8	17.2	15.2	15.4	1.0	719.9	720.1	**722.5**	79	75	92	W 0	W 0	W 1	10	10	5	0.8	● 12¾-19½ mU
22	14.8	22.4	18.2	18.5	4.2	720.2	719.5	719.8	86	50	74	W 0	W 0	WSW 1	8	6	0	.	
23	15.6	**24.8**	19.2	19.9	5.8	719.8	717.8	717.7	86	56	66	SW 0	SW 0	W 1	5	4	0	.	△ I
24	15.9	24.0	19.4	19.8	5.9	717.4	714.7	713.8	79	58	72	NW 0	NW 1	W 0	8	7	6	.	△ I
25	16.2	19.0	17.0	17.4	3.7	713.9	714.0	713.9	90	81	91	W 0	E 1	E 0	10●	10	4	2.3	● 7½-10¾, tr 16, tr 17¾-18¾ mU
26	14.8	22.4	18.0	18.4	4.9	713.7	714.5	714.8	90	53	86	E 0	E 0	E 0	4	7	0	**6.6**	● 22¾-n
27	16.3	20.0	17.1	17.8	4.5	715.4	715.8	717.5	92	71	82	WSW 1	W 1	W 0	10	5	10	1.4	● n-7¾, 8¾-9¾
28	16.0	21.0	15.2	17.4	4.3	716.5	718.4	719.7	87	72	81	W 0	WSW 1	WSW 1	10	9	10	.	
29	14.0	19.2	12.9	15.4	2.5	719.7	718.2	718.6	87	64	86	W 0	W 1	W 1	6	1	0	.	
30	13.2	20.8	12.3	15.4	2.7	718.2	716.0	720.0	82	50	84	W 0	W 0	W 0	10	9	0	.	
Mittel	14.6	21.7	16.7	17.6	—	716.9	715.8	716.7	83	58	76				5.8	5.0	3.6	Summe 21.4	

$\lambda = 8°\,58'$, $\beta = 46°\,00'$,
$H_b = 276.2$ m, $G = -0.04$ mm

Lugano

September 1959
Beobachter: *A. Tison*

Tag	Lufttemperatur 7³⁰	13³⁰	21³⁰	Mittel	Abweich. vom Normalst	Luftdruck 7³⁰	13³⁰	21³⁰	Relative Feuchtigkeit 7³⁰	13³⁰	21³⁰	Windrichtung und Stärke 7³⁰	13³⁰	21³⁰	Bewölkung 7³⁰	13³⁰	21³⁰	Niederschlag	Witterung
1	15.0	22.8	16.6	18.1	1.5	739.9	740.0	740.8	79	43	73	NNE 1	S 1	NW 1	10	4	10	.	
2	15.3	20.9	15.6	17.3	-2.2	741.3	741.1	740.7	82	45	73	N 1	SSE 1	N 1	10	9	6	0.7	● n (2./3.)
3	13.4	17.9	15.4	15.6	-3.8	740.6	740.7	741.3	88	74	85	WNW 1	SSW 1	N 1	10	10	10	.	
4	14.8	23.3	18.3	18.8	0.4	742.2	742.0	741.6	87	40	70	N 1	S 1	NW 0	9	5	9	.	
5	15.8	19.4	16.0	17.1	-2.0	740.5	739.2	739.1	79	58	78	NNW 1	S 1	SW 1	10	10	10	0.1	☽ n (5./6.)
6	14.7	21.4	13.9	16.7	-2.3	738.2	737.2	738.8	84	45	85	NW 1	SSE 1	N 1	10	9	1	.	
7	12.1	23.8	15.2	17.0	-1.9	739.7	739.1	742.4	88	47	96	N 1	SSE 1	NW 1	2	4	10	4.0	● tr 14¾–15, 18¼–19¾, n (7./8.)
8	13.9	22.4	14.7	17.0	1.8	744.5	744.1	743.7	85	**38**	74	W 1	S 1	N 1	9	3	1	.	
9	**10.9**	24.1	16.4	17.1	1.5	743.4	742.6	742.8	90	42	77	N 1	S 1	N 1	0	0	0	.	
10	12.4	25.7	17.3	18.5	0.0	744.5	743.5	743.1	85	42	74	N 1	S 1	N 1	1	1	0	.	
11	13.3	25.6	17.4	18.8	0.4	743.7	741.9	742.0	91	48	87	N 1	S 1	N 1	0	1	1	.	
12	16.4	**26.3**	18.8	20.5	2.2	742.0	740.5	739.5	93	46	79	N 1	S 1	N 1	7	4	3	.	
13	15.3	25.6	17.9	19.6	1.5	739.1	737.6	737.7	91	48	85	NNW 1	S 1	N 1	6	3	3	.	
14	16.3	25.0	16.7	19.3	1.3	738.1	737.1	737.8	84	47	86	N 1	E 1	N 1	9	6	2	.	
15	14.4	24.4	17.3	18.7	0.8	738.3	738.4	738.9	89	52	82	NNE 1	SSE 1	N 1	1	5	3	.	
16	13.7	25.8	18.2	19.2	1.5	738.8	737.4	736.9	92	48	81	N 1	S 1	N 1	2	4	4	.	
17	14.7	25.1	18.1	19.3	1.7	736.1	**735.0**	735.5	94	51	91	NNW 1	S 1	NNW 1	5	7	2	0.0	● tr 16½
18	14.8	23.7	18.2	18.9	1.5	739.2	740.4	742.3	77	43	77	N 1	S 1	W 0	4	6	10	.	
19	15.3	20.3	15.0	16.9	-0.4	743.3	743.0	742.9	77	51	84	N 1	S 1	N 1	10	8	2	.	
20	11.2	23.7	15.0	16.6	-0.5	743.6	743.0	743.9	92	49	72	NW 1	SSE 1	N 1	1	1	0	.	
21	11.8	19.6	16.4	15.9	-1.1	744.3	743.9	743.3	80	64	83	N 1	WNW 1	NW 0	9	10	6	.	
22	11.4	24.9	18.1	18.1	1.3	743.8	743.3	743.5	93	44	83	N 1	S 1	NNE 1	1	1	2	.	
23	13.6	25.7	18.8	19.4	2.8	743.4	741.9	741.4	95	46	87	N 1	SSE 1	N 1	0	3	1	.	
24	16.4	26.0	19.4	20.6	4.1	740.2	737.8	737.4	94	53	93	N 1	S 1	W 0	9	5	9	.	
25	17.4	19.0	17.7	18.0	1.7	737.2	737.5	737.6	93	89	97	NNE 1	S 1	N 1	9	10☽	10●	17.2	☽ ● n-n
26	17.0	17.0	16.6	16.9	0.8	737.1	737.7	738.8	95	93	96	N 1	NNW 1	NW 1	10●	10●	10●	**28.6**	● n-n
27	15.8	21.0	17.8	18.2	2.2	738.1	738.0	739.8	96	72	95	NW 1	SE 1	N 1	10●	9	7	2.2	● n-10½
28	14.7	24.8	18.1	19.2	3.4	742.4	742.2	743.1	86	48	92	N 1	E 1	NNE 1	7	6	6	.	
29	17.0	16.7	14.6	16.1	0.5	744.6	744.7	744.9	77	58	79	SW 2	SE 1	NNW 0	10	10	10	.	
30	12.8	15.0	13.6	13.8	-1.6	745.2	745.3	**747.0**	68	48	80	SW 1	SSW 1	NW 1	10	10	10	.	
Mittel	14.4	22.6	16.8	17.9	—	741.1	740.5	741.0	87	52	83				6.4	5.8	5.3	Summe 52.8	

$\lambda = 7°\,35'$, $\beta = 47°\,33'$,
$H_b = 317.3$ m, $G = 0.08$ mm

Basel

September 1959
Beobachter: *Astronom.-Meteorol. Anstalt*

1	8.1	21.0	13.9	14.3	-1.4	736.3	735.7	735.4	100	42	63	SW 0	NNW 1	E 1	0	0	0	.	
2	9.2	20.2	15.2	14.9	-0.7	735.8	735.0	734.5	96	50	68	SSW 1	NNW 1	ESE 1	1	3	0	.	
3	10.0	20.4	13.0	14.5	-1.0	735.2	735.1	736.0	97	55	98	SSW 0	NNE 1	SE 0	8	7	0	.	
4	10.4	20.8	13.7	15.0	-0.4	737.2	736.9	736.1	92	57	98	SE 0	NNW 1	ESE 1	9	8	0	.	
5	11.0	20.2	12.6	14.6	-0.7	734.6	734.1	733.9	100	57	99	SSW 0	WNW 1	SE 0	5	9	4	.	
6	10.4	21.6	12.3	14.8	-0.4	735.0	734.9	736.0	98	47	100	SW 0	NNW 1	SE 0	1	1	1	.	△ I
7	9.2	22.7	14.0	15.3	0.2	737.5	737.1	737.3	100	47	65	E 0	WNW 1	S 1	0	2	0	.	△ I
8	10.2	22.1	12.9	15.1	0.2	738.8	738.7	738.7	99	50	97	ESE 0	N 1	SSW 0	0	1	0	.	
9	11.0	23.5	13.4	16.0	1.2	739.3	738.7	738.6	97	49	100	ESE 0	NNW 1	E 0	0	0	0	.	
10	11.6	25.9	15.0	17.5	2.8	739.3	738.7	738.2	97	46	92	ESE 1	NNW 1	S 0	0	0	0	.	
11	12.9	28.4	15.8	19.0	4.4	738.5	737.4	736.8	97	31	87	E 1	SE 1	ESE 1	0	0	1	.	
12	12.7	**28.8**	16.4	19.3	4.9	736.3	734.7	734.3	94	**18**	55	ESE 1	SSW 1	ENE 1	0	1	0	.	
13	13.5	27.5	16.8	19.3	5.0	734.1	733.1	732.8	69	28	88	ESE 1	WNW 1	S 1	2	1	0	.	
14	12.5	23.5	16.3	17.4	3.2	733.1	732.5	733.2	97	51	89	SW 0	WNW 1	SW 1	0	1	3	.	
15	13.4	25.2	17.8	18.8	4.8	733.8	735.6	733.5	100	47	90	E 0	S 1	SSW 0	0	0	9	.	
16	15.2	27.6	16.3	19.7	5.8	733.6	732.2	**732.1**	98	46	92	ESE 1	NW 1	S 1	2	5	6	**2.9**	● 14–15½ mU
17	15.5	20.4	16.3	17.4	3.6	732.7	733.5	734.7	100	83	81	ENE 0	SSW 1	WNW 1	10	7	8	0.0	≡ 10½, ● 3¾–4¼, ☽ 11½
18	9.8	21.2	10.5	13.8	0.2	736.9	736.7	738.2	98	49	71	WSW 0	N 1	WSW 1	0	1	0	.	△ I
19	6.7	21.8	11.5	13.3	0.2	738.4	737.8	738.1	98	47	95	SW 0	E 1	N 0	0	0	0	.	
20	8.9	22.9	11.4	14.4	1.1	739.0	738.3	738.1	84	39	92	E 0	N 1	SW 0	0	0	0	.	
21	10.3	23.7	15.2	16.4	3.2	738.2	738.0	736.2	98	51	56	ESE 1	SE 1	SSE 1	7	3	1	.	
22	13.2	24.7	16.4	18.1	5.1	737.2	738.3	738.7	89	56	96	ESE 1	SSW 1	SSW 0	3	9	2	.	
23	15.8	27.6	17.0	20.1	7.2	738.6	737.5	737.1	97	55	90	ENE 1	WNW 1	SW 1	6	4	0	.	
24	13.3	24.3	15.1	17.6	4.9	736.4	735.0	738.1	100	51	84	S 0	WNW 1	SW 1	8	5	0	.	
25	10.0	22.9	16.6	16.5	3.9	733.4	732.5	732.3	100	52	94	S 0	ENE 1	ESE 1	2	7	7	.	● 6¾–7¾, ⌒ 17¾
26	14.6	25.0	15.7	18.4	6.0	732.4	732.4	734.7	96	59	97	E 1	W 0	SW 1	8	8	10	1.3	● 17¾–19, 23½–n
27	14.4	14.6	11.7	13.6	1.3	735.9	737.4	739.1	98	97	99	NW 1	W 1	SSW 1	10	10	10	2.2	● n -0¾, 6-6¾, 8-9½, *)
28	9.3	17.6	11.8	12.9	0.8	**741.0**	740.5	**741.0**	97	63	57	NW 1	WNW 1	NE 1	10	5	0	.	
29	**6.5**	20.0	11.8	12.8	0.8	740.7	739.6	739.3	95	40	48	WNW 1	SE 1	ESE 1	0	0	0	.	
30	9.0	17.2	8.3	11.5	0.3	738.5	737.7	739.3	61	52	85	ESE 1	ENE 1	SE 0	1	0	0	.	
Mittel	11.3	22.8	14.2	16.1	-	736.6	736.2	736.4	95	50	84				3.1	3.3	2.1	Summe 6.4	

*) **27.** 10-11½, ≡ 9-11

September 1959
Beobachter: *Observatorium*

Säntis

$\lambda = 9° 21'$, $\beta = 47° 15'$,
$H_b = 2500.1$ m, $G = -0.29$ mm

Tag	Lufttemperatur					Luftdruck			Relative Feuchtigkeit			Windrichtung und Stärke			Bewölkung			Niederschlag	Witterung
	7^{30}	13^{30}	21^{30}	Mittel	Abweich. vom Normalst	7^{30}	13^{30}	21^{30}	7^{30}	13^{30}	21^{30}	7^{30}	13^{30}	21^{30}	7^{30}	13^{30}	21^{30}		
1	1.7	4.8	1.8	2.8	−1.2	564.2	565.4	565.5	69	71	85	WSW 2	W 2	W 2	0	4	0	0.0	≡ 12¾–15 mU
2	4.2	6.7	3.3	4.7	0.8	564.9	565.3	565.8	59	79	85	SW 1	SE 2	E 2	3	5	8	0.0	≡ 14½–15½ mU
3	2.5	4.9	3.4	3.6	−0.2	564.5	565.4	565.5	75	91	60	SE 2	E 1	ENE 2	8	6	3	0.0	≡ 12½ 18½ mU
4	6.1	8.8	4.4	6.4	2.7	566.6	567.6	567.3	75	84	86	SE 1	E 2	SE 2	1	10≡	1	0.0	≡ 12–17½
5	4.4	7.6	3.2	5.1	1.5	565.0	564.9	564.2	72	76	38	SE 2	E 1	NNE 2	4	9	4	0.0	⊕ 10½
6	3.7	2.7	**0.2**	2.2	−1.4	**563.6**	564.5	565.8	91	100	97	C 0	NE 1	NNE 2	7	9≡	0	.	≡ 9¾–20½ mU
7	0.6	2.2	1.8	1.5	−2.0	565.8	566.7	567.2	75	100	84	NE 3	NE 2	E 2	1	10≡	0	.	≡ 11¾–18¾
8	3.4	7.7	3.3	4.8	1.4	567.5	568.8	569.3	63	74	83	WNW 2	SSW 2	WNW 2	0	9	0	.	≡ 15–19
9	5.0	7.6	7.3	6.6	3.3	568.7	569.6	569.9	47	62	36	NE 2	ESE 2	NE 2	0	4	0	.	
10	7.8	10.4	8.4	8.9	5.7	570.0	**570.9**	570.7	53	54	21	ENE 2	ESE 1	NNE 2	0	0	0	.	
11	9.8	10.2	9.0	9.7	6.6	569.9	570.1	569.9	**14**	61	23	NE 2	SE 2	W 2	0	1	0	.	
12	9.4	11.0	7.8	9.4	6.3	568.5	568.2	567.7	20	58	45	C 0	SW 2	W 2	1	1	0	.	
13	6.8	9.6	6.4	7.6	4.6	566.5	566.5	566.3	72	76	79	WNW 1	SW 2	NNE 2	1	4	1	.	
14	7.4	8.3	7.8	7.8	4.9	565.0	565.1	565.4	77	86	67	ENE 1	SE 2	SE 2	1	3	9	.	≡ 17¾–20½
15	6.8	**12.3**	6.4	8.5	5.7	565.5	566.2	566.4	78	76	100	SE 2	SSW 2	W 2	1	9	9●	0.0	⛆ 18–18½
16	6.8	10.8	5.8	7.8	5.1	565.7	565.6	564.6	31	74	100	WSW 2	SW 2	W 3	7	10	10≡	16.4	⛆ 17½–18¾, n (16./17.) mU, *)
17	3.0	5.0	2.4	3.5	0.9	564.0	564.6	565.6	100	100	100	NNW 3	NW 2	N 1	10≡●	10≡●	10≡	**29.8**	⛆ n–14¾ mU, ≡ n–n
18	3.4	6.7	5.0	5.0	2.5	566.0	567.0	567.9	38	84	19	WNW 2	SW 2	WNW 1	0	5	0	.	
19	4.1	6.0	5.0	5.0	2.6	567.6	568.5	568.8	56	92	69	W 3	WSW 2	W 2	1	8	1	.	≡ n–6¾
20	6.2	7.9	6.4	6.8	4.5	568.6	569.6	569.9	29	77	69	WSW 1	S 2	SW 2	1	1	0	.	
21	5.7	8.7	5.0	6.5	4.3	569.6	570.0	569.5	72	69	100	WSW 2	W 2	W 3	8	9	1	.	
22	4.8	6.3	7.0	6.0	3.9	569.6	570.6	570.7	100	100	100	W 3	W 3	W 3	10≡	10≡	10≡●	6.9	⛆ 15½–n mU, ≡ n–n
23	6.2	6.4	7.1	6.6	4.6	570.0	570.1	569.6	100	100	100	W 3	W 3	W 2	10≡●	10≡	10≡	3.9	⛆ n–8½, ≡ n–n mU
24	5.4	6.8	4.9	5.7	3.8	567.7	567.2	566.1	100	100	91	W 3	W 2	W 2	10≡	10≡	1	.	≡ n–17¼ mU
25	6.0	7.4	5.6	6.3	4.5	564.8	565.1	565.2	69	100	100	WSW 2	W 3	WSW 3	1	10≡	8	0.0	⛆ 18–18½, ≡ 11½–n mU
26	6.2	8.0	5.7	6.6	4.9	565.0	565.3	566.1	84	89	100	WSW 1	SE 2	W 1	8	9●	10≡	10.6	⛆ 12½–19¾ mU, ● n (26./27.) *)
27	5.0	4.0	1.4	3.5	1.9	566.1	566.9	568.5	100	97	100	NNE 2	NE 2	NE 3	10≡●	9	10≡	5.2	● n–10½, ≡ n–n mU
28	3.8	6.2	5.1	5.0	3.5	569.0	569.6	569.8	68	29	49	E 2	E 2	E 2	1	1	1	.	
29	6.0	7.4	5.1	6.2	4.8	569.2	569.5	568.2	49	61	48	E 3	E 1	ENE 2	1	1	0	.	
30	5.4	5.9	5.0	5.4	4.1	566.8	567.8	568.7	41	48	50	ENE 2	SE 3	S 2	0	1	0	.	
Mittel	5.2	7.3	5.0	5.8	—	566.9	567.4	567.5	68	79	73				3.5	6.3	3.6	Summe 72.8	

*) 16. ≡ n–6½, 14½–n 26. ≡ 20–n

September 1959
Beobachter: *E. Chiesa*

St. Gotthard (Hospiz)

$\lambda = 8° 34'$, $\beta = 46° 33'$,
$H_b = 2095$ m, $G = -0.27$ mm

1	3.4	10.2	4.4	6.0	−0.7	593.4	593.6	594.4	92	74	99	SE 0	SE 1	SE 1	10	6	10≡	.	≡ n–9 mU, 18¾–n
2	3.6	4.0	3.3	3.6	−3.0	594.2	594.5	594.3	98	96	98	SE 1	SE 1	SE 1	10≡❟	10≡	10≡	.	≡ n–n
3	3.2	5.6	3.9	4.2	−2.3	593.6	594.2	594.8	98	91	99	SE 0	SE 1	SE 0	10≡	10	10≡	.	≡ n 11, 19 n
4	4.0	8.8	5.2	6.0	−0.4	595.2	596.4	596.1	99	89	97	SE 0	SE 0	SE 1	10≡	10	10≡	.	≡ n 10½, 18¾–n
5	5.2	7.6	4.7	5.8	−0.5	593.8	593.5	593.0	96	85	99	SE 0	SE 0	SE 0	10≡	10≡	10≡	0.6	● 8¼–a, ≡ n n
6	4.3	6.4	4.0	4.9	−1.3	**592.3**	**592.3**	593.5	95	81	84	NW 1	NW 1	NW 1	9	3	9	.	≡ 15¾–n mU
7	2.8	6.6	5.0	4.8	−1.3	593.9	594.4	595.4	95	74	95	NW 1	NW 1	NW 0	0	3	10≡	0.5	● n (7./8.), ≡ 16¾–n
8	3.0	8.5	5.4	5.6	−0.4	596.6	597.3	597.7	99	74	84	SE 0	SE 1	NW 0	10≡❟	6	0	.	❟ ≡ n–10¾
9	5.4	12.1	7.2	8.2	2.3	597.0	597.2	597.8	76	44	95	NW 1	NW 1	NW 0	0	0	0	.	⌴ I, ⧋ III
10	5.2	13.6	9.0	9.3	3.5	597.6	598.7	598.5	99	63	88	NW 0	SE 0	NW 1	0	0	0	.	⌴ I
11	9.4	14.9	9.4	11.2	5.5	598.0	598.0	598.0	34	**22**	68	NW 0	NW 0	NW 0	0	0	0	.	⧋ I
12	8.4	13.0	7.8	9.7	4.1	596.9	596.6	596.4	64	72	99	SE 0	SE 0	SE 0	0	0	10≡	.	≡ 19¾–n, ⧋ I
13	8.3	14.2	9.0	10.5	5.0	594.9	594.0	594.6	85	51	98	NW 0	NW 0	SE 0	0	3	10	.	
14	8.0	10.6	7.6	8.7	3.3	593.5	593.5	593.9	98	94	99	SE 1	SE 0	SE 0	10≡	9	10≡	.	≡ n–11½, 17¾–n
15	5.8	11.4	7.8	8.3	3.0	594.0	594.6	594.7	80	64	98	SE 0	SE 1	SE 1	0	9	10≡	.	≡ 19½–n
16	8.0	12.8	7.9	9.6	4.5	594.2	593.9	593.3	82	61	96	NW 0	SE 0	NW 0	0	3	0	5.7	● n (16./17.), ⧋ I
17	6.3	8.2	6.1	6.9	1.9	592.7	592.8	593.3	99	84	100	NW 1	NW 2	NW 1	10●	9	10≡	8.0	● n–n mU, ≡ 17¾–n
18	4.0	12.0	6.6	7.5	2.6	594.0	595.2	596.8	98	55	84	NW 1	SE 0	SE 0	0	0	10	.	
19	5.4	10.3	7.2	7.6	2.8	596.4	596.5	596.8	95	65	92	SE 0	NW 1	NW 1	10≡	0	0	.	≡ n–9¾
20	6.9	13.2	6.0	8.7	4.1	597.0	597.5	598.7	65	54	60	NW 0	SE 0	SE 0	0	0	0	.	⧋ I
21	6.6	12.6	7.7	9.0	4.5	598.3	598.7	598.3	52	40	65	NW 0	SE 1	SE 0	3	6	0	.	⧋ I
22	8.6	13.0	9.0	10.2	5.8	598.3	599.0	**599.4**	75	64	83	NW 0	NW 0	NW 0	6	6	0	.	
23	9.5	**16.2**	9.0	11.6	7.4	599.1	598.7	598.1	80	42	97	NW 1	NW 0	NW 1	0	0	0	.	⧋ I
24	8.2	15.2	8.8	10.7	6.6	596.4	595.5	594.6	76	42	98	NW 0	NW 0	NW 0	3	6	10≡	0.3	● n (24./25.), ≡ 16¾–n
25	8.0	10.4	7.8	8.7	4.8	593.4	593.6	593.8	98	95	99	SE 0	SE 0	SE 0	9	10●	10≡	2.3	● 11¼–p, ≡ 15½–n
26	7.8	8.6	7.4	7.9	4.1	593.4	593.7	594.3	98	91	99	SE 0	NW 0	SE 0	10	10●	10≡●	**14.8**	● 9¾–n, ≡ n–9¾, 20¼–n
27	7.2	7.8	5.9	7.0	3.4	594.1	594.8	596.8	99	98	100	NW 1	NW 1	NW 1	10≡●	10≡❟	10≡❟	1.4	● ❟ ≡ n–n,
28	5.2	12.2	7.8	8.4	4.9	597.1	597.7	598.3	76	55	97	NW 1	SE 0	SE 0	0	0	0	.	⧋ III
29	6.4	10.8	4.6	7.3	4.0	598.2	597.8	597.1	94	82	99	SE 1	SE 0	SE 1	6	3	10≡❟	0.2	❟ ≡ 18½–n, ⧋ I
30	**1.8**	5.2	2.0	3.0	−0.1	596.1	596.9	597.9	99	86	99	SE 0	SE 1	SE 1	10≡❟	9	10≡	.	❟ n–a, ≡ n–12, 17¾–n
Mittel	6.0	10.5	6.6	7.7	—	595.4	595.7	596.0	87	70	92				5.2	5.0	6.3	Summe 33.8	

$\lambda = 7°\,26'$, $\beta = 46°\,57'$,
$H_b = 572.2$ m, $G = -0.04$ mm

Bern

Oktober 1959
Beobachter: *Meteorologisches Observatorium*

Tag	Lufttemperatur 7³⁰	13³⁰	21³⁰	Mittel	Abweich. vom Normalst	Luftdruck 7³⁰	13³⁰	21³⁰	Relative Feuchtigkeit 7³⁰	13³⁰	21³⁰	Windrichtung und Stärke 7³⁰	13³⁰	21³⁰	Bewölkung 7³⁰	13³⁰	21³⁰	Niederschlag	Witterung
1	9.9	16.9	12.4	13.1	2.2	718.9	718.7	719.6	93	72	97	NE 0	NE 1	S 1	10	1	0	.	△ III
2	8.0	**18.0**	12.3	12.8	2.1	721.2	720.2	720.6	100	73	92	SE 1	SW 1	SE 1	10≡	1	1	.	≡ 1½–8¼, △ I
3	8.6	17.4	11.9	12.6	2.1	720.1	719.0	718.1	99	70	95	SE 1	NNE 1	E 0	6	9	2	.	
4	9.5	12.6	10.3	10.8	0.5	717.0	716.0	714.9	100	86	94	SE 1	NE 1	ESE 1	10≡	1	0	.	≡ 0½–9, △ III
5	7.6	13.0	8.7	9.8	−0.3	715.3	714.8	715.1	96	77	90	SE 1	NE 1	NNE 1	10	5	10	.	
6	8.1	12.8	9.3	10.1	0.2	715.9	715.3	715.8	64	79	98	E 1	NNE 1	NE 1	10	0	6	.	≡ 22½–n, △ I
7	7.3	12.2	9.3	9.6	−0.1	717.6	716.9	716.5	100	83	95	E 1	N 1	SE 1	10≡	1	0	.	≡ n–10½, △ I
8	4.3	14.4	9.0	9.2	−0.3	715.7	714.4	714.8	99	72	95	S 1	NNE 1	NNE 1	0≡	0	0	.	≡ 7–8¾
9	4.7	15.7	10.4	10.3	1.0	715.8	714.5	714.0	100	68	94	SE 1	NW 1	SE 1	0≡	0	0	.	≡ 7–8¼, △ I
10	4.4	13.3	10.6	9.4	0.3	711.4	710.2	710.2	100	79	91	SE 1	W 1	WSW 1	2≡	10	10	5.3	● 21¾–n mU, ≡ 3–8½
11	9.3	12.2	10.2	10.6	1.7	710.6	711.9	714.6	95	85	95	SE 1	WSW 1	WSW 1	10●	10	10	3.3	● n-9¾ mU, 21½–24, ☽ 20-21½
12	9.9	13.4	8.6	10.6	1.9	715.4	715.7	716.5	96	80	97	S 1	N 1	ESE 1	10●	8	0	0.7	☽ ● 2–6¾, ● 8½–9¾
13	6.7	12.1	8.1	9.0	0.5	717.2	717.4	717.7	98	80	95	E 1	NNE 1	E 1	10	7	0	.	
14	4.9	9.3	7.8	7.3	−1.0	718.1	718.1	717.5	99	90	100	SE 1	NW 1	NE 1	10	10	10	.	≡ 20–n
15	5.2	7.7	6.8	6.6	−1.5	717.2	716.4	716.3	100	91	96	W 1	WNW 1	NNW 1	10≡	10	10	.	≡ n–8½
16	4.3	9.8	7.4	7.2	−0.8	716.0	714.5	713.9	100	84	96	W 1	SW 1	SE 1	10≡	2	0	.	≡ 6–10, △ III
17	2.5	11.0	8.0	7.2	−0.6	713.7	711.2	710.6	98	70	94	W 0	NE 1	SE 1	1	2	1	0.4	△ I
18	7.6	13.2	8.6	9.8	2.2	713.3	715.2	715.2	96	83	97	SSE 1	WSW 1	SW 1	9	10	5	1.5	● 6–7¾, 8¾–11¾ mU
19	6.6	12.5	10.8	10.0	2.6	713.5	711.9	709.8	98	83	99	SE 1	W 1	W 1	8	10	10●	15.0	● 14–15¼, 20¾–21½
20	7.7	7.8	7.7	7.7	0.5	710.5	712.8	716.9	98	96	93	WNW 1	WNW 1	ENE 1	10●	10●	10	8.2	● 1½–21 mU
21	8.7	11.4	8.0	9.4	2.4	717.9	719.3	720.3	92	79	97	NE 1	NE 1	S 1	9	9	7	0.0	△ III
22	8.2	12.5	10.1	10.3	3.4	719.4	720.1	722.3	97	84	94	SE 1	NW 1	SW 1	10	10	7	0.6	● 6¾–6½, 8¾–11¾
23	5.3	12.4	6.0	7.9	1.2	**723.9**	723.6	723.3	96	65	97	NE 1	NNE 1	NE 1	1	1	1	.	△ I
24	2.0	13.2	7.3	7.5	1.0	722.4	720.4	718.6	97	62	94	SSE 1	W 1	S 1	1	1	1	.	△ III
25	2.7	16.6	10.2	9.8	3.5	715.9	716.3	717.8	96	**61**	87	WNW 1	W 1	S 0	6	7	6	.	△ I
26	7.8	13.0	10.7	10.5	4.4	714.6	712.8	711.1	94	76	89	SE 1	NW 1	WNW 1	9	7	10	.	
27	8.5	12.9	11.1	10.8	4.8	702.9	696.6	**692.5**	92	84	91	SE 1	SW 1	WNW 1	10	10●	9	8.0	● 12¾–13¾, 17¾–18¾ mU
28	5.0	4.3	2.8	4.0	−1.8	693.5	694.5	696.8	94	94	97	SW 1	SE 1	NE 1	10●	10●	10●	**21.7**	● 2½–n, ⌿ n (28. 29.)
29	2.3	3.0	2.4	2.6	−3.0	696.9	699.6	705.0	95	95	98	W 1	SW 1	SSW 1	10●	10●	10●	12.9	● n–n
30	2.1	6.5	**1.6**	3.4	−2.1	708.5	709.0	708.3	96	74	96	SE 1	W 1	SE 1	10☽	8	0	0.1	● n 7½
31	1.7	4.0	4.0	3.2	−2.1	707.7	708.6	711.0	91	96	99	SE 1	SW 1	SE 1	10	10	10●	6.6	✳ 7¾–9½, ● 10¾ 14¼, 16¾ n
																		Summe	
Mittel	6.2	11.8	8.5	8.8	—	714.1	713.7	714.1	97	80	95				7.8	6.1	5.0	84.3	

$\lambda = 6°\,57'$, $\beta = 47°\,00'$,
$H_b = 487.3$ m, $G = 0.00$ mm

Neuchâtel

Oktober 1959
Beobachter: *Observatoire Cantonal*

1	9.2	16.9	12.4	12.8	1.0	726.6	726.5	727.2	92	51	86	N 0	SE 1	ESE 0	10	1	0	.	
2	10.3	14.2	11.9	12.1	0.5	728.8	728.2	728.1	95	76	68	E 0	ESE 1	E 0	10	2	0	.	
3	8.4	14.5	11.3	11.4	0.0	727.5	726.7	725.8	94	75	70	E 0	SE 1	SE 0	8≡	8	0	.	≡ n–11
4	10.0	15.7	13.4	13.0	1.8	724.6	723.7	722.5	91	61	69	SE 0	SE 1	NE 0	10	1	0	.	
5	7.3	16.0	11.8	11.7	0.7	722.9	722.2	722.6	95	51	64	NE 0	E 2	NNE 2	4	1	0	.	
6	6.5	14.5	9.8	10.3	−0.5	723.5	723.2	723.7	90	58	89	NE 0	SE 1	SE 0	9	2	0	.	
7	8.0	13.7	9.4	10.4	−0.2	725.2	724.7	723.9	96	59	67	SE 1	ESE 1	E 0	10≡	0	0	.	≡ n–12½
8	6.4	10.6	9.7	8.9	−1.5	723.4	722.7	722.5	96	76	73	E 0	ESE 1	S 0	10≡	2	0	.	≡ n–13¼
9	5.0	14.3	11.0	10.1	−0.1	723.5	722.4	721.8	96	56	62	SE 0	ESE 1	SE 0	2≡	0	0	.	≡ n–12
10	6.3	11.1	11.0	9.5	−0.5	719.1	718.2	717.8	97	80	92	ESE 1	SW 1	SW 2	10≡	10	10●	5.4	● 16½–17½, 21–n, ≡ n–12
11	9.6	11.0	10.1	10.2	0.4	718.3	719.8	722.2	92	89	95	SW 1	SW 2	W 1	10	10	10●	11.6	● n-1, 6¾–6¾, 12¾–14¾ mU, 18½–n
12	9.9	14.0	10.7	11.5	1.9	723.0	723.6	723.9	95	68	77	N 1	SE 1	N 1	10	10	1	.	● n–2½
13	8.7	14.4	9.1	10.7	1.3	724.9	725.2	725.2	95	53	85	N 0	SE 1	NE 0	10	1	0	.	
14	7.1	12.4	7.8	9.1	−0.1	725.6	725.8	725.3	96	57	93	ENE 0	SE 1	NE 1	10	1	10	.	
15	6.4	9.0	7.0	7.5	−1.5	724.8	723.3	724.1	88	83	87	NE 1	ENE 1	NE 1	10	10	10	.	
16	6.0	10.3	7.3	7.9	−0.9	723.7	722.3	721.7	88	71	86	NE 0	E 1	E 1	10	9	0	.	
17	5.2	8.8	7.2	7.1	−1.5	721.4	719.0	717.9	96	88	83	E 1	ENE 1	E 0	10≡	10	0	1.0	≡ n–a mU
18	9.0	14.4	9.6	11.0	2.6	720.8	723.0	722.8	96	77	91	SW 1	SW 1	SE 0	10	9	5	0.3	● 1–9 mU
19	8.6	11.4	10.7	10.2	2.0	721.0	719.3	717.0	95	86	71	E 1	SSE 0	NW 3	10	10	10●	**20.1**	● 21–n, ⌿ 21–22¾
20	7.4	8.0	7.7	7.7	−0.4	718.0	720.4	724.6	96	96	96	N 0	N 0	NE 0	10●	10●	10	17.9	● n–20
21	8.5	15.0	9.7	11.1	3.2	725.6	727.3	728.0	82	52	88	NE 1	SE 1	W 1	8	7	8	.	
22	10.1	12.2	11.6	11.3	3.6	726.8	727.9	730.0	78	51	68	WSW 1	SW 2	NW 2	10	10	5	1.5	● 8¾–12
23	6.2	14.9	8.7	9.9	2.4	**731.7**	731.6	731.0	77	44	63	NE 1	ENE 2	NE 1	0	1	0	.	
24	**2.2**	13.2	8.0	7.8	0.4	730.2	728.2	726.2	83	46	86	NE 1	SE 1	SSE 0	1	0	0	.	
25	5.3	**18.4**	13.2	12.3	5.1	723.3	723.9	725.0	97	**43**	58	SSE 0	SW 2	SW 1	1	6	5	.	⌿ 14–20
26	8.9	13.0	12.0	11.3	4.3	722.4	720.6	718.3	90	69	50	NNE 1	SSE 1	WSW 1	9	8	10	.	
27	11.4	11.6	13.0	12.0	5.1	709.7	703.5	**698.4**	80	93	64	SW 2	SW 3	SW 2	10	10●	10	4.4	● 13¾–15
28	6.2	6.3	4.6	5.7	−1.0	700.1	701.7	704.0	74	93	96	WSW 1	SE 1	ENE 1	10	10●	10●	6.5	● 0¾–4¾, 9–n
29	3.2	4.3	3.6	3.7	2.8	703.9	707.0	712.7	96	93	85	ENE 1	E 0	NE 1	10●	10●	10	2.3	● n–16, 23½–n
30	3.8	7.3	3.3	4.8	−1.6	715.9	716.5	715.7	71	46	67	NE 1	N 1	WNW 1	8	3	0	1.8	● n–4
31	2.3	4.4	5.3	4.0	2.2	715.3	716.2	718.6	93	88	83	W 2	SW 2	W 1	10●	10●	10●	3.2	● 6–11, 21½–22¾, ⌿ n–11 mU
																		Summe	
Mittel	7.2	12.1	9.4	9.6	—	721.6	721.4	721.6	90	69	78				8.4	5.9	4.3	76.0	

Oktober 1959
Beobachter: *Eidg. Armeemagazine*

Altdorf

$\lambda = 8° 38'$, $\beta = 46° 52'$,
$H_b = 450.7$ m, $G = -0.08$ mm

Tag	Lufttemperatur 7³⁰	13³⁰	21³⁰	Mittel	Abweich. vom Normalst	Luftdruck 7³⁰	13³⁰	21³⁰	Relative Feuchtigkeit 7³⁰	13³⁰	21³⁰	Windrichtung und Stärke 7³⁰	13³⁰	21³⁰	Bewölkung 7³⁰	13³⁰	21³⁰	Niederschlag	Witterung
1	6.8	17.2	10.4	11.5	−0.4	729.4	729.4	730.3	100	71	100	S 1	NW 1	S 0	0	1	0	.	⧋ I, III
2	7.2	**18.6**	11.4	12.4	0.6	731.7	730.8	731.4	83	61	95	SE 1	N 0	SE 1	0	0	0	.	⧋ I, III
3	7.6	17.4	10.6	11.9	0.3	730.7	729.6	729.0	82	70	99	SSE 0	NW 0	SE 0	3	8	0	.	⧋ I, III
4	6.2	16.8	7.8	10.3	−1.1	727.8	726.4	725.9	99	83	100	SSE 0	NW 1	SE 0	0	0	0	.	⧋ I, III
5	8.6	13.6	7.6	9.9	−1.3	725.9	725.6	725.6	97	85	100	SE 1	NW 2	SE 0	9	9	0	.	⧋ I, III
6	6.2	15.2	7.6	9.7	−1.3	726.3	725.8	726.8	100	78	100	SE 1	N 1	SSE 0	0	1	0	.	⧋ I
7	5.2	16.6	10.4	10.7	−0.2	728.2	727.2	727.1	94	70	87	S 1	NW 1	SE 0	1	1	0	.	⧋ I
8	5.4	15.2	8.6	9.7	−1.0	726.2	725.2	725.9	100	76	98	SE 1	NW 1	SE 0	0	1	0	.	⧋ I, III
9	5.8	15.6	8.2	9.9	−0.6	726.4	725.1	725.1	100	74	98	S 0	NW 1	SSE 0	0	0	0	.	
10	4.8	15.6	13.2	11.2	0.9	721.8	719.8	719.8	100	78	83	SE 0	NW 1	NW 2	1	9	10	7.0	● p–n mU
11	9.4	11.4	10.2	10.3	0.1	721.5	722.7	724.1	100	98	100	E 0	E 0	NNW 0	10●	10	10●	12.1	● n–n mU
12	8.8	15.6	10.0	11.5	1.5	726.1	726.3	727.0	100	73	98	SE 0	W 1	SE 0	7	4	3	.	⧋ III
13	4.0	14.4	6.8	8.4	−1.4	728.0	727.8	728.7	100	73	100	SE 1	NW 1	SSE 0	0	1	0	.	⧋ I, III
14	3.4	13.6	6.0	7.7	−2.0	728.7	728.5	728.2	98	76	100	SSE 1	NW 1	S 0	0	0	0	.	⧋ I, ⧋ III
15	6.2	12.6	5.2	8.0	−1.5	727.7	726.6	727.1	100	78	100	SE 1	NW 1	SSE 0	9	1	0	.	⧋ I, III
16	2.6	13.4	5.0	7.0	−2.3	726.7	724.9	724.6	100	74	100	SE 0	NW 1	S 0	0	0	0	.	⧋ I, ⧋ III
17	4.0	13.8	17.0	11.6	2.4	724.0	721.7	720.7	100	74	**41**	NNW 0	NW 1	SE 4	0	0	3	.	⧋ I, ⛈ 15½–n
18	16.2	15.8	14.2	15.4	6.4	722.7	725.0	722.1	50	77	99	SW 1	NW 2	NNW 0	7	2	1	.	⧋ III, ⛈ n–a mU
19	7.2	14.0	12.2	11.1	2.2	724.0	721.6	722.9	100	82	95	S 1	NW 2	NW 2	7	9	10	3.6	● p–n mU, ⧋ I
20	9.8	10.6	8.2	9.5	0.8	720.2	722.5	725.0	100	100	100	NW 1	NW 0	NW 0	10●	10●	10	13.0	● n–n mU
21	8.0	13.4	12.0	11.1	2.6	728.7	729.5	731.8	100	85	99	SE 0	NW 1	NW 0	7	6	10	.	
22	8.6	12.8	11.2	10.9	2.5	729.9	730.5	731.9	100	95	96	W 0	N 1	NW 0	9	10	8	0.2	● tr a–n–n mU
23	8.4	14.0	8.2	10.2	2.0	**734.8**	734.5	733.5	87	67	82	N 0	NW 1	SE 1	4	1	0	.	⧋ III
24	3.0	14.4	7.8	8.4	0.3	733.3	731.8	728.2	96	58	84	S 0	NW 0	**S** 0	1	0	0	.	⧋ I, ⧋ III
25	3.2	15.8	10.2	9.7	1.8	726.0	725.3	728.7	100	66	94	SW 0	NW 0	SE 0	1	1	8	.	⧋ I, III
26	6.6	14.4	9.0	10.0	2.2	725.4	722.8	721.4	98	77	100	SE 0	NW 1	S 0	4	9	0	.	⧋ I, III
27	7.2	**18.6**	17.0	14.3	6.7	712.9	705.4	710.5	100	42	47	W 0	SE 5	S 1	8	8	8	16.6	● n (27./28.), ⛈ 11-n, ⛈ a-p, ⧋ I
28	5.6	**0.6**	1.0	2.4	−5.1	**703.7**	705.3	707.3	100	100	100	NW 2	S 0	S 0	10●	10=*	10●	**45.3**	● ✳ n–n
29	2.2	3.8	3.0	3.0	−4.3	706.7	709.5	714.9	100	100	100	N 0	NW 2	NW 0	10●	10●	10	10.9	● n–n
30	3.4	6.2	**0.6**	3.4	−3.8	718.5	719.9	719.4	100	76	100	E 1	N 1	SSE 0	10●	9	0	1.9	● n–a, ⧋ III
31	**0.6**	5.8	3.2	3.2	−3.8	717.8	718.6	721.6	100	80	100	SSE 0	NNW 1	S 0	9	10	10●	14.9	● p–n, ⧾ I
																		Summe	
Mittel	6.2	13.4	8.8	9.5	—	724.6	724.0	724.7	96	77	93				4.4	4.5	3.6	125.5	

Oktober 1959
Beobachter: *Observatoire*

Genève

$\lambda = 6° 09'$, $\beta = 46° 12'$,
$H_b = 405.0$ m, $G = -0.05$ mm

1	10.7	16.5	14.2	13.8	1.5	733.7	733.4	734.3	89	67	91	SW 1	NNE 1	N 1	10	1	2	.	
2	11.7	17.9	13.9	14.5	2.4	735.8	735.0	735.4	98	67	88	SW 1	NNE 1	WNW 1	9	0	0	.	
3	8.8	16.3	13.5	12.9	1.0	734.8	733.7	732.7	100	65	91	S 1	N 1	WNW 1	10≡	8	1	.	≡ n–a
4	11.0	15.1	12.1	12.7	0.9	731.5	730.4	729.6	96	70	87	E 0	N 1	WNW 0	10	1	1	.	
5	8.8	15.8	12.1	12.2	0.6	729.7	728.9	729.7	95	59	76	S 1	N 1	N 1	6	0	1	.	
6	9.6	13.8	10.4	11.3	−0.1	730.5	730.1	730.7	95	71	87	S 1	W 1	N 1	10	2	2	.	
7	8.6	14.2	10.8	11.2	0.0	732.3	731.7	730.6	97	71	92	SSW 1	N 1	ESE 1	10	2	2	.	
8	6.7	14.9	10.2	10.6	−0.4	730.5	729.4	729.7	100	58	85	NE 0	N 1	N 1	10≡	1	2	.	≡ n–a
9	5.9	15.6	10.6	10.7	−0.1	730.4	729.4	728.3	97	57	90	S 1	NNE 1	N 1	1	0	3	.	
10	7.2	10.6	10.2	9.3	−1.4	726.0	726.2	725.3	94	100	100	S 1	SE 0	NNW 1	8	10●	10	23.3	● 10–20½
11	10.8	12.0	10.4	11.1	0.6	725.9	727.6	729.9	85	78	91	S 1	S 1	E 0	10	10●	10	1.6	● 0½–1¾, 3-6¾, 9½–13½ mU, 16¼–19¾ mU
12	9.7	15.5	10.8	12.0	1.7	730.1	730.3	730.8	100	60	89	W 1	N 2	N 1	10	5	1	.	● 0½–7¾
13	9.9	13.6	9.0	10.8	0.7	731.7	732.1	732.6	90	60	90	E 1	NNE 1	NNE 1	10	5	2	.	
14	8.5	13.1	9.4	10.3	0.4	732.8	732.4	732.0	92	65	92	E 1	N 1	N 1	9	1	3	.	
15	8.4	11.1	8.8	9.4	−0.4	731.7	731.4	731.0	96	78	95	E 1	NE 1	N 1	10	8	8	.	
16	8.8	11.8	8.3	9.6	0.0	730.5	729.4	728.9	93	76	98	NE 0	NE 1	S 1	10	6	3	0.3	● 9–9¾
17	7.9	13.2	10.8	10.6	1.2	728.6	725.8	725.1	100	59	91	W 1	NNE 1	N 1	10	4	3	1.9	
18	11.2	16.8	10.7	12.9	3.7	728.6	730.1	729.8	95	75	98	SW 0	NNE 1	NNE 1	10●	3	2	3.2	● 4½–11 mU
19	10.1	13.3	11.5	11.6	2.6	728.0	726.4	724.4	100	88	94	SSE 0	NNE 1	NNE 1	9	10	10●	**34.2**	● 11½–11¾, 18 n mU
20	8.2	7.8	8.0	8.0	−0.9	725.0	727.6	731.3	98	96	97	N 1	NNE 2	NE 1	10●	10●	10	17.6	● n–19¾
21	7.3	12.4	9.9	9.9	1.2	733.0	734.5	735.4	94	70	90	E 1	N 1	S 1	10	5	3	.	
22	9.2	14.1	11.8	11.7	3.2	734.9	735.2	737.0	95	51	79	NW 1	SW 1	NNE 1	10	10	8	0.2	● 9¾–10¾, tr 13½
23	9.2	13.9	8.8	10.6	2.3	738.2	738.0	**738.3**	67	55	77	NNE 2	NNE 2	NNE 1	2	1	1	.	
24	**3.6**	13.4	8.6	8.5	0.3	737.4	735.6	733.5	96	56	90	SE 1	N 1	NNE 1	1	0	1	.	
25	5.8	**18.9**	11.5	12.1	4.1	731.4	732.0	732.0	90	**47**	78	E 1	S 2	E 1	1	1	1	.	⧋ I
26	8.6	16.9	12.5	12.7	4.9	729.8	728.0	725.8	94	53	68	SE 1	SW 1	SSE 1	8	7	7	.	
27	12.1	11.8	12.6	12.2	4.5	718.3	711.5	**707.0**	78	98	74	S 2	S 2	SW 1	10	10●	9	9.9	● tr a, 11½–13¾, 23½–n
28	6.5	6.7	5.5	6.2	−1.3	708.0	709.3	710.7	81	93	94	SE 1	S 1	NNE 2	10	10●	10●	6.8	● n 5½, 10¼ 24
29	5.5	5.3	5.1	5.3	−2.0	710.8	714.4	719.6	81	88	76	NNE 2	NE 2	NE 1	10	10●	10	3.0	● 1¾–2¾, 9½–17½
30	4.6	7.9	4.8	5.8	−1.4	723.6	724.2	723.7	90	50	67	E 1	N 1	NW 1	9	4	3	.	● 4¾–5¾
31	3.8	5.8	4.8	4.8	−2.2	723.2	724.2	726.8	82	84	96	E 1	W 0	NE 1	10	10	9	1.3	● 12¼ 16¼ mU
																		Summe	
Mittel	8.3	13.1	10.1	10.5	—	728.9	728.6	728.8	92	70	87				8.5	5.0	4.4	103.3	

$\lambda = 8°\,34'$, $\beta = 47°\,23'$,
$H_b = 569.4$ m, G = –0.01 mm

Zürich

Oktober 1959
Beobachter: *Meteorologische Zentralanstalt*

Tag	Lufttemperatur 7³⁰	13³⁰	21³⁰	Mittel	Abweich. vom Normalst	Luftdruck 7³⁰	13³⁰	21³⁰	Relative Feuchtigkeit 7³⁰	13³⁰	21³⁰	Windrichtung und Stärke 7³⁰	13³⁰	21³⁰	Bewölkung 7³⁰	13³⁰	21³⁰	Niederschlag	Witterung
1	6.7	18.4	11.1	12.1	1.6	719.1	719.2	719.9	87	59	95	NE 0	SSW 1	NE 1	10	0	0	0.1	⊿ I, III
2	9.0	**18.5**	12.5	13.3	3.0	721.3	720.5	720.7	99	61	93	SSE 1	WSW 1	NE 0	10≡	0	0	0.1	≡ n–11½, ⊿ I, III
3	9.0	17.4	11.5	12.6	2.5	719.9	719.1	718.4	98	63	95	SSE 0	WSW 1	ENE 1	10≡	9	2	0.2	≡ 6–10½, ⊿ I, III
4	8.1	16.4	11.1	11.9	2.0	717.3	716.1	715.3	98	62	78	NE 1	NE 1	NE 1	10≡	0	0	0.0	≡ n–10, ⊿ I, III
5	8.0	11.9	8.0	9.3	–0.4	715.7	715.5	715.4	91	71	80	NE 1	NE 1	NE 1	10	9	0	.	⊿ I, III
6	5.6	12.6	7.3	8.5	–1.1	716.2	715.9	716.3	92	63	95	NE 1	NE 1	NE 1	10	0	0	0.0	⊿ I, III
7	6.9	15.3	9.4	10.5	1.1	717.6	717.2	716.7	98	60	93	S 0	WSW 1	NE 0	10≡	0	0	0.1	≡ n–11½, ⊿ I, III
8	6.5	15.0	8.5	10.0	0.8	715.8	714.9	715.1	98	57	92	SSE 1	NNE 1	NE 0	10≡	0	0	0.1	≡ n–11, ⊿ I, III
9	5.7	16.6	9.6	10.6	1.6	715.9	714.9	714.2	99	51	93	NE 0	ENE 1	SE 0	10≡	0	0	0.1	≡ 6¾–10¾, ⊿ I, III
10	6.1	13.5	10.1	9.9	1.0	711.8	709.2	710.2	98	70	91	SSE 0	NE 1	SSW 0	10≡	9	10	7.5	≡ n–9¾, 9¾–11 mU, ⊿ I, III
11	9.1	10.5	10.1	9.9	1.2	710.7	712.1	714.4	93	88	94	SW 1	SSW 1	W 1	10●	10	10●	7.8	● 0¾–13 mU, 17¾–n mU
12	9.8	13.2	8.7	10.6	2.1	715.5	716.0	716.6	97	73	94	WNW 0	W 1	NNE 1	10●	5	1	3.6	● n–9¾ mU, ⊿ III
13	6.3	14.3	7.9	9.5	1.2	717.5	717.6	717.9	98	60	94	WNW 1	ESE 1	NE 1	10≡	1	0	0.1	≡ n–9¾, ⊿ I, III
14	5.7	10.4	5.7	7.3	–0.8	718.3	718.2	717.8	96	70	95	NE 1	SSW 1	NNE 1	10≡	9	9	0.0	≡ n–8, ⊿ I, III
15	5.5	6.8	6.5	6.3	–1.7	717.2	716.5	716.4	95	85	93	SSW 0	NNW 0	SSE 0	10	10	10	.	≡ n–6, 8–8½, ⊿ I
16	5.6	13.4	6.5	8.5	0.7	716.0	714.3	714.1	90	55	93	SE 1	ENE 1	NNE 1	10	1	0	0.1	⊿ I, III
17	3.7	12.3	7.3	7.8	0.2	713.7	711.7	710.4	98	62	95	NE 1	NE 1	S 1	10≡	2	9	.	≡ n–11¾, ⊿ I
18	11.0	12.5	8.8	10.8	3.4	713.0	715.5	715.4	64	85	96	SSW 1	SSW 1	SE 0	9	9	4	0.6	● 8¾–11¾, ⊿ I
19	6.7	12.8	10.7	10.1	2.8	713.5	711.6	709.3	98	74	95	SW 0	SSW 0	W 0	10≡	9	8	5.3	≡ 6¾–10½, ⊿ I
20	8.3	8.7	8.3	8.4	1.3	710.1	712.4	717.4	95	94	93	WNW 1	WNW 1	N 1	10●	10●	10●	8.1	● 3¾–8¾, 10¾–21½
21	8.0	11.5	8.7	9.4	2.5	718.5	719.3	720.1	92	70	92	NNW 1	W 1	S 1	10	9	9	0.0	
22	9.7	10.7	9.7	10.0	3.3	719.1	720.0	722.2	84	80	90	SW 1	SW 2	NW 1	10	10	10	2.2	● 9¼–12, 17–18½, ⊿ I
23	4.8	13.3	7.0	8.4	1.8	**724.5**	724.3	723.7	97	48	80	NNE 0	ENE 1	SE 0	1	1	9	0.1	⊿ I, III
24	3.5	16.2	8.3	9.3	2.9	722.2	720.2	718.1	98	**40**	73	SE 1	S 1	WSW 0	2	3	0	0.1	≡ 6¾–9¾ mU, ⊿ I
25	8.3	16.5	10.5	11.8	5.6	715.4	716.3	718.5	70	46	83	SW 1	WSW 2	W 0	6	8	10	.	⊿ I, III
26	7.3	12.4	9.5	9.7	3.7	714.6	712.8	711.0	89	68	83	N 0	WNW 1	WNW 1	9	9	10	.	⊿ I
27	9.5	14.1	9.7	11.1	5.2	702.5	695.9	**691.5**	87	67	93	S 1	W 2	SE 1	10	9	8	6.6	⊿ I, III
28	4.9	3.7	2.6	3.7	–2.0	693.1	694.6	696.9	96	92	96	WSW 1	SSW 1	N 1	10●	10●	10●	**29.0**	● 3–n, ✳ n (28./29.)
29	0.7	**0.6**	1.5	0.9	–4.7	696.4	699.0	704.2	98	99	98	W 1	SSW 1	WSW 1	10≡*	10*	10	27.3	✳ n–p, ● p–n mU, ≡ a mU
30	1.2	5.5	2.9	3.2	–2.2	708.1	708.9	708.1	98	73	90	S 0	S 1	SW 1	10●	9	10	0.6	● n–8, ≡ a mU, ⊿ III
31	3.3	3.3	4.2	3.6	–1.7	707.2	708.1	710.9	81	91	90	SSW 1	SSW 1	S 1	10●	10●	10●	6.7	● 7½–14¾, tr 14¾–19 mU, *)
Mittel	6.6	12.2	8.2	9.0	—	714.1	713.8	714.1	93	69	91				9.3	5.8	5.4	Summe 106.4	

*) **31.** 19–19½, 21½–n

$\lambda = 6°\,32'$, $\beta = 46°\,51'$,
$H_b = 1601$ m, G = –0.16 mm

Chasseron

Oktober 1959
Beobachter: *J. Liardon*

Tag	Lufttemperatur 7³⁰	13³⁰	21³⁰	Mittel	Abweich. vom Normalst	Luftdruck 7³⁰	13³⁰	21³⁰	Relative Feuchtigkeit 7³⁰	13³⁰	21³⁰	Windrichtung und Stärke 7³⁰	13³⁰	21³⁰	Bewölkung 7³⁰	13³⁰	21³⁰	Niederschlag	Witterung
1	8.2	12.9	9.5	10.2	—	636.1	637.2	637.9	100	78	86	WNW 2	NNW 1	C 0	6	4	1	.	⊿ I
2	8.1	12.6	9.8	10.2	—	638.5	638.8	639.1	87	61	74	WNW 1	SW 1	NW 1	0	1	1	.	⊿ I
3	7.9	12.5	9.4	9.9	—	637.6	637.4	636.6	81	61	21	SSW 1	NW 1	ESE 2	7	8	4	.	⊿ I
4	9.4	11.7	6.7	9.3	—	634.4	634.4	633.4	32	24	48	ESE 2	E 2	E 3	1	1	1	.	⌿ p–n
5	3.4	9.6	3.5	5.5	—	632.1	632.3	632.3	100	79	92	ESE 3	W 2	E 2	0	0	0	.	≡ a mU, ⌿ n–n mU
6	6.5	10.4	6.2	7.7	—	632.8	633.5	633.8	95	70	85	ESE 2	ESE 2	ESE 2	0	2	1	.	⊿ I
7	6.8	9.4	6.6	7.6	—	634.4	634.9	634.7	81	70	69	ENE 2	ESE 1	ESE 2	0	2	1	.	⊿ I
8	5.6	9.2	5.6	6.8	—	632.8	632.8	632.8	62	58	80	E 2	ESE 1	E 2	1	0	0	.	
9	8.4	12.0	9.2	9.9	—	633.1	633.1	632.4	57	52	65	ESE 1	W 1	WSW 1	0	2	0	.	
10	7.0	5.4	3.0	5.1	—	628.0	628.7	627.6	69	92	100	SE 2	S 3	W 3	5	10	10	6.3	● tr 12, 13–17 mU, n (10., 11.), ⌿ n–n
11	3.0	4.4	3.2	3.5	—	627.5	629.3	631.1	100	100	100	W 3	WNW 3	WNW 3	10≡●	10≡◔	10≡◔	**18.6**	● ◔ n–n mU, ≡ ⌿ n–n
12	3.0	4.2	3.2	3.5	—	632.2	633.3	633.5	100	100	100	NNE 3	NE 2	E 2	8	10	2	.	⌿ n–n mU
13	3.2	6.8	3.8	4.6	—	633.3	634.3	634.4	82	64	68	E 2	E 1	E 2	2	3	1	.	⊿ I
14	6.2	9.8	6.0	7.3	—	634.2	635.2	634.2	45	44	60	S 2	S 1	E 2	0	2	0	.	
15	5.6	8.0	5.4	6.3	—	633.4	633.2	632.9	54	46	48	C 0	SSE 2	E 2	2	4	0	.	⌴ I
16	5.6	6.8	6.0	6.1	—	632.5	632.0	631.3	54	71	65	ESE 2	SE 2	E 2	6	7	2	.	
17	5.0	9.0	8.0	7.3	—	630.6	629.4	628.7	43	35	46	E 3	ESE 2	ESE 2	4	6	5	2.8	● n (17./18.), ⌿ n–p mU
18	5.6	6.2	5.8	5.9	—	630.6	632.4	632.6	100	81	75	W 4	WNW 2	W 3	10	7	3	.	≡ n–p mU
19	5.6	6.4	3.0	5.0	—	630.6	629.5	627.4	100	100	100	S 3	SW 4	WNW 3	10≡	10≡	10≡●	17.8	◔ a mU, ● 19½–n, ✳ n (19./20.), *)
20	–0.0	–0.4	1.2	0.3	—	626.9	629.1	632.6	100	100	100	NNE 3	NNE 3	NE 2	10≡*	10≡*	10≡◔	17.6	✳ n–17, ◔ 17–n, ≡ n–n, *) 8
21	2.0	4.0	5.4	3.8		634.1	635.9	636.7	100	100	28	E 3	C 0	W 1	10≡	10≡	3	.	≡ n–18, ⌿ n–a 4
22	4.5	3.4	3.0	3.6	—	636.0	636.6	637.8	50	70	100	W 3	W 4	NW 2	10	10	10≡◔	0.0	◊ 8–8¾, ◔ 14 n, ≡ 14½–n, *)
23	1.4	7.2	6.0	4.9	—	638.7	**639.9**	639.4	64	28	**17**	E 3	E 1	NE 1	2	2	5	.	⌿ n–a
24	8.8	**13.0**	10.4	10.7	—	638.8	638.2	636.5	21	30	30	C 0	W 1	SSW 2	2	2	3	.	
25	9.2	7.1	4.0	6.8	—	633.4	633.4	634.9	30	79	100	W 4	NW 5	NW 3	3	8	6	1.3	◊ n (25./26.), ≡ 15½–n, *)
26	3.5	3.8	2.0	3.1	—	631.4	630.2	628.4	100	95	100	W 2	W 2	W 3	10≡	10	10≡	.	≡ n–a mU, 17½–n, ⌿ p–n
27	3.6	5.5	5.0	4.7	—	620.7	615.0	**610.2**	100	100	85	W 4	WSW 4	WSW 6	10≡	10	7	7.0	● tr a., ✳ n (27./28.), ≡ n-p mU, *)
28	–2.4	–2.0	–3.0	–2.5	—	610.6	612.0	613.3	100	100	100	WNW 4	WNW 2	NNW 3	10≡	10≡*	10≡*	13.7	✳ 9½–n, ≡ n–n, ⌿ n–n mU, *) 3
29	–4.0	–3.4	–4.4	–3.9		613.5	615.8	620.3	100	100	100	NNW 3	NNW 2	WNW 2	10≡	10≡*	10≡*	12.6	✳ 9½–21½ mU, ≡ n–n, *) 15
30	–4.4	–1.4	**–5.0**	–3.6		624.0	624.9	624.3	100	100	100	WNW 3	N 2	S 2	10≡	10	5	2.6	✳ n (30./31.), ≡ n–20 mU, *) 20
31	–1.8	–2.0	–2.4	–2.1		623.4	624.4	626.6	100	100	100	W 2	W 3	W 3	10≡*	10≡*	10≡*	17.0	✳ n–15, 19–n, ≡ ⌿ n–n 22
Mittel	4.3	6.5	4.4	5.1		630.8	631.2	631.2	78	74	76				5.4	6.2	4.5	Summe 117.3	

*) **19.** ≡ ⌿ n–n, ⌿ II **20.** ⌿ n–p **22.** ⌿ n–n, ⌿ II **25.** ⌿ n–p, ⌿ p–n **27.** ⌿ n–n **28.** ⌿ I **29.** ⌿ n–n mU **30.** ⌿ n–n mU

Oktober 1959
Beobachter: *Stationspersonal Rh. B.*

Bever

$\lambda = 9° 53'$, $\beta = 46° 33'$,
$H_b = 1711.8$ m, G = –0.26 mm

Tag	Lufttemperatur 7³⁰	13³⁰	21³⁰	Mittel	Abweich. vom Normalst	Luftdruck 7³⁰	13³⁰	21³⁰	Relative Feuchtigkeit 7³⁰	13³⁰	21³⁰	Windrichtung und Stärke 7³⁰	13³⁰	21³⁰	Bewölkung 7³⁰	13³⁰	21³⁰	Niederschlag	Witterung
1	–2.3	14.0	–2.0	3.2	–2.1	628.1	627.0	628.4	89	37	84	SW 0	SW 0	SW 0	9	0	0	.	
2	–5.0	16.2	0.8	4.0	–1.2	630.4	629.0	**630.9**	93	21	64	NW 0	SW 1	NW 0	0	0	0	.	⌐ I
3	–4.4	**16.4**	1.4	4.5	–0.5	629.4	627.2	627.7	89	**18**	59	NW 0	SW 2	NW 0	4	9	8	.	⌐ I
4	–3.7	15.5	1.0	4.3	–0.5	625.7	624.0	625.1	85	22	74	NW 0	W 0	SW 0	0	0	0	.	
5	–0.2	11.4	5.0	5.4	0.8	624.8	623.8	625.3	88	40	71	SW 0	SW 2	SW 0	8	4	4	.	
6	0.4	9.8	–0.2	3.3	–1.1	625.2	624.3	624.3	93	46	83	NW 0	SW 2	SW 0	9	0	0	.	
7	–3.6	14.8	–0.1	3.6	–0.6	626.3	624.4	625.9	94	23	89	W 0	NE 1	NW 0	0	0	0	.	
8	–6.0	9.5	0.6	1.4	–2.6	624.4	622.8	624.1	94	29	84	W 0	W 1	NW 0	0	0	0	.	⌐ I
9	–5.0	13.0	14.0	7.3	3.4	625.0	623.4	624.2	100	33	76	W 0	SW 2	NW 0	0	2	0	.	⌐ I
10	–5.4	10.4	4.2	3.1	–0.6	623.0	621.0	620.2	98	34	77	NW 0	SW 0	SW 0	0	6	8	4.3	● n (10./11.), ⌐ I
11	0.8	5.5	2.0	2.8	–0.7	618.2	619.0	621.1	97	97	89	W 0	W 1	W 0	10●	10	5	0.3	● n–16 mU
12	–3.8	8.8	–1.0	1.3	–2.0	623.3	623.0	624.5	95	31	91	NW 0	NW 2	NW 0	2	1	1	.	⌐ I
13	–7.3	12.9	–3.0	0.9	–2.2	625.9	624.7	625.6	94	20	81	NW 0	SW 0	SW 0	0	0	0	.	⌐ I
14	7.4	11.8	2.0	0.8	–2.1	626.5	624.8	626.0	93	31	84	NW 0	SW 1	SW 0	0	0	0	.	⌐ I
15	–7.5	10.0	–1.2	0.4	–2.3	625.5	623.3	625.5	94	33	88	SW 0	SW 1	NW 0	0	0	4	.	⌐ I
16	–9.0	10.0	–3.6	–0.9	–3.4	625.3	623.4	624.8	93	48	85	SW 0	SW 1	NW 0	0	0	1	.	⌐ I
17	10.0	10.0	1.0	0.3	–2.0	625.1	623.7	624.3	94	47	85	SW 0	SW 0	W 0	0	0	0	.	⌐ I
18	–3.0	9.4	4.3	3.6	1.5	624.4	623.9	625.2	90	53	82	NW 0	SW 0	W 0	8	10	9	0.1	● n (18./19.)
19	3.8	7.4	5.0	5.4	3.5	623.9	622.8	622.0	93	75	95	W 0	SW 1	W 0	10	10	10	5.3	● n–n mU
20	3.8	6.3	4.0	4.7	3.0	619.1	619.8	623.5	97	82	94	W 0	SW 0	SW 0	10●	10	10	5.6	● n–a
21	3.5	11.0	3.0	5.8	4.3	626.6	626.9	627.8	98	52	52	W 0	SW 1	NW 0	10	4	0	.	
22	2.0	10.5	8.0	6.8	5.5	626.9	626.7	627.2	100	68	55	W 0	W 1	N 0	9	10	0	0.0	● 13–14 mU
23	0.8	7.8	–2.0	2.2	1.1	628.7	629.4	629.5	51	26	81	SW 0	N 0	W 0	1	4	2	.	
24	–4.0	14.4	0.0	3.5	2.5	629.6	628.3	628.1	75	26	91	W 0	SW 0	SW 0	6	0	0	.	
25	–3.5	12.6	–0.2	3.0	2.2	626.3	623.8	624.7	94	41	93	W 0	SW 2	W 0	4	6	4	.	
26	–3.1	8.3	3.4	2.9	2.3	623.3	620.9	619.8	95	54	84	SW 0	W 2	SW 0	8	9	0	0.4	● n (26./27.)
27	3.3	4.2	5.4	4.3	3.9	614.9	610.8	606.7	84	86	80	NW 0	SW 0	SW 0	10	10●	10●	39.8	● n–n mU
28	1.0	1.0	2.4	0.1	–0.3	602.4	**602.0**	603.6	84	94	95	NE 0	NW 0	NE 1	10●	10*	10	**42.9**	● n–14, ✳ 13–n mU
29	–2.8	–1.8	–4.4	–3.0	–3.0	603.5	605.0	609.8	87	81	86	NE 0	N 0	N 0	10*	10	10	0.5	✳ n–11 40
30	–8.0	0.6	–11.9	–6.4	–6.2	613.8	614.4	615.5	89	47	90	W 0	NW 0	SW 0	10	4	7	.	35
31	**–13.0**	0.8	–3.2	–5.1	–4.8	615.9	615.3	616.9	87	55	94	W 0	W 0	NW 0	9	10	10	.	35
																		Summe	
Mittel	–3.2	9.4	0.8	2.3	—	622.9	621.9	622.8	90	47	82				5.1	4.5	3.6	99.2	

Oktober 1959
Beobachter: *Couvent des Capucins*

Sion

$\lambda = 7° 22'$, $\beta = 46° 14'$,
$H_b = 548.6$ m, G = –0.14 mm

1	9.7	**20.0**	13.9	14.5	2.0	721.7	719.8	722.1	72	44	75	W 0	WSW 0	NNE 1	0	0	0	.	△ I
2	7.4	19.2	13.4	13.3	1.0	724.3	722.0	723.5	84	45	67	NNE 0	NNE 0	NNE 1	0	0	0	.	△ I
3	9.4	16.6	12.4	12.8	0.7	723.0	721.0	720.8	73	53	69	NNE 0	NNE 0	NNE 0	6	10	0	.	△ I
4	8.8	18.3	12.2	13.1	1.2	719.9	717.4	718.1	71	46	76	NNE 0	WSW 1	NNE 1	0	0	0	.	△ I
5	8.8	17.9	11.7	12.8	1.1	718.0	716.1	717.6	82	48	76	NNE 0	W 1	W 1	0	0	0	.	△ I
6	10.9	18.6	11.9	13.8	2.3	718.7	717.2	719.0	67	47	76	N 1	N 1	W 2	0	0	0	.	△ I
7	6.4	16.6	11.5	11.5	0.2	720.4	718.8	719.2	71	48	71	NNE 1	NNE 2	W 2	0	0	0	.	
8	6.0	15.2	11.4	10.9	–0.2	718.9	716.8	718.0	83	51	75	SW 0	WSW 1	E 1	0	0	0	.	
9	5.8	17.6	12.0	11.8	0.9	718.9	716.7	716.9	90	44	74	ENE 0	S 1	E 1	0	0	0	.	△ I
10	8.0	14.6	10.8	11.1	0.4	716.0	713.9	713.7	78	58	92	ENE 1	SE 1	W 0	8	10	10●	11.7	● 14½–18¼ mU, 20½–n, ⸗ 14
11	10.2	13.2	9.4	10.9	0.4	714.2	714.7	717.4	86	78	89	W 0	W 0	W 0	10●	9	7	0.8	● n–4¾, 7¼–10¾, tr 15–16, tr 20¾–20¾
12	11.4	17.0	9.8	12.7	2.4	718.6	718.0	719.0	79	51	80	WSW 0	WSW 0	W 0	10	5	1	.	
13	8.0	15.6	8.6	10.7	0.6	720.1	718.9	720.5	83	54	86	W 0	W 0	W 0	0	2	0	.	△ I
14	5.8	15.0	9.6	10.1	0.2	721.1	719.4	719.8	85	49	75	WSW 0	W 1	WSW 0	0	1	0	.	△ I
15	5.0	14.8	9.0	9.6	–0.1	720.0	717.8	719.2	86	51	80	WSW 0	SW 1	WSW 0	0	1	0	.	△ I
16	4.3	14.6	8.8	9.2	–0.4	719.4	716.9	717.5	77	43	65	WSW 0	WSW 1	N 0	0	4	0	.	△ I
17	6.6	16.9	11.0	11.5	2.1	718.0	714.4	715.9	64	**34**	55	NE 1	NE 0	NE 0	0	0	0	.	△ I
18	9.4	16.2	11.2	12.3	3.1	717.5	718.4	717.2	70	56	85	E 1	WSW 1	WSW 0	10	4	6	0.0	● tr 8, △ I
19	7.1	15.9	12.2	11.7	2.7	714.8	712.6	712.3	84	53	79	WSW 1	SW 0	WSW 0	7	10	9	**12.8**	● tr 20½, △ I
20	7.2	7.1	7.2	7.2	–1.6	715.9	719.3	720.9	95	92	96	W 2	W 2	W 1	10	10	5	11.6	● 2¾ 17½ mU
21	5.8	8.4	9.2	7.8	–0.8	721.2	722.8	722.2	93	65	92	W 0	W 2	W 1	9	4	5	.	
22	8.2	11.9	10.4	10.2	1.7	722.3	723.3	724.5	97	81	75	W 0	W 1	W 0	9	10	0	.	
23	6.1	13.3	8.1	9.2	0.9	724.5	724.6	**725.2**	88	63	82	W 0	W 0	W 1	0	0	0	.	
24	4.0	14.8	9.6	9.5	1.4	**725.2**	722.4	722.2	95	50	70	W 0	W 0	W 0	0	0	0	.	△ I
25	4.3	14.8	10.3	9.8	1.9	720.2	720.4	719.9	89	54	92	W 0	W 0	W 0	0	4	0	.	△ I
26	4.8	14.0	10.8	9.9	2.2	718.9	715.7	714.6	68	68	81	NE 0	ENE 1	NE 1	1	7	5	1.1	△ I
27	8.4	13.9	11.1	11.1	3.5	707.9	701.4	695.5	95	69	71	SW 0	SW 0	NE 0	10●	10	5	2.3	● 5½–8¾, tr 21½
28	5.6	8.2	4.8	6.2	1.2	**694.5**	696.7	697.5	95	80	93	WSW 1	WNW 2	W 0	10●	10●	10	2.9	● 4½ 17½, 19½ 21
29	4.8	7.9	4.2	5.6	–1.6	697.7	696.8	706.9	83	64	79	W 1	W 1	W 1	10	10	5	.	
30	4.2	7.2	3.2	4.9	–2.1	710.8	711.2	711.8	93	62	82	W 0	W 2	W 0	9	7	0	.	
31	**2.2**	8.6	4.4	5.1	–1.8	711.5	712.2	714.3	87	62	96	W 0	W 0	W 0	9	10	10	2.0	● 15½–18¼
																		Summe	
Mittel	6.9	14.3	9.8	10.3	—	717.2	716.0	716.9	83	57	79				4.1	4.4	2.5	45.2	

$\lambda = 8°\,58'$, $\beta = 46°\,00'$,
$H_b = 276.2$ m, G = −0.04 mm

Lugano

Oktober 1959
Beobachter: *A. Tison*

Tag	Lufttemperatur 7³⁰	13³⁰	21³⁰	Mittel	Abweich. vom Normalst	Luftdruck 7³⁰	13³⁰	21³⁰	Relative Feuchtigkeit 7³⁰	13³⁰	21³⁰	Windrichtung und Stärke 7³⁰	13³⁰	21³⁰	Bewölkung 7³⁰	13³⁰	21³⁰	Niederschlag	Witterung
1	11.9	19.9	10.0	13.9	1.3	748.0	747.7	748.3	82	39	87	N 1	S 1	N 1	10	3	0	.	
2	7.6	20.8	11.4	13.3	−1.7	**748.6**	747.7	748.1	83	42	74	N 1	SE 1	N 1	1	0	0	.	
3	8.0	20.0	12.2	13.4	−1.4	746.8	745.4	744.7	80	40	77	N 1	SSE 1	N 1	5	5	0	.	
4	9.0	22.0	12.7	14.6	0.0	743.4	741.9	742.5	81	43	84	N 1	S 1	N 1	1	0	0	.	
5	8.4	21.3	13.3	14.3	0.1	743.1	742.5	743.9	82	42	82	N 1	S 1	NNW 1	0	3	9	.	
6	11.6	17.7	12.3	13.9	−0.3	745.0	744.7	745.7	73	39	73	NW 1	S 1	NNW 0	10	6	10	.	
7	10.0	17.8	10.6	12.8	−1.2	745.5	744.3	744.2	83	44	85	N 1	S 1	N 1	10	3	0	.	
8	6.4	19.8	11.4	12.5	−1.3	742.1	741.1	742.2	87	47	86	N 1	S 1	N 1	0	0	1	.	
9	7.3	20.2	10.2	12.6	1.0	742.9	742.2	742.3	97	43	81	N 1	S 1	N 1	1	0	0	.	
10	7.2	17.2	11.0	11.8	−1.6	741.4	739.3	738.5	84	54	92	N 1	S 1	NW 0	1	10	10	3.7	☽ 19–n, ● n (10., 11.)
11	10.1	14.4	9.4	11.3	−1.9	736.3	735.9	737.5	97	68	86	N 1	W 1	N 1	10	10	2	.	
12	7.3	21.4	11.4	13.4	0.5	739.2	738.9	741.1	87	39	90	N 1	S 1	N 1	3	1	0	.	
13	7.0	20.7	10.8	12.8	0.1	743.1	742.7	743.8	84	39	87	N 1	S 1	N 1	0	0	0	.	
14	10.4	17.7	12.8	13.6	1.1	745.3	744.5	744.3	92	51	87	N 1	S 1	N 1	10	5	10	.	
15	12.0	16.7	10.4	13.0	0.7	744.2	743.9	744.5	90	52	87	N 1	S 1	N 1	10	5	6	.	
16	8.7	16.6	9.4	11.6	0.5	744.2	743.3	744.0	78	53	88	N 2	S 1	N 1	10	4	5	.	
17	6.8	17.7	10.2	11.6	−0.3	744.8	743.4	744.0	87	46	90	N 1	S 1	NW 0	1	0	8	.	
18	9.4	14.4	12.1	12.0	0.3	743.5	743.6	744.4	91	54	84	NW 1	SE 1	NW 0	9	10	10	0.5	☽ n (18./19.)
19	10.9	11.7	10.9	11.2	0.4	743.4	742.1	740.7	97	96	97	N 1	S 1	NNW 1	10☽	10●	10●	54.7	☽ n–●, ● a–n
20	10.8	10.1	10.0	10.3	−1.1	736.1	738.1	741.7	97	95	97	N 1	WSW 1	N 1	10●	10●	10●	**94.1**	● n–n
21	10.6	16.6	13.1	13.4	2.2	744.9	745.6	746.1	97	71	94	N 1	E 1	N 1	10☽	7	8	0.6	● ☽ n–9¾
22	10.4	15.6	11.9	12.6	1.6	745.1	744.0	743.2	93	70	93	N 1	S 1	NNW 1	9	9	5	0.1	● 13½–14
23	13.0	**23.4**	12.2	16.2	5.4	743.7	744.6	746.6	32	**11**	73	NW 1	NNE 3	N 1	0	1	1	.	⌿ 8½–15½
24	6.7	19.2	10.3	12.1	1.4	748.1	746.6	746.6	91	37	82	NNW 1	SSE 1	N 1	1	1	1	.	
25	7.8	17.9	10.7	12.1	1.6	745.6	744.8	743.5	93	62	90	N 1	S 1	N 1	4	6	1	.	
26	10.1	12.3	11.4	11.3	1.0	742.2	741.3	739.7	89	85	93	NNW 1	W 1	NNW 0	10	10	10	5.0	☽ 12–13, ● n (26./27.)
27	10.4	11.1	10.1	10.5	0.4	733.6	728.8	724.2	97	97	97	N 1	WNW 1	WNW 0	10●	10●	10●	59.4	● n–n
28	12.1	13.0	7.0	10.7	0.7	716.1	714.7	716.7	96	81	79	S 1	SSE 1	NNW 4	10●	10●	10●	53.3	● n–n, ⌿ p–n
29	11.6	12.0	11.0	11.5	1.7	**713.9**	719.7	725.5	31	29	26	NNE 3	NNE 2	N 3	10	10	10	.	⌿ n–n mU
30	10.2	17.0	6.0	11.1	1.5	728.7	730.6	733.5	28	19	47	N 2	NNE 2	N 1	7	3	0	.	⌿ n–19 mU
31	**4.6**	12.4	7.2	8.1	−1.4	734.5	734.6	735.9	70	45	81	N 1	NE 1	N 1	9	5	10	0.2	● 10 10½
Mittel	9.3	17.1	10.8	12.4	–	740.8	740.3	740.9	82	53	83				6.2	5.1	5.1	Summe 271.6	

$\lambda = 7°\,35'$, $\beta = 47°\,33'$,
$H_b = 317.3$ m, G = 0.08 mm

Basel

Oktober 1959
Beobachter: *Astronom.-Meteorol. Anstalt*

1	7.2	21.0	12.7	13.6	2.0	740.8	740.5	741.7	82	60	94	ESE 1	WNW 1	ESE 0	0	1	0	.	
2	8.8	**22.3**	12.5	14.5	3.1	742.9	742.0	742.2	98	55	85	ESE 1	ESE 1	E 1	0	1	0	.	△ 1
3	9.1	18.0	12.1	13.1	1.9	741.8	740.6	740.0	98	67	95	E 1	ESE 0	E 1	8	9	0	.	
4	6.9	19.7	8.9	11.8	0.8	739.4	738.1	737.3	100	52	95	E 1	NNW 1	S 0	10	0	0	.	≡ n –9½ mU
5	4.8	16.7	8.7	10.1	−0.7	737.9	737.4	737.6	98	55	87	SW 0	NE 1	SE 0	0	0	0	.	△ 1
6	6.5	18.3	7.9	10.9	0.3	738.1	737.5	738.4	88	58	96	SE 1	NNW 1	E 0	0	0	0	.	
7	5.6	19.6	7.4	10.9	0.5	739.3	738.9	738.7	96	51	95	ESE 1	NNE 1	N 0	0	0	0	.	△ 1
8	4.8	17.2	7.2	9.7	−0.5	738.1	737.3	737.3	100	52	95	ESE 1	WNW 1	SW 0	10≡	0	0	.	≡ 6½–9¾
9	4.4	19.5	10.5	11.5	1.5	737.9	736.7	736.1	100	48	87	E 1	NE 1	ESE 1	0	0	0	.	≡ 6¾–7½, △ 1
10	6.4	17.2	10.2	11.3	1.5	733.7	732.5	732.6	98	66	98	ENE 1	WNW 1	SW 1	2	10	10	4.5	
11	10.2	13.2	11.3	11.6	2.1	732.9	734.3	736.5	100	94	98	ESE 0	WSW 1	SSW 1	10●	10	10●	7.8	● 0–9½, 12½–12¾, 18¾ 22½
12	10.7	14.6	9.6	11.6	2.3	737.7	738.5	739.0	100	76	98	SSW 0	NNE 1	E 1	9	10	1	0.4	≡ 22½–n
13	6.4	14.6	6.9	9.3	0.2	740.0	740.1	740.3	100	71	98	ESE 1	NNW 1	SSW 0	10≡	0	0	.	≡ n–9¾, 22¾–n
14	5.1	16.1	7.2	9.5	0.6	740.3	739.7	739.6	100	58	92	SE 0	ENE 1	NE 1	10≡	0	0	.	≡ n–9½
15	4.4	13.9	5.7	8.0	0.7	739.1	738.2	738.2	100	65	95	SE 1	E 1	E 1	4≡	0	0	.	≡ n–7¾
16	4.8	14.7	8.9	9.5	1.0	737.8	736.4	735.7	96	65	80	ESE 1	ESE 1	ESE 1	1	1	0	.	
17	4.6	15.9	8.4	9.6	1.3	735.8	733.9	732.4	100	57	83	ESE 1	ESE 1	ESE 1	0	3	5	0.9	
18	7.8	18.1	9.7	11.9	3.8	735.4	737.2	737.1	97	53	95	SE 1	SSW 1	ESE 1	10	5	2	0.4	● 3, 6½–8¼ mU
19	8.4	14.0	11.8	11.4	3.5	735.1	733.1	732.4	97	79	95	E 1	ESE 1	WSW 1	9	9	10●	14.1	● 20¼–n mU
20	9.0	8.6	9.2	8.9	1.2	733.0	735.3	740.1	100	98	100	SSW 1	S 1	WNW 1	10●	10●	10	13.5	● n–17 mU
21	7.4	13.0	7.9	9.4	1.9	741.4	741.9	742.4	100	76	97	WNW 1	NW 1	S 0	10–	8	10	0.1	≡ 6¾ 9½, ⊕ 16¼
22	8.6	10.6	10.2	9.8	2.4	741.5	742.4	744.7	99	83	94	E 0	W 1	WNW 2	10●	10	1	4.3	● 7¾–11¾, 15¼–16¼
23	5.3	13.8	6.0	8.4	1.2	**747.3**	747.0	746.3	100	58	93	ESE 1	N 1	SE 1	10≡	2	0	.	≡ 6½–9¾, 10¾–11¼
24	**2.6**	16.5	7.0	8.7	1.7	744.2	741.8	739.8	97	**47**	87	SE 1	E 1	SE 1	2	3	1	.	△ 1
25	4.8	16.8	10.0	10.5	3.7	737.4	738.6	740.6	95	60	88	ESE 1	WNW 2	NW 1	7	9	10	.	⌿ 11½
26	7.4	11.2	9.1	9.2	2.5	737.4	735.8	733.8	98	77	96	WNW 1	NW 1	NNW 0	10	10	8	0.0	
27	7.8	11.0	11.9	10.2	3.7	725.9	718.0	**713.5**	99	87	73	SSE 0	ESE 1	WSW 1	10●	10●	10●	6.0	● 7½–8, 12¾–15 mU, 21½, ⌿ 17½
28	6.0	7.0	4.9	6.0	0.3	715.7	716.5	719.4	98	96	100	S 1	SW 1	S 0	10	10●	10●	12.4	● 0¾ 6¾ mU, 8¾–n mU
29	4.4	4.3	3.7	4.1	2.1	719.6	722.0	727.3	99	98	99	NW 1	WSW 1	SSW 1	10●	10●	10●	**15.4**	● n–3, 7¾–n mU
30	3.6	9.8	4.2	5.9	0.1	731.3	732.1	731.7	97	56	86	WSW 1	WSW 1	S 1	7	3	10	2.2	● n–4¾
31	3.0	5.7	5.4	4.7	1.2	730.1	730.9	733.5	98	93	96	ESE 1	WSW 1	SW 1	10●	10	10●	7.3	● 5–12¾, 17¾–23¼ mU
Mittel	6.3	14.6	8.6	9.8		736.4	736.0	736.3	98	68	93				6.4	5.0	4.1	Summe 89.3	

Oktober 1959
Beobachter: *Observatorium*

Säntis

$\lambda = 9° 21'$, $\beta = 47° 15'$,
$H_b = 2500.1$ m, G = –0.29 mm

Tag	Lufttemperatur 7³⁰	13³⁰	21³⁰	Mittel	Abweich. vom Normalst	Luftdruck 7³⁰	13³⁰	21³⁰	Relative Feuchtigkeit 7³⁰	13³⁰	21³⁰	Windrichtung und Stärke 7³⁰	13³⁰	21³⁰	Bewölkung 7³⁰	13³⁰	21³⁰	Niederschlag	Witterung
1	2.8	5.6	4.4	4.3	3.2	569.7	570.7	571.5	91	84	62	WSW 2	SE 2	SW 2	1	5	0	.	
2	5.1	7.0	4.7	5.6	4.6	571.8	572.2	**572.5**	48	76	30	SSE 2	SSW 2	WNW 2	1	1	1	.	
3	5.2	**7.2**	3.9	5.4	4.5	571.0	570.9	570.3	42	63	**22**	W 1	SW 2	WNW 1	8	9	4	.	
4	2.7	4.4	2.0	3.0	2.2	568.2	568.0	567.2	43	45	72	N 2	SW 1	E 2	1	0	0	.	
5	2.0	4.2	1.7	2.6	2.0	566.1	566.3	566.4	66	66	81	SE 2	SE 2	SE 2	0	1	0	.	
6	1.7	3.7	1.0	2.1	1.6	566.4	566.8	567.2	72	76	82	E 2	SW 2	SW 1	0	1	0	.	
7	–0.8	3.1	0.6	1.0	0.6	567.5	568.1	567.6	96	88	100	W 2	S 2	SW 1	0	7	0	.	≡ 15½–17
8	1.2	4.8	2.2	2.7	2.5	566.1	566.4	566.7	72	42	61	ESE 2	SE 2	ENE 2	1	1	0	.	
9	3.3	4.6	2.7	3.5	3.4	566.7	566.7	566.4	62	80	58	SE 1	SSW 1	SW 1	0	1	0	.	
10	3.0	6.3	0.6	3.3	3.3	564.1	562.9	561.5	65	51	81	SW 2	SW 2	SW 2	1	5	10	4.5	✳ n (10./11.)
11	–2.7	–1.0	–1.8	–1.8	–1.6	560.5	561.8	564.0	100	100	100	W 2	W 2	WNW 2	10≡*	10*≡	10*≡	8.3	✳ n–14½, ≡ ⋁n–n 6
12	–2.4	–0.8	–3.2	–2.1	–1.8	564.9	565.9	566.4	100	96	86	N 1	ENE 1	E 2	10≡	9	1	.	≡ ⋁n–13, ≡ 13–13¾ mU 8
13	–1.0	1.4	0.0	0.1	0.6	566.8	567.4	568.0	34	38	65	E 2	E 2	E 2	0	1	0	.	
14	0.0	2.6	–1.0	0.5	1.1	567.5	567.9	567.4	34	76	53	E 2	SW 2	W 2	0	1	0	.	
15	–1.4	1.9	–0.4	0.0	0.8	566.2	566.3	566.4	55	73	65	WSW 2	SSW 2	SW 1	0	1	0	.	
16	–0.4	3.0	0.6	1.1	2.0	565.8	565.6	565.6	46	58	34	W 2	SW 2	SW 2	0	1	1	.	
17	0.8	5.6	3.6	3.3	4.4	564.7	564.5	564.0	48	42	44	SSE 1	SW 2	SW 3	1	1	9	.	⊕ Abd
18	2.6	3.7	0.7	2.3	3.5	564.9	566.0	566.5	74	91	97	W 2	SW 2	SW 2	9	3	1	0.0	✳ 10¾ 11½
19	0.4	4.7	0.9	2.0	3.3	564.9	563.7	562.1	92	68	88	S 3	SW 3	SW 3	9	10	10	0.6	✳ n (19./20.) 1
20	–0.4	–0.9	–1.4	–0.9	0.6	560.5	561.7	565.8	100	100	100	SE 2	E 2	SE 2	10≡*	10≡*	10≡*	0.9	✳ ≡ n–n mU 2
21	0.6	4.6	1.3	2.2	3.8	567.2	568.7	569.0	96	68	86	WSW 2	W 2	W 3	3	1	4	.	⊕ 16½ 3
22	0.0	0.6	–1.4	–0.3	1.4	567.8	568.4	569.4	100	100	100	WSW 4	WSW 4	W 3	10≡	10–●	10≡	11.4	⛆ 10–15 mU, ≡ 6¾–n, *)
23	–6.4	–3.4	–3.0	–4.3	–2.4	569.9	571.4	571.9	100	99	56	WNW 2	SW 2	NW 2	10≡	5	9	.	≡ ⋁n–9½
24	–1.4	3.0	3.4	1.7	3.7	570.9	571.0	569.8	30	44	36	W 3	WSW 2	WSW 3	1	1	1	.	⊕ 16½
25	3.8	0.0	–1.4	0.8	2.9	567.0	566.5	567.7	32	74	100	W 3	W 3	W 2	8	9	10≡	.	≡ 15¾–n, ⋁ 21½–n
26	–2.4	0.6	–1.8	–1.2	1.1	564.3	563.4	561.6	100	93	100	W 2	SW 3	WSW 2	10≡	9	10≡	.	≡ ⋁n–8½, 18¾–n
27	–0.1	1.7	1.1	0.9	3.3	555.8	550.9	547.6	84	71	86	SW 3	SW 4	SW 4	10	9	3	4.0	✳ n (27./28.), ⌿ a–n
28	–5.4	–7.6	–7.9	–7.0	–4.5	**545.2**	545.5	546.5	100	100	100	WNW 2	NW 2	NW 2	10≡*	10≡*	10≡*	24.5	✳ ≡ ⋁n–n 6
29	–9.2	–9.9	–10.3	–9.8	–7.1	545.6	547.1	552.0	100	100	100	N 2	NW 2	W 2	10≡*	10≡*	10≡*	**64.7**	✳ ≡ ⋁n–n 39
30	–9.9	–8.8	**–11.3**	–10.0	–7.2	554.8	555.7	555.6	100	100	93	W 2	W 2	WSW 3	10–*	10≡*	1	2.8	✳ ≡ ⋁n–14 127
31	–10.2	–5.9	–8.3	–8.1	–5.2	555.0	555.6	557.8	64	100	100	WSW 3	W 3	W 3	10	10≡*	10≡*	33.5	✳ ≡ ⋁ 8½–n, ⛆ 12–n 132
																		Summe	
Mittel	–0.6	1.5	–0.6	0.1	—	564.1	564.3	564.6	72	76	75				5.0	5.2	4.3	155.2	

*) **22.** ⌿ n–16½

Oktober 1959
Beobachter: *E. Chiesa*

St. Gotthard (Hospiz)

$\lambda = 8° 34'$, $\beta = 46° 33'$,
$H_b = 2095$ m, G = –0.27 mm

1	0.4	5.8	3.4	3.2	0.2	598.1	599.5	600.0	98	89	38	SE 0	SE 1	NW 0	10≡	10≡	0	.	≡ n–17
2	4.8	10.2	4.8	6.6	3.8	600.1	600.9	**601.4**	27	26	40	NW 0	SE 0	SE 0	0	0	0	.	⌴ I
3	4.4	**11.1**	6.0	7.2	4.6	599.9	599.5	598.9	29	26	62	NW 0	SE 0	NW 0	0	0	3	.	⌴ I
4	3.9	9.4	3.2	5.5	3.0	597.0	596.1	595.6	63	28	90	NW 1	NW 1	NW 0	0	0	0	.	
5	1.8	6.2	1.4	3.1	0.8	595.4	595.4	595.8	57	55	98	SE 1	SE 1	SE 1	0	0	0	.	⌴ I
6	0.5	3.3	0.2	1.3	–0.8	595.8	595.9	596.1	99	85	95	SE 0	SE 1	SE 0	10≡	10≡	10≡	.	≡ n–n
7	1.8	8.0	1.2	3.7	1.7	596.2	596.2	596.3	54	41	94	NW 1	NW 1	SE 0	0	0	0	.	⌴ I
8	3.0	8.6	3.0	4.9	3.1	594.7	594.6	595.3	69	47	90	NW 1	SE 0	NW 0	0	0	0	.	⌴ I
9	3.2	7.6	1.6	4.1	2.5	595.0	595.2	595.6	63	57	95	NW 0	SE 0	NW 0	0	0	0	.	⌴ I
10	0.8	5.0	0.2	2.0	0.5	593.8	592.6	591.1	76	53	100	SE 1	SE 3	SE 1	0	6	10≡*	6.6	✳ 20½–n mU, ≡ 20¾–n,*)
11	–0.8	0.8	0.4	0.1	–1.2	589.4	590.2	592.1	99	100	100	NW 1	NW 2	NW 2	10≡	10≡	10≡●	0.9	● p–n mU, ≡ n–n 2
12	0.0	2.6	0.2	0.9	–0.2	593.4	594.2	595.2	99	70	95	NW 1	NW 1	NW 1	10	0	0	.	⌴ I
13	0.4	8.0	1.4	3.3	2.4	595.3	595.9	596.2	35	**25**	70	NW 0	SE 0	NW 0	0	0	0	.	⌴ I
14	0.2	5.6	1.8	2.5	1.7	596.2	596.4	596.3	60	38	72	SE 0	NW 1	SE 0	0	0	0	.	⌴ I
15	–2.0	5.2	0.0	1.1	0.5	595.4	595.3	595.4	99	63	85	NW 0	SE 0	SE 0	0	0	10≡	.	≡ 17–n. ⌴ I
16	–1.8	4.2	–1.0	0.5	0.1	594.9	594.7	595.2	57	55	88	SE 0	SE 1	SE 0	0	0	10≡	.	≡ 17¾–n, ⌴ I
17	–1.0	3.2	–0.6	0.5	0.3	594.9	594.6	594.5	33	46	98	SE 1	SE 1	SE 1	0	0	10≡	0.4	✳ n (17./18.), ≡ 17¾–n, ⌴ I
18	–0.6	2.6	1.7	1.2	1.2	594.3	594.8	595.7	99	85	93	SE 1	SE 1	SE 0	10≡	10	10	.	≡ ⋁ n–10
19	2.6	1.6	1.7	2.0	2.1	594.5	593.7	592.3	99	99	100	SE 1	SE 1	SE 1	10	10≡	10 ●	19.4	● 11¼ n mU, ✳ (19.–20.), *)
20	–1.0	0.3	1.2	0.2	0.5	589.3	590.8	594.7	98	99	94	SE 1	SE 0	NW 0	10≡*	10≡*	10	27.4	✳ ≡ n–18 4
21	2.2	5.2	2.2	3.2	3.7	596.5	598.1	597.1	91	83	90	SE 0	NW 0	NW 0	6	10–	3	.	≡ 10¾ 11½ 15
22	4.4	5.0	1.0	3.5	4.2	597.8	598.7	598.0	72	80	100	NW 0	NW 0	NW 2	9	9	10≡●	0.2	● ≡ 16¾–n 11
23	–2.2	1.2	–1.2	–0.7	0.1	598.7	599.8	600.2	98	59	81	NW 2	NW 2	NW 1	10≡	0	0	.	≡ n–7¾ 8
24	3.0	9.0	3.8	5.3	6.3	599.9	599.9	599.0	39	36	59	NW 1	NW 0	NW 0	0	0	0	.	6
25	3.0	5.4	1.2	3.2	4.4	597.2	596.5	591.5	61	72	93	SE 0	SE 1	SE 1	0	3	0	.	2
26	1.0	2.0	0.8	1.3	2.6	594.6	593.2	590.2	84	99	100	SE 1	SE 2	SE 1	9	10≡	10≡●	3.3	● p–n, ✳ n (26. 27.), *)
27	0.2	0.5	0.0	–0.1	1.4	586.0	581.0	577.1	99	99	100	SE 2	SE 2	SE 2	10≡*	10≡*	10≡*	72.5	✳ ≡ n–n 1
28	–2.5	–4.5	–5.8	–4.3	–2.6	**573.3**	573.5	574.3	98	97	98	NW 1	NW 2	NW 3	10≡*	10≡*	10≡*	**76.2**	✳ ≡ n–n, ⌿ p–n 30
29	–7.0	–6.2	–7.0	–6.7	–4.9	**573.3**	575.8	580.6	95	96	98	NW 3	NW 2	NW 2	10≡*	10≡	10≡	13.4	✳ n 11½, ≡ n–n, ⋁p–n,*) 70
30	–6.8	–6.4	**–8.8**	–7.3	–5.3	583.1	585.0	585.3	95	93	94	NW 2	NW 1	NW 1	10≡	10≡	0	.	≡ ⋁ n–19½ 68
31	–5.2	–2.5	–5.0	–4.2	–2.0	585.4	585.9	587.1	75	82	86	SE 1	SE 1	NW 0	9	10	10*	6.8	✳ 14¾–n mU 65
																		Summe	
Mittel	0.3	3.8	0.4	1.5	–	593.2	593.4	593.4	75	67	87				4.9	4.8	5.0	227.1	

*) **10.** ⌴ I, ⌿ a–p **19.** ≡ n–n **26.** ≡ 11½–n **29.** ⌿ n–n mU

$\lambda = 7°\,26'$, $\beta = 46°\,57'$,
$H_b = 572.2$ m, G = −0.04 mm

Bern

November 1959
Beobachter: *Meteorologisches Observatorium*

Tag	Lufttemperatur 7³⁰	13³⁰	21³⁰	Mittel	Abweich. vom Normalst	Luftdruck 7³⁰	13³⁰	21³⁰	Relative Feuchtigkeit 7³⁰	13³⁰	21³⁰	Windrichtung und Stärke 7³⁰	13³⁰	21³⁰	Bewölkung 7³⁰	13³⁰	21³⁰	Niederschlag	Witterung
1	4.0	7.3	3.3	4.9	−0.3	713.9	716.3	719.3	98	78	97	SE 1	WNW 1	SE 1	10	8	1	.	● n–3, 6¾–7¾, △ III
2	−0.3	7.6	2.6	3.3	−1.7	**719.8**	718.4	717.1	98	72	96	SE 1	NE 1	ESE 1	2	1	0	.	≡ 0–3½, ⌴ I
3	−1.8	1.7	1.1	0.3	−4.6	714.1	712.8	713.0	100	90	95	NW 0	NNW 1	S 1	10≡	10	10	0.0	≡ 7¾–10¾, ⌴ I
4	1.2	3.5	1.3	2.0	−2.7	714.3	713.7	714.1	90	84	97	ESE 1	SW 1	SE 1	10	9	5	7.7	● tr 2–3½
5	1.0	3.2	2.1	2.1	−2.5	710.8	710.2	710.9	99	97	97	SE 1	NW 1	NE 1	10*	10●	8●	4.5	● 0¾–5¾, 8–15¾, 18¾–21½,*)
6	2.0	3.0	2.8	2.6	−1.8	709.2	708.6	709.4	95	85	95	NE 1	NNE 1	NNE 1	10	10	10	0.1	❩ 3¾–4
7	2.6	4.5	3.0	3.4	−0.9	709.9	710.5	712.8	89	80	87	NNE 1	NE 1	NE 1	10	9	10	.	● 2½–3
8	2.0	3.3	2.6	2.6	−1.6	713.0	712.8	713.5	88	79	86	NE 2	NE 2	NNE 1	10	9	10	.	
9	1.8	3.9	3.0	2.9	−1.1	713.4	712.2	711.3	92	74	83	NNE 1	SW 1	SE 1	10	10	10	.	
10	2.9	5.0	4.1	4.0	0.1	709.2	708.4	707.5	84	81	90	SW 1	WNW 1	SE 1	10	9	10●	0.2	∴ 12¾–12½, ● 16, tr 21½
11	3.3	6.8	3.1	4.4	0.7	706.2	704.6	703.6	97	73	94	SE 1	W 2	E 1	10●	10●	1	0.5	● 1¾–2, 7¾–9¾ mU, 12–14¾ mU
12	1.6	5.4	4.1	3.7	0.1	701.9	702.7	705.8	98	79	94	W 1	NE 1	NNE 1	10	8	10●	1.6	● 21¾–24, ≡ 3¾–6
13	3.5	5.4	3.2	4.0	0.6	707.7	707.7	707.1	98	90	95	NE 1	WNW 1	SE 1	10	10	0	.	● 3¾–7¾ mU
14	2.4	6.4	3.2	4.0	0.7	703.9	703.7	703.6	94	95	97	SE 1	WNW 1	SE 1	9	10●	10	**15.8**	● 8–8½, 11¾–21¾, 21½–n mU
15	2.9	4.3	4.1	3.8	0.6	703.8	703.0	703.6	99	95	95	ESE 1	SE 1	S 1	10	10	10	1.1	● n 6½ mU, 22¾ 23½
16	4.2	6.4	2.2	4.3	1.3	705.9	707.8	708.7	90	75	94	WSW 1	W 1	SE 1	9●	9	0	0.5	● 1¾–9 mU, 10½ 11¾, ⌴ III
17	−0.7	2.1	1.9	1.1	−1.8	706.4	704.2	701.4	99	93	96	NE 0	N 1	NE 1	10≡	10	10	0.3	● 17¾–18½ mU, ≡ 7¾ 8½, ⌴ I
18	2.8	**10.9**	4.6	6.1	3.4	702.5	705.5	709.9	93	**69**	93	W 1	W 1	SW 1	9	6	1	.	
19	0.7	9.6	3.6	4.6	2.0	713.9	714.4	715.6	98	71	93	SSE 1	N 1	SE 1	4	9	2	.	
20	−0.6	7.6	−0.8	2.1	−0.3	714.9	714.0	714.9	98	72	100	SE 1	NW 1	W 1	1	0	10≡	.	≡ 8¾–9½, 19½–n
21	−1.9	1.9	−0.4	−0.1	−2.4	716.0	715.8	716.9	100	93	100	NE 1	ENE 1	W 1	10≡	0	10≡	.	≡ n–11, 15¾–n
22	−2.4	3.8	−0.6	0.3	−1.9	717.8	717.3	718.4	100	85	100	SE 0	N 1	N 1	10≡	0	10≡	.	≡ n–11, 17½–n
23	−1.9	−2.1	2.0	−2.0	−4.0	718.7	717.7	717.5	100	99	98	W 1	NNE 1	S 1	10≡	10≡	10≡	.	≡ n 24, ⌴ I
24	**−2.9**	−1.2	−2.0	−2.0	−3.9	715.9	715.4	716.5	98	95	96	S 1	SE 1	SE 1	10	10	10	.	
25	−1.3	−1.4	−0.3	−1.0	−2.7	716.7	715.9	715.8	97	93	97	SE 1	SW 1	E 1	10	10	10	.	
26	−2.5	0.3	−0.7	−1.0	−2.6	714.0	713.2	712.6	100	97	100	SE 1	NE 1	W 0	10≡	10	10≡	.	≡ 0–12¾, 17½–24
27	−0.2	3.5	3.4	2.2	0.8	712.3	711.2	713.8	98	86	95	E 1	NE 1	WNW 1	10	10	10❩	0.4	❩ ● 20½–n
28	2.7	6.8	5.0	4.8	3.5	714.4	712.9	711.9	95	76	100	ESE 1	ESE 1	SE 1	8	10	10●	7.0	❩ ● n–2, ● 18¾–22¾ mU, *)
29	1.5	5.3	3.8	3.5	2.3	708.7	707.2	705.3	97	92	97	SE 1	WNW 1	ESE 0	2	10	5	0.0	● 14½–15¾ mU, ≡ 23–n
30	1.1	2.3	1.3	1.6	0.6	699.4	697.5	**692.8**	100	99	100	NE 0	WNW 1	E 1	10≡	10	10≡	.	≡ n–11, 17½–n
Mittel	0.9	4.2	2.1	2.4	—	711.1	710.5	710.8	96	85	95				8.8	8.2	7.4	Summe 39.7	

*) 5. 21½–23 mU, ✳ ● 5¼–5¾, ✳ 5¾–8, ❩ 17½–18¾ **28.** ≡ 20½–24

$\lambda = 6°\,57'$, $\beta = 47°\,00'$,
$H_b = 487.3$ m, G = 0.00 mm

Neuchâtel

November 1959
Beobachter: *Observatoire Cantonal*

1	5.2	**10.2**	3.8	6.4	0.3	721.6	724.3	726.8	94	**56**	85	NW 1	S 1	N 1	10	4	0	0.0	● tr 9¼–10¼
2	1.9	9.4	5.9	5.7	−0.2	**727.5**	726.2	724.9	96	68	77	N 1	E 1	NE 2	10≡	0	0	.	≡ n–11½
3	1.2	2.9	1.9	2.0	−3.8	722.0	720.8	721.1	97	86	83	NE 0	E 1	N 1	10≡	10	10	.	≡ n–a
4	2.0	4.7	2.4	3.0	−2.6	721.9	721.6	721.9	81	74	88	WNW 1	SSW 1	SE 0	10	10	8	1.5	
5	3.4	3.8	3.3	3.5	−2.0	718.3	717.9	718.5	92	91	92	W 1	W 1	NE 1	10●	10●	10	1.4	● 4½–8¾, 10½–14
6	2.7	4.4	3.5	3.5	−1.8	716.6	716.4	717.0	95	74	85	NE 2	NE 2	NE 2	10	10	10	4.8	● 4–5, 14–17
7	3.0	7.3	4.4	4.9	−0.3	717.6	718.4	720.7	86	59	71	NE 0	E 2	NE 1	10	9	10	.	
8	2.4	5.3	3.6	3.8	−1.2	721.0	720.8	721.6	77	64	72	NE 2	NE 2	NE 1	7	8	10	.	
9	2.8	4.8	3.7	3.8	−1.1	721.3	720.2	719.1	84	65	75	NE 0	E 1	N 0	10	10	10	.	
10	3.1	4.2	5.1	4.1	−0.6	716.7	715.9	714.9	72	82	79	W 1	SW 1	W 1	10	10	10	0.4	● ✳ 11¾–12, ● 17–17½
11	3.1	4.7	3.4	3.7	−0.9	713.3	712.4	710.8	90	89	92	W 0	SW 3	W 1	10	10●	1	11.1	● 13¾–17, ⛈ 10–17
12	2.6	4.9	4.7	4.1	−0.3	709.0	710.3	713.2	96	84	92	NE 1	SE 0	NE 1	10●	10	10	1.3	● 4¾–9½, 23–n
13	4.4	5.7	4.7	4.9	0.6	715.3	715.3	714.6	92	81	89	NE 0	NE 1	W 1	10	10	7	0.4	● n–1
14	3.9	6.0	5.0	5.0	0.9	711.4	710.8	711.0	96	86	91	NE 0	WSW 2	SW 2	10●	10●	10	**12.4**	● 2½–20¾
15	4.0	5.2	5.0	4.7	0.7	710.7	710.3	710.9	91	88	82	NE 1	ESE 1	W 1	10	10	10	1.7	
16	4.1	6.0	1.7	3.9	0.0	713.5	715.3	716.0	89	77	88	WSW 2	WSW 2	NNW 1	10●	10●	0	0.7	● 0½–13½ mU, ⛈ 9¾
17	0.9	3.4	3.0	2.4	−1.3	714.1	711.8	708.5	97	84	96	N 0	NE 1	E 1	10	10	10	1.4	● 17½–18¾
18	2.5	9.8	5.0	5.8	2.2	709.8	713.0	717.3	96	66	93	NE 0	W 2	WSW 1	8	5	0	.	⛈ 11½–18½ mU
19	2.3	4.9	3.6	3.6	0.1	721.7	722.3	723.4	97	96	97	SE 1	S 1	SW 1	10≡	10≡	10≡	.	≡ n–n
20	0.9	3.0	2.8	2.2	1.1	722.9	722.3	722.9	98	97	98	S 0	SE 1	WSW 0	10	10≡	10	.	≡ n–n
21	1.3	2.2	1.2	1.6	−1.6	724.0	723.8	724.9	96	92	97	NNE 1	E 1	E 0	10≡	10≡	10≡	.	≡ n–n
22	0.5	1.4	0.1	0.3	2.8	726.0	725.3	726.4	97	94	98	E 0	E 1	NE 1	10	10≡	10	.	≡ n–n
23	−0.8	−0.3	−0.9	−0.7	−3.6	726.7	725.8	725.4	95	93	92	NE 1	NE 1	NE 1	10	10	10	.	
24	**−1.1**	0.9	0.5	0.1	−2.7	723.7	723.0	724.2	89	83	86	E 1	NW 0	NE 1	10	10	10	.	
25	0.7	2.0	1.4	1.4	−1.3	724.6	723.7	723.7	83	75	85	WNW 1	WSW 1	W 0	10	10	10	.	
26	0.9	1.4	1.2	1.2	−1.3	721.8	721.0	720.3	90	86	94	WSW 1	S 1	WNW 0	10	10	10	.	
27	1.6	3.6	4.7	3.3	0.9	719.9	719.0	721.5	96	89	96	W 0	S 0	SW 1	10≡	10≡	10●	3.1	● 18½–22½, ≡ n–p
28	5.2	6.1	5.6	5.6	3.3	722.2	720.8	719.8	96	92	96	NNE 1	NE 0	NE 1	10●	10	10●	4.9	● 6½–9, 16¾–22
29	5.1	5.2	5.2	5.2	3.1	716.0	714.6	712.7	96	96	95	NE 1	SW 1	ENE 1	10	10≡●	10	3.4	● 13 18¾, ≡ a–p
30	3.0	3.7	2.9	3.2	1.2	706.9	704.5	**700.0**	97	97	96	NE 1	S 1	NE 1	10≡	10≡	10	.	≡ n–p
Mittel	2.4	4.6	3.3	3.4	—	718.6	718.3	718.5	92	82	89				9.8	9.2	8.2	Summe 48.5	

November 1959
Beobachter: *Eidg. Armeemagazine*

Altdorf

$\lambda = 8° 38'$, $\beta = 46° 52'$,
$H_b = 450.7$ m, G = –0.08 mm

Tag	Lufttemperatur					Luftdruck			Relative Feuchtigkeit			Windrichtung und Stärke						Bewölkung			Niederschlag	Witterung
	7^{30}	13^{30}	21^{30}	Mittel	Abweich. vom Normalst	7^{30}	13^{30}	21^{30}	7^{30}	13^{30}	21^{30}	7^{30}		13^{30}		21^{30}		7^{30}	13^{30}	21^{30}		
1	2.6	8.6	2.8	4.7	–2.2	724.9	726.6	730.0	100	83	100	S	0	W	1	SE	0	10●	2	0	0.0	● tra
2	–0.4	8.4	1.4	3.1	–3.6	**730.5**	729.4	728.7	99	65	99	SE	1	NW	1	SSE	0	1	1	0	0.0	⌓ I
3	–1.2	6.6	3.2	2.9	–3.7	725.3	723.5	723.7	100	77	90	SSE	1	NW	1	SE	1	0	1	10	0.0	⌊ I
4	–0.4	7.6	2.2	3.1	–3.4	724.7	723.9	724.9	100	71	96	SE	1	NW	1	SSE	0	2	3	0	3.5	● n (4./5.), ⌊ I
5	2.4	3.8	3.6	3.3	–3.0	721.6	720.7	721.3	100	100	95	S	0	S	1	NW	1	10●	10●	10	5.0	● n–n mU
6	3.2	5.6	3.8	4.2	–2.0	719.8	719.0	719.7	97	77	98	E	0	E	0	SE	0	10	10	10	0.0	● tra mU
7	3.6	5.6	4.0	4.4	–1.7	720.3	721.4	723.6	97	86	97	E	0	SE	0	SE	0	10	10	10	.	
8	3.8	5.2	3.4	4.1	–1.8	724.0	723.5	724.3	100	85	98	SE	0	NW	0	S	0	10	10	10	0.0	
9	1.0	6.0	1.6	2.9	–2.9	724.4	723.1	722.6	82	71	95	SE	2	NW	1	S	0	10	9	10	0.0	
10	0.6	5.8	2.4	2.9	–2.7	719.2	718.8	718.6	97	80	95	E	0	NW	0	S	0	8	10	10	1.5	● a-p mU
11	2.4	9.4	1.2	4.3	–1.2	716.7	714.9	714.8	100	65	100	SE	1	NW	1	SSE	0	8	4	0	0.0	
12	10.0	11.0	4.4	8.5	3.1	710.6	712.1	716.5	41	54	100	SSE	5	SSW	2	N	0	10	7	10●	4.7	● p n, ≋ n a
13	3.2	7.0	3.4	4.5	–0.7	718.3	717.5	718.0	100	86	100	S	0	NNW	1	SSE	0	10●	8	0	0.0	● n a
14	1.6	7.6	4.2	4.5	–0.6	714.1	713.8	715.1	100	84	100	NNW	0	S	0	E	0	3	9	10●	29.0	● ✳ p–n
15	1.0	2.6	3.6	2.4	–2.6	714.5	713.1	713.4	100	100	98	S	1	SE	0	NW	1	10●	10●	10●	19.6	● n–n mU
16	3.2	6.4	1.4	3.7	–1.1	716.4	718.2	719.9	100	90	98	SE	1	S	0	SE	0	10	8	0	0.0	● n–a mU, ⌊ III
17	9.6	13.6	13.2	12.1	7.4	716.7	714.3	712.0	42	40	40	SSE	5	SE	5	SSE	5	8	9	7	0.0	≋ n–n
18	14.0	**16.6**	5.0	11.9	7.3	712.4	714.9	720.3	43	40	98	SSE	5	SE	3	E	0	8	9	1	0.0	✳ fl p ≋ n–a, ≋ a–p
19	6.6	**16.6**	4.0	9.1	4.7	724.6	724.3	725.9	96	39	100	E	0	SSW	3	NNW	0	6	3	0	0.0	≋ a–p
20	1.0	7.6	1.0	3.2	–1.1	725.4	724.0	725.6	100	82	100	NW	1	NW	2	NW	0	10≡	0	0	.	≡ n–a, ⌊ I, III
21	–0.6	1.4	–1.0	–0.1	–4.3	727.3	727.5	727.7	100	100	100	SE	0	S	0	W	0	10≡	10≡	10≡	0.0	≡ n–n mU
22	**–2.4**	1.8	0.0	–0.2	–4.2	729.0	728.9	730.0	100	100	100	S	0	S	0	S	0	10≡	10	10≡	.	≡ n–n mU
23	–0.8	1.2	–0.2	0.1	–3.8	729.5	728.8	728.4	98	85	90	S	0	W	0	SE	0	10	10	10	0.0	
24	**–2.4**	0.4	0.2	–0.6	–4.3	726.8	726.2	727.2	94	92	94	S	1	SSE	1	S	0	10	10	10	0.0	
25	0.6	4.2	1.4	2.1	–1.5	727.5	726.6	726.8	88	78	96	SE	0	NW	1	NW	0	10	8	10	0.0	
26	1.2	3.4	1.6	–2.1	1.4	724.3	723.5	723.4	100	95	100	E	0	NNW	1	NW	1	10≡	10≡	0	0.0	≡ n–p
27	1.6	15.6	6.0	7.7	4.4	722.0	720.5	723.3	99	**34**	94	NW	1	SE	3	N	0	8	9	10	0.0	≋ a–p
28	0.8	7.6	5.0	4.5	1.3	725.6	723.6	722.9	100	84	99	SSE	0	W	0	SE	0	1	6	3	0.0	⌊ I
29	1.8	6.6	2.2	3.5	0.4	719.5	716.6	715.9	99	86	100	SE	0	NW	2	SW	0	10	4	5	0.0	≡ p mU
30	2.8	13.8	7.4	8.0	5.1	709.7	705.8	**703.0**	98	38	87	NE	2	SE	5	SSW	3	7	3	6	0.3	● tr p, ≋ n–n mU, ≋ II
Mittel	2.3	7.2	3.1	4.2	—	721.5	720.8	721.6	92	76	95							8.0	7.1	6.1	Summe ~~46.9~~ 63.6	

November 1959
Beobachter: *Observatoire*

Genève

$\lambda = 6° 09'$, $\beta = 46° 12'$,
$H_b = 405.0$ m, G = –0.05 mm

1	5.7	8.8	7.6	7.4	0.5	729.0	731.6	734.1	94	62	72	N	1	N	1	NNE	1	10	6	7	0.1	● 8¾–8¾
2	3.1	8.6	6.4	6.0	–0.7	**734.5**	733.2	731.8	96	70	82	SW	0	N	1	NNE	1	10	2	2	.	
3	2.7	7.2	3.8	4.6	–2.0	729.3	727.7	728.1	98	65	91	S	1	N	1	NNE	1	9	5	10	.	
4	3.5	5.9	2.3	3.9	–2.5	729.8	729.0	729.7	88	71	94	E	1	WNW	1	N	1	10	8	3	1.2	
5	3.6	5.1	3.8	4.2	–2.1	726.6	725.7	725.7	98	93	91	SW	1	S	0	NW	1	10	10	10	1.5	● 2½–5½, 9¾–12¾
6	4.6	5.8	4.8	5.1	–1.0	723.6	723.1	723.9	80	65	74	NNE	3	NNE	2	NE	1	10	10	10	.	≋ n–p mU
7	5.1	6.1	6.2	5.8	–0.2	724.3	725.3	727.4	76	68	68	NNE	2	NNE	2	NNE	2	10	10	10	.	
8	4.7	5.2	4.9	4.9	–1.0	727.8	727.9	728.8	74	68	69	NNE	2	NE	1	NNE	1	10	10	10	.	
9	4.4	5.8	4.2	4.8	–0.9	728.5	727.7	726.6	75	61	70	S	1	NNE	1	WSW	1	10	10	10	.	
10	2.5	5.6	5.7	4.6	–1.0	724.9	723.7	722.6	84	74	74	W	1	S	1	NW	1	10	10	10	0.0	☽ a
11	4.0	7.0	5.2	5.4	–0.1	721.5	720.4	718.7	90	63	83	W	1	S	2	NW	1	9	8	2	10.2	● 18¾–19¼
12	1.2	4.0	4.8	3.3	–2.0	717.1	717.5	720.3	100	97	98	S	1	S	0	SW	1	10●	10	10●	1.1	●✳ 1½–7½, ● 7½–9¾, 20¾–22¾
13	6.3	9.4	3.8	6.5	1.3	722.7	722.8	722.5	87	62	95	NNE	1	S	1	ENE	1	10	5	3	2.3	
14	5.3	8.1	4.7	6.0	0.9	719.6	718.7	719.1	96	95	87	W	1	S	2	WNW	1	10●	10●	10	**25.5**	● 1¾–2½, 6¼–18¾
15	2.8	8.4	5.8	5.7	0.8	718.4	717.6	719.2	97	70	81	W	0	SW	1	S	1	4	5	9	0.8	● 14¾–15¾, 20¼–21
16	5.6	**9.8**	3.7	6.4	1.6	722.1	723.3	723.2	76	**52**	86	S	1	S	1	S	0	10●	4	10	0.3	● 4¾–5¾, 7½, 9½–10¾
17	1.8	5.5	5.0	4.1	–0.6	721.7	719.7	715.4	92	75	83	E	0	NNE	1	NW	1	10	10	10	3.7	● 4¾–4½, 8¾–8¾
18	3.6	8.4	5.1	5.7	1.1	717.3	721.2	724.3	100	92	95	S	1	W	1	SSE	1	4	10●	3	6.5	● 10½–14¾ mU
19	2.1	4.6	3.6	3.4	–1.0	729.0	729.8	730.8	100	100	100	S	1	NNE	1	E	1	10≡	10≡	10≡	.	≡ n n
20	1.3	2.7	1.7	1.9	–2.4	730.4	729.8	730.5	100	100	100	SW	1	S	1	S	1	10≡	10≡	10≡	.	≡ n–n
21	1.6	3.7	2.3	2.5	–1.7	731.0	731.2	732.2	100	86	94	S	1	NNE	1	SSE	1	10≡	9	10	.	≡ n a
22	1.2	4.7	0.7	2.2	–1.9	733.1	732.6	733.5	96	74	97	SE	1	N	1	ESE	1	10	2	10≡	.	≡ p–n
23	1.2	2.3	1.5	1.7	–2.2	733.8	732.9	732.7	96	83	87	ESE	1	E	1	N	1	10	10	10	.	
24	**–0.2**	1.3	0.7	0.6	–3.2	731.2	730.5	731.8	89	79	91	E	1	SE	1	ENE	1	10	9	10	.	
25	0.7	3.9	0.2	1.6	–2.1	731.9	731.0	730.9	83	62	87	E	1	E	0	E	0	10	5	9	.	
26	0.3	0.8	1.1	0.7	–2.9	729.5	728.6	727.9	92	85	95	SE	1	S	1	SSW	1	10	10	10	.	
27	1.5	3.2	4.3	3.0	–0.4	727.3	726.2	729.2	98	97	98	S	1	S	1	E	0	10≡	10	10●	8.6	● 17–23¾, ≡ n–a
28	4.6	7.2	6.6	6.1	2.8	729.3	728.0	727.1	96	87	92	WSW	1	WSW	0	ENE	1	10≡	10	10	0.6	● 20–20¾, 22¾–23, ≡ n–a
29	4.2	5.6	5.3	5.0	1.8	723.5	722.4	719.9	98	98	98	S	1	S	1	E	1	10≡	10●	10●	10.9	● 11–21½, ≡ n–a
30	5.4	5.7	6.1	5.7	2.6	714.3	712.3	**706.7**	96	90	87	SE	1	E	0	N	2	10	10≡	10	.	≡ a–p
Mittel	3.1	5.7	4.1	4.3	—	726.1	725.7	725.8	92	78	87							9.5	8.3	8.6	Summe 73.3	

$\lambda = 8°\,34'$, $\beta = 47°\,23'$,
$H_b = 569.4$ m, $G = -0.01$ mm

Zürich

November 1959
Beobachter: *Meteorologische Zentralanstalt*

Tag	Lufttemperatur 7³⁰	13³⁰	21³⁰	Mittel	Abweich. vom Normalst	Luftdruck 7³⁰	13³⁰	21³⁰	Relative Feuchtigkeit 7³⁰	13³⁰	21³⁰	Windrichtung und Stärke 7³⁰	13³⁰	21³⁰	Bewölkung 7³⁰	13³⁰	21³⁰	Niederschlag	Witterung
1	4.6	6.2	5.0	5.3	0.2	714.0	716.7	719.4	91	81	92	SW 1	WSW 1	S 1	10●	10	10	0.1	● 7½
2	3.2	8.2	2.4	4.6	−0.3	**719.9**	719.0	717.8	93	60	90	S 1	NE 1	NE 1	6	2	0	.	⌓ I, III
3	−0.1	3.4	1.4	1.6	−3.2	714.4	713.0	713.2	98	72	84	NE 1	N 1	NE 1	10	9	10	.	≡ n-6¾, ⌴ I
4	0.7	5.1	1.0	2.3	−2.3	713.9	713.7	714.0	90	70	92	WSW 1	WSW 1	SW 1	10	9	0	8.6	⌓ I
5	0.8	1.5	1.7	1.3	−3.2	711.0	710.8	711.1	97	92	93	S 0	NW 0	NW 1	10*	10●=	10	2.3	✳ 0¾-a, ● ✳ a-14½ 1
6	1.5	2.3	2.8	2.2	−2.1	709.8	709.1	709.6	93	92	89	NNE 1	NNE 1	N 1	10	10	10	0.7	● tr 10½, 23½-23¾, ⌓ III
7	1.9	4.1	2.5	2.8	−1.4	710.2	711.1	713.6	86	72	86	NE 1	NNE 1	NNE 1	10	7	10	.	● 0-0¾
8	1.5	3.0	1.9	2.1	−1.9	713.8	713.4	714.0	90	79	80	NNE 1	N 1	NNE 1	10	10	9	.	
9	0.8	2.9	2.4	2.0	−1.9	713.6	712.6	711.5	90	68	73	NE 0	SW 1	SW 1	10	10	10	.	
10	2.1	3.4	3.1	2.9	−0.8	708.8	708.2	707.5	77	84	91	S 1	SW 1	SW 0	10	10●	10●	1.8	● 13¾-22¾ mU
11	3.3	6.8	2.8	4.3	0.7	706.0	704.8	704.1	97	70	93	SSW 1	S 1	SE 1	10	9	8	1.5	● 0¼ 1¾, 16-16¼, ⸗ 16
12	1.4	5.0	2.9	3.1	−0.3	701.1	702.7	706.0	91	69	87	NE 1	SSW 0	ENE 1	10	9	10●	2.8	● 21½-n
13	3.5	4.5	2.4	3.5	0.2	708.1	707.3	706.9	97	87	92	S 0	NW 1	SSE 1	10	10	0	0.1	● n 4¼, ⌓ III
14	2.3	7.3	2.6	4.1	1.0	703.9	703.5	704.4	99	75	95	NE 1	SW 1	S 1	6	10	10●	**16.8**	● 14 n, ≡ 6¾ 7½, ⌴ I, ⌓ II
15	2.7	3.3	3.0	3.0	0.0	703.4	702.7	703.1	94	95	93	S 1	NE 1	SSW 1	10●	10	10●	9.7	● n-7½, 15½-n
16	4.1	5.6	2.0	3.9	1.1	705.7	707.6	708.9	84	78	91	SSW 2	SW 2	SE 1	10●	9	1	3.5	● n-4¾ mU, 7½-13, ⌴ III, *)
17	−1.0	4.7	3.8	2.5	−0.2	707.0	704.2	701.3	95	75	81	NE 1	NNE 2	NNE 1	10	9	9	.	⌴ I, ⌓ II, III
18	3.8	8.8	4.8	5.8	3.3	702.4	705.3	710.2	81	59	94	SSE 1	WNW 1	SSE 0	10	9	0	.	⌓ I
19	1.9	**10.8**	4.0	5.6	3.2	714.2	714.4	715.5	98	**55**	88	SSE 1	ENE 1	W 0	4	7	1	0.0	≡ 8½-10¼ mU, ⌴ I, ⌓ III
20	−1.9	6.7	1.2	2.0	−0.2	714.8	714.1	715.1	99	71	98	NE 0	S 1	W 0	10≡	0	10≡	0.0	≡ n-12, 16-n, ⌴ I, ⌓ II, III
21	−1.5	1.0	−1.0	−0.5	−2.6	716.8	716.2	717.2	97	98	98	S 1	S 1	NE 1	10≡	10≡	10≡	0.0	≡ n-n
22	−1.3	−0.4	−0.9	−0.9	−2.8	718.1	718.0	719.2	98	93	97	SE 1	NE 1	NE 1	10≡	10≡	10	0.3	≡ n-n mU, ⌴ I, ⌓ II, III
23	−1.3	−0.2	−1.7	−1.1	−2.9	718.8	717.9	717.5	91	89	90	ENE 1	E 1	N 1	10	10	10	.	⌓ I, II, III
24	−1.7	−0.3	**-2.0**	−1.3	−2.9	715.9	715.3	716.4	90	80	97	S 1	S 1	WNW 0	10	10	10≡	.	≡ p-n, ⌓ I
25	**-2.0**	0.1	−1.0	−1.0	−2.5	716.9	715.8	715.9	87	81	93	WSW 1	S 1	S 1	10	10	10	.	⌓ I, II
26	−1.6	0.7	−1.2	−0.7	−2.0	713.9	713.2	712.9	97	83	97	S 0	S 1	NE 1	10≡	10	10≡	.	≡ n-12, 15½-n, ⌓ I, III
27	−0.5	3.0	2.1	1.5	0.3	712.2	711.2	713.3	98	80	90	WNW 1	ENE 1	SW 0	10≡	10	10	0.1	≡ 6-13, ⌓ I, III
28	2.9	5.0	3.0	3.6	2.6	714.7	713.3	712.7	96	87	98	NE 1	NE 1	S 1	4	10	10≡	0.0	≡ p-n mU
29	0.3	2.1	2.0	1.5	0.6	708.8	706.7	705.5	97	95	97	S 1	WNW 1	W 0	10≡	10≡	10≡	0.1	≡ n n mU, ⌴ I, ⌓ II, III
30	0.7	3.9	3.6	2.7	1.9	699.5	696.3	**692.4**	97	85	86	NE 1	W 1	SSE 1	10≡	9	10	.	≡ n-a
Mittel	1.0	4.0	1.9	2.3	—	711.0	710.6	711.0	93	79	91				9.3	8.9	7.9	Summe ~~30.0~~ 48.9	

*) 16. ⸗ 8¾-15

$\lambda = 6°\,32'$, $\beta = 46°\,51'$,
$H_b = 1601$ m, $G = -0.16$ mm

Chasseron

November 1959
Beobachter: *J. Liardon*

1	−3.0	−1.2	−1.8	−2.0	—	629.9	632.1	**634.1**	100	100	100	W 3	WNW 1	E 2	10≡	8	4	.	≡ n-a, ⸗ I 22
2	−1.6	−0.2	−1.6	−1.1	—	634.0	**634.1**	632.1	100	100	85	E 3	E 2	E 2	2	2	2	.	≡ 8-12, ⸗ n-n mU 18
3	−2.0	3.0	0.2	0.4	—	629.1	628.7	628.1	57	28	28	E 3	E 2	E 2	0	1	1	.	⸗ n-n mU 15
4	0.8	1.2	3.0	−0.9	—	629.3	629.4	629.3	56	61	100	N 2	NW 2	WNW 2	4	5	10=	4.4	✳ 22½ n, ≡ 20¼ n, *) 14
5	−4.0	−3.6	−4.0	−3.9	—	625.6	625.1	625.9	100	100	100	WNW 3	WNW 2	W 2	10≡*	10=*	10=	7.2	✳ n-15½, ≡ n-n, ⸗ ⫩ n-n mU 16
6	−5.0	4.8	4.6	−4.8	—	624.1	623.8	624.3	100	100	100	E 2	E 3	E 3	10=	10=	10=	.	⫩ n-7¾ mU, ≡ n-n, *) 16
7	−4.8	−4.0	−4.8	−4.5	—	625.1	626.0	627.3	100	100	100	E 3	E 2	E 2	10≡	10≡	10=	.	≡ n-n, ⸗ n-n mU, ⋁ I 16
8	**-5.8**	−4.0	−5.2	−5.0	—	627.3	627.9	627.9	100	100	100	E 2	E 2	E 2	10≡	10=	10≡	.	≡ n-n, ⸗ ⋁ n-n mU, 16
9	**-5.8**	−0.4	−2.2	−2.8	—	627.8	627.4	626.6	100	100	32	C 0	C 0	WNW 1	10■	4	4	.	≡ n-14 mU 16
10	3.8	0.4	2.2	−2.1	—	624.4	624.0	623.5	90	100	100	WNW 2	W 3	WNW 3	9	10≡	10	.	▽ 9½ n mU, ≡ n-3½, *) 16
11	−4.0	2.8	−3.4	−3.4	—	621.7	620.8	620.0	100	100	100	W 3	WSW 3	WSW 3	10	10=*	5	**21.5**	✳ 9½ 19, ≡ 9½ n mU, ⸗ n-n 17
12	3.0	1.2	2.0	2.1	—	617.7	619.3	622.1	100	100	100	ESE 3	SSW 2	N 2	10≡	8	10=	3.0	▽ ≡ n-n mU, ⸗ n p mU 29
13	−3.0	1.2	−4.2	−2.8	—	623.7	623.6	623.7	100	100	100	E 1	E 2	SSW 3	10=	10=	3	3.6	▽ n (13./14.), ≡ n-17½, ⸗ p-n 29
14	0.2	2.0	3.0	−1.6	—	620.4	620.4	620.2	100	100	100	W 4	WNW 2	WSW 3	10≡*	10=*	10	19.7	✳ 10 19½, n (14./15.), *) 22
15	−3.6	2.8	2.8	3.1	—	619.4	619.1	619.5	100	100	100	WSW 3	WSW 2	WNW 3	5	10	10=	12.4	⸗ 19½ n, ≡ ⸗ n n mU 32
16	−3.0	2.6	3.4	3.0	—	622.0	623.8	624.2	100	100	100	WNW 4	W 4	S 3	10≡*	10=*	2	11.0	✳ n 13½, ≡ n-14, ⸗ n n 38
17	−4.2	−1.0	−0.6	−1.9	—	622.4	620.7	618.1	95	52	88	E 3	ESE 3	E 4	10	10	10	3.4	▽ n (17./18.), ≡ 18-19½, ⸗ n-n 35
18	1.2	0.8	1.4	1.1	—	619.8	622.7	626.1	84	98	100	SE 4	WSW 5	S 4	6	10	0	0.4	▽ 14, ≡ p mU, ⸗ n n 30
19	1.6	4.2	5.0	3.6	—	630.1	631.3	631.2	64	42	34	S 4	E 3	E 3	3	5	4	.	⸗ n-n, ⸗ n-a 30
20	6.0	**10.4**	6.0	7.5	—	631.3	631.6	631.4	23	24	31	ESE 3	S 1	ESE 1	2	1	1	.	⸗ n-a 30
21	4.4	5.4	3.8	4.5	—	631.9	632.4	632.9	30	38	36	ESE 1	E 1	E 2	1	2	2	.	28
22	3.2	4.4	2.8	3.5	—	633.5	633.8	634.0	54	56	57	E 2	NNE 2	ENE 2	0	0	1	.	27
23	4.0	4.2	5.0	4.4	—	633.1	632.7	632.1	29	25	**19**	E 2	E 2	WSW 2	0	0	0	.	27
24	3.8	3.8	1.0	2.9	—	630.7	630.4	630.6	28	32	26	S 2	W 2	SW 2	0	0	0	.	27
25	1.8	5.6	4.4	3.9	—	631.0	631.4	631.5	31	30	41	S 2	SE 1	S 2	3	2	0	.	26
26	3.0	5.0	3.6	3.9	—	629.7	629.5	628.8	53	51	64	ESE 3	S 3	SE 2	2	6	8	.	⸗ n-n mU 26
27	1.2	1.8	0.8	0.7	—	628.9	627.8	629.3	93	73	100	SE 3	SE 2	W 4	10	10	10*	5.0	● tr 8, ✳ ● 17¾ n, *) 20
28	1.0	1.2	0.0	0.7	—	630.1	629.2	627.7	100	100	100	S 2	W 2	WSW 4	10■	10≡	10=	6.7	● tr 15¼, ▽ 18-n mU, ≡ n-n,*) 18
29	−0.2	−0.6	0.0	−0.3	—	624.5	623.4	622.0	100	100	100	S 3	S 3	S 3	10≡	10=*	10●*	2.6	▽ 13-n mU, ≡ ⸗ n-n 18
30	1.0	0.8	1.2	1.0	—	616.6	614.9	**610.0**	100	100	100	ESE 3	WNW 2	ESE 2	8	10≡	10=	.	≡ 12 n, ⋁ III, ⸗ n n mU 18
Mittel	−0.9	0.6	−0.6	−0.3	—	626.5	626.6	626.5	80	77	78				6.5	6.8	5.9	Summe 100.9	

*) 4. ⸗ n-n mU 6. ⸗ n-n mU, ⋁ III **10.** 10 n, n-n mU **14.** ≡ ⸗ n-n mU, ⸗ I **27.** ≡ 17½-n, ⸗ n-n mU, ⸗ III **28.** ⸗ n-n mU, ⸗ III

November 1959
Beobachter: *Stationspersonal Rh. B.*

Bever

$\lambda = 9° 53'$, $\beta = 46° 33'$,
$H_b = 1711.8$ m, $G = -0.26$ mm

Tag	Lufttemperatur					Luftdruck			Relative Feuchtigkeit			Windrichtung und Stärke			Bewölkung			Niederschlag	Witterung	
	7^{30}	13^{30}	21^{30}	Mittel	Abweich. vom Normalst	7^{30}	13^{30}	21^{30}	7^{30}	13^{30}	21^{30}	7^{30}	13^{30}	21^{30}	7^{30}	13^{30}	21^{30}			
1	-6.6	2.2	-9.8	-4.7	-4.2	619.2	621.9	625.4	91	48	93	NW 0	NW 0	NW 0	9	2	0	0.4	✳ fl 8¾-a	33
2	-15.0	-1.6	-1.3	-6.0	-5.3	625.4	624.2	624.4	87	59	94	NW 0	E 1	W 0	0	0	0	.		28
3	-17.0	0.4	-13.3	-10.0	-9.1	621.7	620.5	620.7	99	47	93	W 0	W 0	NW 0	0	0	0=	.	≡ p-n	26
4	-16.5	-0.2	-8.2	-8.3	-7.2	620.2	619.3	619.1	89	50	89	NW 0	NW 0	SW 0	0	6	4	.	V I	25
5	-4.8	-0.2	-3.2	-2.7	-1.4	615.8	614.4	615.3	82	51	62	NE 2	NE 0	NE 0	8	10	10	0.2	✳ 8½ 10, 20-n mU	23
6	-5.3	-1.6	-4.8	-3.9	-2.4	614.2	614.1	615.0	89	51	67	NE 0	NE 0	NW 0	10	9	10	.		22
7	-5.4	-0.8	-3.0	-3.1	-1.4	615.4	615.9	617.5	79	50	81	NW 0	NW 0	NW 0	8	9	8	.		21
8	-6.0	-1.6	-12.0	-6.5	-4.6	619.2	619.1	619.0	74	52	91	NE 0	NE 0	NE 0	10	3	3	.		20
9	-10.2	-0.8	-10.6	-7.2	-5.1	619.0	617.6	618.7	94	**46**	92	NW 0	NW 0	W 0	10	9	0	.		18
10	-11.7	0.6	-4.4	-5.2	-2.9	616.7	615.4	615.0	93	56	79	W 0	SW 0	NW 0	10	10	10	3.7	✳ n (10./11.)	17
11	-4.6	-1.4	-11.2	-5.7	-3.2	612.9	612.8	613.2	95	73	83	NE 0	W 0	W 0	10	10	2	1.8	✳ n-11 mU	25
12	-11.6	-2.0	-1.8	-5.1	-2.4	613.2	612.8	612.0	88	87	98	N 0	NE 0	NE 0	10*	10	10*	14.3	✳ 7-n mU	28
13	-3.0	-0.3	-0.2	-1.2	1.7	614.6	615.4	618.2	96	94	95	NW 0	SW 0	NW 0	9	10*	2	1.1	✳ n-n mU	45
14	0.1	3.2	0.4	1.2	4.3	614.6	612.7	611.7	96	74	94	NW 0	NW 0	W 0	9	9	10*	11.9	✳ ● 18-n mU	40
15	0.2	-2.4	-3.5	-1.9	1.4	610.1	608.2	608.9	95	89	90	NW 0	N 1	NE 1	10*	10*	10*	**27.4**	✳ n-n	35
16	-7.2	-1.0	-13.2	-7.1	-3.6	612.2	614.5	617.0	89	60	88	W 0	W 0	NW 0	8	4	0	.		73
17	-13.7	-3.3	-3.0	-6.7	-3.0	617.5	617.3	616.8	85	70	91	W 0	W 0	SW 0	1	10	10	4.0	✳ 20-n mU	69
18	0.6	0.9	-1.0	0.2	4.1	614.3	617.6	621.0	95	90	94	W 0	SW 0	NW 0	10	10*	7	12.2	✳ n-16 mU	73
19	-6.0	1.8	-9.8	-4.7	-0.6	625.0	626.0	626.7	90	60	91	NE 0	W 0	NW 0	4	0	1	.		65
20	-12.6	0.2	-13.8	-8.7	-4.4	626.6	626.1	626.8	86	58	89	NW 0	NW 0	NW 0	0	0	0	.		63
21	-14.8	-1.8	-12.2	-9.6	-5.1	624.6	623.4	624.6	87	60	90	NW 0	NW 0	NW 0	0	0	0	.	V I	62
22	-14.2	-0.3	-13.6	-9.4	-4.7	625.0	626.0	626.9	87	61	88	W 0	W 0	W 0	0	0	0	.	V I	61
23	**-18.2**	-5.1	-15.3	-12.9	-8.0	**627.0**	625.8	625.8	86	54	89	W 0	W 0	W 0	0	0	0	.	V I	60
24	-17.2	-3.2	-12.2	-10.9	-5.8	624.1	623.5	624.1	87	49	82	W 0	NW 0	NW 0	0	0	0	.		58
25	-6.6	1.9	-2.8	-2.5	2.8	623.9	623.6	624.6	84	66	97	W 0	SW 0	NW 0	10	9	10	.		57
26	-4.0	**4.6**	-1.0	-0.1	5.4	623.5	622.6	623.3	87	61	79	W 0	SW 0	W 0	8	9	10	.		55
27	-2.2	3.3	0.8	0.6	6.3	622.9	622.3	622.6	85	59	80	W 0	W 0	NW 0	10	10	10	0.3	✳ n (27./28.)	53
28	-1.6	1.1	-0.3	-0.3	5.6	623.6	622.8	620.7	88	80	94	SW 0	SW 1	W 0	7	10*	10*	4.6	✳ 13-n	53
29	-3.0	1.0	0.0	-0.7	5.3	618.3	616.8	615.5	95	88	94	NW 0	W 0	W 0	10	10*	10*	1.0	✳ n-23 mU	55
30	-3.8	2.0	0.4	-0.5	5.7	612.3	609.4	**606.4**	90	87	91	W 0	W 0	NW 2	8	9	10*	5.7	✳ 19-n	70
Mittel	-8.1	-0.1	-6.1	-4.8	—	619.1	618.7	619.2	89	64	88				6.3	6.3	5.2	Summe 88.6		

November 1959
Beobachter: *Couvent des Capucins*

Sion

$\lambda = 7° 22'$, $\beta = 46° 14'$,
$H_b = 548.6$ m, $G = -0.14$ mm

1	4.7	11.0	5.0	6.9	0.2	716.4	718.4	721.3	93	58	80	W 0	W 1	WSW 0	10	8	2	.		
2	0.4	8.6	3.3	4.1	-2.4	**722.3**	720.3	720.0	91	52	80	SW 0	SW 1	SW 1	0	0	0	.		
3	-1.0	7.7	2.0	2.9	-3.4	717.6	715.2	715.9	90	51	85	SW 1	SW 1	WSW 1	0	0	0	.	⌊ I	
4	0.2	6.9	2.8	3.3	-2.9	717.4	716.6	716.7	96	57	82	SW 0	SW 1	WSW 1	4	4	0	1.3	⌊ I	
5	1.4	4.6	3.4	3.1	-2.9	715.0	712.8	712.9	99	86	85	SW 0	SW 1	SW 2	10●	10	1	0.4	● 4¾-9	
6	2.6	6.4	3.8	4.3	-1.5	711.3	710.5	711.4	93	71	83	SW 1	SW 2	W 1	10	8	10	.	● tr 9	
7	2.6	7.8	4.2	4.9	-0.8	712.3	712.7	715.1	85	56	84	WSW 1	WSW 0	WSW 0	10	7	10	.		
8	2.8	7.0	2.6	4.1	-1.4	715.5	714.4	716.3	74	53	80	W 0	W 1	W 0	6	1	10	.		
9	1.2	7.4	1.8	3.5	-1.9	716.4	714.7	714.8	74	57	83	ENE 0	ENE 0	ENE 0	10	5	0	.		
10	-0.6	4.8	2.4	2.2	-3.0	712.7	712.0	711.1	91	69	82	ENE 0	ENE 0	ENE 0	3	10	10	0.3	● p mU, ⌊ I	
11	1.2	2.2	2.4	1.9	-3.1	709.4	708.3	707.7	96	69	80	ENE 0	ENE 0	ENE 0	10	10	1	.		
12	3.0	10.4	5.2	6.2	1.3	705.2	705.6	708.3	71	44	96	ENE 0	ENE 0	W 0	10	8	10●	1.2	● 20¾-23	
13	3.6	4.2	3.8	3.9	-0.8	710.4	710.4	711.4	97	59	88	W 0	W 0	W 0	10	3	0	.		
14	2.0	9.8	5.2	5.7	1.2	708.5	709.0	709.0	92	63	97	W 0	W 1	W 1	2	10	10	**12.3**	● 16¾-24 mU	
15	4.8	6.3	5.2	5.4	1.0	706.7	705.5	706.8	98	86	83	WSW 0	WSW 0	WSW 1	10	10	10	.		
16	4.8	9.8	2.8	5.8	1.6	709.8	711.0	713.0	86	57	71	WSW 0	WSW 1	WSW 0	10	4	0	.		
17	1.8	1.0	9.4	4.1	0.0	711.5	709.4	706.7	75	48	50	WSW 0	WSW 0	WSW 2	10	9	6	.	⌊ I	
18	9.0	12.8	6.6	9.5	5.6	707.8	708.9	714.5	62	52	70	E 1	E 0	E 1	10	3	0	0.2	● 8¾-8¾	
19	3.8	11.4	7.4	7.5	3.8	718.5	718.5	719.2	72	46	56	ENE 0	ENE 0	ENE 1	0	0	0	.	⌊ I	
20	4.0	**13.4**	2.6	6.7	3.1	718.8	717.0	717.9	61	**41**	96	ENE 0	ENE 0	ENE 0	0	0	0	.	⌊ I	
21	0.0	7.2	1.3	2.8	-0.6	718.6	718.3	718.8	81	49	76	ENE 0	ENE 0	ENE 0	0	0	0	.	⌊ I	
22	-2.0	7.1	1.3	2.1	-1.1	720.7	718.7	720.8	78	54	70	SSE 0	SSE 0	SSE 0	0	0	0	.	⌊ I	
23	-1.0	6.1	0.0	1.7	-1.4	720.9	719.4	719.6	81	51	81	SSE 0	SSE 0	SSE 0	0	0	0	.	⌊ I	
24	-2.0	4.4	-1.0	0.5	-2.4	719.0	717.6	718.9	79	55	96	SSE 0	S 1	SSW 0	0	0	0	.	⌊ I	
25	**-2.9**	4.0	0.6	0.6	-2.2	718.3	718.5	718.8	97	70	83	SSW 1	SSW 1	SW 0	3	2	0	.	⌊ I	
26	0.0	10.2	7.1	5.8	3.2	717.4	716.0	716.2	94	48	61	SW 1	SW 1	WSW 0	7	7	0	.	⌊ I	
27	7.3	9.4	5.4	7.4	5.0	715.5	714.1	716.7	60	46	91	WSW 0	E 1	SE 0	8	10	0	0.0	● tr 19¾	
28	4.4	10.0	3.8	6.1	3.8	717.5	715.9	715.4	84	62	92	SW 1	SW 1	W 1	3	8	0	.		
29	2.7	6.9	5.0	4.9	2.8	713.1	710.1	708.3	79	64	81	ESE 0	ESE 0	SW 0	0	10	0	.		
30	7.8	9.8	5.0	7.5	5.6	703.0	700.6	**695.9**	58	60	92	E 0	ENE 4	ENE 3	10	10	10●	1.5	● 19¾-23½, ⸗ a-n, ⸗ II	
Mittel	2.2	7.6	3.7	4.5	—	714.2	713.4	714.0	83	58	81				5.5	5.2	3.0	Summe 17.2		

$\lambda = 8°\,58'$, $\beta = 46°\,00'$,
$H_b = 276.2$ m, $G = -0.04$ mm

Lugano

November 1959
Beobachter: *A. Tison*

Tag	Lufttemperatur 7³⁰	13³⁰	21³⁰	Mittel	Abweich. vom Normalst	Luftdruck 7³⁰	13³⁰	21³⁰	Relative Feuchtigkeit 7³⁰	13³⁰	21³⁰	Windrichtung und Stärke 7³⁰	13³⁰	21³⁰	Bewölkung 7³⁰	13³⁰	21³⁰	Niederschlag	Witterung
1	4.0	**16.1**	6.3	8.8	−0.5	737.7	739.8	743.5	91	49	86	NNW 1	S 1	N 1	6	0	0	.	
2	2.8	**16.1**	6.2	8.4	−0.8	744.2	743.0	743.3	84	48	94	N 1	S 1	N 1	0	1	3	.	
3	2.8	15.3	5.7	7.9	1.1	740.7	738.6	738.8	94	42	78	NNW 1	SE 1	N 1	1	0	0	.	
4	2.3	**16.1**	7.4	8.6	−0.3	738.4	737.4	735.9	79	37	72	N 1	S 1	N 1	1	1	7	.	⌴ I
5	5.4	12.4	11.2	9.7	1.0	733.3	731.6	731.5	85	49	**36**	NNW 1	SE 1	NNW 2	9	10	10	.	⌐ 10–10¾, 18¾
6	4.0	9.7	4.8	6.2	−2.4	732.6	732.6	733.6	96	65	78	N 1	NE 1	N 1	8	10	9	.	
7	2.8	13.0	3.8	6.5	−1.9	734.0	734.3	736.4	82	45	80	N 1	SE 1	N 1	4	5	0	.	
8	1.6	13.6	3.9	6.4	−1.9	737.2	736.3	737.6	81	42	77	N 1	S 1	N 1	3	3	0	.	⌴ I
9	0.8	12.0	3.2	5.3	−2.8	737.8	736.5	737.4	89	50	88	N 1	S 1	N 1	3	7	0	.	⌴ I
10	2.6	8.7	6.4	5.9	−2.1	736.5	735.5	735.4	91	78	90	N 1	S 1	NW 1	10	10	10	4.4	● n (10./11.)
11	4.7	8.8	6.7	6.7	−1.1	733.2	732.3	732.7	97	69	87	NNE 1	S 1	NW 0	10●	8	10	6.2	● n–9½, n (11./12.)
12	4.2	1.4	2.2	2.6	−5.1	733.2	733.1	732.4	95	99	99	NE 1	W 1	N 1	10●	10●	10●	**64.3**	● n–n, ✳ a mU
13	5.2	8.6	7.9	7.2	−0.3	732.3	733.6	735.2	98	91	97	NW 1	NNE 1	NW 0	10●	10●	10	15.5	● n–n mU
14	7.7	8.9	9.1	8.6	1.2	733.9	732.8	730.2	98	97	96	N 1	SE 1	NNW 1	10●	10◑	10●	28.0	● ◑ n–n mU
15	9.1	6.2	7.4	7.6	0.4	728.0	726.2	725.2	92	91	67	W 1	N 1	N 1	10●	10●	10	23.6	● n–19¾
16	3.4	13.8	4.2	7.1	0.0	730.7	732.7	735.7	84	44	81	N 1	SSE 1	N 1	2	0	1	.	
17	4.3	7.9	5.6	5.9	−1.1	737.6	737.7	737.9	83	66	97	N 1	W 1	NNW 1	9	10	10◑	19.0	◑ ● 17½–n
18	4.9	5.9	6.1	5.6	−1.2	735.5	737.2	741.5	95	95	97	N 1	W 1	NW 0	10●	10●	10	13.6	◑ ● n–21
19	6.0	13.6	6.2	8.6	1.9	744.6	745.3	746.5	98	61	94	N 1	SSE 1	N 1	9	2	7	.	
20	4.3	8.4	3.1	5.3	−1.2	747.0	745.4	745.4	95	73	89	WNW 1	S 1	N 1	10	4	1	.	
21	1.0	9.7	3.6	4.8	1.6	744.0	742.5	743.6	94	58	95	NNW 1	SSE 1	N 1	10	0	4	.	
22	3.4	9.4	7.2	6.7	0.5	746.7	746.8	**748.1**	87	65	86	N 1	SSW 1	NNW 0	10	5	10	.	
23	1.7	10.3	2.7	4.9	−1.2	747.7	746.4	746.6	91	58	86	N 1	SSE 1	N 1	0	0	0	.	
24	**−0.3**	10.2	3.8	4.6	−1.4	745.5	745.0	744.7	93	50	80	N 1	S 1	N 1	1	0	9	.	⌴ I
25	5.1	8.7	7.2	7.0	1.2	744.1	743.7	743.8	83	67	92	N 1	SSE 1	NW 0	10	10	10	0.2	◑ 18¾–19¾
26	7.3	10.4	7.8	8.5	2.8	743.4	742.7	743.0	93	91	98	S 1	NNW 1	N 1	10	9	7	12.6	● 7½–13
27	7.9	8.7	8.7	8.4	2.9	742.3	742.3	742.5	97	95	98	N 1	E 1	NW 0	10	10●	10	8.0	● 1½–4½, ● ◑ 9–n mU
28	7.9	9.0	7.3	8.1	2.7	743.5	743.1	741.8	96	95	96	N 1	SSE 1	NNW 0	10	10●	10●	16.3	● n–n mU
29	6.7	7.4	6.8	7.0	1.8	739.0	737.3	735.1	97	94	96	NNW 1	NNE 1	NW 0	10◑	10●	10●	25.5	● ◑ n–n
30	6.6	7.3	6.9	6.9	1.8	731.3	728.3	**722.7**	95	92	92	N 1	SW 1	NNW 1	10●	10●	10●	29.3	◒ n 2,6 n
Mittel	4.3	10.2	6.0	6.8		738.5	738.0	738.3	91	68	87				7.2	6.2	6.6	Summe 266.5	

$\lambda = 7°\,35'$, $\beta = 47°\,33'$,
$H_b = 317.3$ m, $G = 0.08$ mm

Basel

November 1959
Beobachter: *Astronom.-Meteorol. Anstalt*

Tag	Lufttemperatur 7³⁰	13³⁰	21³⁰	Mittel	Abweich. vom Normalst	Luftdruck 7³⁰	13³⁰	21³⁰	Relative Feuchtigkeit 7³⁰	13³⁰	21³⁰	Windrichtung und Stärke 7³⁰	13³⁰	21³⁰	Bewölkung 7³⁰	13³⁰	21³⁰	Niederschlag	Witterung
1	5.4	9.2	5.8	6.8	1.0	736.6	739.4	741.5	95	84	94	SSW 0	S 1	SE 0	10●	10	9	0.2	● 0¾–0¾, 7¾–8¾
2	3.1	13.0	5.1	7.1	1.5	**742.3**	741.3	740.2	98	**56**	90	E 1	ESE 0	E 1	10	1	0	.	
3	0.0	8.0	2.5	3.5	−2.0	737.6	735.8	735.9	100	72	82	ESE 1	E 1	SE 1	10≠	1	0	0.0	● 7¾–8, 9–9¾, ≡ 6¾–10¾
4	**−3.0**	3.0	1.7	0.6	−4.8	737.1	737.3	737.1	99	89	100	SW 0	WNW 1	SW 1	3	10	10	**9.8**	● 7½–8½, 22¾–n, ≡ 8¾–10, ⌴ I
5	1.0	3.0	3.2	2.4	−2.8	734.1	734.1	734.3	100	98	98	E 1	E 0	NNW 0	10≠●	10	10	0.4	● n–9½, ≡ 6¾–12
6	2.7	4.2	3.9	3.6	−1.5	733.6	732.9	733.1	99	93	90	WNW 0	NNW 1	WNW 0	10	10	10	.	
7	2.8	5.7	4.0	4.2	−0.8	733.6	734.4	736.4	98	84	95	NW 1	**NW** 1	NW 1	10	10	10	.	
8	2.6	5.0	3.6	3.7	−1.2	737.1	737.2	736.9	98	75	80	NW 1	NW 1	E 1	10	10	10	.	
9	2.4	5.0	3.5	3.6	−1.1	736.8	735.9	734.6	98	66	85	NW 1	NW 0	W 0	10	10	10	.	
10	0.4	3.5	3.2	2.4	−2.2	732.4	731.4	731.0	97	95	98	SE 1	ESE 1	ESE 1	10	10	10	0.8	● 11–12¾, 18½–19¾, ⌓ I
11	1.2	6.5	2.5	3.4	−1.1	729.1	727.6	727.0	100	87	98	ESE 1	ENE 0	ESE 1	10≡	10●	7	3.9	● 13½–16 mU, ≡ 6¾–9¾
12	3.2	8.6	6.1	6.0	1.7	724.0	725.2	728.4	98	77	93	S 0	ESE 1	S 0	10●	8	9	0.8	● 6½–8¾, 13¾–13½
13	4.2	5.0	3.4	4.2	0.0	731.1	730.9	729.1	97	92	96	W 1	NW 0	ESE 2	10	10	0	.	● 1½, 7¾–8¾
14	4.5	5.0	4.4	4.6	0.5	726.0	727.3	726.6	90	94	98	E 2	WNW 2	ESE 1	9	10●	10●	9.5	● 9–21¾ mU
15	3.8	5.7	4.5	4.7	0.7	726.0	725.7	725.9	95	91	98	ESE 1	E 1	SE 0	8	10	10	0.5	
16	4.5	8.2	3.0	5.2	1.4	727.7	729.9	731.4	93	74	81	SSE 0	W 1	E 1	10	9	1	0.1	● 3–4¾ mU, ≡ 23½–n
17	1.3	7.3	4.1	4.2	0.5	729.9	727.3	724.1	97	68	96	NE 1	ESE 1	WNW 0	9	10	10	1.4	● 16¾–20¾ mU, ≡ n–2¾
18	5.0	12.4	7.4	8.3	4.7	724.1	727.5	731.5	86	58	80	ESE 1	ESE 1	E 1	10	8	0	0.0	
19	4.2	**13.1**	5.7	7.7	4.2	735.4	736.0	736.9	95	60	80	ESE 1	ESE 1	ESE 1	4	8	0	.	
20	1.9	10.9	2.0	4.9	1.6	737.0	736.3	737.5	95	62	99	ESE 1	E 0	E 1	0	0	0	.	≡ 19½–22 mU
21	−0.6	6.5	0.6	2.2	−1.0	738.3	737.9	739.4	100	76	99	SE 2	ESE 1	SE 1	2	0	10	.	≡ 19–22 mU
22	−1.0	2.4	0.7	0.7	−2.4	740.9	740.9	741.9	99	85	90	E 1	NW 0	E 1	10	10	10	.	
23	0.9	2.4	0.7	1.3	−1.6	741.7	740.7	739.9	94	82	86	ESE 1	ENE 1	ENE 1	10	10	10	.	
24	−2.6	3.9	0.0	0.4	−2.4	738.4	738.1	739.5	95	73	94	SSE 1	E 1	E 1	2	0	10	.	⌴ I
25	−0.4	5.2	0.3	1.7	−1.0	739.4	738.4	737.7	96	73	92	SE 0	SW 0	E 1	10	8	0	.	
26	−0.5	4.8	0.8	1.7	−0.9	735.6	735.2	734.8	93	73	93	E 1	ESE 2	E 2	0	6	5	.	⌴ I
27	0.6	4.4	3.8	2.9	0.5	734.5	734.0	735.8	97	85	90	ESE 1	ESE 1	ESE 1	10	10	10	1.0	● 21¾–23¾, ⌴ I
28	3.2	7.2	6.0	5.5	3.2	736.9	735.3	734.4	99	88	97	ESE 1	E 1	SE 1	7	10	10	6.0	● 16¾–23½ mU
29	4.0	6.2	4.0	4.7	2.5	731.4	729.6	727.8	96	88	96	E 1	E 1	E 1	0	10	2	0.9	● n (29./30.)
30	2.4	6.0	2.6	3.7	1.6	722.6	720.2	**715.4**	100	88	98	ENE 1	S 0	SSW 0	10	8	10	.	● 7¾–10½ mU, 19½–24 mU
Mittel	1.9	6.4	3.3	3.9	—	733.7	733.5	733.5	97	79	92				7.8	7.9	6.8	Summe 35.3	

November 1959
Beobachter: *Observatorium*

Säntis

$\lambda = 9°\,21'$, $\beta = 47°\,15'$,
$H_b = 2500.1$ m, $G = -0.29$ mm

Tag	Lufttemperatur 7³⁰	13³⁰	21³⁰	Mittel	Abweich. vom Normalst	Luftdruck 7³⁰	13³⁰	21³⁰	Relative Feuchtigkeit 7³⁰	13³⁰	21³⁰	Windrichtung und Stärke 7³⁰	13³⁰	21³⁰	Bewölkung 7³⁰	13³⁰	21³⁰	Niederschlag	Witterung	
1	−8.4	−6.2	−7.0	−7.2	−4.1	560.1	563.0	565.4	100	96	80	W 3	WSW 1	W 2	10≡*	5	1	0.6	✳ ● n–12	179
2	−9.3	−7.4	−7.0	−7.9	−4.7	565.4	565.5	564.6	68	75	38	N 2	NNE 2	NE 2	1	1	0	.		182
3	−3.8	−0.4	−2.4	−2.2	1.1	562.1	561.4	561.5	32	14	18	NNE 3	N 2	C 0	0	1	1	.		160
4	−2.8	−2.8	−8.3	−4.6	−1.1	561.6	561.5	560.0	18	26	89	WNW 2	W 3	W 3	1	9	4	1.5	✳ n (4./5.), ⊕ 16½	120
5	−9.1	6.9	−10.3	−8.8	5.2	557.2	556.7	556.9	100	100	100	W 2	WNW 1	W 2	10≡*	10≡*	10≡*	2.1	✳ ≡ ⋁ n n	123
6	**11.2**	−10.2	−10.5	10.6	6.9	555.5	555.3	555.6	96	96	95	NE 3	ENE 2	**ENE** 2	10≡*	10≡	10≡	2.5	✳ n-12 mU, 14½-17, ≡ ⋁ n-n	131
7	10.4	8.8	11.0	−10.1	6.3	556.4	557.2	558.8	94	92	95	NE 2	NE 1	E 1	10≡	10−	10≡	0.0	✳ a mU, ≡ n-n, \ n-n mU	125
8	−9.2	−7.4	−6.9	−7.8	−3.8	558.9	559.2	559.6	99	80	44	E 3	ENE 3	NE 2	9	7	0	.	⊕ 10½	120
9	−6.2	−5.0	−6.2	−5.8	−1.7	559.5	559.3	558.8	60	71	60	WNW 2	W 2	WSW 2	2	9	2	.	⊕ 13½	110
10	−5.6	−7.6	−7.2	−6.8	−2.6	556.6	555.6	555.4	35	68	97	W 3	WSW 3	W 2	10	10*	10≡*	10.2	✳ 13½-17½, 20–n, *)	90
11	9.0	8.0	9.6	8.9	4.6	553.7	553.2	553.0	100	99	98	W 2	W 3	WSW 2	10≡	10≡	4	1.2	▽ 17½-18¾ 19, ≡ n-11,*)	70
12	−7.0	−4.3	−6.3	−5.9	−1.5	551.7	553.2	554.3	85	87	100	SW 4	SSW 2	E 2	9	9	10≡*	0.4	✳ ≡ 19–n, ⸗ 1–a	45
13	6.1	2.5	3.0	3.9	0.7	556.0	556.5	557.5	100	89	92	E 1	WSW 2	SW 2	10	2	1	.	✳ n-6¼, 8 8¼, ≡ n-6¼, ⋁ 1	35
14	−2.0	−1.0	−7.3	−3.4	1.3	555.6	554.6	553.3	82	81	100	SW 3	S 3	W 2	5	9	10≡*	18.6	✳ ≡ ⋁ 13¼-n	35
15	−8.3	8.0	9.2	−8.5	−3.7	552.2	551.6	551.1	97	97	100	WNW 2	N 2	N 2	10≡*	10−*	10≡*	**28.1**	✳ ≡ n-n mU, ⋁ n-n	50
16	9.4	8.4	−10.2	9.3	−4.4	552.8	554.8	557.1	100	100	88	W 3	W 3	WSW 2	10≡*	10≡*	1	4.5	✳ n-15½, ≡ ⋁ n-18½, *)	98
17	−8.2	−4.6	−3.4	−5.4	−0.4	556.5	555.9	554.5	62	60	91	S 2	S 3	WSW 5	9	9	9	.	⸗ p-n	106
18	−1.2	−1.3	−3.4	−2.0	3.1	555.2	557.1	561.0	87	82	81	SW 3	SW 3	SW 3	9	9	1	.		100
19	−1.7	2.3	2.4	1.0	6.3	564.5	566.0	**567.2**	42	41	28	WSW 2	WSW 2	C 0	6	8	1	.		95
20	2.7	**5.0**	4.0	3.9	9.3	566.9	566.6	566.3	28	28	12	S 2	SW 3	SSW 3	1	1	1	.		90
21	1.2	3.4	2.9	2.5	8.0	565.7	565.5	566.1	14	17	19	SSE 2	ESE 2	ESE 1	1	1	1	.		85
22	0.8	1.9	0.7	1.1	6.7	566.0	566.4	567.1	44	19	15	ENE 2	NE 2	E 2	0	0	0	.		75
23	2.7	4.0	3.6	3.4	9.1	566.8	566.6	566.3	12	**11**	14	ENE 2	E 2	ESE 2	0	1	0	.		70
24	3.2	0.6	−1.2	0.9	6.7	564.7	563.8	564.8	12	16	46	ENE 2	SW 2	SSE 2	1	1	1	.		65
25	−1.0	1.0	−0.9	−0.3	5.6	564.4	564.7	565.0	89	84	89	SSW 3	SW 2	SW 2	1	1	1	.		60
26	−2.4	−0.1	−2.1	−1.5	4.5	563.5	563.6	563.1	87	71	73	SSW 2	WSW 2	SE 2	1	1	1	.		55
27	−2.6	−1.4	−2.8	−2.3	3.7	562.1	561.5	562.1	75	76	83	SSW 2	SW 3	WSW 3	9	10	10	.		50
28	−5.2	−1.4	−4.1	−3.6	2.5	563.3	562.4	561.2	95	80	91	SW 2	WSW 2	WSW 1	1	10	9	.	⊕ a-p	45
29	−4.7	−1.7	−3.7	−3.4	2.8	558.9	557.6	556.1	85	72	83	WSW 3	SW 3	SW 3	1	9	10	.		40
30	−4.2	−2.6	−4.3	−3.7	2.6	552.4	550.0	**546.2**	79	79	84	S 3	SE 3	SE 3	5	8	9	.		40
Mittel	−4.6	−3.0	−4.5	−4.0	—	559.5	559.5	559.7	69	67	70				5.4	6.4	4.6	Summe 69.7		

*) **10.** ≡ 14–n, ⸗ a, ⋁ III **11.** 11–16¾ mU **16.** ⸸ n–18

November 1959
Beobachter: *E. Chiesa*

St. Gotthard (Hospiz)

$\lambda = 8°\,34'$, $\beta = 46°\,33'$,
$H_b = 2095$ m, $G = -0.27$ mm

1	−5.4	−4.0	−6.8	−5.4	−3.1	589.0	591.9	594.1	86	80	93	NW 1	NW 1	NW 1	10≡	9	0	.	≡ n-10½	70
2	−8.0	−2.5	−4.6	−5.0	−2.5	594.3	594.5	594.0	82	60	71	NW 1	NW 1	NW 1	0	0	0	.		65
3	−4.1	0.8	−5.2	−2.8	−0.2	591.4	590.5	590.5	38	39	60	NW 1	SE 0	SE 0	0	0	0	.		65
4	−1.8	0.5	−7.0	−2.8	0.0	590.4	590.7	589.9	28	30	94	NW 1	NW 1	NW 2	0	0	0	.		60
5	−7.2	−6.0	−7.2	−6.8	−3.9	586.8	585.8	585.5	97	96	98	NW 1	NW 2	NW 2	10≡	10≡	10≡	11.0	✳ n (5./6.), ≡ ⋁ n-n, ⸸ 10½-n	60
6	−7.5	−7.0	−8.0	−7.5	−4.5	584.8	584.7	585.1	98	96	97	NW 1	NW 1	NW 1	10	10	10≡	2.6	✳ 9–n mU, ≡ ⋁ 18–n	55
7	−7.8	−6.6	−7.8	−7.4	−4.2	585.6	586.4	588.0	96	94	95	NW 2	NW 2	NW 2	10≡	10≡	10≡	0.4	✳ n (7./8.), ≡ ⋁ n-n	55
8	**−10.0**	−7.2	−7.8	−8.3	−5.0	587.9	588.0	588.8	90	94	90	NW 2	NW 2	NW 1	9	10	0	.		55
9	−5.4	−1.0	−4.6	−3.7	−0.3	588.8	588.8	588.5	55	42	51	NW 1	NW 1	NW 0	0	3	0	.		50
10	−5.0	−2.0	−4.9	−4.0	−0.5	587.0	586.2	585.3	69	67	90	SE 1	SE 1	SE 0	9	9	10	.		50
11	−7.2	4.0	6.4	5.9	2.2	583.6	583.1	583.2	94	57	98	NW 1	NW 0	SE 1	0	0	10	5.2	✳ n (11. 12.), ≡ 15¼-n mU	50
12	−6.8	−5.0	−3.8	−5.2	−1.4	582.5	583.0	583.1	97	99	99	SE 1	SE 2	SE 0	10≡*	10≡*	10≡*	26.6	✳ ≡ n-n	45
13	−5.0	−0.2	−1.0	−2.1	1.8	584.5	585.9	587.0	98	99	100	NW 1	SE 0	SE 0	10*	10≡*	10≡*	10.8	✳ ≡ n-n, ≡ 10½-n	75
14	−1.2	−0.8	−3.9	−2.0	2.0	585.4	584.4	582.2	99	98	99	SE 1	SE 2	SE 1	10≡*	10≡*	10≡*	**94.6**	✳ ≡ n-n	80
15	−5.2	−5.0	−6.7	−5.6	−1.5	581.2	580.3	579.3	97	98	97	NW 1	NW 1	NW 2	10≡*	10≡*	10≡*	42.1	✳ ≡ n-n	165
16	−6.2	−2.0	−6.8	−5.0	−0.8	582.5	584.8	586.6	98	71	75	NW 1	SE 0	SE 0	10≡	3	0	.	≡ n-8¾	180
17	−5.2	−4.2	−4.8	−4.7	−0.4	586.8	587.3	586.8	85	99	98	SE 2	SE 2	SE 2	10	10≡*	10≡*	24.1	✳ 8¾--, ≡ 8¾-n	155
18	−2.8	−1.8	−2.0	−2.2	2.2	585.5	587.3	590.5	98	95	99	SE 2	SE 1	SE 2	10≡*	10−*	10−*	19.5	✳ ≡ n-n	170
19	−2.2	0.2	−2.0	−1.3	3.2	594.2	595.3	**596.6**	98	85	58	SE 1	SE 1	SE 1	10≡	6	0	.	≡ n-10	180
20	−3.2	1.6	−2.2	−1.3	3.3	596.5	596.5	596.1	34	33	**26**	SE 0	SE 1	SE 0	0	0	0	.		180
21	−3.5	**3.2**	−0.5	−0.3	4.4	594.8	594.4	594.4	27	31	27	NW 0	SE 0	NW 0	0	0	0	.		170
22	−1.2	−1.2	−1.6	−1.3	3.5	594.6	595.4	596.3	41	71	99	NW 1	SE 0	SE 0	0	0	10	.		160
23	−3.2	1.0	−4.8	−2.3	2.6	596.0	595.7	595.6	**26**	30	32	SE 1	SE 1	SE 0	0	0	0	.		150
24	−6.0	−2.0	−2.1	−3.4	1.6	593.7	593.8	593.8	**26**	37	45	SE 0	SE 1	SE 0	0	0	0	.		145
25	0.2	1.2	0.2	0.3	5.4	593.9	594.1	594.6	92	90	99	SE 1	SE 0	SE 1	10	10	10	5.5	✳ 9¾ p mU, ≡ 11¾ n mU	142
26	−1.1	0.0	1.4	0.8	4.4	593.9	593.8	593.5	99	95	94	SE 0	SE 0	SE 0	10≡	10−	10−	8.5	✳ n (26. 27.), mU, ≡ n n	140
27	−2.0	1.6	2.0	−1.9	3.4	592.6	592.1	592.3	98	98	99	SE 2	SE 2	SE 2	10−*	10−*	10−	28.2	✳ ≡ n n	140
28	2.6	2.1	3.6	2.8	2.6	593.0	592.6	591.5	97	97	99	SE 1	SE 2	SE 2	10≡	10−	10−	8.4	✳ n (28. 29.), ≡ n n, ⸸ 9¾-n	160
29	2.8	3.1	3.3	3.1	2.4	589.0	587.4	586.2	98	98	99	SE 0	SE 1	SE 1	10≡	10−	10*	29.8	✳ 9¾ n mU, ≡ n n mU	165
30	3.6	3.1	3.4	3.4	2.1	582.6	580.3	**575.5**	98	99	99	SE 2	SE 3	SE 2	10−	10−	10−	66.3	✳ n n mU, ≡ n n, ⸗ II	185
Mittel	−4.4	−2.1	−4.2	−3.6	—	589.1	589.2	589.2	78	76	83				6.6	6.3	6.0	Summe 383.6		

$\lambda = 7°\,26'$, $\beta = 46°\,57'$,
$H_b = 572.2$ m, G = −0.04 mm

Bern

Dezember 1959
Beobachter: *Meteorologisches Observatorium*

Tag	Lufttemperatur 7³⁰	13³⁰	21³⁰	Mittel	Abweich. vom Normalst	Luftdruck 7³⁰	13³⁰	21³⁰	Relative Feuchtigkeit 7³⁰	13³⁰	21³⁰	Windrichtung und Stärke 7³⁰	13³⁰	21³⁰	Bewölkung 7³⁰	13³⁰	21³⁰	Niederschlag	Witterung
1	1.6	2.8	2.1	2.2	1.3	690.1	**689.9**	695.1	98	93	97	E 1	E 1	NW 1	10	10	10≡	.	≡ n–1½, 15¼–n
2	0.2	2.0	3.4	1.9	1.2	700.5	702.8	706.7	100	100	91	W 0	W 1	SW 1	10≡	10≡	10	0.1	☾ 11–14 mU, ≡ n–14½
3	3.0	3.1	1.7	2.6	2.0	706.5	705.0	703.5	90	88	92	W 0	WSW 1	SW 1	10	10	9	5.0	
4	3.3	4.8	2.2	3.4	2.9	704.7	704.5	706.0	85	**68**	91	W 1	WNW 1	W 1	8	10	10	.	● 0¾–1, ✳ ● 1–3
5	1.3	4.0	1.1	2.1	1.8	707.6	708.4	709.1	93	77	90	SE 0	E 1	W 0	9	10	4	.	
6	−0.7	1.8	−1.7	−0.2	−0.4	708.8	707.0	705.1	95	78	97	E 1	NNE 1	SW 0	10	4	0	.	
7	−2.4	−0.1	−0.4	−1.0	−1.1	701.2	700.0	698.9	99	89	96	NNW 1	N 1	E 0	10	10	9	0.0	
8	0.7	0.9	0.8	0.8	0.8	698.8	699.9	703.5	98	99	100	SW 0	SE 1	SE 1	10●	10*	9≡	4.8	● 6–8½ mU, 13½–17, 22–n mU, *)
9	0.7	3.5	−0.5	1.2	1.3	707.4	707.0	705.7	99	76	94	SE 1	SE 1	ESE 1	6≡	1	5	.	● n–1, ≡ 6¼–10
10	−0.3	1.7	1.0	0.8	1.0	703.3	702.6	699.8	94	89	94	N 1	W 1	N 1	8	8	9	.	
11	0.9	6.5	1.2	2.9	3.2	699.2	700.6	703.6	90	**68**	95	ESE 1	W 1	NE 0	9	2	4≡	.	≡ 20¾–23
12	−1.4	2.2	0.4	0.4	0.8	706.9	708.0	709.8	98	94	96	E 1	NNE 1	NNE 1	10≡	8	8	.	≡ 1¼–10½
13	−0.4	−0.8	0.0	−0.4	0.1	712.6	713.1	714.7	96	94	82	NNE 1	NNE 1	NE 1	10	10	10	.	
14	0.0	−0.3	−1.3	−0.5	0.1	714.1	712.4	711.0	72	75	81	NNE 1	NNE 1	NNE 1	10	10	10	.	
15	−1.9	0.4	−2.4	−1.3	−0.6	709.5	709.9	711.1	86	83	87	NW 1	W 1	W 0	10	0	0	.	⌙ I
16	**−4.8**	−0.3	−2.2	−2.4	−1.6	711.2	711.1	712.8	100	88	91	N 0	W 0	W 1	10≡	0	0	.	≡ 5¾–10½
17	−4.6	2.8	1.4	0.1	0.7	714.3	713.6	712.7	90	77	77	SE 1	W 1	SE 1	0	2	10●	2.0	● 20½ 21¼, ⌙ I, ⟍ 20½ n
18	4.9	4.4	1.7	3.7	4.6	710.0	710.6	713.1	88	86	96	SSW 1	W 1	WSW 1	9	9	10●	3.6	● 3–7 mU, 9½–9¾, 11–13, *)
19	1.4	5.1	1.8	2.8	3.8	715.9	717.2	717.3	99	76	87	SE 1	W 1	S 1	9	7	10	0.1	● 1–7½ mU
20	2.3	6.0	1.6	3.3	4.3	715.0	711.4	706.9	85	70	93	WSW 1	WSW 0	SE 1	9	7	8	9.2	● 3½–4¼
21	4.0	5.4	1.0	3.5	4.6	704.0	702.2	702.3	97	89	97	SE 1	W 1	SE 1	10●	9●	10●*	14.5	● 1¼–9¼, 11¾–14¾ mU, *)
22	1.4	3.1	0.1	1.5	2.6	705.7	706.6	705.2	97	92	98	SSW 1	SE 1	SE 1	9	5	6	0.6	● 2–5¼ mU 1
23	1.0	4.8	1.1	2.3	3.5	702.3	701.3	699.7	92	96	97	SE 1	SE 1	SW 1	9	10●	10*	**31.4**	● 5¼–6½ mU, 8–20½ mU, *)
24	1.4	3.9	1.9	2.4	3.6	699.6	700.5	702.1	98	91	92	N 0	SW 1	SE 1	9	8	8●	6.1	● ✳ n–2¾, ● 2¾–7¼, 21¼–n 2
25	3.2	6.9	3.1	4.4	5.7	707.5	708.4	708.1	91	**68**	90	WSW 1	W 2	NNE 1	9●	3	10●	3.9	● n–1¾, 3¼–5¾, 7½, 20¼–n 1
26	4.6	10.2	7.3	7.4	8.7	705.4	707.2	706.2	96	75	97	S 1	W 1	WSW 1	10●	10	10●	17.9	● n–1¼, 5 11¼, 18 n
27	6.2	8.7	3.2	6.0	7.4	705.3	701.9	700.9	87	70	93	SE 1	SE 1	WSW 2	10●	5	9**	17.2	● n–5, 7¼–8½, ✧ 14¼–14½, *)
28	2.6	4.9	3.5	3.7	5.1	701.6	701.8	706.6	91	74	90	W 1	WSW 3	WSW 1	10●	10●	10●	14.5	✳ 0–3, ✧ 6½–6¾, 9–9½, *)
29	3.6	5.3	2.4	3.8	5.3	713.0	714.2	712.8	92	76	92	WSW 2	W 2	W 2	10	9	10●	4.1	● 0–6, 20½–n
30	3.6	**10.5**	7.3	7.1	8.6	713.3	716.2	**719.5**	98	75	89	NE 1	W 3	SE 1	9●	9	2	0.1	● n 4¼, ☾ 4¼–8¾, ⸗ II
31	1.4	6.7	2.3	3.5	5.0	718.3	716.0	713.7	96	75	93	SE 1	NW 0	S 1	1	2	3	.	⌙ I
Mittel	1.2	3.9	1.4	2.2	—	70.69	706.8	707.2	93	82	92				8.8	7.0	7.5	Summe 135.1	

*) **8.** ✳ ● 10¾–13½, ≡ 20½–22 **18.** 18¼–23 mU **21.** 16½–18¾, ● ✳ 18¾–22¾, ✳ 23¾–24 **23.** 21¾–22, ✳ ● 22–n, ✳ 20½–21¾

$\lambda = 6°\,57'$, $\beta = 47°\,00'$,
$H_b = 487.3$ m, G = 0.00 mm

Neuchâtel

Dezember 1959
Beobachter: *Observatoire Cantonal*

1	2.9	3.3	2.4	2.9	1.0	**697.3**	697.5	702.3	93	87	94	ENE 0	ENE 1	ENE 0	10	10	10	.	
2	2.1	3.3	2.9	2.8	1.0	707.8	710.4	713.9	97	92	92	NW 1	N 1	NE 0	10≡	10	10	.	≡ n–a
3	3.2	3.7	3.4	3.4	1.7	714.1	712.7	710.5	77	76	83	NW 1	SW 1	WNW 1	10	10	10	3.7	● 23–n
4	4.1	5.1	3.1	4.1	2.5	712.2	712.2	713.6	73	**60**	84	WSW 1	SW 2	WSW 0	9	10	10	.	● n–2½
5	1.7	4.7	2.4	2.9	1.4	715.3	716.1	716.9	84	73	86	W 0	SW 1	NW 0	10	10	8	.	
6	0.6	4.4	−1.4	1.2	−0.2	716.0	714.1	712.6	94	61	87	NW 1	E 1	SE 0	10	2	0	.	
7	−0.7	0.0	0.8	0.0	−1.3	708.4	707.4	706.5	91	92	93	NE 0	NE 1	NE 1	10	10≡	10	1.4	● 16½, 23½, ≡ a–p
8	1.4	2.1	3.6	2.4	1.2	706.0	707.4	710.6	97	95	82	NE 1	W 2	W 2	10●	10●	10	4.2	● 4½–16, 23½–n
9	1.8	5.6	2.5	3.3	2.2	714.4	714.3	713.3	83	64	86	W 1	SE 1	NE 0	7	5	3	.	● n–0½
10	1.4	2.7	3.0	2.4	1.4	710.6	710.2	707.1	88	76	75	E 1	NE 1	NE 1	10	10	10	.	
11	1.3	6.3	2.7	3.4	2.5	706.8	708.0	711.2	93	68	89	NNE 1	S 1	SE 1	10	4	7	.	
12	0.3	4.5	2.4	2.4	1.6	714.6	715.7	717.8	97	78	81	SE 0	E 1	NE 2	10	6	7	.	⌙ I
13	0.2	1.0	0.7	0.6	−0.2	720.6	720.8	722.7	87	81	80	NE 2	E 1	E 1	10	10	10	.	
14	0.2	0.9	−0.9	0.1	−0.6	722.1	720.2	718.8	80	67	73	NE 1	E 1	E 1	10	10	10	.	
15	−1.4	1.0	**−2.4**	−0.9	−1.5	717.3	717.8	718.9	77	72	92	NE 0	E 1	SE 0	10	3	2	.	
16	−1.2	0.5	−2.0	−0.9	−1.4	719.0	719.2	720.7	92	83	94	SE 1	ESE 1	ESE 0	10	10	2	.	
17	−1.9	3.4	6.4	2.6	2.2	722.2	721.8	720.1	96	70	70	ESE 0	SW 2	WSW 2	2	9	10●	1.6	● 20½–21¼, ⋁ I
18	6.0	5.2	2.7	4.6	4.2	717.4	718.6	720.8	81	62	96	WSW 2	W 2	W 1	9	10	10●	6.1	● 2¾–11½ mU, 17½–n, ⸗ 1¾–2
19	2.6	5.4	3.5	3.8	3.5	723.8	725.2	725.2	95	79	75	W 1	SSW 1	W 1	9	5	10	.	● n–5½
20	4.3	6.2	6.2	5.6	5.4	722.7	719.3	714.0	72	67	67	WSW 1	SW 2	WSW 2	10	8	10	10.3	● 22–n
21	4.9	6.6	2.9	4.8	4.6	711.4	709.4	709.6	92	61	94	SW 2	WSW 2	SSW 1	10●	9	10	8.7	● n 10½, 18¾ n, ⸗ 0¾–5
22	2.6	6.2	2.0	3.6	3.5	713.3	714.1	712.5	93	72	93	WSW 1	S 2	SW 0	10	4	9	1.5	● n–1¾, ⸗ 22¾–n mU
23	5.3	6.4	3.2	5.0	5.0	709.5	708.0	706.8	92	91	96	WSW 2	WSW 2	SW 1	10	10●	10●	**23.8**	● 4¾–11 mU, 13¾–n, ⸗ n–14 mU
24	2.6	6.1	3.7	4.1	4.1	706.9	707.9	709.4	97	62	89	N 1	SW 2	WSW 2	10●	8	10●	3.4	● n–3, 20¾–n mU, ⸗ 12–n mU
25	4.4	7.9	4.2	5.5	5.6	715.0	716.4	716.1	87	68	87	SW 3	SW 2	WSW 3	10●	4	10●	6.8	● n 8½ mU 20¾ n, ⸗ n–n mU
26	7.3	9.8	7.8	8.3	8.5	712.7	714.6	713.5	95	74	85	SW 3	SW 3	WSW 2	10●	10	10●	13.5	● n 10½, 17¼ n, ⸗ n–n mU
27	6.9	**8.9**	5.7	7.5	7.7	712.8	708.9	708.2	90	63	81	WSW 1	SW 2	WSW 2	10	3	10	12.8	● n–7, 17–n, ⸗ n–n mU
28	3.0	4.1	4.5	3.9	4.2	709.0	709.4	713.9	89	87	86	SW 3	SW 3	SSW 3	10●	10●	10●	14.1	● ⸗ n–n
29	3.9	4.9	3.2	4.0	4.3	720.8	722.5	721.0	93	89	95	WSW 2	SW 2	SW 2	10	10	10●	8.9	● n–11½, 19¾–n, ⸗ n–n mU
30	6.2	8.4	6.3	7.0	7.4	721.1	724.4	**727.5**	96	93	89	WSW 2	WSW 2	WSW 1	10●	10●	2	1.4	● n 7½, 10½–14, ⸗ n 13 mU
31	1.8	3.7	2.3	2.6	3.0	726.1	724.3	721.6	97	98	98	NNE 1	NNE 1	NNE 1	2	10–	10– ☾	.	☾ III, ≡ 8 n
Mittel	2.5	4.6	2.8	3.3	—	714.4	714.5	714.8	89	76	86				9.3	8.1	8.4	Summe 122.2	

*) *Bern:* **27.** 17¾–18, 20½–21½, 23¾–24, ⸗ 17¾–20¾ **28.** 12½–12¾, ● 14¼–19¾ mU, ⸗ II

Dezember 1959
Beobachter: *Eidg. Armeemagazine*

Altdorf

$\lambda = 8°\ 38'$, $\beta = 46°\ 52'$,
$H_b = 450.7$ m, G = –0.08 mm

Tag	Lufttemperatur 7³⁰	13³⁰	21³⁰	Mittel	Abweich. vom Normalst	Luftdruck 7³⁰	13³⁰	21³⁰	Relative Feuchtigkeit 7³⁰	13³⁰	21³⁰	Windrichtung und Stärke 7³⁰	13³⁰	21³⁰	Bewölkung 7³⁰	13³⁰	21³⁰	Niederschlag	Witterung
1	12.1	13.8	**14.8**	13.7	10.9	**699.8**	700.5	703.9	38	41	44	SE 4	SE 4	SSE 3	8	10	7	.	n nmI
2	3.4	4.8	2.8	3.7	1.0	710.8	712.8	716.9	100	95	100	NW 1	NW 0	NNW 1	10≡	10	10	.	≡ n–a
3	3.6	4.4	2.0	3.3	0.7	716.9	715.4	713.2	91	90	98	E 1	NW 1	NNW 0	10	10	0	3.1	● trII, n (3./4.)
4	3.1	5.2	3.4	4.0	1.6	715.1	715.2	716.1	100	83	93	E 0	NW 1	E 0	10●	10	10	1.8	● n (4./5.)
5	3.0	5.4	1.4	3.3	1.0	717.8	719.0	720.2	92	83	96	E 0	NW 1	SE 0	10	9	10	.	
6	–2.0	4.8	–2.0	0.3	–1.9	719.7	717.7	715.9	92	60	93	SE 0	SE 0	SSE 0	0	0	0	.	⌙ I, II
7	8.2	9.8	10.8	9.6	7.5	711.2	709.7	708.1	36	**35**	36	SSE 5	SE 5	SSE 6	6	9	10	.	3–n
8	1.8	3.2	1.8	2.3	0.3	708.6	710.0	713.9	98	99	100	W 0	SSW 0	S 0	6	10●	10	6.1	● a-nmU, 18–n, n–1½
9	2.0	5.8	8.2	5.3	3.4	717.6	717.9	716.2	100	71	38	S 0	SE 0	SSE 6	4	2	0	.	
10	10.8	13.6	8.4	10.9	9.1	713.9	713.3	712.9	40	38	83	SE 5	ESE 5	ESE 1	10	10	10●	1.7	● 20–n, n–20
11	3.6	11.2	4.0	6.3	4.6	709.1	710.6	713.7	94	44	98	NW 0	SE 4	NW 0	10	4	5	.	10½–21
12	2.2	4.6	3.8	3.5	1.9	717.3	718.4	720.8	100	92	98	SSE 0	NNW 0	NNW 0	10	10	10	.	
13	1.6	2.0	0.8	1.5	0.0	722.8	724.8	725.2	100	97	98	NW 1	NW 1	NW 0	10	10	10	.	
14	0.8	2.4	0.0	1.1	–0.3	725.2	723.3	722.0	87	73	82	W 0	N 1	E 1	10	8	10	.	
15	**–4.8**	2.0	–3.2	–2.0	–3.3	720.3	720.6	721.9	99	81	100	S 0	W 1	SSE 0	1	0	0	.	⌙ I, III
16	**–4.8**	4.0	–2.2	–1.0	–2.2	721.9	721.9	723.8	91	65	77	SE 1	W 1	SSE 1	0	0	0	.	⌙ I
17	–4.6	5.0	–0.4	0.0	–1.1	725.4	724.5	723.1	87	53	75	S 0	W 0	W 0	0	0	1	.	⌙ I
18	2.8	4.2	1.2	3.7	2.7	721.0	720.0	722.7	82	95	80	E 1	E 1	NW 1	10	10●	10	3.4	✳ a, ● a-nmI
19	2.1	5.0	1.8	3.1	2.2	726.4	728.1	728.6	100	88	93	NW 1	NW 0	SE 0	10●	7	10	0.9	● n a, ⌙ III
20	1.8	6.0	1.0	2.9	2.0	725.7	722.0	717.9	94	75	100	SE 0	NE 0	N 0	10	9	0	.	⌙ III
21	7.4	4.8	2.8	5.0	4.2	713.8	712.7	712.4	67	100	100	NW 2	NW 2	SE 0	10	10●	10●	13.6	● a–n
22	2.8	5.6	0.4	2.9	2.2	715.9	717.3	715.4	100	85	82	E 0	W 0	S 0	10	5	0	0.2	● n–a, ⌙ III
23	10.4	9.8	7.4	9.2	8.6	712.7	712.2	707.7	43	39	75	S 4	SE 4	NW 2	8	10	10	2.4	● n (23./24.), 7½–21
24	4.0	5.2	1.6	3.6	3.0	699.9	710.6	712.0	97	92	100	E 0	W 1	SSE 0	10●	10	0	6.4	● n–pmU
25	1.6	7.2	2.0	3.6	3.1	717.7	718.9	718.7	100	79	89	SSE 0	S 0	S 0	10	1	10	0.6	● p–n, 22½–n
26	10.8	7.2	8.6	8.9	8.5	715.1	719.5	715.6	53	90	92	SSE 5	SSW 2	NW 1	10	10●	10	15.0	● a n, n p, I
27	6.6	10.4	7.0	8.0	7.6	716.9	712.4	710.3	91	71	84	S 2	SSW 0	S 0	10●	1	9	4.8	● n–a, pmI
28	2.4	4.4	5.0	3.9	3.6	711.3	712.1	715.3	99	86	90	SE 0	S 1	SE 0	9	10	10●	**25.9**	● a-nmU
29	4.2	5.0	1.8	3.7	3.4	722.1	724.8	723.4	97	87	97	NW 2	NW 2	SE 0	10●	9●	10	5.0	● n–nmU
30	2.6	8.6	5.2	5.5	5.3	723.1	726.4	**730.0**	100	90	100	SE 1	S 1	SE 0	4	8	1	.	
31	2.2	9.8	2.6	4.9	4.7	728.9	726.9	724.4	100	71	100	SE 1	S 0	SSE 0	2	0	0	.	⌙ I, III
																		Summe	
Mittel	3.3	6.3	3.4	4.3	—	716.9	717.4	717.5	86	76	87				7.7	6.8	6.2	90.9	

Dezember 1959
Beobachter: *Observatoire*

Genève

$\lambda = 6°\ 09'$, $\beta = 46°\ 12'$,
$H_b = 405.0$ m, G = –0.05 mm

1	5.0	4.9	3.1	4.3	1.3	704.1	**703.7**	709.5	81	83	90	NNE 1	NNE 1	ESE 1	10	10	9	.	
2	1.4	5.1	4.5	3.7	0.8	715.2	718.0	721.9	91	69	71	E 1	S 1	S 1	6	10	10	.	⌙ I
3	3.8	5.4	4.1	4.4	1.7	721.7	720.4	718.5	69	67	80	SE 1	SE 1	SSE 1	10	9	10●	5.5	● 21½–n
4	4.6	4.2	3.1	4.0	1.4	720.3	720.4	721.4	65	75	91	S 1	S 1	NNE 1	10	10●	9	1.5	● n–0¾, 3–3¼, 12½–18¼ mU *)
5	2.2	4.3	1.4	2.6	0.1	722.9	723.6	724.5	90	77	88	SE 0	N 0	S 1	10	10	9	0.5	● 1½–2¾, 9½–11½, ⌙ III
6	0.8	3.6	–0.4	1.3	–1.1	723.6	722.2	720.3	87	62	83	E 1	N 1	NE 1	9	3	2	.	⌙ III
7	0.0	2.1	1.9	1.3	–1.0	715.9	714.4	714.2	83	77	88	E 1	N 1	S 1	10	10	10●	4.0	✳ fl 9¾–13, ● 21–n, ⌙ I
8	1.4	5.6	4.1	3.7	1.5	714.1	715.2	718.9	94	72	83	SW 1	S 1	SW 1	10●	10	10●	3.0	● n–11¾, 17¼–17½, 19¼–22½
9	2.7	5.8	3.1	3.9	1.8	722.2	721.4	720.1	81	56	73	NNE 0	NE 1	NE 1	2	1	8	.	● 2¼–3
10	1.8	5.0	4.2	3.7	1.7	718.1	716.6	713.5	83	64	65	NE 1	N 1	S 1	8	9	10	.	
11	3.6	7.1	3.4	4.7	2.8	713.7	715.3	718.4	75	62	81	NE 0	NNE 1	N 0	8	2	10	.	
12	1.2	5.6	4.7	3.8	2.0	721.7	722.8	724.5	90	73	73	S 1	N 1	NE 1	9	7	10	.	⌙ I
13	2.2	2.3	2.7	2.4	0.7	727.0	728.0	729.6	78	75	65	NNE 3	N 2	NE 1	10	10	10	.	
14	2.1	2.0	1.3	1.8	0.2	729.0	727.5	726.0	62	60	64	NNE 1	NE 2	ENE 1	10	10	10	.	
15	0.2	0.9	–2.0	–0.3	–1.8	724.8	725.6	726.5	71	69	85	NE 0	NNE 1	E 0	10	9	0	.	
16	**–2.5**	1.9	–0.4	–0.3	–1.7	726.5	726.4	728.5	88	70	80	S 1	NNE 1	ESE 1	3	9	3	.	⌙ I, III
17	–0.6	6.7	8.4	4.8	3.5	729.9	729.8	728.3	84	51	**47**	SE 0	S 1	SW 1	6	9	10	2.2	⌙ I
18	7.9	6.4	3.3	5.9	4.7	726.0	727.1	728.9	66	56	92	S 2	S 1	W 1	7	10	8●	5.7	● 1¾–3¼, 4¾–5¾, 9½–11¾ mI, *)
19	2.4	5.0	3.3	3.6	2.5	731.7	733.0	733.2	95	84	88	E 0	NNE 1	ESE 1	9	9	10	.	● 3¼–6¾
20	3.1	7.5	8.2	6.4	5.3	730.8	727.2	722.8	85	55	55	S 1	W 1	WSW 1	9	6	10	8.3	◎ tr III, 23¾– n
21	6.7	8.3	5.4	6.8	5.8	719.8	717.5	717.2	83	62	77	**S** 2	SE 2	S 2	10●	9	9	5.7	● n–7½mU, 10¾–11¾, 15¾–n
22	4.2	5.9	2.7	4.3	3.4	721.3	721.9	720.9	78	64	81	WSW 1	SE 1	ESE 1	10	6	9	2.2	● n–0¾
23	6.3	6.8	5.8	6.3	5.5	717.7	715.9	714.7	76	94	89	N 1	S 1	NNE 2	10●	10●	10	**26.4**	● 0¾–22¾ mI
24	5.0	7.2	3.9	5.4	4.6	714.7	716.2	717.9	85	51	82	ESE 1	S 1	S 2	10	9	10●	8.6	● 1¾–3¾, tr 13¾, 19½–23½
25	5.1	8.9	5.8	6.6	5.9	723.8	724.4	724.6	75	55	70	S 1	NE 1	SE 1	5	5	10●	5.4	● 0¾–6½ mU, 11–11¾, 20¾–n
26	7.5	12.7	9.1	9.8	9.2	722.3	723.1	722.4	82	60	83	SW 2	SW 1	S 2	10●	10	10●	8.5	● n–1, 5¾–10¾, 15¾–18¾, *)
27	8.7	8.3	8.4	8.5	7.9	720.8	717.9	717.4	63	77	50	WNW 1	W 1	S 3	10	9	10	2.6	● n–4¾ mU, 9–9¾, *)
28	4.2	6.3	5.9	5.5	5.0	718.5	719.6	723.9	75	65	72	S 2	S 3	S 2	10●	9	10●	13.0	● 5¾–10½, 14¾–22, n–nmI
29	4.5	6.9	3.3	4.9	4.4	729.9	730.3	729.6	78	61	95	SW 2	S 1	SW 1	10●	10	10●	5.9	● 0–7½ mI, 18½–n, n–amI
30	5.9	**12.8**	8.2	9.0	8.6	730.3	732.5	**734.7**	96	57	77	NW 1	S 2	NW 1	10	7	4	.	● n–6¾
31	2.3	3.3	2.9	2.8	2.4	733.5	731.3	729.0	98	100	100	S 1	NW 1	N 1	10≈	10≡	10≡	.	
																		Summe	
Mittel	3.4	5.8	4.0	4.4	—	722.3	722.2	722.6	81	68	78				8.7	8.3	8.7	108.4	

*) 4. 23¾–24 18. 16¾–24 26. 20¾–n mU 27. 12¾–16¾ mI, 20½–20¾, p–n

$\lambda = 8°\,34'$, $\beta = 47°\,23'$,
$H_b = 569.4$ m, $G = -0.01$ mm

Zürich

Dezember 1959
Beobachter: *Meteorologische Zentralanstalt*

Tag	Lufttemperatur					Luftdruck			Relative Feuchtigkeit			Windrichtung und Stärke			Bewölkung			Niederschlag	Witterung
	7^{30}	13^{30}	21^{30}	Mittel	Abweich. vom Normalst	7^{30}	13^{30}	21^{30}	7^{30}	13^{30}	21^{30}	7^{30}	13^{30}	21^{30}	7^{30}	13^{30}	21^{30}		
1	1.0	3.7	1.8	2.2	1.6	690.3	**690.2**	694.8	97	82	87	ENE 1	NE 1	NE 1	10≡	9	9	0.0	≡ 6½-12, ⌓ I, III
2	0.3	1.1	1.6	1.0	0.5	700.3	702.5	706.5	97	90	90	SSW 1	WSW 1	SSW 1	10	10	10●	0.0	● III, ≡ n 6, 10-12, ⌓ I, II
3	2.3	2.9	1.6	2.3	1.9	706.4	704.7	702.6	86	83	87	SSW 1	SW 1	S 1	10	10	10	2.5	
4	2.5	4.2	3.0	3.2	2.9	704.4	704.5	705.9	90	66	81	SW 1	SSW 2	WSW 0	10	10	10	1.5	● 1¾-6½
5	0.9	3.9	1.3	2.0	1.8	707.6	708.3	709.5	95	72	93	W 0	W 1	S 0	10●	10	9	.	⍒ 6¼-7¼, ● tr p
6	0.5	2.9	−1.3	0.7	0.6	708.8	706.8	705.0	96	72	93	E 1	NE 1	NNE 1	10	6	0	0.0	⌓ I, II
7	−2.7	−0.1	0.4	−0.8	−0.9	701.0	699.8	698.8	96	83	88	E 1	NE 1	S 1	10	10	10	0.0	⌓ I, ⌓ II
8	0.1	3.8	2.9	2.3	2.3	698.3	699.3	703.0	91	78	85	SW 0	WSW 1	SW 0	9	10	10	0.6	● tr II, 16-19½, ● p
9	3.0	7.0	−0.4	3.2	3.3	707.0	707.2	705.8	76	55	91	SSW 1	S 1	NE 1	6	2	1	.	
10	−1.0	2.6	0.8	0.8	1.0	703.3	702.8	700.7	91	67	87	NE 2	NNE 1	N 1	10	9	10	.	⌓ I, ⌓ III
11	0.8	9.5	1.9	4.1	4.4	699.0	700.7	704.1	88	**49**	92	W 1	SSW 1	NE 1	9	2	2	0.0	⌓ I, ⌓ III
12	0.2	4.5	0.0	1.6	2.0	707.0	708.2	710.9	97	71	93	NE 1	NE 1	NW 1	9	5	10	.	⌓ I, ⌓ II, III
13	−1.2	−1.2	−0.9	−1.1	−0.7	713.0	713.5	714.9	92	89	93	NNE 1	NW 1	NW 0	10	10●	10	0.0	● a-p
14	−0.7	0.2	−0.8	−0.4	0.1	714.5	712.9	711.1	75	71	80	S 1	N 1	NE 1	10	10	10	.	
15	−2.1	2.5	−2.3	−0.6	0.0	709.9	709.8	711.0	79	58	92	ENE 1	S 1	SSE 0	10	0	2	0.1	⌓ III
16	**−4.7**	1.7	−4.4	2.5	−1.8	711.0	711.2	712.9	98	71	99	N 0	SSW 1	NNW 0	10−	0	10−	0.0	≡ fl a, ≡ 7¼-12¼, p-n, ⌓ I, II, III
17	−3.7	6.0	4.5	2.3	3.0	714.0	713.6	711.9	90	58	57	S 0	SW 1	SSW 1	0	1	10	0.8	● 22½-23¾, ⸗ 22-22¾, ⌓ I, ⌓ II
18	5.7	5.1	3.3	4.7	5.5	709.7	709.3	712.7	79	78	78	SSW 2	WSW 2	SSW 2	9	9	10	2.6	● 6-6¼, 18-18½, ⸗ 3-17¼ mU
19	2.1	6.3	2.1	3.5	4.4	715.9	717.2	717.0	93	68	84	SW 1	SSW 2	S 1	10	8	10	0.2	● 2¼-5¾ mU, ⌓ III
20	2.8	6.9	3.7	4.5	5.4	714.4	711.3	706.4	77	61	75	SSW 2	S 1	S 1	9	9	2	11.7	● 5-5¾, ⌓ III
21	4.5	4.1	2.7	3.8	4.8	704.0	702.2	702.1	87	92	95	SW 1	S 1	S 0	10●	9	10	3.7	● 2¾-17¾ mU, ⸗ 0¼-8 mU
22	2.3	3.5	0.1	2.0	3.1	705.3	706.6	704.6	92	81	96	WSW 1	S 1	S 0	9	9	0	0.2	⌓ III
23	3.1	5.2	3.8	4.0	5.1	702.0	700.9	698.4	77	82	97	S 1	SSE 1	NW 1	10●	10	10●	**24.5**	● 7-8¼, 9¾-13, 14¼-n, *)
24	2.4	3.8	2.7	3.0	4.2	699.5	700.4	701.3	93	84	78	SSW 1	WSW 1	S 1	10	9	3	4.2	● n-7¼, ⌓ III
25	3.8	8.2	3.5	5.2	6.4	706.5	708.0	707.5	81	55	80	SW 2	WSW 2	S 1	9	2	10	3.2	● 0¼-7¾ mU, 23½-n, *)
26	6.2	10.2	8.0	8.1	9.4	704.4	707.1	705.8	90	67	89	SW 1	SW 3	SSW 2	10●	10●	10	17.0	● n-2 mU, 5¾-13½ mU, *)
27	6.6	**10.3**	4.4	7.1	8.4	705.0	701.9	700.5	67	55	87	SW 1	SW 1	WSW 2	10	3	10●	5.1	● n-3¾, 18½-22¾ mU, *)
28	3.7	5.0	3.3	4.0	5.4	700.3	701.7	705.1	66	67	88	SW 3	SW 3	SW 2	10	10●	10●	5.3	● 0¾-0½, 13¼-21¾ mU, ⸗ n-n
29	3.1	3.9	1.8	2.9	4.3	712.3	714.2	712.2	93	88	96	SW 1	SW 2	SSW 1	10●	10	10	13.2	● 0-15¾ mU, 22¾-n, ✳ fl a, *)
30	7.0	9.8	8.0	8.3	9.8	712.4	715.5	**719.2**	86	76	82	SW 2	WSW 2	WSW 2	9●	10	10	0.6	● n-7, 8½-10¾, ≡ n-5½, *)
31	3.5	10.0	3.7	5.7	7.2	718.0	716.1	713.3	97	65	95	WSW 1	SSW 1	WNW 1	5	7	0	0.1	⌓ I, ⌓ II, III
Mittel	1.7	4.8	2.0	2.8	—	706.6	706.7	708.0	87	72	87				9.1	7.4	7.7	Summe 97.1	

*) **23.** ⸗ 11¼-12 **25.** ⸗ 2¾-15 mU **26.** 16½-n mU, ⸗ 7½-15½, 19¾-n mU, **27.** ⸗ n-6½, 18½-n mU, ⸗ 22¾ **29.** ⸗ n-1¼ **30.** ⸗ 5¾-20 mU

$\lambda = 6°\,32'$, $\beta = 46°\,51'$,
$H_b = 1601$ m, $G = -0.16$ mm

Chasseron

Dezember 1959
Beobachter: *J. Liardon*

1	1.0	3.0	3.2	2.4	—	**608.0**	608.7	613.6	73	41	47	E 2	E 2	E 2	6	8	7	.	18
2	3.0	4.2	1.8	3.0	—	617.7	619.7	622.2	49	49	53	NNE 1	NNE 1	N 2	4	3	3	.	18
3	2.8	0.8	0.8	0.9		622.6	621.0	619.7	46	63	100	W 1	W 3	WSW 3	1	4	3	10.3	✳ n (3./4.), ≡ 15¾-19¾, ⸗ a-n 17
4	4.6	4.6	4.2	4.5		619.7	620.4	621.2	100	98	100	W 4	WSW 3	NW 2	10≡	10≡*	10≡*	3.8	● 11-n, ≡ n-n, ⸗ n-n mU, ⸗ 20
5	5.2	3.8	6.4	5.1	—	622.7	623.8	624.5	100	100	100	NW 2	C 0	N 1	10≡	10≡*	1	1.0	● 9-16½, ≡ \ n 17¾ 22
6	6.6	5.0	3.0	4.9	—	623.0	621.8	620.6	100	100	37	NE 2	E 2	S 3	10≡	2	1	.	≡ n 11, ⸗ p n 22
7	−4.4	−3.8	−2.0	−3.4	—	616.5	615.9	616.1	64	95	100	SE 3	SE 4	S 2	8	10≡	10	7.7	✳ 9½-n mU, ≡ 9-n mU, *) 18
8	−3.1	−3.6	−3.8	−3.5	—	615.1	616.1	618.7	100	100	100	S 2	W 3	W 4	10≡*	10≡*	10≡*	14.8	✳ n-20, ≡ ⸗ n-n mU, *) 31
9	−5.2	−4.6	−5.0	−4.9	—	622.2	621.9	621.2	100	98	100	W 3	SE 4	SE 3	7	2	3	.	≡ n-7, ⸗ n-n, ⸗ II 33
10	−0.2	2.0	2.8	1.5	—	619.9	619.6	617.8	36	45	45	E 2	SE 2	E 3	9	9	9	.	⸗ n-n mU 30
11	0.2	0.2	1.6	−0.4	—	616.6	618.2	620.0	78	89	100	W 2	ESE 2	E 2	9	7	3	.	30
12	1.1	0.6	−0.4	−0.3	—	623.1	624.2	625.2	73	60	60	NNE 2	E 4	E 3	5	3	8	.	⸗ a-n, ⸗ II 30
13	3.4	1.0	7.2	3.9	—	627.2	627.5	628.2	77	62	100	NE 3	ENE 2	C 0	3	3	10≡	.	≡ ⋁ 17-n, ⸗ n-a 28
14	**9.2**	1.6	4.6	5.1	—	627.5	626.5	625.5	100	20	62	E 2	E 2	E 2	0≡	1	0	.	28
15	1.0	1.0	2.6	0.9	—	624.5	625.3	625.8	49	42	70	SW 2	SW 1	W 3	1	0	0	.	⸗ 20-n 25
16	3.4	1.0	2.0	2.1	—	625.4	626.1	627.8	100	75	72	S 3	W 3	SSW 3	1	6	0	.	⸗ n-n 25
17	1.2	0.2	1.0	0.8	—	629.2	629.1	628.8	87	92	100	WSW 4	WSW 5	WSW 4	7	10	10	4.4	● ✳ n (17./18.), ⸗ n-n 24
18	2.0	4.4	4.0	3.5	—	625.8	625.4	627.2	100	100	100	W 4	W 4	WNW 4	10≡*	10≡*	10 *	23.1	✳ ≡ ⋁ ⸗ ⸗ n-n 25
19	4.0	3.2	5.0	4.1	—	630.6	631.9	631.8	100	100	100	W 4	WNW 2	W 2	10≡	10≡*	10	2.1	⍒ 12, ≡ n-19 mU, ⸗ n-a 35
20	0.0	3.6	2.8	0.3	—	630.1	627.9	624.2	100	94	74	W 3	W 5	S 4	10≡	9	9	27.4	✳ 22½-fl, ≡ n-10, ⸗ n-n mU 25
21	2.0	2.6	4.0	2.9		619.9	618.5	618.4	100	100	100	W 5	W 4	WSW 3	10≡*	10 *	10 *	30.7	● ≡ ⸗ ⸗ n-n 40
22	5.0	4.0	4.8	4.6		621.6	622.2	620.7	100	100	100	SW 2	W 2	SW 4	6	10	4	.	≡ n 8 mU, 13-16, ⸗ p n 53
23	1.2	0.4	2.0	0.4		618.4	617.3	615.4	100	100	100	W 5	W 5	W 4	10	10 *	10 *	37.3	● 8-10¾, 13-n, ≡ 0-7¾, *) 33
24	4.0	4.0	4.0	4.0	—	615.7	616.9	617.8	100	100	100	W 4	W 3	WSW 3	10≡*	8	10 *	23.5	● n-13, 20-n, ≡ n-12¾, *) 45
25	3.0	2.0	2.8	2.6	—	622.4	624.5	624.2	100	100	100	WSW 4	WSW 3	S 5	10≡	6	10	6.8	● ✳ 20½-n mU, ≡ n-11½, *) 50
26	2.8	2.0	0.2	1.7	—	621.4	624.2	622.2	100	100	100	W 6	W 5	W 5	10≡	10	10≡	3.3	⍒ n-7, 20-n, ✳ 20½, *) 30
27	0.6	0.3	2.6	−1.2	—	621.9	619.5	615.6	100	100	100	W 4	S 3	W 6	10≡	10	10≡	15.4	✳ 16-n mU, ≡ ⸗ n-n mU 28
28	5.0	3.4	3.0	3.8		617.3	616.6	621.2	100	100	100	W 4	WNW 6	WNW 6	10-*	10-*	10-*	**55.3**	✳ ≡ ⸗ ⸗ n-n 30
29	3.1	3.8	4.0	3.7		628.1	629.2	627.9	100	100	100	NW 5	W 3	SSW 4	10≡*	8	10≡*	15.0	✳ n-8, 18 n, ≡ n-13, *) 50
30	2.0	1.4	0.8	1.4	—	628.8	632.7	**635.0**	100	100	100	WSW 4	W 4	NNW 3	10-●	10-●	10≡●	10.6	● ≡ ⸗ n-n, ✳ n (30, 31.) 40
31	6.4	**9.4**	8.2	8.0	—	634.2	633.2	631.0	**14**	30	28	E 2	ESE 2	WSW 3	4	5	5	.	⸗ p-n 40
Mittel	1.9	1.2	2.0	1.7	—	622.5	622.8	622.9	85	82	95				7.4	7.2	7.0	Summe 292.5	

*) 7. ⸗ n n mU, ⸗ II 8. ⸗ III, ⸗ a-p 23. 8-n, ⸗ n-n 24. 16-n, ⸗ n-n, ⸗ I 25. 20-n, ⸗ n n mU 26. ≡ n 13, 16 n, ⸗ n-n 29. 17¾ n, ⸗ n n mU

Dezember 1959
Beobachter: *Stationspersonal Rh. B.*

Bever

$\lambda = 9° 53'$, $\beta = 46° 33'$,
$H_b = 1711.8$ m, G = –0.26 mm

Tag	Lufttemperatur 7³⁰	13³⁰	21³⁰	Mittel	Abweich. vom Normalst	Luftdruck 7³⁰	13³⁰	21³⁰	Relative Feuchtigkeit 7³⁰	13³⁰	21³⁰	Windrichtung und Stärke 7³⁰	13³⁰	21³⁰	Bewölkung 7³⁰	13³⁰	21³⁰	Niederschlag	Witterung	☒
1	–1.8	1.2	0.8	–0.1	6.5	**604.7**	605.7	607.2	87	60	75	NW 0	NE 0	NE 1	10*	10	10	0.9	✳ n–n mU	80
2	–3.6	**4.3**	–8.0	–2.4	4.2	610.5	612.1	614.9	92	59	91	SW 0	SW 0	NW 0	10	8	0	.		80
3	–10.2	1.6	–0.7	–3.1	3.3	615.1	614.2	612.0	87	69	80	NW 0	SW 0	SW 0	2	7	10	3.4	✳ 22–n mU, ⋁ I	75
4	2.5	4.6	3.8	4.3	2.6	609.8	610.0	611.8	81	82	84	NW 1	NE 0	NE 0	10*	10	10*	7.6	✳ n n mU	78
5	–5.6	–3.5	–9.0	–6.0	1.0	611.9	612.9	614.9	78	51	85	NE 0	NW 0	NW 0	10	9	7	0.0	✳ fl a	84
6	–14.6	–6.8	–16.2	–12.5	–5.3	614.7	614.8	615.1	81	53	86	NW 0	W 0	W 0	8	0	0	.		84
7	–18.0	–4.6	–6.0	–9.5	–2.2	612.7	611.7	610.9	83	86	91	NW 0	SW 0	NW 0	6	10	10*	1.7	✳ fl 13–14, 14–n mU	84
8	6.0	2.0	4.0	4.0	3.4	607.9	607.1	608.8	90	84	88	NW 0	NE 0	SW 0	10*	10*	10*	4.5	✳ n 21½	84
9	–10.6	–4.4	–16.9	–10.6	–3.0	613.8	615.1	617.0	86	54	84	NW 0	NW 0	NW 0	2	0	1	0.0		86
10	9.8	3.0	2.0	–4.9	2.8	616.5	614.9	613.5	88	84	88	W 0	NW 0	NE 0	10*	10*	10*	9.6	✳ 6–n	84
11	–2.0	–1.0	–5.6	–2.9	4.9	610.5	611.9	614.2	95	74	90	W 0	SW 0	N 0	10*	10*	10	0.8	✳ n–9½, 11–20 mU	95
12	–6.2	–1.4	–11.6	–6.4	1.6	615.8	616.4	617.2	94	61	88	NW 0	NW 0	SW 0	10	2	0	.		94
13	–11.2	–2.0	–9.0	–7.4	0.7	615.9	616.3	618.0	87	58	94	NW 0	N 1	N 0	10	10	0	.	⋁ I	92
14	**20.6**	–9.7	–19.8	–16.7	–8.5	618.9	617.9	617.3	81	87	84	SW 0	NW 0	NW 0	0	0	0	.	⋁ I	90
15	–20.4	–8.2	–17.6	–15.4	–7.1	617.1	617.2	617.2	80	60	88	SW 0	NW 0	NW 0	0	0	0	.	⋁ I	89
16	–18.8	–7.8	–17.3	–14.6	–6.1	617.9	618.0	620.6	84	55	88	SW 0	NW 0	SW 0	0	0	0	.	⋁ I	88
17	–19.8	6.6	16.8	14.4	5.8	622.0	621.4	621.4	84	53	86	SW 0	NW 0	W 0	0	0	0	.	\ I	87
18	10.0	–3.8	4.4	–6.1	2.6	617.8	615.0	616.7	80	61	66	W 0	SW 0	N 1	10	10	10*	0.5	✳ 14½–n mU, ⛆ 18¾–19¾	88
19	–6.3	–2.4	–17.3	–8.7	0.1	619.9	621.4	623.1	87	**44**	85	W 0	NW 0	SW 0	10	9	7≡	0.0	✳ fl a, ≡ p–n	88
20	–9.0	–1.1	–10.6	–6.9	2.0	622.0	620.5	618.2	73	59	81	NW 0	SW 0	W 0	7	9	4	0.9	✳ n (20./21.)	88
21	–5.4	–1.0	–8.4	–4.9	4.1	613.1	609.9	609.3	90	71	91	SW 0	SW 0	SW 0	10*	10	10	3.2	✳ n–11 mU	89
22	–9.0	–2.6	–17.4	–9.7	–0.6	611.3	612.9	615.2	79	48	84	W 0	SW 0	SW 0	10	9	0≡	0.1	✳ 8–9½, ≡ p–n	93
23	–12.2	–2.0	–3.8	–6.0	3.1	614.5	613.0	609.6	77	46	93	W 1	SW 1	SW 0	9	10	10	**13.5**	✳ 14¾–n mU	92
24	–4.0	–2.6	–7.2	–4.6	4.6	606.8	607.0	608.9	93	77	87	N 1	NW 0	NW 0	10*	10*	10	4.9	✳ n–n mU	110
25	–9.4	–1.0	–13.0	–7.8	1.5	613.1	615.4	617.9	86	58	87	W 0	SW 0	SW 0	8	3	0	.	\ I	110
26	–2.2	0.2	0.8	–0.4	8.9	617.2	617.5	615.3	51	71	82	W 1	SW 0	SW 0	10	10	10*	2.4	✳ 15–23 mU	105
27	0.1	0.5	–5.6	–1.7	7.7	613.5	610.7	608.9	88	75	89	SW 0	SW 0	W 0	10*	3	10	3.6	✳ 7¾–11, 22–n	100
28	–9.6	–1.6	–4.2	–5.1	4.3	609.0	608.9	611.2	89	**44**	93	W 0	SW 0	SW 0	7	8	10*	6.4	✳ 19–n	105
29	–4.6	–1.0	–13.8	–6.5	3.0	616.9	618.9	620.3	92	70	87	SW 0	W 0	NW 0	10*	8	0	2.5	✳ n–n, n (29./30.)	115
30	–9.8	–2.4	–6.2	–6.1	3.4	619.9	621.9	624.2	88	59	79	NW 0	NE 0	SW 0	2	8	1	.		116
31	–10.2	–0.8	–8.2	–6.4	3.2	**625.5**	625.1	624.3	88	52	91	NW 0	NW 0	SW 0	1	3	2	.		115
																		Summe		
Mittel	–9.1	–2.6	–9.2	–7.0	—	614.7	614.7	615.3	85	63	86				7.2	6.6	5.2	66.5		

Dezember 1959
Beobachter: *Couvent des Capucins*

Sion

$\lambda = 7° 22'$, $\beta = 46° 14'$,
$H_b = 548.6$ m, G = –0.14 mm

1	4.1	**11.4**	8.6	8.0	6.2	693.7	**693.3**	698.6	89	**43**	60	NE 1	NE 5	E 1	10	10	0	.	⸙ a–p	
2	5.2	7.8	4.7	5.9	4.3	703.3	704.6	709.6	80	76	90	NNE 0	WSW 2	W 0	3	0	10	.	⏢ I	
3	4.2	6.6	1.6	4.1	2.6	710.1	708.1	707.0	85	76	96	W 0	W 0	NE 0	10	0	0	1.2	● n (3./4.)	
4	3.8	5.8	3.6	4.4	3.0	707.1	707.6	708.3	84	66	86	SW 1	WSW 1	W 0	10	10	10	0.1		
5	1.8	5.8	0.8	2.8	1.6	710.1	710.9	712.4	90	63	83	WSW 1	SW 2	SSE 0	10	8	0	.	● 1¾–1½	
6	–1.2	2.8	0.6	0.7	–0.4	712.4	710.7	709.1	80	56	64	E 0	E 0	E 0	1	0	0	.		
7	1.0	5.8	3.8	3.5	2.5	706.1	704.6	703.3	65	49	56	E 0	E 0	NE 0	5	10	9	.	⏤ I	
8	1.4	3.2	2.6	2.4	1.5	701.5	702.8	706.5	83	95	95	NE 0	SE 0	SE 0	10	10	8	2.9	● 11¾–17½ ml	
9	0.6	3.8	0.2	1.5	0.8	710.9	711.1	711.0	93	71	72	SE 0	SE 1	E 0	7	1	3	.	● 1–3	
10	4.0	10.0	8.6	7.5	6.9	707.8	706.7	704.2	55	49	56	E 0	E 0	E 3	5	10	7	0.3		
11	4.6	9.4	5.6	6.5	6.0	702.7	703.8	706.9	88	53	58	ENE 0	ENE 0	ENE 0	4	2	9	.	◐ 2½–3¾, ☋ 20	
12	3.4	9.0	1.8	4.7	4.3	709.8	710.5	712.3	69	59	94	ENE 0	ENE 0	ENE 0	9	8	4	.		
13	1.6	4.2	2.0	2.6	2.3	714.2	715.1	716.9	95	83	84	ENE 0	ENE 0	W 0	10	10	8	.		
14	1.0	3.6	–0.6	1.3	1.1	716.9	715.2	714.2	87	60	78	W 0	W 0	E 0	9	0	0	.		
15	–3.4	2.4	–1.8	–0.9	–1.0	713.4	713.1	714.8	79	53	68	E 1	ENE 0	ENE 0	0	0	0	.	⏤ I	
16	–4.4	1.6	–1.6	–1.5	–1.5	715.3	714.8	716.9	73	52	62	ENE 0	ENE 0	ENE 0	0	0	0	.	⏤ I	
17	**–4.6**	2.8	–0.8	–0.9	–0.8	718.7	718.2	717.4	68	53	59	ENE 1	ENE 0	ENE 0	0	0	7	.		
18	0.8	1.6	1.8	1.4	1.5	714.2	713.9	716.1	69	98	96	ENE 0	WSW 1	SE 0	10	10*	10●	3.9	✳ 11¾–13¾, ● 20¾–23	
19	2.0	5.4	2.2	3.2	3.4	718.6	719.6	720.4	97	79	85	SE 1	WSW 1	W 0	10	8	10	.		
20	1.2	4.4	1.4	2.3	2.6	719.8	716.7	712.5	88	67	85	SW 0	SSE 1	SE 1	10	8	0	8.0		
21	1.2	3.2	2.0	2.1	2.1	709.1	705.9	705.2	98	95	100	SE 0	SE 0	SE 0	10●*	10	10–●	6.4	● * 2¾ 9¾, ● 15–23½, ≡ n–n mU	
22	2.2	5.7	0.8	2.9	3.3	708.6	710.1	710.8	93	72	82	WSW 0	WSW 1	SE 0	10	5	0	0.8	● 2–4	
23	0.4	1.6	1.4	1.1	1.6	709.8	707.3	703.3	98	97	97	SE 0	ESE 0	SE 0	10*	10●*	10●	**32.0**	✳ 6¾–12, ● ✳ 12–18, ● 18–n	1
24	0.4	3.8	1.6	1.9	2.4	702.7	703.6	705.6	98	91	86	WSW 0	W 0	W 0	10–●	8	10	2.4	● n–4¾, 7¾–a, ≡ n–a	7
25	1.8	4.2	2.8	2.9	3.5	711.4	713.2	715.0	95	85	85	WSW 0	WSW 0	W 0	10	0	10●	1.3	● 23–n	9
26	1.0	1.8	2.6	1.8	2.1	713.3	715.7	711.6	97	96	98	WSW 0	WSW 0	WSW 0	10●–	10–●	10●	28.4	⸙ 2 7, 18 n, ⸙ n (25./26.)	7
27	3.0	5.6	4.2	4.3	5.0	710.9	706.6	706.3	97	88	96	WSW 0	WSW 0	WSW 0	10●	2	10●	10.2	✳ ● n–7½, ● 7½–n	6
28	3.4	2.6	3.0	3.0	3.7	706.2	707.2	710.0	86	93	94	WSW 0	WSW 0	WSW 0	10	10	10●	23.3	● n–8, 18½–23 mU	4
29	3.8	6.2	3.4	4.5	5.2	715.8	717.5	718.0	83	69	88	SE 0	SW 0	W 0	10	8	10●	7.5	◍ 8 12, 15¼ n	
30	0.6	4.6	2.8	2.7	3.5	718.4	719.7	**722.0**	97	86	95	W 0	WSW 0	WSW 0	3	1	0	.	● n–4¾, 21¾–n	
31	1.8	0.5	2.8	1.7	2.5	721.5	719.8	718.1	96	80	91	W 0	W 0	WSW 0	0	0	0	.	● n–4¾, ✳ fl a	
																		Summe		
Mittel	1.5	4.7	2.3	2.8	—	710.8	710.6	711.1	86	73	82				7.3	5.4	5.6	128.7		

$\lambda = 8°\,58'$, $\beta = 46°\,00'$,
$H_b = 276.2$ m, $G = -0.04$ mm

Lugano

Dezember 1959
Beobachter: *A. Tison*

Tag	Lufttemperatur 7³⁰	13³⁰	21³⁰	Mittel	Abweich. vom Normalst	Luftdruck 7³⁰	13³⁰	21³⁰	Relative Feuchtigkeit 7³⁰	13³⁰	21³⁰	Windrichtung und Stärke 7³⁰	13³⁰	21³⁰	Bewölkung 7³⁰	13³⁰	21³⁰	Niederschlag	Witterung
1	6.0	7.6	6.2	6.6	1.7	**721.1**	722.0	724.7	97	92	94	N 1	WNW 1	NW 1	10	10●	10●	16.7	● n-nmU
2	6.7	11.9	6.6	8.4	3.6	727.4	728.8	730.7	93	69	93	N 1	W 1	NE 1	10	9	1	.	
3	4.4	8.7	8.4	7.2	2.6	731.9	732.3	731.0	95	92	98	NNW 1	NW 1	W 0	1	10●	10●	41.0	◑ 11-n
4	5.2	8.2	9.1	7.5	3.0	726.7	725.8	727.1	86	44	34	NNW 3	NNE 2	NNE 3	10●	10	10	3.1	● n-9¾, ⸝ n-n mU
5	9.7	11.4	5.0	8.7	4.3	727.6	729.0	732.2	29	**26**	55	N 3	N 2	N 1	10	6	1	.	⸝ n-19½
6	1.0	9.9	1.8	4.2	0.0	734.0	734.3	734.8	76	47	87	N 1	SSE 1	N 1	2	1	0	.	
7	2.2	3.2	2.4	2.6	−1.5	732.9	732.6	732.2	86	95	96	WNW 1	NW 1	NW 1	10	10◑	10◑	22.8	◑ a-n, ◔ ✳ n (6./7.)
8	0.6	1.4	1.1	1.0	−2.4	727.5	727.5	729.0	99	94	98	N 1	SSW 1	NNW 1	10*	10●	10●*	23.1	◔ ✳ n-n 2
9	0.9	5.7	0.7	2.4	−1.4	734.4	735.9	737.7	96	69	94	N 1	N 1	N 1	10	5	8	1.6	◔ n (9. 10.) 2
10	1.6	1.4	2.0	1.7	−2.0	737.9	736.8	733.3	97	96	97	N	N 1	NNW 1	10●	10●	10●	**53.4**	● 4½-n
11	2.8	4.9	3.7	3.8	0.3	731.2	731.9	733.6	94	93	96	N 1	N 1	NNW 1	10●	10●	10●	23.4	● n-n
12	3.3	4.3	2.0	3.2	−0.2	735.8	736.2	734.9	97	94	96	N 1	NW 1	NNE 1	10●	10●	1	12.2	● n-13¾
13	1.9	7.8	5.3	5.0	1.7	730.7	732.0	734.8	93	66	89	W 1	SSE 1	NNW 1	10	10	10	.	⌙ I
14	2.0	5.0	1.0	2.7	−0.5	737.3	737.1	737.6	99	83	86	NW 1	S 1	N 1	10≡	4	0	.	≡ n-10½
15	−1.0	7.3	−1.0	1.8	−1.2	737.5	736.9	738.2	87	46	90	NW 1	SE 1	NNE 1	1	0	4	.	⌙ I
16	**−2.7**	5.0	−0.4	0.6	−2.3	738.6	739.1	741.6	86	63	99	NNW 1	S 1	NNW 0	1	0	10≡	.	≡ 19-n, ⌙ I
17	−2.0	6.2	−0.2	1.3	−1.5	**743.5**	743.3	**743.5**	78	46	83	NNE 1	S 1	N 1	0	0	0	.	⌙ I
18	0.6	4.3	1.8	2.2	−0.5	738.9	735.3	734.5	82	67	91	NW 1	S 1	NW 1	10	6	10	.	⌙ I
19	9.0	12.3	6.2	9.2	6.5	737.2	740.0	742.3	32	28	37	NE 2	NE 2	NNE 2	1	1	1	.	
20	0.6	6.1	1.6	2.8	0.2	743.1	742.9	740.0	71	62	76	NNW 1	S 1	NW 0	2	8	10	1.8	✳ n (20./21.)
21	0.6	1.6	1.6	1.3	−1.3	735.0	731.3	728.7	98	94	96	NE 1	NNW 1	NNW 1	10*	10●	10	5.0	✳ 6-10½, ◔ 10½-13½ 1
22	−0.8	12.0	2.6	4.6	2.1	728.1	729.4	733.1	94	**26**	57	N 1	NE 2	NNE 1	1	0	0	.	
23	1.0	3.2	0.4	1.5	−1.0	734.6	733.4	729.4	72	91	98	NNW 1	N 1	NW 0	9	10●	10*	24.1	● 12¾-15½, ✳ 15½-n, ⌙ I
24	0.9	2.6	0.8	1.4	−1.1	725.6	722.8	726.3	97	90	86	N 1	N 1	NNE 1	10◑	10	0	0.6	◑ n-a 3
25	−0.3	8.4	2.6	3.6	1.2	731.8	735.0	738.8	79	46	80	N 1	W 1	N 1	0	0	5	.	3
26	2.4	5.9	3.0	3.8	1.4	738.7	738.3	737.4	82	71	98	N 1	E 1	NW 0	10	10	10◑	4.0	◑ 18¾-n
27	2.9	6.0	3.6	4.2	1.8	733.6	730.7	728.0	98	86	96	N 1	S 1	N 1	10◑	10	10	1.7	◑ n 7¾, p mU
28	1.6	8.2	4.0	4.6	2.3	726.7	727.0	729.1	98	65	83	N 1	S 1	NNE 1	10	4	3	.	
29	5.6	**12.9**	6.9	8.5	6.2	735.9	737.3	738.9	70	34	48	NNE 1	N 2	N 1	2	1	10	.	
30	1.8	9.7	2.8	4.8	2.5	740.1	740.1	741.6	80	57	79	NNW 1	SE 1	N 1	4	4	0	.	
31	0.8	8.4	2.9	4.0	1.8	742.2	742.1	742.6	92	70	90	NNW 1	S 1	N 1	3	2	1	.	⌙ I
Mittel	2.2	6.8	3.1	4.0	—	733.8	733.8	734.4	85	68	84				6.7	6.2	6.0	Summe 234.5	

$\lambda = 7°\,35'$, $\beta = 47°\,33'$,
$H_b = 317.3$ m, $G = 0.08$ mm

Basel

Dezember 1959
Beobachter: *Astronom.-Meteorol. Anstalt*

1	2.0	2.7	1.4	2.0	0.0	**713.0**	713.7	718.5	100	93	99	SW 0	NNE 0	NW 1	10	10	10	0.0	≡ 7¾-8¼, 15¾ Abd
2	1.7	3.4	3.8	3.0	1.1	723.9	726.2	729.1	98	90	91	W 0	SSW 1	NW 1	10	10	10	.	● tr früh
3	3.0	6.7	3.3	4.3	2.6	729.4	728.0	725.2	91	74	85	S 1	ESE 1	ESE 1	10	1	9	2.6	◔ 23¼-n
4	3.3	6.9	4.5	4.9	3.3	727.3	727.8	728.7	90	62	85	SW 1	SW 1	WSW 1	10	10	9	0.0	● n-2½, tr 19½
5	2.1	5.4	1.3	2.9	1.4	730.8	731.2	732.3	91	77	95	S 0	W 1	E 0	8	10	8	.	
6	−0.4	4.4	−1.1	1.0	−0.4	731.9	730.5	728.6	100	75	90	SE 1	ESE 1	NW 1	10	8	1	.	⌙ \ I
7	−0.1	1.5	0.9	0.8	−0.5	723.6	722.7	722.1	90	85	97	E 1	ESE 1	SE 1	9	10	10	4.4	◔ 16¾-19¼ mU, ⌙ I
8	0.9	2.5	2.4	1.9	0.7	721.6	722.3	725.8	99	99	100	E 0	ESE 0	E 1	10-●	10-●	10	4.1	◔ 6¼-9¾, 12¾-17¾, 22¼ mU.*)
9	1.8	7.4	1.0	3.4	2.3	730.1	730.0	729.4	98	61	76	SE 1	E 1	NE 0	7	1	0	.	● n-0½, ≡ 10-10¾
10	0.2	0.6	0.0	0.3	−0.7	727.0	726.2	724.0	95	97	99	NW 1	NW 1	NW 1	10	10	10	.	≡ 16¾-18¼
11	0.0	4.0	0.0	1.3	0.3	722.0	723.9	727.6	99	89	98	NW 0	E 1	W 1	10	9	10≡	0.2	◑ 9-9¾, ≡ 21-n
12	−1.0	−0.8	−0.8	−0.9	−1.8	730.6	732.2	734.8	100	100	100	NW 0	SW 1	W 1	10	10	10	0.2	◑ n-n mU, ≡ n-22, ∼ 23
13	−0.5	−0.3	0.0	−0.3	−1.1	736.8	737.0	737.2	100	98	97	W 1	WNW 1	S 0	10	10	10	0.2	◑ a-p mU
14	0.2	1.6	0.2	0.7	0.0	737.7	736.1	734.5	98	70	96	S 0	E 1	E 1	10	10	10	.	
15	−2.2	2.6	−0.9	−0.2	−0.8	732.5	732.4	733.4	86	71	85	ENE 1	E 1	E 1	0	0	0	.	⌙ I
16	−3.0	1.9	−0.9	−0.7	−1.3	733.3	733.6	734.7	95	82	88	E 2	S 1	ESE 2	0	1	3	.	⌙ I
17	**−3.2**	1.7	2.4	0.3	−0.2	736.2	735.7	734.4	97	88	96	ESE 1	E 1	E 1	7	10	10	1.0	◔ 19¼-21¾, ⌙ I
18	4.9	6.5	4.7	5.4	5.0	732.2	732.9	735.1	78	70	80	WSW 1	SSW 2	WSW 1	8	9	10	0.4	◑ 2¾-3¾, 9¾-11½ mU. *)
19	3.9	7.3	2.6	4.6	4.3	738.3	740.1	739.5	90	67	86	WSW 1	WNW 2	E 1	8	4	9	0.0	● tr p
20	3.2	7.6	6.2	5.7	5.5	736.7	733.7	728.8	93	82	78	E 1	ESE 1	ESE 1	10	8	9	6.7	● tr 7¾, 22-n
21	6.5	7.5	3.4	5.8	5.6	726.4	724.9	724.8	80	66	96	SW 2	W 1	E 1	10●	8	10	0.7	● n 5¾, 7¾-10¾ mU
22	3.0	6.0	1.8	3.6	3.5	728.9	729.7	726.9	94	77	93	W 1	E 1	ESE 2	10	9	0	1.4	
23	7.5	9.3	5.0	7.3	7.3	722.8	722.5	721.2	82	74	96	S 1	S 2	SSE 2	8	10	10*	**11.7**	◑ 3¼-5¾, 9-10¾ mU, *)
24	4.0	7.2	4.1	5.1	5.2	721.8	722.7	723.5	97	71	85	SW 1	S 1	E 1	6	4	10	2.1	◑ 2¾-3¾, 5-5¾
25	5.3	8.4	7.7	7.1	7.2	729.3	730.8	728.9	88	62	75	SW 2	SW 2	S 2	10	10	10	2.5	◑ 5½-6½ 20½-20¾, 22-23¼, *)
26	11.2	**13.1**	9.8	11.4	11.6	724.9	728.1	727.3	75	64	90	SSW 2	WSW 2	SW 2	10●	10	10	7.8	◑ 5¾-9¾ mU, 18¾-21½, *)
27	8.8	12.9	7.3	9.7	10.0	727.3	722.9	722.3	72	**50**	68	SSW 2	SSW 2	WSW 2	10	7	10	2.6	● n 2, 5¾ 5¾, 17¾-19½, *)
28	6.6	6.3	5.7	6.2	6.5	722.8	723.0	728.3	67	79	90	WSW 2	WSW 2	WSW 2	10	10●	10	2.3	◑ 2½ 2¾, 21¾-23¾, ⸝ 13
29	5.0	7.0	3.8	5.3	5.7	735.2	736.8	733.8	93	77	85	N 2	E 1	ESE 1	10	9	10	1.1	◑ 2¾-3¾ mU, 8-8¾, 21¾-23¾
30	9.1	11.3	9.3	9.9	10.3	734.7	737.8	**741.4**	96	83	85	W 2	WSW 2	WSW 1	10●	10	6	0.0	● 0¾-3¾ mU, 7-7¾, ⸝ 14¾
31	1.7	7.3	6.0	5.0	5.5	740.6	737.8	734.8	99	93	80	E 0	ESE 1	ESE 2	6	7	2	.	≡ 9½-9¾, 11¾-13
Mittel	2.8	5.5	3.1	3.8	—	729.3	729.4	729.6	91	78	89				8.6	7.9	7.9	Summe 52.6	

*) 8. ≡ 6-18¾ 18. 16½-16¾ 23. 13¾-23¾ mU, 25. ⸝ 20¾ 26. 23½-n, ⸝ 23½ 27. 22¾-24, ⸝ 19¾

Dezember 1959
Beobachter: *Observatorium*

Säntis

$\lambda = 9°\,21'$, $\beta = 47°\,15'$,
$H_b = 2500.1$ m, $G = -0.29$ mm

Tag	Lufttemperatur					Luftdruck			Relative Feuchtigkeit			Windrichtung und Stärke			Bewölkung			Niederschlag	Witterung
	7^{30}	13^{30}	21^{30}	Mittel	Abweich. vom Normalst	7^{30}	13^{30}	21^{30}	7^{30}	13^{30}	21^{30}	7^{30}	13^{30}	21^{30}	7^{30}	13^{30}	21^{30}		
1	4.3	3.2	2.7	3.4	3.0	**544.9**	546.0	549.0	80	72	89	SW 4	SE 4	SSE 3	4	9	1	.	⸗ n-p 40
2	-0.9	**1.0**	-0.6	-0.2	6.3	552.6	554.3	556.2	71	71	74	S 3	SSW 2	W 2	3	8	1	.	35
3	-2.4	0.1	-2.7	-1.7	4.8	556.4	555.7	553.7	83	68	90	W 2	WSW 2	W 2	1	1	4	8.9	✳ n (3./4.) 30
4	-8.8	-10.8	-10.4	-10.0	-3.4	551.9	551.9	552.7	100	100	100	N 2	W 3	W 2	10≡*	10⁻*	10≡*	15.6	✳ n-n mU, ≡ ⋁ n-n 40
5	-11.9	-10.7	-11.6	-11.4	-4.7	553.6	554.7	555.7	100	100	100	W 2	W 2	N 1	10≡	10≡	8	0.3	✳ 10¾-12, 14¾-16½,*) 62
6	**-12.3**	-6.2	-7.7	-8.7	-1.9	554.8	554.7	554.1	98	68	65	E 2	S 1	WSW 1	0	1	1	.	≡ 7-8 mU 63
7	-6.8	-3.4	-5.1	-5.1	1.8	551.1	550.5	550.7	54	38	100	SW 2	W 2	SW 3	4	9	10≡*	0.0	✳ ≡ ⋁ 20½-n, ⊕ a-p 55
8	6.4	-5.2	-9.8	-7.1	-0.2	548.8	548.9	550.7	89	98	100	S 3	SE 2	W 3	9	9	10≡*	12.7	✳ ≡ ⋁ ⇢ 14-n 55
9	-10.6	-9.4	-10.2	-10.1	-3.1	553.9	555.0	555.3	100	86	63	W 3	WSW 2	S 2	10⁻*	1	1	0.0	✳ ≡ ⋁ n-7½, ⇢ n-8 71
10	-5.4	-3.3	-3.4	-4.0	3.1	555.3	554.8	553.8	84	86	93	SW 3	SW 4	SE 4	9	9	9	0.0	⸗ a-n 65
11	-3.9	-4.9	-6.1	-5.0	2.2	550.8	552.1	554.2	98	72	84	SW 3	SW 3	S 3	10	3	5	.	✳ 7-7½ 55
12	-5.4	-3.4	-5.0	-4.6	2.6	556.8	557.8	558.5	85	74	75	SE 2	SE 2	NE 2	5	3	1	.	50
13	-8.6	-8.4	-9.0	-8.7	-1.4	558.4	558.7	559.2	100	96	85	NE 3	NNE 3	NNW 2	9	9	1	.	≡ 8-12½ mU, ⊕ 13½ 46
14	-10.7	-5.6	-6.4	-7.6	-0.2	558.9	558.6	557.7	94	43	**22**	WSW 2	SSE 1	E 2	1	1	0	.	40
15	-6.9	-6.7	-6.4	-6.7	0.7	557.1	557.6	558.3	27	48	35	W 2	NW 1	W 1	0	1	0	.	38
16	-8.7	-5.2	-6.0	-6.6	0.9	558.1	558.5	560.3	56	37	37	WSW 2	WSW 2	W 2	0	0	0	.	35
17	-6.4	-4.0	-5.3	-5.2	2.4	561.5	561.6	560.4	46	37	82	WSW 2	SSW 2	W 4	0	1	5	0.8	✳ n (17./18.), ⸗ p-n 35
18	-5.3	-8.4	-10.2	-8.0	-0.4	557.4	555.6	558.0	100	100	100	W 3	W 4	W 3	10≡*	10≡*	10≡*	19.3	✳ ≡ ⋁ ⇢ n-n, ⸗ a-p 37
19	-10.1	-10.3	-11.4	-10.6	-2.9	560.6	561.6	562.0	100	100	100	W 2	WNW 3	W 3	10≡*	10≡*	10≡	5.6	✳ n-14, ≡ ⋁ n-n ⊠
20	-4.4	-2.6	-4.0	-3.7	4.0	561.7	561.0	558.1	100	97	76	W 3	W 3	WSW 2	10≡	9	1	7.5	✳ n (20./21.), ≡ ⋁ n-12½ ⊠
21	-6.1	7.3	-9.4	-7.6	0.2	553.4	551.2	550.7	100	100	100	W 3	WNW 3	NW 2	10≡*	10≡*	10≡*	18.6	✳ ≡ ⋁ n-n, ⇢ 11-19½ ⊠
22	-11.6	-9.4	-11.3	-10.8	-3.0	552.7	553.6	553.7	100	100	100	NW 2	WNW 2	W 3	10⁻*	10≡*	1	1.2	✳ n-13¾, ≡ ⋁ n-16½ ⊠
23	-4.9	-4.6	-6.7	-5.4	2.4	552.9	552.4	549.1	100	99	96	W 4	W 2	SW 3	10≡*	10≡*	10	13.8	✳ 7-19, ≡ ⋁ 6¾-19, ⸗ 1 ⊠
24	-8.0	-9.2	-10.4	-9.2	-1.3	548.6	548.7	549.9	100	100	100	NW 2	NNW 3	W 3	10⁻*	10⁻*	10≡*	**25.5**	✳ ≡ ⋁ n-n, ⇢ 15¾-n ⊠
25	-9.0	-8.6	-8.7	-8.8	-0.9	553.7	555.6	556.6	100	96	51	W 4	W 4	W 4	10≡*	10	10	6.6	✳ n-8, ≡ ⋁ n-15¾, *) 157
26	-2.4	-3.9	-3.6	-3.3	4.6	555.0	557.1	555.8	100	100	100	W 4	W 4	W 4	10≡*	10≡*	10≡*	7.1	✳ n-17, 19½-n, *) 165
27	-7.3	-6.9	-7.1	-7.1	0.9	554.3	552.8	549.9	100	82	100	W 4	WSW 2	W 3	10⁻*	1	10≡*	6.3	✳ n-7½, 19¾-n, ≡ n-7½,*) 176
28	-10.8	-9.3	-8.9	-9.7	-1.7	549.0	548.7	552.1	96	100	100	SW 3	WSW 4	W 4	9	10≡*	10≡*	25.4	✳ ≡ ⋁ n-6¾, 8¼-n, *) 182
29	-9.4	-8.8	-11.4	-9.9	-1.9	557.8	559.4	559.0	100	100	58	NW 2	NW 3	W 3	10⁻*	10⁻*	9	23.4	✳ n-8½, 11¾-16¾ mU, *) 212
30	2.8	-3.7	-3.9	-3.5	4.6	560.1	561.9	565.9	100	100	100	W 6	W 5	W 3	10⁻*	10≡	10≡	9.5	✳ n-p mU, ≡ ⋁ n-n, ⸗ n-p 237
31	-2.4	-2.0	0.7	-1.2	6.9	**567.0**	566.8	565.6	91	61	51	NW 3	N 2	SE 2	1	9	6	.	240
																		Summe	
Mittel	-7.0	-5.9	-6.9	-6.6	—	555.1	555.4	555.7	89	82	81				6.9	6.9	5.9	208.1	

*) 5. ≡ n-n mU, ⋁ n-n 25. ⸗ n-n mU 26. ≡ ⋁ ⸗ ⇢ n-n, ⸗ 10½ 27. 20¼-n, ⋁ n-7½, ⸗ n-a 28. ⸗ ⇢ 8¾-n 29. ≡ ⋁ n-16¾, ⸗ p

Dezember 1959
Beobachter: *E. Chiesa*

St. Gotthard (Hospiz)

$\lambda = 8°\,34'$, $\beta = 46°\,33'$,
$H_b = 2095$ m, $G = -0.27$ mm

1	4.4	-3.1	-2.6	-3.4	2.2	**574.1**	575.3	577.8	98	94	99	SE 3	SE 3	SE 2	10≡	10≡	10≡	24.5	✳ n-n mU, ≡ n-n, ⸗ n-p 230
2	-1.7	0.3	-1.9	-1.1	4.6	581.3	583.2	584.6	98	97	73	SE 0	SE 1	SE 0	10	10 *	0	.	✳ 13-13½, ≡ a-14 245
3	-2.0	1.4	-0.8	-0.5	5.3	585.0	585.3	583.6	75	88	92	NW 0	SE 1	SE 0	0	10	10⁻*	17.6	✳ 14½-n mU, ≡ 14¾-n 230
4	-6.8	-7.3	-8.0	-7.4	-1.5	581.0	580.8	581.2	91	94	95	NW 3	NW 3	NW 3	10⁻	10≡	10≡	12.0	✳ n-n mU, ≡ ⸗ n-n, ⋁ III 235
5	-8.7	-8.0	-9.0	-8.6	-2.7	582.4	582.3	583.5	95	96	95	NW 3	NW 3	NW 3	10≡	10≡	10*	0.6	✳ n-a, ≡ ⸗ n-n 235
6	**-12.2**	-6.2	-9.2	-9.2	-3.2	584.0	583.6	583.5	93	84	85	NW 1	SE 0	SE 1	0	0	0		235
7	-8.2	-7.5	-7.9	-7.9	-1.8	581.7	581.0	581.1	84	84	85	SE 2	NW 2	SE 2	10	10≡*	10⁻*	6.1	✳ ≡ 10½-n 235
8	-6.0	-4.6	-6.9	-5.8	0.4	578.4	578.3	580.4	83	90	92	SE 2	SE 1	NW 1	10⁻*	10≡*	10⁻*	11.7	✳ ≡ n-n 245
9	-8.6	-4.8	-7.8	-7.1	-0.9	583.8	584.9	586.3	87	65	84	NW 0	SE 0	SE 2	0	0	6	2.6	✳ n (9./10.) 260
10	-6.6	-2.6	-4.6	-4.6	1.7	586.3	586.0	583.0	99	85	98	SE 2	SE 0	SE 2	10≡	10≡	10≡	39.6	✳ n-n mU, ≡ n-n 255
11	-6.0	-4.8	-5.0	-5.3	1.1	580.3	581.5	583.5	99	98	99	SE 3	SE 2	SE 3	10≡	10⁻	10≡	19.6	✳ ⸗ n-n mU, ≡ n-n 300
12	-4.1	-2.0	-4.8	-3.6	2.8	585.4	586.4	586.7	99	99	98	SE 2	SE 1	NW 0	10≡	10≡	0	1.9	✳ n-p mU, ≡ n-17¾ 315
13	-7.6	-7.5	-9.2	-8.1	-1.6	586.7	586.9	587.9	99	90	95	NW 2	NW 3	NW 2	10≡	10⁻	10⁻	2.9	✳ n-n mU, ≡ n-n, ⋁ ⸗ a-n mU 305
14	-10.0	-5.3	-9.2	-8.2	-1.7	588.1	587.8	587.0	81	51	40	NW 0	NW 1	NW 0	0	0	0	.	290
15	-10.6	-4.6	-7.2	-7.5	-0.9	586.6	586.7	587.2	52	38	**37**	NW 0	NW 0	NW 1	0	0	0	.	280
16	-9.0	-4.6	-7.8	-7.1	-0.5	587.4	588.3	590.0	39	41	46	NW 0	SE 0	SE 1	0	0	0	.	270
17	-8.8	-3.8	-8.4	-7.0	-0.4	591.0	591.7	591.3	45	52	61	SE 0	SE 0	SE 0	0	0	0	.	260
18	-8.0	-6.0	-7.4	-7.1	-0.4	586.9	585.8	587.0	65	99	92	SE 0	NW 2	NW 3	3	10≡*	10	13.2	✳ 12-n, ≡ 11¾-n, ⇢ ⸗ 14½-n 250
19	-7.4	-6.8	-9.0	-7.7	-1.0	588.6	591.3	592.1	99	98	96	NW 3	NW 2	NW 1	10≡	10	10≡	2.6	✳ ≡ n-n mU, ⸗ n-a 260
20	-3.6	-0.9	-7.8	-4.1	2.6	592.1	591.4	589.1	96	68	69	NW 0	SE 0	SE 1	10	9	0	1.8	✳ n (20./21.) 250
21	-6.8	-5.0	-7.2	-6.3	0.5	583.9	581.4	580.1	99	97	92	SE 2	SE 1	NW 0	10≡*	10≡*	10≡*	8.9	✳ ≡ n-n 250
22	-8.0	-7.0	-9.0	-8.0	-1.2	581.0	583.2	584.4	99	98	92	NW 3	NW 2	NW 1	10≡	10≡	0	2.4	✳ ≡ ⋁ n-18½, ⸗ n-a 250
23	-6.6	-6.0	-7.2	-6.6	0.2	584.3	583.7	580.6	56	81	99	SE 1	SE 2	SE 2	10	10≡*	10⁻*	6.9	✳ ≡ 11¾-n mU 250
24	-6.8	-6.3	-8.0	-7.0	-0.1	577.7	577.5	578.9	99	98	97	NW 2	NW 3	NW 2	10≡*	10⁻*	10≡*	5.6	✳ ≡ n-n, ⸗ ⇢ a-p 255
25	-6.6	-4.2	-5.4	-5.4	1.5	583.8	585.8	588.3	96	67	65	NW 1	SE 0	SE 1	10≡	0	10	9.2	✳ n (25./26.), ≡ n-8¾ 255
26	-6.4	-4.2	-5.0	-5.2	1.7	588.1	588.7	586.9	95	98	99	SE 2	SE 2	SE 2	10≡	10≡*	10≡*	18.7	✳ ≡ ⇢ n-n 265
27	-3.7	-1.2	-4.6	-3.2	3.7	585.1	582.8	580.4	99	56	99	NW 1	SE 0	SE 0	10≡	0	10≡*	3.9	✳ 20-n, ≡ n-8¾, p-n 285
28	-7.6	-3.9	-5.7	-5.7	1.3	579.3	580.3	581.7	92	80	97	NW 1	NW 0	NW 2	6	10≡*	10≡*	**41.8**	✳ ≡ 11¾-n 285
29	-6.1	-5.7	-5.1	-5.6	1.4	586.4	588.9	589.5	98	92	64	NW 2	NW 2	NW 1	10⁻*	10≡*	10≡	11.7	✳ n-13¾, ≡ n-n 320
30	-2.2	1.0	-2.8	-2.0	5.0	590.6	592.7	594.8	65	99	92	NW 1	NW 2	NW 3	0	10≡	0	22.1	✳ a-p mU, ≡ 12¾-20, ⸗ p-n 310
31	-1.0	**3.2**	1.2	1.1	8.1	595.3	**595.7**	594.1	56	45	42	NW 2	NW 1	SE 0	0	0	0	.	310
																		Summe	
Mittel	-6.5	-4.2	-6.2	-5.6	—	584.7	585.1	585.4	85	81	83				6.7	7.1	6.3	287.9	

Ergänzende Witterungsnotizen zu den Tabellen Seite 1—72

Januar

Bern: Neuschnee: 4. 1 cm, 5. 5 cm, 6. 4 cm, 8. 1 cm, 9. 3 cm, 10. 8 cm, 11. 13 cm, 12. 2 cm, 13. 2 cm, 14. 1 cm, 17. 3 cm. — **Neuchâtel:** Neuschnee: 5. 15 cm, 6. 5 cm, 9. 1 cm, 10. 12 cm, 11. 9 cm, 12. 5 cm, 13. 5 cm, 14. 1 cm. **Altdorf:** Neuschnee: 4. 6 cm, 5. 9 cm, 9. 4 cm, 10. 2 cm, 11. 4 cm, 12. 1 cm, 13. 2 cm, 14. 3 cm, 17. 1 cm. — Föhn: 19. 19^h — 21. 5^h, 21. 12^{h15} — 13^h10, 21. 18^h — 23. 2^{h15}. — **Genève:** Neuschnee: 6. 5 cm, 9. 2 cm, 10. 4 cm, 14. 3 cm. — **Zürich:** Neuschnee: 4. 4 cm, 5. 8 cm, 6. 2 cm, 8. 1 cm, 9. 3 cm, 10. 6 cm, 11. 20 cm, 12. 5 cm, 13. 2 cm, 14. 3 cm, 16. 4 cm, 17. 1 cm. — Gewitter: 4. ⊠ 15^{h30}. **Chasseron:** Neuschnee: 1. 7 cm, 3. 15 cm, 4. 8 cm, 5. 10 cm, 8. 20 cm, 9. 5 cm, 10. 10 cm, 11. 4 cm, 12. 1 cm, 13. 3 cm, 14. 4 cm, 16. 5 cm, 24. 8 cm. — **Bever:** Neuschnee: 3. 2 cm, 4. 1 cm, 5. 1 cm, 7. 1 cm, 21. 1 cm, 22. 1 cm. — **Sion:** Neuschnee: 3. 1 cm, 4. 3 cm, 5. 4 cm, 6. 10 cm, 7. 8 cm, 8. 1 cm, 9. 4 cm, 10. 3 cm, 13. 1 cm, 14. 7 cm, 16. 1 cm. — **Lugano:** Neuschnee: 7. 2 cm. — Nordföhn: 3. Nm — 5. abd, 8. 12^h — 9. abd, 16. 13^h—17. abd, 24, 15^h—26. Vm. — **Basel:** Neuschnee: 5. 5 cm, 10. 2 cm, 11. 6 cm, 13. 1 cm, 16. 2 cm, 17. 1 cm. — **Säntis:** Neuschnee: 2. 15 cm, 3. 6 cm, 4. 32 cm, 5. 42 cm, 6. 7 cm, 7. 15 cm, 8. 15 cm, 9. 53 cm, 10. 21 cm, 11. 22 cm, 12. 7 cm, 13. 11 cm, 14. 9 cm, 15. 4 cm, 16. 6 cm, 17. 15 cm, 21. 1 cm, 22. 2 cm, 23. 3 cm, 24. 15 cm, 25. 10 cm, 26. 1 cm. — Schneegrenze: 2. 1000 m, 4. Bodensee, 7. 500 m, 25. Bodensee, 27. Bodensee, 28. 500 m. — **Gotthard:** Neuschnee: 4. 5 cm, 5. 15 cm, 7. 18 cm, 8. 10 cm, 9. 10 cm, 10. 5 cm, 11. 7 cm, 13. 2 cm, 14. 4 cm, 15. 6 cm, 16. 2 cm, 17. 30 cm, 20. 1 cm, 21. 20 cm, 22. 15 cm, 23. 5 cm, 24. 2 cm, 25. 10 cm, 26. 10 cm.

Februar

Altdorf: Neuschnee: 22. 1 cm. — **Chasseron:** Neuschnee: 22. 1 cm. — **Bever.** Neuschnee: 22. 1 cm. — **Lugano:** Neuschnee: 2. 3 cm, 3. 2 cm. — Nordföhn: 21. 15^h — 23. Vm. — **Säntis:** Neuschnee: 1. 1 cm, 2. 1 cm, 10. 1 cm, 11. 1 cm, 21. 1 cm, 22. 26 cm, 23. 22 cm. — Schneegrenze: 4. 550 m, 6. 600 m, 8. 650 m, 13. 700 m, 15. 700 m, 17. 700 m, 20. 700 m, 23. 700 m, 28. 800 m. — **Gotthard:** Neuschnee: 1. 6 cm, 2. 5 cm, 3. 3 cm, 5. 5 cm, 22. 5 cm, 23. 4 cm.

März

Altdorf: Föhn: 2. 14^h — 4. 19^h, 5. 16^h — 6. 21^{h55}, 9. 15^{h40} — 10. 12^{h30}, 17. 2^{40} — 10^{h30}, 17. 21^h — 18. 5^{h50}, 18. 6^{35} — 8^{h95}, 18. 11^{h40} — 19. 2^h, 20. 15^{h15} — 22. 4^{h30}. — **Genève:** Neuschnee: 17. 1 cm. — **Chasseron:** Neuschnee: 7. 10 cm, 8. 8 cm, 12. 8 cm, 13. 14 cm, 17. 2 cm, 19. 3 cm, 25. 1 cm, 26. 10 cm. — **Bever:** Neuschnee: 5. 1 cm, 8. 9 cm, 11. 2 cm, 12. 1 cm, 19. 1 cm, 31. 7 cm. — **Lugano:** Nordföhn: 8. 10^{30}—14^{h30}, 13. 10^{h30} — n. — **Säntis:** Neuschnee: 8. 12 cm, 9. 1 cm, 11. 1 cm, 12. 2 cm, 13. 18 cm, 14. 15 cm, 15. 1 cm, 16. 1 cm, 23. 1 cm, 24. 1 cm, 26. 7 cm, 27. 4 cm, 28. 1 cm, 29. 16 cm, 30. 11 cm, 31. 20 cm. — Schneegrenze: 2. 900 m, 5. 1000 m, 6. 1200 m, 9. 1100 m, 11. 1200 m, 15. 1200 m, 21. 1400 m, 23. 1500 m, 25. 1500 m, 26. 1400 m, 30. 1400 m. — **Gotthard:** Neuschnee: 4. 1 cm, 5. 10 cm, 6. 4 cm, 7. 12 cm, 8. 8 cm, 13. 5 cm, 14. 3 cm, 17. 14 cm, 18. 8 cm, 19. 2 cm, 26. 25 cm, 27. 2 cm, 29. 2 cm, 30. 3 cm.

April

Neuchâtel: Gewitter: 28. (⊠) SSW 16 — 16^{h30}. — **Altdorf:** Gewitter: 18. ⊠ 17 — 17^{h05}. — Föhn: 8. 13^{45} — 23^{h55}, 13. 17^h25 — 14. 7^{h30}, 14. 14^{h40} — 15. 6^{h30}, 16. 0^{50} — 20^h, 26. 1—22^{h50}. — **Genève:** Gewitter: 28. ⊠ ▲ 17^{h50}, ▲ 18^{h10}. — **Zürich:** Gewitter: 7. ⊠ 14^{h16}. — **Chasseron:** Neuschnee: 7. 1 cm, 9. 1 cm, 10. 8 cm, 11. 7 cm, 16. 1 cm, 17. 4 cm, 20. 2 cm, 30. 2 cm. — Gewitter: 28. ⊠ 15^{30} — 15^{h40}. — **Bever:** Neuschnee: 10. 1 cm. — Gewitter: 30. ▲ 10^h. — **Lugano:** Gewitter: 10. ⊠ 13 — 13^h15, ▲ 13^{05} — 13^{h07}, ▲ 13^{h15}, (⊠) 14 — 14^h25. — Nordföhn: 6. Nm, 7. 15^{h30} — n, 9. Nm — n, 19. 8^{h30} — 20. n. — **Basel:** Gewitter: 18. (⊠) 16^{h15}. — **Säntis:** Neuschnee: 1. 1 cm, 7. 15 cm, 8. 26 cm, 10. 14 cm, 11. 22 cm, 12. 12 cm, 17. 1 cm, 18. 1 cm, 19. 26 cm, 20. 46 cm, 21. 8 cm, 22. 5 cm, 27. 1 cm, 29. 1 cm. — Schneegrenze: 1. 800 m, 5. 1500 m, 10. 800 m, 12. 1300 m, 21. 800 m, 23. 1000 m, 26. 1500 m, 28. 1600 m, 29. 1700 m. — Gewitter: 16. (⊠) NE 21^{h30}. — **Gotthard:** Neuschnee: 7. 2 cm, 8. 20 cm, 9. 15 cm, 10. 25 cm, 11. 2 cm, 17. 17 cm, 18. 3 cm, 19. 5 cm, 20. 2 cm, 27. 6 cm, 28. 13 cm, 29. 8 cm, 30. 25 cm.

Mai

Bern: Gewitter: 11. ⊠ 15^{10} — 16^{h15}, ▲ 15^{10} — 15^{h35}, (⊠) 17 — 20^{h15}, ⊠ 19^{h10}, 15. Nah ⊠ W 8^{15} — 8^{h30}, 21. (⊠) SE 16^{50} — 18^{h30}. — **Neuchâtel:** Gewitter: 11. (⊠) NW 18 — 18^{h45}, 12. ⊠ N→S 11^{30} — 12^{h30}. — **Altdorf:** Gewitter: 12. ⊠ 15^{25} — 16^{h15}, 13. (⊠) E 15^{h25}. — Föhn: 7. 14^{30} — 21^{h50}, 8. 2 — 2^{h40}, 8. 15^{h15} — 10. 8^{h20}, 10. 9^{25} — 19^{h30}, 20. 21^h — 21. 21^{h30}. — **Genève:** Gewitter: 11. ≺ SW 22^h, 21 (⊠) 18^{h20}. — **Zürich:** Gewitter: 11. Nah-⊠ 18^{55} — 19^{h15}, 12. ⊤W 8^{h45}, (⊠) W 9^{05} — 9^{h48}, 14. (⊠) 15^{h24}, 18. (⊠) SSW—SE 30 km 15^{18} — 16^{h25}, Nah-⊠ NE 15^{50} — 16^{h40}, 19. (⊤) S 15^{04} — 15^{h20}, 30. ⊤ 12^{h55}, (⊠) SE Albiskette 14^{30} — 15^{h15}. — **Chasseron:** Neuschnee: 1. 10 cm, 2. 3 cm, 3. 2 cm, 31. 15 cm. — Gewitter: 11. (⊠) Jorat 15^h, ≺ W 20^{h30}, 12. ⊠ 12^{40} — 13^{h05}, Nah-⊠ 3 km 15^{15} — 15^{h45}, 14. (⊠) Neuchâtel 13^{h30}, (⊠) Besançon 18^{15} — 19^{h30}, 17. (⊠) N 80 — 100 km 15 — 15^{h40}, 19. (⊠) Pontarlier 12^{30} — 13^{h15}, ⊠ 17 — 19^{h30}, 21. (⊠) Dijon 15 — 16^h, ⊠ 19 — 20^h. — **Bever:** Neuschnee: 2. 5 cm. — **Sion:** Gewitter: 11. ≺ N 19^h, 12. (⊠) Rawil 13^{30} — 14^{h15}. — **Lugano:** Gewitter: 9. (⊠) 16^{25} — 16^{h55}, ⊠ 20 — 20^{h30}, 12. ⊤ 18^h, 17. (⊠) S 15^{h35}, 19. (⊠) NE→NW 9 — 9^{h10}, 28. ⊠ 16^{20} — 16^{h50}, ⊠ 20^{h55}, 29. (⊠) S→ESE 13^{45} — 14^{h20}. — Nordföhn: 14. d.g.T., 30. 20^h — n. — **Basel:** Gewitter: 8. (⊠) NE 21^{h20}, 10. ≺ SE 22^{h30}, 11. (⊠) 5 km 0^{h30}, (⊠) NE 17^{h04}, (⊠) E 6 km 19^{15} — 20^h, 12. (⊠) NNE 8 km 12^{50} — 13^{h10}, (⊠) SW 14^{03} — 14^{h45}, 19. (⊠) S 4 — 5 km 14^{59} — 16^h, 21. (⊠) SW → E 5 km 15^{18} — 16^{h20}. — **Säntis:** Neuschnee: 1. 12 cm, 2. 36 cm, 3. 11 cm, 15. 19 cm, 16. 1 cm, 30. 7 cm, 31. 1 cm. — Schneegrenze: 4. 1100 m, 16. 1500 m, 19. 2000 m, 23. 2200 m, 28. 2300 m, 30. 1800 m. — Gewitter: 8. ≺ NE 21^h, 10. (⊠) E 18 km 18^{15}—19^{h20}, 11. ⊠ 14 — 15^{h30}, (⊠) 10 km 15^{45} — 16^{h45}, ⊠ 17 — 18^{h15}, ▲ 17^{25} — 17^{h50}, 12. (⊠) SE und SW 13^h, ⊠ 13^{45} — 15^{h15}, ▲ 13^{45} — 15^{h15}, 17. (⊠) NW 17^{h45}, ≺ N 21^{h30}, 18. (⊠) NW 14 — 14^{h45}, 19. (⊠) NE→SE 14^{30} — 16^{h30}, 21. ⊠ 22 — 22^{h30}. — **Gotthard:** Neuschnee: 1. 3 cm, 2. 2 cm, 15. 5 cm, 16. 2 cm.

Juni

Bern: Gewitter: 5. (⊠) SE 10 — 15 km 15^{h30}, 6. ⊤ 18^{h45}, ⊠ 18^{52} — 19^{h35}, ≺ 21^{h15}, 7. (⊠) 14^{30} — 16^{h40}, ⊠ 16^{40} — 17^{h30}, (⊠) NE 17^{30} — 19^h, 18. ⊠ 0^{26} — 0^{h50}, (⊠) 13^{10} — 13^{h28}, ⊠ 13^{28} — 13^{h40}, 19. (⊠) 18 — 20^h, 20. (⊠) SE — NE 19^{10} — 21^{h10}, (⊠) N 5 — 10 km 22 — 23^{h15}, 21. (⊠) 19^{10}—23^h, 22. (⊤) 15^{h05}, 25. (⊠) NE 15^{50}—16^{h10}, 30. ⊠ 14^{30}—15^{20}, 15 — 16^h. — **Neuchâtel:** Gewitter: 5. (⊠) W — NE 12^{30} — 13^{h45}, ⊠ E — W 17^{45} — 19^h, 7. (⊠) SE — SW 15 — 16^{h30}, 17. (⊠) NNW 16 — 16^{h30}, (⊠) SW 23 — 24^h, 18. ⊠ 11 — 13^h, 19. (⊠) N 14 — 17^h, 21. (⊠) 11^{20} — 12^{h40}, (⊠) 18 — 19^h, 22. Nah-⊠ 13^{07} — 13^{h25}, 24. (⊠) N 13 — 14^{h30}, 25. (⊠) W — N 10 — 15 km 14^{05} — 14^{h30}. — **Altdorf:** Gewitter: 5. ⊠ W→SE 10^{40} — 11^{35}, 17. ⊠ W→E 20^{10} — 21^{h05}, 18. (⊠) N 15^h, 19. ⊠ 21^{h30}, 24. (⊠) W 15^h, 25. ⊠ 1^{10} — 1^{h30}, (⊠) W 12^h. — Föhn: 19. 21^{10} — 21^{h45}, 21. 12^{15} — 17^{h10}. — **Genève:** Gewitter: 17. ⊠ 22^{h35}, 19. ⊠ abd, 24. (⊠) Nm, (⊠) 24^h, 26. ⊠ 7^{h30}. — **Zürich:** Gewitter: 7. (⊠) 0^{h40}, Nah-⊠ 19^{43} — 20^{h15}, (⊠) 20^{h15} — 8. 3^h, 18. ⊠ etwa 2^h, 19. ⊠ 23^{30} — 23^{h45}, 21. ⊤ SE 15^{h30}, Nah-⊠ 16 — 16^{h21}, 25. (⊠) NE 9^{22} — 9^{h35}, (⊠) 9^{h50}, Nah-⊠ 10^{43} — 11^{h05}, 29. (⊠) Albispaß—Stäfa 16^{55} — 17^{h55}, 30. Nah-⊠ 11 — 12^{h20}, Nah-⊠ 13^{15} — 13^{h20}, Nah-⊠ 15^{30} — 16^h. — **Chasseron:** Gewitter: 5. ⊠ 12 — 13^h, Nah-⊠ SSW 16^{h20}, 6. Nah-⊠ W 3 km 19^{20} — 20^h, 17. (⊠) S 3 km 16 — 17^{h15}, (⊠) Bulle 17^{h30}, 18. (⊠) Mt. Aubert 11^{15} — 12^{h30}, ≺ Dijon

21^{h30}, **19.** (☒) NE 4 km 13^{15} — 14^{h30}, (☒) Besançon 17^{30} — 18^{h30}, **20.** (T) 12^{15} — 14^{h}, (☒) 15 km Salin 13^{30} — 17^{h}, **21.** ☒ 13^{15} — 14^{h30}, **22.** ☒ 16^{45} — 17^{h20}, **23.** (☒) Suchet 17^{30} — 18^{h}, (☒) Yverdon 20 — 20^{h45}, **24.** ☒ 12^{30} — 13^{h}, ☒ 15^{15} — 15^{h40}, **25.** (☒) W 12^{h30}, (☒) SSW 16 — 16^{h45}, **26.** ☒ 4^{30} — 5^{h30}, **29.** (☒) 16 — 16^{h15}. — **Bever:** Gewitter: **19.** < 21^{h}, ☒ 22^{45} — 23^{h05}, **29.** ☒ 7 — 8^{h30}. — **Sion:** Gewitter: **5.** ☒ 13 — 15^{h}, **19.** (☒) Toute la vallée 19 — 20^{h30}. — **Lugano:** Gewitter: **2.** (☒) SW 18^{30} — 18^{h40}, **6.** ☒ 1^{30} — 2^{h30}, **7.** (☒) S — NE 21^{50} — 23^{h20}, **9.** (☒) SW 6^{55} — 7^{h05}, (☒) SW 11^{25} — 14^{h35}, **17.** ☒ 1^{h}, **19.** (☒) SE — NE 19^{55} — 20^{h40}, **20.** (☒) S — SSE 9^{40} — 10^{h10}, **21.** (☒) E 9 — 9^{h35}, ☒ 13^{15} — 14^{h15}, **24.** (☒) 3^{30} — 3^{h50}, ☒ 17^{25} — 18^{h45}, (☒) 19^{15} — 21^{h30}, **26.** ☒ 10^{15} — 10^{h45}, ☒ 18^{30} — 19^{h30}, **28.** ☒ 21^{15} — 22^{h30}, **29.** ☒ 6^{h55}, (☒) 13^{55} — 15^{h}. — Nordföhn: **9.** abd — **12.** abd, **14.** Vm, **29.** 16^{h30} — **30.** abd. — **Basel:** Gewitter: **5.** (☒) NW 6 km 18^{45} — 20^{h30}, **6.** (☒) N 20^{35} — 20^{h50}, **17.** (☒) S 6 km 17^{42} — 17^{h50}, **18.** (☒) SE 7 km 7^{h15}, (☒) 8^{h37}, (☒) S 13^{h05}, ☒ 13^{28} — 14^{h40}, **19.** < E 21 — 21^{h40}, **20.** < SE 20^{h30}, **21.** Nah-☒ SW → NE 2 km 14 — 14^{h50}, Nah-☒ SW → NE 2 km 18^{40} — 19^{h30}, **22.** (☒) NE 17^{h30}, **23.** (☒) W 10 km 15^{h58}, **24.** < S 22^{30} — 24^{h}, **25.** (☒) S 5 km 7^{47} — 9^{h06}, (☒) 6 km 9^{14} — 10^{h}, (☒) SW 13^{h15}, **26.** Nah-☒ SW → E 2 km 13^{15} — 14^{h15}, (☒) S → E 5 km 15 — 15^{h25}, **29.** (☒) NW 19 — 19^{h15}, **30.** (☒) NNW → E 15^{13} — 15^{h40}. — **Säntis:** Neuschnee: **1.** 1 cm, **10.** 8 cm, **11.** 10 cm, **12.** 15 cm, **13.** 6 cm, **14.** 5 cm, **30.** 9 cm. Schneegrenze: **11.** 1800m. Gewitter: **5.** (☒) S 12^{h30}, **7.** (☒) S 11^{h}, (☒) NW 13^{h}, **11.** ☒ 13^{05} — 13^{h15}, **17.** (☒) S 22^{h30}, **18.** (☒) S 16^{10} — 17^{h15}, **19.** (☒) S 21^{h30}, < NW 21^{h30}, **20.** (☒) SW und SE 21^{h30}, **21.** (☒) N 21^{h30}, **23.** (☒) N 16^{35} — 17^{h}, **24.** (☒) S 14^{25} — 14^{h40}, (☒) SE 16^{h}, **25.** ☒ 11^{35} — 12^{h30}, **29.** Nah-☒ SE 22^{30} — 22^{h40}. — **Gotthard:** Neuschnee: **10.** 1 cm, **12.** 2 cm, **30.** 2 cm.

Juli

Bern: Gewitter: **10.** (☒) S — SE 22^{h30} — **11.** 2^{h30}, ☒ 19^{55} — 20^{h50}, < 20^{50} — 24^{h}, **12.** (☒) NNW 18^{h30}, **28.** ☒ 21^{40} — 21^{h45}, **29.** ☒ 1^{h07}, (☒) 20 — 20^{h45}, **31.** (☒) 14^{50} — 15^{h40}. — **Neuchâtel.** Gewitter: **11.** ☒ 15^{h30}, ☒ 18^{h15}, (☒) soir, **12.** ☒ 14 — 14^{15}, ☒ 16^{45} — 18^{h}, ☒ 18^{45} — 19^{h}, ▲ 17^{h55}, **25.** ☒ 12^{h10}, **28.** ☒ 22^{h10}, **29.** (☒) SW — NE $1^{}$ — 3^{h}, ☒ 2 — 2^{h15}, (☒) N 19^{30} — 20^{h30}. — **Altdorf:** Gewitter: **6.** ☒ 7^{h30}, **11.** ☒ 2^{15} — 4^{h}, ☒ W → E 15^{50} — 18^{h30}, **12.** ☒ NW → SE 16^{25} — 17^{h40}, **20.** ☒ E 16^{h}, **28.** ☒ 15^{05} — 15^{h10}. — Föhn: **11.** 2^{50} — 3^{h30}. — **Genève:** Gewitter: **10.** (☒) 21^{h30}, **11.** (☒) 21^{h30}, **14.** ☒ 20^{20} — 24^{h}, **23.** ☒ 16^{40} — 17^{h}, **24.** (☒) 13^{h}, **28.** ☒ ▲ 20^{30} — 21^{h30}, ☒ 23^{h50} — **29.** 0^{h10}, ☒ 0^{30} — 1^{h30}. — **Zürich:** Gewitter: **6.** (☒) NW 10^{20} — 10^{h45}, Nah-☒ NW → SW 10^{45} — 11^{h25}, (☒) SW 11^{25} — 12^{h08}, (☒) E 14^{10} — 15^{h}, Nah-☒ SE 15^{h40}, **11.** < SSW 1^{h}, T N 15^{10} — 15^{h30}, T SE 16^{h30}, Nah-☒ NW 17^{30} — 20^{h30}, **12.** (☒) SW 16 — 17^{30}, ☒ 18^{h}, **24.** T 15^{h32}, T 16^{01} — 16^{15}, **25.** (☒) 14^{05} — 14^{h19}, **26.** (☒) S 15^{20} — 16^{h40}, **28.** T 17^{h02}, Nah-☒ 22^{45} — 23^{h30}, **29.** Nah-☒ 2^{10} — 2^{h30}, **31.** Nah-☒ NW → SE 12^{34} — 12^{h52}. — **Chasseron:** Gewitter: **10.** ☒ 21^{50} — 22^{h40}, ▲ 22 — 22^{h45}, **11.** ☒ 13^{40} — 15^{h30}, ▲ 14^{h30}, ☒ 16^{45} — 18^{h}, (☒) W 5 — 30 km 20 — 24^{h}, **12.** (☒) W 13^{10} — 14^{h}, **23.** (☒) W 15^{15} — 16^{h}, ☒ ▲ 18^{15} — 19^{h}, **24.** ☒ 20^{h30}, **25.** (☒) SW 15 km 21^{h30}, **28.** ☒ 21 — 22^{h30}, ▲ 21^{h}. — **Bever:** Gewitter: **10.** ☒ 16^{10} — 18^{h}, ▲ 16^{30} — 16^{h48}, (☒) SW → NE 16 — 17^{h}, **28.** < 20^{10} — 21^{h10}, (☒) 21^{10} — 21^{h50}, ☒ 21^{h50}. — **Sion:** Gewitter: **12.** 19 — 20^{h30}, **22.** < 21^{h30}, **23.** (☒) Rawil 16^{15} — 20^{h30}, **24.** ☒ 15^{55} — 17^{h30}, **28.** (☒) Sierre 18 — 18^{h40}. — **Lugano:** Gewitter: **11.** (☒) 2^{10} — 3^{h15}, ☒ 19^{15} — 21^{h}, ☒ 21^{20} — 23^{h30}, **12.** 5 — 6^{h40}, **14.** (☒) 8 — 9^{h30}, (☒) 22^{10} — 23^{h}, **15.** ☒ 3^{15} — 5^{h30}, **23.** (☒) 8^{35} — 9^{h30}, **24.** ☒ 1^{40} — 4^{h15}, **26.** ☒ 1 — 3^{h15}, **28.** ☒ 19^{35} — 21^{h45}, **29.** ☒ 18 — 19^{h30}, ☒ 20 — 20^{h50}, **30.** ☒ 3^{h15}, ☒ 17^{15} — 18^{h20}, **31.** ☒ 4^{10} — 5^{h}. — Nordföhn: **1.** Nm, **16.** d.g.T. — **Basel:** Gewitter: **6.** T SE 7^{h55}, **11.** (☒) S 5 km 11^{36} — 11^{h55}, (☒) S 8 km 16^{30} — 16^{h55}, Nah-☒ 17^{20} — 17^{h50}, (☒) S 10 — 20 km 20 — 22^{h}, **12.** (☒) S 5 km 13^{40} — 13^{h45}, (☒) S 4 km 14 — 14^{h55}, ☒ SW → NE 15 — 15^{h30}, (☒) S 18 — 18^{h30}, (☒) NW 20 — 20^{h40}, **14.** (☒) S 15 km 16^{15} — 16^{h40}, **20.** (☒) NE 12^{50} — 13^{h}, **28.** (☒) NW — NE 8 km 15^{48} — 16^{h}, **29.** (☒) S → ENE 5 km 1^{20} — 2^{h10}, **31.** (☒) 6 km 14^{48} — 15^{h25}. — **Säntis:** Neuschnee: **1.** 10 cm. — Schneegrenze: **1.** 2000 m. — Gewitter: **5.** < SE 22^{h}, **6.** (☒) 8^{09}—9^{h45}, ▲ 8^{h30}, ☒ 9^{04}—9^{h15}, (☒) 10^{40}—13^{h30}, ☒ 11^{52}—12^{h10}, (☒) 15^{37}—16^{h27}, ☒ 15^{47}—16^{h27}, **10.** < Alpen nachts, **11.** ☒ 14^{50}—17^{h15}, (☒) E 17^{h45}, **12.** (☒) NW 15^{50} — 20^{h}, ☒ 16^{55} — 20^{h}, **14.** T S 16^{15} — 18^{h15}, ☒ S → E 16^{50} — 18^{h15}, **23.** (☒) SW 18 km 21^{h30}, **26.** (☒) S 13^{h30}, ☒ NW → S 18^{45} — 19^{h20}, **28.** ☒ 15^{45} — 16^{h40}. — **Gotthard:** Gewitter: **6.** T < 12^{50} — 13^{h40}, **11.** ☒ nachts, ☒ 15 — 16^{h}, **29.** ☒ nachts.

August

Bern: Gewitter: **2.** ☒ NE → SSE 19^{05} — 19^{h40}, **8.** (☒) 16^{50} — 17^{h30}, ☒ 17^{30} — 19^{h45}, **10.** ☒ 10^{05} — 16^{h}, **11.** (☒) 16^{10} — 17^{h}, **20.** (☒) E 15^{40} — 15^{h50}, < E 21 — 22^{h}, **23.** ☒ 20 — 21^{h30}, **24.** (☒) E 21^{30} — 22^{h}. — **Neuchâtel:** Gewitter: **8.** (☒) 16^{30} — 17^{h30}, **10.** (☒) SW — NE 14^{15} — 15^{h15}, **20.** (☒) W — NE 14^{30} — 16^{h30}, **23.** (☒) NE — W 20^{30} — 23^{h}. — **Altdorf:** Gewitter: **2.** (☒) 13^{h30}, **20.** ☒ W 13 — 13^{h30}. — Föhn: **9.** 23^{h30} — **10.** 4^{h10}, 10^{20} — 16^{h25}, **20.** 14^{40} — 19^{h05}, **21.** 14^{10} — 18^{h25}, **24.** 20^{05} — 20^{h45}. — **Genève:** Gewitter: **8.** (☒) 21^{h}, **10.** ☒ 13^{30} — 15^{h20}, **20.** (☒) NW 15 — 22^{h}, ☒ 23^{h} — **21.** 2^{h}, **28.** (☒) 15^{h30}, ☒ 19^{25} — 19^{h50}. — **Zürich:** Gewitter: **8.** (☒) SSW → S 16^{40} — 18^{h}, **11.** (☒) W → NE 8 km 17^{46} — 18^{h41}, **20.** (☒) SW → W → NW 17^{33} — 18^{h30}, **23.** (☒) 23^{h30}, **24.** ☒ 0^{40} — 0^{h50}. — **Chasseron:** Gewitter: **10.** ☒ 13^{45} — 14^{h15}, **20.** (☒) 12^{h45}, **26.** < SW 21 — 22^{h}, **28.** T SSW 15 — 15^{h30}, < SSW 21 ^{h}. — **Sion:** Gewitter: **28.** Martigny-Sierre 0^{15} — 6^{h}. — **Lugano:** Gewitter: **8.** ☒ 21^{10} — 21^{h40}, **10.** ☒ 17 — 18^{h20}, **11.** (☒) 21^{15} — 22^{h40}, **15.** ☒ 4^{25} — 5^{h10}, **18.** ☒ 19^{05} — 20^{h40}, **20.** ☒ 14^{25} — 15^{h55}, **22.** (☒) 13^{h10}, ☒ 13^{20} — 14^{h30}, ☒ 15^{15} — 16^{h40}, **28.** (☒) 14^{40} — 15^{h20}, **30.** ☒ 0 — 1^{h}. — Nordföhn: **1.** Nm, **16.** 9^{h30}, **17.** 15^{h30}. — **Basel:** Gewitter: **8.** (☒) S → SE 10 km 16^{05} — 16^{h25}, (☒) 17^{h20}, ☒ SSW → NNE 18^{15} — 18^{h30}, (☒) 4,5 km 19^{20} — 19^{h40}, (☒) 20^{h15}, **9.** (☒) 12^{50} — 13^{h55}, Nah-☒ SW → NE 1 km 13^{25} — 13^{h55}, **10.** ☒ 15^{43} — 17^{h}, **11.** (☒) W → NW 15 km 15^{52} — 16^{h10}, (☒) S → E 12 km 16^{30} — 16^{h40}, < 21 — 22^{h}, **20.** (☒) SSE → E 4 km 17^{30} — 18^{h10}, **23.** (☒) SE → SW 5 km 18 — 18^{h55}, (☒) SE → SW 8 km 20^{30} — 21^{h45}, (☒) N → W 6 km 20^{50} — 21^{h45}, (☒) SE → SW 4 — 5 km 21^{55} — 22^{h30}, < S 20 — 22^{h}, **24.** (☒) 0^{50} — 1^{h30}, Nah-☒ E → W 2 km 15 — 15^{h15}, (☒) S → W 8 km 19^{15} — 20^{h}. — **Säntis:** Neuschnee: **1.** 4 cm, **17.** 1 cm. — Gewitter: **8.** (☒) NW 16^{h30}, ☒ 17^{30} — 19^{h15}, **9.** ☒ 14^{30} — 15^{h30}, **19.** (☒) SE 10 — 15 km 20^{25} — 20^{h45}, **20.** (☒) SE → WSW 25 km 11^{20} — 13^{h}, **23.** (T) 19^{05} — 19^{h20}, **24.** ☒ 16 — 18^{h20}, ▲ 16^{45} — 17^{h20}, (☒) NE → S 10 — 12 km 23 — 23^{h45}. — **Gotthard:** Gewitter: **10.** (☒) 18 — 18^{h30}, **11.** ☒ 15^{05} — 16^{h25}.

September

Bern: Gewitter: **14.** ☒ 17^{55} — 19^{h}, (☒) 19^{15} — 20^{h}, **26.** (☒) 16^{30} — 17^{h40}, ☒ 17^{40} — 19^{h30}. **Neuchâtel:** Gewitter: **17.** (☒) N 11^{40} — 12^{h30}, ☒ 16^{15} — 16^{h45}. — **Genève:** Gewitter: **17.** (☒) 12^{h}. — **Chasseron:** Gewitter: **15.** (☒) E 80 km 15^{40} — 17^{h10}, **17.** ☒ 11^{15} — 17^{h15}, **26.** < 21^{h30}. — **Sion:** Gewitter: **13.** ☒ Mont Noble 19 — 20^{h45}. — **Lugano:** Gewitter: **7.** (☒) 14^{50} — 14^{h55}. — **Basel:** Gewitter: **25.** (☒) S 10 km 16^{30} — 16^{h35}, **26.** T 16^{h25}. — **Säntis:** Gewitter: **16.** (☒) NE 21^{h30}.

Oktober

Altdorf: Neuschnee: **29.** 1 cm. — Föhn: **17.** 1^{57} — 2^{h}, **17.** 15^{h34} — **18.** 7^{h55}, **27.** 10^{45} — 21^{h40}. — **Chasseron:** Neuschnee: **20.** 8 cm, **28.** 3 cm, **29.** 12 cm, **30.** 5 cm, **31.** 2 cm. — **Bever:** Neuschnee: **29.** 40 cm, **30.** 5 cm. — **Lugano:** Nordföhn: **16.** n — 8^{h30}, **23.** 8^{30} — 15^{h30}, **28.** Nm — **30.** 19^{h}. — **Säntis:** Neuschnee: **11.** 6 cm, **12,** 2 cm, **19.** 1 cm, **20.** 1 cm, **21.** 1 cm, **28.** 6 cm, **29.** 33 cm, **30.** 88 cm, **31.** 5 cm. — Schneegrenze: **11.** 1800 m, **20.** 1800 m, **29.** 500 m. — **Gotthard:** Neuschnee: **11.** 2 cm, **20.** 4 cm, **21.** 11 cm, **27.** 1 cm, **28.** 30 cm, **29.** 40 cm, **30.** 2 cm.

November

Altdorf: Neuschnee: **15.** 1 cm. — Föhn: **12.** 2^{30} — 9^{h}, **12.** 12^{55} — 13^{h45}, **17.** 3^{h15} — **18.** 14^{h20}, **18.** 22^{h55} — **19.** 2^{h}, **19.** 3 — 6^{h10}, **19.** 8^{05} — 15^{h30}, **27.** 12^{25} — 13^{h50}, **30.** 7^{45} — 16^{h25}, **30.** 21^{h30} — n. — **Zürich:** Neuschnee: **5.** 1 cm. — **Chasseron:** Neuschnee: **5.** 2 cm, **11.** 1 cm, **12.** 12 cm, **15.** 10 cm, **16.** 6 cm. — **Bever:** Neuschnee: **11.** 10 cm, **12.** 3 cm, **13.** 17 cm, **15.** 4 cm, **16.** 43 cm, **18.** 4 cm, **19.** 5 cm, **29.** 2 cm, **30.** 15 cm. — **Lugano:** Nordföhn: **5.** 18^{h45} — n. — **Säntis:** Neuschnee: **1.** 47 cm, **2.** 3 cm, **5.** 3 cm, **6.** 8 cm, **11.** 7 cm, **15.** 24 cm, **16.** 39 cm, **17.** 8 cm. — Schneegrenze: **1.** 500 m, **4.** 600 m, **16.** 700 m, **21.** 900 m, **23.** 1000 m, **27.** 1100 m. — **Gott-**

hard: Neuschnee: 6. 5 cm, 7. 1 cm, 8. 1 cm, 12. 3 cm, 13. 30 cm, 14. 10 cm, 15. 85 cm, 16. 28 cm, 18. 20 cm, 19. 10 cm, 26. 2 cm, 27. 2 cm, 28. 22 cm, 29. 6 cm, 30. 25 cm.

Dezember

Bern: Neuschnee: 22. 1 cm, 24. 2 cm. — Altdorf: Föhn: 1. n—2. 3h, 7. 2h10—2h18, 7. 3h—8. 2h40, 9. 19h—10. 20h, 11. 2h10—4h30, 11. 10h30—17h40, 21. 6h30—7h40, 23. 7h30—21h, 25. 22h—26. 20h, 27. 7h10—9h20. — Chasseron: Neuschnee: 4. 3 cm, 5. 2 cm, 8. 13 cm, 9. 2 cm, 18. 1 cm, 19. 10 cm, 21. 15 cm, 22. 13 cm, 24. 10 cm, 25. 5 cm, 28. 2 cm, 29. 20 cm. — Bever: Neuschnee: 1. 10 cm, 2. 1 cm, 4. 3 cm, 5. 6 cm, 8. 2 cm, 9. 5 cm, 11. 15 cm, 12. 2 cm, 19. 1 cm, 21. 2 cm, 22. 4 cm, 24. 18cm, 25. 5 cm, 27. 1 cm, 28. 5 cm, 29. 10 cm, 30. 4 cm. — Sion: Neuschnee: 23. 1 cm, 24. 8 cm, 26. 1 cm. — Lugano: Neuschnee: 8. 2 cm, 9. 1 cm, 21. 1 cm, 24. 4 cm. — Nordföhn: 4. früh—5. Nm, 19. d.g.T., 22. d.g.T., 29. 11—16h30. Säntis: Neuschnee: 4. 10 cm, 5. 22 cm, 6. 1 cm, 9. 16 cm, 18. 2 cm, 19. 22 cm, 20. 9 cm, 21. 10 cm, 22. 26 cm, 23. 1 cm, 24. 24 cm, 25. 30 cm, 26. 8 cm, 27. 11 cm, 28. 6 cm, 29. 30 cm, 30. 25 cm, 31. 3 cm. — Schneegrenze: 6. 900 m, 9. 800 m, 11. 1000 m, 17. 1100 m, 20. 900 m, 25. 900 m, 29. 1000 m, 31. 1100 m. — Gotthard: Neuschnee: 1. 55 cm, 2. 20 cm, 4. 10 cm, 8. 10 cm, 9. 20 cm, 10. 3 cm, 11. 50 cm, 12. 25 cm, 13. 2 cm, 14. 2 cm, 19. 10 cm, 22. 6 cm, 24. 8 cm, 26. 10 cm, 27. 22 cm, 28. 4 cm, 29. 45 cm, 30. 5 cm.

Säntis Nebelmeer

Obergrenze des Nebelmeeres in Hektometer über Meer; ohne Klammer: geschlossenes, mit Klammer: aufgelockertes Nebelmeer.

1959 **Januar**

	2.	17.	18.	19.	20.	22.	24.	25.	26.	27.	28.	29.	30.	31.
7³⁰	(5)	14	8	8	(6)	—	—	18	16	(6)	6	7	7	7
10³⁰	(10)	12	9	6	(6)	26	—	—	(16)	—	8	8	7	7
13³⁰	6	12	9	6	—	—	18	—	(12)	—	(8)	7	7	8
16³⁰	—	12	9	6	—	--	(20)	—	(12)	—	—	7	7	7
21³⁰	—	12	—	—	—	—	(14)	—	(10)	—	(9)	7	7	12

Februar

	2.	3.	4.	5.	6.	7.	8.	9.	11.	12.	13.
7³⁰	16	13	9	(8)	7	6	6	6	9	8	8
10³⁰	16	13	9	(8)	(6)	6	6	6	9	8	8
13³⁰	16	13	8	—	(6)	6	(6)	(6)	10	8	(8)
16³⁰	17	13	(8)	—	—	6	(6)	6	10	8	(7)
21³⁰	16	12	8	—	—	6	6	6	10	8	8

Februar

	14.	15.	16.	17.	18.	19.	20.	23.	24.	25.	26.	27.
7³⁰	8	7	8	7	7	—	6	16	(7)	(7)	(6)	6
10³⁰	8	7	8	(7)	—	(6)	(6)	(10)	(6)	(6)	(6)	6
13³⁰	8	8	7		—	(6)	(6)	(13)	(6)	(6)	-	(6)
16³⁰	(8)	7	7	—	—	—	—	(10)	—	—	—	—
21³⁰	7	7	(7)	—	—	—	—	—	—	—	—	—

März

	2.	7.	10.	11.	14.	15.	16.	17.	18.	19.	24.	25.	27.
7³⁰	(5)	20	(11)	(20)	—	12	22	11	8	7	6	(9)	(6)
10³⁰	—	24	(11)	—	—	12	—	12	(8)	—	(7)	16	(7)
13³⁰			(15)	(22)	—	13	—	13	(8)	—	—	17	—
16³⁰	—	—	—	—	—	16	—	14	(8)	—	—	21	—
21³⁰	—	—	—	—	24	12	—	12	—	—	—	—	—

April

	17.	21.	27.	28.	30.
7³⁰	—	13	(16)	(17)	20
10³⁰	—	—	—	(17)	—
13³⁰	24	—	—	(20)	—
16³⁰	—	—	—	—	—
21³⁰	—	—	—	—	—

Mai

	16.	17.	19.	20.	22.	23.	24.	25.	28.
7³⁰	13	10	(24)	(5)	8	(12)	16	(22)	—
10³⁰	—	16	—	—	(18)	(18)	—	—	28
13³⁰	—	—	—	—	—	20	—	—	—
16³⁰	—	—	—	—	—	20	—	—	—
21³⁰	—	—	—	—	—	—	—	—	—

Juni

	15.	24.
7³⁰	(9)	13
10³⁰	—	—
13³⁰	—	—
16³⁰	—	—
21³⁰	—	—

Juli

	5.	7.	17.	28.
7³⁰	(5)	(22)	11	(16)
10³⁰	—	—	—	—
13³⁰	—	—	—	—
16³⁰	—	—	—	—
21³⁰	—	—	—	—

August

	4.	5.	7.	11.	13.
7³⁰	(8)	(9)	(10)	(5)	(6)
10³⁰	—	—	(10)	—	—
13³⁰	—	—	—	—	—
16³⁰	—	—	—	—	—
21³⁰	—	—	--	—	—

August

	18.	19.	23.	24.	27.
7³⁰	13	(12)	17	—	
10³⁰	(15)	(17)	20	(15)	—
13³⁰	(23)	—	—	—	—
16³⁰	—	—	—	—	—
21³⁰	27	—	—	—	24

September

	5.	8.	9.	10.	15.	16.	18.	20.	21.	25.	26.	28.	29.	30.
7³⁰	—	(8)	(9)	(9)	(15)	(16)	(12)	(9)	(9)	10	7	20	(12)	12
10³⁰	—	—	—	—	—	—	(14)	—	—	10	8	15	(12)	13
13³⁰	—	—	—	—	—	—	—	—	—	—	—	18	—	—
16³⁰	21	—	—	—	—	—	20	—	—	—	—	16	—	—
21³⁰	22	—	—	—	—	—	(21)	—	—	—	—	(15)	—	—

Oktober

	1.	2.	3.	4.	5.	6.
7³⁰	(9)	6	6	7	13	9
10³⁰	—	—	6	8	13	9
13³⁰	—	24	—	—	14	(9)
16³⁰	—	(20)	—	—	15	—
21³⁰	—	—	—	—	(15)	—

Oktober

	7.	8.	10.	12.	13.	14.	15.	16.	17.	18.	19.	21.	24.	25.	26.
7³⁰	7	7	(7)	—	7	8	9	8	7	—	6	18	6	6	—
10³⁰	7	7	(7)	—	8	8	9	8	7	—	6	20	(6)	—	—
13³⁰	—	—	—	—	(15)	8	10	8	(7)	—	(6)	17	—	—	—
16³⁰	—	—	—	—	—	(13)	(9)	(8)	—	24	17	18	—	—	24
21³⁰	—	—	—	(15)	—	12	—	—	—	—	—	(17)	—	—	—

November

	1.	2.	3.	4.	8.	9.	10.	13.	14.	17.	19.
7³⁰	—	19	8	10	25	18	10	14	7	5	5
10³⁰	—	—	8	10	22	17	10	12	6	—	6
13³⁰	—	—	10	10	23	—	—	15	17	—	6
16³⁰	20	—	10	—	23	15	—	17	—	—	6
21³⁰	18	—	11	12	22	15	—	(16)	—	—	(6)

November

	20.	21.	22.	23.	24.	25.	26.	27.	28.	29.	30.
7³⁰	6	7	7	8	8	9	8	6	5	6	7
10³⁰	6	6	7	9	8	8	8	7	5	6	7
13³⁰	6	6	8	9	8	9	8	7	6	6	(5)
16³⁰	(6)	6	8	10	8	9	7	7	6	6	(9)
21³⁰	6	7	8	10	8	8	6	6	7	(6)	8

Dezember

	1.	2.	3.	6.	7.	8.	9.	12.	13.	14.	15.	16.	17.	31.
7³⁰	8	8	12	—	9	8	—	8	15	18	10	7	6	—
10³⁰	7	9	10	11	8	16	18	9	16	17	9	7	6	—
13³⁰	7	9	10	13	8		17	9	16	15	9	7	6	(8)
16³⁰	—	11	10	13	(8)	—	—	10	17	15	(8)	7	—	(8)
21³⁰	—	12	10	10	—	—	—	13	19	14	(8)	7	—	—

Chasseron, Mer de brouillard sur le Plateau

1959

Janvier

	24.	28.	29.	30.	31.
7[30]	—	(8)	8	8	8
13[30]	(14)	8	8	8	8
21[30]	—	—	8	8	8

Février

	3.	4.	7.	8.	9.	11.	12.	13.	14.	15.	16.	23.	27.
7[30]	(12)	10	(7)	(5)	(5)	14	11	8	8	8	8	(9)	(5)
13[30]	(13)	10	(6)	(5)	(5)	(12)	(11)	—	8	8	(8)	—	—
21[30]	(13)	—	—	(5)	(5)	(11)	11	(8)	8	8	—	—	—

Mars

	5.	9.	15.	17.
7[30]	(14)	(7)	(14)	(13
13[30]	(12)	—	11	(12
21[30]	—	—	—	(12

Mars

	18.	20.	23.	26.	29.
7[30]	(8)	(5)	(13)	(9)	(7)
13[30]	—	—	—	—	—
21[30]	—	—	(16)	(16)	—

Avril

	1.	29.
7[30]	16	(9)
13[30]	—	—
21[30]	—	—

Mai

	17.	22.	28.
7[30]	(14)	—	(14)
13[30]	—	16	—
21[30]	—	—	—

Juin

	1.	21.	24.
7[30]	(12)	—	12
13[30]	—	—	—
21[30]	—	16	—

Août

	7.	13.	20.
7[30]	9	(10)	(9)
13[30]	—	—	—
21[30]	—	—	—

Septembre

	6.	12.	19.	23.	26.	28.	29.	30.
7[30]	(15)	12	(10)	(6)	(8)	(16)	(16)	13
13[30]	—	—	—	—	—	—	13	(13)
21[30]	—	—	—	—	—	—	—	—

Octobre

	1.	2.	3.	4.	5.	6.	7.	8.	9.	10.	12.
7[30]	(10)	(10)	9	8	15	(10)	(9)	8	(9)	10	(16
13[30]	—	—	—	(9)	(12)	—	—	—	—	(9)	—
21[30]	—	—	—	—	—	—	—	—	—	(12)	(16

Octobre

	13.	14.	15.	16.	17.	23.	24.
7[30]	(13)	13	11	11	(8)	(14)	8
13[30]	(13)	—	(11)	—	—	—	—
21[30]	—	9	9	—	—	—	—

Novembre

	1.	2.	3.	4.	9.	17.	19.	20.	21.	22.	23.	24.	25.	26.	27.
7[30]	—	16	(12)	11	—	(8)	(7)	6	7	7	9	9	12	8	8
13[30]	16	(16)	(12)	—	15	(8)	(7)	6	7	7	10	10	12	8	(7)
21[30]	(16)	(13)	10	—	14	—	6	7	7	7	10	10	9	8	—

Décembre

	1.	2.	3.	6.	7.	9.	11.	12.	13.	14.	15.	16.	17.	29.
7[30]	12	8	(13)	—	(9)	—	—	(8)	12	14	(12)	7	(7)	—
13[30]	11	(13)	12	(15)	—	—	—	12	13	13	(11)	(8)	—	(16)
21[30]	(8)	13	—	(12)	—	(15)	(16)	—	16	13	—	(7)	—	—

Jungfraujoch: Lufttemperaturen

1959

Tag	Januar			Februar			März			April			Mai			Juni		
	7^{30}	13^{30}	21^{30}	7^{30}	13^{30}	21^{30}	7^{30}	13^{30}	21^{30}	7^{30}	13^{30}	21^{30}	7^{30}	13^{30}	21^{30}	7^{30}	13^{30}	21^{30}
1	13.4	-12.2	-12.0	-17.0	-17.6	-18.8	-11.2	-10.2	-11.8	-9.4	-7.8	-5.8	-10.8	-9.4	-10.0	-5.8	-4.0	-7.0
2	11.0	12.0	-16.4	**-19.2**	-17.0	-17.0	11.4	-11.2	-12.0	-4.2	-3.6	-4.4	-10.8	-12.8	-14.0	-6.6	-4.8	-5.6
3	19.3	20.8	-22.0	-15.0	-12.0	-13.2	11.8	-11.2	-11.6	-5.0	-3.6	-4.2	**-15.8**	-12.8	-11.4	-2.6	0.0	1.4
4	22.4	20.2	**-27.0**	-11.8	-12 2	-12.2	-11.2	-10.0	-9.6	-4.0	-1.6	4.2	-9.6	-8.0	-8.0	-1.1	1.4	0.0
5	24.8	-23.6	-19.6	-11.4	-9.8	-11.2	9.0	-8.4	-8.6	-6.6	-6.6	8.6	-7 6	-7.4	-7.8	0.6	1.0	-0.8
6	10.6	-9.6	-8.8	-11.8	-10.2	-10.6	9.0	-8.4	-8.0	-8.2	-5.6	8.2	-7.0	-4.4	-6.0	-3.2	0.6	-1.0
7	14.6	14.0	-16.5	-11.0	-9.6	-10.8	9.0	-8.2	-12.0	-12.0	-14.4	-14.8	-7.2	-3.8	-2.8	-1.1	1.0	-0.5
8	18.6	23.0	-24.1	-11.2	-10.8	-9.8	14.4	-12.4	-14.4	-11.0	-6.4	-9.8	-2.6	-2.4	-5.0	-1.4	1.0	-1.6
9	26.0	25.6	-23.4	-12.2	-11.0	-13.2	12.2	-10.0	-10.6	-10.4	-11.4	-16.4	-7.0	-5.4	-6.2	-1.2	-2.6	-4.6
10	-25.0	-26.2	**-27.0**	-13.4	-12.4	-13.4	11.6	-8.0	-8.8	-16.6	-16.8	-17.8	-6.4	-4.8	-4.8	-11.4	-10.4	-10.6
11	26.0	-26.0	-25.4	-14.2	-12.8	-15.0	9.4	-8.0	-11.8	-17.8	-16.0	-12.2	-5.0	-3.0	-3.4	-11.2	-10.8	-12.0
12	24.0	24.8	-26.8	-15.2	-13.4	-13.4	12.0	-12.0	-14.8	-9.4	-7.8	-5.6	-5.0	-5.0	-7.4	**-13.2**	-9.2	-5.0
13	23.8	22.4	-18.0	-13.2	-12.4	-12.6	**15.8**	-14.6	**-15.8**	-3.8	**-0.2**	-1.8	-7.0	-6.6	-9.0	-5.0	-4.0	-3.6
14	16.0	-13.4	-9.8	-13.0	-11.2	-10.4	12.6	-10.2	-10.0	-3.2	-2.8	6.0	-11.2	-10.0	-10.4	-3.4	-0.4	0.2
15	15.8	-17.0	-15.4	-9.2	-7.6	-7.2	-9.8	-9.6	-10.6	-4.4	-3.4	-6.0	-11.4	-11.0	-10.6	0.0	-1.6	-1.6
16	-17.3	-20.8	-25.4	-10.4	-10.2	-12.0	-14.2	-11.2	-15.0	-7.6	-7.6	-8.4	-10.6	-6.8	-8.4	-4.0	-2.2	-2.8
17	23.8	-18.8	-14.4	-7.0	-10.0	-8.0	-16.2	-13.6	-14.0	-12.4	-9.2	-9.0	-7.2	-4.6	-5.2	-2.0	-1.0	-0.2
18	-12.6	10.0	-9.2	-7.8	-5.8	-7.8	12.8	-10.6	-11.4	-7.8	-7.4	-9.0	-6.4	-4.2	-5.0	-2.4	-0.4	-1.8
19	10.2	6.4	-7.4	-7.2	-4.8	-4.4	-11.2	-11.0	-11.6	-10.2	-10.4	12.2	-5.2	-2.6	-4.0	-2.2	**1.6**	-1.0
20	9.0	-9.0	-13.8	-8.2	-9.4	-10.6	-10.4	-8.6	-7.8	-15.2	-16.8	-17.8	-4.6	-2.2	**-2.0**	-0.2	**1.6**	-0.4
21	12.8	-10.2	-8.6	-13.0	-13.0	-12.0	-7.2	**-4.6**	-5.6	**-18 0**	-17.7	-14.6	-4.0	-3.0	-4.0	-1.2	-0.2	-1.4
22	-11.2	-9.8	-10.4	-13.0	-12.4	-12.4	6.2	-5.2	-7.4	-14.6	-13.0	12.4	-3.2	-2.4	-3.2	-2.2	-1.2	-1.2
23	-10.2	-12.2	-11.2	-11.2	-10.4	-9.8	8.2	-6.0	-7.8	-11.6	-8.4	-11.4	-4.6	-3.0	-3.0	-1.8	-0.8	-0.6
24	9.2	-14.0	-17.0	-10.8	-8.6	-10.2	8.0	-6.0	-8.8	-12.1	-9.8	-11.2	-4.2	-3.4	-3.8	0.2	1.8	-1.0
25	19.8	-19.2	-17.2	-9.4	-7.2	-7.0	8.6	-7.8	-9.8	-8.8	-5.0	-7.6	-5.6	-2.8	-4.6	-1.4	-1.4	-1.2
26	-13.8	-11.0	-6.8	-7.6	-5.2	-5.2	-13.2	-12.4	-14.8	-10.0	-8.0	-10.4	-6.0	-4.0	-5.2	0.2	-0.4	-1.6
27	6.4	-5.8	-5.0	-5.0	-3.8	**-3.0**	14.2	-7.8	-9.4	-10.6	-9.0	-9.6	-6.6	-5.2	-5.6	-2.2	-1.4	-2.6
28	5.0	3.8	-4.2	-4.4	-4.4	-7.8	-9.0	-9.2	-12.6	-9.4	-8.6	-9.2	-6.0	-4.8	-6.4	-4.4	-0.6	-0.0
29	-4.8	-4.8	**-3.6**				-12.0	-10.8	-10.2	-10.4	-7.4	-7.8	-7.0	-5.0	-9.2	-4.0	-5.0	-9.4
30	-6.8	-5.2	-8.6				13.0	-15.0	**-15.8**	-8.2	-9.6	11.0	-13.4	-10.6	-11.2	-9.0	-9.0	-8 4
31	9.6	-10.0	-13.2				-12.2	-7.8	-9.6				-11.0	-6.8	-10.4			
Mittel	-15.3	-14.9	-15.1	-11.2	-10.2	-10.7	-11.2	-9.7	-11.0	-9.8	-8.5	-9.6	-7.4	-5.7	-6.7	-3.4	-2.0	-2.9

Tag	Juli			August			September			Oktober			November			Dezember		
	7^{30}	13^{30}	21^{30}	7^{30}	13^{30}	21^{30}	7^{30}	13^{30}	21^{30}	7^{30}	13^{30}	21^{30}	7^{30}	13^{30}	21^{30}	7^{30}	13^{30}	21^{30}
1	**-7.8**	-6.8	-6.0	-6.0	-5.2	5.0	3.8	-2.8	-3.6	-0.8	-0.6	-0.4	-15.0	-13.0	**-19.2**	-13.6	-13.0	-10.6
2	-3.2	-5.2	-4.0	-5.4	-5.2	6.8	5.0	-2.0	-4.6	-2.0	-1.6	-1.0	-10.0	-6.2	-5.2	-9.2	-7.6	-8.4
3	-3.0	-2.4	-1.4	**-7.6**	-5.4	-3.6	3.4	-1.4	-2.4	-1.8	**0.8**	-2.6	-4.6	-4.2	-6.0	-8.6	-6.8	-10.8
4	1.8	2.0	3.8	-3.6	-3.4	-3.8	-2.8	-0.8	-2.4	-3.2	-1.0	-2.6	-6.4	-7.0	-10.8	-18.0	-19.0	-18.8
5	4.1	1.8	1.4	-3.0	-2.8	-3.2	4.4	-2.0	-3.0	-4.8	-3.2	-5.4	-15.0	-15.8	-17.0	**-19.4**	-19.0	-17.6
6	1.0	1.0	0.0	-3.2	0.0	0.6	5.1	-1.8	**-6.0**	-6.8	-5.0	-5.0	-16.0	-13.8	-14.0	-14.0	-12.6	-11.8
7	4.4	4.8	**6.4**	3.2	3.6	2.0	-3.6	-3.8	-3.8	-3.2	-2.0	-2.4	-12.4	-11.6	-12.4	-11.6	-12.8	-12.6
8	5.6	6.2	5.1	1.6	3.2	0.4	4.0	-3.0	-3.2	-3.8	-2.6	-3.2	-12.2	-12.0	-11.1	-14.8	-14.4	-17.2
9	3.8	5.2	5.1	0.4	1.2	2.0	-0.2	2.0	2.0	-4.8	-1.0	-3.1	-10.8	-8.8	-8.0	-18.1	-16.0	-14.1
10	3.0	6.0	5.0	-0.2	2.8	0.6	1.2	2.8	2.2	-4.0	-2.8	-7.0	-9.2	-11.6	-14.2	-13.6	-13.0	-12.0
11	3.2	5.0	3.0	-1.4	-0.6	2.4	2.0	**3.0**	1.2	-8.8	-8.8	-9.0	-16.0	-16.0	-16.0	-12.4	-14.4	-14.2
12	1.2	3.8	-0.2	-4.0	-3.6	3.4	1.6	2.4	0.0	-9.0	-6.4	-6.6	-15.0	-14.4	-12.4	-12.8	-12.2	-11.6
13	0.8	2.8	1.8	-5.4	-2.4	1.2	1.0	0.2	0.2	-6.2	-5.6	-6.0	-9.8	-7.8	-9.7	-12.4	-13.6	-13.4
14	1.0	2.4	0.6	-2.2	1.6	1.0	0.2	0.2	-1.0	-5.2	-5.0	-5.0	-10.0	-8.6	-12.4	-14.4	-11.6	-11.0
15	2.0	-2.6	-2.6	-2.0	-2.4	3.4	1.8	-0.4	-1.2	-5.6	-5.4	-6.6	-13.6	-15.4	-16.6	-11.0	-11.4	-10.6
16	3.6	-3.4	-3.6	-7.0	-4.0	5.0	1.2	-0.6	-1.2	-5.4	-5.8	-7.2	-16.8	-15.8	-15.4	-11.0	-10.4	-10.8
17	5.8	-3.0	-5.0	**-7.6**	-4.0	1.8	1.2	-1.6	-2.6	-3.0	-3.6	-4.4	-9.4	-13.0	-10.8	-10.8	-9.6	-10.0
18	1.2	0.4	-0.4	1.4	1.2	0.6	4.8	-0.2	0.0	-3.6	-3.8	-3.6	-10.6	-10.4	-11.8	-11.4	-15.2	-18.0
19	0.1	-0.1	0.4	-1.0	0.0	0.0	3.1	-0.2	-0.2	-5.8	-4.6	-5.4	-7.0	-4.8	-4.6	-17.0	**-19.4**	-12.8
20	0.8	0.4	-0.2	-2.0	-0.0	3.2	0.8	**3.0**	2.0	-7.6	-7.0	-5.2	-5.8	-5.8	-5.6	-9.2	-8.8	-9.2
21	1.2	0.2	0.0	-3.0	-1.4	2.2	2.0	**3.0**	-1.2	-4.0	-3.2	-4.2	-6.0	-4.4	-4.8	-11.6	-13.4	-15.4
22	0.0	3.4	2.2	-1.4	-0.6	2.2	0.6	-0.4	-0.8	-3.4	-2.0	-6.2	-3.8	**-2.4**	-3.8	-17.2	-18.4	-14.0
23	2.6	3.2	0.8	-2.4	-0.8	1.0	0.2	0.2	0.0	-9.4	-8.0	-7.4	-4.8	-3.0	-4.4	-9.6	-9.6	-10.0
24	0.4	1.6	-1.0	-0.8	1.0	0.0	1.6	0.0	-0.4	-5.2	-1.6	-1.2	-4.2	-5.0	-11.4	-15.2	-12.0	-18.0
25	0.6	1.0	0.0	0.8	1.8	1.8	0.4	-0.4	-0.2	-2.0	-1.2	-5.6	-8.8	-7.4	-8.4	-17.2	-17.4	-8.8
26	1.8	0.0	1.4	0.8	2.6	3.6	-1.4	1.4	-0.2	-4.0	-4.2	-5.4	-10.2	-7.6	-6.4	-7.0	-9.6	-9.6
27	1.1	-0.4	-1.2	3.2	**4.4**	4.8	-1.2	-0.2	-1.4	-5.4	-6.8	-6.2	-7.4	-9.4	-10.2	-13.2	-14.0	-15.4
28	1.8	4.0	2.8	0.6	1.2	1.0	1.0	1.0	0.0	-10.2	-13.8	14.8	-11.4	-9.8	-11.0	-15.6	-17.0	-15.4
29	1.6	0.4	1.2	-3.6	-2.4	1.2	1.0	0.8	-1.6	-14.4	-16.4	**17.4**	-10.8	-10.4	-11.2	-16.6	-17.0	-11.0
30	2.4	-1.6	-4.6	-1.6	-1.0	3.0	1.8	-1.0	-0.4	-16.8	-16.0	-12.4	-11.8	-12.0	-12.0	-11.4	-11.4	-9.0
31	6.4	-6.0	-6.0	-4.0	-2.0	4.0				-11.0	-11.6	-14.6				-9.2	-7.8	**-4.2**
Mitte	0.4	0.8	0.1	-2.1	-0.7	1.4	1.5	0.1	-1.1	5.8	-5.2	6.0	-10.2	-9.6	-10.6	-13.1	-13.2	-12.5

1959

Tägliche Maxima und Minima der Lufttemperatur

Zürich

(nach den Aufzeichnungen des Widerstands-Fernthermographen in der Engl. Hütte)

Tag	Januar		Februar		März		April		Mai		Juni		Juli		August		Sept.		Oktober		Nov.		Dez.	
	Max.	Min.	Max.	Min.	Max.	Min.	Max.	Min.	Max.	Min.	Max.	Min.	Max.	Min.	Max.	Min.	Max.	Min.	Max.	Min.	Max.	Min.	Max.	Min.
1	7.0	−0.6	−0.7	−3.6	16.0	2.7	14.4	3.0	6.7	4.0	19.2	9.6	13.2	**10.0**	18.5	12.5	19.6	6.4	18.6	3.9	6.6	2.8	3.5	0.4
2	6.5	−0.3	0.9	−2.8	15.3	2.0	16.0	3.2	9.6	5.0	19.0	10.9	21.8	11.6	17.0	10.7	19.8	7.4	**20.7**	8.8	10.1	0.7	2.0	0.0
3	3.4	−0.3	−0.6	−5.0	13.8	3.3	18.4	4.1	12.6	4.3	23.5	9.7	25.2	13.0	19.1	9.8	18.8	8.1	17.1	8.5	4.3	−0.7	2.9	0.4
4	1.1	−4.9	−2.1	**−5.3**	13.6	6.7	22.1	5.7	17.6	**2.8**	26.0	12.2	26.6	15.4	20.3	11.3	20.3	8.7	18.5	7.9	5.0	0.5	4.2	0.4
5	0.3	−5.3	8.0	−4.7	15.1	4.7	22.1	9.0	18.8	5.6	24.8	13.3	28.0	14.7	22.1	11.0	19.0	9.4	13.3	6.8	2.1	0.4	4.0	0.6
6	3.4	−3.1	9.7	−1.8	15.7	7.1	19.5	9.0	19.7	8.2	26.3	15.4	24.8	17.3	22.3	14.1	19.5	9.1	14.0	4.4	3.0	0.9	3.6	−2.1
7	7.7	1.7	6.9	−3.7	9.2	4.3	12.5	2.3	21.5	7.3	23.7	15.3	25.9	16.5	24.5	12.1	20.8	7.7	17.1	6.4	5.1	1.8	0.5	−3.3
8	6.1	−1.6	7.0	−4.0	11.9	3.6	17.1	4.1	24.2	11.3	16.3	12.6	28.0	15.3	26.6	14.5	20.1	6.9	16.9	6.3	3.1	0.7	3.7	−0.6
9	−0.2	−3.6	9.4	−2.9	12.2	1.6	10.2	3.1	23.3	10.1	15.3	10.1	30.5	17.2	25.9	15.5	22.3	8.7	16.9	4.9	3.1	0.7	7.6	−0.9
10	−1.0	−4.3	8.0	1.7	10.1	3.7	8.4	2.3	**24.6**	11.3	16.0	8.8	**30.8**	19.5	27.0	14.0	23.6	9.3	13.6	6.1	4.1	1.3	3.3	−1.4
11	−1.5	−5.6	2.1	−1.0	13.8	2.8	10.7	2.0	24.3	11.3	15.0	8.7	29.5	16.9	24.1	12.9	24.7	10.3	10.9	8.9	6.8	1.0	9.4	0.3
12	0.2	−3.5	0.3	−1.3	6.4	2.8	18.2	7.7	21.2	10.7	13.0	**7.0**	28.4	16.3	21.4	13.3	25.5	10.7	15.0	7.6	4.6	0.1	3.8	0.7
13	−0.4	−3.5	5.0	−2.1	4.4	2.3	23.1	7.3	17.7	7.3	12.3	8.0	24.0	16.1	23.9	12.4	**26.0**	13.2	15.3	5.7	4.7	1.8	−0.7	1.3
14	1.4	−2.6	1.1	−3.3	7.3	1.1	**24.7**	8.8	16.2	6.1	18.6	11.6	25.5	15.3	22.1	13.7	23.8	12.6	11.5	4.8	7.6	1.0	0.2	−1.1
15	6.9	0.9	2.5	−3.7	6.6	**−0.3**	21.5	10.8	11.3	6.6	23.1	10.0	16.8	13.0	18.5	13.8	23.1	11.3	7.1	5.7	3.8	2.0	3.0	2.5
16	3.3	−6.3	5.0	−4.3	3.7	1.9	17.6	6.6	17.6	7.6	22.3	11.8	20.3	12.7	18.8	13.4	24.3	14.6	13.5	5.4	6.1	0.9	2.3	−4.7
17	−0.6	−8.2	7.7	−3.7	8.1	1.0	8.6	4.2	19.5	8.1	25.0	9.6	21.9	12.2	18.6	11.0	18.3	14.2	13.7	3.6	4.7	−1.2	7.5	**−5.2**
18	−0.2	**−9.1**	9.6	−1.4	12.6	0.0	10.5	7.5	22.4	9.8	25.1	15.5	24.5	12.5	20.7	11.8	19.4	9.4	13.0	6.1	**11.1**	2.5	6.5	2.7
19	3.9	−3.6	10.7	−2.2	14.9	3.7	9.3	3.8	21.4	11.7	**27.3**	14.9	25.9	13.2	23.7	13.1	19.7	6.3	12.7	5.7	10.9	1.4	6.7	1.6
20	9.5	1.7	13.2	−1.1	15.6	5.4	7.3	0.2	23.7	10.6	25.9	15.4	26.7	15.7	22.3	12.4	21.4	6.9	9.9	8.3	7.9	−1.8	8.8	2.5
21	9.7	2.6	5.8	1.8	**18.3**	5.4	7.7	−1.9	24.2	12.2	24.7	15.8	26.6	15.8	23.0	12.1	21.8	10.2	13.0	7.9	1.2	−2.0	8.2	2.5
22	11.0	2.3	5.0	1.6	16.4	7.9	10.5	**−2.3**	18.2	11.5	20.0	15.8	27.2	14.9	19.3	15.3	24.3	13.0	10.8	8.6	0.4	−1.7	5.7	−0.4
23	**11.2**	3.3	9.5	−1.1	15.2	8.3	14.6	−0.3	16.7	12.3	22.1	15.7	27.3	14.4	24.0	14.9	25.6	15.1	13.4	4.7	−0.1	−1.9	6.6	0.3
24	8.5	−1.3	11.5	−0.9	17.2	6.5	16.3	2.0	16.3	8.6	23.9	15.7	23.5	17.8	25.2	15.0	24.3	15.2	16.5	2.9	−0.1	−2.0	4.0	2.3
25	2.9	−3.6	12.7	0.0	12.3	5.1	19.7	4.6	20.2	7.4	19.3	15.1	26.3	16.8	**27.1**	14.7	19.8	11.4	16.5	6.3	0.3	**−2.6**	8.1	2.3
26	2.4	−4.6	13.2	0.7	10.1	4.6	16.8	8.9	22.3	7.7	19.3	14.6	26.2	15.9	27.0	15.8	20.0	12.9	13.1	7.0	0.9	−1.8	**11.2**	4.0
27	3.7	−5.6	13.7	1.0	14.4	2.5	15.6	8.0	20.7	10.6	22.4	15.4	28.6	16.3	25.3	16.3	18.3	12.3	14.0	8.7	5.0	−1.9	10.4	3.3
28	3.6	−5.2	**15.4**	1.5	9.4	5.3	14.2	8.3	18.2	9.3	20.7	14.3	26.3	17.6	24.9	13.1	17.3	8.4	11.3	2.7	5.9	2.4	5.3	2.8
29	−2.1	−5.3			11.7	6.0	18.3	6.3	15.9	5.2	17.8	10.1	20.9	14.2	21.7	12.1	17.6	5.3	2.7	**0.5**	4.2	0.1	4.3	1.8
30	−1.3	−5.0			7.9	5.0	11.8	5.2	14.1	4.9	13.1	9.3	19.2	13.0	17.7	9.0	16.7	**3.4**	5.5	1.3	5.9	−0.3	9.8	1.1
31	−1.2	−4.7			9.3	4.1			15.0	5.7			16.5	11.7	18.8	**6.6**			4.6	2.3			10.2	2.6
Mittl. Max.	3.39		6.80		11.89		15.26		18.57		20.70		24.74		22.30		21.19		13.25		4.61		5.39	
Mittl. Min.	−2.88		−1.84		3.91		4.78		8.23		12.41		14.93		12.85		9.95		5.76		0.17		0.21	
Differenz	6.27		8.64		7.98		10.48		10.34		8.29		9.81		9.45		11.24		7.49		4.44		5.18	
Abs. Max.	11.2		15.4		18.3		24.7		24.6		27.3		30.8		27.1		26.0		20.7		11.1		11.2	
Abs. Min.	−9.1		−5.3		−0.3		−2.3		2.8		7.0		10.0		6.6		3.4		0.5		−2.6		−5.2	
Differenz	20.3		20.7		18.6		27.0		21.8		20.3		20.8		20.5		22.6		20.2		13.7		16.4	

Stündliche Monatsmittel der Lufttemperatur

	Januar	Febr.	März	April	Mai	Juni	Juli	August	Sept.	Okt.	Nov.	Dez.	Jahr
1^{30}	−0.16	−0.08	5.57	7.39	10.01	13.91	16.50	14.44	12.44	7.38	1.41	1.71	7.54
2^{30}	−0.21	−0.36	5.38	7.13	9.50	13.60	16.13	14.12	11.99	7.14	1.34	1.68	7.29
3^{30}	−0.32	−0.58	5.27	6.81	8.99	13.35	15.89	13.72	11.44	6.93	1.30	1.69	7.04
4^{30}	−0.67	−0.88	5.07	6.35	8.59	13.08	15.76	13.51	10.96	6.68	1.24	1.68	6.78
5^{30}	−0.85	−1.05	4.92	6.05	8.56	13.06	15.70	13.31	10.58	6.47	1.11	1.68	6.63
6^{30}	−1.08	−1.22	4.76	5.91	9.17	13.51	16.06	13.50	10.44	6.45	1.01	1.75	6.69
7^{30}	−1.10	−1.34	4.76	6.86	10.43	14.41	16.90	14.27	11.31	6.55	1.11	1.80	7.16
8^{30}	−1.25	−1.27	5.27	8.25	11.74	15.24	18.10	15.31	12.60	6.90	1.18	1.65	7.81
9^{30}	−0.69	−0.33	6.16	9.53	12.88	16.08	19.28	16.40	14.16	7.49	1.61	1.91	8.71
10^{30}	−0.07	0.77	7.16	10.57	14.25	16.99	20.50	17.57	15.58	8.28	2.22	2.47	9.69
11^{30}	0.48	2.19	8.44	11.60	15.30	17.68	21.47	18.85	17.09	9.36	2.75	3.24	10.70
12^{30}	1.16	3.50	9.35	12.49	16.13	18.50	22.36	19.87	18.41	10.57	3.21	3.95	11.62
13^{30}	1.56	4.68	10.37	13.12	17.07	19.17	23.12	20.73	19.54	11.60	3.62	4.47	12.42
14^{30}	1.79	5.74	10.75	13.49	17.39	19.50	23.44	21.31	20.40	12.09	3.98	4.57	12.87
15^{30}	1.88	6.08	10.94	13.58	17.54	19.56	23.56	21.37	20.67	12.41	3.92	4.57	13.01
16^{30}	1.44	5.89	10.68	13.51	17.29	19.31	23.34	20.85	20.47	12.16	3.40	3.66	12.66
17^{30}	0.73	4.61	10.25	13.15	16.92	19.16	22.81	20.34	19.70	10.92	2.91	3.00	12.04
18^{30}	0.27	2.94	8.95	12.05	16.12	18.67	22.04	19.24	17.61	9.64	2.58	2.62	11.06
19^{30}	−0.14	2.23	7.88	10.59	14.77	17.69	20.92	17.77	15.93	9.07	2.20	2.46	10.11
20^{30}	−0.32	1.71	7.37	9.89	13.22	16.42	19.20	16.75	15.17	8.64	1.98	2.19	9.35
21^{30}	−0.40	1.44	6.98	9.31	12.57	15.58	18.49	16.18	14.53	8.36	1.99	2.09	8.93
22^{30}	0.50	1.19	6.50	8.73	11.92	15.00	17.97	15.52	13.97	8.09	1.78	1.94	8.51
23^{30}	−0.53	0.81	6.04	8.15	11.40	14.54	17.49	15.09	13.37	7.75	1.54	1.85	8.13
0^{30}	−0.43	0.47	5.72	7.68	10.84	14.20	16.94	14.66	12.84	7.53	1.52	1.79	7.81
Mittel	0.02	1.55	7.27	9.67	13.03	16.18	19.33	16.86	15.05	8.69	2.12	2.52	9.36

Vom Jahrgang 1956 an werden die Aufzeichnungen eines Widerstands-Fernthermographen ausgewertet, dessen Fühler in einer genormten englischen Hütte untergebracht ist. Die obigen Ergebnisse sind daher mit den übrigen Zürcher Temperaturangaben, die wie bisher auf Ablesungen in einer offenen Wild'schen Hütte fußen, nicht direkt vergleichbar.

1939

Tägliche Maxima und Minima der Lufttemperatur

(Nach den Aufzeichnungen des Thermographen)

Säntis

Tag	Januar		Februar		März		April		Mai		Juni		Juli		August		Sept.		Oktober		Nov.		Dez.	
	Max.	Min.	Max.	Min.	Max.	Min.	Max.	Min.	Max.	Min.	Max.	Min.	Max.	Min.	Max.	Min.	Max.	Min.	Max.	Min.	Max.	Min.	Max.	Min.
1	6.2	-9.2	-12.3	**-17.5**	0.1	3.3	-3.2	7.2	4.4	5.8	2.2	3.2	0.2	1.0	1.2	0.1	1.8	0.2	5.9	2.2	6.2	-8.4	-1.9	-4.4
2	5.9	11.0	8.0	12.8	0.6	4.0	1.0	2.0	-5.8	7.0	4.0	0.4	3.9	0.5	2.7	0.0	6.9	2.3	7.3	4.2	6.0	9.3	**1.0**	-1.8
3	11.1	14.9	3.9	-7.8	0.1	4.3	3.0	0.8	4.0	**8.2**	8.7	0.1	8.3	**2.9**	4.0	-0.5	5.0	1.9	**7.6**	3.2	0.4	5.9	0.1	-3.8
4	12.7	17.9	2.2	4.2	0.2	3.0	5.1	0.3	1.1	6.9	9.9	3.5	11.6	4.1	6.0	1.2	8.8	3.6	1.9	1.1	2.1	-8.8	-5.3	-11.0
5	14.8	18.2	-0.3	-4.2	1.0	2.8	2.7	-1.6	3.7	-3.2	10.2	4.5	12.7	8.1	8.0	1.7	7.1	2.3	1.2	0.9	6.9	10.6	-10.0	-11.9
6	4.0	14.2	2.9	-5.0	2.0	1.4	1.9	3.7	3.8	0.6	9.7	3.3	10.1	6.1	8.0	2.1	5.0	**0.0**	3.7	0.3	9.8	**11.3**	-6.0	**-12.3**
7	-3.8	-9.1	-1.0	4.7	1.2	6.2	3.9	-9.9	6.1	0.2	9.0	1.3	10.5	6.6	10.3	4.9	2.2	**0.0**	3.9	0.8	8.8	11.1	-3.4	-6.8
8	8.9	-16.0	3.0	5.1	4.4	8.0	1.6	8.1	7.8	2.8	7.8	2.6	11.8	8.8	**14.3**	6.4	7.7	2.2	1.9	0.3	6.9	10.8	-5.2	-9.9
9	15.8	17.3	2.8	-5.9	1.3	-7.8	0.8	9.1	7.7	2.2	3.5	0.6	16.0	10.2	10.6	7.1	8.1	3.6	4.6	2.0	3.8	7.0	-8.7	-10.7
10	16.1	18.8	-3.3	6.8	2.6	4.2	4.7	10.4	8.4	1.7	3.1	5.0	13.5	10.7	11.8	3.1	10.4	7.4	6.6	-0.3	5.2	-8.0	-2.3	-8.0
11	17.8	**20.1**	-4.4	8.0	-1.0	5.4	-7.2	10.0	6.9	2.0	3.8	**6.1**	**16.1**	7.7	10.1	2.7	10.7	8.5	0.8	2.8	8.0	9.6	-3.0	-6.3
12	15.8	18.9	-5.0	8.6	1.6	8.1	1.1	6.8	4.2	0.0	1.7	5.7	14.1	5.8	4.0	2.0	11.0	6.8	0.8	3.8	1.3	9.1	-3.3	-6.8
13	13.9	18.9	-3.3	-8.2	6.3	8.7	5.7	1.1	2.2	4.9	2.3	-1.5	12.8	7.4	8.3	2.4	9.8	5.6	1.1	3.2	2.1	6.8	-6.9	-9.1
14	4.8	13.8	0.8	-5.2	-6.8	9.3	**8.2**	3.2	1.8	5.9	2.9	0.9	13.0	6.3	11.2	4.9	8.7	5.9	2.7	1.3	1.0	7.9	-5.6	10.7
15	5.0	9.4	0.7	4.0	1.8	7.6	6.8	0.8	1.8	-4.7	7.2	1.1	5.9	2.8	6.5	1.9	**12.3**	5.8	1.9	2.0	6.8	9.8	5.4	7.1
16	8.7	-19.9	-3.8	6.8	5.9	9.1	2.5	0.4	0.8	3.7	5.1	2.1	4.5	1.6	2.9	-0.3	10.8	1.9	3.0	0.9	-8.3	10.2	-4.1	8.7
17	-12.8	20.0	3.0	5.8	4.0	7.8	0.2	3.8	5.1	1.1	9.0	2.8	7.4	2.1	1.6	**1.6**	5.0	2.0	5.6	0.4	1.9	-8.7	3.8	7.3
18	6.6	12.2	2.0	4.3	2.9	7.7	-1.3	2.7	7.0	1.3	9.1	4.0	10.0	5.6	7.5	1.3	7.1	1.7	3.7	0.2	0.3	3.4	-4.2	10.9
19	0.2	6.6	0.4	-2.8	-1.7	4.6	2.5	7.8	8.0	1.6	12.1	5.0	10.8	6.1	9.3	3.3	6.3	3.9	4.7	0.2	3.0	-2.8	-9.8	-11.8
20	0.1	6.6	2.0	-7.8	1.2	4.0	5.0	13.7	8.8	2.1	**12.7**	5.2	9.4	5.6	10.1	4.9	8.4	4.1	0.3	1.9	**5.0**	2.2	-2.2	10.3
21	4.8	7.3	-8.0	9.8	2.2	3.2	11.3	**15.2**	**10.6**	3.3	11.4	5.0	8.1	5.4	10.4	4.3	8.7	4.1	4.8	0.2	3.8	1.6	-4.3	-9.8
22	2.7	5.2	-7.3	9.8	1.1	1.8	8.4	-13.7	7.0	3.2	6.4	1.1	10.8	6.4	6.4	4.5	7.0	4.0	1.3	4.0	2.2	0.6	-8.8	11.6
23	4.2	8.4	-4.3	-10.1	2.8	-1.9	3.7	10.0	7.1	3.2	5.8	5.0	12.7	7.5	9.7	4.6	7.8	6.0	1.8	6.9	4.8	0.8	4.0	7.3
24	- 6.0	14.6	-3.3	-6.2	**3.2**	2.0	1.9	6.3	6.7	-0.5	10.8	5.1	11.0	6.1	12.0	5.7	6.9	4.9	3.4	2.2	4.0	2.3	-7.2	10.7
25	-15.4	17.2	-0.9	4.3	0.8	5.2	1.7	-4.8	6.6	0.3	6.7	2.9	9.7	5.0	11.1	7.2	7.1	5.0	4.8	2.0	1.0	1.7	5.0	-10.1
26	-8.3	17.8	3.4	2.2	3.7	7.9	2.8	3.1	5.8	0.6	9.0	1.6	9.8	6.0	12.9	9.0	8.1	5.2	0.8	2.4	-0.1	-2.4	-1.9	-4.6
27	-1.7	8.6	**4.2**	-1.2	-1.0	7.9	1.7	3.6	2.8	0.5	5.5	3.2	11.4	5.9	12.5	8.2	5.3	1.1	2.0	-1.9	-1.2	-3.5	-4.7	8.3
28	**1.6**	4.4	2.7	-0.2	-3.8	6.3	1.8	3.0	1.8	-2.1	7.6	3.0	12.4	8.1	9.0	4.8	6.2	2.7	0.9	8.7	1.4	5.2	8.4	-10.8
29	1.0	-1.0			1.7	6.1	2.7	2.8	1.0	-4.2	4.5	2.5	7.0	2.1	5.5	2.3	7.8	4.5	8.8	10.4	1.7	-4.9	-8.3	-11.4
30	2.8	1.4			-6.3	**-9.7**	0.8	-5.1	1.8	6.5	1.1	2.7	2.8	0.2	4.6	1.1	7.0	4.1	7.8	**11.3**	2.3	4.7	-2.4	-7.0
31	-2.0	11.7			5.2	9.3			1.5	5.6			0.8	-0.4	3.7	0.8			5.9	10.7			**1.0**	7.2
Mittl. Max.	-7.26		2.59		1.21		0.27		3.47		6.11		9.76		7.91		7.61		2.23		2.40		-4.65	
Mittl. Min.	-12.60		-6.40		-5.76		-5.42		-1.59		1.50		4.95		3.12		3.82		2.06		5.97		8.67	
Differenz	5.34		3.81		4.55		5.15		5.06		4.61		4.81		4.82		3.79		4.29		3.57		4.02	
Abs. Max.	1.6		4.2		3.2		8.2		10.6		12.7		16.1		14.3		12.3		7.6		5.0		1.0	
Abs. Min.	-20.1		17.5		9.7		-15.2		8.2		6.1		2.9		1.6		0.0		-11.3		-11.3		12.3	
Differenz	21.7		21.7		12.9		23.4		18.8		18.8		19.0		15.9		12.3		18.9		16.3		13.3	

18.74
1.56
35.20
2.93

Stündliche Monatsmittel der Lufttemperatur

	Januar	Febr.	März	April	Mai	Juni	Juli	August	Sept.	Okt.	Nov.	Dez.	Jahr
1^{30}	10.18	-5.35	-4.52	3.84	0.51	2.59	6.10	4.18	4.58	0.57	4.67	-6.89	1.59
2^{30}	10.10	-5.39	-4.54	3.83	0.60	2.54	6.04	4.16	4.60	0.58	4.63	6.73	1.59
3^{30}	9.97	-5.36	-4.60	3.79	0.64	2.49	6.00	4.12	4.55	0.66	4.60	6.63	1.59
4^{30}	9.90	-5.34	-4.09	3.85	0.67	2.41	5.98	4.07	4.46	0.72	4.61	6.70	1.58
5^{30}	9.86	-5.29	-4.74	3.70	0.37	2.53	6.13	4.10	4.43	0.84	4.57	6.83	-1.66
6^{30}	9.77	-5.32	-4.78	3.31	0.64	2.85	6.48	4.57	4.46	1.02	4.64	6.92	1.40
7^{30}	9.79	-5.27	-4.54	3.99	1.42	3.25	7.05	5.22	5.26	0.61	4.61	6.93	1.05
8^{30}	9.67	-4.75	-3.96	2.75	1.69	3.70	7.38	5.58	5.77	0.08	4.22	6.74	0.67
9^{30}	9.42	-4.16	-3.17	2.26	2.09	4.12	7.97	6.06	6.29	0.53	3.78	6.39	0.18
10^{30}	9.25	-3.59	-2.54	1.87	2.34	4.57	8.18	6.42	6.58	1.03	3.44	6.02	0.23
11^{30}	9.06	-3.33	-2.17	1.64	2.51	4.84	8.85	6.73	6.72	1.30	3.26	5.95	0.46
12^{30}	8.95	-3.07	-1.77	1.38	2.84	4.81	8.91	7.15	7.05	1.44	3.08	5.81	0.68
13^{30}	8.94	-2.93	-1.62	1.27	2.67	4.82	9.10	7.55	7.28	1.48	2.99	5.95	0.77
14^{30}	9.05	-3.15	-1.70	1.26	2.86	4.92	9.14	7.35	7.26	1.25	3.20	6.12	0.69
15^{30}	9.11	-3.43	-1.81	1.45	2.45	4.91	8.98	7.13	7.01	0.88	3.49	6.37	0.47
16^{30}	9.32	-3.82	-2.41	1.95	1.93	4.69	8.76	6.57	6.60	0.43	3.87	6.75	0.07
17^{30}	9.58	-4.34	-3.06	2.36	1.43	4.37	8.23	5.81	6.04	0.01	4.10	6.83	0.46
18^{30}	9.85	-4.84	-4.07	2.82	0.97	3.96	7.82	5.33	5.48	0.36	4.27	6.96	0.80
19^{30}	9.87	-4.91	-4.07	3.21	0.43	3.57	7.41	4.83	5.22	0.45	4.38	6.93	1.01
20^{30}	9.98	-4.81	-4.26	3.10	0.03	3.42	6.91	4.51	5.10	0.52	4.16	6.94	1.20
21^{30}	10.00	-4.92	-4.46	3.70	0.19	3.24	6.58	4.33	5.03	0.54	4.49	6.93	1.34
22^{30}	10.14	-4.98	-4.58	3.89	0.27	3.03	6.45	4.24	4.93	0.68	4.53	6.87	1.44
23^{30}	10.19	-4.96	-4.65	3.86	0.37	2.86	6.31	4.25	4.84	0.76	4.57	6.78	1.49
0^{30}	10.28	-4.97	-4.68	3.90	0.38	2.76	6.26	4.29	4.78	0.93	4.56	6.81	1.54
Mittel	9.68	-4.51	-3.62	2.85	0.93	3.64	7.38	5.35	5.60	0.40	4.13	6.61	0.72

JANUAR FEBRUAR MÄRZ

Temperatur-Minima 1959

(Ablesungen an den Minimumthermometern.)

Tag	JANUAR							FEBRUAR							MÄRZ						
	Bern	Neu-châtel	Genève	Basel	Altdorf	Bever	Lugano	Bern	Neu-châtel	Genève	Basel	Altdorf	Bever	Lugano	Bern	Neu-châtel	Genève	Basel	Altdorf	Bever	Lugano
1	-1.4	0.6	2.9	0.3	-3.2	-14.8	3.8	-3.2	-2.8	-1.0	-4.8	2.2	-19.0	-1.8	1.2	1.4	1.5	1.9	-0.5	-12.0	2.6
2	-2.0	-1.5	1.0	-4.1	-1.5	-18.0	-0.3	-2.0	1.4	-0.6	-0.9	-5.0	-14.7	0.2	0.7	0.7	0.6	1.7	1.0	-10.6	3.1
3	0.3	0.3	0.8	-0.1	-1.5	-12.1	-0.8	-3.2	-2.7	-1.0	-3.0	-3.3	-15.6	0.2	1.0	1.3	1.4	0.4	12.5	-10.0	4.4
4	-3.2	-4.2	-1.2	-5.2	-1.6	-20.0	-1.2	-4.3	-3.8	-2.1	-4.0	-3.7	-15.0	1.6	6.3	5.4	6.0	5.7	8.0	-0.9	6.4
5	-6.0	-5.1	-5.6	6.9	-6.5	-22.4	0.4	**4.6**	-4.1	-2.8	5.3	-1.3	-13.4	2.2	4.5	4.4	5.5	5.5	4.0	0.5	6.1
6	-4.2	-2.1	-3.0	-2.7	-7.5	-23.5	-1.6	-2.4	-3.7	-1.8	5.6	-3.0	-15.0	-0.2	6.4	5.5	6.0	7.8	14.2	0.3	7.4
7	1.8	3.2	2.9	2.8	1.0	- 6.5	0.2	2.3	-3.8	-2.0	**-6.0**	**-5.4**	-15.7	0.0	5.6	5.7	6.5	6.3	5.4	0.0	6.7
8	-1.0	-0.4	-0.6	0.3	-1.0	-15.0	-1.4	-2.3	-3.8	-1.6	-1.8	-5.0	-17.0	-1.0	4.5	5.0	5.6	6.2	3.7	-6.0	4.3
9	-4.0	-3.2	-2.6	-1.6	-2.2	-18.0	0.3	-1.8	-2.8	-1.6	-1.7	-3.8	-18.0	-1.8	1.6	2.9	3.5	0.3	0.5	-10.0	4.6
10	-3.6	-3.7	-2.6	2.6	-3.5	-20.0	-1.6	1.0	0.5	-0.8	1.5	-0.8	-12.2	-0.9	4.0	5.1	5.6	3.1	1.2	-6.5	6.1
11	-4.0	-4.3	-2.2	-4.2	-7.0	-22.4	4.2	-0.8	-0.2	-0.4	-0.5	-3.0	-17.5	-1.2	3.6	3.5	4.4	2.5	4.0	-4.0	5.4
12	-4.0	-3.1	-3.4	-2.5	-8.2	**-28.0**	**-5.7**	-0.7	-0.7	-0.3	-0.9	-2.4	-20.4	-1.3	4.5	5.2	5.7	5.4	4.0	-5.6	5.2
13	-4.0	-3.7	-3.6	-2.1	-7.2	-24.0	-4.6	-2.0	-1.8	-1.0	-2.1	-3.5	**-20.5**	**-2.4**	2.7	4.2	5.2	4.2	2.7	-1.4	2.9
14	-2.6	-1.7	-2.1	-3.7	-2.8	-15.5	-1.0	-3.9	-2.8	-1.0	-3.4	-3.7	**-20.5**	-2.2	2.4	2.1	3.7	2.1	2.8	-3.5	4.1
15	0.9	3.3	4.6	0.9	0.2	-10.9	1.7	-4.4	-3.4	-1.9	-4.8	-3.6	-18.6	-0.8	0.0	1.2	2.2	**-2.6**	**-1.0**	**-14.6**	**2.1**
16	-4.7	-2.5	-0.8	-5.0	-1.5	-17.2	-1.3	**-4.6**	**-4.2**	-2.4	-4.4	-3.0	-17.3	0.1	0.9	0.4	1.0	-0.1	0.0	-7.3	4.1
17	-8.2	-6.5	-3.4	**-8.4**	-7.2	-23.4	-0.7	-3.1	-1.6	**-4.0**	-4.9	-1.8	-17.3	-0.6	0.9	0.4	**0.2**	0.2	0.5	-10.4	5.2
18	**-9.5**	**-7.4**	**-6.6**	-8.0	**-8.5**	-25.8	-4.0	1.8	-0.2	-1.6	-4.0	-3.6	-14.7	-0.6	**-0.1**	**-0.6**	0.7	0.6	3.2	-4.7	6.1
19	-4.8	-3.7	-3.0	2.6	-3.7	-13.6	2.8	-2.4	-2.1	-2.1	-3.8	-3.7	-16.5	-0.2	5.3	4.7	6.1	2.4	2.7	-5.5	5.6
20	-2.4	-0.3	3.4	0.0	10.0	-4.8	2.1	-1.4	-1.8	1.8	-4.2	-3.3	-15.8	0.2	5.5	6.0	7.3	6.4	3.0	-8.0	6.4
21	2.3	2.7	5.6	4.9	5.5	-2.8	0.3	0.6	4.9	0.4	2.6	-2.4	-13.6	0.6	3.9	4.2	5.7	3.3	11.5	0.4	7.6
22	0.3	0.2	5.0	3.2	11.3	-1.5	2.0	2.5	3.1	2.4	3.1	0.0	2.4	2.2	7.0	7.3	9.1	7.1	8.0	-2.0	7.2
23	3.7	5.2	7.4	5.3	3.4	-8.5	3.0	1.2	1.3	3.0	-0.4	1.0	-7.8	4.1	9.3	8.6	8.2	9.1	8.0	-3.9	6.4
24	0.2	0.3	3.2	-0.5	-0.3	-11.2	1.6	-1.2	-0.7	-0.6	-2.2	-1.8	-13.0	5.0	5.5	6.3	7.7	3.8	2.5	-4.4	6.3
25	-2.8	-2.3	-0.1	-2.8	-3.5	-23.5	4.1	0.2	0.6	-0.5	0.2	-1.2	-13.2	1.2	6.0	5.7	6.8	6.5	4.2	-3.2	8.6
26	-5.4	-2.4	-1.6	4.9	-5.7	-24.0	-1.6	0.1	-0.5	0.6	0.0	-0.9	-14.0	1.3	4.7	3.7	5.3	4.2	4.6	-0.4	7.2
27	-6.0	-4.4	-2.6	-4.7	-6.0	-22.5	-2.4	0.1	0.0	0.2	0.6	-1.5	-14.0	1.3	2.1	1.9	2.4	0.6	0.8	-2.6	7.0
28	-4.8	-2.0	-2.6	-4.1	-4.4	-20.0	-2.6	0.2	0.0	-0.1	-0.7	-2.0	-13.5	2.2	7.0	7.2	8.2	6.3	4.5	-3.9	8.1
29	-4.0	-4.5	-4.0	-4.8	-4.5	-16.0	2.1								5.4	3.8	6.4	5.8	5.6	-2.0	7.9
30	-4.6	-4.3	-2.1	-4.2	-3.5	-16.6	-2.0								5.1	5.9	6.2	6.3	4.0	-4.0	6.8
31	-4.8	-3.2	-4.2	-5.2	-3.7	-16.4	-1.6								4.5	5.2	7.1	2.9	3.8	-4.0	6.0
Mittel	-3.0	-2.0	-0.7	-2.4	-2.4	~~-15.5~~ -16.7	-0.9	-1.7	-1.4	-0.9	-2.2	-2.6	-15.2	0.3	3.9	4.0	4.9	3.7	4.2	-4.8	5.7

Temperatur-Maxima 1959

(Ablesungen an den Maximumthermometern.)

Tag	JANUAR							FEBRUAR							MÄRZ						
	Bern	Neu-châtel	Genève	Basel	Altdorf	Bever	Lugano	Bern	Neu-châtel	Genève	Basel	Altdorf	Bever	Lugano	Bern	Neu-châtel	Genève	Basel	Altdorf	Bever	Lugano
1	4.4	7.8	9.8	7.9	4.7	-2.4	10.7	-0.4	2.1	1.5	0.6	2.5	-7.4	5.0	14.7	13.8	10.8	18.4	14.7	7.0	20.4
2	6.4	5.8	7.3	8.1	5.5	-0.9	5.6	-0.3	0.3	1.8	1.3	2.4	-5.0	3.4	14.8	14.6	13.0	17.7	17.5	8.1	20.0
3	3.0	4.0	4.5	4.1	3.4	-4.0	8.7	-0.6	0.2	1.5	0.3	1.5	1.3	4.4	11.7	9.2	13.2	17.2	16.7	5.0	16.0
4	1.0	1.4	4.0	1.7	2.6	-8.0	6.2	-1.2	0.0	0.3	2.2	3.1	2.0	6.6	10.8	8.2	13.5	10.1	17.7	4.5	10.6
5	-0.1	0.2	2.3	2.9	0.2	-6.4	9.8	6.2	4.4	5.4	7.6	5.1	3.9	9.4	12.6	11.3	8.5	17.0	16.4	5.0	12.4
6	3.0	3.6	4.5	6.9	3.0	-5.2	7.8	8.9	5.0	6.8	8.4	2.6	1.5	12.3	14.0	11.7	13.1	16.6	18.2	3.4	9.3
7	6.5	5.6	8.2	11.3	5.7	1.0	2.7	8.6	2.1	7.3	8.6	1.3	3.5	12.4	8.9	8.3	8.3	10.4	16.0	2.6	9.2
8	4.6	4.8	6.9	7.0	4.0	-5.0	9.4	7.5	3.3	6.6	10.1	4.5	1.2	11.2	11.4	12.7	10.5	12.8	12.0	5.0	**21.7**
9	-0.5	0.7	2.5	2.4	0.8	-8.0	8.1	8.1	5.1	6.8	11.3	6.5	1.3	9.3	11.7	11.2	10.3	12.2	15.0	5.2	17.2
10	-0.5	-0.2	2.2	1.2	0.5	-8.6	7.6	10.4	8.9	8.5	8.6	9.4	4.4	11.4	12.0	11.9	11.5	12.9	16.0	3.4	10.4
11	-1.3	-0.4	1.9	1.8	-1.2	-8.5	6.2	4.1	4.5	5.7	5.0	3.6	0.5	11.8	14.6	14.4	13.5	15.2	16.0	4.0	8.2
12	0.2	0.2	1.6	2.1	-1.0	-8.0	5.9	1.7	4.3	3.8	4.9	3.3	1.2	10.2	9.7	10.3	11.0	8.5	8.5	5.4	14.7
13	0.8	0.3	3.0	1.4	1.0	-5.5	7.7	2.0	1.3	2.5	5.9	1.0	-0.5	9.8	6.4	9.9	9.7	9.3	7.5	1.5	19.4
14	1.0	4.2	6.4	1.1	1.5	-3.7	8.4	0.6	0.5	1.6	5.8	2.2	2.2	12.3	6.1	7.4	8.5	9.1	9.0	1.0	15.6
15	7.0	7.4	11.0	7.6	7.4	-0.1	10.4	3.4	-0.8	2.4	5.7	2.5	4.5	15.9	8.5	8.0	8.0	11.3	8.7	5.6	16.7
16	4.3	4.7	7.7	-0.5	3.5	-4.5	12.2	4.1	5.4	3.1	4.2	1.5	4.2	15.0	4.4	5.1	8.0	5.1	7.2	4.0	12.4
17	-2.4	-0.4	-0.2	2.5	1.0	-8.5	11.0	6.7	8.6	6.9	7.8	4.7	4.0	13.2	6.5	6.7	8.2	9.3	12.2	2.0	15.2
18	-0.4	-0.6	1.5	-0.4	1.4	-5.0	7.0	9.1	8.2	6.9	3.2	7.6	4.4	13.2	11.9	10.7	9.6	12.8	14.5	1.0	11.6
19	2.6	3.6	6.7	3.4	14.0	1.0	6.8	10.7	9.9	8.0	4.1	9.0	5.7	15.1	13.3	13.7	11.4	17.6	14.5	4.2	13.9
20	4.6	6.5	10.5	11.0	13.4	1.2	4.8	12.0	12.1	**13.8**	13.8	11.0	8.4	16.7	15.9	14.7	**18.0**	15.3	17.0	5.9	17.4
21	8.5	9.0	11.3	12.9	13.2	0.7	3.2	8.6	8.6	9.1	6.6	9.5	3.5	**21.4**	17.0	16.5	16.2	**19.9**	**18.7**	5.8	15.3
22	**9.9**	**10.7**	**14.7**	**16.2**	**15.2**	2.0	5.2	7.0	9.7	8.6	7.6	4.2	2.0	21.0	14.4	13.7	14.2	16.3	16.8	7.0	18.9
23	8.6	10.3	13.2	14.1	14.2	**3.0**	8.0	9.8	10.3	9.2	10.7	9.0	5.4	14.6	15.7	17.0	14.9	19.0	15.3	**9.0**	19.3
24	8.3	8.7	9.7	11.3	6.0	0.0	**13.0**	11.1	9.3	8.7	11.6	9.2	5.9	13.3	**17.2**	**17.6**	16.5	**19.9**	16.0	8.5	20.4
25	1.3	3.2	4.7	4.1	2.0	-6.4	12.4	12.6	11.7	10.3	12.0	10.5	6.0	15.2	13.1	12.2	11.9	11.8	13.2	7.5	13.1
26	0.7	2.3	2.5	3.9	1.6	-6.2	10.2	13.1	12.3	11.2	16.4	11.6	**10.0**	17.2	11.1	12.1	11.9	14.2	9.7	3.2	12.7
27	1.1	3.1	2.4	5.6	1.0	-1.2	10.8	12.9	12.1	10.7	15.1	11.6	7.4	17.7	13.2	13.2	12.9	16.7	13.5	6.5	20.4
28	2.1	3.3	4.0	2.2	-0.5	-1.5	10.6	**15.0**	**12.7**	12.7	**17.1**	**13.2**	9.8	19.2	10.9	11.6	13.9	12.8	9.7	5.0	15.7
29	-0.5	-1.3	0.5	2.1	-1.0	0.4	9.4								14.2	14.7	13.4	16.1	11.2	5.1	16.7
30	-1.8	-2.0	0.0	3.2	-1.0	2.0	11.2								9.6	11.2	12.2	11.1	8.7	0.0	10.9
31	-2.1	1.3	0.2	-2.8	0.2	2.1	10.0								9.6	12.2	11.9	14.2	7.2	2.5	15.4
Mittel	2.5	3.4	5.3	5.0	3.9	3.0	8.4	6.9	6.1	6.5	7.7	5.9	3.3	12.8	11.8	11.8	11.9	13.9	13.4	4.6	15.2

APRIL MAI JUNI

Temperatur-Minima 1959

Tag	Bern	Neu-châtel	Genève	Basel	Altdorf	Bever	Lugano	Bern	Neu-châtel	Genève	Basel	Altdorf	Bever	Lugano	Bern	Neu-châtel	Genève	Basel	Altdorf	Bever	Lugano
1	2.2	4.2	6.0	0.7	3.4	-1.4	4.9	**2.8**	3.3	**4.1**	5.5	5.0	0.1	8.1	**5.6**	**6.0**	**5.4**	**5.7**	8.8	2.0	**9.6**
2	2.0	4.1	5.4	0.7	1.0	-9.0	5.9	5.3	5.3	5.1	6.5	5.0	-4.1	**7.6**	11.4	12.4	12.0	12.3	10.0	3.5	12.4
3	2.5	4.4	4.9	0.7	1.2	8.0	6.0	5.6	**3.2**	4.4	3.0	4.7	-4.5	9.1	9.0	10.2	10.3	7.8	7.6	-1.0	12.2
4	4.9	4.8	5.4	4.3	1.6	-6.8	7.4	3.1	3.4	4.2	**2.8**	**1.5**	**-6.4**	10.1	11.2	11.3	12.4	10.4	10.2	0.5	14.4
5	5.5	7.5	8.4	4.2	4.2	-6.0	6.9	5.5	6.7	7.3	5.9	3.2	-5.8	9.0	14.2	13.7	16.0	11.4	12.4	2.5	16.4
6	5.5	6.3	7.6	6.3	5.0	-5.5	7.2	9.1	8.5	10.2	5.6	6.1	-3.5	8.3	12.3	11.9	13.2	14.7	13.2	5.4	15.7
7	4.3	4.9	7.2	2.4	5.0	-1.4	8.8	8.0	8.8	9.8	6.7	6.3	-2.4	9.6	15.3	15.1	15.6	13.4	13.4	4.0	15.9
8	5.0	6.4	6.3	4.4	2.6	-7.4	5.9	9.9	9.8	9.7	10.8	9.2	2.9	10.3	13.0	13.9	14.5	11.8	13.2	1.8	15.7
9	4.0	4.4	5.0	4.2	3.5	-2.9	7.4	9.8	11.0	11.4	10.0	16.2	0.8	11.4	13.1	11.7	13.8	10.6	12.5	7.0	16.2
10	1.9	2.8	4.2	1.8	1.4	-10.4	2.9	11.2	12.2	11.7	8.7	15.0	1.3	11.0	9.6	10.2	11.9	8.6	8.0	1.6	13.2
11	2.6	3.1	3.8	3.4	3.0	-8.8	**2.3**	10.0	11.4	11.4	12.3	9.8	1.0	10.3	8.6	10.2	9.9	8.3	8.0	-0.2	12.6
12	6.9	7.5	7.9	6.4	5.7	-6.1	4.6	12.0	11.2	12.0	11.1	9.2	2.5	12.2	7.8	8.6	9.9	7.4	**6.8**	-1.0	13.7
13	5.4	5.5	7.4	7.1	3.6	-4.6	6.8	8.7	10.7	10.4	6.2	7.1	-2.1	13.4	9.1	10.1	10.6	10.5	8.4	1.8	13.8
14	7.7	7.5	7.9	6.5	12.2	-4.0	9.7	6.4	10.3	10.6	4.9	4.5	-3.8	10.0	12.1	12.4	14.3	12.3	10.5	4.8	12.1
15	7.8	8.4	9.2	7.0	12.0	-1.4	8.8	7.6	7.5	9.8	8.2	6.4	0.0	10.0	11.1	13.4	13.2	7.3	7.7	**-1.8**	14.0
16	5.9	5.4	5.0	8.3	8.2	0.8	9.3	6.6	7.6	8.3	7.7	3.5	-0.4	8.0	10.9	11.7	14.0	12.0	11.2	5.5	16.2
17	4.5	4.4	4.5	6.3	5.0	0.0	7.4	7.7	8.4	9.4	8.0	5.6	-2.0	10.3	11.8	12.0	13.3	6.8	10.2	1.4	17.2
18	7.5	7.7	7.9	8.4	6.7	1.8	8.0	9.0	9.4	10.2	8.8	7.7	1.4	10.7	14.4	14.0	15.9	14.2	12.2	4.2	17.4
19	5.0	5.4	7.5	5.5	5.0	1.8	8.4	11.5	11.7	12.5	12.0	9.5	3.0	12.6	14.1	14.3	14.6	12.6	12.3	1.0	15.2
20	3.4	4.4	4.0	3.3	3.5	-3.9	11.7	11.4	11.0	12.3	10.7	8.0	-1.0	11.2	16.1	15.7	15.5	14.4	14.0	6.4	17.3
21	-1.4	**0.3**	1.7	-2.8	-0.4	-8.5	5.9	12.4	13.5	12.7	10.8	17.3	1.6	13.0	14.4	14.6	14.8	15.3	15.4	8.5	16.9
22	**-1.9**	**0.3**	1.4	**-3.0**	**-2.5**	-7.8	2.6	11.5	12.4	12.0	10.3	9.7	1.3	14.4	15.2	16.0	15.7	14.7	14.6	7.4	15.7
23	-0.9	1.5	**0.9**	-1.2	-1.5	**-10.5**	2.7	13.8	14.0	14.9	12.3	10.7	5.0	12.9	14.6	14.5	14.4	14.7	13.4	8.0	16.6
24	1.3	2.2	2.6	-0.2	0.7	-8.0	4.0	10.4	12.3	13.9	8.8	11.3	5.0	12.4	14.6	14.9	15.8	15.3	12.5	4.0	18.6
25	2.8	4.2	4.0	4.1	3.0	-6.4	5.7	8.8	9.4	13.4	5.4	10.1	4.2	13.6	15.2	14.7	16.3	14.6	14.0	7.0	16.6
26	8.0	8.3	9.4	8.0	9.7	-0.5	8.9	8.4	8.6	12.4	5.8	7.3	5.5	13.0	16.1	15.5	17.0	15.9	12.5	4.5	16.7
27	7.6	7.6	8.9	7.7	6.0	0.4	9.8	8.9	9.8	10.2	9.6	8.0	0.2	12.4	15.7	14.8	15.7	15.4	15.3	8.5	16.2
28	8.4	8.3	8.1	8.2	8.8	1.0	9.1	9.0	8.6	9.4	8.7	11.3	-1.8	12.4	14.0	15.2	16.7	14.3	13.0	2.6	16.2
29	5.8	7.3	7.4	7.0	3.4	-0.2	8.7	7.8	7.4	9.4	5.5	6.7	0.5	12.7	11.2	10.9	14.6	12.3	10.0	3.0	15.9
30	5.4	5.3	5.5	5.7	7.5	0.2	8.2	7.1	6.8	8.1	3.3	7.1	0.1	8.8	9.4	9.5	9.5	10.8	9.4	1.5	13.7
31								7.2	6.2	8.5	7.1	5.0	-0.9	8.6							
Mittel	4.3	5.1	5.8	4.2	4.3	-4.1	6.9	8.6	9.0	10.0	7.8	8.0	-0.1	10.9	12.4	12.6	13.6	11.9	11.4	3.5	15.1

Temperatur-Maxima 1959

1	15.2	15.7	14.5	17.6	14.4	5.4	**24.7**	6.8	7.7	8.3	8.2	8.2	4.2	19.2	19.7	20.5	20.3	23.9	19.2	12.0	26.4
2	15.7	17.3	15.2	18.3	15.2	10.9	21.7	11.0	9.7	10.5	12.5	12.0	5.2	25.6	20.6	22.2	21.7	23.2	17.9	13.3	28.8
3	18.6	18.9	17.5	20.3	17.0	10.0	20.7	14.2	15.2	14.2	16.5	17.0	5.8	23.2	24.1	24.4	22.7	26.9	23.9	18.0	28.3
4	21.2	20.8	**22.5**	24.7	20.7	13.7	23.1	17.8	17.8	19.4	20.3	17.0	10.8	20.6	27.0	27.3	25.7	29.4	26.0	20.1	30.4
5	21.4	20.7	21.2	22.4	20.2	14.0	20.6	19.1	19.7	20.0	17.5	19.0	12.4	22.3	25.9	25.6	28.5	29.7	24.0	14.9	26.1
6	19.1	19.2	18.8	21.2	19.5	12.4	20.1	20.2	20.7	19.7	22.5	19.0	12.2	23.2	26.0	25.6	27.2	28.9	26.0	17.0	27.4
7	12.1	11.7	12.6	13.9	12.2	5.4	22.2	21.1	20.8	19.8	23.2	22.6	13.2	23.1	24.8	25.8	24.0	24.9	25.2	18.0	27.7
8	17.4	18.1	18.1	16.9	18.5	8.5	21.2	23.6	23.4	21.5	24.4	24.5	15.6	25.0	16.0	18.2	17.1	18.7	19.3	18.0	29.9
9	11.6	12.2	13.6	10.5	16.0	5.0	11.1	21.9	22.6	21.4	26.6	23.7	13.4	20.6	16.0	16.8	18.2	16.7	17.7	14.5	23.6
10	7.7	9.0	9.3	11.0	8.8	1.8	14.7	23.2	**24.5**	23.5	26.7	**24.7**	14.0	22.1	16.3	17.7	17.5	17.6	14.7	7.8	24.4
11	11.2	11.2	12.9	12.9	12.1	4.5	21.6	24.1	24.3	**25.1**	**26.9**	23.5	15.4	27.2	16.0	18.7	18.0	18.1	12.7	7.1	23.7
12	18.4	18.7	20.2	19.9	17.5	10.0	20.4	21.3	20.6	21.5	24.1	20.4	14.0	27.3	12.5	16.9	15.8	16.6	14.1	5.5	24.2
13	21.3	20.3	16.4	24.0	21.2	14.4	21.2	19.3	21.1	21.7	20.9	20.0	11.5	25.7	15.0	16.5	17.9	13.7	12.4	8.5	20.8
14	**23.4**	**22.8**	22.2	**26.0**	**24.2**	**15.0**	21.9	17.9	20.0	19.5	20.3	15.0	8.2	26.3	20.0	22.7	23.0	23.1	20.0	11.9	**31.7**
15	20.6	20.8	18.4	22.3	21.8	14.0	23.3	13.0	13.9	16.0	14.2	13.1	3.5	16.4	22.9	25.4	23.3	26.2	22.6	18.0	30.4
16	15.0	15.0	15.3	16.2	18.4	9.2	14.4	17.1	17.0	16.9	19.4	18.7	11.4	24.1	24.0	26.4	26.7	22.1	22.0	17.3	29.3
17	10.1	9.6	11.7	11.3	12.1	7.0	20.6	19.1	20.6	20.0	22.3	18.2	13.6	26.2	26.0	26.4	28.2	27.2	23.9	18.0	27.8
18	11.6	11.9	12.7	13.2	10.3	7.7	19.0	23.0	23.5	23.2	25.4	22.6	15.5	27.2	26.0	23.4	25.5	28.2	25.0	18.0	29.2
19	9.6	10.3	9.7	10.2	8.8	6.0	24.4	21.1	21.3	21.7	24.2	21.8	12.4	24.7	**27.6**	**27.7**	25.3	**30.3**	26.5	**21.3**	31.2
20	6.3	8.0	8.8	10.7	6.7	3.2	21.2	23.6	24.1	22.1	26.6	23.6	**16.6**	**27.8**	26.0	27.3	25.3	27.5	26.4	19.5	29.0
21	7.5	10.0	8.3	10.8	8.7	0.0	16.0	**24.6**	23.5	24.7	25.6	24.6	13.2	19.4	24.4	22.8	22.2	27.5	**27.0**	15.7	23.0
22	11.9	12.3	11.4	14.3	11.5	2.4	16.8	17.5	18.7	18.8	20.0	18.4	12.2	17.2	24.3	22.3	23.0	24.9	22.0	17.0	30.8
23	14.8	15.8	13.5	17.1	14.2	8.5	17.7	18.5	21.2	21.3	20.9	21.0	15.4	23.2	26.1	26.3	26.1	27.4	24.2	16.4	**31.7**
24	17.0	18.1	16.9	19.4	16.8	9.2	19.6	19.1	19.2	19.7	23.2	18.2	12.0	21.3	24.6	25.2	23.3	26.7	22.2	17.8	29.3
25	19.4	19.4	20.9	22.6	19.0	10.6	21.2	21.0	23.2	19.0	24.5	22.2	13.0	23.3	23.1	24.9	**28.6**	23.0	20.3	16.0	29.3
26	15.0	14.6	15.4	16.8	18.5	9.0	17.9	22.3	24.0	22.5	25.5	23.2	15.2	26.2	20.2	18.0	21.5	23.5	20.8	15.0	25.4
27	17.3	17.1	17.7	18.3	16.0	9.2	16.6	22.8	24.0	23.5	20.6	23.0	14.2	27.2	23.7	24.0	25.1	24.9	21.5	15.8	30.0
28	11.8	10.9	15.7	14.7	18.0	7.0	11.2	18.8	21.8	20.2	20.0	19.5	15.0	24.3	22.3	23.4	24.0	22.1	21.6	19.6	30.4
29	13.2	13.1	11.9	15.3	20.5	6.5	11.2	16.4	17.0	18.5	15.8	15.7	8.9	18.1	17.7	19.1	20.2	19.9	17.2	12.6	22.4
30	11.1	11.0	10.5	12.3	17.6	7.0	16.6	15.4	18.0	17.0	16.8	14.3	8.6	26.1	14.6	15.8	16.0	18.9	14.6	9.8	26.8
31								12.2	14.1	13.0	17.5	18.3	10.0	25.2							
Mittel	14.9	15.1	15.1	16.8	15.9	8.2	19.1	18.9	19.8	19.5	21.1	19.4	11.8	23.5	21.8	22.6	22.7	23.7	21.0	15.1	27.6

Temperatur-Minima 1959

Tag	JULI							AUGUST							SEPTEMBER						
	Bern	Neu-châtel	Genève	Basel	Altdorf	Bever	Lugano	Bern	Neu-châtel	Genève	Basel	Altdorf	Bever	Lugano	Bern	Neu-châtel	Genève	Basel	Altdorf	Bever	Lugano
1	**10.3**	**10.4**	11.0	11.3	**10.0**	3.0	**13.6**	12.5	13.7	13.2	12.2	11.5	6.0	14.2	7.9	10.6	**9.2**	4.3	8.0	2.2	14.9
2	11.4	12.8	**10.6**	12.8	10.4	3.5	16.3	10.3	11.2	11.7	9.1	11.2	−1.3	15.4	9.3	11.7	13.8	5.7	9.2	2.6	15.1
3	10.9	12.2	12.4	11.3	10.2	1.7	15.6	9.4	10.4	10.8	9.9	10.3	4.6	**12.3**	10.4	11.9	13.7	7.5	8.3	3.2	13.0
4	12.4	13.3	12.9	13.6	12.3	1.9	16.2	12.4	12.6	12.3	9.7	**8.8**	1.3	15.0	11.5	13.5	13.1	7.3	9.7	5.6	14.2
5	14.2	15.4	15.1	12.7	12.0	2.9	17.4	11.5	11.7	13.0	10.0	11.5	1.0	14.4	10.3	11.7	14.2	7.2	9.2	3.5	15.6
6	16.0	16.3	17.6	16.1	13.5	4.4	17.6	13.0	14.0	13.5	13.7	13.8	6.3	16.9	10.6	10.4	14.0	6.8	12.5	5.5	13.7
7	17.0	17.8	18.3	16.8	13.7	5.4	17.7	12.6	13.4	14.2	10.3	10.5	2.6	18.0	7.5	9.8	9.7	4.8	7.0	−1.6	11.2
8	15.5	16.5	18.2	13.1	13.6	4.6	19.4	14.9	15.3	16.2	14.8	13.8	9.0	17.7	7.8	10.3	10.1	5.8	**6.8**	−0.4	13.1
9	18.3	18.4	19.4	17.1	16.2	9.8	21.2	15.5	15.4	16.8	15.8	14.8	9.0	17.7	8.6	9.8	10.6	7.0	7.8	−1.0	10.6
10	19.0	19.3	20.5	18.7	18.3	10.9	20.8	14.5	14.3	15.1	14.7	13.7	4.5	17.8	10.0	10.6	10.6	8.2	10.3	−1.7	11.7
11	18.7	18.4	21.5	19.4	17.5	10.4	21.7	11.2	12.3	12.9	12.0	10.2	3.5	15.7	11.0	12.1	11.9	9.8	8.8	−2.2	12.8
12	16.5	17.0	17.8	16.6	17.0	8.5	18.7	14.0	14.1	15.4	14.4	12.5	6.2	14.8	9.8	10.6	13.2	9.2	9.0	−2.4	15.7
13	15.4	16.3	19.4	16.2	12.8	4.3	17.1	11.0	12.4	12.4	12.2	11.4	6.4	16.1	13.0	13.4	14.4	10.4	11.0	−0.5	14.7
14	15.5	16.0	17.4	12.6	15.0	8.5	19.1	13.5	14.1	15.2	13.1	11.2	2.5	16.2	13.4	14.0	15.8	9.4	10.2	1.0	15.2
15	14.4	15.5	15.6	13.3	13.5	9.5	16.6	15.7	15.0	16.2	13.3	13.9	8.4	17.2	13.7	16.0	15.1	10.8	11.4	4.5	14.2
16	13.8	13.5	13.0	13.0	**10.0**	7.7	17.9	12.6	12.7	15.3	12.6	9.5	6.8	16.6	13.4	13.4	13.7	13.4	11.2	4.5	13.4
17	11.2	12.6	14.3	11.8	10.6	1.4	16.1	11.1	13.0	13.6	10.1	12.6	2.0	17.4	15.5	14.4	15.3	14.6	13.8	2.9	14.4
18	12.0	15.6	14.6	**10.4**	10.5	**0.4**	15.6	12.0	12.8	13.3	13.4	**8.8**	4.2	14.6	11.9	13.3	15.1	7.6	13.0	−1.0	14.0
19	12.1	13.5	15.0	12.0	11.5	0.6	17.6	12.4	15.0	12.0	12.4	9.6	3.6	16.3	9.7	10.1	11.7	3.5	12.2	−0.7	14.9
20	14.2	16.2	15.6	13.8	13.2	3.5	18.1	12.1	13.3	13.2	11.0	10.6	3.5	14.9	9.3	10.1	11.2	7.2	9.0	−1.8	**10.3**
21	15.0	16.3	16.4	13.3	13.6	2.0	17.8	11.0	12.6	15.4	12.4	10.0	3.0	15.8	10.1	10.9	12.5	7.1	8.3	−2.5	11.0
22	13.6	15.7	15.2	12.2	12.5	1.4	17.1	13.5	14.1	14.8	15.2	13.5	6.2	15.8	11.9	12.3	15.8	11.5	12.2	−1.5	11.2
23	14.6	15.3	15.8	11.2	13.4	2.8	20.2	13.4	13.6	14.0	14.6	13.0	7.4	14.8	13.1	13.7	14.5	14.6	13.0	0.1	13.2
24	17.2	16.5	17.2	15.2	15.7	7.8	17.2	15.6	14.4	16.7	14.4	11.3	6.6	15.6	14.5	14.4	16.8	10.6	15.0	1.2	15.6
25	15.2	15.8	16.7	14.8	16.0	8.0	16.8	15.0	17.0	15.4	14.2	11.7	5.2	15.8	12.3	13.3	14.9	8.0	12.4	2.0	17.1
26	14.7	16.0	17.9	13.8	13.0	5.6	17.8	15.0	16.8	16.6	14.9	13.5	4.2	16.6	13.6	13.7	14.3	13.1	11.5	7.0	16.4
27	13.9	14.6	15.8	14.8	12.8	2.9	17.4	16.4	17.4	17.4	16.2	15.5	4.5	17.0	13.9	14.8	14.0	11.4	14.4	7.3	15.6
28	17.9	20.0	18.1	18.3	15.5	3.5	17.7	15.1	15.4	17.9	10.1	16.5	6.6	18.2	10.7	12.2	13.8	8.8	12.5	1.0	14.4
29	15.7	15.1	16.4	14.7	16.5	7.0	17.4	11.7	13.0	14.4	9.4	12.7	1.6	16.2	8.1	10.0	12.2	**3.1**	10.5	**−2.7**	14.4
30	13.6	14.8	15.6	12.3	13.5	5.8	16.0	11.0	12.0	**8.9**	8.7	12.8	0.0	16.3	**7.1**	**8.7**	11.4	5.0	7.4	0.0	12.7
31	12.3	14.3	13.9	12.4	12.0	4.0	14.0	**8.4**	**9.5**	11.3	**4.2**	10.1	**−2.4**	13.0							
Mittel	14.6	15.5	16.1	14.0	13.4	5.0	17.5	12.8	13.6	14.2	12.2	12.0	4.3	15.9	11.0	12.1	13.2	8.5	10.5	1.1	13.8

Temperatur-Maxima 1959

1	14.9	16.2	18.1	16.2	13.2	9.8	29.4	21.3	21.6	23.2	22.3	16.3	13.0	30.4	19.6	21.1	19.6	23.1	19.5	14.4	24.1
2	23.0	22.3	22.5	24.6	21.5	16.6	30.2	20.7	17.8	23.3	18.6	17.5	13.0	27.2	19.0	21.0	19.4	22.9	19.4	12.2	22.1
3	26.7	26.0	26.0	28.4	25.7	19.3	30.4	20.5	21.7	22.1	20.7	18.6	12.6	29.4	20.4	22.2	20.5	22.2	19.2	12.2	19.7
4	27.3	28.6	27.0	29.0	26.5	21.0	33.7	22.8	24.0	22.8	22.8	19.8	15.6	26.6	21.6	22.7	21.8	23.4	21.0	15.0	25.6
5	29.6	29.0	26.7	31.7	27.9	22.8	31.4	23.4	25.6	24.4	25.5	22.0	17.3	28.6	18.4	19.8	19.0	22.3	17.5	13.9	20.7
6	29.0	29.3	29.0	29.3	19.2	21.0	31.0	23.7	25.6	26.2	24.8	23.4	16.0	29.1	19.1	22.2	20.6	24.0	18.5	15.0	24.7
7	26.3	27.5	26.4	28.9	26.5	22.2	33.3	26.6	26.2	24.0	29.0	23.5	20.5	29.6	20.3	23.1	21.9	23.7	21.4	16.4	25.3
8	30.6	29.3	31.7	32.1	28.2	22.5	30.2	26.8	26.1	26.9	29.0	26.0	19.5	29.4	21.5	21.7	21.1	25.3	20.6	13.6	24.1
9	30.6	31.6	31.8	34.6	29.1	24.0	31.7	26.0	26.6	28.0	29.4	25.2	19.5	28.9	22.2	24.1	22.4	25.3	21.8	20.0	25.9
10	**31.0**	31.4	31.5	**35.3**	**30.0**	**26.0**	32.8	26.9	**28.0**	23.4	29.7	**28.8**	20.0	28.7	23.7	23.5	22.0	26.8	22.5	20.0	27.0
11	27.7	**32.1**	**31.9**	32.4	29.8	22.0	33.0	24.5	24.3	26.0	25.9	22.5	19.6	29.8	25.5	**25.7**	24.8	28.9	23.7	**21.7**	27.2
12	29.0	28.3	30.2	30.5	27.5	21.7	31.7	20.7	23.3	22.6	25.9	20.5	12.0	30.2	25.5	**25.7**	25.4	**30.0**	24.5	19.0	27.3
13	26.1	27.2	29.4	26.4	25.2	23.0	33.4	24.2	25.4	24.0	28.5	23.0	17.6	**31.2**	24.7	25.4	24.5	29.1	**24.7**	20.0	26.9
14	26.3	26.9	25.5	28.2	25.0	20.4	28.2	23.6	22.1	23.0	25.2	23.4	22.1	30.0	23.1	25.1	20.3	24.5	22.7	18.2	26.9
15	18.1	19.9	19.7	19.0	17.5	11.2	22.2	23.0	24.6	22.5	25.3	18.4	14.0	29.4	22.6	24.2	24.5	26.1	23.0	17.0	26.1
16	22.1	24.7	24.2	25.0	21.5	14.5	31.3	20.7	23.7	23.1	22.6	18.7	13.6	30.4	23.6	24.1	25.4	28.2	23.2	19.0	27.3
17	23.8	25.8	25.5	25.7	21.6	17.4	31.4	20.0	22.6	21.7	21.2	19.5	11.4	29.1	19.2	22.1	22.7	22.7	17.7	14.0	**27.4**
18	25.7	27.8	25.8	28.2	24.7	20.5	31.8	20.5	21.3	21.4	24.2	19.0	20.0	28.8	19.4	21.9	20.9	22.5	19.4	18.0	24.8
19	26.6	28.7	27.4	29.5	24.7	21.5	32.7	22.0	23.7	21.8	26.5	21.5	15.8	26.4	20.6	20.4	20.2	23.2	20.0	18.0	21.9
20	28.0	30.2	27.7	29.7	27.2	21.0	33.2	24.0	23.9	**28.6**	26.5	21.3	17.0	27.4	21.6	21.7	22.4	25.2	19.0	20.0	25.4
21	27.7	30.0	27.7	30.3	27.2	20.5	**35.1**	23.0	20.4	21.6	27.9	23.7	15.2	23.6	22.7	22.3	20.9	27.7	21.0	17.2	22.2
22	28.3	31.3	28.0	31.5	26.8	22.7	32.4	18.0	21.2	18.2	20.9	20.4	13.7	19.6	22.2	22.6	**26.3**	25.5	21.2	19.0	26.3
23	28.6	31.9	27.0	32.3	26.4	21.6	30.3	18.9	18.7	21.5	23.3	21.8	17.0	25.2	**25.7**	**25.7**	24.9	27.9	22.8	20.0	27.0
24	24.0	23.5	25.2	29.8	22.7	19.6	28.7	25.2	26.3	25.4	28.5	23.0	18.5	29.4	24.5	25.3	24.2	26.5	22.5	19.6	27.3
25	27.7	28.7	27.2	31.3	25.5	19.6	31.1	26.4	27.6	26.1	29.0	25.7	21.7	30.6	21.1	21.5	20.4	24.1	19.2	17.3	20.6
26	28.6	29.3	29.8	30.2	26.5	20.8	30.6	**27.2**	27.6	26.7	**30.0**	26.0	22.6	**31.2**	21.7	21.8	21.4	25.2	18.8	14.4	18.2
27	30.3	29.8	31.2	33.3	27.5	21.5	33.0	25.2	26.8	26.5	25.5	24.5	**23.3**	30.7	16.2	17.8	18.3	16.2	16.7	12.0	24.2
28	28.4	28.1	30.2	26.7	26.6	24.0	32.6	24.8	25.1	27.2	26.7	23.4	20.6	30.2	15.3	16.7	16.9	20.6	15.7	17.2	26.4
29	23.4	24.6	25.7	26.2	21.2	18.8	29.9	22.4	24.1	24.0	21.7	20.8	17.6	29.7	16.1	17.7	16.8	20.6	13.8	15.8	18.6
30	21.1	22.3	21.3	21.7	17.5	18.0	26.9	18.6	19.6	19.4	21.5	17.5	15.0	22.0	12.7	15.3	16.8	17.8	15.3	12.4	18.0
31	18.6	20.8	21.0	21.0	16.8	12.0	29.1	18.6	20.3	19.9	22.2	19.6	14.5	23.2							
Mittel	26.1	27.2	26.8	28.4	24.4	19.9	31.0	22.9	23.7	23.7	25.2	21.8	17.1	28.3	20.1	22.2	21.5	24.4	20.2	16.8	24.3

Temperatur-Minima 1959

Tag	OKTOBER							NOVEMBER							DEZEMBER						
	Bern	Neu-châtel	Genève	Basel	Altdorf	Bever	Lugano	Bern	Neu-châtel	Genève	Basel	Altdorf	Bever	Lugano	Bern	Neu-châtel	Genève	Basel	Altdorf	Bever	Lugano
1	8.5	7.1	9.9	5.3	5.0	-5.4	9.8	3.3	3.4	4.5	4.5	1.6	-11.0	3.1	0.7	1.7	2.8	0.8	6.8	-1.9	5.0
2	8.0	9.1	10.2	7.8	6.1	-6.0	7.2	0.5	1.7	1.9	0.8	1.0	-16.5	2.1	0.0	1.6	0.9	0.8	2.4	-8.0	6.0
3	7.9	7.8	8.2	6.8	5.2	-6.5	7.3	-1.8	0.8	1.2	1.1	-2.8	-18.5	2.3	1.7	2.3	3.4	2.5	1.4	-12.5	3.7
4	9.0	7.2	10.8	5.4	4.9	-4.0	8.4	-0.1	1.5	1.8	**-3.4**	1.5	-17.4	1.9	1.1	2.8	2.7	2.5	1.1	-6.0	4.9
5	6.0	7.1	7.7	3.8	4.8	-4.3	8.0	1.0	2.6	1.8	0.3	0.5	-8.3	4.4	1.1	1.2	0.9	1.3	1.0	-9.0	4.6
6	7.6	5.9	7.8	5.2	4.0	-0.5	10.8	1.7	1.8	3.2	2.1	2.2	-6.2	3.6	-1.7	-1.4	-0.7	-2.2	-3.0	-17.5	0.7
7	7.0	6.2	7.1	3.3	4.0	-4.0	9.0	2.4	2.6	4.4	2.2	2.5	-6.5	2.3	2.6	-2.2	-2.0	**-4.1**	-4.0	-20.5	0.3
8	4.0	5.6	4.9	3.2	4.8	-8.0	6.2	2.0	2.2	4.3	2.1	2.6	-12.8	1.0	0.4	0.6	1.0	-0.7	1.0	- 7.4	0.2
9	4.4	4.9	5.2	2.0	3.8	-6.5	7.1	1.7	2.5	3.7	1.8	0.0	-14.4	0.7	-0.5	1.2	1.6	0.0	-0.6	-18.4	0.1
10	4.4	5.5	6.4	4.1	3.5	-5.9	6.8	1.9	2.5	1.2	-1.2	-1.0	-13.5	1.8	-1.8	-0.7	1.2	-0.9	7.8	-18.6	0.8
11	9.2	9.0	9.5	9.5	9.0	0.3	8.8	2.7	2.1	3.6	0.5	1.0	-11.4	4.4	0.1	0.6	2.3	-1.0	3.0	-5.6	1.8
12	9.2	9.7	8.9	9.0	8.4	-4.0	6.8	0.4	2.3	0.9	1.7	-1.0	-18.0	0.9	1.6	0.1	0.9	-1.8	-0.4	-13.5	1.7
13	5.6	7.1	8.8	5.5	3.2	-7.5	6.6	3.2	3.1	2.8	2.7	2.5	-3.6	2.2	-0.8	0.0	1.7	-1.5	0.4	-16.0	1.0
14	4.9	6.2	7.4	4.5	2.0	-8.4	8.0	1.1	3.5	3.3	3.0	0.0	-2.7	7.3	-1.3	-1.1	0.9	-0.8	0.4	-21.4	0.7
15	5.2	6.1	7.4	3.0	3.5	-8.0	10.2	2.9	3.8	2.4	2.9	0.0	-3.9	6.0	-2.4	-2.6	-2.0	-2.7	-5.5	**-23.0**	-1.4
16	4.3	5.3	8.1	2.8	1.0	-9.0	8.4	2.2	1.7	3.7	2.8	0.5	-13.5	2.8	**-5.2**	**-2.7**	**-3.2**	-3.4	**-6.0**	-20.5	**-3.0**
17	2.5	4.8	5.5	3.5	2.9	-10.0	6.4	-0.9	-0.2	0.8	0.1	-1.0	-17.6	3.0	4.6	-2.6	-1.6	-4.0	-5.2	-22.0	-2.7
18	5.8	6.2	8.3	6.6	14.2	-3.0	8.8	1.2	2.2	2.2	2.8	4.0	-3.4	4.7	1.3	2.3	2.8	2.0	-3.3	-19.0	-1.7
19	5.8	7.8	9.6	6.9	4.6	2.0	10.6	0.5	1.9	1.2	3.6	3.0	-10.8	5.8	1.2	1.9	1.9	1.8	0.0	-18.2	1.6
20	7.1	7.1	6.9	8.5	3.2	3.4	9.8	-0.8	0.7	0.9	1.1	0.0	-14.3	2.6	1.5	3.2	2.6	1.7	-0.5	-18.5	0.4
21	7.5	7.6	6 9	6.7	4.5	3.0	10.0	-2.6	0.7	0.7	-1.3	-1.7	-16.4	0.2	1.0	2.7	5.0	2.9	-0.2	-12.0	0.4
22	6.6	9.0	7.5	7.1	8.2	-1.6	9.8	-2.4	-0.8	-0.1	-1.7	**-3.5**	-16.0	2.2	0.0	1.6	1.4	1.2	-0.5	-19.5	-1.0
23	5.3	5.5	8.4	3.3	6.5	-2.0	10.1	-2.1	**-1.2**	0.0	0.1	-1.0	-20.2	1.2	-0.8	1.9	2.4	1.2	-1.7	-21.0	0.1
24	2.0	2.1	3.2	**1.8**	1.5	-5.5	6.3	**-3.1**	**-1.2**	**-0.9**	-3.1	**-3.5**	**-20.9**	**0.4**	0.9	1.8	3.5	2.4	1.0	-7.2	0.3
25	2.6	4.9	4.3	2.8	2.5	-3.5	7.0	-2.0	0.2	-0.6	-1.2	-0.8	-12.2	3.6	1.7	3.0	3.7	3.6	0.0	-14.5	-0.7
26	7.5	8.8	8.1	6.9	3.0	-5.6	7.9	-2.5	-0.1	-0.6	-1.3	-0.5	-4.5	6.8	3.1	4.0	4.9	6.5	1.5	-13.0	1.4
27	8.2	9.8	11.4	6.6	4.5	2.0	10.0	-0.9	0.3	0.6	-0.7	0.5	-3.2	7.2	2.4	4.8	7.7	6.2	3.4	- 9.0	2.3
28	2.8	4.2	4.9	4.3	**0.1**	-2.6	5.9	2.1	4.5	3.9	2.5	-0.5	-3.4	7.1	1.0	2.3	3.2	4.1	1.0	-11.0	1.2
29	1.9	3.0	3.7	3.0	0.6	-4.9	6.8	1.1	4.2	3.6	3.5	-0.5	-5.0	6.2	2.4	3.0	2.9	3.3	1.5	-15.5	3.6
30	1.5	2.8	4.2	2.8	0.5	-13.0	5.4	1.0	2.7	4.8	1.3	1.4	-4.5	6.0	1.4	2.8	3.0	3.3	1.4	-13.8	1.8
31	**0.5**	**1.8**	**2.1**	2.2	0.2	**-15.5**	**4.4**								1.4	1.5	1.9	0.6	0.5	-11.0	0.2
Mittel	5.6	6.3	7.2	5.0	4.2	-4.7	8.0	0.4	1.7	2.0	0.9	0.1	-11.0	3.4	0.0	1.1	1.9	0.8	0.1	-14.4	1.1

Temperatur-Maxima 1959

Tag																					
1	19.2	17.8	19.3	23.2	17.5	14.5	21.2	8.0	**11.0**	**10.4**	9.6	9.2	2.7	**16.7**	3.0	3.9	6.4	3.1	**15.0**	1.8	8.2
2	**20.0**	17.8	**19.4**	**24.6**	19.5	17.0	22.6	8.4	10.0	9.8	**13.6**	9.4	0.0	16.6	3.4	3.4	5.4	4.0	10.7	**5.0**	12.7
3	18.3	16.8	17.3	21.1	18.2	**17.6**	22.4	5.4	6.2	7.5	9.2	7.0	0.4	16.2	3.7	3.8	5.7	7.0	4.5	4.3	9.3
4	16.4	16.9	17.0	21.5	16.8	16.0	23.1	4.9	5.9	7.2	3.1	7.6	1.7	**16.7**	4.9	5.3	6.1	7.4	5.4	-0.5	9.9
5	13.9	16.6	16.7	17.9	14.5	11.4	22.3	3.4	4.7	5.6	4.6	4.4	-0.2	13.4	4.2	6.2	4.8	5.7	5.5	-3.5	13.2
6	14.5	14.7	15.7	19.5	15.2	10.0	19.0	3.1	5.7	6.1	4.7	6.0	-0.4	11.4	1.9	4.7	4.1	4.9	5.0	-6.0	10.7
7	15.1	15.3	15.2	22.2	17.0	15.6	19.0	4.8	7.3	6.5	6.3	6.0	1.2	14.6	0.8	0.8	2.5	2.0	10.8	-4.4	4.2
8	16.1	14.8	16.2	19.2	15.2	15.6	20.4	3.5	6.1	5.3	5.3	5.4	-1.4	14.6	1.6	3.6	6.4	3.1	11.0	-2.0	2.9
9	17.6	16.6	17.2	21.1	16.0	14.2	21.3	4.3	4.9	5.8	5.3	6.6	-0.5	13.0	4.7	6.1	7.2	7.6	8.2	-2.0	6.7
10	13.4	16.2	11.2	17.3	16.0	12.6	19.1	5.5	5.1	6.7	4.5	6.0	1.0	9.4	2.0	3.4	6.1	2.3	14.0	-2.0	2.9
11	12.7	12.0	12.8	15.0	14.5	6.8	16.8	7.0	7.2	8.5	6.7	9.9	-0.5	9.8	7.1	6.7	8.2	6.8	13.5	0.4	5.4
12	14.1	15.7	16.1	16.6	16.0	9.0	22.8	6.1	5.7	5.3	9.1	11.5	-1.4	6.9	2.7	5.3	5.9	0.1	5.0	-0.7	5.6
13	13.7	14.9	14.0	15.7	14.8	13.0	21.9	6.4	7.8	9.7	6.2	7.7	0.0	9.6	0.6	2.6	5.2	0.1	4.0	-1.0	8.4
14	10.6	13.5	14.2	17.2	13.6	12.0	18.7	6.8	6.2	8.3	6.4	8.0	5.7	9.7	0.1	0.9	7.3	1.6	2.5	-9.0	6.7
15	8.3	9.4	12.3	14.6	12.6	11.5	17.4	5.1	5.6	8.5	5.7	4.5	1.0	11.8	1.2	1.2	1.5	2.8	2.2	-8.0	8.2
16	13.0	11.9	12.9	15.8	13.6	11.0	17.4	7.5	8.7	10.2	10.3	6.5	-0.8	14.7	1.0	0.7	2.9	2.4	4.4	-6.5	5.7
17	13.5	11.3	14.7	17.3	**19.8**	10.8	18.8	3.1	3.8	5.9	7.9	13.6	0.5	8.4	4.6	7.2	8.9	3.7	6.0	-5.5	7.3
18	14.4	16.3	16.9	19.5	17.7	10.0	15.7	**11.2**	10.9	9.8	12.4	16.6	1.0	6.6	5.0	7.9	8.4	7.9	6.0	-1.8	5.1
19	12.8	11.7	14.9	16.3	15.0	8.5	12.6	9.6	5.1	5.1	13.4	**16.7**	2.0	14.6	5.3	6.8	6.0	7.5	5.1	-1.4	**13.7**
20	10.8	10.8	11.6	11.8	14.8	6.8	11.4	7.9	4.6	3.7	13.3	7.6	2.0	9.7	6.1	7.0	8.4	8.8	7.4	-0.6	7.2
21	12.0	15.4	13.8	14.4	15.8	12.3	19.7	2.5	3.1	4.3	7.0	1.8	-0.5	10.4	6.0	7.8	9.2	8.8	8.7	-0.8	3.4
22	12.7	13.2	14.7	12.0	13.3	12.5	16.1	4.1	1.6	6.0	2.5	1.8	1.5	11.8	3.5	6.7	7.7	6.1	6.0	-1.5	12.6
23	13.3	15.1	14.4	14.9	14.0	8.5	**24.0**	0.6	0.1	3.7	2.6	1.5	-4.0	10.9	5.4	6.4	8.3	10.1	11.7	-1.5	4.6
24	14.6	15.3	15.4	17.6	14.4	14.4	20.2	0.6	1.2	2.4	4.6	0.7	-2.2	10.9	5.0	6.6	8.5	8.7	7.8	-2.4	3.4
25	16.8	**18.7**	19.1	17.7	18.0	12.7	18.6	1.3	2.5	4.3	5.6	4.4	3.2	10.2	7.1	7.9	9.4	9.1	7.6	-0.4	9.7
26	13.2	14.8	17.3	12.2	18.0	10.2	13.4	1.4	1.9	2.7	4.9	3.9	**5.8**	11.7	**11.2**	**10.2**	**13.2**	**13.7**	13.2	0.8	7.2
27	13.1	13.2	14.4	16.1	18.7	5.6	11.8	4.2	4.7	4.5	4.7	15.7	3.4	9.4	9.2	9.9	10.8	13.6	10.9	1.0	7.2
28	11.1	13.0	12.8	12.9	17.7	5.6	14.1	7.2	6.2	7.5	7.6	8.0	2.0	9.4	5.0	5.8	8.6	7.7	7.0	-1.3	8.8
29	3.5	4.9	6.2	5.2	3.8	-1.8	12.4	6.1	5.8	6.6	6.8	6.7	1.5	8.0	5.5	5.2	7.4	7.4	6.4	-0.5	13.2
30	6.8	8.9	8.4	9.8	6.2	1.0	18.0	3.8	5.5	6.3	7.6	14.5	3.1	8.7	11.0	9.5	**13.2**	11.4	8.9	1.6	10.2
31	4.9	5.3	6.2	7.1	5.8	0.9	13.7								9.1	7.3	8.4	9.3	9.8	1.0	9.2
Mittel	13.2	13.8	14.5	16.4	15.0	10.5	18.2	5.0	5.5	6.1	7.0	7.6	0.9	11 5	4.6	5.5	7.2	6.3	7.9	1.5	7.8

Monats- und Jahresübersichten sämtlicher schweizerischer meteorologischer Stationen

In die hier folgenden Übersichten werden die Beobachtungsresultate aller schweizerischen Stationen, soweit es die Zuverlässigkeit und Vollständigkeit derselben gestatten, aufgenommen. Zu beachten ist:

1. Die Minima und Maxima bei Luftdruck, Temperatur und die Minima bei der relativen Feuchtigkeit sind stets den üblichen Terminbeobachtungen entnommen (7^{30} 13^{30} 21^{30}, resp. 7^{30} 13^{30} 20^{30}).
2. Die Monatsmittel der Temperatur werden aus den 3 Terminbeobachtungen in der Weise abgeleitet, daß der Abendbeobachtung (21^{30}) das doppelte Gewicht beigelegt ist [$m = \frac{1}{4}$ ($7^{30} + 13^{30} + 2 \cdot 21^{30}$)]. Bei den wenigen Stationen, die eine andere Kombination der Beobachtungsstunden haben, wird eine nach den stündlichen Werten von Bern und Säntis berechnete Reduktion angebracht.
3. Als Tage mit Niederschlag werden diejenigen gezählt, an denen wenigstens 0,3 mm gemessen wurden. Eine zweite Rubrik enthält die Zahl der Tage mit Niederschlagsmengen von mindestens 1,0 mm.
4. Für die Zählung der Tage mit Gewittern werden nur die Gewitter berücksichtigt, welche über der Beobachtungsstation selbst niedergehen oder in höchstens 3 km Distanz an ihr vorüberziehen. (Nahgewitter). Tage mit mehreren Gewittern werden als «Gewittertage» nur einfach gezählt.
5. Als heitere (trübe) Tage werden solche bezeichnet, deren mittlere Bewölkung < 2 (> 8) Zehntel ist.
6. Bei der Übersicht der Windverteilung wird nur die Häufigkeit der verschiedenen Windrichtungen mit Index > 0 berücksichtigt.
7. λ bezeichnet die geographische Länge in Graden von Greenwich, β die geographische Breite, H_b die Höhe des Stationsbarometers über dem Meer in Metern, H die Höhe der Station (des Regenmessers) über Meer, G ist die Korrektion, welche an den Luftdruckdaten für deren Reduktion auf die Normalschwere (Konventioneller Standardwert $g_0 = 980{,}665$ cm/sec^2) noch anzubringen ist, h_r die Höhe des oberen Randes des Regenmessers über dem Erdboden. Die Stationen, bei denen die Höhe (des Barometergefäßes) bis auf den Dezimeter angegeben ist, sind an das schweizerische Präzisionsnivellement angeschlossen. Alle Höhen sind auf Pierre du Niton 373,6 m bezogen.

NB. Die den Schwerekorrektionen zugrundeliegenden Schwerewerte sind für die einzelnen meteorologischen Stationen aus den Schwerebestimmungen von Th. Niethammer (Astronomisch-geodätische Arbeiten in der Schweiz, Bände 12, 13, 15 und 16) berechnet worden.

Reihenfolge der Gebiete: Nordostschweiz, Zentralschweiz, Jura, Oberes Aare- und Saanegebiet, Südwestschweiz, Graubünden, Tessin.

Zürich MZA

$\lambda = 8°\,34'$, $\beta = 47°\,23'$, $H_b = 569.4^m$, $G = -0.01$ ‰, $h_r = 1.5^m$

1959	Luftdruck					Luft-Temperatur								Relative Feuchtigkeit					
	Mittel	Minimum	Tag	Maximum	Tag	7^{30}	13^{30}	21^{30}	Mittel	Minimum	Tag	Maximum	Tag	7^{30}	13^{30}	21^{30}	Mittel	Minimum	Tag
Januar	710.8	698.8	4	724.1	26	−1.2	2.1	−0.5	0.0	−7.8	18	10.2	22	85	68	81	78	38	20
Februar	721.6	713.7	1.2	731.2	15	−1.5	5.4	1.3	1.6	−5.4	4	13.6	28	89	61	80	77	41	28
März	711.6	702.7	7	720.6	23	4.7	11.0	6.8	7.3	0.4	15	17.9	21	87	59	79	75	37	21
April	709.0	697.3	10.16	719.2	1	7.1	13.7	9.1	9.8	0.4	21	21.7	14	74	49	63	62	26	25
Mai	711.1	703.5	9	717.5	13	10.9	18.1	12.3	13.4	5.0	1	23.8	10	77	49	73	66	32	26
Juni	714.5	706.8	29	720.6	14	14.7	20.0	15.4	16.4	8.8	12	27.6	19	79	57	77	71	37	3.4
Juli	713.9	706.9	29	721.4	1	17.2	24.3	18.2	19.5	10.5	1	31.3	10	79	52	76	69	34	27
August	714.0	709.7	10	720.2	25	14.6	21.7	15.9	17.0	9.4	31	27.5	26	85	55	82	74	41	16
September	714.4	709.9	14	718.8	28	11.5	20.5	14.2	15.1	5.3	30	25.8	13	89	56	80	75	39	13
Oktober	714.0	691.5	27	724.5	23	6.6	12.2	8.2	8.8	0.6	29	18.5	2	93	69	91	84	40	24
November	710.9	692.4	30	719.9	2	1.0	4.0	1.9	2.2	−2.0	24.25	10.8	19	93	79	91	88	55	19
Dezember	706.8	690.2	1	719.2	30	1.7	4.8	2.0	2.6	−4.7	16	10.3	27	87	72	87	82	49	11
Jahr	712.7	690.2	XII	731.2	II	7.3	13.2	8.7	9.5	−7.8	I	31.3	VII	85	60	80	75	26	IV

Zürich BG

$\lambda = 8°\,32'$, $\beta = 47°\,22'$, $H_b = 410.6^m$, $G = -0.02$ ‰, $h_r = 1.5^m$

Januar	725.3	713.0	4	739.0	26	0.0	2.6	0.5	0.9	−7.2	18	9.0	2.22	78	66	74	73	42	20
Februar	736.2	728.3	1	746.1	15	−0.7	5.6	1.5	2.0	−3.8	4	13.4	27	83	64	76	74	43	20
März	725.7	717.2	7	734.8	23	5.1	12.3	7.4	8.0	1.5	2	19.0	21	87	62	79	76	33	21
April	723.0	710.6	16	733.4	2	7.6	15.5	10.2	10.9	1.8	21	24.8	15	78	47	63	63	22	25
Mai	724.9	716.9	9	731.9	13	12.4	20.1	14.0	15.1	6.2	1	26.2	11	71	45	66	61	30	26
Juni	728.2	720.6	29	734.7	14	16.4	21.6	16.8	17.9	10.1	13	30.2	19	72	52	71	65	32	4
Juli	727.5	720.6	29	735.1	1	19.0	26.1	19.8	21.2	11.8	1	32.8	10	70	45	71	62	29	27
August	727.7	722.7	10	734.1	25	15.9	23.6	17.4	18.6	10.2	31	30.0	26	79	46	75	67	35	8
September	728.2	723.5	14	733.1	28	12.3	22.3	15.3	16.3	6.5	30	27.2	13	82	46	74	67	31	19
Oktober	728.2	705.2	27	739.2	23	7.5	13.5	9.0	9.7	2.7	29	20.2	2	89	59	87	78	33	23
November	725.3	706.7	30	734.3	2	2.3	4.9	3.2	3.4	−0.7	26	10.8	2	87	74	85	82	48	2
Dezember	721.1	704.1	1	733.1	30	3.0	5.2	3.0	3.5	−3.4	16	11.7	26	80	71	82	78	53	18
Jahr	726.8	704.1	XII	746.1	II	8.4	14.4	9.8	10.6	−7.2	I	32.8	VII	80	56	75	70	22	IV

Baden

$\lambda = 8°19'$, $\beta = 47°29'$, $H_b = 386.6^m$, $G = -0.04$ ‰, $h_r = 1.5^m$

Januar	—	—	—	—	—	−0.8	1.8	−0.4	0.1	−9.6	18	8.5	22	87	71	84	81	54	12
Februar	—	—	—	—	—	−1.7	4.0	0.4	0.8	−5.8	5	14.4	28	88	69	84	80	40	18 20.24
März	—	—	—	—	—	4.8	11.4	6.7	7.4	−1.3	2	17.4	21	90	58	82	77	38	21
April	—	—	—	—	—	7.1	14.7	8.7	9.8	0.9	1	22.7	14	82	47	72	67	24	21
Mai	—	—	—	—	—	11.8	19.6	12.9	14.3	4.5	1	25.8	9	74	44	72	63	27	26
Juni	—	—	—	—	—	16.0	21.6	16.0	17.4	10.1	13	28.8	19	76	52	77	68	33	4
Juli	—	—	—	—	—	18.4	25.4	18.5	20.2	12.0	1	32.4	10	75	49	78	67	32	27
August	—	—	—	—	—	15.2	22.7	16.4	17.7	11.6	30	28.5	26	83	51	80	71	37	31
September	—	—	—	—	—	11.5	20.6	14.3	15.2	6.5	30	25.0	13 16.23	81	49	72	67	37	7
Oktober	—	—	—	—	—	6.8	12.1	8.2	8.8	2.4	24	16.8	3	88	68	87	81	46	23
November	—	—	—	—	—	2.0	4.5	2.6	2.9	−1.3	22	9.1	18	88	76	85	83	53	7
Dezember	—	—	—	—	—	2.5	4.7	2.4	3.0	−5.0	17	9.7	30	85	73	83	80	54	20
Jahr	—	—	—	—	—	7.8	13.6	8.9	9.8	−9.6	I	32.4	VII	83	59	80	74	24	IV

Winterthur

$\lambda = 8°\,45'$, $\beta = 47°\,30'$, $H = 490^o$, $G = —$ ‰, $h_r = 1.5^m$

Januar	—	—	—	—	—	−1.4	1.5	−0.8	−0.4	−13.8	18	9.0	22	92	78	89	86	59	27
Februar	—	—	—	—	—	−2.0	4.3	0.5	0.8	−5.4	17	11.9	28	94	71	90	85	47	20
März	—	—	—	—	—	4.5	10.9	6.6	7.1	0.0	2	16.6	6	95	67	88	83	42	6
April	—	—	—	—	—	6.9	13.7	8.3	9.3	0.8	22	21.0	15	85	59	79	74	36	22.23
Mai	—	—	—	—	—	11.0	17.6	12.2	13.3	4.8	4	23.6	10	84	53	79	72	32	26
Juni	—	—	—	—	—	14.9	19.8	15.4	16.4	9.8	13	25.8	6	85	62	83	77	36	6
Juli	—	—	—	—	—	17.3	23.2	17.9	19.1	11.4	1	29.1	11	85	57	84	75	35	4
August	—	—	—	—	—	14.6	21.0	16.1	17.0	10.5	31	26.0	8	90	61	86	79	43	31
September	—	—	—	—	—	11.3	19.5	13.6	14.5	5.9	30	25.0	23	90	58	84	77	45	1.13
Oktober	—	—	—	—	—	6.5	11.8	7.9	8.5	1.4	29	16.3	2	95	77	93	88	52	25
November	—	—	—	—	—	1.2	4.0	2.3	2.5	−2.2	22	9.2	2	96	86	94	92	67	2
Dezember	—	—	—	—	—	1.8	4.6	2.0	2.6	−6.2	17	9.6	26.27	92	80	91	88	59	9
Jahr	—	—	—	—	—	7.2	12.6	8.5	9.2	−13.8	I	29.1	VII	90	67	87	81	32	V

Beobachter: Meteorolog. Zentralanstalt

Zürich MZA

Bewölkung				Termine mit Nebel				Niederschlag			Zahl der Tage								Windverteilung									1959
7³⁰	13³⁰	21³⁰	Mittel	7³⁰	13³⁰	21³⁰	Total	Summe	Maximum	Tag	●	≥1.0	✳	▲	⛆	≡	heiter	trüb	N	NE	E	SE	S	SW	W	NW	Calmen	
8.5	7.8	7.3	7.9	3	1	4	8	136	34	6	21	17	13	—	1	6	3	19	5	10	3	6	16	31	9	3	10	Januar
5.2	4.1	4.2	4.5	6	—	2	8	5	3	21	3	2	—	—	—	14	10	8	8	24	9	1	7	10	6	1	18	Februar
8.2	7.0	6.1	7.1	3	—	—	3	76	21	12	13	12	—	—	—	4	3	12	5	18	7	4	15	10	9	5	20	März
5.3	6.0	5.1	5.5	—	—	—	—	71	13	18	13	11	1	—	1	1	9	12	5	15	8	5	14	20	9	2	12	April
6.1	5.7	5.3	5.7	—	—	—	—	53	18	1	11	8	—	—	2	—	4	7	15	31	6	2	8	6	5	6	14	Mai
6.5	6.1	8.0	6.9	—	—	1	1	178	41	7	16	13	—	—	6	1	1	11	10	19	2	5	15	14	11	8	6	Juni
4.8	4.2	4.8	4.6	1	—	—	1	98	27	28	11	10	—	—	5	1	10	6	8	16	8	3	18	12	8	6	14	Juli
6.8	5.4	5.1	5.8	—	—	—	—	54	18	14.15	8	8	—	—	1	4	3	9	14	28	8	3	8	5	7	5	15	August
3.9	3.4	2.8	3.4	2	—	—	2	12	9	26	4	2	—	—	—	2	11	4	12	40	5	1	6	3	6	1	16	September
9.3	5.8	5.4	6.8	12	—	—	12	106	29	28	12	10	2	—	—	15	1	14	5	19	3	4	12	12	11	3	24	Oktober
9.3	8.9	7.9	8.7	7	3	6	16	48	17	14	10	8	2	—	—	12	—	22	8	22	3	5	20	10	5	3	14	November
9.1	7.4	7.7	8.1	2	—	1	3	97	25	23	15	12	1	—	—	4	—	18	4	12	3	—	22	29	8	3	12	Dezember
6.9	6.0	5.8	6.2	36	4	14	54	934	41	VI	137	113	19	—	16	64	55	142	99	254	65	39	161	162	94	46	175	Jahr

Beobachter: Botanischer Garten.

Zürich BG

7.5	7.1	7.3	7.3	1	4	5	10	136	33	6	20	17	15	—	—	7	3	16	—	—	—	—	—	—	—	—	—	Januar
7.5	3.8	3.6	5.0	7	—	6	13	7	5	21	3	1	—	—	—	11	5	6	—	—	—	—	—	—	—	—	—	Februar
8.2	6.2	4.9	6.4	5	—	—	5	72	17	12	13	12	—	—	—	5	4	11	—	—	—	—	—	—	—	—	—	März
5.1	5.4	4.0	4.8	—	—	—	—	80	15	18	13	13	—	1	—	—	11	11	—	—	—	—	—	—	—	—	—	April
5.8	4.6	4.7	5.0	—	—	—	—	42	17	1	9	6	—	—	2	—	3	6	—	—	—	—	—	—	—	—	—	Mai
6.7	5.8	6.5	6.3	—	—	—	—	201	44	7	16	15	—	1	4	—	5	12	—	—	—	—	—	—	—	—	—	Juni
5.4	4.6	3.8	4.6	1	—	—	1	105	33	11	11	11	—	1	4	1	10	8	—	—	—	—	—	—	—	—	—	Juli
6.6	4.6	4.5	5.2	1	—	—	1	45	18	14	9	8	—	—	4	1	3	8	—	—	—	—	—	—	—	—	—	August
4.0	3.2	1.2	2.8	—	—	—	—	12	9	26	3	2	—	—	—	—	15	1	—	—	—	—	—	—	—	—	—	September
9.4	5.2	4.4	6.3	11	1	2	14	88	28	28	12	10	—	—	—	12	1	12	—	—	—	—	—	—	—	—	—	Oktober
9.6	9.2	8.0	8.9	13	5	8	26	46	16	14	9	8	—	—	1	11	—	24	—	—	—	—	—	—	—	—	—	November
9.3	6.8	7.4	7.8	2	—	2	4	114	25	23	16	12	—	—	—	3	1	16	—	—	—	—	—	—	—	—	—	Dezember
7.1	5.5	5.0	5.9	41	10	23	74	948	44	VI	134	115	15	3	15	51	61	131	—	—	—	—	—	—	—	—	—	Jahr

Beobachter: Nordostschweiz. Kraftwerke AG

Baden

7.5	7.6	6.8	7.3	1	1	1	3	113	20	14	19	17	14	—	—	3	4	17	2	4	2	2	7	14	12	11	39	Januar
8.6	4.3	6.0	6.3	12	1	7	20	4	4	21	1	1	—	—	—	15	3	8	3	8	4	3	2	8	1	8	47	Februar
9.0	6.7	5.6	7.1	3	—	1	4	66	17	12	13	12	—	—	—	4	1	11	5	9	3	3	5	14	2	5	47	März
4.9	5.4	4.3	4.9	—	—	—	—	77	20	30	12	12	—	—	—	—	11	11	3	6	2	1	3	21	7	17	30	April
5.4	4.7	4.6	4.9	2	—	—	2	44	11	1	9	8	—	1	2	2	6	5	13	15	3	4	2	6	1	20	29	Mai
6.0	5.9	6.2	6.0	—	—	—	—	141	27	7	15	12	—	1	6	—	4	10	11	4	—	—	6	10	8	18	33	Juni
4.3	4.0	5.0	4.4	—	—	—	—	80	24	11	11	9	—	—	3	—	10	8	11	5	4	1	—	9	4	18	41	Juli
6.8	4.6	5.0	5.5	4	—	—	4	88	23	7	10	9	—	—	4	4	4	9	8	19	1	3	3	3	3	18	35	August
3.0	2.6	1.8	2.5	6	—	—	6	15	13	26	3	2	—	—	1	6	15	2	5	21	6	5	2	4	—	7	40	September
9.8	5.5	5.7	7.0	10	—	4	14	80	23	29	11	10	—	—	—	12	—	15	3	1	2	5	1	15	1	10	55	Oktober
9.4	9.1	8.7	9.1	7	3	6	16	48	15	14	11	9	2	—	—	9	—	23	5	9	4	5	4	10	2	3	48	November
9.5	7.6	8.2	8.4	3	1	3	7	95	24	23	18	13	—	—	—	5	—	21	3	5	5	5	4	30	7	6	28	Dezember
7.0	5.7	5.7	6.1	48	6	22	76	851	27	VI	133	114	16	2	16	60	58	140	72	106	36	37	39	144	48	141	472	Jahr

Beobachter: A. Meyer

Winterthur

7.9	6.6	7.6	7.4	—	—	—	—	136	31	6	21	20	15	—	—	—	3	17	—	—	1	—	2	1	—	—	89	Januar
6.8	4.0	4.0	4.9	6	—	1	7	6	3	21	4	2	1	—	—	7	9	8	—	4	1	—	—	—	—	—	79	Februar
7.6	6.2	5.8	6.5	—	—	—	—	65	17	12	13	10	—	—	—	—	4	9	—	1	1	—	—	—	—	—	91	März
4.4	5.1	5.0	4.8	—	—	—	—	82	18	18	13	12	—	—	—	—	10	8	—	1	1	3	2	—	—	—	83	April
5.0	5.6	4.9	5.2	—	—	—	—	49	20	14	8	4	—	—	2	—	4	6	1	3	5	—	2	1	—	—	81	Mai
6.6	6.0	6.3	6.3	—	—	—	—	193	76	7	17	14	—	—	3	—	1	10	—	—	—	—	—	—	—	—	90	Juni
4.6	4.0	4.3	4.3	—	—	—	—	80	29	11	12	9	—	1	4	—	10	6	—	1	1	2	—	—	—	—	89	Juli
5.5	4.8	5.1	5.1	—	—	—	—	60	15	14.15	10	8	—	1	3	—	4	5	—	7	4	—	—	—	—	—	82	August
2.8	2.3	1.8	2.3	1	—	—	1	8	5	26	3	3	—	—	—	1	17	2	—	2	4	1	1	—	—	—	82	September
8.5	5.3	4.6	6.1	10	1	—	11	86	26	28	13	9	2	—	—	10	2	9	—	—	3	—	1	—	—	—	89	Oktober
9.0	8.8	8.2	8.7	6	4	3	13	42	15	14	10	8	2	—	—	8	—	23	—	2	1	—	—	—	—	—	87	November
9.1	7.0	7.7	7.9	—	—	—	—	100	21	23	16	14	—	—	—	—	—	15	—	2	1	2	3	—	—	—	85	Dezember
6.5	5.5	5.4	5.8	23	5	4	32	907	76	VI	140	113	20	2	12	26	64	118	1	23	23	8	11	2	—	—	1027	Jahr

Frauenfeld

$\lambda = 8° 54'$, $\beta = 47° 33'$, $H_b = 408.9$ m, $G = 0.03$ ‰, $h_r = 5.0$ m

1959	Luftdruck					Luft-Temperatur								Relative Feuchtigkeit					
	Mittel	Minimum	Tag	Maximum	Tag	7^{30}	13^{30}	21^{30}	Mittel	Minimum	Tag	Maximum	Tag	7^{30}	13^{30}	21^{30}	Mittel	Minimum	Tag
Januar	725.4	713.3	4	739.7	26	−1.6	1.2	−1.0	−0.6	−12.2	18	7.4	1	89	76	84	83	56	27
Februar	736.6	729.2	1	747.5	15	−2.2	2.8	−0.1	0.1	−6.6	5	10.0	27	92	76	87	85	52	18
März	726.1	716.6	7	735.1	23	3.9	11.0	6.7	7.1	−1.0	3	17.7	21	92	65	84	80	39	21
April	723.3	711.1	7	733.9	2	6.6	14.8	9.3	10.0	0.0	22	22.7	14.15	82	53	75	70	34	23
Mai	725.4	717.8	9	732.4	13	10.9	19.4	13.6	14.4	4.6	4	24.8	21	81	49	73	68	33	26
Juni	728.6	720.7	29	735.8	14	15.1	21.3	16.7	17.5	10.3	13	28.1	19	80	56	75	70	39	4
Juli	727.8	720.4	29	735.2	1	17.3	25.2	19.3	20.3	12.1	1	32.1	10	83	52	76	70	32	22
August	728.2	723.8	10	734.7	25	14.9	22.7	17.4	18.1	9.5	31	28.1	26	90	55	83	76	38	31
September	728.7	723.8	14	733.7	28	10.3	20.9	14.4	15.0	4.8	30	25.5	23	93	54	84	77	42	1.10
Oktober	728.6	705.2	27	739.6	23	5.9	12.1	8.2	8.6	1.1	24.25	17.3	25	95	74	92	87	47	23
November	725.7	707.3	30	734.7	2	1.5	4.3	2.4	2.7	−1.5	26	8.9	2	94	84	93	90	58	2
Dezember	721.4	705.1	1	733.3	30	2.4	4.9	2.2	2.9	−5.5	16	10.6	26	89	79	90	86	53	17
Jahr	727.2	705.1	XII	747.5	II	7.1	13.4	9.1	9.7	−12.2	I	32.1	VII	88	64	83	78	32	VII

Frauenfeld: Standortverl. u. Beob'wechsel am 18. März. Bisheriges $H_b = 432.9$ m Alle Luftdruckwerte beziehen sich auf die neue Höhe.

Kreuzlingen

$\lambda = 9° 10'$, $\beta = 47° 39'$, $H_b = 445.6$ m, $G = 0.03$ ‰, $h_r = 1.5$ m

Januar	722.0	710.0	8	737.1	25	−1.4	1.1	−0.9	−0.5	−9.2	18	8.2	22	87	80	83	83	58	23
Februar	733.0	726.1	1	742.9	15	−2.2	2.2	−0.2	−0.1	−6.0	17	9.7	27	95	80	89	88	50	18
März	722.7	713.6	7	731.4	23	3.9	10.2	5.9	6.5	−1.4	1	15.6	21	93	67	80	80	39	21
April	719.9	708.5	7	730.3	2	7.4	13.5	8.7	9.6	0.0	21	20.9	16	81	55	73	70	38	5.21 22
Mai	721.9	714.7	9	728.6	13	11.5	17.8	12.0	13.3	3.2	4	25.0	21	79	52	76	69	31	18
Juni	725.0	717.2	29	731.5	14	15.2	20.1	15.0	16.3	8.0	11	25.6	19	80	60	79	73	38	5
Juli	724.4	716.6	29	731.6	1	17.2	24.2	17.4	19.1	11.2	1	29.8	11	88	54	85	76	31	27
August	724.6	720.7	12.13	730.9	25	14.9	22.0	16.2	17.3	10.8	31	27.5	26	94	57	86	79	40	17
September	725.3	720.8	16	730.2	27	10.9	20.6	13.6	14.7	4.2	30	24.8	22	96	54	84	78	44	1
Oktober	724.9	703.2	27	735.5	23	6.7	12.0	8.2	8.8	1.1	29	17.4	25	98	74	95	89	46	25
November	722.2	704.8	30	730.9	2	1.5	4.1	2.0	2.4	−1.6	3.25	8.3	2	97	87	95	93	68	11
Dezember	718.1	702.4	1	729.3	30	2.0	4.5	1.9	2.6	−4.2	17	10.0	27	94	83	95	91	48	9
Jahr	723.7	702.4	XII	742.9	II	7.3	12.7	8.3	9.2	−9.2	I	29.8	VII	90	67	85	81	31	V/VII

Haidenhaus

$\lambda = 9° 01'$, $\beta = 47° 39'$, $H = 694$ m, $G = -$ ‰, $h_r = 1.5$ m

Januar	—	—	—	—	—	−2.3	0.0	−1.7	−1.4	−9.8	18	8.6	1	91	80	86	86	48	22
Februar	—	—	—	—	—	−1.6	3.2	0.7	0.7	−6.7	4	9.9	27.28	91	72	80	81	45	18
März	—	—	—	—	—	4.5	9.2	5.8	6.3	−0.9	15	15.2	4	88	68	79	78	43	19
April	—	—	—	—	—	6.6	11.7	8.0	8.6	−0.7	21	20.0	15	76	55	64	65	34	23
Mai	—	—	—	—	—	10.2	15.9	11.5	12.3	2.9	1	21.9	21	80	53	68	67	35	26
Juni	—	—	—	—	—	13.7	17.8	14.3	15.0	7.1	11	23.8	19	83	63	75	74	38	20
Juli	—	—	—	—	—	16.7	21.7	17.2	18.2	9.6	1	28.0	10	79	58	74	70	34	27
August	—	—	—	—	—	14.1	19.4	15.1	15.9	9.2	31	24.8	26	89	92	81	87	43	17.31
September	—	—	—	—	—	11.0	18.0	13.6	14.0	4.1	30	21.9	23	85	59	68	71	43	12
Oktober	—	—	—	—	—	6.5	10.7	7.6	8.1	−0.2	29	15.9	2	91	74	87	84	54	24
November	—	—	—	—	—	0.4	2.9	1.0	1.3	−3.2	24.25	8.0	19	95	86	94	92	53	20
Dezember	—	—	—	—	—	0.6	2.8	1.1	1.4	−4.1	16	8.6	1	92	84	88	88	56	17
Jahr	—	—	—	—	—	6.7	11.1	7.8	8.4	−9.8	I	28.0	VII	87	70	79	79	34	IV/VII

St. Gallen

$\lambda = 9° 25'$, $\beta = 47° 26'$, $H_b = 663.6$ m, $G = -0.03$ ‰, $h_r = 1.5$ m

Januar	701.0	691.8	4	716.2	26	−1.9	0.9	−1.5	−1.0	−10.6	18	13.4	20	87	79	83	83	26	20
Februar	713.4	706.3	1.2	722.7	15	−2.3	3.6	0.0	0.3	−6.4	4.15	11.8	20	91	77	82	83	40	20
März	704.3	695.5	7	712.7	23	4.2	9.1	5.7	6.2	−0.5	15	16.8	3	88	75	82	82	36	3
April	701.9	690.3	7.16	711.5	1	7.4	11.7	7.9	8.7	−0.5	21	19.2	5.14	77	61	73	70	32	6.24
Mai	704.0	697.4	9	710.0	13	10.9	15.7	10.4	11.9	3.4	3	23.2	21	82	65	80	76	42	10.26
Juni	707.0	700.0	29	713.1	14	14.3	18.1	13.8	15.0	7.2	12	24.3	18	87	73	82	81	44	18
Juli	706.6	699.1	29	713.1	1	17.7	22.5	16.5	18.3	10.0	1	29.2	10	84	70	81	78	41	3
August	706.7	703.4	13	712.7	25	14.4	20.4	14.3	15.9	8.0	30	25.8	10	92	79	88	86	63	5
September	707.1	703.3	16	711.3	28	10.6	19.0	11.9	13.4	3.6	30	24.1	23	93	67	88	83	53	1.7
Oktober	706.4	686.1	27	716.6	23	5.3	11.5	6.7	7.6	−1.0	30	17.5	2	95	77	89	87	50	25
November	703.5	686.4	30	711.8	2	0.1	4.1	1.3	1.7	−4.2	24	15.2	30	96	85	92	91	38	30
Dezember	699.5	683.8	1	710.8	30	1.0	4.0	1.0	1.8	−4.8	16	12.6	1	91	82	90	88	35	1
Jahr	705.1	683.8	XII	722.7	II	6.8	11.7	7.3	8.3	−10.6	I	29.2	VII	89	74	84	82	26	I

Beobachter: S. Dannacher, M. Joos

Frauenfeld

Bewölkung				Termine mit Nebel				Niederschlag			Zahl der Tage							Windverteilung									1959
7³⁰	13³⁰	21³⁰	Mittel	7³⁰	13³⁰	21³⁰	Total	Summe	Maximum	Tag	●	●• ≧1.0	✳	▲	⛆	≡	heiter	trüb	N	NE	E	SE	S	SW	W	NW	Calmen	
9.1	7.7	8.6	8.5	2	—	2	4	121	23	14	20	20	15	—	—	4	—	24	3	4	5	2	6	22	9		42	Januar
9.0	7.0	7.0	7.7	12	4	3	19	3	1	1	4	2	1	—	—	12	3	19	1	13	16	8	1	4	1	—	40	Februar
8.7	7.4	6.5	7.5	4	—	—	4	57	19	12	11	8	—	—	—	6	2	14	1	11	7	1	3	3	8	1	58	März
6.3	6.8	4.7	5.9	—	—	—	—	58	16	30	12	11	—	—	—	—	6	12	2	12	1	—	—	13	8	8	46	April
5.8	6.6	4.6	5.7	—	—	—	–	68	30	1	9	8	—	—	1	1	2	7	7	17	7	—	—	2	5	2	53	Mai
6.9	7.0	6.3	6.7	—	—	—	–	180	93	7	14	12	–	1	3	—	—	13	7	5	5	3	—	7	3	8	52	Juni
5.3	4.3	4.6	4.7	—	–	–	–	68	23	28	13	11	—	1	2	—	6	6	2	9	2	2	1	7	5	7	58	Juli
6.7	5.3	4.8	5.8	1	—	—	1	81	28	14	10	7	—	1	1	1	5	11	7	13	2	1	—	–	2	5	63	August
3.6	3.1	1.5	2.7	6	—	—	6	23	10	26	3	3	—	—	—	6	16	2	3	13	4	—	—	–	1	8	61	September
9.5	5.3	5.3	6.7	13	–	—	13	89	28	29	10	9	1	–	—	13	—	14	2	6	3	—	—	7	4	3	68	Oktober
9.6	9.5	7.9	9.0	12	4	3	19	43	11	15	10	9	2	—	—	13	–	24	—	12	4	—	—	2	1	4	67	November
9.3	8.1	7.7	8.4	1	1	–	2	91	23	26	15	13	—	–	—	4	—	19	2	6	2	3	4	18	6	4	48	Dezember
7.5	6.5	5.8	6.6	51	9	8	68	882	93	VI	131	113	19	3	7	60	40	165	37	121	58	20	15	85	53	50	656	Jahr

Beobachter: Familie Zwick

Kreuzlingen

9.0	7.5	6.5	7.7	3	4	2	9	126	24	14	19	15	13	—	—	6	1	11	2	3	6	1	—	35	21	7	18	Januar
8.8	6.6	4.3	6.6	12	5	6	23	2	1	21	2	1	—	—	—	12	1	9	8	11	6	6	2	5	6	4	36	Februar
8.4	6.6	4.1	6.4	7	—	—	7	55	*19	12	11	7	—	—	—	8	4	8	10	6	6	5	1	6	9	7	43	März
5.0	5.8	4.2	5.0	—	—	—	—	59	15	30	13	10	1	—	—	—	9	8	4	4	10	6	3	15	12	3	33	April
5.1	5.6	5.0	5.2	1	—	—	1	119	49	21	9	8	—	1	2	1	5	5	9	16	11	1	2	6	10	11	27	Mai
7.5	6.4	5.8	6.6	—	—	—	–	133	46	7	16	13	—	–	2	–	2	11	7	13	3	3	3	15	11	9	26	Juni
5.4	4.0	3.2	4.2	—	–	–	—	57	16	28	11	11	—	–	2	—	10	4	1	7	6	3	3	11	6	5	51	Juli
7.0	5.3	4.4	5.6	4	—	–	4	91	38	14	10	7	—	—	1	4	2	8	3	10	7	1	1	4	8	3	56	August
2.8	2.4	1.9	2.4	5	—	–	5	37	25	26	2	2	—	—	—	5	18	—	6	7	2	—	—	1	2	—	72	September
8.9	5.4	4.9	6.4	10	2	3	15	98	41	29	11	8	—	—	—	13	1	10	1	—	2	—	2	8	5	2	73	Oktober
9.8	9.2	7.3	8.8	6	2	6	14	43	12	15	9	8	—	—	—	9	—	20	1	3	2	1	1	4	5	1	72	November
9.4	8.0	7.3	8.2	3	2	2	7	100	25	26	17	14	—	—	—	5	—	17	—	2	—	—	3	17	7	1	63	Dezember
7.3	6.1	4.9	6.1	51	15	19	85	920	49	V	130	104	14	1	7	63	53	111	52	82	61	27	21	127	102	53	570	Jahr

Beobachter: A. Bauer

Haidenhaus

8.0	8.4	6.5	7.6	7	3	2	12	127	24	14	19	17	15	—	–	7	2	17	1	14	—	5	1	34	28	5	5	Januar
5.0	5.0	3.6	4.5	5	2	2	9	4	1	10	5	2	1	—	—	6	13	8	1	18	7	2	1	6	18	7	24	Februar
7.7	6.8	5.2	6.6	5	2	1	8	62	19	12	12	10	2	—	—	8	4	12	5	28	5	—	—	3	35	15	2	März
5.9	5.7	4.3	5.3	1	—	–	1	61	17	30	11	11	4	—	—	1	11	12	—	22	9	2	—	13	39	5	—	April
6.9	6.9	4.3	6.0	2	1	—	3	70	32	1	8	6	—	—	1	3	3	9	7	39	10	3	—	3	18	13	—	Mai
7.8	7.1	6.4	7.1	2	—	—	2	191	69	7	16	13	—	—	4	2	2	17	2	14	1	1	—	21	23	26	2	Juni
4.8	4.8	4.4	4.7	3	—	—	3	68	20	28	10	9	—	1	5	3	11	7	4	26	2	1	1	19	20	14	6	Juli
6.9	5.1	4.7	5.6	3	—	—	3	108	47	22	12	11	—	—	1	3	4	9	8	27	2	2	—	15	11	20	8	August
2.1	1.2	0.7	1.3	1	—	—	1	35	26	26	2	2	—	–	—	1	22	1	14	30	—	—	—	—	5	38	3	September
6.9	5.1	4.3	5.4	9	2	—	11	100	34	29	11	9	4	—	—	10	6	9	3	16	—	—	—	9	19	17	29	Oktober
7.8	7.9	6.3	7.3	8	5	4	17	41	10	14.15	9	7	4	—	—	8	3	7	1	30	3	5	—	9	16	5	21	November
8.8	8.3	6.9	8.0	10	5	4	19	99	26	26	15	14	5	—	–	12	2	19	1	9	4	1	5	15	47	4	7	Dezember
6.6	6.0	4.8	5.8	56	20	13	89	966	69	VI	130	111	35	1	11	64	83	127	47	273	43	22	8	147	279	169	107	Jahr

Beobachter: Botanischer Garten

St. Gallen

8.4	6.7	7.1	7.4	4	4	3	11	110	26	14	19	16	16	—	–	5	1	16	—	1	—	1		23	8	4	56	Januar
5.5	4.3	3.5	4.4	7	6	3	16	15	13	21	3	2	1	–	—	10	9	6	2	1	—	—	—	4	3	—	74	Februar
8.2	6.8	5.3	6.8	8	1	–	9	73	21	7	10	9	—	—	—	10	3	12	1	2	—	2	2	4	2	1	79	März
4.3	5.2	4.8	4.8	—	—	—	—	101	29	19	12	9	5	—	—	—	11	9	2	1	1	1	3	13	8	—	61	April
5.1	5.4	4.6	5.0	—	—	—	—	124	55	1	11	9	—	—	3	—	7	7	10	1	—	—	—	3	1	1	77	Mai
7.3	6.0	6.4	6.6	2	—	—	2	238	77	7	22	18	—	3	6	2	3	10	1	1	—	—	1	12	4	—	71	Juni
4.8	4.5	3.8	4.4	—	—	—	—	74	20	15	12	11	—	—	8	1	10	6	3	1	—	—	4	7	5	—	73	Juli
6.1	5.1	5.8	5.7	—	—	—	—	62	19	15	13	9	—	—	3	—	4	9	13	—	—	—	—	2	2	1	75	August
4.8	3.1	2.1	3.3	5	—	–	5	47	22	26	3	3	—	—	1	6	12	3	7	1	—	—		2	1	2	77	September
6.6	5.2	4.4	5.4	8	1	1	10	131	44	28	10	10	3	—	—	11	6	9	3	—	—	—	—	4	3	–	83	Oktober
8.0	8.7	7.7	8.1	6	7	8	21	55	23	15	8	6	5	—	—	9	—	18	2	—	—	2	—	4	3	—	79	November
8.8	7.5	6.6	7.6	4	2	1	7	61	8	26	15	13	6	—	—	8	—	16	—	—	—	—	3	16	1	1	72	Dezember
6.5	5.7	5.2	5.8	44	21	16	81	1091	77	VI	138	115	36	3	21	62	66	116	44	9	1	6	13	94	41	10	877	Jahr

Heiden

$\lambda = 9^{\circ}\,32'$, $\beta = 47^{\circ}\,27'$, $H_b = 811.4^{m}$, $G = -0.05\ ^{m}/_{m}$, $h_r = 1.5^{m}$

1959	Luftdruck					Luft-Temperatur								Relative Feuchtigkeit					
	Mittel	Minimum	Tag	Maximum	Tag	7^{30}	13^{30}	21^{30}	Mittel	Minimum	Tag	Maximum	Tag	7^{30}	13^{30}	21^{30}	Mittel	Minimum	Tag
Januar	690.0	679.1	4	703.0	26	−2.3	0.2	−2.4	−1.7	−12.1	18	12.1	22	79	69	78	75	33	20
Februar	699.4	692.6	2	708.3	15	−2.6	3.4	−1.4	−0.5	−8.9	2	10.5	28	83	64	82	76	39	20
März	691.5	682.7	7	699.9	23	4.1	8.7	4.3	5.3	−1.9	17	15.3	6	78	61	78	72	26	3
April	689.1	677.3	10	698.7	1	6.6	11.0	6.2	7.5	−2.3	21	18.9	14	65	53	73	64	31	14.26
Mai	691.4	685.5	9	697.0	13	10.2	15.1	9.1	10.9	0.7	3	22.1	21	66	50	78	65	31	21
Juni	694.7	687.6	29	700.5	14	13.5	17.0	12.5	13.9	6.7	11	22.9	18.19	71	59	79	70	33	3.4
Juli	694.5	688.0	29	700.7	2	16.9	21.0	15.2	17.1	8.7	1	26.9	10	67	54	77	66	33	12
August	694.4	690.9	14	700.4	25	13.7	18.6	13.4	14.8	6.7	31	24.1	8	75	56	82	71	39	31
September	694.6	690.1	14	698.6	28	10.4	17.0	10.5	12.1	2.1	30	20.9	23	80	57	85	74	40	1.7
Oktober	693.8	673.2	28	704.0	23	5.0	10.6	5.8	6.8	−1.7	30	15.3	2	90	73	89	84	32	17
November	690.6	674.1	30	698.8	2	0.7	4.4	0.6	1.6	−6.1	24	12.7	19	86	73	90	83	26	20
Dezember	686.6	671.4	1	698.3	30	1.2	4.0	1.3	2.0	−7.8	15	12.4	31	84	72	79	78	34	1
Jahr	692.5	671.4	XII	708.3	II	6.4	10.9	6.3	7.5	−12.1	I	26.9	VII	77	62	81	73	26	III/XI

Altstätten

$\lambda = 9^{\circ}\,33'$, $\beta = 47^{\circ}\,23'$, $H_b = 467.6^{m}$, $G = -0.02\ ^{m}/_{m}$, $h_r = 1.5^{m}$

Januar	720.4	709.4	4	734.4	26	−1.4	1.6	−1.2	−0.5	−11.8	18	15.6	22	83	71	83	79	32	20
Februar	731.0	722.9	1	741.5	15	−2.8	4.0	−0.4	0.1	−8.3	9	12.0	28	92	73	87	84	48	28
März	720.9	711.8	7	729.6	23	5.0	12.3	7.1	7.9	0.1	18	18.4	6	86	62	77	75	28	3
April	718.0	705.7	16	728.6	1	7.4	14.5	8.8	9.9	−0.2	22	23.5	15	78	55	72	68	32	5
Mai	720.1	712.8	9	726.6	13	11.3	19.2	12.3	13.8	4.1	1	26.7	21	76	52	74	67	32	26
Juni	723.3	715.5	29	729.8	14	14.6	20.4	14.3	15.9	7.5	11	27.0	21.23	82	60	79	74	34	4
Juli	722.7	714.5	29	729.8	2	17.8	24.8	17.6	19.5	11.8	31	32.0	10	79	55	76	70	32	21
August	722.9	719.1	13	729.2	25	15.2	22.5	16.1	17.5	8.8	31	28.4	26	86	56	79	74	39	31
September	723.4	718.4	14	728.2	28	11.5	21.0	14.0	15.1	5.4	30	25.2	13	91	55	79	75	37	7
Oktober	723.2	701.0	27	734.2	23	5.4	13.3	7.8	8.6	−0.3	30	18.4	3.10	93	68	87	83	29	17
November	720.4	702.7	30	729.3	2	0.5	5.4	1.8	2.4	−3.8	24	15.4	30	92	77	89	86	36	17.30
Dezember	716.2	700.0	1	727.9	30	1.3	5.2	2.0	2.6	−6.2	15	14.0	1	85	76	82	81	31	1
Jahr	721.9	700.0	XII	741.5	II	7.2	13.7	8.4	9.4	−11.8	I	32.0	VII	85	63	80	76	28	III

Säntis

$\lambda = 9^{\circ}\,21'$, $\beta = 47^{\circ}\,15'$, $H = 2500.1^{m}$, $G = -0.29\ ^{m}/_{m}$, $h_r = 1.3^{m}$

Januar	556.8	545.6	8	568.7	27	−9.8	−8.9	−10.0	−9.7	−19.2	11	2.8	30	81	78	81	80	21	28
Februar	567.8	556.3	1	576.5	15	−5.3	−2.9	−4.9	−4.5	−17.4	1	4.2	27	56	53	58	56	9	17.19
März	560.8	553.7	7	568.9	22	−4.5	−1.6	−4.5	−3.8	−9.3	14	3.2	24	80	75	82	79	12	15
April	559.1	547.3	10	567.4	2	−3.1	−1.3	−3.7	−2.9	−14.0	21	8.2	14	71	72	80	74	10	2.3
Mai	562.6	557.2	30	567.2	12	1.4	2.7	−0.2	0.9	−8.0	3	9.5	21	76	80	92	83	40	21
Juni	566.7	558.2	29	571.0	14	3.2	4.8	3.2	3.6	−5.2	12	11.8	20	90	91	94	92	36	15
Juli	568.1	559.9	30	572.5	7	7.1	9.1	6.6	7.3	−1.0	1	16.1	11	73	80	80	78	8	22
August	567.1	562.9	31	574.3	25	5.2	7.5	4.3	5.3	−1.5	17	14.3	8	82	85	90	86	34	31
September	567.3	563.6	6	570.9	10	5.2	7.3	5.0	5.6	0.2	6	12.3	15	68	79	73	73	14	11
Oktober	564.3	545.2	28	572.5	2	−0.6	1.5	−0.6	−0.1	−11.3	30	7.2	3	72	76	75	74	22	3
November	559.6	546.2	30	567.2	19	−4.6	−3.0	−4.5	−4.2	−11.2	6	5.0	20	69	67	70	69	11	23
Dezember	555.4	544.9	1	567.0	31	−7.0	−5.9	−6.9	−6.7	−12.3	6	1.0	2	89	82	81	84	22	14
Jahr	563.0	544.9	XII	576.5	II	−1.1	0.8	−1.3	−0.8	−19.2	I	16.1	VII	76	76	80	77	8	VII

Sargans

$\lambda = 9^{\circ}\,26'$, $\beta = 47^{\circ}\,03'$, $H_b = 509.9^{m}$, $G = -00.8\ ^{m}/_{m}$, $h_r = 1.5^{m}$

Januar	716.2	704.5	14	730.3	26	0.7	1.8	0.2	0.4	−7.1	18	14.1	22	75	70	76	74	38	20
Februar	726.8	718.5	1	737.0	16	0.1	6.0	2.6	2.8	−6.2	15	13.0	27	70	58	73	67	36	28
März	716.7	707.2	7	725.8	23	6.7	12.7	8.8	9.2	2.0	15	18.3	21	71	57	66	65	31	2
April	714.0	702.2	16	724.8	1	7.1	13.8	9.8	10.1	0.3	21	23.0	15	70	51	62	61	30	15
Mai	716.0	708.3	9	722.8	14	11.3	18.5	13.3	14.1	3.5	1	25.8	11	71	52	68	64	33	10
Juni	719.4	711.9	29	725.9	14	14.3	19.1	15.4	16.1	7.2	11	27.0	19	78	61	78	72	41	4
Juli	718.8	711.0	29	726.4	2	17.2	23.3	18.5	19.4	11.0	1	29.2	10	74	58	72	68	40	12
August	718.8	714.8	13	725.5	25	15.1	21.2	16.6	17.4	9.6	31	26.4	27	78	58	77	71	40	10.21
September	719.4	714.0	14	723.6	28	12.3	20.0	15.0	15.6	7.0	30	25.0	13	80	57	78	72	39	12
Oktober	719.0	696.3	27	729.4	23	7.2	13.8	9.5	10.0	0.7	28	21.0	10	74	58	79	70	29	10
November	716.0	698.3	30	725.9	2	1.6	7.1	2.7	3.5	−3.5	23	16.2	20	82	64	82	76	27	20
Dezember	712.2	696.4	1	724.3	30	2.8	5.5	3.3	3.7	−4.2	15	12.6	1	75	66	71	71	31	23
Jahr	717.8	696.3	X	737.0	II	7.9	13.6	9.6	10.2	−7.1	I	29.2	VII	75	59	73	69	27	XI

Beobachter: **Frau F. Niederer-Tobler**

Heiden

Bewölkung				Termine mit Nebel				Niederschlag			Zahl der Tage								Windverteilung								1959
7³⁰	13³⁰	21³⁰	Mittel	7³⁰	13³⁰	21³⁰	Total	Summe	Maximum	Tag	● *	●● ≥1.0	*	▲	⛆	≡	heiter	trüb	N	NE	E	SE	S	SW	W	NW	Calmen	
7.2	6.9	6.2	6.8	1	3	—	4	108	31	14	15	13	13	—	—	3	5	15	3	10	1	8	24	8	17	5	17	Januar
3.8	3.6	2.1	3.2	5	4	1	10	17	17	21	1	1	1	—	—	5	14	14	7	9	—	1	1	4	2	27	33	Februar
7.6	7.4	5.5	6.8	4	1	—	5	70	24	7	11	9	1	—	—	4	5	13	7	4	4	8	10	7	11	27	15	März
4.9	6.1	5.1	5.4	—	—	—	—	115	40	19	10	8	3	—	—	—	10	10	23	4	—	11	13	6	9	15	9	April
4.9	6.1	4.5	5.2	—	—	1	1	190	105	1	9	7	—	—	2	2	6	8	35	9	1	7	5	1	4	20	11	Mai
7.3	7.2	7.1	7.2	—	—	—	—	230	82	7	20	18	—	1	3	1	3	16	24	3	—	4	6	3	16	16	18	Juni
4.8	4.5	4.2	4.5	—	—	—	—	87	18	15	11	11	—	—	2	—	10	7	25	—	—	6	6	6	7	24	19	Juli
5.6	5.8	5.4	5.6	1	—	—	1	60	19	15	10	9	—	—	2	1	6	10	21	9	—	3	4	4	9	15	28	August
4.4	3.5	1.7	3.2	4	—	—	4	43	29	17	3	3	—	—	—	4	15	3	16	5	—	1	1	—	7	15	45	September
6.0	5.4	4.3	5.2	4	1	—	5	154	42	28	10	9	3	—	—	5	10	12	7	8	4	—	2	9	9	9	45	Oktober
7.1	8.4	6.1	7.2	5	3	1	9	57	25	15	7	7	6	—	—	6	3	13	13	12	2	6	10	6	4	5	32	November
8.2	7.2	6.9	7.4	1	2	2	5	73	12	4	16	14	6	—	—	6	3	15	9	11	1	17	16	12	9	4	14	Dezember
6.0	6.0	4.9	5.6	25	14	5	44	1204	105	V	123	109	33	1	9	37	90	126	190	84	13	72	98	66	104	182	286	Jahr

Beobachter: **Frau P. Eisenring**

Altstätten

7.8	7.4	6.1	7.1	5	2	3	10	105	28	14	17	16	12	—	—	5	2	15	1	—	—	—	—	14	4	4	70	Januar
6.1	4.5	4.0	4.9	11	7	5	23	24	22	21	3	2	1	—	—	12	8	5	1	2	—	—	—	2	1	2	76	Februar
8.0	7.7	5.7	7.1	7	1	1	9	41	14	7	10	9	—	—	—	7	3	14	1	2	—	—	1	10	1	3	75	März
5.0	6.0	4.6	5.2	—	—	1	1	100	25	7	8	7	—	—	—	1	10	10	2	3	—	1	2	14	1	2	65	April
5.7	6.2	4.8	5.6	—	—	—	—	200	119	1	11	7	—	—	1	—	5	8	1	6	—	1	—	2	1	5	77	Mai
7.6	7.1	6.4	7.0	—	—	1	1	224	50	7	20	19	—	—	5	1	2	15	1	8	—	—	—	3	1	4	73	Juni
5.6	5.4	4.4	5.1	1	1	—	2	124	25	15	11	11	—	—	1	2	7	7	3	8	1	3	1	5	3	2	67	Juli
5.8	6.4	5.2	5.8	1	—	—	1	49	14	15	10	8	—		1	1	5	9	2	3	1	3	—	5	—	6	73	August
5.1	4.1	2.2	3.8	3	—	—	3	42	21	17	4	3	—	—	—	3	11	4	—	6	1	—	1	4	1	1	76	September
7.8	6.2	5.1	6.4	7	—	4	11	118	38	28	10	9	3	—	—	10	3	10	1	4	—	—	1	1	—	1	85	Oktober
8.0	8.8	8.3	8.4	14	8	13	35	62	27	15	8	6	3	—	—	21	—	18	1	3	—	—	1	3	1	—	81	November
8.3	7.4	6.2	7.3	5	3	4	12	66	12	3	12	10	3	—	—	8	3	15	1	3	—	1	2	8	1	2	75	Dezember
6.7	6.4	5.2	6.1	54	22	32	108	1155	119	V	124	107	22	—	8	71	59	130	15	48	3	9	9	71	15	32	893	Jahr

Beobachter: **W. Utzinger**

Säntis

6.8	7.0	6.7	6.8	17	15	12	44	116	24	8	19	18	19	—	—	20	7	16	4	6	6	1	1	13	43	19	—	Januar
2.8	3.6	3.6	3.3	4	3	3	10	43	25	21	2	2	2	—	—	4	13	3	8	9	11	10	6	15	22	3	—	Februar
7.4	7.6	5.6	6.9	10	9	7	26	71	21	7	11	7	11	—	—	14	4	13	3	6	4	7	14	32	19	8	—	März
5.9	7.1	6.4	6.5	9	10	11	30	143	38	19	11	9	11		—	13	4	14	11	12	3	6	3	20	27	8	—	April
6.0	8.7	7.3	7.3	9	8	14	31	148	93	1	10	6	6	2	3	19		14	13	7	9	8	6	13	24	10	3	Mai
8.4	9.2	8.0	8.5	17	17	18	52	325	41	29	22	22	8	—	3	25	—	17	11	8	3	2	4	9	44	7	2	Juni
5.2	8.1	5.6	6.3	10	10	7	27	216	36	1	14	13	4	1	6	23	3	8	7	10	6	3	2	16	40	8	1	Juli
5.7	8.7	6.4	6.9	10	13	10	33	144	27	15	15	13	1	1	4	26	1	13	8	11	11	5	4	18	31	5	—	August
3.5	6.3	3.6	4.5	5	8	6	19	73	30	17	6	6	—	—	—	17	10	6	5	12	14	12	3	10	29	3	2	September
5.0	5.2	4.3	4.8	9	7	8	24	155	65	29	10	8	9	—	—	12	11	9	3	1	10	9	5	31	28	6	—	Oktober
5.4	6.4	4.6	5.5	7	6	7	20	70	28	15	10	8	10	—	—	11	9	8	5	10	11	5	9	23	23	2	2	November
6.9	6.9	5.9	6.6	15	12	11	38	208	26	24	18	16	18	—	—	20	4	14	6	2	2	6	8	14	47	8	—	Dezember
5.8	7.1	5.7	6.2	122	118	114	354	1712	93	V	148	128	99	4	16	204	66	135	84	94	90	74	65	214	377	87	10	Jahr

Beobachter: **J. Albrecht**

Sargans

7.3	6.9	7.2	7.1	2	1	2	5	110	22	8	16	12	14	—	—	4	3	16	8	6	21	11	10	13	11	13	—	Januar
3.5	2.6	2.4	2.8	3	—	—	3	24	24	21	2	1	1	—	-	3	13	2	—	1	20	26	11	17	3	6	—	Februar
6.5	5.8	5.6	6.0	—	—	—	—	46	20	7	10	8	—	—	—	—	4	8	2	1	6	10	26	15	24	9	—	März
4.8	6.2	4.8	5.3	1	—	—	1	87	17	18	9	9	1	—	—	1	7	8	—	2	3	19	21	20	14	11	—	April
4.7	6.9	5.6	5.7	—	—	—	—	90	45	1	9	7	—	—	—	2	7	1	3	8	20	23	12	19	7	—	Mai
7.1	7.5	7.7	7.4	—	—	—	—	191	42	13	22	18	—	—	3	—	—	15	—	2	1	12	9	20	24	20	2	Juni
4.2	5.6	4.9	4.9	—	—	—	—	95	22	15	12	11	—	—	3	—	7	7	—	1	6	13	20	22	27	4	—	Juli
5.2	6.2	5.7	5.7	—	—	—	—	52	14	15	13	9	—	—	1	—	3	8		3	10	12	8	30	24	4	2	August
3.5	4.4	3.3	3.7			1	1	51	14	16	7	7		-	—	1	12	2			14	32	7	20	15	1	1	September
4.3	4.7	4.3	4.4	1	1		2	123	56	28	10	9	1	—		1	11	6		2	10	24	16	11	17	11	2	Oktober
7.6	5.5	5.8	6.3	5	-	2	7	72	36	15	7	5	4		—	7	2	11	1	6	21	16	23	4	10	9		November
7.5	6.5	7.1	7.0	—	—		—	78	27	28	13	11	1	—	—	—	3	13	—	1	14	14	21	20	14	9	—	Dezember
5.5	5.7	5.4	5.5	12	2	5	19	1019	56	X	130	107	22		7	17	67	103	12	28	134	209	195	204	202	104	7	Jahr

Bad Ragaz

$\lambda = 9°30'$, $\beta = 47°00'$, $H_b = 510.2$ m, $G = -0.09$ ‰, $h_r = 1.5$ m

1959	Luftdruck					Luft-Temperatur								Relative Feuchtigkeit					
	Mittel	Minimum	Tag	Maximum	Tag	7^{30}	13^{30}	21^{30}	Mittel	Minimum	Tag	Maximum	Tag	7^{30}	13^{30}	21^{30}	Mittel	Minimum	Tag
Januar	717.0	705.6	4	730.9	26	−1.6	2.0	−0.4	−0.1	−10.3	18	14.4	22	81	67	78	75	38	20
Februar	727.5	719.3	1	737.4	16	−1.6	7.1	1.1	1.9	−6.8	12	14.6	5	81	52	79	71	32	27.28
März	717.4	707.9	7	726.5	23	6.6	12.9	8.5	9.1	2.3	16	18.3	2	70	52	66	63	28	17
April	714.7	702.6	16	725.3	2	7.3	14.4	9.7	10.3	−0.3	22	25.2	14	71	47	59	59	26	14
Mai	716.5	709.2	9	722.7	13	11.2	18.1	12.9	13.8	2.6	1	24.6	10	71	50	66	62	33	10
Juni	720.1	712.7	29	726.1	14	14.4	19.0	15.1	15.9	7.4	11.12	27.2	19	76	59	75	70	37	4
Juli	719.5	712.1	29	727.0	1.2	16.9	23.3	18.0	19.1	10.4	1	30.0	10	75	54	71	67	33	27
August	719.5	715.5	13	726.3	25	14.9	21.2	16.7	17.4	8.9	31	26.8	26	80	55	72	69	37	21
September	719.9	714.7	14	724.2	28	11.6	19.9	14.8	15.3	6.2	30	24.6	13	84	53	76	71	38	12
Oktober	719.6	696.6	27	730.2	23	6.8	14.6	8.5	9.6	0.3	28	23.6	10	81	56	82	73	24	17
November	716.8	698.2	30	726.4	2	1.1	7.1	3.0	3.6	−4.7	23	16.6	20	85	62	80	76	29	20
Dezember	712.8	697.4	1	724.7	30	2.4	5.3	3.0	3.4	−5.4	15	12.8	11	77	68	74	73	31	23
Jahr	718.4	696.6	X	737.4	II	7.5	13.7	9.2	9.9	−10.3	I	30.0	VII	78	56	73	69	24	X

Glarus

$\lambda = 9\ 04'$, $\beta = 47°03'$, $H_b = 503.4$ m, $G = -0.07$ ‰, $h_r = 1.5$ m

Januar	717.2	705.4	4	730.8	26	−2.1	0.8	−1.8	−1.2	−9.8	18	13.9	22	85	75	86	82	32	20
Februar	727.7	719.2	1.2	738.1	15	−2.3	4.1	−0.7	0.1	−6.6	2	10.6	28	87	68	86	80	47	20
März	717.6	708.3	7	726.7	23	4.9	11.3	6.5	7.3	0.4	18	18.3	6	87	76	79	81	36	21
April	714.9	703.2	16	725.8	2	6.0	13.4	8.5	9.1	−0.3	23	21.4	15	81	66	72	73	33	29
Mai	716.8	708.9	9	723.4	13	10.3	17.7	12.6	13.3	3.9	1	25.1	21	*82	*70	*76	*76	—	—
Juni	720.5	713.1	29	726.3	14	14.2	18.7	14.8	15.6	8.3	11	26.2	19	83	75	85	81	40	19
Juli	720.0	712.6	29	728.5	1	16.4	23.0	17.7	18.7	10.9	1	29.2	10	84	61	84	76	28	4
August	719.9	715.3	10	726.4	25	14.2	20.4	15.9	16.6	10.7	31	26.7	10	88	65	88	80	45	17
September	720.3	715.3	14	724.6	28	12.0	19.1	14.4	15.0	7.8	30	23.7	13	90	65	88	81	45	13
Oktober	720.1	697.5	27	730.6	23	5.9	12.2	7.6	8.3	−0.5	30	18.2	2	91	68	90	83	38	25
November	717.1	698.8	30	726.5	2	0.6	4.6	1.3	2.0	−4.5	24	12.2	17	91	76	90	86	37	17
Dezember	713.2	696.0	1	725.6	30	1.0	3.7	1.0	1.7	−5.1	15.16	13.4	1	89	78	87	85	28	1
Jahr	718.8	696.0	XJI	738.1	II	6.8	12.4	8.2	8.9	−9.8	I	29.2	VII	86	70	84	80	28	VII/XII

Elm

$\lambda = 9°10'$, $\beta = 46°55'$, $H = 962$ m, $G = —$ ‰, $h_r = 1.5$ m

Januar	—	—	—	—	—	−4.0	−1.0	−3.5	−3.0	−14.0	17	9.0	22	83	70	80	78	40	21
Februar	—	—	—	—	—	−3.3	3.8	−1.5	−0.6	−9.8	2	8.6	28	78	56	77	70	41	28
März	—	—	—	—	—	3.4	9.2	4.4	5.3	−3.6	15	16.0	25	77	55	77	70	30	10
April	—	—	—	—	—	4.3	11.2	5.5	6.6	−2.3	22	20.8	14	76	50	76	67	27	23
Mai	—	—	—	—	—	10.7	15.2	8.5	10.7	1.0	1	21.5	21	67	54	85	69	33	4
Juni	—	—	—	—	—	12.9	16.2	11.9	13.2	4.9	11	24.1	19	79	65	91	78	33	3.19
Juli	—	—	—	—	—	17.2	20.3	14.7	16.7	7.8	1	27.3	10	68	60	87	72	38	4.5
August	—	—	—	—	—	12.9	17.5	13.1	14.2	9.4	1	23.1	8	87	70	95	84	56	13. 21.24
September	—	—	—	—	—	9.9	16.6	12.0	12.6	6.2	1	20.5	13	94	71	95	87	49	12
Oktober	—	—	—	—	—	3.7	11.1	5.4	6.4	−4.2	30	17.6	10	91	66	92	83	33	17
November	—	—	—	—	—	−0.5	3.3	−0.1	0.7	−7.7	23	9.8	27	86	71	87	81	44	30
Dezember	—	—	—	—	—	−0.8	1.4	−0.7	−0.2	−8.7	14	8.3	1	87	79	85	84	42	10
Jahr	—	—	—	—	—	5.5	10.4	5.8	6.9	−14.0	I	27.3	VII	81	64	86	77	27	IV

Auen (Linthal)

$\lambda = 8\ 59'$, $\beta = 46°54'$, $H_b = 815.2$ m, $G = -0.14$ ‰, $h_r = 1.5$ m

Januar	690.0	678.5	8	703.0	26.27	−2.7	0.9	−2.1	−1.5	−11.8	17	10.6	22	79	66	79	75	35	20
Februar	700.6	692.0	1	709.4	15	−1.1	6.5	0.9	1.8	−7.6	2	11.2	27	70	45	70	62	30	12
März	691.2	682.2	7	700.5	22	4.1	10.7	5.2	6.3	−1.4	15	17.2	24	77	54	78	70	30	18
April	685.9	676.9	10	699.2	1	4.9	12.1	6.7	7.6	−2.2	22	21.8	14	72	48	69	63	27	13
Mai	691.0	684.3	9	696.9	13	9.1	16.6	10.2	11.5	1.2	1	24.8	10	76	53	76	68	30	10.21
Juni	694.6	686.8	29	701.1	14	13.0	17.8	13.2	14.3	6.0	11	25.2	19	81	63	83	76	36	19
Juli	694.6	686.7	29	701.5	2	15.7	22.0	16.4	17.6	8.6	1	28.6	9	76	57	80	71	37	4
August	694.4	690.8	13	701.0	24	13.6	19.3	14.8	15.6	9.3	31	25.6	8	89	68	89	82	51	10.11
September	694.5	689.8	14	698.4	28	12.7	18.0	14.2	14.8	9.4	8	22.8	13	88	68	90	82	41	12
Oktober	693.7	671.6	27	703.2	23	6.6	12.1	7.3	8.3	−2.0	30	17.4	2	85	67	88	80	34	27
November	690.3	672.6	30	699.5	2	1.3	5.3	1.2	2.3	−3.9	25	12.6	30	84	65	86	78	30	30
Dezember	686.5	671.0	1	698.2	30	0.2	2.9	0.3	0.9	−5.2	14	10.6	1	88	76	85	83	38	1
Jahr	692.3	671.0	XII	709.4	II	6.4	12.0	7.4	8.3	−11.8	I	28.6	VII	80	61	81	74	27	IV

Auen: Beobachterwechsel am 18. Juni.

Beobachter: Frl. M. Wermelinger

Bad Ragaz

Bewölkung				Termine mit Nebel				Niederschlag			Zahl der Tage								Windverteilung								1959
7^{30}	13^{30}	21^{30}	Mittel	7^{30}	13^{30}	21^{30}	Total	Summe	Maximum	Tag	● *	●* ≧1.0	✳	▲	K	≡	heiter	trüb	N	NE	E	SE	S	SW	W	NW	Calmen	
6.7	6.7	7.2	6.9	1	1	3	5	64	12	6	13	12	11	—	—	4	3	15	1	—	8	15	—	1	11	8	49	Januar
3.2	2.3	2.4	2.6	3	—	1	4	26	24	21	2	2	2	—	—	4	13	2	—	—	1	5	—	3	5	18	52	Februar
6.8	6.4	5.5	6.2	—	—	—	—	48	18	7	9	6	—	—	—	—	4	12	—	—	5	29	—	1	10	17	31	März
4.6	5.7	4.5	4.9	—	—	—	—	71	23	18	8	8	—	—	—	—	10	8	—	1	5	18	2	4	16	18	26	April
5.2	6.5	5.2	5.6	—	—	—	—	86	49	1	8	7	—	–	2	—	3	8	1	3	7	8	4	10	11	13	36	Mai
7.2	7.2	7.9	7.4	—	—	—	—	143	41	13	19	14	—	—	4	—	—	16	1	—	3	1	—	8	13	17	47	Juni
4.5	5.0	4.8	4.8	—	—	—	—	81	14	29	13	11	—	–	5	—	7	6	—	—	5	4	2	20	16	8	38	Juli
5.6	6.0	6.8	6.1	—	—	—	—	43	18	15	10	8	—	—	1	—	3	9	—	—	1	4	1	9	16	17	45	August
4.2	4.1	4.0	4.1	—	—	—	—	32	11	16	7	6	—	–	1	—	11	6	—	—	—	3	—	7	18	8	54	September
4.2	4.2	4.0	4.1	—	—	—	—	109	56	28	10	9	2	—	–	—	14	7	1		—	12	—	5	15	9	51	Oktober
7.4	6.4	5.7	6.5	6	—	2	8	75	36	15	7	5	4	—	–	8	2	11	1	—	—	20	—	2	11	11	45	November
7.5	6.4	6.2	6.7	—	—	—	—	61	16	28	11	10	4	–	—	—	4	11	1	3	14	23	–	1	2	13	36	Dezember
5.6	5.6	5.3	5.5	10	1	6	17	839	56	X	117	98	23	—	13	16	74	111	6	7	49	142	9	71	144	157	510	Jahr

Beobachter: F. Friedau

Glarus

6.5	6.8	6.2	6.5	1	—	3	4	137	26	6	18	16	14	—	—	3	4	13	9	1	—	—	8	5	6	17	47	Januar
2.3	2.0	1.4	1.9	1	—	—	1	31	26	21	2	2	1	—	—	2	18	1	9	—	—	1	6	6	5	11	46	Februar
6.8	5.2	4.2	5.4	—	—	—	—	62	23	7	13	8	1	—	—	—	9	9	21	—	—	1	9	9	2	8	43	März
4.4	5.3	4.0	4.6	—	—	—	—	111	30	18	9	9	—	—	1	—	11	9	29	3	—	1	10	5	—	1	41	April
5.1	6.4	4.9	5.5	—	—	—	—	86	29	1	12	9	—	—	—	—	3	8	26	4	1	4	3	—	—	6	49	Mai
7.2	7.5	6.7	7.1	—	—	—	—	254	43	26	22	20	—	—	4	—	1	14	24	2	2	3	9	5	2	5	38	Juni
4.3	4.5	3.9	4.2	1	—	—	1	132	24	29	12	11	—	—	4	1	12	6	22	—	—	5	25	5	5	6	25	Juli
5.7	6.0	5.4	5.7	—	—	—	—	114	23	15	15	12	—	—	2	—	6	10	18	—	1	2	8	3	2	14	45	August
4.8	3.8	3.1	3.9	—	—	—	—	41	15	17	7	5	—	—	—	—	10	3	24	—	—	—	5	2	—	8	51	September
4.1	3.8	4.2	4.0	1	—	—	1	104	40	28	10	10	5	—	—	1	13	6	19	—	—	2	4	3	—	12	53	Oktober
6.0	6.0	4.6	5.5	2	1	2	5	78	35	14	6	5	3	—	—	6	5	9	4	—	—	—	16	3	5	8	54	November
7.2	6.8	6.1	6.7	3	—	1	4	104	26	28	14	12	5	—	—	4	6	13	9	1	—	2	10	11	6	6	48	Dezember
5.4	5.3	4.6	5.1	9	1	6	16	1254	43	VI	140	119	29	—	11	17	98	101	214	11	4	21	113	57	33	102	540	Jahr

Beobachter: E. Frei-Altherr

Elm

6.2	6.5	5.1	5.9	—	—	—	—	156	35	6	17	17	17	—	—	3	7	11	8	—	2	6	3	20	15	39	—	Januar
1.9	2.2	1.6	1.9	—	—	—	—	29	22	21	3	2	3	—	—	—	18	1	7	—	1	5	16	48	—	7	—	Februar
7.1	6.4	4.9	6.1	—	1	—	1	81	22	7	11	10	8	—	—	2	6	11	26	2	6	17	2	8	3	29	—	März
5.5	6.0	4.7	5.4	—	—	—	—	102	25	18	10	9	7	—	—	—	7	8	37	2	—	11	1	10	5	24	—	April
5.7	7.8	6.3	6.6	—	—	1	1	109	43	1	15	11	3	—	4	1	2	12	46	—	—	4	12	9	4	18	—	Mai
7.8	8.4	8.5	8.2	—	—	—	—	196	31	13	25	21	—	—	7	1	1	18	60	—	—	1	—	5	—	24	—	Juni
4.9	6.5	5.7	5.7	—	—	—	—	178	26	6	17	17	—	—	9	—	4	10	36	—	—	—	4	4	2	47	—	Juli
6.9	8.0	7.9	7.6	—	—	—	—	101	20	15	15	14	—	—	5	—	2	18	48	—	—	2	—	3	—	40	—	August
5.1	5.2	5.0	5.1	—	—	—	—	45	18	16	7	5	—	—	—	—	7	4	40	—	—	—	—	3	2	45	—	September
4.3	4.4	3.7	4.1	—	—	—	—	137	50	28	10	10	5	—	—	—	14	16	28	—	—	3	2	10	5	45	—	Oktober
5.8	5.8	4.8	5.5	—	—	—	—	118	47	14	8	7	7	—	—	2	8	10	16	1	—	7	6	32	3	25	—	November
7.3	6.7	5.9	6.6	—	—	1	1	141	40	28	13	12	12	–	—	7	5	15	13	—	2	9	7	18	2	42	—	Dezember
5.7	6.2	5.3	5.7	—	1	2	3	1393	50	X	151	135	62	—	25	16	81	124	365	5	11	65	53	170	41	385	—	Jahr

Beobachter: J. Zweifel-Vögeli, J. Zweifel-Roth

Auen (Linthal)

6.2	6.3	5.6	6.0	—	—	—	—	185	31	6	18	16	17	—	—	—	6	11	8	—	1	6	3	1	—	—	74	Januar
1.9	1.5	2.0	1.8	2	—	1	3	45	35	21	2	2	2	—	—	3	20	2	3	—	—	2	—	—	—	—	79	Februar
6.3	5.4	5.1	5.6	—	—	1	1	76	28	7	10	10	4		—	1	7	10	14	1	—	1	10	1	—	-	66	März
4.4	5.4	5.2	5.0	—	—	—	—	93	16	18	10	9	2	—	—	—	9	10	32	1	–	5	2	—	–	—	50	April
5.8	6.9	4.4	5.7	1	–	1	2	85	39	1	9	8	—	—	—	2	4	8	41	1	—	1	2	—	—	–	48	Mai
7.3	7.3	7.5	7.4	—	—	—	—	230	36	29	20	19	—	–	2	1	1	15	32	1	—	—	2	—	1	—	54	Juni
3.8	5.3	5.4	4.8	—	—	—	—	140	23	15	16	14	—	-	4	6	9	8	19	4	–	3	5	1	1	2	58	Juli
6.1	6.3	5.6	6.0	—	—	—	—	113	19	11	14	13	—	—	2	2	4	9	23	9	2	4	4	—	—	9	42	August
5.1	4.4	3.7	4.4	—	—	–	—	47	30	16	6	5	—	-	—	5	10	5	21	2	—	8	3	—	—	9	47	September
4.3	3.5	3.2	3.7	1	1	2	4	117	38	28	9	9	3	–	—	7	15	7	17	4	1	3	5	—	—	1	62	Oktober
5.8	5.3	4.1	5.1	2	1	2	5	113	50	15	4	4	4	–	—	4	11	9	1	2	—	—	16	—	—	—	71	November
7.0	7.2	5.7	6.6	3	4	3	10	163	62	28	13	13	11	—	—	8	6	14	2	4	—	4	10	—	—	—	73	Dezember
5.3	5.4	4.8	5.2	-	—	—	—	1407	62	XII	131	122	43	—	8	39	102	108	213	29	4	37	62	3	2	21	724	Jahr

Oberiberg

$\lambda = 8° 47'$, $\beta = 47° 02'$, $H_b = 1090$ m, $G = -0.13$ ‰, $h_r = 1.5$ m

1959	Luftdruck					Luft-Temperatur								Relative Feuchtigkeit					
	Mittel	Minimum	Tag	Maximum	Tag	7^{30}	13^{30}	21^{30}	Mittel	Minimum	Tag	Maximum	Tag	7^{30}	13^{30}	21^{30}	Mittel	Minimum	Tag
Januar	666.7	652.9	4	678.3	26.27	−4.6	0.6	−4.4	−3.2	−17.8	17	10.5	20	87	68	90	82	30	20
Februar	677.1	668.0	1	686.0	15	−4.1	6.1	−2.3	−0.6	−10.2	3	10.4	28	91	53	92	79	40	14
März	668.4	659.6	7	677.0	22.23	1.6	9.2	2.0	3.7	−6.4	15	15.8	24	89	61	94	81	34	21
April	666.3	654.3	10	675.7	1	3.3	10.9	3.7	5.4	−5.7	21	22.6	14	85	55	91	77	34	14.29
Mai	668.6	662.5	9	674.5	13	8.9	14.7	7.6	9.7	1.2	2	22.5	20	81	59	94	78	33	21
Juni	672.3	665.1	29	678.1	14	12.1	16.9	11.0	12.8	3.7	11	24.7	19	85	64	94	81	41	3.18
Juli	672.4	664.8	29	678.5	1	15.2	21.2	13.8	16.0	7.2	1	28.5	11	82	57	93	77	31	3
August	672.1	668.9	13	678.4	25	11.8	18.6	11.6	13.4	4.2	31	26.1	26	93	62	97	84	37	10
September	672.2	668.4	14	675.8	22	9.5	18.7	10.1	12.1	4.7	30	22.8	12	97	59	98	85	45	9.13
Oktober	671.1	650.5	27	680.6	23	2.9	11.9	4.2	5.8	−4.8	30	18.0	2	95	61	97	84	33	24
November	667.0	649.8	30	675.9	2	−1.4	5.4	−0.6	0.7	−7.8	3.4	11.0	29	87	58	89	78	37	29
Dezember	663.3	647.9	1	675.8	30	−1.2	3.1	−1.6	−0.3	−9.9	14	9.0	1	84	66	86	79	34	1
Jahr	669.8	647.9	XII	686.0	II	4.5	11.4	4.6	6.3	−17.8	I	28.5	VII	88	60	93	80	30	I

Einsiedeln

Die Abendbeobachtung erfolgt um 20.30 h

$\lambda = 8'45$, $\beta = 47° 08'$, $H_b = 913.9$ m, $G = -0.10$ ‰, $h_r = 1.5$ m

Januar	681.3	669.4	4	693.4	26	−3.5	−0.1	−2.6	−2.2	−11.2	18	9.0	20	82	75	81	79	31	20
Februar	691.8	683.2	2	700.6	15	−2.9	3.9	0.1	0.2	−8.6	4	8.4	28	82	65	77	75	45	13
März	682.7	673.9	7	691.9	23	2.6	8.5	4.7	5.1	−2.0	15	14.0	21	84	68	82	78	35	4
April	680.5	668.6	10	690.1	1	4.5	10.4	6.8	6.9	−2.0	21	18.3	14	80	59	72	70	41	4.5/6
Mai	682.7	676.1	9	688.7	13	8.9	14.5	10.9	11.0	3.2	3	20.8	21	80	60	74	71	40	21
Juni	686.4	679.0	29	692.0	14	12.8	16.9	13.9	14.0	6.8	12	23.6	18	82	66	76	75	42	18
Juli	686.2	677.9	29	693.1	1	15.7	20.8	17.6	17.5	9.4	1	26.4	10	78	58	70	69	36	3
August	686.0	681.8	10	692.2	25	12.7	18.4	14.7	15.1	7.6	31	24.0	10	84	62	78	75	46	10
September	686.2	682.3	14	689.7	28	10.6	16.6	13.0	13.1	5.6	30	21.4	23	91	66	85	81	48	13
Oktober	685.3	664.4	27	695.0	23	4.7	10.6	6.5	7.1	−0.7	30	15.4	3	91	70	86	82	37	25
November	681.6	666.1	30	690.2	2	−0.3	4.0	0.8	1.3	−5.6	24	8.9	18	89	76	89	85	59	30
Dezember	677.7	661.8	1	689.8	30	0.2	2.8	0.5	1.0	−6.8	15	9.9	1	87	77	85	83	33	1
Jahr	684.0	661.8	XII	700.6	II	5.5	10.6	7.2	7.5	−11.2	I	26.4	VII	84	67	80	77	31	I

Zentralschweiz

Luzern

$\lambda = 8° 19'$, $\beta = 47° 04'$, $H_b = 497.8$ m, $G = -0.04$ ‰, $h_r = 1.5$ m

Januar	717.9	705.8	4	730.9	27	−1.3	1.8	−0.5	−0.1	−9.5	18	9.7	22	87	72	82	80	40	11
Februar	728.5	719.5	1	737.9	15	−1.6	4.3	1.1	1.2	−5.2	5	12.7	28	88	66	80	78	37	20
März	718.4	709.5	7	727.3	23	4.2	10.6	6.9	7.1	−1.2	18	17.6	21	88	62	80	77	36	1
April	715.8	703.3	16	725.7	1	6.4	13.9	9.4	9.8	−0.4	22	21.9	15	79	52	60	64	30	23.24
Mai	717.7	709.7	9	724.1	13	10.8	17.9	13.4	13.9	4.4	4	23.8	10	75	48	59	61	28	26.27
Juni	721.1	713.3	29	727.0	14	14.3	19.7	15.7	16.4	8.2	11	27.3	19	79	59	66	68	32	3
Juli	720.4	713.0	29	727.5	2	17.2	24.1	19.1	19.9	10.8	1	30.6	10	82	55	75	71	31	4
August	720.5	715.4	10	726.6	25	14.1	20.9	16.3	16.9	8.3	31	26.4	8.26	91	60	83	78	44	17
September	721.0	716.7	14	725.2	28	11.6	19.6	14.5	15.0	6.8	30	25.0	13	92	59	87	79	40	7
Oktober	720.8	698.2	27	731.3	23	6.2	11.5	8.0	8.4	0.6	29	18.4	25	96	73	93	87	36	25
November	717.8	699.7	30	726.6	2	0.8	3.5	1.8	2.0	−2.4	24	8.6	18	96	84	93	91	56	2
Dezember	713.7	696.8	1	726.1	30	1.3	4.2	1.9	2.3	−6.4	17	11.8	30	90	76	87	84	52	25
Jahr	719.5	696.8	XII	737.9	II	7.0	12.7	9.0	9.4	−9.5	I	30.6	VII	87	64	79	77	28	V

Rigi-Kulm

$\lambda = 8° 29'$, $\beta = 47° 03'$, $H_b = 1775$ m, $G = -0.22$ ‰, $h_r = 2.2$ m

Januar	610.9	599.4	4	621.6	27	−4.4	−3.9	−4.5	−4.3	−14.0	17	6.9	30	*71	*69	*70	*70	—	—
Februar	621.0	610.2	2	628.9	15	−1.3	1.3	−0.3	−0.2	−10.8	1	7.0	27	58	55	57	57	22	16.19
März	613.7	605.9	7	622.2	23	−0.2	2.1	0.3	0.6	−6.0	15	7.0	24	80	73	75	76	12	15
April	611.7	600.1	10	620.2	1	1.0	3.2	1.6	1.8	−8.5	21	12.8	14	76	76	79	77	29	3
Mai	614.5	609.7	9	619.4	13	5.2	7.5	5.4	5.9	−3.2	2	15.4	21	77	79	78	78	38	26
Juni	618.2	610.9	29	622.7	14	7.9	9.8	8.2	8.5	−0.4	12	16.8	21	84	82	82	83	37	15
Juli	618.9	611.2	30	623.4	2	11.7	13.6	12.2	12.4	2.4	1	19.1	10	78	80	74	77	42	8
August	618.1	614.8	31	624.7	25	9.2	11.5	9.3	9.8	3.6	31	18.3	26	81	82	83	82	51	10
September	618.1	613.0	6	621.9	22	9.0	11.5	9.4	9.8	6.1	28	15.6	12	74	77	80	77	41	21
Oktober	615.6	591.7	29	624.5	23	3.6	5.5	3.8	4.2	−5.5	30/31	11.3	3	71	69	72	71	15	23
November	611.7	595.1	30	619.0	2	−1.1	0.5	−1.1	−0.7	−6.7	9	7.2	20	70	65	73	69	14	20
Dezember	607.7	594.2	1	619.8	30	−2.4	−1.5	−2.1	−2.0	−7.2	6	6.4	31	81	78	74	78	20	22
Jahr	615.0	591.7	X	628.9	II	3.2	5.1	3.5	3.8	−14.0	I	19.1	VII	75	74	74	74	12	II

Beobachter: A. Holdener

Oberiberg

Bewölkung				Termine mit Nebel				Niederschlag			Zahl der Tage								Windverteilung									1959
7^{30}	13^{30}	21^{30}	Mittel	7^{30}	13^{30}	21^{30}	Total	Summe	Maximum	Tag	●	●≥1.0	✳	▲	⛆	≡	heiter	trüb	N	NE	E	SE	S	SW	W	NW	Calmen	
6.4	6.0	5.6	6.0	—	1	1	2	195	31	6	18	17	17	–	—	2	8	15	—	—	—	—	7	8	6	2	70	Januar
2.3	2.0	1.8	2.0	1	—	—	1	20	17	21	2	2	2	-	—	1	20	2	—	1	-	1	2	—	—	—	80	Februar
7.0	6.1	5.7	6.3	1	2	2	5	77	13	25	10	9	7	—	–	5	6	14	—	—	2	1	6	—	1	—	83	März
4.3	6.0	4.2	4.8	-	—	—	—	122	29	18	11	11	7	—	—	—	9	9	—	1	2	1	4	5	1	3	73	April
5.7	7.5	4.8	6.0	—	—	—	—	128	51	1	11	10	4	—	1	—	2	9	1	—	2	—	2	4	2	1	81	Mai
6.9	8.1	7.0	7.3	—	—	1	1	245	31	26	24	20	—	—	5	1	1	13	2	5	3	—	—	2	3	1	74	Juni
4.6	5.8	4.7	5.0	—	—	—	—	168	22	28	13	13	—	—	3	—	8	9	3	4	5	—	1	3	1	1	75	Juli
5.4	7.6	6.3	6.4	1	—	—	1	215	51	11	15	13	—	–	3	1	3	11	1	4	3	1	1	—	—	—	83	August
4.9	5.4	2.8	4.4	4	—	—	4	41	20	16	5	5	—	–	—	4	10	5	—	2	3	—	1	1	1	1	81	September
4.4	5.1	4.4	4.6	2	—	1	3	147	48	28	10	10	5	—	—	2	11	8	1	3	4	1	1	2	—	1	80	Oktober
5.6	5.9	4.0	5.2	—	—	—	—	81	34	15	8	7	8	—	--	—	10	10	—	—	1	—	1	—	—	—	88	November
7.8	6.6	6.7	7.0	1	1	4	6	161	33	27	15	12	12	—	—	5	5	16	—	—	—	—	6	5	—	2	80	Dezember
5.4	6.0	4.8	5.4	10	4	9	23	1600	51	V/VIII	142	129	62	—	12	21	93	121	8	20	25	5	32	30	15	12	948	Jahr

Beobachter: P. C. Merkt

Einsiedeln

6.3	6.1	5.3	5.9	—	—	1	1	167	35	6	19	16	17	–	—	1	16	10	—	2	1	3	2	16	5	8	56	Januar
2.8	1.9	3.1	2.6	1	—	1	2	13	10	21	2	2	1	–	–	1	17	3	1	9	1	6	—	9	1	2	55	Februar
6.4	6.1	5.7	6.1	—	—	—	—	75	19	7	11	10	7	—	—	—	4	10	5	5	2	5	1	7	4	12	52	März
4.0	5.3	4.4	4.6	—	—	—	—	122	29	19	11	10	6	—	—	—	12	10	1	5	1	4	1	10	8	15	45	April
4.3	6.1	5.4	5.3	—	—	—	—	189	47	1	13	12	1	—	2	—	7	10	5	6	1	2	—	8	1	19	51	Mai
6.5	6.9	6.7	6.7	—	—	—	—	199	34	29	18	18	—	–	5	—	3	14	2	6	—	5	—	6	6	12	53	Juni
4.2	4.0	3.9	4.0	—	—	—	—	149	26	11	11	11	—	1	6	—	13	7	2	5	—	—	3	5	5	15	58	Juli
4.9	6.0	6.5	5.8	—	—	—	—	140	46	23	10	10	—	—	3	—	4	9	3	6	1	5	3	3	3	17	52	August
3.4	3.9	3.1	3.5	—	—	—	—	26	9	17	6	4	—	—	—	—	12	2	2	4	—	—	—	2	2	20	60	September
4.5	4.4	3.6	4.2	1	—	—	1	132	45	28	11	11	5	—	—	1	12	7	2	1	1	2	1	1	3	14	68	Oktober
5.1	6.2	5.0	5.4	—	1	1	2	74	26	15	9	7	7	—	—	1	10	10	3	3	1	3	—	5	–	3	72	November
7.1	6.5	5.8	6.5	1	2	2	5	120	28	26	14	12	10	–	—	3	6	14	—	2	1	4	1	15	6	9	55	Dezember
5.0	5.3	4.9	5.1	3	3	5	11	1406	47	V	135	123	54	1	16	7	105	105	26	54	10	39	12	87	44	146	677	Jahr

Zentralschweiz

Beobachter: Kloster Wesemlin

Luzern

9.0	7.0	7.0	7.7	5	3	5	13	78	13	23	16	16	12	—	—	7	1	17	6	2	1	2	10	14	14	12	32	Januar
6.6	4.6	3.5	4.9	9	—	2	11	5	4	21	2	1	—	—	—	9	9	7	4	4	5	1	5	9	10	4	42	Februar
7.9	7.2	5.9	7.0	7	—	—	7	83	23	12	10	9	—	—	—	7	3	13	9	5	1	1	13	5	18	12	29	März
4.7	5.3	4.1	4.7	1	—	—	1	110	43	18	12	11	—	—	—	1	10	10	4	6	5	4	7	12	13	16	23	April
5.3	5.7	5.6	5.5	—	—	—	—	54	17	1	10	9	—	2	3	—	5	8	9	4	4	7	3	10	11	14	31	Mai
6.5	6.4	7.0	6.6	1	—	—	1	199	39	7	20	19	—	2	7	1	3	12	4	8	5	6	8	10	4	8	37	Juni
4.5	4.0	4.7	4.4	1	—	—	1	120	34	6	11	11	—	2	7	1	10	6	3	5	4	12	9	6	5	8	41	Juli
6.6	6.5	4.8	6.0	3	—	—	3	103	25	2	13	11	—	–	5	4	1	7	7	5	3	3	7	6	11	9	42	August
5.7	4.4	3.3	4.5	4	—	1	5	37	21	25	4	4	—	—	—	5	7	5	7	1	4	3	6	5	2	2	60	September
9.0	5.8	4.5	6.4	14	1	2	17	110	29	28	12	10	2	—	–	14	1	11	1	1	—	1	2	2	1	3	82	Oktober
9.1	8.9	7.5	8.5	16	11	14	41	47	18	14	8	7	1	—	—	16	1	21	4	2	2	—	—	2	3	2	75	November
8.8	7.6	7.4	7.9	8	2	2	12	87	26	23	17	12	—	—	—	9	2	20	—	1	—	2	3	6	—	5	76	Dezember
7.0	6.1	5.4	6.2	69	17	26	112	1033	43	IV	135	120	15	6	22	74	53	137	58	44	34	42	73	87	92	95	570	Jahr

Beobachter: Kulmhotel

Rigi-Kulm

6.2	6.5	5.4	6.0	11	12	8	31	184	19	3	20	20	20	—	—	18	8	13	7	—	8	9	14	23	18	13	1	Januar
2.3	2.1	2.2	2.2	3	3	3	9	6	3	21	3	2	3	—	—	3	20	3	2	2	9	13	27	7	11	10	3	Februar
6.8	6.8	6.2	6.6	12	13	9	34	125	35	12	12	10	11	—	—	14	5	15	5	4	5	12	35	7	6	13	6	März
4.9	6.0	5.3	5.4	7	10	6	23	194	59	18	12	12	10	—	—	11	10	11	4	3	5	19	18	9	17	13	2	April
5.6	7.1	5.7	6.1	8	8	6	22	112	36	1	12	11	6	1	1	14	—	9	10	8	11	19	9	10	15	11	—	Mai
7.0	7.2	6.7	7.0	11	10	7	28	235	33	13	22	21	2	—	4	15	1	12	7	4	5	6	4	14	21	24	5	Juni
4.4	5.1	4.2	4.6	7	8	5	20	190	51	11	11	10	—	—	3	9	11	7	7	5	9	6	7	7	25	14	13	Juli
4.9	7.1	4.4	5.5	8	10	4	22	96	47	14	12	10	—	–	4	16	4	7	12	14	15	14	3	7	16	8	4	August
3.2	4.6	3.1	3.6	2	5	5	12	34	9	27	4	4	—	—	—	9	13	2	5	7	14	17	16	7	14	8	2	September
4.3	4.8	3.6	4.2	7	8	9	24	190	52	28	12	9	6	—	—	14	14	7	5	1	3	14	19	9	15	27		Oktober
4.9	5.6	4.2	4.9	7	7	8	22	88	38	15	7	7	7	—	—	11	10	8	4	2	5	4	30	20	12	8	5	November
6.2	5.4	4.1	5.2	8	8	7	23	103	25	23	12	12	11	—	—	12	9	10	6	3	1	1	16	17	12	25	12	Dezember
5.1	5.7	4.6	5.1	91	102	77	270	1557	59	IV	139	128	76	1	12	146	105	104	74	53	90	134	198	137	182	174	53	Jahr

Pilatus-Kulm

Die Abendbeobachtung erfolgt um 20.30 h

$\lambda = 8°\,15'$, $\beta = 46°\,59'$, $H_b = 2068^m$, $G = -0.26$ ‰, $h_r = 2.0^m$

1959	Luftdruck					Luft-Temperatur								Relative Feuchtigkeit					
	Mittel	Minimum	Tag	Maximum	Tag	7^{10}	13^{10}	21^{10}	Mittel	Minimum	Tag	Maximum	Tag	7^{30}	13^{30}	21^{30}	Mittel	Minimum	Tag
Januar	588.4	576.6	4	599.9	27	−6.3	−4.0	−6.4	−5.7	−15.6	17	7.0	30	71	69	71	70	18	28
Februar	598.8	586.9	1	607.5	15	−2.7	0.7	−2.2	−1.6	−13.4	1	6.8	27	58	56	63	59	14	19
März	591.6	584.0	7	600.4	23	−1.7	2.2	−1.5	−0.5	−7.0	16	6.8	6	77	72	79	76	15	15
April	589.9	577.3	10	598.1	2	−0.8	1.8	−0.3	−0.2	−9.4	21.22	9.8	14	77	77	81	78	20	2
Mai	593.1	587.6	9	598.8	13	2.9	5.6	3.1	3.5	−5.0	3	14.6	21	79	83	83	82	45	9
Juni	596.8	589.3	30	601.1	14	5.8	8.9	6.3	6.5	−3.0	11	17.0	21	85	82	88	85	53	21
Juli	597.7	590.0	30	602.2	2	9.2	12.8	9.6	10.1	1.0	1	20.2	11	78	78	80	79	40	19
August	596.5	593.2	30.31	603.8	26	7.4	9.9	8.0	8.0	2.0	31	17.2	26	84	83	83	83	50	21
September	—	—	—	—	—	—	—	—	—	—	—	—	—	—	—	—	—	—	—
Oktober	—	—	—	—	—	—	—	—	—	—	—	—	—	—	—	—	—	—	—
November	—	—	—	—	—	—	—	—	—	—	—	—	—	—	—	—	—	—	—
Dezember	—	—	—	—	—	—	—	—	—	—	—	—	—	—	—	—	—	—	—
Jahr	—	—	—	—	—	—	—	—	—	—	—	—	—	—	—	—	—	—	—

Sarnen

$\lambda = 8°\,15'$, $\beta = 46°\,54'$, $H_b = 479^m$, $G = -0.06$ ‰, $h = 1.5^m$

Januar	719.4	707.1	4	732.8	27	−1.2	1.4	−0.9	−0.4	−8.6	17	7.6	15	83	74	82	80	38	9
Februar	*729.9	*710.9	1	*739.5	15	*−1.5	*4.2	*0.8	*1.1	—	—	—	—	*88	*68	*81	*79	—	—
März	719.8	710.7	7	728.8	23	4.3	10.7	6.8	7.1	−0.8	18	15.4	21	91	63	84	79	44	21
April	717.1	704.4	16	727.3	2	6.1	13.5	9.2	9.3	1.0	23	20.6	15	86	54	72	71	35	25
Mai	718.9	710.9	9	725.6	13	11.2	17.4	13.6	13.7	6.5	4	23.4	21	83	55	73	70	38	10
Juni	722.5	715.1	29	728.5	14	14.7	19.9	15.8	16.3	7.2	11	25.9	19	85	60	83	76	40	6
Juli	723.6	718.7	29	729.4	1	17.0	23.6	18.9	19.3	12.2	1	32.2	10	86	58	80	75	41	4
August	722.0	716.8	10	728.5	25	14.7	20.4	16.6	16.8	10.8	31	25.2	9	88	61	84	78	47	17
September	722.4	717.6	14	726.5	28	12.2	18.7	15.0	15.0	7.8	8	23.3	13	89	64	86	80	41	13
Oktober	722.2	699.3	27	732.7	23	6.6	12.1	7.7	8.6	−2.6	25	17.2	2	93	71	90	85	50	25
November	719.2	701.2	30	728.6	2	1.3	4.7	2.4	2.6	−1.7	22	9.8	18	91	77	89	86	60	9
Dezember	715.1	697.5	1	727.3	30	1.5	4.5	2.2	2.6	−5.0	17	11.4	26	89	78	84	84	53	28
Jahr	721.0	697.5	XII	*739.5	II	7.2	12.6	9.0	9.3	−8.6	I	32.2	VII	88	65	82	79	35	IV

Sarnen: Rücktritt von P. Ch. Durrer Ende Januar.

Engelberg

Die Abendbeobachtung erfolgt um 20.30 h

$\lambda = 8°\,25'$, $\beta = 46°\,49'$, $H_b = 1017.8^m$, $G = -0.15$ ‰, $h_r = 1.5^m$

Januar	672.9	661.5	4	683.8	26	−3.3	−0.5	−3.4	−2.5	−14.0	17	9.5	20	78	70	78	75	33	20
Februar	682.6	674.0	1	691.2	15	−2.7	3.9	−0.8	−0.1	−8.1	4	9.3	28	76	57	74	69	35	4
März	674.4	666.0	7	682.3	23	2.2	7.3	3.4	4.1	−5.0	15	13.3	6	79	64	81	75	35	3
April	672.3	660.6	10	681.0	1	3.6	10.1	6.1	6.3	−4.1	22	17.1	13.14	75	58	72	68	30	4
Mai	674.6	668.4	9	679.8	13	7.8	13.8	9.8	10.1	2.0	3	20.9	21	78	57	75	70	32	10
Juni	678.1	671.0	29	682.6	14	11.3	16.3	12.7	12.9	4.3	12	23.2	18	83	64	83	77	41	18
Juli	678.1	670.6	29	683.7	2	13.3	19.5	15.6	15.6	7.9	1	26.2	10	81	63	80	75	43	4
August	677.9	674.2	10	683.5	24	11.1	16.2	13.3	13.1	7.1	31	22.3	10	86	68	85	80	53	10
September	678.0	674.3	14	681.1	23	9.5	15.3	12.1	12.0	5.3	1	19.1	12	87	69	86	81	52	13
Oktober	676.9	655.9	27	685.8	23	3.7	10.1	5.6	6.3	−3.5	30	14.9	2	84	66	83	78	33	24
November	673.3	656.1	30	681.3	2	−0.6	3.1	−0.7	0.4	−5.8	4	9.7	18	77	66	82	75	33	30
Dezember	669.5	653.2	1	681.2	30	−0.4	1.7	−0.7	0.1	−6.5	6.14	9.5	1	80	70	78	76	34	1.10 11
Jahr	675.7	653.2	XII	691.2	II	4.6	9.7	6.1	6.5	−14.0	I	26.2	VII	80	64	80	75	30	IV

Altdorf

$\lambda = 8°\,38'$, $\beta = 46°\,52'$, $H_b = 450.7^m$, $G = -00.8$ ‰, $h_r = 1.5^m$

Januar	721.7	709.4	4	735.1	27	−0.1	2.5	0.7	1.0	−7.8	18	14.8	22	85	75	81	80	25	19
Februar	732.2	723.1	1	742.3	15	−1.7	5.0	0.7	1.2	−5.0	7	11.2	28	95	71	89	85	40	20
März	722.0	712.6	7	731.2	23	6.6	11.5	8.5	8.8	−0.8	15	18.2	21	83	65	74	74	30	3
April	719.4	707.8	10	729.6	1	7.4	13.9	9.9	10.3	0.4	22	20.6	14.15	83	60	70	71	35	13.14 29
Mai	721.1	711.1	11	727.4	14	11.8	18.3	13.6	14.3	5.6	1	24.6	10	82	60	74	72	31	21
Juni	724.7	717.0	29	730.6	14	14.9	19.8	16.0	16.7	8.4	11.12	26.6	19	84	65	84	78	36	21
Juli	724.0	716.1	29	731.8	1	17.1	23.3	18.4	19.3	11.8	1	30.0	10	83	64	82	76	49	3
August	723.9	719.2	11	730.4	25	14.7	20.7	16.3	17.0	11.4	2	28.8	10	97	76	95	89	41	10
September	724.5	719.7	14	728.6	28	12.7	19.7	14.9	15.5	8.2	30	24.4	13	97	74	96	89	59	13
Oktober	724.4	703.7	28	734.8	23	6.2	13.4	8.8	9.3	0.6	28.30 31	18.6	2.27	96	77	93	89	41	17
November	721.3	703.0	30	730.5	2	2.3	7.2	3.1	3.9	−2.4	22.24	16.6	18.19	92	76	95	88	34	27
Dezember	717.3	699.8	1	730.0	30	3.3	6.3	3.4	4.1	−4.8	15.16	14.8	1	86	76	87	83	35	7
Jahr	723.0	699.8	XII	742.3	II	7.9	13.5	9.5	10.1	−7.8	I	30.0	VII	89	70	85	81	25	I

Beobachter: Pilatusbahn

Pilatus-Kulm

Bewölkung				Termine mit Nebel				Niederschlag			Zahl der Tage								Windverteilung								1959
7^{30}	13^{30}	21^{30}	Mittel	7^{30}	13^{30}	21^{30}	Total	Summe	Maximum	Tag	•	≧1.0	*	▲	K	≡	heiter	trüb	N	NE	E	SE	S	SW	W	NW	Calmen	
5.9	6.5	6.1	6.2	10	9	11	30	153	14	7	20	20	20	—	—	18	8	15	1	6	—	—	—	18	18	26	24	Januar
1.9	2.3	1.5	1.9	1	1	2	4	12	6	21	3	3	3	—	—	3	20	2	1	11	—	4	—	15	2	3	48	Februar
6.6	6.8	4.7	6.0	7	9	5	21	127	35	12	13	13	13	—	—	12	8	11	—	6	—	3	—	25	1	6	52	März
4.7	5.6	5.3	5.2	7	12	5	24	173	62	18	15	15	14	—	—	13	8	8	—	—	—	5	—	36	—	—	49	April
4.9	7.0	5.9	5.9	4	8	4	16	123	35	14	12	12	7	—	1	11	—	8	—	3	—	2	—	8	—	11	69	Mai
6.8	8.2	7.2	7.4	11	10	8	29	214	27	6	23	23	6	—	10	14	1	15	—	4	—	15	—	18	9	7	37	Juni
4.9	6.2	5.2	5.4	7	5	4	16	193	66	6	11	11	—	—	2	7	2	8	—	2	4	4	—	15	12	2	54	Juli
5.6	7.7	5.4	6.2	5	3	5	13	158	37	23	11	10	—	—	2	8	—	5	—	14	2	—	—	14	5	5	53	August
–	–	–	–	—	—	—	—	*75	—	—	*5	*0	–	—	—	—	—	—	—	—	–	—	—	—	—	—	—	September
—	–	—	–	—	—	—	—	204	57	28	10	10	9	—	–	–	—	—	—	—	–	—	—	—	—	—	—	Oktober
—	—	–	—	—	—	—	—	66	24	15	6	6	6	—	—	—	—	—	—	—	—	—	—	—	—	—	—	November
–	—	—	—	—	—	—	—	140	—	—	*14	*14	*13	—	–	—	—	—	—	—	—	—	—	—	—	—	—	Dezember
—	—	—	–	–	—	–	—	1638	66	VII	145	142	91	—	–	–	—	—	—	—	—	—	—	—	—	—	—	Jahr

Beobachter: Kollegium

Sarnen

8.5	7.7	7.6	7.9	6	5	5	16	88	17	6	17	15	8		—	7	—	18	—	41	—	—	—	11	—	—	41	Januar
*6.6	*5.5	*3.8	*5.3	*9	—	*3	*12	*5	—	25	*2	*1	—	—	—	*9	*7	*8	—	—	—	—	—	—	—	—	—	Februar
8.3	8.4	5.9	7.5	4	—	—	4	79	17		12	10	1	–	—	4	2	17	—	11	8	—	—	3	—	–	71	März
5.9	6.5	4.7	5.7	1	–	—	1	67	12	19	11	11	—	—	–	1	8	11	1	12	12	—	—	4	2	—	59	April
7.0	7.9	6.3	7.1	—	—	—	—	47	18	1	8	6	–	–	3		–	12	—	12	16	—	1	—	5	—	59	Mai
7.3	8.2	8.3	7.9	—	—	–	—	166	22	19	20	19	—	—	10	1		14	—	6	11	—	1	--	7	9	56	Juni
7.2	6.7	5.2	6.4	1	—	—	1	164	51	6	12	12	—	1	5	2	3	7	—	—	—	—	—	—	—	—	—	Juli
7.5	7.9	6.1	7.2	2	—	–	2	96	28	14	12	11	—	—	6	2	—	13	—	6	14	—	—	—	1	2	70	August
7.7	6.9	4.5	6.4	6	—	1	7	49	32	16	5	5	—	—	1	7	2	12	1	3	8	—	—	—	—	3	75	September
9.4	6.4	4.5	6.8	11	—	—	11	118	55	28	9	9	2	—	–	11	—	14	1	4	9	–	1	—	3	1	74	Oktober
9.6	9.3	7.9	8.9	9	3	4	16	41	17	14	6	6	2		—	9	—	23	1	2	21	—	—	—	1	–	65	November
9.4	7.8	6.8	8.0	2	—	—	2	79	24	23	16	13	1	–	—	2	1	19	—	1	11	—	5	—	5	1	70	Dezember
7.9	7.4	6.0	7.1	51	8	13	72	999	55	X	130	118	14	1	25	55	23	168	—	—	—	—	—	—	—	—	—	Jahr

Beobachter: P. A. Jenny

Engelberg

6.2	5.9	6.2	6.1	—	1	—	1	131	21	8	18	17	16	—	–	3	8	15	—	1	–	42	—	8	—	22	20	Januar
3.0	2.3	2.6	2.6		-	1	1	19	11	21	3	2	3	-		2	17	3	-	—	—	34	—	3		15	32	Februar
6.9	6.7	6.0	6.5	2		—	2	110	19	25	14	12	11		—	2	3	12		—	—	27		4		33	29	März
4.8	5.6	5.1	5.2	—	—	—	—	103	26	18	13	12	7	—	-	1	10	10	—	—	—	34	—	3	—	31	22	April
5.4	6.6	6.8	6.3	1	—	1	2	105	31	1	15	10	2	1	2	2	1	9	—	1	—	36	—	2	—	29	25	Mai
6.3	7.2	8.3	7.3	–	—	1	1	182	27	26	22	20	—	—	5	1	--	13	—	1	—	26	—	8	—	29	26	Juni
4.0	5.6	5.3	5.0	—	—	—	–	213	28	15	17	15	—	3	6	—	8	8	—	4	—	30	—	16	—	16	27	Juli
5.5	7.4	7.1	6.7	—	—	—	—	112	27	11	14	11	—	—	6	—	4	12	—	—	—	22	—	20	—	18	33	August
4.4	5.9	6.5	5.6	1	2	2	5	64	32	16	7	5	—	—	—	2	5	6	—	—	—	14	—	11	—	22	43	September
4.2	4.8	4.4	4.5	—	—	—	—	139	57	28	10	10	4	—	—	—	12	7	—	—	–	25	-	5	—	28	35	Oktober
5.1	5.3	4.7	5.0	1	–	1	2	66	28	14	8	8	8	—	—	4	8	9	1	—	—	34	—	5	—	16	34	November
7.3	6.1	6.3	6.6	2	3	2	7	108	23	26	14	14	13	—	—	4	5	14	—	1	—	42	—	2	—	22	26	Dezember
5.3	5.8	5.8	5.6	7	6	8	21	1352	57	X	155	136	64	4	19	21	81	118	1	8	—	366	—	87	—	281	352	Jahr

Beobachter: Eidg. Armeemagazine

Altdorf

8.1	7.7	6.5	7.4	3	2	2	7	97	25	6	14	14	12	-	-	4	2	16	11	1	3	15	10	1	2	8	42	Januar
5.6	4.3	2.5	4.1	6	2	—	8	22	15	21	2	2	2	–	—	9	8	5	3			6	6			14	55	Februar
6.8	6.2	4.4	5.8		—	–	–	57	15	7	11	8	—		-	—	4	10	6	—	1	12	13	—	1	21	39	März
5.1	5.8	4.2	5.0	—	-	–	–	98	36	18	10	10	—	—	1	—	11	10	5	2	1	10	17	1	2	22	30	April
6.2	6.4	5.0	5.9	—	–	–	—	61	23	1	10	7	—	—	1	—	3	11	10	—	1	6	7	—	1	24	44	Mai
6.5	7.0	7.3	6.9	-	–	–	–	157	35	26	22	19	—	-	4	—	—	11	5	1	1	1	2	1	2	17	60	Juni
4.5	5.3	5.3	5.0	—	—		—	144	31	14	14	13	—	—	5	—	8	8	1	1	—	4	4	1	—	24	58	Juli
6.1	6.7	6.0	6.3	3	2		5	79	24	11	13	9			1	3	4	11	3		–	3	5			25	57	August
5.7	5.4	3.4	4.8	—	—	—	—	39	28	16	5	4	—	—	--	—	7	5	4	—	–	11	3	1	–	26	45	September
4.4	4.5	3.6	4.2		-	–	–	126	45	28	9	9	1	-			13	7	4		1	10	5	1	1	22	49	Oktober
8.0	7.1	6.1	7.1	4	2	2	8	64	29	15	7	6	1			5	2	14	1	1	–	12	8	1	1	15	51	November
7.7	6.8	6.2	6.9	1			1	91	26	28	14	12	1			1	5	17	2		5	13	8		3	14	48	Dezember
6.2	6.1	5.0	5.8	17	8	4	29	1035	45	X	131	113	17	—	12	22	67	125	55	6	13	103	88	7	13	232	578	Jahr

Göschenen

$\lambda = 8^\circ 35'$, $\beta = 46^\circ 40'$, $H_b = 1124.6^m$, $G = -0.19$ ‰, $h_r = 1.5^m$

1959	Luftdruck					Luft-Temperatur								Relative Feuchtigkeit					
	Mittel	Minimum	Tag	Maximum	Tag	7^{30}	13^{30}	21^{30}	Mittel	Minimum	Tag	Maximum	Tag	7^{30}	13^{30}	21^{30}	Mittel	Minimum	Tag
Januar	664.3	656.0	8	675.3	26	−2.0	−0.8	−1.6	−1.5	−11.0	25	11.0	30	67	65	69	67	27	30
Februar	674.5	664.4	2	682.6	16	1.1	5.6	2.4	2.9	−5.4	2	10.0	28	55	46	54	52	26	14.27
März	666.6	661.7	11	674.2	23	4.0	6.6	4.1	4.7	−4.0	15	14.0	24	66	62	71	66	30	1
April	663.2	654.0	9	671.7	1	4.7	9.0	5.6	6.2	−3.0	22	17.2	14	67	53	70	63	25	23
Mai	665.8	661.8	22	669.5	12	9.1	13.5	9.5	10.4	1.0	3	20.0	20	66	52	70	63	31	4.5
Juni	669.2	661.1	29	673.8	14	12.6	15.6	12.3	13.2	3.2	12	23.0	19	69	64	76	70	31	18
Juli	667.8	662.2	1	671.5	17	16.4	20.5	16.4	17.4	7.0	1	27.0	9.11	68	60	76	68	30	27
August	667.9	662.6	16	676.1	25	13.0	16.7	13.5	14.2	7.0	31	24.0	8	75	66	78	73	37	8
September	669.4	665.1	14	673.2	10	11.1	15.8	12.6	13.0	6.8	29	20.0	14	70	64	71	68	37	4.30
Oktober	668.4	648.2	28	677.4	23	5.4	9.4	6.8	7.1	−1.2	30	15.4	2	69	62	73	68	29	17
November	664.7	649.2	30	672.6	2	0.8	3.1	1.3	1.6	−5.0	9	8.8	25	74	68	74	72	26	20
Dezember	661.1	647.4	1	672.2	30	−0.1	1.1	−0.1	0.2	−6.4	14	9.4	2	77	70	72	73	31	18
Jahr	666.9	647.4	XII	682.6	II	6.3	9.7	6.9	7.4	−11.0	I	27.0	VII	68	61	71	67	25	IV

Göschenen: Stationsverl. und Beobachterw. am 1. Okt. Neues H_b = 1126.9 m. Die Luftdruckangaben beziehen sich auf die bish. Höhe.

St. Gotthard

$\lambda = 8^\circ 34'$, $\beta = 46^\circ 33'$, $H_b = 2095^m$, $G = -0.27$ ‰, $h_r = 1.8^m$

Januar	587.2	577.1	8	597.6	27	−8.1	−6.3	−7.9	−7.5	−17.2	17	4.8	30	75	70	71	72	22	28
Februar	597.4	585.9	1	606.0	15	−4.9	−0.3	−4.4	−3.5	−12.7	1	5.6	26	59	55	64	59	26	17
März	590.5	583.1	30	598.5	21	−3.4	0.1	−3.0	−2.3	−7.1	14	6.0	23	86	75	89	83	23	15
April	588.6	577.2	10	596.2	2	−2.3	2.4	−1.9	−0.9	−11.6	21.22	9.0	14	77	62	86	75	29	2
Mai	591.4	586.0	30	595.7	13	1.5	6.0	1.5	2.6	−5.0	3	11.2	23	81	67	92	80	42	17
Juni	595.1	587.3	29	598.6	14	5.1	8.6	5.5	6.2	−3.4	12	15.8	19	86	71	92	83	32	3
Juli	596.2	588.5	30	600.0	8	8.4	13.2	9.2	10.0	0.8	1	18.8	9	80	61	87	76	30	3
August	595.3	591.7	30	602.1	25	6.8	10.5	6.9	7.8	1.6	3	18.9	26	86	72	94	84	43	25
September	595.7	592.3	6	599.4	22	6.0	10.5	6.6	7.4	1.8	30	16.2	23	87	70	92	83	22	11
Oktober	593.3	573.3	28.29	601.4	2	0.3	3.8	0.4	1.2	−8.8	30	11.1	3	75	67	87	76	25	13
November	589.1	575.5	30	596.6	19	−4.4	−2.1	−4.2	−3.7	−10.0	8	3.2	21	78	76	83	79	26	20.23 21
Dezember	585.1	574.1	1	595.7	31	−6.5	−4.2	−6.2	−5.8	−12.2	6	3.2	31	85	81	83	83	37	15
Jahr	592.1	573.3	X	606.0	II	−0.1	3.5	0.2	1.0	−17.2	I	18.9	VIII	80	69	85	78	22	I/IX

Jura

Basel (Binningen)

$\lambda = 7^\circ 35'$, $\beta = 47^\circ 33'$, $H_b = 317.3^m$, $G = 0.08$ ‰, $h_r = 1.5^m$

Januar	733.8	722.2	4	747.5	26	−0.2	3.1	0.5	1.0	−7.8	18	15.6	22	94	77	88	86	40	22
Februar	744.5	737.1	1.2	754.7	15	1.3	6.1	0.9	1.6	−5.8	7	15.2	28	95	71	90	85	48	20
März	734.2	726.0	7	742.7	23	5.0	11.9	7.3	7.9	−1.7	15	19.3	21	98	70	85	84	40	2
April	731.6	719.6	16	741.8	2	7.1	14.5	9.3	10.0	0.6	21	25.2	14	92	59	80	77	27	23
Mai	733.6	725.2	9	740.0	13	11.4	19.3	13.0	14.2	6.3	4	26.3	11	91	56	83	77	34	18.26
Juni	736.5	729.3	29	743.0	14	15.3	21.7	15.9	17.2	8.9	12	29.0	19	90	61	86	79	37	1.4
Juli	735.5	729.2	29	742.9	1	18.3	26.5	19.1	20.8	12.1	1	33.4	9	86	50	80	72	28	22
August	735.9	731.2	10	742.0	25	15.0	22.9	16.9	17.9	8.4	31	28.2	10	96	61	83	80	38	13
September	736.4	732.1	16	741.0	28	11.3	22.8	14.2	15.6	6.5	29	28.8	12	95	50	84	76	18	12
Oktober	736.2	713.5	27	747.3	23	6.3	14.6	8.6	9.5	2.6	24	22.3	2	98	68	93	86	47	24
November	733.6	715.4	30	742.3	2	1.9	6.4	3.3	3.7	−3.0	4	13.1	19	97	79	92	89	56	2
Dezember	729.5	713.0	1	741.4	30	2.8	5.5	3.1	3.6	−3.2	17	13.1	26	91	78	89	86	50	27
Jahr	735.1	713.0	XII	754.7	II	7.7	14.6	9.3	10.2	−7.8	I	33.4	VII	94	65	86	82	18	IX

La Chaux-de-Fonds

$\lambda = 6^\circ 50'$, $\beta = 47^\circ 06'$, $H_b = 989.9^m$, G 00.6 ‰, $h_r = 1.2^m$

Januar	674.4	664.8	14	685.7	27	−2.0	1.0	−1.6	−1.0	−9.9	17	8.9	20.22	80	71	78	76	37	27
Februar	684.4	675.0	1	694.1	15	−1.8	6.2	0.7	1.4	−5.5	3.4	11.3	28	75	56	71	67	31	15.16 17
März	675.8	668.2	7	684.1	22.23	3.3	8.6	4.9	5.4	−1.1	16	14.9	24	87	62	79	76	35	18
April	673.6	662.2	10	683.1	1	5.2	10.2	6.3	7.0	1.6	21	19.3	14	70	58	67	65	29	5
Mai	676.1	669.3	9	681.9	13	9.5	14.5	10.2	11.1	2.1	3	20.3	9.21	82	61	74	72	34	9
Juni	679.6	672.7	29	684.1	14	12.7	16.6	13.1	13.9	5.3	12	21.9	19	83	65	80	76	31	15
Juli	679.5	669.6	29	686.5	2	16.6	21.7	17.2	18.2	8.9	1	27.7	10	72	46	71	63	31	3
August	679.2	675.5	10	685.6	24	13.3	18.3	14.2	15.0	9.1	31	24.1	26	81	58	79	73	23	8
September	679.3	674.9	25	683.1	22	10.6	17.9	12.7	13.5	7.1	30	21.9	12	83	55	76	71	30	12
Oktober	678.5	657.4	27	687.5	23	5.0	11.4	6.6	7.4	0.7	30	16.1	1.2	86	58	81	75	18	24
November	674.5	657.1	30	683.2	2	0.8	5.2	1.5	2.3	−4.3	24	11.1	20	83	66	82	77	28	25
Dezember	670.7	654.9	1	683.1	30	0.5	3.0	1.1	1.4	−5.7	15	7.1	26	85	75	83	81	41	15
Jahr	677.1	654.9	XII	694.1	II	6.1	11.2	7.3	8.0	−9.9	I	27.7	VII	81	61	77	73	18	X

Beobachter: W. Etterlin, J. Wipfli

Göschenen

Bewölkung				Termine mit Nebel				Niederschlag			Zahl der Tage								Windverteilung								1959′
7³⁰	13³⁰	21³⁰	Mittel	7³⁰	13³⁰	21³⁰	Total	Summe	Maximum	Tag	● *	●• ≧1.0	*	▲	⛆	≡	heiter	trüb	N	NE	E	SE	S	SW	W	NW	Calmen	
6.8	7.2	6.0	6.7	—	—	—	—	144	27	23	17	16	17	—	—	—	7	17	—	9	—	12	19	5	—	—	48	Januar
2.6	1.7	1.2	1.8	—	—	—	—	28	?	—	2	2	2	—	—	—	19	2	—	2	—	3	13	8	—	—	58	Februar
6.6	6.5	3.7	5.6	1	—	—	1	58	22	25	10	9	9	—	-	1	9	10	—	2	—	3	28	6	—	—	54	März
5.0	5.8	5.9	5.6	—	—	—	—	*120	?	—	*13	*11	*6	—	—	—	10	14	2	8	1	13	16	—	—	—	50	April
5.4	5.7	4.2	5.1	1	—	—	1	46	18	14	7	7	2	—	—	1	6	7	7	4	—	3	11	6	—	2	60	Mai
7.2	6.7	8.2	7.4	—	—	—	-	80	?	—	18	16	–	—	1	—	1	14	4	2	1	2	2	1	—	—	78	Juni
2.9	3.4	2.4	2.9	—	-	-	-	85	?	—	*11	*10	—	1	2	—	15	2	2	5	—	7	19	2	—	—	58	Juli
5.1	5.4	6.4	5.6	—	—	—	-	82	32	14	9	9	—	—	1	—	6	11	4	3	—	6	10	3	—	—	67	August
4.3	5.2	3.9	4.5	2	1	—	3	36	13	16	5	5	—	—	—	2	8	5	3	2	1	6	3	1	1	—	73	September
3.6	4.8	3.3	3.9	1	1	—	2	131	31	29	9	9	3	—	—	2	14	7	4	3	3	–	9	–	2	1	71	Oktober
6.6	6.2	4.0	5.6	—	—	—	—	124	43	14	9	10	6	—	—	—	7	11	8	2	7	—	2	1	4	1	65	November
7.6	6.9	6.8	7.1	—	-		—	109	31	28	13	13	11	-	—	1	4	17	4	4	7	—	1	—	5	—	72	Dezember
5.3	5.4	4.7	5.1	5	2	—	7	1043	43	XI	123	117	56	1	4	7	106	117	38	46	20	55	133	33	12	4	754	Jahr

Beobachter: E. Chiesa

St. Gotthard

6.1	6.2	5.5	5.9	12	13	11	36	275	56	8	19	19	19	—	–	16	7	12	—	—	—	30	—	—	—	43	20	Januar
2.5	2.2	2.2	2.3	3	2	3	8	55	23	21	6	5	6	—	—	5	20	5	—	—	—	8	—	—	—	31	45	Februar
7.8	8.2	7.9	8.0	14	14	13	41	204	33	25	20	16	20	—	-	20	2	22	—	—	—	40	—	—	—	33	20	März
4.9	4.9	6.6	5.5	13	12	13	38	220	33	29	17	15	17	—	–	17	8	13	—	—	—	33	—	—	—	38	19	April
5.2	7.3	7.6	6.7	9	6	11	26	72	17	1	11	10	5	—	—	18	1	12	—	—	—	27	—	—	—	39	27	Mai
6.4	6.8	7.9	7.0	12	6	15	33	95	16	29	17	14	2	–	—	23	2	14	—	—	—	11	—	—	—	55	24	Juni
3.9	4.6	4.6	4.4	4	3	6	13	111	29	14	14	12	1	–	2	11	10	7	—	—	—	10	—	—	—	60	23	Juli
5.6	6.2	7.9	6.6	11	6	15	32	105	24	10	14	13	—	—	1	25	1	9	—	—	—	11	—	—	—	48	34	August
5.2	5.0	6.3	5.5	10	3	16	29	34	15	26	8	5	—	–	—	19	7	11	—	—	—	16	—	—	—	21	53	September
4.9	4.8	5.0	4.9	11	11	12	34	227	76	28	10	8	8	-	—	18	11	11	—	—	—	28	—	—	—	26	39	Oktober
6.6	6.3	6.0	6.3	14	13	13	40	384	95	14	16	15	16	-	—	19	8	16	—	—	—	34	—	—	—	31	25	November
6.7	7.1	6.3	6.7	16	19	17	52	288	42	28	24	23	24	—	—	23	6	15	—	—	—	29	—	—	—	36	27	Dezember
5.5	5.8	6.1	5.8	129	108	145	382	2070	95	XI	176	155	118	—	3	214	83	147	—	—	—	277	—	—	—	462	356	Jahr

Jura

Beobachter: Astronomisch-Meteorologische Anstalt

Basel (Binningen)

7.7	7.4	6.8	7.3	1	—	1	2	81	22	14	17	13	10	—	–	4	1	15	2	4	17	9	5	14	26	7	9	Januar
6.1	3.9	4.9	5.0	10	—	6	16	6	3	21	3	3	—	—	—	13	7	9	2	4	19	10	1	5	6	12	25	Februar
8.2	7.8	6.4	7.5	4	—		4	90	23	12	15	10	1	–	—	7	2	15	6	3	19	10	6	11	10	5	23	März
5.9	6.4	5.4	5.9	—	—	—	—	116	32	30	13	13	1	—	—	—	8	13	4	3	12	10	6	9	15	8	23	April
6.6	6.5	6.0	6.4	—	-	-	—	25	8	30	10	6	—	—	—	1	1	9	8	2	8	6	6	10	11	19	23	Mai
7.3	6.8	6.6	6.9	—	—	—	—	115	29	21	15	14	—	1	3	—	1	12	6	1	7	9	10	9	15	18	15	Juni
4.1	5.3	4.4	4.6	—	—	—	—	18	10	28	8	5	—	—	2	—	8	8	5	3	17	6	11	9	13	11	18	Juli
6.4	5.7	3.6	5.2	1	-	—	1	69	19	22	9	8	—	—	4	2	4	6	5	5	14	8	5	6	12	15	23	August
3.1	3.3	2.1	2.8	—	—	—	—	6	3	16	3	3	—	-	—	3	16	3	7	3	12	9	7	6	8	10	28	September
6.4	5.0	4.1	5.2	6	—	—	6	89	15	29	13	10	—	—	—	9	8	10	4	5	21	15	5	8	9	9	17	Oktober
7.8	7.9	6.8	7.5	3	—	—	3	35	10	4	11	6	—		–	9	1	17	1	2	35	16	2	1	3	7	23	November
8.6	7.9	7.9	8.1	2	2	2	6	53	12	23	15	13	—	—		7	2	22	—	—	23	9	10	15	16	7	13	Dezember
6.5	6.2	5.4	6.0	27	2	9	38	703	32	IV	132	104	12	1	9	55	59	139	50	35	204	117	74	103	144	128	240	Jahr

Beobachter: Police locale

La Chaux-de-Fonds

6.4	6.5	5.7	6.2	—	—	—	—	173	28	6	18	18	15	–	—	—	7	12	1	—	—	1	—	23	1	9	58	Januar
2.7	2.4	1.6	2.2	—	—	—	—	3	2	21	3	1	2	-	—	1	19	3	—	7	—	—	—	—	—	—	77	Februar
6.4	7.2	6.6	6.7	—	—	—	—	138	37	6	16	15	6	—	—	3	3	14	1	2	1	–	—	8	—	1	80	März
5.3	5.3	5.0	5.2	—	1	—	1	144	29	30	15	15	6	1	—	2	12	12	—	7	—	2	—	16	3	1	61	April
4.4	6.3	5.0	5.2	—	—	—	—	41	10	19	11	9	2	2	4	1	4	4	2	4	1	—	—	—	—	2	84	Mai
5.9	7.0	6.5	6.5	1	1	1	3	188	34	26	22	18	—	2	7	2	4	13	1	1	—	1	—	7	—	6	74	Juni
3.4	4.5	3.3	3.7	–	–	—	—	38	16	28	6	6	—	—	2	—	12	5	—	-	—	2	—	5	—	3	83	Juli
4.2	6.5	3.7	4.8	–	—	-	–	99	36	22	10	9	—	—	1	—	4	5	—	1	1	1	—	1	—	4	85	August
3.1	4.5	1.9	3.2	1	—	—	1	55	24	17	4	3	—	—	—	2	12	3	—	—	1	—	—	—	—	2	87	September
4.7	5.8	3.7	4.7	—	—	—	—	104	24	19	11	10	4	—	—	1	11	9	—	—	—	—	-	7	—	1	85	Oktober
6.8	6.7	4.5	6.0	1	—	1	2	56	14	14	15	13	9		–	2	8	15				—	1	3	1		85	November
7.1	6.5	6.7	6.8	—	—	—	—	167	30	28	19	17	16	—	—	—	4	15	—	—	—	1	2	26	1	2	61	Dezember
5.0	5.8	4.5	5.1	3	2	2	7	1206	37	III	150	134	60	5	14	14	100	110	5	22	4	8	3	96	6	31	920	Jahr

Chasseron

$\lambda = 6° 32'$. $\beta = 46° 51'$, $H_b = 1601$ m, $G = -0.16$ ‰, $h_r = 1.5$ m

1959	Luftdruck					Luft-Temperatur								Relative Feuchtigkeit					
	Mittel	Minimum	Tag	Maximum	Tag	7^{30}	13^{30}	21^{30}	Mittel	Minimum	Tag	Maximum	Tag	7^{30}	13^{30}	21^{30}	Mittel	Minimum	Tag
Januar	625.7	615.1	4	636.7	27	−3.9	−2.9	4.0	−3.7	−13.0	16	7.8	30	79	78	75	77	12	27.30
Februar	635.9	623.9	1	645.0	15	−0.4	2.6	0.5	0.7	−11.5	1	7.0	19.27	56	49	55	53	10	15.16 17.19
März	628.0	620.3	7	636.3	22.23	0.1	2.1	0.8	0.8	−7.0	16	7.2	24	84	78	84	82	26	9
April	626.2	613.8	10	634.8	1.2	1.3	4.0	2.0	2.1	−8.0	21	19.6	14	78	69	78	75	18	3
Mai	629.2	623.9	9	634.5	13	6.0	8.2	5.8	6.3	−3.4	3	13.6	11.21	75	71	80	75	37	9
Juni	633.1	625.4	29	637.4	14	8.5	10.6	8.7	8.8	0.2	12	17.0	4	85	80	86	84	48	16
Juli	633.7	625.2	29	638.8	2	12.1	14.9	12.7	12.7	3.8	1	22.0	10	75	71	79	75	42	3
August	632.8	629.3	31	639.8	25	9.4	12.3	9.9	10.1	4.0	31	17.8	26	87	80	87	85	47	31
September	633.0	629.8	17	636.7	22	9.4	12.5	9.6	10.2	4.2	28	17.4	12	86	74	83	81	55	12.21
Oktober	631.1	610.2	27	639.9	23	4.3	6.5	4.4	4.9	−5.0	30	13.0	24	78	74	76	76	17	23
November	626.5	610.0	30	634.1	1.2	−0.9	0.6	−0.6	−0.5	−5.8	8.9	10.4	20	80	77	78	78	19	23
Dezember	622.7	608.0	1	635.0	30	−1.9	−1.2	−2.0	−1.8	−9.2	14	9.4	31	85	82	85	84	14	31
Jahr	629.8	608.0	XII	645.0	II	3.7	5.8	4.0	4.2	−13.0	I	22.0	VII	79	74	79	77	10	II

Neuchâtel

$\lambda = 6° 57'$, $\beta = 47° 00'$, $H_b = 487.3$ m, $G = -0.00$ ‰, $h_r = 1.5$ m

Januar	718.9	707.4	4.14	732.1	27	−0.5	1.9	0.5	0.6	−7.3	18	10.3	22	85	72	76	78	48	16
Februar	729.3	719.0	1	739.2	15	−0.9	4.3	2.0	1.8	−3.8	5.16	10.8	27	88	66	73	76	43	17.28
März	719.2	710.4	7	728.1	23	4.7	10.3	7.3	7.4	−0.3	18	16.7	24	91	63	76	77	40	29
April	716.6	704.6	16	726.2	1	6.9	13.6	9.5	9.9	2.2	21	21.6	14	81	50	64	65	29	22
Mai	718.4	710.5	9	724.6	13	10.9	18.5	13.9	14.3	3.8	1	23.8	26	83	49	63	65	33	10
Juni	721.8	714.7	29	727.4	13	14.7	20.8	16.5	17.1	9.3	1	26.4	4	81	52	68	67	33	4.15
Juli	721.1	714.2	29.30	728.8	1	17.6	26.0	20.4	21.1	11.8	1	31.3	11	79	44	58	60	25	22
August	721.1	716.3	10	727.1	25	15.4	22.4	17.7	18.3	11.3	31	28.0	10	84	51	66	67	33	16
September	721.6	717.0	14	725.5	28.29	13.0	20.9	16.7	16.8	9.3	30	24.9	24	83	52	64	66	38	7
Oktober	721.5	698.4	27	731.7	23	7.2	12.1	9.4	9.5	2.2	24	18.4	25	90	69	78	79	43	25
November	718.4	700.0	30	727.5	2	2.4	4.6	3.3	3.4	−1.1	24	10.2	1	92	82	89	88	56	1
Dezember	714.6	697.3	1	727.5	30	2.5	4.6	2.8	3.2	−2.4	15	9.9	27	89	76	86	84	60	4
Jahr	720.2	697.3	XII	739.2	II	7.8	13.3	10.0	10.3	−7.3	I	31.3	VII	86	61	72	73	25	VII

Chaumont

$\lambda = 6° 59'$, $\beta = 47° 03'$, $H_b = 1141$ m, $G = -0.09$ ‰, $h_r = 1.5$ m

Januar	661.5	649.9	4	672.6	27	−3.4	−0.7	−2.9	−2.5	−11.8	17	7.8	30	89	79	85	84	31	30
Februar	671.6	661.1	2	680.6	15	−0.4	4.7	1.3	1.7	−8.0	3	9.4	28	81	64	74	73	35	17
März	663.0	655.4	7	671.6	23	2.2	6.7	3.6	4.0	−2.8	16	13.4	24	94	79	88	87	50	2
April	661.0	648.9	10	670.0	1	3.9	8.7	5.1	5.7	−3.0	21	18.2	14	83	68	78	76	42	5.14
Mai	663.6	657.4	9	669.6	13	8.2	14.2	9.0	10.1	−0.6	1	20.2	11	86	67	84	79	44	25
Juni	667.3	660.4	29	672.0	13.14	10.6	16.3	11.7	12.6	4.2	10.12	22.0	4	92	74	90	85	46	11
Juli	667.5	658.6	29	673.4	2	14.4	20.9	15.4	16.5	6.8	1	27.2	10	83	64	78	75	38	3
August	666.9	663.1	30	673.5	25	12.0	18.0	13.0	14.0	6.4	31	22.8	26	88	70	83	80	53	16
September	667.1	662.9	26	670.8	22	10.5	17.1	12.3	13.1	6.2	30	21.6	12	89	69	80	79	47	12
Oktober	665.8	645.0	27	670.8	23	5.5	9.6	6.2	6.9	−2.8	30	15.8	2	88	73	85	82	29	24
November	661.8	644.7	30	669.7	23	0.4	3.3	0.8	1.3	−4.6	25	9.8	22	87	77	87	84	39	20
Dezember	658.0	642.3	1	670.2	30	−1.0	1.1	−0.5	−0.2	−6.8	15	8.2	31	94	84	90	89	36	31
Jahr	664.6	642.3	XII	680.6	II	5.2	10.0	6.2	6.9	−11.8	I	27.2	VII	88	72	84	81	29	X

Biel

$\lambda = 7° 15'$, $\beta = 47° 08'$, $H_b = 435.8$ m, $G = -0.01$ ‰, $h_r = 1.5$ m

Januar	723.7	712.1	14	736.9	27.	0.0	2.1	0.5	0.8	−8.0	18	9.0	23	80	71	76	76	49	25
Februar	733.4	724.3	1	743.2	15	−1.1	4.5	2.7	2.2	−4.5	16	11.4	27	84	67	72	74	46	18
März	723.8	715.0	7	732.5	23	5.1	10.2	8.1	7.9	0.1	18	16.8	24	84	66	69	73	45	21
April	721.1	709.1	16	730.8	1.2	7.0	13.0	10.6	10.3	2.0	22	20.2	14	75	50	62	62	29	22
Mai	722.8	714.7	9	728.9	13	11.4	18.2	14.9	14.9	4.9	1	23.8	10	70	49	55	58	31	26
Juni	726.2	718.7	29	731.9	13.14	15.3	20.5	17.8	17.8	9.2	1	26.2	4	71	53	63	62	33	3
Juli	725.3	717.5	29	733.4	1	18.5	25.1	22.9	22.3	12.5	1	32.0	20	*78	*45	*63	*62	—	—
August	725.6	721.4	13	731.7	25	15.9	21.4	18.5	18.6	12.1	31	26.8	25.26	83	58	69	70	41	16
September	728.3	724.2	17	732.4	28	12.5	19.9	17.0	16.6	8.2	30	24.8	11	82	59	68	70	46	13
Oktober	728.1	704.6	27	738.3	23	6.4	11.5	9.5	9.2	1.4	31	16.2	9	91	75	81	82	46	23
November	723.1	705.7	30	732.2	2	2.1	4.3	3.2	3.2	−1.7	22	10.4	18	91	86	90	89	62	7.9
Dezember	719.0	701.7	1	730.8	19	3.0	4.1	2.9	3.2	−1.7	15	10.0	27	89	85	87	87	65	20
Jahr	725.0	701.7	XII	743.2	II	8.0	12.9	10.7	10.6	−8.0	I	32.0	VII	82	64	71	72	—	

Beobachter: J. Liardon

Chasseron

Bewölkung				Termine mit Nebel				Niederschlag			Zahl der Tage								Windverteilung									1959
7^{30}	13^{30}	21^{30}	Mittel	7^{30}	13^{30}	21^{30}	Total	Summe	Maximum	Tag	●	●≥1.0	✳	▲	⛆	≡	heiter	trüb	N	NE	E	SE	S	SW	W	NW	Calmen	
6.8	7.0	6.7	6.8	17	11	13	41	330	38	14	18	18	17	–	—	18	4	16	3	2	18	—	9	8	37	13	3	Januar
3.6	3.6	3.5	3.6	3	3	3	9	10	5	22	3	3	3		—	4	8	3	10	9	35	5	1	1	10	6	7	Februar
7.1	7.6	7.1	7.3	11	11	10	32	205	44	12	21	17	17	—	–	19	—	12	9	7	17	10	20	6	15	9	—	März
6.1	5.9	6.1	6.0	11	9	11	31	212	37	30	16	16	13	—	1	15	6	14	6	1	21	3	12	11	25	10	1	April
5.2	6.8	6.8	6.3	6	6	7	19	35	8	1	11	9	3	—	3	9	—	8	22	7	30	6	10	1	7	6	4	Mai
6.4	7.1	7.1	6.9	10	5	5	20	189	29	26	16	16	—	—	5	11	—	11	20	5	13	4	6	—	27	14	1	Juni
4.6	5.3	5.0	5.0	7	5	3	15	108	27	11	10	9	—	4	5	10	8	7	11	5	23	4	8	1	15	23	3	Juli
5.2	6.8	5.2	5.7	7	3	4	14	73	16	22	11	11	—	–	1	18	4	6	14	10	34	3	8	1	14	8	1	August
4.2	5.4	4.4	4.7	3	2	2	7	23	18	17	2	2	—		1	10	8	5	3	2	41	4	8	—	16	12	4	September
5.4	6.2	4.5	5.4	10	8	8	26	117	19	11	11	11	6		—	14	8	11	5	4	24	8	7	4	25	12	4	Oktober
6.5	6.8	5.9	6.4	12	12	12	63	101	22	11	13	12	13	—		21	7	14	3	—	32	9	13	6	19	6	2	November
7.4	7.2	7.0	7.2	16	14	12	39	293	55	28	18	18	18	–	—	22	2	17	5	3	15	6	8	10	39	5	2	Dezember
5.7	6.3	5.8	5.9	113	86	90	289	1696	55	XII	150	142	90	4	16	171	55	124	111	55	303	62	110	49	249	124	32	Jahr

Beobachter: Observatoire

Neuchâtel

7.5	7.3	6.5	7.1	3	3	2	8	117	17	7	18	17	12	—	—	4	4	16	3	15	7	6	2	34	16	2	8	Januar
6.1	5.6	3.1	4.9	6	3	1	10	1	1	21	1	0	—	—	–	9	9	7	1	34	13	—	1	3	2	—	30	Februar
7.1	7.0	6.6	6.9	3	—	—	3	89	37	5	15	11	1	—	—	3	3	15	6	10	13	4	13	20	3	2	22	März
5.6	4.9	5.1	5.2	—	—	—	—	107	32	30	13	11	—	—	+	–	11	12	5	16	8	1	4	28	14	3	11	April
5.4	5.1	5.2	5.2	1	—	—	1	28	8	12	10	7	--	—	1	1	4	6	10	25	17	11	9	3	4	3	11	Mai
5.7	6.5	6.6	6.3	—	—	—		86	14	7	17	12	—	–	3	—	3	12	9	20	12	7	3	7	17	4	11	Juni
4.5	4.2	4.1	4.3	—	—	—	—	61	26	28	8	7	—	1	5	—	9	5	13	21	6	8	8	11	8	5	13	Juli
4.8	4.9	3.9	4.5	—	—	—	–	78	38	22	9	7	—	—	—	—	8	7	14	32	11	10	3	—	3	2	18	August
3.5	2.6	1.9	2.7	1	—	–	1	37	35	17	3	2	—	—	1	1	18	1	8	30	7	15	4	3	1	—	22	September
8.4	5.9	4.3	6.2	6	—	—	6	76	20	19	12	11	—	—	—	6	4	11	4	11	13	12	1	15	6	2	29	Oktober
9.8	9.2	8.2	9.1	8	7	4	19	49	12	14	14	11	1	–	—	9	—	25	4	25	8	3	5	6	16	2	21	November
9.3	8.1	8.4	8.6	1	2	1	4	122	24	23	16	16	—	-	—	3	—	18	5	10	9	3	3	28	16	4	15	Dezember
6.5	5.9	5.3	5.9	29	15	8	52	851	38	VIII	136	112	14	1	10	36	73	135	82	249	124	80	56	158	106	29	211	Jahr

Frau B. Burkhalter-Pierrehumbert

Chaumont

6.3	5.7	5.8	5.9	1	1	1	3	138	23	6	18	18	15	—	—	2	7	14	3	1	10	—	—	23	20	10	26	Januar
2.7	2.6	2.3	2.5	1	1	2	4	4	4	21	1	1	1	—	—	2	18	5	—	6	17	—	—	1	2	1	57	Februar
6.4	6.5	5.8	6.2	2	2	2	6	101	41	6	16	15	5	—	–	4	2	9	—	3	14	1	—	9	6	4	56	März
5.3	5.4	5.4	5.4	3	3	4	10	131	32	30	15	15	9	–	—	7	10	11	1	1	22	—	—	21	11	2	32	April
5.0	5.6	5.4	5.3	3	1	—	4	37	8	30	9	9	3	1	1	4	2	5	2	4	27	—	—	2	3	4	51	Mai
5.4	6.2	6.9	6.2	4	—	3	7	126	35	26	16	13	—	—	1	7	2	7	1	5	13	3	—	5	8	13	42	Juni
3.6	4.3	3.9	3.9	2	—	—	2	80	39	12	7	7		–	1	2	10	4	1	5	20	2	—	9	8	5	43	Juli
4.7	5.2	3.9	4.6	4	-	—	4	97	58	22	7	7	—	-	1	4	7	3	3	8	28	--	—	2	—	6	46	August
4.3	4.0	2.8	3.7	4	1	—	5	27	17	17	3	3	–	—	1	4	10	2	—	2	33	—	—	1	2	1	51	September
5.2	4.7	3.8	4.6	7	2	3	12	85	21	19	11	10	5	—	-	9	12	10	—	—	15	—	1	11	—	1	65	Oktober
6.4	6.3	5.3	6.0	6	6	3	15	56	12	11	13	13	8	—	—	10	8	15	—	4	10	—	—	11	—	3	65	November
8.2	6.7	7.4	7.4	8	4	7	19	176	24	28	17	16	16	—	—	12	3	16	—	1	9	—	—	24	1	—	58	Dezember
5.3	5.3	4.9	5.1	45	21	25	91	1058	58	VIII	132	127	62	1	5	67	91	101	11	40	218	6	1	119	61	50	589	Jahr

Beobachter: Gaswerk

Biel

7.2	7.1	6.5	6.9	3	2	2	7	166	36	6	17	17	13	—	—	4	3	12	1	12	–	—	—	23	6	4	47	Januar
7.0	4.6	3.8	5.1	8	—	1	9	2	1	21	2	1	—	—	—	10	6	7	—	22	3	—	—	2	1	—	56	Februar
7.0	6.5	5.9	6.5	1	—	—	1	64	13	4	14	12	—	—	—	2	3	11	2	12	3	—	—	11	3	—	62	März
4.9	4.7	5.8	5.1	—	—	—	—	118	40	30	13	12	—	—	—	—	11	11	4	10	9	1	—	32	3	2	29	April
4.3	4.6	5.0	4.6	—	—	—	—	50	22	11	11	9	—	1	—	—	3	2	4	36	2	—	—	10	2	2	37	Mai
5.9	6.0	5.1	5.7	—	—	—	—	96	30	25	12	11	—	—	2	—	4	5	—	16	7	1	—	21	—	5	40	Juni
3.8	3.8	3.8	3.8	—	—	—	—	56	33	28	6	6	—	—	2	—	11	2	—	21	6	—	—	21	1	5	39	Juli
4.3	5.2	4.6	4.7	—	—	—	—	115	26	22	8	7	—	–	4	—	7	5	9	28	9	1	—	14	1	—	31	August
4.2	3.8	3.1	3.7	—	—	—	—	17	14	17	3	3	—	—	—	—	10	3	1	30	6	—	—	10	—	—	43	September
8.5	7.0	5.6	7.0	3	1	—	4	83	17	20	12	10	—	—	—	4	3	15	—	13	3	1	2	12	—	1	61	Oktober
9.6	8.9	9.1	9.2	6	2	5	13	67	26	14	13	10	—	—	—	8	—	26	1	19	1	1	—	8	—	—	60	November
9.4	8.0	7.4	8.3	2	1	—	3	190	36	28	16	15	2	—	—	2	—	18	—	7	4	—	—	33	—	—	49	Dezember
6.3	5.9	5.5	5.9	23	6	8	37	1024	40	IV	127	113	15	1	8	30	61	117	22	226	53	5	2	197	17	19	554	Jahr

Solothurn

$\lambda = 7°32'$, $\beta = 47°13'$, $H = 470$ m. $G = -$ ‰, $h_r = 1.5$ m

1959	Luftdruck					Luft-Temperatur								Relative Feuchtigkeit					
	Mittel	Minimum	Tag	Maximum	Tag	7^{30}	13^{30}	21^{30}	Mittel	Minimum	Tag	Maximum	Tag	7^{30}	13^{30}	21^{30}	Mittel	Minimum	Tag
Januar	—	—	—	—	—	−1.7	1.7	−1.2	−0.6	−10.4	18	7.8	1	87	80	84	84	61	10
Februar	—	—	—	—	—	−2.3	5.1	1.4	1.4	−5.8	5	13.9	28	88	82	82	84	71	16.17
März	—	—	—	—	—	4.4	11.5	6.7	7.3	−0.3	2	17.7	24	96	60	79	78	40	21
April	—	—	—	—	—	6.8	14.2	8.9	9.7	2.7	22	23.3	14	82	51	68	67	32	21.22
Mai	—	—	—	—	—	11.6	19.5	13.5	14.5	3.8	1	26.4	21	78	48	64	63	31	10
Juni	—	—	—	—	—	14.9	21.4	16.1	17.1	9.8	1	28.8	4	80	52	73	68	30	3
Juli	—	—	—	—	—	17.8	26.2	19.3	20.7	11.6	1	32.4	10	76	45	66	62	30	23
August	—	—	—	—	—	15.2	22.9	16.5	17.8	11.2	31	28.2	10	84	49	76	70	31	16.31
September	—	—	—	—	—	12.4	21.9	14.8	16.0	7.4	30	27.8	12	82	48	76	69	34	7.12
Oktober	—	—	—	—	—	6.0	12.9	8.0	8.7	1.0	24	19.8	1	98	69	94	87	41	24
November	—	—	—	—	—	1.3	3.9	2.1	2.4	−3.0	25	9.1	1	97	88	95	93	57	7
Dezember	—	—	—	—	—	1.8	4.1	1.7	2.3	−3.4	16	11.1	27	97	82	94	91	58	11
Jahr	—	—	—	—	—	7.4	13.8	9.0	9.8	−10.4	I	32.4	VII	87	63	79	76	30	VI/VII

Langenbruck

$\lambda = 7\ 46$, $\beta = 47°21'$, $H_b = 740.4$ m $G = -0.01$ ‰, $h_r = 1.5$ m

Januar	696.4	684.7	4	708.7	26.27	−2.0	0.2	−1.4	−1.1	−9.8	18	8.2	22	82	75	82	80	48	20
Februar	706.5	698.0	1	715.6	15	−1.9	3.4	0.2	0.5	−6.5	4	9.3	27	86	74	81	80	48	16
März	697.3	689.0	7	706.0	23	4.3	8.2	5.1	5.7	−0.2	15	13.6	24	88	72	83	81	51	6
April	694.9	684.3	16	705.3	1	6.7	11.2	7.2	8.1	−0.2	21	19.0	14	80	62	76	73	31	4
Mai	697.4	690.2	9	703.5	13	10.6	15.3	11.1	12.0	4.2	1	22.0	9	80	63	77	73	38	9
Juni	701.3	693.6	29	708.2	14	14.4	18.2	14.1	15.2	8.2	12	26.7	20	82	65	79	75	46	6
Juli	700.4	693.4	29.30	707.3	1	17.3	22.4	17.1	18.5	10.5	1	27.3	10	80	61	78	73	44	21
August	700.3	696.7	13	706.7	26	14.3	19.3	14.9	15.8	10.0	31	24.0	10	84	68	81	78	51	31
September	700.7	696.8	26	704.7	28.29	11.6	18.2	13.3	14.1	6.2	30	22.2	13.23	84	64	75	74	51	13.18
Oktober	699.9	678.5	27	710.6	23	6.2	11.2	7.1	7.9	0.2	30	17.4	2	89	76	87	84	54	25
November	696.9	678.9	30	705.2	2	1.0	3.7	1.6	2.0	−2.6	23	7.7	18	89	82	90	87	56	21
Dezember	693.2	676.4	1	705.1	30	0.9	2.5	1.4	1.6	−6.3	16	8.1	26	90	85	87	87	64	10
Jahr	698.8	676.4	XII	715.6	II	6.4	11.1	7.6	8.3	−9.8	I	27.3	VII	84	70	81	79	31	IV

Olten

$\lambda = 7°55$, $\beta = 47°22'$, $H_b = 390.7$. $G = 0.04$ ‰, $h_r = 1.5$ m

Januar	727.4	716.0	4	740.3	27	−1.1	1.8	−0.1	0.1	−10.2	18	7.6	23	88	74	87	83	50	27
Februar	737.1	730.3	1	744.8	16	1.7	4.3	0.9	1.1	−5.6	5	12.4	28	93	82	86	87	53	27
März	728.0	720.0	7	735.8	23	4.4	10.9	6.8	7.2	−0.6	2	17.0	21	89	71	80	80	42	21.27
April	725.2	714.5	10	735.0	2	5.6	14.0	8.7	9.2	0.0	22	21.4	14	92	54	77	74	32	5.25
Mai	726 9	719.8	9	733.0	13	10.4	18.5	12.8	13.6	4.0	1	25.4	11	87	51	75	71	27	26
Juni	730.2	723.2	29	735.1	11.12 13/14	14.7	20.8	16.4	17.1	10.0	1	28.3	19	79	55	69	68	31	6
Juli	729.4	722.8	29	736.2	2	16.6	25.3	18.8	19.9	11.8	1	32.4	10	87	49	79	72	31	21.31
August	729.6	725.3	10	735.2	25	14.0	22.1	16.4	17.2	8.0	31	28.6	26	91	54	83	76	36	31
September	730.1	726.2	25	734.3	29	10.2	21.2	14.4	15.1	5.0	30	25.6	23	93	47	76	72	33	7
Oktober	730.1	707.5	27	740.3	23	6.4	12.0	8.4	8.8	1.8	24.31	18.0	1	92	69	87	83	37	23
November	727.3	708.8	30	736.0	2	2.0	4.3	3.1	3.1	−1.2	14	8.6	1	89	78	87	85	59	7
Dezember	723.3	707.2	1	735.0	30	2.1	4.3	2.3	2.8	−3.2	17	9.8	26.27	89	76	87	84	59	11
Jahr	728.7	707.2	XII	744.8	II	7.0	13.3	9.1	9.6	−10.2	I	32.4	VII	89	63	81	78	27	V

Aarau

$\lambda = 8\ 03$. $\beta = 47°23$. $H_b = 407.6$ m $G = 0.04$ ‰, $h_r = 1.5$ m

Januar	726.0	714.0	4	739.8	27	−1.5	2.1	−0.8	−0.2	−10.2	18	9.0	23	87	70	86	81	45	27
Februar	736.8	728.5	1	747.1	15	1.7	4.3	0.3	0.8	6.0	5	11.4	28	88	62	85	78	38	18
März	726.4	717.5	7	735.4	23	4.8	11.2	6.7	7.3	−0.8	2	16.4	23	88	56	83	76	36	21
April	723.6	711.4	16	734.2	2	6.4	14.1	8.7	9.5	1.0	22	21.2	14	78	48	73	66	28	25
Mai	725.5	717.2	9	732.3	13	11.3	18.7	13.0	14.0	4.0	1	25.0	21	72	44	73	63	27	26
Juni	728.8	721.4	29	734.8	14	15.2	21.2	15.9	17.1	10.2	12	27.8	19	73	48	76	66	32	6
Juli	728.1	721.1	29	735.7	1	17.4	25.1	18.6	19.9	12.6	1	31.8	10	73	44	78	65	29	27
August	728.3	723.9	10	734.7	25	14.7	22.3	16.1	17.3	10.4	31	28.0	8	79	46	80	68	35	9.31
September	728.8	724.0	16	733.5	28	11.1	20.6	14.1	15.0	6.8	29	24.4	13	81	45	78	68	33	7
Oktober	728.8	705.6	27	739.7	23	6.6	12.0	7.8	8.5	2.0	31	18.0	2	88	64	88	80	39	23
November	725.8	707.1	30	735.3	2	1.8	4.7	2.7	3.0	1.4	24	8.8	18	87	72	85	81	53	9
Dezember	721.7	705.2	1	734.3	30	2.1	4.7	2.1	2.8	−3.4	15	9.8	30	84	69	83	79	49	10
Jahr	727.4	705.2	XII	747.1	II	7.4	13.4	8.8	9.6	−10.2	I	31.8	VII	82	56	81	73	27	V

Beobachter: **Frl. A. Glutz**

Solothurn

Bewölkung				Termine mit Nebel				Niederschlag			Zahl der Tage								Windverteilung								1959
7^{30}	13^{30}	21^{30}	Mittel	7^{30}	13^{30}	21^{30}	Total	Summe	Maximum	Tag	● *	●• ≧1.0	✳	▲	⛌	≡	heiter	trüb	N	NE	E	SE	S	SW	W	NW	Calmen	
8.4	7.2	6.5	7.4	6	3	3	12	170	25	6	17	17	12	—	—	7	3	18	—	2	8	3	—	—	24	1	55	Januar
9.5	5.7	3.6	6.3	12	1	3	16	8	5	21	3	2	—	—	—	13	—	19	1	12	6	7	—	—	2	2	54	Februar
9.2	6.9	5.9	7.3	6	—	—	6	94	26	6	15	12	—	—	—	7	2	11	2	10	7	4	1	3	7	—	59	März
6.1	5.7	5.2	7.5	1	—	—	1	90	35	30	12	11	—	—	—	2	9	13	—	5	10	2	—	9	20	2	42	April
6.2	5.6	5.0	5.6	3	—	—	3	64	19	11	11	9	—	—	2	3	3	5	1	12	15	16	—	1	5	3	40	Mai
7.4	6.9	6.1	6.8	2	—	—	2	121	25	28	15	12	—	—	4	3	2	13	2	7	6	6	—	7	7	5	50	Juni
5.7	5.3	3.7	4.9	—	—	—	—	76	27	28	9	9	—	1	3	1	4	6	—	10	4	9	—	7	8	10	45	Juli
6.7	5.6	4.2	5.5	4	—	—	4	107	22	23	12	9	—	1	4	4	5	7	2	3	5	10	—	5	2	4	52	August
5.5	4.4	2.7	4.2	3	—	—	3	25	19	17	2	2	—	—	—	3	9	3	—	13	13	11	—	5	1	1	46	September
9.7	6.3	4.6	6.9	12	—	—	12	104	16	27	13	13	2	—	—	12	1	12	—	2	2	7	—	1	9	4	68	Oktober
9.9	9.4	9.0	9.4	11	5	9	25	52	16	14	14	9	2	—	—	14	—	27	—	13	3	1	—	1	8	1	63	November
9.7	8.4	8.0	8.7	4	2	2	8	179	31	28	19	17	3	—	—	5	—	22	—	5	—	1	—	9	14	2	62	Dezember
7.8	6.5	5.4	6.6	64	11	17	92	1090	35	IV	142	122	19	2	13	74	38	146	8	104	79	77	1	48	107	35	636	Jahr

Beobachter: **E. Müller**

Langenbruck

6.4	6.4	6.9	6.6	1	—	1	2	119	14	14	18	17	15	—	—	2	5	14	5	1	7	—	4	1	4	9	62	Januar
4.1	3.1	3.2	3.5	4	1	3	8	11	7	21	5	4	2	—	-	5	14	5	2	7	3	3	—	—	5	2	62	Februar
8.2	7.4	5.9	7.2	1	—	—	1	99	24	6	16	13	3	—	—	1	4	16	2	5	2	—	1	1	2	5	75	März
5.0	5.6	4.9	5.2	—	—	—	—	104	45	30	13	11	6	—	—	—	11	12	5	12	3	1	—	—	7	7	55	April
4.6	5.6	4.5	4.9	—	—	—	—	31	10	1	7	7	—	—	3	—	6	6	10	8	7	—	1	—	5	10	52	Mai
6.5	5.8	5.9	6.1	—	—	—	—	138	24	28	16	14	—	—	3	—	5	9	2	9	7	—	1	1	15	9	46	Juni
4.0	4.3	3.8	4.0	—	—	—	—	82	33	11	10	9	-	1	2	—	8	4	5	9	8	—	—	—	3	11	57	Juli
5.0	5.1	3.1	4.4	—	—	—	—	94	26	22	12	10	—	1	3	—	8	5	6	6	7	—	—	—	2	11	61	August
2.5	3.7	1.9	2.7	2	—	—	2	12	5	26	5	5	—	—	—	2	14	3	3	3	9	—	1	—	6	2	66	September
6.8	5.5	4.0	5.4	4	—	1	5	113	23	28	12	10	1	—	—	4	8	13	1	1	4	1	2	1	3	5	75	Oktober
7.9	7.6	7.0	7.5	6	2	4	12	54	14	14	11	8	5	—	—	9	4	18	5	3	3	1	1	—	3	1	73	November
8.3	7.6	8.4	8.1	5	1	1	7	110	20	23	17	13	8	—	-	6	2	22	6	8	5	1	6	—	7	4	56	Dezember
5.8	5.6	5.0	5.5	23	4	10	37	967	45	IV	142	121	40	2	11	29	89	127	52	72	65	7	17	4	62	76	740	Jahr

Beobachter: **Gaswerk**

Olten

7.7	7.2	6.7	7.2	6	2	3	11	132	22	6	19	19	15	—	—	7	4	18	—	—	-	3	—	27	3	7	53	Januar
8.4	4.5	4.1	5.7	17	9	7	33	9	5	21	3	3	—	—	—	17	4	8	—	—	—	7	—	2	1	—	74	Februar
8.6	6.5	5.3	6.8	11	—	2	13	86	21	12	15	11	—	-	—	13	2	11	—	—	—	3	—	7	1	—	82	März
5.4	5.3	5.1	5.3	2	—	—	2	77	22	30	13	12	—		—	2	10	12	—	—	—	5	—	13	2	3	67	April
5.3	5.1	4.8	5.1	2	—	—	2	46	12	1	11	10	—	—	—	2	6	7	—	—	—	8	—	10	1	10	64	Mai
6.5	5.8	6.5	6.3	3	—	3	6	116	21	25	15	14	—	—	6	6	4	9	—	2	1	12	—	10	—	17	43	Juni
5.0	4.4	3.9	4.4	—	—	1	1	67	26	11	7	6	—	—	2	1	8	5	1	—	—	7	—	5	2	2	76	Juli
5.8	5.0	3.5	4.8	6	—	—	6	80	21	22	11	10	—	1	3	6	7	4	—	—	—	10	—	3	1	5	74	August
4.5	3.7	1.5	3.2	8	—	—	8	9	3	17	4	3	—	—	—	8	15	4	—	—	—	13	—	3	—	—	74	September
9.8	5.8	4.9	6.8	13	1	2	16	96	19	29	13	11	—	—	—	14	—	13	—	—	—	1	—	1	—	—	91	Oktober
10.0	9.2	8.9	9.4	13	10	7	30	53	15	14	10	8	1	-	-	15	—	27	—	1	—	—	—	15	—	3	71	November
9.7	8.2	8.1	8.7	4	2	2	8	104	21	23	18	16	1	-	—	4	—	22	—	—	—	—	—	15	1	1	76	Dezember
7.2	5.9	5.3	6.1	85	24	27	136	875	26	VII	139	123	17	1	11	95	60	140	1	3	1	69	—	111	12	48	850	Jahr

Beobachter: **W. Amsler**

Aarau

9.0	7.1	7.3	7.8	5	1	—	6	100	20	14	20	18	14	–	—	5	2	19	—	6	—	—	—	8	20	7	52	Januar
9.3	5.0	5.7	6.7	18	1	2	21	8	6	21	3	2	—	–		18	1	10	1	10	2	-		1	1	1	68	Februar
9.3	6.6	6.0	7.3	10	—	—	10	65	14	6	17	14	1	—	—	10	1	14	—	4	1	—	—	1	4	6	77	März
5.3	5.5	4.9	5.2	1	-	—	1	73	23	30	12	12	—	–	—	1	10	10	1	10	1	—	—	5	10	6	57	April
4.9	4.7	5.0	4.9	2	—	-	2	65	21	19	9	9	—	—	2	2	6	7	4	21	1	1	—	—	5	6	55	Mai
6.4	5.5	6.2	6.0	—	—	—	—	141	26	20	17	15	—	2	3	—	4	6	—	5	—	1	—	5	4	10	65	Juni
4.4	4.2	4.0	4.2	—	—	—	—	57	17	11	11	7	—	–	4	—	11	3	4	7	—	1	—	5	5	4	67	Juli
6.4	4.9	4.3	5.2	5	—	—	5	108	30	22	13	11	—	—	2	5	4	7	1	11	2	1	—	—	—	11	67	August
3.5	2.8	2.4	2.9	4	—		4	7	3	17	4	3	—	-	—	4	13	3	—	—	1	—	—	—	1	3	76	September
9.7	6.0	6.5	7.4	13	—		13	78	14	29	13	9	—	—	—	13	—	14		9		1		1	1	2	87	Oktober
10.0	9.1	9.3	9.5	12	6	5	23	46	14	14	12	9	2		—	12	—	27	–	1	—	—	—	1	3	3	80	November
9.9	7.8	8.3	8.7	3	—	1	4	86	21	23	18	14	—	—	-	4	—	22	—	3	—	—	-	3	12	6	72	Dezember
7.3	5.8	5.8	6.3	73	8	8	89	837	30	VIII	149	123	17	2	11	74	52	142	11	87	8	5	—	30	66	65	823	Jahr

Beznau

$\lambda = 8°14'$, $\beta = 47°33'$, $H = 326^m$, $G = —$ ‰, $h_r = 1.5^m$

1959	Luftdruck					Luft-Temperatur								Relative Feuchtigkeit					
	Mittel	Minimum	Tag	Maximum	Tag	7^{h}	13^{h}	21^{h}	Mittel	Minimum	Tag	Maximum	Tag	7^{h}	13^{h}	21^{h}	Mittel	Minimum	Tag
Januar	*732.3	—	—	—	—	−1.1	2.1	−0.5	0.0	−10.5	18	10.2	21	85	70	84	80	47	27
Februar	741.1	733.8	1	750.5	16	−2.0	4.4	0.4	0.8	−6.1	5	11.8	27	88	67	82	79	45	18
März	733.1	723.7	7	741.6	23	4.3	11.3	6.4	7.1	−1.6	3	17.0	21	88	60	83	77	44	1
April	730.4	718.0	16	742.0	2	5.4	14.4	8.3	9.1	−0.8	22	21.5	4	82	62	69	71	41	23
Mai	731.9	723.6	9	738.6	13	10.3	18.9	12.4	13.5	4.8	1	25.0	11.21	83	57	73	71	36	26
Juni	734.3	726.9	29	741.6	13	14.4	20.9	15.6	16.6	10.0	12	28.0	19	85	58	80	74	38	5
Juli	734.6	727.0	29	741.9	2	16.5	24.7	17.9	19.3	12.4	1	31.2	10	84	58	81	74	40	27
August	734.9	730.7	13	741.3	26	14.3	22.2	16.6	17.4	10.5	31	27.7	25	90	59	85	78	43	31
September	735.3	729.9	14	740.8	28	10.2	21.6	13.7	14.8	6.0	19.20	26.0	14.23	91	53	82	75	42	1.7
Oktober	735.4	711.3	27	746.6	23	6.1	12.6	8.3	8.8	2.6	24	16.2	14.25	93	71	91	85	48	23
November	732.8	714.3	30	741.8	22	2.0	4.8	2.9	3.2	−1.0	22	10.2	2	91	79	88	86	58	2.7
Dezember	728.4	712.2	1	740.4	30	2.5	5.1	2.5	3.1	−3.8	17	11.8	27	88	75	88	84	58	9.27
Jahr	733.7	711.3	X	750.5	II	6.9	13.6	8.7	9.5	−10.5	I	31.2	VII	87	64	82	78	36	V

Hallau

λ 8° 28 β = 47 42 H_b = 449.5 m, $G = 0.06$ ‰, $h_r = 1.5^m$

Januar	721.9	710.6	3.8	736.3	26	−2.3	0.9	−1.3	−1.0	−14.5	18	8.0	22	85	75	83	81	53	2
Februar	733.0	725.9	1.2	742.8	15	−2.1	3.7	1.4	1.1	−5.8	5.15	11.0	27	85	66	74	75	50	20
März	722.7	713.6	7	731.6	23	4.7	10.8	7.4	7.6	−0.2	15	15.9	22	87	59	75	74	36	21
April	719.9	708.3	7	730.3	2	6.8	13.8	9.5	9.9	2.2	22	22.0	15	78	52	66	65	30	23
Mai	722.9	714.1	9	728.6	13	11.1	18.2	13.4	14.0	4.0	4	25.0	21	76	46	65	62	28	9
Juni	725.1	717.3	29	731.3	14	14.8	20.6	16.3	17.0	9.0	12	27.0	5.19	77	51	71	66	34	6
Juli	724.5	717.4	30	731.8	1	17.1	24.6	19.1	20.0	11.5	1	30.6	10	78	48	71	66	30	23
August	724.3	720.4	10	731.0	25	15.0	21.6	17.1	17.7	10.0	31	27.8	26	80	52	72	68	37	13
September	725.4	720.5	11.16	730.2	28	11.3	20.6	15.5	15.7	6.8	30	25.0	13	75	47	61	61	35	18
Oktober	725.0	702.8	27	736.1	23	5.2	11.6	8.4	8.4	0.2	24	18.0	13	94	73	89	85	50	23
November	722.2	705.6	30	731.2	2	1.4	4.4	2.6	2.7	−1.8	20	9.4	2	94	84	91	90	59	2
Dezember	717.9	701.9	1	730.2	30	1.8	4.2	2.1	2.6	−6.8	17	9.6	27	93	84	91	89	60	10
Jahr	723.7	701.9	XII	742.8	II	7.1	12.9	9.3	9.6	−14.5	I	30.6	VII	84	61	76	74	28	V

Schaffhausen

λ 8° 39, β = 47° 42', H_b = 451m, $G = —$ ‰, $h_r = 1.5^m$

Januar	—	—	—	—	—	−1.7	1.4	−0.9	−0.5	−10.2	18	9.2	22	*89	*77	*86	*84	—	—
Februar	—	—	—	—	—	−2.0	3.9	1.0	1.0	−5.8	7	12.4	27	91	73	82	82	54	27
März	—	—	—	—	—	4.7	11 2	6.9	7.4	0.0	1.3	17.0	6	92	66	82	80	42	21
April	—	—	—	—	—	6.9	13.8	9.2	9.8	1.0	22	22.6	14	84	56	73	71	36	20
Mai	—	—	—	—	—	11.5	18.2	12.9	13.9	4.2	1	24.8	21	81	53	74	69	36	26
Juni	—	—	—	—	—	14.9	20.2	15.9	16.7	10.0	13	26.7	19	82	60	78	73	38	11
Juli	—	—	—	—	—	17.5	24.0	18.8	19.8	11.8	1	30.8	10	83	56	77	72	38	27
August	—	—	—	—	—	14.9	21.3	16.8	17.4	11.0	31	27.2	25.26	86	60	79	75	42	17
September	—	—	—	—	—	11.6	20.6	14.7	15.4	6.2	30	28.2	22	81	54	72	69	34	2
Oktober	—	—	—	—	—	5.6	12.0	8.2	8.5	1.8	24	17.4	4	93	72	86	84	46	23
November	—	—	—	—	—	1.5	4.3	2.4	2.6	−1.2	20.25	10.0	2	92	81	89	87	58	9
Dezember	—	—	—	—	—	2.1	4.4	2.2	2.7	−4.8	17	9.4	26	90	78	87	85	57	20
Jahr	—	—	—	—	—	7.3	12.9	9.0	9.6	−10.2	I	30.8	VII	87	66	80	78	34	IX

Lohn (Schaffhausen)

$\lambda = 8°40'$, $\beta = 47°45'$, $H_b = 643^m$, $G = 0.03$ ‰, $h_r = 1.5^m$

Januar	704.3	693.0	4	718.9	26	−2.2	0.1	−1.7	1.4	11.8	18	7.2	22	91	81	87	86	56	20
Februar	715.7	708.7	1.2	724.8	15	1.3	3.0	1.6	1.2	7.5	16	11.2	27	88	74	78	80	51	17.21
März	706.0	697.3	7	714.7	23	4.8	9.8	6.9	7.1	0.6	15	16.2	6	88	67	77	77	42	6
April	703.3	691.5	16	713.7	1	7.5	12.3	8.9	9.4	0.7	20	20.4	15	77	58	67	67	35	23
Mai	705.6	698.4	9	712.0	13	11.5	16.4	12.4	13.2	3.3	1	22.7	21	76	55	68	66	35	26
Juni	708.8	700.9	29	715.0	14	14.4	18.8	15.2	15.9	8.9	12	24.6	6	81	61	76	73	40	5
Juli	708.3	700.8	29	715.0	1	17.8	22.7	18.8	19.5	10.6	1	29.6	10	78	56	69	68	38	23.27
August	708.5	704.9	13	714.7	25	15.1	19.7	16.1	16.8	11.0	31	25.2	26	82	64	76	74	41	17
September	709.2	704.9	11.16	713.8	28	12.3	18.7	14.7	15.1	5.2	30	23.5	23	74	56	64	65	42	30
Oktober	708.3	686.2	27	718.5	23	6.3	11.1	8.4	8.6	1.0	29.31	16.8	4	90	74	83	82	52	13
November	705.2	687.1	30	714.1	2	0.8	3.4	1.6	1.9	−3.7	21	8.7	19	94	86	92	91	65	9
Dezember	701.0	685.3	1	713.0	30	1.0	3.1	1.5	1.8	−5.8	16	8.2	26.27	94	85	90	90	69	1
Jahr	707.0	685.3	XII	724.8	II	7.3	11.6	8.7	9.1	−11.8	I	29.6	VII	84	68	77	76	35	IV/V

Nordostschweizerische Kraftwerke AG

Beznau

Bewölkung				Termine mit Nebel				Niederschlag			Zahl der Tage							Windverteilung									1959
7^{30}	13^{30}	21^{30}	Mittel	7^{30}	13^{30}	21^{30}	Total	Summe	Maximum	Tag	● *	●* ≧1.0	✳	▲	⛆	≡	heiter	trüb	N	NE	E	SE	S	SW	W	NW	Calmen	
8.4	7.3	7.5	7.7	2	—	1	3	119	28	6	18	16	12	—	—	5	3	22	2	6	8	—	16	10	10	1	40	Januar
9.0	4.1	5.4	6.1	13	1	2	16	3	3	21	1	1	—	—	—	14	2	8	—	2	14	—	5	6	1	—	56	Februar
9.5	6.5	5.9	7.3	6	—	—	6	58	14	6	16	11	—	—	—	6	1	15	1	2	7	3	6	5	11	—	58	März
5.4	5.4	4.6	5.1	2	—	—	2	90	18	30	13	13	—	—	—	2	9	12	4	3	8	1	12	16	9	1	36	April
5.5	5.1	4.5	5.0	2	—	—	2	37	8	14	9	9	—	—	3	2	5	6	6	12	18	—	3	4	11	1	38	Mai
6.8	5.9	5.6	6.1	4	—	—	4	109	26	30	14	12	—	1	3	4	4	10	1	7	9	1	10	4	12	5	41	Juni
4.8	4.3	3.5	4.2	1	—	—	1	73	31	28	9	8	—	—	6	3	10	5	1	4	8	1	4	8	14	1	52	Juli
7.0	4.3	4.2	5.2	5	—	—	5	59	14	22	9	8	—	—	3	5	6	5	2	10	5	—	4	12	10	3	47	August
5.1	2.7	1.1	3.0	9	—	—	9	44	26	26	3	2	—	—	1	10	12	2	1	7	16	—	—	2	3	1	60	September
9.6	5.0	6.7	7.1	13	—	5	18	62	15	28	11	11	—	—	—	16	—	15	—	1	8	6	11	4	8	—	55	Oktober
9.7	9.0	9.0	9.2	4	3	4	11	43	11	14	11	9	1	—	—	6	—	24	—	4	7	13	7	1	2	—	56	November
9.5	7.8	8.2	8.5	2	—	2	4	118	22	23	16	16	—	—	—	4	—	23	—	—	3	—	25	16	6	—	43	Dezember
7.5	5.6	5.5	6.2	62	4	14	81	815	31	VII	130	116	13	1	16	77	52	147	18	58	111	25	103	88	97	13	582	Jahr

Beobachter: Frau F. Rahm

Hallau

7.3	7.5	7.2	7.3	3	1	2	6	197	31	7	20	18	15	—	—	3	16	4	7	3	8	—	—	9	16	3	47	Januar
5.7	4.2	3.6	4.5	3	—	1	4	3	2	21	3	1	—	—	—	2	8	7	3	11	4	2	—	1	6	3	54	Februar
7.5	6.6	5.4	6.5	—	—	—	—	63	15	7	14	10	—	—	—	—	4	11	9	4	1	5	—	3	6	2	63	März
5.2	5.4	3.9	4.8	—	—	—	—	82	24	30	13	12	1	—	—	—	10	10	7	4	4	3	2	10	15	4	41	April
5.2	5.1	4.5	4.9	—	—	—	—	37	14	14	10	8	—	—	1	—	5	7	21	8	9	5	1	2	9	7	31	Mai
6.4	5.9	5.5	5.9	—	—	—	—	130	52	7	15	13	—	—	3	—	6	11	11	7	3	—	1	4	11	5	48	Juni
5.2	3.6	3.8	4.2	3	1	1	5	74	17	28	12	11	—	—	9	4	11	5	7	5	5	5	—	5	12	4	50	Juli
5.3	3.4	4.0	4.2	2	—	—	2	80	20	22	11	7	—	—	3	2	9	5	13	11	9	3	3	1	4	3	46	August
2.9	2.3	1.1	2.1	2	—	—	2	24	12	26	3	3	—	—	1	2	18	1	13	9	16	1	2	1	2	8	38	September
8.6	4.9	4.4	6.0	11	—	1	12	77	22	29	12	12		—	—	12	4	13	7	4	1	—	2	4	8	—	67	Oktober
9.6	8.9	8.2	8.9	9	2	4	15	51	12	14	10	9	2	—	—	10	—	22	11	4	1	1	—	2	11	3	57	November
0.3	8.1	7.2	8.2	1	1	3	5	128	34	26	17	13	-	—	—	5	—	18	2	3	10	—	1	15	23	1	38	Dezember
6.5	5.5	4.9	5.6	34	5	12	51	946	52	VI	140	117	18	—	17	40	91	114	111	73	71	25	12	57	123	43	580	Jahr

Beobachter: Th. Bächtold

Schaffhausen

7.6	6.7	6.3	6.9	4	2	—	6	151	21	14	19	18	13	—	—	5	4	11	8	5	—	—	1	20	34	23	2	Januar
7.8	4.0	3.2	5.0	12	1	1	14	3	2	9	2	1	—	—	—	13	6	8	1	8	—	—	—	3	3	—	69	Februar
8.6	5.9	4.7	6.4	7	—	—	7	59	14	12	14	10	—	—	—	7	1	7	25	2	4	—	—	7	34	19	2	März
5.4	5.2	4.6	5.1	1	—	—	1	81	21	30	14	12	1	—	—	1	10	11	16	2	4	—	—	11	35	18	4	April
4.9	5.1	3.8	4.6	1	—	—	1	48	14	14	9	6	—	—	1	1	6	5	20	3	—	—	1	2	10	6	51	Mai
6.3	5.1	4.6	5.3	1	—	1	2	117	32	7	15	14	—	—	5	1	4	4	4	1	—	1	2	2	22	1	57	Juni
4.5	4.5	2.9	4.0	1	—	—	1	58	24	28	10	9	—	—	6	1	10	3	2	—	3	—	1	5	19	—	63	Juli
5.0	5.1	4.7	4.9	3	—	—	3	135	48	8	11	11	—	—	4	3	7	3	12	1	—	—	—	3	6	2	69	August
2.3	1.8	1.2	1.8	1	—	—	1	25	16	26	3	3	—	—	1	1	20	1	28	3	—	—	—	—	1	2	56	September
9.1	4.6	4.3	6.0	16	—	—	16	71	18	28	11	11	1	—	—	16	1	9	4	1	—	—	—	—	4	8	76	Oktober
9.9	8.4	8.5	8.9	15	3	8	26	46	16	14	9	9	2	—	—	16	—	23	6	—	—	—	—	2	1	3	78	November
9.3	7.1	7.8	8.1	3	—	2	5	101	20	23	14	14	—	-	—	3	—	18	5	2	—	—	—	2	16	11	57	Dezember
6.7	5.3	4.7	5.6	65	6	12	83	895	48	VIII	131	118	17	—	17	68	69	103	131	28	11	1	5	57	185	93	584	Jahr

Beobachter: W. Sonderegger

Lohn (Schaffhausen)

7.2	7.2	5.8	6.7	3	3	4	10	153	23	14	18	18	14	—	—	5	3	11	2	7	—	—	2	16	19	5	42	Januar
4.6	4.7	3.5	4.3	4	2	3	9	1	1	22	2	—	—	—	—	5	11	7	3	23	10	1	2	3	5	—	37	Februar
7.8	6.4	5.3	6.5	3	—	1	4	51	12	12	13	11	—		—	4	3	12	3	21	10	1	4	11	4	6	33	März
5.3	5.9	4.0	5.0	—	—	—	—	69	22	30	13	12	1	—	—	—	10	11	—	17	9	2	3	17	17	9	16	April
4.9	5.8	4.3	5.0	—	—	—	—	45	16	14	9	7	—	—	1	—	5	7	10	38	8	6	1	4	3	4	19	Mai
7.4	6.5	7.1	7.0	1	—	1	2	158	34	7	17	16	—	—	5	2	1	12	4	13	7	2	5	6	14	8	31	Juni
5.0	4.5	4.5	4.7	—	—	—	—	78	20	31	10	10	—	—	5	—	6	6	3	15	27	1	2	9	16	9	11	Juli
5.5	5.8	4.9	5.4	1	—	—	1	127	60	8	12	9	—	—	3	1	5	7	3	21	10	2	2	2	11	8	34	August
1.7	2.7	1.1	1.8	—	—	-	—	17	9	26	3	3	—	-	—	—	19	1	3	37	21	4	—	5	2	4	14	September
5.5	5.2	4.5	5.1	5	—	1	6	58	17	28	11	10	—	—	—	5	11	10	6	10	8	5	2	12	7	6	37	Oktober
9.0	8.6	8.7	8.8	11	8	8	27	42	13	14	10	9	4	-	—	15	1	24	1	19	4	1	—	9	3	2	51	November
9.4	7.4	7.1	8.0	8	2	2	12	102	24	26	17	13	—	—	—	9	—	17	6	12	—	—	3	26	24	1	21	Dezember
6.1	5.9	5.1	5.7	36	15	20	71	901	60	VIII	135	118	19	—	14	46	75	125	44	233	114	25	26	120	125	62	346	Jahr

Bern

$\lambda = 7°\,26'$, $\beta = 46°\,57'$, $H = 572.2^{m}$, $G = -0.04\,{}^{m}/_{m}$ $h_r = 1.5^{m}$

1959	Luftdruck					Luft-Temperatur								Relative Feuchtigkeit					
	Mittel	Minimum	Tag	Maximum	Tag	7^{10}	13^{00}	21^{30}	Mittel	Minimum	Tag	Maximum	Tag	7^{30}	13^{30}	21^{30}	Mittel	Minimum	Tag
Januar	711.1	699.8	4	723.8	27	−1.6	1.3	−0.7	−0.4	−9.4	18	8.2	21	90	79	86	85	57	2
Februar	721.2	711.8	1	730.8	15	−1.5	4.9	1.8	1.8	−4.6	16	11.8	28	89	66	80	78	43	28
März	711.4	703.1	7	720.4	22	4.4	10.1	7.3	7.3	−0.1	18	15.7	24	90	65	80	78	42	2
April	709.0	697.6	16	718.5	1.2	5.9	13.3	9.1	9.3	−0.1	22	21.5	14	82	54	71	69	33	5.6 29
Mai	710.8	703.5	9	716.9	13	10.6	17.9	13.4	13.8	3.6	1	24.3	21	81	50	70	67	31	14
Juni	714.3	707.2	29	719.7	13.14	14.5	20.3	16.2	16.8	8.6	1	26.7	19	80	56	75	70	33	4
Juli	713.6	707.0	30	721.2	1	17.0	25.0	19.5	20.3	11.4	1	30.0	10	78	49	71	66	29	3
August	713.6	708.7	10	719.8	25	14.3	21.5	16.7	17.3	9.4	31	26.6	10	86	60	79	75	44	5
September	714.0	709.4	14	717.9	29	11.7	19.9	15.1	15.5	7.1	30	24.2	23	90	65	85	80	48	7.11
Oktober	714.0	692.5	27	723.9	23	6.2	11.8	8.5	8.7	1.6	30	18.0	2	97	80	95	91	61	25
November	710.8	692.8	30	719.8	2	0.9	4.2	2.1	2.3	−2.9	24	10.9	18	96	85	95	92	69	19
Dezember	707.0	689.9	1	719.5	30	1.2	3.9	1.4	2.0	−4.8	16	10.5	30	93	82	92	89	68	4.11 25
Jahr	712.6	689.9	XII	730.8	II	7.0	12.3	9.2	9.6	−9.4	I	30.0	VII	88	66	82	79	29	VII

Fribourg

$\lambda = 7°\,09'$, $\beta = 46°\,48'$, $H_b = \text{ca}\,677^{m}$, $G = —\ {}^{m}/_{m}$, $h_r = 1.5^{m}$

Januar	—	—	—	—	—	−1.5	1.5	−0.7	−0.3	−8.9	17	10.5	22	82	68	76	75	51	22
Februar	—	—	—	—	—	−1.5	4.9	1.3	1.5	−5.8	1	11.3	28	82	60	77	73	45	28
März	—	—	—	—	—	4.0	9.8	6.4	6.6	−0.6	18	15.7	24	86	61	78	75	43	2
April	—	—	—	—	—	6.1	12.1	7.9	8.5	−0.3	21	19.4	14	78	54	68	67	35	24
Mai	—	—	—	—	—	10.7	17.0	11.8	12.8	3.1	1	21.7	21	76	50	72	66	37	14
Juni	—	—	—	—	—	14.1	19.9	15.0	16.0	8.7	1	25.6	19	76	53	75	68	36	4
Juli	—	—	—	—	—	16.9	24.0	18.2	19.3	11.0	1	28.4	10.11	75	48	70	64	38	19.27
August	—	—	—	—	—	14.3	20.9	15.8	16.7	8.4	31	25.8	10	80	53	75	69	41	4
September	—	—	—	—	—	11.9	19.3	14.3	14.9	7.8	30	23.8	23	91	64	84	80	51	9
Oktober	—	—	—	—	—	6.2	11.5	7.6	8.2	1.2	29.30	17.0	3	91	71	91	84	45	24
November	—	—	—	—	—	0.6	4.5	1.6	2.1	−3.7	23	10.6	18	93	77	91	87	54	19
Dezember	—	—	—	—	—	1.0	3.7	1.1	1.7	−6.4	16	10.0	26	88	74	87	83	46	17
Jahr	—	—	—	—	—	6.9	12.4	8.4	9.0	−8.9	I	28.4	VII	83	61	79	74	35	IV

Langnau i. E.

$\lambda = 7°\,47'$, $\beta = 46°\,56'$, $H = 692^{m}$, $G = —\ {}^{m}/_{m}$ $h_r = 1.5^{m}$

Januar	—	—	—	—	—	−2.8	1.6	−2.7	−1.6	−11.5	18	8.5	21	86	69	88	81	49	21
Februar	—	—	—	—	—	−2.2	5.9	0.4	1.1	−6.8	4	12.5	28	88	60	83	77	40	20
März	—	—	—	—	—	3.8	10.3	5.4	6.2	−0.8	15	16.6	24	91	65	88	81	42	1
April	—	—	—	—	—	5.4	12.2	7.0	7.9	−0.5	22	20.3	14	85	58	80	74	34	5
Mai	—	—	—	—	—	10.5	16.9	10.8	12.2	4.0	1	23.0	21	82	54	83	73	41	30
Juni	—	—	—	—	—	14.3	19.3	14.0	15.4	8.1	10	26.5	19	81	57	86	75	40	19
Juli	—	—	—	—	—	16.4	23.3	17.1	18.5	10.4	1	28.8	10	81	54	83	73	37	3
August	—	—	—	—	—	13.7	20.5	14.4	15.7	8.4	31	27.0	10	85	56	87	76	46	17
September	—	—	—	—	—	11.2	19.3	13.2	14.2	7.0	8	22.7	11.12	91	60	88	80	50	7.8 12
Oktober	—	—	—	—	—	5.2	12.0	6.8	7.7	0.5	30.31	18.4	3	95	71	94	87	48	25
November	—	—	—	—	—	0.3	4.9	1.2	1.9	−5.5	23	10.0	18	91	75	93	86	53	22
Dezember	—	—	—	—	—	0.5	3.7	0.5	1.3	−4.8	7	9.6	30	91	78	93	87	44	17
Jahr	—	—	—	—	—	6.4	12.5	7.3	8.4	−11.5	I	28.8	VII	87	62	87	79	34	IV

Beatenberg

$\lambda = 7°\,48'$, $\beta = 46°\,42'$, $H_b\ 1183^{m}$, $G = -0.16\,{}^{m}/_{m}$ $h_r = 1.5^{m}$

Januar	658.8	649.3	14	669.8	27	−1.9	1.3	−2.3	−1.3	−10.3	17	9.9	30	78	71	79	76	45	30
Februar	668.8	658.2	1	677.8	15	0.0	7.5	1.0	2.4	−8.4	3	12.7	28	71	55	72	66	41	15.20
März	660.4	652.0	7	669.0	22	2.7	8.1	3.2	4.3	−2.7	15	14.8	24	85	70	85	80	44	1
April	658.5	646.8	10	667.5	1	5.0	9.5	4.8	6.0	−2.9	21	18.5	14	77	66	78	74	40	5.14
Mai	660.8	654.5	9	666.2	13	9.3	13.8	7.8	9.7	0.6	1	20.4	11	80	67	87	78	47	9.10
Juni	664.7	657.7	29	669.1	13	12.3	15.6	10.8	12.4	3.9	12	22.9	19	84	72	89	82	54	19
Juli	664.7	657.5	30	670.9	2	16.0	19.8	14.4	16.2	6.4	1	25.7	9	77	68	81	75	50	27
August	664.2	660.2	10	670.3	25	12.5	17.1	11.8	13.3	6.8	31	23.0	10.26	88	71	90	83	53	10.17
September	664.4	660.4	14	668.4	9	11.2	16.5	11.6	12.7	7.1	30	20.7	11	92	74	90	85	62	12
Oktober	663.2	642.1	27	672.3	23	6.0	10.1	5.8	6.9	−2.7	30	16.0	2	84	75	86	82	41	24
November	659.0	641.8	30	667.3	2	0.4	4.6	0.6	1.6	−3.4	10	12.4	20	76	71	81	76	41	22
Dezember	655.5	639.6	1	667.9	30	0.1	2.8	0.0	0.7	6.2	14	12.4	31	79	73	79	77	37	27
Jahr	661.9	639.6	XII	677.8	II	6.1	10.6	5.8	7.1	−10.3	I	25.7	VII	81	69	83	78	37	XII

Beobachter: Meteorologisches Observatorium

Bern

Bewölkung				Termine mit Nebel				Niederschlag			Zahl der Tage								Windverteilung									1959
7³⁰	13³⁰	21³⁰	Mittel	7³⁰	13³⁰	21³⁰	Total	Summe	Maximum	Tag	•	≥1.0	✳	▲	⛆	≡	heiter	trüb	N	NE	E	SE	S	SW	W	NW	Calmen	
7.4	7.0	6.3	6.9	4	2	2	8	107	16	7	20	17	14	—	—	5	4	14	7	6	10	15	5	18	25	2	5	Januar
5.0	4.0	4.0	4.3	7	—	4	11	2	2	21	2	1	—	—	—	7	11	6	13	18	8	22	2	4	9	4	4	Februar
7.9	7.6	6.7	7.4	2	—	—	2	104	25	6	15	13	1	—	—	2	1	13	10	17	14	18	4	8	16	3	3	März
5.5	5.6	5.9	5.7	—	—	—	—	113	23	30	13	13	1	—	—	—	9	14	6	7	9	12	5	17	26	3	5	April
5.9	5.6	5.8	5.8	—	—	—	—	55	21	11	10	7	—	1	2	1	1	7	16	24	10	21	3	4	7	4	4	Mai
6.3	6.8	6.6	6.6	1	—	—	1	127	39	7	15	11	—	—	4	1	1	9	15	14	8	17	2	8	18	7	1	Juni
4.5	4.1	4.3	4.3	—	—	—	—	42	11	28	11	7	—	—	4	—	8	5	11	16	7	23	4	8	15	4	5	Juli
5.5	5.5	4.2	5.1	—	—	—	—	68	17	14	10	7	—	—	4	—	5	6	14	21	11	18	5	3	9	6	6	August
5.6	5.4	3.7	4.9	2	—	—	2	37	28	26	5	4	—	—	2	3	7	5	13	26	9	20	—	3	11	6	2	September
7.8	6.1	5.0	6.3	8	—	—	8	84	22	28	12	9	1	—	—	10	5	13	7	14	6	24	7	10	14	7	4	Oktober
8.8	8.2	7.4	8.1	7	1	6	14	40	16	14	10	6	2	—	—	12	1	18	9	16	8	23	5	5	13	5	6	November
8.8	7.0	7.5	7.8	4	1	3	8	135	31	23	14	13	5	—	—	7	—	18	9	6	6	20	4	9	23	2	14	Dezember
6.6	6.1	5.6	6.1	35	4	15	54	914	39	VI	137	108	24	1	16	48	53	128	130	185	106	233	46	97	186	53	59	Jahr

Beobachter: Frau P. Gockel

Fribourg

6.9	6.4	7.3	6.9	2	2	3	7	51	8	14	19	17	14	—	—	4	4	11	1	7	—	2	4	39	3	2	35	Januar
5.9	4.3	5.4	5.2	5	1	4	10	1	1	21	1	1	—	—	—	7	7	6	2	16	2	—	5	10	—	—	51	Februar
7.8	7.1	8.0	7.6	3	—	—	3	108	27	6	14	14	1	—	—	7	—	8	—	16	4	6	5	9	3	1	47	März
5.3	4.9	5.6	5.3	—	—	—	—	120	36	30	13	12	3	—	1	—	10	10	5	15	1	—	5	40	4	1	19	April
4.1	5.3	6.1	5.2	—	—	—	—	50	14	30	11	19	—	—	5	—	4	6	6	25	8	8	8	12	3	4	19	Mai
5.3	5.6	6.5	5.8	—	—	—	—	137	30	7	16	15	—	—	3	—	4	8	2	17	3	10	9	18	—	4	27	Juni
3.7	3.8	3.4	3.6	—	—	—	—	81	24	28	11	7	—	—	2	—	12	6	5	14	1	2	10	29	—	4	28	Juli
5.2	4.6	4.2	4.7	2	—	—	2	84	27	22	8	6	—	—	5	2	8	7	7	26	4	5	10	5	1	1	34	August
5.4	5.3	5.2	5.3	3	—	1	4	57	26	26	5	4	—	—	2	4	9	9	4	29	3	—	7	10	1	—	36	September
7.1	6.7	6.2	6.7	4	—	3	7	107	25	19	9	9	3	—	—	8	5	13	1	13	8	3	8	11	3	—	46	Oktober
8.1	7.6	8.1	7.9	4	2	4	10	32	12	14	9	7	1	—	—	7	2	17	—	10	3	1	8	11	2	—	55	November
8.8	7.0	8.0	7.9	2	2	1	5	121	42	23	15	10	3	—	—	5	1	21	—	3	2	3	7	26	5	—	47	Dezember
6.1	5.7	6.2	6.0	25	7	16	48	949	42	XII	131	112	25	—	18	44	66	132	33	191	39	40	86	220	25	17	444	Jahr

Beobachter: Frl. R. Zbinden

Langnau i. E.

6.6	6.9	6.4	6.7	—	—	2	2	108	18	23	16	14	12	—	—	5	7	16	—	3	26	2	—	6	24	1	31	Januar
3.8	2.1	4.0	3.3	2	—	1	3	8	8	21	2	1	1	—	—	5	13	3	—	—	40	2	1	9	8	—	24	Februar
7.8	7.9	8.5	8.1	1	—	–	1	104	21	12	15	13	3	—	1	1	2	22	1	1	28	3	—	2	22	—	36	März
5.5	6.2	5.7	5.8	—	—	—	—	105	28	18	13	12	2	—	—	—	7	15	—	—	27	—	5	3	23	1	31	April
6.1	7.5	5.1	6.2	—	–	—	—	73	24	11	9	8	—	1	3	—	2	9	3	1	25	3	—	2	9	2	48	Mai
7.0	7.6	6.9	7.2	—	—	—	—	208	37	7	21	17	—	—	9	—	3	13	3	2	16	1	4	2	16	—	46	Juni
6.4	5.0	4.8	5.4	—	—	—	—	81	14	29	11	9	—	—	7	—	6	10	1	—	39	1	1	4	15	2	30	Juli
6.2	6.7	5.0	5.9	—	—	—	—	94	32	14	11	9	—	—	6	—	4	7	4	2	39	2	1	1	9	—	35	August
5.8	5.8	4.7	5.4	2	—	—	2	88	45	14	5	5	—	–	2	2	6	7	—	—	30	—	4	4	11	—	41	September
6.2	5.7	4.9	5.6	1	—	—	1	95	26	28	13	9	4	—	—	2	8	11	—	—	24	1	1	7	22	—	38	Oktober
7.0	7.5	6.6	7.0	2	2	3	7	41	17	14	8	7	4	–	—	4	3	15	—	1	37	—	1	4	8	—	39	November
8.3	7.6	7.4	7.8	—	—	—	—	133	34	23	14	13	10	—	–	1	3	20	1	1	24	5	1	6	16	—	39	Dezember
6.4	6.4	5.8	6.2	8	2	6	16	1138	45	IX	138	117	36	1	28	20	64	148	13	11	355	20	19	50	183	6	438	Jahr

Beobachter: H. Flückiger

Beatenberg

6.6	6.8	6.4	6.6	1	2	1	4	132	27	6	20	16	18	—	—	8	6	14	4	1	1	—	2	19	8	20	38	Januar
3.2	2.8	1.9	2.6	2	—	—	2	20	10	21	3	3	3	—	—	3	14	2	4	1	—	2	3	19	3	34	18	Februar
7.7	7.9	6.7	7.4	5	6	4	15	80	16	7	13	13	10	—	—	12	1	17	6	1	1	3	7	9	2	25	39	März
5.5	5.9	5.4	5.6	2	4	2	8	97	27	18	13	12	9	—	—	9	7	13	13	3	3	3	12	8	5	8	35	April
6.0	7.1	5.9	6.3	5	2	1	8	97	28	1	13	10	3	1	3	7	—	11	11	1	—	5	22	12	2	8	32	Mai
7.2	7.7	8.2	7.7	3	2	–	5	218	51	29	20	19	–	1	6	6	–	15	4	2	1	3	10	11	6	12	41	Juni
4.9	6.1	5.2	5.4	–	1	1	2	109	26	12	12	11	–	–	1	3	6	8	9	1	1	5	21	10	4	13	29	Juli
5.4	7.2	5.4	6.0	1	—	1	2	144	31	14	14	14	—	—	3	4	3	8	9	1	—	—	13	16	5	14	35	August
5.4	6.4	4.1	5.3	4	2	2	8	81	34	26	4	4	—	—	—	7	6	7	3	—	2	2	6	14	2	12	49	September
4.4	6.0	4.0	4.8	2	4	3	9	108	41	28	10	9	5	–	–	10	11	8	8	3	1	2	13	5	1	20	40	Oktober
5.7	6.3	4.4	5.5	1	5	2	8	42	12	14	18	7	8	—	—	7	8	9	3	3	1	1	3	9	3	28	39	November
7.7	7.2	7.3	7.4	4	5	4	13	118	31	23	13	12	10	—	—	14	3	17	13	2	—	2	2	8	10	22	34	Dezember
5.8	6.5	5.4	5.9	30	33	21	84	1246	51	VI	143	130	66	2	13	90	65	129	87	19	11	28	114	140	51	216	429	Jahr

Interlaken

$\lambda = 7° 52'$, $\beta = 46° 41'$, $H_b = 574^m$, $G = -0.10^m/_m$, $h_r = 1.5^m$

1959	Luftdruck					Luft-Temperatur								Relative Feuchtigkeit					
	Mittel	Minimum	Tag	Maximum	Tag	7^{30}	13^{30}	21^{30}	Mittel	Minimum	Tag	Maximum	Tag	7^{30}	13^{30}	21^{30}	Mittel	Minimum	Tag
Januar	711.0	699.8	4	723.4	27	−2.2	1.5	−1.4	−0.9	−11.7	18	8.3	20	91	77	87	85	42	20
Februar	721.2	711.0	1	730.4	16	−3.0	6.1	−0.2	0.7	−5.1	4	13.3	28	93	61	85	80	43	28
März	711.4	702.5	7	720.3	23	3.2	10.7	5.9	6.4	−1.8	18	17.5	24	93	63	85	80	44	2
April	708.9	696.7	16	718.5	2	5.0	13.6	8.7	9.0	0.3	22	22.0	14	90	56	72	73	36	25
Mai	710.8	703.7	9	716.7	13	10.9	18.2	11.7	13.1	5.2	1	24.6	10	87	54	82	74	37	10
Juni	714.4	707.7	29	719.8	14	14.0	19.7	14.5	15.7	8.0	12	26.4	19	89	61	85	78	40	3.4
Juli	713 8	706.0	29	721.6	1	16.0	23.6	17.8	18.8	10.1	1	29.4	10	92	58	82	77	39	27
August	713.7	708.5	10	720.3	24	13.3	21.3	15.4	16.4	8.5	31	25.9	27	96	59	88	81	47	17
September	714.1	709.7	14	717.7	29	11.4	19.9	14.4	15.0	7.2	7	24.4	11	96	62	91	83	50	$^{7.9}_{13}$
Oktober	714.0	693.3	27	723.7	23	4.9	12.9	7.0	8.0	−0.2	17	18.8	2	96	69	95	87	49	23
November	710.8	692.7	30	720.2	2	0.6	5.8	1.2	2.2	−4.0	22	10.9	19	93	73	92	86	45	22
Dezember	707.0	689.8	1	719.4	30	0.7	4.2	1.0	1.7	−7.1	16	10.0	10	91	79	89	86	46	17
Jahr	712.6	689.8	XII	730.4	II	6.2	13.1	8.0	8.8	−11.7	I	29.4	VII	92	64	86	81	36	IV

Meiringen

$\lambda = 8° 11'$, $\beta = 46° 44'$, $H_b = \sout{604.7^m}\ 603.8^m$, $G = -0.11^m/_m$, $h_r = 1.5^m$

Januar	708.9	698.1	4	721.2	27	−2.2	0.9	−1.4	−1.0	−10.8	18	11.0	20.22	86	75	84	82	31	20
Februar	719.2	709.5	1	728.6	15	−2.4	5.6	0.9	1.2	−5.7	3	11.8	28	91	55	76	74	34	28
März	709.3	699.6	7	718.1	23	4.7	11.0	7.6	7.7	−0.9	1	17.6	24	84	57	75	72	30	$^{3.9}_{18}$
April	706.9	695.2	16	716.5	2	5.8	14.0	9.0	9.4	−0.2	22	21.1	14	85	50	69	68	27	29
Mai	708.9	701.6	9	714.3	13.14	11.1	18.4	12.5	13.6	3.7	1	23.8	11	84	49	76	70	31	4
Juni	712.4	705.4	29	718.2	11	13.7	19.6	14.6	15.6	7.6	12	27.0	19	86	58	85	76	35	21
Juli	712.0	703.5	29	719.6	2	15.8	23.2	17.6	18.5	10.0	1	30.5	10	87	56	81	75	37	5
August	711.9	708.0	13	718.5	24	13.8	20.8	15.7	16.5	11.0	2	27.8	10	89	57	84	76	30	10
September	712.1	707.2	14	715.8	23	12.5	19.1	15.0	15.4	9.8	7.9	23.5	11	89	59	83	77	46	9
Oktober	711.9	689.3	27	721.7	23	4.8	12.6	8.1	8.4	−0.3	31	18.1	2	93	62	84	80	33	27
November	708.5	692.2	30	718.2	2	0.3	5.6	1.8	2.4	−5.5	24	12.1	17	88	66	85	80	30	17
Dezember	704.8	687.4	1	718.0	30	1.2	3.8	1.7	2.1	−6.4	16.17	12.7	1	84	75	81	80	27	10
Jahr	710.6	687.4	XII	728.6	II	6.6	12.9	8.6	9.2	−10.8	I	30.5	VII	87	60	80	76	27	IV/XII

Guttannen

$\lambda = 8° 18'$, $\beta = 46° 39'$, $H_b = 1058^m$, $G = -0.18^m/_m$, $h_r = 1.5^m$

Januar	669.3	658.0	4	680.4	27	−2.6	−0.9	−2.3	−2.0	−11.0	17	7.8	19	89	82	85	85	49	19
Februar	679.4	668.9	1	688.2	15	−1.1	3.7	0.1	0.7	−7.2	2	8.2	5	77	62	74	71	50	13
März	670.9	662.0	7	688.0	23	3.7	7.5	4.7	5.2	−3.8	15	12.8	22	76	67	76	73	43	3
April	668.7	656.4	10	677.6	1.2	4.6	10.6	6.6	7.1	−2.4	22	18.2	14	78	61	76	72	34	14
Mai	671.1	665.4	9	676.8	13	8.6	14.6	10.7	11.1	1.2	2	20.6	11	82	60	77	73	39	11
Juni	674.7	667.7	29	679.2	14	11.5	16.5	12.9	13.5	4.8	12	23.8	19	92	71	88	84	42	3.19
Juli	674.6	666.7	30	681.1	1.2	13.4	20.5	16.1	16.5	7.2	1	26.4	9	90	65	84	80	41	22
August	674.2	670.7	13	680.6	25	12.3	17.5	13.7	14.3	9.0	2.31	24.0	10	91	70	89	83	45	10
September	674.3	669.9	26	678.3	22	10.3	16.7	12.5	13.0	6.6	1	21.0	23	91	69	86	82	50	2
Oktober	673.5	653.4	27	682.6	23	5.5	10.7	6.7	7.4	−3.6	30.31	16.2	2	82	66	83	77	26	17
November	670.0	653.4	30	678.3	2	2.0	3.7	1.5	2.2	−6.2	4	12.2	20	76	70	79	75	23	20
Dezember	666.1	651.8	1	678.4	30	0.8	1.6	0.9	1.0	−5.8	6	7.6	1	84	82	79	82	46	7
Jahr	672.2	651.8	XII	688.2	II	5.8	10.2	7.0	7.5	−11.0	I	26.4	VII	84	69	81	78	23	XI

Grimsel (Hospiz)

$\lambda = 8° 20'$, $\beta = 46° 34'$, $H_b = 1958.8^m$, $G = -0.27^m/_m$, $h_r = 1.5^m$

Januar	598.7	588.0	4	609.1	27	7.5	−5.5	−7.5	−7.0	−14.2	11	1.0	30	80	75	77	77	20	14
Februar	608.7	597.9	1	616.7	15	−4.9	−1.1	−4.1	−3.5	−11.0	1	3.6	28	60	55	60	58	33	28
März	601.7	594.2	7	609.1	22.23	−2.2	1.1	−1.3	0.9	7.0	15	5.6	23	79	61	79	73	42	18
April	599.8	588.2	10	607.6	1	−1.7	2.0	0.3	0.1	10.6	21	7.9	5	78	59	81	73	35	5.14
Mai	602.7	598.1	30	607.1	12	2.6	6.4	3.3	3.9	−3.4	3	11.0	20.23	71	50	83	68	30	17
Juni	606.5	599.5	29	610.0	14	6.0	9.8	6.9	7.4	2.3	12	16.3	19	78	63	86	76	33	3.19
Juli	607.3	600.1	30	611.3	2	8 8	13.8	10.7	11.0	1.1	1	19.2	23	71	56	76	68	30	3
August	606.5	602.8	31	613.1	25	7.3	11.3	8.3	8.8	3.1	3	17.8	25	75	60	84	73	36	25
September	606.7	603.6	6	610.6	22	6.9	11.5	8.5	8.9	3.6	7	15.5	15	73	66	78	72	41	21
Oktober	604.5	584.7	28	612.0	2	1.7	5.3	2.6	3.1	6.3	29	12.5	2	71	62	75	69	24	2
November	600.1	586.3	30	606 8	20	2.9	0.8	2.5	2.2	8.3	8	3.1	25	77	72	77	75	28	20
Dezember	596.6	585.0	1	607.4	30	−5.3	−3.9	−4.8	−4.7	−10.7	6	2.2	2	89	86	84	86	44	17
Jahr	603.3	584.7	X	616.7	II	0.7	4.2	1.6	2.0	−14.2	I	19.2	VII	75	64	78	72	20	I

Beobachter: A. Ritschard

Interlaken

Bewölkung				Termine mit Nebel				Niederschlag			Zahl der Tage							Windverteilung									1959
7³⁰	13³⁰	21³⁰	Mittel	7³⁰	13³⁰	21³⁰	Total	Summe	Maximum	Tag	●	●:	✳	▲	⛆	≡	heiter	trüb	N	NE	E	SE	S	SW	W	NW	Calmen	
7.6	6.6	6.5	6.9	3	2	3	8	90	22	6	21	15	16	—	—	5	3	16	—	1	6	1	4	13	3	1	64	Januar
3.9	1.2	1.1	2.1	3	—	—	3	18	9	21.22	2	2	—	—	—	5	16	—	1	3	1	—	—	9	13	2	55	Februar
6.0	5.5	5.4	5.6	1	—	—	1	70	13	12	13	11	—	—		1	7	10	—	3	—	—	—	14	20	3	53	März
4.3	4.6	4.9	4.6	—	—	—	—	69	13	18	12	11	1	—	—	1	12	10	—	4	2	—	1	17	15	—	51	April
4.0	4.6	5.2	4.6	—	—	—	—	76	20	1	14	10	—	—	4	—	7	6	2	4	1	—	2	13	11	2	58	Mai
6.0	5.9	6.6	6.2	—	—	—	—	132	26	29	19	15	—	—	6	—	4	9	1	4	2	—	1	4	11	—	67	Juni
3.8	3.9	5.1	4.2	—	—	—	—	112	30	14	11	10	—	1	7	—	10	8	2	4	1	—	1	6	9	3	67	Juli
5.2	5.2	5.9	5.4	1	—	—	1	151	55	20	14	14	—	1	6	1	5	7	4	2	2	—	—	10	4	3	68	August
6.0	4.7	5.0	5.2	3	—	—	3	76	26	17	5	4	—	—	—	3	7	10	—	1	1	—	1	6	11	1	69	September
5.7	4.5	4.0	4.8	—	—	—	—	100	44	28	10	9	2	—	—	—	10	8	1	—	2	—	1	10	11	—	68	Oktober
7.7	5.9	6.0	6.5	2	—	1	3	41	13	14	7	7	2	—	—	5	4	14	—	2	—	—	2	20	5	—	61	November
8.2	6.2	7.2	7.2	1	1	—	2	117	26	23	15	13	3	—	—	2	4	18	—	2	4	2	2	14	10	1	58	Dezember
5.7	4.9	5.2	5.3	14	3	4	21	1052	55	VIII	143	121	24	2	23	23	89	116	11	30	22	3	15	136	123	16	739	Jahr

Beobachter: Frl. E. Michel

Meiringen

6.8	6.2	6.2	6.4	2	—	2	4	123	21	6	17	16	13	—	—	5	5	12	—	—	6	2	—	2	—	4	79	Januar
4.1	2.0	1.4	2.5	—	—	—	—	23	16	21	2	2	2	—		—	14	3	—	1	—	—	—	14	—	—	69	Februar
6.5	6.0	5.8	6.1	—	—	—	—	77	19	12	9	9	—	—	—	—	5	12	—	—	11	3	—	19	—	5	55	März
4.3	5.0	4.5	4.6	—	—	—	—	85	16	18	13	10	—	—	—		10	8	—	—	8	1	—	15	—	11	55	April
4.7	5.2	6.1	5.3	—	—	—	—	80	27	1	9	7	—	—	—	—	3	6	—	—	5	4	—	14	—	8	62	Mai
5.6	6.0	7.5	6.4	—	—	—	—	158	19	9	19	17	—	—	—	—	—	10	—	—	—	6	—	21	—	3	60	Juni
3.9	4.0	5.0	4.3	—	—	—	—	207	37	10	12	12	—	1	1	—	10	5	—	—	—	18	1	15	—	8	51	Juli
4.7	5.0	6.6	5.4	—	—	—	—	105	29	14	13	12	—	—	—	—	2	4	—	—	1	9	1	20	1	3	58	August
4.3	4.4	5.5	4.7	—	—	—	—	37	17	17	5	4	—	—	—	—	6	5	—	—	—	11	—	22	—	1	56	September
4.6	4.2	3.5	4.1	—	—	—	—	119	47	28	10	9	3	—	—	—	13	8	—	—	3	5	—	18	—	2	65	Oktober
6.5	5.9	5.3	5.9	3	1	1	5	61	24	14	9	7	2	—	—	3	6	11	—	—	6	5	1	1	—	3	74	November
7.4	6.1	5.9	6.4	1	—	—	1	111	28	28	14	12	7		—	1	5	12	—	—	11	3	—	4	—	1	74	Dezember
5.3	5.0	5.3	5.2	6	1	3	10	1186	47	X	132	117	27	1	1	9	79	96	—	1	51	67	3	165	1	49	758	Jahr

Beobachter: Frau L. Huber

Guttannen

6.4	6.2	5.1	5.9	—	—	—	—	157	26	8	17	16	16	—	—	—	7	12	—	—	—	14	—	—	—	3	76	Januar
2.0	1.6	1.0	1.5	—	—	—	—	41	30	21	2	2	2	—	—	—	20	1	—	—	—	11	—	—	—	1	72	Februar
6.2	5.7	4.9	5.6	3	2	3	8	126	31	12	10	9	6	—	—	6	6	11	—	—	—	30	—	—	—	—	63	März
4.4	4.9	4.1	4.5	1	1	1	3	140	27	18	9	9	5	—	—	3	13	10	—	1	—	23	—	—	1	2	63	April
5.6	6.0	6.5	6.0	1	—	—	1	120	54	1	11	9	3	—	1	1	3	10	—	—	1	22	—	1	—	6	63	Mai
6.6	7.6	8.2	7.5	—	—	—	—	195	37	29	22	20	—	—	—	—	1	15	3	2	—	3	1	—	—	9	72	Juni
4.4	5.2	5.9	5.2	1	—	—	1	158	37	30	15	14	—	—	1	1	7	9	2	3	—	—	—	—	—	10	78	Juli
6.0	7.0	6.2	6.4	1	—	—	1	92	18	14	13	11	—	—	1	1	3	9	1	—	—	6	—	1	—	7	78	August
4.7	5.9	4.1	4.9	1	1	—	2	40	18	16	6	5	—	—	—	1	8	6	—	—	—	3	—	—	—	6	81	September
3.5	3.6	3.6	3.6	1	—	—	1	175	58	28	10	10	5	—	—	1	13	6	—	—	—	15	—	—	—	—	78	Oktober
5.7	5.5	4.2	5.1	—	1	—	1	122	46	14	9	9	8	—	—	1	11	11	—	—	—	29	—	—	—	—	61	November
7.1	6.9	7.1	7.0	5	1	5	11	143	30	28	13	13	12	—	—	7	6	17	—	—	—	22	—	—	—	2	69	Dezember
5.2	5.5	5.1	5.3	14	6	9	29	1509	58	X	137	127	57	—	3	22	95	117	6	6	1	178	1	2	1	46	854	Jahr

Beobachter: Grimselwärter

Grimsel (Hospiz)

7.3	6.8	6.7	6.9	10	9	3	22	339	45	8	21	20	21	—	–	11	5	16	22	2	1	14	20	7	19	4	4	Januar
3.2	2.9	2.4	2.8	2	2	2	6	73	37	21	4	3	4	—	—	3	16	2	14	—	–	5	22	9	28	—	6	Februar
7.7	7.0	7.7	7.5	7	6	6	19	150	33	12	14	11	14	—	—	10	1	15	25	—	2	16	30	6	8	3	3	März
5.5	6.4	6.8	6.2	6	7	7	20	207	42	19	15	14	15	—	—	8	7	14	21	–	1	11	26	7	10	4	10	April
5.9	7.3	7.1	6.8	5	3	7	15	110	59	1	9	9	6	—	—	9	—	8	30	—	3	15	24	3	11	1	6	Mai
6.9	7.5	8.5	7.6	7	6	8	21	170	27	11	17	17	5	—	—	12	—	14	48	1	—	5	10	4	16	1	5	Juni
5.4	6.0	7.1	6.2	3	3	5	11	150	33	15	16	11	1	—	1	6	3	10	41	3	1	2	6	8	23	3	6	Juli
6.5	7.4	7.7	7.2	7	2	15	24	91	23	28	13	11			—	18	1	14	35	1	3	4	7	19	17	2	5	August
4.5	5.7	5.0	5.1	—	—	2	2	28	9	16	5	5	—	—	—	2	7	5	30	–	1	13	11	8	25	—	2	September
4.8	5.5	5.2	5.2	4	2	4	10	184	50	28	10	10	7	—	—	—	10	12	38	1	2	16	13	8	13	—	2	Oktober
6.9	6.4	5.5	6.3	6	5	1	12	203	49	15	12	12	7		–	10	7	14	20	—	—	14	37	3	7	2	7	November
7.4	7.2	7.3	7.3	8	4	4	16	309	48	28	19	19	13		—	9	6	19	24	1	—	16	37	2	10	—	3	Dezember
6.0	6.3	6.4	6.2	65	49	64	178	2014	59	V	155	142	93	—	1	98	63	143	348	9	14	131	243	84	187	20	59	Jahr

Jungfraujoch (Sphinx)

$\lambda = 7° 59'$, $\beta = 46° 33'$, $H_b = 3577.8$ m, $G = -0.39\ ^m/_m$, $h_r = —$ m

1959	Luftdruck					Luft-Temperatur								Relative Feuchtigkeit					
	Mittel	Minimum	Tag	Maximum	Tag	7^{30}	13^{30}	21^{30}	Mittel	Minimum	Tag	Maximum	Tag	7^{30}	13^{30}	21^{30}	Mittel	Minimum	Tag
Januar	485.1	473.7	10	497.1	28	−15.3	−14.9	−15.1	−15.1	−27.0	4.10	−3.6	29	80	77	77	78	15	2
Februar	494.9	481.2	1	503.0	15	−11.2	−10.2	−10.7	−10.7	−19.2	2	−3.0	27	54	57	58	56	4	17
März	488.7	482.1	30	496.7	21	−11.2	−9.7	−11.0	−10.7	−15.8	13.30	−4.6	21	83	88	80	84	9	15
April	487.8	475.5	10	495.9	2	−9.8	−8.5	−9.6	−9.4	−18.0	21	−0.2	13	65	65	76	69	6	2
Mai	491.3	485.2	30	495.5	12	−7.4	−5.7	−6.7	−6.6	−15.8	3	−2.0	20	77	87	88	84	15	3
Juni	495.9	487.7	29	499.7	14	−3.4	−2.0	−2.9	−2.8	−13.2	12	1.6	19.20	83	86	93	87	23	4
Juli	497.9	489.8	30	502.4	8	−0.4	0.8	0.1	0.2	−7.8	1	6.4	7	71	73	81	75	15	5.7 24
August	496.5	492.2	3	503.4	25	−2.1	−0.7	−1.4	−1.4	−7.6	3.17	4.4	27	77	79	84	80	16	30
September	496.7	492.5	6	501.0	22	−1.5	−0.1	−1.1	−1.0	−6.0	6	3.0	11.21.20	61	64	77	67	3	30
Oktober	493.1	473.6	29	501.5	2	−5.8	−5.2	−6.0	−5.8	−17.4	29	0.8	3	49	54	59	54	0	1
November	488.1	475.4	30	496.2	19	−10.2	−9.6	−10.6	−10.2	−19.2	1	−2.4	22	73	69	71	71	12	3.4
Dezember	483.9	473.4	1	496.4	31	−13.1	−13.2	−12.5	−12.8	−19.4	5.19	−4.7	31	88	89	82	86	25	15
Jahr	491.7	473.4	XII	503.4	VIII	−7.6	−6.6	−7.3	−7.2	−27.0	I	6.4	VII	72	74	77	74	0	X

Südwestschweiz

Genève

$\lambda = 6° 09'$, $\beta = 46° 12'$, $H_b = 405.0$ m, $G = -0.05\ ^m/_m$, $h_r = 1.5$ m

Januar	726.8	716.5	14	739.1	27	1.5	3.6	2.2	2.4	−5.9	18	14.1	22	82	71	77	77	41	20
Februar	736.4	724.1	1	746.5	15	−0.4	4.9	3.0	2.6	−3.7	17	10.5	28	89	68	80	79	46	20
März	726.4	717.9	7	735.3	22	5.8	10.2	8.4	8.2	0.9	2	17.0	20	88	64	76	76	41	20
April	724.0	713.1	10	732.8	2	7.7	13.1	10.3	10.4	2.6	21	20.8	5	78	54	66	66	33	14
Mai	725.4	717.7	9	733.1	1	12.3	17.8	14.7	14.9	4.5	1	23.6	21	76	52	65	64	35	10.27
Juni	728.8	724.4	29	733.2	11	15.7	20.9	18.0	18.1	9.7	1	27.5	5	77	53	68	66	37	11
Juli	728.0	722.1	29	736.3	2	18.8	25.2	21.5	21.8	12.3	1	31.2	9	72	49	63	61	35	27
August	727.9	724.1	13	734.2	25	16.3	21.8	18.9	19.0	12.5	31	25.6	8	82	57	70	70	36	16
September	728.5	724.6	25	732.3	29	14.2	19.8	17.4	17.2	11.1	1	25.0	16	86	61	74	74	43	7.16
Oktober	728.8	707.0	27	738.3	23	8.3	13.1	10.1	10.4	3.6	24	18.9	25	92	70	87	83	47	25
November	725.9	706.7	30	734.5	2	3.1	5.7	4.1	4.2	−0.2	24	9.8	16	92	78	87	86	52	16
Dezember	722.4	703.7	1	734.7	30	3.4	5.8	4.0	4.3	−2.5	16	12.8	30	81	68	78	76	47	17
Jahr	727.4	703.7	XII	746.5	II	8.9	13.5	11.1	11.1	−5.9	I	31.2	VII	83	62	74	73	33	IV

Lausanne

$\lambda = 6° 39'$, $\beta = 46° 32'$, $H_b = 589.0$ m, $G = -0.06\ ^m/_m$, $h_r = 1.5$ m

Januar	710.3	700.3	14	721.7	27	0.1	2.6	0.9	1.1	−5.2	17	12.0	22	82	67	72	74	36	20
Februar	719.4	707.3	1	729.1	15	0.3	5.9	2.9	3.0	−4.2	4	10.6	25	81	58	71	70	38	20
März	710.3	702.0	7	718.5	22.23	5.7	9.8	7.7	7.7	1.2	15	14.7	23	80	62	68	70	38	30
April	708.1	696.9	10	716.2	1.2	7.3	12.0	9.3	9.5	0.4	21	19.2	14	71	52	61	61	29	22
Mai	709.7	702.7	9	715.7	1	12.1	17.3	14.0	14.4	3.6	1	22.6	8	71	50	59	60	32	14
Juni	713.1	706.8	29	716.8	13	15.4	19.9	16.8	17.2	9.7	30	25.4	19	70	49	63	61	31	6
Juli	712.7	706.5	29.30	720.0	2	18.4	24.1	21.0	21.1	11.1	1	28.6	9	69	46	55	57	32	21
August	712.4	708.4	10	718.6	25	16.0	21.3	17.7	18.2	11.2	31	25.6	26	76	51	63	63	34	16
September	712.9	709.2	25	716.2	29	14.3	19.6	16.6	16.8	10.4	1	24.2	23	78	53	65	65	34	7
Oktober	712.7	691.2	27	721.4	23	8.7	12.5	9.6	10.1	3.0	29	18.0	2	82	65	79	75	36	23
November	709.5	690.5	30	717.5	2	3.0	5.2	3.7	3.9	0.0	24	9.4	2	87	79	86	84	64	2
Dezember	706.0	687.4	1	717.0	30	2.8	5.1	3.2	3.6	−1.7	15	9.1	11	83	72	82	79	51	17
Jahr	711.4	687.4	XII	729.1	II	8.7	12.9	10.3	10.6	−5.2	I	28.6	VII	77	59	69	68	29	IV

Montreux-Clarens

$\lambda = 6° 54'$, $\beta = 46° 27'$, $H_b = 408$ m, $G = -0.06\ ^m/_m$, $h_r = 1.5$ m

Januar	726.3	715.4	14	738.4	27	0.7	4.1	1.4	1.9	−4.8	17	13.0	22	86	70	78	78	45	20
Februar	736.0	723.6	1	749.3	14	−0.2	6.7	2.6	2.9	−3.6	2	10.0	28.21.27	93	68	82	81	50	1
März	725.8	716.9	7	734.8	23	5.7	10.6	8.0	8.1	1.0	15	15.8	23	90	71	82	81	50	30
April	723.6	712.3	16	732.5	2	7.5	12.9	9.9	10.0	2.8	22	18.4	14	88	64	73	75	40	22
Mai	724.9	716.3	9	730.9	13	12.5	18.0	14.9	15.1	4.2	1	23.0	14	84	59	70	71	35	14
Juni	728.4	721.3	28	733.0	14	15.6	20.8	17.7	18.0	10.2	1	27.4	23	85	61	71	72	38	11
Juli	727.7	721.2	29.30	736.1	2	18.5	24.5	20.8	21.2	11.6	1	29.2	10	85	62	72	73	47	17
August	727.5	723.2	10	733.9	26	16.2	22.4	17.9	18.6	12.4	31	25.8	27	91	62	78	77	45	1
September	728.5	723.8	26	734.0	10	14.4	20.3	16.5	16.9	11.6	7.8	23.8	24	94	64	85	81	50	7
Oktober	728.2	705.3	27	737.9	23	8.3	14.0	9.6	10.4	2.9	30	19.6	25	94	70	92	85	50	2.25
November	725.0	706.6	30	733.1	2	3.4	7.0	4.4	4.8	−1.0	24	10.4	1.18	93	76	88	86	56	16
Dezember	721.4	702.5	1	734.0	30	3.0	6.2	4.0	4.3	−2.2	15.16	11.4	10	88	72	83	81	39	17
Jahr	726.9	702.5	XII	749.3	II	8.8	14.0	10.6	11.0	−4.8	I	29.2	VII	89	67	79	78	35	V

Beobachter: **Jungfraubahn**

Jungfraujoch (Sphinx)

Bewölkung				Termine mit Nebel				Niederschlag		Zahl der Tage								Windverteilung								1959
7^{30}	13^{30}	21^{30}	Mittel	7^{30}	13^{30}	21^{30}	Total	Summe	Maximum Tag	● ✶	●✶ ≥1.0	✳	▲	🌂	≡	heiter	trüb	N	NE	E	SE	S	SW	W	NW	Calmen	
6.3	7.0	6.5	6.6	14	11	11	36	—	—	—	—	—	—	—	21	7	15	—	—	—	5	11	—	—	76	1	Januar
2.9	3.0	2.5	2.8	4	3	4	11	—	—	—	—	—	—	—	7	13	2	1	—	—	29	17	—	—	37	—	Februar
7.2	7.1	5.8	6.7	14	12	13	39	—	—	—	—	—	—	—	21	1	12	—	—	—	34	5	14	—	40	—	März
5.9	5.4	5.8	5.7	13	11	13	37	—	—	—	—	—	—	—	17	9	12	1	—	1	9	27	—	—	52	—	April
5.4	7.7	6.5	6.5	9	15	15	39	—	—	—	—	—	—	—	20	2	9	1	—	—	3	35	7	—	47	—	Mai
6.8	8.1	8.1	7.7	14	15	18	47	—	—	—	—	—	—	1	24	—	16	2	1	—	4	16	2	—	65	—	Juni
4.9	5.5	6.0	5.5	10	8	10	28	—	—	—	—	—	1	6	12	7	8	6	1	—	6	11	4	1	60	4	Juli
4.8	6.1	5.3	5.4	10	11	14	35	—	—	—	—	—	—	—	19	9	9	5	1	—	1	28	12	1	44	1	August
3.9	4.9	4.3	4.4	5	7	10	22	—	—	—	—	—	—	—	14	12	6	4	1	—	5	40	5	1	33	1	September
4.4	4.3	4.4	4.4	6	6	10	22	—	—	—	—	—	—	—	11	14	8	2	—	—	2	41	6	—	41	1	Oktober
5.4	6.4	5.1	5.6	12	12	12	36	—	—	—	—	—	—	—	15	8	11	1	1	—	3	32	18	2	33	—	November
7.2	6.4	6.3	6.6	20	14	16	50	—	—	—	—	—	—	—	22	4	15	—	—	—	—	30	6	17	39	1	Dezember
5.4	6.0	5.6	5.7	131	125	146	402	—	—	—	—	—	1	7	203	86	123	23	5	1	101	293	74	22	567	9	Jahr

Südwestschweiz

Beobachter: **Observatoire**

Genève

7.6	6.7	6.3	6.9	5	3	3	11	73	14	6	15	15	9	—	—	5	3	11	12	15	5	5	24	15	7	6	4	Januar
6.8	4.9	4.0	5.2	9	—	4	13	0	0	—	—	—	—	—	11	2	7	22	28	10	6	8	2	—	1	7	Februar
7.6	7.1	7.2	7.3	1	—	—	1	128	47	6	15	13	1	—	—	1	1	13	21	27	5	2	8	6	3	3	18	März
5.2	5.5	5.1	5.3	—	—	—	—	98	22	28	13	10	—	1	1	—	10	12	25	17	3	5	26	5	2	2	5	April
4.3	5.1	4.6	4.7	—	—	—	—	15	8	1	6	4	—	—	—	—	5	5	34	30	8	4	4	3	1	3	6	Mai
4.4	5.5	5.2	5.0	—	—	—	—	80	16	19	14	12	—	—	3	—	7	5	43	5	6	3	9	4	3	2	15	Juni
4.3	4.1	3.7	4.0	—	—	—	—	47	33	14	7	4	—	1	4	—	8	3	30	15	6	3	19	7	4	3	6	Juli
4.7	4.5	3.7	4.3	1	—	—	1	44	10	21	9	6	—	—	3	1	9	4	39	24	2	—	10	1	1	4	12	August
6.9	5.3	4.8	5.7	2	—	—	2	62	37	26	6	5	—	—	—	2	7	9	32	18	3	3	12	4	5	—	13	September
8.5	5.0	4.4	6.0	2	—	—	2	103	34	19	11	10	—	—	—	2	4	10	30	15	9	3	15	5	4	3	9	Oktober
9.5	8.3	8.6	8.8	6	3	3	12	73	26	14	13	10	1	—	—	8	—	19	16	10	9	6	22	5	6	5	11	November
8.7	8.3	8.7	8.6	1	1	1	3	108	26	23	17	16	1	—	—	1	—	24	12	13	7	7	29	8	5	3	9	Dezember
6.5	5.9	5.5	6.0	27	7	11	45	831	47	III	126	105	12	2	11	31	56	122	316	217	73	47	186	65	41	35	115	Jahr

Beobachter: **A. George**

Lausanne

7.2	6.4	6.0	6.5	5	2	2	9	98	20	6	19	16	13	—	—	6	5	10	—	14	2	3	3	20	22	14	15	Januar
4.0	2.8	2.5	3.1	5	—	4	9	0	0	—	—	—	—	—	—	5	13	2	1	36	10	1	1	18	2	—	15	Februar
6.2	6.1	7.1	6.5	2	2	—	4	135	41	6	14	13	1	—	—	3	5	14	—	21	9	4	3	21	10	3	22	März
5.0	4.4	4.4	4.6	—	—	—	—	117	31	30	12	11	2	—	1	—	14	9	1	21	4	3	1	24	13	7	16	April
3.5	4.4	3.5	3.8	1	—	—	1	38	17	1	8	6	—	—	1	1	11	3	1	36	6	3	1	25	—	4	17	Mai
4.5	5.0	5.9	5.1	—	—	—	—	151	39	7	12	11	—	—	6	—	5	5	—	30	4	7	2	26	6	—	15	Juni
4.0	2.9	4.0	3.6	—	—	—	—	83	42	14	8	7	—	—	7	—	12	3	1	27	10	3	3	26	6	3	14	Juli
3.9	4.1	2.4	3.5	—	—	—	—	68	16	14	9	8	—	—	5	—	12	3	—	39	6	10	2	21	1	2	12	August
5.1	4.1	3.5	4.2	—	—	—	—	24	17	26	5	4	—	—	1	—	9	5	—	29	15	3	1	22	—	1	19	September
7.6	5.4	3.9	5.6	—	1	—	1	116	27	28	10	10	—	—	—	2	6	12	2	32	7	4	3	14	8	2	21	Oktober
8.7	8.0	7.4	8.0	2	4	5	11	52	23	14	13	10	—	—	—	6	1	20	—	23	10	2	—	15	11	10	19	November
8.8	7.1	7.7	7.9	—	—	1	1	162	53	23	17	15	—	—	—	1	1	17	—	10	13	6	3	19	17	8	17	Dezember
5.7	5.1	4.9	5.2	15	9	12	36	1044	53	XII	127	111	16	—	21	24	94	103	6	318	96	49	23	251	96	54	202	Jahr

Beobachter: **A. Thétaz**

Montreux-Clarens

7.1	7.0	7.0	7.0	—	—	—	—	95	16	6	18	18	8	—	1	—	4	14	1	—	1	2	2	6	5	1	75	Januar
4.4	4.3	2.9	3.9	2	—	—	2	2	2	21	2	1	—	—	—	—	11	4	3	—	—	—	—	3	6	1	71	Februar
7.4	7.7	6.2	7.1	—	—	—	—	92	19	6	12	11	—	—	—	1	1	12	1	—	1	—	—	—	3	1	87	März
5.7	5.6	5.1	5.5	—	—	—	—	125	35	30	12	11	—	—	—	—	9	13	—	—	2	—	3	2	10	—	73	April
4.4	6.1	6.3	5.6	—	—	—	—	43	21	1	11	7	—	—	3	—	2	7	1	—	1	3	13	2	14	1	58	Mai
6.1	7.2	7.5	6.9	—	—	—	—	129	35	29	14	13	—	1	3	—	1	12	—	1	1	2	9	—	11	1	65	Juni
4.6	5.1	5.0	4.9	—	—	—	—	142	47	14	11	9	—	—	4	—	10	6	—	—	—	1	3	2	6	—	81	Juli
5.2	6.1	4.4	5.2	—	—	—	—	71	26	14	10	9	—	—	4	—	5	5	1	—	1	—	3	1	8	—	79	August
6.3	6.4	5.1	5.9	—	—	—	—	48	12	24	8	7	—	—	1	—	7	11	1	—	1	—	1	—	5	—	82	September
5.6	6.1	4.2	5.3	—	—	—	—	105	27	11	11	9	—	—	—	—	6	10	—	—	1	—	1	—	7	—	84	Oktober
7.7	8.5	6.8	7.7	—	—	—	—	41	11	14	12	8	—	—	—	—	2	16	—	—	—	—	1	—	4	—	85	November
8.0	7.2	7.1	7.4	—	—	—	—	165	44	23	15	15	—	—	—	1	3	17	3	1	4	1	5	—	3	1	75	Dezember
6.0	6.4	5.6	6.0	2	—	—	2	1058	47	VII	136	118	8	1	16	2	61	127	11	2	13	9	41	16	82	6	915	Jahr

Leysin

$\lambda = 7° 00'$, $\beta = 46° 21'$, $H = 1350$ m, $G = —$ $m/_m$, $h_r = 1.5$ m

1959	Luftdruck					Luft-Temperatur								Relative Feuchtigkeit					
	Mittel	Minimum	Tag	Maximum	Tag	7^{30}	13^{30}	21^{30}	Mittel	Minimum	Tag	Maximum	Tag	7^{30}	13^{30}	21^{30}	Mittel	Minimum	Tag
Januar	—	—	—	—	—	-1.9	0.1	-1.9	-1.4	-9.8	4	7.5	30	72	65	68	68	33	2
Februar	—	—	—	—	—	0.8	4.8	1.8	2.3	-6.2	1	9.2	27	54	49	55	53	24	14
März	—	—	—	—	—	3.1	6.2	3.7	4.2	-2.4	16	12.1	24	68	62	78	66	38	1.2.3
April	—	—	—	—	—	4.9	8.0	4.8	5.6	-1.8	21	16.1	14	65	60	67	64	66	5
Mai	—	—	—	—	—	8.9	12.5	8.7	9.7	0.4	1	17.0	21	69	62	70	67	37	9
Juni	—	—	—	—	—	12.0	15.2	11.6	12.6	4.8	10	21.8	19	73	65	69	69	46	11.16
Juli	—	—	—	—	—	15.4	18.7	15.1	16.1	6.4	1	23.4	10	67	67	66	67	39	4
August	—	—	—	—	—	12.9	16.2	12.4	13.5	7.8	3	19.7	9	76	71	79	75	45	7
September	—	—	—	—	—	11.8	14.8	11.8	12.6	8.0	29.30	18.6	23	81	77	78	79	51	5
Oktober	—	—	—	—	—	6.1	8.5	6.2	6.8	-1.4	29.30	14.5	3	72	80	78	77	32	17
November	—	—	—	—	—	1.4	4.0	1.8	2.3	-2.6	9	10.6	20	67	65	70	68	24	20
Dezember	—	—	—	—	—	0.0	2.1	0.3	0.7	-5.4	6	9.2	31	77	68	72	72	28	15
Jahr	—	—	—	—	—	6.3	9.3	6.4	7.1	-9.8	I	23.4	VII	70	66	70	69	24	II/X

Grand-St-Bernard

$\lambda = 7° 10'$, $\beta = 45° 52'$, $H_b = 2478.7$ m, $G = -0.34$ $m/_m$, $h_r = 6.0$ m

Januar	559.1	548.5	4	569.5	27	-9.2	-7.9	-8.7	-8.6	-18.0	5.9.10 11.12	1.0	30	73	70	69	71	24	18
Februar	568.6	554.5	1	577.4	15	-6.2	-3.8	-5.8	-5.4	-14.0	2	2.2	27	60	59	65	61	26	14
März	561.7	553.8	30	569.5	21	-5.8	-3.5	-4.9	-4.8	-9.8	18	2.0	23	88	87	89	88	32	15
April	560.2	548.3	10	567.6	2	-3.4	-1.1	-3.3	-2.8	-11.0	21	5.0	3.4	77	73	84	78	35	3
Mai	563.2	557.9	30	567.7	13	-0.2	1.8	-0.1	0.3	-7.2	3	6.0	20	85	76	87	83	46	4
Juni	567.4	560.1	29	571.2	22	3.7	6.4	3.8	4.4	-5.2	12	12.4	19	82	70	88	80	41	17
Juli	569.0	561.1	30	573.2	8	8.3	11.0	7.6	8.6	-1.0	1	15.8	9	70	57	78	68	29	19
August	567.8	564.0	31	574.4	25.26	5.2	8.3	5.5	6.1	0.0	1.3	15.0	27	85	69	90	81	41	26
September	568.0	564.1	6	572.4	22	4.5	7.3	5.1	5.5	0.0	3	12.2	23	80	70	85	78	31	12
Oktober	565.4	544.3	29	573.6	2	-1.2	1.2	-0.2	-0.1	-9.5	30	7.6	25	73	70	75	73	30	3
November	560.3	546.0	30	568.0	19	-5.8	-4.7	-5.8	-5.5	-12.2	7	0.5	20	73	74	75	74	22	3
Dezember	556.8	544.6	1	568.5	31	-8.0	-7.4	-7.9	-7.8	-13.0	6	0.5	31	84	83	82	83	39	31
Jahr	564.0	544.3	X	577.4	II	-1.5	0.6	-1.2	-0.8	-18.0	I	15.8	VII	78	72	81	77	22	XI

Sion

$\lambda = 7° 22'$, $\beta = 46° 14'$ $H_b = 548.6$ m, $G = -0.14$ $m/_m$, $h_r = 2.0$ m

Januar	714.7	703.4	8	726.4	27	-1.0	2.6	0.2	0.5	-8.4	18	10.0	22	84	69	78	77	44	10
Februar	723.5	712.2	1	733.1	15	0.3	8.8	4.0	4.3	-4.0	2	13.8	28	81	49	70	67	35	28
März	714.3	705.4	7	719.5	24	6.0	14.0	9.0	9.5	0.8	15.16	19.5	24	76	47	65	63	31	18
April	711.8	700.7	16	720.9	2	7.8	15.8	10.4	11.1	2.5	22	22.8	14	74	47	63	61	29	13
Mai	713 3	706.5	29	719.0	13	13.4	20.5	14.7	15.8	4.8	1	25.6	11	68	46	60	58	37	5.6 27
Juni	716.5	710.0	28.29	721.2	14	16.7	23.0	18.0	18.9	10.8	1	29.9	19	71	50	65	62	33	10.12 19
Juli	716.1	709.3	30	723.8	2	18.4	26.1	20.3	21.3	12.2	31	30.6	10	73	51	65	63	41	4.19
August	716.4	711.3	10	724.5	25	16.5	23.9	18.0	19.1	13.6	31	28.6	21	78	54	72	68	40	1
September	716.5	712.7	14	722.5	21	14.6	21.7	16.7	17.4	12.1	7	24.8	23	83	58	76	72	46	3
Oktober	716.7	694.5	28	725.2	23.24	6.9	14.3	9.8	10.2	2.2	31	20.0	1	83	57	79	73	34	17
November	713.9	695.9	30	722.3	2	2.2	7.6	3.7	4.3	-2.9	25	13.4	20	83	58	81	74	41	20
Dezember	710.8	693.3	1	722.0	30	1.5	4.7	2.3	2.7	-4.6	17	11.4	1	86	73	82	80	43	1
Jahr	715.4	693.3	XII	733.1	II	8.6	15.3	10.6	11.3	-8.4	I	30.6	VII	78	55	71	68	29	IV

Chippis

$\lambda = 7°32'$, $\beta = 46° 17'$, $H_b = 522.5$ m $G = -0.14$ $m/_m$, $h_r = 1.5$ m

Januar	716.4	705.4	4	729.1	27	-2.4	2.7	-1.2	-0.5	-11.2	12	9.8	22	91	65	84	80	38	30
Februar	725.9	715.2	2	736.4	15	-1.3	10.4	1.8	3.2	-7.0	2	16.1	28	90	37	80	69	24	27.28
März	716.0	706.8	7	725.3	23	4.3	14.5	8.1	8.7	-1.7	15	20.2	24	89	41	69	66	23	17
April	713.3	701.8	16	723.2	2	6.4	16.3	9.5	10.4	1.2	1	24.4	14	84	41	67	64	22	5
Mai	714.8	707.5	29	720.9	13	11.7	20.5	13.9	15.0	4.6	1	26.1	23	76	37	61	58	23	27
Juni	718.2	709.7	29	723.5	14	15.4	23.2	17.0	18.1	8.8	1	30.4	19	75	42	67	61	25	19
Juli	717.8	709.8	29	726.4	2	17.3	25.9	18.8	20.2	12.0	1	30.7	10	74	44	71	63	31	27
August	717.5	712.0	10	724.8	25	14.7	23.5	16.6	17.8	11.3	2	29.2	10	86	46	77	70	28	10
September	718.2	713.7	14	722.5	21.22	11.9	21.9	14.9	15.9	8.2	8	25.4	23	95	49	85	76	34	8
Oktober	718.5	696.0	28	728.1	23	4.5	15.3	7.7	8.8	0.8	17	20.9	2	95	46	88	76	24	16.17
November	715.5	697.7	30	724.1	2	0.5	9.3	1.9	3.4	-5.1	25	14.6	20	92	48	88	76	31	19.20
Dezember	712.3	694.4	1	724.4	30.31	0.8	5.0	1.2	2.0	-7.3	16	11.2	1	91	69	87	82	40	15.17
Jahr	717.0	694.4	XII	736.4	II	7.0	15.7	9.2	10.3	-11.2	I	30.7	VII	86	47	77	70	22	IV

Beobachter: **M. Baud**

Leysin

Bewölkung				Termine mit Nebel				Niederschlag			Zahl der Tage								Windverteilung									1959
7^{30}	13^{30}	21^{30}	Mittel	7^{30}	13^{30}	21^{30}	Total	Summe	Maximum	Tag	•	≧1.0	✳	▲	⛆	≡	heiter	trüb	N	NE	E	SE	S	SW	W	NW	Calmen	
5.9	6.0	6.1	6.0	2	—	1	3	174	23	8	21	19	18	—	—	3	8	14	—	5	1	—	—	4	13	4	66	Januar
1.6	1.5	1.1	1.4	1	1	—	2	5	4	21	2	1	2	—	—	1	20	—	—	8	—	—	—	4	5	4	63	Februar
6.3	7.2	5.8	6.4	4	5	2	11	69	16	25	12	9	7	—	—	5	3	12	—	3	—	—	—	15	7	5	63	März
5.1	5.0	4.7	4.9	3	4	4	11	122	25	30	14	11	7	—	—	7	11	10	—	9	—	—	1	12	10	6	52	April
4.0	6.0	4.5	4.8	—	3	1	4	59	18	26	10	8	2	1	1	4	3	3	—	14	—	—	1	10	1	1	66	Mai
5.4	7.2	5.3	6.0	2	1	—	3	127	33	26. 29	14	12	—	—	—	2	3	9	2	8	—	—	—	4	6	—	70	Juni
4.2	5.1	3.5	4.3	1	1	1	3	101	27	14	13	12	—	—	3	4	12	3	—	—	—	—	—	11	4	5	73	Juli
4.1	6.6	3.9	4.9	1	5	1	7	133	25	20	12	11	—	—	1	6	6	4	—	6	—	—	—	14	3	3	67	August
4.8	7.4	3.2	5.1	3	8	1	12	68	17	13	6	6	—	1	2	9	6	7	—	5	1	—	—	14	2	2	66	September
3.9	4.9	3.1	4.0	—	4	1	5	94	22	11	10	8	6	—	—	7	16	8	—	2	—	—	—	16	14	1	60	Oktober
5.0	5.7	4.1	4.9	—	1	—	1	23	10	14	5	5	5	—	—	3	10	9	—	5	—	—	—	4	15	—	66	November
6.4	5.6	6.2	6.1	2	4	1	7	145	30	23	16	14	13	—	—	7	7	13	—	4	1	—	—	7	26	3	52	Dezember
4.7	5.7	4.3	4.9	19	37	13	69	1120	33	VI	135	116	60	2	7	58	105	92	2	69	3	—	2	115	106	34	764	Jahr

Beobachter: **Hospice**

Grand-St-Bernard

5.9	5.7	6.6	6.1	12	10	10	32	214	33	24	16	16	16	–	—	15	9	15	—	63	—	—	—	18	—	—	12	Januar
1.8	2.2	2.3	2.1	4	1	3	8	41	16	4	3	3	3	—	—	6	22	5	—	29	—	—	—	39	—	—	16	Februar
8.1	8.5	9.0	8.5	15	12	16	43	225	55	6	11	11	11	—	—	22	2	24	—	32	—	—	—	49	—	—	12	März
5.3	5.3	6.4	5.7	12	10	14	36	294	54	29	14	14	14	—	—	15	10	14	—	44	—	—	—	32	—	—	14	April
6.4	7.2	7.2	6.9	9	6	11	26	70	23	22	8	7	5	—	—	18	3	15	—	40	—	—	—	44	—	—	9	Mai
5.3	6.4	6.9	6.2	8	3	12	23	106	48	5	10	19	1	1	3	15	5	12	—	67	—	—	—	11	—	—	12	Juni
3.4	4.9	5.7	4.7	4	2	8	14	118	35	14	12	11	—	—	1	9	8	4	—	63	—	—	—	22	—	—	8	Juli
6.5	6.4	6.6	6.5	12	3	11	26	90	32	22	11	11	1	—	—	19	4	11	—	50	—	—	—	38	—	—	5	August
5.2	6.4	6.5	6.0	5	4	4	13	47	14	17	8	8	—	—	—	8	7	12	—	31	—	—	—	53	—	—	6	September
4.5	5.1	4.9	4.8	4	4	6	14	148	31	27	8	8	8	—	—	8	12	11	—	38	—	—	—	44	—	—	11	Oktober
6.7	6.5	5.0	6.1	11	10	9	30	160	28	30	11	11	2	—	—	15	8	15	—	22	—	—	—	47	—	—	21	November
6.5	6.5	5.8	6.2	6	10	4	20	278	34	28	19	18	18	—	—	13	8	14	—	33	—	—	—	34			26	Dezember
5.5	5.9	6.1	5.8	102	75	108	285	1791	55	III	131	127	79	1	4	163	98	152	—	512	—	—	—	431	—	—	152	Jahr

Beobachter: **Couvent des Capucins**

Sion

5.6	4.9	5.6	5.4	—	—	—	—	88	21	6	17	13	12	—	—	—	7	9	—	7	2	—	1	—	12	—	71	Januar
1.8	1.6	0.7	1.4	—	—	—	—	1	1	21	2	—	—	—	—	—	19	—	1	4	5	1	2	5	11	1	54	Februar
6.4	5.9	4.9	5.7	—	—	—	—	16	8	25	6	5	—	—	—	—	3	10	3	8	9	1	2	3	16	1	50	März
5.3	4.4	4.6	4.8	—	—	—	—	66	22	29	10	7	1	—	—	—	10	9	3	4	6	1	—	5	24	3	44	April
3.7	5.2	5.0	4.6	—	—	—	—	21	14	24	5	4	—	—	—	—	5	2	1	3	9	—	—	5	20	1	54	Mai
4.9	5.7	5.3	5.3	–	–	–	—	63	14	5	12	10		–	1	—	3	5	—	—	2		—	6	25	—	57	Juni
3.0	4.2	4.3	3.8	–	–	–	—	59	19	14	10	9	—	—	2	—	11	3	1	2	2	—	—	6	24	3	55	Juli
4.6	4.5	2.7	3.9	—	—	—	—	62	22	14	9	6	—	—	1	—	8	3	1	2	1	—	—	7	34	—	48	August
5.8	5.0	3.6	4.8	–	–	–	—	21	7	26	6	5	—	—	1	—	5	6	1	—	1	—	1	7	22	2	56	September
4.1	4.4	2.5	3.7	—	—	—	—	45	13	19	8	7	—	—	—	—	16	8	5	5	4	1	1	4	20	—	53	Oktober
5.5	5.2	3.0	4.6	—	—	—	—	17	12	14	6	4	—	—	—	—	9	6	—	1	5	—	2	17	9	—	56	November
7.3	5.4	5.6	6.1	2	1	1	4	129	32	23	14	12	10	—	—	3	5	11	—	2	4	3	1	5	3	—	75	Dezember
4.8	4.7	4.0	4.5	2	1	1	4	588	32	XII	105	82	23		5	3	101	72	16	38	50	7	10	70	220	11	673	Jahr

Beobachter: **Aluminium-Industrie-AG**

Chippis

5.9	5.4	6.5	5.9	—	—	—	—	82	12	6	16	13	12	—	—	—	7	11	2	40	—	3	1	45	2	–	—	Januar
2.1	1.8	1.1	1.7	–	–	–	—	0	0		1	—	—	—	—	—	19	—	1	46	—	—	3	32	1	1		Februar
6.9	6.7	5.7	6.4	—	—	—	—	16	9	25	7	3	—	—	—	—	3	12	1	34	—	—	—	54	—	4	—	März
5.4	4.8	5.3	5.2	—	—	–	—	47	16	16	7	6	—	—	—	—	8	9	—	28	1	4	—	45	4	7	1	April
4.4	5.4	4.7	4.8	—	—	—	—	11	6	24	5	3	—	—	—	—	2	3	3	33	1	3	6	35	4	6	2	Mai
5.3	6.1	5.8	5.7	–	–	–	—	52	19	19	11	8			1	—	2	6	4	11	2	5	5	50	8	5		Juni
3.3	4.3	4.5	4.0	—	—	—	—	63	24	14	13	8	—	—	1	—	11	4	—	27	—	5	1	50	8	2	—	Juli
4.8	5.2	4.2	4.7	—	—	—	—	47	16	20	9	6	—	—	—	—	6	5	7	24	1	6	—	49	4	2	—	August
5.5	5.3	4.6	5.1	—	—	—	—	15	4	26	6	5	—	—	—	—	6	7	4	45	—	3	—	33	—	5	—	September
4.1	4.5	3.4	4.0	–	–	–	—	35	8	19	6	5	—	—	—	—	8	15	1	45		2	—	43		1	1	Oktober
5.5	5.3	4.3	5.0	—	–	–	—	21	12	31	4	3	1	—	—	—	9	8	5	34	3	5	4	32	3	1	3	November
7.6	5.7	6.1	6.5	–	–	–	—	129	27	26	14	13	10	—	—	—	5	14	4	9	25	5	13	17	17		3	Dezember
5.1	5.0	4.7	4.9	—	—	—	—	518	27	XII	99	73	23	—	2	—	86	94	32	376	33	41	33	485	51	34	10	Jahr

Montana (La Moubra)

$\lambda = 7°\,29'$, $\beta = 46°\,19'$, $H_b = 1453.2^m$, $G = -0.24^m/_m$, $h_r = 1.5^m$

1959	Luftdruck					Luft-Temperatur								Relative Feuchtigkeit					
	Mittel	Minimum	Tag	Maximum	Tag	7^{30}	13^{30}	21^{30}	Mittel	Minimum	Tag	Maximum	Tag	7^{30}	13^{30}	21^{30}	Mittel	Minimum	Tag
Januar	637.5	627.0	4	647.5	27	−4.0	−0.4	−3.5	−2.9	−11.4	12	8.1	30	71	62	69	67	28	18
Februar	646.9	634.8	1	654.7	15	−1.2	5.5	1.0	1.6	−7.1	1	10.1	27	56	43	52	51	29	27
März	638.8	630.5	7	647.4	21	2.1	6.9	3.2	3.9	−2.5	15	12.8	24	68	54	63	62	36	1
April	636.7	626.5	10	644.9	1	3.4	9.0	4.6	5.4	−2.9	11	17.5	14	68	53	63	61	29	5
Mai	639.0	633.3	29	643.8	13	7.5	13.1	8.1	9.2	−0.3	1	18.6	20	70	50	61	60	36	4
Juni	632.9	635.5	29	646.5	14	10.7	16.6	11.1	12.4	4.4	1	22.7	19	74	52	65	64	32	17
Juli	643.3	636.0	30	649.0	2	13.6	20.9	14.6	15.9	5.0	1	26.2	8	71	48	63	61	33	19
August	642.5	638.5	30	649.0	25	11.3	18.1	12.1	13.4	7.7	2.,20/31	22.8	7	79	52	70	67	39	7
September	642.9	639.4	14	647.0	22	10.4	17.4	11.1	12.5	7.5	7	23.5	23	79	52	74	68	35	12
Oktober	641.4	620.0	28	649.3	2	4.0	11.0	5.1	6.3	−2.9	30	17.0	1	70	52	73	65	28	17
November	637.3	622.8	30	644.4	22	−0.6	4.8	0.4	1.3	−5.3	8	12.4	20	73	59	73	68	17	20
Dezember	634.0	619.5	1	645.3	30	−2.1	1.5	−1.6	−0.9	−6.3	16	8.9	2	80	64	76	74	29	17
Jahr	640.3	619.5	XII	654.7	II	4.6	10.4	5.5	6.5	−11.4	I	26.2	VII	72	53	67	64	17	XI

Reckingen

$\lambda = 8°\,15'$, $\beta = 46°\,28'$, $H_b = 1332.4^m$, $G = -0.22^m/_m$, $h_r = 1.5^m$

Januar	648.1	636.5	8	658.9	27	−7.8	−2.2	−6.7	−5.8	−17.4	18	5.4	22	89	68	82	80	45	26
Februar	658.2	645.9	1	666.8	15	−7.8	3.4	−3.8	−3.0	−12.8	12.13	6.6	25.27	89	54	81	75	44	25.27
März	650.1	642.1	30	658.5	21	−0.2	6.5	1.4	2.3	−6.8	15	12.8	23	89	54	81	75	35	15
April	648.0	636.3	10	656.9	1	1.5	10.2	3.1	4.5	−3.4	22	17.4	15	84	44	77	68	25	2
Mai	649.9	643.1	29	654.6	6.13	8.0	14.9	7.3	9.4	1.1	1.2	20.6	20	76	44	76	65	31	26
Juni	653.4	645.7	29	657.9	19	11.5	17.6	11.0	12.8	3.9	11	23.4	23	77	48	79	68	26	17
Juli	653.8	645.5	30	660.5	2	13.4	22.0	14.1	15.9	5.6	1	27.8	9	78	40	77	65	23	18
August	653.1	648.2	30	660.1	25	11.0	19.6	11.5	13.4	5.4	31	26.3	27	86	44	79	70	29	27
September	653.5	649.5	6	657.8	21	7.4	19.4	10.5	11.9	3.0	7	23.8	12	93	41	83	72	24	12
Oktober	652.5	630.2	28	661.2	23	−0.5	11.6	2.8	4.2	−6.9	31	18.2	2	93	45	83	74	21	16
November	648.9	632.8	30	657.5	1	−4.9	2.0	−3.4	−2.4	−11.7	3	5.2	26	90	63	86	80	44	24
Dezember	645.4	632.8	1	656.6	31	−5.1	−0.9	−5.2	−4.1	−15.7	16	3.6	2	93	78	93	88	55	10
Jahr	651.2	630.2	X	666.8	II	2.2	10.3	3.5	4.9	−17.4	I	27.8	VII	86	52	81	73	21	X

Graubünden

Chur (Daleustraße)

$\lambda = 9°\,32'$, $\beta = 46°\,51'$, $H_b = 585.9^m$, $G = -0.13^m/_m$, $h_r = 1.5^m$

Januar	710.2	697.8	8	724.2	26	−1.4	2.7	−0.5	0.1	−7.6	12	13.6	22	73	58	73	68	31	27
Februar	720.6	712.2	1	730.5	15	−0.2	9.9	1.8	3.3	−6.2	16	16.0	27	71	41	74	62	21	12.13
März	710.9	700.8	7	718.8	22	6.1	13.4	8.0	8.9	1.2	16	20.6	24	71	48	67	62	21	17
April	708.1	696.4	16	718.8	2	6.7	15.5	9.7	10.4	−1.8	22	25.6	14	70	42	59	57	23	14
Mai	710.1	702.8	9	720.1	3	11.1	18.7	12.9	13.9	1.0	1	25.4	8	71	46	66	61	22	4
Juni	713.4	705.6	29	719.6	14	14.2	19.3	15.4	16.1	7.1	12	27.9	19	76	58	74	69	32	3
Juli	712.9	705.4	29	720.6	2	16.6	23.9	18.6	19.4	10.1	1	31.1	10	80	53	71	68	31	3.,12/31
August	712.9	708.7	13	720.0	25	14.4	21.5	16.5	17.2	6.9	31	29.8	8	86	55	77	73	31	8
September	713.3	708.1	14	717.8	28	12.0	20.7	15.3	15.8	6.2	30	25.9	13	86	53	75	71	34	12
Oktober	713.0	690.3	28	723.5	23	6.6	15.3	9.1	10.0	0.7	28	21.3	17	81	52	79	71	18	17
November	710.3	692.2	30	719.8	2	1.9	8.1	3.5	4.2	−5.8	24	14.7	20	81	57	78	72	22	24
Dezember	706.5	691.8	1	718.7	30	2.1	4.2	2.3	2.7	−3.8	15.16	10.6	1	79	70	77	75	28	23
Jahr	711.8	691.8	XII	730.5	II	7.5	14.4	9.4	10.2	−7.6	I	31.1	VII	77	53	72	67	18	X

Disentis Die Abendbeobachtung erfolgt um 20.30 h

$\lambda = 8°\,51'$, $\beta = 46°\,42'$, $H_b = 1173.3^m$, $G = -0.19^m/_m$, $h_r = 1.8^m$

Januar	660.1	648.1	8	672.7	26	2.9	−0.2	2.3	1.9	9.8	11.12	6.8	22	75	66	73	71	41	27.30
Februar	670.3	660.6	1	679.2	15	0.5	6.2	1.8	2.3	5.9	1	12.1	28	64	46	61	57	29	28
März	662.0	652.8	7	670.3	23	3.6	8.7	5.0	5.6	1.7	15	14.6	24	73	53	70	65	36	1
April	659.5	648.6	10	668.6	1.2	4.8	10.8	6.2	7.0	−2.1	21	17.8	5	70	49	67	62	26	5
Mai	661.6	655.7	29	666.7	13	9.2	15.0	10.0	11.0	1.1	1	20.3	23	72	47	68	62	33	28
Juni	665.0	656.1	29	670.5	14	12.0	17.1	13.1	13.6	3.5	12	23.7	19	77	55	73	68	32	19
Juli	665.2	657.4	29	671.2	2	14.6	21.0	16.1	16.7	7.2	1	28.6	10	77	50	73	67	29	22
August	664.9	661.2	13	671.7	25	12.5	18.4	14.0	14.6	7.6	31	25.8	26	84	56	80	73	36	26
September	665.2	661.0	1	669.2	22	11.5	19.0	13.6	14.4	8.3	1	23.2	12	80	51	76	69	26	21
Oktober	664.2	641.9	28	673.4	23	6.0	12.4	7.5	8.4	0.9	29	19.4	2	75	55	74	68	22	2
November	660.8	645.8	30	668.6	2	0.9	4.6	1.8	2.2	2.7	3	10.0	20	82	69	80	77	29	20
Dezember	657.1	644.0	1	668.2	31	0.3	2.1	0.2	0.6	5.3	6	9.0	2	84	76	83	81	47	17
Jahr	663.0	641.9	X	679.2	II	6.0	11.3	7.2	7.9	9.8	I	28.6	VII	76	56	73	68	22	X

Beobachter: **P. Trächsel**

Montana (La Moubra)

Bewölkung				Termine mit Nebel				Niederschlag			Zahl der Tage							Windverteilung									1959
7^{30}	13^{30}	21^{30}	Mittel	7^{30}	13^{30}	21^{30}	Total	Summe	Maximum	Tag	●	●≥1,0	✳	▲	⛆	≡	heiter	trüb	N	NE	E	SE	S	SW	W	NW	Calmen	
6.4	6.1	5.9	6.1	—	1	4	5	147	19	7	19	18	19	—	—	4	6	15	2	8	10	6	1	10	21	14	21	Januar
2.6	2.1	1.1	1.9	2	—	—	2	3	3	21	2	1	2	—	—	2	16	—	10	12	8	7	3	—	3	4	37	Februar
7.2	7.3	5.6	6.7	1	2	1	4	25	12	25	9	6	8	—	—	5	2	12	2	9	23	7	—	9	6	4	33	März
5.7	5.2	5.1	5.3	1	1	2	4	60	13	16	10	10	7	—	—	5	9	10	1	10	12	3	6	9	20	9	20	April
5.3	6.2	4.2	5.2	2	—	—	2	29	11	24	7	5	2	—	—	2	1	2	4	4	20	7	3	10	16	3	26	Mai
6.1	6.7	6.6	6.5	—	—	1	1	89	24	19	13	13	—	—	1	2	2	8	1	2	11	8	2	18	18	8	22	Juni
4.3	5.3	5.0	4.9	—	—	—	—	76	27	14	12	9	—	—	2	—	7	4	4	5	3	4	5	21	16	11	24	Juli
5.9	6.1	4.5	5.5	5	1	1	7	71	23	20	8	8	—	—	1	8	5	5	2	4	8	6	2	21	12	6	32	August
6.2	6.0	4.6	5.6	3	1	2	6	17	6	26	8	5	—	—	—	4	6	9	—	2	10	3	9	15	7	1	43	September
4.4	5.2	3.7	4.4	2	1	1	4	46	11	28	8	7	4	—	—	3	13	9	6	5	22	4	4	15	12	3	22	Oktober
5.8	5.9	4.6	5.4	—	2	1	3	24	10	30	5	5	5	—	—	3	8	10	4	1	26	5	3	4	10	4	33	November
7.2	6.0	6.2	6.5	1	1	3	5	161	35	26	15	15	15	—	—	3	4	14	—	5	28	5	1	2	24	7	21	Dezember
5.6	5.7	4.7	5.3	17	10	16	43	748	35	XII	116	102	62	—	4	41	79	98	36	67	181	65	39	134	165	74	334	Jahr

Beobachter: **Th. Weissen**

Reckingen

6.0	6.1	5.4	5.8	8	3	—	11	124	27	6	16	16	16	—	—	8	8	13	—	2	—	—	3	7	—	—	81	Januar
2.2	2.0	0.8	1.7	—	—	—	—	16	14	21	2	2	2	—	—	—	19	1	—	—	—	1	—	—	—	—	83	Februar
5.4	6.9	5.7	6.0	2	—	—	2	37	15	7	4	4	4	—	—	2	6	10	1	2	—	1	1	1	4	1	82	März
4.6	5.2	5.3	5.0	1	1	—	2	79	31	29	11	9	6	—	—	2	11	11	2	3	—	—	2	9	—	—	74	April
4.6	5.8	2.7	4.4	3	—	—	3	27	14	1	3	3	1	—	—	3	6	3	1	2	—	4	6	3	—	—	77	Mai
5.2	6.4	5.9	5.8	1	—	—	1	65	20	29	10	10	—	—	—	1	4	8	1	6	1	1	4	2	1	—	74	Juni
3.9	3.7	3.3	3.6	—	—	—	—	87	27	14	12	11	—	—	—	—	14	5	—	6	2	2	2	4	—	—	77	Juli
4.8	4.9	3.3	4.3	2	—	—	2	57	19	14	10	7	—	—	—	2	9	6	2	8	5	1	1	—	—	—	76	August
3.8	4.1	3.3	3.7	—	—	—	—	15	11	26	4	3	—	—	—	—	15	6	—	2	5	—	11	—	—	—	72	September
3.6	4.1	3.9	3.9	—	1	1	2	121	70	28	9	8	5	—	—	2	17	9	1	—	1	—	7	—	—	—	84	Oktober
6.1	6.2	4.7	5.7	1	—	—	1	105	47	30	8	8	8	—	—	1	9	13	—	—	—	—	1	1	—	—	88	November
7.9	6.2	6.3	6.8	—	—	—	—	162	29	26	16	16	16	—	—	—	6	17	—	—	—	—	—	—	5	—	88	Dezember
4.8	5.1	4.2	4.7	18	5	1	24	895	70	X	105	97	58	—	—	21	124	102	8	31	14	10	38	27	10	1	956	Jahr

Graubünden

Beobachter: **W. Kreis**

Chur (Daleustraße)

6.5	6.4	7.1	6.7	—	—	—	—	56	11	8	15	13	10	—	—	—	5	16	1	15	5	4	—	9	12	6	41	Januar
2.7	2.4	1.7	2.3	1	—	—	1	18	12	21	2	2	2	—	—	1	15	2	6	10	2	3	2	6	7	2	46	Februar
7.2	6.8	5.9	6.6	—	—	—	—	21	7	7	7	5	—	—	—	—	3	14	6	16	3	2	3	17	22	5	19	März
5.2	5.6	5.6	5.5	—	—	—	—	40	8	18	8	7	1	—	—	—	9	10	8	15	19	—	4	8	20	1	15	April
5.0	6.4	5.8	5.7	—	—	—	—	71	51	1	9	7	1	—	1	1	4	9	7	33	14	1	2	7	12	2	15	Mai
7.8	8.0	8.0	7.9	—	—	—	—	75	11	13	19	14	—	—	2	—	—	16	2	32	13	1	6	2	6	1	27	Juni
4.3	4.4	4.8	4.5	—	—	—	—	79	18	30	12	8	—	1	3	—	9	5	2	27	11	6	4	6	4	1	32	Juli
6.3	5.7	6.2	6.1	—	—	—	—	61	40	15	9	8	—	—	5	—	3	10	3	20	15	4	4	7	4	1	35	August
4.7	4.4	4.2	4.3	—	—	—	—	17	6	16	7	7	—	—	—	—	12	7	5	29	10	5	6	2	3	1	29	September
4.0	4.3	4.6	4.3	—	—	—	—	71	28	28	10	9	3	—	—	—	12	8	—	25	13	5	1	9	11	—	29	Oktober
6.3	6.6	5.1	6.0	2	—	1	3	66	24	14	8	8	6	—	—	3	7	11	1	13	1	3	6	18	10	1	37	November
7.6	6.5	6.4	6.8	—	—	—	—	63	19	28	13	11	6	—	—	—	4	15	4	6	9	3	5	15	18	3	30	Dezember
5.6	5.6	5.5	5.6	3	—	1	4	638	51	V	119	99	29	1	11	5	83	123	45	241	115	37	43	106	129	24	355	Jahr

Beobachter: **P. Fl. Maissen**

Disentis

6.8	5.8	6.2	6.3	—	—	—	—	78	15	6	15	12	14	—	—	—	6	12	11	7	1	0	2	12	2	5	53	Januar
2.9	2.3	2.2	2.5	1	—	—	1	17	12	21	3	3	3	—	—	1	18	3	1	6	1	2	4	5	3	5	57	Februar
7.7	6.9	6.7	7.1	—	—	—	—	49	13	25	11	8	8	—	—	—	2	16	8	5	8	4	4	18	10	6	30	März
4.8	5.3	5.4	5.2	—	—	—	—	96	24	29	12	11	6	—	—	1	9	11	12	6	5	2	10	16	5	2	32	April
4.4	6.2	5.4	5.3	1	—	—	1	41	17	1	8	5	3	—	—	1	1	5	16	8	5	3	13	13	1	3	31	Mai
6.4	7.1	7.4	7.0	—	—	—	—	84	20	29	18	13	—	—	1	—	2	10	9	14	11	5	2	6	2	2	39	Juni
4.3	5.1	4.8	4.7	—	—	—	—	88	20	14	13	11	—	—	6	—	8	7	9	16	6	3	3	8	4	3	41	Juli
6.1	6.5	7.0	6.5	—	—	—	—	60	14	14	12	10	—	—	—	—	3	10	12	9	8	4	7	6	—	3	44	August
4.1	4.5	3.5	4.0	—	—	—	—	19	12	16	6	3	—	—	—	—	10	3	9	9	3	2	8	11	2	—	46	September
3.8	4.5	4.3	4.2	—	—	—	—	139	68	28	10	8	4	—	—	—	13	8	3	6	3	6	6	13	2	3	51	Oktober
6.4	6.1	5.5	6.0	1	—	—	1	132	51	14	10	8	7	—	—	1	6	14	12	3	3	1	4	2	6	10	49	November
7.5	6.7	6.4	6.9	1	—	—	1	123	29	28	16	13	14	—	—	2	4	14	7	7	3	1	0	10	10	4	51	Dezember
5.1	5.6	5.4	5.5	4	—	—	4	926	68	X	134	105	59	—	7	6	82	113	109	96	57	33	63	120	47	16	524	Jahr

Platta-Medels

$\lambda = 8° 51'$, $\beta = 46° 40'$, $H_b = 1378$ m, $G = -0.22$ $m/_m$, $h_r = 1.2$m

1959	Luftdruck					Luft-Temperatur								Relative Feuchtigkeit					
	Mittel	Minimum	Tag	Maximum	Tag	7^{30}	13^{30}	21^{30}	Mittel	Minimum	Tag	Maximum	Tag	7^{30}	13^{30}	21^{30}	Mittel	Minimum	Tag
Januar	643.2	632.4	4	655.1	26	−5.0	0.4	−5.3	−3.8	−15.4	11	11.0	30	76	58	77	70	32	18
Februar	643.6	643.7	1	661.9	15	−3.5	6.2	−1.6	−0.1	−7.8	1	10.8	24	74	47	71	64	28	14
März	645.7	636.5	7	654.1	21	1.6	6.7	2.6	3.3	−5.0	15	13.4	23	79	60	80	73	37	11
April	643.3	632.2	9.10	652.6	1	2.1	9.9	3.8	4.9	−5.2	22	16.4	5	80	53	78	70	27	5
Mai	645.4	639.7	29	650.6	13	6.6	13.2	7.6	8.8	0.0	1.4	18.4	23	81	54	78	71	38	27
Juni	648.9	640.8	29	653.8	14	9.8	16.4	10.1	11.6	2.2	12	24.4	4	84	57	86	76	34	4
Juli	649.5	641.5	29.30	654.9	2	11.8	20.8	12.8	14.5	5.2	1	28.4	9	85	49	87	74	30	22
August	648.9	644.9	30	655.8	25	10.9	18.7	11.7	13.2	8.2	div.	28.4	26	86	50	85	74	31	26
September	649.2	645.4	25	653.4	23	9.4	18.7	10.6	12.3	4.4	1	26.6	11	82	47	82	71	24	11
Oktober	647.9	626.0	28	656.1	23	4.3	11.9	4.7	6.4	−2.8	31	20.0	4	77	50	79	69	18	2
November	644.3	629.6	30	652.9	1	−0.6	4.5	−0.1	0.9	−6.6	16	11.2	21	76	59	77	71	18	20
Dezember	640.3	628.3	1	651.1	31	−2.5	1.9	−1.7	−1.0	−9.8	6	6.6	$^{8}_{31}$	81	63	78	74	30	16
Jahr	646.7	626.0	X	661.9	II	3.7	10.8	4.6	5.9	−15.4	I	28.4	VII/VIII	80	54	80	71	18	X/XI

Arosa

$\lambda = 9° 41'$, $\beta = 46° 47'$, $H_b = 1818.2$m, $G = -0.26$ $m/_m$, $h_r = 1.8$m

Januar	608.4	597.2	8	619.3	26	−6.8	−3.6	−6.6	−5.9	−16.5	17	5.8	30	77	66	77	73	29	28
Februar	618.7	608.3	1	627.2	15	−3.7	2.2	−2.8	−1.8	−11.6	1	8.6	27	67	46	67	60	27	27
März	611.3	603.0	7	619.2	23	−1.2	3.8	−0.8	0.2	−8.4	15	9.1	25	80	59	84	74	35	17
April	609.3	598.4	10	617.6	1	1.4	5.7	0.4	2.0	−7.3	21	13.6	14	68	53	76	66	23	4
Mai	612.0	607.2	29.30	616.6	13	5.4	8.6	3.2	5.1	−3.8	3	15.2	20	71	57	84	71	30	5
Juni	615.5	607.6	29	620.5	14	8.0	10.7	7.0	8.2	−0.8	11	17.8	19	80	70	87	79	37	19
Juli	616.6	608.5	30	621.2	6	11.4	14.9	8.9	11.0	2.4	1	21.4	9	74	61	82	72	33	28
August	615.9	612.6	30.31	622.7	25	9.1	12.7	8.4	9.7	4.1	2	19.4	26	86	69	92	82	43	7.26
September	616.1	612.7	6	619.8	22	7.8	13.0	7.6	9.0	3.4	15	17.5	12	83	60	87	77	32	12
Oktober	614.1	594.6	28	622.0	23	2.5	7.5	2.7	3.8	−7.8	30	13.0	3	78	59	79	72	28	17
November	610.0	596.2	30	616.8	20	−2.5	1.0	−2.1	−1.4	−8.2	9	6.4	25	78	68	77	72	31	24
Dezember	606.1	595.1	1	617.3	31	−4.2	−1.8	−3.8	−3.4	−10.7	14	5.0	2	86	79	84	83	30	15
Jahr	612.8	594.6	X	627.2	II	2.3	6.2	1.8	3.0	−16.5	I	21.4	VII	77	62	81	74	23	IV

Davos-Platz

$\lambda = 9° 49'$, $\beta = 46° 48'$, $H_b = 1560.7$, $G = -0.24$ $m/_m$, $h_r = 9.5$m

Januar	628.5	617.4	8	640.0	26	−8.6	−3.0	−7.2	−6.5	−17.9	17	5.5	22	86	69	81	79	42	31
Februar	639.0	628.6	1	647.7	15	−8.0	2.2	−4.1	−3.5	−3.4	2	6.8	28	86	53	80	73	33	28
März	631.1	622.1	7	639.3	21	−1.5	5.8	0.7	1.4	−7.8	15	10.9	25	89	56	86	77	35	15
April	628.8	617.7	7.10	637.7	1	2.1	8.5	2.3	3.8	−5.2	21	16.4	14	76	46	76	66	21	4
Mai	631.4	626.2	29	636.4	13	7.3	11.9	5.6	7.6	−2.0	3	18.2	20	73	50	87	70	28	5
Juni	635.1	626.8	29	640.1	14	9.8	13.2	9.1	10.3	2.2	11	19.6	19	79	65	86	77	35	19
Juli	635.7	627.8	30	640.3	2	12.8	17.3	11.8	13.4	4.8	1	23.9	10	75	55	86	72	30	22
August	635.1	631.6	13	642.0	25	10.4	15.1	10.5	11.6	6.0	31	20.8	26	83	60	88	77	31	7
September	635.3	631.6	14	639.2	22	7.3	5.6	9.0	10.2	4.2	30	19.7	12	86	50	87	74	23	12
Oktober	633.7	612.4	28	642.2	23	0.9	9.9	3.2	4.3	−7.5	31	15.0	2	88	50	81	73	22	24
November	630.0	614.7	30	637.3	22	−4.7	2.0	−3.1	−2.2	−10.6	9	6.2	14	89	65	85	80	41	24
Dezember	625.9	614.2	1	637.3	31	−4.4	−0.4	−4.9	−3.7	−12.0	15	6.0	2	90	74	89	84	47	1.23
Jahr	632.5	612.4	X	647.7	II	2.0	8.2	2.7	3.9	−17.9	I	23.9	VII	83	58	84	75	21	IV

Weißfluhjoch

$\lambda = 9° 48'$, $\beta = 46° 50'$, $H_b = 2667$m, $G = -0.32$ $m/_m$, $h_r = 3.0$m

Januar	545.1	534.7	10	556.0	27	−10.9	−9.7	−10.9	−10.6	−20.4	17	0.8	30	72	71	67	70	6	18
Februar	555.6	543.7	1	563.8	15	−6.5	−4.1	−5.6	−5.5	−17.8	1	3.4	27	51	55	50	52	12	19
März	548.9	541.4	30	556.6	21	−5.8	−3.0	−5.6	−5.0	−11.8	14	2.5	2	78	81	84	81	5	15
April	547.4	535.9	10	555.1	2	4.5	−1.8	−4.9	−4.0	−15.8	21	5.6	14	73	71	80	75	22	23
Mai	550.6	544.8	30	554.8	12	−0.7	1.2	−1.0	−0.4	−8.1	2	7.7	20	79	76	84	80	13	3
Juni	554.7	546.7	29	558.4	14	2.4	3.8	2.5	2.8	−7.2	11	10.1	17	88	90	91	90	56	15
Juli	556.3	548.3	30	560.3	7.8	5.6	8.7	5.8	6.5	−2.5	1	13.6	8	80	73	87	80	41	28
August	555.2	550.8	31	562.4	25	4.1	6.5	4.0	4.6	−1.8	17	11.9	26	78	80	90	83	29	31
September	555.4	551.5	6	559.4	22	3.7	7.5	4.2	4.9	−0.3	7	12.9	12	70	66	77	71	11	11
Oktober	552.4	532.3	29	560.7	2	−0.9	1.9	−0.7	−0.1	−11.1	29	8.7	2	66	62	69	66	14	3
November	547.7	535.0	30	555.5	20	−5.9	−4.0	−5.1	−5.0	−12.5	6	5.1	21	66	65	63	65	1	3
Dezember	543.7	533.9	1	555.0	31	−7.6	−6.7	−7.5	−7.3	−13.5	5	0.3	31	80	78	72	77	13	14
Jahr	551.1	532.3	X	563.8	II	−2.2	0.0	−2.1	−1.6	−20.4	I	13.6	VII	73	72	76	74	1	XI

Beobachter: C. Huonder

Platta-Medels

Bewölkung				Termine mit Nebel				Niederschlag			Zahl der Tage								Windverteilung									1959
7³⁰	13³⁰	21³⁰	Mittel	7³⁰	13³⁰	21³⁰	Total	Summe	Maximum	Tag	●	●≧1.0	✳	▲	🌫	≡	heiter	trüb	N	NE	E	SE	S	SW	W	NW	Calmen	
6.9	5.4	5.5	5.9	—	—	—	—	53	12	8	15	9	14	—	—	—	7	10	—	—	1	1	—	13	12	—	66	Januar
2.6	2.3	2.1	2.3	—	1	1	2	14	8	21	3	3	3	—	—	1	18	3	—	—	—	—	—	7	2	2	73	Februar
7.7	7.0	6.6	7.1	4	1	1	6	48	14	25	10	8	7	—	—	5	2	17	—	—	—	—	—	18	17	2	56	März
5.3	5.6	5.7	5.5	2	—	1	3	87	32	29	13	11	7	—	—	3	7	13	—	—	—	—	—	9	18	—	63	April
4.6	6.5	5.4	5.5	1	1	—	2	25	11	1	8	6	3	—	—	2	3	7	—	—	—	—	—	12	13	—	68	Mai
6.7	7.7	8.4	7.6	1	—	1	2	65	17	29	14	12	—	—	2	2	—	14	—	—	3	1	—	9	4	—	73	Juni
4.3	4.7	5.1	4.7	1	—	3	4	63	15	14	12	11	—	—	6	4	8	6	—	—	2	1	—	3	2	—	85	Juli
5.2	5.8	6.3	5.8	—	—	—	—	46	15	14	9	6	—	—	1	—	4	11	—	—	—	1	—	4	8	—	80	August
4.1	4.0	4.1	4.1	—	—	—	—	20	9	16	6	3	—	—	—	—	11	5	—	—	—	—	—	10	17	—	63	September
3.9	4.2	4.6	4.2	—	—	1	1	150	67	27	8	8	3	—	—	1	14	9	—	—	—	—	—	12	19	1	61	Oktober
6.7	5.9	6.0	6.2	—	1	3	4	104	29	14	11	9	6	—	—	4	7	14	1	—	—	—	—	13	11	4	61	November
7.3	6.8	6.5	6.9	3	2	3	8	94	29	3	17	13	16	—	—	7	5	15	2	—	—	—	—	11	8	—	72	Dezember
5.4	5.5	5.5	5.5	12	6	14	32	769	67	X	126	99	59	—	9	29	86	124	3	—	6	4	—	121	131	9	821	Jahr

Beobachter: Lichtklimatisches Observatorium, Frl. G. Perl, Florentinum

Arosa

5.7	6.0	5.7	5.8	—	—	—	—	71	22	8	14	13	14	—	—	—	7	12	3	2	—	4	6	2	—	3	73	Januar
2.0	2.5	2.3	2.3	—	—	1	1	26	17	21	2	2	2	—	—	1	16	2	1	—	1	1	—	11	1	—	69	Februar
6.6	7.0	5.9	6.5	1	2	3	6	69	20	7	13	12	3	—	—	5	3	12	—	4	2	15	6	7	—	1	68	März
4.8	5.8	5.4	5.3	1	1	5	7	55	13	18	9	9	8	—	—	7	8	9	1	4	1	12	10	7	1	4	50	April
5.6	7.4	6.5	6.5	—	1	2	3	162	97	1	14	11	6	3	3	4	1	11	2	4	1	5	3	3	3	4	68	Mai
7.6	8.0	8.0	7.9	3	4	5	12	106	18	29	24	21	5	—	3	8	—	17	3	10	4	1	—	—	1	3	68	Juni
5.0	6.1	5.6	5.6	1	1	—	2	169	43	30	16	12	—	—	7	3	4	8	5	5	1	1	—	—	—	6	75	Juli
5.7	7.1	7.4	6.7	3	1	1	5	76	28	15	13	11	—	1	2	7	2	10	2	8	—	1	—	—	—	3	79	August
3.6	5.0	4.3	4.3	1	1	2	4	49	11	15	9	8	—	—	—	5	11	6	1	9	4	1	—	—	—	4	71	September
4.2	4.4	4.0	4.2	1	1	2	4	92	43	28	10	9	6	—	—	3	13	7	—	2	14	7	6	—	1	—	63	Oktober
4.8	5.9	4.6	5.1	—	1	4	5	84	37	15	9	8	8	—	—	4	8	8	—	1	—	10	8	5	—	—	66	November
6.7	6.0	5.4	6.0	—	—	—	—	110	20	28	13	12	13	—	—	1	5	10	—	2	1	7	5	2	1	1	74	Dezember
5.2	5.9	5.4	5.5	11	13	25	49	1069	97	V	146	128	65	4	15	48	78	112	18	51	29	65	44	37	8	29	814	Jahr

Beobachter: Kurverein

Davos-Platz

5.8	6.8	5.5	6.0	—	—	—	—	58	12	10	15	12	12	—	—	—	7	12	—	6	4	—	—	2	2	3	76	Januar
2.2	2.7	2.5	2.5	—	—	—	—	24	17	21	2	2	2	—	—	—	16	2	—	—	3	2	—	—	—	—	79	Februar
7.3	7.3	5.2	6.6	—	—	—	—	30	15	7	9	6	9	—	—	—	5	12	—	6	8	9	3	7	1	1	58	März
5.1	5.4	5.1	5.2	—	—	—	—	33	10	18	8	8	6	—	—	—	8	9	—	12	7	13	—	8	—	—	50	April
6.3	7.8	6.6	6.9	—	—	—	—	74	52	1	12	7	5	—	3	—	1	12	—	11	4	13	—	7	—	—	58	Mai
7.9	8.2	8.5	8.2	—	—	—	—	100	21	29	17	14	2	1	5	—	—	20	—	18	15	5	—	2	—	1	49	Juni
4.9	6.4	5.7	5.7	—	—	—	—	102	27	14	14	2	—	—	2	—	4	8	—	13	4	13	1	3	1	—	58	Juli
6.3	7.6	6.3	6.7	—	—	—	—	48	24	15	9	6	—	1	1	—	3	11	—	23	17	6	1	5	—	—	41	August
4.3	5.2	4.3	4.6	—	—	—	—	34	9	16	8	8	—	—	—	—	11	8	—	26	10	13	—	4	—	3	34	September
4.3	4.6	4.0	4.3	1	—	—	1	57	35	28	8	8	3	—	—	3	14	8	—	10	12	8	1	5	—	—	57	Oktober
5.2	6.0	4.8	5.3	—	—	1	1	47	25	15	9	6	8	—	—	1	8	7	—	1	3	4	1	4	1	—	76	November
8.0	6.5	5.1	6.5	1	—	—	1	84	17	28	12	11	12	—	—	1	4	12	—	3	4	4	—	6	1	1	74	Dezember
5.6	6.2	5.3	5.7	2	—	1	3	691	52	V	123	100	59	2	11	5	81	121	—	129	91	90	7	53	6	9	710	Jahr

Beobachter: Eidg. Institut für Schnee- und Lawinenforschung

Weißfluhjoch

6.3	6.7	6.1	6.4	12	7	8	27	104	29	6	17	15	17	—	—	16	7	15	9	10	2	11	22	9	11	19	—	Januar
2.8	2.8	3.0	2.9	2	1	2	5	33	25	21	2	2	2	—	—	3	11	2	8	9	3	10	19	4	10	10	11	Februar
7.2	7.7	5.8	6.9	9	7	8	24	42	16	7	14	10	14	—	—	13	2	13	11	6	3	26	32	—	4	9	2	März
6.1	6.3	5.0	5.8	8	6	9	23	58	17	7	10	8	10	—	—	12	7	9	7	4	6	21	17	4	15	13	3	April
6.8	8.3	7.1	7.4	6	6	10	22	106	65	1	14	10	8	—	1	12	1	14	4	1	4	16	14	5	23	13	13	Mai
8.2	9.0	8.3	8.5	13	10	13	36	102	19	29	21	17	8	—	3	16	—	19	3	1	—	6	11	6	25	23	15	Juni
5.3	7.1	6.0	6.1	8	5	11	24	142	21	14	15	12	2	—	5	13	3	11	13	7	1	11	9	4	18	28	2	Juli
5.8	7.9	6.4	6.7	8	8	13	29	82	30	15	14	11	3	—	—	17	2	11	9	3	7	9	8	2	11	28	16	August
4.7	5.7	4.2	4.9	3	2	7	12	59	17	5	10	8	1	—	1	7	9	8	9	6	5	12	13	6	9	15	15	September
4.7	5.1	4.7	4.8	7	5	4	16	57	36	28	9	7	9	—	—	9	12	9	6	1	4	28	17	5	9	15	8	Oktober
5.8	6.3	5.0	5.7	7	6	5	18	48	31	15	11	5	11	—	—	10	6	10	10	7	3	22	28	3	5	8	4	November
7.5	6.4	6.3	6.7	11	9	12	32	105	22	28	15	12	15	—	—	18	5	14	9	6	3	14	23	11	5	16	6	Dezember
5.9	6.6	5.7	6.1	94	72	102	268	938	65	V	152	117	100		10	146	65	135	98	61	41	186	213	59	145	197	95	Jahr

Schuls

$\lambda = 10° 18'$, $\beta = 46° 48'$, $H_b = 1253.2^m$, $G = -0.20\ ^m/_m$ $h_r = 1.5^m$

1959	Luftdruck					Luft-Temperatur								Relative Feuchtigkeit					
	Mittel	Minimum	Tag	Maximum	Tag	7^{30}	13^{30}	21^{30}	Mittel	Minimum	Tag	Maximum	Tag	7^{30}	13^{30}	21^{30}	Mittel	Minimum	Tag
Januar	653.8	641.5	8	665.5	28	-9.3	-2.1	-7.4	-6.5	-18.0	12	5.0	22	84	57	79	73	41	12
Februar	664.2	654.1	1	673.8	15	-6.8	4.5	-3.4	-2.3	-12.0	13	9.4	28	77	48	76	67	40	25.27
März	655.8	646.6	7	665.1	21	0.3	9.6	2.3	3.6	-5.0	15	15.2	23	88	47	80	72	28	2.15
April	653.2	641.4	7	663.0	2	3.3	12.9	3.9	6.0	-2.8	21	20.0	14	79	37	74	63	22	4
Mai	655.6	650.8	30	660.9	7	8.9	16.2	7.9	10.2	-0.4	3	23.0	20	71	40	77	63	16	4
Juni	658.8	651.1	29	664.1	14	12.0	18.8	11.2	13.3	4.0	11	26.0	19	73	45	79	66	25	17
Juli	659.3	650.8	30	663.9	7	13.6	22.2	14.3	16.1	8.0	1	28.5	10	78	43	77	66	18	28
August	658.9	654.4	11	666.7	25	11.4	18.8	12.7	13.9	6.0	30.31	25.4	28	83	50	80	71	30	29
September	659.3	654.5	16	663.9	28	7.9	19.2	10.9	12.2	3.2	29	23.0	13.23	86	42	75	68	24	12
Oktober	*658.1	*636.0	—	—	—	*1.9	*12.2	*4.8	*5.9	—	—	—	—	*87	*45	*75	*69	—	—
November	655.3	640.3	30	663.6	20	-3.8	2.9	-2.3	-1.4	-11.0	24	6.4	14	87	65	87	80	45	10
Dezember	651.3	639.3	1	661.5	30.31	-5.1	-0.2	-4.9	-3.8	-12.4	15	5.2	2	87	69	87	81	51	15
Jahr	656.9	636.0	X	673.8	II	2.9	11.3	4.2	5.6	-18.0	I	28,5	VII	82	49	79	70	16	V

Buffalora (Ofenpass)

$\lambda = 10° 16'$, $\beta = 46° 39$, $H = 1968$ $G = — \ ^m/_m$, $h_r = 1.5^m$

Januar	—	—	—	—	—	-13.8	-3.5	-12.5	-10.6	-26.2	12	6.1	30	89	58	86	78	32	27
Februar	—	—	—	—	—	-13.2	2.8	-10.2	-7.7	-20.0	1	12.0	21	93	46	89	76	29	17
März	—	—	—	—	—	-4.7	3.8	3.1	-1.8	-14.2	15	8.9	25	90	60	92	81	23	15
April	—	—	—	—	—	-3.0	6.6	1.8	0.0	-10.4	10.22	16.0	15	85	51	86	74	29	3.5
Mai	—	—	—	—	—	3.6	10.1	2.8	4.8	-4.1	3	17.1	20	78	52	85	72	32	5
Juni	—	—	—	—	—	7.4	12.6	6.7	8.4	-0.1	11	18.4	28	75	53	85	71	31	15
Juli	—	—	—	—	—	10.0	17.3	9.4	11.5	3.0	31	26.8	9	74	46	81	67	29	22
August	—	—	—	—	—	8.2	15.2	8.0	9.8	1.2	31	25.1	26	83	52	87	74	34	14
September	—	—	—	—	—	5.0	14.6	5.8	7.8	0.2	28	20.2	12	92	46	88	75	28	11
Oktober	—	—	—	—	—	-2.0	8.4	-1.2	1.0	-14.1	30	15.4	3	95	51	90	79	27	13
November	—	—	—	—	—	-9.1	0.4	-7.4	-5.9	-19.9	23	4.1	26	94	64	94	84	40	9.20
Dezember	—	—	—	—	—	-8.9	-2.6	-10.2	-8.0	-19.9	22	3.4	31	93	67	95	85	48	15.17
Jahr	—	—	—	—	—	-1.7	7.1	-1.1	0.8	-26.2	I	26.8	VII	87	54	88	76	23	III

Bever

$\lambda = 9° 53'$, $\beta = 46° 33'$, $H_b = 1711.8^m$, $G = -0.26\ ^m/_m$ $h_r = 1.5^m$

Januar	617.2	606.1	8	628.7	27	-13.0	-4.4	-11.1	-9.9	-26.6	12	1.7	30	88	60	83	77	34	25.26
Februar	627.5	617.3	1	636.2	15	-13.6	1.8	-8.7	-7.3	-20.0	14	9.0	28	95	50	85	77	25	16
März	619.9	609.0	7	628.0	21	-3.9	3.8	-1.1	-0.6	-14.6	15	8.4	23	90	59	84	78	30	15
April	617.5	606.3	10	626.2	2	-2.0	7.2	0.6	1.6	-8.8	2.10	14.5	14	80	46	74	67	26	2
Mai	620.1	614.3	29	624.7	7	3.5	10.3	4.7	5.8	-2.8	4	16.4	20	82	48	78	69	30	5.6
Juni	623.4	613.2	29	628.3	14	7.6	13.7	8.4	9.5	1.9	10	20.2	19	78	50	72	67	29	19
Juli	624.4	616.1	29	628.6	8	8.9	18.4	11.3	12.5	4.3	1	25.4	10	83	42	71	65	23	28
August	623.8	618.9	30	631.0	25	6.6	15.7	9.5	10.3	-2.0	31	22.4	27	87	47	74	69	29	14
September	624.1	619.8	6	628.1	22	3.1	16.1	6.8	8.2	-2.3	29	21.7	11	92	41	79	71	18	11
Oktober	622.6	602.0	28	630.9	2	-3.2	9.4	0.8	2.0	-13.0	31	16.4	3	90	47	82	73	18	3
November	619.0	606.4	30	627.0	23	-8.1	-0.1	-6.1	-5.1	-18.2	23	4.6	26	89	64	88	80	46	9
Dezember	614.9	604.7	1	625.5	31	9.1	-2.6	9.2	-7.5	-20.6	14	4.3	2	85	63	86	78	44	19.28
Jahr	621.2	602.0	X	636.2	II	-1.9	7.4	0.5	1.6	-26.6	I	25.4	VII	87	51	80	73	18	IX/X

St. Moritz

$\lambda = 9° 51'$, $\beta = 46° 30$, H_b 1833^m, $G = -0.27\ ^m/_m$ $h_r = 1.5^m$

Januar	606.8	595.4	8	617.7	27	10.0	3.4	-9.0	7.9	20.4	12	6.4	31	79	55	74	69	30	31
Februar	617.3	606.0	1	625.8	14	-8.9	2.5	-5.5	-4.4	-14.0	4	8.2	26	79	43	73	65	28	14.20
März	609.9	602.1	7	618.4	21	-3.1	3.2	-1.2	-0.6	-11.0	15	7.8	23	88	69	85	81	41	2
April	607.7	596.4	9	615.7	1.2	-0.9	5.6	0.4	1.4	-6.8	23	11.9	5	80	51	80	70	22	2
Mai	610.3	604.7	30	615.0	6	4.1	8.6	4.3	5.3	-2.5	3	13.1	20	78	55	84	72	38	5
Juni	613.9	605.3	29	618.2	14	7.7	12.7	8.0	9.1	1.2	11.12	19.2	19	78	54	79	70	32	19
Juli	614.9	607.0	30	618.9	2	9.6	16.8	11.0	12.1	3.4	1	20.8	10	79	47	73	66	26	22
August	614.2	609.2	30	621.1	25	7.5	14.4	9.4	10.2	0.6	31	21.1	27	86	52	80	72	30	29
September	614.6	610.2	6	618.4	22	5.2	13.6	7.8	8.6	1.4	18	18.4	24	90	50	85	75	24	11
Oktober	612.6	591.7	28	620.5	2	0.8	7.8	1.7	2.6	-9.4	30	15.0	3	88	48	82	73	13	3
November	608.9	595.6	30	617.0	19	6.0	0.3	4.4	3.6	12.9	23	3.8	1.26	90	64	87	80	32	4.9
Dezember	604.8	594.4	1	615.1	31	7.0	1.9	7.1	5.8	16.0	15	4.8	31	85	66	85	79	11	15.19
Jahr	611.3	591.7	X	625.8	II	-0.2	6.7	1.3	2.3	-20.4	I	21.1	VIII	83	55	81	73	13	X

Beobachter: J. Stoeker

Schuls

Bewölkung				Termine mit Nebel				Niederschlag			Zahl der Tage								Windverteilung									1959
7³⁰	13³⁰	21³⁰	Mittel	7³⁰	13³⁰	21³⁰	Total	Summe	Maximum	Tag	●	●≥1.0	✳	▲	⛆	≡	heiter	trüb	N	NE	E	SE	S	SW	W	NW	Calmen	
5.2	5.2	6.0	5.5	—	—	—	—	32	9	6	9	9	9	—	—	—	8	8	2	—	1	—	—	2	3	3	82	Januar
2.0	2.0	1.6	1.9	—	—	—	—	2	1	21	2	1	1	—	—	—	18	1	—	—	2	1	—	9	5	1	66	Februar
6.9	6.5	6.4	6.6	1	—	—	1	32	13	7	8	6	1	—	—	1	6	14	1	1	4	5	1	3	4	—	74	März
4.5	4.7	4.2	4.5	—	—	—	—	18	6	30	7	7	1	—	—	—	12	7	—	7	6	1	4	8	5	2	57	April
5.0	6.6	6.4	6.0	—	—	—	—	38	11	29	10	8	—	—	—	—	4	10	3	3	9	2	5	3	3	4	61	Mai
6.5	7.6	7.8	7.3	—	—	—	—	49	12	29	16	12	—	—	2	—	3	16	1	3	9	—	4	8	—	—	65	Juni
5.0	5.7	6.2	5.6	—	—	—	—	84	23	30	10	8	—	—	7	—	7	11	—	9	7	—	—	13	4	3	57	Juli
5.9	6.3	6.7	6.3	—	—	—	—	36	15	15	6	5	—	—	—	—	3	11	1	4	12	2	1	5	3	4	61	August
4.1	4.1	4.1	4.1	—	—	1	1	20	9	25	5	4	—	—	—	1	11	4		11	11	1	—	7	2	2	56	September
*3.8	*3.8	*3.8	*3.8	—	—	—	—	63	—	—	*5	*5	*2	—	—	—	*14	*7	—	—	—	—	—	—	—	—	—	Oktober
5.2	6.3	5.9	5.8	1	—	—	1	76	45	15	11	7	8	—	—	1	8	16	—	1	—	—	—	4	2	—	83	November
7.3	6.0	5.8	6.4	1	—	—	1	70	15	28	12	12	12	—	—	1	4	14	—	1	—	—	—	1	4	1	86	Dezember
5.1	5.4	5.4	5.3	3	—	1	4	520	45	XI	101	84	34	—	9	4	98	113	—	—	—	—	—	—	—	—	—	Jahr

Beobachter: R. Cadisch

Buffalora (Ofenpass)

6.0	6.0	4.6	5.5	—	—	—	—	38	9	10	14	12	14	—	—	—	7	8	—	—	—	—	—	1	9	5	78	Januar
2.4	2.5	1.8	2.2	—	—	—	—	3	2	21	2	1	2	—	—	—	15	2	—	1	—	—	1	1	9	2	70	Februar
7.1	6.6	6.6	6.8	—	—	—	—	49	16	7	11	8	11	—	—	—	4	14	1	—	5	3	3	2	4	—	75	März
4.6	4.7	4.3	4.5	—	—	—	—	38	10	30	8	8	8	—	—	—	11	9	1	2	3	3	6	—	7	4	64	April
5.5	7.3	6.3	6.4	—	—	—	—	47	19	25	9	8	3	—	—	1	2	10	2	—	1	3	2	—	6	6	73	Mai
7.0	8.3	7.8	7.7	—	—	—	—	74	24	29	16	11	6	—	—	—	1	15	—	—	5	1	—	—	11	3	70	Juni
4.5	6.3	5.7	5.5	—	—	—	—	112	25	30	12	11	2	1	2	—	6	10	1	—	1	1	2	2	13	2	71	Juli
6.4	6.3	6.0	6.2	—	—	—	—	45	16	15	10	8	—	—	—	—	2	9	1	1	4	1	3	1	8	2	72	August
5.0	4.9	4.5	4.8	—	—	—	—	7	3	25	3	3	—	—	—	1	9	9	—	—	5	2	2	2	3	—	76	September
4.1	4.5	3.7	4.1	—	—	—	—	91	43	28	7	7	4	—	—	—	12	8	—	—	9	1	—	—	3	2	78	Oktober
5.9	6.2	5.8	6.0	—	—	—	—	89	29	15	12	11	12	—	—	—	8	13	—	1	1	—	—	—	2	1	85	November
6.7	6.0	5.1	5.9	—	—	—	—	92	16	28	15	15	15	—	—	—	6	13	—	1	6	7	2	—	5	3	69	Dezember
5.4	5.8	5.2	5.5	—	—	—	—	685	43	X	119	103	77	1	2	2	83	120	6	6	40	22	21	9	80	30	881	Jahr

Beobachter: Stationspersonal Rh. B.

Bever

5.9	6.6	5.2	5.9	—	—	—	—	15	5	8	8	5	8	—	—	—	8	11	2	1	—	1	—	7	1	—	81	Januar
2.6	2.6	1.8	2.3	—	—	—	—	0,1	0,1	22	—	—	—	—	—	—	16	1	1	—	—	—	—	—	—	3	80	Februar
7.8	7.3	5.9	7.0	1	—	—	1	50	19	7	9	7	9	—	—	1	4	16	—	—	—	—	—	6	—	2	85	März
5.1	4.8	4.9	4.9	—	—	—	—	30	12	16	8	6	3	1	—	—	9	9	1	4	—	—	—	15	2	6	62	April
6.6	7.8	6.6	7.0	1	—	—	1	25	6	24	9	8	4	—	—	1	2	12	—	1	—	—	—	9	—	4	79	Mai
7.2	8.2	7.9	7.8	—	—	—	—	51	17	29	13	10	—	—	2	2	2	17	—	5	—	1	—	10	5	3	66	Juni
5.7	6.3	5.0	5.7	—	—	—	—	83	26	10	11	10	—	1	2	—	4	7	2	1	—	—	—	10	—	3	77	Juli
7.7	7.2	6.5	7.1	1	—	—	1	57	15	15	14	10	—	—	—	3	2	11	3	2	—	1	—	11	1	7	68	August
6.2	4.6	3.8	4.9	5	—	—	5	9	3	27	3	3	—	—	—	5	6	7	1	—	—	—	—	—	10	2	77	September
5.1	4.5	3.6	4.4	—	—	—	—	99	43	28	8	5	2	—	—	—	11	8	—	2	—	—	—	11	4	1	75	Oktober
6.3	6.3	5.2	5.9	—	—	1	1	89	27	15	13	11	12	—	—	1	8	14	1	2	1	—	—	1	—	1	84	November
7.2	6.6	5.2	6.3	—	—	2	2	67	14	23	16	12	16	—	—	2	5	14	3	1	—	—	—	1	2	1	85	Dezember
6.1	6.1	5.1	5.8	8	—	3	11	575	43	X	112	87	54	2	4	15	78	127	14	19	1	3	—	81	25	33	919	Jahr

Beobachter: Ch. E. Christen

St. Moritz

5.2	6.0	4.6	5.3	—	—	—	—	9	3	4	9	3	9	—	—	—	8	7	13	9	—	—	2	15	13	1	40	Januar
2.6	2.4	2.0	2.3					0	0								16	1	23	7	3		2	9	1	—	39	Februar
7.3	7.3	6.5	7.0	—	—	—	—	39	12	30	10	8	10	—			3	15	4	7			6	28	3	—	45	März
5.0	4.8	4.5	4.8	1	—	—	1	21	7	29	10	6	10	—	—	1	10	9	10	7	—	2	7	27	4	—	33	April
6.2	7.3	6.3	6.6	—	1	—	1	44	19	1	10	7	4			1		9	10	8	1	3	8	31	2	1	29	Mai
7.1	8.2	7.5	7.6	—	—	—	—	46	14	29	14	8	2	—	1	—	1	16	22	9	—	1	2	15	2	—	39	Juni
4.9	6.1	5.4	5.5	1	—	—	1	60	16	30	10	8	—	—	2	1	6	7	38	6	—	2	3	15	1	—	28	Juli
6.8	7.0	5.8	6.5	—	1	—	1	54	15	15	11	9	—	—	1	1	3	10	27	3	3	—	3	27	1	—	29	August
5.7	5.0	4.5	5.1	2	—	—	2	10	3	27	4	4	—	—	—	2	6	6	5	6	—	—	3	36	2	—	38	September
5.9	4.7	4.0	4.9	5	—	—	5	92	41	28	8	6	5	—	—	5	9	9	3	5	—	—	3	32	1	—	49	Oktober
6.5	5.9	5.5	6.0	1	—	2	3	104	37	15	13	11	13	—	—	3	7	13	6	8	1	—	9	17	—	—	49	November
7.4	6.7	5.9	6.7	1	—	—	1	70	11	4	17	16	17	—		1	4	15	17	9	—	—	2	24	2	1	38	Dezember
5.9	6.0	5.2	5.7	11	2	2	15	549	41	X	116	86	70	—	4	15	73	117	178	84	8	8	50	276	32	3	456	Jahr

Splügen-Dorf

$\lambda = 9° 19', \beta = 46° 33', H_b = 1504\ m, G = -0.24 m/m, h_r = 2.2 m$

1959	Luftdruck					Luft-Temperatur								Relative Feuchtigkeit					
	Mittel	Minimum	Tag	Maximum	Tag	7^{30}	13^{30}	21^{30}	Mittel	Minimum	Tag	Maximum	Tag	7^{30}	13^{30}	21^{30}	Mittel	Minimum	Tag
Januar	633.8	623.1	8	645.7	26	−7.8	−3.4	−7.6	−6.6	−18.0	11	4.0	23	82	65	81	76	38	18
Februar	644.2	633.4	1	653.0	15	−6.8	2.1	−4.6	−3.5	−12.5	12	8.6	28	81	53	78	71	31	16
März	636.3	627.4	7	644.8	21	1.0	5.2	1.1	2.1	−5.0	14.15	10.6	24	80	60	85	75	32	15
April	634.0	622.8	7.10	642.5	1.2	2.0	7.5	2.1	3.4	−5.0	11	14.5	5	76	55	81	71	25	3
Mai	636.4	631.1	29	641.2	6	8.4	11.5	6.4	8.2	0.0	3	17.0	23	67	52	82	67	38	17.27
Juni	639.9	632.2	29	644.9	14	11.9	14.4	9.5	11.3	2.0	11	22.0	19	70	56	83	70	33	19
Juli	640.5	633.0	29.30	645.8	2	14.3	18.8	11.6	14.1	7.0	1.30	25.4	10	68	48	82	66	28	22
August	640.0	635.9	30	646.8	25	11.6	16.0	10.4	12.1	6.2	30	23.0	26	76	53	85	71	35	14
September	640.4	636.6	6.17	644.4	22	9.8	16.3	8.6	10.8	5.2	29	21.0	11	74	47	86	69	26	11
Oktober	639.0	618.0	28	647.3	23	3.3	9.6	2.8	4.6	−5.0	30	16.0	3	79	51	85	72	21	2.4
November	635.3	620.6	30	642.9	22	−2.5	1.0	−2.5	−1.6	−10.5	3	5.2	20.25	82	73	85	80	36	20
Dezember	631.2	619.6	1	642.5	31	−4.6	−1.4	−4.2	−3.6	−15.0	16	6.0	2	85	73	83	80	50	20
Jahr	637.6	618.0	X	653.0	II	3.4	8.1	2.8	4.3	−18.0	I	25.4	VII	77	57	83	72	21	X

Braggio

$\lambda = 9° 07', \beta = 46° 18', H_b = 1332.1 m, G = -0.21 m/m, h_r = 1.5 m$

Januar	647.8	638.0	4	657.2	28	−3.6	2.3	−2.9	−1.8	−10.1	12	10.9	30	62	54	59	58	29	25
Februar	657.5	646.3	1	665.0	15	−0.3	6.9	1.3	2.3	−5.1	2	12.5	19	61	52	63	59	26	16
März	650.5	642.1	30	659.2	21	2.4	6.4	2.9	3.6	−2.1	15	10.3	1	77	71	77	75	34	14
April	647.9	636.6	9	654.9	2	3.6	9.7	4.6	5.6	−2.9	21.22	15.9	5	66	58	71	65	25	22
Mai	650.4	655.3	7	644.4	30	8.1	13.2	8.7	9.7	3.9	4	17.7	20	73	61	72	69	35	13.30
Juni	653.4	645.8	29	657.2	3	12.2	16.3	12.3	13.3	4.9	12	22.9	4	74	67	74	72	41	4
Juli	653.8	646.0	30	658.0	8	15.1	21.0	15.6	16 8	9.2	31	25.1	7	71	58	71	67	36	17
August	653.3	649.2	13	659.7	25	13.0	18.2	13.4	14.5	8.7	31	24.9	27	76	65	77	73	38	16
September	654.4	650.1	17	658.3	30	10.2	16.2	11.0	12.1	6.3	30	19.9	23.24	85	74	85	81	51	20
Oktober	652.8	629.8	29	659.8	2	5.3	11.5	6.1	7.2	−0.7	30	18.7	2.4.11	71	62	74	69	20	23
November	649.1	633.6	30	657.1	19	0.6	5.5	1.2	2.1	−3.8	24	14.0	21	74	67	75	72	35	21
Dezember	645.3	654.3	31	634.3	1	−0.9	3.2	−0.5	0.3	−5.1	15	10.9	31	69	59	70	66	39	5.13 19
Jahr	651.3	629.8	X	665.0	II	5.5	10.9	6.1	7.1	−10.1	I	25.1	VII	71	62	72	69	20	X

Tessin

Bosco-Gurin

$\lambda = 8° 30', \beta = 46° 19', H_b = \text{ca } 1510\ m, G = —\ m/m\ \ h_r = 1.5 m$

Januar	—	—	—	—	—	−4.7	−2.7	−4.1	−3.9	−11.0	12	2.1	15.30	71	62	65	66	26	25
Februar	—	—	—	—	—	−1.5	2.1	−0.1	0.1	−6.0	1	7.0	20	61	54	63	59	31	14
März	—	—	—	—	—	0.9	4.2	1.6	2.1	−1.8	17	8.0	23	81	69	81	77	44	31
April	—	—	—	—	—	2.2	7.4	2.7	3.7	−2.8	21	13.3	15	73	58	73	68	26	22
Mai	—	—	—	—	—	7.1	13.1	7.5	8.8	2.8	4	17.1	27.28	74	56	74	68	32	30
Juni	—	—	—	—	—	11.2	17.3	12.3	13.3	6.2	12	21.6	4	63	52	68	61	31	23
Juli	—	—	—	—	—	14.2	20.0	14.9	16.0	9.2	1	24.2	7	62	51	62	58	26	13
August	—	—	—	—	—	12.0	16.5	12.6	13.4	8.2	31	20.5	29	69	58	69	65	36	29
September	—	—	—	—	—	9.4	14.4	10.3	11.1	6.0	30	18.2	23	77	65	79	74	36	20
Oktober	—	—	—	—	—	3.5	9.1	4.1	5.2	−0.4	17	15.6	4	68	57	67	64	31	2
November	—	—	—	—	—	−1.2	1.4	−0.3	−0.1	−6.0	24	3.8	4.6	66	62	69	66	36	21
Dezember	—	—	—	—	—	−2.1	−1.0	−2.3	−1.9	−6.4	16	5.0	30	66	61	63	63	39	22
Jahr	—	—	—	—	—	4.2	8.5	4.9	5.6	−11.0	I	24.2	VII	69	59	69	66	26	I/IV VII

Bellinzona

$\lambda = 9° 02', \beta = 46° 12', H_b = 229.8 m, G = -0.05 m/m, h_r = 1.5 m$

Januar	741.5	727.7	8	753.2	28	0.0	5.9	1.9	2.4	−4.0	12	12.0	24	72	48	61	60	16	25
Februar	752.0	739.7	1	760.2	14	1.2	10.0	4.8	5.2	−2.4	14	17.8	21	85	47	70	67	24	21
März	742.7	732.8	30	752.5	21	7.3	13.3	9.9	10.1	2.1	15	18.1	23	82	56	70	69	26	13
April	739.1	726.4	7	748.4	2	8.6	16.2	11.7	12.1	2.8	22	21.4	15	76	49	64	63	23	1
Mai	740.4	732.5	30	746.6	7	13.5	20.6	15.9	16.5	9.2	1	26.7	25	75	48	66	63	22	30
Juni	742.4	732.0	29	747.1	3	17.7	24.3	19.8	20.4	14.2	1	28.5	23	69	49	65	61	26	10
Juli	741.7	733.5	30	747.9	2	19.2	27.5	22.6	23.0	15.6	31	31.5	21	72	43	61	59	29	1
August	742.0	735.8	13	750.2	25	17.1	25.2	20.2	20.7	14.1	31	29.0	28	81	53	72	69	33	1.17
September	744.3	737.9	17	750.8	30	14.6	21.6	17.0	17.6	10.1	9	24.8	24	89	59	84	77	46	8
Oktober	744.3	718.5	29	752.6	2	8.8	15.4	10.7	11.4	4.4	31	21.3	23	84	58	83	75	19	23
November	741.1	724 0	30	751.5	22	3.6	8.7	5.4	5.8	−1.4	24	13.3	5	90	69	84	81	37	5
Dezember	737.6	724.6	1	747.4	17	2.0	6.2	3.2	3.6	−3.6	16	12.0	5	84	67	80	77	31	5
Jahr	742.4	718.5	X	760.2	II	9.5	16.2	11.9	12.4	−4.0	I	31.5	VII	80	54	72	68	16	I

Beobachter: J. Engi

Splügen-Dorf

Bewölkung				Termine mit Nebel				Niederschlag			Zahl der Tage								Windverteilung								1959
7^{30}	13^{30}	21^{30}	Mittel	7^{30}	13^{30}	21^{30}	Total	Summe	Maximum	Tag	• *	•* ≥1.0	*	▲	⌇	≡	heiter	trüb	N	NE	E	SE	S	SW	W	NW	Calmen	
5.9	5.6	5.1	5.5	—	—	—	—	28	8	8	8	6	7	—	–	—	8	8	—	—	—	—	—	—	—	—	—	Januar
2.5	2.7	1.6	2.3	—	—	—	—	7	3	1	3	3	3	—	—	—	15	2	—	—	—	—	—	—	—	—	—	Februar
7.6	8.1	7.2	7.6	—	—	—	—	73	19	7	9	9	7	–	—	—	2	17	—	—	—	—	—	—	—	—	—	März
5.6	5.9	5.7	5.7	—	—	–	—	85	25	29	9	9	5	—	—	—	7	13	—	—	—	—	—	—	—	—	—	April
5.9	7.1	6.1	6.4	—	—	—	—	26	9	1	7	7	1	–	—	—	1	7	—	—	—	—	—	—	—	—	—	Mai
7.5	8.2	7.6	7.8	—	—	—	—	88	25	28	14	14	1	—	1	—	—	16	—	—	—	—	—	—	—	—	—	Juni
4.8	5.5	4.5	4.9	—	—	—	—	129	56	30	11	11	—	—	3	—	8	8	—	—	—	—	—	—	—	—	—	Juli
6.5	7.1	5.5	6.4	—	—	—	—	78	14	22	9	9	—	—	2	—	4	9	—	—	—	—	—	—	—	—	—	August
5.3	4.7	3.9	4.6	—	—	—	—	11	4	26	4	4	—	–	—	–	6	4	—	—	—	—	—	—	—	—	—	September
4.0	4.4	3.8	4.1	—	—	—	—	142	48	28	8	8	2	—	–	—	13	7	—	—	—	—	—	—	—	—	—	Oktober
6.6	6.3	5.6	6.2	—	—	—	—	164	43	14	12	12	11	—	–	—	7	15	—	—	—	—	—	—	—	—	—	November
7.2	6.4	5.2	6.3	—	—	—	—	92	26	28	14	12	14	–	—	—	6	13	—	—	—	—	—	—	—	—	—	Dezember
5.8	6.0	5.2	5.7	—	—	—	—	923	56	VII	108	104	51	—	6	—	77	119	—	—	—	—	—	—	—	—	—	Jahr

Beobachter: M. Berera

Braggio

5.1	5.0	5.1	5.1	2	1	—	3	34	16	20	5	5	4	—	—	2	10	9	9	15	11	9	—	1	—	5	43	Januar
2.5	2.9	2.2	2.5	—	—	1	1	6	4	2	2	2	2	—	—	1	17	3	1	4	16	9	1	—	—	—	53	Februar
7.7	8.1	7.2	7.7	5	3	1	9	109	23	25	10	9	6	—	—	7	2	19	5	5	4	26	9	—	—	2	42	März
4.3	5.5	4.4	4.7	—	1	—	1	133	54	29	9	9	3	—	—	1	10	8	12	5	2	27	15	1	1	1	26	April
6.2	6.9	5.4	6.2	1	—	—	1	68	26	24	7	7	—	—	1	1	—	7	10	5	4	29	13	1	—	1	30	Mai
6.7	7.3	5.4	6.5	1	—	—	1	160	34	28	14	14	—	—	3	1	—	7	14	4	14	26	10	1	—	—	21	Juni
5.5	5.4	4.3	5.1	1	—	—	1	106	23	30	9	8	—	—	9	1	6	5	8	15	10	28	11	1	—	5	15	Juli
5.8	6.2	5.0	5.7	—	—	—	—	120	30	22	11	11	—	—	4	—	2	8	7	11	7	37	15	1	—	3	12	August
6.6	6.8	6.4	6.6	4	2	3	9	40	13	25	7	7	-	—	-	6	4	12	—	2	—	35	25	2	—	-	26	September
5.7	5.6	4.9	5.4	4	1	2	7	187	52	27	5	5	1	—	–	5	6	9	4	12	8	24	19	—	—	2	24	Oktober
6.1	6.4	5.0	5.8	1	—	2	3	217	41	12	14	14	9	—	—	3	7	14	1	3	11	32	5	—	—	—	38	November
5.9	6.2	5.2	5.8	4	4	5	13	111	37	10	12	10	14	—	—	10	9	12	2	8	26	25	1	—	1	2	28	Dezember
5.7	6.0	5.0	5.6	23	12	14	49	1291	54	IV	105	101	39	—	17	38	73	113	73	89	113	307	124	8	2	21	358	Jahr

Tessin

Beobachter: O. Sartori

Bosco-Gurin

4.9	5.4	4.5	4.9	-	—	—		81	17	20	13	13	13	—	—	—	9	10	—	—	—	—	-	4	4	12	73	Januar
1.8	2.4	2.2	2.1	—	—	—	—	14	7	4	3	3	3	—	—	—	19	3	—	—	—	—	—	—	6	—	78	Februar
6.8	8.1	7.2	7.4	1	—	2	3	178	42	25	14	13	10	—	—	3	3	17	—	—	—	—	—	2	—	4	87	März
4.1	5.1	4.2	4.5	—	—	—	—	241	89	29	12	12	8	—	—	—	11	6	—	—	—	—	—	3	6	6	75	April
5.3	6.9	4.9	5.7	—	—	—	—	72	23	22	11	10	1	—	—	—	2	8	3	2	—	—	—	—	4	6	78	Mai
5.4	6.8	5.4	5.9	—	—	—	—	119	23	21	11	11	—	—	2	—	3	5	—	—	—	—	—	5	2	11	72	Juni
4.4	5.3	5.1	4.9	—	—	—	—	134	36	14	11	11	—	1	7	—	5	9	—	—	—	—	—	2	1	6	84	Juli
5.0	6.7	5.8	5.8	1	—	—	1	140	40	22	15	15	—	—	1	1	2	8	—	—	—	—	—	—	4	4	85	August
6.3	7.1	5.5	6.3	3	4	4	11	60	19	26	9	8	—	—	—	5	4	12	—	—	—	—	—	—	—	—	90	September
4.2	5.3	5.0	4.8	2	—	1	3	206	63	28	6	6	1	—	—	3	11	9	—	—	—	—	—	—	10	—	83	Oktober
5.6	6.3	5.8	5.9	—	—	—	—	307	80	30	13	13	11	—	—	—	10	15	—	—	—	—	—	—	7	2	81	November
6.0	6.0	4.7	5.6		—	—	-	236	84	10	14	14	14	—	-		9	11	-	—		-	-	-	-	16	77	Dezember
5.0	5.9	5.0	5.3	7	4	7	18	1788	89	IV	132	129	61	1	10	12	88	113	3	2	—	—	—	16	44	67	963	Jahr

Beobachter: A. Casari-Lienhard

Bellinzona

3.4	4.4	3.9	3.9	—	—	—	—	23	10	20	8	4	4	—	—	—	13	6	31	12	—	—	4	1	—	—	45	Januar
2.4	2.4	1.6	2.1	—	—	—	—	9	7	2	3	2	2	—	—	—	22	3	14	6	—	—	17	4	—	—	43	Februar
7.4	7.4	7.2	7.3	—	—	—	—	145	30	6	14	12	—	-	—	—	4	18	18	5	—	—	34	1	—	—	35	März
4.3	4.6	3.8	4.2	—	—	—	—	145	64	29	7	7	—	—	—	—	11	7	19	12	—	—	24	5	—	—	30	April
4.7	6.2	6.0	5.6	—	—	—	—	73	11	23	12	10	—	—	—	—	1	7	38	8	—	1	20	9	—	—	17	Mai
5.6	5.7	4.8	5.4	—	—	—	—	179	58	28	12	11	—	—	3	—	6	7	44	11	2	—	15	7	—	—	11	Juni
3.9	4.2	3.7	3.9				--	86	33	14	9	7			1		12	5	14	6	-	—	21	9	-		13	Juli
4.7	4.1	4.9	4.6	—	—	—	—	132	46	22	13	10	—	1	1	—	8	4	43	10	—	—	14	12	—	—	14	August
5.9	5.1	5.6	5.5	—	–	–	—	29	19	26	4	3	–	–	—	—	7	9	15	3	—	—	21	17	—	—	34	September
5.4	5.2	5.5	5.4	—	—	—	—	210	63	27	7	6	—	—	—	—	9	11	26	11	—	1	22	9	—	—	24	Oktober
6.3	5.8	6.3	6.1	—	—	—	—	216	50	12	14	13	1	–	—	—	6	14	25	7	—	—	18	9	—	—	31	November
5.5	5.7	5.8	5.7	—	—	—	—	169	39	3	15	13	6	—	—	—	8	10	42	4	—	—	11	—	—	—	36	Dezember
5.0	5.1	4.9	5.0	—	—	—	—	1416	64	IV	118	98	13	1	5	—	107	101	359	95	2	2	221	83	—	—	333	Jahr

Ab 22. Mai 1959 neue Höhe 233.3 m.

Alle Barometerangaben beziehen sich auf die alte Höhe.

Locarno-Muralto

$\lambda = 8° 48', \beta = 46° 11', H_b = 244.4^m, G = -0.01^m/_m, h_r = 1.2^m$

1959	Luftdruck					Luft-Temperatur								Relative Feuchtigkeit					
	Mittel	Minimum	Tag	Maximum	Tag	7^{30}	13^{30}	21^{30}	Mittel	Minimum	Tag	Maximum	Tag	7^{30}	13^{30}	21^{30}	Mittel	Minimum	Tag
Januar	740.3	726.4	8	751.7	28	1.3	5.9	2.6	3.1	−3.6	12	11.2	24	66	57	62	62	23	9
Februar	750.8	737.7	1	759.5	15	2.7	9.4	5.9	6.0	−0.4	1	18.5	22	76	53	65	65	30	22
März	741.5	732.0	30	751.4	21	7.7	12.3	9.6	9.8	4.8	15	17.0	27	81	61	72	71	30	13.27
April	737.9	724.9	7	746.6	2	9.3	16.1	11.3	12.0	6.0	22.23	22.2	19	78	53	68	66	25	19.20
Mai	738.8	731.7	30	744.6	6	13.5	19.7	15.0	15.8	9.2	1	23.9	18	79	53	70	67	30	30
Juni	741.1	731.0	29	745.9	3	17.7	22.8	19.0	19.6	13.2	1	26.6	23	77	55	69	67	25	10
Juli	740.6	732.4	30	746.9	2	19.2	26.2	21.6	22.1	15.0	31	30.6	21	80	50	67	66	30	1
August	740.9	735.2	13	749.5	25	17.6	24.0	19.4	20.1	14.2	31	27.2	26	81	55	74	70	34	3
September	742.9	737.3	17	749.6	30	15.4	20.8	16.9	17.5	12.4	20	24.0	24	85	58	79	74	45	2
Oktober	743.1	717.2	19	751.4	2	9.8	15.1	11.4	11.9	5.4	31	20.7	23	81	59	77	72	23	23
November	740.7	723.4	30	750.5	22	4.7	8.8	5.9	6.3	0.4	24	12.4	1	85	71	81	79	45	4
Dezember	736.6	723.4	1	746.3	17	3.0	6.0	3.5	4.0	0.4	18	11.2	19	81	69	76	75	30	19
Jahr	741.3	717.2	X	759.5	II	10.2	15.6	11.8	12.4	−3.6	I	30.6	VII	79	58	72	70	23	I/X

Locarno-Monti

$\lambda = 8° 47', \beta = 46° 10', H_b = 378.9^m, G = -0.03^m/_m, h_r = 1.2^m$

Januar	727.7	714.0	8	739.1	28	1.2	5.8	2.8	3.2	−4.0	12	11.6	24	66	56	57	60	20	25
Februar	738.2	725.3	1	746.5	15	3.4	9.8	6.2	6.4	−0.5	13	19.8	22	71	54	62	62	29	22
März	729.3	719.7	30	739.0	21	7.6	11.8	9.7	9.7	3.8	15	17.8	8	78	63	69	70	26	13
April	725.8	713.3	7	734.7	2	9.3	14.8	11.6	11.8	4.8	22	21.2	19	75	55	65	65	24	11
Mai	727.1	719.8	30	732.9	7	13.4	18.6	15.6	15.8	8.4	1	22.7	12	77	57	63	66	27	3
Juni	729.3	719.2	29	734.0	3	17.5	22.0	19.5	19.6	14.6	14	26.6	23	73	58	64	65	27	10
Juli	728.8	720.9	30	734.7	2	19.9	25.9	22.4	22.6	14.9	31	30.6	21	72	51	62	62	30	21
August	729.1	723.6	13	737.0	25	17.8	23.8	20.0	20.4	13.5	31	27.8	16	78	56	67	67	29	16
September	731.3	725.5	17	737.4	30	15.1	20.2	17.0	17.3	11.9	20	23.8	24	85	60	77	74	48	4
Oktober	731.0	705.2	29	738.9	2	9.9	14.8	11.2	11.8	5.2	31	22.6	23	78	58	74	70	18	23
November	728.5	712.0	30	738.3	22	4.6	8.7	6.1	6.4	0.4	24	13.6	4	78	67	75	73	33	5
Dezember	724.3	711.4	1	733.8	17	3.2	6.6	3.8	4.4	−1.1	16	13.4	19	71	62	70	68	26	19.22
Jahr	729.2	705.2	X	746.5	II	10.2	15.2	12.2	12.4	−4.0	XII	30.6	VII	75	58	67	67	18	X

Lugano

$\lambda = 8° 58', \beta = 46° 00', H_b = 276.2^m, G = -0.04^m/_m, h_r = 1.5^m$

Januar	737.1	722.9	8	748.6	28	0.0	7.2	2.1	2.8	−5.4	12	11.8	16	72	48	61	60	11	25
Februar	747.6	734.7	1	755.9	15	1.1	10.9	4.8	5.4	−2.2	13	19.7	22	87	48	71	69	22	22
März	738.5	728.7	30	748.2	21	6.4	13.2	9.2	9.5	2.6	15	19.8	8	91	59	78	76	18	8
April	735.0	722.0	7	744.0	2	8.4	17.0	11.4	12.0	4.0	23	23.0	15.19	80	50	68	66	17	11
Mai	736.3	728.6	30	742.3	7	12.7	20.9	15.1	16.0	9.2	1	25.6	18.20	81	49	74	68	20	2.14
Juni	738.3	727.8	29	743.2	3	17.0	24.7	19.3	20.1	10.3	1	29.3	19	77	49	69	65	21	10
Juli	738.1	730.4	29	743.9	2	19.0	28.7	21.9	22.9	14.2	31	33.8	21	78	44	67	63	21	21
August	738.5	733.2	13	745.8	25	16.8	26.1	19.7	20.6	13.2	3.31	29.4	26	81	47	74	67	24	17
September	740.9	735.0	17	747.0	30	14.4	22.6	16.8	17.6	10.9	9	26.3	12	87	52	83	74	38	8
Oktober	740.6	713.9	29	748.6	2	9.3	17.1	10.8	12.0	4.6	31	23.4	23	82	53	83	73	11	23
November	738.3	722.7	30	748.1	22	4.3	10.2	6.0	6.6	−0.3	24	16.1	1.2.4	91	68	87	82	36	5
Dezember	734.0	721.1	1	743.5	17	2.2	6.8	3.1	3.8	−2.7	16	12.9	29	85	68	84	79	26	5.22
Jahr	738.6	713.9	X	755.9	II	9.3	17.1	11.7	12.4	−5.4	I	33.8	VII	83	53	75	70	11	I/X

Lugano: Beobachterwechsel am 1. Januar.

Beobachter: Frau A. Mariani

Locarno-Muralto

Bewölkung				Termine mit Nebel				Niederschlag			Zahl der Tage								Windverteilung								1959
7³⁰	13³⁰	21³⁰	Mittel	7³⁰	13³⁰	21³⁰	Total	Summe	Maximum	Tag	●	≥1.0	✳	▲	≡	heiter	trüb	N	NE	E	SE	S	SW	W	NW	Calmen	
2.8	3.7	2.6	3.0	2	1		3	27	11	20	5	4	–		2	16	4	2			2	3			1	85	Januar
2.6	2.6	1.8	2.3	1	—	—	1	11	6	2	3	2	1	—	1	20	3	–	—	1	1	3	1	1	—	77	Februar
6.4	5.5	6.7	6.2	—	—	—	—	148	37	4	11	9	—	—	1	7	13	–	—	1	—	—	—	1	2	89	März
4.3	3.9	4.8	4.3	—	—	—	—	206	85	29	8	8	—	—	—	11	7	2	1	1	2	1	4	7	—	72	April
4.6	5.6	6.9	5.7	—	—	—	—	80	19	23	10	10	—	—	4	—	1	7	—	—	—	1	5	—	4	2	81	Mai
5.5	5.8	5.5	5.6	—	—			114	37	16	10	9			3		4	6	2				5	1	8		71	Juni
4.4	4.2	3.9	4.2	—	—	—	—	161	41	23	10	10	—	—	4	—	9	4	4	—	—	–	1	8	7	1	69	Juli
5.2	4.2	6.1	5.2	—	—	—	—	150	52	22	11	10	—	—	5	—	5	6	1	—	—	4	3	1	13	1	70	August
6.2	4.4	6.0	5.5	—	—	—	—	54	46	26	4	3	—	—	—	—	5	6	—	—	—	—	1	2	8	4	75	September
6.0	5.2	5.6	5.6	—	—	—	—	219	62	28	7	7	—	—	—	—	9	10	1	—	—	2	3	3	5	2	77	Oktober
5.6	5.8	5.7	5.7	—	—	—	—	281	60	14	14	14	—	—	—	—	10	15	—	—	—	—	2	—	2	—	86	November
4.9	5.3	5.2	5.1	—	—	—	—	215	46	10	12	12	4	—	—	—	10	9	—	—	—	—	—	—	—	—	93	Dezember
4.9	4.7	5.1	4.9	3	1	—	4	1696	85	IV	105	98	5	—	16	4	107	90	12	1	3	12	30	23	56	13	945	Jahr

Beobachter: Osservatorio Ticinese

Locarno-Monti

4.3	4.8	3.6	4.2	1	3	1	5	23	9	20	6	3	4	–	—	4	13	5	21	9	14	8	1	5	12	7	16	Januar
3.6	2.9	2.5	3.0	—	—	—	—	8	5	2	3	2	2	—	—	2	14	3	16	5	1	4	16	6	5	7	24	Februar
8.0	7.8	7.4	7.7	—	1	—	1	173	13	4	12	10				4	2	19	8	9	3	4	6	12	15	11	22	März
5.2	4.7	4.0	4.6	1	2	—	3	219	84	29	8	8	—	–	—	2	5	6	8	6	5	3	3	18	19	11	17	April
5.5	6.2	6.1	5.9	—	—	—	—	78	20	23	11	11	—	–	5	—	1	5	13	10	7	9	8	10	14	8	14	Mai
6.5	6.6	5.5	6.2	—	—	—	—	106	22	28	11	9	—	—	7	—	2	7	12	11	3	4	6	13	14	11	16	Juni
4.5	4.5	4.2	4.4	—	—	—	—	146	45	14	11	11	—	1	10	—	11	7	14	5	11	5	11	15	10	13	9	Juli
5.5	4.7	5.3	5.2	—	—	—	—	163	52	22	14	10	—	—	5	—	5	5	20	9	6	2	8	15	9	9	15	August
6.5	5.8	6.3	6.2	—	1	—	1	57	41	26	7	4	—	–	—	1	3	10	11	2	1	—	8	11	22	16	19	September
6.2	5.2	5.2	5.5	—	1	1	2	236	77	28	7	7	—	—	—	1	9	9	15	8	2	2	4	14	18	3	27	Oktober
6.5	6.4	5.8	6.2	1	3	2	6	274	54	14	14	13	1	—	—	4	6	14	25	11	3	3	8	4	4	8	24	November
6.2	6.1	5.7	6.0	—	1	1	2	218	46	10	15	12	6	—	—	3	7	11	18	24	5	6	6	2	2	7	23	Dezember
5.7	5.5	5.1	5.4	3	12	5	20	1701	84	IV	119	100	13	1	27	21	78	101	181	109	61	50	85	125	144	114	226	Jahr

Beobachter: A. Tison

Lugano

4.0	4.0	3.5	3.8	—	—	—	—	34	8	21	5	5	3	—	–	—	15	4	46	14	2	5	11	2	—	5	8	Januar
3.4	2.5	2.5	2.8	—	—	—	—	8	8	2	2	2	2	—	–	–	18	6	41	7	—	4	18	1	—	3	10	Februar
7.4	7.4	7.5	7.4	1	—	—	1	195	46	3	12	11	—	—	—	1	4	20	26	1	2	4	16	4	2	8	30	März
4.8	5.0	4.3	4.7	—	—	—	—	205	89	29	9	9	—	—	1	—	8	8	40	4	1	1	20	3	2	6	13	April
5.1	6.3	6.9	6.1	—	—	—	—	107	29	29	11	9	—	—	2	—	1	9	28	9	3	2	20	1	2	6	22	Mai
5.9	5.9	5.4	5.7	–	—	—	—	255	74	29	13	12	—	—	7	—	2	7	30	9	1	3	22	1	4	3	17	Juni
4.6	4.3	4.1	4.3	—	—	—	—	176	69	14	9	9	—	—	9	—	10	6	40	3	3	8	19	1	—	4	15	Juli
5.4	4.3	5.4	5.0	—	—	—	—	173	54	22	16	14	—	—	7	–	8	5	47	8	1	2	14	2	4	12	3	August
6.4	5.8	5.3	5.8	—	—	—	—	53	29	26	5	4	—	—	—	—	6	9	41	2	2	5	20	4	3	8	5	September
6.2	5.1	5.1	5.5		–	–	–	272	94	20	8	6	–	—			8	10	51	2	1	3	20		4	6	6	Oktober
7.2	6.2	6.6	6.7	—	—	–	—	267	64	12	13	13	1	—	—	–	4	17	44	3	1	7	14	1	9	11	—	November
6.7	6.2	6.0	6.3	1	–	1	2	235	53	10	15	14	5	—	—	2	6	12	46	9	1	3	10	—	5	14	5	Dezember
5.6	5.2	5.2	5.3	2	–	1	3	1930	94	X	118	108	11		26	3	90	113	180	71	18	17	201	20	35	86	134	Jahr

Muri (Aargau)

$\lambda = 8° 21'$, $\beta 47° 16'$, $H_b = 469^m$, $h_r = 1.5^m$ — Beobachter: Frau Weber-Arni

1959	Luft-Temperatur								Relative Feuchtigkeit						Bewölkung				Nebel Zahl der Termine				Niederschlag			Zahl der Tage						
	7^{30}	13^{30}	21^{30}	Mittel	Minimum	Tag	Maximum	Tag	7^{30}	13^{30}	21^{30}	Mittel	Minimum	Tag	7^{30}	13^{30}	21^{30}	Mittel	7^{30}	13^{30}	21^{30}	Total	Summe	Maximum	Tag	•	•*	*	▲	K	heiter	trüb
Jan.	-1.3	1.9	1.1	-0.4	9.4	17	10.6	22	84	73	84	80	45	22	8.0	7.5	7.4	7.6	5	4	1	10	91	27	6	12	12	4	—	—	3	17
Feb.	-2.6	4.1	-1.0	0.1	-6.0	9	13.2	28	89	71	89	83	44	28	7.7	5.0	3.2	5.3	10	3	1	14	4	4	21	1	1	—	—	—	5	5
März	4.6	10.6	5.5	6.6	-1.0	3	17.4	21	88	66	86	80	39	19	8.5	7.6	6.4	7.5	3	—	—	3	61	17	12	15	14	—	—	—	10	15
Apr.	6.6	14.0	7.8	9.1	0.5	21.22	21.5	4	78	49	74	67	29	5	5.2	5.3	4.3	4.9	1	—	—	1	69	24	18	12	12	—	—	—	12	10
Mai	11.2	18.6	11.5	13.2	4.8	3	25.2	20	74	49	75	66	34	4.3/10	6.1	5.3	4.5	5.3	1	—	-	1	27	7	14	8	7	—	—	1	5	7
Juni	15.1	21.0	14.8	16.4	10.2	11.30	29.8	20	75	52	77	68	28	6	7.0	6.1	6.5	6.5	1	—	—	1	131	20	7	17	15	—	—	1	4	13
Juli	17.8	25.1	18.1	19.8	10.3	1	32.4	9	75	48	76	66	31	27	4.9	3.9	3.7	4.2	—	—	—	—	109	26	12	12	12	—	—	1	12	6
Aug.	15.1	21.7	15.1	16.7	10.5	31	26.6	26	81	55	83	73	41	18	6.8	4.6	3.6	5.0	3	—	—	3	81	22	23	11	10	—	—	1	5	6
Sept.	11.8	20.8	13.1	14.7	7.2	29	25.7	12	82	51	80	71	39	13	5.1	3.6	2.4	3.7	3	—	—	3	5	4	26	3	2	—	—	—	10	3
Okt.	6.6	12.5	6.8	8.2	0.1	29	17.3	9	89	68	91	83	49	6.9	9.7	6.6	5.6	7.3	13	—	1	14	105	26	27	11	10	2	—	—	—	16
Nov.	0.9	4.2	1.1	1.8	2.5	20	8.3	18	88	78	89	85	56	2	9.9	9.6	8.9	9.5	15	9	9	33	39	11	15	11	10	2	—	—	—	26
Dez.	1.4	4.4	1.8	2.3	-5.8	17	10.9	30	86	72	84	81	51	11	9.5	7.6	8.2	8.4	6	3	2	11	93	24	23	16	14	—	—	—	—	20
Jahr	7.3	13.2	7.8	9.0	-9.4	I	32.4	VII	82	61	82	75	28	VI	7.4	6.1	5.4	6.3	61	19	14	94	815	27	1	129	119	8	—	4	56	144

Rorschach

$\lambda = 9° 30'$, $\beta = 47° 28'$, $H = 445^m$, $h_r = 1.5^m$ — Beobachter, Seminar: J. Bawidamann

Jan.	-0.4	1.8	-0.1	0.3	-7.6	18	10.9	21	—	—	—	—	—	—	8.5	7.5	6.7	7.6	2	1	—	3	87	27	14	13	11	9	—	—	3	17
Feb.	-1.2	2.2	0.5	0.5	-4.0	4	8.8	28	—	—	—	—	—	—	5.6	4.8	8.4	6.3	11	3	5	19	9	9	21	1	1	—	—	—	5	12
März	5.0	9.8	6.8	7.1	1.3	15	15.1	22	—	—	—	—	—	—	8.6	7.0	4.5	6.7	4	—	—	4	55	20	7	10	6	—	—	—	3	12
Apr.	7.8	12.9	9.6	10.0	0.9	21	20.0	5.16	—	—	—	—	—	—	5.1	5.5	3.7	4.8	—	—	—	—	88	23	19	9	9	1	—	—	12	8
Mai	11.2	17.2	12.3	13.2	5.2	3	24.6	21	—	—	—	—	—	—	5.4	5.3	3.8	4.8	—	—	—	—	122	60	1	8	18	—	—	2	7	6
Juni	15.4	19.5	15.7	16.6	9.3	12	25.1	20	78	61	74	71	40	15.19	7.3	6.3	6.4	6.7	—	—	—	-	174	56	7	17	16	—	—	3	3	13
Juli	18.5	23.4	18.9	19.9	11.7	1	29.4	11	80	56	75	70	36	21	5.8	4.5	4.0	4.8	--	—	—	-	65	17	15	11	11	—	—	4	9	7
Aug	16.1	20.7	16.4	17.4	9.9	31	26.7	26	83	57	80	73	41	11	7.4	5.5	5.5	6.1	-	-	—	—	52	16	14	10	18	—	—	2	4	10
Sept	12.0	19.0	13.8	14.6	5.3	30	22.8	14	88	57	82	76	43	1.7	4.2	2.4	2.0	2.9	1	—	—	1	31	17	17	3	3	—	—	—	14	2
Okt.	7.5	11.0	8.8	9.0	1.8	30	15.1	18	92	75	84	84	56	13.25	8.2	5.1	4.4	5.9	7	—	—	7	138	39	28	10	10	—	—		4	9
Nov.	2.2	4.4	3.0	3.1	1.6	24	7.8	17	91	81	88	87	58	17	9.3	9.1	7.9	8.8	5	4	2	11	57	23	15	6	6	—	—	—	—	21
Dez	2.8	5.0	2.8	3.4	-2.5	17	13.8	1	86	74	81	80	29	1	9.1	7.8	6.2	7.7	3	3	1	7	47	7	3	14	11	—	—	—	—	15
Jahr	8.1	12.2	9.0	9.6	-7.6	I	29.4	VII	—	—	—	—	—	—	7.0	5.9	5.3	6.1	33	11	8	52	925	60	V	112	100	10	—	11	64	132

Schwäbrig (ob Gais)

$\lambda = 9° 29'$, $\beta = 47° 23'$, H_b 1156m, $hr = 1.5^m$ — Beobachter: A. Golas

Jan.	2.6	1.5	2.8	-2.4	10.4	17	7.2	22	79	77	81	79	27	18	7.2	6.9	7.1	7.1	4	3	1	8	155	27	14	19	17	19	—	-	3	16
Feb.	0.8	3.6	0.8	1.5	-8.2	3	8.0	28	63	60	69	64	29	16	2.9	3.5	2.2	2.9	3	2	1	6	28	25	21	2	2	2	—		13	2
März	3.8	6.4	3.6	4.3	-2.2	15	12.3	6.21	77	72	82	77	38	3	7.6	7.6	4.9	6.7	6	4	—	10	76	25	7	9	8	7	—		2	13
Apr.	5.3	7.7	5.2	5.8	-4.2	20	17.0	14	75	68	73	72	39	5	5.6	6.3	5.5	5.8	3	3	1	7	126	41	19	11	8	7		-	7	13
Mai	8.9	11.9	8.6	9.5	0.0	3	21.2	21	79	69	79	76	38	21	6.0	7.1	5.1	6.1	6	1	—	7	173	94	1	13	13	4	3	4	2	8
Juni	11.8	14.2	11.5	12.2	3.7	11	21.0	21	82	75	82	80	46	19	7.9	7.3	7.0	7.4	6	3	—	9	236	34	13	22	19		2	5	—	15
Juli	15.7	18.5	15.0	16.1	6.4	1	26.0	10	77	69	78	75	44	8	5.3	6.1	4.4	5.3	5	3		8	126	23	15	12	12	—		3	7	8
Aug.	12.6	16.3	12.4	13.4	6.9	31	23.0	8	85	72	84	80	55	11	6.7	7.0	5.8	6.5	4	—	—	4	68	24	15	14	7	-	-	1	4	11
Sept.	11.3	14.6	11.5	12.2	5.0	30	18.6	13	85	73	79	79	55	10	3.7	4.5	2.2	3.5	5	--	1	6	43	20	17	3	3	—		2	14	3
Okt.	6.4	8.9	6.0	6.8	-3.2	30	15.5	10	76	74	84	78	27	24	4.7	4.8	4.0	4.5	6	7	1	14	132	43	28	9	9	4	-	-	13	8
Nov.	1.4	3.2	1.3	1.8	-3.4	3	12.4	20	74	70	78	74	25	20	5.8	5.8	5.3	5.6	5	4	4	13	71	27	15	7	6	7	-	-	7	11
Dez.	0.5	1.9	0.0	0.6	-5.0	13.14	8.8	31	81	74	78	78	39	31	8.0	7.2	6.8	7.3	8	4	1	13	77	14	8	13	10	11	-	-	2	16
Jahr	6.3	8.8	6.1	6.8	10.4	I	26.0	VII	78	71	79	76	25	XI	5.9	6.2	5.0	5.7	61	34	10	105	1311	94	V	134	111	61	5	15	74	124

Ebnat

$\lambda = 9° 08'$, $\beta = 47° 16'$, $H_b = 649^m$, $h_r = 1.5^m$ — Beobachter: Frl. M. Kuratle

Jan.	3.7	1.2	2.8	2.0	13.0	17	11.2	20	84	69	81	78	30	20	5.5	5.6	5.5	5.5	-	—	1	1	199	44	6	18	15	13	—	—	7	10
Feb	4.1	1.8	0.8	0.2	8.8	13	12.5	28	86	64	77	76	40	20	3.2	3.0	3.4	3.2	—	—	—	—	26	23	21	2	2	—	—	—	14	3
März	2.9	10.3	5.2	5.9	3.2	18	17.5	6	84	70	75	76	48	19	6.0	6.0	5.4	5.8	—	—	—	—	63	16	7	9	9	—	—	—	2	9
Apr.	4.8	12.7	8.0	8.4	-2.0	22	21.5	14	77	50	65	64	32	div	4.7	4.9	5.0	4.9	—	—	—	—	143	35	7	9	7	1	—	—	9	7
Mai	9.5	16.6	11.5	12.3	2.8	3	23.5	21	73	56	70	66	30	26	4.4	5.2	5.0	4.9	—	—	—	—	167	63	1	11	11	—	1	1	4	4
Juni	13.6	19.3	15.1	15.8	7.0	12	25.2	19	77	59	76	71	38	4.6	6.7	6.4	6.2	6.4	—	—	—	—	236	33	13	19	19	-	-	1	4	10
Juli	16.5	23.1	17.2	18.5	10.0	1	30.0	10.11	70	49	76	65	30	3	3.9	4.7	4.0	4.2	—	—	—	—	122	20	28	12	11	—	—	6	8	6
Aug	13.2	20.8	14.7	15.8	5.2	31	26.2	8	79	54	80	71	38	31	5.4	5.6	5.4	5.5	—	—	—	—	89	16	15	12	11	—	—	1	1	6
Sept	8.8	18.6	12.9	13.3	2.5	30	23.5	13	96	61	89	82	40	11	4.6	3.9	2.6	3.7	—		—	—	33	14	17	4	4	—	—	—	9	1
Okt	3.7	12.4	6.0	7.0	2.0	17	13.8	2	96	64	96	85	30	21	4.8	4.2	4.1	4.4	—	—	—	—	98	39	28	10	10	2	-	-	10	7
Nov.	-1.3	4.4	0.3	0.9	-8.5	24	10.0	19	97	73	96	89	50	20 22	6.1	5.8	5.9	5.9	—	—	—	—	69	28	15	7	7	2	—	—	5	10
Dez	0.5	4.0	0.1	0.9	-7.8	15	9.8	30	94	77	93	88	50	17	7.0	6.5	6.2	6.6		—			179	30	4	15	13				4	10
Jahr	5.3	12.3	7.3	8.0	13.0	1	30.0	VII	84	62	81	76	30	div.	5.2	5.1	4.9	5.1			1	1	1424	63	V	128	119	18	1	9	77	83

Wald (Faltigberg)

$\lambda = 8°\,57'$. $\beta = 47°17'$. $H = 908^m$. $h_r = 1.5^m$

Beobachter: Sanatorium

1959	Luft-Temperatur								Relative Feuchtigkeit						Bewölkung				Nebel (Zahl der Termine)				Niederschlag			Zahl der Tage					
	7^{30}	13^{30}	21^{30}	Mittel	Minimum	Tag	Maximum	Tag	7^{30}	13^{30}	21^{30}	Mittel	Minimum	Tag	7^{30}	13^{30}	21^{30}	Mittel	7^{30}	13^{30}	21^{30}	Total	Summe	Maximum	Tag	•	•• ≥1.0	≈	▲	K	helle	trübe
Jan.	-1.0	0.2	-1.0	-0.7	-7.0	11.17	9.6	20	77	73	76	75	36	26	6.7	6.2	4.5	5.8	—	2	—	2	194	30	14	21	18	15	—	—	6	10
Feb.	0.9	4.3	3.0	2.8	-5.4	3	9.4	28	68	66	67	67	40	16	2.4	2.6	1.3	2.1	2	—	1	3	27	27	21	2	1	2	—	—	17	3
März	5.1	8.6	6.3	6.6	0.2	15	14.6	3	78	71	73	74	32	3	6.5	6.7	4.1	5.9	5	3	2	10	95	24	7	13	9	6			3	8
Apr.	6.4	10.6	8.1	8.3	1.0	22	18.4	15	70	61	65	65	38	21	4.4	5.7	1.6	4.9	1	1		2	119	28	19	12	9	7			11	10
Mai	9.8	14.7	11.7	12.0	2.2	1	21.0	21	77	64	68	70	41	10	5.1	7.4	5.2	5.9	—	—	—	—	155	64	8	13	12	1	—	2	3	8
Juni	13.2	17.0	11.1	11.6	6.8	10	22.5	19	82	69	73	75	14	4	7.1	6.8	6.5	6.8	1			1	245	48	13	21	21			4	2	13
Juli	16.3	20.4	17.7	18.0	8.6	1	25.8	10	78	65	70	71	42	22	4.6	4.8	4.2	4.5	2		—	2	137	37	28	13	12	—	1	4	10	8
Aug.	13.8	18.2	15.2	15.6	8.6	31	23.0	9.10	83	70	75	76	47	31	5.1	6.0	5.2	5.4	1	—	—	1	88	20	23	11	9	—		2	6	7
Sept.	12.1	17.0	14.3	14.4	6.0	30	20.6	23	85	72	71	76	49	13	2.4	4.1	0.7	2.4	1		—	1	33	17	17	6	4				17	1
Okt.	7.3	10.6	8.3	8.6	0.4	30	17.1	3	80	78	82	80	42	24	4.4	5.3	3.6	4.4	1	1		2	164	43	28	10	10	1	—	—	12	8
Nov.	2.3	4.6	2.5	3.0	-4.0	25	10.6	30	79	74	81	78	42	30	5.8	6.2	5.6	5.9	3	3	3	9	77	29	15	12	8	10	—	—	7	9
Dez.	1.4	3.1	1.8	2.0	3.8	15	10.0	31	82	77	78	79	39	1	7.3	7.4	6.0	6.9	2	4	1	7	131	20	23	15	13	9			5	15
Jahr	7.3	10.8	8.5	8.8	-7.0	I	25.8	VII	78	70	73	74	32	III	5.2	5.8	4.3	5.1	19	14	7	40	1465	64	V	149	126	54	1	12	99	100

Walenstadtberg

$\lambda = 9°\,17'$, $\beta = 47°\,08'$, $H = ca\ 982^m$, $h_r = 1.2^m$

Beobachter: Sanatorium

Jan.	-1.8	1.4	-1.2	-0.7	-8.0	17	9.8	22	77	69	77	74	38	19	6.6	6.3	5.6	6.2	1	—	2	3	286	38	10	17	17	16	—	—	6	14
Feb.	0.9	5.8	2.4	2.9	-6.7	2	10.3	28	62	54	65	60	37	12	2.0	2.2	1.9	2.0	1	—	—	1	20	14	21	2	2	2	—	—	18	2
März	4.7	8.7	5.7	6.2	0.8	15	14.9	21.24	73	65	73	70	38	2	6.8	6.8	5.4	6.3	3	1	3	7	77	25	7	14	9	7	—	—	6	14
Apr.	6.2	10.9	7.5	8.0	-2.4	21	20.7	14	70	60	65	65	34	15	4.3	5.5	4.1	4.6	—	—	—	—	134	36	19	10	10	5	—		11	8
Mai	9.9	15.0	10.8	11.6	1.8	3	21.4	21	74	61	71	69	41	10.21	4.5	6.8	4.4	5.2	1	—	2	3	120	66	1	8	7	2	—	4	5	8
Juni	12.5	15.8	13.2	13.7	5.2	10	23.7	19	82	75	79	79	48	19	7.6	7.9	7.9	7.8	4	—	2	6	380	44	13	21	19	—	—	7	1	18
Juli	15.8	20.4	16.3	17.2	8.5	1	27.2	10	74	68	74	72	43	27	4.1	5.4	4.6	4.7	1	1	1	3	187	35	6.14	12	11	—		3	9	7
Aug.	13.6	18.1	14.2	15.0	8.5	31	23.7	27	83	69	80	77	48	21	5.7	6.6	6.2	6.2	3	—	1	4	109	34	24	12	10	—	—	2	4	9
Sept.	12.4	17.3	13.5	14.2	7.0	30	21.5	16	80	68	81	76	51	12	3.9	4.5	3.8	4.1	1	—	—	1	50	22	16	6	4	—			11	6
Okt.	7.1	11.6	7.7	8.5	-2.0	31	16.8	10	74	63	80	72	31	17	4.4	4.0	4.4	4.3	1	—	2	3	148	63	28	9	9	4	—	—	13	8
Nov.	2.0	6.1	2.5	3.3	3.7	25	12.7	20	*80	*66	*82	*76	—	—	6.1	5.5	4.6	5.4	1	2	2	8	91	53	15	6	6	6	—		7	7
Dez.	1.2	3.6	1.6	2.0	-3.5	15	8.6	1	76	68	73	72	37	17	7.0	7.0	7.1	7.0	3	2	4	9	139	36	28	14	14	12		—	3	16
Jahr	7.0	11.2	7.9	8.5	-8.0	I	27.2	VII	75	66	75	72	—	—	5.2	5.7	5.0	5.3	23	6	19	48	1741	66	V	131	118	54	—	16	94	117

Vättis

$\lambda = 9°\,27'$. $\beta = 46°\,55'$. $H_b = 956^m$. $h_r = 1.5^m$

Beobachter: A. Jäger

Jan.	-3.7	0.1	-3.6	-2.7	-12.9	17	8.9	22	82	69	82	78	37	2	6.5	6.0	6.1	6.2	—	—	—	—	76	14	10	15	13	14	—	—	5	12
Feb.	2.7	5.4	1.2	0.1	9.8	2	10.0	28	78	52	77	69	38	27.28	2.0	1.7	1.8	1.8	1	2	1	4	17	11	21	2	2	1			17	2
März	4.0	10.0	4.5	5.7	-2.8	15	16.8	24	73	52	73	66	33	24	6.8	6.5	5.3	6.2	—	—	—	—	28	11	7	8	5	3	—	—	5	10
Apr.	4.1	11.6	5.4	6.6	-4.7	22	21.2	14	74	50	70	65	27	4.14	4.2	5.6	4.0	4.6	—	—	—	—	50	10	18	9	8	5	—	—	11	9
Mai	8.7	15.0	8.0	9.9	0.2	3	22.9	8	76	53	78	69	32	5	5.1	7.4	4.1	5.5	—	—	—	—	61	36	1	6	6	1	—	1	3	7
Juni	12.9	16.4	11.1	12.9	4.1	11	24.2	19	77	62	85	75	37	19	7.3	8.1	7.4	7.6	—	—	—	—	116	15	29	21	16	—	—	4	1	16
Juli	14.8	20.7	13.5	15.6	8.8	1	26.8	10	78	55	84	72	35	3	4.6	5.3	4.6	4.8	—	—	—	—	92	16	28	16	12	—	—	2	8	8
Aug	12.0	18.4	12.6	13.9	3.6	31	27.4	8	83	58	84	75	31	8	5.4	6.5	5.9	5.9	—	—	—	—	60	16	15	13	9	—	—	1	4	9
Sept.	8.7	17.7	10.3	11.8	3.6	30	22.2	13	85	54	85	75	34	12	4.1	4.1	2.7	3.6	—	—	—	—	25	9	16	6	5	—	—	—	14	2
Okt.	1.1	12.0	5.1	6.6	3.0	31	17.3	19	81	53	82	72	24	17	4.2	1.1	3.5	4.0	-			—	60	27	28	10	8	4	—		15	8
Nov.	0.9	5.5	1.5	2.4	-5.5	24	11.5	26	75	60	74	69	29	24	5.3	5.5	4.2	5.0	1	—	—	1	48	17	14	8	5	7	—	—	11	9
Dez.	0.1	2.7	0.0	0.7	-7.8	6	8.7	1	76	70	75	74	35	23	7.2	6.4	5.6	6.4	—	—	1	1	78	23	28	13	12	12	—	—	5	11
Jahr	5.3	11.3	5.6	7.0	-12.9	I	27.4	VIII	78	57	79	71	24	X	5.2	5.6	4.6	5.1	2	2	2	6	711	36	V	127	101	47	—	8	99	103

Zentralschweiz

Walchwil

$\lambda = 8°\,31'$. $\beta = 47°\,06'$, $H = 449^m$, $h_r = 1.5^m$

Beobachter: M. Rossi

Jan.	-0.5	1.5	-0.3	0.1	-5.9	17	7.1	21	82	73	80	78	34	11	8.8	7.7	6.7	7.7	4	4	2	10	107	21	6	17	14	7	—	—	2	19
Feb.	-0.9	2.7	0.7	0.8	-3.9	5	8.1	21.28	86	73	80	80	43	2	8.5	6.2	4.6	6.4	11	6	1	18	12	12	21	2	1	—	—	—	1	11
März	4.7	8.9	6.8	6.8	0.2	18	15.8	6	89	65	73	76	40	21	8.3	7.1	4.6	6.7	10	2	1	13	97	30	12	13	10	—	—	—	4	11
Apr.	6.8	13.5	9.7	9.9	-0.3	22	20.9	15	77	54	61	64	19	14	5.1	5.8	4.2	5.0	1	—	—	1	126	56	18	12	9	—	—	—	10	11
Mai	11.1	18.7	13.7	14.3	5.7	1.3	25.2	10	78	46	59	61	22	9	5.9	6.1	5.6	5.9	1	—	—	1	66	22	1	11	9	—	—	—	2	8
Juni	15.0	20.6	16.0	16.9	9.4	11.12	27.2	18.20	80	55	68	68	30	4	7.8	6.5	7.1	7.1	—	—	—	—	251	61	7	22	19	—	1	5	2	12
Juli	18.2	24.4	19.0	20.2	12.3	1	30.9	11	74	50	63	62	32	21	4.8	4.0	4.9	4.6	—	—	—	—	144	41	11	11	10	—	1	4	8	7
Aug	15.4	22.0	16.5	17.6	8.9	31	28.2	8	83	55	72	70	29	31	7.8	6.6	5.0	6.5	3	—	—	3	149	42	14	11	11	—	—	6	—	9
Sept	13.1	20.3	15.0	15.9	7.9	30	25.2	13	84	56	74	71	32	7	7.2	5.1	2.8	5.0	5	—	—	5	32	15	26	4	4	—	—	—	5	4
Okt.	8.1	12.7	9.0	9.7	0.7	29	18.9	2.25	84	66	82	77	36	25	8.0	7.3	4.3	6.5	3	—	1	4	143	41	28	10	10	2	—	—	3	10
Nov.	2.2	4.3	2.9	3.1	-0.3	24	10.4	1	88	79	84	84	55	2	9.3	9.0	8.0	8.8	7	6	2	15	52	16	14	9	7	—	—	—	1	23
Dez.	2.7	5.0	2.8	3.3	-2.1	16	14.5	26	88	75	85	83	34	10	8.9	7.6	6.9	7.8	2	2	1	5	84	26	23	15	12	—	—	—	—	17
Jahr	8.0	12.8	9.3	9.9	-5.9	I	30.9	VII	83	62	73	73	19	IV	7.5	6.6	5.4	6.5	47	20	8	75	1263	61	VI	137	116	9	2	15	38	142

Walchwil (Nachtrag 1958): Beobachterwechsel am 1. Juli.

Weggis

$\lambda = 8°27'$, $\beta = 47°02'$, $H = 440$ m, $h_r = 15.$m — Beobachter: Geschwister Zimmermann

1969	Luft-Temperatur								Relative Feuchtigkeit						Bewölkung				Nebel Zahl der Termine				Niederschlag		Zahl der Tage						
	7^{30}	13^{30}	21^{30}	Mittel	Minimum	Tag	Maximum	Tag	7^{30}	13^{30}	21^{30}	Mittel	Minimum	Tag	7^{30}	13^{30}	21^{30}	Mittel	7^{30}	13^{30}	21^{30}	Total	Summe	Maximum Tag	●	●* >1.0	*	▲	K	heiter	trüb
Jan.	0.1	2.4	0.5	0.9	−4.3	26	11.8	22	83	78	82	81	50	15	8.3	7.1	6.8	7.4	—	—	—	—	76	14	23	18	15	11	—	-	3	19
Feb.	0.3	3.5	1.5	1.7	−2.8	4.5	8.4	21	88	77	82	82	50	1	6.7	5.7	3.8	5.4	—	—	—	—	9	8	21	2	1	—	—	—	7	9
März	5.3	9.2	6.5	6.9	1.0	2.18	13.1	23	89	72	83	81	48	1	6.8	5.4	4.2	5.5	–	—	—	—	91	26	12	13	10	—	-	—	5	8
Apr.	6.7	12.6	9.2	9.4	0.0	22	20.4	15	85	59	68	71	31	16	3.8	3.9	3.6	3.8	—	—	—	—	130	60	18	12	9	—	—	—	14	6
Mai	11.9	17.6	12.6	13.7	6.3	3	23.4	18	77	58	75	70	31	9	4.6	4.2	4.5	4.4	—	—	—	—	96	31	1	10	9	—	1	2	11	6
Juni	14.9	19.3	15.2	16.2	8.4	10	26.8	7	83	64	82	76	45	6	5.6	4.9	6.9	5.8	—	—	—	—	222	36	7	18	17	—	—	5	3	10
Juli	17.3	23.2	18.1	19.2	11.3	1	28.6	10	85	63	78	75	40	4	4.4	3.1	4.2	3.9	—	—	—	—	169	55	14	13	13	—	—	5	14	6
Aug.	15.3	20.3	16.2	17.0	11.2	31	24.4	8.26	87	66	82	78	44	5	6.6	4.8	4.5	5.3	—	—	—	—	150	64	11	13	8	—	—	1	3	6
Sept.	13.9	18.2	15.1	15.6	9.7	30	21.8	15	86	68	84	79	60	$^{7}_{29}$ 15	6.2	3.9	1.7	3.9	–	—	—	—	28	11	26	4	4	—	-	—	10	3
Okt.	8.6	12.2	9.4	9.9	1.0	29	17.0	25	90	75	87	84	45	25	7.6	4.7	5.0	5.8	—	—	—	—	147	37	28	12	10	2	—	—	6	11
Nov.	3.3	5.2	3.5	3.9	0.4	24.25	10.3	1	89	80	88	86	69	9	8.6	8.1	7.7	8.1	1	—	1	2	49	17	14	7	6	—	—	—	1	21
Dez.	2.8	4.9	3.2	3.5	−1.8	15	11.4	30	87	79	83	83	51	27	7.7	6.5	5.7	6.6	—	—	—	—	81	31	23	14	12	—	-	—	5	13
Jahr	8.4	12.4	9.2	9.8	−4.3	I	28.6	VII	86	70	81	79	31	IV/V	6.4	5.2	4.9	5.5	1	—	1	2	1248	64	VIII	136	114	13	1	13	82	118

Rigi-Kaltbad

$\lambda = 8°28'$, $\beta = 47°03'$, H ca 1490 m, $h_r = 2.0$ m — Beobachter: Gratalpklause der Kapuziner

Jan.	−3.3	0.1	−2.9	−2.2	−12.0	17	11.0	30	71	64	71	69	20	18.27	6.4	6.4	6.6	6.5	4	5	4	13	132	18	24	17	17	17	-	—	8	17
Feb.	−0.2	5.6	1.1	2.0	−10.6	2	11.2	27	56	46	57	53	25	26	2.1	2.5	2.4	2.3	2	1	3	6	15	15	21	1	1	1	—	—	20	4
März	1.7	6.0	2.6	3.2	−4.8	15	13.0	24	75	65	75	72	28	15	7.0	7.0	5.9	6.6	4	4	2	10	151	52	12	12	12	10	-	-	4	11
Apr.	3.0	6.2	3.8	4.0	−6.0	21.22	17.2	14	68	61	65	65	28	3	4.5	6.2	5.0	5.2	2	2	4	8	199	74	18	10	10	8	-	—	8	11
Mai	6.8	11.0	7.7	8.1	−1.0	2.3	18.1	11	77	66	75	73	37	9	5.6	6.6	6.1	6.1	6	3	3	12	139	56	1	11	10	5	—	3	3	10
Juni	9.6	12.2	9.9	10.0	1.9	10	19.8	20	83	72	80	78	46	5	6.7	7.8	8.4	7.6	5	1	1	7	288	53	7	20	20	—	1	4	1	17
Juli	12.9	16.7	13.3	13.8	4.0	1	21.9	11	79	72	74	75	45	27	4.3	5.7	5.3	5.1	—	—	—	—	223	67	14	12	11	—	—	2	9	9
Aug	10.8	14.1	10.8	11.5	5.1	31	21.1	10	85	77	78	80	20	23	5.5	8.5	5.4	6.5	3	2	—	5	186	65	11	13	11	—	—	3	3	11
Sept	10.6	14.6	10.5	11.6	6.2	29	20.0	12.21	82	71	82	78	50	12.30	2.8	4.4	2.1	3.1	1	2	1	4	30	11	26	5	4	—	—	-	13	1
Okt.	5.2	8.4	5.6	6.2	−4.0	30	15.4	2	73	68	74	72	21	15	4.1	5.4	4.4	4.6	—	1	3	4	179	?		10	10	5	–	-	14	10
Nov.	0.4	3.3	0.3	1.1	−4.4	9	12.0	20	67	59	66	64	22	20	5.2	6.0	4.4	5.2	3	3	4	10	81	25	14.15	7	7	7	–	–	9	8
Dez.	−0.8	1.7	−0.4	0.1	−7.0	14	11.2	31	77	67	69	71	26	31	7.5	6.2	6.4	6.7	8	3	1	12	112	30	23	15	13	15	–	—	6	15
Jahr	4.7	8.3	5.2	5.8	−12.0	I	21.9	VII	74	66	72	71	20	VIII	5.1	6.0	5.2	5.4	38	27	26	91	1735	74	IV	133	126	68	1	12	98	124

Die Abendbeobachtung erfolgt um 20.30 h

Lungern

$\lambda = 8°10'$, $\beta = 46°47'$, H ca 735 m, $h_r = 1.5$m — Beobachter: O. Imfeld

Jan.	−1.3	1.1	−1.2	−0.7	−11.4	18	12.6	22	81	71	82	78	35	20	6.8	5.7	7.2	6.6	2	1	2	5	148	31	6	19	17	16	—	—	5	14
Feb.	−1.2	3.6	1.0	1.1	−6.4	13.15	11.0	28	79	65	74	73	35	28	4.1	2.5	3.6	3.4	3	—	1	4	12	7	21	3	2	2	-	—	13	6
März	4.7	8.8	5.7	6.2	0.2	18	14.8	3	80	65	80	75	28	3	6.8	6.7	6.8	6.8	—	—	1	1	92	15	25	13	10	2			3	14
Apr.	6.0	11.4	7.9	8.3	−1.6	22	18.8	14	77	59	69	68	32	14	5.1	5.5	4.6	5.1	—	—	—	—	70	13	19	12	11	2		—	13	11
Mai	11.3	15.4	11.7	12.5	4.2	3	22.2	9	75	60	72	69	32	9	5.1	6.1	5.7	5.6	—	—	—	—	61	15	14	11	7	—	—	—	5	9
Juni	14.4	17.6	13.8	14.9	6.2	12	23.6	18	81	67	82	77	38	18	6.0	7.4	7.4	6.9	—	—	—	—	153	17	29	21	19	—	—	3	1	13
Juli	17.3	21.3	17.1	18.2	9.8	1	27.0	10	77	65	77	73	50	$^{4}_{27}$ 28	3.5	4.2	4.9	4.2	-	—	—	—	169	49	14	13	13	—	1	3	11	6
Aug.	14.4	18.0	14.6	15.4	8.8	31	23.0	8	84	69	84	79	51	10	5.6	6.4	5.7	5.9	—	—	—	—	85	34	14	13	9	—	—	—	5	9
Sept	12.4	17.0	13.9	14.3	7.4	30	21.8	13	87	71	85	81	50	13	5.9	5.7	4.7	5.4	1	-		1	67	32	16	4	4	—		—	7	7
Okt.	6.2	10.7	7.4	7.9	0.4	28.31	16.4	2	87	70	86	81	43	24.25	4.7	5.0	4.1	4.6	2	—	—	2	129	63	28	10	10	3	—	—	12	9
Nov.	0.9	4.3	1.6	2.1	−4.4	24	13.4	30	87	74	88	83	28	30	6.1	6.3	6.2	6.2	3	2	4	9	47	17	14	8	8	5	–	—	6	13
Dez.	1.4	4.0	1.9	2.3	−5.6	15	12.4	1	80	70	79	76	28	1	8.1	6.8	7.1	7.3	2	1	1	4	124	36	28	14	11	6	—	—	4	18
Jahr	7.2	11.1	7.9	8.5	−11.4	I	27.0	VII	81	67	80	76	28	div.	5.6	5.7	5.7	5.7	13	4	9	26	1157	63	X	141	121	36	1	6	85	129

Gurtnellen

$\lambda = 8°37'$, $\beta = 46°44'$, $H = 739$ m, $h_r = 1.5$ m — Beobachter: Stationspersonal

Jan.	0.8	0.7	0.6	0.3	−7.5	17	10.5	22	77	76	78	77	37	19	6.0	6.4	5.5	6.0		—	2	2	74	11	10	16	13	14	-	4	12
Feb.	0.1	3.9	1.5	1.7	1.3	14	12.1	5	74	61	74	71	38	4	3.0	2.0	1.8	2.3	1	—	1	2	15	11	21	2	2	2	–		16	2
März	6.3	10.3	7.4	7.8	0.7	15	15.0	5	69	56	69	65	33	2	7.2	6.5	5.1	6.3	1	2	—	3	57	14	7	9	8	2		-	3	9
Apr.	6.7	12.2	8.4	8.9	0.3	22	20.4	14	71	52	69	64	30	14	5.2	5.1	5.3	5.2		-	—	—	86	21	18	11	10	2	—	—	10	10
Mai	10.4	16.7	12.2	12.9	1.6	1	22.5	11	75	54	72	67	30	6	4.7	6.6	5.7	5.7	1	1	1	3	43	19	14	6	6	—	—	—	3	7
Juni	12.8	18.4	14.1	14.8	7.1	11	25.1	19	83	61	80	75	39	19	7.4	7.8	6.7	7.3			—	—	93	22	26	19	15	-		1	1	13
Juli	15.6	22.4	16.8	17.9	9.9	1	29.2	10	79	56	71	70	35	26.27	4.1	5.3	5.5	5.1	-	-		—	78	30	14	11	9	-	1	1	7	8
Aug	13.5	19.3	15.3	15.8	8.9	31	27.1	8	84	63	81	76	35	8	6.1	7.1	5.6	6.3		—		—	79	23	14	10	8	-		-	1	8
Sept.	11.7	18.0	13.5	14.2	8.5	1	22.5	11	87	65	85	79	39	2	5.1	5.3	3.2	4.5	—	—	—	—	28	12	16	6	5	—	—	—	7	7
Okt.	7.0	11.7	8.0	8.7	0.0	31	17.8	18	79	67	79	75	21	17	4.4	4.8	4.3	4.5	—	—	—	—	105	48	28	9	8	4	—	—	11	9
Nov.	2.6	5.7	2.6	3.4	2.8	24	15.3	20	80	68	81	77	19	20	6.1	5.5	4.4	5.3	3	2	—	5	107	46	14	8	7	6			7	9
Dez.	2.1	3.7	2.8	2.8	−4.2	15	9.9	1	81	77	75	78	34	25	7.9	7.2	6.1	7.1	3	1	—	5	95	28	28	12	12	10	—	—	5	16
Jahr	7.3	11.9	8.5	9.0	−7.5	I	29.2	VII	78	63	76	73	19	XI	5.6	5.8	4.9	5.5	9	6	5	20	860	48	X	119	103	40	1	2	75	110

Andermatt

$\lambda = 8° 36', \beta = 46° 38', H = 1442^m, h_r = 1.8^m$

Beobachter: P. A. Jenny, P. R. Husser

1959	Luft-Temperatur 7³⁰	13³⁰	21³⁰	Mittel	Minimum	Tag	Maximum	Tag	Relative Feuchtigkeit 7³⁰	13³⁰	21³⁰	Mittel	Minimum	Tag	Bewölkung 7³⁰	13³⁰	21³⁰	Mittel	Nebel Zahl der Termine 7³⁰	13³⁰	21³⁰	Total	Niederschlag Summe	Maximum	Tag	Zahl der Tage ☔	●* ≥1.0	↔	▲	⛆	heiter	trüb
Jan.	6.8	3.5	6.7	-5.8	-18.6	17	4.0	22	—	—	—	—	—	—	6.6	6.3	6.0	6.3	—	—	—	—	111	15	6	18	16	18	—	—	16	15
Febr	7.1	0.6	-3.7	-3.6	-11.8	12	8.4	28	—	—	—	—	—	—	3.2	2.6	2.3	2.7	—	—	—	—	19	15	21	2	2	2	—	—	18	6
März	0.1	4.7	1.6	1.9	-10.2	15	10.9	23	—	—	—	—	—	—	7.5	6.9	7.6	7.3	1	—	—	1	96	17	12	9	9	7	—	—	3	17
Apr	0.9	7.3	2.6	3.3	-5.6	10	13.7	14	—	—	—	—	—	—	4.7	5.5	6.4	5.5	—	—	—	—	131	28	29	12	11	9	—	—	8	12
Mai	5.7	11.5	6.6	7.5	-1.4	4	17.2	20	—	—	—	—	—	—	5.2	6.8	6.7	6.2	2	—	—	2	44	15	14	8	7	3	—	—	—	7
Juni	8.6	13.0	9.9	10.0	0.2	10	19.4	19	—	—	—	—	—	—	6.8	8.1	9.3	8.1	—	—	1	1	90	17	29	19	16	—	—	2	—	17
Juli	11.1	17.0	12.6	13.1	5.0	1	23.1	28	—	—	—	—	—	—	4.0	5.7	5.8	5.2	3	3	1	7	87	23	14	13	11	—	1	6	8	9
Aug	8.4	14.4	10.8	10.8	2.1	31	20.0	8	—	—	—	—	—	—	6.0	7.0	6.7	6.6	—	1	—	1	72	16	14	12	10	—	—	—	4	12
Sept	6.9	14.3	9.4	9.9	1.9	7	18.8	15	—	—	—	—	—	—	3.9	4.9	3.5	4.1	1	1	—	2	30	10	17	6	6	—	—	—	10	6
Okt.	0.7	9.0	3.1	4.1	-7.0	30	15.8	2	—	—	—	—	—	—	4.5	4.2	4.9	4.5	2	—	2	4	112	32	28	8	8	5	—	—	13	9
Nov.	2.7	1.2	-2.2	-1.4	-12.0	2/3/4	7.8	20	—	—	—	—	—	—	7.5	5.8	6.5	6.6	2	—	2	4	101	29	14	12	10	11	—	—	7	15
Dez.	-3.0	-1.0	-2.9	-2.2	-13.0	16	7.0	2	—	—	—	—	—	—	6.9	6.5	6.9	6.8	1	1	1	3	118	37	28	14	13	15	—	—	5	17
Jahr	1.9	7.4	3.4	4.0	-18.6	I	23.1	VII	—	—	—	—	—	—	5.6	5.9	6.0	5.8	12	6	7	25	1011	37	XII	133	119	70	1	8	92	142

Die Abendbeobachtung erfolgt um 20.30 h

Andermatt: Beobachterwechsel im August.

Jura

La Brévine (Les Taillères)

$\lambda = 6° 36', \beta = 46° 59', H = 1043^m, h_r = 1.5^m$

Beobachter: Frau A. Favre

Jan.	5.5	0.1	-4.8	3.8	-20.9	25	10.3	20	88	65	86	80	26	20	8.4	6.6	5.5	6.8	4	—	—	4	131	29	14	17	15	15	—	—	4	14
Febr	-7.6	3.7	-5.1	-3.5	-15.7	15	10.0	28	91	66	90	82	40	20.28	2.5	1.6	1.4	1.8	—	—	—	—	3	2	22	1	1	1	—	—	19	3
März	0.9	8.1	1.2	2.8	-6.3	1	12.3	21.23	89	61	92	81	34	3	6.8	5.6	4.5	5.6	2	—	—	2	154	15	6	15	14	8	—	—	6	11
Apr.	3.3	9.8	1.3	3.9	6.2	23	18.1	14	84	52	92	76	27	2.16	6.0	5.2	4.7	5.3	—	—	—	—	135	19	29	15	15	11	—	1	11	11
Mai	6.6	13.3	5.0	7.5	-2.1	4	18.4	20	85	53	91	76	36	6	5.2	5.3	4.3	4.9	—	—	—	—	42	14	30	11	10	—	1	1	6	6
Juni	9.9	15.9	8.7	10.8	4.7	7	22.1	17	85	55	88	76	30	18	5.6	5.7	3.5	4.9	—	—	—	—	208	30	5	18	15	—	—	8	6	2
Juli	13.0	20.8	11.3	14.1	6.0	1	27.0	11	82	45	89	72	27	27	4.3	4.9	3.6	4.3	1	—	—	1	39	14	28	7	6	—	1	3	12	6
Aug.	11.5	17.6	9.4	12.0	4.0	31	23.3	26	89	67	93	83	50	7	6.4	6.0	3.3	5.2	2	—	—	2	97	17	14	11	11	—	—	6	3	4
Sept.	6.3	17.7	7.1	9.5	0.0	19	23.1	12	92	60	92	81	43	10.12	3.7	4.2	1.5	3.1	—	—	—	—	77	26	26	6	6	—	—	4	10	1
Okt.	1.1	10.7	1.1	3.5	-6.1	30	19.2	15	96	63	96	85	30	23	6.4	4.7	3.2	4.8	2	—	—	2	81	23	19	9	9	4	—	—	4	6
Nov.	-2.8	3.4	-3.1	-1.4	-13.3	24	9.4	26	93	82	94	90	66	26	7.7	7.5	7.3	7.5	—	—	—	—	91	31	17	13	11	9	—	—	5	21
Dez.	-3.1	1.1	-3.5	-2.2	-18.2	14	4.5	20	93	82	92	89	49	10	8.4	7.5	5.8	7.2	—	—	—	—	101	32	23	16	15	11	—	—	3	15
Jahr	2.8	10.2	2.4	4.4	-20.9	I	27.0	VII	89	62	91	81	26	I	6.0	5.4	4.0	5.1	11	—	—	11	1159	45	III	139	128	59	2	23	89	100

Cernier

$\lambda = 6° 54', \beta = 47° 04', H = 790^m, h_r = 1.5^m$

Beobachter: Ecole d'Agriculture

Jan.	2.8	0.0	-2.1	1.8	10.5	18	8.2	22	80	70	74	75	38	26	7.1	7.0	6.7	6.9	—	—	1	1	158	26	6	18	18	16	—	—	6	18
Febr	1.6	4.6	1.0	1.3	-8.0	15	11.0	27.28	78	63	72	71	37	17	3.6	3.1	2.0	2.9	—	—	1	1	5	4	22	2	2	—	—	—	17	4
März	3.6	8.4	5.4	5.7	0.0	16	15.0	24	82	63	76	74	42	3	6.2	6.7	6.3	6.4	1	—	—	1	80	18	12	14	13	1	—	—	4	12
Apr.	5.8	10.9	7.1	7.7	0.6	21	19.3	14	73	56	66	65	31	23	5.8	5.6	4.7	5.4	1	—	—	1	151	28	30	14	14	4	—	—	11	12
Mai	10.2	15.8	11.3	12.1	1.6	1	22.1	11	73	54	68	65	38	26	4.8	6.2	4.1	5.0	—	—	—	—	46	12	30	10	9	1	1	2	4	5
Juni	13.6	18.1	13.5	14.7	6.3	11	25.1	6	72	56	73	67	41	3.4	4.7	6.2	5.8	5.6	—	—	—	—	148	47	26	17	15	—	—	2	5	6
Juli	16.7	22.3	16.9	18.2	10.0	1	27.8	10	70	49	64	61	33	25.26	3.3	4.6	3.5	3.8	—	—	—	—	74	34	12	8	6	—	1	4	12	5
Aug.	14.3	19.7	15.1	16.1	10.8	17	25.6	27	74	54	69	66	42	13	3.8	6.2	3.1	4.4	—	—	—	—	72	33	22	9	9	—	—	2	8	6
Sept	11.7	18.9	13.8	14.6	6.5	30	22.5	12	82	58	73	71	39	12	3.5	3.8	1.5	2.9	—	—	—	—	30	26	17	4	4	—	—	—	14	2
Okt.	5.3	11.4	7.1	7.7	-1.0	30	17.5	2	91	70	85	82	40	17	5.1	4.8	4.2	4.7	1	—	1	2	108	26	19	12	11	4	—	—	10	9
Nov.	0.1	3.7	1.1	1.5	-6.2	24	8.8	20	94	84	89	89	61	20	8.2	7.8	7.2	7.7	4	1	3	11	59	17	14	14	12	7	—	—	4	21
Dez.	0.1	2.2	0.7	1.0	-6.8	16	7.8	27	92	83	89	88	65	27	9.0	8.4	8.0	8.5	3	3	—	6	178	30	28	13	13	5	—	—	2	23
Jahr	6.4	11.3	7.6	8.2	-10.5	I	27.8	VII	80	63	75	73	31	IV	5.4	5.9	4.8	5.4	10	7	6	23	1109	47	VI	135	126	38	2	10	97	123

Mont Soleil (s. St. Imier)

$\lambda = 7° 00', \beta = 47° 10', H_b = \text{ca } 1180^m, h_r = 1.5^m$

Beobachter: H. Sutter

Jan.	3.1	0.4	2.1	1.9	9.4	17	8.1	30	83	76	81	80	37	27	6.7	7.1	6.1	6.6	—	1	—	1	171	20	6	17	16	16	—	—	6	14
Febr	0.1	5.2	1.0	1.8	8.0	3	10.1	28	72	61	71	68	26	16	3.2	2.8	2.5	2.8	2	1	2	5	14	10	21	3	3	3	—	—	17	4
März	2.9	6.8	3.4	4.1	3.0	16	14.1	24	86	74	82	81	46	2	7.3	7.3	7.0	7.2	3	3	2	8	129	35	6	17	17	7	—	—	2	13
Apr.	4.1	8.9	4.9	5.7	3.6	21	19.2	14	79	67	75	74	39	3	5.7	6.1	5.6	5.8	3	3	4	10	164	42	30	16	13	11	—	—	11	14
Mai	8.3	12.6	8.6	9.5	1.0	3	20.4	21	79	65	78	74	41	9	5.1	6.3	5.4	5.6	6	—	—	6	72	16	30	10	10	—	—	3	5	
Juni	11.2	14.9	11.4	12.2	3.8	12	20.7	20	84	73	84	80	50	17	6.1	6.6	6.0	6.3	2	1	2	5	214	36	25	21	18	—	—	2	8	
Juli	14.8	19.8	15.3	16.3	7.0	1	26.6	10	80	62	78	73	41	23	3.7	5.1	3.5	4.1	1	—	1	2	10	16	28	8	5	—	—	1	12	6
Aug.	12.0	16.6	12.5	13.4	6.7	31	22.9	26	89	70	87	82	51	8	4.8	6.5	3.5	4.9	3	1	—	4	97	34	22	10	10	—	—	1	5	6
Sept.	11.5	16.6	12.0	13.0	6.0	29	22.1	11	85	66	82	78	44	12	3.1	3.9	2.1	3.0	3	1	1	5	14	9	26	3	3	—	—	—	11	2
Okt.	5.8	10.3	6.2	7.1	-2.0	30	15.9	1	86	71	84	80	28	24	5.0	5.6	4.1	4.9	4	1	2	7	116	25	19	11	10	5	—	—	13	9
Nov.	0.7	3.8	1.0	1.6	2.8	9	11.0	20	84	76	85	82	33	25	6.7	6.7	5.9	6.4	4	2	2	8	49	12	14	13	12	8	—	—	7	15
Dez.	0.4	1.6	0.2	0.4	8.3	14	8.5	31	90	84	87	87	41	31	7.4	7.0	6.9	7.1	2	2	3	7	165	33	28	18	18	13	—	—	4	14
Jahr	5.6	9.7	6.2	6.9	9.4	I	26.6	VII	83	70	81	78	26	II	5.4	5.9	4.9	5.4	33	16	19	68	1245	42	IV	117	135	63	—	2	93	110

Delémont

$\lambda = 7°35'$, $\beta = 47°33'$, $H = 417^m$, $h_r = 1.5^m$ — Beobachter: **A. Renfer**

1959	Luft-Temperatur								Relative Feuchtigkeit						Bewölkung				Nebel Zahl der Termine				Niederschlag			Zahl der Tage					
	7^{30}	13^{30}	21^{30}	Mittel	Minimum	Tag	Maximum	Tag	7^{30}	13^{30}	21^{30}	Mittel	Minimum	Tag	7^{30}	13^{30}	21^{30}	Mittel	7^{30}	13^{30}	21^{30}	Total	Summe	Maximum	Tag	☾	☾ ≧1.0	✳	▲	⛈	helle	trübe
Jan.	0.8	3.6	0.3	0.6	9.6	17	14.5	22	87	67	85	80	30	20	8.2	6.9	5.9	7.0	3	—	—	3	93	13	14	18	17	10	–	–	4	17
Feb.	3.2	6.9	0.2	0.8	7.0	19.20	13.0	27	94	60	87	80	42	16.19 28	6.5	3.0	2.5	4.0	9	1	—	10	3	2	21	1	1	—	–	–	10	6
März	3.7	11.5	5.4	6.5	-4.0	2	18.2	21	93	62	91	82	41	2	8.7	8.2	7.1	8.0	8	—	1	9	78	19	6	15	9	1	–		1	18
Apr.	5.1	14.5	8.0	8.9	-2.8	23	25.0	14	88	51	77	72	29	5	5.6	5.8	5.4	5.6	1	—	—	1	97	31	30	13	11	—	–	–	11	13
Mai	9.8	18.0	12.2	13.1	3.4	3	25.0	11	85	52	76	71	35	9.25 26	8.0	6.5	6.3	6.9	6	—	—	6	67	15	18	10	9	—	1	5	1	12
Juni	13.6	20.8	15.3	16.2	5.0	1	27.2	5	84	59	82	75	39	19	7.3	7.5	6.7	7.2	4	—	—	4	168	33	18	17	15	—	1	6	3	16
Juli	16.4	25.8	17.2	19.2	11.2	17	32.0	10	80	49	81	70	29	23	3.9	4.4	3.5	3.9	1	—	—	1	38	19	12	6	4	—	–	2	10	5
Aug	13.5	22.2	15.9	16.9	10.0	29.30	27.6	8	94	57	87	79	45	21	7.9	6.9	4.5	6.4	7	—	—	7	97	44	22	10	6	–	–	3	3	10
Sept.	9.4	21.7	11.9	13.7	1.0	30	27.8	23	95	54	88	79	30	11	7.3	4.3	1.7	4.4	18	—	—	18	26	14	16	6	4	–	–	2	6	5
Okt.	4.5	15.0	6.4	8.1	1.5	17.25	22.0	2	97	62	93	84	39	16	9.7	5.3	4.4	6.5	19	—	—	19	96	19	19	10	9	–	–	–	–	11
Nov.	0.7	5.9	1.8	2.5	-6.2	26	13.6	19	95	75	95	88	50	19.20	9.1	7.1	7.3	7.8	10	2	5	17	28	8	14	11	7	2	–	–	2	18
Dez.	1.7	4.9	2.2	2.8	-8.8	15	12.7	26	91	79	88	86	50	27	8.8	8.0	7.9	8.2	5	2	3	10	68	16	28	3	18	–	–	–	6	25
Jahr	6.2	14.2	8.0	9.1	9.6	I	32.0	VII	90	61	86	79	29	IV VII	7.6	6.2	5.3	6.3	91	5	9	105	859	44	VIII	120	110	13	2	18	57	156

Allerheiligenberg

λ $7°49'$, $\beta = 47°21'$, H ca 890^m, h_r 1.5^m — Beobachter: **Sanatorium**

Jan.	-1.6	0.4	-1.0	-0.8	-8.2	17	8.0	22	84	77	81	81	43	20	5.7	6.9	6.2	6.3	—	—	1	1	124	15	6	17	17	14	—	–	6	11
Feb.	0.2	4.4	1.8	2.0	-7.2	4	10.9	27	78	70	72	73	43	15.16	3.7	4.1	3.6	3.8	5	3	1	9	13	13	21	1	1	1	–	–	14	8
März	4.8	8.2	5.9	6.2	-1.0	15	13.0	6	89	73	80	81	46	3	8.1	8.1	6.7	7.6	4	1	—	5	113	24	6	15	14	3	–	–	3	17
Apr.	6.8	10.8	7.9	8.1	0.2	21	18.3	14	76	63	69	69	33	25	5.3	5.9	5.1	5.4	2	—	1	3	97	28	30	12	12	—	–	–	10	14
Mai	10.7	15.1	11.3	12.1	2.8	1	22.1	11	79	60	70	70	33	26	5.8	6.6	5.2	5.9	3	—	—	3	50	11	1	11	10	—	–	1	4	11
Juni	14.2	17.0	14.3	14.9	7.2	12	23.0	20	80	66	76	74	40	11	6.7	6.8	6.8	6.8	1	—	—	1	108	19	28	13	12	—	–	3	5	14
Juli	17.3	21.4	17.8	18.6	9.0	1	27.0	11	74	61	73	69	37	27	4.6	5.0	4.0	4.5	1	—	—	1	82	36	11	8	8	—	–	1	11	7
Aug	14.5	18.7	15.2	15.9	10.3	31	24.0	26	84	67	79	77	55	16	4.8	5.2	3.7	4.6	2	—	—	2	95	25	22	10	10	—	–	–	10	6
Sept	12.3	18.1	14.0	14.6	5.0	30	23.0	23	77	62	72	70	46	7	3.3	4.1	3.0	3.5	—	—	—	–	5	3	27	3	2	—	–	–	13	4
Okt.	7.5	10.8	8.3	8.7	0.8	31	16.2	2.4	88	77	82	82	44	17.25	5.6	5.6	4.5	5.2	3	2	–	5	116	32	29	10	10	3	–	–	9	11
Nov.	2.0	4.0	2.2	2.6	-3.0	21.25	10.1	21	87	83	87	86	45	21	7.7	7.8	7.3	7.6	8	4	4	16	48	15	14	10	9	2	–	–	3	20
Dez.	1.5	2.4	1.4	1.7	-3.0	13	7.0	11	90	85	85	87	50	1.10 16.31	8.9	8.4	8.9	8.7	5	4	1	10	81	16	23	16	15	5	–	–	1	24
Jahr	7.5	10.9	8.2	8.7	-8.2	I	27.0	VII	82	70	77	76	33	IV V	5.8	6.2	5.4	5.8	34	14	8	56	932	36	VII	126	120	28	—	5	89	147

Rheinfelden

$\lambda = 7°48'$, $\beta = 47°33'$, $H_b = 287^m$, $h_r = 1.5^m$ — Beobachter: **Frl. M. Waidele**

Jan.	0.3	3.0	0.1	0.6	-7.8	18	14.8	22	83	67	82	77	36	22	7.5	7.7	7.4	7.5	8	5	2	15	97	21	14	17	14	10	—	–	4	17
Feb.	1.7	6.3	0.5	1.4	-5.8	6	14.2	27	87	57	83	76	36	27	6.5	3.5	5.5	5.2	24	16	7	47	6	6	21	1	1	—	–	–	7	8
März	4.9	12.1	6.7	7.6	-2.0	15	18.2	24	89	58	84	77	36	1	8.2	7.0	7.0	7.4	16	5	—	21	84	25	6	14	12	—	–	–	2	16
Apr.	6.2	14.9	8.4	9.5	-1.0	22	24.0	14	84	48	77	70	28	2.5 24.25	6.5	6.4	5.5	6.1	2	—	1	3	109	32	30	14	13	—	–	–	9	15
Mai	10.8	19.5	12.4	13.8	5.2	4	27.5	20	78	44	76	66	28	25	6.8	7.2	5.6	6.5	11	—	—	11	37	13	30	9	8	—	–	1	1	10
Juni	14.9	22.0	15.8	17.1	9.5	12	30.0	20	77	46	78	67	30	1.3.5	7.1	6.9	7.3	7.1	14	1	—	15	95	26	28	16	14	—	–	1	3	12
Juli	17.0	26.7	18.1	20.0	11.0	15.30	32.2	10	75	41	78	65	26	23.27	5.5	5.7	4.5	5.2	10	—	—	10	66	22	28	8	7	–	–	1	4	5
Aug	14.9	23.4	16.4	17.8	8.0	31	30.0	10	81	46	80	69	30	31	7.5	6.5	5.5	6.5	—	–	–	?	89	18	23	11	10	–	–	3	3	11
Sept	10.4	22.6	13.2	14.9	7.0	7.19 29.30	27.0	12.23	87	44	82	71	25	12	4.2	4.1	2.3	3.5	—	—	—	?	2	1	26	2	1	–	–	–	12	3
Okt.	6.2	14.2	7.9	9.0	1.0	24	21.0	2	95	65	94	85	40	9	8.1	5.1	5.3	6.2	—	—	—	?	85	14	28	11	10	–	–	–	5	14
Nov.	2.1	6.2	3.0	3.6	1.0	10.24 26	12.2	18	95	75	92	87	48	2	8.9	7.9	7.8	8.2	6	—	—	6	39	11	4	14	8	2	–	–	–	21
Dez.	2.5	5.5	2.8	3.1	-4.5	17	13.2	26	91	75	88	85	50	27	9.1	8.2	7.4	8.2	6	—	1	7	78	17	23	17	15	–	–	–	2	23
Jahr	7.3	14.7	8.8	9.9	-7.8	I	32.2	VII	85	56	83	75	25	IX	7.2	6.4	5.9	6.5	—	—	—	—	787	32	IV	134	113	12	—	6	52	155

Oberes Aare- und Saanegebiet

Thun

$\lambda = 7°37'$, $\beta = 46°46'$, $H = 560^m$, $h_r = 1.5^m$ — Beobachter: **Eidg. Munitionsfabrik: H. Rothen**

Jan.	-1.4	1.7	-0.8	-0.3	-10.1	18	8.7	23	74	62	71	69	44	11	8.1	6.8	6.9	7.3	3	1	3	7	49	12	24	16	14	9	–	–	3	16
Feb.	-2.1	5.1	0.7	1.1	-4.7	16	11.0	27	79	52	73	68	35	27	5.0	2.6	2.5	3.4	4	—	2	6	6	5	21	2	2	–	–	–	12	3
März	4.0	10.4	6.5	6.9	-1.1	15	16.3	24	92	63	85	80	46	1	7.9	7.3	5.9	7.0	2	—	–	2	87	22	12	12	9	–			3	13
Apr.	5.8	12.9	8.8	9.1	-0.3	22	20.1	14	87	58	74	73	35	5	5.4	5.8	4.5	5.2	1	—	—	1	80	25	18	13	12	1			10	11
Mai	11.0	17.6	13.2	13.7	3.7	1	23.0	21	83	55	74	71	39	27	4.8	6.3	5.1	5.4	—	—	—	–	58	24	1	10	6	–	–	3	5	8
Juni	14.8	20.1	15.8	16.6	9.8	30	26.5	19	82	57	78	73	42	4.19	5.7	6.5	6.5	6.2	—	—	–	–	161	38	29	16	15	–	1	8	3	9
Juli	17.2	24.1	19.4	20.0	11.3	1	29.7	10	82	54	74	70	38	5	3.5	4.6	4.1	4.1	—	—	—	–	75	14	24	11	9	–	–	4	9	5
Aug.	14.4	21.2	16.8	17.3	9.4	31	27.3	10	88	61	80	76	44	3	4.4	5.9	4.3	4.9	—	—	–	–	118	51	14	11	9			6	7	7
Sept	12.0	19.8	15.5	15.7	8.3	30	23.5	11	92	63	86	80	49	7	5.9	4.8	4.5	5.1	–	–	–	–	65	21	16	6	4	–	–	2	9	8
Okt.	5.8	12.5	7.9	8.5	1.5	17.30	18.6	2	94	72	92	86	47	25	6.0	4.7	3.7	4.8	—	–	–	–	91	25	28	11	10	3	–		10	8
Nov.	0.8	4.9	2.1	2.5	-4.1	22	9.6	18	94	78	93	88	53	20	7.5	7.3	7.3	7.4	5	1	7	13	32	15	14	9	7	2	–		3	16
Dez.	1.1	4.0	1.5	2.0	-5.4	16	8.9	26	91	78	88	86	54	17	8.1	6.7	7.4	7.4	1	1	2	4	78	30	23	12	9	2	–	3	3	18
Jahr	6.9	12.9	8.9	9.4	-10.1	I	29.7	VII	87	63	81	77	35	II/IV	6.0	5.8	5.2	5.7	16	3	11	33	900	51	VIII	129	106	17	1	23	77	122

Heiligenschwendi

$\lambda = 7°42'$, $\beta = 46°45'$, $H_b = 1126^m$, $h_r = 1.5^m$

Beobachter: Sanatorium

1959	Luft-Temperatur								Relative Feuchtigkeit						Bewölkung				Nebel (Zahl der Termine)				Niederschlag		Zahl der Tage						
	7^{30}	13^{30}	21^{30}	Mittel	Minimum	Tag	Maximum	Tag	7^{30}	13^{30}	21^{30}	Mittel	Minimum	Tag	7^{30}	13^{30}	21^{30}	Mittel	7^{30}	13^{30}	21^{30}	Total	Summe	Maximum Tag	●	●≥1.0	✳	▲	K_x	helle	trübe
Jan.	1.3	1.6	1.0	-0.3	-10.2	17	8.2	22	76	65	74	72	34	18	6.1	6.5	6.0	6.2	—	2	1	3	69	12	24	16	14	13	—	—	7	14
Feb.	0.5	6.9	2.5	3.1	-5.8	1	11.9	28	66	55	66	62	36	15	2.5	2.3	1.9	2.2	1	—	1	2	11	5	21	3	3	3	—	—	19	2
März	3.6	8.3	4.6	5.3	-1.8	15	14.2	24	80	68	83	77	46	$^{1}/_{10}$	7.1	7.8	6.8	7.2	2	—	—	2	85	28	12	13	12	8	—	—	2	16
Apr.	5.1	10.2	6.7	7.0	-2.1	22	19.0	14	76	62	69	69	38	25	5.6	5.7	5.0	5.4	—	—	—		102	35	18	12	11	6	—	—	8	12
Mai	9.6	13.8	10.1	10.8	2.0	1	19.4	10	78	62	75	72	39	27	5.1	7.3	6.6	6.3	2	—	—	2	109	44	1	8	7	1	—	1	—	9
Juni	12.3	16.0	12.4	13.1	5.5	29	22.2	19	80	66	82	76	45	4	5.9	6.8	7.1	6.6	1	1	—	2	222	54	29	18	17	-	1	6	—	9
Juli	15.2	10.1	16.3	16.7	7.4	1	25.2	10	78	60	74	71	42	3.27	4.2	4.7	4.6	4.5	—	--	1	1	91	18	15	12	10	—	-	3	7	4
Aug.	12.8	17.1	13.5	14.1	7.2	31	22.2	10.26	85	68	83	79	55	29	4.6	6.7	5.0	5.4	—	-	—	—	137	47	14	9	9	—		4	5	7
Sept.	12.2	16.4	13.4	13.7	8.2	1	20.6	13	86	69	82	79	52	12	4.2	6.7	4.7	5.2	2	-	—	2	55	20	16	5	4	—	—	1	7	6
Okt.	6.4	10.6	7.7	8.0	-1.0	31	15.8	1.2	86	76	89	84	44	25	4.5	5.6	4.7	4.9	1	1	—	2	112	31	28	12	9	5	—	-	12	12
Nov.	1.3	4.8	1.9	2.5	-1.9	10	11.0	20	77	71	84	77	38	21.24	5.7	6.0	4.9	5.5	—	-	—	—	39	16	15	7	7	7	—	—	7	11
Dez.	1.0	3.7	1.2	1.9	-7.6	14	10.4	31	84	73	79	79	43	27	7.3	6.6	6.9	6.9	2	3	4	9	94	38	23	13	12	9	—	—	4	16
Jahr	6.6	10.8	7.4	8.0	-10.2	I	25.2	VII	79	66	78	75	34	I	5.2	6.1	5.3	5.5	11	7	7	25	1126	54	VI	128	115	52	1	15	78	118

Die Abendbeobachtung erfolgt um 20.30 h

Grindelwald

$\lambda = 8°03'$, $\beta = 46°38'$, $H =$ ca 1040^m, $h_r = 1.5^m$

Beobachter: G. Bohren

Jan.	3.0	-1.1	-2.7	-2.4	12.7	17	8.9	20	66	62	66	65	31	20	6.3	5.8	5.8	6.0	-	-	—	—	82	16	6	15	15	13	-	—	8	14
Feb.	-1.4	4.4	0.0	0.8	-7.4	3	9.7	27	65	51	64	60	38	15.27	2.2	2.0	1.2	1.8	—	—	1	1	18	12	21	2	2	2	—	—	19	2
März	2.0	8.9	3.5	4.5	-3.7	15	15.3	24	77	54	76	69	31	9	6.9	6.4	5.0	6.1	1	—	3	4	82	27	25	11	10	7	-	—	6	14
Apr.	3.7	12.1	5.6	6.7	3.8	22	20.0	14	78	48	74	67	28	29	4.8	5.0	4.9	4.9	—	-	—	—	92	21	18	10	9	5	—	-	11	10
Mai	8.4	16.0	9.3	10.7	1.7	1	21.6	11	81	49	79	70	33	4	4.6	5.9	5.2	5.2	—	—	—	—	95	39	1	13	10	1	—	—	4	7
Juni	11.3	17.7	12.0	13.3	4.8	12	25.0	19	85	57	84	75	34	3.19	6.2	6.4	6.5	6.4	—	—	—	—	129	26	29	20	16	—	—	1	2	8
Juli	13.8	21.7	15.1	16.4	7.3	1	27.5	10	82	50	79	70	25	3	4.2	4.6	4.8	4.5	—	—	—	—	161	38	6	15	14	-	-	7	9	8
Aug.	11.4	19.2	12.9	14.1	7.9	3	25.2	10	90	55	88	78	42	10	5.4	5.2	4.9	5.2	—	—	—	—	91	17	14	14	11	-	—	3	4	6
Sept.	10.1	18.4	12.2	13.2	6.7	1	22.5	12	90	59	87	79	44	11.13	5.0	4.7	4.7	4.8	1	-	2	3	41	19	17	7	6	—	-	-	8	6
Okt.	4.3	11.8	5.7	6.9	-3.2	30	17.2	2	85	59	87	77	36	17	4.1	4.4	3.6	4.0	2	2	3	7	114	44	28	9	8	4	—	—	15	7
Nov.	-0.3	2.9	0.1	0.7	-4.4	9	10.1	30	77	66	79	74	32	30	5.9	5.7	3.5	5.0	—	—	1	1	53	27	14	7	7	6	—	—	9	9
Dez.	-0.7	1.1	-0.8	-0.3	-6.7	14	10.3	1	81	75	81	79	31	1	7.2	5.9	6.2	6.4	—	—	2	2	89	21	23	13	12	13	-	-	7	15
Jahr	5.0	11.1	6.1	7.1	-12.7	I	27.5	VII	80	57	79	72	25	VII	5.2	5.2	4.7	5.0	4	2	12	18	1047	44	X	136	120	51	-	11	102	106

Adelboden

$\lambda = 7°34'$, $\beta = 46°30'$, $H =$ ca 1340^m, $h_r = 1.5^m$

Beobachter: G. Gyger-Spori

Jan	2.9	0.9	3.1	-2.0	14.8	17	12.0	20	70	57	71	66	20	20	5.7	6.0	5.0	5.6	—	—	1	1	106	15	8	17	16	16	-	-	8	9
Feb.	-1.9	6.2	-0.8	0.7	-8.6	2	11.8	4	66	48	68	61	28	4	2.1	2.5	1.4	2.0	—	1	1	2	8	5	21	3	3	3	-	—	17	2
März	0.9	8.1	2.2	3.4	-6.4	15	13.9	23	81	58	83	74	33	9	7.6	6.8	7.0	7.1	6	1	5	12	89	27	25	13	10	6	-	—	4	15
Apr.	3.1	9.8	3.7	5.1	-4.4	22	18.2	15	72	53	74	66	22	5	5.5	5.9	5.9	5.8	1	3	1	5	93	16	16	12	11	9	--	—	8	15
Mai	8.6	13.3	7.5	9.2	0.1	2	20.2	9	75	57	81	71	29	4	4.6	6.7	7.6	6.3	1	—	2	3	64	13	1	14	10	2	—	—	2	7
Juni	12.1	16.1	10.1	12.1	5.0	12.30	21.6	23	73	62	84	73	45	21	7.1	7.5	8.5	7.7	1	1	3	5	156	20	29	22	18	—	—	5	—	16
Juli	14.5	19.7	13.2	15.2	6.1	1	25.4	10	70	58	79	69	32	4	4.3	5.4	5.6	5.1	—	—		—	140	38	14	17	15	—	—	5	8	6
Aug	12.0	17.1	12.0	13.3	7.0	31	21.2	8	81	67	87	78	48	10	5.5	7.1	8.1	6.9	2	1	2	5	127	34	14	10	10	—	—	—	1	10
Sept	9.5	16.3	10.5	11.7	5.0	30	20.0	11	93	74	93	87	60	5	4.9	6.8	5.4	5.7	4	3	4	11	49	15	26	8	6				2	7
Okt.	3.7	10.5	4.3	5.7	-5.2	30	18.2	6	86	66	88	80	37	23	4.1	5.2	4.0	4.4	—	—	1	1	100	37	28	9	9	5	-	-	14	10
Nov.	0.6	4.6	0.6	0.7	-6.0	9	10.4	20	76	62	80	73	39	17	5.0	5.6	5.0	5.2	2	—	3	5	37	19	14	7	6	7		—	10	10
Dez.	-1.4	3.0	0.8	0.0	8.0	6	9.0	31	77	64	76	72	35	1	7.4	5.8	5.3	6.2	2	—	1	3	140	32	28	13	13	10		-	7	15
Jahr	4.8	10.5	4.9	6.3	14.8	I	25.4	VII	77	60	80	72	20	I	5.3	5.9	5.7	5.7	19	10	24	53	1109	38	VII	145	127	58	—	10	81	122

Saanen

$\lambda = 7°16'$, $\beta = 46°30'$, $H =$ ca 1155^m, $h_r = 1.5^m$

Beobachter: Kindersanatorium Solsana

Jan.	2.7	0.3	1.9	1.5	10.0	17	9.4	20	89	75	82	82	35	20	6.0	6.3	5.5	5.9	—	—	—	—	120	19	6	19	18	18	—	—	7	11
Feb.	1.9	4.9	0.9	1.2	6.8	3	9.2	28	80	56	72	69	40	28	1.5	1.5	0.6	1.2	-	—	—	-	5	5	21	1	1	1	-	-	22	1
März	2.1	8.0	3.6	4.3	3.1	15	13.0	24	84	64	85	78	40	18	6.3	6.7	5.4	6.1	1	—	—	1	57	16	25	13	10	8	—	—	4	12
Apr.	3.4	10.5	5.6	6.3	-2.4	22	18.2	14	87	60	79	75	35	5	4.9	5.5	4.8	5.1	2	—	-	2	101	19	30	14	12	10	--		9	12
Mai	8.0	14.5	9.4	10.3	1.0	1	19.4	20	84	61	83	76	39	9	4.3	6.3	5.1	5.2	3	1	1	5	71	15	1	12	11	1	1	2	3	4
Juni	10.9	16.9	12.2	13.0	5.0	1	22.8	19	93	63	85	80	46	4.19	5.5	7.1	6.1	6.2	1	-	2	3	131	24	5	18	12		2	6	2	10
Juli	14.1	20.9	15.3	16.4	7.2	1	25.4	10	86	60	83	76	36	3	3.5	4.5	4.3	4.1		—	—	-	75	16	14	12	12			9	12	5
Aug	11.1	18.4	12.7	13.7	7.8	31	23.4	7	94	66	87	82	52	2.17	4.6	5.8	3.8	4.7	2	—	1	3	137	28	8	14	11		—	4	5	8
Sept.	10.3	16.9	12.0	12.8	7.4	9	20.0	11	95	70	89	85	52	7	5.8	6.4	4.5	5.6	3		2	5	58	23	26	10	9			2	6	5
Okt.	4.5	10.6	6.6	7.1	1.2	31	15.8	1	93	69	87	83	43	25	4.1	5.4	4.6	4.7	—	—	1	1	72	15	19	8	8	4	-		11	8
Nov.	0.1	4.9	1.3	1.9	3.6	2	10.4	18	86	66	80	77	42	24	5.6	5.2	3.7	4.8	—	-	—	—	29	12	14	7	7	7	—	—	9	9
Dez.	0.8	2.2	0.2	0.2	6.8	6	8.2	1	91	77	84	84	39	1	7.3	5.5	6.7	6.5	—	—	1	1	171	38	26	15	14	11		1	5	12
Jahr	4.9	10.7	6.4	7.1	10.0	I	25.4	VII	89	65	83	79	35	I.IV	4.9	5.5	4.6	5.0	12	1	8	21	1027	38	XII	143	125	60	3	24	95	97

Rougemont

$\lambda = 7°\,13'$, $\beta = 46°\,29'$, $H = 1003$ m, $h_r = 1.5$ m — Beobachter: Frau L. Saugy

1969	Luft-Temperatur								Relative Feuchtigkeit						Bewölkung				Nebel Zahl der Termine				Niederschlag			Zahl der Tage						
	7^{30}	13^{30}	21^{30}	Mittel	Minimum	Tag	Maximum	Tag	7^{30}	13^{30}	21^{30}	Mittel	Minimum	Tag	7^{30}	13^{30}	21^{30}	Mittel	7^{30}	13^{30}	21^{30}	Total	Summe	Maximum	Tag	●	●* ≥1.0	✳	▲	≤	heiter	trüb
Jan.	−4.5	0.2	−3.5	−2.8	−14.5	17	6.2	22	87	71	85	81	48	2.30	5.9	6.1	5.5	5.8	—	—	—	—	136	17	6	17	17	17	—	—	8	13
Feb.	−4.8	5.7	−0.8	−0.2	−9.7	3	11.2	28	84	49	77	70	38	27.28	1.5	1.5	1.4	1.5	—	—	—	—	6	6	21	1	1	1	—	—	20	1
März	1.3	9.5	3.6	4.5	−3.7	15	14.8	24	89	55	84	76	33	18	6.2	5.9	6.5	6.2	—	—	—	—	61	16	25	11	11	4	—	—	5	12
Apr.	2.9	11.8	5.8	6.6	−1.9	22	20.2	14	86	51	77	71	28	5	5.1	4.9	5.3	5.1	—	—	—	—	96	19	28	13	12	7	—	—	11	12
Mai	8.2	16.2	9.8	11.0	1.7	1	20.2	27	76	48	77	67	29	9	3.6	6.7	5.0	5.1	—	—	—	—	72	21	1	15	12	1	—		3	7
Juni	12.2	18.6	13.2	14.3	7.0	30	25.2	19.24	73	52	78	68	36	19	5.1	7.1	6.6	6.3	—	—	—	—	120	26	29	16	14	—	—	5	3	7
Juli	14.7	22.9	16.1	17.4	8.1	1	28.1	10	71	47	77	65	28	3	3.2	4.3	4.2	3.9	—	—	—	—	98	18	30	14	12	—	—	6	14	6
Aug.	11.6	20.2	13.5	14.7	7.6	31	24.5	26	85	53	82	73	42	1.5	3.9	5.4	3.7	4.3	—	—	—	—	136	30	11	12	10	—	—	4	8	4
Sept.	9.7	18.5	12.5	13.3	5.3	9	22.8	23	91	57	86	78	40	7	5.4	5.9	4.9	5.4	1	—	1	2	68	17	26	11	9	—	—	2	7	7
Okt.	2.8	11.4	5.8	6.4	−2.0	30.31	17.6	2	92	61	87	80	35	24	4.0	5.1	3.9	4.3	—	—	—	—	76	15	28	10	8	5	—	—	13	8
Nov.	−1.4	5.2	−0.2	0.9	−5.8	4	10.9	18	86	61	87	78	44	21	5.9	4.9	4.5	5.1	—	—	—	—	25	10	14	6	6	6	—	—	9	10
Dez.	−2.0	1.5	−1.4	−0.8	−8.5	16	9.1	1	89	74	86	83	32	1	7.1	4.8	6.8	6.2	2	—	2	4	199	41	23	15	14	13	—	—	6	13
Jahr	4.2	11.8	6.2	7.1	−14.5	I	28.1	VII	84	56	82	74	28	IV/VII	4.7	5.2	4.8	4.9	3	—	3	6	1093	41	XII	141	126	54	—	17	107	100

Château d'Oex

$\lambda = 7°\,08'$, $\beta = 46°\,29'$, $H_b = 993.5$ m, $h_r = 1.5$ m — Beobachter: E. Jaccard

Jan.	−3.8	0.7	−3.2	−2.4	−16.2	17	7.3	22	85	68	84	79	35	2	6.4	6.5	5.8	6.2	1	—	—	1	133	19	7	19	18	15	—	—	8	13
Feb.	−4.1	5.5	−1.1	−0.2	−9.6	3	12.0	28	86	50	82	73	33	28	2.2	2.1	1.3	1.9	—	—	—	—	7	6	21	2	1	2	—	—	16	1
März	1.4	9.5	3.5	4.5	−3.8	17	15.8	24	89	56	85	77	32	18	7.1	7.5	6.0	6.9	1	—	—	1	67	15	25	11	9	3	—	—	1	14
Apr.	3.3	11.9	5.1	6.3	−3.5	21	20.0	14	86	53	81	73	27	5	5.5	5.5	5.1	5.4	—	—	—	—	125	29	30	13	12	5	—	—	12	13
Mai	8.4	15.8	9.1	10.6	1.5	1	21.2	21	83	50	83	72	28	9	4.6	6.6	4.5	5.2	—	—	—	—	65	13	1	14	11	—	—	2	4	4
Juni	12.2	18.9	12.5	14.0	6.3	29	25.3	19	80	53	79	71	35	19	5.5	6.6	6.0	6.0	—	—	—	—	151	36	29	13	10	—	—	5	5	9
Juli	14.1	22.5	15.1	16.7	7.7	1	28.0	10	81	52	79	71	26	3	3.8	4.6	4.5	4.3	–	—	—	—	128	35	14	12	12	—	—	6	11	5
Aug.	11.6	19.8	12.8	14.2	7.3	31	23.5	26	93	62	90	82	48	17	3.8	5.2	3.4	4.1	1	—	—	1	133	40	8	12	11	—	1	–	10	3
Sept.	10.1	18.5	12.1	13.2	6.2	7.8	22.9	23	96	66	95	86	47	13	5.6	5.5	4.5	5.2	1	—	3	4	101	26	17	11	11	—	—	2	7	6
Okt.	2.8	11.7	5.4	6.3	−1.8	30	16.8	2	98	71	96	88	48	17	4.2	5.3	3.9	4.5	—	—	—	—	91	18	19	10	8	6	–	–	14	8
Nov.	−1.2	5.6	−0.1	1.0	−5.1	4	11.5	18	91	64	90	82	44	21	5.7	6.2	4.3	5.4	2	—	—	2	25	11	14	6	5	5	—	—	7	10
Dez.	−1.8	2.1	−1.2	−0.5	−1.0	8	6.0	30	93	74	89	85	38	1	7.3	5.8	7.1	6.7	—	—	—	—	205	45	23	15	15	12	—	—	5	15
Jahr	4.4	11.9	5.8	7.0	−16.2	I	28.0	VII	88	60	86	78	26	VII	5.1	5.6	4.7	5.2	6	—	3	9	1231	45	XII	138	123	48	1	15	100	101

Marsens

$\lambda = 7°\,04'$, $\beta = 46°\,39'$, $H = 721$ m, $hr = 1.5$ m — Beobachter: E. Baeriswyl

Jan.	−2.3	1.5	−1.1	−0.8	−10.1	18	9.3	22	86	74	84	81	46	20	6.4	6.2	5.8	6.1	1	—	2	3	115	28	7	20	18	15	—	–	6	11
Feb.	−2.7	5.0	0.1	0.6	−6.7	15	11.2	28	89	66	86	80	36	20	3.0	2.0	2.1	2.4	2	2	2	6	2	1	21	2	1	—	—		16	12
März	3.6	9.5	5.6	6.1	−1.3	18	14.6	24	90	67	86	81	42	2	7.7	7.0	5.6	6.8	2	—	—	2	124	27	6	12	11	3	—		3	12
Apr.	5.3	11.5	7.4	7.9	−0.8	21	19.0	14	85	61	76	74	35	5	5.0	4.6	4.1	4.6	—	—	—	—	150	37	30	13	12	2	–	–	13	9
Mai	10.1	16.1	10.9	12.0	3.8	1	20.7	10	84	57	81	74	34	27	4.1	6.2	4.4	4.9	—	—	—	—	68	28	1	14	11	—	—	4	7	3
Juni	14.0	19.0	14.0	15.3	8.1	10	26.1	19	81	59	80	73	41	25	4.9	5.8	6.3	5.7	—	—	—	—	117	23	29	13	12	—	—	3	4	6
Juli	16.7	23.6	17.1	18.6	10.2	1	28.7	11	77	50	77	68	29	3	3.7	4.1	3.5	3.8	—	—	–	—	69	24	28	11	7	—	—	1	11	3
Aug.	13.8	20.1	14.7	15.8	7.6	31	24.7	26	85	60	80	75	44	8	4.5	5.1	2.9	4.2	2		—	2	86	23	14	11	9	—	—	3	11	5
Sept.	11.6	18.9	13.5	14.4	6.8	8	23.7	23	91	63	85	80	45	7	5.2	5.2	3.9	4.8	4	1	—	5	40	18	26	7	6	—		1	6	6
Okt.	5.3	11.8	6.8	7.7	1.2	30	17.3	2	90	71	91	84	46	24	6.2	5.0	4.2	5.1	5	—	2	7	120	22	19	10	9	3			7	7
Nov.	0.3	5.1	1.6	2.1	−5.0	26	9.2	18	88	73	88	83	53	20	6.7	6.4	6.1	6.4	2	2	5	9	46	16	14	12	7	2	–	–	6	13
Dez.	0.8	3.9	1.1	1.7	−5.0	15	9.6	27	86	75	84	82	49	17	8.0	6.0	7.2	7.1	—	1	1	2	198	45	23	15	14	8	–		4	16
Jahr	6.4	12.2	7.6	8.5	10.1	I	28.7	VII	86	65	83	78	29	VII	5.5	5.3	4.7	5.2	18	6	12	36	1135	45	XII	140	117	33	—	12	94	93

Romont

$\lambda = 6°\,55'$, $\beta = 46°\,42'$, $H_b = 764$ m, $h_r = 1.5$ m — Beobachter: Couvent des Capucins

Jan.	2.0	0.6	1.2	−0.9	8.4	17	8.5	22	80	74	79	78	55	5	7.1	6.4	6.1	6.5	1	1	2	4	120	33	6	21	18	16	—	—	5	14
Feb.	1.7	3.6	1.2	0.8	7.1	15	9.4	28	83	78	79	80	66	23	4.3	4.3	2.8	3.8	6	2	2	10	1	1	22	2	—	1	—		13	6
März	3.7	9.0	5.8	6.0	−1.0	18	13.8	24	83	76	79	79	58	10	7.5	7.7	6.2	7.1	3	—	–	3	143	34	6	15	15	2	—	1	—	15
Apr.	5.2	11.0	7.6	7.6	1.3	21	17.6	14	74	67	70	70	33	25	5.8	5.8	4.7	5.4	—	—	—	—	117	32	30	14	12	2	1	1	8	11
Mai	9.3	15.8	12.0	12.0	1.9	1	20.4	21	*80	*54	*76	*70	–	—	5.1	6.1	5.2	5.5	—	—	—	—	64	15	30	12	8	—	—	1	2	4
Juni	13.2	18.7	15.1	15.2	7.0	1	24.6	25	75	59	61	65	34	4	5.7	7.0	7.2	6.6	1	—	—	1	97	19	7	9	9	—	—	2	1	11
Juli	15.8	22.4	18.5	18.4	11.0	1	27.8	11	73	46	58	59	30	27	4.2	4.1	3.7	4.0	1	—	—	1	67	29	28	10	9	—	—	4	10	2
Aug.	12.9	19.5	15.6	15.6	7.1	31	24.4	8	79	49	69	66	37	8	5.7	5.8	4.1	5.2	2	—	—	2	84	20	2	9	8	—	—	3	5	6
Sept.	11.3	18.0	14.2	14.2	7.1	1.7	21.8	24	80	51	71	67	38	7	5.7	5.8	3.6	5.0	1	—	—	1	40	20	17	5	5		–	1	8	7
Okt.	5.9	10.7	7.5	7.8	0.6	29.30	15.8	1	82	63	82	76	39	24	7.5	6.2	4.1	5.9	7	—	—	7	152	35	28	12	9	3	—		5	11
Nov.	0.7	3.9	1.7	1.9	−3.6	23	8.3	18	82	70	81	78	52	19	7.9	7.6	6.4	7.3	4	4	7	15	47	21	14	15	9	5	–	–	3	17
Dez.	0.6	2.7	1.0	1.3	−4.6	15	6.8	26	80	70	78	76	44	17	8.3	7.4	6.9	7.5	3	1	—	4	165	48	23	16	14	8	1	—	2	17
Jahr	6.2	11.3	8.3	8.3	8.4	1	27.8	VII	79	63	74	72	30	VII	6.2	6.2	5.1	5.8	29	8	11	48	1097	48	XII	140	116	37	2	13	62	121

Die Abendbeobachtung erfolgt um 20.30 h

Rochers-de Naye

$\lambda = 6°59'$, $\beta = 46°26'$, $H_b = 1981.6^m$, $h_r = 2.3^m$

Beobachter: Direction de l'Hôtel

1959	Luft-Temperatur								Relative Feuchtigkeit								Bewölkung				Nebel Zahl der Termine				Niederschlag			Zahl der Tage						
	7^{30}	13^{30}	21^{30}	Mittel	Minimum	Tag	Maximum	Tag	7^{30}	13^{30}	21^{30}	Mittel	Minimum	Tag			7^{30}	13^{30}	21^{30}	Mittel	7^{30}	13^{30}	21^{30}	Total	Summe	Maximum	Tag	●	●* ≥1.0	✳	▲	$\leftrightarrow$	helle	trübe
Jan.	-5.6	-4.0	6.1	-5.5	-15.0	17	6.6	30	74	72	74	73	21	26			6.2	6.7	5.9	6.3	16	12	10	38	170	19	12	20	20	20	—	—	8	15
Feb.	-2.4	2.1	-1.8	-1.0	-10.2	1	7.6	27	53	48	58	53	21	28			1.4	1.5	1.0	1.3	1	2	—	3	4	4	21	1	1	1	—	—	21	1
März	-1.4	2.1	-0.8	-0.2	-6.4	14	8.0	24	74	71	83	76	19	15			6.8	6.8	6.3	6.6	8	9	9	26	64	11	12	14	13	14	—	—	2	14
Apr.	0.3	3.4	-0.1	0.9	-9.2	21	13.0	14	68	69	79	72	20	3			5.5	5.7	5.5	5.6	9	9	12	30	132	19	16	13	13	13	—	—	11	14
Mai	4.0	7.5	3.5	4.6	-3.6	$^1/_2$	14.0	20	74	73	87	78	37	21			4.3	7.2	6.4	6.0	6	8	6	20	57	12	1	12	12	5	1	1	3	9
Juni	6.8	9.7	6.6	7.4	-2.2	12	15.6	18	84	80	86	83	52	19			5.4	7.2	6.8	6.5	9	7	4	20	182	48	29	12	12	—	1	3	3	10
Juli	11.0	14.5	10.3	11.5	1.2	1	22.0	5	71	74	78	74	30	30			4.0	5.9	4.8	4.9	5	5	6	16	146	36	30	12	11	—	1	4	8	6
Aug	8.6	12.2	8.0	9.2	4.0	1	17.2	8	80	74	88	81	47	26			4.4	6.1	4.2	4.9	5	4	5	14	146	36	14	11	11	—	—	4	5	4
Sept	8.0	11.8	8.1	9.0	4.6	7	15.6	11	82	73	83	79	44	11			4.1	5.5	3.4	4.3	4	6	3	13	72	25	26	9	8	—	—	1	12	4
Okt	2.9	5.4	2.9	3.5	-7.2	29.30	15.4	4	69	64	73	69	19	24.25			4.2	4.1	3.2	3.8	7	7	3	17	149	26	28	9	9	8	—	—	16	6
Nov.	-2.0	0.3	-2.4	-1.6	-8.2	8	8.2	20	61	64	67	64	15	24			5.4	4.6	3.7	4.6	3	3	5	11	67	15	5	9	9	9	—	—	10	7
Dez.	-3.6	-2.2	-3.3	-3.1	-9.6	6	5.2	2.3	79	76	76	77	24	6			6.6	5.6	4.9	5.7	11	8	8	27	368	42	28	15	15	15	—	—	9	14
Jahr	2.2	5.2	2.1	2.9	-15.0	I	22.0	VII	72	70	78	73	15	XI			4.8	5.6	4.7	5.0	84	80	71	235	1557	48	VI	137	134	85	3	13	108	104

Leukerbad

$\lambda = 7°38'$, $\beta = 46°23'$, $H = 1391.4^m$, $h_r = 1.5^m$

Beobachter: Spitalbad: Schw. M. A. Humpert

Jan.	-4.5	0.1	-3.8	-3.0	-13.2	17	6.3	30	78	63	74	72	37	18			5.9	6.4	6.3	6.2	—	—	1	1	244	57	6	19	19	19	—	—	8	15
Feb.	-2.3	5.8	0.0	0.9	-9.5	1	10.5	27	66	43	63	57	30	28			1.3	1.2	0.6	1.0	1	—	—	1	10	9	21	2	1	2	—	—	21	—
März	1.5	7.6	2.9	3.7	-4.2	15	13.0	24	73	50	69	64	33	30			7.2	7.4	5.2	6.6	2	1	—	3	26	11	25	8	5	7	—	—	5	15
Apr.	2.9	9.5	4.4	5.3	-3.8	22	18.0	14	69	49	66	61	27	3			5.3	4.7	5.0	5.0	1	1	1	3	86	16	29	10	10	6	—	—	13	12
Mai	7.7	13.5	8.2	9.4	1.8	3	19.0	20	72	48	66	62	35	18			3.8	6.5	4.4	4.9	1	1	1	3	37	16	1	8	5	1	—	—	7	6
Juni	10.7	16.2	10.8	12.1	4.2	1.11	21.0	24	74	50	75	66	30	17			5.4	7.4	6.6	6.5	1	—	—	1	108	28	19	14	13	—	—	1	3	9
Juli	13.0	20.2	14.4	15.5	7.1	1	26.2	10	74	43	70	62	25	18.20			3.8	4.3	4.2	4.1	—	—	—	—	106	34	14	14	13	—	—	3	13	6
Aug	10.4	18.2	12.1	13.2	5.6	3	23.3	10.18	81	51	74	69	37	5			4.4	5.8	3.7	4.6	1	—	—	1	81	27	14	10	8	—	—	—	8	6
Sept.	9.4	17.5	11.2	12.3	6.5	7.9	20.0	11.12	85	51	79	72	40	6			4.8	5.1	4.8	4.9	1	—	1	2	12	4	25	5	5	—	—	—	9	9
Okt.	3.8	11.1	5.1	6.3	-1.6	31	16.2	2	75	51	75	67	20	23			3.9	4.4	3.7	4.0	2	1	1	4	43	11	28	9	9	4	—	—	16	7
Nov.	-3.4	5.6	0.6	0.8	-4.8	8.9	11.9	20	74	57	75	69	26	24			5.1	5.7	4.6	5.1	—	—	—	—	25	14	14	7	5	7	—	—	10	10
Dez.	-1.6	2.0	-1.0	-0.4	-6.8	6	8.5	2	78	63	73	71	32	17			7.2	5.9	6.0	6.4	1	1	1	3	257	61	28	15	14	15	—	—	7	14
Jahr	4.0	10.6	5.4	6.3	-13.2	I	26.2	VII	75	52	72	66	20	X			4.8	5.4	4.6	4.9	11	5	6	22	1035	61	XII	121	107	61	—	4	120	109

Grächen

$\lambda = 7°50'$, $\beta = 46°12'$, $H = 1617^m$, $h_r = 1.5^m$

Beobachter: P. Heinzmann

Jan.	-5.6	-1.4	-5.2	-4.2	-14.8	17	7.6	30	—	—	—	—	—	—			4.8	5.1	5.1	5.0	1	3	2	6	53	11	24	14	11	14	—	—	9	10
Feb.	-3.0	4.5	-1.4	-0.2	-9.8	1	8.8	28	—	—	—	—	—	—			1.5	1.4	1.1	1.3	—	—	—	—	—	—	—	—	—	—	—	—	19	—
März	0.5	5.5	0.9	2.1	-4.2	15	10.8	24	—	—	—	—	—	—			6.3	5.9	5.4	5.9	1	—	1	2	31	10	30	10	7	6	—	—	6	13
Apr.	2.5	8.8	2.7	4.4	-2.4	9.22	15.6	14	—	—	—	—	—	—			4.5	4.3	4.2	4.3	3	1	—	4	76	24	16	9	7	8	—	—	13	10
Mai	7.1	11.9	6.8	8.2	0.6	1.2	17.0	11	—	—	—	—	—	—			4.8	5.2	4.2	4.7	2	—	1	3	22	19	22	4	3	1	—	—	7	7
Juni	10.7	15.6	10.7	11.8	3.6	12	20.2	4.19	—	—	—	—	—	—			5.6	5.7	4.8	5.4	3	—	1	4	43	11	21	9	9	—	1	6	3	3
Juli	13.2	19.8	13.6	15.0	5.8	1	25.0	8	—	—	—	—	—	—			3.3	3.8	3.9	3.7	4	—	—	4	62	18	14	10	9	—	—	7	11	1
Aug.	10.8	17.6	11.2	12.8	6.6	17	21.6	26	—	—	—	—	—	—			4.7	4.4	3.5	4.2	7	—	1	8	53	16	20	9	7	—	—	3	5	1
Sept	9.4	15.7	10.4	11.5	6.2	30	19.8	11	—	—	—	—	—	—			3.5	4.5	3.5	3.8	2	—	1	3	8	3	13	3	3	—	—	1	8	2
Okt.	2.9	8.8	3.6	4.9	-4.0	30	15.0	2	—	—	—	—	—	—			3.5	3.9	3.8	3.7	2	2	1	5	74	38	28	6	6	3	—	—	15	8
Nov.	-2.1	2.8	-1.7	-0.6	-7.2	8	9.2	20	—	—	—	—	—	—			4.0	4.7	3.9	4.2	2	2	—	4	66	40	30	8	5	8	—	—	12	7
Dez.	-3.7	-0.2	-3.4	-2.5	-9.2	14	5.6	2	—	—	—	—	—	—			5.7	5.1	5.8	5.5	4	1	—	5	87	22	10	15	14	15	—	—	8	11
Jahr	3.6	9.1	4.0	5.3	-14.8	I	25.0	VII	—	—	—	—	—	—			4.3	4.5	4.1	4.3	31	9	8	48	575	40	XI	97	81	55	1	17	116	73

Zermatt

$\lambda = 7°45'$, $\beta = 46°01'$, $H = 1609.9^m$, $h_r = 1.5^m$

Beobachter: G. Brantschen, Dr. S. Julen, O. Gruber

Jan.	6.9	0.7	6.7	5.3	18.0	17	7.0	30	74	57	70	70	35	9			5.6	4.8	4.3	4.9		—	—	—	42	11	6	12	10	12	—	—	8	7
Feb.	-6.9	4.4	-3.9	-2.6	-11.8	1	8.2	27	75	43	70	63	32	24			1.8	1.6	1.3	1.6	1	—	—	1	3	3	21	2	1	2	—	—	20	—
März	-1.4	5.3	0.4	1.2	-7.4	15	12.0	24	84	54	80	73	24	15			6.1	6.3	5.0	5.8	1	2	—	3	36	10	7	6	6	5	—	—	8	11
Apr.	0.0	9.5	2.3	3.5	-6.0	22	17.4	13	80	39	71	63	18	2			5.2	4.3	4.4	4.6	—	—	—	—	79	24	16	9	8	8	—	—	11	10
Mai	5.5	11.4	6.6	7.5	0.6	1	18.0	20	76	43	69	63	27	30			3.6	5.1	3.6	4.1	3	—	—	3	32	26	22	4	4	1	—		10	3
Juni	9.7	16.5	9.5	11.3	3.4	12	21.8	15	75	47	74	65	23	11			4.6	5.8	5.3	5.2	1	—	—	1	37	9	26	12	10	—	—	1	4	8
Juli	11.6	20.4	13.8	14.9	5.2	1	26.4	10	77	41	69	62	26	3			3.1	3.8	3.5	3.5	3	1	—	4	51	18	14	8	7	—	—	1	16	3
Aug.	8.5	18.1	10.7	12.0	5.0	11	23.6	27	88	44	74	69	29	26			3.9	5.3	2.6	3.9	1	1	—	2	48	12	20	11	11	—	—	—	8	1
Sept	6.8	16.9	7.5	9.7	2.8	19	21.4	13	84	45	80	70	28	11			4.2	3.9	4.3	4.1	—	—	—	—	14	7	17	3	3	—	—	—	10	6
Okt.	0.8	10.1	2.6	4.0	-6.0	30	15.8	2	80	46	78	68	22	2			3.1	3.5	3.9	3.5	3	2	4	9	87	40	28	7	7	5	—	—	15	7
Nov.	3.6	3.9	2.8	1.3	-9.2	7	10.1	20	73	52	72	66	30	3			3.6	4.0	2.9	3.5	*3	*3	*3	*9	*85	?	—	*8	*5	*8	—	—	12	5
Dez.	4.4	0.6	4.0	3.0	-11.3	14	7.7	3	78	59	71	69	31	15			5.9	5.1	5.1	5.4	3	4	2	9	100	29	28	15	13	15	—	—	8	12
Jahr	1.6	9.7	3.0	4.3	18.0	I	26.4	VII	79	48	73	67	18	IV			4.2	4.5	3.9	4.2	19	13	9	41	614	?	—	97	85	46	—	2	130	73

Zermatt: Stationsverlegungen und Beobachterwechsel am 17. Februar und 12. Oktober. Neuestes $H_b = 1635{,}5$ m.

Saas-Fee

$\lambda = 7°56'$, $\beta = 46°06'$, $H =$ ca 1785 m, $h_r = 15.^m$ — Beobachter: Familie Imseng

1959	Luft-Temperatur 7³⁰	13³⁰	21³⁰	Mittel	Minimum	Tag	Maximum	Tag	Relative Feuchtigkeit 7³⁰	13³⁰	21³⁰	Mittel	Minimum	Tag	Bewölkung 7³⁰	13³⁰	21³⁰	Mittel	Nebel Zahl der Termine 7³⁰	13³⁰	21³⁰	Total	Niederschlag Summe	Maximum Tag	Zahl der Tage ●	●* >1.0	*	▲	K	heiter	trüb
Jan.	−7.2	−2.8	−6.8	−5.9	−16.3	12	5.2	30	71	64	66	67	41	18	5.4	5.6	5.1	5.4	—	—	—	—	71	17	24	11	11	11	—	—	6	8
Feb.	−5.5	3.8	−3.1	−2.0	−10.0	1	8.9	27	64	46	61	57	37	27	1.5	1.8	1.6	1.6	—	—	—	—	2	2	1	1	1	1	—	—	22	—
März	−1.4	4.5	0.2	0.9	−8.0	15	9.4	23	76	54	71	67	10	4	6.0	5.8	5.9	5.9	—	—	—	—	39	12	25	11	9	10	—	—	4	11
Apr.	0.3	7.0	1.5	2.6	−4.7	22	15.3	14	72	50	70	64	31	2	4.6	4.7	4.0	4.4	—	—	1	1	133	57	29	9	9	8	—	—	11	7
Mai	5.7	10.4	5.8	6.9	−1.2	3	14.4	18	72	51	69	64	32	4	4.8	5.4	4.0	4.7	—	—	—	—	50	42	22	4	4	1	—	—	7	4
Juni	9.7	14.2	9.7	10.8	3.4	12	19.3	19	72	53	70	65	36	10.17	4.9	6.2	6.0	5.7	—	—	—	—	57	12	21	15	13	—	—	—	3	8
Juli	11.9	18.5	12.6	13.9	5.6	1	24.1	10	74	45	66	62	30	3.19	3.7	4.6	4.8	4.4	—	—	—	—	45	16	14	11	8	—	—	—	8	5
Aug.	9.7	16.0	10.4	11.6	6.2	3	20.9	26	81	49	72	67	37	26	4.7	4.7	4.9	4.8	—	—	—	—	54	13	20	11	8	—	—	—	5	4
Sept	7.2	15.2	9.0	10.1	−3.8	30	19.4	23	81	50	73	68	29	11	3.9	4.4	4.4	4.2	—	—	—	—	9	5	26	4	3	—	—	—	10	6
Okt.	0.8	8.9	2.5	3.7	−5.2	31	15.4	4	74	51	73	66	29	25	3.8	4.1	3.9	3.9	—	—	—	—	97	49	28	7	7	4	—	—	15	7
Nov.	−4.1	2.0	−3.2	−2.1	−10.0	8	5.8	20	73	57	70	67	38	20	4.7	5.2	4.4	4.8	—	—	—	—	95	58	30	10	5	10	—	—	10	7
Dez.	−4.8	−1.7	−4.5	−3.9	−11.6	16	4.7	2	77	67	74	73	42	15	6.5	5.8	6.0	6.1	1	—	1	2	88	23	10	15	13	15	—	—	8	14
Jahr	1.9	8.0	2.8	3.9	16.3	I	24.1	VII	74	53	70	66	10	III	4.5	4.9	4.6	4.7	1	—	2	3	740	58	XI	109	91	60	—	—	109	81

Graubünden

Seewis

$\lambda = 9°38'$, $\beta = 46°59'$, $H = 953$ m, $h_r = 1.5$ m — Beobachter: Frau B. Janett

Jan.	3.6	0.8	−3.2	−2.3	11.8	17	9.0	22	82	68	83	78	45	27.30	6.1	5.9	5.8	5.9	9	7	6	22	133	28	6	18	16	17	—	—	5	12
Feb.	−1.6	6.4	0.4	1.4	−7.8	2	11.0	27	74	54	76	68	40	27	2.0	1.8	1.5	1.8	3	1	1	5	22	17	21	2	2	2	—	—	21	2
März	3.2	10.5	4.7	5.8	−1.0	15	15.9	24	80	57	78	72	37	2, 3 10.17	6.1	6.1	4.6	5.6	7	5	7	19	37	14	7	10	9	2	—	—	9	11
Apr.	5.3	12.2	6.2	7.5	−0.9	20	20.1	14	76	55	73	68	35	13.14	4.4	5.6	3.3	4.4	6	7	5	18	62	17	18	10	8	5	—	—	12	8
Mai	10.1	15.8	9.4	11.2	0.5	1	22.2	10	76	56	78	70	33	5	4.5	6.7	4.2	5.1	5	4	4	13	108	76	1	10	10	1	—	2	6	7
Juni	13.1	18.0	12.6	14.1	5.6	11	26.1	19	79	65	84	76	40	3.19	7.3	7.1	7.0	7.1	7	6	5	18	124	19	28	23	19	—	—	3	2	13
Juli	15.6	21.8	15.3	17.0	7.8	1	28.4	10	78	60	82	73	40	12	4.1	5.1	3.9	4.4	4	4	3	11	127	25	14	16	12	—	1	3	11	5
Aug.	13.8	19.0	13.5	15.0	8.2	30	26.4	8	82	65	87	78	40	8	5.5	6.1	5.8	5.8	7	3	1	11	59	24	15	17	13	—	—	4	4	9
Sept	11.6	18.2	12.2	13.6	8.0	30	21.9	16	83	62	86	77	47	15.21	3.4	4.1	3.3	3.6	4	3	2	9	30	13	16	8	6	—	—	—	13	3
Okt.	5.5	12.2	6.4	7.6	−2.1	30.31	17.8	10	84	60	85	76	34	17	3.8	3.7	3.4	3.6	7	7	6	20	85	34	28	9	9	3	—	—	15	7
Nov.	−0.1	5.7	1.0	1.9	−3.5	3	11.1	30	82	64	82	76	44	20	4.8	5.6	3.9	4.8	4	3	4	11	58	23	14	8	6	8	—	—	9	7
Dez.	−0.6	3.0	−0.8	0.2	−6.0	15	8.7	1.2	83	71	85	80	36	17	7.2	5.7	5.1	6.0	10	7	5	22	85	30	28	13	11	13	—	—	5	10
Jahr	6.0	12.0	6.5	7.8	11.8	I	28.4	VII	80	61	81	74	33	V	4.9	5.3	4.3	4.8	73	57	49	179	930	76	V	144	121	51	1	12	112	94

Schiers

$\lambda = 9°42'$, $\beta = 46°58'$, $H_b =$ ca 682 m, $h_r = 1.5^m$ — Beobachter: Chr. Lötscher

Jan.	−4.3	−0.7	−3.1	−2.8	−13.4	18	5.6	21	91	77	85	84	58	26	6.4	6.7	6.1	6.4	3	1	2	6	92	22	10	15	13	13	—	—	5	13
Feb.	−4.0	4.0	−1.0	−0.5	−6.9	13	9.7	28	91	57	89	79	40	28	2.0	2.0	1.6	1.9	1	—	1	2	23	17	21	2	2	2	—	—	18	2
März	2.4	10.9	5.1	5.9	−1.4	1, 2 17	18.0	24	91	55	84	77	32	20	6.7	7.0	5.7	6.5	—	—	—	—	39	19	7	8	7	—	—	—	5	16
Apr.	4.0	14.1	6.9	8.0	−2.5	22	23.4	14	89	48	78	72	28	13	4.8	5.6	4.3	4.9	—	—	—	—	54	19	18	9	7	1	—	—	10	10
Mai	8.1	17.2	9.9	11.3	0.4	4	24.3	8	87	51	87	75	28	7	5.6	6.7	4.9	5.7	—	—	—	—	100	62	1	14	8	1	—	1	7	10
Juni	12.5	18.8	13.6	14.6	6.6	12	25.4	18.19	89	62	90	80	32	4	7.4	7.3	7.1	7.3	—	—	—	—	95	16	29	19	16	—	—	—	2	17
Juli	13.9	22.8	16.0	17.2	10.1	1.17	30.2	10	93	58	89	80	32	3	4.2	5.2	4.2	4.5		—	—	—	113	22	30	14	12	—	—	2	10	7
Aug.	12.9	20.8	14.5	15.7	6.0	31	28.0	8	91	59	90	80	37	8	5.8	5.7	6.2	5.9	—	—	—	—	69	21	15	12	10	—	—	3	7	11
Sept.	9.8	19.4	12.7	13.7	5.9	1	23.8	13	93	56	91	80	37	12	3.4	3.4	3.3	3.4	—	—	—	—	33	12	16	7	6	—	—	—	14	5
Okt.	4.3	13.1	6.4	7.6	−1.0	31	18.4	10	94	55	91	80	31	25	3.7	4.4	3.9	4.0	—	—	—	—	88	51	28	9	9	4	—	—	15	7
Nov.	1.4	3.6	0.2	0.6	−7.3	24	8.8	14	94	74	91	86	48	30	5.2	6.0	4.1	5.1	2	—	—	2	60	27	15	8	7	7	—	—	9	9
Dez.	−1.2	1.3	−0.9	−0.4	−8.4	15	6.0	1	93	83	92	89	70	1, 7 16, 17	7.5	6.1	5.2	6.3	1	—	—	1	71	20	28	12	11	10	—	—	5	9
Jahr	4.8	12.1	6.7	7.6	13.4	I	30.2	VII	91	61	88	80	28	IV, V	5.2	5.5	4.7	5.1	7	1	3	11	837	62	V	129	108	38	—	6	107	116

Tschiertschen

$\lambda = 9°36'$, $\beta = 46°49'$, $H = 1360$ m, $h_r = 1.5$ m — Beobachter: G. Meister

Jan.	5.2	0.8	4.8	3.9	14.1	17	7.4	19	—	—	—	—	—	—	5.8	5.9	6.6	6.1	—	1	—	1	64	15	8	15	11	15	—	8	15
Feb.	−2.8	4.8	−1.0	0.0	−10.0	2	9.1	27	—	—	—	—	—	—	2.1	1.7	1.8	1.9	2	—	1	3	16	13	21	2	2	2	—	20	2
März	1.8	7.7	2.1	3.4	−4.6	16	13.1	25	—	—	—	—	—	—	6.1	6.2	5.8	6.0	5	3	2	10	41	12	7	8	8	7	—	6	10
Apr.	4.1	9.7	3.6	5.2	3.3	21	18.1	14	—	—	—	—	—	—	4.4	5.3	4.2	4.6	5	4	3	12	52	12	18	9	7	7	—	12	9
Mai	7.9	13.5	7.1	8.9	0.0	3	18.9	23	—	—	—	—	—	—	4.8	6.5	4.9	5.4	4	2	3	9	96	51	1	13	8	4	—	6	7
Juni	10.9	14.7	10.1	11.5	2.7	11	21.7	19	—	—	—	—	—	—	6.2	6.8	7.4	6.8	5	2	4	11	91	18	20	19	14	—	—	3	16
Juli	13.7	19.3	13.1	14.8	6.1	1	25.8	10	—	—	—	—	—	—	4.2	4.4	4.1	4.2	3	1	1	5	121	48	30	15	11	—	—	10	6
Aug	11.4	16.6	11.2	12.6	5.4	31	23.1	8	—	—	—	—	—	—	5.5	6.2	5.8	5.8	2	1	—	3	92	27	23	15	10	—	—	6	11
Sept.	10.5	16.1	10.0	11.7	6.1	29	19.6	23	—	—	—	—	—	—	3.2	3.9	3.5	3.5	2	—	—	2	29	8	5	8	7	—	—	15	5
Okt.	4.1	9.9	4.4	5.7	4.3	30	14.1	3	—	—	—	—	—	—	3.6	3.3	3.5	3.5	5	5	2	12	76	37	28	11	8	4	—	16	4
Nov.	1.0	3.7	0.4	0.5	5.9	9	8.6	20	—	—	—	—	—	—	4.7	5.2	4.0	4.6	4	4	1	9	75	27	14	10	8	9	—	10	6
Dez.	−2.4	1.2	−2.1	−1.4	−7.6	14	8.3	2	—	—	—	—	—	—	7.2	5.7	5.3	6.1	3	5	2	10	72	16	28	13	11	13	—	5	10
Jahr	4.4	9.7	4.4	5.7	14.1	I	25.8	VII	—	—	—	—	—	—	4.8	5.1	4.7	4.9	40	28	19	87	825	51	V	138	105	61	—	117	101

Bivio

$\lambda = 9°\,39'$, $\beta = 46°\,28'$, $H =$ ca 1770 m, $h_r = 1.5$ m

Beobachter: U. Grisch

1959	Luft-Temperatur								Relative Feuchtigkeit						Bewölkung				Nebel (Zahl der Termine)				Niederschlag			Zahl der Tage						
	7^{30}	13^{30}	21^{30}	Mittel	Minimum	Tag	Maximum	Tag	7^{30}	13^{30}	21^{30}	Mittel	Minimum	Tag	7^{30}	13^{30}	21^{30}	Mittel	7^{30}	13^{30}	21^{30}	Total	Summe	Maximum	Tag	● *	●* ≧1.0	✳	▲	🌫	heiter	trüb
Jan.	-8.0	-2.6	-7.7	-6.5	-18.0	12	5.7	23	76	58	75	70	31	18	4.8	4.8	4.3	4.6	—	—	—	—	43	8	20	13	13	13	—	—	8	6
Febr	-6.6	3.0	-4.6	-3.2	10.7	12	7.9	26	70	48	67	62	30	17	2.7	1.5	1.9	2.0	—	—	—	—	13	6	21	3	3	3	—	—	18	2
März	-1.0	4.4	-0.2	0.7	-10.0	15	8.7	23	81	63	84	76	31	15	6.9	6.4	5.5	6.3	—	—	1	1	89	22	7	14	10	13	—	—	2	10
Apr.	0.0	6.2	0.5	1.8	-7.1	22	11.9	14	72	54	80	69	33	2	4.8	5.0	5.3	5.0	1	—	—	1	78	16	29	14	10	12	—	—	10	10
Mai	4.8	9.8	4.5	5.9	3.1	3	15.1	10	76	56	84	72	33	13	5.5	6.0	5.9	5.8	—		—	—	84	42	1	10	9	3	—	4	10	
Juni	7.6	12.3	7.7	8.8	-0.9	12	18.9	19	83	58	86	76	32	15	7.1	7.4	7.4	7.3	1	—	2	3	92	19	29	20	13	3	—	1	1	11
Juli	10.3	16.7	10.1	11.8	3.0	31	23.1	9	81	49	84	71	24	22	5.1	4.6	4.4	4.7	—	—	—	—	62	18	30	10	8	1	—	2	6	4
Aug.	8.2	14.5	9.1	10.2	1.3	31	22.6	26	86	54	87	76	33	7	6.1	5.7	6.4	6.1	1	—	—	1	65	18	15	13	9	—	—	2	2	9
Sept.	6.7	14.7	7.4	9.1	3.2	19	18.3	12	84	50	84	73	26	11	3.8	3.9	3.8	3.8	—	—	—	—	25	10	27	6	5	—	—	—	12	4
Okt.	1.1	8.5	1.8	3.3	-8.9	30	16.0	3	78	53	79	70	24	3	4.2	4.1	3.9	4.1	1	—	—	1	116	39	28	10	9	5	—	—	15	8
Nov.	-3.1	1.9	-2.3	-1.5	-4.8	9	6.6	20	75	60	75	70	34	20	6.0	6.0	5.6	5.9	—	—	—	—	126	37	15	13	12	12	—	—	6	11
Dez.	-4.8	-0.6	-3.8	-3.3	-11.4	14	5.2	2	81	64	74	73	37	23	6.7	5.8	5.9	6.1	2	—	—	2	106	14	4.8	17	17	17	—	—	5	11
Jahr	1.3	7.4	1.9	3.1	-18.0	I	23.1	VII	79	56	80	72	24	VII/X	5.3	5.1	5.0	5.1	6	—	3	9	899	42	V	143	118	82	—	5	89	96

Sils-Maria

$\lambda = 9°\,46'$, $\beta = 46°\,26'$, $H = 1802$ m, $h_r = 1.8$ m

Beobachter: K. Breu-Sciuchetti

Jan.	10.6	3.2	9.0	-8.0	-23.0	12	4.7	29	79	50	72	67	31	27	4.1	4.0	4.2	4.1	—	—	1	1	29	6	20	13	6	13	—	—	9	6
Febr	-10.2	2.4	-6.9	-5.4	-16.4	12	7.1	28	82	41	75	66	27	16	1.6	1.5	1.5	1.5	—	—	—	—	1	1	22	2	—	1	—	—	20	—
März	-3.1	4.1	-1.2	-0.3	-8.8	3.9	8.5	23	85	56	83	75	26	15	6.0	5.7	6.5	6.1	1	1	—	2	65	19	7	10	9	10	—	—	4	12
Apr.	-0.9	6.0	0.0	1.3	-7.9	11	12.8	5	73	50	78	67	25	2	3.8	4.4	5.2	4.5	—	—	1	1	63	18	29	13	10	11	—	-	9	9
Mai	4.8	9.7	4.5	5.9	-1.0	3	14.6	12	72	52	80	68	34	13	5.5	6.6	6.4	6.2	1	—	—	1	48	14	1	8	7	3	—	-	1	6
Juni	8.7	13.4	8.1	9.6	1.6	11	19.2	4	72	53	79	68	32	4	6.9	7.6	6.4	7.0	—	—	1	1	65	19	29	14	9	—	—	2	1	10
Juli	11.4	17.8	11.2	12.9	3.8	31	22.2	13	70	46	72	63	25	22	4.6	5.9	4.7	5.1	—	—	--	—	59	20	30	12	9	—	—	4	5	5
Aug.	8.9	15.0	9.4	10.7	2.8	31	20.6	27	78	51	79	69	30	29	6.4	6.6	5.8	6.3	2	—	—	2	59	11	15	11	11	—	—	1	1	8
Sept.	5.8	13.1	7.7	8.6	2.4	29	17.8	23	88	59	84	77	31	7	5.3	4.8	5.3	5.1	3	—	4	7	12	5	25	4	4	—	—	—	5	5
Okt.	-0.1	7.4	1.7	2.7	-7.4	30.31	15.4	4	87	57	81	75	20	4	4.4	4.4	5.2	4.7	—	—	1	1	110	42	28	7	6	4	—	—	8	8
Nov.	-4.8	0.7	-3.9	-3.0	-10.4	23	4.5	4	89	62	87	79	31	4	6.3	5.2	5.3	5.6	1	—	—	1	128	23	12	13	12	13	—	—	6	9
Dez.	-6.3	-1.7	-6.8	-5.4	-15.0	22	4.3	31	83	62	84	76	37	15	6.9	5.3	5.1	5.8	—	—	1	1	103	17	10	17	15	17	—	—	5	9
Jahr	0.3	7.1	1.2	2.5	23.0	I	22.2	VII	80	53	80	71	20	X	5.2	5.2	5.1	5.2	8	1	9	18	742	42	X	121	98	72	—	7	74	87

Sta. Maria (Münstertal)

$\lambda = 10°\,26'$, $\beta = 46°\,36'$, $H_b = 1411$ m, $h_r = 1.8$ m

Beobachter: Frau B. Graber

Jan.	-6.2	-2.3	-5.0	-4.6	-15.8	12	6.4	29	71	57	66	65	36	29	5.2	6.0	3.7	5.0	—	—	—	—	10	3	20	7	5	7	—	—	8	5
Febr	-3.1	3.4	-1.5	-0.7	-8.8	2	7.9	23	67	49	67	61	33	15	2.8	2.1	1.1	2.0	—	—	—	—	0	0	—	—	—	—	—	—	18	2
März	0.7	6.2	2.0	2.7	-4.2	17	10.8	24	81	62	83	75	37	15	7.3	7.3	6.3	7.0	—	—	—	—	80	27	30	10	9	3	—	—	5	17
Apr.	3.7	9.7	4.4	5.6	-2.7	22	15.3	15	69	51	71	64	28	2	5.6	4.7	4.4	4.9	—	—	—	—	44	13	30	8	8	4	—	—	10	10
Mai	8.7	13.5	8.1	9.6	2.2	4	18.4	18	54	54	78	62	27	27	5.2	7.6	6.2	6.3	–	-	–	-	35	9	29	10	8	—		–	3	12
Juni	12.2	16.5	11.8	13.1	5.9	11	21.2	19	56	57	76	63	35	1.16	7.0	8.2	7.6	7.6	—		–	–	54	28	29	10	8		—	—	2	15
Juli	14.9	20.2	14.7	16.1	7.3	31	27.8	6	55	53	76	61	30	6.18	4.6	6.2	4.9	5.2	—	-	—	—	89	26	30	12	11	—	—	3	5	9
Aug.	11.8	17.5	12.7	13.7	6.6	31	24.4	27	73	61	79	71	33	29	5.6	7.4	7.0	6.7	—	—	—	—	29	13	15	6	4	—	—	1	3	13
Sept.	9.0	16.1	10.5	11.5	4.8	30	21.2	23	84	57	81	74	35	18	5.0	5.1	3.4	4.5	—	—	—	—	6	4	29	2	2	—	—	—	9	7
Okt.	3.1	9.8	4.3	5.4	-2.2	30	18.2	22	80	57	77	71	26	23	4.1	4.2	3.9	4.1	—	—	—	—	88	45	28	7	5	2	—	—	13	7
Nov.	-2.3	1.5	-1.6	-1.0	-7.8	24	4.4	5	82	70	82	78	49	4	5.8	5.4	4.4	5.2	—	—	—	—	148	65	15	11	10	9	—	—	10	9
Dez.	-3.5	-0.7	-3.4	-2.8	-8.9	7	7.2	31	80	67	78	75	44	23	7.4	6.7	5.4	6.5	—	—	—	—	75	14	10	15	14	15	—	—	5	13
Jahr	4.1	9.3	4.7	5.7	-15.8	I	27.8	VII	71	58	76	68	26	X	5.5	5.9	4.8	5.4	—	—	—	—	658	65	XI	98	84	40	—	4	91	119

Robbia (San Carlo)

$\lambda = 10°\,04'$, $\beta = 46°\,21'$, $H = 1079$ m, $h_r = 1.5$ m

Beobachter: Kraftwerk Robbia

Jan.	4.6	1.0	3.1	2.5	12.8	12	9.0	31	73	51	67	64	15	25	3.1	4.4	3.0	3.5	2	—	—	2	28	7	22	6	5	6	—	—	15	4
Febr	2.3	7.5	0.5	1.0	8.2	13	13.2	28	81	42	78	67	20	16	2.2	1.4	1.0	1.5	—	—	—	—	2	2	2	1	1	—	—	—	19	—
März	2.8	8.5	4.0	4.8	3.2	15	14.2	24	85	61	84	77	28	14	6.6	6.8	6.0	6.5	—	—	—	—	100	23	7	13	12	1	—	—	5	15
Apr.	3.1	11.7	6.0	6.7	3.8	23	17.8	15	80	49	73	67	24	1	3.9	4.0	4.0	4.0	—	—	—	—	79	24	29	12	9	1	—	—	13	7
Mai	7.3	15.0	9.5	10.3	0.2	4	20.4	20	85	54	79	73	29	13	4.0	6.1	5.5	5.2			—	—	56	14	25	9	8				5	6
Juni	11.7	18.3	13.2	14.1	6.3	15	25.3	4	81	55	77	71	30	4.10	5.2	7.1	6.3	6.2	—	—	—	—	67	12	29	11	10			2	3	9
Juli	14.0	22.7	16.7	17.5	8.8	22	26.6	7	81	47	71	67	27	3	4.1	4.5	4.2	4.3	-	-	—	—	73	25	30	11	10	—	—	1	9	2
Aug.	11.8	19.4	13.9	14.7	5.4	31	25.1	27	87	57	83	76	33	3.17	4.3	6.4	4.9	5.2	—	—	—	—	90	20	11	11	10	—	—	2	4	5
Sept.	9.1	17.4	11.6	12.4	5.0	9	21.8	23	94	62	91	82	43	7	5.4	4.4	6.6	5.5	–	-	—	–	21	10	26	4	4				7	9
Okt.	4.1	11.7	5.7	6.8	2.5	31	17.9	4	87	59	85	77	22	23	4.5	4.1	4.8	4.5	1	-	2	3	131	52	28	7	6	-			11	8
Nov.	0.5	6.2	0.3	1.6	5.2	11	12.2	4	85	59	85	76	23	4	5.5	5.7	5.0	5.4	–				144	33	12	11	11	5	—	—	12	12
Dez.	1.0	3.2	0.6	0.3	8.2	15.17	10.4	31	78	61	76	72	26	30	6.0	5.3	5.6	5.6	3	—	—	3	120	37	26	12	11	12			10	12
Jahr	4.6	11.9	6.4	7.3	12.8	I	26.6	VII	83	55	79	72	15	I	4.6	5.0	4.7	4.8	6		2	8	911	52	X	108	97	25	—	5	113	89

Vicosoprano

$\lambda = 9°\,37'$, $\beta = 46°\,21'$, $H =$ ca 1065 m, $h_r = 15.^m$ — Beobachter: **Fam. Ganzoni-Roffler**

1959	Luft-Temperatur								Relative Feuchtigkeit						Bewölkung				Nebel Zahl der Termine				Niederschlag			Zahl der Tage					
	7^{30}	13^{30}	21^{30}	Mittel	Minimum	Tag	Maximum	Tag	7^{30}	13^{30}	21^{30}	Mittel	Minimum	Tag	7^{30}	13^{30}	21^{30}	Mittel	7^{30}	13^{30}	21^{30}	Total	Summe	Maximum	Tag	●	●★ ≥1.0	✳	▲	K	heiter	trüb
Jan.	-2.4	-0.8	-1.6	-1.6	-9.1	12	8.1	29	57	54	57	56	22	27	3.7	4.9	4.6	4.4	—	—	—	—	52	19	20	5	5	1	—	–	10	6
Feb.	1.7	4.3	1.8	2.4	-3.9	12	10.1	15	48	47	55	50	22	17	2.0	2.0	2.5	2.2	—	—	—	—	0	0	—	—	—	—	—	–	17	1
März	3.8	7.5	4.5	5.1	0.8	16	12.4	23	70	59	72	67	32	1	6.6	7.1	7.4	7.0	–	–	–	–	143	34	4	15	15	—	–	–	2	14
Apr.	5.5	10.3	6.7	7.3	-0.3	21	15.4	15	59	50	65	58	28	11	4.3	4.8	4.9	4.7	—	—	—	—	155	45	29	10	10	2	—	–	9	8
Mai	10.5	14.1	10.5	11.4	4.3	4	19.1	27	58	52	67	59	28	13.27	4.0	6.9	6.5	5.8	—	—	—		68	14	22	10	9	—	—	–	1	7
Juni	14.1	17.6	14.1	15.0	8.4	12	22.3	19	58	53	62	58	33	1	5.5	6.6	5.6	5.9	—	—	—	—	91	21	28	11	11	—	—	–	3	5
Juli	17.2	22.2	17.2	18.4	9.4	31	25.7	20	57	43	59	53	27	3	4.4	5.0	4.4	4.6	—	—	—	—	91	23	30	10	9	—	—	–	8	3
Aug.	14.7	19.4	15.2	16.1	10.2	31	23.6	27	61	50	66	59	28	29	5.5	6.3	5.6	5.8	—	—	—	—	84	25	22	13	13	—	—	–	3	7
Sept.	11.4	16.1	12.7	13.2	7.5	9	19.1	13	74	61	78	71	42	9	5.5	6.1	5.7	5.8	–	–	–	–	23	11	26	9	6	—	–	–	7	10
Okt.	1.3	10.4	7.0	7.7	1.5	31	15.1	2	69	59	74	67	22	23	4.9	5.2	5.5	5.2	—	—	—	—	170	61	27	7	7	—	—	–	9	10
Nov.	1.6	3.2	1.8	2.1	-3.3	24	8.6	2	67	67	68	67	26	4	5.8	5.5	5.2	5.5	–	–	–	–	192	40	14	14	14	—	–	–	10	13
Dez.	0.1	1.7	0.5	0.7	-5.7	17	9.3	31	66	61	65	64	32	22	5.7	5.7	5.0	5.5	—	—	—	—	150	29	10	13	12	9	–	—	9	9
Jahr	7.0	10.5	7.6	8.2	-9.1	I	25.7	VII	62	55	66	61	22	I/II, X	4.8	5.5	5.2	5.2	—	—	—	—	1219	61	X	117	111	12	—	—	88	93

Grono

$\lambda = 9°\,09'$, $\beta = 46°\,15'$, $H = 357$ m, $h_r = 1.5$ m — Beobachter: **A. Parolini**

Jan.	-0.1	4.5	1.7	2.0	-4.8	12.13	10.4	24	71	52	62	62	20	9	3.3	3.1	2.7	3.0	3	1	1	5	23	10	20	5	3	2	—	—	18	5
Feb.	2.5	9.4	5.3	5.6	-2.0	13	17.1	22	72	49	64	62	25	21	1.7	1.6	1.6	1.6	—	—	—	—	5	3	2	3	3	2	—	—	22	3
März	6.8	12.6	8.5	9.1	3.8	15	18.0	24	82	58	74	71	26	13.14	6.0	6.0	5.3	5.8	—	—	—	—	108	27	6	13	10	—	–	–	6	11
Apr.	7.9	15.7	10.1	11.0	2.4	22	20.4	14	74	47	65	62	23	1	3.1	3.6	2.9	3.2	—	—	—	—	100	51	29	6	6	—		—	16	5
Mai	13.2	19.1	14.0	15.1	9.0	1.2	25.6	12	77	51	70	66	23	3	4.4	5.0	4.2	4.5	—	—	—	—	41	8	22.28	9	7	—	—	1	8	6
Juni	18.0	22.6	17.9	19.1	14.0	13	27.0	18	73	56	69	66	25	10	4.4	4.5	4.7	4.5	—	—	—	—	98	39	28	10	9	–	–	–	6	5
Juli	20.0	27.1	20.9	22.2	13.8	31	30.9	11	74	46	66	62	24	21	2.5	2.4	2.4	2.4	—	—	—	—	60	23	14	6	5	—	—	1	16	0
Aug.	17.2	24.3	18.4	19.6	15.0	30/31	28.2	14	79	51	72	67	26	16	3.6	3.9	3.2	3.6	—	—	—	—	91	27	22	11	10	—	—	1	11	5
Sept	14.2	21.1	16.4	17.0	10.0	9	24.0	12	91	59	80	77	40	8	4.7	4.1	3.5	4.1	—	—	1	1	26	7	25	6	6	—	—	–	10	5
Okt.	8.9	14.8	10.4	11.1	4.6	31	21.0	12	83	59	79	74	20	23	3.9	3.9	3.0	3.6	—	—	—	—	173	52	28	8	7	—	—	–	15	5
Nov.	3.6	8.5	5.0	5.5	-1.9	24	14.6	1	87	69	81	79	36	1	4.5	4.9	4.6	4.7	—	4	—	4	183	38	30	14	14	2	–	–	13	9
Dez.	1.9	5.3	2.8	3.2	-3.0	16	10.0	19	84	68	79	77	32	5	4.4	4.9	3.3	4.2	—	—	—	—	155	23	3	14	14	5	–	—	14	7
Jahr	9.5	15.4	10.9	11.7	-4.8	I	30.9	VII	79	55	72	69	20	IX	3.9	4.0	3.5	3.8	3	5	2	10	1063	52	X	105	94	11	—	3	155	66

Tessin

Airolo

λ 8° 37', $\beta = 46°\,32'$, $H_b =$ ca 1170 m, $h_r = 1.5^m$ — Beobachter: **Fam. Rossi-Burkhalter**

Jan.	-3.6	-0.4	-2.8	-2.4	-10.0	11	5.8	31	77	68	72	72	36	26	5.3	5.8	5.4	5.5	—	—	—	—	96	17	6	15	15	15	—	—	8	11
Feb.	-0.9	3.9	0.4	0.9	-5.3	13	8.7	28	67	52	65	61	33	17	2.6	2.7	3.1	2.8	—	—	—	—	11	5	22	4	4	3	–	—	3	14
März	2.5	6.6	3.7	4.1	0.1	2	12.3	23	82	66	78	75	24	15	6.9	7.3	7.9	7.4	1	—	1	2	138	41	4	13	11	7	–	—	1	15
Apr.	3.0	9.3	4.7	5.4	-3.0	10	16.4	14	80	60	74	71	29	5	4.4	5.0	5.4	4.9	—	—	—	—	157	52	29	13	12	2	—	—	8	7
Mai	8.4	14.4	8.8	10.1	2.6	4	18.1	11	74	55	74	68	33	27	4.4	5.9	5.8	5.4	–	–	–	–	22	8	22	9	6	—	—	—	1	4
Juni	12.3	18.3	12.6	13.9	6.4	12	24.0	19	77	59	75	70	32	3	4.6	5.3	5.8	5.2	—	—	—	—	57	13	28	12	9	—	—	2	2	4
Juli	14.3	21.3	15.8	16.8	8.0	1	27.2	10	76	54	73	68	26	3	4.1	4.5	5.5	4.7		—	—	—	82	17	28	11	9	—	—	6	7	5
Aug.	12.5	18.9	13.5	14.6	8.5	31	24.5	27	79	62	75	72	31	1	5.3	5.8	5.7	5.6	–	–	–	–	76	21	10	11	10	—	—	2	2	7
Sept.	10.1	16.5	12.2	12.8	6.7	9	20.1	23	88	68	80	79	53	18	5.1	5.5	7.2	5.9	3	—	3	6	29	13	26	8	5	—		—	4	10
Okt.	3.9	10.4	5.5	6.3	-1.5	30	16.1	3	80	61	74	72	30	13	4.8	5.2	5.3	5.1	—	—		—	186	65	27	8	7	2	–	–	8	8
Nov.	-0.3	3.3	0.2	0.8	-6.8	24	10.3	4	79	70	77	75	29	4	6.1	5.9	5.3	5.8	—	—	—	–	245	73	30	13	12	8	–	—	8	13
Dez.	-1.9	0.4	-2.0	-1.4	-8.5	16	7.3	30	83	76	80	80	50	15.17	6.1	6.4	5.7	6.1	—	—	—	—	167	32	28	17	16	16	—	—	5	12
Jahr	5.0	10.2	6.0	6.8	10.0	I	27.2	VII	78	63	75	72	24	III	5.0	5.4	5.7	5.4	4	—	4	8	1266	73	XI	134	116	53	—	10	57	110

Comprovasco

$\lambda = 8°\,56'$, $\beta = 46°\,27'$, $H_b = 544.1$ m, $h_r = 1.5$ m — Beobachter: **Frl. P. Gianella**

Jan.	0.9	4.3	0.3	0.7	-6.4	11	8.5	24	69	47	63	60	15	25	4.6	5.0	3.7	4.4	—	—	—	—	26	12	20	9	7	8	–	–	11	6
Feb.	1.5	9.0	2.8	4.0	-2.9	13	15.9	16	74	44	71	63	12	16	2.5	2.7	2.3	2.5	—	—	—	—	4	2	1	2	2	2	–		20	4
März	5.7	11.7	7.2	8.0	0.2	15	16.0	23.24	81	55	75	70	24	8	6.9	7.7	7.4	7.3	2	—	—	2	109	31	4	13	10	–	–	–	4	18
Apr.	6.6	14.5	8.2	9.4	0.6	22.23	20.4	15	75	49	72	65	22	22	4.2	4.4	4.2	4.3	—	—	—	—	120	53	29	8	7	–	–	–	11	8
Mai	10.9	18.9	12.0	13.4	6.0	3.4	24.6	27	82	46	75	68	20	30	4.3	6.2	4.7	5.0	—	—	—	—	30	8	22	11	8	—	—	1	3	7
Juni	15.3	22.5	16.2	17.6	11.2	3	27.6	23	76	47	69	64	25	10	5.4	6.8	4.9	5.7	—	—	—	—	75	19	28	12	10	—	—	3	2	6
Juli	16.5	26.0	19.1	20.2	11.5	30	30.1	4.7	85	51	73	70	31	2	3.9	4.3	3.7	4.0	—	—	—	—	123	35	10	10	9	–	–	6	11	2
Aug.	15.1	23.0	16.4	17.7	10.0	31	28.5	13	85	58	80	74	32	29	4.6	5.5	4.4	4.8	—	—	—	—	99	20	22	13	12	—	—	3	3	7
Sept	12.8	20.2	14.1	15.3	8.6	9	23.5	22	92	62	93	82	41	22	6.0	5.4	6.2	5.9	—	—	—	—	27	10	25	5	4	–	–	–	5	10
Okt.	7.2	14.0	8.4	9.5	2.2	17	19.7	12	84	59	82	75	18	23	5.1	4.8	5.3	5.1	—	—	—	—	146	47	27	7	6	—	—	—	9	10
Nov.	2.4	7.8	3.5	4.3	2.7	24	14.4	2	84	65	81	77	28	2	5.9	6.0	5.6	5.8	—	—	—	—	189	52	14	13	13	3	–	—	7	14
Dez.	1.3	5.4	1.5	2.4	-4.3	17	11.0	31	78	63	76	72	30	5-13/22	6.1	5.8	5.1	5.7	1	—	—	1	116	27	10	13	11	7	—	—	9	9
Jahr	7.9	14.8	9.1	10.2	-6.4	I	30.1	VII	80	54	76	70	12	II	5.0	5.4	4.8	5.0	3	—	—	3	1064	53	IV	116	99	20	—	13	95	101

Fescoggia

$\lambda = 8° 53'$, $\beta = 46° 02'$, $H =$ ca 855 m, $h_r = 1.8$m — Beobachter: Frl. H. Suter

1959	Luft-Temperatur							Relative Feuchtigkeit						Bewölkung				Nebel (Zahl der Termine)				Niederschlag		Zahl der Tage						
	7^{30}	13^{30}	21^{30}	Mittel	Minimum	Tag	Maximum Tag	7^{30}	13^{30}	21^{30}	Mittel	Minimum	Tag	7^{30}	13^{30}	21^{30}	Mittel	7^{30}	13^{30}	21^{30}	Total	Summe	Maximum Tag	☁	● ≧1.0	✳	▲	K	heiter	trüb
Jan.	0.3	5.4	1.2	2.0	−4.6	11	12.0 30	—	—	—	—	—	—	3.8	4.3	3.5	3.9	3	5	2	10	37	11 21	6	5	3	—	—	13	4
Febr	3.4	10.0	4.3	5.5	−1.5	2	16.4 21	—	—	—	—	—	—	3.6	3.1	3.1	3.3	2	1	2	5	10	6 2	3	2	2	—	—	15	5
März	6.1	9.2	6.5	7.1	2.3	17	14.8 2	—	—	—	—	—	—	7.7	8.1	7.8	7.9	5	4	5	14	243	52 6	14	14	—	—	—	3	21
Apr.	8.3	12.5	8.0	9.2	2.8	21	19.0 19	—	—	—	—	—	—	5.8	6.9	4.6	5.8	3	2	—	5	269	130 29	11	8	1	—	1	4	9
Mai	11.8	15.3	11.8	12.7	7.4	4	19.4 20	—	—	—	—	—	—	5.4	7.3	6.0	6.2	—	2	—	2	118	26 29	10	9	—	—	2	1	9
Juni	15.0	18.8	15.6	16.3	10.2	11	22.6 19	—	—	—	—	—	—	6.1	6.3	5.5	6.0	3	—	1	4	223	64 26	15	12	—	—	9	4	8
Juli	17.7	22.7	18.6	19.4	12.4	31	26.0 21	—	—	—	—	—	—	4.6	5.5	4.4	4.8	1	—	—	1	134	33 29	10	9	—	1	10	9	10
Aug.	15.8	20.4	16.5	17.3	10.4	31	24.0 26	—	—	—	—	—	—	5.0	5.4	5.7	5.4	—	1	—	1	195	54 21	15	12	—	1	10	8	8
Sept	13.5	17.4	13.8	14.6	9.2	30	21.7 24	—	—	—	—	—	—	6.3	6.5	4.8	5.9	1	1	—	2	105	75 26	7	4	—	—	1	6	8
Okt.	8.8	12.6	8.9	9.8	3.4	28	18.4 23	—	—	—	—	—	—	6.1	6.0	5.4	5.8	5	4	3	12	337	104 28	9	7	—	—	—	8	12
Nov.	3.9	7.3	4.4	5.0	−0.2	24	12.6 4	—	—	—	—	—	—	6.5	6.4	6.2	6.4	5	7	4	16	322	57 14	14	14	3	—	—	6	16
Dez.	2.3	4.9	2.8	3.2	−0.8	9	13.5 31	—	—	—	—	—	—	5.5	6.1	5.8	5.8	6	6	8	20	265	63 3	14	13	8	—	—	7	12
Jahr	8.9	13.0	9.4	10.2	−4.6	I	26.0 VII	—	—	—	—	—	—	5.5	6.0	5.2	5.6	34	33	25	92	2258	130 IV	128	109	17	2	33	84	122

Monte Brè (s. Lugano)

$\lambda = 8° 59'$, $\beta = 46° 01'$, $H_b = 910$m, $h_r = 1.5$m — Beobachter: Direzione Funicolare, Cassarate-Monte-Brè

Jan.	0.3	2.5	1.1	1.2	−4.8	12	6.8	15.24	58	53	55	55	16	25	3.4	3.7	3.2	3.4	4	4	3	11	29	7	20	5	5	2	—	—	16	4
Febr	3.1	5.9	4.3	4.4	−2.7	2	12.6	28	63	55	61	60	27	21	2.8	2.3	2.6	2.6	2	1	1	4	17	9	2	2	2	2	—	—	19	4
März	5.6	8.7	6.7	6.9	1.8	17	13.3	23	78	70	75	74	33	13	7.4	7.1	7.0	7.2	9	6	5	20	181	41	4	12	12	1	—	—	4	18
Apr.	6.9	11.1	8.8	8.9	2.2	22	15.3	15	73	64	67	68	32	20	4.7	5.2	4.3	4.7	2	2	1	5	220	94	29	9	9	—	—	1	9	8
Mai	11.3	15.3	12.4	12.9	5.2	15	19.0	12.27	71	64	69	68	34	16	4.7	5.7	5.8	5.4	—	2	—	2	114	24	29	10	10	—	—	3	2	7
Juni	15.3	18.6	16.9	16.9	10.9	12	22.8	23	69	66	66	67	32	10.11	5.7	5.4	4.9	5.3	4	2	—	6	240	54	29	12	12	—	—	5	4	5
Juli	18.0	22.1	20.0	20.0	11.2	31	25.0	11	68	64	67	66	35	4	4.0	3.9	3.4	3.8	—	—	—	—	151	67	14	8	8	—	—	6	10	3
Aug.	15.9	19.6	17.4	17.6	9.2	31	22.0	26.27	71	68	71	70	38	1.16	4.5	4.1	4.9	4.5	2	1	1	4	183	64	22	15	14	—	—	4	9	4
Sept.	13.0	16.2	14.2	14.4	9.2	30	19.0	24	83	75	82	80	60	2	6.5	5.0	5.6	5.7	4	2	2	8	54	28	26	5	4	—	—	—	5	9
Okt.	8.6	10.9	9.0	9.4	2.8	28	15.2	23	74	70	78	74	20	23	5.8	4.5	6.0	5.4	9	4	4	17	275	95	20	7	6	—	—	—	8	12
Nov.	4.2	6.0	4.5	4.8	0.8	12	9.9	4	73	70	77	73	38	21	6.3	5.9	5.4	5.9	4	6	4	14	282	49	12	14	14	3	—	—	10	15
Dez.	2.6	3.9	2.9	3.1	−0.8	21	11.9	31	66	63	66	65	32	22	5.2	5.5	4.9	5.2	5	6	4	15	215	43	10	14	14	9	—	—	12	13
Jahr	8.7	11.7	9.8	10.0	−4.8	I	25.0	VII	70	65	70	68	16	I	5.1	4.8	4.8	4.9	45	36	25	106	1961	95	X	113	110	17	—	19	108	102

Monats- und Jahresübersichten des synoptischen Stationsnetzes

Auf den nachfolgenden Seiten werden Jahresübersichten der Beobachtungen von sechs schweizerischen Stationen des synoptischen Netzes veröffentlicht. Dazu kommen die Beobachtungen der beiden in der Nähe der Schweizer Grenze gelegenen Stationen Aéroport Bâle-Mulhouse und Plateau Rosà (beim Theodulpaß), welche uns vom französischen bzw. italienischen meteorologischen Dienst freundlicherweise zur Verfügung gestellt werden. Die acht internationalen Beobachtungstermine sind in MEZ in die Tabellenüberschriften eingesetzt. Die tatsächlichen Beobachtungszeiten liegen in der Regel etwas früher, und zwar

	Lufttemperatur	Luftdruck
Schweizerische Stationen	30 Min.	20 Min.
Aéroport Bâle-Mulhouse	10 Min.	0 Min.
Plateau Rosà	20 Min.	20 Min.

Für die Umrechnung der Barometerablesungen von Millimeter Quecksilbersäule auf Millibar wurde in der Schweiz, da die Abweichungen der Schwerebeschleunigung vom Normalwert bei 45° geogr. Breite auf Meeresniveau $g_0 = 980{,}626$ cm/sec² im allgemeinen gering sind, einheitlich der Faktor 1,3332 verwendet, was für einzelne, besonders für hochgelegene Stationen kleine Fehler bei der Druckangabe in mb bedingt, wenn die Luftdrucke den geometrischen Barometerhöhen des Ortes zugeordnet werden. Um diese Fehler zu eliminieren, werden als Höhenangaben der Stationen nicht die Höhen H_b des Barometers aufgeführt, sondern die Höhen H_p, auf welche sich die so berechneten Luftdruckangaben beziehen, indem die Schwerekorrektion G in Form einer Höhenkorrektur ΔH berücksichtigt wird. Im Jahr 1955 wurden, wie im Vorwort 1956 erwähnt ist, die Schwerekorrektionen G neu berechnet und ferner statt des bisher verwendeten Wertes $g_0 = 980{,}626$ cm/sec² der von der meteorologischen Weltorganisation (OMM) vorgeschriebene Normalwert $g_0 = 980{,}665$ cm/sec² eingesetzt, so daß die G-Werte gegenüber den früheren Jahren etwas verändert sind. Die nachfolgende Tabelle gibt eine Übersicht der Werte von H_b, H_p sowie der Korrektur der Barometerstände infolge des von der normalen Schwerebeschleunigung g_0 abweichenden Wertes g am betreffenden Ort. Für Kloten ist die Differenz zwischen H_b und H_p größer als der Schwere-Korrekturbetrag ΔH, da entsprechend den internationalen Vorschriften eine Reduktion des abgelesenen Barometerstandes auf Pistenhöhe vorgenommen wird.

	H_b	g (cm/sec²)	G	ΔH	H_p
Flughafen Zürich-Kloten	440,3 m	980,69	0,03 mb	0,2 m	431 m
Gütsch ob Andermatt	2288 m	980,17	–0,39 mb	–4,0 m	2284 m
Aéroport Bâle-Mulhouse	268 m	980,79	0,13 mb	—	268 m
Meteorolog. Obs. Bern	572,2 m	980,61	–0,05 mb	–0,4 m	572 m
Aéroport Genève-Cointrin	430 m	980,60	–0,06 mb	–0,6 m	429 m
Sion Aérodrome	482,6 m	980,48	–0,18 mb	–1,5 m	481 m
Plateau Rosà	3488 m	979,91	–0,51 mb	—	3488 m
Locarno-Aeroporto	198,5 m	980,66	–0,01 mb	–0,1 m	198 m

Mit Ausnahme der Station Plateau Rosà, wo die Thermometerhütte auf der Nordseite des Hauses etwa 9 Meter über Boden befestigt ist, sind alle Stationen mit englischen Hütten (Stevenson Screen) ausgerüstet, wobei die Temperaturmessung rund 2 m über der Bodenoberfläche erfolgt.

Die relative Feuchtigkeit wird auf Plateau Rosà mit einem Haarhygrometer, in Bâle-Mulhouse mit einem unventilierten Standpsychrometer, auf den übrigen Stationen mit ventilierten Standpsychrometern bestimmt. Die Niederschläge werden im schweizerischen Netz mit Hellmannschen Regenmessern von 200 cm² Öffnung gemessen. Die Station Gütsch besitzt einen Regenmesser mit Niphertrichter. In Bâle-Mulhouse wird der im französischen Wetterdienst gebräuchliche Regenmesser (pluviomètre association) von 400 cm² Öffnung verwendet.

Als Zahl der Gewittertage wird, wie in der Schweiz bisher allgemein üblich, die Zahl der Tage mit Nahgewitter (innerhalb eines Umkreises von 3 km) angegeben, Ferngewitter sind nicht berücksichtigt. Als heitere Tage gelten solche mit einer Bewölkungssumme von höchstens 12 Okta aus allen 8 Beobachtungsterminen, als trübe Tage solche mit einer Summe von mindestens 52 Okta.

Die Windgeschwindigkeiten werden mit verschiedenartigen Schalenkreuzanemometern bestimmt. In Bern wurde Ende 1958 anstelle der alten Staudruckdüse ein neuer Fuess-Anemograph aufgestellt.

$\lambda = 8°\,34'$, $\beta = 47°\,27'$, $H_0 = 431$ m, $h_T = 1.7$ m

Flughafen Zürich-Kloten

1959 — 900 mb + Luftdruck in Millibar; Minimum-Thermometer; Maximum-Thermometer

	1h	4h	7h	10h	13h	16h	19h	22h	Mittel	Minimum	Tag	Maximum	Tag	Mittel	Minimum	Tag	Mittel	Maximum	Tag
Januar	64.8	64.4	64.1	65.1	65.0	64.5	64.9	65.1	964.7	947.9	8	983.1	27	−4.3	−13.8	18	2.9	10.4	22
Februar	79.3	79.0	79.3	79.9	79.6	78.5	78.8	79.2	979.2	968.0	2	993.0	15	−3.5	−7.1	5	6.4	16.2	28
März	65.5	65.1	65.3	66.0	65.4	64.4	64.7	65.4	965.2	952.7	7	977.1	23	3.1	−3.2	3	12.5	18.8	21
April	62.1	61.7	62.0	62.3	61.6	60.7	60.8	61.6	961.6	943.6	16	975.9	2	3.3	−3.7	22	15.3	23.2	14
Mai	64.4	64.1	64.5	64.7	64.1	63.5	63.5	64.5	964.2	953.2	9	973.6	13	7.0	−0.4	4	19.3	25.3	10
Juni	68.8	68.4	68.8	69.1	68.8	68.1	67.9	68.8	968.6	956.8	29	977.4	14	11.8	7.0	12	21.8	28.1	19
Juli	67.9	67.6	68.0	68.2	67.8	67.1	67.1	67.8	967.7	956.1	29	978.0	1	13.7	10.5	1	25.6	32.5	10
August	68.2	67.9	68.1	68.5	68.0	67.4	67.5	68.4	968.0	960.8	10	976.8	25	11.9	5.8	31	23.1	28.1	9
September	68.8	68.6	68.9	69.4	68.8	67.9	67.8	68.8	968.6	961.8	14	975.6	28	8.3	3.0	30	21.7	27.5	13
Oktober	68.8	68.5	68.6	69.3	68.7	67.9	68.2	68.6	968.6	936.7	28	983.9	23	5.0	0.4	24	13.5	21.4	2
November	65.4	65.0	64.8	65.2	64.6	64.2	64.6	64.8	964.8	939.8	30	976.4	2	0.6	−3.5	17	4.7	10.7	2
Dezember	58.3	58.3	58.6	59.5	59.2	58.7	58.9	59.2	958.8	936.6	1	975.4	30	0.0	−7.0	17	5.4	10.7	27
Jahr	66.9	66.6	66.8	67.3	66.8	66.1	66.2	66.9	966.7	936.6	XII	993.0	II	4.7	−13.8	I	14.4	32.5	VII

Lufttemperatur; Relative Feuchtigkeit

	Lufttemperatur 1h	4h	7h	10h	13h	16h	19h	22h	Mittel	Minimum	Tag	Maximum	Tag	Relative Feuchtigkeit 1h	4h	7h	10h	13h	16h	19h	22h	Mittel	Minimum	Tag
Januar	−0.9	−0.9	−1.5	−1.2	0.8	1.8	−0.4	−1.1	−0.4	−11.8	18	9.8	23	87	86	90	90	83	76	85	90	86	45	21
Februar	−1.5	−2.1	−2.7	−1.8	1.9	6.0	2.7	−0.1	0.3	−6.4	5	16.2	28	93	93	94	94	84	67	80	91	87	38	18
März	4.5	3.8	3.5	5.8	9.9	11.9	9.7	6.2	6.9	−2.6	3	18.2	21	95	96	97	90	70	61	73	90	84	35	1
April	6.3	5.0	4.7	9.7	13.2	14.3	12.9	8.3	9.3	−3.0	22	23.2	14	86	91	91	71	58	52	57	78	73	28	23
Mai	10.2	8.4	8.9	13.8	17.3	18.7	17.3	12.8	13.4	1.1	4	25.0	21	85	91	89	69	54	48	57	73	71	17	27
Juni	14.2	13.0	13.5	17.0	19.6	20.8	20.0	16.3	16.8	7.8	12	28.0	19	86	91	90	73	61	55	60	78	74	26	4
Juli	16.2	14.9	15.6	20.2	23.4	24.8	23.3	18.6	19.6	11.0	2	32.4	10	89	93	92	71	58	53	59	80	74	28	27
August	14.8	13.4	13.1	17.1	21.0	22.7	20.5	16.7	17.4	6.4	31	28.1	9	89	93	94	79	62	54	65	81	77	37	31
September	11.7	9.8	9.0	14.2	19.2	21.4	18.9	14.0	14.8	3.0	30	27.4	13	86	92	94	78	60	51	61	80	75	31	13
Oktober	6.7	5.9	5.7	7.1	10.5	13.1	10.0	7.4	8.3	0.4	24	21.1	2	94	97	97	94	83	72	87	95	90	41	23
November	1.4	1.1	1.2	1.7	3.2	4.3	2.9	2.1	2.2	−3.4	17	9.7	2	90	96	95	93	89	86	92	94	92	62	2
Dezember	1.7	1.7	1.8	2.1	4.3	4.7	2.2	1.7	2.5	−6.8	17	10.2	30	92	93	92	91	82	80	89	93	89	59	17
Jahr	7.1	6.2	6.1	8.8	12.0	13.7	11.7	8.6	9.3	−11.8	I	32.4	VII	90	93	93	83	70	63	72	85	81	17	V

Bewölkung in Achteln (Okta); Nebel Zahl der Beobachtungstermine; Niederschlag; Zahl der Tage

	Bewölkung 1h	4h	7h	10h	13h	16h	19h	22h	Mittel	Nebel 1h	4h	7h	10h	13h	16h	19h	22h	Total	Niederschlag Summe	Maximum	Tag	Zahl der Tage ☀	☀ ≧1.0	✳	▲	K	heiter	trüb
Januar	6.4	5.8	5.9	6.6	6.3	6.4	5.8	6.1	6.2	4	4	1	4	—	—	1	2	16	118	32	6	20	16	17	—	—	2	20
Februar	4.6	5.1	5.6	5.9	4.1	3.6	3.6	4.0	4.6	6	8	9	11	3	—	1	3	41	8	4	21	4	3	1	–	–	3	9
März	5.1	6.2	7.3	6.7	6.0	5.9	5.5	5.0	6.0	—	3	7	2	—	—	—	—	12	73	22	12	12	11	—	–	–	—	13
April	4.2	4.5	4.8	4.7	4.8	5.1	5.2	4.5	4.7	—	1	1	—	—	—	–	—	2	89	17	30	13	13	1	–	—	6	10
Mai	4.4	4.5	5.0	4.7	5.4	5.0	5.1	4.8	4.9	—	2	2	—	–	—	–	—	4	54	20	14	10	8	—	–	5	2	6
Juni	5.7	5.7	6.0	5.7	5.2	5.7	5.7	6.3	5.7	—	1	2	—	–	—	–	—	3	150	31	13	15	13	—	–	4	1	15
Juli	3.0	3.8	4.3	3.6	3.4	3.9	4.0	3.8	3.7	1	—	1	—	–	—	–	—	2	88	27	6	11	9	–	–	7	8	5
August	3.4	3.4	5.8	5.3	4.7	4.7	5.1	4.4	4.6	—	2	6	—	–	—	–	—	8	67	20	15	7	7	–	1	4	2	7
September	1.4	1.8	2.9	3.1	2.8	2.7	2.7	2.0	2.4	—	2	3	2	–	—	—	1	8	22	18	17	3	2	–	–	—	15	3
Oktober	6.1	6.7	7.6	7.7	5.7	4.6	4.2	5.0	6.0	11	13	12	12	–	–	–	5	53	97	23	28	13	12	1	–	–	–	15
November	7.4	7.8	7.6	7.7	7.6	7.3	6.9	6.8	7.4	6	8	9	7	3	2	4	6	45	49	19	14	8	8	2	—	1	—	26
Dezember	7.3	6.9	7.5	7.1	6.5	5.9	5.7	6.6	6.7	2	—	3	2	1	1	2	3	14	97	22	23	16	13	1	—	—	—	19
Jahr	4.9	5.2	5.8	5.7	5.2	5.1	4.9	4.9	5.2	30	44	56	40	7	3	8	20	208	912	32	I	132	115	23	1	21	39	148

Windverteilung; Windgeschwindigkeit in Knoten

	Windverteilung 350°–10°	20°–40°	50°–70°	80°–100°	110°–130°	140°–160°	170°–190°	200°–220°	230°–250°	260°–280°	290°–310°	320°–340°	Calmen	Windgeschwindigkeit 1h	4h	7h	10h	13h	16h	19h	22h	Mittel
Januar	5	14	13	12	20	22	8	15	60	35	8	11	25	5.2	6.4	6.8	6.5	7.6	7.6	4.9	4.5	6.2
Februar	13	22	37	14	8	3	1	1	7	13	15	20	70	3.7	3.3	3.4	3.9	4.5	5.2	3.7	3.0	3.8
März	9	16	20	20	17	23	3	14	14	23	23	25	41	2.1	1.9	2.3	3.3	4.5	5.3	3.4	2.8	3.2
April	4	17	23	16	17	12	8	8	30	45	17	11	32	3.4	3.8	3.2	6.4	8.8	8.4	5.9	4.1	5.5
Mai	22	33	47	17	12	5	3	4	10	15	28	29	23	3.0	2.5	2.7	4.4	7.0	8.1	6.3	4.6	4.8
Juni	18	26	17	14	12	17	8	11	17	31	33	19	17	1.9	2.1	2.9	5.0	5.8	6.4	4.3	3.7	4.0
Juli	15	25	25	18	24	13	5	4	12	30	25	19	33	2.0	2.1	1.8	4.4	6.2	6.9	5.9	2.3	4.0
August	20	34	32	18	15	11	3	4	6	29	21	29	26	2.6	2.3	2.3	4.9	5.7	7.1	4.9	2.6	4.1
September	24	46	29	13	12	9	1	1	7	8	17	24	49	2.4	1.5	1.6	3.9	5.9	5.9	2.9	2.4	3.3
Oktober	17	14	9	8	19	6	12	13	18	24	26	15	67	1.6	1.9	1.8	2.6	3.7	4.1	1.8	1.6	2.4
November	18	31	8	14	31	19	8	7	17	22	15	16	34	2.4	2.1	2.2	2.9	3.8	4.3	3.4	2.7	3.0
Dezember	15	12	9	5	19	18	12	32	41	22	17	21	25	4.2	4.3	3.7	3.8	5.6	4.8	5.1	3.9	4.4
Jahr	180	290	269	169	206	158	72	114	239	297	245	239	442	2.9	2.9	2.9	4.3	5.8	6.2	4.4	3.2	4.1

$\lambda = 8^\circ 37'$, $\beta = 46^\circ 39'$, $H_b = 2284$ m, $h_T = 2.1$ m

Gütsch ob Andermatt

1959 — Luftdruck in Millibar (700 mb +)

	1h	4h	7h	10h	13h	16h	19h	22h	Mittel	Minimum	Tag	Maximum	Tag
Januar	63.6	63.3	62.9	63.5	63.6	63.5	63.6	63.7	763.5	748.3	8	778.5	27
Februar	77.2	76.7	76.6	77.1	77.5	77.1	77.4	77.6	777.1	761.3	1	788.5	15
März	68.2	67.6	67.5	67.9	68.1	67.8	67.9	68.1	767.9	757.8	30	778.7	23
April	65.9	65.2	65.1	65.7	65.7	65.5	65.6	65.8	765.6	749.4	10	776.3	2
Mai	69.7	69.1	69.1	69.4	69.8	69.7	69.8	70.1	769.6	762.2	30	776.2	13
Juni	75.1	74.4	74.5	74.9	75.2	75.1	75.0	75.4	775.0	764.1	29	780.5	14
Juli	76.8	76.1	76.2	76.6	76.8	76.7	76.7	77.1	776.6	765.7	30	782.0	7
August	75.6	75.0	74.9	75.4	75.5	75.5	75.5	75.8	775.4	770.0	31	784.9	25
September	75.8	75.3	75.3	75.8	75.9	75.7	75.7	76.1	775.7	770.6	6	780.9	23
Oktober	72.9	72.4	72.2	72.6	72.6	72.5	72.6	72.8	772.6	745.8	29	783.4	2
November	66.9	66.6	66.4	66.8	66.7	66.4	66.4	66.5	766.6	747.9	30	776.9	20
Dezember	60.5	60.5	60.7	61.3	61.4	61.2	61.3	61.3	761.0	745.3	1	777.3	31
Jahr	70.6	70.2	70.1	70.6	70.7	70.5	70.6	70.8	770.5	745.3	XII	788.5	II

Minimum-Thermometer

	Mittel	Minimum	Tag
Januar	−11.1	−18.2	12
Februar	−6.9	−15.0	1
März	−5.5	−9.6	15
April	−4.9	−14.3	22
Mai	−1.0	−6.3	3
Juni	2.6	−5.2	12
Juli	5.9	−1.0	12
August	4.1	−1.1	31
September	3.9	0.4	1
Oktober	−1.5	−10.6	30
November	6.0	−11.2	8
Dezember	−8.6	−13.3	6
Jahr	−2.4	−18.2	I

Maximum-Thermometer

	Mittel	Maximum	Tag
Januar	−4.9	5.3	28
Februar	0.4	6.6	26
März	−0.8	4.3	23
April	1.5	11.4	4
Mai	4.2	8.6	20
Juni	8.5	15.0	19
Juli	12.9	18.2	9
August	10.2	17.1	26
September	11.0	16.2	10
Oktober	5.3	12.2	1
November	1.4	5.4	21
Dezember	−3.4	6.0	31
Jahr	3.6	18.2	VII

Lufttemperatur

	1h	4h	7h	10h	13h	16h	19h	22h	Mittel	Minimum	Tag	Maximum	Tag
Januar	−8.3	−8.7	−8.3	−7.8	−6.9	−7.3	−8.3	−8.4	−8.0	−17.4	12	4.0	28
Februar	−4.9	−4.8	−4.6	−3.5	−1.1	−1.4	−4.2	−4.4	−3.6	−14.6	1	6.0	27
März	3.9	4.1	−4.3	−3.3	−1.9	−2.0	−3.3	−3.8	−3.3	−8.0	17	2.7	24
April	−3.0	−3.1	−3.3	−1.4	0.2	−0.1	−1.8	−2.7	−1.9	−13.4	21	9.2	4
Mai	0.3	−0.1	0.2	2.0	3.1	2.9	2.1	0.9	1.4	−6.0	3	8.0	20
Juni	4.1	3.9	4.2	5.8	6.6	7.3	6.0	4.7	5.3	−4.6	12	13.6	19
Juli	7.7	7.3	7.6	9.7	11.4	11.5	9.9	8.3	9.2	−0.6	1	18.1	9
August	5.4	5.4	5.5	7.7	9.2	8.5	7.1	6.0	6.9	−0.4	31	15.4	27
September	5.5	5.2	4.9	7.5	9.8	9.4	7.0	6.0	6.9	1.2	1.7	15.6	10
Oktober	0.4	0.4	0.2	2.0	4.0	3.3	0.7	0.2	1.4	−10.2	30	11.0	2
November	−4.1	−4.2	−4.2	−3.7	−2.4	−2.9	−4.0	−4.1	−3.7	−10.7	8	5.0	22
Dezember	−6.3	−6.2	−6.2	−6.0	−4.9	−5.3	−6.1	−6.1	−5.9	−13.2	6	4.2	31
Jahr	−0.6	−0.8	−0.7	−0.7	2.3	2.0	0.4	−0.3	0.4	−17.4	I	18.1	VII

Relative Feuchtigkeit

	1h	4h	7h	10h	13h	16h	19h	22h	Mittel	Minimum	Tag
Januar	71	73	72	71	71	74	72	71	72	16	18
Februar	58	56	52	52	52	56	60	59	56	17	19
März	80	81	81	80	78	79	80	81	80	14	15
April	78	76	75	73	72	74	79	83	76	24	3
Mai	87	85	83	76	78	80	85	88	83	52	4
Juni	90	88	85	81	80	81	85	90	85	34	15
Juli	83	80	76	73	72	75	80	85	78	48	19
August	90	87	85	79	77	83	90	91	85	46	31
September	83	81	81	73	66	73	83	85	78	25	21
Oktober	68	64	66	61	57	63	74	72	66	19	2
November	69	70	72	72	70	70	69	70	70	10	23
Dezember	78	81	80	77	74	74	73	73	76	18	16
Jahr	78	77	76	72	70	73	77	79	75	10	XI

Bewölkung in Achteln (Okta)

	1h	4h	7h	10h	13h	16h	19h	22h	Mittel
Januar	4.4	4.4	5.0	5.2	5.6	5.5	4.9	4.9	5.0
Februar	1.1	1.9	1.9	2.1	2.2	2.8	2.8	2.0	2.1
März	5.9	5.9	6.5	6.2	6.2	6.5	6.4	5.7	6.2
April	4.2	4.5	4.6	4.3	4.8	5.3	5.3	4.8	4.7
Mai	5.1	4.2	4.5	5.1	6.0	6.2	6.1	5.4	5.3
Juni	5.9	6.1	5.8	6.2	6.6	6.6	6.7	6.7	6.3
Juli	3.0	3.7	3.7	4.0	4.3	4.7	5.0	5.1	4.2
August	4.5	4.2	4.5	4.9	5.7	6.6	6.1	5.4	—
September	2.4	2.1	3.5	3.5	4.0	4.1	4.6	3.2	3.4
Oktober	3.3	3.0	3.4	3.6	4.1	4.5	4.0	3.1	3.6
November	4.8	4.9	5.1	5.4	5.1	5.3	5.1	4.0	5.0
Dezember	5.8	5.7	5.6	5.8	5.5	5.5	4.7	4.6	5.4
Jahr	4.2	4.2	4.5	4.7	5.0	5.3	5.2	4.6	4.7

Nebel — Zahl der Beobachtungstermine

	1h	4h	7h	10h	13h	16h	19h	22h	Total
Januar	1	—	—	—	1	3	2	4	11
Februar	1	2	2	1	1	—	—	1	8
März	2	2	2	1	1	2	1	3	14
April	4	2	1	—	—	—	3	3	13
Mai	2	2	1	—	—	2	1	2	10
Juni	1	3	1	—	1	—	2	3	11
Juli	—	1	2	1	—	1	—	1	6
August	—	1	—	—	—	1	3	1	6
September	1	—	—	1	1	—	1	2	6
Oktober	1	1	1	1	1	—	1	1	7
November	3	6	3	4	—	3	3	4	26
Dezember	3	3	1	1	1	—	2	2	13
Jahr	19	23	14	10	7	12	19	27	131

Niederschlag

	Summe	Maximum	Tag
Januar	175	33	8
Februar	35	17	21
März	82	17	7
April	167	28	9
Mai	64	20	14
Juni	137	24	29
Juli	137	25	15
August	69	15	11
September	44	19	17
Oktober	127	61	28
November	119	46	15
Dezember	138	33	28
Jahr	1294	61	X

Zahl der Tage

	● *	●≥1.0	✳	▲	⛆	heiter	trüb
Januar	20	18	20	—	—	7	14
Februar	3	3	3	—	—	16	4
März	14	12	14	—	—	—	18
April	14	12	14	—	—	8	12
Mai	13	9	8	—	1	—	6
Juni	21	20	7	—	2	—	18
Juli	15	12	3	1	6	7	9
August	14	10	1	—	2	1	9
September	6	6	—	—	—	8	4
Oktober	10	10	10	—	—	13	8
November	18	10	18	—	—	7	12
Dezember	21	17	21	—	—	5	16
Jahr	169	139	119	1	11	72	130

Windverteilung

	350°-10°	20°-40°	50°-70°	80°-100°	110°-130°	140°-160°	170°-190°	200°-220°	230°-250°	260°-280°	290°-310°	320°-340°	Calmen
Januar	38	67	28	9	4	15	49	18	5	2	1	8	4
Februar	11	62	30	23	15	22	45	9	1	—	—	1	5
März	13	43	20	13	5	14	102	29	4	1	2	1	1
April	28	64	16	9	4	9	73	20	4	4	—	4	5
Mai	23	60	13	15	9	19	78	10	11	1	4	3	2
Juni	41	85	21	15	8	4	33	22	4	2	—	1	4
Juli	42	86	31	18	12	7	28	10	3	2	1	3	5
August	32	67	27	26	9	16	43	19	3	—	—	2	4
September	24	48	13	18	8	20	70	17	6	2	2	1	11
Oktober	22	50	16	15	12	12	86	16	9	1	1	1	7
November	21	29	22	17	11	16	82	28	4	2	2	2	4
Dezember	9	61	27	12	4	23	78	25	3	1	3	—	2
Jahr	304	722	264	190	101	177	767	223	57	18	16	27	54

Windgeschwindigkeit in Knoten

	1h	4h	7h	10h	13h	16h	19h	22h	Mittel
Januar	11.6	13.9	14.2	13.1	12.1	12.7	12.1	11.2	12.6
Februar	8.7	8.5	7.9	8.8	9.2	9.9	9.4	9.3	9.0
März	12.2	12.6	11.9	12.2	12.1	11.1	10.6	12.0	11.8
April	10.2	8.8	9.1	9.9	10.5	12.5	11.6	10.3	10.4
Mai	8.2	7.5	7.9	7.7	9.6	10.7	9.4	8.5	8.7
Juni	8.8	6.9	8.3	7.1	8.5	9.5	9.8	8.1	8.4
Juli	8.2	6.9	6.9	7.0	8.6	8.9	9.8	8.3	8.1
August	9.3	8.6	7.8	8.6	11.3	11.2	8.6	8.1	9.2
September	8.1	7.4	7.9	8.3	8.4	9.4	6.9	6.6	7.9
Oktober	12.0	11.4	10.4	11.0	10.9	11.1	10.5	10.9	11.0
November	12.2	11.7	12.1	11.2	11.9	12.1	11.2	11.5	11.7
Dezember	12.4	13.0	12.3	11.5	12.5	11.9	13.5	12.8	12.5
Jahr	10.1	9.8	9.7	9.7	10.5	10.9	10.3	9.8	10.1

Aéroport Bâle-Mulhouse

(Station du Réseau Météorologique français)

$\lambda = 7° 31'$, $\beta = 47° 36'$, $H_p = 268$ m, $h_r = 1.5$ m

1959	900 mb + Pression en millibars													Thermomètre à minima			Thermomètre à maxima		
	1h	4h	7h	10h	13h	16h	19h	22h	Moyenne	Minima	Jour	Maxima	Jour	Moyenne	Minima	Jour	Moyenne	Maxima	Jour
Janvier	84.1	83.7	83.6	84.8	84.4	84.1	84.6	84.5	984.2	966.3	8	1003.4	26	−2.1	10.0	17.18	4.2	16.4	22
Février	99.5	99.1	99.2	99.9	99.4	98.3	98.9	99.4	999.2	989.0	1.2	1013.3	15	−2.5	−1.6	5	6.8	17.2	28
Mars	84.9	84.5	84.7	85.3	84.6	83.6	83.9	84.5	984.5	970.0	4	996.7	23	4.3	2.0	15	13.5	20.7	24
Avril	81.2	80.9	81.2	81.4	80.6	79.8	79.9	80.7	980.7	962.7	16	995.8	1.2	4.7	−3.1	21	15.8	25.8	14
Mai	83.5	83.3	83.9	84.0	83.4	82.5	82.5	83.6	983.3	970.9	9	992.9	13	8.2	2.7	4	20.0	26.2	10
Juin	87.6	87.5	88.0	88.2	87.7	86.9	86.8	87.6	987.5	976.1	29	997.0	14	12.5	5.4	1	22.6	29.2	19
Juillet	86.2	86.0	86.6	86.7	86.1	85.3	85.1	86.1	986.0	974.3	29	996.9	1	14.9	11.2	18	27.5	33.4	9
Août	86.9	86.8	87.1	87.4	86.7	86.0	86.0	87.0	986.7	979.7	13	996.3	25	13.1	4.6	31	24.3	29.0	26
Septembre	87.6	87.5	87.9	88.3	87.4	86.2	86.5	87.5	987.4	980.2	16	995.1	28	8.4	2.0	30	23.8	28.6	12
Octobre	87.8	87.6	87.7	88.2	87.3	86.6	87.1	87.7	987.5	954.6	28	1003.5	23	5.1	1.1	24	15.9	24.2	2
Novembre	84.5	84.2	84.0	84.3	83.8	83.4	83.9	83.9	984.0	959.0	30	996.6	2	1.5	−3.3	4	6.4	14.0	19
Décembre	77.4	77.6	77.9	78.8	78.3	77.7	78.0	78.3	978.0	955.4	1	995.7	30	1.7	−5.0	7	6.9	13.7	26
Année	85.9	85.7	86.0	86.4	85.8	85.0	85.3	85.9	985.7	954.6	X	1013.3	II	5.8	−10.0	I	15.6	33.4	VII

	Température de l'air													Humidité relative									
	1h	4h	7h	10h	13h	16h	19h	22h	Moyenne	Minima	Jour	Maxima	Jour	1h	4h	7h	10h	13h	16h	19h	22h	Moy.	Minima	Jour
Janvier	−0.2	−0.5	−0.5	0.3	2.6	2.7	0.9	0.3	0.7	−10.0	17	15.4	22	87	89	89	87	78	77	85	85	85	42	22
Février	−0.7	−1.5	−2.0	−0.1	4.9	6.0	2.2	0.3	1.1	−6.0	5	16.4	28	88	91	92	89	72	70	84	87	84	39	20
Mars	5.7	5.0	4.6	7.5	11.2	12.6	10.2	7.2	8.0	−1.1	15	19.4	24	91	93	94	87	71	65	76	87	83	39	2
Avril	7.0	5.9	5.8	10.8	13.9	14.9	13.1	9.1	10.1	−2.7	21	25.0	14	86	88	88	71	61	59	65	81	75	35	21.24
Mai	10.6	9.0	9.9	14.6	17.9	19.2	17.2	12.8	13.9	2.9	30	26.2	10	87	91	89	72	59	57	65	82	75	33	25
Juin	14.2	13.2	14.3	17.8	20.7	21.1	20.1	16.5	17.2	6.4	1	28.5	19	88	91	87	72	63	62	68	82	77	33	4
Juillet	17.2	15.6	17.0	22.3	25.4	26.5	25.1	19.8	21.1	12.1	17	33.2	9	83	87	84	64	53	49	54	76	69	29	25
Août	15.1	13.8	14.1	18.2	22.2	23.3	21.4	17.3	18.2	6.2	31	28.7	26	87	91	92	77	61	57	63	80	76	37	31
Septembre	11.5	9.8	9.1	16.1	21.3	23.3	19.9	13.9	15.6	2.0	30	28.6	12	83	88	89	67	52	47	59	77	70	22	12
Octobre	7.3	6.3	5.8	9.7	14.1	15.1	11.0	8.4	9.7	1.1	24	23.6	2	90	93	95	85	68	64	80	88	83	36	24
Novembre	2.7	2.2	2.2	3.3	6.1	6.2	4.1	3.3	3.8	−3.0	4	13.0	19	92	93	93	90	78	79	88	91	88	59	19
Décembre	2.7	2.6	3.1	3.7	5.7	5.6	3.7	3.0	3.8	−4.7	7	13.0	26.27	90	91	89	88	79	79	85	88	86	57	27
Année	7.8	6.8	6.9	10.3	13.8	14.7	12.4	9.3	10.3	−10.0	I	33.2	VII	88	90	90	79	66	64	73	84	79	22	IX

	Nébulosité en huitièmes (octas)									Brouillard Fréquence aux heures d'observation									Précipitations			Nombre de jours						
	1h	4h	7h	10h	13h	16h	19h	22h	Moy.	1h	4h	7h	10h	13h	16h	19h	22h	Total	Somme	Maxima	Jour	≥ 1.0	✳	▲	⛆	Nébulosité < 2/10	Nébulosité > 8/10
Janvier	5.1	5.7	5.4	6.4	5.7	5.8	6.2	5.6	5.8	2	4	1	2	1	3	3	3	19	102	24	14	17	15	13	—	—	1	15
Février	4.1	4.8	4.4	3.8	3.1	2.9	4.7	4.5	4.0	8	8	8	7	3	—	6	7	47	2	1	10	2	2	—	—	—	6	6
Mars	5.8	5.7	6.5	6.4	5.9	6.0	5.8	6.1	6.0	—	1	2	3	—	—	—	—	6	76	20	6	16	13	1	—	—	—	13
Avril	3.7	3.8	4.6	4.6	4.8	4.7	5.3	4.6	4.5	—	—	1	—	—	—	—	—	1	102	25	30	14	14	—	—	1	9	13
Mai	4.5	4.4	5.5	4.2	4.6	5.1	5.3	4.6	4.8	—	1	2	—	—	—	—	—	3	25	6	1	10	8	—	—	4	2	7
Juin	4.7	5.2	5.3	5.4	5.3	5.7	5.6	5.5	5.3	—	1	—	—	—	—	—	—	1	95	34	7	14	10	—	—	5	1	10
Juillet	2.6	3.5	3.2	2.9	3.4	3.9	3.4	3.3	3.3	—	—	—	—	—	—	—	—	—	29	12	28	7	5	—	—	3	12	3
Août	3.5	4.0	5.5	4.6	4.5	4.5	4.7	3.6	4.4	—	1	3	1	—	—	—	—	5	52	15	14	10	8	—	—	4	4	4
Septembre	1.6	1.8	2.7	2.1	2.1	2.8	2.7	1.7	2.2	—	—	1	—	—	—	—	1	2	6	5	26	2	1	—	—	1	14	2
Octobre	3.5	3.8	5.0	5.1	4.0	4.2	4.0	3.8	4.2	3	4	8	3	—	—	—	—	18	73	13	20	11	11	—	—	—	10	10
Novembre	6.3	5.7	6.7	6.5	6.0	6.0	6.0	6.2	6.2	1	1	4	2	—	2	5	—	15	36	8	4	13	12	1	—	—	1	17
Décembre	6.8	6.6	6.5	6.3	6.4	6.3	6.2	6.4	6.4	2	3	2	2	—	2	1	3	15	64	13	23	16	14	—	—	—	2	22
Année	4.3	4.6	5.1	4.9	4.6	4.8	5.0	5.0	4.8	16	24	32	20	4	7	15	14	132	662	34	VI	132	113	15	-	18	62	122

	Répartition des vents													Vitesse du vent en noeuds								
	350° -10°	20° -40°	50° -70°	80° -100°	110° -130°	140° -160°	170° -190°	200° -220°	230° -250°	260° -280°	290° -310°	320° -340°	sans vent	1h	4h	7h	10h	13h	16h	19h	22h	Moyenne
Janvier	8	1	—	8	6	28	23	28	49	23	7	23	44	6.5	7.1	8.2	7.2	8.2	8.7	5.6	6.6	7.3
Février	13	13	10	15		11	13	4	12	12	11	35	75	3.1	2.8	3.3	3.4	5.5	6.3	3.9	2.5	3.9
Mars	7	8	3	18	—	38	14	14	10	15	9	27	85	1.4	2.3	2.3	3.4	4.5	5.1	2.1	1.7	2.9
Avril	13	10	4	19	3	15	16	16	35	33	10	14	52	3.6	3.9	3.4	6.0	8.6	9.0	6.5	3.6	5.6
Mai	36	9	2	11	2	16	4	2	18	16	14	43	75	2.4	2.0	2.6	3.0	6.1	6.4	6.3	2.9	4.0
Juin	23	4	3	7	2	13	12	11	24	25	9	33	74	2.0	2.4	3.7	4.5	6.8	7.1	4.2	1.9	4.1
Juillet	10	17	3	13	6	15	10	12	35	22	12	9	84	1.4	1.8	2.3	4.3	7.0	6.7	5.3	1.9	3.8
Août	32	11	2	20	2	13	13	5	14	16	6	23	91	1.5	1.6	1.4	3.1	4.4	6.6	4.6	1.8	3.1
Septembre	17	19	7	21	1	17	16	6	7	14	14	19	82	1.5	1.1	2.0	3.1	4.2	6.3	4.0	2.0	3.0
Octobre	10	5	7	10	2	28	39	18	22	13	10	14	70	2.8	3.4	2.8	3.5	5.6	5.7	2.8	4.0	3.8
Novembre	15	6	6	20	31	38	16	17	10	12	4	22	43	4.2	4.8	4.7	4.7	4.9	4.1	4.1	3.3	4.4
Décembre	10	3	1	20	15	28	20	35	44	15	6	15	36	5.7	6.3	6.6	8.0	9.1	6.1	5.9	6.2	6.7
Année	194	106	48	182	70	260	196	168	280	216	112	277	811	3.0	3.3	3.6	4.5	6.2	6.5	4.6	3.2	4.4

$\lambda = 7° 26'$, $\beta = 46° 57'$, $H_b = 572$ m, $h_T = 1.5$ m

Meteorologisches Observatorium Bern

1959	900 mb + Luftdruck in Millibar													Minimum-Thermometer			Maximum-Thermometer		
	1h	4h	7h	10h	13h	16h	19h	22h	Mittel	Minimum	Tag	Maximum	Tag	Mittel	Minimum	Tag	Mittel	Maximum	Tag
Januar	48.0	47.8	47.6	48.4	48.2	47.8	48.2	48.3	948.0	932.7	4	965.2	27	−2.8	−9.5	18	2.7	9.9	22
Februar	61.6	61.4	61.6	62.2	61.8	60.6	61.1	61.5	961.5	948.6	2	975.4	15	−1.6	−4.6	5	6.8	15.0	28
März	48.7	48.3	48.5	49.0	48.5	47.8	48.0	48.6	948.4	937.2	7	960.6	23	4.0	−0.1	18	11.5	17.2	24
April	45.7	45.3	45.4	45.8	45.1	44.4	44.6	45.3	945.2	929.1	16	957.9	1	4.5	−1.9	22	14.6	23.4	14
Mai	47.7	47.4	47.7	47.8	47.4	46.8	46.9	47.8	947.4	937.5	9	955.6	13	8.6	2.8	1	18.9	24.6	21
Juni	52.3	52.0	52.3	52.5	52.1	51.5	51.5	52.5	952.1	942.3	29	959.5	13.14	12.4	6.1	1	21.7	27.6	19
Juli	51.6	51.3	51.7	51.8	51.4	50.6	50.6	51.4	951.3	940.6	29	961.5	1.2	14.6	10.3	1	26.0	31.0	10
August	51.5	51.2	51.4	51.7	51.2	50.9	50.9	51.6	951.3	945.5	10.13	960.0	25	12.8	8.2	31	22.9	27.2	26
September	51.9	51.8	52.0	52.4	51.9	51.1	51.2	52.0	951.8	946.0	14	957.2	29	11.0	7.1	30	21.0	25.7	23
Oktober	52.2	51.9	51.9	52.4	51.9	51.2	51.5	52.0	951.9	921.0	28	965.9	23	5.6	0.5	31	13.0	20.0	2
November	48.2	47.9	47.7	48.0	47.5	47.2	47.5	47.6	947.7	923.6	30	959.6	2	0.5	−3.1	24	4.6	11.2	18
Dezember	41.9	42.0	42.3	42.9	42.6	42.1	42.4	42.8	942.4	920.0	1	959.4	31	0.3	−5.2	16	4.5	11.2	26
Jahr	50.1	49.8	50.0	50.4	50.0	49.3	49.5	50.1	949.9	920.0	XII	975.4	II	5.8	−9.5	I	14.0	31.0	VII

	Lufttemperatur													Relative Feuchtigkeit									
	1h	4h	7h	10h	13h	16h	19h	22h	Mittel	Minimum	Tag	Maximum	Tag	1h	4h	7h	10h	13h	16h	19h	22h	Mittel	Minimum	Tag
Januar	−0.8	−1.1	−1.5	−1.4	0.3	1.6	0.1	−0.7	−0.4	−9.3	18	9.9	22	85	86	91	87	82	76	83	86	85	46	2
Februar	0.2	−0.6	−1.3	−0.5	3.6	6.6	4.1	1.8	1.7	−4.6	5	15.0	28	86	88	90	87	70	61	71	80	79	41	28
März	5.9	5.1	4.4	5.6	9.3	10.9	9.3	7.3	7.2	0.1	18	17.0	24	86	88	90	85	68	63	70	80	79	33	2
April	7.6	6.2	5.3	8.8	12.4	13.9	12.0	9.1	9.4	1.7	22	23.1	14	77	83	85	71	57	51	58	71	69	24	1
Mai	11.2	9.6	9.3	13.6	17.2	17.9	16.4	13.4	13.6	3.0	1	23.3	20	80	86	86	67	53	52	55	70	69	25	26
Juni	14.3	13.2	13.3	16.9	19.7	20.6	19.0	16.2	16.6	6.1	1	26.4	4	82	86	84	69	59	54	61	75	71	29	4
Juli	17.1	15.7	15.5	20.2	23.9	25.2	23.1	19.5	20.0	10.4	1	30.7	10	80	84	84	67	54	48	56	71	68	32	4
August	14.9	13.8	13.4	17.2	20.8	21.6	19.5	16.7	17.2	8.4	31	27.0	26	86	89	89	75	62	60	68	79	76	46	4.5
September	13.4	12.1	11.1	14.3	18.7	20.5	18.3	15.1	15.4	7.2	30	25.7	23	87	90	92	81	68	64	73	85	80	41	11
Oktober	7.4	6.6	6.1	7.6	11.2	12.6	10.4	8.5	8.8	0.5	31	19.7	2	96	98	97	93	81	78	89	95	91	55	25
November	1.5	1.1	0.9	1.4	3.6	4.5	3.1	2.1	2.3	−3.1	24	10.4	18	96	97	96	95	87	86	93	95	93	65	16
Dezember	1.1	1.1	1.1	1.6	3.4	4.0	2.5	1.4	2.0	−5.0	16	10.8	30	93	93	93	92	85	82	89	92	90	65	17
Jahr	7.8	6.9	6.5	8.8	12.0	13.3	11.5	9.2	9.5	−9.3	I	30.7	VII	86	89	90	81	69	64	72	81	79	24	IV

	Bewölkung in Achteln (Okta)									Nebel Zahl der Beobachtungstermine									Niederschlag			Zahl der Tage					
	1h	4h	7h	10h	13h	16h	19h	22h	Mittel	1h	4h	7h	10h	13h	16h	19h	22h	Total	Summe	Maximum	Tag	●	●≥1.0	✳	▲	⛥	heiter	trüb
Januar	5.4	5.6	5.9	6.5	6.3	5.9	5.5	5.1	5.8	3	4	4	4	2	2	3	3	25	104	17	14	20	18	14	—	—	3	15
Februar	3.5	3.8	3.9	4.5	3.9	3.3	3.6	3.3	3.7	6	5	6	5	2	—	1	4	29	2	2	21	2	1	·	—	—	9	6
März	5.8	5.7	6.4	6.1	6.2	6.6	5.9	5.4	6.0	—	2	3	2	–	–	–		7	105	24	6	14	12	1	—	—	—	14
April	3.8	3.6	4.4	4.3	4.7	4.7	5.0	4.7	4.4	—	—	—	—	–	–	–	–	–	112	23	30	13	13	1	—	—	8	14
Mai	4.3	4.4	5.1	4.9	4.8	5.2	5.2	4.8	4.8	–		1	—	–	–	–	—	1	55	21	11	10	7	—	1	3	2	6
Juni	5.2	5.3	5.5	5.4	5.6	5.9	6.3	5.4	5.6	—	—	1	—	–	–	–	—	1	127	39	7	15	11	—	—	5	—	12
Juli	3.4	3.6	3.4	3.4	3.2	3.6	3.8	3.5	3.5	—	—	—	—	–	–	–	—	—	41	11	28	11	7	—	—	4	9	4
August	3.5	3.9	4.8	4.1	4.5	4.5	4.3	3.5	4.1	1	2	2	—	–	–	–	—	5	68	17	10	10	9	—	—	4	4	3
September	3.0	3.6	5.0	3.9	4.1	4.6	4.3	3.0	3.9	—	1	3	—	–	–	–	–	4	38	28	26	6	5	—	—	2	6	3
Oktober	4.8	5.5	6.5	6.2	5.3	4.7	3.9	3.9	5.1	4	8	8	2	—	—	—	1	23	85	23	28	11	9	1	—	—	3	12
November	6.8	6.8	6.9	6.8	6.5	6.7	6.2	6.0	6.6	9	8	5	5	2	2	6	6	43	38	15	14	10	6	2	–	–	2	20
Dezember	6.4	6.9	6.8	7.1	6.0	6.1	6.0	6.1	6.4	2	2	4	4	—	1	1	3	17	135	31	23	14	13	6	—	–	—	22
Jahr	4.7	4.9	5.4	5.3	5.1	5.1	5.0	4.5	5.0	25	32	37	22	6	5	11	17	155	910	39	VI	136	111	25	1	18	46	131

	Windverteilung												Windgeschwindigkeit in Knoten								
	350° -10°	20° -40°	50° -70°	80° -100°	110° -130°	140° -160°	170° -190°	200° -220°	230° -250°	260° -280°	290° -310°	320° -340°	Calmen	1h	4h	7h	10h	13h	16h	19h	22h	Mittel
Januar	4	23	4	21	16	32	6	14	55	47	4	4	18	4.3	4.1	4.0	4.1	4.1	4.3	3.2	3.5	4.0
Februar	18	64	9	7	11	39	6	10	13	21	3	7	16	2.1	2.2	2.4	2.5	2.6	3.7	3.1	2.3	2.6
März	14	44	11	20	14	40	12	13	19	30	9	5	17	2.1	2.0	1.7	2.4	3.0	3.6	2.8	2.2	2.5
April	10	25	5	15	22	37	6	8	51	40	13	1	7	3.3	3.5	2.4	3.8	5.7	6.9	4.9	3.0	4.2
Mai	25	77	11	27	11	34	3	6	11	17	9	9	8	2.4	2.2	2.4	3.3	4.7	4.9	4.7	2.7	3.4
Juni	20	39	14	14	10	38	5	9	23	22	28	14	4	2.6	1.9	2.5	3.0	4.7	5.6	4.1	3.0	3.4
Juli	19	48	7	5	20	60	4	2	27	21	22	2	11	1.9	2.5	1.8	3.2	4.7	5.1	3.8	2.2	3.2
August	9	82	17	15	21	39	4	8	7	18	16	2	10	2.5	2.2	1.9	2.9	4.2	5.2	3.8	2.3	3.1
September	11	95	20	10	13	47	5	7	4	13	9	3	3	2.5	2.2	1.5	2.3	3.7	3.7	2.7	2.1	2.6
Oktober	6	46	8	9	11	59	11	11	23	19	16	9	20	1.5	1.7	1.3	1.6	3.0	3.3	1.8	1.6	2.0
November	19	46	8	14	22	42	8	12	10	22	12	8	17	2.2	2.0	1.8	1.6	2.4	2.5	2.1	2.3	2.1
Dezember	6	21	11	10	24	37	4	25	33	48	9	1	19	2.6	3.0	2.6	2.8	3.5	3.4	2.9	2.5	2.9
Jahr	161	610	125	167	195	504	74	125	276	318	150	65	150	2.5	2.4	2.2	2.8	3.9	4.4	3.3	2.5	3.0

$\lambda = 6°06'$, $\varphi = 46°14'$, $H_p = 429$ m, $hr = 1.5$ m

Aéroport Genève-Cointrin

Pression en millibars

1959	900 mb + 1h	4h	7h	10h	13h	16h	19h	22h	Moyenne	Minimum	Jour	Maximum	Jour	Thermomètre à minima Moyenne	Minimum	Jour	Thermomètre à maxima Moyenne	Maximum	Jour
Janvier	66.3	66.2	66.0	66.7	66.6	66.0	66.2	66.4	966.3	951.4	8	982.9	27	−1.7	−9.3	5	4.4	14.4	22
Février	79.1	78.9	79.1	79.8	79.3	77.9	78.2	78.9	978.9	962.3	1	993.0	15	−2.7	−4.7	17	7.4	15.3	28
Mars	65.7	65.3	65.5	66.2	65.7	64.6	64.8	65.6	965.4	953.4	7	977.6	23	3.6	−1.9	2	12.1	17.2	20
Avril	62.9	62.3	62.5	62.9	62.4	61.5	61.6	62.6	962.3	946.9	10	974.2	2	4.4	−1.9	23	14.7	21.8	14
Mai	64.5	64.3	64.6	64.8	64.2	63.3	63.4	64.3	964.2	953.2	9	973.4	1	7.7	1.6	4	19.5	23.9	21
Juin	69.0	68.7	69.1	69.2	68.7	67.9	68.0	69.1	968.7	959.1	29	974.9	11	12.1	2.6	1	23.3	28.0	17.25
Juillet	68.1	67.9	68.4	68.5	67.9	67.0	66.8	67.8	967.8	956.8	29	979.0	2	14.0	9.6	2.3	27.3	31.7	11
Août	68.0	67.7	67.9	68.3	67.7	67.0	66.9	67.8	967.7	961.8	13	976.6	25	12.5	7.1	3	24.0	28.5	7
Septembre	68.4	68.3	68.6	69.1	68.5	67.4	67.4	68.5	968.3	962.4	25	974.3	29	11.0	5.9	1	22.1	28.1	12
Octobre	69.1	68.9	68.8	69.5	69.0	68.1	68.3	68.8	968.8	938.4	28	982.8	23	5.4	0.0	31	14.5	20.2	2
Novembre	65.4	65.0	64.8	65.3	64.9	64.3	64.6	64.5	964.9	937.9	30	976.7	2	1.2	−1.8	26	6.3	10.4	18
Décembre	59.4	59.7	59.9	60.6	60.2	59.5	59.9	60.4	960.0	934.7	1	977.0	31	0.7	−4.7	16	6.3	11.7	30
Année	67.1	66.9	67.1	67.6	67.1	66.2	66.3	67.0	966.9	934.7	XII	993.0	II	5.7	−9.3	I	15.2	31.7	VII

Température de l'air

	1h	4h	7h	10h	13h	16h	19h	22h	Moyenne	Minimum	Jour	Maximum	Jour
Janvier	1.0	0.6	0.2	0.7	2.4	3.1	1.9	1.2	1.4	−8.0	5	14.2	22
Février	−0.5	−1.2	−1.8	0.0	4.8	7.0	4.2	1.2	1.7	−4.3	17	14.4	20, 28
Mars	6.2	5.3	4.5	6.9	10.1	11.3	9.5	7.5	7.7	−1.0	2.3	17.0	20
Avril	7.6	6.4	5.7	9.7	12.4	13.7	12.0	9.3	9.6	−1.0	23	21.2	14
Mai	10.7	9.0	9.5	14.6	17.5	18.8	17.1	13.2	13.8	2.7	4	23.9	21
Juin	14.4	13.1	13.9	18.1	21.1	22.1	20.2	16.8	17.5	3.6	1	27.6	5
Juillet	16.9	15.2	15.8	21.1	24.6	26.6	25.3	19.6	20.6	10.8	2.3	31.0	8, 9, 11
Août	15.1	13.7	13.8	18.5	21.7	23.2	21.7	17.3	18.1	8.2	3	28.1	7
Septembre	13.5	12.1	11.7	16.2	19.6	21.4	19.4	15.6	16.2	6.8	1	27.8	12
Octobre	7.3	6.8	7.2	9.5	12.6	14.0	10.8	8.2	9.6	0.6	31	20.0	2
Novembre	2.7	2.7	2.4	3.1	4.9	5.7	3.8	2.9	3.5	−1.6	25	10.0	18
Décembre	2.7	2.6	2.4	2.8	5.1	5.3	3.5	2.8	3.4	−3.7	16	10.8	30
Année	8.1	7.2	7.1	10.1	13.1	14.4	12.5	9.6	10.3	−8.0	I	31.0	VII

Humidité relative

	1h	4h	7h	10h	13h	16h	19h	22h	Moy.	Minimum	Jour
Janvier	77	80	82	81	72	66	74	76	76	40	20
Février	88	90	91	87	64	55	66	82	78	30	20
Mars	84	88	90	82	64	58	66	78	76	34	29
Avril	76	83	86	68	58	52	59	71	69	28	5
Mai	86	92	92	67	56	50	57	75	72	33	4
Juin	85	89	87	65	52	49	59	74	70	31	6
Juillet	88	91	90	67	56	50	54	77	72	32	26
Août	88	91	91	75	62	57	63	79	76	36	20
Septembre	90	93	93	79	67	61	71	84	80	37	12
Octobre	94	95	94	92	79	73	87	93	88	59	24
Novembre	93	94	94	93	87	83	90	93	91	57	16
Décembre	90	91	92	92	82	81	87	90	88	57	27
Année	87	90	90	79	67	61	69	81	78	28	IV

Nébulosité en huitièmes (octas)

	1h	4h	7h	10h	13h	16h	19h	22h	Moy.
Janvier	5.0	5.0	5.0	5.8	5.5	5.5	5.2	5.0	5.3
Février	2.6	2.9	2.9	3.8	3.3	2.7	2.4	1.5	2.8
Mars	4.8	5.0	5.4	5.3	5.5	5.3	5.4	5.4	5.3
Avril	4.0	3.5	4.6	4.3	4.4	4.6	4.4	3.8	4.2
Mai	3.4	3.3	3.9	3.6	3.9	4.3	4.4	3.5	3.8
Juin	3.7	4.3	4.1	3.7	4.0	4.7	4.9	4.5	4.2
Juillet	2.4	2.5	2.9	2.4	3.0	3.4	3.5	3.0	2.9
Août	1.9	2.1	3.8	3.9	3.5	3.3	3.3	2.2	3.0
Septembre	2.9	3.4	4.8	4.6	4.2	4.1	4.1	2.9	3.9
Octobre	3.3	4.7	6.8	6.0	5.0	4.2	3.7	2.8	4.6
Novembre	7.1	6.4	7.2	7.6	7.1	5.8	5.7	6.3	6.7
Décembre	6.5	6.6	6.6	6.6	6.3	6.0	5.6	6.5	6.3
Année	4.0	4.1	4.8	4.8	4.6	4.5	4.4	4.0	4.4

Brouillard — Fréquence aux heures d'observation

	1h	4h	7h	10h	13h	16h	19h	22h	Total
Janvier	—	1	1	2	1	—	—	—	5
Février	—	—	—	2	—	—	—	—	2
Mars	—	—	1	—	—	—	—	—	1
Avril	—	—	—	—	—	—	—	—	—
Mai	—	—	—	—	—	—	—	—	—
Juin	—	—	—	—	—	—	—	—	—
Juillet	—	—	—	—	—	—	—	—	—
Août	—	—	—	—	—	—	—	—	—
Septembre	—	1	1	—	—	—	—	—	2
Octobre	1	4	5	2	—	—	—	—	12
Novembre	7	5	6	5	4	2	3	4	36
Décembre	—	—	1	1	1	1	1	1	6
Année	8	11	15	12	6	3	4	5	64

Précipitations

	Somme	Maximum	Jour
Janvier	70	16	6
Février	0	—	-
Mars	137	59	6
Avril	79	16	28
Mai	10	4	1
Juin	61	16	19
Juillet	41	25	14
Août	54	13	21
Septembre	101	62	17
Octobre	95	31	19
Novembre	87	26	14
Décembre	132	25	23
Année	867	62	IX

Nombre de jours

	● *	● ≥1.0	✳	▲	K	Nébulosité ≤ 2/10	Nébulosité ≥ 8/10
Janvier	14	13	7	—	—	3	11
Février	—	—	—	—	—	12	2
Mars	13	13	1	—	—	2	10
Avril	12	11	—	—	1	11	11
Mai	5	3	—	—	—	4	4
Juin	11	9	—	—	7	1	4
Juillet	5	5	—	—	6	10	4
Août	7	7	—	—	5	11	4
Septembre	6	4	—	1	2	6	4
Octobre	10	9	—	—	—	4	7
Novembre	14	11	2	—	—	—	18
Décembre	17	16	1	—	—	—	17
Année	114	101	11	1	21	64	96

Répartition des vents

	350°-10°	20°-40°	50°-70°	80°-100°	110°-130°	140°-160°	170°-190°	200°-220°	230°-250°	260°-280°	290°-310°	320°-340°	sans vent
Janvier	12	32	11	—	2	3	10	43	60	16	5	9	45
Février	8	57	24	3	—	2	3	4	8	2	2	2	109
Mars	14	51	26	11	5	4	7	11	27	7	4	8	73
Avril	9	40	21	3	3	6	11	38	55	6	4	4	40
Mai	25	53	34	5	3	3	9	13	12	8	5	13	65
Juin	11	54	36	9	2	7	13	17	18	9	4	10	50
Juillet	14	33	32	20	7	5	12	46	21	11	4	7	36
Août	12	27	66	22	10	5	8	16	13	8	4	4	53
Septembre	7	18	55	27	3	1	10	18	17	8	5	3	68
Octobre	6	20	38	17	6	3	6	25	30	11	8	4	74
Novembre	12	17	25	6	11	5	11	21	41	15	16	4	56
Décembre	5	15	18	7	1	5	21	49	54	26	2	3	42
Année	135	417	386	130	53	49	121	301	356	127	63	71	711

Vitesse du vent en noeuds

	1h	4h	7h	10h	13h	16h	19h	22h	Moyenne
Janvier	8.3	10.1	10.2	7.5	9.7	10.4	8.5	8.1	9.1
Février	4.0	3.2	2.9	3.3	4.8	6.0	5.5	4.5	4.3
Mars	3.7	2.8	3.5	4.3	6.6	7.6	5.7	4.7	4.9
Avril	7.3	5.7	5.9	10.8	13.3	12.8	10.0	8.4	9.3
Mai	2.6	1.6	1.1	6.6	7.9	10.0	8.5	5.2	5.4
Juin	4.8	3.7	3.5	7.8	10.3	11.0	10.7	6.6	7.3
Juillet	3.3	3.2	2.6	6.9	9.7	10.2	8.1	3.9	6.0
Août	3.3	3.1	2.8	8.5	9.0	10.2	8.6	3.8	6.2
Septembre	1.7	1.7	1.6	5.4	5.3	6.8	3.5	2.5	3.6
Octobre	3.2	2.5	3.0	4.2	5.9	5.4	2.2	2.8	3.7
Novembre	2.4	3.2	3.3	3.7	5.1	4.7	3.3	2.6	3.5
Décembre	6.4	5.6	5.2	5.2	6.9	6.2	5.1	4.9	5.7
Année	4.2	3.9	3.8	6.2	7.9	8.4	6.6	4.8	5.7

$\lambda = 7^\circ 20'$, $\beta = 46^\circ 13'$, $H_p = 482$ m, $h_T = 1.5$

Sion-Aérodrome

Pression en millibars

1959	900 mb + 1h	4h	7h	10h	13h	16h	19h	22h	Moyenne	Minima	Jour	Maxima	Jour
Janvier	60.2	60.1	59.8	60.6	59.8	59.2	59.8	60.2	960.0	943.6	8	977.2	27
Février	72.8	72.8	73.0	73.5	72.0	70.4	71.4	72.5	972.3	955.6	1	986.9	15
Mars	59.8	59.4	59.6	60.2	58.6	57.3	57.9	59.3	959.0	946.6	7	971.1	23
Avril	56.8	56.5	56.6	56.4	54.7	53.6	54.2	56.0	955.6	938.4	16	968.3	1.2
Mai	58.2	58.3	58.5	58.0	56.4	55.5	55.9	57.6	957.3	948.0	29	965.7	13
Juin	62.5	62.5	62.9	62.5	61.0	60.0	60.2	62.1	961.7	951.1	29	968.6	14
Juillet	62.1	62.2	62.7	62.1	60.4	59.4	59.6	61.4	961.2	949.4	29	973.0	2
Août	61.8	61.7	62.0	61.8	60.0	59.2	59.5	61.2	960.9	953.8	29	970.5	25
Septembre	62.5	62.4	62.7	62.8	61.1	59.9	60.4	62.2	961.8	955.3	13	968.0	22
Octobre	63.2	63.0	63.1	63.5	62.0	61.0	61.8	62.9	962.6	929.6	28	975.8	23.24
Novembre	59.7	59.2	59.1	59.7	58.1	57.5	58.2	58.9	958.8	934.8	30	971.0	2
Décembre	53.9	54.0	54.2	55.1	54.4	53.6	54.2	54.7	954.3	930.7	1	971.0	30
Année	61.1	61.0	61.2	61.4	59.9	58.9	59.4	60.8	960.5	930.7	XII	986.9	II

Thermomètre à minima

	Moyenne	Minima	Jour
Janvier	−4.5	−11.5	18
Février	−2.8	−9.2	2
Mars	3.1	−3.0	15
Avril	3.1	−2.6	22
Mai	6.9	1.5	4
Juin	11.8	3.2	1
Juillet	13.3	9.6	2.3
Août	11.6	5.5	3
Septembre	10.1	6.5	7
Octobre	2.8	−1.2	31
Novembre	−0.3	−6.7	25
Décembre	−1.5	9.0	16
Année	4.5	−11.5	1

Thermomètre à maxima

	Moyenne	Maxima	Jour
Janvier	3.8	10.0	22
Février	11.1	16.0	27.28
Mars	15.2	21.2	24
Avril	17.5	25.6	14
Mai	21.7	27.0	23
Juin	24.4	30.6	19
Juillet	27.4	32.0	5
Août	25.7	30.2	10
Septembre	22.9	27.5	24
Octobre	15.8	21.6	1
Novembre	9.2	14.6	18
Décembre	5.7	11.6	1
Année	16.7	32.0	VII

Température de l'air

	1h	4h	7h	10h	13h	16h	19h	22h	Moyenne	Minima	Jour	Maxima	Jour
Janvier	−1.7	−2.2	−2.7	−2.6	1.7	2.9	−0.1	−1.0	−0.7	−10.2	18	9.1	22
Février	0.3	−1.1	−1.9	−0.6	8.1	10.7	5.1	1.4	2.7	−7.4	2	16.0	27.28
Mars	5.8	4.6	4.1	7.8	12.9	14.4	11.2	8.2	8.6	−2.2	15	21.2	24
Avril	6.9	5.2	4.6	10.4	15.0	16.5	13.4	9.6	10.2	−1.8	22	25.4	14
Mai	10.8	8.6	9.2	15.4	19.5	20.5	18.1	14.0	14.5	2.4	4	26.0	8
Juin	14.5	12.4	13.3	18.5	22.2	23.1	21.1	17.2	17.8	4.2	1	30.2	19
Juillet	16.2	14.2	14.9	20.8	25.0	26.3	24.2	19.5	20.1	9.8	2.3	32.0	5
Août	14.9	13.2	12.7	19.0	23.5	24.0	21.5	17.6	18.3	9.0	2.3	28.6	10
Septembre	13.2	12.1	11.5	16.4	21.0	22.0	19.0	15.4	16.3	7.4	9	26.4	12
Octobre	6.0	4.9	4.2	8.5	14.1	15.0	10.7	7.5	8.9	−0.4	31	21.4	2
Novembre	1.3	0.7	0.2	1.4	7.8	8.4	3.7	2.1	3.2	−5.6	21.25	13.6	18
Décembre	0.7	0.7	0.5	0.7	4.2	5.0	2.2	1.3	1.9	−7.2	16	11.4	1
Année	7.3	6.1	5.9	9.6	14.6	15.7	12.4	9.4	10.1	−10.2	I	32.0	VII

Humidité relative

	1h	4h	7h	10h	13h	16h	19h	22h	Mittel	Minima	Jour
Janvier	87	88	89	90	73	66	79	83	82	40	17
Février	88	90	91	88	48	44	69	83	75	28	28
Mars	81	84	87	71	47	46	58	70	68	24	24.27
Avril	83	89	91	65	49	48	55	70	69	29	13
Mai	82	90	89	62	49	46	52	68	67	28	23
Juin	83	90	88	65	54	51	59	72	70	33	12
Juillet	86	92	91	61	50	49	56	74	70	31	3
Août	90	93	95	69	54	52	63	78	74	35	1
Septembre	93	95	95	74	57	57	69	85	78	38	8
Octobre	94	95	95	80	54	59	81	91	81	28	17
Novembre	90	91	92	87	56	58	82	89	81	35	20.23
Décembre	90	90	91	88	76	71	81	85	84	39	10
Année	87	91	91	75	56	54	67	79	75	24	III

Nébulosité en huitièmes (octas)

	1h	4h	7h	10h	13h	16h	19h	22h	Moy.
Janvier	4.6	4.9	4.6	5.3	5.1	4.9	4.8	4.9	4.9
Février	0.9	1.0	1.4	1.8	1.7	1.9	2.2	0.7	1.5
Mars	4.2	4.3	6.3	5.2	5.4	5.8	5.5	4.4	5.1
Avril	3.5	3.5	4.6	4.3	4.1	4.3	4.5	3.9	4.1
Mai	3.4	4.0	4.2	4.0	4.3	4.6	5.2	4.0	4.2
Juin	4.3	4.8	4.6	4.6	4.9	5.1	5.8	4.9	4.9
Juillet	2.6	2.9	3.0	2.6	3.3	4.0	4.4	3.3	3.3
Août	2.9	2.7	4.4	3.6	4.1	4.3	3.9	2.8	3.6
Septembre	3.9	4.1	5.3	4.3	4.0	4.1	4.2	3.5	4.2
Octobre	2.3	2.5	3.3	3.8	4.0	3.9	3.6	2.5	3.2
Novembre	3.9	3.6	3.9	4.3	4.4	4.6	3.8	3.3	4.0
Décembre	6.3	6.1	5.8	5.6	5.0	5.2	4.6	5.0	5.5
Année	3.6	3.7	4.3	4.1	4.2	4.4	4.4	3.6	4.0

Brouillard — Fréquence aux heures d'observation

	1h	4h	7h	10h	13h	16h	19h	22h	Total
Janvier	—	—	—	—	—	—	—	—	—
Février	—	—	—	—	—	—	—	—	—
Mars	—	—	—	—	—	—	—	—	—
Avril	—	—	—	—	—	—	—	—	—
Mai	—	—	—	—	—	—	—	—	—
Juin	—	—	—	—	—	—	—	—	—
Juillet	—	—	—	—	—	—	—	—	—
Août	—	—	—	—	—	—	—	—	—
Septembre	—	—	—	—	—	—	—	—	—
Octobre	—	—	—	—	—	—	—	—	—
Novembre	—	1	—	—	—	—	—	1	16
Décembre	1	—	—	—	—	1	—	1	3
Année	1	1	—	—	—	1	—	1	4

Précipitations

	Somme	Maxima	Jour
Janvier	80	14	6
Février	0	—	—
Mars	16	9	25
Avril	72	18	29
Mai	22	11	24
Juin	55	12	26
Juillet	50	19	14
Août	60	22	14
Septembre	26	8	13
Octobre	51	15	20
Novembre	16	12	14
Décembre	155	42	26
Année	603	42	XII

Nombre de jours

	● ★	●★ ≧1.0	✳	▲	K▲	Nébulosité < 2/10	Nébulosité > 8/10
Janvier	16	15	12	—	—	6	13
Février	—	—	—	—	—	19	1
Mars	6	6	—	—	—	2	10
Avril	10	9	1	—	—	7	8
Mai	6	4	—	—	—	2	5
Juin	11	8	—	—	1	1	7
Juillet	9	9	—	—	1	9	3
Août	9	9	—	—	2	5	3
Septembre	6	5	—	—	—	5	4
Octobre	8	8	—	—	—	14	7
Novembre	3	3	—	—	—	9	7
Décembre	13	13	7	—	—	3	14
Année	97	89	20	—	4	82	82

Répartition des vents

	350° -10°	20° -40°	50° -70°	80° -100°	110° -130°	140° -160°	170° -190°	200° -220°	230° -250°	260° -280°	290° -310°	320° -340°	sans vent
Janvier	—	5	41	28	2	—	4	3	21	20	1	—	123
Février	—	—	50	16	1	1	4	12	24	6	1	—	109
Mars	—	4	40	30	3	-	1	5	46	31	—	1	87
Avril	—	4	29	29	3	2	2	1	36	48	2	1	83
Mai	—	2	16	23	2	—	1	4	46	43	2	—	109
Juin	—	3	16	12	2	—	1	6	23	71	7	1	98
Juillet	—	3	17	26	3	—	—	2	8	68	13	—	108
Août	—	—	6	26	2	—	—	1	7	55	17	1	133
Septembre	—	4	22	36	-	—	—	—	5	35	20	1	117
Octobre	—	—	3	65	2	—	—	1	4	23	23	—	127
Novembre	—	3	11	79	3	2	—	—	4	14	12	3	109
Décembre	—	1	19	67	7	1	2	2	1	6	9	1	132
Année	—	29	270	437	30	6	15	37	225	420	107	9	1335

Vitesse du vent en noeuds

	1h	4h	7h	10h	13h	16h	19h	22h	Moyenne
Janvier	2.0	2.3	1.9	2.3	2.3	2.5	2.2	1.1	2.1
Février	2.0	1.5	1.7	3.1	2.0	4.3	1.6	1.4	2.2
Mars	2.2	2.0	2.7	3.1	3.9	10.0	6.7	2.0	4.1
Avril	2.8	1.9	2.0	3.6	6.2	13.1	9.1	3.7	5.3
Mai	1.2	1.4	0.9	2.3	6.8	11.7	8.3	3.1	4.5
Juin	1.0	1.1	1.5	2.7	5.5	9.5	7.9	3.5	4.1
Juillet	0.7	1.4	0.6	0.7	4.3	7.7	5.1	1.6	2.8
Août	0.3	0.8	0.5	0.7	3.4	7.5	5.1	0.8	2.4
Septembre	1.0	0.8	0.9	0.7	2.4	6.7	2.9	1.0	2.1
Octobre	1.0	1.5	2.2	2.3	1.6	4.0	0.5	1.0	1.8
Novembre	1.6	2.0	1.5	2.5	1.5	3.1	1.8	1.3	1.9
Décembre	1.6	1.4	1.3	1.6	1.1	1.8	1.9	1.7	1.6
Année	1.5	1.5	1.5	2.1	3.4	6.8	4.4	1.9	2.9

$\lambda = 7^\circ 42'$, $\beta = 45^\circ 56'$, $H_p = 3488$ m, $h_r = —$ m

Plateau Rosà (Testa Grigia)

(Stazione meteorologica dell'aeronautica italiana)

1959	600 mb + Pressione atmosferica in millibar													Termometro minima			Termometro massima		
	1h	4h	7h	10h	13h	16h	19h	22h	Media	Minimo	Giorno	Massimo	Giorno	Media	Minimo	Giorno	Media	Massimo	Giorno
Gennaio	54.7	54.4	54.0	54.7	54.8	54.4	54.6	54.7	654.6	637.5	8	670.3	29	-16.4	-27.2	5	-9.9	-2.0	28
Febbraio	67.6	67.4	67.1	67.4	67.6	67.3	67.4	67.7	667.4	649.3	1	677.5	15	-10.8	-18.0	2	-6.0	0.6	27
Marzo	59.9	59.3	59.0	59.5	59.7	59.4	59.4	59.8	659.5	648.0	31	670.5	21	-11.4	-15.8	18	-6.4	-1.4	23
Aprile	58.5	58.0	57.6	57.9	58.3	58.2	58.2	58.5	658.2	642.4	10	668.6	4	-10.4	-17.8	11	-5.0	1.8	13
Maggio	62.9	62.2	61.9	62.3	62.7	62.8	62.7	63.1	662.6	655.0	30	668.7	13	7.1	13.0	3	1.5	2.8	7
Giugno	68.5	67.9	67.7	68.2	68.7	68.7	68.6	68.8	668.4	657.3	30	673.4	23	-3.5	-12.4	12	2.0	7.4	4
Luglio	70.9	70.4	70.1	70.4	70.9	71.0	70.8	71.1	670.7	660.6	30	676.3	8	-0.7	-9.2	1	4.6	9.8	10
Agosto	68.9	68.5	68.2	68.5	69.0	69.0	68.8	69.0	668.7	663.4	3	677.8	26	-1.9	-6.6	1	3.1	8.2	7
Settembre	69.1	68.7	68.4	68.8	69.1	69.0	69.0	69.3	668.9	663.8	6	674.9	22	-1.4	-5.6	8	2.8	7.4	23
Ottobre	64.7	64.2	63.9	64.3	64.4	64.2	64.4	64.4	664.3	635.0	29	675.0	2	-6.4	-16.0	29.30	-1.9	3.5	3
Novembre	58.2	57.8	57.5	58.0	58.0	57.6	57.6	57.8	657.8	640.5	30	668.7	20	-11.1	-17.0	6	-5.9	0.0	20
Dicembre	51.9	51.8	51.8	52.4	52.5	52.2	52.4	52.8	652.2	638.9	1	668.7	31	-14.0	-19.0	18	-8.0	1.0	31
Anno	63.0	62.6	62.3	62.7	63.0	62.8	62.8	63.1	662.8	635.0	X	677.8	VIII	-7.9	-27.2	I	-2.7	9.8	VII

	Temperatura dell'aria													Umidità relativa									
	1h	4h	7h	10h	13h	16h	19h	22h	Media	Minimo	Giorno	Massimo	Giorno	1h	4h	7h	10h	13h	16h	19h	22h	Media	Minimo	Giorno
Gennaio	-13.4	-13.9	-13.7	-13.2	-12.4	-13.0	-13.4	-13.5	-13.3	-26.0	10	-2.2	28	73	74	71	70	71	72	70	72	72	5	1.18
Febbraio	9.5	-9.5	-9.5	8.5	-7.2	-7.2	8.2	9.1	8.6	17.0	2	0.6	27	60	55	53	50	50	55	58	59	55	5	15 19 17 24
Marzo	-9.7	-9.7	-9.7	-8.7	-7.5	-7.7	-8.8	-9.6	-8.9	-15.0	31	-1.4	23	85	81	84	83	85	84	84	85	84	5	27
Aprile	-8.3	-8.4	-8.4	-7.3	-6.6	-6.3	-7.3	-8.0	-7.6	-16.4	11	1.2	13	70	70	65	65	66	72	78	76	70	5	2.5
Maggio	-5.7	-5.9	-5.9	-4.4	-2.8	-2.5	-3.8	-5.2	-4.5	-11.4	3	2.4	7	85	74	74	68	75	79	83	85	78	5	4
Giugno	-2.0	-2.5	-2.0	-1.0	0.0	0.6	-0.2	-1.8	-1.1	-11.8	12	7.2	4	87	82	79	77	77	78	85	91	82	24	4
Luglio	0.8	0.5	0.6	1.6	3.0	3.4	2.9	1.4	1.8	-8.6	1	8.8	9	79	75	68	68	69	73	74	81	73	16	3
Agosto	-0.5	-0.7	-1.0	0.5	1.5	1.6	1.1	-0.1	0.3	-6.2	3	7.0	7	84	74	71	72	79	82	87	88	80	5	5.7
Settembre	-0.2	-0.6	-0.4	0.4	1.4	1.5	0.7	-0.1	0.3	-5.0	8	6.0	23	76	72	66	63	75	82	82	79	74	4	21
Ottobre	-4.5	-4.7	-4.8	-4.0	-3.2	-3.6	-4.5	-4.8	-4.3	-15.2	30	3.0	3	61	56	54	54	64	74	71	69	63	4	div.
Novembre	-9.2	8.9	-8.8	-8.5	-7.9	8.4	-8.9	9.0	-8.7	-16.2	16	-1.2	20	63	65	64	65	66	68	66	64	65	3	div.
Dicembre	-11.0	-10.8	-11.3	-11.3	-10.9	-11.0	-10.9	-10.8	-11.0	18.2	19	-0.6	31	85	85	83	83	81	80	78	81	82	10	31
Anno	-6.1	-6.3	-6.2	-5.4	-4.4	-4.4	-5.1	-5.9	-5.5	-26.0	I	8.8	VII	76	72	69	68	71	75	76	77	73	3	XI

	Nuvolosità in ottavi (Okta)									Nebbia Numero dei termini di osservazione									Precipitazioni			Numero dei giorni			
	1h	4h	7h	10h	13h	16h	19h	22h	Media	1h	4h	7h	10h	13h	16h	19h	22h	Totale	Somma	Massimo	Giorno	● *	●* ≥1.0	▲	Nuvolosità < 2/10	Nuvolosità > 8/10
Gennaio	4.6	4.2	4.3	4.6	4.5	4.6	4.3	4.2	4.4	14	14	16	12	10	9	10	11	96	—	—	—	—	—	—	7	10
Febbraio	1.4	1.5	1.1	1.5	1.6	2.3	2.5	2.0	1.7	4	4	3	2	2	3	2	4	24	—	—	—	—	—	—	19	1
Marzo	4.7	5.2	5.2	5.5	5.6	5.8	6.0	5.7	5.5	15	18	9	13	11	15	18	20	119	-	—	—	—	—	—	3	13
Aprile	3.9	3.5	4.3	4.5	4.3	4.9	5.2	4.0	4.3	12	11	13	13	10	13	16	12	100	–	—	—	—	—	—	9	10
Maggio	4.5	3.8	4.1	4.5	6.0	6.3	6.4	5.2	5.1	13	11	7	11	19	18	19	15	113	–	—	—	—	—	—	1	9
Giugno	4.2	3.7	3.9	4.8	5.5	6.0	6.4	5.7	5.0	10	8	6	9	14	11	14	17	89	—	—	—	—	—	6	1	8
Luglio	3.3	3.0	2.9	3.5	4.3	5.0	4.6	4.6	3.9	7	5	5	3	5	8	6	10	49	—	—	—	—	—	3	7	7	6
Agosto	4.0	3.4	3.3	4.1	5.3	5.9	5.5	4.5	4.5	11	11	6	8	17	15	14	12	94	—	—	—	—	—	1	2	2	6
Settembre	3.4	3.4	3.7	3.9	5.1	5.8	5.0	3.7	4.2	10	7	6	8	11	15	13	10	80	—	—	—	—	—	—	7	4
Ottobre	2.9	2.8	3.2	3.2	3.9	4.5	3.8	3.3	3.4	5	5	5	7	7	9	8	5	51	—	—	—	—	—	—	12	7
Novembre	2.9	3.3	3.4	4.2	4.7	4.8	3.8	3.1	3.8	9	8	7	8	13	13	12	9	79	—	—	—	—	—	—	8	8
Dicembre	5.1	5.4	5.0	5.4	4.7	5.1	4.2	4.2	4.9	19	20	16	17	14	15	12	14	127	—	—	—	—	—	—	8	12
Anno	3.7	3.6	3.7	4.1	4.6	5.1	4.8	4.2	4.2	129	122	99	111	133	144	144	139	1021	—	—	—	-	—	4	15	84	94

	Direzione del vento													Velocità del vento in nodi								
	350° -10°	20° -40°	50° -70°	80° -100°	110° -130°	140° 160°	170° -190°	200° -220°	230° -250°	260° -280°	290° -310°	320° -340°	Calme	1h	4h	7h	10h	13h	16h	19h	22h	Media
Gennaio	18	36	80	1	—	2	12	26	33	11	7	16	6	20.4	20.9	22.2	18.0	18.5	19.7	21.4	19.3	20.0
Febbraio	—	26	45	18	27	19	21	24	8	4	1	—	31	10.8	10.4	11.2	10.2	10.4	8.6	10.0	10.9	10.3
Marzo	1	6	71	6	7	13	38	57	36	1	—	1	11	12.5	12.5	10.9	11.3	11.1	10.2	11.3	11.9	11.5
Aprile	1	23	68	15	8	7	24	47	17	4	9	4	13	12.3	12.8	11.4	12.7	12.2	11.5	12.9	13.3	12.4
Maggio	5	47	57	13	11	6	21	35	12	1	5	2	33	8.5	8.9	8.3	8.7	6.3	8.1	8.9	8.7	8.3
Giugno	3	83	37	3	2	3	27	30	4	4	7	5	32	8.6	9.8	9.3	9.1	7.8	8.0	9.4	9.6	9.0
Luglio	5	63	72	2	2	2	12	34	6	4	2	1	43	7.4	8.7	10.4	9.9	7.4	7.9	8.8	8.3	8.6
Agosto	8	50	49	3	12	7	28	28	10	2	4	1	46	7.4	7.7	7.8	7.2	5.7	5.6	6.8	7.8	7.0
Settembre	3	32	53	7	12	4	13	23	18	6	6	6	57	4.1	5.8	6.2	5.5	3.8	4.5	6.3	4.9	5.1
Ottobre	—	12	72	7	9	11	21	56	19	3	5	1	32	10.0	12.6	11.9	11.0	9.5	9.3	9.6	9.8	10.5
Novembre	3	4	92	9	10	18	34	39	18	1	1	1	10	15.0	16.3	15.7	14.8	12.9	14.0	15.7	13.5	14.7
Dicembre	14	27	50	11	16	10	35	37	15	8	4	10	11	20.8	18.0	16.5	16.1	16.5	18.4	18.8	18.2	17.9
Anno	61	409	746	95	116	102	286	436	196	49	51	48	325	11.5	12.0	11.8	11.2	10.2	10.5	11.7	11.3	11.3

$\lambda = 8° 53'$, $\beta = 46° 10'$, $H_p = 199$ m, $h_r = 1.5$m

Locarno-Aeroporto

1959

900 mb + Pressione atmosferica in millibar

	1h	4h	7h	10h	13h	16h	19h	22h	Media	Minimo	Giorno	Massimo	Giorno
Gennaio	92.6	92.4	92.1	92.9	92.0	91.1	91.8	92.4	992.2	973.6	8	1008.6	28
Febbraio	106.6	106.1	106.2	106.6	105.8	104.4	105.4	106.4	1005.9	988.3	1	1017.9	14.15
Marzo	94.2	93.6	93.8	94.1	93.5	92.3	92.7	93.8	993.5	980.0	30	1006.6	21
Aprile	89.4	89.0	89.4	89.4	88.3	87.1	87.3	88.6	988.6	971.0	7	1001.3	2
Maggio	90.8	90.5	90.8	90.5	89.8	88.8	88.9	90.4	990.1	979.3	30	998.7	7
Giugno	93.2	92.9	93.2	93.2	92.8	91.7	91.5	92.9	992.7	978.2	29	999.5	3
Luglio	92.6	92.4	92.8	92.4	91.5	90.7	90.5	91.9	991.9	980.9	30	1000.6	2
Agosto	92.9	92.7	93.0	93.1	92.2	91.5	91.4	92.6	992.4	984.4	13	100.34	25
Settembre	95.8	95.6	95.9	96.2	95.3	94.4	94.5	95.9	995.5	987.3	17	1004.4	30
Ottobre	96.4	95.9	95.9	96.3	95.4	94.6	95.3	96.4	995.8	959.6	29	1006.5	2
Novembre	93.5	93.0	93.0	93.7	92.8	92.0	92.2	92.7	992.9	970.2	30	1006.5	23
Dicembre	87.0	86.8	86.9	87.8	87.3	86.7	87.4	87.9	987.2	969.1	1	1001.1	17
Anno	93.7	93.4	93.6	93.8	93.1	92.1	92.4	93.5	993.2	959.6	X	1017.9	II

Termometro minima

	Media	Minimo	Giorno
Gennaio	−2.7	−7.6	18
Febbraio	−2.0	−5.5	14
Marzo	4.6	−0.8	1.2
Aprile	4.9	−1.0	22
Maggio	9.4	4.8	3
Giugno	14.3	8.8	1
Luglio	15.8	9.0	1
Agosto	14.4	8.8	3
Settembre	12.5	6.6	20
Ottobre	5.7	1.1	13.24
Novembre	1.0	−4.5	24
Dicembre	−0.7	−6.2	17
Anno	6.4	−7.6	I

Termometro massima

	Media	Massimo	Giorno
Gennaio	6.6	13.8	24
Febbraio	11.0	19.9	21
Marzo	13.3	18.4	8
Aprile	16.6	22.4	19
Maggio	20.8	24.9	27
Giugno	24.6	28.8	14
Luglio	27.8	31.2	21
Agosto	25.5	28.6	16
Settembre	22.1	26.1	24
Ottobre	16.4	23.6	23
Novembre	9.8	14.0	1.5
Dicembre	6.7	13.0	19
Anno	16.8	31.2	VII

Temperatura dell'aria

	1h	4h	7h	10h	13h	16h	19h	22h	Media	Minimo	Giorno	Massimo	Giorno
Gennaio	−0.1	−0.8	−1.5	0.4	5.0	6.3	2.2	0.3	1.5	−7.4	13	13.2	24
Febbraio	0.5	−0.4	−1.1	3.4	9.0	10.5	5.8	2.6	3.8	−5.0	14	19.7	21
Marzo	7.2	5.8	5.3	9.0	11.9	12.6	10.9	8.7	8.9	−0.4	1	18.0	23
Aprile	8.0	6.4	6.0	12.2	15.1	16.0	13.9	10.6	11.0	−0.2	22	22.0	19
Maggio	12.1	10.4	11.4	16.7	19.0	20.3	18.2	14.9	15.4	5.4	2	24.4	18
Giugno	16.4	15.0	16.4	20.3	22.9	23.9	22.4	18.5	19.5	9.6	1	28.2	14.23
Luglio	18.0	16.5	17.7	22.9	26.5	27.2	25.5	20.5	21.9	10.4	1	31.2	21
Agosto	16.8	15.5	15.5	20.7	24.2	24.8	22.3	19.1	19.9	9.2	3	28.4	26.27
Settembre	14.4	13.4	13.1	17.7	21.1	21.7	18.8	15.9	17.0	7.4	20	26.0	24
Ottobre	8.3	7.1	6.9	11.8	15.5	15.6	11.7	9.4	10.8	1.4	13	23.0	23
Novembre	3.1	2.5	1.9	4.6	8.4	8.9	5.3	4.0	4.8	−3.7	9	13.8	5
Dicembre	1.7	1.0	0.7	1.9	5.2	5.6	2.8	1.6	2.6	−5.6	17	12.5	19
Anno	8.9	7.7	7.7	11.8	15.3	16.1	13.3	10.5	11.4	−7.4	I	31.2	VIII

Umidità relativa

	1h	4h	7h	10h	13h	16h	19h	22h	Media	Minimo	Giorno
Gennaio	67	70	74	72	51	45	58	68	63	13	25
Febbraio	80	82	84	72	46	43	58	73	67	18	21
Marzo	79	84	87	71	56	54	59	71	70	21	13
Aprile	75	80	81	56	48	46	50	64	62	20	11
Maggio	78	84	82	55	49	45	53	65	64	23	14
Giugno	75	79	75	56	49	46	50	65	62	21	10
Luglio	76	81	75	52	43	44	51	66	61	23	21
Agosto	78	81	82	59	49	47	56	68	65	24	16
Settembre	84	84	84	65	51	51	62	78	70	37	22
Ottobre	83	84	82	66	51	53	68	80	71	13	23
Novembre	90	92	93	86	67	68	82	88	83	31	5
Dicembre	84	85	86	85	69	67	80	85	80	26	19
Anno	79	82	82	66	52	51	61	72	68	13	I/X

Nuvolosità in ottavi (Okta)

	1h	4h	7h	10h	13h	16h	19h	22h	Media
Gennaio	2.7	2.1	2.5	3.1	3.5	3.8	2.7	2.5	2.9
Febbraio	1.5	1.6	2.3	2.6	2.1	2.3	2.3	1.8	2.1
Marzo	5.5	5.5	6.2	5.7	5.9	5.6	6.0	5.4	5.7
Aprile	3.2	3.1	3.9	3.5	3.8	3.9	3.9	3.1	3.6
Maggio	3.7	4.6	4.1	4.2	4.9	5.2	4.4	4.6	4.5
Giugno	3.8	4.7	4.6	4.8	4.8	4.5	4.8	4.2	4.5
Luglio	3.0	4.0	3.7	3.3	3.4	3.4	3.0	3.4	—
Agosto	3.1	3.6	4.5	4.1	3.8	4.6	4.4	4.1	4.0
Settembre	4.4	4.8	5.2	4.7	4.7	4.9	5.3	4.5	4.8
Ottobre	4.1	4.4	4.9	4.3	4.1	4.3	4.7	4.3	4.4
Novembre	4.6	4.2	5.0	5.1	4.8	4.8	4.5	4.5	4.7
Dicembre	4.5	4.1	4.4	4.9	4.7	4.6	3.8	4.3	4.4
Anno	3.7	3.9	4.3	4.2	4.2	4.3	4.2	3.9	4.1

Nebbia — Numero dei termini di osservazione

	1h	4h	7h	10h	13h	16h	19h	22h	Totale
Gennaio	3	2	2	2	1	1	2	1	14
Febbraio	1	1	—	—	—	—	—	—	2
Marzo	—	1	2	—	—	—	—	1	4
Aprile	—	-	3	—	-	—	—	—	3
Maggio	—	—	—	—	—	—	—	—	—
Giugno	—	—	—	—	—	—	—	—	—
Luglio	—	—	—	—	—	—	—	—	—
Agosto	—	—	1	—	—	—	—	—	1
Settembre	—	1	4	—	—	—	—	—	5
Ottobre	1	1	9	1	1	1	—		14
Novembre	—	—	1	—	1	—	1	2	5
Dicembre	—	1	1	—	—	—	—	—	2
Anno	5	7	23	3	3	2	3	4	50

Precipitazioni

	Somma	Maximo	Giorno
Gennaio	28	10	21
Febbraio	10	6	2
Marzo	183	38	25
Aprile	259	127	29
Maggio	79	16	28
Giugno	154	46	26
Luglio	135	64	14
Agosto	142	49	22
Settembre	72	49	26
Ottobre	258	94	28
Novembre	321	61	12
Dicembre	199	46	10
Anno	1840	127	IV

Numero dei giorni

	☁	●≥1.0	✳	▲	K	Nuvolosità < 2/10	Nuvolosità > 8/10
Gennaio	5	4	3	—	—	14	4
Febbraio	2	2	2	—	—	18	3
Marzo	12	11	—	—	—	3	16
Aprile	8	8	—	—	1	10	8
Maggio	11	11	—	—	5	1	7
Giugno	9	8	—	—	7	3	4
Luglio	10	9	—	—	11	9	3
Agosto	16	12	—	—	4	6	4
Settembre	7	3	—	—	—	4	10
Ottobre	8	6	-	—	—	8	9
Novembre	14	13	1	—	—	7	14
Dicembre	15	13	5	—	—	5	10
Anno	117	100	11	—	28	88	92

Direzione del vento

	350° -10°	20° -40°	50° -70°	80° -100°	110° -130°	140° -160°	170° -190°	200° -220°	230° 250°	260° -280°	290° -310°	320° -340°	Calme
Gennaio	1	2	16	59	32	56	10	4	7	13	6	4	38
Febbraio	2	1	4	45	34	15	5	—	8	39	3	5	63
Marzo	4	5	10	45	28	12	2	3	16	56	10	11	46
Aprile	4	10	6	39	26	6	12	1	15	69	7	9	36
Maggio	5	7	13	37	20	14	3	2	15	49	7	14	62
Giugno	7	4	8	35	25	15	2	2	8	45	15	15	59
Luglio	9	3	8	59	21	8	6	4	11	53	5	11	50
Agosto	2	4	11	49	26	13	3	4	11	45	10	11	59
Settembre	3	6	15	51	18	4	3	1	6	43	13	5	72
Ottobre	3	1	14	57	32	18	3	2	11	28	11	5	63
Novembre	6	1	15	72	40	11	10	4	9	19	6	6	41
Dicembre	3	6	11	67	54	17	12	4	6	12	4	10	42
Anno	49	50	131	615	356	189	71	31	123	471	97	106	631

Velocità del vento in nodi

	1h	4h	7h	10h	13h	16h	19h	22h	Media
Gennaio	3.2	2.8	2.8	3.3	3.8	3.6	3.4	3.3	3.3
Febbraio	1.5	1.8	1.4	2.0	2.9	3.2	2.7	1.2	2.1
Marzo	2.0	1.4	1.4	1.6	3.1	3.5	2.9	2.0	2.2
Aprile	2.3	2.1	1.7	2.4	4.1	5.7	4.6	3.2	3.3
Maggio	1.5	1.6	1.1	2.2	4.1	3.5	2.7	2.8	2.4
Giugno	2.1	1.8	1.3	3.0	3.7	4.8	3.5	2.3	2.8
Luglio	1.9	1.9	2.5	2.7	2.7	3.1	2.3	2.0	2.4
Agosto	1.9	2.0	2.0	1.6	2.9	2.6	2.5	2.1	2.2
Settembre	1.0	1.1	1.0	1.4	2.4	1.9	1.0	1.1	1.4
Ottobre	1.5	1.8	1.7	1.7	3.1	2.9	2.0	1.5	2.0
Novembre	2.0	1.6	2.0	2.2	2.5	2.1	1.9	1.9	2.0
Dicembre	2.5	2.9	3.1	2.1	2.6	2.3	2.9	2.6	2.6
Anno	2.0	1.9	1.8	2.2	3.1	3.3	2.7	2.2	2.4

Anhang

zum Jahrgang 1959 der Annalen der
Schweizerischen Meteorologischen Zentralanstalt

Ergänzende Beobachtungen und Abhandlungen

Übersicht über den Witterungsverlauf in der Schweiz im Jahre 1959

Die Jahresmittel der *Temperatur* gehören auf der Alpennordseite zu den höchsten, welche dort in den letzten zwei Jahrhunderten aufgetreten sind. Sie werden im allgemeinen nur noch von den Jahren 1947 und 1949 überboten. Die Überschüsse in bezug auf das langjährige Mittel erreichen in vielen Gebieten mehr als 1½ °, nur am Alpensüdfuß liegen sie mit etwa ½ ° wesentlich tiefer. — Bei den Einzelmonaten finden wir nur im November in den meisten Gebieten leichte negative Abweichungen. Am Alpensüdfuß brachten auch die übrigen Herbstmonate leichte Defizite, in den Hochalpen der Januar. Sonst finden wir überall Wärmeüberschüsse, wobei besonders der März, der Juli und der Dezember zu dem hohen Jahresergebnis beitrugen.

Bei den *Niederschlägen* wiesen die meisten Gebiete kleinere Mengen auf als üblich. Das größte Defizit von nahezu 40 % findet sich in Graubünden, wo lokal im Einzugsgebiet des Vorder- und Hinterrheins die kleinsten Summen seit Beginn der Messungen (1892) registriert wurden. Leicht übernormale Beträge finden wir im äußersten Norden, Westen und Süden des Landes (vgl. Anhang Nr. 3). Trockene und feuchte Perioden folgten sich, wobei jedoch vom Juli bis zum September allgemein Defizite verzeichnet wurden, vor allem im September. Extrem trocken war ferner der Februar, der in der Westschweiz teilweise ganz niederschlagsfrei blieb. Allgemein naß war dagegen der Dezember; ferner brachten auch Januar, März, April und Oktober regionale Überschüsse.

Außer auf der Alpensüdseite, wo der langjährige Mittelwert der *Sonnenscheindauer* nicht ganz erreicht wurde, wiesen alle Gebiete einen Überschuß auf. Auch wenn wir die Zahlen des Säntis und von La Chaux-de-Fonds in der tabellarischen Zusammenstellung etwas reduzieren müssen, um richtig vergleichbare Werte mit den früheren Messungen zu erhalten, bleibt immer noch ein Überschuß von 10—15 % in den nordöstlichen und 5—10 % in den westlichen Landesteilen, der das «Weinjahr 1959» zu einem erfreulichen stempelt, da die Monate größtenteils sonnig und warm waren. Am meisten zum positiven Ergebnis trugen Februar, April, Mai, Juli und September sowie strichweise auch der Oktober bei. Ziemlich sonnenarm waren dagegen Juni und März, südlich der Alpen auch August—September und November—Dezember, woraus sich die verhältnismäßig kleine Summe dieses Gebietes erklärt.

In den nachfolgenden Monatsübersichten beziehen sich die Abweichungen und Prozentzahlen auf folgende Perioden: Temperaturen 1864—1940, Niederschlag und Feuchtigkeit 1901—1940, Bewölkung und Sonenscheindauer 1921—1950. Im Witterungsablauf sind die Witterungslagen (WL) nach untenstehendem Schema aufgeführt. (Zwei Ziffern):

Schema der Witterungslagen: WL

1. Ziffer	2. Ziffer									
	0	x	9	8	7	6	5	4	3	2	1
0		*Hochdrucklagen*		*Hochdruck — Randlagen* Hochdruck in Richtung:							
	stabiles Hoch	Hochdruck-rücken	rasch wanderndes Zwischenhoch	W-NW	SW-W	S-SW	SE-S	E-SE	NE-E	N-NE	NW-N
				vorherrschende allgemeine Strömung aus:							
				N	NW	W	SW	S	SE	E	NE
	00	0x	09	Codebezeichnung:							
				08	07	06	05	04	03	02	01
x		*Flachdrucklagen*		*Strömungslagen (Advektionslagen)*							
1—8	vorherrschend schönes Wetter (Höhenhoch)	Flache Druck-verteilung (Marais barométrique)	vorherrschend schlechtes Wetter (Höhentief)	vorherrschende Grundströmung (am Boden und in der Höhe):							
				N	NW	W	SW	S	SE	E	NE
	x0	xx	x9	Codebezeichnung:							
				88	77	66	55	44	33	22	11
9		*Tiefdrucklagen*		*Tiefdruck — Randlagen* Tiefdruck in Richtung:							
	rasch ziehendes Tief (Sekundär-depression)	Tiefdruckrinne	langsam ziehendes Haupttief (Zentralzyklone)	E-SE	NE-E	N-NE	NW-N	W-NW	SW-W	S-SW	SE-S
				vorherrschende allgemeine Strömung aus:							
				N	NW	W	SW	S	SE	E	NE
	90	9x	99	Codebezeichnung:							
				98	97	96	95	94	93	92	91

Im allgemeinen erfolgt die Einordnung auf Grund der Bodenwetterkarte; falls dort keine charakteristische Druckverteilung vorhanden ist auf Grund der Höhenwetterkarte (500 mb). Die 1. Ziffer gibt die vorherrschende vertikale Luftbewegung an:

0 = antizyklonale Witterung mit vorherrschend absinkender Luftbewegung (wolken- und niederschlagarmes Wetter)
1-8, x = abwechselnd antizyklonale u. zyklonale Witterung (veränderliches Wetter) oder indiff. (unbestimmter) Witterungscharakter
9 = zyklonale Witterung mit vorherrschend aufsteigender Luftbewegung (wolken- und niederschlagsreiches Wetter)

Die 2. Ziffer gibt die vorherrschende horizontale Luftbewegung an:

0 = Ausströmen aus einem Hochdruckgebiet
x = schwache geradlinige oder unbestimmte Strömung
9 = Einströmen in ein Tiefdruckgebiet

1 = NE 2 = E 3 = SE 4 = S 5 = SW 6 = W 7 = NW 8 = N

Januar

Der Monat brachte häufig unbeständiges Wetter, meist etwas übernormale Temperaturen sowie im Norden große, im Süden geringe Niederschlagsmengen. Die Niederungen waren überdurchschnittlich sonnig.

Temperatur: In den Niederungen der Alpennordseite wurden meist 1—1½° Wärmeüberschuß verzeichnet, am Alpensüdfuß etwa ½°, während in höheren Berglagen der Normalwert nicht erreicht wurde (Säntis-Jungfraujoch negative Abweichung von etwa 1 Grad).

Niederschlagsmengen: Unternormal: Mittelbünden sowie Alpensüdseite, vereinzelt in den nördlichen Alpentälern. Prozentual geringste Beträge in Mittelbünden und im Oberengadin sowie im südlichen Tessin (40 bis 60 %).

Übernormal: fast gesamte Alpennordseite und Wallis. Im allgemeinen Beträge zwischen 130 und 180 %, im Wallis und in der Westschweiz strichweise bis zu 220 %, im Kanton Schaffhausen und im nördlichen Thurgau etwa 250—300 %.

Zahl der Tage mit Niederschlag: Leicht unternormal bis normal im Tessin und im Engadin, sonst allgemein wesentlich übernormal (z. B. Sion, Lausanne, Schaffhausen und Zürich + 7, Bern + 8), Schneetage in Basel zu gering (—4), sonst ebenfalls übernormal (z. B. Luzern + 5, Rigi + 7).

Gewitter: unbedeutend.

Sonnenscheindauer: Bedeutend übernormal in den Niederungen beidseits der Alpen (meist 120—150 %), dagegen im Alpengebiet Normalbetrag nur knapp erreicht oder etwas unterschritten, z. B. 85—95 % am oberen Genfersee und im Wallis, 95—100 % im mittleren Jura und in Graubünden.

Bewölkungsmenge: Etwas unternormal im Mittelland und im Südtessin (90—100 %), in den Alpen dagegen übernormal (meist um 110 %, in Graubünden 110 bis 120 %). Nebelhäufigkeit in den Bergen übernormal, sonst etwa normal.

Zahl der heiteren und trüben Tage: Heitere Tage meist etwas mehr als üblich, trübe Tage in den Niederungen beidseits der Alpen etwas weniger als üblich, in den Bergen jedoch zuviel (z. B. Davos + 3, Säntis + 4).

Wind: Bis zum 25. häufig starke Winde, besonders in der ersten Monatshälfte.

Witterungsablauf:

1.—16. WL: 1.—2. 66 3.—16. 97 — *West- bis Nordwestwind* mit häufigen, über Mittel- und Nordeuropa hinwegziehenden Tiefdruckstörungen. Alpennordseite und Alpen unbeständiges Wetter mit verbreiteten Niederschlägen. Alpensüdseite meist niederschlagsfrei und im allgemeinen sonnig. Temperaturen in der Höhe unternormal, im Mittelland zu Beginn noch etwas über Null, vom 9. an einige Grad unter Null (Kälteeinbruch aus Nordwesten), um die Monatsmitte wieder etwas über Null. Alpensüdseite tagsüber immer positive Temperaturen, zeitweise Nordföhn (5.8./9.). Am 16. Tief über Italien, für zwei Tage Bise in der Westschweiz.

17.—19. WL:09 — *Hoch von Frankreich über das Alpengebiet nach dem Balkan ziehend:* Trockenes, am 17. allgemein sonniges Wetter. Anfangs nachts kalt, dann Erwärmung.

20.—24. WL:66 — *Südwest- bis Westströmung:* Zwischen 20. und 22. häufig Föhn in den Alpentälern, zeitweise sehr stark (Böenspitzen Altdorf am 20. 36,5 m/sec). Zeitweise Niederschläge beidseits der Alpen. Sehr mild.

25.—31. WL:02 — *Hoch über Mitteleuropa:* Von Nordwesten her am 24. Einbruch von Polarluft mit Abkühlung und Bise, allmählich wieder abflauend. Trockenes, besonders vom 25. bis 28. allgemein sonniges Wetter, dann Bildung einer Hochnebeldecke bis 700—800 m auf der Alpennordseite, Alpengebiet und Alpensüdseite weiterhin sonnig. Höhen mild, Alpensüdseite tagsüber ebenfalls, Alpennordseite Temperaturen nachts einige Grad unter, tagsüber etwas über null Grad.

Februar

Der Monat war in bezug auf viele Wetterelemente außergewöhnlich. Er brachte geringe, in manchen Gebieten überhaupt keine Niederschläge, war sehr sonnenreich und vor allem in den Bergen sehr warm.

Temperatur: Strichweise in den Niederungen der Alpennordseite normal bis wenig übernormal, im allgemeinen aber wesentlich zu hoch: Tessin und Alpentäler um etwa 2°, Alpengipfel 4—4½°. Frühere Februarmonate mit ähnlich hohen Temperaturen in den Hochalpen: 1869, 1914 und 1926, d. h. nur 3 Fälle in 95 Jahren (1864 bis 1958).

Niederschlagsmengen: In der ganzen Schweiz stark unternormal. Prozentual höchste Beträge im nordöstlichen Alpengebiet (30—40 %), sonst meist 10—30 %, westlich von Moutier—Bern—Zweisimmen sowie strichweise im Norden des Landes, im Wallis, im oberen Tessin und im Engadin unter 10 %, teilweise 0 %, besonders um den Genfersee. Seit 1826 bisher erst einmal Februar in Genf niederschlagsfrei (1890), ferner brachten 15 weitere Jahre ebenfalls geringe Niederschlagsmengen unter 10 mm. Auch in Zürich nur Februar 1890 mit 4 mm noch etwas geringere Menge, bisher in den 95 Jahren seit 1864 5 Monate mit Summen unter 10 mm (1868, 1887, 1890, 1932, 1934).

Zahl der Tage mit Niederschlag: Allgemein sehr stark unternormal (normal z. B. Basel und Bern 11, Lausanne und Genf 10, Locarno und Lugano 6, Säntis 14), jetzt maximal 3!

Gewitter: keine.

Sonnenscheindauer: Bedeutende Überschüsse in allen Landesteilen; im Jura etwas über 200 % des Normalwertes, in den Alpen meist 160—180 %, im Nordosten bis zu 220 %. Mittelland meist 150—180 %, Tessin 120—130 %. Letzter im Alpengebiet ähnlich sonniger Februar im Jahr 1949.

Bewölkungsmenge: Allgemein stark unternormal. Jura, Wallis und Graubünden 30—50 %, übrige Gebiete 50—80 %.

Feuchtigkeit, Nebel: Niederungen der Alpennordseite etwas zu feucht und nebelreich, Alpen verhältnismäßig trocken und nebelarm.

Zahl der heiteren und trüben Tage: Allgemein übernormale Zahl der heiteren und besonders in den Alpen unternormale Zahl der trüben Tage, z. B. Davos 16 heitere Tage (normal 2) und 2 trübe Tage (normal 8)!

Wind: Nur wenige Tage mit starkem Wind (1.—2. Bise in Genf).

Luftdruck: Sehr hohes Monatsmittel, in Basel zweithöchster Februarwert seit dem Jahr 1755 (höchster Wert Februar 1779, ähnlich hohe Werte Februar 1891 sowie 1790 und 1797).

Witterungsablauf:

1.—4. WL:33 *Hoch über der Nordsee,* sich gegen den Balkan ausbreitend. Bise im Mittelland, südöstliche Winde über den Alpen. Anfangs Niederschläge am Alpensüdfuß und kalt (besonders zwischen 1000 und 3000 m). Ab 3. trocken und rasche Erwärmung in der Höhe. Mit Ausnahme des höheren Alpengebietes sonnenarm.

5.—20. WL: 5.—14.: 03 15.—20. 02 *Hoch über Mitteleuropa.* Am 10. Durchgang einer schwachen Störungslinie mit geringen Niederschlägen in der Zentralschweiz, sonst im ganzen Zeitraum trocken und in den Bergen sehr mild. Niederungen der Alpennordseite besonders vom 11.—16. zeitweise Nebel und Hochnebel mit Obergrenze in 1000 m, später 700—800 m. Sonst sehr schönes, sonniges Wetter. Um den 15. abnormal hoher Luftdruck. Schwache Winde.

21.—22. WL:77 *Kaltlufteinbruch aus Nordwest,* vorübergehend Rückzug des Hochdruckgebietes auf den Atlantik westlich von Frankreich. In der Höhe kräftiger West- bis Nordwestwind, Schneefälle besonders im nordöstlichen Alpengebiet, Abkühlung, oberhalb 1000 m 5—8°. Alpensüdseite sonnig, Westschweiz teilweise sonnig. Am 22. Nordföhn im Tessin.

23.—28. WL:00 *Erneut Hoch über Mitteleuropa.* In den Bergen sehr mild. Mit Ausnahme einzelner Nebelgebiete allgemein sonniges und trockenes Wetter. Schwache Winde.

März

Der Monat brachte vor allem auf der Alpennordseite ungewöhnlich hohe Temperaturen. Die Sonnenscheindauer blieb besonders auf der Alpensüdseite stark unter dem langjährigen Mittel. Die Niederschläge zeigen große regionale Unterschiede (Wallis trocken, West- und Südschweiz naß).

Temperatur: Seit 1864 wurden nur in den Jahren 1948 und besonders 1957 noch höhere Märztemperaturen in den nördlichen Landesteilen registriert. Die Überschüsse nehmen von Norden nach Süden ab (Nordwestschweiz etwa 4°, Tessin etwa 2°).

Niederschlagsmengen: Unternormal in den inneren Alpentälern sowie im größten Teil der Nordostschweiz. Im Mittel- und Oberwallis nur 20—40 %, in Nordbünden 40—60 %, sonst meist 80—100 %. Übernormal im westlichen Mittelland, im Jura und auf der Alpensüdseite. Höchste prozentuale Beträge in den Kantonen Waadt und Genf (160—190 %) und im Südtessin (150—180 %). Im Jura meist 120—160 %, strichweise unter 100 %.

Zahl der Tage mit Niederschlag: Im Alpengebiet unternormal (Säntis 11 statt 17!), sonst keine bedeutenden Abweichungen. In den Niederungen wenig Schneetage.

Gewitter: keine.

Sonnenscheindauer: Im ganzen Gebiet unternormal. Tessin nur etwa 55 %, übrige Gebiete 70—85 %, im Nordosten strichweise etwas über 90 %. In Lugano wurde die diesjährige März-Sonnenscheindauer seit dem Beginn der Messungen (1886) erst dreimal (1916, 1928 und 1947) unterschritten.

Bewölkungsmenge: Allgemein übernormal, besonders im Tessin (150—160%). In den übrigen Gebieten meist 115—125 %, am Genfersee 130—140 %.

Feuchtigkeit, Nebel: Übernormale Feuchtigkeit, besonders im Tessin und im Norden der Schweiz, in diesen Gebieten auch übernormale Zahl von Nebeltagen.

Zahl der heiteren und trüben Tage: Im Tessin nur 2—4 heitere Tage (normal 10—12!), dagegen 19—20 trübe Tage (normal 8—10). Auch in der übrigen Schweiz wenig heitere Tage, trübe Tage etwas übernormal, besonders in der Westschweiz.

Wind: In den Alpentälern häufig Föhn, sonst keine großen Windspitzen.

Witterungsablauf:

1.—2. WL:00 *Hoch über dem östlichen Mitteleuropa:* Trokkenes, sonniges und warmes Wetter in der ganzen Schweiz.

3.—7. WL:95 *Föhnlage.* Unbeständiges, im allgemeinen sonnenarmes Wetter mit Niederschlägen besonders im Süden und Westen des Landes. Temperaturen weiterhin stark übernormal. Alpentäler Föhn (Altdorf 3.—6. Böenspitzen 24—27 m/sec). Am 7. Föhnzusammenbruch mit Abkühlung und allgemeinen Niederschlägen.

8.—10. WL:09 *Hochdruckaufbau über Nord- und Ostsee.* Vorübergehend trocken und ziemlich sonnig am 8./9., dann nach Verlagerung des Hochs gegen Osten erneut föhnig mit Niederschlägen in den südöstlichen Landesteilen. Mild, besonders im Tessin.

11.—16. WL:22 *Tief über dem östlichen Mittelmeer, Hoch über Nordrußland.* Kühleres Wetter mit mittleren Temperaturen. Vom 13.—15. östliche Winde. Veränderlich. Nördlich der Alpen anfangs sowie am 16. Niederschläge, Alpensüdseite vom 13.—15. sonnig, und mit Ausnahme des 16. trocken.

17.—24. WL:44 *Hochdruckbrücke Rußland—Nordsee.* Vorwiegend trockene und vor allem nördlich der Alpen ziemlich sonnige Witterung. Zunehmende Erwärmung. Meist schwache südliche

bis westliche Winde, in den Alpentälern am 17./18. und 20./21. Föhn (Altdorf Böenspitzen 18—20 m/sec).

25.—30. WL:x9 *Durchzug atlantischer Störungen durch Mitteleuropa.* Veränderliches Wetter. Bei tieferen, um den Normalwert schwankenden Temperaturen häufige Störungslinien mit Niederschlägen, dazwischen kurze Besserungen, besonders am 27. Meist Westwind in der Höhe, dazwischen am 27. kurz östliche Strömung auf der Südseite eines über Mitteleuropa nach Osten ziehenden Hochdruckgebietes.

31. WL:02 *Tief im Mittelmeer.* Hochdruckaufbau über Mitteleuropa, trocken mit Bise vor allem in den Bergen und in der Westschweiz.

April

Überdurchschnittliche Temperatur, Sonnenreichtum und im allgemeinen nicht stark vom Normalwert abweichende Niederschläge in ziemlich regelmäßigen Zeitabständen bedingten günstige Wachstumsverhältnisse. Strichweise gab es größere Frostschäden nach dem Kaltlufteinbruch vom 20. April.

Temperatur: In der ganzen Schweiz wurden Überschüsse verzeichnet, im allgemeinen 1—1½°, im Tessin nur ungefähr ½°, in der Nordwestschweiz dagegen 2 bis 2½°, was im April durchschnittlich nur etwa alle 10 Jahre vorkommt.

Niederschlagsmengen: Unternormal in weiten Teilen des zentralen und östlichen Mittellandes sowie des Alpennordhanges (meist 75—90 %), ferner in Graubünden mit Ausnahme des Bergell und Puschlav (in Mittelbünden und im Engadin nur 40—50 %, sonst 60—90 %). Übernormal im Westen und Süden des Landes; Jura 100 bis 120 %, westliches Mittelland und Wallis 130—170%; Tessin, Bergell, Puschlav meist 110—130%.

Zahl der Tage mit Niederschlag: Im Wallis etwa normal, sonst allgemein unternormal, z. B. St. Gallen 12 statt 16, Chur 8 statt 11, Lugano 9 statt 13 wie im langjährigen Mittel.

Gewitter: nur vereinzelt.

Sonnenscheindauer: Im ganzen Gebiet übernormal, im Westen und Süden meist 105—115 %, im Nordosten 120—125 %.

Bewölkungsmenge: Unternormal, größtenteils Werte zwischen 80 und 95 %, im Nordosten strichweise um 75 %.

Feuchtigkeit, Nebel: Im Tessin und im Wallis normale, sonst meist einige Prozente unternormale Feuchtigkeit, in den Bergen auch weniger Nebeltage als üblich (z. B. Säntis 15 statt 22).

Zahl der heiteren und trüben Tage: Heitere Tage überdurchschnittlich (z. B. Basel 9 statt 3). Trübe Tage in den Bergen und im Tessin etwas unternormal, sonst etwa normal.

Wind: Stärkere westliche Winde vom 5.—11., Bise und Nordföhn vom 19.—22., Föhn vom 14.—16. und 28./29.

Witterungsablauf:

1.—5. WL: 1.—3.:02 4.—5. :06 *Hoch über Mitteleuropa.* Trockenes und allgemein sonniges Wetter mit steigenden Temperaturen. Anfangs Bise, ab 4. in der Höhe westliche Winde.

6.—10. WL:96 *Unbeständiges Westwindwetter.* Zeitweise kräftige westliche Winde, besonders am 6./7. in den nordöstlichen Landesteilen. Häufige Niederschläge beidseits der Alpen. Temperatur stark fallend, am 10. Kälteeinbruch aus Nordwesten. Am 8. vorübergehend sonnig, sonst ziemlich sonnenarm.

11.—15. WL:05 *Hochdruck über Südosteuropa.* Höhenwinde aus südlicher bis westlicher Richtung. Nach dem Kälterückfall vom 10. rasche Wiedererwärmung. Am 11. und 15. lokal etwas Niederschlag, sonst trocken und besonders vom 12. bis 14. allgemein sonnig.

16.—20. WL:98 *Tiefdruckgebiet über Mitteleuropa nach Osten ziehend.* Häufige, zum Teil größere Niederschläge. Anfangs südliche Winde und noch warm, dann Winddrehung auf Nord mit starker Abkühlung und Schnee bis unter 1000 m herab. Im Tessin und im Wallis am 20. sonnig sonst sonnenarm.

21.—25. WL:02 *Hoch über Mitteleuropa.* Rasche Aufheiterung, tiefe Morgentemperaturen, vom 21. bis 24. starke Fröste in den Niederungen der Alpennordseite, zum Teil Temperaturen bis unter —6° mit bedeutenden Schäden in den Kulturen, welche infolge der vorangehenden warmen Periode weit entwickelt waren. — Trockene und sonnige Periode, daher tagsüber rasche Wiedererwärmung.

26.—30. WL:95 26.—29. 30. WL:99 *Eindringen der atlantischen Wirbel nach Mitteleuropa:* Bei südwestlichen Höhenwinden mäßig warmes, ziemlich sonnenarmes Wetter mit häufigen Niederschlägen im Süden und Westen des Landes. In den Alpentälern Föhn am 28./29. Am 30. allgemein Regenwetter.

Mai

Der Mai brachte etwas übernormale Temperaturen. Mit Ausnahme der Nordostschweiz war der Monat zu trocken, vor allem im Westen und Süden. Fast überall war die Sonnenscheindauer wesentlich höher als üblich.

Temperatur: Tessin und Graubünden verzeichneten Temperaturüberschüsse von etwa ½°, die übrigen Landesteile meist 1—1½°, so daß der Monat als etwas zu warm bis warm bezeichnet werden kann.

Niederschlagsmenge: In einzelnen Gebieten der Kantone Thurgau, St. Gallen, Appenzell und Schwyz sowie in Nordbünden stellenweise 110—140% des Normalwertes, sonst in allen Landesteilen unternormal. Trockenste Gebiete: nördliches Tessin, einzelne Wallisertäler und Jurasüdfuß westlich des Neuenburgersees (10—25%). Übrige Gebiete meist etwa 40—50 % der üblichen Mengen, im Nordosten des Landes sowie im Voralpengebiet und strichweise im westlichen Jura 60—80 %.

Zahl der Tage mit Niederschlag: Allgemein unternormal, auch in Gebieten, in denen größere Niederschlagsmengen erreicht wurden, z. B. in der Nordostschweiz und in Nordbünden. (St. Gallen 11 statt 16, Chur 9 statt 12).

Gewitter: Hauptgewittertage 11./12. und 21., im Tessin am 9. sowie 28. und 29.

Sonnenscheindauer: Beidseits der Alpen übernormal, nur vereinzelt etwas unter 100 %, meist 110—120 %, strichweise 125—130 % auf der Alpennordseite.

Bewölkungsmenge: Unternormal auf der Alpennordseite (meist 85—95 %), dagegen normal bis etwas übernormal im südöstlichen Graubünden und im Tessin (100—110 %.

Feuchtigkeit, Nebel: In der Zentral- und Westschweiz meist unternormale Feuchtigkeit, sonst etwa normale Werte, Nebelhäufigkeit in den Bergen etwa normal.

Zahl der heiteren und trüben Tage: Im Tessin und im südöstlichen Graubünden ungewöhnlich wenig heitere Tage, im Tessin jedoch auch weniger trübe Tage als sonst. Nördlich der Alpen wenig trübe Tage, z. B. Luzern 8 statt 16.

Wind: Keine bedeutende Stürme. Altdorf Föhn 8. bis 10. und 21.

Witterungsablauf:

1.—3. WL:88 *Tief über Mitteleuropa, nach Osten abziehend:* Am 1. auf der Alpennordseite bedeutende Niederschlagsmengen, besonders in der Nordostschweiz (Altstätten 119 mm!). Kühl, nördlich der Alpen am 1. und 2. sonnenarm, dann allmähliche Wetterbesserung. Alpensüdseite trocken und sonnig, besonders am 2. unter Nordföhneinfluß warm (Lugano max. 26°).

4.—8. WL:03 *Meist Hochdruck über Mitteleuropa.* Bei langsam steigenden Temperaturen größtenteils trocken und sonnig. Auf dem Jungfraujoch vom 3. zum 8. Temperaturanstieg von —16 auf —2°.

9.—12. WL:xx *Flache Druckverteilung im Alpengebiet.* Weiterer langsamer Temperaturanstieg in den Niederungen der Alpennordseite. Veränderlich bewölkt, meist ziemlich sonnig, jedoch gewitterhaft. Am 11. Gewitter mit Hagel im Berner Seeland. Niederschlagsmengen meist nicht bedeutend, unter 11 mm, in Gewittern jedoch strichweise 10—40 mm.

13.—17. WL:11 *Hoch über Nordwesteuropa:* Zufuhr kühler Luft aus Nordosten, Bise vor allem im westlichen Mittelland. Temperaturrückgang, Min. vom 14.—16. im Mittelland um 5—7°. Ziemlich bedeutende Niederschläge am 14./15., außer in der Westschweiz. Größte Mengen erneut in der Nordostschweiz. Teilweise sonnig, am 14./15. vielfach sonnenarm.

18.—24. *Flaches Tief über Südwesteuropa:* Bis zum 20. wieder Zufuhr wärmerer Luft aus Südwesten und meist sonnig mit nur kleinen Niederschlägen, dann am 21. kurze Föhnphase, gefolgt von strichweise kräftigen Gewitterregen (am Sihlsee z. B. 95 mm!). Vom 21. bis 24. größtenteils sonnenarm.

18.—20. WL:xx

21.—24. WL:93

25.—28. WL:01 *Hoch über Nordwesteuropa mit Ausläufer bis zu den Alpen:* Meist sonnige und trockene Witterung, noch ziemlich warm, zeitweise nördliche Winde.

29.—31. WL:11 *Tief über dem östlichen Mittelmeer:* Anfangs in der Westschweiz, dann am Alpensüdfuß sonnig, sonst veränderlich bewölkt. Zeitweise Niederschläge, vor allem am 28./29. im Tessin. Wieder kühl, wie zu Beginn des Monats und in der Monatsmitte.

Juni

Der Juni war im allgemeinen etwas zu warm, in den meisten Landesteilen zu naß; strichweise, besonders im Nordtessin, dagegen zu trocken. Charakteristisch waren die hohe Bewölkungsmenge und die geringe Sonnenscheindauer, vor allem in Graubünden.

Temperatur: Auf der Alpennordseite und im Wallis wurden Temperaturüberschüsse von etwa 1° erreicht, so daß dort der Juni als ziemlich warm zu bezeichnen ist. Geringer sind die Abweichungen im Tessin (etwa ½°) und im östlichen Graubünden, wo der Normalwert teilweise etwas unterschritten wurde.

Niederschlagsmenge: Unternormal, besonders im Nordtessin (um 50 %) sowie in Mittel- und Südbünden (60—80 %) ,lokal auch in anderen Gebieten im Wallis, in den westlichen Voralpen und im Aaretal zwischen Olten und Neuchâtel (80—90 %). Sonst übernormale Regenmengen. In der Nordostschweiz und im Jura meist 130—150 %, strichweise bis 180 %. Im Südtessin und im mittleren Wallis um 130 %, in den westlichen Voralpen und im westlichen Mittelland meist 100—120 %.

Zahl der Tage mit Niederschlag: Im Tessin, im Engadin und in der Westschweiz ungefähr normal, sonst übernormal (St. Gallen und La Chaux-de-Fonds 22 statt 16!).

Gewitter: Häufig, besonders im Nordosten und im Tessin, Haupttätigkeit 5.—7. (mit strichweisen Hagelfällen) sowie ab 17. bis zum Monatsende.

Sonnenscheindauer: Allgemein unternormal, meist 80—90 %, in Graubünden nur 60—70 %, am Genfersee um 95 %.

Bewölkungsmenge: Allgemein übernormal, meist 110 bis 120 %, Tessin und Graubünden um 130 %.

Feuchtigkeit, Nebel: Im Nordosten übernormal, sonst ungefähr normal, am Genfersee Feuchtigkeit etwas unternormal.

Zahl der heiteren und trüben Tage: Allgemein wenig heitere Tage, besonders im Tessin (Lugano 2 statt 9!). Trübe Tage besonders im Südosten übernormal (Davos 20 statt 11!).

Wind: Vom 10.—14. Westschweiz kräftige Bise, Tessin besonders 10.—12. Nordföhn.

Witterungsablauf:

1.—2. WL:11 *Hoch über Frankreich:* Noch ziemlich kühl und im Nordosten leichte Niederschläge mit meist starker Bewölkung. In der Westschweiz Bise. Westen und Süden sonnig.

3.—4. WL:09 *Hoch über Mitteleuropa hinwegziehend:* Trockenes, sonniges Wetter bei steigenden Temperaturen.

5.—9. WL:9x *Flache Tiefdruckrinne über Mitteleuropa:* Unbeständiges, anfangs sehr warmes, stark gewitterhaftes Wetter mit häufigen Niederschlägen, besonders am 7. Temperatur allmählich fallend. Nördlich der Alpen schon am 8., am 9. und im ganzen Land sonnenarm.

10.—14. WL:11 *Hoch über Westeuropa:* Nordöstliche Winde, besonders Alpennordseite sehr kühl. Westschweiz und Tessin trocken und mit Ausnahme des 13. sonnig, im Nordosten starke Bewölkung und häufige, besonders am 13. ziemlich ergiebige Niederschläge.

15.—20. WL:xx *Schwache Störungslinien von NW her.* Bei westlichen Höhenwinden im allgemeinen sonnig und wieder warm, jedoch vom 17. an ziemlich verbreitete Gewitter beidseits der Alpen.

21.—25. WL:x9 *Flache Druckverteilung in Mitteleuropa:* Veränderliches, immer noch verhältnismäßig warmes Wetter, besonders in den Bergen. Im Westen und Süden ziemlich sonnig, dazwischen zeitweise gewittrige Niederschläge, vor allem im Nordosten.

26.—29. WL:97 *Einbruch atlantischer Störungen nach Mitteleuropa:* Allmähliche Abkühlung. Häufige, zum Teil ergiebige Niederschläge (Lugano total 152 mm!). Westwind; am 26. und 29. sonnenarm.

30. WL:77 *Nordwestströmung:* Tessin trocken und sonnig, sonst kühl, stark bewölkt bis bedeckt mit Regen (Schnee oberhalb 1800—2100 m).

Juli

Der Juli zeichnete sich aus durch große Wärme und Sonnenscheinreichtum. Die Niederschläge waren im allgemeinen gering.

Temperatur: Nördlich der Alpen wurden Überschüsse von 2½—3°, in den südöstlichen Landesteilen von etwa 1½° erreicht. Auf der Alpennordseite werden solche Beträge im langjährigen Durchschnitt nur jedes 10.—12. Jahr verzeichnet.

Niederschlagsmenge: Unternormal in den größten Teilen der Schweiz, besonders in den mittleren Teilen des Mittellandes und des Juras sowie am Juranordfuß (meist 30—50 %, strichweise nur 20—30 %) sowie in einzelnen Teilen der Nordostschweiz, von Graubünden und im oberen Tessin (40—60 %). Übernormal im mittleren Wallis (meist 110—150%) sowie strichweise in der Zentralschweiz und in den Berneralpen (100—130 %), im äußersten Osten Graubündens (um 110 %) und lokal im Waadtländer Jura (bis zu 145 %).

Zahl der Tage mit Niederschlag: Im Tessin und im Wallis nur geringe Abweichungen, sonst allgemein ziemlich stark unternormal, besonders in der Nordwestschweiz (Basel 7 statt 13, La Chaux-de-Fonds 6 statt 15!).

Gewitter: Entsprechend der Jahreszeit häufig, besonders im Tessin (Locarno 10 statt 6 Gewittertage). Hauptgewittertätigkeit am 11.—12., ferner am 6., 14., 15. sowie vom 23. an bis zum Monatsende.

Sonnenscheindauer: Im Tessin und in Graubünden ungefähr normal, sonst allgemein wesentlich übernormal, meist 110—125 %.

Bewölkungsmenge: Im Tessin übernormal, um 110 %, im südöstlichen Graubünden etwa normal, sonst unternormal, meist 80—90 %.

Feuchtigkeit, Nebel: Keine bedeutenden Abweichungen, Feuchtigkeit meist etwas unternormal. Zahl der heiteren und trüben Tage: Heitere Tage übernormal (z. B. St. Gallen, Luzern und Zürich 10 statt 6). Trübe Tage im Tessin übernormal, sonst unternormal.

Wind: Keine bedeutenden Stürme, lokale Gewitterböen.

Witterungsablauf:

1.—2. WL:77 *Nordwestströmung:* Anfangs im Nordosten bedeckt mit Niederschlägen, kühl, dann von Süden und Westen her allgemeine Wetterbesserung und Erwärmung.

3.—6. WL:00 *Hochdruckgebiet* über Mitteleuropa hinweg nach Osten ziehend. Trockenes und sonniges Wetter bei allmählich steigenden Temperaturen. Am 6. Gewitterstörung, besonders in der Zentral- und Ostschweiz.

3.—5.
6.

7.—10. WL:00 *Neue Hochdruckzelle* über Mitteleuropa hinwegziehend: Trockenes, sonniges und heißes Wetter.

11.—13. WL:xx *Flache Druckverteilung:* Allmählicher Zufluß kühlerer maritimer Luft mit verbreiteter Gewittertätigkeit im ganzen Land, jedoch nur lokal bedeutende Niederschlagsmengen (z. B. Rigi am 11. 51 mm).

14.—15. WL:91 *Tiefdruckrinne* von Spanien über Norditalien nach Osteuropa: Weitere Abkühlung auf Temperaturen etwas unter dem Normalwert. Mit Ausnahme der Nordwestschweiz allgemein bedeutende Niederschläge. Am 15. meist sonnenlos.

16.—22. WL:01 *Hochdruckbrücke* von Nordeuropa nach den Azoren: Bei nordöstlichen Winden trokken und sonnig mit allmählicher Erwärmung.

23.—27. WL:xx *Flache Druckverteilung:* Noch vorwiegend sonnig und trocken, jedoch zeitweise Gewitterbildungen, besonders auf der Alpensüdseite, meist ohne bedeutende Niederschlagsmengen. Weiterhin hohe Temperaturen.

28.—31. WL:x9 *Höhentief über Westeuropa:* Zufuhr kühler Meeresluft nach Mitteleuropa. Besonders im Nordosten unbeständiges, sonnenarmes Wetter mit häufigen Niederschlägen, zum Teil Gewitter. Kräftige Abkühlung auf Temperaturen unter dem Normalwert.

August

Nördlich der Alpen übernormale Temperaturen, dagegen im größten Teil der Schweiz stark unternomale Niederschlagsmengen kennzeichnen den Monat. Einer unterdurchschnittlichen Zahl der Tage mit Niederschlag auf der Alpennordseite steht eine stark übernormale Zahl südlich der Alpen gegenüber.

Temperatur: Geringfügig unternormal am Alpensüdfuß und in einzelnen Alpentälern, sonst meist ½—¾° übernormal.

Niederschlagsmenge: Etwas übernormal (100—130 %) um Schaffhausen, stellenweise im mittleren Jura, im Berneroberland sowie im mittleren Wallis, sonst allgemein unternormal, besonders in Graubünden und im oberen Tessin (30—60 %), im nordöstlichen Mittelland (30—70 %) sowie im westlichen Jura und zwischen Genfer- und Neuenburgersee (40—60 %). In den übrigen Landesteilen meist 60—90 %.

Zahl der Tage mit Niederschlag: Ziemlich unternormal in den meisten Teilen der Schweiz, z. B. Zürich 8 statt 14, Neuchâtel 9 statt 13 Tage. Übernormal im Engadin sowie besonders im Tessin (Lugano 16 statt 10 Tage).

Gewitter: Vor allem in den Bergen (Berneroberland) ziemlich verbreitete Gewittertätigkeit, sonst ungefähr normal, Haupttäigkeit am 8. sowie 10./11. und 23./24.

Sonnenscheindauer: Unternormal im zentralen und östlichen Alpengebiet (70—85 %), sonst meist geringfügig unter dem Mittel, am Genfersee und im Wallis etwas übernormal (um 105 %).

Bewölkungsmenge: Im Tessin sowie im Engadin stark übernormal (125—140 %). Im östlichen Alpengebiet sowie in der Nordostschweiz leicht übernormal (105 bis 115 %). In der Westschweiz und im Wallis etwas unternormal (90—100 %).

Feuchtigkeit und Nebel: Feuchtigkeit etwa normal, Nebeltage in den Bergen übernormal. (St. Gotthard z. B. 25 statt 15, Säntis 26 statt 22.)

Zahl der heiteren und trüben Tage: Heitere Tage größtenteils unternormal, jedoch auch trübe Tage in der nordwestlichen Landeshälfte unternormal, in der südöstlichen Hälfte dagegen übernormal (z. B. Davos 11 statt 9).

Wind: Sturmböe mit strichweise hohen Windgeschwindigkeiten (Böenspitzen um 120 km/h) im Mittelland am 10.

Witterungsablauf:

1.—6. WL:88 *Hochdruckgebiet über dem Ozean,* Nordwestströmung. Westschweiz und Tessin meist sonnig. Im Nordosten und in der Zentralschweiz dagegen besonders am 1. und 2. zeitweise Niederschläge bei tiefen Temperaturen, dann langsame Erwärmung sowie Wetterbesserung.

7. WL:09 *Hochdruckzelle über Mitteleuropa,* trokken und sonnig.

8.—15. WL:x9 *Störungen von Südwesten* über Mitteleuropa hinwegziehend. Veränderliches, zum Teil sonniges Wetter mit häufigen Gewitterstörungen. Sturmwind mit strichweise beträchtlichen Schäden am 10. durch das Mittelland ziehend. Ziemlich warm, besonders vom 8.—10., Maximaltemperaturen in den Niederungen anfangs zwischen 25 und 30°, später um 25°.

16.—19. WL:11 *Bisenlage,* Hochdruckgebiet über der Nordsee. Meist trocken oder nur geringe Regenmengen. Anfangs besonders im Westen und Süden, vom 18. an auch im Nordosten sonnig. In den Niederungen anfangs eher kühl. In der Höhe Erwärmung vom 17. an.

20.—23. WL:x9 *Durchgang einer schwachen Tiefdruckrinne* von Frankreich her. Besonders am 22. starke Bewölkung und verbreitete Niederschläge, vor allem am Alpensüdfuß. Mittlere Temperaturen.

24.—27. WL:0x *Hochdruckrücken über Mitteleuropa.* Am 24. noch einige Niederschläge im Nordosten, sonst trocken, sonnig und warm. Maximaltemperaturen zwischen 25° und 30° in den Niederungen.

28.—31. WL:22 *Hochdruck über den britischen Inseln.* Auf der Alpennordseite Winde aus nördlichen Richtungen mit zunehmender Abkühlung. Ziemlich sonnig, meist trocken. Alpensüdseite noch verhältnismäßig warm, zum Teil sonnig, dazwischen stark bewölkt mit zeitweisen leichten Gewitterregen.

September

Fast im ganzen Gebiet der Schweiz war der Monat zu trocken, größtenteils sogar sehr trocken. Nördlich der Alpen war die Witterung zudem warm, wolkenarm und sehr sonnig, während südlich der Gebirgsketten normale Temperaturen, verhältnismäßig große Bewölkung und zu geringe Sonnenscheindauer verzeichnet wurden.

Temperatur: Ungefähr normal in der südlichen Hälfte des Tessins, sonst allgemein wesentlich übernormal, besonders im Westen und in der Höhe. In Genf wird z. B. die Abweichung von + 2,0° nur etwa alle 10 Jahre erreicht.

Niederschlagsmenge: Vereinzelt normal an der Westgrenze des Landes (infolge lokaler Gewitter) sonst allgemein unternormal. Am Alpennordhang und im mittleren Jura meist 30—70 %, sonst vorwiegend unter 30 %, strichweise nur 2—10 %, besonders im Nordwesten des Landes. Basel Monatstotal 6 mm!

Zahl der Tage mit Niederschlag: Allgemein stark unternormal, besonders auf der Alpennordseite, Basel und Neuchâtel z. B. 3 statt 12 Tage, Zürich und Luzern 4 statt 13 Tage.

Gewitter: In der Westschweiz besonders am 16./17. lokal kräftige Gewitter, sonst keine bedeutende Gewittertätigkeit (regionale Herde an einzelnen Tagen besonders am 13. und 26.).

Sonnenscheindauer: Unternormal im Tessin (80 bis 90 %) sowie strichweise am Genfersee und im Wallis

(95—100 %). Übernormal in den übrigen Gebieten, von Süden nach Norden zunehmend, in der Nordschweiz bis zu sehr hohen Werten (Zürich etwa 150 %, Basel 160 %, Hallau 170 %).

Bewölkungsmenge: Auf der Alpensüdseite übernormal (120—130 %), Genfersee und Wallis 100—120 %, dagegen übrige Landesteile geringe Beträge: Alpennordhang und Graubünden 80—90 %, Jura und östliches Mittelland 50—60 %, Basel—Schaffhausen 35—50 %.

Feuchtigkeit und Nebel: Feuchtigkeit in den südlichen Landesteilen etwa normal, sonst unternormal, Nebelhäufigkeit etwas unternormal (Säntis 17 statt 18, Rigi 9 statt 11 Tage).

Zahl der heiteren und trüben Tage: Sehr viel heitere Tage (ausgenommen am Alpensüdfuß), z. B. Neuchâtel 18 statt 3, dagegen wenig trübe Tage nördlich der Alpen, z. B. Schaffhausen 1 statt 9!.

Wind: Wenig Tage mit kräftigem Wind.

Witterungsablauf:

1.—7. WL:22 *Beständiges Hochdruckgebiet mit Zentrum über der Nordsee.* Zeitweise Bise, besonders am 6. und 7., sonst meist schwache östliche bis südöstliche Winde. Temperatur normal oder leicht unternormal. Strichweise einzelne, geringe Niederschläge, besonders am 7, im Tessin, sonst meist trocken. Im Norden ziemlich sonnig, im Tessin sonnenarm.

8.—13. WL:00 *Hochdruckgebiet über Mitteleuropa.* Allgemein trocken, sonnig und zunehmend wärmer.

14.—17. WL:xx *Flache Druckverteilung in Mitteleuropa:* Anfangs teilweise noch ziemlich sonnig, warm und trocken, am 17. sonnenarm. Störungslinie auf der Alpennordseite mit zum Teil gewittrigen Niederschlägen am 16./17. von Nordwesten her, gefolgt von kühleren Luftmassen. Niederschläge örtlich sehr verschieden, z. B. Genf-Stadt 4 mm, Flugplatz Cointrin 62 mm! Südtessin trocken.

18.—21. WL:0x *Wieder Hochdruck über Mitteleuropa:* In den Niederungen noch verhältnismäßig kühl, trocken und besonders vom 18.—20. meist sonnig. Im Tessin veränderlich bewölkt.

22.—27. WL:xx *Durchgang einzelner Störungslinien:* Veränderliches Wetter mit westlichen Höhenwinden. Besonders vom 22.—25. wieder verhältnismäßig warm. Anfangs teilweise sonnig, vom 25.—27. meist starke Bewölkung und vor allem am 26. in allen Landesteilen Niederschläge, teilweise Gewitter. Nachfolgend Abkühlung.

28.—30. WL:03 *Neuer Hochdruckkern über Mitteleuropa:* Anfangs Bise bei sinkender Temperatur, dann in der Höhe südöstliche Winde. Trocken. Teilweise Hochnebel, Obergrenze nördlich der Alpen zwischen 1200 und 1600 m, darüber klar. Besonders Höhen sonnig; Tessin vom 29. an sonnenarm.

Oktober

Im Alpengebiet und am Juranordfuß war der Oktober sonnig, in den Niederungen der Nordostschweiz nebelreich mit überdurchschnittlichen Regenmengen. Sonst blieben die Abweichungen von den Normalwerten verhältnismäßig gering.

Temperatur: Im allgemeinen leichte Überschüsse von etwa ½°. Südlich der Alpen ungefähr normale Werte.

Niederschlagsmenge: Unternormal im mittleren und westlichen Jura, meist 70—90 %, ferner etwas unternormal in vielen verstreuten Teilen des Landes, besonders im inneren Alpengebiet. Übernormal in etwa der Hälfte der Schweiz, meist 110—130 %, strichweise in der Nordostschweiz, besonders um St. Gallen—Bodensee bis 150%.

Zahl der Tage mit Niederschlag: Größtenteils etwas unternormal, besonders im Tessin (Locarno 7 statt 11).

Gewitter: Keine.

Sonnenscheindauer: Leicht unternormal in einzelnen Teilen des Mittellandes (95—100 %), sonst ungefähr normal (Tessin) oder übernormal. Höchste Werte in den Bergen: Wallis 110—115%, Graubünden und Jura 115 bis 125 %, Alpennordhang 120—140 % sowie vor allem am Juranordfuß: Basel 150 %.

Bewölkungsmenge: Im Tessin leicht übernormal (105—110 %), im Mittelland strichweise normal, sonst allgemein unternormal. Jura um 80 %, Alpengebiet 75 bis 80 %, strichweise um 70 %.

Feuchtigkeit und Nebel: Feuchtigkeit in den Alpen etwas unternormal, sonst normal. Nebelhäufigkeit im zentralen und nordöstlichen Mittelland stark übernormal (Schaffhausen 16 statt 8, Luzern 14 statt 7), sonst ungefähr normal.

Zahl der heiteren und trüben Tage: Zahl der heiteren Tage in den Bergen und am Juranordfuß stark übernormal (Säntis 11 statt 6, Basel 8 statt 1,5), sonst etwa normal. Trübe Tage in den Bergen, teilweise aber auch in den Niederungen der Alpennordseite unternormal (Engelberg 7 statt 13).

Wind: 17./18. und 27. Föhn in den Alpentälern, sonst keine bedeutenden Stürme.

Luftdruck: Ungewöhnlich tiefer Stand am 28. (auf Meeresniveau etwas unter 740 mm).

Witterungsablauf:

1.—9. WL:03 *Hoch über Mittel- und Nordeuropa:* Ruhige und trockene, besonders in den Bergen sonnige Hochdruckperiode. Trocken. Mittelland morgens teilweise unter Nebel oder Hochnebel, meist bis gegen 700—1000 m Höhe. Auch südlich der Alpen an einzelnen Tagen Hochnebelbildung infolge von leichtem Stau der Luft im Alpenbogen (östliche Höhenwinde). Höhen relativ mild. Niederungen mittlere Temperaturen.

10.—11. WL:9x *Durchgang einer Tiefdruckrinne* von Frankreich her. Niederschläge vor allem in den westlichen Teilen der Alpennordseite. Wenig Temperaturänderung.

12.—18. WL:04 *Kontinentales Hoch* über dem östlichen Mitteleuropa. Erneut trockenes und in der Höhe sonniges Wetter mit teilweisem Nebel oder Hochnebel bis gegen 800 m Höhe im Mittelland. Temperaturen auf der Alpensüdseite immer noch verhältnismäßig hoch, in Lugano 12./13. unter Nordföhneinfluß Maxima von 22—23°.

19.—22. WL:96 *Allmähliches Eindringen der atlantischen Störungstätigkeit.* Tiefdruckrinne mit bedeutenden Niederschlägen am 19./20. von Frankreich her (Lugano etwa 150 mm). Am 22. neue Störung im Norden vorbeiziehend mit leichten Niederschlägen in den nördlichen Landesteilen.

23.—26. WL:0x *Hochdruckband vom Atlantik bis zu den Alpen.* Nochmals trocken, sonnig und warm, vor allem vom 23.—25., dann am Alpensüdfuß bedeckt.

27.—31. WL:9x *Kräftiges, langgestrecktes Tiefdruckgebiet* über Nord- und Mitteleuropa. Markanter Kälteeinbruch mit bedeutenden Niederschlägen beidseits der Alpen. Temperaturfall auf dem Jungfraujoch vom 25. bis zum 30. von —1° auf —17°. Am 28. und 29. auf der Alpennordseite zeitweise Schnee bis auf 500 m herunter. Mit Ausnahme des 30. sehr sonnenarm.

November

Der Monat brachte in den Niederungen leicht unternormale Temperaturen und wenig Sonne, in den Bergen zum Teil etwas übernormale Temperaturen und viel Sonnenschein. Die Niederschläge blieben auf der Alpennordseite unter dem langjährigen Mittel, während südlich der Alpen bedeutende Überschüsse verzeichnet wurden. Mehrere Föhnlagen.

Temperatur: In den Niederungen beidseits der Alpen unternormal (—½ bis 1°), in den Bergen teilweise leicht übernormal.

Niederschlagsmenge: Unternormal im größten Teil der Alpennordseite sowie im Wallis unterhalb von Leuk (meist 50—80%, in den Waadtländer- und den westlichen Berneralpen um 30%). Übernormal im oberen Wallis, in Mittel- und Südbünden sowie vor allem auf der Alpensüdseite, wo im Südtessin und im Münstertal 190—225% erreicht wurden.

Zahl der Tage mit Niederschlag: Unternormal in der Nordostschweiz und im größten Teil des Alpengebietes (z. B. Engelberg 8 statt 12). Übernormal am Genfersee (Lausanne 13 statt 11,5) sowie vor allem am Alpensüdfuß (Locarno 14 statt 10).

Gewitter: Nur vereinzelt am 11.

Sonnenscheindauer: Stark unternormal im Mittelland (meist 55—75%, Neuchâtel 33%!). Unternormal im Tessin (um 80%), leicht unternormal im Engadin und auf dem Alpenkamm (um 95%), dagegen übernormal am Juranordfuß sowie vor allem im Alpengebiet (105 bis 130%).

Bewölkungsmenge: Stark übernormal im Tessin (115 bis 135%), übernormal im Mittelland (105 — 115%), dagegen leicht unternormal am Juranordfuß (um 95%) sowie im Wallis und in den Bergen der Zentral- und Nordostschweiz (um 90%).

Feuchtigkeit und Nebel: Feuchtigkeit in den Bergen etwas zu tief, sonst allgemein zu hoch. Nebelhäufigkeit mit Ausnahme des nordöstlichen Alpengebietes zu groß.

Zahl der heiteren und trüben Tage: Im nördlichen Alpengebiet überdurchschnittliche Zahl von heiteren und verhältnismäßig geringe Zahl von trüben Tagen, sonst wenig heitere Tage (vielfach kein einziger!) und etwas zu große Zahl von trüben Tagen.

Wind: In den Niederungen allgemein geringe Windgeschwindigkeiten, dagegen häufig Föhn in den Alpentälern.

Witterungsablauf:

1.—4. WL:02 *West-östliche Hochdruckbrücke über Mitteleuropa:* In den Bergen und auf der Alpensüdseite meist sonnig mit rascher Erwärmung in der Höhe. Im Mittelland teilweise Nebel und Hochnebel. Obergrenze meist um 1000 m.

5. WL:90 *Störung von der Nordsee her* über Mitteleuropa nach der Adria ziehend: Größtenteils sonnenlos mit leichten Niederschlägen, Abkühlung in den Bergen, Schnee oberhalb 800 m.

6.—9. WL:11 *Hochdruckbrücke SW-NE über Mitteleuropa:* Alpensüdseite, Wallis und Hochalpen vielfach sonnig, sonst starke Bewölkung und anfangs noch geringe Niederschläge in der Nordostschweiz. Bise. Temperaturen im Mittelland einige Grade über Null.

10.—18. WL:95 *Zeitweises Eindringen von Tiefdruckwirbeln* vom Atlantik nach Mitteleuropa: Bei südlichen bis westlichen Höhenwinden unbeständiges, sonnenarmes Wetter mit häufigen Niederschlägen, besonders auf der Alpensüdseite (Lugano am 12. 64 mm!). Zeitweise kräftiger Föhn (12., 17.—19.) mit hohen Temperaturen (14—17°) in den Alpentälern.

19.—25. WL:04 *Hochdruck über Ost- und Mitteleuropa:* Trokkenes, in den Bergen sonniges und sehr mildes Wetter. Im Mittelland meist Nebel, später Hochnebel mit Obergrenze anfangs um 600 m, später um 900 m. Temperaturen um 0°. Juranordfuß und Alpensüdseite teilweise sonnig.

26.—30. WL:55 *Süd- bis Südwestströmung:* Bei raschem Druckfall in Westeuropa wieder Übergang zu Föhnlage. Niederschläge auf der Alpensüdseite und in der Westschweiz, Temperaturen in den Niederungen meist um 5—8°, in den Föhntälern wieder vielfach um 14°. Zentral- und Nordostschweiz trocken.

Dezember

Der Dezember war charakterisiert durch unbeständiges Wetter in der zweiten Hälfte, welches im Monatsmittel wesentlich übernormale Temperaturen in den

Niederungen der Alpennordseite verursachte. Übernormal waren auch im größten Teil des Landes die Niederschläge, vor allem im Süden und Südwesten.

Temperatur: Allgemein übernormal, am Alpensüdfuß und in den Hochalpen ½—1°, in den Alpentälern 2—3°. In den Niederungen der Alpennordseite und im Jura 2½—3½°, was durchschnittlich nur etwa alle 10 Jahre auftritt, jetzt jedoch 2 Jahre hintereinander, 1958 und 1959.

Niederschlagsmengen: Unternormal in einzelnen Tälern des Alpennordhanges, besonders im Rheintal (60 bis 80%), geringfügig auch am Juranordfuß (um 95%), sonst allgemein übernormal. Besonders große Beträge am Alpensüdfuß (Mittel- und Südtessin über 200%), ebenso strichweise im Mittelwallis und im westlichen Mittelland (180—240%). Übrige Gebiete der Schweiz meist 110—170%.

Zahl der Tage mit Niederschlag: Allgemein übernormal, besonders am Alpensüdfuß (Lugano—Locarno 15 statt 8!). Genf—Lausanne 17 statt 13—14. In den Bergen sowie südlich der Alpen verhältnismäßig viele Tage mit Schneefall (Engelberg 13, Bever 16 statt 10).

Gewitter: Nur ganz vereinzelt.

Sonnenscheindauer: Leicht übernormal im nördlichen Jura (um 110%), sonst größtenteils unternormal, meist 80—95%, im zentralen und nordöstlichen Mittelland jedoch nur 55—70%.

Bewölkungsmenge: Auf der Alpennordseite ungefähr normal (95—105%), im Alpengebiet meist übernormal (105—120%), auf der Alpensüdseite stark übernormal (um 130%).

Feuchtigkeit und Nebel: Feuchtigkeit in den Bergen und südlich der Alpen übernormal, nördlich der Alpen teilweise etwas unternormal. In den Bergen Nebelhäufigkeit überdurchschnittlich, sonst etwa normal.

Zahl der heiteren und trüben Tage: Südlich der Alpen und in den Bergen überdurchschnittliche Zahl der trüben Tage. Verhältnismäßig wenig heitere Tage im Tessin, sonst ungefähr normale Verhältnisse für diese Jahreszeit.

Wind: Häufige Föhnlagen in den Alpentälern sowie in der zweiten Monatshälfte oft Westwindwetter auf der Alpennordseite, jedoch ohne ungewöhnliche Windgeschwindigkeiten (Spitzenwerte 25—30 m/sec).

Witterungsablauf:

1. WL:55 — *Tief im westlichen Mittelmeer:* Abflauende Föhnlage mit Niederschlägen auf der Alpensüdseite. In den Föhntälern und in den Bergen mild.

2.—6. WL:xx — *Tiefdruck über Nordwesteuropa und dem Mittelmeer.* Am 3./4. Durchgang einer Störungslinie mit Niederschlägen beidseits der Alpen. Im Gebirge kräftige Abkühlung (Jungfraujoch von — 7° auf — 19°!), in den Niederungen wenig Änderung (nördlich der Alpen meist zwischen 0 und 5°, am Alpensüdfuß 5—10° mit Nordföhn am 4. und 5.). Am 6. kurze Wetterbesserung.

7.—12. WL:94 — *Tief über Westeuropa:* Erneut Föhnlage. Südlich der Alpen während der ganzen Periode, auf der Alpennordseite nur beim Durchgang einer Störungslinie am 7./8. Niederschläge. Temperaturen in den Niederungen beidseits der Alpen meist wenig über 0°, in den Föhntälern nachmittags jedoch zeitweise auf 10—14° steigend.

13.—14. WL:11 — *Tief über Südosteuropa:* Bise, besonders in der Westschweiz. Trocken. Am 14. in den Alpen und am Alpensüdfuß sonnig.

15.—17. WL:x0 — *Hochdruckrücken von Rußland bis zu den Alpen:* Trocken, sonnig und windschwach.

18.—30. WL:96 — *Allgemeine Westströmung* vom Ozean über Mitteleuropa hinweg bis nach Rußland. Unbeständiges, sonnenarmes Wetter mit häufigen Niederschlägen, bis zum 27. beidseits der Alpen, dann nur noch auf der Alpennordseite. Temperaturen in den Niederungen meist um 5°, in den Bergen auf und ab pendelnd, da abwechselnd wärmere und kältere Luftmassen von Westen herangeführt werden. Dabei jeweils Winddrehung von Südwest auf Nordwest in der Höhe.

31. WL:09 — *Hoch über den Alpen,* nach Osten ziehend. Trocken und größtenteils sonnig sowie sehr mild in der Höhe (Chasseron in 1600 m Höhe nachmittags + 9°!).

Dr. Max Schüepp

Monatswerte der wichtigsten meteorologischen Elemente 1959

	Höhe m	Januar	Febr.	März	April	Mai	Juni	Juli	August	Sept.	Okt.	Nov.	Dez.	Jahr
Temperatur in ° C														
Basel	317	1.0	1.6	7.9	10.0	14.2	17.2	20.8	17.9	15.6	9.5	3.7	3.6	10.2
La Chaux-de-Fonds	990	–1.0	1.4	5.4	7.0	11.1	13.9	18.2	15.0	13.5	7.4	2.3	1.4	8.0
Zürich	569	0.0	1.6	7.3	9.8	13.4	16.4	19.5	17.0	15.1	8.8	2.2	2.6	9.5
Bern	572	–0.4	1.8	7.3	9.3	13.8	16.8	20.3	17.3	15.5	8.7	2.3	2.0	9.6
Lausanne	589	1.1	3.0	7.7	9.5	14.4	17.2	21.1	18.2	16.8	10.1	3.9	3.6	10.6
Genève	405	2.4	2.6	8.2	10.4	14.9	18.1	21.8	19.0	17.2	10.4	4.2	4.3	11.1
Davos-Platz	1561	–6.5	–3.5	1.4	3.8	7.6	10.3	13.4	11.6	10.2	4.3	–2.2	–3.7	3.9
Säntis	2500	–9.7	–4.5	–3.8	–2.9	0.9	3.6	7.3	5.3	5.6	–0.1	–4.2	–6.7	–0.8
Lugano	276	2.8	5.4	9.5	12.0	16.0	20.1	22.9	20.6	17.6	12.0	6.6	3.8	12.4
Abweichungen von den normalen Mitteln der Periode 1864-1940														
Basel	317	1.1	0.1	3.3	1.3	1.2	0.8	2.6	0.6	1.5	0.7	–0.5	3.0	1.3
La Chaux-de-Fonds	990	0.9	2.4	4.0	1.7	1.1	0.7	2.7	0.3	1.9	1.1	0.3	2.5	1.7
Zürich	569	1.5	1.6	3.9	2.1	1.3	0.9	2.2	0.6	1.8	0.9	–0.8	3.3	1.6
Bern	572	1.2	1.6	3.9	1.3	1.5	1.2	2.6	0.6	2.1	0.8	–0.7	2.8	1.6
Lausanne	589	1.1	1.5	3.2	1.0	1.5	0.9	2.8	0.7	2.3	0.9	–0.7	2.6	1.5
Genève	405	1.8	0.6	2.9	1.0	1.1	0.7	2.2	0.4	2.0	0.7	–0.9	2.8	1.2
Davos-Platz	1561	0.5	1.9	3.7	1.7	0.6	0.0	1.3	0.3	1.9	0.9	–0.9	2.0	1.2
Säntis	2500	–1.0	4.3	4.1	1.9	1.3	0.8	2.3	0.5	2.8	1.2	0.8	1.2	1.6
Lugano	276	0.5	1.4	2.0	0.3	0.2	0.6	1.3	–0.3	–0.1	–0.2	–0.6	0.6	0.4
Niederschlag in mm														
Basel	317	81	6	90	116	25	115	18	69	6	89	35	53	703
La Chaux-de-Fonds	990	173	3	138	144	41	188	38	99	55	104	56	167	1206
Zürich	569	136	5	76	71	53	178	98	54	12	106	48	97	934
Bern	572	107	2	104	113	55	127	42	68	37	84	40	135	914
Lausanne	589	98	0	135	117	38	151	83	68	24	116	52	162	1044
Genève	405	73	0	128	98	15	80	47	44	62	103	73	108	831
Davos-Platz	1561	58	24	30	33	74	100	102	48	34	57	47	84	691
Säntis	2500	116	43	71	143	148	325	216	144	73	155	70	208	1712
Lugano	276	34	8	195	205	107	255	176	173	53	272	267	235	1980
Abweichungen von den normalen Summen der Periode 1864-1940														
Basel	317	40	–35	37	51	–56	17	–72	–17	–72	15	–24	1	–115
La Chaux-de-Fonds	990	73	–82	39	26	–85	49	–100	–34	–65	–18	–55	48	–204
Zürich	569	80	–49	4	–23	–60	42	–38	–77	–94	13	–19	24	–197
Bern	572	59	–49	38	37	–39	14	–70	–40	–52	–4	–28	71	–63
Lausanne	589	40	–59	60	41	–54	52	–17	–42	–75	8	–33	83	4
Genève	405	26	–50	65	29	–61	1	–31	–52	–23	4	–6	40	–58
Davos-Platz	1561	–1	–29	–24	–27	4	–7	–33	–83	–58	–13	–15	18	–268
Säntis	2500	–114	–138	–120	–108	–75	45	–91	–144	–150	–38	–110	–30	–1073
Lugano	276	–26	–53	80	43	–85	70	2	–14	–122	74	131	155	255
Sonnenscheindauer in Stunden														
Basel	317	78	154	110	184	230	197	289	207	260	155	63	56	1983
La Chaux-de-Fonds	990	76	195	114	182	212	180	285	219	213	155	96	65	1992
Zürich	569	68	148	117	207	244	194	278	218	254	108	30	60	1926
Bern	572	75	160	118	201	259	212	307	246	208	124	48	64	2022
Lausanne	589	70	173	145	203	271	245	312	266	195	132	58	62	2132
Genève	405	89	164	141	209	280	260	323	281	179	137	37	56	2156
Davos-Platz	1561	85	170	116	189	184	109	206	161	204	162	98	69	1753
Säntis	2500	99	230	147	197	203	120	234	171	233	209	152	93	2088
Lugano	276	155	189	100	212	211	230	281	235	157	147	93	81	2091
Abweichungen von den normalen Summen Normalperiode meist 1886-1940, vergl. Anhang Annalen 1945														
Basel	317	14	60	–17	37	35	–17	56	–16	102	46	–2	2	300
La Chaux-de-Fonds *	990	1	99	–8	54	43	–6	74	8	59	36	11	3	374
Zürich	569	20	60	–17	50	42	–29	34	–12	92	5	–23	24	246
Bern	572	17	63	–14	48	59	–11	58	7	36	9	15	21	278
Lausanne	589	–4	59	–7	27	46	–6	46	11	7	6	–17	2	170
Genève	405	28	59	–15	19	36	–13	30	6	–21	11	–30	9	119
Davos-Platz	1561	–9	61	–32	38	12	–67	5	–42	38	28	0	–14	18
Säntis *	2500	–13	109	9	70	51	–21	73	0	80	65	31	–13	441
Lugano	276	30	43	–72	37	5	–10	1	–31	–39	1	–16	–25	–76

* Sonnenscheindauer Säntis und La Chaux-de-Fonds wegen Apparatewechsels nicht ohne weiteres mit den langjährigen Mittelwerten vergleichbar.

Statistique de la grêle

par Jean Rieker

Le lecteur trouvera dans «Annalen der Schweizerischen Meteorologischen Zentralanstalt, 1957» toutes les informations relatives aux listes ci-dessous, publiées séparément pour la première fois en 1957.

1. Liste des chutes de grêle en Suisse pendant l'année 1959

établie à l'aide de la statistique de la Société Suisse d'Assurance contre la grêle à Zurich

Canton	Avril	Mai												Juin																		
	28	9	11	12	13	14	15	17	18	19	21	25	28	2	5	7	10	11	12	13	17	18	19	20	21	22	24	25	26	27	28	29	30
Argovie	.	.	1	.	.	1	.	.	.	.	.	.	.	.	.	4	.	.	.	.	1	1	1	4	6	.	.	.	.	.	.	1	6
Appenzell	.	.	.	.	1	.	.	.	.	.	.	.	.	.	.	2	1	.	.	.	.	.	.	.	3	.	.	.	1	.	.	.	.
Bâle	.	.	.	.	.	.	.	.	.	.	.	.	.	.	.	.	.	.	.	.	.	3	.	.	6	.	.	.	.	.	.	.	.
Berne	.	.	22	5	.	.	1	.	1	3	11	1	.	.	19	12	.	.	1	.	6	9	14	19	4	1	4	1	.	.	1	48	.
Fribourg	.	.	10	.	.	.	.	3	.	.	.	.	.	.	22	.	.	.	.	.	.	.	.	.	.	.	.	.	.	.	.	5	.
St-Gall	.	.	2	.	.	.	.	.	.	2	4	.	.	.	5	7	.	2	.	.	.	5	.	1	8	.	.	6	.	1	.	5	1
Genève	3	.	.	.	.	.	.	.	.	.	.	.	.	.	2	.	.	.	.	.	.	1	.	.	.	.	.	.	.	.	.	1	1
Glaris	.	.	.	.	.	.	.	.	.	.	.	.	.	.	.	.	.	.	.	.	.	.	.	.	.	.	.	.	.	.	.	.	.
Grisons	.	.	1	.	.	.	.	.	.	.	.	.	.	.	.	.	.	.	.	.	.	.	.	.	.	.	.	.	.	.	.	.	.
Lucerne	.	.	3	3	.	.	.	.	.	.	.	.	.	.	1	9	1	5	1	1	.	5	6	4	16	.	.	1	.	.	.	21	3
Neuchâtel	.	.	.	.	.	.	.	.	.	.	2	.	.	.	3	.	.	.	.	.	.	.	1	.	.	1	3	.	.	.	.	.	.
Schaffhouse	.	.	.	.	.	.	.	.	.	.	.	.	.	.	/	2	.	.	.	.	.	.	.	.	.	1	.	.	.	.	.	.	2
Schwyz	.	.	1	1	.	.	.	.	.	.	4	.	.	.	.	1	.	1	.	.	1	3	2	.	1	.	1	.	.	.	.	1	.
Soleure	.	.	6	.	.	.	.	.	.	.	1	.	.	.	.	.	.	.	.	.	.	3	.	2	.	.	.	1	.	.	.	1	.
Tessin	.	6	.	.	.	.	.	.	.	.	.	.	12	1	.	.	.	.	1	.	.	2	.	.	.	.	.	.	.	.	1	1	.
Thurgovie	.	.	.	.	.	.	.	.	.	.	12	.	.	.	.	7	.	.	1	.	.	.	.	.	5	.	.	1	.	.	.	16	4
Unterwald	.	.	.	.	.	.	.	.	.	.	.	.	.	.	1	.	.	.	.	.	.	3	2	.	.	.	.	.	.	.	.	.	.
Uri	.	.	.	.	.	.	.	.	.	.	.	.	.	.	.	.	.	.	.	.	.	.	.	.	.	.	.	.	.	.	.	.	.
Vaud	8	.	2	1	.	.	.	.	.	.	15	.	.	.	11	.	2	.	.	.	.	.	.	.	.	.	.	.	.	.	.	17	1
Valais	.	.	.	.	.	.	.	.	.	.	.	.	.	.	.	.	.	.	.	.	.	.	.	.	.	.	.	.	.	.	.	.	.
Zurich	.	.	.	.	.	.	.	.	2	.	2	.	.	.	2	16	.	1	.	.	.	5	.	.	7	.	.	.	.	.	.	12	10
Zoug	.	.	.	.	.	.	.	.	.	.	.	.	.	.	.	.	.	2	.	.	.	6	.	1	1	.	.	.	.	.	.	.	.
totaux	11	6	48	10	1	1	1	3	3	5	51	1	12	1	66	60	4	11	4	1	8	46	26	31	57	3	8	10	1	1	2	129	28
par mois	11	142												497																		

Suite de la dite statistique

Canton	Juillet															Août													Sept.		Sommes
	1	6	10	11	12	14	20	21	23	24	25	26	28	29	30	31	1	2	8	9	10	11	15	20	23	24	25	26	27	28	14	17	
Argovie	1	2	.	69	11	.	.	.	.	.	.	1	.	.	.	.	1	1	.	.	.	.	.	4	4	1	.	.	.	.	.	.	121
Appenzell	.	.	.	1	.	.	.	.	.	.	.	.	.	.	.	.	.	.	.	.	.	.	.	.	.	.	.	.	.	.	.	.	9
Bâle	.	.	.	10	.	.	.	.	.	.	.	.	.	.	.	1	.	.	.	1	.	14	.	.	.	.	.	.	.	.	.	.	35
Berne	.	.	1	72	23	17	2	.	4	1	1	.	1	.	.	.	.	4	4	1	16	22	.	52	1	1	.	.	1	1	1	.	409
Fribourg	.	.	.	4	.	.	.	.	1	.	.	.	2	1	.	.	.	2	.	.	17	.	.	.	.	.	.	.	.	.	.	.	67
St-Gall	.	3	.	9	4	.	.	.	.	.	.	.	27	.	.	.	.	.	4	.	.	.	.	.	1	.	.	.	.	.	.	.	97
Genève	.	.	.	.	2	.	.	.	5	.	.	.	13	1	.	1	.	.	.	.	.	.	.	.	.	.	.	.	.	1	.	1	32
Glaris	.	.	.	1	.	.	.	.	.	.	.	.	.	.	.	.	.	.	.	.	.	.	.	.	.	.	.	.	.	.	.	.	1
Grisons	.	.	.	4	.	.	.	.	.	.	.	.	.	1	.	.	.	.	.	.	.	.	.	.	.	.	.	.	.	.	.	.	6
Lucerne	1	13	.	28	1	7	.	.	.	.	.	4	5	.	2	1	.	2	.	.	.	3	.	8	3	3	1	1	.	.	.	.	163
Neuchâtel	.	.	.	6	18	.	.	.	.	.	.	.	.	2	.	.	.	.	.	.	.	.	.	.	.	.	.	.	.	.	.	.	36
Schaffhouse	.	1	.	.	.	.	.	.	.	2	.	.	.	.	.	.	.	.	1	.	1	.	.	1	2	.	.	.	.	.	.	.	13
Schwyz	.	1	.	4	2	.	.	.	.	.	.	.	8	.	.	.	.	.	4	.	.	.	.	.	1	.	.	.	.	.	.	.	37
Soleure	.	.	.	36	6	14	2	.	.	.	.	.	.	.	.	.	.	.	3	.	2	7	.	16	.	1	.	.	.	.	.	.	101
Tessin	.	.	3	8	.	.	.	.	.	.	2	.	10	59	37	.	.	1	.	.	.	.	1	4	.	.	.	.	.	2	.	.	151
Thurgovie	.	1	.	83	.	1	.	.	.	.	.	1	30	.	.	.	.	.	.	.	.	.	.	.	15	.	.	.	.	.	.	.	177
Unterwald	.	.	.	6	1	.	.	.	.	.	.	.	4	.	.	.	.	.	.	.	.	.	.	.	.	.	.	.	.	.	.	.	17
Uri	.	.	.	.	1	.	.	.	.	.	.	.	.	.	.	.	.	.	.	.	.	.	.	.	.	.	.	.	.	.	.	.	1
Vaud	.	3	.	20	34	1	.	1	1	.	3	.	14	10	1	15	.	17	1	.	20	.	.	11	.	1	.	.	.	1	.	.	211
Valais	.	.	1	.	.	.	.	.	.	.	.	.	.	.	.	.	.	.	.	.	4	.	.	.	.	.	.	.	.	.	.	.	5
Zurich	1	1	.	41	.	.	.	.	.	.	1	15	.	.	2	.	1	2	.	1	.	15	.	8	18	.	.	.	.	.	.	.	163
Zoug	.	.	.	3	1	.	.	.	.	.	4	2	.	.	.	.	.	3	.	.	.	2	.	.	.	.	.	.	.	.	.	.	25
totaux	3	25	5	405	104	40	4	1	11	3	6	11	131	74	40	20	2	32	17	3	60	63	1	104	45	7	1	1	1	5	1	1	1877
par mois	883																342														2		1877

2. Chutes de grêle observées en Suisse pendant l'année 1959

par les observateurs des stations météorologiques et pluviométriques
de l'Institut Suisse de Météorologie à Zurich et par quelques observateurs bénévoles

| Région | | Avril | | | | Mai | | | | | | | | | | | | | Juin | | | | | | | | | | | | |

Monats- und Jahressummen

der Niederschlagsmessungen sämtlicher meteorol. Stationen I.—III. Ordnung im Jahre 1959

Als Niederschlagstage werden für diese Tabelle nur die Tage mit mindestens 1.0 mm Niederschlag gezählt.
Die mit * bezeichneten Summen sind nach den Nachbarstationen interpoliert.

Stationen:	Höhe üb. Meer	Jan.	Febr.	März	April	Mai	Juni	Juli	Aug.	Sept.	Okt.	Nov.	Dez.	Jahr	Maxima		Zahl d. Tage
A. Rheingebiet																	
I. Quellgebiet bis Bodensee																	
Sedrun (Tavetsch)	1418	111	11	34	89	34	76	75	59	25	115	97	120	846	39	28. X.	108
Platta (Medels)	1378	53	14	48	87	25	65	63	46	20	150	104	94	769	67	27. X.	99
Disentis	1173	78	17	49	96	41	84	88	60	19	139	132	123	926	68	28. X.	105
Vial (Somvix)	ca 1270	49	16	55	60	29	73	73	65	17	113	107	71	728	50	14. XI.	107
Val (Somvix)	ca 1210	80	18	40	59	37	72	56	55	18	129	98	95	757	55	28. X.	98
Surrhein	899	83	20	39	43	46	76	61	47	21	115	123	106	780	60	28. X.	99
Panix	ca 1300	140	18	38	55	50	154	107	61	28	83	94	104	932	30	14. XI.	142
Vrin	1448	43	10	58	56	43	102	91	66	14	89	104	78	754	49	28. X.	98
Vals	ca 1290	27	16	73	55	49	73	77	53	19	124	111	55	732	53	27. X.	99
Ilanz	ca 715	74	15	34	36	31	58	57	44	16	81	84	82	612	48	28. X.	91
Flims	ca 1085	120	17	55	65	78	113	92	60	33	96	85	111	925	44	28. X.	112
Safien-Platz	1315	65	13	71	54	49	87	99	65	21	83	106	89	802	46	15. XI.	109
Hinterrhein	1620	39	8	131	132	44	80	131	77	20	207	175	117	1161	73	27. X.	110
Splügen (Dorf)	1504	28	7	73	85	26	88	129	78	11	142	164	92	923	56	30. VII.	104
Avers am Bach	ca 1960	26	4	61	56	54	79	73	67	13	98	103	82	716	33	28. X.	109
Innerferrera	ca 1475	21	4	63	76	36	85	106	76	10	141	139	64	821	42	30. VII.	97
Andeer	ca 980	20	7	48	35	43	66	96	42	9	117	117	64	664	50	28. X.	81
Thusis	687	24	10	48	29	40	66	102	58	12	95	89	63	636	47	28. X.	93
Bivio	ca 1770	43	13	89	78	84	92	62	65	25	116	126	106	899	42	1. V.	118
Marmorera (Staudamm)	ca 1695	24	15	70	60	100	77	74	69	13	90	114	87	793	50	1. V.	104
Savognin	ca 1205	20	11	53	48	73	73	82	46	8	91	85	67	657	49	1. V.	93
Weißfluhjoch	2540	104	33	42	58	106	102	142	82	59	57	48	105	938	65	1. V.	117
Davos Platz	1561	58	24	30	33	74	100	102	48	34	57	47	84	691	52	1. V.	100
Preda	1796	16	7	49	42	80	85	112	50	20	98	86	74	719	41	28. X.	105
Filisur	ca 1030	23	19	41	25	64	65	78	50	17	69	84	83	618	46	1. V.	84
Lenzerheide	ca 1460	36	13	69	33	76	69	149	68	12	71	73	72	741	51	1. V.	97
Nisellas (Alvaschein)	ca 890	21	6	32	32	60	58	109	49	14	73	75	49	578	45	30. VII.	91
Tomils	ca 790	28	12	26	28	42	63	84	45	14	78	62	53	535	39	28. X.	78
Arosa	1818	71	26	69	55	162	106	169	76	49	92	84	110	1069	97	1. V.	128
Tschiertschen	1360	64	16	41	52	96	91	121	92	29	76	75	72	825	51	1. V.	105
Chur I	ca 645	56	18	27	40	77	77	82	47	23	74	67	61	649	55	1. V.	98
Chur II	586	56	18	21	40	71	75	79	61	17	71	66	63	638	51	1. V.	99
Klosters (Aeuja)	ca 1200	83	34	57	82	107	159	138	94	39	99	69	125	1086	74	1. V.	119
St. Antönien (Rüti)	1460	126	28	39	73	116	169	157	117	67	68	52	97	1109	69	1. V.	122
Schiers	ca 682	92	23	39	54	100	95	113	69	33	88	60	71	837	62	1. V.	108
Schuders	1275	130*	22	59	77	137	145	124	116	38	77	44	74	1043	—	—	—
Seewis	953	133	22	37	62	108	124	127	59	30	85	58	85	930	76	1. V	121
Plantahof b Landqu.	ca 530	63	28	33	68	90	138	66	45	25	90	71	64	781	64	1. V.	103
Vättis	956	76	17	28	50	61	116	92	60	25	60	48	78	711	36	1. V.	101
Bad Ragaz	510	64	26	48	71	86	143	81	43	32	109	75	61	839	56	28. X.	98
Sargans	510	110	24	46	87	90	191	95	52	51	123	72	78	1019	56	28. X.	107
Sevelen	454	69	14	42	56	106	142	91	73	34	83	51	41	802	47	1. V.	96
Vaduz(Liechtenstein)	495	54	9	40	63	88	160	109	82	38	90	57	38	828	48	1. V.	94
Haag	440	93	9	52	65	93	121	144	65	48	110	53	38	891	41	28. X.	96
Altstätten	468	105	24	41	100	200	224	124	49	42	118	62	66	1155	119	1. V.	107
Widnau	404	85	18	62	74	140	196	116	49	46	111	68	40	1005	61	1. V.	100
Heiden	811	108	17	70	115	190	230	87	60	43	154	57	73	1204	105	1. V.	109
II. Bodensee bis Basel																	
Rorschach	445	87	9	55	88	122	174	65	52	31	138	57	47	925	60	1. V.	100
St. Gallen	664	110	15	73	101	124	238	74	62	47	131	55	61	1091	77	7. VI.	113
Arbon	400	82	9	52	70	130	172	72	65	22	104	52	50	880	64	7. VI.	102
Amriswil	ca 450	83	5	58	68	117	164	83	68	30	107	45	60	888	52	1. V.	107
Altnau	ca 434	109	3	64	71	117	172	96	79	12	108	53	88	972	49	7. VI.	103
Kreuzlingen	446	126	2	55	59	119	133	57	91	37	98	43	100	920	49	21. V.	104

Stationen:	Höhe üb. Meer	Jan.	Febr.	März	April	Mai	Juni	Juli	Aug.	Sept.	Okt	Nov.	Dez.	Jahr	Maxima		Zahl d. Tage
Ermatingen	ca 405	165	3	61	63	69	171	53	84	36	108	43	123	979	79	7. VI.	102
Haidenhaus	694	127	4	62	61	70	191	68	108	35	100	41	99	966	69	7. VI.	111
Steckborn	ca 398	130	4	56	63	64	191	74	97	26	92	45	96	938	76	7. VI.	107
Eschenz	ca 417	139	3	56	67	66	136	64	125	14	99	53	96	918	67	22. VIII.	116
Thayngen	ca 443	155	1	49	74	46	159	76	102	15	64	46	105	892	36	8. VIII.	113
Buch (Schaffhausen)	ca 425	128	1	47	66	35	113	58	65	20	75	45	96	749	40	7. VI.	106
Dießenhofen	ca 398	140	9	62	74	44	119	49	103	20	78	38	115	851	36	7. VI.	113
Lohn (Schaffhausen)	643	153	1	51	69	45	158	78	127	17	58	42	102	901	60	8. VIII.	118
Merishausen	ca 524	194	2	52	70	58	162	93	86	21	83	47	120	988	40	21. VI.	117
Schaffhausen	451	151	3	59	81	48	117	58	135	25	71	46	101	895	48	8. VIII	118
Neu-Rheinau	392	138	5	59	70	42	155	53	83	20	75	51	99	850	39	7. VII.	115
Rheinau	356	111	1	53	63	40	159	60	74	19	76	46	97	799	52	7. VI.	110
Flaach	368	114	3	50	80	43	165	59	80*	11	95	58	106	864	49	7. VI.	87
Wil bei Rafz	405	153	2	60	77	45	116	73	94	17	85	49	119	890	49	7. VI.	117
Kaiserstuhl	339	116	2	66	68	32	120	57	73	13	80	47	108	782	31	7. VI.	112
Schleitheim	ca 490	173	1	53	70	28	193	73	62	8	70	40	107	878	42	7. VI.	107
Hallau	450	197	3	63	82	37	130	74	80	24	77	51	128	946	52	7. VI.	117
Wilchingen	420	177	2	61	79	37	136	86	80	26	71	46	114	915	51	7. VI.	113
Laufenburg	ca 315	113	15	87	95	45	137	82	88	14	86	43	103	908	32	7. VI.	121
Wittnau	404	73	8	72	83	43	109	74	68	20	95	43	92	780	36	28. VII.	111
Frick	355	130	8	87	96	44	163	97	71	14	85	41	95	931	41	21. VI.	118
Möhlin	ca 310	109	6	86	109	39	106	70	83	4	88	36	74	810	30	30. IV.	121
Wintersingen	420	97	9	100	103	44	124	50	73	7	102	40	84	833	29	30. IV.	122
Rheinfelden	287	97	6	84	109	37	95	66	89	2	85	39	78	787	32	30. IV.	113
Kilchberg	578	84	9	102	74	46	130	83	106	8	93	35	72	842	36	28. VII.	124
Böckten	385	75	9	93	75	40	94	56	83	9	96	35	77	742	27	28. VII.	109
Eptingen	559	112	16	97	86	56	120	89	94	13	100	43	99	925	31	11. VII.	125
Bennwil	520	96	10	96	89	34	116	76	92	10	101	38	87	845	40	28. VII.	116
Waldenburg	522	146	9	116	103	23	137	78	101	15	115	51	113	1007	42	28. VII.	117
Lampenberg	540	76	11	103	86	36	124	62	82	7	99	33	80	799	29	12. III.	112
Reigoldswil	526	114	11	102	100	40	131	75	126	11	106	46	94	956	41	11. VIII	118
Liestal	311	93	15	98	108	44	110	37	93	8	111	42	92	851	34	22. VIII.	119
Arisdorf (Egghof)	ca 430	86	8	102	113	45	102	51	104	9	99	38	77	834	31	30. IV.	116
Basel-Augst	265	85	7	108	108	38	99	36	82	5	103	37	72	780	35	30. IV.	113
Moutier (Gorges de Court)	ca 585	125	3	88	151	73	150	37	203	19	101	41	132	1123	78	23. VIII.	118
Morvelier	ca 570	96	6	110	128	62	218	81	108	12	112	31	85	1049	72	7. VI.	102
Bellelay	ca 930	131	5	89	131	79	162	57	113	38	91	33	131	1060	45	22. VIII.	119
Delémont I	418	84	2	73	94	61	156	30	99	23	94	30	64	810	45	22. VIII	109
Delémont II	417	93	3	78	97	67	168	38	97	26	96	28	68	859	44	22. VIII.	107
Seewen	544	76	11	110	108	49	140	53	92	10	117	36	84	886	32	12. III.	121
Grellingen	330	81	6	108	114	42	137	42	104	10	111	35	70	860	45	22. VIII.	120
Pfeffingen	385	87	9	107	123	33	132	29	104	11	102	35	69	841	44	22. VIII.	116
Aesch (Baselland)	312	106	7	109	121	32	118	27	100	12	108	45	73	858	41	22. VIII.	115
Arlesheim	325	82	7	116	122	37	135	23	99	4	106	37	61	829	35	26. VI.	114
Neue Welt	276	73	7	98	124	27	124	20	87	3	95	32	57	747	35	30. IV.	110
Therwil	309	100	6	107	102	28	145	17	88	14	90	35	66	798	43	26. VI.	115
Bruderholz	ca 345	84	7	98	118	28	124	17	83	6	99	38	57	759	34	21. VI.	108
Basel-Binningen	317	81	6	90	116	25	115	18	69	6	89	35	53	703	32	30. IV.	104
St. Chrischona	ca 520	90	6	107	135	41	88	39	92	2	107	37	59	803	40	30. IV.	108
Wenkenhof	330	84	5	106	125	34	87	28	79	3	112	48	61	772	35	30. IV.	112
Riehen	282	83	6	93	121	27	88	24	70	3	98	42	57	712	32	30. IV.	110
Erlenpumpwerk	255	78	4	82	109	25	79	22	74	3	102	38	52	668	28	18/30. IV.	107
Basel-Flughafen	268	102	2	76	102	25	95	29	52	6	73	36	64	662	34	7. VI.	113

III. Thur

Wildhaus	1130	160	29	45	125	117	250	183	61	35	87	59	118	1269	60	1. V.	115
Starkenbach	891	215	25	72	171	111	310	143	117	46	143	85	139	1577	63	1. V.	120
Ebnat	649	199	26	63	143	167	236	122	89	33	98	69	179	1424	63	1. V.	119
Ricken	ca 790	177	21	85	130	162	274	128	104	30	89	64	121	1385	55	1. V.	131
St. Peterzell	ca 710	177	14	73	131	123	260	155	74	48	127	62	114	1358	50	7. VI.	123
Hosenruck (Nollen)	ca 705	134	7	74	90	167	238	129	96	33	140	62	134	1304	83	1. V.	117
Degersheim	818	115	9	81	92	124	211	102	100	61	144	59	62	1160	54	28. X.	120
Herisau	773	135	16	81	103	121	219	101	92	46	139	60	66	1179	64	7. VI.	125
Flawil	609	123	8	80	93	128	165	86	81	46	116	48	78	1052	50	1. V.	115
Säntis	2500	116	43	71	143	148	325	216	144	73	155	70	208	1712	93	1. V.	128
Urnäsch	ca 840	173	15	93	150	146	342	183	87	56	195	73	119	1632	70	1. V.	118
Befang b. Hundwil	ca 860	176	11	91	151	146	329	186	107	80	141	80	132	1630	98	7. VI.	125
Appenzell	791	131	22	70	132	126	255	137	59	50	126	58	75	1241	61	7. VI.	118
Stein (AR)	786	103	15	72	110	135	245	112	67	36	141	61	70	1167	88	7. VI.	121
Schwäbrig	1156	155	28	76	126	173	236	126	68	43	132	71	77	1311	94	1. V.	114

Stationen:	Höhe üb. Meer	Jan.	Febr.	März	April	Mai	Juni	Juli	Aug.	Sept.	Okt.	Nov.	Dez.	Jahr	Maxima		Zahl d. Tage
Teufen	848	119	13	85	115	125	289	129	83	45	158	67	73	1301	90	7. VI.	119
Bischofszell	ca 515	111	13	75	78	111	252	101	61	8	78	51	74	1013	58	25. VI.	119
Sulgen	480	100	12	62	64	106	169	81	83	14	98	49	66	904	57	7. VI.	110
Weinfelden	429	97	5	58	59	82	178	99	54	10	96	44	73	855	72	7. VI.	107
Illhart	ca 540	85	3	54	67	75	184	62	73	28	94	42	94	861	74	7. VI.	98
Müllheim	413	106	4	65	55	65	167	70	61	16	94	42	85	830	72	7. VI.	107
Dußnang	601	201	10	80	105	126	227	86	95	19	123	60	138	1270	50	1. V.	123
Eschlikon	ca 572	165	7	68	76	73	212	69	82	23	102	52	126	1055	55	25. VI.	118
Wängi	ca 473	121	3	57	62	80	181	76	83	30	87	41	92	913	80	7. VI.	111
Aadorf	ca 535	130	4	58	63	64	173	67	61	22	94	44	115	895	69	7. VI.	115
Affeltrangen	485	96	3	48	62	92	167	106	61	18	106	46	75	880	65	7. VI.	112
Thundorf	ca 547	125	3	66	69	107	170	67	77	18	104	51	81	938	65	7. VI.	102
Frauenfeld	409	121	3	57	58	68	180	68	81	23	89	43	91	882	93	7. VI.	113
Kalchrain	ca 580	90	1	53	60	66	188	65	87	26	77	50	78	841	82	7. VI.	106
Niederneunforn	457	92	1	56	71	67	146	56	76	21	79	47	79	791	45	7. VI.	101
Andelfingen	ca 367	129	4	58	71	54	174	57	77	42	81	41	97	885	50	7. VI.	113
IV. Töß																	
Poalp ob Wald	1082	217	29	88	116	184	239	131	117	38	154	78	159	1550	57	1. V.	122
Bauma	627	184	14	93	116	117	227	116	89	37	139	64	138	1334	66	1. V.	128
Sternenberg	ca 880	104	5	68	78	87	211	118	81	14	119	53	106	1044	40	13. VI.	113
Kollbrunn	490	136	9	72	86	79	178	106	87	7	116	44	132	1052	59	7. VI.	115
Effretikon	ca 512	116	5	72	86	86	170	87	73	50	113	44	87	989	34	13. VI.	116
Winterthur	490	135	6	65	82	49	193	80	60	8	86	42	100	907	76	7. VI.	113
V. Glatt																	
Grüningen	ca 500	121	13	81	87	93	189	134	90	25	113	48	98	1092	32	11. VII.	118
Hinwil	ca 606	138	13	97	107	120	243	117	86	32	151	57	103	1264	59	1. V.	117
Pfäffikon	ca 544	132	8	84	93	90	191	117	61	18	129	49	101	1073	50	1. V.	113
Uster	443	93	5	61	67	68	163	94	67	29	91	43	92	873	35	13. VI.	105
Zürich-Strickhof	512	113	4	77	74	55	166	89	51	12	95	51	84	871	33	21. VI.	113
Oerlikon	455	112	6	71	73	50	207	93	54	9	94	50	88	907	30	29. X.	103
Reckenholz	443	84	10	66	80	41	158	81	41	12	89	46	93	801	36	21. VI.	108
Kloten (Flughafen)	431	118	8	73	89	54	150	88	67	22	97	49	97	912	32	6. I.	115
Dielsdorf	428	133	9	67	89	52	156	88	50	21	92	50	128	935	39	11. VII.	113
Bülach	402	110	3	62	62	47	171	83	58	23	90	45	87	841	40	7. VI.	110
VI. Limmat																	
Weißtannen	ca 998	131	16	62	75	71	225	134	52	39	88	77	129	1099	37	28. X.	119
Walenstadt	431	147	12	50	85	96	263	144	63	43	87	70	93	1153	53	13. VI.	110
Walenstadtberg	ca 982	286	20	77	134	120	380	187	109	50	148	91	139	1741	66	1. V.	118
Obstalden	680	138	23	69	118	109	272	146	113	49	119	90	87	1333	66	1. V.	113
Auen (Linthal)	815	185	45	76	93	85	230	140	113	47	117	113	163	1407	62	28. XII.	122
Urnerboden	ca 1350	142	21	61	91	94	240	169	142	49	123	72	111	1315	54	26. VI.	131
Linthal	ca 685	196	44	70	111	101	209	152	124	52	142	105	161	1467	57	1. V.	126
Braunwald	ca 1190	246	39	76	123	84	202	158	123	53	130	84	148	1466	51	28. X.	130
Elm	962	156	29	81	102	109	196	178	101	45	137	118	141	1393	50	28. X.	135
Glarus	503	137	31	62	111	86	254	132	114	41	104	78	104	1254	43	26. VI.	119
Klöntal	ca 855	131	25	65	100	94	275	199	155	54	117	80	107	1402	44	1. V.	127
Weesen	423	168	26	43	133	97	284	171	132	65	162	94	78	1453	57	31. VII.	112
Schänis (Steinerriet)	415	121	26	86	133	116	279	151	96	61	143	76	79	1367	54	1. V.	120
Doggen	410	120	26	80	119	134	222	115	117	39	139	69	74	1254	50	1. V.	123
Hof Oberkirch (Uznach)	ca 468	148	25	83	120	129	253	152	109	33	156	75	101	1384	55	1. V.	116
Innertal (Wärt'haus)	ca 910	212	31	94	153	169	325	172	149	51	165	86	127	1734	61	1. V.	128
Vordertal	ca 760	189	32	89	137	135	307	158	122	36	153	76	119	1553	53	1. V.	126
Rempen	ca 650	172	25	78	139	147	264	123	95	36	150	67	111	1407	51	1. V.	122
Siebnen	ca 452	158	21	84	125	126	240	109	111	34	150	71	86	1315	43	28. X.	112
Lachen	410	135	20	77	106	143	230	108	103	32	127	66	86	1233	44	21. V.	126
Wald (Faltigberg)	908	194	27	95	119	155	245	137	88	33	164	77	131	1465	64	1. V.	126
Bachtel	1110	105	16	81	105	126	252	106	110	33	143	69	76	1222	61	1. V.	112
Wernetshausen	690	143	18	100	102	109	246	125	103	41	150	59	94	1290	56	1. V.	114
Rapperswil	410	130	15	98	106	147	209	108	92	40	146	72	90	1253	61	1. V.	121
Männedorf	445	115	8	71	85	75	171	116	76	36	102	49	93	997	45	11. VII.	114
Wädenswil	ca 470	133	16	86	103	71	181	125	84	36	121	55	130	1141	51	11. VII.	118
Horgen	ca 445	141	14	62	87	95	195	83	67	29	97	43	144	1057	38	1. V.	122
Pfannenstiel	ca 805	122	10	81	93	76	223	132	76	17	125	52	100	1107	52	11. VII	119
Küsnacht (Zürich)	412	114	7	78	69	44	172	87	50	21	91	42	98	873	33	7. VI.	116
Zollikon (Anst. f. Ep.)	460	119	5	74	64	39	167	116	45	15	90	45	103	882	24	6. I.	107

Stationen:	Höhe üb. Meer	Jan.	Febr.	März	April	Mai	Juni	Juli	Aug.	Sept.	Okt.	Nov.	Dez.	Jahr	Maxima		Zahl d. Tage
Wollishofen	463	111	3	82	90	37	200	123	51	16	104	52	121	990	44	7. VI.	111
Zürich MZA	569	136	5	76	71	53	178	98	54	12	106	48	97	934	41	7. VI.	113
Zürich-Botan. Garten	411	136	7	72	80	42	201	105	45	12	88	46	114	918	44	7. VI.	115
Oberiberg	1090	195	20	77	122	128	245	168	215	41	147	81	161	1600	51	I.V/II.VIII	129
Sihlsee	ca 895	166	14	94	131	219	235	132	146	32	157	72	109	1507	95	21. V.	128
Einsiedeln	914	167	13	75	122	189	199	149	140	26	132	74	120	1406	47	1. V.	123
Schönenberg (Waldh.)	615	165	17	77	102	85	215	145	105	38	120	57	135	1261	46	11. VII.	121
Sihlbrugg	540	127	14	95	105	61	288	130	87	44	137	55	120	1263	105	7. VI.	123
Zürich-Albishof	450	97	18	81	100	43	218	111	40	14	100	57	121	1000	64	7. VI.	113
Uetliberg (Bahnhof)	ca 810	84	10	72	54	35	201	115	49	7	82	35	58	802	32	30. VI.	103
Waldegg (Uitikon)	ca 625	126	9	—	76	36	175	96	54	8	104	56	99	839	32	13. VI.	101
Dietikon	402	141	11	65	94	41	176	93	93	11	92	61	107	985	37	6. I.	113
Oetlfingen	ca 442	138	8	79	89	56	172	96	71	12	103	29	100	953	47	7. VI.	111
Baden	387	113	4	66	77	44	141	80	88	15	80	48	95	851	27	7. VI.	114

VII. Reuß

Gütsch ob Andermatt	2288	175	35	82	167	64	137	137	69	44	127	119	138	1294	61	28. X.	139
Andermatt	1442	111	19	96	131	44	90	87	72	30	112	101	118	1011	37	28. XII.	119
Göschenen	1125	144	28	58	120*	46	80	85	82	36	131	124	109	1043	43	14. XI.	117
Gurtnellen	739	74	15	57	86	43	93	78	79	28	105	107	95	860	48	28. X.	103
Altdorf (Armeemagazine)	451	97	22	57	98	61	157	144	79	39	126	64	91	1035	45	28. X.	113
Isental	ca 778	118	19	69	100	68	199	143	106	64	120	62	94	1162	48	16. IX.	126
Muotatal	ca 610	176	30	100	125	120	307	209	175	64	164	79	121	1670	70	26. VI.	132
Schwyz	520	153	20	88	132	100	227	192	178	56	166	71	95	1478	57	26. VI.	120
Sattel	ca 785	144	10	90	137	94	227	142	163	48	146	69	105	1375	58	14. VIII.	122
Weggis	440	76	9	91	130	96	222	169	150	28	147	49	81	1248	64	11. VIII.	114
Rigi-Kaltbad	ca 1490	132	15	151	199	139	288	223	186	30	179	81	112	1735	74	18. IV.	126
Rigi-Kulm	1775	184	6	125	194	112	235	190	96	34	190	88	103	1557	59	18. IV.	128
Küßnacht am Rigi	436	80	7	77	123	61	206	139	97	32	122	45	89	1078	58	7. VI.	111
Engelberg	1018	131	19	110	103	105	182	213	112	64	139	66	108	1352	57	28. X.	136
Stans	ca 455	76	9	87	111	63	225	174	115	76	123	44	80	1183	54	16. IX.	115
Bürgenstock	ca 855	89	6	97	142	74	216	203	159	66	152	42	75	1321	71	18. IV.	114
Lungern	ca 735	148	12	92	70	61	153	169	85	67	129	47	124	1157	63	28. X.	121
Melchtal	823	120*	14	98	87	97	237	212	124	56	136	48	93	1322	46	28. X.	121
Sarnen	479	88	5	79	67	47	166	164	96	49	118	41	79	999	55	28. X.	118
Pilatus-Kulm	2068	153	12	127	173	123	214	193	158	75*	204	66	140*	1638	66	6. VII.	142
Luzern (Wesemlin)	498	78	5	83	110	54	199	120	103	37	110	47	87	1033	43	18. IV.	120
Luzern (Reg.-Geb.)	435	86	5	79	111	60	205	110	110	50	104	41	87	1048	51	7. VI.	115
Flühli	ca 885	121	11	83	94	56	218	176	104	57	119	46	138	1223	49	12. VII	125
Entlebuch	725	134	5	103	109	76	197	93	105	58	133	46	144	1203	48	28. X.	131
Ruswil	635	101	3	—	—	—	—	70	69	58	118	46	—	—	—	—	—
Werthenstein	585	99	3	82	92	78	269	74	90	77	—	—	—	—	—	—	—
Eigental (Buchsteg)	1006	149	6	113	156	93	276	175	132	69	179	52	139	1539	66	7. VI.	132
Morgarten	726	145	20	80	113	79	205	112	133	29	139	61	82	1198	45	14. VIII.	122
Unterägeri	ca 742	107	8	68	108	58	195	133	169	23	115	56	77	1117	71	11. VIII.	121
Lorzentobel	536	121	13	94	118	55	271	135	125	31	146	56	109	1274	47	14. VIII.	118
Walchwil	449	107	12	97	126	66	251	144	149	32	143	52	84	1263	61	7. VI.	116
Zug	ca 415	91	9	90	104	38	240	152	140	32	141	47	96	1180	53	7.VI/14.VIII	111
Ebertswil (b. Hausen a. Alb.)	ca 630	105	10	90	97	60	256	107	86	30	129	52	101	1123	82	7. VI.	112
Mettmenstetten	483	85	10	94	96	37	208	116	96	18	110	54	93	1017	—	—	112

VIII. Aare

Grimsel-Hospiz	1959	339	73	150	207	110	170	150	91	28	184	203	309	2014	59	1. V.	142
Guttannen	1058	157	41	126	140	120	195	158	92	40	175	122	143	1509	58	28. X.	127
Gadmen	ca 1210	139	32	105	101	110	178	206	122	43	132	50	113	1331	43	28. X.	133
Meiringen	605	123	23	77	85	80	158	207	105	37	119	61	111	1186	47	28. X.	117
Brienz (Kienholz)	ca 575	93	12	68	62	63	136	207	105	53	114	42	90	1045	43	6. VII.	119
Grindelwald	ca 1040	82	18	82	92	95	129	161	91	41	114	53	89	1047	44	28. X.	120
Kl. Scheidegg	2061	116	17	108	115	92	197	136	121	47	110	75	116	1250	34	29. VI.	130
Mürren	1639	98	13	92	104	99	177	132	117	54	112	54	144	1196	36	28. X.	123
Lauterbrunnen	790	89	13	67	78	77	136	118	115	42	115	48	119	1017	61	28. X.	121
Interlaken	574	90	18	70	69	76	132	112	151	76	100	41	117	1052	55	20. VIII.	121
Beatenberg	1183	132	20	80	97	97	218	109	144	81	108	42	118	1246	51	29. VI.	130
Kandersteg	1176	69	13	85	91	65	132	139	84	42	96	36	131	983	32	28. X.	120
Engstligenalp	1955	180	17	155	205	119	251	166	138	59	153	67	152	1662	43	28. X.	154
Adelboden	ca 1340	106	8	89	93	64	156	140	127	49	100	37	140	1109	38	14. VII.	127
Frutigen	ca 890	87	10	69	76	63	141	90	136	63	83	36	158	1012	45	28. XII.	123
Kiental	ca 980	79	13	69	77	72	132	129	139	62	98	33	109	1012	?	—	121

Stationen:	Höhe üb. Meer	Jan.	Febr.	März	April	Mai	Juni	Juli	Aug.	Sept.	Okt.	Nov.	Dez.	Jahr	Maxima		Zahl d. Tage
Hondrich	ca 760	79	11	84	91	84	145	87	170	54	93	41	124	1063	37	27. VIII.	124
Zweisimmen	ca 955	163	7	60	107	76	165	110	120	62	72	30	198	1170	40	23. XII.	123
Boltigen	ca 855	124	6	62	105	83	141	75	103	62	77	27	157	1022	41	23. XII.	125
Alp Kiley (Diemtigtal)	ca 1375	172	16	89	161	102	262	152	236	47	95	35	196	1563	58	27. VIII.	136
Grimmialp	1214	121	13	80*	89	66	235	103	139	51	78	32	180*	1187	?	—	124
Wimmis	ca 635	101	10	89	88	76	138	77	161	39	89	45	140	1053	39	27. VIII.	120
Heiligenschwendi	1126	69	11	85	102	109	222	91	137	55	112	39	94	1126	54	29. VI.	115
Thun	560	49	6	87	80	58	161	75	118	65	91	32	78	900	51	14. VIII.	106
Schwarzenegg	ca 920	63	10	88	84	68	195	63	124	62	98	37	67	959	42	14. VIII.	112
Großhöchstetten	ca 743	97	8	124	84	87	207	79	153	48	110	40	121	1158	63	7. VI.	114
Belp	520	102	4	103	106	59	135	48	99	37	82	38	156	969	43	7. VI.	110
Bern	572	107	2	104	113	55	127	42	68	37	84	40	135	914	39	7. VI.	108
Lauenen	ca 1200	156	6	65	99	104	152	105	172	51	81	25	137	1153	41	1. V.	124
Gsteig bei Saanen	1188	186	4	97	112	73	121	198	153	39	87	23	217	1310	39	26. XII.	119
Saanen (Solsana)	1155	120	5	57	101	71	131	75	137	58	72	29	171	1027	38	26. XII.	125
Rougemont	1003	136	6	61	96	72	120	98	136	68	76	25	199	1093	41	23. XII.	126
Château-d'Oex	994	133	7	67	125	65	151	128	133	101	91	25	205	1231	45	23. XII.	123
L'Etivaz	ca 1140	176	3	72	122	93	117	72	125*	77	70	30*	220	1177	54	26. XII.	133
Jaun	1020	170	10	79	163	84	208	68	142	79	104	35	218	1360	48	11. VIII.	124
La Valsainte	1015	138	6	118	148	87	189	62	106	62	114	39	215	1284	49	23. XII.	110
Marsens	721	115	2	124	150	68	117	69	86	40	120	46	198	1135	45	23. XII.	117
La Roche	750	82	2	124	151	66	91	68	86	51	129	38	136	1024	40	23. XII.	118
Romont	764	120	1	143	117	64	97	67	84	40	152	47	165	1097	48	23. XII.	116
Freiburg	ca 677	51	1	108	120	50	137	81	84	57	107	32	121	949	42	23. XII.	112
Gauglera	921	64	2*	90	154	60	131	64	91	65	113	24	122	980	46	18. IV.	110
Schwarzenburg	795	86	2	107	136	88	148	51	99	21	99	34	135	1006	52	7. VI.	118
Wahlendorf	ca 755	131	3†	126	139	47	123	40	99	28	120	55	181	1092	43	23. XII.	121
Aarberg	ca 450	135	0	99	125	55	83	49	81	9	89	54	172	951	42	30. IV.	105
Rossenges s. Moudon	ca 700	113	1	132	109	51	130	48	63	24	125	57	188	1041	50	23. XII.	117
Moudon	515	102	0	120	130	35	99	55	79	26	118	47	164	975	40	23. XII.	115
Payerne	ca 450	72	2	105	129	23	102	27	70	20	100	42	124	816	36	23. XII.	109
Avenches	474	53	0	102	110	32	106	26	69	25	80	32	99	734	48	7. VI.	97
Greng b. Murten	432	60*	0	103	114	39	85	31	73	21	93	43	145	807	38	23. XII.	104
Kerzers	434	79	1	102	122	28	130	38	101	30	87	54	149	921	49	22. VIII.	106
Witzwil	432	69	0	87	96	27	108	55	75	15	82	55	124	793	36	30. IV.	102
La Cure	1170	200	0	149	213	80	184	59	81	65	129	120*	316	1596	50	6. III.	133
Le Sentier	ca 1020	155	1	141	125	80	248	76	68	20	96	84	204	1298	47	6. III.	133
Le Pont (La Tornaz)	1008	153	1	133	116	82	200	73	76	37	93	76	187	1227	57	5. VI.	129
Vallorbe-Reposoir	920	245	4	166	167	144	236	77	72	29	125	114	240	1619	74	5. VI.	134
Vallorbe-Village	ca 785	156	1	130	117	63	163	59	61	24	100*	84	188	1146	43	6. III.	126
L'Abergement	ca 645	152	1	121	109	21	118	143	52	53	83	66	198	1117	61	11. VII.	117
Valleyres-s.-Rances	ca 505	112	0	104	91	16	110	87	40	16	62	51	165	854	46	6. III.	112
Bochuz	437	68	0	113	100	21	127	83	41	13	69	61	119	815	50	6. III.	106
Echallens	618	108	2	144	122	22	107	53	74	9	107	87	164	999	49	19. X.	107
Corcelles-sur-Chavornay	560	100	0	124	116	17	109	49	54	9	86	61	131	856	47	6. III.	106
Yverdon	433	77	0	120	95	15	116	65	34	13	73	59	116	783	45	6. III.	102
Thierrens	770	59	0	122	105	55	76	32	40	36	117	51	127	820	39	6. III.	106
Baulmes	ca 660	199	1	138	136	25	192	160	46	27	98	70	231	1323	116	11. VII.	128
Chasseron	1601	330	10	205	212	35	189	108	73	23	117	101	293	1696	55	28. XII.	142
L'Auberson	ca 1102	190	4	163	141	66	186	73	61	15	106	93	223	1321	40	6. III.	138
St-Sulpice	ca 750	270	3	189	139	45	189	63	96	34	111	96	279	1514	61	28. XII	134
Couvet	ca 750	166	2	144	112	32	164	71	65	52	85	59	167	1119	40	6. III.	125
Combe-Garot	532	157	2	150	151	33	98	52	116	39	82	81	202	1163	84	22. VIII.	125
Grandchamp-Areuse	438	145	1	107	118	15	97	80	70	18	67	53	164	935	44	6. III.	102
La Brévine	1043	131	3	154	135	42	208	39	97	77	81	91	101	1159	45	6. III.	128
Les Ponts-de-Martel	1056	222	3	166	141	60	107	48	72	57	125	77	203	1281	41	6. III.	127
Cernier	790	158	5	80	151	46	148	74	72	30	108	59	178	1109	47	26. VI.	126
Neuchâtel	487	117	1	89	107	28	86	61	78	37	76	49	122	851	38	22. VIII.	112
Hauterive	ca 475	100	1	87	111	31	90	59	71	35	77	52	127	841	37	30. IV.	115
Chaumont	1141	138	4	101	131	37	126	80	97	27	85	56	176	1058	58	22. VIII.	127
Biel	436	166	2	64	118	50	106	56	115	17	83	67	190	1034	40	30. IV.	114
Evilard (Leubringen)	ca 725	240	3	86	123	69	111	45	103	15	82	76	244	1197	45	25. VI.	116
Mont-Soleil	ca 1180	171	14	129	164	72	214	40	97	14	116	49	165	1245	42	30. IV.	135
Courtelary	692	156	5	136	148	58	165	52	107	20	102	55	178	1182	43	28. XII.	119
Weissenstein	1285	132	10	75	91	45	170	64	117	—	—	—	—	—	—	—	—
Solothurn	470	170	8	94	90	64	121	76	107	25	104	52	179	1090	35	30. IV.	122
Marbach	ca 875	132	13	117	118	72	303	126	134	93	128	47	160	1443	51	14. VIII.	129
Escholzmatt	ca 910	114	7	94	96	69	223	106	119	77	127	41	110	1183	43	28. X.	134
Langnau i. E.	692	108	8	104	105	73	208	81	94	88	95	41	133	1138	45	14. IX.	117
Riedbad	913	243	21	129	174	86	293	98	132	78	161	59	236	1710	77	7. VI.	140
Kurzenelalp	894	165	13	114	136	59	247	75	109	62	144	49	141	1314	43	14. IX.	121

Stationen:	Höhe üb. Meer	Jan.	Febr.	März	April	Mai	Juni	Juli	Aug.	Sept.	Okt.	Nov.	Dez.	Jahr	Maxima		Zahl d. Tage
Wasen i. E.	ca 755	118	15	108	114	55	191	77	88	29	103	44	119	1061	36	28. X.	130
Affoltern i. E.	796	86	7	102	78	44	154	73	78	29	102	44	114	911	34	23. XII.	124
Burgdorf	525	90	5	93	88	39	121	65	76	41	82	43	131	874	35	23. XII.	109
Gerlafingen	451	120	7	100	96	38	94	65	75	25	89	42	152	903	34	23. XII.	111
Oeschberg	482	102	7	100	100	34	107	74	63	33	83	48	130	881	37	23. XII.	118
Herzogenbuchsee	464	105	9	117	98	44	106	64	101	19	112	49	153	977	32	28. XII	118
St. Urban	454	120	15	92	79	45	138	45	71	14	90	59	148	916	33	23. XII.	117
Luthern	762	156	7	92	114	58	201	77	80	68	105	45	156	1159	59	7. VI.	127
Wauwilermoos	504	112	8	83	84	36	155	80	77	15	126	57	120	953	35	29. X.	130
Zofingen	435	126	9	71	77	33	130	44	69	13	86	48	122	828	26	23. XII.	122
Herbetswil	524	151	9	86	115	55	115	64	111	12	86	39	141	984	42	30. IV.	115
Langenbruck	740	119	11	99	104	31	138	82	94	12	113	54	110	967	45	30. IV.	121
Balstal	497	105	10	83	80	30	109	74	96	13	95	39	87	821	31	28. VII.	113
Allerheiligenberg	ca 890	124	13	113	97	50	108	82	95	5	116	48	81	932	36	11. VII.	120
Olten	391	132	9	86	77	46	116	67	80	9	96	53	104	875	26	11. VII.	123
Barmelweid	ca 770	108	6	88	85	49	149	78	81	20	74	43	87	868	38	28. VII.	106
Aarau	408	100	8	65	73	65	144	57	108	7	78	46	86	837	30	22. VIII.	123
Kölliken	430	124	2	90	92	38	168	59	80	5	93	48	120	919	30	28. VI.	118
Beromünster	ca 640	86	7	73	73	36	176	76	75	7	95	44	108	856	42	21. VI.	111
Unterkulm	ca 470	120	10	78	103	57	129	85	111	7	102	48	109	959	29	28. VI.	114
Aesch (Luzern)	484	114	7	73	77	52	148	176	81	19	102	52	104	1005	93	6. VI.	111
Seengen	468	118	7	67	78	35	160	98	79	8	88	46	98	882	31	22. VIII.	118
Muri (Aargau)	469	91	4	61	69	27	131	109	81	5	105	39	93	815	27	6. I.	119
Unterbözberg	514	110	6	75	77	50	114	103	67	6	91	47	80	826	33	28. VII.	114
Schinznach-Dorf	ca 365	115	5	62	72	44	126	65	71	5	73	49	98	785	32	6. I.	107
Brugg	ca 345	111	6	65	67	46	112	81	51	16	72	45	82	754	25	6. I.	111
Beznau	326	119	3	58	90	37	109	73	59	44	62	43	118	815	31	28. VII.	116
Oberweningen	475	107	3	67	63	48	158	77	62	32	76	40	83	807	39	29. VII.	123

B. Rhonegebiet I. Rhone und Genfersee

Oberwald	ca 1370	172	15	29	123	40	133	112	66	22	137	129	194	1172	52	28. XII.	112
Reckingen	1332	124	16	37	79	27	65	87	57	15	121	105	162	895	70	28. X.	97
Fiesch	ca 1060	105	9	42	104	29	39	51	42	11	144	117	156	849	92	28. X.	79
Binn	ca 1415	90	11	27	123	27	37	67	64	16	166	101	145	874	63	28. X.	96
Brig	671	95*	2*	24	83	16	37	27	60	10	118	69	107	648	80	28. X.	76
Saas-Fee	ca 1785	71	2	39	133	50	57	45	54	9	97	95	88	740	58	30. XI.	91
Zermatt	ca 1610	42	3	36	79	32	37	51	48	14	87	85*	100	614	?	—	85
Grächen	1617	53	0	31	76	22	43	62	53	8	74	66	87	575	40	30. XI.	81
Ackersand	ca 700	70*	0*	25*	85*	16	34	25	42	3	81	56	69	506	47	28. X.	71
Visp	ca 650	92	1	21	87	12	29	21	38	11	71	78	111	572	60	30. XI.	63
Kippel	ca 1376	164	9	19	76	22	67	66	44	6	53	47	163	736	46	6. I.	94
Leukerbad	1391	244	10	26	86	37	108	106	81	12	43	25	257	1035	61	28. XII.	107
Varen	ca 750	108	4	25	64	15	62	50	61	10	55	26	124	604	30	26. XII.	78
Chippis	522	82	0	16	47	11	52	63	47	15	35	21	129	518	27	26. XII	73
Sierre	ca 565	102	2	15	49	17	50	60	44	17	34	20	151	561	44	28. XII.	78
Montana (La Moubra)	1453	147	3	25	60	29	89	76	71	17	46	24	161	748	35	26. XII.	102
Grimentz	ca 1565	79	2	25*	77	59	95	67	73	21	84	37	156	775	33	28. X.	103
Dixence	ca 2180	80	1	49	99	41	126	106	82	26	81	34	161	886	32	19.VI-23.XII.	113
Hérémence	ca 1205	75	0	20	71	15	75	112	40	25	49	21	128	631	31	23. XII.	82
Sion	549	88	1	16	66	21	63	59	62	21	45	17	129	588	32	23. XII.	82
Sion-Aérodrome	483	80	0	16	72	22	55	50	60	26	51	16	155	603	42	26. XII.	89
Cleuson	ca 2120	103	1	44	82	35	113	129	90	30	68	26	153	874	44	23. VII.	118
Bagnes (Montagnier)	840	94	3	45	103	40	78	153	62	22	73	47	183	903	38	26. XII.	98
Grand-St-Bernard	2479	214	41	225	294	70	106	118	90	47	148	160	278	1791	55	6. III.	127
Bourg-St-Pierre	ca 1620	99	11	40	132	33	96	126	72	33	97	41	162	942	43	30. IV	94
Orsières	ca 885	91	2	22	88	25	57	79	51	13	67	40	152	687	52	26. XII.	88
Martigny-Ville	471	107	1	18	86	23	57	72	32	15	49	19	181	660	35	23. XII.	89
Barberine (Châte.u d'Eau)	1822	344	4	57	159	42	143	134	71	30	90	46	342	1462	64	26. XII.	124
Le Châtelard	ca 1130	133	4	49	104	29	101	113	57	28	77	32	225	952	57	23. XII.	112
Les Marécottes	ca 1040	177	4	31	127	20	81	107	50	24	77	33	236	967	44	26. XII	104
Gryon	ca 1145	185	5	86	165	58	125	109	141	50	112	30	202	1268	48	8. VIII.	119
Les Plans	1080	148	5	110	177	52	150	108	95	57	111	32	216	1261	50	28. XII.	114
Bex	427	94	3	65	115	42	103	80	65	57	85	29	154	892	29	14. VII.	104
Val d'Illiez	ca 870	119	1	78	138	37	161	90	83	50	100	26	203	1086	41	23. XII	116
Monthey	ca 405	109	2	59	110	36	131	100	93	45	79	25	162	951	37	23. XII.	101
Les Diablerets	1157	258	0	100	139	75	128	136	146	45	107	33	299	1466	57	28. XII.	123
Leysin	1350	174	5	69	122	59	127	101	133	68	94	23	145	1120	33	28./29.VI.	116
Chessel	380	108	3	70	121	43	131	74	85	49	79	37	172	972	36	14. VII.	105

Stationen:		Höhe üb. Meer	Jan.	Febr.	März	April	Mai	Juni	Juli	Aug.	Sept.	Okt.	Nov.	Dez.	Jahr	Maxima		Zahl d. Tage
Rochers-de-Naye		1982	170	4	64	132	57	182	146	146	72	149	67	368	1557	48	29. VI.	134
Montreux-Clarens		408	95	2	92	125	43	129	142	71	48	105	41	165	1058	47	14. VII.	118
Vevey	ca	386	100	0	90	99	37	117	121	83	25	112	37	181	1002	44	23. XII.	114
Tour de Gourze	ca	915	94	1	146	122	50	193	112	88	24	151	44	182	1207	63	23. XII.	111
Riex		445	113	6	132	124	45	161	90	104	46	166	54	191	1232	51	23. XII.	118
Pully		461	111	0	131	124	43	181	75	73	23	140	58	187	1146	62	7. VI.	106
Lausanne		589	98	0	135	117	38	151	83	68	24	116	52	162	1044	53	23. XII.	111
Cossonay	ca	565	109	0	140	113	12	82	52	53	13	85	76	156	891	58	6. III.	105
Morges	ca	390	130	0	138	128	18	89	77	59	21	83	76	175	994	52	23. XII	114
Marcelin s. Morges		425	130	0	142	128	19	83	77	56	19	82	80	195	1011	56	23. XII.	110
Longirod		883	141	0	142	116	29	134	71	52	23	77	86	177	1048	57	6. III.	116
Nyon	ca	390	118	1	154	105	12	123	86	85	41	77	80	151	1033	68	14. VII.	113
Céligny	ca	432	152	0	153	101	15	252	86	66	35	82	93	147	1182	78	5. VI.	108
Genève (Observatoire)		405	73	0	128	98	15	80	47	44	62	103	73	108	831	47	6. III.	105
Jussy	ca	465	51	0	135	99	15	114	78	58	35	98	69	93	845	48	6. III.	106
Compesières	ca	474	60	0	139	94	17	91	32	46	48	97	69	101	794	56	6. III.	95
Genève-Cointrin		425	70	0	137	79	10	61	41	54	101	95	87	132	867	62	17. IX.	101
II. Doubs																		
Les Brenets	ca	875	201	5	135	151	56	154	48	88	125	105	67	171	1306	66	17. IX.	133
Le Locle	ca	920	204	4	157	149	46	170	53	83	65	99	69	180	1279	46	6. III.	138
La Chaux-de-Fonds		990	173	3	138	144	41	188	38	99	55	104	56	167	1206	37	6. III.	134
Saignelégier		980	187	9	123	121	59	226	40	124	42	103	46	160	1240	37	22. VIII.	122
St. Ursanne	ca	750	100	2	97	114	52	185	30	181	35	115	37	96	1044	51	22. VIII.	125
Fahy		596	111	4	111	115	46	172	24	138	47	88	48	94	998	47	26. IX.	128
Mormont		548	128	2	102	106	44	132	19	122	23	82	37	93	890	38	25. VI.	110
C. Pogebiet I. Tessin																		
St. Gotthard		2095	275	55	204	220	72	95	111	105	34	227	384	288	2070	95	14. XI.	155
Airolo	ca	1170	96	11	138	157	22	57	82	76	29	186	245	167	1266	73	30. XI.	116
Lago di Tremorgio		1849	78	6	116	211	36	80	112	92	41	206	280	212	1470	73	14. XI.	121
Olivone	ca	930	39	3	124	149	36	64	74	76	21	142	203	134	1065	58	14. XI.	103
Comprovasco		544	26	4	109	120	30	75	123	99	27	146	189	116	1064	53	29. IV.	99
Biasca		293	34	1	130	152	19	59	73	86	27	183	182	110	1056	68	29. IV.	83
S. Bernardino Vill.		1620	51	10	131	152	70	128	155	108	46	193	203	127	1374	86	27. X.	115
Mesocco	ca	795	56	7	106	137	83	175	90	142	44	181	173	157	1351	53	28. X.	112
Braggio		1332	34	6	109	133	68	160	106	120	40	187	217	111	1291	54	29. IV.	101
Grono		357	23	5	108	100	41	98	60	91	26	173	183	155	1063	52	28. X.	94
Bellinzona		230	23	9	145	145	73	179	86	132	29	210	216	169	1416	64	29. IV.	98
Locarno-Aeroporto		198	28	10	183	259	79	154	135	142	72	258	321	199	1840	127	29. IV.	100
Frasco	ca	890	47	8	181	239	45	144	144	147	43	230	258	207	1693	85	29. IV.	110
Vira (Gambarogno)	ca	210	20	10	161	247	80	126	155	157	68	272	294	224	1814	123	29. IV.	102
Fusio	ca	1280	64	8	144	187	28	81	81	87	38	192	223	191	1324	66	14. XI.	107
Cevio		418	44	10	133	208	41	107	129	147	32	219	259	240	1569	77	28. X.	102
Bosco-Gurin	ca	1510	81	14	178	241	72	119	134	140	60	206	307	236	1788	89	29. IV.	129
Mosogno	ca	790	28	10	163	250	66	104	138	182	61	267	325	235	1829	100*	29. IV.	98
Camedo	ca	570	27	14	168	279	82	99	102	138	26	334	334	317	1920	123	29. IV.	102
Locarno-Muralto		244	27	11	148	206	80	144	161	150	54	219	281	215	1696	85	29. IV.	98
Locarno-Monti		379	23	8	173	219	78	106	146	163	57	236	274	218	1701	84	29. IV.	100
Ascona	ca	203	23	8	171	225	71	94	145	174	58	236	306	220	1731	94	29. IV.	96
Brissago	ca	280	34	9	196	303	72	117	177	178	82	312	372	242	2094	125	29. IV.	100
Mezzana		339	33	23	228	204	101	203	114	208	42	327	280	237	2000	106	20. X.	100
Monte Brè		910	29	17	181	220	114	240	151	183	54	275	282	215	1961	95	20. X.	110
Pregassona	ca	350	27	16	179	210	122	272	172	149	51	246	249	230	1923	92	20. X.	100
Lugano		276	29	13	195	205	107	255	176	173	53	272	267	235	1980	94	20. X.	108
Piandanazzo (Val Colla)		1604	39	13	206	190	115	324	171	132	67	270	260	*240	2027	117	26. VI.	112
Crana-Torricella		1002	49	22	258	322	126	264	147	192	122	305	381	260	2448	87	20. X.	106
Fescoggia	ca	855	37	10	243	269	118	223	134	195	105	337	322	265	2258	130	29. IV.	109
Ponte Tresa		274	27	9	223	225	102	214	197	230	104	304	310	244	2189	104	29. IV.	97
Simplon-Bleike		1484	86	24	84	172	65	47	44	83	20	103	92	252	1072	78	29. IV.	98
II. Adda																		
Bernina (Lago Bianco)		2240	67	19	207	124	75	85	92	99	22	230	227	193	1440	86	27. X.	123
Cavaglia	ca	1705	54	3	151	129	55	98	104	105	33	190	189	141	1252	78	28. X.	112
Braita (La Rösa)		1700	51	3	149	121	65	103	85	94	34	172	201	199	1277	65	28. X.	111
Robbia (San Carlo)		1079	28	2	100	79	56	67	73	90	21	131	144	120	911	52	28. X.	97
Miralago		964	10	0	79	92	63	87	124	81	34	133	138	85	926	51	27. X.	89
Brusio (Piazzo)	ca	840	13	2	85	71	63	93	114	82	32	130	140	91	916	62	28. X.	96
Campocologno	ca	535	11	2	89	74	47	71	148	63	35	111	124	85	860	51	28. X.	95
Vicosoprano	ca	1065	52	0	143	155	68	91	91	84	23	170	192	150	1219	61	27. X	111
Soglio	ca	1100	25	0	92	127	68	92	81	76	21	130	183	113	1008	43	27. X.	96

Stationen	Höhe üb. Meer	Jan.	Febr.	März	April	Mai	Juni	Juli	Aug.	Sept.	Okt.	Nov.	Dez.	Jahr	Maxima		Zahl d. Tage
D. Donaugebiet Inn																	
Sils-Maria	1802	29	1	65	63	48	65	59	59	12	110	128	103	742	42	28. X.	98
St. Moritz	1833	9	0	39	21	44	46	60	54	10	92	104	70	549	41	28. X.	86
Bever	1712	15	0	50	30	25	51	83	57	9	99	89	67	575	43	28. X.	87
Buffalora	1968	38	3	49	38	47	74	112	45	7	91	89	92	685	43	28. X.	103
Zernez	ca 1470	13	1	16	38	59	54	97	36	14	47	75	75	525	34	15. XI.	99
Susch	ca 1430	21	3	15	25	40	54	78	50	11	67	71	56	491	30	28. X.	88
Schuls	1253	32	2	32	18	38	49	84	36	20	63	76	70	520	45	15. XI.	84
Martina	ca 1034	44	3	30	19	47	78	105	34	18	38	51	87	554	31	15. XI.	89
E. Etschgebiet Rombach																	
Sta. Maria (Münstertal)	1411	10	0	80	44	35	54	89	29	6	88	148	75	658	65	15. XI.	84

Monats- und Jahressummen im Jahre 1959

ausgedrückt in Prozenten der Normalmengen *)

Stationen:	Höhe üb. Meer	Jan.	Febr.	März	April	Mai	Juni	Juli	Aug.	Sept.	Okt.	Nov.	Dez.	Jahr
Platta (Medels)	1378	96	27	62	95	21	53	46	31	15	98	107	131	61
Splügen (Dorf)	1504	51	13	88	77	18	60	74	45	7	83	144	130	63
Davos Platz	1561	98	45	56	55	106	93	76	37	37	81	76	127	72
Chur I	ca 582	124	42	56	74	108	91	76	44	27	100	120	107	78
Sargans	510	145	34	55	90	81	136	56	34	42	114	92	90	79
Altstätten	468	150	37	53	100	169	141	74	31	34	118	81	80	89
St. Gallen	664	159	23	87	94	95	139	44	40	36	127	73	80	82
Kreuzlingen	446	268	5	96	80	142	124	53	88	44	132	77	172	103
Lohn (Schaffhausen)	643	300	2	93	110	56	163	84	137	22	77	72	167	106
Basel	317	198	15	170	178	31	117	20	80	8	120	59	102	86
Glarus	503	167	40	73	106	75	154	68	63	32	94	90	107	88
Zürich MZA	569	252	10	106	77	48	136	74	43	12	115	73	135	85
Einsiedeln	914	190	15	69	92	124	100	73	71	18	105	78	114	86
Altdorf	451	152	35	75	102	58	115	92	53	37	119	79	111	85
Rigi-Kulm	1775	152	5	81	108	56	94	72	40	19	125	71	77	74
Engelberg	1018	141	22	107	83	76	106	116	63	48	110	71	107	88
Luzern (Wesemlin)	498	163	10	124	124	47	135	78	73	35	125	78	150	92
Guttannen	1058	140	38	97	92	84	127	95	58	30	118	104	111	91
Beatenberg	1196	150	24	73	79	72	123	62	89	68	93	46	117	84
Bern	572	223	4	158	149	59	112	38	63	42	95	59	211	94
Neuchâtel	487	192	2	129	149	34	86	64	79	43	82	61	153	87
Chaumont	1141	216	7	138	166	40	111	73	87	28	82	67	212	99
Affoltern i. E.	796	137	11	121	82	39	110	58	61	28	105	59	148	78
Langenbruck	740	153	15	118	111	28	105	63	82	12	112	68	120	81
Olten	391	197	14	116	95	46	91	53	67	9	98	67	124	78
Aarau	408	167	14	94	95	68	123	49	99	8	91	65	116	82
Muri (Aargau)	469	154	7	84	79	25	100	85	67	5	118	57	124	75
Reckingen	1332	172	25	41	85	31	77	99	67	16	103	122	182	85
Sion	549	205	2	35	169	53	140	109	95	44	79	33	215	100
Grand-St-Bernard	2479	123	26	107	137	39	65	91	65	31	69	80	131	84
Martigny-Ville	471	188	2	32	162	45	98	101	40	25	65	31	245	88
Montreux-Clarens	408	176	4	128	156	46	112	116	56	50	108	57	226	100
Lausanne	589	169	0	180	154	41	153	83	62	24	107	61	205	100
Genève (Observatoire)	405	155	0	203	142	20	101	60	46	73	104	92	159	93
St. Gotthard	2095	176	39	103	106	35	53	58	54	16	91	185	154	89
Airolo	ca 1170	135	15	117	116	14	43	55	47	17	84	152	155	76
Braggio	1332	62	10	109	104	40	96	58	63	25	108	181	142	82
Locarno-Muralto	244	43	17	123	127	39	77	83	71	27	98	192	253	91
Lugano	276	48	21	170	127	56	138	101	93	30	137	196	294	115
Sils-Maria	1802	64	2	94	83	53	68	51	50	12	104	158	169	74
Bever	1712	41	0	96	52	35	59	78	53	10	113	131	124	67
Schuls	1253	80	6	91	43	72	73	91	39	28	105	155	140	76

*) Normalperiode 1864—1940. Die mittleren Monats- und Jahressummen sind im Jahrgang 1941 im Anschluß an die vorstehende Tabelle veröffentlicht

Ergebnisse

der im Alpengebiet aufgestellten Niederschlags-Totalisatoren für das hydrologische Jahr 1958/1959

Station	m ü.M.	Meß-resultat Herkunft	Periode 1958/1959 Zeitdauer 1958	Zeitdauer 1959	Gemessener Wert	Red. Wert 1. 10. 58–30. 9. 59
					cm	cm
Suchetgebiet (Jura)						
Suchet (Chalet)	1465	MZA	20. 9.—	—19. 9.	135	132
La Mathoulaz	1137	MZA	20. 9.—	—19. 9.	121	118
Diablerets gebiet						
Becca d'Audon	2870	MZA	14. 9.—	—20. 9.	132	125
Mont-Blanc-Gebiet						
Col d'Orny	3169	MZA	25. 9.—	—26. 9.	304	303
Grand Combin–Monte Rosa-Gebiet						
Fontanesses	2780	F	9. 10.—	—5. 10.	108	113
Haut d'Arolla	2880	F	8. 10.—	—8. 10.	103	107
Mont Miné	2590	F	13. 10.—	—7. 10.	86	90
Schönbiel	2850	F	22. 10.—	—7. 10.	71	78
Trift	2620	F	15. 10.—	—8. 10.	82	87
Gandegg	2840	F	18. 10.—	—1. 10.	77	83
Mt. Rosa-Plattje	2880	F	23. 10.—	—22. 9.	88	97
Findelen-Haupt	2700	F	16. 10.—	—5. 10.	62	66
Täschalp	2240	F	21. 10.—	—12. 10.	53	56
Mondellipaß	2800	A	3. 10.—	—5. 10.	210	219
Thäliboden	2485	A	2. 10.—	—30. 9.	118	123
Galmen	2690	A	2. 10.—	—30. 9.	93	97
Seewinenberg	3025	A	6. 10.—	—2. 10.	271	287
Ofentalpaß	2800	A	4. 10.—	—6. 10.	192	199
Stelli-Weißtal	2620	A	2. 10.—	—30. 9.	142	148
Schwarzberggletscher	2986	A	6. 10.—	—2. 10.	108	113
Schwarzbergkopf	2565	A	2. 10.—	—30. 9.	166	173
Mattmarksee	2117	A	2. 10.—	—30. 9.	60	62
Allalingletscher	3369	A	26. 9.—	—29. 9.	162	154
Kessjen	2840	A	30. 9.—	—28. 9.	104	99
Plattje	2228	A	1. 10.—	—7. 10.	124	125
Furgghorn	3390	MZA	18. 9.—	—14. 9.	245	241
Gornergrat	3100	MZA	17. 9.—	—15. 9.	153	150
Simplongebiet						
Magenhorn	2470	MZA	24. 9.—	—21. 9.	166	167
Wildstrubelgebiet						
Daubenhorn	2600	E	11. 10.—	—30. 10.	110	106
Steghorn	2889	E	28. 10.—	—26. 10.	121	132
Lämmerngrat	2600	E	27. 10.—	—26. 10.	148	162
Lämmernhorn	2804	E	28. 10.—	—26. 10.	123	135
Lämmernplatten	2468	E	25. 10.—	—31. 10.	181	191
Schneehorn	2708	E	31. 10.—	—26. 10.	109	119
Lämmernalp	2325	E	25. 10.—	—30. 10.	120	127
Jungfraugebiet						
Mönchsgrat	3810	MZA	29. 9.—	—23. 9.	275	278
Trugberg	3530	MZA	1957/59 [1]		210	100*
Kranzberg	3180	MZA	27. 9.—	—19. 9.	353	357
Konkordia	2890	MZA	3. 10.—	—22. 9.	73	74
Aletschwald	2040	MZA	27. 9.—	—1. 10.	91	88
Grimsel- und Gelmergebiet						
Kl. Siedelhorn	2430	C	22. 9.—	—4. 10.	146	142
Abschwung	2900	C	24. 9.—	—5. 10.	167	164
Pavillon Dollfus	2415	C	24. 9.—	—5. 10.	125	123
Oberaarjoch	3310	C	23. 9.—	—7. 10.	240	235
Gelmer Bergli	2144	C	25. 9.—	—6. 10.	158	157
Titlisgebiet						
Trübsee-Jochpaß	1800	MZA	1. 10.—	—12. 10.	180	178
Gotthardgebiet						
Lago Ritom	1960	MZA	22. 10.—	—28. 9.	88	110
Oberes Maggiagebiet						
Großalp Bosco	1900	D	30. 9.—	—29. 9.	173	173
Alpe Quadrella	1810	MZA	30. 9.—	—30. 9.	185	185
Campo Maggia	1380	MZA	30. 9.—	—30. 9.	167	167
Greinagebiet						
Greinaboden-West	2327	B	1957/59 [2]		347	159*
Greinaboden-Ost	2327	B	1957/59 [3]		222	101*
Alp Sutglatschèr	1420	B	3. 11.—	—28. 9.	86	118
Medelserhütte SAC	2480	B	26. 9.—	—23. 9.	184	182
Alp Cugn	2154	B	3. 11.—	—28. 9.	80	110
Alp Nadéls	1880	B	31. 10.—	—26. 9.	71	99
Alp Naustgel	1945	B	30. 10.—	—25. 9.	85	124
Rhätisches Alpengebiet						
Gemskanzel-Rheinwaldfirn	2916	B	7. 9.—	—6. 9.	129	117
Älpetlistock	2393	B	4. 9.—	—28. 8.	167	141
Muotaulta-Annarosa	2800	B	14. 9.—	—4. 9.	127	115
Crapet Prassignola	2650	B	1957/59 [4]		260	109*
Piz Curvèr	2810	B	5. 9.—	—30. 8.	93	84
Piz Scalotta	2965	MZA	18. 9.—	—22. 9.	117	109
Julier-Hospiz	2315	MZA	20. 9.—	—23. 9.	86	80
Albula-Hospiz	2315	B	1. 10.—	—1. 10.	76	76
Engadin						
Sils	1830	MZA	2. 10.—	—1. 10.	89	94
St. Moritz	1895	MZA	16. 10.—	—21. 10.	63	72
Stazerwald	1810	MZA	28. 9.—	—30. 9.	61	60
Punt Muragl	1800	MZA	1. 10.—	—1. 10.	55	55
Zuoz	1880	MZA	11. 10.—	—30. 9.	57	62
Cluozza (Blockhaus)	1910	MZA	21. 10.—	—17. 10.	63	76
Stabelchod	2440	MZA	1. 10.—	—1. 10.	108	108
Silvrettagebiet						
Alp Novai	1358	MZA	2. 9.—	—2. 10.	147	137
Silvretta-Gletschervorfeld	2462	MZA	8. 9.—	—22. 9.	163	155
Silvrettahütte	2375	MZA	8. 9.—	—22. 9.	122	116
Eckhorn	3145	MZA	9. 9.—	—23. 9.	105	100
Taminagebiet						
Vättnerälpli	1885	A	3. 10.—	—24. 9.	96	99
First (Wasserböden)	2200	A	9. 10.—	—30. 9.	76	79
St. Martin	1396	A	9. 10.—	—1. 10.	115	120
Panäraalp	2028	A	13. 10.—	—25. 9.	103	115
Tödigebiet						
Clariden-Geißbützistock	2710	MZA	10. 9.—	—9. 9.	306	303
Claridenhütte SAC	2480	MZA	19. 9.—	—9. 9.	171	172
Säntisgebiet						
Säntis (Observatorium)	2504	MZA	20. 9.—	—29. 9.	311	311
Hoher Randen (Jura)						
Auf dem Hagen	915	MZA	20. 9.—	—20. 9.	80	80

* Zeitdauer der Beobachtung: [1] 7. 10. 57—18. 9. 59; [2] und [3] 11. 10. 57—24. 9. 59; [4] 5. 10. 57—19. 9. 59. Reduzierte Werte für das hydrologische Jahr 1957/58: [1] 113 cm; [2] 190 cm; [3] 122 cm; [4] 153 cm. Vgl. Fußnote im vorjährigen Band.

Während des hydrologischen Jahres 1958/59 wurden die Beobachtungen an den Niederschlags-Totalisatoren im Alpengebiet im gewohnten Umfang weitergeführt.

Im Herbst 1958 wurde im *Suchetgebiet* der seit 1936 stillgelegte Totalisator *La Mathoulaz* nach einer gründlichen Revision wieder in Betrieb genommen.

Ebenfalls im Herbst 1958 wurde in Zusammenarbeit mit der Kraftwerke Linth-Limmern AG im *Tödigebiet* östlich der Claridenhütte auf dem Altenorenstock ein neuer Totalisator (Normalmodell MZA) aufgestellt. Er wurde unter der Bezeichnung *Claridenhütte SAC* in die umstehende Tabelle aufgenommen.

Im Laufe des hydrologischen Jahres 1958/59 wurden die drei Totalisatoren im *Cristallinagebiet: Lago di Naret, Lago Sfundau* und *Lago Bianco* im Betrieb eingestellt; sie sind in der Tabelle nicht mehr aufgeführt.

Für die Ermittlung der insgesamt 84 Resultate des Berichtsjahres haben uns die nachfolgend angegebenen Institutionen ihre Meßergebnisse zur Verfügung gestellt (siehe Meßresultat — Herkunft):

A Versuchsanstalt für Wasserbau und Erdbau an der ETH, Abteilung für Hydrologie.
16 Meßergebnisse.

B Rhätische Werke für Elektrizität AG, Thusis.
13 Meßergebnisse.

C Kraftwerke Oberhasli AG, Innertkirchen.
5 Meßergebnisse.

D Baudepartement des Kantons Tessin (Herr Prof. Dr. F. Gygax, Bern).
1 Meßergebnis.

E Société Anonyme l'Energie de l'Ouest-Suisse, Sion/Lausanne.
7 Meßergebnisse.

F Grande Dixence S. A., Lausanne.
9 Meßergebnisse.

Die 33 Totalisatoren der MZA wurden von unsern Beobachtern betreut, wobei die freundliche Mithilfe des Schweiz. Institutes für Schnee- und Lawinenforschung, Weißfluhjoch-Davos, noch besonders erwähnt sei. Allen diesen Beobachtern sowie den obgenannten Institutionen sei auch an dieser Stelle für ihre wertvolle Mitarbeit bestens gedankt.

H. Bernhard

Ergebnisse der Vergleichsstationen (Regenmeßstationen mit täglicher Beobachtung) für das hydrologische Jahr 1958/1959

Station	m ü.M.	Mittel 1901-1940	1. 10. 58-30. 9. 59	in % des Mittels
		mm	mm	
Suchetgebiet (Jura)				
Vallorbe-Reposoir	920	1510	1544	102
L'Abergement	645	1194	1022	86
Baulmes	660	1377	1225	89
L'Auberson	1102	1481	1274	86
Chasseron	1601	—	1628	—
Diableretsgebiet				
Les Diablerets	1157	1431	1351	94
Gsteig b. Saanen	1188	1320	1265	95
Mont-Blanc-, Monte-Rosa- und Simplongebiet				
Grand-St-Bernard	2479	2140	1901	89
Bourg-St-Pierre	1620	849	—	—
Hérémence	1205	—	576	—
Cleuson	2120	—	856	—
Dixence	2180	—	833	—
Zermatt	1610	704	—*	—
Saas-Fee	1785	858	719	84
Grächen	1617	563	528	94
Visp	650	636	530	83
Jungfrau- und Grimselgebiet				
Grimsel-Hospiz	1959	2070	1990	96
Guttannen	1058	1719	1584	92
Grindelwald	1040	1265	1142	90
Lauterbrunnen	790	1184	1034	87
Engstligenalp	1955	—	1687	—
Adelboden	1340	1332	1145	86
Kandersteg	1176	1149	1017	89
Oberwald	1370	1503	1205	80
Reckingen	1332	1094	878	80
Fiesch	1060	945	749	79
Kippel	1376	936	821	88
Leukerbad	1391	1047	1083	103
Montana	1453	840	768	91
Titlisgebiet				
Engelberg	1018	1568	1403	89
Gotthard-, Cristallina- und Maggiagebiet				
St. Gotthard	2095	2285	1967	86
Airolo	1170	1717	1173	68
Lago di Tremorgio	1849	1851	1296	70
Fusio	1280	1719	1236	72
Cevio	418	1776	1454	82
Bosco-Gurin	1510	1879	1659	88

Station	m ü.M.	Mittel 1901-1940	1. 10. 58-30. 9. 59	in % des Mittels
		mm	mm	
Greinagebiet				
Platta (Medels)	1378	1291	830	64
Disentis	1173	1241	932	75
Val	1208	1210	833	69
Surrhein	899	1137	840	74
Vrin	1148	1230	814	66
Olivone	930	1467	1070	73
Rhätisches Alpengebiet, Engadin und Silvretta				
Hinterrhein	1620	1732	1176	68
Splügen (Dorf)	1504	1456	977	67
Avers am Bach	1960	1009	757	75
Andeer	980	1012	695	69
Bivio	1770	1269	957	75
Savognin	1205	961	707	74
Preda	1769	1010	761	75
Soglio	1100	1394	934	67
Sils-Maria	1802	1037	708	68
St. Moritz	1833	935	518	55?
Bever	1712	879	578	66
Buffalora	1968	923	656	71
Susch	1430	737	523	71
Sta. Maria	1411	770	627	81
Klosters	1200	1282	1135	88
St. Antönien	1460	1376	1271	92
Davos-Platz	1561	999	773	77
Weißfluhjoch	2540	—	1042	—
Taminagebiet				
Vättis	956	1092	812	74
Bad Ragaz	518	1165	920	79
Tödigebiet				
Auen (Linthal)	815	1650	1516	92
Urnerboden	1350	1750	1415	81
Braunwald	1190	1870	1616	86
Säntis				
Säntis (Observatorium)	2500	3084	1889	61?
Gebiet des Hohen Randen				
Merishausen	524	941	962	102
Schleitheim	490	846	837	99
Lohn	643	873	887	102

* Zermatt: Stationsverlegung und mehrfacher Beobachterwechsel, dadurch unvollständige Messungen.

Die Niederschläge des Jahres 1959

Die Jahressummen der Niederschläge waren im Jahre 1959 im größten Teil der Schweiz kleiner als die langjährigen Mittelwerte. Über das Verhältnis beider Zahlen gibt die Tabelle: «Monats- und Jahressummen in Prozenten» Auskunft. Ihre Verteilung ist in der Niederschlagskarte Nr. 1, Tafel I, dargestellt. Das größte Defizit von nahezu 40 % findet sich in Graubünden. Für einige Stationen im Einzugsgebiet des Vorder- und Hinterrheins stellen die Ergebnisse das Minimum seit Beginn der Messungen (1892) dar. Auch auf den übrigen Stationen dieses Gebiets sind die diesjährigen Beträge nur ein- bis dreimal übertroffen worden, je nach Station in den Jahren 1893, 1921, 1941 bis 1943, 1949. Frühere Jahre mit Minimalwerten (seit 1864) sind 1884 und 1887. In diesen Jahren befand sich das Minimum der räumlichen Verteilung meist auf der Südseite der Alpen. Leichte Überschüsse sind 1959 im Kanton Schaffhausen und am unteren Bodensee, im Genferseegebiet, strichweise im Wallis und am Alpensüdfuß zu verzeichnen.

Niederschlagsreiche Monate waren der *Januar* für die ganze Alpennordseite und das Wallis, der *März* für die Westschweiz und das Südtessin, der *April* für die Westschweiz und das Wallis, der *Oktober* für die Nordostschweiz, der *November* für die Alpensüdseite und der *Dezember* für den größten Teil der Schweiz.

Ungewöhnlich niederschlagsarm war fast überall der *Februar* und der *September*. Die Beträge lagen durchschnittlich unter 30 % des normalen Monatswertes. Genf und Lausanne u. a. haben im *Februar* überhaupt keinen Niederschlag erhalten. Auch der *Mai*, der *Juli* und der *August* waren fast überall zu trocken. Im übrigen hat auf der Alpensüdseite und in Mittelbünden der *Januar*, auf der Alpennordseite der *November* ein Defizit zu verzeichnen. Näheres über den Wetterablauf wird im Artikel: «Übersicht über den Witterungsverlauf im Jahre 1959» im Anhang Nr. 1 der Annalen 1959 der MZA gesagt.

Einzelne bemerkenswerte Niederschläge

6. Januar

An diesem Tage verursachte ein Warmlufteinbruch vom Atlantik her größere Niederschläge einerseits im Neuenburger und Berner Jura, vorwiegend 20 bis 30 mm (St-Sulpice 42 mm, Evilard 41), anderseits im Gebiet der Kantone Schwyz, Glarus und Zürich sowie im Toggenburg, meist 25 bis 35 mm (Innertal 38 mm, Elm 35, Ebnat 39, Dußnang 39). Ein eigenartiges Maximum liegt ferner auf der Südseite der Berner Alpen (Leukerbad 57 mm, Kippel 46). Die Warmfrontniederschläge dauerten in Zürich von 9 h bis 12½ h. Die Warmfront passierte etwa um 12 h. Der Temperaturanstieg betrug in Zürich 7 Grad, in der Höhe etwas mehr. Die vorausgehende Kaltluft war schon in der Zeit vom 3. zum 5. Januar, auf der Rückseite einer über Nordeuropa zentrierten Depression in den Kontinent eingedrungen.

14. Januar

Ein ganz ähnlicher Fall ereignete sich am 14. Januar. Die Niederschlagsverteilung dieses Tages ist in der Regenkarte Nr. 2 dargestellt. Die Hauptniederschlagszonen lagen einerseits über der Nordwestseite des Jura (St-Sulpice 34 mm), anderseits über der Nordostschweiz nordöstlich der Limmat. Wieder liegt ein schwaches Maximum auf der Südseite der Berner Alpen. Die Wetterlage vor der Störung ist charakterisiert durch ein starkes Tiefdruckgebiet in der Isohypsenkarte der 500-Millibarfläche (Höhenkarte), dessen Zentrum über der Ostsee liegt. An den Vortagen war von Nordwesten her kalte Luft in den Kontinent eingedrungen. Die Höhenströmung über Frankreich kam aus Nordwest. In ihr liegt auch die Luftmassengrenze (Frontalzone) zwischen der genannten kalten Luftmasse und der neuerdings vom Atlantik her über Südfrankreich und Spanien ostwärts vordringenden warmen Luft. Sie wird durch eine Tiefdruckrinne gesteuert, welche (am Boden) vom Biscayagolf bis in den Raum südwestlich von Grönland reicht. Der Vorstoß der warmen Luft machte sich durch starken Druckfall über dem Mittelmeerraum bemerkbar. Die Station Säntis verzeichnete einen langsamen Temperaturanstieg. Auf der erwähnten Frontalzone haben sich offenbar Wirbel gebildet, die zwar in der Folge, wegen der Störung durch die Alpen, in der Bodenkarte nicht mehr identifiziert werden können. Sie machen sich jedoch in unseren Registrierungen durch zwei Temperaturstufen von 3 bzw. 6 Grad (steigend) bemerkbar, die mit dem Höhenwindmaximum (Säntis) zusammenfallen und denen Niederschläge vorausgingen, die offenbar als Warmfrontniederschläge anzusehen sind. Die erste dieser Störungen passierte die Nordostschweiz um zirka 13 h des 14. Januar (schwache Niederschläge von zirka 3 bis 9 h), die zweite um 1 h des 15. Januar (Niederschläge von 17 h bis 1¼ h des 15. Januar). Diese Störungen waren immerhin noch in der 850-Millibarhöhenkarte als selbständige Depressionen zu erkennen. Der zweiten folgte ein starker Druckanstieg am Boden. Der Kaltlufteinbruch trat erst später ein.

Der oben besprochene Fall vom 6. Januar zeigt prinzipiell dieselbe Ausgangslage, obwohl die Bodenkarte etwas anders aussieht. Als analoger Fall sei im übrigen noch der 6. und 7. Februar des Vorjahres (1958) erwähnt. In allen Fällen erfolgt die Erwärmung in der Höhe schon am Vortag, während bzw. nach den Niederschlägen nur in den unteren Luftschichten.

6. und 7. März

Am 6. März hat hauptsächlich der Westzipfel unseres Landes Niederschläge erhalten (vergl. die Regenkarte Nr. 3). Mehr als 30 mm sind westlich der Linie La Chaux-de-Fonds—Neuchâtel—Montreux gefallen. Das Maximum liegt über dem südwestlichen Genfersee (Nyon 63 mm, Céligny 66, Cointrin 59). Ein weiteres Niederschlagsgebiet befindet sich auf der Südseite der Alpen. Sein Maximum liegt im Südtessin (Locarno 32 mm, Crana Torricella 78, Lugano 41). Dagegen sind der Nordhang der Alpen und teilweise auch das Wallis trocken geblieben.

Die Ergebnisse vom 7. März sind kleiner und gleichmäßiger verteilt. Außer der Alpensüdseite hat nun hauptsächlich die Nordostschweiz größere Niederschlagsmengen zu verzeichnen, das Gebiet der Kantone Schwyz, Glarus und Appenzell, das Toggenburg und das Zürcher Oberland etwa 20 bis 30 mm.

Die Morgenwetterkarte (7 h) des 6. März läßt eine tiefe Depression mit meridionaler Axe erkennen, deren Zentrum westlich von Irland liegt. Eine quasistationäre Front verläuft um diese Zeit etwa über Gibraltar—Toulouse—Paris—Brüssel—Berlin—Oslo. Längs dieser Front wandern einzelne Wellen ziemlich rasch nordostwärts. Die Kaltfront einer ersten Welle, deren Scheitel um 7 h etwa über Brüssel lag, erreichte die Westschweiz um etwa 12 h. Sie verursachte die Niederschläge vom 6. März. Diese begannen in der Westschweiz um etwa 11 h des 6. und dauerten hier bis in die Abendstunden des 7. März.

Dagegen setzten die Niederschläge in der Nordostschweiz erst um die Mittagszeit des 7. ein. Die kalte Luft vermochte nämlich zuerst nicht nach der Nordostschweiz vorzudringen, weil die nächste, von Südwesten heraufziehende Welle sich in der Nacht vom 6. zum 7. über dem westlichen Mittelmeer zu einem selbständigen Tief entwickelte. Dieses wanderte zunächst nach der Poebene. Die Niederschläge vom 7. März knüpfen sich an den Rückseitekaltlufteinbruch dieser zweiten Welle, die sich auf der 1-h-Karte des 8. März als Tiefdruckrinne über Norditalien, Österreich, Böhmen abzeichnet, während das britische Haupttief sich inzwischen ausgefüllt hat.

Der Kaltlufteinbruch begann in Zürich um die Mittagszeit. Die Niederschläge fielen hier hauptsächlich zwischen 7 h des 7. und 4 h des 8. März. Der Temperaturrückgang betrug bis in Höhen von 10 km etwa 5 bis 7 Grad. Die Schneegrenze sank auf zirka 900 m über Meer herunter.

18. und 19. April

Es handelt sich um die Niederschläge einer typischen Staulage. Wie die Regenkarte Nr. 4 zeigt, entfällt das Hauptniederschlagsgebiet am 18. auf die nordseitige Voralpenzone. Gebiete, in denen mehr als 40 mm Niederschlag gefallen ist, liegen in den Freiburger Alpen (Gauglera 46 mm) und über dem Vierwaldstätter- und Zugersee (Luzern 43 mm, Stans 48, Weggis 59, Rigikulm 71, Schwyz 47, Zug 41). Auch im Alpengebiet der Nordostschweiz sind noch Beträge von über 30 mm gefallen.

Am 19. April ist diese letzterwähnte Zone bevorzugt (Innerwägital 43 mm, Starkenbach 47, Urnäsch 44, Teufen 52, dagegen Säntis nur 38 mm). An beiden Tagen blieb der größte Teil des Wallis, der Kanton Tessin und das Puschlav, am 19. auch das Engadin, niederschlagsfrei.

Die Bodenwetterkarte vom 18. April 1 h zeigt ein breites, flaches Tiefdruckgebiet, das sich vom Mittelmeer, wo sich das Minimum befindet, über Polen, Rußland nordostwärts erstreckt. Das Minimum bei Triest wird in der Folge in dieser Richtung wandern. Im 500-Millibarniveau (5500 m) liegt das Druckminimum am 18. um 1 h bei Sardinien.

Die Verhältnisse waren keineswegs einfach. Wir schildern den Verlauf auf der repräsentativen Station Altdorf: Eine erste Regenperiode beginnt hier (nach kleinen Vorläufern) am 18. April um 17 h, gleichzeitig mit einem langsamen Druckanstieg. Nach kurzer Unterbrechung setzen die Niederschläge am 19. um 4 h erneut ein, wieder gleichzeitig mit einem weiteren Druckanstieg (etwa 1 Millibar pro Stunde), der bis in die Mittagszeit des Nachtages (20.) dauert, während die Niederschläge um 15 h bereits aufhören. Während des größten Teils dieser Perioden ist keine Temperaturänderung festzustellen. Ein Temperaturfall erfolgt erst zwischen 14 h und 22 h des 19. April. Andere Stationen zeigen dieselben Züge, jedoch mit beträchtlichen zeitlichen Verschiebungen bezügl. Temperaturänderung und Regenfall. Die Hochstationen Säntis und Gotthard registrieren meist Nordwind, am Vormittag des 19. zeitweise Ostwind. Was eigentlich vorgeht, erkennt man deutlicher aus den Karten. Wir verzichten auf Zeitangaben und erwähnen nur folgendes:

Vom 17. zum 18. war Westeuropa noch mit Warmluft aus NNE bis E versorgt worden. Im Laufe des 18. dringt nun eine weit kältere Luftmasse polaren Ursprungs direkt über Großbritannien zunächst in Westfrankreich ein, was sich auch in der Höhenkarte durch ein von Schottland her über Südostfrankreich ins Mittelmeer wanderndes Teiltief abzeichnet. Die obigen Niederschläge sind zunächst als Aufgleitniederschläge der östlichen Warmluft (Ostwind in der Höhe am Vormittag des 19.) anzusehen. Das Mittelmeertief wandert in der Folge im Osten der Alpen vorbei nordwärts und erzeugt daher zeitweise längs der Alpen auf deren Nordseite westliche Bodenwinde (gleichzeitig mit dem Ostwind auf den Hochstationen). Dadurch dringt die kalte Luft zuerst in den unteren Schichten längs der Alpen nach Osten vor; daher die erwähnte Abkühlung ab 14 h des 19. Jedoch ist das Ausbleiben der Niederschläge gerade während der Abkühlung bemerkenswert. Nach dem Höhenaufstieg von Payerne vom 19. April um 12 h ist die obere Grenze der einbrechenden kalten Luft in 3500 m Höhe durch eine Inversion gekennzeichnet; darüber findet starke Abtrocknung durch Abgleiten statt.

Am 20. April liegt das Bodentief um 1 h westlich von Moskau, das Höhentief über der südlichen Ostsee und ein Höhenteiltief noch bei Sardinien. Die Höhenwinde wehen über den Alpen aus Nordwest, in den Alpentälern beider Seiten aus Nord, in der Westschweiz zunehmend aus Nordost.

Ähnliche Fälle der letzten Jahre sind die folgenden: 13. Juni 1946, 17. Mai 1954, 11. Juli 1596, 15. April 1958, 10. Juni 1958.

29. und 30. April, 1. Mai

An diesen Tagen wanderte eine Depression, vom Atlantik her kommend, dem 45sten Parallelkreis folgend,

Einzelne bemerkenswerte Niederschläge 1959
Quelques précipitations importantes en 1959

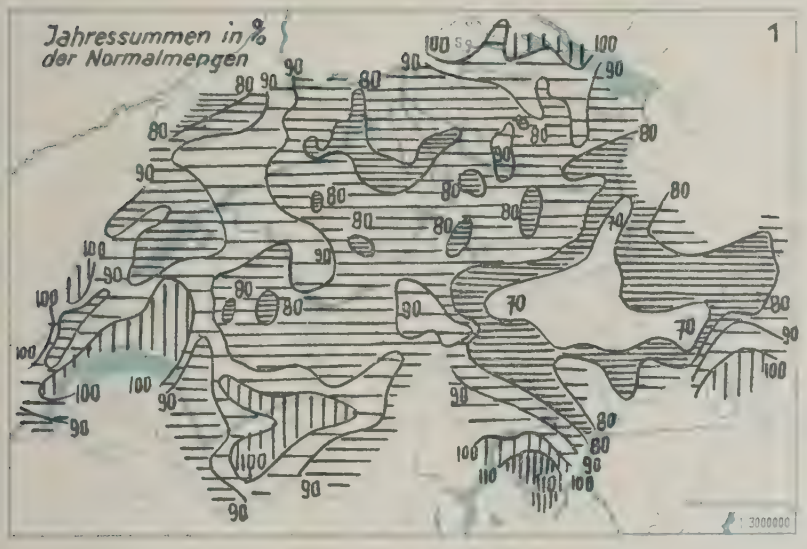

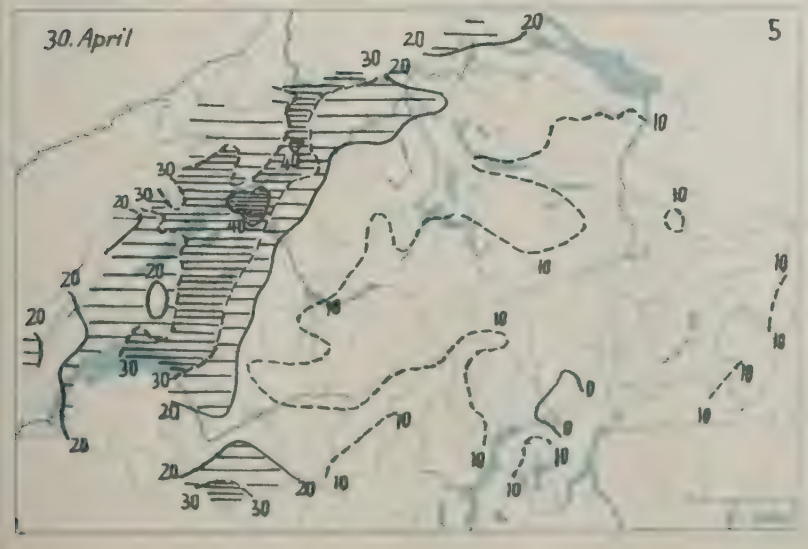

Einzelne bemerkenswerte Niederschläge 1959

Quelques précipitations importantes en 1959

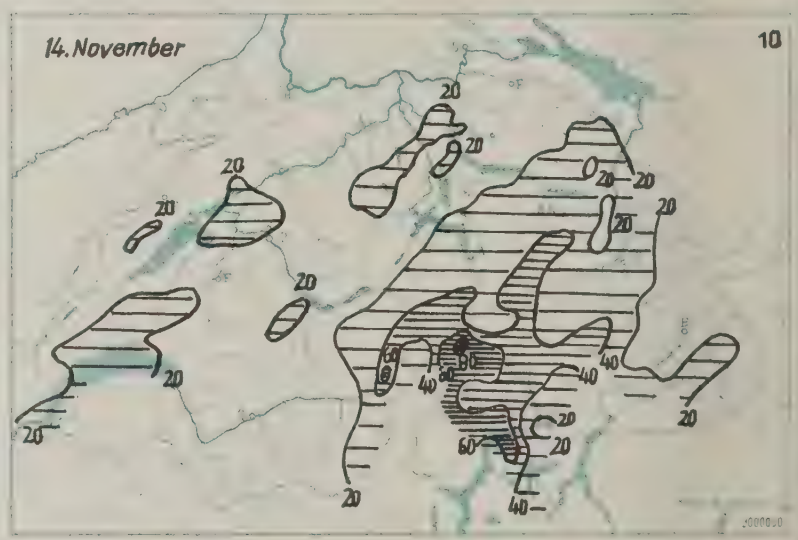

ostwärts direkt über die Alpen hinweg. Sie hatte sich anfänglich als selbständige Zyklone auf dem Westatlantik gebildet, unterlag dann aber der Steuerung durch eine hochreichende Zentraldepression, die im Raum Schottland—Island zentriert war. Am 29. April erscheint sie über Südwestfrankreich. Sie verursachte zunächst eine starke Südströmung über den Alpen, in Altdorf stürmischen Föhn zwischen 9 h des 29. und 4 h des 30. April, auf der Südseite der Alpen typische Föhnniederschläge.

Das Maximum der Niederschlagsverteilung liegt daher am 29. April über dem Südwesten des Kantons Tessin (Camedo 123 mm, Brissago 125 mm, Fescoggia 130, Ponte Tresa 104). Mehr als 40 mm hat außer dem ganzen Kanton Tessin noch das Misox und das Oberwallis mit dem Saasertal (Saas-Fee 57 mm) erhalten. Erwähnt seien ferner: Vicosoprano 45 mm, Bernina 67. Die Nordostschweiz blieb trocken.

Ostwärts über die Alpen hinwegwandernd, spaltete sich nun die Zyklone in zwei Teildepressionen nördlich und südlich der Alpen auf. Das Minimum des Luftdrucks wurde in Zürich um 22½ h des 29. erreicht. Zwei Stunden später beginnen in Altdorf die Niederschläge, die den Föhnzusammenbruch begleiten. Ungefähr um 9 h des 30. April zeigen unsere Hochstationen eine Winddrehung von SE nach NE mit Abflauen des Windes an. Die Schweiz gelangt nun in den rückseitigen Teil der Zyklone.

Die Niederschläge waren am 30. April, wie die Regenkarte Nr. 5 zeigt, nur in der Westschweiz erheblich. Hier erstreckt sich die Zone mit Beträgen von 30 bis 45 mm Niederschlag vom oberen Genfersee über das Gebiet des Kantons Freiburg westlich der Saane (Freiburg 36 mm), dann über das bernische Seeland (Aarberg 42 mm), das St. Immertal (Courtelary 34 mm) bis gegen Basel (32 mm). Diese Zone ist nicht durch eine zeitliche Verschiebung bedingt, sondern schon in der der Verteilung vom Vortag angedeutet. Die Niederschläge fielen mit Unterbrechungen. Von 15 h des 30. April bis um 8 h des 1. Mai ist in Altdorf, von 18 h bis 3 h in Zürich kein Niederschlag gefallen. Dies scheint zunächst verwunderlich. Es sei jedoch bemerkt, daß die beiden Depressionen erst am Morgen des 1. Mai nördlich und südlich der Ostalpen erscheinen, wobei erstere auf der Alpennordseite, in den unteren Schichten Westwind erzeugt. Im Zwischenhoch müssen Divergenzwirkungen auftreten. Ein selbständiges Höhentief hatte sich über Italien abgespalten. Es hatte über der Schweiz nordöstliche Winde zur Folge und bedeutet überdies, daß der größte Teil der kalten Luft aus Norden ins westliche Mittelmeer abgeflossen ist.

Rückseiteniederschläge beginnen erst am 1. Mai, in Altdorf um 8 h, in Zürich um 3 h. Die Regenverteilung dieses Tages ist in Regenkarte Nr. 6 dargestellt. Hauptniederschlagszone ist das Alpengebiet der Nordostschweiz. Es wurde gemessen auf den Stationen: Säntis 93 mm, Altstätten 119, Heiden 105, Seewis 76, Klosters 74. Um die Mittagszeit des 1. Mai sind aus der Walenseegegend Gewitter gemeldet worden. Mehr als 40 mm haben erhalten: das ganze Gebiet der Kantone St. Gallen und Appenzell, das Zürcher Oberland, das Quellgebiet der Sihl (Oberiberg 51 mm), das Wägital (Innertal 61 mm), das Klöntal und das Sernftal (Elm 43 mm), ferner Nordostgraubünden. Das Prätigau hat mehr als 60 mm zu verzeichnen (Seewis 76 mm, Klosters 74, Arosa 97, Marmorera 50). Die Alpensüdseite blieb an diesem Tage trocken. Es kann nun von einer Staulage gesprochen werden. Es sei noch bemerkt, daß die Temperatur während der ganzen dreitägigen Periode nur wenige Grad gefallen ist und zwar fast ausschließlich am 30. April. Die kalte Luft vermochte die Alpennordseite auch deswegen nur zum Teil erreichen, weil inzwischen eine neue Störung von Nordwesten heranrückte, die sich zwar in den Bodenisobaren wenig abzeichnete, aber einen ausgesprochenen Höhentrog aufweist.

7. Juni 1959

Die Niederschlagsverteilung dieses Tages ist in der Regenkarte Nr. 7 dargestellt. Es fällt vor allem die scharf begrenzte, etwa 30 km breite Zone mit 30 bis 70 mm unmittelbar am Nordfuß der Alpen auf. Ihre Axe ist etwa bezeichnet durch die Stationen: Schwarzenburg 52 mm, Belp 43, Großhöchstetten 63, Luthern 59, Werthenstein (Entlebuch) 64, Küßnacht (a. Rigi) 58, Sihlbrugg 105. Ein weiteres Gebiet großer Niederschläge (40 bis 100 mm) stellen die Kantone: Appenzell, Thurgau und die Westhälfte des Kantons Schaffhausen dar [Befang (Hundwil) 98 mm, St. Gallen 77, Heiden 82, Weinfelden 72, Frauenfeld 93, Andelfingen 50, Hallau 52].

Es handelt sich in der Hauptsache um Gewitterniederschläge, ausgelöst durch die Passage eines flachen Nordsüdtroges. In der Karte der 500-Millibarfläche war er schon am 5. Juni vor der portugisischen und irischen Küste als scharfer Höhentrog sichtbar, der aus unbestimmten Anfängen über dem Atlantik entstanden war. Er wanderte langsam ostwärts und erstreckt sich am 7., um 1 h, von Island her über den St. Georgskanal und den Golf von Biscaya nach dem westlichen Mittelmeer, wo sich ein selbständiges Höhentief abgespalten hatte. Die 1-h-Bodenwetterkarte dieses Tages zeigt einen flachen Tiefdrucksattel zwischen dem Atlantikhoch und einem osteuropäischen Hochdruckgebiet gerade über der Schweiz. Die Niederschläge beginnen mit Gewitterstörungen, die um 13 h in der Westschweiz, in den Abendstunden im Nordosten des Landes ausbrechen. In Zürich fiel die Hälfte (= 22 mm) während eines Gewitters, von 19.40 h bis 20.40 h. Der Frontcharakter war aber nur wenig ausgeprägt. In Zürich stieg die mittlere Windstärke nicht über 10 km/h (Böenspitze 11.5 m/s), auf dem Säntis (zunächst Süd, ab 12 h Nord bis Ost) nicht über 20 km/h. Der Temperaturrückgang betrug (nach vorausgehender Erwärmung) bis in Höhen von etwa 6000 m etwa 4 Grad. Nachher regnete es weiter, in Zürich bis um 6½ h des Nachtages.

Die Bodenwetterkarte des 8. Juni (Nachtag) zeigt, daß sich über Frankreich eine ziemlich kräftige Hochdrucknase des Atlantikhochs entwickelt hat. In Zürich war lediglich von 19 bis 22 h eine Druckstufe von 3 mm registriert worden. Demnach herrschte in Westeuropa, in den tiefen Luftschichten Nordwind. Anderseits lag die Höhentroglinie noch über Mittelfrankreich. Dementsprechend finden wir eine Regenzone über Ostfrankreich (Saône) und der Schweiz.

Der Höhentrog wurde bald durch das Erscheinen eines neuen Frontsystems über Großbritannien (Tief zwischen Island und Schottland) undeutlich. Es kommt daher zu keiner hochreichenden Rückseite. So herrscht selbst auf dem Gotthard schon anhaltend Südwind. Dieser Auflösung ist, wenigstens teilweise die Beschränkung der Niederschläge auf den Alpensaum zu verdanken. Zwar regnete es am 8. Juni nach 7½ h strichweise weiter, besonders in den Voralpen. Die Beträge überschreiten aber nur sehr vereinzelt 10 mm und vermögen nicht, das charakteristische Bild der Verteilung noch wesentlich zu ändern. Die Bevorzugung der Voralpen vor dem innern Alpengebiet ist übrigens bei solchen, bei Nordstau ausgelösten Niederschlägen die Regel.

13. Juni

Das Hauptniederschlagsgebiet dieses Tages liegt in der Nordostschweiz. Im Zürcher Oberland und im Gebiet der Kantone St. Gallen und Appenzell sind Beträge von 30 bis 55 mm gefallen (Hinwil 48 mm, Nollen 42, Urnäsch 49, Walenstadt 53, Ragaz 41). Die Westschweiz, das Wallis und das Tessin blieben trocken.

Die Niederschläge sind verursacht worden durch eine Staulage mit Warmluftvorstoß aus Osten. Einige Tage vorher war vom Atlantik her kalte Luft in den Kontinent eingebrochen und hatte einen Vorstoß des Azorenhochs nach dem Kontinent bewirkt. Die Morgenwetterkarte vom 12. Juni zeigt daher ein großes Hochdruckgebiet über Großbritannien mit Ausläufer bis nach Skandinavien und ein Tiefdruckgebiet über dem Balkan. Im Alpengebiet hat sich eine Staulage entwickelt. In der Höhenkarte der 500-Millibarfläche war am 11. noch ein kräftiger Tiefdrucktrog von NNW her über Westdeutschland vorhanden. Am 12. hat sich davon bereits ein selbständiges Höhentief mit Zentrum über der Adria abgespalten, doch wehen über der Schweiz noch nordwestliche Höhenwinde. Schon am 11. und 12. sind ungefähr in der gleichen, oben bezeichneten Gegend einige Niederschläge gefallen. Für den 13. ist charakteristisch, daß sich durch den weiteren kontinentalen Druckanstieg in der Höhe über dem Alpengebiet nunmehr auch in der Höhe eine starke ausgesprochene Ostwestströmung entwickelt, welche warme Luft vom Innern des Kontinents her nach Westen verfrachtet, wobei dieser Vorstoß in der Schweiz Aufgleitniederschläge verursacht. Unsere Hochstatione zeigen von 12. bis zum 14. zunächst in der Höhe, dann auch in den tieferen Luftschichten eine Erwärmung von total (2 Tage) 8 Grad. In Zürich setzten die Niederschläge am 12. Juni um 13½ h ein und dauerten bis um zirka 5½ h des 14. Juni.

14./15. Juli

Die am 15. Juli um 7½ h gemessenen Niederschlagsmengen sind in der Regenkarte Nr. 8 dargestellt. Es treten mehrere Niederschlagsmaxima auf. Zunächst sind fast im ganzen Umkreis des Genfersees Beträge von 40 bis 70 mm gemessen worden, ferner 40 bis 50 mm (Rigi 67) in einer schmalen Zone, die sich von Lungern bis zum Rigi erstreckt. Ein weiteres lokales Maximum von 41 mm erscheint über Weesen und ein größeres über dem Südfuß der Alpen (Locarno-Monti 43 mm, Crana Torricella 77, Piandanazzo 101, Lugano 69). Es ist zu bemerken, daß hier eine zusammenhängende Niederschlagsperiode durch den erwähnten Meßtermin in zwei Teile geteilt wurde. Während die genannte Regenperiode in der Westschweiz, im Wallis und Tessin schon am Morgen des 15. zu Ende war, ergeben die Messungen am 16. um 7½ h für die Berner Alpen und das Alpengebiet der Zentral- und Nordostschweiz nochmals Beträge von 15 bis 30 mm, für Graubünden solche von 5 bis 20 mm.

Die Wetterlage war folgende: Am 12. war ein ziemlich kräftiges Tief über Schottland erschienen. Es steuerte Kaltluftmassen von Nordwesten her gegen den Kontinent. Die Bodenströmung war hier jedoch wegen der flachen Druckverteilung sehr schwach. Die Höhenwinde wehten über den Alpen schon seit mehreren Tagen aus Südwest. Eine nennenswerte Abkühlung trat zunächst nur auf der Nordflanke des flachen kontinentalen Hochdruckgebiets z. B. in Brest und Paris in den unteren Luftschichten auf. In Zürich war das Wetter am 14. noch fast den ganzen Tag sonnig; das Temperaturmaximum betrug 25 Grad. Im Alpengebiet traten am Nachmittag des 14. zahlreiche lokale Gewitter auf, die aber nur einen kleinen Beitrag an die genannten Niederschläge lieferten.

Am 14. um 7 h zeichnet sich über Ostspanien eine schwache Wellenstörung auf der Wetterkarte ab. Sie läßt sich in der Folge am Boden schwer identifizieren, zog aber offenbar mit der Höhenströmung nordostwärts. Am Morgen des 15. erscheint jedenfalls ein kräftiges Tief über der Poebene. Dieses begann nun die oben erwähnte kalte Luft gegen die Alpen zu steuern. Die zyklonale Isobarenkrümmung ist auch nördlich der Alpen deutlich. Das ursprüngliche schottische Tief hatte sich inzwischen nordostwärts entfernt, jedoch seinen ganzen Vorrat an kalter Luft zurückgelassen. Da ein Hochdruckgebiet über dem Atlantik lag und somit in Südfrankreich und der Schweiz ein westöstliches Druckgefälle herrschte, so bestand hier eine schwache Nordströmung am Boden und auch noch im Niveau von 1500 m. Diese südwärts gesteuerte kalte Luft löste durch Aufstauung an den Alpen neue Niederschläge in der vorausgehenden labil geschichteten warmen Luft aus. Die Hauptmenge der Niederschläge fiel in der Zentral- und Nordostschweiz eigentlich am 15., nämlich zwischen 3 h und 18 h dieses Tages. Sie setzten strichweise in Form von Starkregen ein. Gewitterstörungen wurden jedoch nur aus der Westschweiz gemeldet.

Während dieser Niederschlagsperiode wehte auf dem Säntis stürmischer Nordwestwind. In Zürich steigt von 3 h an auch der Luftdruck wieder an. Die Höhenkarte der 500-Millibarfläche läßt am 15. Juli um 1 h über Lyon ein kleines Höhentief erkennen, das 24 Stunden später über Norditalien liegt. Es hatte eine erhebliche Störung des Windfeldes zur Folge und steht mit den genannten Niederschlägen im Zusammenhang. Auffallend ist ferner ein Windsprung in Altdorf von SE (Föhn) nach N mit Abflauen um 7 h des 15. Er fällt in die Phase stärkster Niederschläge. Der Temperaturverlauf der Hochstationen zeigt eine Abkühlung von einem Maximum um 12 h des 14. bis zu einem Minimum um 8 h des 15. von total

11 Grad. Das Maximum ist aber vermutlich teilweise durch Einstrahlung bedingt. Ein Vergleich der aerologischen Sondierungen von Payern um 13 h des 14. bzw. 15. ergibt einen Temperaturrückgang von 7 Grad in 1500 m Höhe, von 4 Grad in 5000 m Höhe. Die geringen Niederschläge nach 7½ h des 15. fallen durchwegs bei nördlicher Höhenströmung. Sie hören in den Abendstunden auf.

Diese sommerlichen Kaltlufteinbrüche bei flacher Druckverteilung sind nicht selten. Ähnliche Niederschlagsverteilungen sind aber wegen der hohen Bedeutung der gewitterhaften Umlagerungsvorgänge und komplizierten Strömungsverhältnisse nicht zu erwarten.

27. Oktober

An diesem Tage hatte die Alpensüdseite große Niederschläge zu verzeichnen. Das Maximum liegt im Südwesttessin und ist bezeichnet durch die Stationen: Brissago (81 mm), Crana Torricella (83), Fescoggia (82), Ponte Tresa (87). Ferner ist zu erwähnen: Bernina (86 mm). Im übrigen Tessin, Misox, Bergell und Puschlav liegen die Beträge meist zwischen 45 und 70 mm (Lugano 59 mm, Locarno-Monti 52, Bellinzona 63, Airolo 65, Vicosoprano 61).

Die 7-h-Wetterkarte dieses Tages zeigt ein großes Tiefdruckgebiet im Nordwesten Europas mit Zentrum über der Nordsee östlich von Schottland, bei hohem Druck auf dem Atlantik. Der Warmsektor hat bereits die Bretagne überdeckt und erzeugt beim Vordringen gegen West- und Südwesteuropa starken Druckfall (bis 7 Millibar in 3 Stunden). Der Warmsektor okkludiert rasch, während das Depressionszentrum nordostwärts abwandert. Außerdem erkennt man ein weiteres Tief über dem Golfe du Lion, welches einen Warmluftvorstoß aus Süden hervorruft. Es war unabhängig von der Hauptdepression schon am 25. in der Gegend von Gibraltar vorhanden gewesen und nordostwärts gezogen. Anderseits spaltet sich in der Folge von der Hauptdepression im Okklusionspunkt ein zweites Teiltief ab, welches bald die Stelle des ersten einnimmt und den Warmluftstrom weiter unterhält. Am Nachtag um 1 h liegt es bei Marseille. Bei den obigen Niederschlägen handelt es sich teils um Föhnregen, teils um den Aufgleitregen der erwähnten Warmluft. Die Niederschläge dauerten auf der Alpensüdseite den ganzen Tag, in Locarno seit 3¾ h bis um 24 h (dann noch schwach). Während dieser Phase war der Luftdruck am Alpensüdfuß (Locarno) um 8 Millibar höher als am Alpennordfuß. Die Gotthardstation Gütsch meldet starken Südwind. Altdorf registriert Föhn von 10.50 h an bis abends. In Magadino wird das Temperaturmaximum um 7 h des Nachtages erreicht.

28. Oktober

An diesem Tage sind die Regenmengen bedeutend größer als am 27. (vergl. Regenkarte Nr. 9). Bevorzugt ist wieder die Südschweiz. Dazu tritt nun die Ostschweiz. Im Südwesten des Tessins wurden mehr als 60 mm gemessen (Camedo 115 mm, Brissago 101, Fescoggia 104), ebenso im Oberwallis (Fiesch 92 mm) und im Quellgebiet des Vorderrheins (Disentis 68 mm).

Das südliche Tief liegt um 7 h bei Nizza. In Altdorf setzte um 4.10 h NNW-wind ein. Auch Gütsch (Gotthard) meldet jetzt Nordwind. Der Druckunterschied zwischen der Nord- und Südseite der Alpen verschwindet um 5½ h. Die Niederschläge setzen in Zürich um 3 h ein. Im Intervall 3 bis 11 h findet auf unseren Hochstationen ein Temperaturrückgang von 10 Grad statt. Es liegt also ein Einbruch der kalten Rückseiteluft vor. Er tritt bald auch auf der Südseite der Alpen auf. Hier sind die Verhältnisse ziemlich kompliziert. Die Station Magadino verzeichnet einen Temperaturrückgang um 7 Grad zwischen 10 und 18 h bei starkem Ostwind. Das Tessin liegt an diesem Tage auf der Nordseite der nunmehr nach Norditalien ziehenden Depression. Die kalte Luft kommt daher hier aus Osten. Es muß angenommen werden, daß sie die Alpen überschritten hat. Der Luftdruck stieg dabei im Süden vorübergehend um 5 Millibar an (Maximum um 18 h). In Locarno setzen um 4¾ h neuerdings starke Niederschläge ein.

Der Gang des Luftdrucks zeigt dann am Nachtag (29. Oktober) etwa um 5 h ein neues, noch tieferes Minimum, so daß es aussieht, als ob zwei Depressionen einander gefolgt wären. Der Luftdruck ist nun am Alpensüdfuß (im gleichen Niveau) 7 Millibar tiefer als am Nordfuß. Am Nachmittag war der Temperaturrückgang nur noch gering.

29. Oktober

Bei den Niederschlägen vom 29. handelt es sich nur noch um Rückseitestauniederschläge. Sie beschränken sich daher auf die Alpennordseite, Nord- und Mittelbünden. Sie erreichen ein Maximum im Alpstein—Bodenseegebiet (Säntis 60 mm, Appenzell 47, Teufen 46, Altnau 46).

Die Wetterkarte von 7 h des 29. Oktober zeigt, daß sich das alte nördliche Zentrum weitgehend ausgefüllt und bereits gegen Spitzbergen verschoben hat. Von ihm aus erstreckt sich nun ein ausgesprochener Trog südwärts über das Baltikum und Ostdeutschland bis nach Norditalien, wo nun bei Genua das tiefste Minimum entstanden ist. Was die Druckverteilung im 500-Millibarniveau betrifft, so war am Morgen des 27. noch kaum eine Andeutung von einem Trog zu sehen. Jedenfalls herrschte über der Schweiz noch Westsüdwest- bis Westwind. An den folgenden Tagen entwickelte sich nun ein solcher entsprechend der entgegengesetzten Verlagerung der Bodendruckminima. Am Morgen des 29. erscheint er um etwa 15 Grad gegen den Bodentrog westwärts verschoben.

Damit hat sich offenbar eine typische Staulage entwickelt. Die Niederschläge hatten im Tessin um etwa 23 h des 28. aufgehört und am 30. kam es hier zu allgemeiner Aufhellung bei Nordföhn. Dagegen dauerten die Niederschläge auf der Alpennordseite, die am 28. um etwa 3 h eingesetzt hatten, den ganzen 28. und den ganzen 29. Oktober bis um etwa 9 h des Nachtages, fast ohne Unterbruch fort. Betrachten wir noch die Wetterkarte dieses Nachtages (30. Oktober). Die Höhenkarte zeigt nun eine sehr enge Tiefdruckrinne, deren Troglinie sich um 01 h mit dem 10ten Meridian deckt, also von der Westküste Norwe-

gens über Dänemark und den Bodensee bis nach Korsika reicht. Am Boden treten zwei Depressionen auf (um 7 h) über Südschweden einerseits über Italien anderseits. Das Atlantikhoch ist nach Frankreich vorgestoßen. Der Überdruck quer zu den Alpen beträgt aber zwischen Kloten und Magadino (red.) nur noch 4 Millibar.

14. und 15. November

Es handelt sich um einen ähnlichen Fall. Die Niederschlagsmengen beider Tage sind in den Regenkarten Nrn. 10 und 11 dargestellt. Am 14. entfällt das Maximum auf den Tessin. Hier sind fast überall, der Südosten ausgenommen, Beträge von mehr als 50 mm gefallen (Airolo 73 mm, Bosco-Gurin 62, Camedo 76, Locarno-Monti 54, Crana Torricella 86, Pontre Tresa 54, dagegen Lugano 28). Die Niederschläge sind ziemlich unregelmäßig verteilt. Auch in der Umgebung des Tessins wurde noch auf einigen Stationen der Betrag von 40 mm überschritten, so in Fiesch (57 mm), Gurtnellen (46), Disentis (51), Elm (47), Andeer (41).

Am 15. erscheint das Hauptniederschlagsgebiet nach Graubünden verschoben; das Tessin tritt zurück. Im Kanton Glarus ist jedoch nochmals ebensoviel Niederschlag gefallen wie am Vortag, so daß die vom Tessin bis zum Walensee reichende Zone als Hauptregengebiet der gesamten Periode erscheint (Vrin 45 mm, Klosters 41, Schuls 45, Sta. Maria 65, Elm 46, Disentis 37).

Die 7-h-Wetterkarte vom 14. November zeigt wieder ein Tief über Großbritannien, das sich auf dem Atlantik entwickelt hatte. Sein Warmsektor ist nach der Überquerung Westeuropas schon weitgehend okkludiert. Die Niederschläge im Tessin haben schon an den Vortagen begonnen und sind zunächst als Föhnregen aufzufassen. Am 14. wehte noch vorwiegend Südwind in den Alpen; doch vermochte der Föhn nicht bis in die unteren Täler hinabzudringen. Der Hauptteil der Niederschläge auf der Alpensüdseite ebenso wie diejenigen der -nordseite stehen wieder in Verbindung mit der Kaltfrontpassage bzw. dem Windwechsel. Um 16 h verschwand der Druckunterschied zwischen Kloten und Magadino (red. auf gleiches Niveau). In diesem Zeitpunkt beginnen auch die Niederschläge auf der Alpennordseite und der Temperaturrückgang, der bis um 4 h des Nachtages dauert und etwa 7 Grad beträgt.

Am Okklusionspunkt des Frontensystems der obenerwähnten Depression beginnt sich bereits am 14. über den Pyrenäen eine Randzyklone zu bilden, die sich rasch vertieft und ostwärts wandert. Auf der 7-h-Karte des 15. erscheint sie über dem Golf von Genua. Sie erweist sich als ziemlich aktiv und weist ein ausgedehntes Regengebiet auf, das sich auch über Süddeutschland erstreckt und dem die Niederschläge in Graubünden angehören. Sie wandert übrigens in der Folge nordostwärts über die Ostalpen hinüber, d. h. das Tief im Süden füllt sich allmählich auf und es entsteht ein neues über Süddeutschland. Das Minimum des Barogramms wurde im Tessin etwa um 20 h durchlaufen. Am Nachtag wehte auf der Alpennordseite Westwind, verursacht durch den neuen Tiefdruckausläufer über Deutschland.

23. Dezember

Die Niederschlagsverteilung dieses Tages ist in der Regenkarte Nr. 12 dargestellt. Das ganze Mittelland und der Südwestjura haben mehr als 20 mm, die westliche Zentralschweiz, die Westschweiz und das Unterwallis mehr als 30, strichweise mehr als 50 mm erhalten. Das Kerngebiet liegt bei Lausanne: Marcellin sur Morges 56 mm, Lausanne 53, Vevey 44, Château d'Œx 45, Fribourg 42, Belp 42. Am Alpensüdfuß wurden noch örtlich 30 mm erreicht. Sonst sind die Ergebnisse in der Süd- und Ostschweiz meist kleiner als 10 mm.

Die 7-h-Wetterkarte vom 23. Dezember läßt eine ausgedehnte Depression im Nordwesten erkennen, deren Minimum (953 Millibar) westlich von Schottland über dem 13. Längengrad liegt. Sie ist schon weitgehend okkludiert, und zwar verläuft die Okklusion um die genannte Zeit zunächst ostwärts etwa über die Shetland-Inseln, dann Dänemark, Hamburg, Frankfurt, Jura, Bayonne, Lissabon. Sie vermochte die Alpen zunächst nicht zu überschreiten, sondern blieb am Alpennordfuß stationär. Ihrem Regengebiet, das sich längs der ganzen Störungslinie erstreckt, gehören auch die Niederschläge in der Schweiz an. Hier beobachtet man zunächst einen Temperaturanstieg, auf dem Säntis zwischen 18 h des Vortags und 3 h, um 7 Grad, in den Niederungen einige Stunden später, das ist im allgemeinen vor Beginn der Niederschläge. Nachher folgt ein allmählicher Rückgang um etwa 3 Grad. Es sei bemerkt, daß die Kaltluft hinter der Okklusionsfront am Boden wärmer war als davor. Von wesentlicher Bedeutung ist die Entwicklung eines Randtiefs am Okklusionspunkt. Dieser dürfte um 7 h über den Pyrenäen liegen. Jedenfalls beginnt sich dort ein Randtief zu bilden, das sich bis zum Nachtag sehr stark entwickelte und nach Norditalien wanderte. Um 12 h verursachte es in Südfrankreich bei südlichen Winden (in der bodennahen Schicht) ein ausgedehntes Gebiet beträchtlicher Niederschläge. Das schweizerische ist ein Ausläufer davon. Daß die Niederschläge hauptsächlich in den Niederungen fallen, deutet auf ein niedriges Kondensationsniveau. Tatsächlich war in Südfrankreich die Kaltluftschicht sicher sehr niedrig oder zeitweise gar nicht vorhanden (Warmsektor). Die Warmfront läßt sich nur schwer genau lokalisieren. Im übrigen wehte über den Alpen in 5500 m Höhe starker Westsüdwestwind, auf dem Alpenkamm südliche Winde, so daß vermutlich im Bereich des Alpennordhangs zeitweise föhnartige Effekte auftraten.

Um 7 h des Nachtages (24.) liegt das Randtief über dem Golf von Genua, die Warmfront vor der Westküste Italiens. Hiermit flaut auch der Wind in der Schweiz ab, und etwa um 3 h hören die Niederschläge in der Westschweiz, um 7 h in der Nordostschweiz auf. In der letzten Phase hatten sie Schauercharakter angenommen, was offenbar damit zusammenhängt, daß nun auch die Kaltluft der Rückseite die Alpen zu überschreiten beginnt. Der Temperaturrückgang war aber gering.

M. Grütter

Meteorologische und Regenmess-Stationen der Schweiz

1959/60

Stations météorologiques et pluviométriques de la Suisse

6° östlich Greenwich
7°
8°
9°
10°
47°
46°
Aéroport Bâle-Mulhouse (France)
Basel
Binningen
Rheinfelden
Mumpf
Laufenburg
Bexnau
Augst
Neue Welt
Breitenhof
Frick
Thermil
Arisdorf
Wintersingen
Brugg
Bötzberg
Metzerlen
Aesch
Pfeffingen
Liestal
Wittnau
Grellingen
Seewen
Böckten
Kilchberg
Schinznach
Lampenb.
Bennwil
Barmelweid
Mormont
Outremont
Eptingen
Aarau
Fahy
Reigoldswil
Delémont
Merveliер
Waldenburg
Olten
Langenbruch
Allerheiligenb.
Balsthal
Köllihen
Zofingen
Moutier
Herbetswil
Saignelégier
Bellelay
Weissenstein
St. Urban
Solothurn
Herzogenbuchsee
Courtelary
Mont-Soleil
Evilard
Biel
Gerlafingen
Wauwilermoos
La Chaux-de-Fonds
Oeschberg
Les Brenets
Cernier
Chaumont
Le Locle
Aarberg
Burgdorf
Affoltern
Luthern
Werthenstein
Neuchâtel
Hauterive
Wahlendorf
Riedbad
Wasen
Entlebuch
Kurzeneialp
La Brévine
Les Ponts
Witzwil
Combe Garot
Grandchamp
Areuse
Kerzers
Bern
Langnau
St-Sulpice
Couvet
Grosshöchstetten
Escholzmatt
Greng
Avenches
Belp
Chasseron
La Frétaz
L'Auberson
Baulmes
Payerne
Fribourg
Schwarzenburg
Schwarzenegg
Marbach
Yverdon
L'Abergement
Valeyres
Bochux
Vallorbe-Le-V.
Thierrens
Gauglera
La Roche
Corcelles
Romont
Moudon
Le Pont
Rossenges
La Valsainte
Marsens
Jaun
Boltigen
Echallens
Le Sentier
Cossonay
Grimmialp
Frutigen
Kienthal
Heiligenschwendi
Thun
Beatenberg
Interlaken
Wimmis
Hondrich
Lauterbrunnen
Grindelwald
Kleine Scheidegg
Grimsel
Andermatt
Brienz
Lungern
Meiringen
Gadmen
Gurtnellen
Disentis
Surrhein
Val
Safienplatz
Thusis
Lenzerheide
Nisellas
Filisur
Vrin
Vals
Andeer
Savognin
Preda
Bever
Splügen
Marmorera
Hinterrhein
Inner-Ferrera
St. Moritz
Bivio
San Bernardino
Avers a. Bach
Sils-Maria
Bernina-Hospix
Braita
Cavaglia
Robbia
Miralago
Brusio
Campocologno
Tschiertschen
Arosa
Tomils
Davos
Susch
Zernez
Buffalora
Sta Maria
Schuls
Martina
Klosters
Chur
Weissfluhjoch
Plantahof
Schiers
Seewis
St. Antönien
Weisstannen
Hagax
Schuders
Elm
Vättis
Linthal
Auen
Braunwald
Muotathal
Stans
Pilatus
Bürgenstock
Weggis
Schwyz
Sarnen
Isenthal
Altdorf
Urnerboden
Limmern
Flims
Panix
Engelberg
Melchtal
Fluhli
Schwarzenegg
Marbach
Guttannen
Göschenen
Gütsch
Sedrun
Platta
Andermatt
Furka
St. Gotthard
Oberwald
Airolo
Olivone
Lago di Tremorgio
Fusio
Lavorgo
Comprovasco
Reckingen
Fiesch
Binn
Simplon-Bleike
Gurtnellen
Wangi
Affeltrangen
Arbon
Rorschach
Heiden
Widnau
Altstätten
Schwäbrig
Appenzell
Urnäsch
Ebnat
Säntis
Haag
Wildhaus
Starkenbach
Walenstadtberg
Vaduz
Weesen
Walenstadt
Seeelen
Sargans
Glarus
Klönthal
Oberiberg
Einsiedeln
Innerthal
Obstalden
Morgarten
Sattel
Rigi-Kulm
Rigi-Kaltbad
Walchwil
Küssnacht
Luzern
Ruswil
Zug
Lorzetobel
Sihlsee
Rempen
Vorderthal
Unterägeri
Senpach
Beromünster
Cham
Schönenberg
Siebnen
Schänis
Lachen
Wädenswil
Sihlbrugg
Meilen
Stäfa
Männedorf
Wald
Rapperswil
Horgen
Küsnacht
Zollikon
Uster
Bauma
Wetzikon
Hinwil
Bachtel
Pfannenstiel
Arni
Wollishofen
Seengen
Wohlen
Meltmenstetten
Aesch
Inter-Kulm
Muri
Balsthal
Herzogenbuchsee
Oberkirch
Kirchen
Degersheim
St. Peterzell
Hefang
Herisau
Stein
Teufen
Pfäffikon
Sternenberg
Strickhof
Effretikon
Oerlikon
Altstetten
Dübendorf
Dietlikon
Wangen
Affoltern
Kloten
Kolbrunn
Rüssnang
Flawil
St. Gallen
Widnau
Bischofszell
Hosenruck
Aadorf
Eschlikon
Dielsdorf
Otelfing
Bülach
Winterthur
Oberweningen
Kaiserstuhl
Flaach
Frauenfeld
Thundorf
Sulgen
Amriswil
Weinfelden
Müllheim
Altnau
Illhart
Eschenz
Diessenhofen
Steckborn
Ermatingen
Kreuzlingen
Haidenhaus
Hallau
Buch
Schaffhausen
Thayngen
Lohn
Merishausen
Schleitheim
Wilchingen
Ramsen
Andelfingen
Niederneunforn
N. Rheinau
Kalchrain
Wil
Ulkirch
Courgenay
Bonfol
Cornol
Fontenais
Porrentruy
Boncourt
Delle
Beaucourt
Grandvillars
Montbéliard
Audincourt
Belfort
Pontarlier
Les Verrières
Ste Croix
Vallorbe
Orbe
Yverdon
Grandson
Neuchâtel
Chaumont
Les Brenets
Le Locle
La Chaux-de-Fonds
Biel
Mont-Soleil
Courtelary
Herzogenbuchsee
Solothurn
Weissenstein
Delémont
Moutier
Saignelégier
Bellelay

Ergebnisse der Registrierungen der Sonnenscheinautographen im Jahre 1959

U = Stationen mit Sonnenscheinautographen «Usteri»
N = Stationen mit Sonnenscheinautographen «Negretti & Zambra» (N* = neues Modell)
F = Stationen mit Sonnenscheinautographen «Fuess»
C* = Stationen mit Sonnenscheinautographen Casella (neues Modell)
L = Stationen mit Sonnenscheinautographen «Lambrecht»

Monats- und Jahressummen der Sonnenscheindauer in Stunden

1959	Apparat	Januar	Februar	März	April	Mai	Juni	Juli	August	September	Oktober	November	Dezember	Jahr
Zürich	N*	68	148	117	207	244	194	278	218	254	108	30	60	1926
Zürich-Kloten	F	53	112	98	191	238	184	278	195	252	88	19	46	1754
St. Gallen	L	59	126	102	187	225	157	248	178	218	132	49	51	1732
Stein-App.	F	85	171	109	193	223	155	268	169	227	157	78	61	1896
Säntis	N*	99	230	147	197	203	120	234	171	233	209	152	93	2088
Hallau	U	53	134	96	184	234	176	259	202	273	117	21	34	1783
Wald	U	88	198	108	178	195	133	227	154	221	156	94	58	1810
Walenstadtberg	U	84	192	124	164	190	118	204	161	202	173	109	70	1791
Braunwald	F	79	178	115	178	197	126	224	150	183	155	94	55	1734
Oberiberg	N*	69	174	109	178	186	125	236	159	188	168	92	50	1734
Unterägeri	U	81	167	109	174	206	158	249	181	180	132	67	58	1762
Rigi-Kaltbad	F	90	209	117	167	173	125	233	145	188	163	116	83	1809
Luzern	N	66	124	100	200	214	166	270	156	178	84	28	48	1634
Altdorf	N*	36	114	116	180	208	130	228	159	157	140	~~54~~52	35	1555
Gütsch	F	100	198	96	190	216	155	266	180	224	194	107	80	2006
Jungfraujoch	N	—	—	—	—	—	—	243	201	197	173	100	60	—
Grimmialp	N	56	163	100	149	182	141	248	163	144	123	99	—	—
Beatenberg	F	93	214	120	183	202	151	257	191	168	170	106	76	1931
Heiligenschwendi	U	88	192	93	168	146	134	230	157	149	143	101	70	1671
Bern	L	75	160	118	201	259	212	307	246	208	124	48	64	2022
Basel	N	78	154	110	184	230	197	289	207	260	155	63	56	1983
Barmelweid	U	64	151	85	167	203	151	229	177	226	105	44	42	1644
Allerheiligenberg	U	85	164	80	169	214	166	240	198	209	128	62	44	1759
Mt-Soleil s. St-Imier	U	75	194	96	166	185	149	256	200	202	146	89	54	1812
La Chaux-de-Fonds	F	76	195	114	182	212	180	285	219	213	155	96	65	1992
Chasseron	N*	79	213	101	174	203	152	265	208	188	150	96	64	1893
Neuchâtel	U	60	107	102	186	231	199	291	230	192	95	15	21	1729
Payerne	N*	78	144	119	205	258	224	313	263	209	103	26	56	1998
Genf-Observatorium	N	89	164	141	209	280	260	323	281	179	137	37	56	2156
Genf-Cointrin	N*	85	169	136	198	277	256	320	276	186	133	40	50	2126
Lausanne	N	70	173	145	203	271	245	312	266	195	132	58	62	2132
Montreux-Clarens	U	53	148	106	172	232	198	264	224	150	143	51	54	1795
Zermatt	F	—	—	119	152	191	172	236	172	165	141	92	58	—
Château-d'Œx	F	88	199	119	182	223	190	266	238	171	164	111	79	2030
Leysin	U	98	212	112	179	217	172	262	193	155	163	107	94	1964
Monthey	L	59	168	118	172	221	193	264	204	145	150	85	67	1846
Sitten	U	102	208	143	207	251	224	292	252	190	182	127	85	2263
Montana s. Sierre	U	112	228	140	207	255	213	295	253	206	197	127	103	2336
Disentis	N*	86	162	108	187	233	153	258	199	216	167	79	55	1903
Plantahof b. Landquart	U	68	168	120	177	224	134	241	177	192	161	89	58	1809
Bad Ragaz	F	73	166	120	178	225	145	237	177	196	161	87	50	1815
Arosa	C*	95	175	120	187	190	123	216	164	190	177	93	74	1804
Weißfluhjoch	F	118	227	134	194	211	115	220	165	212	203	143	94	2036
Davos Platz	F	85	170	116	189	184	109	206	161	204	162	98	69	1753
Bivio	N	97	177	107	156	170	110	208	147	178	158	71	61	1640
St. Moritz	F	125	219	133	210	217	146	254	178	204	176	108	72	2042
Schuls	N	81	174	123	209	191	140	212	175	206	*165	*75	62	1813
Lugano	N	155	189	100	212	211	230	281	235	157	147	93	81	2091
Monte Brè	U	154	185	101	217	230	238	302	252	161	147	98	97	2182
Locarno-Monti	N	160	199	111	239	238	244	298	256	179	162	107	95	2288

1959

Tägliche Dauer des Sonnenscheins in Stunden

Januar

Tag	Lugano	Genève	Montana s. Sierre	Chaux-de-Fonds	Bern	Luzern	Basel	Zürich	Davos	Säntis
1	4.1	0.3	0.2	1.3	—	—	3.1	0.8	0.5	—
2	·	3.8	5.4	0.3	2.7	2.0	1.4	3.5	4.0	5.2
3	6.5	0.8		-	0.7	—	—	—	0.3	—
4	—	1.1	—	—	—	—	—	—	—	—
5	7.1	5.0	4.4	*1.0	0.6	2.0	0.9	—	1.5	—
6	5.7	—	—	—	·	—	—	0.5	—	·
7	—	—	—	—	0.2	3.1	1.8	1.4	2.8	0.8
8	3.3	1.3	—	—	—		—	—		—
9	7.1	4.1	2.9		1.6	1.8	1.9	1.6	0.8	—
10	6.6	5.7	0.5	—	2.6	1.7	1.6	1.2	—	—
11	7.1	4.6	3.4	4.1	4.7	2.1	3.1	0.6	1.8	0.2
12	7.1	2.1	3.1	0.4	1.8	2.3	1.7	2.1	2.3	—
13	6.8	2.5	0.9	—	—	—	—	0.2	0.4	—
14	4.8	—		—	—	1.4	·	·	3.1	—
15	6.0	0.7	0.3	0.2	1.4	1.7	—	0.6	0.2	·
16	7.0	3.5	1.6	·	0.3	—	1.3	0.4	—	—
17	7.4	7.7	8.3	4.6	*8.0	6.6	6.9	7.6	5.7	8.6
18	4.6	5.7	5.8	3.1	5.0	2.7	2.3	*2.0	4.4	5.5
19	1.9	—	0.6	0.6	1.1	2.5	1.4	2.6	3.5	3.8
20	—	—	2.8	—	1.2	2.8	0.6	2.2	3.0	3.5
21	—	4.1	4.9	0.1	3.4	4.7	1.8	4.6	5.0	5.3
22	—	4.2	5.0	4.1	4.3	5.1	3.0	4.4	2.0	5.1
23	1.4	4.6	2.6	1.1	1.2	2.0	0.9	0.5	1.6	—
24	6.2	—	·	0.2	0.1	—	1.3	0.8	0.9	0.4
25	7.7	6.4	7.6	8.6	6.9	5.0	5.9	5.0	5.9	5.1
26	7.3	6.9	8.2	5.8	7.9	7.7	7.2	7.8	6.0	8.8
27	7.7	6.5	8.7	8.6	8.1	5.5	8.5	8.2	4.4	9.2
28	7.9	7.2	8.6	8.4	7.6	3.8	8.0	8.2	6.1	9.4
29	7.8		8.8	8.6	3.6	—	6.0	—	6.3	9.5
30	7.9	—	8.8	5.8		—	7.0	0.4	6.3	9.4
31	7.9	—	8.8	8.6	—	—	—	0.5	6.3	9.5
Mittel	5.0	2.9	3.6	2.4	2.4	2.1	2.5	2.2	2.7	3.2

Februar

Tag	Lugano	Genève	Montana s. Sierre	Chaux-de-Fonds	Bern	Luzern	Basel	Zürich	Davos	Säntis
1	—	0.7	—	0.2	3.3	3 8	—	0.6	2.1	1.8
2	—	1.6	7.6	0.6	—	1.0	—	1.7	6.3	7.8
3	—	1.5	5.4	5.4	3.1	—	3.1	1.7	6.2	8.6
4	—	-	7.0	7.3	0.9	—	4.1	0.8	4.6	3.7
5	0.2	7.4	5.4	4.2	4.9	6.8	7.4	8.5	4.3	8.5
6	8.4	7.7	8.6	8.5	7.4	8.3	6.7	8.4	6.5	9.6
7	8.5	7.7	8.7	8.6	7.5	4.1	6.9	6.0	6.6	9.6
8	8.3	6.9	8.6	7.7	8.0	5.5	8.8	6.2	6.7	9.5
9	7.4	6.2	6.0	6.1	6.8	7.2	8.5	5.7	6.7	9.1
10	8.3	7.2	8.2	5.6	7.0	2.3	0.7	2.9	5.0	2.5
11	8.1	5.5	8.6	4.6	—	—	3.9	-	6.8	9.9
12	8.6	2.3	9.3	8.5	2.0	—	2.2	—	6.8	11.0
13	7.5	0.3	9.3	9.2	3.7	3.0	7.3	5.5	6.8	10.0
14	9.0	1.6	9.4	9.3	2.7	—	7.6	1.0	6.8	10.2
15	9.1	3.1	9.0	8.8	5.8	2.1	6.7	3.4	6.8	10.0
16	6.6	3.7	8.7	9.4	4.7	0.7	7.6	4.9	4.5	7.4
17	7.6	8.3	9.2	9.2	8.8	3.9	7.0	7.4	5.9	7.8
18	9.0	8.6	9.6	*9.4	8.1	8.6	1.6	9.0	7.0	10.3
19	9.1	8.7	9.7	9.6	9.2	9.1	6.3	9.6	7.2	10.6
20	9.2	9.0	9.8	9.6	9.8	9.5	7.8	9.6	7.2	10.5
21	9.4	6.4	9.8	0.5	3.3	—	—	—	4.6	—
22	9.4	5.8	1.5	—	—	—	—	—	—	—
23	4.3	6.9	9.4	8.6	7.4	6.2	8.4	9.7	7.1	10.7
24	4.0	8.8	8.3	5.2	6.1	3.9	5.5	6.3	7.2	7.8
25	8.5	8.9	10.1	9.8	9.1	8.7	6.5	9.4	7.5	10.8
26	9.6	9.6	10.2	9.4	10.0	9.7	9.8	9.9	7.5	11.0
27	9.7	9.6	10.3	9.9	9.9	9.7	9.9	10.0	7.6	11.1
28	8.7	9.7	10.4	10.0	10.0	9.4	9.9	9.9	7.6	10.0
Mittel	6.7	5.8	8.1	7.0	5.7	4.4	5.5	5.3	6.1	8.2

März

Tag	Lugano	Genève	Montana s. Sierre	Chaux-de-Fonds	Bern	Luzern	Basel	Zürich	Davos	Säntis
1	7.5	6.4	5.9	7.7	8.5	9.8	9.5	9.8	7.2	10.5
2	8.6	7.9	9.9	9.9	9.2	9.3	9.5	9.4	7.6	10.0
3	0.8	0.6	1.0	1.1	1.0	1.3	1.1	3.0	4.3	6.6
4	—	—	-	—	0.5	1.1	·	1.4	1.8	1.7
5	0.3	3.0	5.9	3.8	3.7	4.3	2.8	3.7	3.2	4.2
6	—	—	0.7	0.7	3.1	3.9	1.4	4.0	0.7	3.1
7	—	—	—	—	—	—	—	—	0.8	0.3
8	9.7	9.0	7.2	1.4	5.5	2.7	1.3	1.6	1.9	6.3
9	2.9	3.5	3.6	7.0	5.3	5.3	4.4	5.8	1.3	5.9
10	—	0.2	0.2	4.1	0.9	0.5	3.7	2.2	1.1	3.0
11		7.1	6.7	6.5	8.3	6.6	6.1	6.4	1.4	5.3
12	1.4	—	—	—	—	—	—	—	1.6	—
13	10.0	3.3	3.1	1.4	0.1	—	0.2	—	—	—
14	10.0	7.0	4.0	0.7	1.0	0.6	0.7	2.1	3.7	2.5
15	8.0	5.6	9.5	7.8	6.9	2.1	6.9	2.7	9.3	9.7
16	0.1	1.0	0.9	—	—	—	—	—	1.1	—
17	4.8	4.9	9.8	8.1	-	—	1.5	7.3	9.4	11.4
18		5.9	9.3	6.4	5.0	3.3	6.4	5.3	4.7	9.1
19	1.0	4.7	5.1	3.9	5.3	5.8	6.7	6.8	1.7	8.4
20	4.2	9.3	10.7	3.2	6.4	8.1	2.4	7.0	9.4	9.0
21	2.3	8.1	6.7	7.7	8.4	9.0	8.3	9.1	9.1	9.0
22	2.1	—	0.7	—	1.2	2.3	0.1	4.7	5.6	4.9
23	8.2	8.7	6.0	1.9	5.5	1.8	5.6	1.2	5.4	3.2
24	6.6	4.8	8.4	6.2	7.8	8.7	7.3	7.1	7.6	9.9
25		—	0.3	—	—			0.2	5.0	1.9
26	-	8.2	3.9	4.4	4.8	2.4	4.1	1.9	—	—
27	4.9	8.3	8.6	7.3	8.0	9.8	8.4	10.0	8.8	10.9
28	0.3	1.5	1.8	0.7	0.4	—	1.2	—	0.5	—
29	2.3	9.2	6.7	6.5	7.4	1.4	5.6	4.0	1.3	0.5
30	-	5.1	0.5	2.3	2.2		1.6			—
31	3.6	7.5	2.6	3.0	1.3		3.2	0.4	0.2	
Mittel	3.2	4.5	4.5	3.7	3.8	3.2	3.6	3.8	3.7	4.8

April

Tag	Lugano	Genève	Montana s. Sierre	Chaux-de-Fonds	Bern	Luzern	Basel	Zürich	Davos	Säntis
1	11.1	11.0	10.7	11.2	10.6	7.3	10.5	10.8	6.2	4.7
2	11.0	11.5	11.3	11.5	11.2	11.0	11.3	11.4	10.0	12.3
3	6.0	11.2	11.4	11.4	10.9	11.1	11.4	11.5	10.2	12.6
4	10.0	11.1	11.5	11.7	11.5	11.6	11.8	11.9	10.1	12.7
5	9.8	11.8	11.5	11.3	11.8	11.8	10.9	11.9	10.2	12.4
6	3.8	6.4	6.5	8.7	8.8	10.0	8.1	10.0	10.0	7.1
7	9.1	3.0	0.5	0.8	3.2	1.5	2.5	3.0	0.7	—
8	9.7	11.8	11.5	8.7	11.4	9.7	10.1	11.0	10.2	11.9
9	—	1.6	0.2	0.6	0.2	—	—	0.1	1.0	1.4
10	4.3	3.9	2.6	1.8	2.6	-	3.7	3.8	3.4	3.7
11	11.6	5.8	4.4	2.2	3.6	5.4	2.2	3.6	5.7	—
12	10.9	11.8	10.0	5.3	10.9	9.3	2.7	6.6	7.0	4.6
13	11.3	11.9	12.2	12.3	12.1	12.1	12.3	12.2	10.5	12.9
14	9.7	10.3	10.3	10.6	12.4	10.2	11.6	10.0	9.0	9.4
15	9.4	5.2	8.7	8.1	7.4	8.6	6.7	8.8	10.5	10.4
16	—	—	0.7	—	0.2	1.3	—	2.0	2.8	1.7
17	4.5	4.9	1.2	-	0.1	0.1	0.1	0.2	0.2	0.8
18	3.0	—	0.2	-	—	—	—	—	—	—
19	9.9	0.3	3.4	—	—	-	—	—	—	—
20	11.3	4.7	9.4	1.1	0.1	—	0.7	1.0	5.4	—
21	7.7	12.4	9.4	12.4	12.3	9.2	11.3	10.6	6.4	4.5
22	11.8	13.0	12.5	12.8	13.0	12.8	12.4	12.8	10.9	10.3
23	11.4	12.1	12.4	12.9	13.1	13.0	12.7	13.1	11.2	13.7
24	11.3	12.0	12.1	10.3	12.3	12.5	12.1	12.1	10.2	11.2
25	10.7	12.5	12.4	10.9	12.0	12.4	11.2	12.3	11.2	13.0
26	0.9	—	1.5	0.2	0.7	4.3	0.1	5.1	5.5	6.2
27	0.1	6.6	7.3	3.6	7.8	5.6	7.0	5.0	5.5	7.3
28	—	1.0	0.9	1.2	0.1	4.0	0.8	2.3	0.8	4.9
29	—	0.8	0.7	0.4	1.0	5.3	0.3	3.5	2.5	5.6
30	2.1	—	—	—	—				1.9	2.1
Mittel	7.1	7.0	6.9	6.1	6.7	6.7	6.2	6.9	6.3	6.6

Tägliche Dauer des Sonnenscheins in Stunden

1959

Mai

Tag	Lugano	Genève	Montana s. Sierre	Chaux-de-Fonds	Bern	Luzern	Basel	Zürich	Davos	Säntis
1	5.6	—	—	—	—	—	—	—		—
2	11.0	2.2	8.3	0.3	0.5	0.6	—	0.8	—	—
3	10.1	11.9	12.4	9.6	10.4	6.4	11.1	7.6	4.9	2.1
4	3.5	12.3	12.2	7.0	11.8	8.6	10.6	9.1	10.1	12.7
5	11.5	12.1	12.5	4.7	9.8	10.6	4.3	11.0	11.7	11.9
6	8.3	11.0	10.6	5.0	10.6	9.6	9.0	7.6	11.6	6.3
7	5.9	4.0	5.1	6.3	7.1	9.2	7.3	10.0	10.9	11.8
8	8.5	11.3	12.8	11.3	11.5	12.5	11.1	12.8	7.6	10.9
9	0.8	9.7	4.2	8.4	8.8	8.7	8.3	10.7	6.4	9.7
10	3.2	12.9	6.4	7.0	7.2	13.2	11.4	13.2	8.6	11.3
11	10.6	12.5	10.3	4.6	7.4	9.9	10.6	9.8	7.7	7.9
12	10.1	2.8	4.5	9.9	10.5	8.3	6.5	9.3	7.8	4.8
13	8.9	13.5	11.2	13.5	13.5	13.1	10.0	13.2	4.6	6.0
14	11.9	11.7	11.1	11.3	10.2	7.9	10.2	5.5	1.9	3.2
15	—	7.3	5.4	2.0	4.2	1.3	0.8	0.7	—	—
16	7.5	11.4	11.7	3.3	5.1	5.1	3.3	9.9	7.2	7.9
17	7.4	11.4	10.4	9.6	7.7	4.1	9.8	7.6	6.4	9.4
18	11.8	7.5	11.8	10.1	10.4	9.9	11.0	10.5	6.4	9.5
19	6.3	8.0	4.0	4.7	5.3	5.3	6.8	7.3	6.5	6.4
20	12.0	10.9	12.8	10.5	12.2	13.6	10.0	13.1	11.6	13.8
21	0.2	6.8	2.3	4.5	7.0	4.0	5.5	6.2	5.2	9.0
22	3.6	0.6	2.3	2.9	2.9	–	0.1	0.6	0.9	4.4
23	—	8.4	13.0	4.8	3.6	—	0.3	1.2	7.7	10.9
24	–	8.4	4.4	0.8	6.9	1.2	8.6	0.1	2.3	2.6
25	5.2	3.6	1.6	11.8	13.2	10.8	14.1	14.2	7.4	6.8
26	9.0	12.7	7.9	14.3	14.1	12.1	14.3	13.9	11.0	10.8
27	11.6	13.9	10.0	12.4	12.7	7.8	12.1	13.0	4.1	1.1
28	4.1	13.0	13.4	10.9	11.0	5.6	9.3	8.9	8.3	5.9
29	2.0	11.8	10.7	2.6	9.1	4.7	2.2	5.2	2.2	0.6
30	10.7	12.7	7.0	6.7	11.3	7.2	6.2	7.6	2.9	3.7
31	9.4	3.6	4.4	0.7	3.1	3.0	5.3	3.0	0.1	1.4
Mittel	6.8	9.0	8.2	6.8	8.4	6.9	7.4	7.9	5.9	6.5

Juni

Tag	Lugano	Genève	Montana s. Sierre	Chaux-de-Fonds	Bern	Luzern	Basel	Zürich	Davos	Säntis
1	11.6	11.2	12.0	8.2	8.5	8.8	13.1	7.3	1.8	1.8
2	8.6	11.7	7.2	9.6	8.9	6.4	9.2	5.5	0.6	0.9
3	12.7	14.0	13.7	12.2	14.4	14.3	13.6	14.1	11.4	12.2
4	12.5	12.5	13.6	11.5	13.7	13.8	12.6	12.8	10.0	12.7
5	2.3	9.5	4.3	6.2	6.2	5.7	8.5	8.9	4.5	7.3
6	7.4	12.5	10.8	5.6	12.3	11.4	7.1	12.5	1.9	4.6
7	5.8	7.5	8.3	2.4	6.2	6.5	6.5	5.9	5.3	6.2
8	12.3	—	5.6	0.9	0.8	—	2.0	—	2.5	0.5
9	0.3	0.7	—	—	–	–	-	0.2	—	0.1
10	13.0	12.6	4.4	6.0	7.3	4.0	5.9	8.5	1.1	0.1
11	12.7	11.6	6.6	5.7	8.1	3.5	7.5	6.6	1.9	–
12	7.1	12.7	9.0	0.3	3.5	1.3	2.3	1.1	0.8	—
13	—	4.8	8.8	—	0.5	—	—	—		
14	12.0	13.6	9.2	8.8	9.3	4.4	5.7	5.5	0.1	-
15	11.0	12.7	12.1	14.1	14.5	14.3	14.6	14.4	11.9	13.6
16	10.0	12.0	10.4	13.0	12.0	10.8	10.9	13.0	8.6	4.9
17	6.4	13.8	10.6	11.7	11.9	12.0	13.8	13.2	10.7	7.4
18	5.7	7.6	5.0	8.8	9.1	10.2	5.6	8.8	6.1	6.5
19	10.7	7.6	10.4	6.9	9.1	8.8	12.2	11.5	9.2	11.2
20	6.0	8.1	5.3	7.0	6.8	7.9	7.3	7.9	2.4	7.6
21	1.3	2.5	5.1	4.7	2.8	4.4	2.4	5.4	4.6	6.1
22	10.2	4.7	2.0	1.4	2.7	1.1	3.4	1.3	0.3	-
23	10.9	12.1	8.6	9.9	13.3	4.2	6.2	1.8	0.4	–
24	4.7	6.5	6.7	6.0	4.5	2.3	5.6	6.1	3.1	9.4
25	9.4	9.9	4.2	3.9	6.5	1.2	1.8	1.8	0.4	0.8
26	—	0.2	—	0.3	0.1	0.4	0.7	0.1	0.8	1.0
27	7.4	9.2	4.8	3.5	7.6	3.3	6.7	6.6	0.4	1.4
28	9.0	9.7	8.5	3.8	6.0	2.0	1.3	6.1	7.7	3.8
29	2.0	4.5	3.9	4.6	2.8	1.2	5.2	5.2		
30	7.0	4.1	2.0	3.2	2.6	1.8	4.9	1.1	0.8	—
Mittel	7.7	8.7	7.1	6.0	7.1	5.5	6.6	6.4	3.6	4.0

Juli

Tag	Lugano	Genève	Montana s. Sierre	Chaux-de-Fonds	Bern	Luzern	Basel	Zürich	Davos	Säntis
1	11.8	1.6	—	—	0.1	—	—	—	—	—
2	12.4	12.6	11.0	8.7	8.0	6.6	8.3	6.9	1.0	—
3	6.4	13.3	12.9	12.0	12.2	12.3	10.7	10.5	10.1	11.7
4	13.1	14.5	13.8	14.6	14.7	14.5	14.9	13.6	6.8	13.0
5	10.5	14.5	13.8	14.6	15.1	14.6	15.0	14.4	12.2	14.5
6	7.8	13.4	7.1	9.6	11.9	4.6	8.8	6.3	5.0	5.7
7	12.9	11.7	13.8	11.8	13.9	7.4	8.3	10.8	11.0	14.2
8	4.4	12.9	13.6	11.3	14.2	14.2	14.1	14.3	12.2	15.4
9	9.0	12.6	12.1	10.7	13.5	13.3	14.1	14.0	11.8	10.3
10	10.1	9.8	9.4	8.9	11.7	13.2	13.7	13.1	10.8	9.7
11	6.3	10.4	6.2	5.6	1.7	5.7	5.0	4.9	5.0	9.9
12	6.6	8.5	7.7	7.4	9.3	6.1	5.5	7.3	6.1	6.1
13	12.3	11.7	12.1	7.1	7.4	8.6	7.4	8.4	12.1	9.0
14	2.0	9.1	7.8	9.5	7.8	7.6	10.3	8.9	2.6	5.3
15	0.4	—	—	0.4	—	-	—	–	-	—
16	12.8	12.0	7.6	6.5	7.4	3.8	10.6	2.4	0.2	2.1
17	12.6	13.9	13.0	14.0	13.2	8.1	12.0	8.9	3.6	7.6
18	12.2	14.0	13.5	14.4	14.4	13.4	13.9	14.1	12.1	13.0
19	11.7	13.8	13.6	14.2	14.3	14.0	13.8	13.6	8.4	9.8
20	11.9	10.3	9.7	11.4	13.7	13.8	10.7	9.9	6.9	9.4
21	12.4	13.4	13.3	12.5	13.8	13.4	11.2	13.4	11.1	6.9
22	11.2	13.3	12.7	13.3	14.2	13.8	13.5	13.9	12.1	12.6
23	5.1	8.9	9.3	10.9	12.0	10.1	12.3	13.2	7.5	12.4
24	4.0	7.7	3.6	3.0	1.0	3.1	4.9	2.0	3.8	1.3
25	11.2	10.1	10.5	11.7	12.4	12.3	12.7	11.4	1.4	4.3
26	10.8	11.8	10.1	12.4	13.3	9.8	13.0	12.2	5.7	7.9
27	11.2	10.5	10.5	10.4	13.2	11.5	10.1	11.7	11.6	11.8
28	9.0	10.9	11.2	4.0	8.3	7.8	2.0	8.6	10.2	10.0
29	6.4	7.0	8.4	7.0	5.8	4.5	4.5	5.8	4.5	
30	3.4	4.2	5.1	4.7	7.4	0.7	5.4	3.2	0.1	—
31	9.5	4.2	2.0	2.4	1.4	1.0	2.0	0.5	0.1	—
Mittel	9.1	10.4	9.5	9.2	9.9	8.7	9.3	9.0	6.6	7.5

August

Tag	Lugano	Genève	Montana s. Sierre	Chaux-de-Fonds	Bern	Luzern	Basel	Zürich	Davos	Säntis
1	11.9	9.9	7.7	5.1	7.1	0.7	2.6	2.6	1.5	--
2	2.5	7.8	4.0	1.8	2.5	1.0	1.8	1.2	3.5	1.2
3	12.4	12.4	9.8	4.5	5.7	7.0	3.1	5.1		0.2
4	4.5	13.2	7.9	11.0	11.8	7.1	7.2	6.0	3.4	4.3
5	10.4	12.8	11.3	11.2	11.6	6.5	8.6	9.6	7.8	8.5
6	11.3	13.0	13.0	*8.0	13.2	8.4	5.3	8.3	—	3.6
7	9.3	12.9	12.7	12.0	11.6	7.3	13.0	8.9	11.8	14.6
8	4.1	2.8	3.2	3.2	4.8	6.1	2.9	5.9	6.6	6.9
9	5.6	9.6	6.3	5.6	11.1	6.1	7.6	8.6	4.7	5.5
10	3.6	6.8	6.6	7.1	8.4	3.2	7.4	6.7	2.8	7.9
11	8.1	11.8	11.7	6.7	9.7	8.8	6.0	10.3	7.7	6.8
12	9.5	6.2	4.3	3.5	2.3	2.8	7.7	4.7	–	
13	12.1	7.7	9.4	5.6	12.0	*10.4	12.2	12.2	2.9	2.7
14	8.4	2.2	3.5	0.8	1.1	2.4	2.1	4.5	9.6	6.7
15	6.3	10.1	4.5	4.7	6.8	1.3	3.9	1.9	—	—
16	12.1	13.1	9.0	8.6	9.7	2.6	7.4	4.3	0.1	1.2
17	11.5	12.9	12.5	11.1	12.7	7.8	3.7	5.8	0.4	1.8
18	11.3	10.5	12.6	7.4	7.4	3.7	9.0	7.1	10.3	11.1
19	4.5	7.6	11.2	11.7	6.0	4.7	11.4	11.1	9.2	10.4
20	5.6	11.0	5.4	6.6	7.0	4.7	9.4	5.8	4.4	6.6
21	0.4	1.9	0.6	1.2	1.5	1.5	3.6	2.2	5.5	9.1
22	—	-	0.2	0.1	0.1	0.1	0.1	2.8	2.2	2.0
23	2.5	6.0	7.4	0.1	0.1	1.4	0.7	4.6	5.2	6.9
24	8.7	11.2	12.3	9.2	10.6	5.6	6.1	8.4	8.1	8.5
25	11.8	11.9	12.4	11.9	12.5	11.8	7.9	12.4	10.9	8.9
26	11.9	11.5	12.2	9.9	10.5	8.3	10.4	10.7	7.9	9.2
27	11.7	10.4	11.8	11.5	10.7	1.6	3.6	10.8	9.1	9.5
28	8.1	4.2	2.6	9.7	8.4	8.0	12.1	7.2	5.8	4.3
29	10.3	11.6	10.9	11.3	11.4	8.5	11.8	9.0	6.7	3.9
30	0.2	6.1	6.3	5.1	4.8	1.9	6.7	7.0	2.2	0.9
31	4.8	12.2	9.6	12.4	12.4	5.2	11.6	12.4	10.1	8.0
Mittel	7.6	9.1	8.2	7.1	7.9	5.0	6.7	7.0	5.2	5.5

1959

Tägliche Dauer des Sonnenscheins in Stunden

September

Tag	Lugano	Genève	Montana s. Sierre	Chaux-de-Fonds	Bern	Luzern	Basel	Zürich	Davos	Säntis
1	6.7	10.2	11.0	11.1	11.9	10.8	12.2	12.2	10.8	12.9
2	2.4	2.1	4.3	8.2	7.4	8.1	11.2	10.6	8.0	9.9
3	0.1	2.5	6.2	4.7	9.0	8.2	6.6	10.2	1.5	4.3
4	6.5	8.3	10.0	4.5	9.1	7.2	5.7	9.0	6.0	5.0
5	—	2.6	1.0	0.3	2.4	0.4	6.5	7.3	0.5	7.4
6	2.5	6.6	7.3	10.3	11.1	2.9	11.0	10.7	7.0	4.0
7	6.9	11.4	10.2	11.7	11.4	7.8	10.6	11.8	8.9	5.0
8	6.4	10.1	11.0	7.8	11.4	11.6	11.9	11.8	10.3	7.8
9	11.2	11.1	11.2	11.7	10.9	10.2	11.5	11.4	10.1	12.7
10	10.8	11.3	11.2	11.7	11.3	10.9	11.7	11.8	10.1	12.5
11	10.4	11.0	11.3	11.5	10.8	8.1	11.8	11.3	10.1	12.6
12	8.4	10.8	11.2	10.8	10.9	10.6	11.7	11.6	10.0	12.5
13	7.4	9.4	10.4	9.6	10.8	10.7	10.7	11.0	9.9	11.3
14	4.7	—	3.2	6.5	4.8	9.3	9.7	9.8	6.7	10.3
15	6.3	5.3	6.0	3.2	5.9	8.4	9.5	10.0	8.5	8.0
16	7.7	6.7	9.0	3.8	7.7	8.1	6.5	8.1	7.1	5.5
17	4.0	0.7	0.1	0.3	1.4	—	1.4	0.8	0.1	—
18	5.0	6.2	9.5	9.9	9.2	0.8	10.8	8.3	9.5	12.3
19	0.7	7.7	6.4	7.8	9.1	10.7	10.6	10.9	9.7	11.5
20	10.0	9.1	10.4	10.8	7.6	7.2	11.2	11.1	9.6	12.0
21	2.1	—	1.0	3.9	4.6	3.5	8.1	3.6	1.9	8.0
22	9.5	4.6	3.8	5.4	5.0	4.5	5.0	7.9	3.8	—
23	9.5	9.5	8.0	7.7	9.5	7.7	7.6	8.3	9.2	1.2
24	7.1	5.3	4.8	6.5	6.5	5.7	9.7	6.7	3.7	2.9
25	—	4.8	—	1.6	2.7	0.5	5.3	2.9	4.9	4.0
26	—	0.9	3.8	1.1	1.0	—	3.7	2.1	—	3.4
27	1.9	—	0.7	—	—	-	—	1.4	—	1.4
28	7.4	—	4.8	9.9	2.1	—	6.3	5.6	8.0	11.4
29	—	4.3	10.2	10.5	2.4	2.7	10.9	10.8	9.2	11.4
30	1.0	6.9	7.9	10.5	—	1.4	10.9	4.8	9.3	11.3
31										
Mittel	5.2	6.0	6.9	7.1	6.9	5.9	8.7	8.5	6.8	7.8

Oktober

Tag	Lugano	Genève	Montana s. Sierre	Chaux-de-Fonds	Bern	Luzern	Basel	Zürich	Davos	Säntis
1	8.5	8.7	10.6	7.1	7.4	6.9	10.6	7.7	9.0	11.0
2	10.2	9.5	10.6	10.1	9.7	6.1	9.8	6.3	9.2	11.3
3	6.7	6.6	4.0	4.9	3.7	2.7	1.5	1.6	7.0	6.3
4	10.1	5.4	10.5	10.4	4.9	4.1	7.2	5.2	8.8	10.3
5	9.1	8.7	10.3	8.2	5.6	—	9.5	3.9	7.6	11.1
6	4.8	3.9	10.1	8.7	6.4	5.0	10.0	5.8	8.3	11.0
7	4.8	3.2	10.2	9.3	5.4	5.5	9.9	5.9	8.2	9.3
8	9.4	6.4	10.1	10.0	9.3	4.6	7.4	6.3	8.1	11.1
9	9.3	9.1	10.2	10.0	9.7	5.0	9.6	6.9	7.4	10.7
10	2.9	—	0.7	1.1	0.4	—	2.8	1.9	5.9	8.6
11	1.0	—	—	—	0.1	—	—	—	—	—
12	9.6	7.0	3.2	1.0	3.0	3.4	0.4	2.7	7.8	2.4
13	10.0	5.6	10.2	10.0	4.0	4.2	6.4	5.2	7.6	10.9
14	3.0	5.7	10.3	8.5	2.0	1.4	7.3	3.6	7.7	11.0
15	3.1	3.6	10.3	7.8	—	—	9.0	—	7.5	10.9
16	4.2	4.2	9.9	7.2	5.6	5.5	9.7	7.0	7.5	10.5
17	6.7	5.1	9.4	8.4	8.0	0.5	7.6	4.8	7.5	10.2
18	0.2	4.2	6.1	5.1	2.0	0.1	3.6	0.4	2.0	6.2
19	—	—	0.7	0.1	0.7	0.5	0.8	0.5	1.4	4.3
20	—	—	—	—	—	—	—	—	—	—
21	1.7	3.1	7.1	0.8	1.5	0.2	4.1	1.3	5.4	9.3
22	—	—	—	—	—	—	—	—	—	—
23	9.4	8.9	8.2	9.2	9.4	6.9	7.2	9.1	7.1	7.4
24	8.8	9.0	9.6	9.5	9.3	9.2	10.1	8.0	6.9	9.5
25	6.5	9.0	9.6	5.5	9.3	8.2	5.2	7.2	7.0	7.0
26	—	5.1	7.7	0.1	3.1	1.7	—	4.4	6.2	5.3
27	—	1.3	0.3	0.3	—	0.8	—	0.8	0.2	0.7
28	—	—	—	—	—	—	—	—	—	—
29	—	—	—	—	—	—	—	—	—	—
30	6.7	3.9	6.8	1.4	3.5	1.7	5.5	1.1	0.3	2.3
31	0.6	—	—	—	—	—	—	—	0.6	—
Mittel	4.8	4.4	6.3	5.0	4.0	2.7	5.0	3.5	5.2	6.7

November

Tag	Lugano	Genève	Montana s. Sierre	Chaux-de-Fonds	Bern	Luzern	Basel	Zürich	Davos	Säntis
1	8.1	3.7	3.0	0.4	0.5	1.3	—	—	3.8	5.2
2	7.5	5.4	8.0	5.8	7.5	6.6	6.6	6.7	6.6	9.8
3	8.6	4.8	9.1	7.2	—	—	5.9	0.3	6.6	10.0
4	7.4	1.6	6.7	7.2	1.9	4.6	1.3	2.6	6.3	10.0
5	—	0.4		—	-	-	-	—	—	—
6	—	—	0.5	0.1	—	—	-	—	2.2	0.8
7	5.8	—	—	0.2	—	—	—	0.6	—	—
8	6.0	-	7.9	0.5	-	—	—	—	—	8.3
9	6.9	—	6.6	—	—	—	-	—	5.7	8.4
10	0.1	—	—	—	0.3	—	—	—	0.4	0.3
11	1.9	0.7	2.0	0.5	1.0	1.5	0.3	0.6	—	1.2
12	—	—	1.1	1.2	1.3	0.5	1.3	0.1	2.2	—
13	—	2.2	2.1	2.1	0.2	—	0.1	—	3.2	4.4
14	—	—	1.7	—	0.4	2.3	—	2.8	3.8	3.4
15	—	3.7	—	—	—	—	1.2	—	—	—
16	7.9	5.1	4.1	1.3	2.2	1.6	2.4	0.3	0.3	—
17	—	0.5	1.1	0.7	0.6	—	1.5	1.1	1.6	0.9
18	—	1.3	4.7	3.8	3.6	2.7	1.9	1.4	—	4.1
19	6.4	—	7.5	7.5	7.3	6.7	7.8	7.0	5.9	8.1
20	3.3	—	8.6	8.5	7.3	—	8.4	4.4	5.9	9.4
21	5.2	—	8.5	8.4	4.1	—	7.3	—	5.9	9.1
22	2.3	3.8	8.4	8.4	6.7	—	—	—	5.8	9.1
23	7.3	—	8.4	8.4	—	—	—	—	5.8	9.1
24	7.2	0.4	8.3	8.0	—	—	7.4	—	5.8	9.0
25	—	3.2	8.3	8.3	—	—	2.1	—	3.6	8.9
26	0.8	—	6.3	5.4	—	—	5.4	—	5.7	8.2
27	—	—	—	—	—	—	—	0.2	—	—
28	—	—	2.6	-	1.0	—	-	—	1.4	4.3
29	—	—	1.3	2.4	2.6	—	1.4	-	4.0	2.5
30	—	—	0.5	—	—	0.5	0.9	1.9	5.0	7.9
31										
Mittel	3.1	1.2	4.2	3.2	1.6	0.9	2.1	1.0	3.2	5.1

Dezember

Tag	Lugano	Genève	Montana s. Sierre	Chaux-de-Fonds	Bern	Luzern	Basel	Zürich	Davos	Säntis
1		—	—	1.0	—	—	—	0.5	0.6	2.9
2	0.1	—	7.5	1.0	—	—	—	—	2.3	3.8
3	—	2.3	7.7	6.3	—	-	4.6	—	5.6	8.6
4	—	—	—	—	—	—	—	—	—	—
5	1.3	0.8	0.2	—	—	—	-	0.2	0.2	-
6	6.8	6.7	6.3	5.0	4.8	3.7	3.4	3.1	4.5	8.5
7	—	—	—	—	—	—	—	—	—	0.6
8	—	—	—	—	—	—	—	—	1.7	3.1
9	4.1	7.4	7.3	7.5	6.0	4.4	7.3	5.5	5.2	8.2
10	—	1.6	0.1	—	—	—	—	1.3	0.6	0.2
11	-	6.1	4.5	2.4	5.6	5.5	2.1	5.5	4.8	5.9
12	—	2.8	1.7	3.9	0.4	—	—	1.6	4.8	3.2
13	—	—	—	—	—	—	—	—	—	0.8
14	3.4	—	5.8	6.1	—	—	—	—	4.4	8.3
15	6.8	1.5	7.6	7.4	5.5	1.5	7.5	5.6	5.3	8.4
16	6.3	4.9	7.6	4.2	4.7	2.3	7.0	4.1	5.2	8.4
17	6.7	1.2	7.6	0.4	7.4	5.6	2.0	7.5	5.3	8.4
18	0.2	0.2	0.6	-	1.0	0.7	1.5	1.1	—	—
19	6.8	1.7	6.0	1.5	3.1	2.1	3.8	2.8	1.1	—
20	0.6	3.4	2.8	2.0	3.9	2.8	1.9	2.6	1.9	0.8
21	—	0.4	0.5	0.7	0.1	—	0.7	0.1	—	—
22	6.9	4.5	5.5	2.3	3.0	2.1	1.2	1.1	—	—
23	—	—	—	—	—	—		—	0.2	—
24	—	2.8	3.2	1.5	1.5	—	0.9	0.1	—	—
25	6.2	3.6	5.2	1.6	5.4	5.6	1.3	5.4	3.9	1.3
26	—	—	—	-	—	—	—	—	—	—
27	0.4	0.3	2.7	3.6	3.1	4.2	5.1	5.1	1.9	4.4
28	6.0	1.8	—	—	0.3	0.5	0.5	0.2	0.9	—
29	5.8	—	—		0.5	—	0.3	0.1	—	—
30	6.7	2.2	5.8	—	1.3	1.1	—	0.2	3.6	—
31	5.7	—	6.5	6.3	6.0	6.0	4.8	6.2	5.0	7.1
Mittel	2.6	1.8	3.3	2.1	2.1	1.6	1.8	1.9	2.2	3.0

Agrarmeteorologische Beobachtungen

Zürich — Verdunstung in Millimeter Wasserhöhe (Wildsche Waage in offener Hütte) — **Château d'Oex**

1959	I	II	III	IV	V	VI	VII	VIII	IX	X	XI	XII	I	II	III	IV	V	VI	VII	VIII	IX	X	XI	XII
1	0.2	0.5	2.3	3.1	0.5	2.8	0.2	1.3	4.4	1.1	0.4	0.3	0.0	0.9	1.2	2.0	0.0	1.2	0.3	2.0	1.4	1.4	0.6	0.4
2	0.9	0.6	2.4	3.5	0.9	2.0	2.8	1.0	3.2	0.9	0.9	0.4	1.0	0.3	2.0	1.2	1.0	2.0	2.3	0.8	0.5	1.0	0.6	0.5
3	0.5	0.4	2.3	4.1	1.7	4.5	3.7	1.5	3.0	0.8	0.7	0.4	0.3	0.1	1.8	1.4	1.7	2.9	3.5	0.8	0.6	0.6	0.6	0.9
4	0.8	0.2	1.7	3.3	2.8	3.8	4.3	2.5	2.0	1.5	0.5	0.6	0.0	0.8	0.9	2.4	2.3	3.3	3.8	1.4	1.4	1.2	0.5	0.4
5	0.2	1.2	1.4	4.8	3.5	4.5	4.5	3.2	2.2	1.1	0.2	0.4	0.0	0.7	1.6	3.2	2.5	2.0	4.5	1.8	0.5	0.7	0.1	0.0
6	0.0	0.4	1.4	4.4	3.6	5.0	1.1	3.1	2.8	0.7	0.4	0.8	0.0	1.3	0.3	4.3	2.3	2.0	2.6	2.1	1.4	1.0	0.1	0.7
7	0.7	0.6	0.2	1.4	3.6	2.2	4.1	2.5	4.2	0.9	0.6	0.3	0.8	1.0	0.0	1.5	2.1	1.7	2.7	2.2	1.8	1.0	0.0	0.3
8	0.3	0.4	0.9	2.5	4.7	3.4	3.4	2.1	2.1	1.7	0.7	0.0	0.2	1.0	1.0	2.4	2.0	0.4	3.0	2.2	1.4	0.9	0.4	0.2
9	0.4	0.3	1.9	0.8	5.4	0.9	4.5	3.0	3.2	1.4	0.8	1.0	0.0	0.5	1.3	0.5	3.2	0.9	3.0	1.9	1.4	1.0	0.5	0.3
10	0.4	0.7	1.2	1.4	4.3	2.6	4.3	2.3	3.0	0.6	0.4	0.4	0.0	0.5	1.2	0.8	2.6	2.4	2.4	2.1	1.8	0.5	0.0	0.5
11	0.4	0.2	1.5	2.5	3.5	3.0	2.8	2.1	3.4	0.2	0.6	0.7	0.3	1.0	2.0	1.3	2.0	1.8	2.1	1.0	1.7	0.2	0.5	1.1
12	0.3	0.3	0.3	2.7	3.8	1.2	3.3	1.6	2.5	0.3	0.2	0.3	0.3	1.0	0.0	2.4	2.0	2.3	2.0	1.0	2.0	0.2	0.5	0.5
13	0.2	0.7	0.1	3.7	4.4	0.1	3.4	3.1	3.9	1.0	0.3	0.5	0.3	0.9	0.4	2.4	3.4	3.0	2.3	1.0	2.0	0.8	0.8	0.2
14	0.6	0.2	0.8	3.4	1.9	2.0	3.3	2.3	2.9	0.6	0.3	1.0	0.4	1.2	1.5	3.4	2.2	4.0	1.4	1.8	0.5	0.6	0.5	0.0
15	0.7	0.2	0.6	3.7	0.5	3.5	0.2	0.8	2.6	0.4	0.2	0.5	0.9	1.0	1.0	2.7	0.8	2.9	0.3	1.0	0.5	0.6	0.5	0.0
16	0.5	0.6	0.5	2.7	2.5	4.1	1.2	2.3	2.7	1.2	0.6	0.2	0.5	1.0	0.4	1.0	1.0	2.2	1.6	1.0	1.0	0.6	0.5	0.0
17	0.6	0.3	1.1	0.4	2.1	4.0	2.9	3.0	1.0	1.0	0.8	0.8	0.6	1.0	0.3	0.7	1.4	3.0	2.2	2.6	0.0	1.0	0.7	0.3
18	0.4	1.2	1.2	0.4	3.2	3.1	5.4	1.6	3.3	0.3	0.9	0.7	0.6	1.0	0.4	1.0	2.0	2.4	2.5	2.0	1.5	0.3	1.4	0.2
19	0.4	1.7	2.0	0.4	2.8	3.9	3.5	2.2	2.2	0.5	0.8	0.7	0.5	1.6	1.1	0.3	1.3	3.0	3.5	1.8	1.0	0.2	1.1	0.1
20	1.4	2.0	2.1	1.4	4.1	4.0	3.1	1.9	2.9	0.2	0.0	0.7	1.2	1.3	0.8	0.7	2.1	1.0	3.5	1.5	1.2	0.4	1.0	0.2
21	0.9	1.0	2.6	2.5	3.4	2.3	5.2	2.1	1.7	0.7	0.2	0.1	1.0	1.2	0.7	2.0	2.6	1.3	3.9	1.5	0.4	0.4	1.1	0.4
22	1.5	2.2	1.4	3.5	1.5	1.2	6.0	1.2	2.1	0.4	0.1	0.6	1.8	0.7	0.6	2.1	1.3	1.1	3.2	0.6	1.3	0.6	1.0	0.5
23	1.1	1.1	1.1	4.4	2.5	1.6	5.2	1.5	2.7	1.8	0.4	0.3	1.0	0.9	1.0	2.1	1.0	2.6	2.5	0.0	2.0	0.7	1.0	0.4
24	0.4	1.0	1.2	3.2	2.0	2.4	2.3	2.4	2.5	1.9	0.1	0.5	0.7	1.2	1.2	2.8	0.8	1.8	1.9	1.0	0.5	1.3	1.0	0.3
25	0.6	1.2	0.7	3.9	4.4	1.2	3.5	2.8	1.2	2.3	0.2	1.3	0.4	1.3	0.2	2.9	1.4	2.6	2.8	1.7	0.0	1.7	0.3	0.3
26	0.8	1.4	0.9	3.4	5.4	0.7	3.7	2.2	1.0	1.4	0.1	1.0	0.6	1.4	1.0	1.5	2.7	0.1	3.0	1.5	0.3	0.8	0.7	0.2
27	0.7	2.0	2.0	1.8	4.9	3.3	5.4	3.2	1.1	1.0	0.0	1.5	0.5	1.3	3.0	2.2	2.7	2.4	3.0	1.7	0.7	1.0	0.7	0.3
28	0.7	1.8	0.2	1.4	3.3	2.9	3.3	3.2	2.3	0.3	0.1	0.4	0.5	1.2	0.4	0.3	2.5	2.0	2.2	1.5	0.6	0.0	0.3	0.9
29	0.1	—	1.1	4.1	2.5	2.4	1.6	3.4	2.9	0.1	0.1	0.4	0.5	—	1.2	1.4	2.3	1.0	2.0	0.5	0.9	0.0	0.8	0.6
30	0.0	—	1.0	0.7	1.9	1.0	2.2	2.7	1.6	0.6	0.4	0.8	0.7	—	1.0	0.0	1.7	0.0	0.8	1.5	0.7	0.6	0.4	0.5
31	0.1	—	0.7	—	1.5	—	1.2	3.6	—	0.3	—	0.6	0.7	—	2.0	—	0.3	—	0.5	1.0	—	0.4	—	0.5
Summe	16.8	24.4	38.8	79.5	93.1	79.6	101.6	71.7	76.6	27.2	12.0	18.2	16.3	27.3	31.5	52.9	57.2	59.3	75.3	44.5	31.0	21.7	18.2	11.7
	Jahressumme: 639.5 mm												Jahressumme: 446.9 mm											

Pregassona

	I	II	III	IV	V	VI	VII	VIII	IX	X	XI	XII
1	1.6	1.2	5.1	4.3	3.0	4.8	5.6	6.2	2.4	2.1	1.6	0.2
2	0.9	0.3	4.0	3.4	8.0	3.9	5.8	2.5	2.2	1.6	1.2	0.5
3	3.3	0.8	2.4	2.2	4.3	4.9	3.5	3.8	2.0	2.0	1.6	0.3
4	4.5	0.6	0.3	3.2	3.0	4.1	5.5	1.8	2.6	2.0	2.8	6.4
5	2.9	0.7	0.6	3.6	4.3	1.7	3.6	3.3	1.4	2.3	2.8	4.3
6	1.8	1.2	0.1	2.4	3.5	3.2	4.5	3.2	2.0	1.9	0.6	1.6
7	0.2	2.2	0.8	5.7	2.9	2.0	4.2	3.4	1.8	0.9	1.8	0.4
8	5.8	2.0	4.8	3.4	4.4	4.0	2.3	1.5	2.7	1.6	2.0	0.1
9	4.0	1.2	2.6	1.1	1.9	2.3	5.5	3.0	3.0	2.4	1.2	0.7
10	2.8	1.6	1.0	5.6	2.1	9.8	4.2	1.8	3.0	1.5	1.1	0.1
11	2.2	1.2	0.3	4.6	4.4	8.4	3.0	2.0	2.6	1.2	0.7	0.3
12	1.8	1.3	0.8	3.7	3.8	8.2	3.0	5.6	2.2	2.5	0.2	0.4
13	1.7	2.6	6.5	3.2	3.4	2.0	4.0	4.0	2.3	0.8	0.1	1.9
14	1.5	1.1	2.6	3.0	5.7	6.8	1.2	2.9	2.5	1.2	0.6	0.8
15	1.3	8.2	1.2	5.0	0.6	4.1	3.0	3.7	1.7	1.3	0.8	1.5
16	5.7	2.7	1.4	0.7	3.0	4.7	7.8	9.4	2.0	1.3	1.4	0.4
17	4.5	1.6	2.2	2.1	4.4	2.7	4.5	6.9	1.9	2.1	0.5	0.8
18	1.7	2.5	1.3	3.8	4.3	2.5	3.4	3.4	2.9	0.6	0.8	1.5
19	1.6	3.5	0.7	7.9	2.1	3.8	4.4	1.9	2.1	0.2	0.8	4.8
20	0.4	3.5	2.2	11.7	4.9	2.4	5.1	1.6	2.2	0.3	1.0	1.5
21	0.4	9.4	1.8	3.0	1.1	0.7	5.8	1.7	1.4	0.6	0.7	0.3
22	0.2	13.4	2.8	3.5	0.5	2.8	4.0	0.6	2.5	1.8	0.7	2.1
23	0.4	2.6	3.0	2.8	1.6	3.9	4.2	1.0	2.1	2.8	1.0	0.2
24	5.8	1.5	2.4	3.6	1.5	2.6	3.3	2.7	1.9	2.0	1.0	1.6
25	5.0	1.5	0.4	4.1	2.2	2.5	4.1	3.3	0.3	1.0	1.6	0.5
26	0.7	2.0	1.3	2.6	4.0	1.0	2.4	2.9	0.5	0.6	0.3	0.8
27	1.7	3.6	2.9	1.2	3.8	2.3	3.6	2.9	0.5	0.6	0.5	0.5
28	2.4	3.9	1.7	0.3	2.2	2.8	2.5	2.4	2.2	3.8	0.1	1.7
29	2.2	—	2.2	0.3	0.6	3.5	2.6	2.5	1.1	3.3	0.2	3.6
30	1.8	—	1.4	1.0	6.1	5.9	3.3	1.0	1.8	4.5	0.4	2.0
31	1.6	—	2.1	—	2.4	—	4.4	1.9	—	1.4	—	0.9
Summe	72.4	77.9	62.9	103.0	100.0	114.3	124.3	94.8	59.8	52.2	30.1	42.7
	Jahressumme: 934.4 mm											

Bodentemperaturen

Zürich 1959 (Mittel aus 8 Stundenwerten)

	I	II	III	IV	V	VI	VII	VIII	IX	X	XI	XII	I	II	III	IV	V	VI	VII	VIII	IX	X	XI	XII
	0 cm Tiefe												2 cm Tiefe											
1	3.3	–0.3	6.8	9.2	8.4	18.9	14.4	18.1	19.2	14.6	6.2	4.0	3.2	–0.3	6.6	9.1	8.7	17.6	15.0	18.1	18.4	13.7	6.5	4.3
2	2.6	–0.4	6.9	10.0	9.8	18.1	18.1	17.6	19.2	15.3	6.5	2.9	2.4	–0.4	6.5	9.9	9.6	17.9	17.7	17.8	18.4	15.0	7.1	3.4
3	2.0	–0.6	7.1	10.7	12.3	21.1	21.6	19.4	19.5	14.8	5.1	3.6	2.0	–0.1	6.6	10.6	12.1	19.8	20.9	19.2	18.4	14.7	5.9	3.8
4	2.0	–0.7	8.2	12.1	13.0	23.5	24.3	19.6	18.9	14.6	5.5	3.6	2.1	–0.6	7.7	11.8	12.9	21.7	23.1	19.5	18.3	14.6	6.1	3.8
5	1.9	–0.5	8.0	12.9	15.2	23.0	25.2	20.8	18.1	11.8	4.0	3.0	1.9	–0.7	7.9	12.6	14.6	21.8	24.0	20.1	17.9	12.6	5.0	3.6
6	1.0	–0.3	8.8	12.9	16.2	25.8	22.6	22.0	19.1	12.0	4.6	2.2	1.2	–0.5	8.4	12.5	15.7	23.4	22.4	21.1	17.9	12.2	5.2	3.0
7	1.1	–0.3	8.1	9.6	16.7	24.1	24.3	22.4	18.7	13.2	4.8	1.4	0.9	–0.4	8.1	9.9	16.2	23.0	23.6	21.2	17.7	13.0	5.4	1.9
8	1.5	–0.1	7.9	11.7	19.0	18.0	25.1	21.1	18.9	13.1	4.1	2.3	1.5	–0.3	7.9	11.2	18.1	18.6	24.3	21.6	17.9	13.0	4.7	2.4
9	0.9	0.6	7.4	9.6	18.1	17.1	26.7	24.0	19.5	12.8	4.3	3.0	0.9	–0.2	7.3	10.0	17.8	17.3	25.5	22.5	18.4	12.7	4.8	3.0
10	0.9	2.6	7.7	8.4	19.4	18.0	27.9	21.5	20.0	12.4	4.3	1.5	0.9	1.8	7.6	8.8	18.5	17.8	26.2	21.6	18.6	12.5	4.7	1.8
11	1.0	1.6	8.2	8.8	19.6	18.4	26.1	21.8	20.3	12.0	5.4	2.5	1.0	1.6	8.0	9.0	18.9	17.9	25.3	21.1	19.2	12.4	5.8	2.6
12	1.1	1.7	6.6	11.8	18.7	15.5	24.5	20.5	20.6	12.5	4.3	2.0	1.1	1.7	6.9	11.0	18.3	16.1	24.3	20.5	19.3	12.9	4.8	2.2
13	1.1	2.2	5.9	13.3	17.9	14.2	24.3	23.1	21.2	12.2	4.8	1.6	1.2	2.2	5.9	12.8	17.5	14.4	23.7	21.4	19.8	12.3	5.2	2.1
14	1.1	1.1	6.2	13.9	15.7	18.0	24.7	21.9	20.8	10.3	4.3	1.5	1.1	1.2	6.3	13.7	15.8	17.4	24.2	20.9	19.6	11.2	4.4	1.9
15	0.0	1.5	5.4	14.5	14.6	20.5	19.3	18.6	20.0	10.1	4.5	1.2	0.4	1.6	5.5	14.1	14.6	19.7	20.3	19.3	19.4	10.6	4.8	1.7
16	0.0	1.7	5.2	12.8	16.5	21.1	20.0	19.6	21.2	11.5	4.2	–0.4	0.3	2.0	5.2	12.9	16.0	20.6	19.8	19.6	19.8	11.5	4.6	0.4
17	0.5	1.3	6.1	10.8	16.7	22.5	21.2	19.2	18.3	10.8	3.2	–0.3	0.5	1.4	6.1	10.8	16.3	21.4	20.9	19.5	18.7	11.1	3.6	0.1
18	0.1	2.0	6.6	10.6	18.3	23.2	23.0	19.2	17.7	10.2	4.5	2.5	0.2	1.9	6.3	10.5	17.8	22.2	22.1	19.0	17.8	10.6	4.6	1.9
19	0.4	2.2	8.5	10.0	19.3	24.7	24.9	21.8	17.0	10.9	4.4	2.8	0.4	2.2	8.3	10.0	18.6	23.2	23.3	20.5	16.8	11.0	4.3	2.7
20	0.6	2.9	9.1	8.9	20.0	24.3	24.6	21.1	17.8	10.3	4.0	3.1	0.6	2.7	9.1	9.1	19.3	23.3	23.6	20.3	17.1	10.8	4.0	3.0
21	1.4	3.1	9.8	8.2	19.2	23.2	24.7	20.4	17.7	11.6	3.7	3.5	1.2	2.9	9.5	8.5	19.0	22.7	24.1	20.2	17.3	11.1	4.1	3.4
22	2.7	3.1	10.8	8.9	16.7	21.0	25.9	19.4	19.4	10.5	3.5	2.4	2.2	3.1	10.5	9.0	16.8	20.9	24.0	19.8	18.0	10.8	4.0	3.0
23	4.3	3.9	11.2	10.2	16.6	21.6	26.0	20.7	21.9	9.9	3.0	2.5	4.0	3.7	10.8	10.2	16.5	21.2	23.7	20.7	19.6	10.3	3.6	2.5
24	2.9	4.1	11.6	12.0	15.6	22.5	24.0	22.4	20.9	9.7	2.9	2.9	3.0	3.9	11.3	11.7	15.6	20.4	23.3	21.8	19.8	9.9	3.4	3.1
25	0.9	4.7	10.0	13.8	18.4	20.8	25.9	23.2	18.5	10.7	2.6	3.3	0.2	4.5	10.0	13.2	17.4	20.7	23.8	22.6	18.2	10.3	3.2	3.2
26	0.0	4.8	9.6	13.4	19.9	19.1	25.4	23.8	19.4	12.0	2.7	5.0	0.2	4.8	9.6	13.0	18.8	19.5	23.6	22.9	18.5	11.7	3.2	4.5
27	–0.4	5.3	9.8	13.1	20.9	21.9	26.9	24.1	17.7	11.8	3.2	5.2	–0.2	5.2	9.8	13.0	19.7	21.1	24.1	23.0	18.0	11.8	3.4	5.2
28	–0.4	5.8	8.9	13.2	20.7	21.7	27.4	22.7	15.2	8.3	4.2	3.4	–0.3	5.7	9.1	13.0	19.5	20.9	24.8	22.0	15.9	9.5	4.1	3.7
29	–0.5	—	9.7	14.1	18.3	18.9	21.7	21.8	14.2	4.5	3.6	3.1	–0.4	—	9.6	13.8	17.4	19.7	22.1	21.0	14.2	6.5	4.0	3.4
30	–0.3	—	8.8	11.0	16.0	16.3	19.9	19.5	12.6	5.1	4.3	4.9	–0.3	—	8.9	11.2	16.2	16.9	20.6	19.5	12.9	5.7	4.4	4.4
31	–0.2	—	8.2	—	16.7	—	17.7	18.8	—	5.0	—	3.8	–0.2	—	8.3	—	15.9	—	18.5	18.5	—	5.7	—	4.0
Mittel	1.1	1.9	8.1	11.3	16.9	20.6	23.5	21.0	18.8	11.1	4.2	2.7	1.1	1.8	8.0	11.2	16.5	20.0	22.7	20.5	18.1	11.3	4.6	2.9
	10 cm Tiefe												20 cm Tiefe											
1	3.5	0.1	6.9	9.2	9.2	17.9	15.4	18.4	18.6	13.9	6.7	4.5	3.6	0.2	6.4	8.8	9.5	17.2	15.7	18.4	18.5	13.9	6.8	4.7
2	2.7	–0.1	6.8	10.0	9.9	18.2	17.7	18.2	18.6	15.2	7.3	3.5	3.0	0.1	6.5	9.7	9.7	17.6	17.1	18.1	18.4	15.0	7.4	3.7
3	2.3	–0.1	6.9	10.7	12.4	20.2	21.1	19.6	18.7	14.9	6.0	4.0	2.5	0.1	6.6	10.3	11.6	19.2	20.1	19.1	18.4	14.9	6.4	4.1
4	2.3	–0.3	7.9	12.0	13.2	22.1	23.4	19.9	18.6	14.9	6.1	4.0	2.5	0.0	7.6	11.4	12.6	21.0	22.3	19.5	18.4	14.8	6.5	4.1
5	2.1	–0.4	8.1	12.9	14.9	22.2	24.4	20.6	18.2	12.8	5.2	3.8	2.3	–0.2	7.7	12.2	14.1	21.3	23.4	20.0	18.1	13.3	5.6	4.0
6	1.9	–0.2	8.7	12.9	16.0	23.9	22.8	21.6	18.2	12.5	5.3	3.0	2.0	–0.1	8.3	12.4	15.2	22.6	22.3	21.0	17.4	12.7	5.5	3.3
7	2.2	–0.1	8.4	10.4	16.7	23.6	24.0	21.6	17.9	13.3	5.5	2.0	1.8	0.0	8.2	10.6	15.8	22.6	23.1	21.1	17.7	13.2	5.7	2.3
8	2.0	–0.1	8.1	11.6	18.5	19.2	24.7	22.1	18.1	13.3	4.8	2.6	2.0	0.1	7.9	11.0	17.4	19.3	23.8	21.5	17.8	13.3	5.2	2.7
9	1.3	0.1	7.5	10.3	18.3	17.7	25.8	23.1	18.6	13.0	4.8	3.2	1.5	0.3	7.4	10.5	17.5	17.7	24.8	22.2	18.2	13.0	5.1	3.4
10	1.2	1.9	7.8	9.2	18.9	18.3	26.6	22.1	18.9	12.8	4.8	2.0	1.4	1.6	7.7	9.2	17.9	17.8	25.6	21.7	18.5	12.9	5.0	2.3
11	1.4	1.8	8.2	9.4	19.5	18.4	25.7	21.7	19.4	12.7	6.0	2.8	1.6	1.9	7.8	9.2	18.5	17.9	25.1	21.2	18.9	12.9	6.0	2.8
12	1.4	2.0	7.2	11.5	18.7	16.6	24.7	21.0	19.5	13.1	4.9	2.4	1.6	2.0	7.3	10.8	18.0	16.6	24.2	20.8	19.1	13.1	5.2	2.6
13	1.5	2.4	6.3	13.2	18.0	14.8	24.3	21.8	20.1	12.5	5.3	2.3	1.6	2.4	6.3	12.3	17.4	15.0	23.7	21.1	19.5	12.5	5.5	2.5
14	1.5	1.6	6.5	14.0	16.4	17.7	24.7	21.3	19.9	11.4	4.6	2.1	1.6	1.7	6.5	13.2	16.2	16.9	24.1	20.9	19.4	11.6	4.8	2.2
15	1.2	2.0	5.7	14.6	15.1	20.0	20.8	19.7	19.7	10.8	4.9	1.9	1.2	1.9	5.7	13.9	14.9	19.0	21.1	19.8	19.3	11.0	5.1	2.1
16	1.0	2.2	5.5	13.3	16.4	21.1	20.8	19.9	20.2	11.8	4.8	0.6	1.0	2.2	5.5	13.0	15.8	20.3	20.0	19.6	19.6	11.7	5.0	1.1
17	0.8	1.7	6.3	11.4	16.7	22.0	21.1	19.8	19.0	11.3	3.7	0.3	0.9	1.8	6.1	11.3	16.2	21.0	20.6	19.6	18.9	11.3	4.0	0.6
18	0.5	2.2	6.6	10.9	18.3	22.7	22.2	19.4	17.9	10.8	4.8	2.1	0.7	2.1	6.3	10.8	17.5	21.8	21.7	19.2	17.9	11.0	4.8	1.9
19	0.6	2.5	8.5	10.2	19.2	23.8	23.4	20.8	17.1	11.2	4.5	3.0	0.7	2.4	7.9	10.3	18.3	22.7	22.6	20.2	17.0	11.2	4.6	3.0
20	1.0	3.0	9.4	9.4	19.8	23.9	23.9	20.7	17.2	11.0	4.2	3.3	1.0	2.8	8.9	9.5	18.9	23.0	23.4	20.3	17.1	11.1	4.4	3.2
21	2.4	3.2	9.7	8.8	19.3	23.5	24.3	20.5	17.6	11.4	4.3	3.7	1.9	3.2	9.2	8.7	18.7	22.8	23.6	20.1	17.4	11.3	4.4	3.6
22	2.7	3.3	10.8	9.3	17.1	21.4	24.2	20.1	18.4	11.0	4.1	3.2	2.4	3.3	10.2	9.1	17.0	21.0	23.6	19.8	17.8	11.1	4.3	3.4
23	4.2	4.0	11.1	10.6	16.8	21.5	24.2	21.1	20.0	10.5	3.7	2.7	3.9	3.7	10.7	10.2	16.5	21.1	23.6	20.6	19.2	11.6	3.9	2.7
24	3.1	4.1	11.4	12.0	15.9	22.3	23.5	22.1	20.2	10.1	3.5	3.3	3.3	3.9	10.8	11.5	15.8	21.5	23.2	21.5	19.7	10.2	3.7	3.3
25	1.2	4.8	10.5	13.4	17.6	21.1	24.1	22.9	18.5	10.5	3.3	3.4	1.5	4.5	10.4	12.7	16.9	20.7	23.4	22.2	18.4	10.4	3.5	3.3
26	0.6	5.0	10.0	13.3	19.1	19.9	23.9	23.3	18.9	12.0	3.4	4.7	0.8	4.8	9.8	12.9	18.2	19.6	23.4	22.6	18.5	11.7	3.5	4.3
27	0.2	5.5	10.0	13.2	20.0	21.3	24.3	23.3	18.4	12.0	3.6	5.4	0.4	5.1	9.7	12.7	19.2	20.7	23.6	22.7	18.3	11.8	3.7	5.2
28	0.0	5.9	9.3	13.5	19.8	21.3	25.2	22.3	16.2	9.6	4.3	3.9	0.2	5.7	9.4	13.1	19.2	20.8	24.4	22.0	16.5	10.1	4.3	4.0
29	–0.1	—	9.8	14.1	17.8	18.9	22.5	21.4	14.4	6.5	4.2	3.6	0.1	—	9.5	13.3	17.7	19.7	22.4	21.2	14.7	7.3	4.3	3.7
30	0.0	—	9.2	11.6	16.4	17.3	21.0	19.9	13.1	6.0	4.6	4.6	0.2	—	9.1	11.8	16.2	17.7	21.0	19.9	13.5	6.3	4.5	4.3
31	0.0	—	8.6	—	16.4	—	18.8	18.7	—	5.9	—	4.2	0.2	—	8.6	—	16.0	—	19.1	18.7	—	6.2	—	4.3
Mittel	1.5	2.1	8.3	11.6	16.8	20.4	23.0	20.9	18.3	11.6	4.8	3.1	1.6	2.0	8.0	12.2	16.3	20.0	22.4	20.5	18.1	11.6	5.0	3.2

Bodentemperaturen

Zürich 1959 (Mittel aus 4 Stundenwerten)

	I	II	III	IV	V	VI	VII	VIII	IX	X	XI	XII	I	II	III	IV	V	VI	VII	VIII	IX	X	XI	XII
	50 cm Tiefe												100 cm Tiefe											
1	4.8	2.0	5.6	8.7	11.3	15.6	17.6	19.5	18.9	15.3	8.9	6.0	5.9	3.8	5.2	8.5	10.5	14.2	16.8	18.7	18.2	16.0	11.2	7.3
2	4.6	2.0	6.0	9.0	10.3	16.0	16.7	18.9	18.7	15.3	9.0	5.8	6.0	3.8	5.4	8.5	10.4	14.2	16.6	18.5	18.0	15.6	10.9	7.3
3	4.4	2.0	6.3	9.3	10.3	16.3	17.3	18.6	18.3	15.5	9.0	5.5	5.8	3.8	5.6	8.6	10.2	14.3	16.3	18.2	17.8	15.5	10.8	7.2
4	4.2	1.8	6.5	9.7	11.0	17.3	18.4	18.6	18.3	15.4	8.7	5.5	5.7	3.7	5.8	8.6	10.2	14.5	16.3	17.9	17.6	15.4	10.6	7.2
5	4.1	1.7	6.9	10.3	11.7	18.0	19.5	18.9	18.3	15.2	8.5	5.5	5.7	3.6	6.0	8.9	10.3	14.8	16.5	17.8	17.5	15.3	10.4	7.0
6	3.9	1.7	7.1	10.8	12.5	18.2	20.2	19.3	18.0	14.5	8.0	5.3	5.4	3.6	6.2	9.1	10.4	15.1	16.9	17.8	17.4	15.2	10.2	7.0
7	3.0	1.7	7.5	11.0	13.2	19.2	20.1	19.5	17.9	14.3	7.8	5.0	4.7	3.5	6.4	9.3	10.8	15.4	17.2	17.8	17.3	15.0	10.0	6.9
8	3.0	1.8	7.4	10.2	13.8	19.0	20.5	19.9	17.8	14.3	7.8	4.6	4.5	3.5	6.6	9.5	11.1	15.7	17.4	17.9	17.2	14.8	9.8	6.8
9	3.1	1.9	7.4	10.5	14.5	18.0	20.9	20.0	17.7	14.2	7.5	4.7	4.5	3.5	6.7	9.4	11.4	15.8	17.6	18.1	17.1	14.7	9.6	6.5
10	3.0	2.1	7.4	10.0	14.6	17.2	21.7	20.4	17.9	14.1	7.4	4.6	4.5	3.5	6.8	9.5	11.9	15.7	17.8	18.2	17.0	14.5	9.4	6.5
11	3.0	2.7	7.5	9.6	15.3	17.2	22.3	20.1	18.1	14.0	7.4	4.5	4.5	3.6	6.9	9.4	12.1	15.5	18.2	18.3	17.0	14.5	9.3	6.4
12	3.0	2.8	7.7	9.6	15.6	16.9	22.1	20.0	18.3	13.8	7.4	4.5	4.5	3.8	7.0	9.3	12.4	15.4	18.5	18.3	17.1	14.4	9.2	6.3
13	3.0	2.9	7.2	10.2	15.6	16.2	21.9	19.8	18.4	13.7	7.3	4.5	4.5	3.8	7.1	9.1	12.8	15.3	18.6	18.3	17.1	14.3	9.1	6.3
14	3.0	3.0	7.0	11.0	15.4	15.6	21.8	20.0	18.6	13.4	7.1	4.3	4.5	3.9	7.0	9.4	13.0	15.1	18.7	18.3	17.2	14.2	9.0	6.2
15	2.6	2.9	6.7	11.6	15.0	16.2	21.7	19.9	18.6	13.1	6.9	4.2	4.2	4.0	7.0	9.6	13.1	14.9	18.8	18.3	17.3	14.0	8.8	6.1
16	2.1	3.0	6.6	12.0	14.5	17.2	20.4	19.4	18.6	12.7	6.8	4.0	3.7	4.0	6.9	9.9	13.0	15.0	18.7	18.2	17.3	13.8	8.7	6.0
17	2.1	3.0	6.3	11.7	14.7	17.8	19.8	19.3	18.7	12.7	6.5	3.6	3.8	4.1	6.8	10.1	13.0	15.2	18.5	18.1	17.3	13.6	8.5	5.8
18	2.2	3.0	6.5	11.1	15.0	19.0	19.9	19.0	18.3	12.6	6.4	3.4	3.8	4.0	6.7	10.2	12.9	15.4	18.3	18.0	17.4	13.5	8.4	5.6
19	2.3	3.2	6.9	10.8	15.6	19.0	20.3	18.9	17.9	12.4	6.4	3.8	4.0	4.1	6.8	10.1	13.1	15.7	18.3	17.8	17.3	13.3	8.2	5.5
20	2.4	3.4	7.6	10.3	15.9	19.6	20.9	19.3	17.5	12.5	6.4	4.1	4.0	4.2	6.9	10.0	13.2	16.1	18.4	17.8	17.1	13.2	8.2	5.5
21	2.4	3.7	8.0	9.8	16.4	19.9	21.2	19.4	17.5	12.3	6.3	4.3	3.9	4.2	7.0	9.9	13.4	16.4	18.5	17.8	17.0	13.2	8.1	5.5
22	2.7	3.8	8.6	9.6	16.4	19.8	21.5	19.4	17.9	12.3	6.3	4.4	3.9	4.3	7.3	9.7	13.7	16.6	18.6	17.9	16.8	13.1	8.0	5.5
23	3.3	3.9	9.1	9.7	15.8	19.4	21.5	19.3	17.7	12.0	6.1	4.3	4.0	4.3	7.6	9.6	13.8	16.7	18.7	17.9	16.7	13.0	8.0	5.6
24	3.7	4.2	9.3	10.1	15.4	19.4	21.7	19.5	18.3	11.7	5.9	4.2	4.2	4.4	7.8	9.5	13.8	16.7	18.8	17.8	16.8	12.8	7.8	5.5
25	3.5	4.3	9.6	10.6	15.2	19.5	21.5	20.0	18.3	11.6	5.6	4.3	4.3	4.5	8.1	9.6	13.7	16.8	18.9	17.9	17.0	12.7	7.7	5.5
26	3.1	4.6	9.4	11.3	15.7	19.2	21.6	20.4	18.1	11.8	5.5	4.5	4.3	4.7	8.3	9.8	13.7	16.9	19.0	18.1	17.0	12.5	7.6	5.5
27	2.7	4.9	9.2	11.5	16.4	18.8	21.5	20.4	18.1	12.3	5.5	5.0	4.3	4.9	8.3	10.0	13.8	16.8	19.0	18.3	17.0	12.6	7.5	5.5
28	2.5	5.2	9.3	11.8	16.8	19.1	21.9	20.7	17.6	12.2	5.5	5.1	4.2	5.1	8.4	10.2	14.1	16.8	19.1	18.4	17.0	12.6	7.4	5.7
29	2.3	—	9.1	11.9	16.8	19.1	21.9	20.6	17.2	11.1	5.7	4.9	4.1	—	8.5	10.3	14.3	16.9	19.2	18.5	16.7	12.5	7.3	5.7
30	2.2	—	9.2	12.1	16.3	18.6	21.2	19.9	15.8	9.6	5.7	4.7	4.0	—	8.5	10.5	14.3	17.0	19.2	18.5	16.3	12.1	7.3	5.7
31	2.1	—	9.0	—	15.7	—	20.4	19.4	—	9.2	—	5.0	4.0	—	8.5	—	14.3	—	19.1	18.4	—	11.6	—	5.7
Mittel	3.0	3.0	7.7	10.5	14.6	18.1	20.6	19.6	18.0	13.0	7.0	4.6	4.5	4.0	7.0	9.5	12.5	15.7	18.1	18.1	17.2	13.8	8.9	6.1

Bodentemperaturen

Pregassona-Lugano 1959 (Mittel aus 2 Ablesungen)

	I	II	III	IV	V	VI	VII	VIII	IX	X	XI	XII	I	II	III	IV	V	VI	VII	VIII	IX	X	XI	XII
	2 cm Tiefe												10 cm Tiefe											
1	5.0	2.1	7.7	9.8	11.0	17.0	18.7	20.2	18.9	16.2	8.9	7.1	5.2	2.5	7.9	11.0	11.8	17.2	19.1	20.8	19.1	16.6	9.6	7.3
2	4.3	2.4	7.9	11.7	12.5	18.5	19.9	20.3	18.8	15.3	8.6	7.0	4.6	2.5	8.0	11.4	12.7	18.2	19.8	20.4	19.2	15.6	9.4	7.2
3	3.5	2.4	8.1	11.9	13.0	18.7	20.7	19.5	17.9	15.2	8.4	7.0	4.3	2.6	8.1	11.8	12.8	18.7	20.4	20.0	18.5	15.8	9.3	7.3
4	2.4	2.6	7.8	12.3	13.4	19.7	21.3	20.4	18.8	15.2	8.0	6.8	2.9	2.4	7.9	12.2	13.4	19.4	21.0	20.4	18.9	15.7	9.0	7.1
5	2.1	3.3	7.9	12.3	14.1	19.9	22.6	20.6	18.5	14.8	8.2	5.7	2.7	3.1	7.7	12.4	13.8	19.6	21.7	20.6	18.8	15.5	8.9	6.5
6	1.9	3.6	8.0	12.2	14.1	19.8	21.5	21.4	18.4	15.2	7.8	5.0	2.5	3.8	7.9	12.4	14.0	19.6	21.4	21.4	18.7	15.5	8.5	5.6
7	2.3	4.3	7.9	12.5	14.1	21.6	21.6	22.0	17.7	14.5	7.5	4.6	2.6	4.1	7.9	12.5	14.0	20.5	21.6	21.6	18.1	15.1	8.2	5.2
8	2.3	3.8	8.2	11.1	14.7	21.3	22.3	22.1	18.4	13.7	6.9	4.1	2.6	3.9	8.3	11.7	14.4	21.0	21.9	21.7	18.6	14.4	7.9	4.8
9	2.1	3.5	8.8	11.8	14.5	20.0	22.5	22.3	18.1	13.7	6.8	3.6	2.6	3.6	8.7	11.9	14.5	20.2	22.3	22.0	18.3	14.2	7.5	4.1
10	1.4	3.5	8.4	9.0	15.2	18.4	22.8	22.3	18.3	13.4	6.4	2.7	1.9	3.9	8.6	9.5	14.6	19.1	22.7	22.2	18.2	13.6	7.3	3.5
11	1.4	3.9	7.6	10.3	15.5	17.3	23.3	21.8	18.5	14.0	7.6	3.0	1.5	4.1	7.8	10.4	15.2	17.8	23.1	21.8	18.7	14.3	7.9	2.7
12	0.7	4.0	8.4	10.7	16.1	16.3	23.4	21.0	19.2	13.4	6.4	3.5	1.3	4.1	8.2	11.0	15.9	17.0	23.1	21.7	19.2	13.9	6.9	3.3
13	0.9	3.9	8.2	12.1	16.2	16.9	23.0	20.5	19.3	13.4	5.9	3.7	1.3	4.0	8.4	12.1	16.3	17.0	22.9	21.4	19.3	14.0	5.8	3.3
14	1.0	4.0	8.5	13.3	15.7	18.6	22.1	20.9	19.3	13.6	7.1	3.7	1.4	4.0	8.6	12.9	16.0	17.9	22.3	21.6	19.5	13.3	7.2	3.5
15	1.3	4.3	8.1	13.3	15.3	19.0	18.3	20.8	19.1	13.5	8.1	2.6	1.5	4.4	8.4	12.4	15.4	19.0	18.7	21.3	19.4	13.1	8.1	3.1
16	2.6	4.7	7.9	12.2	14.5	19.6	19.5	20.4	18.7	13.1	7.2	1.8	1.7	4.7	8.2	12.3	14.5	19.6	19.6	20.9	19.2	13.7	7.5	2.6
17	2.5	4.7	8.0	12.0	15.2	20.2	20.8	20.0	18.2	12.4	6.9	1.7	2.1	4.7	8.1	12.1	14.9	20.0	20.6	19.6	18.7	13.5	7.4	2.3
18	1.5	4.8	8.4	12.4	15.9	20.6	21.3	20.2	18.3	13.1	6.8	1.6	1.6	4.8	8.6	12.6	15.6	20.3	21.2	20.1	18.7	13.4	7.3	2.1
19	0.9	5.3	8.6	12.9	16.4	20.1	22.0	21.0	18.5	13.5	7.5	2.9	1.3	5.2	8.6	12.7	16.2	20.9	21.7	20.9	18.7	13.7	7.5	3.2
20	1.8	5.4	9.3	12.5	16.5	19.6	22.5	20.5	17.6	11.7	7.3	2.6	1.8	5.5	9.2	12.7	16.3	19.4	22.5	20.7	17.9	11.5	7.8	3.0
21	2.4	5.9	9.4	11.8	16.4	19.7	22.5	19.4	17.4	12.4	6.0	2.8	2.4	6.0	9.8	12.2	16.2	19.7	22.3	19.8	17.9	12.4	6.4	3.2
22	2.6	7.0	10.3	10.9	15.7	21.0	22.3	18.1	17.4	12.8	6.5	3.0	2.5	6.7	9.9	11.4	15.8	20.5	22.4	18.9	17.9	12.9	6.9	3.2
23	3.8	6.8	10.9	11.0	16.4	21.8	23.2	18.2	17.9	12.0	6.5	2.4	3.6	6.7	11.0	11.4	16.3	21.4	22.8	18.2	18.4	12.6	7.2	3.0
24	3.3	7.2	11.3	11.9	16.4	22.5	21.8	20.1	18.7	12.1	5.2	2.5	3.3	7.0	11.3	11.8	16.4	21.8	22.1	19.9	18.8	12.2	6.1	2.6
25	3.3	6.5	11.7	12.0	17.3	21.1	22.4	21.0	18.9	12.0	6.1	3.2	3.8	6.9	11.3	12.1	16.8	21.2	22.0	20.6	18.9	12.3	6.6	3.2
26	2.7	7.1	10.2	12.4	17.9	21.0	22.9	21.5	18.6	12.3	7.6	2.9	3.0	6.5	10.3	12.3	17.7	20.8	22.5	21.1	18.8	12.5	7.6	3.1
27	2.5	7.3	10.8	12.1	18.3	21.4	22.8	21.8	18.6	11.6	8.0	3.0	2.6	7.4	10.9	12.1	18.4	21.0	23.0	21.4	18.6	12.1	7.8	3.2
28	2.5	7.6	11.0	11.5	17.7	21.8	23.0	22.3	18.6	10.1	8.1	3.7	2.7	7.7	11.1	11.7	17.7	21.6	22.0	22.0	18.7	11.7	8.1	3.8
29	2.7	—	11.1	11.2	16.2	17.8	19.2	21.6	18.0	9.4	8.1	4.0	2.6	—	10.9	11.3	16.6	18.8	21.4	21.7	18.0	10.2	8.1	4.1
30	3.0	—	9.8	11.3	16.5	18.2	19.8	20.9	16.8	9.2	7.5	3.7	2.8	—	10.1	11.1	16.7	18.7	20.7	21.2	17.2	10.1	7.8	4.1
31	3.2	—	9.8	—	16.2	—	19.8	19.6	—	8.5	—	3.3	3.1	—	9.9	—	16.6	—	20.1	19.8	—	9.4	—	3.7
Mittel	2.4	4.7	9.0	11.7	15.5	19.6	21.6	20.7	18.4	13.0	7.3	3.7	2.6	4.7	9.1	11.8	15.4	19.6	21.6	20.8	18.6	13.4	7.7	4.0
	20 cm Tiefe												50 cm Tiefe											
1	5.4	2.9	7.4	10.4	11.4	16.8	18.8	20.7	19.5	17.1	10.1	7.7	5.9	3.6	6.8	9.8	11.2	16.0	18.9	20.6	19.9	17.9	11.4	8.4
2	5.2	2.8	8.1	10.9	12.2	17.3	19.5	20.3	19.4	16.3	9.9	7.4	6.0	3.6	7.0	10.1	11.5	16.2	18.8	20.4	19.7	17.4	11.2	8.4
3	4.6	2.7	7.7	11.4	12.4	17.8	19.8	20.2	19.1	16.0	9.7	7.3	5.8	3.5	7.2	10.3	11.8	16.6	18.9	20.3	19.4	17.2	11.1	8.3
4	4.0	2.9	7.8	11.7	12.9	18.6	20.1	20.3	18.7	16.1	9.6	7.6	5.6	3.5	7.3	10.6	12.0	17.0	19.1	20.1	19.1	17.0	10.9	8.3
5	3.4	3.2	7.5	11.9	13.1	18.8	20.6	20.4	18.9	15.9	9.4	7.1	5.1	3.5	7.4	10.8	12.3	17.4	19.3	20.1	19.0	16.8	10.8	8.1
6	3.0	3.6	7.7	12.1	13.4	18.8	20.9	21.0	18.6	15.9	9.1	6.3	4.8	3.7	7.4	11.0	12.4	17.9	19.5	20.3	18.9	16.7	10.6	7.8
7	3.1	3.8	7.8	12.0	13.6	19.5	20.9	21.2	18.4	15.5	8.8	5.9	4.6	3.9	7.5	11.1	12.7	18.1	19.5	20.5	18.7	16.4	10.3	7.4
8	3.1	3.7	7.9	12.0	13.8	19.9	21.2	21.6	18.6	14.9	8.5	5.7	4.6	4.0	7.6	11.2	12.9	18.3	19.7	20.7	18.6	16.1	10.1	7.2
9	3.1	3.7	8.3	12.1	14.1	19.9	21.6	21.6	18.4	14.7	8.1	4.7	4.5	4.1	7.8	11.2	13.1	18.6	20.0	20.8	18.5	15.8	9.8	6.5
10	2.7	3.8	8.5	10.4	14.1	18.9	22.0	21.6	18.4	14.6	8.1	4.5	4.3	4.1	8.0	11.0	13.2	18.4	20.1	20.9	18.5	15.7	9.6	6.3
11	2.4	3.8	8.0	10.3	14.5	18.0	22.3	21.3	18.6	14.6	8.3	3.2	4.1	4.2	7.9	10.6	13.4	18.0	20.5	20.8	18.4	15.4	9.6	5.4
12	2.2	4.0	7.9	10.8	15.1	17.4	22.2	21.2	18.8	14.3	8.0	3.3	3.9	4.3	7.7	10.6	13.8	17.6	20.8	20.7	18.6	15.3	9.6	4.9
13	2.1	3.8	8.0	11.7	15.5	17.1	22.1	21.0	19.1	14.4	6.1	3.6	3.6	4.2	7.8	10.8	13.9	17.2	20.9	20.7	18.8	15.2	8.5	4.7
14	1.9	3.5	8.2	12.2	15.5	17.4	22.1	21.1	19.2	14.2	7.1	3.7	3.4	4.1	7.9	11.2	14.2	17.1	21.0	20.6	18.9	15.1	8.6	4.7
15	1.9	3.8	8.3	12.8	15.1	18.1	19.4	20.9	19.2	14.2	8.1	3.6	3.3	4.2	7.9	11.5	14.2	17.2	19.9	20.6	18.8	15.0	8.7	4.8
16	2.2	4.4	8.3	12.7	14.4	19.0	19.4	21.0	19.1	14.1	7.8	3.1	3.4	4.4	8.1	11.8	14.0	17.5	19.9	20.5	18.8	14.9	8.6	4.7
17	2.2	4.5	8.2	11.9	14.5	19.4	20.2	20.2	18.9	13.9	7.8	2.9	3.5	4.6	8.0	11.7	13.9	17.8	19.9	20.3	18.8	14.8	8.6	4.5
18	2.0	4.6	8.5	12.0	14.9	19.6	20.7	20.0	18.9	13.8	7.3	2.8	3.4	4.7	8.2	11.6	14.0	18.2	20.2	20.1	18.9	14.7	8.4	4.3
19	1.8	4.8	8.4	12.2	15.5	19.5	21.2	20.4	18.6	14.3	7.5	3.3	3.3	4.8	8.2	11.8	14.4	18.5	20.4	20.0	18.8	14.6	8.2	4.3
20	1.9	5.1	8.9	12.5	15.6	19.7	21.8	20.2	18.1	13.1	8.1	3.5	3.3	5.0	8.3	11.8	14.5	18.6	20.7	20.0	18.6	14.2	8.5	4.4
21	2.3	5.4	9.4	12.0	15.8	19.5	21.8	20.0	17.8	12.3	7.3	3.4	3.3	5.2	8.6	11.8	14.7	18.6	20.9	20.0	18.4	13.2	8.5	4.4
22	2.6	6.2	9.5	11.6	15.6	19.0	21.9	19.2	17.7	12.9	7.3	3.3	3.4	5.5	9.0	11.5	14.9	18.4	21.0	19.7	18.1	13.4	8.3	4.4
23	3.2	6.3	10.4	11.3	15.8	20.1	22.1	18.8	18.1	12.8	7.4	3.2	3.5	5.8	9.3	11.4	14.9	18.8	21.1	19.2	18.2	13.6	8.3	4.4
24	3.3	6.6	10.7	11.6	15.7	20.5	21.7	19.5	18.4	12.6	6.8	2.9	3.8	6.1	9.6	11.3	15.0	19.1	21.1	19.2	18.4	13.4	8.2	4.2
25	3.5	6.7	10.9	11.9	15.9	20.4	21.6	20.0	18.7	12.6	7.0	2.9	4.0	6.3	9.9	11.4	15.2	19.3	21.0	19.6	18.6	13.2	8.1	4.0
26	3.2	6.5	10.3	12.1	16.9	20.6	21.8	20.8	18.6	12.6	7.5	2.8	3.9	6.3	9.8	11.5	15.3	19.5	21.1	19.9	18.6	13.2	8.1	4.0
27	2.8	6.9	10.6	12.0	17.3	20.1	22.4	21.2	18.3	12.5	7.9	3.4	3.8	6.4	9.7	11.6	15.9	19.3	21.2	20.3	18.4	13.2	8.4	4.1
28	2.6	7.2	10.7	11.6	17.3	20.9	22.3	21.3	18.5	12.0	8.2	3.9	3.7	6.6	9.9	11.5	16.1	19.5	21.3	20.4	18.3	12.9	8.6	4.2
29	2.7	—	10.5	11.4	16.6	19.3	20.8	21.3	18.6	10.9	8.1	4.0	3.6	—	10.1	11.4	16.1	19.2	21.0	20.6	18.4	12.4	8.6	4.5
30	2.7	—	10.4	11.0	16.3	18.8	20.7	21.0	17.6	10.6	8.0	4.1	3.6	—	10.2	11.2	15.9	19.1	21.1	20.5	18.2	12.0	8.6	4.6
31	2.9	—	9.7	—	16.9	—	20.6	20.0	—	10.1	—	3.9	3.6	—	9.9	—	15.8	—	21.0	20.3	—	11.7	—	4.6
Mittel	2.9	4.5	8.9	11.7	14.9	19.0	21.1	20.6	18.6	13.9	8.1	4.4	4.1	4.7	8.4	11.2	14.0	18.1	20.3	20.3	18.7	14.8	9.2	5.5

Nr. 6

Aerologische Station Payerne
Radiosondierungen 1959

Die Aerologische Station Payerne (Koordination λ = 6°57' β = 46°49' H_b = 491 m) führte die Radiosondierungen im Jahre 1959 in gleicher Weise durch wie im Vorjahr (Aufstiegszeiten 00.00 h und 12.00 h). Die nachfolgende Publikation der Ergebnisse erfolgt ebenfalls in der bisherigen Art. Die jährlichen Zusammenstellungen und die Frequenzstatistiken, welche in den Jahren 1954 bis 56 auf den Seiten 38 ff. enthalten waren, sind weggelassen worden, wie bereits 1957 und 1958. Sie sollen später, nach Einführung des Lochkartenverfahrens, im Rahmen einer Gesamtbearbeitung veröffentlicht werden.

Die Höhen der Standardflächen sind wie bisher in geopotentiellen Metern (gpm), die Temperaturen in ° C, die relativen Feuchtigkeiten in %, die Windrichtungen in 10er-Graden der 360-Grad-Skala und die Windgeschwindigkeiten in Knoten angegeben (1 Knoten = 0,5148 m/sec = 1,853 km/Std.).

Inhaltsverzeichnis / Table des matières

	Page
Observations aux niveaux standards 00.00 h et 12.00 h (HEC)	4—33
Moyennes mensuelles aux niveaux standards:	
Hauteur de la surface de pression standard, température, humidité relative	34—36
Vecteur du vent moyen	37
Vitesse du vent pour les 12 secteurs principaux	38—43
Moyennes annuelles	44

Code SYNOP

N VVwwW $N_hC_Lh_hC_MC_H$

N = Couverture totale du ciel (nébulosité), en huitièmes

N_h = Couverture du ciel par les nuages dont la hauteur est donnée sous h, en huitièmes

N et N_h se chiffrent comme suit:

0 = pas de nuages	0/10	6 = 6 octants = 6/8 du ciel couvert	7/10 à 8/10
1 = 1 octant = 1/8 du ciel couvert	1/10	7 = 7 octants = 7/8 du ciel couvert	9/10
2 = 2 octants = 2/8 du ciel couvert	2/10 à 3/10	8 = 8 octants = 8/8 du ciel couvert	10/10
3 = 3 octants = 3/8 du ciel couvert	4/10	9 = Ciel invisible par suite de brouillard, de chasse-neige ou d'autres phénomènes, ou observation impossible à cause de l'obscurité	
4 = 4 octants = 4/8 du ciel couvert	5/10		
5 = 5 octants = 5/8 du ciel couvert	6/10		

VV = Visibilité horizontale

Code	Visibilité km	Code	Visibilité km	Code	Visibilité km	Code	Visibilité km	Code	Visibilité
00	< 0.1	10	1.0	20	2.0	30	3.0	40	4.0
01	0.1	11	1.1	21	2.1	31	3.1	41	4.1
02	0.2	12	1.2	22	2.2	32	3.2	42	4.2
03	0.3	13	1.3	23	2.3	33	3.3	43	4.3
04	0.4	14	1.4	24	2.4	34	3.4	44	4.4
05	0.5	15	1.5	25	2.5	35	3.5	45	4.5
06	0.6	16	1.6	26	2.6	36	3.6	46	4.6
07	0.7	17	1.7	27	2.7	37	3.7	47	4.7
08	0.8	18	1.8	28	2.8	38	3.8	48	4.8
09	0.9	19	1.9	29	2.9	39	3.9	49	4.9

Code	Visibilité km	Code	Visibilité km	Code	Visibilité km	Code	Visibilité km	*Echelle réduite*	
50	5.0	60	10	70	20	80	30	90	0— 50 m
51	ne sont pas utilisés	61	11	71	21	81	35	91	50— 200 m
52		62	12	72	22	82	40	92	200— 500 m
53		63	13	73	23	83	45	93	500—1000 m
54		64	14	74	24	84	50	94	1000—2000 m
55		65	15	75	25	85	55	95	2000—4000 m
56	6	66	16	76	26	86	60	96	4—10 km
57	7	67	17	77	27	87	65	97	10—20 km
58	8	68	18	78	28	88	70	98	20—50 km
59	9	69	19	79	29	89	> 70	99	50 km ou plus

ww = Temps au moment de l'observation ou pendant l'heure précédente

ww 00 à 19 = Pas de précipitations, ni de brouillard, ni de tempête de poussière ou de sable, ni de chasse-neige à la station (station terrestre, bateau, avion) au moment de l'observation ou pendant l'heure précédente (exception sous 09)

	ww		
Nuages seuls sans hydrométéores	00	Evolution des nuages nulle ou inconnue	Changement caractéristique de l'état du ciel pendant l'heure précédente
	01	Nuages en dissolution ou devenant plus minces	
	02	Etat du ciel inchangé dans l'ensemble	
	03	Nuages en formation ou en augmentation	
Brume sèche, poussière, sable ou fumées	04	Visibilité réduite par fumée, feu de broussailles ou de forêt, fumées industrielles ou cendres volcaniques	
	05	Brume sèche	
	06	Poussières flottant dans l'air, non entraînées par le vent, ni à la station ni dans ses environs	
	07	Poussières ou sable entrainés par le vent au moment de l'observation, à la station ou dans son voisinage, mais pas de tourbillons caractéristiques de sable ou de poussière et pas de tempête de poussière ou de sable observée	
	08	Tourbillons typiques de poussière ou de sable à la station ou dans son voisinage pendant l'heure précédente, mais pas de tempête de poussière ou de sable	
	09	Tempête de poussière ou de sable en vue ou à la station, même pendant l'heure précédente	
	10	Brume	
	11	Mince couche de brouillard à la station (terrestre ou maritime), d'une épaisseur ne dépassant pas 2 m sur terre, 10 m sur mer	en bancs
	12		plus ou moins compacte
	13	Eclairs de chaleur; le tonnerre n'est pas audible	
	14	Précipitations en vue, mais n'atteignant pas le sol	
	15	Précipitations en vue, atteignant le sol, mais à plus de 5 km de la station à l'estime	
	16	Précipitations en vue, atteignant le sol, à moins de 5 km de la station, mais pas à la station même	
	17	Tonnerre audible, mais pas de précipitations à la station	
	18	Averses observées pendant l'heure précédente	
	19	Trombe(s) observées pendant l'heure précédente	

ww 20 à 29 = Précipitations, brouillard ou orage à la station pendant l'heure précédente, mais pas au moment de l'observation

ww		
20	Bruine (ne se congelant pas)	Pas sous forme d'averses
21	Pluie (ne se congelant pas)	
22	Neige	
23	Pluie et neige mêlées	
24	Bruine ou pluie se congelant	
25	Averses de pluie	
26	Averses de neige, ou de pluie et de neige [1]	
27	Averses de grêle, ou de pluie et de grêle [2]	
28	Brouillard	
29	Orage (avec ou sans précipitations)	

[1] également grésil ou neige roulée
[2] également averses de grésil ou de neige roulée

ww 30 à 39 = Tempête de poussière ou de sable, chasse-neige

ww			
30	Tempête de poussière ou de sable, faible ou modérée	a diminué	au cours de l'heure précédente
31		sans changement	
32		a augmenté	
33	Forte tempête de poussière ou de sable	a diminué	au cours de l'heure précédente
34		sans changement	
35		a augmenté	
36	Chasse-neige faible ou modéré		de peu d'épaisseur (neige soufflée)
37	Fort chasse-neige		
38	Chasse-neige faible ou modéré		de grande épaisseur
39	Fort chasse-neige		

ww 40 à 49 = Brouillard au moment de l'observation

ww	
40	Brouillard au moment de l'observation à quelque distance, mais pas à la station pendant l'heure précédente; la limite supérieure du brouillard est au-dessus de la station
41	Brouillard en bancs
42	Brouillard, ciel visible — a diminué au cours de l'heure précédente
43	Brouillard, ciel invisible — a diminué au cours de l'heure précédente
44	Brouillard, ciel visible — sans changement notable au cours de l'heure précédente
45	Brouillard, ciel invisible — sans changement notable au cours de l'heure précédente
46	Brouillard, ciel visible — est apparu ou s'est épaissi au cours de l'heure précédente
47	Brouillard, ciel invisible — est apparu ou s'est épaissi au cours de l'heure précédente
48	Brouillard avec givre, ciel visible
49	Brouillard avec givre, ciel invisible

ww 50 à 59 = Bruine

ww			
50	Bruine, sans congélation	intermittente	*faible* au moment de l'observation
51		continue	
52		intermittente	*modérée* au moment de l'observation
53		continue	
54		intermittente	*forte* au moment de l'observation
55		continue	
56	Bruine congelante, faible		
57	Bruine congelante, modérée ou forte		
58	Bruine et pluie, faibles		
59	Bruine et pluie, modérées ou fortes		

ww 60 à 69 = Pluie

ww			
60	Pluie, sans congélation	intermittente	*faible* au moment de l'observation
61		continue	
62		intermittente	*modérée* au moment de l'observation
63		continue	
64		intermittente	*forte* au moment de l'observation
65		continue	
66	Pluie se congelant, faible		
67	Pluie se congelant, modérée ou forte		
68	Pluie ou bruine et neige, faibles		
69	Pluie ou bruine et neige, modérées ou fortes		

ww 70 à 79 = Précipitations solides, non sous forme d'averses

ww			
70	Neige en flocons	intermittente	*faible* au moment de l'observation
71		continue	
72		intermittente	*modérée* au moment de l'observation
73		continue	
74		intermittente	*forte* au moment de l'observation
75		continue	
76	Aiguilles de glace (avec ou sans brouillard)		
77	Neige en grains (avec ou sans brouillard)		
78	Etoiles de neige isolées (avec ou sans brouillard)		
79	Grains de glace		

ww 80—99 = Précipitations sous forme d'averses, ou précipitations accompagnées de phénomènes orageux au moment de l'observation ou pendant l'heure précédente

ww		
80	Averses de pluie faibles	
81	Averses de pluie modérées ou fortes	
82	Averses de pluie violentes	
83	Averses de pluie et neige mêlées, faibles	
84	Averses de pluie et neige mêlées, modérées ou fortes	
85	Averses de neige faibles	
86	Averses de neige modérées ou fortes	
87	Averses de grésil ou de neige roulée avec ou sans pluie, ou pluie et neige mêlées	faibles
88		modérées ou fortes
89	Averses de grêle avec ou sans pluie, ou pluie et neige mêlées, sans tonnerre	faibles
90		modérées ou fortes
91	Pluie faible au moment de l'observation	Orage durant l'heure précédente, mais non au moment de l'observation
92	Pluie modérée ou forte au moment de l'observation	
93	Faible chute de neige, ou de pluie et de neige mêlées, ou de grêle (grésil ou neige roulée) au moment de l'observation	
94	Chute modérée ou forte de neige, ou de neige et de pluie mêlées, ou de grêle (grésil ou neige) au moment de l'observation	
95	Orage faible ou modéré, sans grêle mais avec pluie, ou pluie et neige, ou neige, au moment de l'observation	Orage au moment de l'observation
96	Orage faible ou modéré, avec grêle, grésil ou neige roulée, au moment de l'observation	
97	Orage fort, sans grêle ni grésil ou neige roulée, mais avec pluie, pluie et neige ou neige au moment de l'observation	
98	Orage avec tempête de poussière ou de sable au moment de l'observation	
99	Orage fort avec grêle, grésil ou neige roulée au moment de l'observation	

W = Temps passé

0 = Ciel à demi-couvert ou plus clair pendant toute la période
1 = Ciel par moments plus qu'à demi-couvert, par moments à demi-couvert ou plus clair
2 = Ciel plus qu'à demi-couvert pendant toute la période
3 = Chasse-neige, tempête de poussière ou de sable
4 = Brouillard ou brume épaisse
5 = Bruine
6 = Pluie
7 = Neige ou pluie et neige mêlées
8 = Averses
9 = Orage avec ou sans précipitations

C_L = Nuages des genres Sc, St, Cu, Cb

0 = Pas de nuages du type C_L
1 = Cumulus humilis
2 = Cumulus congestus
3 = Cumulonimbus calvus
4 = Stratocumulus cumulogenitus ou vesperalis
7 = Fractostratus et/ou fractocumulus de mauvais temps
8 = Cumulus et stratocumulus ordinaire
9 = Cumulonimbus capillatus
5 = Stratocumulus ordinaire
6 = Stratus et/ou fractostratus

h = Hauteur de la base des nuages au-dessus de la station

0 = 0— 50 m
1 = 50— 100 m
2 = 100— 200 m
3 = 200— 300 m
4 = 300— 600 m
5 = 600—1000 m
6 = 1000—1500 m
7 = 1500—2000 m
8 = 2000—2500 m
9 = 2500 m et plus, ou pas de nuages
/ = La hauteur ne peut être déterminée, ou la base des nuages se trouve au-dessous et la face supérieure au-dessus de la station

C_M = Nuages des genres Ac, As et Ns

0 = Pas de nuages du type C_M
1 = Altostratus translucidus
2 = Altostratus opacus ou nimbostratus
3 = Altocumulus translucidus
4 = Altocumulus translucidus
5 = Altocumulus translucidus
6 = Altocumulus cumulogenitus
7 = Altocumulus duplicatus (altocumulus opacus, altostratus associé à l'altocumulus)
8 = Altocumulus cumuliformis
9 = Altocumulus associé à des bancs de cirrus denses ou de voiles

C_H = Nuages des genres Ci, Cs et Cc

0 = Pas de nuages du type C_H
1 = Cirrus filosus
2 = Cirrus densus
3 = Cirrus nothus
4 = Cirrus
5 = Cirrus et/ou cirrostratus
6 = Cirrus et/ou cirrostratus
7 = Voile de cirrostratus
8 = Voile de cirrostratus
9 = Cirrocumulus

Observations aux

Janvier 1959

Jour	Données synoptiques en surface (Code SYNOP)				Surface 491 m					1000 mb	850 mb					700 mb					500 mb				
	N	VVwwW	NnClhCmCH	app	P	t	Hum	dd	ff	H	H	t	Hum	dd	ff	H	t	Hum	dd	ff	H	t	Hum	dd	ff
1	5	75021	50901	205	962	6.8	85	24	07	178	1500	1.0	89	24	26	3050	–3.7	37	23	35	5610	–19.2	16	24	55
2	0	80020	00900	810	963	–2.0	100	00	00	191	1495	–2.2	60	23	10	3005	–7.2	13	28	10	5555	–26.0	11	29	10
3	5	75021	45501	204	951	2.3	100	20	12	090	1385	–4.6	100	25	34	2885	–14.2	65	27	30	5385	–35.2	62	29	35
4	8	60267	895xx	400	952	0.1	100	22	05	101	1385	–7.2	100	27	12	2860	–17.9	93	29	15	5295	–34.8	71	30	28
5	3	72020	3xxxx	230	957	–7.0	100	21	06	148	1420	–9.0	93	30	07	2890	–19.6	62	34	13	5315	–35.9	51	33	45
6	8	60032	8xxxx	717	960	–2.5	80	21	03	163	1455	–3.2	46	23	16	2975	–8.9	100	28	19	5525	–21.5	100	31	38
7	8	60626	8xxxx	720	953	3.7	100	23	08	097	1420	2.1	91	23	40	2960	–5.3	100	25	34	5525	–22.1	95	24	44
8	8	72606	8xxxx	720	948	4.2	100	23	20	052	1375	0.9	100	25	44	2900	–10.5	100	26	40	5430	–24.0	40	30	55
9	8	72707	8xxxx	219	955	–0.8	100	20	07	118	1410	–6.4	100	35	13	2890	–17.5	100	36	17	5325	–33.1	72	35	34
10	3	78367	3xxxx	010	950	–2.7	67	21	18	084	1360	–8.2	71	26	17	2835	–18.4	77	30	27	5260	–37.5	66	31	27
11	8	12727	871xx	400	955	–2.2	100	22	10	121	1400	–8.6	100	26	25	2885	–19.0	100	30	33	5290	–35.6	94	32	55
12	5	75022	45530	400	951	–2.4	80	23	16	088	1375	–8.4	85	25	24	2845	–19.3	92	29	24	5270	–31.2	80	28	88
13	8	65032	854xx	400	951	–2.7	83	24	16	096	1375	–8.1	100	25	33	2855	–17.8	100	29	33	5295	–34.7	100	31	22
14	8	12737	873xx	710	949	–1.6	90	21	05	070	1355	–8.3	100	23	27	2845	–13.7	100	28	27	5320	–31.6	97	23	27
15	8	50636	873xx	707	943	4.2	100	23	14	011	1330	0.0	100	23	60	2860	–6.6	100	27	60	5390	–29.4	97	27	23
16	8	75252	873xx	000	947	3.6	100	23	07	046	1365	–0.4	100	25	20	2885	–10.7	100	27	18	5445	–27.5	22	02	44
17	3	80030	30630	222	967	–4.4	90	06	07	227	1495	–10.2	98	06	12	2970	–17.4	46	08	35	5665	–19.0	93	33	23
18	0	65020	00900	808	970	–6.5	100	00	00	251	1535	–3.2	40	00	00	3075	–4.8	10	33	14	5650	–20.2	41	31	31
19	3	56011	35810	807	965	–1.7	100	00	00	209	1515	3.8	22	24	15	3065	–4.8	97	26	20	5410	–24.8	63	27	77
20	5	70022	55810	603	957	5.2	80	22	10	134	1455	5.7	71	23	30	3015	–3.2	68	23	39	5625	–17.6	48	24	54
21	8	70606	856xx	218	949	8.0	55	20	20	051	1385	4.9	45	23	48	2945	–6.0	100	23	45	5515	–20.2	97	23	67
22	6	70022	65501	208	952	1.0	100	00	00	094	1405	3.8	100	23	38	2970	–3.8	97	23	50	5555	–17.9	25	24	49
23	7	70022	75810	210	953	9.8	50	23	14	089	1430	7.2	59	23	45	3000	–5.2	87	24	60	5545	–24.1	14	25	45
24	8	82031	2581x	702	959	7.8	80	21	08	145	1495	4.2	73	24	37	3035	–6.0	72	25	48	5625	–17.2	98	28	68
25	8	66022	865xx	307	967	0.2	100	04	05	218	1510	–4.5	37	03	04	3020	–10.7	10	33	17	5545	–22.4	82	29	49
26	1	70020	14500	501	972	–2.4	84	03	07	267	1560	–7.9	79	07	21	3055	–8.3	13	02	33	5610	–20.9	53	36	66
27	0	66000	00900	304	974	–2.4	100	00	00	277	1565	–0.6	40	08	27	3120	–1.0	11	06	27	5720	–18.4	10	03	40
28	0	64000	00900	710	972	–3.4	100	00	00	269	1570	6.0	56	06	14	3135	–1.4	56	05	26	5710	–17.8	21	03	33
29	0	60000	00900	706	971	–3.8	100	00	00	258	1555	4.9	58	08	03	3130	0.3	13	06	13	5710	–18.3	37	06	27
30	9	00454	9x0xx	710	963	–3.3	100	00	00	229	1530	4.9	36	00	00	3100	–0.8	24	07	13	5700	–18.9	10	04	11
31	9	00454	9x0xx	400	964	–2.7	100	00	00	203	1500	6.5	30	24	04	3070	–2.8	28	26	02	5655	–20.0	24	33	12
Moyen					—	0.8	—	—	—	148	1449	–1.5	—	—	—	2972	–9.2	—	—	—	5501	–25.1	—	—	—

Janvier 1959

1	7	70022	755xx	218	965	6.0	100	04	03	204	1520	–3.2	100	29	05	3035	–10.9	87	25	22	5555	–24.7	25	25	45
2	7	80031	10941	830	956	3.5	90	21	15	126	1425	–2.4	67	25	34	2955	–9.7	47	25	36	5480	–24.4	58	25	55
3	5	80852	59500	116	951	2.2	80	34	08	085	1390	–3.7	97	34	17	2890	–14.8	94	33	15	5375	–31.3	50	33	33
4	8	03737	890xx	746	943	0.4	100	22	18	020	1315	–3.5	100	25	56	2820	–13.0	100	26	40	5300	–32.3	34	—	—
5	8	75022	6563x	105	962	–1.7	80	25	11	181	1465	–8.0	95	25	12	2940	–17.8	85	34	15	5395	–28.8	39	33	50
6	8	50636	874xx	400	957	2.0	100	21	17	139	1455	1.0	100	24	45	3000	–3.8	100	29	34	5580	–19.4	100	30	26
7	8	82310	874xx	716	950	5.6	100	23	20	072	1395	1.2	100	23	30	2925	–9.0	100	26	38	5445	–26.8	85	27	40
8	8	50707	6843x	210	948	0.4	100	23	06	062	1365	–7.4	100	30	16	2840	–18.3	100	31	17	5255	–38.3	93	32	27
9	6	50022	45430	808	954	–1.0	80	22	12	114	1405	–7.0	97	25	11	2885	–17.4	100	32	17	5350	–28.9	70	32	33
10	7	50707	79300	214	954	–1.0	80	27	07	114	1415	–6.4	90	28	11	2890	–16.7	100	33	26	5330	–36.5	68	33	44
11	5	75017	45430	007	956	–3.0	80	20	14	137	1405	–11.3	74	25	17	2860	–23.8	94	29	14	5270	–34.5	62	30	55
12	8	60022	865xx	201	951	–1.4	90	23	12	085	1375	–9.0	100	26	14	2845	–18.9	59	28	14	5255	–38.0	43	35	17
13	7	60012	755xx	001	952	–1.3	92	22	10	093	1380	–7.1	95	24	28	2870	–15.0	90	29	17	5350	–30.0	36	29	40
14	8	40737	864xx	808	948	0.8	100	00	00	058	1365	0.3	100	24	23	2895	–7.3	100	28	33	5465	–22.1	26	28	43
15	8	60022	874xx	110	950	6.7	65	21	11	069	1395	1.5	79	24	25	2925	–10.1	87	26	27	5415	–24.7	21	29	45
16	8	35737	862xx	220	955	–1.0	100	04	13	125	1405	–7.2	100	05	26	2895	–14.7	93	36	16	5380	–30.6	83	34	19
17	0	56054	00900	702	971	–3.0	70	00	00	263	1535	–7.5	18	05	08	3030	–11.0	10	03	16	5545	–27.1	10	36	43
18	6	50031	60910	807	967	–1.6	70	00	00	223	1515	3.0	38	24	16	3070	–4.2	62	26	21	5630	–20.9	71	28	25
19	8	70024	36x1x	720	962	0.0	100	00	00	177	1495	8.3	62	22	15	3080	–0.9	57	24	20	5670	–19.9	95	25	25
20	6	76012	40921	732	952	2.0	100	00	00	096	1410	7.0	41	22	27	3000	–1.2	23	23	32	5575	–19.2	72	23	40
21	6	80012	35541	400	953	6.4	94	23	09	095	1415	2.1	91	24	40	2960	–7.3	100	23	48	5520	–21.8	62	25	49
22	5	01424	50901	807	951	2.5	100	00	00	081	1405	4.4	79	22	29	2955	–6.4	79	23	43	5525	–21.8	28	24	39
23	7	68826	795xx	240	960	6.7	100	25	08	154	1470	1.0	100	25	39	3010	–8.2	97	25	28	5550	–25.9	10	29	52
24	7	70626	7754x	238	966	2.4	100	12	07	211	1505	–4.3	97	35	08	3020	–9.5	100	30	38	5560	–21.8	93	29	71
25	6	70022	15505	213	971	1.2	82	05	11	257	1540	–8.6	76	06	17	3030	–14.8	13	35	18	5540	–23.5	31	33	77
26	6	75031	15421	400	974	–0.4	85	05	12	281	1570	–3.4	40	06	22	3110	–5.5	32	03	28	5710	–15.2	35	01	72
27	0	70100	00900	709	975	–0.8	85	00	00	288	1585	2.7	42	07	09	3150	–1.0	59	04	20	5730	–21.4	51	05	39
28	0	65100	00900	805	971	–0.8	100	00	00	255	1570	5.5	32	07	17	3145	1.7	10	08	16	5760	–18.3	20	07	27
29	9	01474	9x9xx	400	970	–2.6	100	00	00	251	1545	5.2	22	25	05	3115	–0.3	10	08	06	5730	–16.8	10	04	18
30	9	01454	9x9xx	705	966	–3.4	100	00	00	219	1520	9.2	26	08	05	3105	–0.1	10	08	06	5705	–19.1	10	35	06
31	8	15574	861xx	100	963	–3.3	100	00	00	194	1490	2.3	67	00	00	3035	–6.0	58	35	08	5585	–23.8	48	29	14
Moyen					—	0.7	—	—	—	153	1453	–1.5	—	—	—	2977	–9.6	—	—	—	5502	–25.4	—	—	—

niveaux standard

00.00 h

400 mb					300 mb					200 mb				150 mb				100 mb				Tropopause		
H	t	Hum	dd	ff	H	t	Hum	dd	ff	H	t	dd	ff	H	t	dd	ff	H	t	dd	ff	H	p	t
7255	–31.5	22	23	60	9235	–48.1	—	23	60	11800	–67.5	24	64	13525	–61.7	25	72	16045	–62.3	26	50	12280	184	–69.7
7135	–37.2	10	33	10	9055	–50.9	—	32	26	11625	–58.7	27	45	13435	–57.2	29	25	16000	–57.1	25	82	10540	238	–60.1
6860	–46.5	62	28	38	8745	–50.8	—	25	38	11380	–54.7	27	60	13215	–55.2	27	48	15795	–55.8	27	82	8390	317	–51.6
6820	–43.6	76	32	60	8720	–50.3	—	34	102	11370	–50.5	32	80	13250	–51.2	32	48	—	—	—	—	9220	278	–50.7
6850	–36.0	43	33	96	8810	–49.6	—	—	—	11400	–52.0	—	—	13280	–52.6	—	—	15860	–58.4	—	—	9820	257	–57.5
7130	–33.7	100	31	32	9075	–49.1	—	31	38	11660	–62.6	31	36	13420	–61.5	32	30	15950	–59.7	31	22	12140	185	–65.1
7130	–33.8	91	25	35	9080	–50.1	—	25	32	11660	–58.7	27	34	13480	–57.3	28	35	16000	–61.7	29	41	9750	270	–54.9
7030	–34.6	27	29	82	8980	–46.7	—	30	80	11620	–50.6	29	55	13500	–50.3	29	57	16130	–55.7	30	40	9020	260	–52.0
6870	–40.8	42	35	49	8785	–49.2	—	34	54	11460	–47.0	34	40	13330	–51.9	33	47	15970	–52.7	33	38	8490	314	–49.6
6760	–44.8	66	31	66	8700	–45.0	—	31	50	11120	–42.2	31	82	13350	–47.3	31	32	16000	–51.6	31	27	6670	406	–45.3
6810	–44.0	67	33	66	8730	–47.5	—	32	60	11430	–45.5	31	48	13330	–49.3	30	44	15970	–50.8	29	38	9620	262	–47.8
6820	–40.9	78	28	99	8730	–52.5	—	27	88	11330	–55.6	27	72	13190	–50.4	28	49	15830	–52.0	28	55	10270	236	–55.0
6805	–47.6	100	31	55	8690	–51.1	—	31	55	11350	–49.6	30	82	13210	–49.6	29	40	15870	–54.7	30	72	7180	378	–50.8
6855	–43.3	96	29	55	8750	–52.3	—	30	85	11350	–52.5	30	48	13210	–52.8	29	48	15830	–53.8	29	44	10160	241	–55.6
6940	–42.2	96	26	25	8840	–50.3	—	25	33	11480	–51.2	26	44	13290	–56.4	—	—	15860	–55.6	—	—	10840	221	–61.7
7010	–38.6	23	02	50	8940	–50.6	—	02	82	11520	–55.8	36	55	13350	–51.2	27	48	15980	–51.6	27	44	10210	243	–51.2
7275	–32.3	90	32	33	9240	–47.8	—	32	39	11805	–65.8	32	37	13370	–53.8	35	50	16000	–50.7	31	38	10650	230	–57.8
7255	–32.8	25	31	33	9200	–50.0	—	32	55	11750	–67.2	31	44	13560	–59.6	32	44	16100	–58.2	31	40	12000	194	–66.8
6985	–36.9	40	26	60	8910	–51.7	—	26	77	11470	–57.1	—	—	13500	–59.3	29	58	16050	–60.8	28	48	11960	193	–67.9
7235	–30.6	44	25	55	9210	–48.3	—	25	67	11780	–63.7	26	65	13520	–64.2	27	82	16000	–60.2	26	44	13050	162	–67.1
7125	–35.4	89	24	66	9080	–48.3	—	24	77	11670	–58.0	24	75	13470	–57.9	24	78	16000	–57.6	24	78	11270	213	–58.1
7175	–30.4	39	24	44	9160	–46.5	—	23	33	11730	–66.4	23	49	13485	–59.1	24	48	16000	–60.8	26	44	11400	211	–65.5
7133	–35.0	67	26	49	9080	–48.7	—	25	82	11650	–59.7	25	72	13480	–51.7	25	52	16100	–56.0	25	66	10870	227	–62.4
7255	–29.8	93	28	68	9240	–46.0	—	28	61	11815	–63.2	29	72	13600	–57.2	27	64	16190	–56.3	26	62	11600	207	–63.7
7150	–33.4	86	29	82	9090	–50.0	—	28	95	11680	–57.1	29	90	13490	–57.5	29	90	16060	–56.0	30	48	10200	253	–57.3
7225	–32.6	49	35	77	9170	–48.8	—	36	80	11770	–57.0	36	50	13580	–57.0	35	44	16160	–55.1	36	40	10420	247	–56.1
7355	–31.4	10	03	37	9320	–46.6	—	02	76	11890	–65.4	02	62	13630	–61.6	03	38	16180	–55.5	03	33	12860	170	–69.8
7365	–31.1	44	02	39	9340	–48.3	—	03	38	11910	–61.9	04	47	13680	–62.0	03	44	16240	–55.9	04	22	12620	178	–61.7
7355	–33.2	41	05	27	9320	–49.0	—	07	33	11870	–64.4	05	28	13660	–58.6	05	27	16230	–56.6	04	11	11610	209	–65.1
7320	–32.3	10	04	22	9290	–47.8	—	01	27	11860	–65.0	35	24	13620	–59.9	01	17	16190	–54.6	01	18	12000	195	–66.0
7265	–33.1	24	32	21	9220	–48.9	—	32	37	11790	–63.5	33	35	13580	–57.8	35	13	16170	–52.8	33	20	11690	203	–64.0
7082	–36.4	—	—	—	9024	–49.1	—	—	—	11622	–57.7	—	—	13440	–55.9	—	—	16025	–56.0	—	—	—	—	—

12.00 h

7145	–36.2	72	25	70	9100	–48.7	—	23	115	11660	–65.3	24	90	13425	–60.0	25	62	15970	–60.1	27	45	11660	200	–65.3
7070	–35.4	73	25	50	9000	–51.3	—	28	60	11545	–66.2	26	68	13335	–56.2	26	65	15895	–57.0	26	68	11660	196	–67.0
6895	–43.7	47	32	27	8790	–51.2	—	32	46	11440	–51.8	31	36	13300	–50.3	31	58	15945	–51.1	30	33	9120	285	–51.0
6840	–40.7	24	—	—	8770	–46.7	—	—	—	11410	–53.1	—	—	13270	–51.6	—	—	15900	–53.9	—	—	11270	205	–53.3
6975	–35.2	41	33	44	8930	–46.9	—	33	82	11540	–57.0	34	33	13370	–55.5	32	35	15950	–57.8	31	33	11100	214	–57.9
7200	–30.6	100	20	33	9180	–46.6	—	29	66	11760	–61.6	32	48	13570	–55.7	30	57	16110	–59.0	29	44	10910	229	–57.8
7005	–39.7	100	27	49	8950	–48.5	—	28	72	11580	–59.4	28	38	13450	–51.3	29	33	16050	–57.7	29	20	9680	268	–53.6
6750	–44.5	82	31	48	8700	–48.4	—	31	54	11420	–46.7	29	33	13320	–49.2	30	35	15970	–51.0	31	33	6280	420	–45.7
6905	–38.6	58	33	49	8860	–46.1	—	34	78	11540	–46.0	32	58	13450	–46.8	32	56	16120	–50.5	32	49	9750	262	–49.5
6850	–44.0	63	33	60	8760	–44.8	—	33	55	11510	–42.6	30	50	13430	–46.0	31	50	16090	–50.2	31	36	7570	359	–48.0
6790	–46.6	57	31	82	8640	–49.2	—	30	77	11150	–57.9	30	66	12970	–56.4	29	72	15490	–61.4	29	60	9640	275	–66.1
6770	–41.4	43	29	28	8670	–50.3	—	27	59	11310	–49.1	27	49	13200	–51.8	27	56	15800	–53.5	31	54	8630	303	–50.3
6900	–40.7	62	30	50	8800	–54.1	—	31	59	11190	–52.5	30	57	13060	–52.6	30	44	15860	–52.6	29	52	9760	261	–57.8
7050	–32.0	29	31	51	9030	–45.1	—	32	77	11650	–58.2	31	56	13500	–50.4	30	59	16110	–53.8	30	50	11500	205	–59.3
7035	–37.1	14	29	53	9000	–48.9	—	28	65	11600	–51.2	27	80	13480	–49.8	27	80	—	—	—	—	9550	275	–51.5
6925	–42.0	63	34	16	8820	–52.4	—	33	19	11430	–51.0	29	30	13280	–53.0	29	39	15910	–52.2	28	38	9890	254	–55.9
7135	–34.9	18	36	56	9080	–48.1	—	01	72	11640	–63.4	36	67	13420	–58.6	34	25	16000	–54.4	29	22	11400	208	–64.0
7250	–34.1	69	29	20	9200	–50.0	—	29	24	11740	–65.2	29	45	13515	–58.5	29	49	16090	–58.9	28	50	11570	206	–65.9
7285	–33.3	95	25	22	9235	–50.0	—	—	—	11780	–68.9	—	—	13490	–65.0	—	—	16000	–60.7	—	—	12740	170	–71.3
7200	–31.0	79	23	55	9180	–45.4	—	—	—	11780	–65.6	—	—	13520	–66.0	—	—	16000	–60.2	—	—	12980	164	–67.0
7130	–30.6	92	28	52	9115	–46.4	—	30	36	11710	–59.6	26	110	13510	–57.1	27	44	16060	–59.0	28	34	11200	217	–60.6
7115	–35.3	66	26	42	9050	–52.0	—	25	58	11580	–66.1	25	58	13380	–53.7	25	50	16000	–57.9	26	38	11580	200	–66.1
7120	–34.6	10	—	—	9070	–50.2	—	—	—	11670	–52.0	—	—	13550	–48.9	—	—	16160	–56.5	—	—	10310	247	–57.6
7175	–31.8	96	30	72	9130	–47.5	—	29	96	11710	–65.4	—	—	13500	–56.6	—	—	16080	–56.7	—	—	12120	187	–67.8
7135	–35.9	43	34	69	9060	–51.5	—	33	96	11630	–56.7	32	60	13460	–59.3	33	88	16000	–59.0	34	38	10380	244	–58.9
7350	–27.7	44	36	72	9350	–43.2	—	01	62	11960	–62.2	01	70	13740	–57.8	01	72	16310	–55.0	01	52	11840	204	–62.0
7335	–34.6	45	04	48	9280	–51.0	—	04	50	11820	–65.7	04	44	13580	–62.0	03	38	16140	–58.0	05	27	11730	203	–65.5
7280	–31.3	24	07	33	9360	–46.4	—	07	56	11950	–60.6	08	66	13750	–58.7	05	50	16330	–56.0	04	30	12580	181	–59.6
7375	–28.7	10	04	15	9370	–46.1	—	04	28	11960	–62.0	04	30	13730	–61.3	03	22	16310	–54.0	02	22	12150	194	–63.4
7320	–31.8	10	35	06	9300	–45.5	—	34	24	11910	–60.6	34	25	13690	58.7	34	22	16270	–54.3	01	20	12430	184	–62.2
7180	–34.9	48	29	28	9120	–50.4	—	29	37	11690	–61.3	30	23	13510	–55.0	35	17	16100	–58.3	36	12	11240	215	–61.5
7084	–36.2	—	—	—	9029	–48.6	—	—	—	11621	–57.9	—	—	13444	–55.3	—	—	16034	–55.9	—	—	—	—	—

Observations aux

Février 1959

Jour	Données synoptiques en surface (Code SYNOP)				Surface 491 m					1000 mb	850 mb					700 mb					500 mb				
	N	VVwwW	NhCLhCMCH	app	P	t	Hum	dd	ff	H	H	t	Hum	dd	ff	H	t	Hum	dd	ff	H	t	Hum	dd	ff
1	8	22022	862xx	400	963	–1.8	100	02	11	188	1470	–5.0	79	06	20	3015	–7.0	10	03	07	5545	–22.9	10	32	18
2	8	75022	854xx	400	958	–1.0	58	05	27	147	1440	–7.4	98	07	44	2935	–11.4	46	12	15	5410	–28.4	40	13	12
3	8	57022	864xx	315	963	–1.6	100	06	10	188	1475	–4.2	95	06	04	3000	–10.3	100	16	08	5500	–31.0	100	17	22
4	8	53022	862xx	400	967	–3.3	100	07	10	227	1495	2.9	78	18	07	3040	–6.4	73	19	06	5590	–26.2	89	18	12
5	0	40100	00900	400	969	–4.8	100	00	00	243	1550	4.2	70	13	04	3105	–4.6	73	14	03	5675	–22.3	91	15	13
6	0	40100	00900	400	970	–1.8	100	00	00	246	1570	4.0	47	26	04	3115	–7.7	58	01	08	5640	–26.1	47	20	02
7	0	40100	00900	400	967	–1.8	100	00	00	222	1530	3.7	90	00	00	3085	–4.7	58	30	02	5645	–22.7	69	25	05
8	0	50400	00900	001	964	–1.8	100	00	00	193	1505	4.1	61	13	03	3065	–6.1	69	22	07	5605	–24.2	81	27	11
9	0	58000	00900	215	969	–1.5	100	00	00	238	1555	2.1	85	06	13	3095	–6.8	65	08	06	5645	–26.1	79	34	05
10	2	50100	20941	106	974	–0.4	100	00	00	283	1605	0.2	90	05	05	3135	–10.8	100	30	07	5635	–28.3	100	32	18
11	4	35101	40940	802	972	–0.2	100	00	00	263	1580	0.1	77	07	07	3095	–9.8	62	06	03	5600	–30.1	79	35	10
12	8	11104	4631x	102	971	0.8	100	00	00	256	1555	–0.7	83	22	05	3085	–10.0	64	21	06	5595	–28.2	81	22	05
13	9	02471	9x0xx	709	974	–1.5	100	00	00	277	1575	–0.5	52	00	00	3100	–10.0	31	25	04	5605	–28.2	59	22	15
14	9	01471	9x0xx	010	980	–1.5	100	00	00	327	1645	–0.3	23	06	03	3175	–7.9	10	16	05	5685	–28.1	17	18	20
15	9	00454	9x0xx	208	983	–2.4	100	00	00	360	1660	3.5	16	00	00	3195	–6.0	10	17	03	5750	–24.0	10	18	10
16	9	00454	9x0xx	400	985	–2.2	100	00	00	370	1675	3.1	15	05	08	3220	–5.1	10	33	08	5780	–20.6	10	02	20
17	0	15020	00900	809	981	0.4	75	05	08	338	1645	2.4	49	06	23	3195	–0.4	17	08	14	5790	–19.0	12	04	30
18	1	57011	10901	826	979	0.5	75	04	06	317	1625	3.3	42	07	23	3180	–4.9	22	07	33	5735	–24.1	13	07	32
19	3	57021	3x9xx	400	978	–1.3	100	00	00	313	1630	4.3	31	05	03	3190	–4.0	23	07	07	5760	–20.3	10	07	15
20	0	58000	00900	803	975	–0.9	100	00	00	285	1600	6.3	30	00	00	3160	–2.0	10	23	03	5750	–19.7	10	27	06
21	3	59030	3x9xx	400	971	2.9	65	19	07	249	1570	1.5	59	25	14	3115	–7.4	29	27	15	5675	–19.6	26	32	35
22	8	57022	8072x	400	969	3.8	80	23	09	234	1540	–2.9	100	27	11	3065	–7.3	100	32	30	5620	–21.9	100	35	55
23	2	75011	20740	206	969	1.0	100	00	00	239	1555	–0.4	100	05	07	3080	–6.7	100	03	25	5650	–20.2	23	35	44
24	0	57020	00900	207	969	0.0	100	00	00	239	1555	5.2	75	23	18	3115	–3.9	48	25	17	5705	–18.2	31	31	28
25	3	45101	30905	107	968	1.0	100	00	00	230	—	—	—	—	—	—	—	—	—	—	—	—	—	—	—
26	0	30100	00900	102	971	2.0	100	00	00	251	1575	2.9	99	07	05	3115	–3.2	26	07	15	5705	–20.8	14	16	17
27	0	50100	00900	210	973	1.5	100	00	00	272	—	—	—	—	—	—	—	—	—	—	—	—	—	—	—
28	0	55020	00900	400	971	1.8	100	20	07	255	1585	7.6	39	24	05	3165	0.5	10	13	05	5770	–18.7	24	16	07
Moyen					—	–0.5	—	—	—	259	1568	1.5	—	—	—	3109	–6.3	—	—	—	5658	–23.8	—	—	—

Février 1959

1	3	75021	35400	715	961	–0.4	80	04	15	172	1455	–8.7	91	06	44	2930	–16.4	74	06	38	5410	–26.8	19	28	28
2	8	60022	856xx	202	961	–0.5	65	04	15	170	1450	–9.8	95	07	20	2965	–10.8	47	18	16	5455	–33.0	53	17	15
3	8	56022	864xx	204	968	–1.3	80	04	10	233	1525	1.8	58	06	07	3075	–6.4	45	20	09	5620	–23.3	66	06	07
4	8	50102	762xx	702	968	–2.8	85	03	08	235	1530	6.0	18	14	05	3095	–3.9	27	14	09	5645	–21.9	26	13	20
5	6	30102	65810	001	970	0.0	100	00	00	248	1565	6.2	62	21	08	3125	–4.2	70	21	07	5685	–22.9	95	18	12
6	9	01434	9x0xx	805	969	–1.0	100	00	00	242	1555	4.4	40	35	07	3110	–5.1	32	06	02	5655	–26.2	59	25	02
7	9	01434	9x0xx	706	965	–1.8	100	00	00	203	1505	3.1	59	23	05	3055	–7.3	39	23	03	5595	–26.5	15	23	05
8	2	02104	20941	801	966	1.0	90	00	00	216	1530	2.7	70	09	11	3080	–5.9	61	09	09	5625	–23.8	65	25	10
9	0	00424	00900	702	973	–0.2	100	00	00	269	1580	2.3	79	06	05	3110	–9.1	78	36	04	5615	–28.9	92	30	13
10	5	64022	15540	714	975	4.5	76	00	00	281	1600	1.3	76	07	09	3130	–9.7	80	32	03	5645	–26.7	74	35	07
11	9	03454	90x00	811	972	1.9	100	00	00	261	1570	0.8	84	00	00	3100	–8.5	73	00	00	5620	–27.1	84	00	00
12	6	56012	66500	803	971	1.3	97	09	03	256	1550	–0.6	70	22	03	3075	–11.1	73	14	04	5570	–29.5	69	21	10
13	8	08102	860xx	208	978	–1.4	100	00	00	315	1625	1.3	42	00	00	3160	–7.9	22	17	06	5685	–26.9	81	20	30
14	9	01494	9x0xx	006	982	–1.8	100	00	00	347	1650	2.2	18	26	02	3185	–7.6	10	19	12	5710	–27.0	10	19	25
15	9	00494	9x0xx	111	986	–2.8	100	00	00	377	1690	5.2	10	00	00	3250	–4.4	12	07	02	5810	–21.8	10	20	04
16	9	00494	9x0xx	810	984	–2.7	100	00	00	366	1675	4.4	13	06	12	3235	–2.8	14	02	12	5820	–18.5	48	01	32
17	0	55100	00900	705	983	2.4	65	00	00	350	1565	3.1	49	36	03	3215	–5.0	10	04	13	5780	–21.6	77	03	39
18	0	40100	00900	000	980	2.6	75	00	00	327	1635	1.9	43	25	03	3180	–4.0	23	07	11	5735	–22.2	35	09	17
19	0	38100	00900	400	977	3.2	80	00	00	301	1625	6.1	22	07	03	3190	–2.8	10	09	16	5775	–20.0	14	05	06
20	0	60100	00900	812	973	5.5	65	00	00	268	1600	5.5	48	24	12	3150	–5.0	32	30	11	5710	–20.2	16	31	20
21	6	50032	40895	806	971	8.2	50	00	00	247	1560	–2.1	100	35	05	3085	–7.0	95	34	20	5665	–18.1	100	33	47
22	8	75606	8757x	206	970	5.0	100	21	05	242	1555	0.0	100	34	08	3085	–7.9	100	35	22	5640	–19.6	82	35	44
23	2	45054	25600	804	971	5.4	80	00	00	247	1550	3.8	59	08	09	3100	–4.5	54	07	10	5695	–19.3	10	01	12
24	2	40054	24500	611	968	5.8	80	00	00	227	1555	4.7	79	24	08	3105	–5.0	58	24	15	5690	–19.7	69	27	15
25	0	35054	00900	102	970	6.2	85	00	00	242	1560	2.9	55	00	00	3115	–5.0	34	10	04	5705	–20.3	34	13	11
26	0	09424	00900	101	972	4.6	100	00	00	257	1585	4.4	58	06	05	3140	0.2	10	18	15	5770	–16.3	11	17	15
27	0	40054	00900	710	972	6.8	75	00	00	263	1605	7.5	30	08	05	3170	0.5	14	20	04	5785	–17.3	12	23	05
28	0	45104	00900	713	970	6.8	65	00	00	240	1575	5.1	38	33	03	3135	–1.1	10	09	08	5720	–20.9	13	12	16
Moyen					—	1.9	—	—	—	264	1572	2.3	—	—	—	3120	–6.0	—	—	—	5673	–23.1	—	—	—

niveaux standard

00.00 h

400 mb					300 mb					200 mb				150 mb				100 mb				Tropopause		
H	t	Hum	dd	ff	H	t	Hum	dd	ff	H	t	dd	ff	H	t	dd	ff	H	t	dd	ff	H	p	t
7150	–33.7	10	31	24	9100	–48.3	—	29	37	11690	–56.9	30	33	13540	–58.0	32	35	16150	–54.7	35	13	11120	219	–60.0
7090	–40.3	35	10	17	8980	–46.6	—	07	23	11610	–48.7	05	14	13500	–49.4	02	06	16150	–52.4	01	08	9400	280	–46.6
7040	–41.0	75	19	17	8950	–52.1	—	22	28	11550	–54.8	19	05	13390	–54.5	22	07	15970	–57.3	32	04	9860	263	–57.0
7150	–40.0	80	21	16	9050	–56.0	—	22	22	11590	–56.0	14	08	13420	–54.6	15	10	16000	–56.8	21	06	10360	218	–62.6
7260	–37.3	90	14	26	9180	–55.0	—	13	26	11730	–57.0	19	11	13570	–53.3	28	05	16170	–55.6	30	06	9430	288	–56.8
7210	–38.1	46	23	05	9130	–52.3	—	23	11	11630	–56.7	19	06	13530	–53.6	29	16	16110	–57.0	32	17	10340	248	–60.4
7235	–36.1	51	27	11	9160	–52.9	—	24	14	11720	–58.0	29	17	13570	–54.2	29	16	16150	–57.5	29	13	10580	240	–57.8
7180	–37.2	86	27	11	9120	–50.3	—	29	22	11650	–63.2	28	15	13460	–57.2	25	10	16030	–55.2	25	07	10570	239	–63.0
7425	–38.2	83	32	13	9145	–53.2	—	33	26	11670	–62.2	34	22	—	—	—	—	—	—	—	—	10570	239	–64.0
7205	–38.5	66	33	20	9110	–53.8	—	33	44	11670	–57.6	34	18	13490	–56.1	34	17	16070	–56.1	34	05	10270	250	–60.5
7150	–41.2	70	34	11	9050	–55.2	—	32	12	11600	–58.3	35	11	13420	–57.0	35	18	16000	–58.0	35	18	10460	240	–59.1
7145	–42.0	83	22	11	9030	–51.4	—	22	12	11650	–54.7	34	05	13500	–53.8	01	07	16110	–55.1	31	14	10730	231	–55.0
7165	–41.3	50	22	12	9070	–52.6	—	20	22	11650	–56.6	18	05	13480	–55.7	21	07	16060	–56.6	35	15	11130	217	–57.6
7245	–39.2	21	18	33	9160	–52.0	—	18	55	11750	–55.6	04	05	13590	–53.9	02	09	16190	–55.2	05	05	9960	265	–55.6
7350	–36.2	10	18	17	9260	–52.7	—	14	08	11820	–59.7	05	35	13620	–58.7	05	28	16200	–55.8	04	15	10930	230	–59.3
7400	–32.5	54	03	22	9370	–46.2	—	03	18	11970	–61.8	02	34	13740	–60.0	02	22	16300	–57.0	04	16	12570	181	–63.9
7400	–34.5	15	03	33	9360	–48.0	—	04	52	11930	–63.8	03	40	13690	–60.9	03	38	16240	–58.0	35	23	12920	170	–64.7
7325	–34.3	20	06	44	9280	–50.2	—	06	41	11810	–67.2	07	46	13540	–67.0	04	38	16000	–62.0	03	27	12950	165	–71.0
7375	–31.4	10	06	17	9350	–47.1	—	02	15	11910	–67.2	34	20	13630	–61.8	36	16	16170	–59.0	36	12	12470	182	–70.3
7370	–32.1	10	32	12	9330	–49.7	—	32	33	11880	–64.7	32	35	13650	–61.5	32	22	16180	–59.6	30	33	11770	204	–64.7
7295	–32.7	25	32	34	9260	–49.1	—	34	56	11810	–67.6	33	41	13510	–68.9	32	48	15950	–66.3	31	56	12490	178	–71.1
7210	–34.9	100	35	66	9160	–50.1	—	36	82	11710	–63.1	35	55	13500	–60.3	33	50	15990	–64.0	32	38	12390	179	–64.4
7270	–32.0	20	34	55	9240	–48.0	—	35	63	11810	–62.6	35	82	13570	–63.2	34	68	16060	–66.6	34	60	12130	190	–63.2
7335	–30.4	27	32	30	9320	–45.7	—	33	33	11910	–61.3	32	38	13720	–58.5	31	60	16220	–67.3	31	66	12210	191	–61.7
—	—	—	—	—	—	—	—	—	—	—	—	—	—	—	—	—	—	—	—	—	—	—	—	—
7310	–34.3	10	14	33	9250	–50.6	—	15	44	—	—	—	—	—	—	—	—	—	—	—	—	11520	209	–66.3
—	—	—	—	—	—	—	—	—	—	—	—	—	—	—	—	—	—	—	—	—	—	11090	221	–67.2
7390	–30.9	19	13	02	9370	–47.2	—	12	02	11920	–64.5	18	06	13730	–55.6	23	08	16300	–56.4	30	15	11740	206	–65.2
7253	–36.2	—	—	—	9182	–50.6	—	—	—	11748	–60.0	—	—	13557	–57.6	—	—	16115	–58.3	—	—	—	—	—

12.00 h

6980	–37.3	10	29	18	8920	–50.0	—	33	20	11570	–51.7	36	23	13440	–52.6	35	18	16050	–53.2	36	14	9320	282	–51.4
7000	–41.2	49	10	33	8905	–48.2	—	10	20	11570	–50.0	11	08	13480	–51.6	33	05	16050	–54.3	32	04	9720	265	–50.1
7205	–36.9	52	20	09	9130	–53.7	—	22	22	11720	–51.3	24	30	13580	–50.2	21	08	16220	–53.2	25	04	9750	272	–58.5
7245	–35.3	11	11	20	9190	–53.0	—	13	20	11720	–58.3	15	12	13550	–54.6	13	07	16150	–55.4	20	03	10700	236	–62.2
7275	–37.7	100	12	07	9190	–51.0	—	16	17	11770	–56.4	20	08	13615	–52.3	27	05	16230	–53.5	30	07	10840	232	–60.0
7235	–37.3	67	23	07	9155	–52.3	—	24	11	11710	–58.8	29	10	13545	–54.8	30	12	16130	–56.8	31	16	10810	231	–61.6
7150	–39.9	43	26	15	9055	–51.1	—	29	18	11620	–61.1	27	16	13425	–57.8	24	11	16000	–57.0	30	03	10910	224	–61.7
7210	–36.5	77	29	07	9150	–49.1	—	32	09	11705	–63.1	32	02	13510	–56.1	32	02	16100	–53.8	32	03	11120	220	–63.8
7185	–38.4	88	32	18	9120	–49.8	—	33	38	11710	–58.0	31	18	13530	–54.3	34	10	16120	–53.3	35	05	11190	217	–58.5
7220	–37.7	67	34	11	9145	–51.8	—	31	24	11720	–58.6	34	22	13540	–56.7	34	12	16130	–55.2	34	14	10920	227	–58.7
7190	–37.1	47	26	02	9120	–50.3	—	26	03	11740	–53.1	32	04	13600	–51.9	35	10	16230	–53.5	33	06	10300	250	–54.1
7120	–41.9	69	20	08	9050	–52.8	—	18	11	11690	–56.0	01	01	13430	–55.1	27	06	16000	–57.0	36	15	9950	260	–56.5
7225	–41.0	79	18	33	9140	–50.1	—	19	40	11740	–55.2	17	07	13590	–53.8	33	10	16180	–54.6	35	05	11100	221	–56.2
7260	–38.0	10	18	33	9200	–52.5	—	19	41	11760	–59.7	05	15	13580	–57.3	05	15	16130	–59.0	03	08	10710	237	–58.5
7420	–34.8	10	07	10	9380	–46.9	—	07	15	11970	–62.5	06	43	13720	–63.5	05	32	16260	–60.1	05	22	12730	175	–66.3
7430	–32.2	43	36	38	9400	–49.0	—	02	41	11960	–62.7	01	50	13760	–57.2	36	27	16330	–57.6	01	18	11960	200	–62.7
7380	–34.9	84	03	10	9330	–50.3	—	03	48	11860	–66.6	05	44	13640	–59.0	02	24	16180	–58.0	01	18	11860	200	–66.6
7450	–31.8	40	08	22	9310	–48.9	—	06	16	11850	–69.0	06	24	13770	–67.0	06	22	—	—	—	—	12470	180	–70.8
7400	–30.5	16	29	05	9380	–47.2	—	33	22	11960	–63.5	33	32	13710	–62.4	33	18	16250	–59.4	33	18	12730	176	–65.4
7330	–33.2	18	31	28	9290	–47.4	—	31	50	11870	–61.0	32	55	13630	–62.0	31	52	16160	–59.3	29	60	11870	200	–64.0
7290	–30.8	100	33	45	9270	–45.1	—	33	55	11880	–62.5	35	58	13650	–59.6	32	50	16160	–63.6	32	46	12530	180	–65.4
7265	–30.4	64	35	72	9250	–44.9	—	35	88	11860	–62.1	35	72	13610	–60.3	34	70	16130	–64.8	33	55	12960	167	–68.9
7290	–32.5	10	33	30	9275	–47.2	—	35	31	11845	–63.6	35	47	13640	–56.5	35	50	16150	–66.2	35	55	11845	200	–63.6
7310	–31.7	77	27	38	9270	–47.6	—	26	38	11850	–63.3	27	58	13650	–57.8	28	34	16180	–65.2	28	50	11850	200	–63.3
7320	–31.0	33	12	22	9300	–45.0	—	11	48	11900	–61.6	10	43	13680	–59.1	29	05	16235	–58.8	31	10	12030	196	–61.7
7405	–29.0	11	18	22	9380	–46.2	—	18	37	12000	–61.4	18	40	13780	–58.2	19	22	16370	–56.3	27	05	12850	174	–60.8
7415	–31.0	13	22	07	9400	–45.7	—	23	12	12000	–62.7	23	15	13780	–55.4	24	07	16380	–56.7	32	12	13000	170	–60.1
7385	–33.9	14	12	26	9285	–47.8	—	14	25	11880	–58.2	14	18	13730	–52.3	15	05	16340	–56.3	28	17	11660	207	–58.4
7268	–35.1	—	—	—	9213	–49.1	—	—	—	11798	–58.9	—	—	13604	–56.8	—	—	16179	–57.5	—	—	—	—	—

Observations aux

Mars 1959

Jour	Données synoptiques en surface (Code SYNOP)				Surface 491 m					1000 mb	850 mb					700 mb					500 mb				
	N	VVwwW	NhClhChCm	app	P	t	Hum	dd	ff	H	H	t	Hum	dd	ff	H	t	Hum	dd	ff	H	t	Hum	dd	ff
1	2	70020	20901	702	967	4.0	90	00	00	216	1555	4.8	58	25	04	3095	–4.8	14	23	06	5655	–24.8	22	14	17
2	2	70020	20930	400	964	2.5	80	00	00	194	1530	6.3	69	00	00	3080	–5.9	76	21	07	5635	–23.7	75	20	20
3	0	70020	00900	001	963	2.2	100	00	00	186	1515	6.5	53	14	03	3075	–4.5	57	20	12	5660	–22.4	73	22	19
4	8	70022	857xx	605	956	9.5	65	23	07	118	1465	5.4	66	19	14	3015	–4.0	100	22	33	5630	–15.8	100	24	43
5	8	65022	874xx	609	951	6.0	100	00	00	077	1405	3.3	100	22	11	2945	–6.1	100	23	44	5525	–18.3	35	24	54
6	8	65022	874xx	708	950	6.4	100	19	06	068	1405	6.1	80	22	17	3000	–2.0	70	22	42	5575	–17.8	100	25	60
7	8	20636	862xx	805	948	8.0	100	00	00	049	1385	3.7	100	19	22	2935	–4.7	100	22	39	5515	–19.3	100	22	40
8	8	80012	874xx	214	952	5.6	100	21	05	091	1405	–0.4	100	26	08	2930	–9.7	100	29	11	5455	–24.7	40	26	16
9	0	80000	00900	114	957	2.8	100	00	00	131	1455	2.8	74	10	06	3000	–5.8	15	26	16	5545	–22.9	45	27	38
10	8	66032	8xxxx	400	955	4.7	100	00	00	114	1440	5.1	82	24	05	3000	–2.0	23	11	05	5580	–20.5	97	17	10
11	8	64022	8xxxx	400	955	6.8	100	00	00	111	1440	3.9	83	03	07	2975	–8.4	88	02	03	5530	–22.1	96	10	08
12	8	58602	8xxxx	802	949	8.1	100	00	00	055	1395	3.5	93	34	05	2940	–7.5	100	36	01	5480	–21.2	40	29	05
13	8	70606	8xxxx	218	958	4.8	100	22	04	110	1440	–2.4	100	36	15	2960	–11.7	100	03	11	5470	–28.5	100	05	17
14	5	58012	5xxxx	210	965	2.7	100	06	02	204	1515	–3.1	100	03	17	3030	–10.0	80	02	15	5555	–26.3	84	02	13
15	0	70020	00900	203	966	1.0	100	04	06	214	1520	–1.2	100	07	16	3055	–4.1	22	04	16	5620	–20.8	10	03	38
16	2	57020	25400	400	963	0.6	100	21	06	183	1500	0.4	72	03	03	3040	–5.0	10	31	05	5590	–23.9	94	31	22
17	8	15224	872xx	817	955	0.6	100	00	00	121	1415	–3.3	97	07	15	2940	–9.5	46	13	24	5460	–27.0	53	17	26
18	7	45030	75400	000	956	1.2	100	00	00	130	1425	0.8	86	23	05	2970	–6.8	57	25	03	5520	–22.0	34	22	13
19	8	57021	855xx	106	959	6.7	100	00	00	149	1475	3.8	57	22	16	3020	–5.7	98	22	16	5575	–22.6	98	24	27
20	8	60602	3552x	207	961	6.7	100	00	00	169	1505	3.7	97	24	14	3045	–6.6	100	22	22	5590	–24.9	100	25	23
21	2	75012	25500	207	964	7.2	100	00	00	192	1515	4.4	86	23	11	3065	–6.6	88	23	20	5610	–24.7	59	26	27
22	8	70022	80910	002	967	7.6	90	00	00	211	1545	5.9	80	22	04	3125	0.0	85	23	12	5700	–21.7	90	20	22
23	8	65026	874xx	103	970	9.4	100	00	00	237	1590	3.7	100	24	12	3145	–3.3	100	25	10	5735	–20.1	95	26	11
24	2	70020	255xx	001	967	6.5	100	00	00	217	1545	4.9	100	00	00	3110	–5.2	91	23	10	5670	–23.1	36	23	03
25	8	70606	854xx	801	962	10.6	100	00	00	171	1525	7.4	84	21	08	3090	–3.2	98	22	18	5675	–19.0	59	21	19
26	8	75606	854xx	801	959	5.8	100	00	00	150	1495	0.0	100	32	05	3000	–8.6	100	29	05	5545	–23.9	100	18	33
27	1	75011	14600	106	960	3.8	100	00	00	159	1480	0.2	95	06	05	3000	–8.5	33	07	06	5540	–25.0	17	36	38
28	8	75032	8xxxx	807	955	7.0	100	00	00	116	1445	5.6	19	23	20	3000	–3.4	76	24	26	5600	–16.6	100	30	22
29	8	72026	8xxxx	110	958	7.3	100	00	00	143	1465	1.0	100	32	04	3000	–8.3	100	25	15	5535	–24.6	100	25	23
30	8	76032	8xxxx	802	951	7.8	75	21	08	076	1410	3.7	68	24	29	2940	–7.8	87	23	31	5505	–22.3	90	25	36
31	8	76022	8xxxx	209	951	5.9	100	01	02	077	1390	–1.5	100	05	07	2910	–11.5	93	05	12	5405	–28.1	74	07	14
Moyen					—	5.5	—	—	—	144	1471	2.7	—	—	—	3014	–6.2	—	—	—	5570	–22.5	—	—	—

Mars 1959

1	1	56104	10940	800	967	10.0	72	00	00	211	1535	2.9	48	00	00	3100	–7.8	35	18	07	5625	–27.2	78	17	16
2	5	64031	50901	705	964	8.8	59	00	00	189	1530	6.6	39	00	00	3090	–5.1	41	13	20	5635	–22.3	60	20	29
3	7	64032	7092x	819	960	6.2	80	00	00	159	1495	6.5	41	17	04	3065	–2.6	48	21	27	5660	–14.8	100	22	33
4	8	05606	860xx	729	949	7.4	100	00	00	063	1400	7.5	79	21	28	2960	–3.1	100	21	60	5545	–18.7	96	22	68
5	8	19104	860xx	105	952	7.0	100	00	00	091	1420	5.1	87	23	22	2975	–4.7	90	23	28	5540	–19.3	92	24	55
6	7	66022	2862x	815	949	12.0	68	01	05	051	1405	9.9	47	22	24	2980	–0.7	83	21	40	5590	–16.3	85	23	47
7	8	56636	873xx	207	948	7.5	100	24	02	055	1375	0.6	100	36	04	2910	–5.6	100	20	06	5480	–19.3	99	22	34
8	6	71022	68440	102	956	8.9	90	03	05	113	1440	0.7	93	01	02	2965	–9.4	97	22	04	5500	–23.6	10	29	33
9	8	20012	861xx	710	957	5.7	100	00	00	132	1455	5.5	25	09	05	3020	–3.0	10	23	16	5600	–20.4	14	22	22
10	6	35022	66401	000	955	8.2	90	00	00	108	1440	6.3	38	36	02	3000	–3.4	41	15	05	5585	–19.3	100	21	15
11	6	10014	661xx	715	952	7.8	100	00	00	081	1420	3.5	60	00	00	2950	–6.3	35	03	04	5530	–20.3	72	00	00
12	8	75606	873xx	213	952	6.8	100	22	07	089	1400	–2.5	100	35	11	2915	–9.1	100	01	07	5465	–24.0	100	13	11
13	8	75022	855xx	000	962	6.4	95	11	05	175	1495	–2.0	86	03	16	3005	–11.4	100	03	15	5520	–25.4	86	04	11
14	6	65022	65300	205	966	5.8	80	05	16	208	1515	–3.3	98	07	18	3030	–6.6	48	06	16	5575	–23.5	30	06	19
15	8	35022	863xx	400	966	2.8	100	02	05	208	1515	1.9	62	07	11	3060	–5.3	10	03	22	5635	–20.0	46	01	32
16	8	45102	864xx	710	959	5.4	90	00	00	145	1455	–1.9	81	31	05	3000	–10.6	100	29	05	5510	–23.8	11	29	33
17	8	40102	863xx	106	956	4.0	100	04	10	121	1425	0.0	65	14	05	3000	–6.7	43	15	01	5525	–24.0	92	15	22
18	4	20102	46200	004	957	3.4	100	00	00	135	1455	3.0	58	24	05	3000	–7.0	83	23	03	5555	–21.1	95	22	24
19	5	50101	15410	901	961	10.4	80	00	00	159	1505	4.2	90	19	03	3035	–6.4	98	22	11	5600	–25.7	96	25	17
20	4	50101	25410	802	963	11.2	90	00	00	179	1525	4.9	86	23	23	3085	–3.9	92	23	30	5655	–19.2	75	28	33
21	2	65020	20910	802	966	12.8	60	00	00	199	1515	7.0	71	18	02	3080	–0.7	75	24	20	5695	–16.8	70	26	23
22	7	60022	70910	104	969	12.5	80	00	00	221	1565	3.5	85	22	09	3110	–5.0	80	23	17	5695	–19.6	90	24	09
23	7	67012	65540	807	970	11.8	100	03	04	285	1575	4.0	99	12	06	3130	–2.9	17	18	05	5705	–21.9	25	36	03
24	3	64031	25641	807	966	13.3	75	03	02	198	1550	6.4	74	18	02	3105	–4.6	86	20	12	5690	–19.1	10	19	14
25	8	64606	874xx	810	959	9.5	100	24	07	143	1475	1.1	100	24	07	3000	–5.8	100	18	25	5575	–20.7	94	20	40
26	4	78021	38641	102	960	9.8	72	36	02	147	1465	–0.6	84	02	07	3000	–9.8	72	34	07	5520	–24.7	62	24	12
27	3	77031	25604	818	958	8.3	75	30	02	134	1465	1.7	66	00	00	3000	–4.4	10	04	05	5580	–19.4	10	35	12
28	8	58606	7544x	213	958	9.0	100	22	09	131	1460	1.3	100	24	10	3000	–6.5	100	26	20	5545	–22.7	26	27	40
29	5	78031	53500	816	957	10.1	78	04	02	122	1445	–0.3	76	05	02	2970	–8.5	45	25	14	5580	–21.3	10	31	28
30	6	76032	58570	710	951	9.5	47	23	10	075	1400	–1.1	65	21	11	2945	–11.5	61	26	18	5420	–28.9	19	26	17
31	8	65022	854xx	210	957	8.9	72	05	17	128	1465	1.7	100	06	36	3000	–5.1	85	06	32	5575	–19.6	49	06	16
Moyen					—	8.4	—	—	—	142	1470	2.7	—	—	—	3015	–6.2	—	—	—	5576	–21.4	—	—	—

niveaux standard

00.00 h

400 mb					300 mb					200 mb				150 mb				100 mb				Tropopause		
H	t	Hum	dd	ff	H	t	Hum	dd	ff	H	t	dd	ff	H	t	dd	ff	H	t	dd	ff	H	p	t
7245	–36.0	70	14	25	9190	–50.5	—	15	30	11760	–59.6	16	17	13590	–53.9	26	09	16160	–58.7	21	09	11420	211	–60.3
7220	–36.3	66	20	22	9170	–47.4	—	22	15	11800	–52.2	21	18	13670	–52.2	26	17	16280	–56.2	26	05	10370	250	–51.9
7245	–34.1	72	27	11	9200	–47.5	—	32	30	11800	–55.8	26	20	13650	–53.4	23	19	16240	–56.5	23	15	11340	215	–55.8
7280	–25.8	100	24	49	9305	–42.8	—	24	67	11900	–63.2	24	30	13700	–57.3	24	09	16270	–57.5	24	05	12000	197	–64.0
7140	–31.9	44	25	57	9100	–49.1	—	27	58	11660	–59.9	25	70	13500	–57.9	25	80	16060	–57.1	25	33	11040	221	–62.4
7215	–29.1	83	25	62	9205	–44.0	—	26	70	11835	–61.0	25	66	13615	–54.3	25	66	16190	–59.5	26	60	12480	180	–64.3
7140	–29.8	96	22	49	9135	–44.0	—	21	55	11655	–58.2	21	56	13590	–53.1	24	60	16180	–57.8	24	71	11630	204	–58.4
7045	–35.5	74	19	29	9000	–49.7	—	20	33	11640	–49.3	22	35	13520	–50.5	26	28	16160	–54.6	24	35	9430	280	–50.8
7140	–35.9	43	27	49	9080	–50.9	—	27	56	11630	–57.7	27	50	13480	–52.4	26	39	16100	–54.0	25	24	11040	220	–60.3
7190	–33.0	95	18	16	9140	–49.6	—	22	33	11690	–64.5	21	46	13470	–60.3	27	28	16000	–58.1	28	22	11220	216	–65.5
7130	–34.7	89	09	07	9080	–50.4	—	05	03	11650	–58.5	36	03	13460	–56.3	31	33	16040	–57.5	32	24	10690	233	–60.3
7095	–33.1	54	22	10	9050	–49.7	—	23	17	11630	–53.1	24	15	13500	–52.4	26	17	16100	–56.1	29	17	10740	230	–60.6
7030	–38.7	100	14	08	8940	–54.2	—	16	14	11520	–52.5	32	07	13380	–52.3	19	04	16000	–55.3	35	14	9890	259	–59.9
7130	–38.4	81	35	03	9040	–51.1	—	32	06	11670	–52.4	36	33	13540	–51.4	36	22	16150	–55.7	36	22	9590	276	–52.1
7240	–32.5	10	02	55	9210	–47.3	—	02	66	11800	–61.8	02	98	13610	–55.0	02	60	16190	–56.0	35	35	11800	200	–61.8
7190	–33.7	47	34	28	9140	–47.8	—	35	49	11740	–58.4	34	60	13550	–56.0	33	33	16140	–55.3	34	33	11430	210	–59.6
7025	–40.1	58	19	23	8970	–45.1	—	18	11	11680	–46.2	32	06	13580	–49.3	02	28	16210	–55.8	06	11	8730	311	–45.6
7125	–33.0	27	24	17	9090	–46.4	—	24	33	11730	–51.1	16	03	13620	–48.4	06	07	16260	–51.5	06	05	10260	251	–53.2
7170	–35.6	65	24	26	9110	–49.2	—	25	33	11740	–50.0	31	10	13620	–50.4	26	07	16250	–54.4	04	15	9840	268	–52.0
7170	–36.3	95	29	38	9120	–48.0	—	30	40	11730	–56.0	29	27	13580	–52.6	30	12	16180	–56.7	34	08	10360	229	–55.6
7180	–40.1	71	27	25	9070	–56.2	—	28	28	11650	–55.0	27	15	13490	–56.2	36	09	16040	–58.2	00	00	9390	285	–57.0
7315	–30.0	94	23	17	9310	–44.2	—	24	25	11930	–54.6	25	32	13790	–52.2	26	10	16415	–53.8	02	07	11330	220	–57.4
7345	–33.1	91	23	12	9300	–47.8	—	23	17	11900	–55.0	25	16	13750	–54.1	25	16	16330	–56.4	29	11	10370	254	–57.0
7265	–36.3	37	29	08	9200	–50.0	—	30	20	11790	–55.0	28	17	13630	–55.0	27	20	16220	–58.0	25	05	10270	254	–57.0
7295	–31.0	42	22	44	9260	–48.7	—	22	48	11840	–52.2	22	22	13710	–51.7	23	26	16320	–55.8	23	27	11000	229	–60.8
7150	–33.5	100	19	48	9100	–48.0	—	19	58	11720	–53.9	22	25	13590	–51.0	25	09	16200	–54.2	34	07	10740	233	–55.4
7130	–36.6	10	36	35	9070	–49.3	—	35	40	11670	–55.4	35	40	13530	–53.0	31	17	16120	–58.0	33	22	11070	220	–57.1
7240	–27.7	95	29	33	9270	–45.6	—	29	58	11860	–61.2	29	39	13680	–54.2	29	26	16270	–56.4	29	22	11770	203	–61.7
7110	–36.2	96	25	36	9050	–51.1	—	24	58	11670	–50.4	26	44	13550	–50.0	28	27	16180	–53.7	28	12	9730	270	–55.4
7100	–33.8	78	24	55	9060	–50.2	—	24	44	11620	–57.3	25	24	13480	–50.1	25	29	16130	–52.0	26	25	11220	213	–59.3
6970	–41.0	77	16	31	8860	–55.8	—	17	11	11490	–49.5	36	09	13370	–50.3	36	22	16000	–54.4	34	20	8970	295	–56.1
7170	–34.3	—	—	—	9123	–48.8	—	—	—	11723	–55.5	—	—	13574	–53.1	—	—	16174	–56.0	—	—	—	—	—

12.00 h

7175	–40.8	50	17	25	9100	–48.8	—	17	44	—	—	—	—	—	—	—	—	—	—	—	—	—	—	
7245	–32.2	57	20	22	9200	–47.6	—	20	30	11800	–55.0	21	33	13660	–51.8	22	17	16270	–56.0	22	17	11110	223	–57.7
7320	–26.0	76	26	38	9320	–43.7	—	27	42	11930	–63.8	26	51	13720	–55.7	25	24	16320	–55.0	23	14	12410	185	–64.7
7170	–30.4	87	22	50	9150	–46.4	—	22	78	11770	–51.5	22	80	13640	–51.5	23	28	16250	–55.7	23	30	10630	239	–55.5
7170	–29.0	93	24	60	9170	–41.6	—	24	85	11840	–52.4	25	60	13730	–48.1	25	60	16390	–49.7	25	25	11840	200	–52.4
7230	–27.9	80	24	77	9250	–42.5	—	23	96	11870	–58.2	24	66	13720	–52.0	24	66	16310	–55.8	24	60	11670	207	–59.1
7105	–30.1	92	22	30	9100	–46.2	—	21	60	11710	–51.8	21	50	13590	–51.5	23	39	16200	–55.7	23	38	10950	225	–57.8
7095	–34.9	27	29	33	9040	–50.3	—	27	48	11630	–51.9	25	33	13520	–48.9	25	35	16170	–52.6	25	44	10210	250	–57.0
7220	–30.2	54	25	44	9200	–47.1	—	25	53	11770	–64.7	25	70	—	—	—	—	—	—	—	—	—	—	—
7205	–31.9	86	20	13	9160	–49.0	—	18	22	11740	–57.5	23	18	13590	–53.2	26	18	16180	–55.6	30	27	10860	230	–60.4
7130	–34.2	52	03	04	9080	–48.5	—	33	05	11690	–52.9	33	06	13550	–53.0	31	25	16130	–58.0	32	20	10780	230	–56.8
7060	–33.0	100	17	08	9020	–49.5	—	18	22	11610	–52.0	20	15	13490	–49.3	21	16	16120	–54.5	27	04	10630	232	–59.0
7100	–37.8	76	20	03	9000	–55.1	—	27	17	11570	–53.7	35	11	13430	–53.7	36	14	16000	–58.4	36	15	9610	273	–60.0
7170	–35.9	34	06	16	9110	–47.9	—	03	49	11740	–53.3	01	66	13600	–52.5	01	44	16210	–55.0	01	28	10780	232	–54.1
7255	–31.8	57	36	32	9220	–47.8	—	36	36	11790	–63.0	34	44	13600	–54.7	34	44	16170	–58.6	35	30	11610	205	–63.7
7090	–36.4	10	29	32	9060	–41.5	—	29	38	11760	–49.3	34	25	13670	–45.7	34	15	16340	–49.5	35	16	10690	225	–48.9
7105	–36.0	66	15	23	9060	–46.1	—	16	19	11720	–49.7	07	05	13610	–48.7	06	10	16260	–52.6	08	06	10590	238	–51.1
7165	–32.7	93	23	20	9135	–48.0	—	23	17	11750	–51.4	07	03	13630	–48.9	03	04	16280	–53.2	04	06	10570	240	–54.6
7165	–37.2	91	25	20	9100	–49.2	—	26	20	11780	–48.0	28	16	13670	–47.9	34	03	16340	–51.8	35	06	9000	305	–49.4
7285	–32.0	60	27	48	9245	–47.4	—	27	57	11890	–50.4	26	11	13770	–49.8	27	12	16420	–52.6	29	07	11000	229	–52.2
7335	–27.9	54	27	27	9320	–46.2	—	27	33	11915	–56.4	27	30	13750	–53.7	28	15	16350	–55.4	06	05	11200	224	–60.6
7325	–31.4	87	24	16	9290	–46.4	—	26	25	11900	–56.8	26	19	13740	–53.2	32	08	16350	–54.8	34	05	11380	217	–58.6
7305	–33.7	17	24	07	9260	–48.9	—	22	17	11880	–51.4	25	19	13730	–51.4	25	16	16370	–55.3	28	08	10350	254	–55.9
7305	–30.8	41	23	08	9280	–46.0	—	25	33	11880	–55.0	27	17	13740	–52.5	25	21	16360	–54.9	23	05	11100	226	–59.1
7185	–31.7	89	20	30	9150	–48.6	—	20	66	11760	–53.6	22	39	13640	–49.5	25	20	16260	–53.5	34	08	10460	245	–56.7
7090	–38.4	57	22	17	9020	–50.9	—	20	33	11640	–50.6	28	08	13520	–50.3	32	14	16130	–55.0	32	11	10540	237	–54.6
7195	–31.7	13	33	28	9170	–47.4	—	33	42	11780	–57.6	33	44	13610	–51.4	32	17	16220	–55.2	32	19	11890	196	–57.7
7150	–32.4	42	27	42	9110	–48.4	—	27	70	11730	–52.7	29	50	13590	–52.2	28	40	16210	–54.8	28	30	10400	246	–55.2
7130	–34.1	26	32	38	9060	–51.3	—	30	46	11650	–52.0	28	20	13520	–50.3	28	32	16150	–55.2	27	14	10400	243	–58.2
6975	–41.0	20	22	38	8880	–52.8	—	21	56	11560	–47.5	25	22	13440	–46.7	26	17	16110	–51.3	32	03	8800	304	–52.8
7190	–34.1	39	10	11	9120	–51.3	—	03	38	11760	–49.2	02	44	13660	–48.0	02	40	16310	–51.0	02	28	9550	281	–54.1
7182	–33.1	—	—	—	9141	–47.8	—	—	—	11760	–53.8	—	—	13626	–50.9	—	—	16248	–54.4	—	—	—	—	

Observations aux

Avril 1959

Jour	Données synoptiques en surface (Code SYNOP)				Surface 491 m					1000 mb	850 mb					700 mb					500 mb				
	N	VVwwW	NhClhCmCH	app	P	t	Hum	dd	ff	H	H	t	Hum	dd	ff	H	t	Hum	dd	ff	H	t	Hum	dd	ff
1	2	68011	2xxxx	218	964	5.3	100	06	04	196	1510	1.7	87	07	25	3055	–4.9	37	06	28	5620	–21.8	10	05	17
2	3	68020	3xxxx	102	967	2.4	100	09	04	225	1550	3.4	82	06	21	3110	–1.0	11	05	17	5730	–16.6	43	04	22
3	0	66000	00900	202	965	4.5	100	00	00	202	1535	7.3	40	07	08	3120	0.5	27	02	17	5725	–18.0	42	01	28
4	0	64000	00900	104	963	5.6	100	21	04	181	1520	8.9	60	21	03	3105	0.8	23	04	17	5715	–17.4	22	02	17
5	0	57020	00900	204	960	9.8	55	21	05	151	1505	9.7	30	24	30	3080	–1.0	22	28	11	5700	–16.4	10	26	33
6	0	80020	00900	000	955	9.2	45	20	06	108	1465	9.5	49	26	06	3045	–1.1	34	27	22	5640	–17.3	27	28	20
7	6	80032	654xx	715	945	11.3	50	22	12	020	1365	6.0	62	24	29	2925	–3.3	68	25	76	5510	–18.7	52	27	49
8	6	80626	655xx	210	951	6.7	85	23	14	081	1400	1.1	100	24	28	2930	–10.2	100	26	27	5500	–20.4	17	31	53
9	3	80020	355xx	400	945	9.8	75	21	05	020	1360	5.6	92	23	38	2905	–7.4	100	21	44	5455	–23.9	62	24	60
10	6	80022	674xx	810	942	2.7	100	00	00	002	1320	–1.5	89	24	16	2835	–13.8	100	25	27	5300	–31.7	70	26	38
11	8	70606	874xx	212	947	4.0	100	22	10	046	1365	–2.0	94	27	22	2880	–12.0	93	27	28	5365	–30.6	90	27	28
12	8	75602	856xx	211	957	8.2	55	23	08	122	1455	1.8	80	23	25	3000	–7.1	100	27	22	5550	–21.1	100	30	35
13	3	75020	30901	105	958	6.4	100	00	00	140	1485	8.3	84	23	12	3060	0.1	11	25	18	5670	–17.1	86	28	30
14	2	75020	30901	400	956	7.7	100	00	00	121	1475	8.8	31	21	06	3045	–2.1	28	22	25	5630	–20.2	10	20	20
15	3	70020	30901	801	953	10.2	68	00	00	086	1450	10.7	38	21	12	3030	–0.8	48	20	12	5610	–20.1	58	22	18
16	6	75012	60941	820	952	10.3	92	00	00	082	1435	6.8	81	10	08	3000	–3.1	87	19	22	5580	–17.0	11	22	27
17	8	56636	873xx	104	948	5.5	100	00	00	012	1335	1.0	100	26	10	2870	–6.8	100	26	05	5430	–21.0	100	13	33
18	8	75022	856xx	105	947	6.8	100	00	00	040	1370	1.9	94	03	06	2910	–4.5	100	05	23	5490	–19.5	85	06	34
19	8	64602	874xx	210	949	9.4	100	00	00	058	1400	4.5	100	34	10	2940	–4.5	100	34	16	5525	–20.4	92	09	16
20	8	66606	874xx	214	962	5.3	100	19	02	171	1480	–1.9	100	03	11	3000	–9.0	100	02	05	5555	–22.3	10	35	22
21	2	70011	24600	209	965	1.5	75	05	05	202	1495	–4.0	73	06	33	3000	–10.0	16	04	22	5535	–25.0	19	01	22
22	0	68000	00900	102	967	0.1	65	06	07	219	1520	–3.1	52	07	17	3040	–9.9	48	06	28	5585	–22.5	28	03	23
23	0	68000	00900	808	964	0.0	93	00	00	194	1505	1.6	72	07	26	3035	–7.6	59	04	17	5580	–22.7	23	02	27
24	0	72000	00900	306	960	2.2	85	00	00	161	1480	2.3	46	05	06	3015	–7.6	34	01	06	5545	–23.6	60	01	11
25	1	67010	10941	210	962	5.0	85	00	00	175	1515	6.5	56	06	07	3070	–4.1	63	36	06	5645	–18.1	37	36	20
26	4	65020	40901	203	959	8.3	65	00	00	140	1490	8.1	54	23	26	3055	–4.6	69	23	25	5640	–17.4	13	24	15
27	8	65216	874xx	102	957	8.4	100	21	08	126	1455	4.8	92	23	33	3010	–4.0	100	24	34	5600	–19.5	10	24	40
28	8	70626	874xx	107	952	8.9	100	22	07	081	1410	5.0	95	22	13	2960	–4.0	100	20	22	5535	–20.2	100	23	34
29	8	65636	874xx	000	953	8.4	100	00	00	091	1435	5.4	100	23	11	3000	–3.5	100	22	24	5580	–18.0	21	27	30
30	8	70031	856xx	500	945	9.7	100	19	06	020	1370	4.1	96	22	16	2920	–4.1	85	14	18	5500	–20.8	95	16	55
Moyen					955	6.5	86	—	—	116	1449	4.1	—	—	—	2998	–5.0	—	—	—	5568	–20.6	—	—	—

Avril 1959

1	2	57100	22500	707	967	11.2	56	04	16	213	1550	2.0	61	06	25	3080	–5.5	21	07	26	5670	–16.8	10	04	45
2	0	60020	00900	710	967	12.6	50	03	13	208	1555	5.9	60	07	17	3130	1.0	12	06	25	5740	–18.3	39	02	33
3	0	60020	00900	716	964	11.8	55	34	05	186	1535	10.3	30	05	06	3135	2.6	10	04	28	5760	–16.5	10	03	21
4	0	75020	00900	807	963	15.0	50	00	00	172	1525	9.8	43	23	11	3105	0.8	20	13	08	5730	–17.1	32	29	11
5	1	75020	00901	719	958	17.3	36	22	10	123	1490	8.1	24	25	15	3065	–1.6	15	24	22	5665	–17.8	28	27	28
6	5	65031	25640	716	951	16.5	40	24	08	062	1425	7.3	46	24	15	3000	–3.8	83	24	27	5575	–19.3	29	25	28
7	8	20626	863xx	221	944	7.8	100	26	27	014	1365	0.0	92	26	37	2875	–9.3	100	26	39	5405	–21.2	21	29	60
8	1	75020	15500	728	947	13.4	50	21	17	033	1390	6.3	51	23	25	2960	–3.0	49	24	38	5545	–20.0	10	26	45
9	8	56606	873xx	112	944	7.4	100	23	14	016	1345	0.9	97	24	22	2855	–10.8	92	24	34	5385	–25.6	93	20	45
10	8	59606	874xx	224	942	4.8	100	22	16	004	1315	–2.2	98	25	30	2825	–12.1	100	25	33	5315	–31.0	94	26	24
11	6	70022	65501	208	954	9.4	75	25	12	096	1430	–1.7	83	24	28	2930	–12.1	82	28	22	5445	–27.7	20	31	45
12	3	81020	25601	805	958	15.3	45	30	05	127	1490	4.5	51	22	16	3040	–3.2	63	26	18	5600	–21.7	62	30	28
13	1	78010	10840	711	958	15.4	55	00	00	129	1490	10.1	40	20	06	3085	3.4	10	22	20	5705	–17.4	11	24	22
14	5	78012	30872	811	956	17.1	54	02	03	109	1475	11.8	31	10	07	3060	0.2	39	14	12	5650	–19.7	69	20	26
15	6	76032	50771	400	955	17.0	50	34	03	100	1465	10.4	38	23	10	3045	–1.0	41	19	07	5625	–19.6	43	18	33
16	8	65022	5851x	742	941	11.2	100	00	00	–18	1335	8.7	82	11	11	2915	–1.5	87	15	15	5500	–18.8	100	21	30
17	8	68606	874xx	400	943	8.4	100	00	00	4	1350	1.9	100	00	00	2880	–5.4	100	10	10	5445	–20.7	100	08	26
18	8	64606	874xx	400	948	9.9	100	24	03	048	1400	5.6	100	36	16	2960	–3.1	100	01	13	5540	–19.5	49	01	19
19	8	72216	875xx	220	956	7.9	100	25	04	118	1445	2.1	100	05	12	3000	6.0	100	01	14	5570	–19.5	28	36	20
20	7	57022	754xx	400	963	4.8	82	05	08	183	1500	–2.8	98	06	11	3000	–8.4	30	02	12	5555	–23.5	43	35	16
21	1	80020	11300	703	965	6.0	40	05	15	196	1505	–3.3	56	06	22	3010	–10.4	10	04	24	5535	–25.5	10	03	21
22	0	80020	00900	710	966	7.7	32	05	15	206	1525	–2.6	34	07	17	3035	–9.7	10	03	22	5555	–27.2	37	02	20
23	0	70020	00900	714	961	10.0	50	05	08	159	1495	2.2	35	07	06	3030	–6.0	25	05	07	5580	–23.7	52	34	12
24	3	75020	11701	802	961	12.3	45	03	08	160	1490	2.0	34	05	06	3035	–6.9	43	06	08	5575	–22.2	33	02	14
25	1	65020	12701	710	962	14.0	50	01	05	164	1520	7.3	40	00	00	3080	–2.2	29	23	08	5605	–18.9	18	35	09
26	8	62022	8092x	702	957	13.1	50	24	08	120	1475	7.0	62	21	22	3035	–5.2	61	21	35	5610	–18.5	100	24	28
27	4	70011	43501	810	954	14.5	50	24	10	096	1450	4.8	70	23	17	3000	–6.2	22	24	18	5555	–23.7	14	26	43
28	—	—	—	—	—	—	—	—	—	—	—	—	—	—	—	—	—	—	—	—	—	—	—	—	—
29	8	56022	874xx	721	948	12.2	100	03	09	047	1395	8.8	52	18	08	3000	–1.2	100	21	27	5585	–17.4	100	23	27
30	8	75022	853xx	207	950	9.4	100	21	07	067	1405	2.1	100	26	08	2960	–5.8	100	10	02	5525	–20.5	100	11	16
Moyen					955	11.5	66	—	—	108	1453	4.4	—	—	—	3004	–4.2	—	—	—	5573	–21.0	—	—	—

niveaux standard

00.00 h

400 mb					300 mb					200 mb				150 mb				100 mb				Tropopause		
H	t	Hum	dd	ff	H	t	Hum	dd	ff	H	t	dd	ff	H	t	dd	ff	H	t	dd	ff	H	p	t
7225	–33.3	10	03	38	9195	–45.3	—	03	58	11810	–53.9	03	83	13660	–53.5	04	50	16260	–54.6	03	60	11000	227	–58.8
7375	–27.6	28	03	35	9380	–43.1	—	02	44	12000	–60.4	03	38	13810	–56.1	03	39	16270	–58.5	04	28	12290	191	–61.8
7355	–30.8	42	01	28	9330	–46.1	—	36	33	11930	–56.6	36	50	13770	–56.6	32	22	16290	–62.3	01	14	11630	210	–59.1
7340	–32.0	38	35	19	9310	–47.7	—	34	25	11880	–64.1	34	28	13670	–57.6	34	17	16210	–62.0	34	15	12240	189	–65.6
7330	–30.2	12	26	22	9320	–46.1	—	26	38	11880	–64.8	26	41	13660	–58.8	27	22	16200	–60.5	28	07	12400	184	–66.0
7270	–29.8	22	27	20	9250	–47.8	—	26	08	11840	–60.0	11	16	13660	–51.0	26	07	16250	–56.9	29	11	11840	200	–60.0
7135	–30.0	70	28	39	9120	–47.0	—	29	46	11720	–58.5	30	44	13560	–53.6	28	38	16170	–55.2	28	12	11510	207	–59.8
7105	–33.4	19	32	50	9070	–45.5	—	29	55	11720	–54.7	28	77	13570	–55.2	29	60	16130	–57.0	—	—	11910	194	–55.7
7050	–33.4	53	24	58	9000	–48.1	—	28	60	11600	–56.6	24	23	13430	–55.7	21	28	16000	–58.8	24	28	10250	248	–58.4
6840	–41.6	52	25	22	8750	–49.0	—	22	38	11440	–47.5	23	33	13330	–47.5	22	28	15970	–51.8	23	28	9130	283	–49.6
6905	–44.3	87	28	48	8800	–49.2	—	28	38	11480	–43.7	28	22	13330	–49.2	27	28	16040	–51.4	26	35	7820	348	–50.9
7150	–34.1	79	29	44	9120	–46.1	—	29	65	11720	–59.9	29	80	13500	–59.5	29	51	16050	–55.5	28	20	12840	167	–61.4
7300	–29.7	100	28	20	9290	–45.8	—	29	30	11890	–61.0	29	35	13650	–62.7	30	18	16200	–59.2	28	15	13040	166	–64.9
7230	–32.9	10	21	27	9200	–47.2	—	25	22	11780	–62.0	23	20	13780	–57.5	22	05	16120	–59.3	00	00	11650	204	–62.5
7220	–33.1	54	21	18	9190	–47.6	—	19	34	11780	–60.6	20	30	13600	–55.5	20	15	16160	–59.6	19	12	11650	204	–61.0
7220	–32.2	17	21	28	9170	–48.0	—	23	23	11750	–55.8	25	33	13590	–54.9	24	20	16190	–54.4	22	14	10850	231	–60.7
7035	–33.3	100	13	42	9000	–49.5	—	13	58	11620	–47.1	16	15	13520	–49.6	16	08	16160	–51.7	00	00	9480	278	–53.3
7110	–31.2	82	07	48	9080	–46.3	—	07	49	11710	–49.1	05	22	13600	–50.0	04	23	16240	–51.6	03	15	10560	239	–57.5
7140	–34.1	75	11	14	9100	–47.4	—	19	18	11740	–48.6	33	28	13640	–49.3	35	17	16280	–53.2	35	11	10310	250	–52.1
7145	–34.1	10	34	23	9090	–49.0	—	32	22	11690	–53.4	32	29	13560	–50.6	33	34	16180	–53.7	33	18	10880	227	–58.8
7110	–38.4	44	31	17	9050	–49.5	—	33	23	11690	–46.9	33	13	13600	–50.0	33	16	16220	–53.2	33	16	10050	257	–52.3
7160	–38.6	51	03	34	9070	–51.9	—	03	35	11710	–48.9	36	22	13600	–51.7	34	24	16200	–55.2	34	13	9280	290	–53.1
7185	–34.7	44	01	35	9140	–47.5	—	36	39	11750	–57.2	35	40	13580	–52.7	33	22	16190	–54.8	33	22	11690	202	–57.6
7130	–34.9	42	01	23	9080	–50.3	—	02	31	11630	–60.9	34	25	13440	–55.4	33	13	16040	–56.2	33	14	11120	217	–63.5
7280	–30.4	33	34	24	9270	–45.7	—	35	26	11860	–61.7	35	18	13670	–51.0	32	08	16290	–54.3	32	11	11770	203	–62.1
7270	–29.1	60	25	16	9260	–45.4	—	30	12	11850	–63.0	31	38	13610	–61.8	28	15	16160	–56.6	27	18	12390	183	–65.0
7215	–31.0	10	24	35	9170	–47.2	—	24	53	11820	–50.6	26	38	13700	–49.4	21	22	16350	–49.7	25	10	10520	244	–52.2
7150	–33.8	91	23	36	9105	–49.5	—	23	30	11740	–51.0	30	38	13620	–54.0	27	30	16210	–52.7	28	17	9160	297	–50.0
7210	–29.8	45	29	66	9190	–45.3	—	28	68	11820	–52.8	28	88	13680	–53.2	27	38	16280	–54.0	27	30	11440	212	–55.0
7100	–34.2	91	17	44	9040	–51.3	—	17	35	11670	–49.2	19	36	13540	–51.5	27	12	16160	–54.2	23	12	9790	267	–54.6
7176	–33.3	—	—	—	9138	–47.5	—	—	—	11751	–55.4	—	—	13600	–54.0	—	—	16182	–55.6	—	—	—	—	—

12.00 h

7300	–30.2	14	05	50	9290	–45.6	—	04	66	11890	–60.4	04	83	13700	–55.3	04	66	16280	–57.7	04	50	12000	196	–61.0
7370	–29.9	40	02	25	9350	–46.0	—	01	37	11960	–57.1	01	30	13790	–56.3	02	30	16320	–61.9	05	25	11650	210	–57.9
7390	–29.6	10	36	22	9370	–44.7	—	36	33	12000	–61.0	01	60	13790	–54.7	35	48	16360	–60.3	33	28	12470	185	–62.3
7365	–29.7	30	30	17	9350	–46.2	—	31	18	11950	–64.3	31	28	13720	–58.6	30	17	16250	–62.5	30	13	12520	182	–65.4
7290	–31.3	42	28	32	9250	–49.4	—	27	35	11800	–65.0	27	33	13590	–58.1	27	06	16130	–59.5	27	11	11670	204	–65.5
7190	–32.2	29	25	44	9150	–49.0	—	26	48	11730	–58.4	27	08	13550	–55.2	29	08	16140	–56.0	29	15	10950	226	–58.9
7030	–29.9	10	30	98	9000	–42.1	—	31	110	11170	–48.9	—	—	13590	–52.9	—	—	16200	–50.3	—	—	10280	248	–49.1
7165	–33.2	14	26	54	9120	–47.0	—	27	53	11735	–60.5	27	80	13520	–59.0	27	82	16080	–58.3	27	59	11735	200	–60.5
6965	–35.2	49	21	59	8910	–49.0	—	21	86	11560	–48.7	22	65	13440	–49.6	23	52	16080	–53.7	23	25	9390	279	–51.7
6845	–45.0	88	26	27	8760	–46.1	—	25	30	11450	–44.6	25	34	13370	–48.7	25	33	16000	–48.3	25	20	7310	373	–47.1
7000	–36.6	47	31	82	8940	–51.0	—	32	87	11540	–55.0	31	85	13390	–53.1	29	58	16000	–53.2	29	30	11220	210	–56.1
7210	–33.8	62	30	43	9160	–49.0	—	30	56	11720	–62.8	29	44	13500	–61.6	29	35	16020	–58.2	28	27	12240	184	–63.6
7330	–29.7	12	24	19	9310	–46.8	—	24	27	11890	–63.6	23	22	13680	–58.9	24	08	16240	–58.7	24	08	12080	194	–64.4
7265	–31.7	73	20	25	9250	–42.7	—	19	29	11850	–63.7	20	24	13650	–55.4	21	10	16210	–59.7	20	07	11970	196	–64.3
7250	–29.6	44	22	34	9240	–46.2	—	21	28	11840	–57.5	21	23	13670	–53.4	21	23	16260	–55.9	21	27	10770	237	–58.3
7130	–30.7	99	18	48	9110	–45.8	—	18	49	11710	–54.1	21	28	13560	–51.4	20	24	16190	–53.0	20	15	11090	221	–61.5
7060	–31.0	94	09	57	9040	–46.1	—	09	68	11750	–48.0	07	18	13670	–45.6	07	05	16370	–47.4	07	06	9380	285	–46.9
7165	–30.4	21	35	14	9150	–47.5	—	35	11	11760	–52.8	36	26	13620	–52.0	36	16	16250	–51.9	02	07	10410	247	–56.3
7185	–32.1	21	36	22	9160	–46.8	—	27	12	11790	–50.4	35	28	13680	–49.3	35	28	16320	–50.8	34	14	10340	250	–54.0
7145	–36.4	34	33	22	9080	–49.9	—	32	18	11730	–46.7	28	16	13640	–48.1	31	26	16280	–51.5	32	16	10110	256	–52.0
7110	–38.2	17	03	18	9050	–47.1	—	35	15	11720	–47.3	36	17	13620	–49.0	35	24	16250	–53.1	34	17	9640	274	–48.5
7125	–38.0	28	03	46	9050	–50.1	—	02	66	11670	–52.0	35	34	13530	–52.8	35	16	16130	–53.8	34	13	10410	243	–54.6
7170	–34.2	51	34	25	9140	–47.6	—	34	45	11720	–50.6	33	28	13550	–55.3	31	18	16140	–56.1	34	12	11210	217	–61.5
7180	–34.1	43	04	26	9130	–49.1	—	04	28	11690	–58.6	02	11	13520	–55.2	34	07	16110	–56.0	34	08	11000	224	–62.1
7295	–28.8	31	01	16	9290	–44.5	—	35	24	11890	–62.4	36	28	13660	–60.1	33	16	16220	–56.2	30	14	12270	188	–63.6
7240	–28.4	100	21	44	9240	–45.6	—	22	52	11820	–61.1	24	33	13620	–56.2	24	22	16220	–53.7	24	18	11630	206	–62.3
7150	–35.2	52	26	27	9095	–49.9	—	26	38	11690	–53.7	27	28	13550	–52.1	27	38	16180	–53.0	25	33	10360	246	–57.0
—	—	—	—	—	—	—	—	—	—	—	—	—	—	—	—	—	—	—	—	—	—	—	—	—
7220	–29.7	68	24	38	9200	–45.7	—	25	67	11835	–51.3	25	50	13705	–50.2	25	20	16340	–52.2	24	16	11000	227	–55.2
7125	–36.9	98	09	27	9085	–49.0	—	11	28	11770	–44.8	16	08	13680	–47.3	24	10	16360	–49.8	23	09	9085	300	–49.0
7182	–32.7	—	—	—	9147	–47.1	—	—	—	11746	–55.5	—	—	13605	–53.6	—	—	16204	–54.9	—	—	—	—	—

Observations aux

Mai 1959

Jour	Données synoptiques en surface (Code SYNOP)				Surface 491 m					1000 mb	850 mb					700 mb					500 mb				
	N	VvwwW	NhClhCMCH	app	P	t	Hum	dd	ff	H	·1	t	Hum	dd	ff	H	t	Hum	dd	ff	H	t	Hum	dd	ff
1	8	57636	874xx	104	957	5.0	100	21	08	132	1445	–0.6	100	25	21	2980	–6.5	100	01	16	5540	–21.7	100	03	28
2	8	65606	874xx	000	965	5.2	100	21	10	192	1515	–1.7	90	32	13	3035	–6.9	95	35	13	5590	–23.5	43	33	22
3	8	70026	856xx	105	963	6.5	100	00	00	185	1515	0.8	95	35	08	3035	–10.0	100	32	12	5585	–21.0	12	32	47
4	3	70020	30901	812	960	3.6	100	00	00	155	1485	3.1	70	00	00	3035	–4.2	13	28	12	5605	–20.1	21	30	24
5	3	70020	30901	102	—	—	—	—	—	—	—	—	—	—	—	—	—	—	—	—	—	—	—	—	—
6	5	70031	547xx	108	960	9.0	98	00	00	150	1505	6.8	80	00	00	3055	–5.9	100	23	20	5620	–20.5	10	25	25
7	2	60101	347xx	207	963	9.7	86	00	00	173	1455	9.0	89	00	00	3000	–2.5	100	21	05	5585	–18.3	47	26	14
8	–	—	—	—	—	—	—	—	—	—	—	—	—	—	—	—	—	—	—	—	—	—	—	—	—
9	3	60100	20903	806	949	12.6	85	00	00	059	1420	13.3	70	07	07	3020	2.0	100	09	03	5645	–15.9	44	11	08
10	3	75022	30750	310	948	14.2	56	18	07	038	1405	13.0	38	21	11	3000	0.1	50	14	08	5605	–17.1	61	14	22
11	8	75032	846xx	218	956	11.6	82	00	00	110	1470	12.5	51	00	00	3065	0.0	87	09	03	5670	–17.2	63	10	11
12	5	75012	54501	208	961	13.0	90	06	06	154	1515	10.0	75	23	05	3090	–0.8	94	13	16	5695	–17.8	100	19	04
13	2	60020	24600	214	964	11.0	92	00	00	186	1535	8.8	67	07	16	3105	–2.6	64	04	17	5700	–20.4	34	36	14
14	0	70020	00900	400	965	10.2	65	00	00	196	1545	8.0	44	07	22	3110	–2.5	35	04	16	5700	–18.8	48	36	22
15	8	60032	855xx	710	961	11.0	92	02	08	160	1515	6.2	96	28	05	3070	–5.0	100	34	21	5635	–22.3	77	34	29
16	4	60022	45530	400	959	6.7	91	00	00	149	1480	1.4	100	06	20	3015	–7.9	90	08	16	5555	–24.5	82	14	16
17	3	60022	34540	108	957	11.0	85	00	00	126	1475	5.3	99	07	13	3035	–4.3	61	10	08	5605	–22.7	100	12	22
18	3	55020	35700	105	955	9.2	90	00	00	108	1440	9.0	70	00	00	3020	–1.9	86	20	03	5615	–19.4	47	20	12
19	8	68808	875xx	204	954	12.6	93	23	04	093	1455	7.7	88	18	02	3025	–2.5	100	23	07	5620	–18.3	100	23	12
20	8	75022	35132	105	956	12.0	92	00	00	117	1465	9.6	85	08	06	3040	–1.7	98	24	08	5645	–17.6	10	22	21
21	3	65022	30940	702	953	14.3	87	00	00	083	1460	13.3	70	08	12	3050	2.6	63	22	16	5690	–16.4	58	22	28
22	6	73022	34647	400	955	11.7	92	00	00	105	1450	11.7	58	19	03	3045	–0.6	85	20	03	5645	–17.8	61	18	16
23	8	57022	865xx	000	949	15.0	85	04	08	047	1410	10.2	98	08	08	3000	2.3	69	14	17	5640	–15.0	95	10	18
24	8	70022	865xx	103	956	14.8	75	00	00	112	1485	8.2	100	16	02	3055	2.4	78	11	07	5705	–13.6	11	08	24
25	2	70020	24641	106	959	10.0	87	00	00	139	1495	6.9	78	06	11	3050	–2.9	46	06	07	5650	–19.7	10	05	02
26	–	—	—	—	—	—	—	—	—	—	—	—	—	—	—	—	—	—	—	—	—	—	—	—	—
27	1	70020	14701	104	959	9.8	85	00	00	144	1505	10.5	60	04	04	3085	–0.1	14	01	03	5700	–16.8	44	01	16
28	1	70020	14500	002	958	7.8	90	00	00	140	1485	7.8	85	29	04	3055	–0.1	25	27	06	5685	–16.1	25	30	16
29	1	70020	14600	803	953	7.8	86	00	00	101	1425	7.0	85	05	03	3000	–2.0	14	30	10	5600	–18.1	17	29	16
30	6	71022	666xx	400	954	8.1	80	00	00	096	1425	2.7	79	04	08	2955	–7.6	62	30	04	5525	–21.0	36	29	52
31	8	60202	8xxxx	107	955	7.3	100	23	06	114	1440	2.5	100	26	06	2980	–7.0	100	29	12	5515	–25.3	99	32	17
Moyen					957	10.1	—	—	—	127	1472	7.3	—	—	—	3036	–2.7	—	—	—	5628	–19.2	—	—	—

Mai 1959

1	8	58606	854xx	211	961	5.1	100	20	12	162	1495	0.0	100	26	15	3045	–4.1	100	01	27	5625	–18.4	93	02	28
2	8	56022	855xx	806	963	9.4	60	04	05	180	1505	–1.3	92	34	03	3020	–8.1	45	36	04	5575	–23.5	40	33	03
3	3	72022	32700	801	962	11.5	35	32	06	171	1510	2.3	61	06	03	3050	–3.5	21	35	04	5640	–19.1	20	34	33
4	2	75011	11641	705	959	13.1	55	00	00	137	1490	4.6	84	23	11	3045	–3.2	13	27	13	5635	–18.5	18	28	29
5	3	75020	12602	706	959	16.0	55	00	00	137	1495	8.4	57	00	00	3065	–3.6	59	21	17	5655	–18.6	28	25	33
6	6	60102	12620	400	962	16.1	70	00	00	164	1520	6.6	80	12	04	3075	–4.6	79	20	04	5655	–19.8	42	24	16
7	7	58102	70902	816	961	16.5	70	00	00	156	1500	9.7	64	09	03	3010	–2.0	64	23	10	5600	–16.7	44	23	18
8	5	60022	28631	720	954	18.4	73	06	08	086	1440	10.9	52	06	14	3010	1.5	63	14	10	5605	–15.1	63	25	07
9	5	60022	12641	712	947	19.7	60	36	06	022	1410	12.1	37	00	00	3000	–0.2	45	12	14	5615	–17.6	24	11	22
10	3	75021	12640	206	951	21.0	44	00	00	059	1445	13.6	39	06	05	3030	1.1	52	15	07	5655	–14.3	51	14	28
11	3	65030	33400	400	958	20.3	60	00	00	121	1505	13.5	64	08	07	3105	1.1	77	10	11	5710	–17.4	52	10	08
12	4	65030	49403	103	962	19.4	60	00	00	158	1545	13.0	83	05	05	3135	1.2	98	03	11	5725	–16.6	22	02	22
13	1	65020	11400	806	965	18.0	50	05	05	135	1545	7.0	45	05	10	3115	–1.8	10	02	17	5700	–20.1	17	35	27
14	2	60030	22400	705	965	16.6	45	04	10	131	1555	6.1	62	05	12	3100	–7.5	90	05	21	5660	–22.1	10	01	35
15	6	65021	65400	400	960	13.2	65	06	10	145	1485	1.0	96	03	11	3005	–9.2	84	02	11	5535	–27.9	60	03	28
16	8	57022	854xx	400	958	12.3	75	03	10	134	1470	2.3	97	07	15	3020	–6.0	69	09	14	5570	–23.3	38	10	11
17	5	59022	57500	714	956	15.6	65	04	09	110	1475	7.7	75	00	00	3040	–2.2	54	00	00	5620	–19.9	52	14	13
18	4	75021	33501	710	954	19.3	65	01	05	088	1465	10.7	44	08	08	3040	–2.3	86	19	07	5635	–20.0	13	25	08
19	6	56022	32510	806	954	18.5	61	00	00	086	1455	10.0	73	21	02	3035	–1.2	83	21	03	5635	–18.2	75	20	15
20	1	70020	12601	704	956	20.1	63	00	00	102	1485	10.8	98	09	03	3075	–0.2	60	22	08	5685	–16.7	26	24	20
21	8	60020	12510	101	952	20.8	67	00	00	068	1455	14.9	50	15	06	3065	4.7	40	17	07	5695	–19.0	12	17	11
22	8	60022	2351x	807	951	17.0	71	04	10	066	1425	11.0	76	06	20	3015	2.5	63	07	20	5665	–15.5	100	12	15
23	5	50022	55510	208	953	17.3	73	02	12	083	1450	8.2	93	13	02	3035	1.0	59	09	12	5655	–15.8	58	09	22
24	8	50022	854xx	202	959	13.8	71	00	00	132	1485	8.1	100	32	02	3055	–1.8	100	05	02	5656	–19.6	10	05	07
25	6	68022	15640	400	959	17.2	53	04	08	134	1505	10.2	57	07	07	3095	–0.4	96	21	05	5700	–17.1	10	07	07
26	2	70030	22600	706	960	18.9	55	36	02	139	1520	10.5	64	06	07	3100	–0.3	29	03	03	5700	–16.9	21	08	16
27	3	60030	32600	709	958	21.2	42	08	02	119	1500	9.1	70	00	00	3065	–2.9	44	33	06	5660	–18.8	28	34	12
28	5	65031	52600	710	956	16.4	58	02	06	107	1470	7.3	58	28	05	3035	–1.6	23	29	06	5630	–19.3	28	29	28
29	6	64031	22605	709	952	15.9	54	01	03	070	1420	5.2	83	04	05	2980	–4.4	49	26	15	5545	–20.9	65	26	34
30	6	68031	62600	805	958	14.1	48	36	08	087	1450	5.9	53	34	07	3000	–7.3	69	34	04	5530	–24.7	48	32	28
31	7	74012	774xx	217	957	10.6	73	00	00	125	1460	3.2	100	00	00	3000	–6.2	100	02	04	5550	–23.7	100	21	16
Moyen					957	16.2	—	—	—	118	1482	7.8	—	—	—	3047	–2.3	—	—	—	5636	–19.2	—	—	—

niveaux standard

00.00 h

400 mb					300 mb					200 mb				150 mb				100 mb				Tropopause		
H	t	Hum	dd	ff	H	t	Hum	dd	ff	H	t	dd	ff	H	t	dd	ff	H	t	dd	ff	H	p	t
7145	–35.0	91	06	28	9080	–50.3	—	06	55	11740	–47.0	35	12	13640	–50.1	24	03	16270	–52.9	25	15	9720	272	–53.6
7180	–33.5	13	32	24	9140	–49.2	—	31	28	11720	–55.3	30	22	13570	–53.7	29	20	16170	–53.9	19	11	10640	237	–58.7
7185	–36.7	10	32	34	9110	–51.7	—	30	43	11730	–51.2	29	22	13600	–51.7	22	06	16250	–51.1	22	05	9740	272	–53.8
7215	–33.0	93	31	35	9185	–48.6	—	31	38	11750	–62.3	30	38	13550	–57.9	30	25	16140	–55.3	27	20	11280	216	62.5
—	—	—	—	—	—	—	—	—	—	—	—	—	—	—	—	—	—	—	—	—	—	—	—	—
7235	–33.0	15	25	25	9195	–48.6	—	24	28	11750	–63.7	26	32	13530	–58.0	27	24	16105	–55.3	25	18	11310	215	–63.9
7205	–29.9	53	25	42	9185	–45.3	—	27	57	11745	–63.9	26	33	13515	–56.2	27	27	16080	–56.2	25	30	11620	204	–64.8
—	—	—	—	—	—	—	—	—	—	—	—	—	—	—	—	—	—	—	—	—	—	—	—	—
7280	–28.7	50	10	05	9270	–45.6	—	20	10	11870	–63.7	23	18	13660	–57.3	23	06	16250	–54.1	22	10	12090	193	–64.7
7245	–27.7	59	13	20	9260	–43.2	—	11	33	11880	–62.6	14	22	13670	–55.0	19	08	16270	–54.0	20	04	11870	200	–62.6
7315	–28.1	24	10	04	9310	–42.6	—	08	15	11950	–61.3	03	17	13740	–55.4	01	06	16340	–54.2	20	03	12200	192	–62.2
7320	–29.5	82	19	03	9300	–45.8	—	15	14	11890	–60.0	15	33	13720	–53.6	17	11	16310	–54.0	15	06	11050	229	–60.0
7310	–31.3	44	35	29	9300	–46.2	—	35	35	11900	–55.9	35	33	13740	–53.7	35	27	16370	–53.4	35	17	11160	225	–58.0
7325	–31.3	50	36	38	9300	–44.3	—	35	55	11950	–52.4	35	40	13810	–51.6	36	38	16450	–51.0	01	16	11040	230	–53.8
7240	–33.7	73	35	50	9200	–47.5	—	35	50	11850	–49.2	35	55	13740	–48.4	36	50	16400	–49.6	35	15	9890	270	–51.0
7140	–37.5	84	16	25	9050	–50.0	—	09	16	11710	–48.0	33	17	13600	–50.0	01	16	16240	–53.0	05	12	8840	310	–50.3
7200	–36.9	95	15	26	9110	–58.3	—	17	30	11630	–58.3	33	07	13450	–57.3	35	03	15990	–61.0	26	03	10040	258	–64.1
7235	–31.4	10	28	14	9190	–47.9	—	29	30	11780	–55.9	27	17	13625	–53.4	27	08	16215	–55.9	26	05	11290	216	–62.2
7240	–31.2	100	20	12	9205	–47.7	—	24	26	11820	–53.6	24	28	13660	–51.3	24	23	16240	–55.2	24	09	10790	235	–55.8
7285	–30.6	94	23	26	9240	–47.5	—	24	33	11850	–56.8	25	44	13680	–55.0	24	22	16270	–56.0	24	08	12000	196	–56.8
7315	–27.8	58	20	30	9320	–43.3	—	21	33	11950	–56.0	23	44	13790	–54.1	22	21	16400	–54.8	23	16	11950	200	–56.0
7300	–26.7	48	17	16	9300	–41.8	—	22	46	11940	–57.7	23	82	13760	–56.3	22	28	16390	–54.7	22	28	12230	192	–58.4
7290	–26.7	91	08	28	9300	–41.7	—	08	38	11930	–58.3	10	28	13770	–53.4	11	05	16380	–53.5	30	02	11520	213	–59.1
7355	–28.8	13	07	27	9335	–47.8	—	06	17	11895	–61.7	07	22	13715	–55.7	01	05	16200	–55.4	27	01	11600	210	–62.8
7255	–32.4	13	05	03	9230	–47.7	—	30	15	11830	–56.4	33	03	13670	–53.3	33	08	16280	–53.8	31	07	10860	233	–58.1
—	—	—	—	—	—	—	—	—	—	—	—	—	—	—	—	—	—	—	—	—	—	—	—	—
7335	–29.4	57	03	15	9315	–45.8	—	06	22	11910	–60.9	06	16	13720	–56.9	05	11	16300	–56.7	29	07	11730	205	–61.6
7315	–28.0	23	30	27	9325	–43.0	—	30	37	11950	–59.9	29	27	13760	–55.0	30	21	16360	–56.6	30	15	11950	200	–59.9
7220	–29.8	26	29	22	9215	–44.8	—	29	28	11830	–56.6	29	27	13670	–52.0	28	16	16300	–52.8	29	12	11520	210	–58.0
7120	–32.0	43	29	38	9125	–45.2	—	28	22	11775	–50.2	28	19	13650	–50.0	27	15	16270	–53.2	27	16	10290	254	–52.0
7090	–39.3	100	33	35	9000	–47.2	—	31	20	11690	–49.3	32	12	13570	–52.2	27	08	16180	–54.0	25	13	8600	319	–47.2
7246	–31.4	—	—	—	9218	–46.7	—	—	—	11829	–56.7	—	—	13663	–54.0	—	—	16269	–54.3	—	—	—	—	—

12.00 h

7255	–31.9	71	01	28	9230	–49.8	—	01	43	11850	–49.4	34	15	13740	–50.0	34	19	16380	–52.2	31	14	10180	259	–53.3
7170	–34.8	41	32	07	9125	–48.8	—	31	12	11740	–52.4	31	16	13610	–50.8	28	10	16245	–51.2	27	11	10850	230	–54.6
7260	–31.2	29	34	50	9230	–47.7	—	34	54	11800	–60.3	33	41	13610	–55.4	29	21	16210	–54.2	31	15	11170	221	–62.1
7265	–30.1	41	29	38	9250	–46.3	—	30	40	11830	–63.5	29	35	13610	–57.0	27	28	16200	–54.6	27	22	11830	200	–63.5
7290	–27.6	49	26	39	9290	–44.8	—	26	49	11890	–61.0	27	32	13690	–56.5	26	38	16300	–53.1	25	24	11610	209	–61.2
7275	–31.9	61	25	33	9230	–48.7	—	23	36	11800	–61.1	25	33	13600	–57.7	26	30	16180	–54.9	24	22	11800	200	–61.1
7225	–28.9	51	27	33	9215	–44.8	—	27	46	11785	–63.7	27	54	13550	–57.8	27	32	16110	–53.4	26	20	11930	195	–64.5
7225	–27.5	63	24	20	9200	–45.5	—	22	22	11760	–61.7	23	26	13540	–56.0	23	16	16090	–53.9	23	12	11760	200	–61.7
7240	–29.4	35	08	14	9240	–43.7	—	12	13	11850	–62.7	13	12	13670	–53.6	16	07	16280	–53.6	16	10	11850	200	–62.7
7315	–25.5	51	14	22	9320	–43.0	—	13	24	11920	–59.3	11	11	13750	–52.7	13	07	16380	–52.5	22	07	11410	217	–61.4
7330	–29.6	42	06	11	9345	–43.2	—	03	22	11965	–60.9	36	05	13795	–52.7	34	03	16415	–52.5	00	00	11965	200	–60.9
7385	–30.2	43	35	23	9375	–44.7	—	35	37	12000	–60.3	35	24	13790	–54.9	35	27	16385	–54.3	35	27	12200	193	–60.8
7315	–33.0	24	36	33	9275	–48.7	—	36	35	11850	–56.5	35	30	13690	–54.6	35	27	16305	–54.0	01	22	10810	236	–60.0
7265	–32.6	10	01	33	9230	–47.0	—	01	44	11850	–51.8	36	55	13730	–51.4	36	32	16360	–51.8	02	17	10960	230	–55.9
7095	–41.9	64	02	34	9000	–48.0	—	01	17	11665	–49.4	01	26	13545	–51.2	02	22	16170	–54.1	02	13	10280	247	–49.7
7150	–37.3	28	12	13	9080	–53.1	—	14	30	11690	–52.2	33	16	13540	–53.2	04	09	16140	–57.5	04	11	9400	285	–56.8
7240	–33.4	64	14	17	9180	–50.7	—	18	32	11790	–52.8	28	12	13650	–51.3	31	08	16280	–53.5	31	07	10020	263	–56.9
7245	–31.3	70	23	08	9210	–48.5	—	23	11	11800	–57.3	24	23	13630	–53.0	26	14	16220	–55.0	24	08	10810	233	–61.2
7255	–30.5	86	22	12	9230	–47.8	—	24	13	11850	–53.3	25	32	13290	–54.0	24	22	16290	–55.0	24	17	10040	265	–53.4
7325	–29.4	22	25	28	9310	–46.4	—	25	59	11895	–60.2	25	40	13715	–55.6	23	15	16290	–56.1	22	12	11750	205	–61.4
7310	–30.6	85	19	25	9290	–47.0	—	19	39	11960	–57.6	21	44	13715	–56.8	21	25	16300	–55.5	21	22	11770	204	–57.8
7305	–28.5	100	13	16	9305	–43.2	—	14	30	11940	–61.2	18	38	13720	–57.0	19	14	16310	–53.9	23	05	11690	207	–63.0
7305	–29.3	26	09	28	9280	–45.8	—	09	37	11880	–58.2	07	33	13700	–55.5	07	05	16290	–54.1	34	05	11000	230	–59.9
7265	–32.8	10	05	15	9230	–46.4	—	03	11	11820	–59.8	36	05	13640	–55.3	34	05	16225	–54.3	35	03	11490	211	–61.3
7330	–30.0	13	07	03	9310	–46.0	—	25	03	11915	–56.3	02	06	13770	–52.0	01	04	16330	–52.0	34	06	11170	215	–58.9
7335	–30.7	22	08	17	9295	–46.7	—	07	17	11920	–54.0	07	22	13770	–51.5	07	08	16390	–51.5	25	06	11170	225	–55.1
7280	–31.3	36	34	15	9265	–45.2	—	35	13	11860	–61.5	27	06	13640	–56.9	34	15	16220	–56.7	31	16	12760	173	–62.8
7250	–31.0	37	29	23	9220	–45.9	—	28	39	11810	–59.0	28	28	13620	–54.6	27	16	16285	–55.8	28	13	11020	227	–59.5
7160	–32.0	88	25	28	9130	–47.2	—	26	46	11740	–52.0	27	20	13610	–51.1	27	18	16240	–53.7	26	17	10710	235	–56.3
7120	–34.2	27	30	42	9110	–41.3	—	29	50	11815	–47.1	29	17	13715	–47.9	28	08	16385	–49.3	27	14	—	—	—
7135	–35.6	93	20	17	9090	–42.1	—	07	17	11800	–48.1	03	13	13690	–50.3	31	13	—	—	—	—	7950	355	–41.8
7255	–31.4	—	—	—	9229	–46.4	—	—	—	11837	–56.9	—	—	13656	–53.8	—	—	16274	–53.8	—	—	—	—	—

Observations aux

Juin 1959

Jour	Données synoptiques en surface (Code SYNOP)				Surface 491 m					1000 mb	850 mb					700 mb					500 mb				
	N	VVwwW	NhCLhCMCH	app	P	t	Hum	dd	ff	H	H	t	Hum	dd	ff	H	t	Hum	dd	ff	H	t	Hum	dd	ff
1	2	70020	2xxxx	212	961	5.2	100	00	00	162	1490	3.8	94	04	10	3035	–5.7	83	02	11	5620	–20.0	60	02	21
2	7	62022	7xxxx	210	966	11.2	90	21	02	202	1555	9.1	88	35	02	3120	–3.5	100	35	05	5705	–20.5	100	29	13
3	3	60020	3xxxx	104	966	10.9	90	00	00	207	1565	10.6	54	07	10	3150	1.0	44	03	08	5770	–14.5	38	03	28
4	3	67020	3xxxx	400	964	12.4	85	22	02	187	1560	13.1	59	21	03	3150	3.3	33	28	04	5800	–14.1	33	29	30
5	2	66020	2xxxx	804	958	14.6	87	00	00	126	1510	16.1	39	08	07	3120	5.1	33	26	06	5770	–14.2	39	18	12
6	8	74032	8xxxx	400	959	13.6	100	20	03	135	1505	12.6	58	23	12	3090	0.9	98	24	08	5710	–14.7	96	26	10
7	8	73132	8xxxx	105	957	16.0	85	00	00	119	1500	14.2	75	26	02	3095	3.2	92	23	08	5730	–15.2	89	19	17
8	8	75812	856xx	213	962	16.2	95	00	00	164	1525	9.5	100	03	08	3110	1.6	100	02	05	5740	–15.0	96	16	07
9	2	75012	25600	400	963	12.0	90	00	00	177	1530	7.9	68	28	05	3105	0.8	51	26	12	5730	–14.6	46	27	24
10	3	75021	35600	310	963	11.4	65	00	00	177	1520	3.6	60	29	11	3055	–7.0	65	24	23	5610	–21.8	30	26	40
11	8	75032	856xx	205	968	11.2	72	36	08	220	1550	3.0	75	34	16	3095	–7.7	98	33	07	5660	–20.2	44	32	33
12	5	70012	55500	106	968	10.2	71	02	08	220	1565	3.3	76	04	16	3095	–8.3	100	01	18	5635	–22.9	14	35	35
13	8	50102	856xx	400	967	10.0	86	05	10	213	1540	3.3	100	05	28	3100	–2.5	96	07	41	5720	–16.3	21	05	25
14	8	45602	873xx	002	969	12.5	96	00	00	225	1585	7.8	100	05	27	3155	–0.8	100	05	37	5780	–14.5	23	05	25
15	4	70021	34601	001	967	13.4	83	00	00	206	1555	9.1	75	06	18	3165	4.7	11	06	16	5810	–13.6	16	05	28
16	2	70020	24700	001	962	12.2	86	00	00	165	1535	12.0	57	05	05	3115	1.9	36	29	08	5745	–14.9	28	31	15
17	4	70021	38740	116	961	12.8	88	00	00	150	1525	11.0	83	04	05	3105	1.3	35	25	14	5740	–12.8	34	28	18
18	6	70172	60470	214	962	15.7	91	00	00	166	1550	13.5	55	23	15	3135	2.8	70	24	17	5785	–13.7	73	24	16
19	5	70132	59631	207	963	15.4	86	25	05	173	1545	14.0	66	26	05	3145	1.9	80	27	16	5770	–15.9	27	28	29
20	7	70132	4982x	209	961	17.3	80	25	05	154	1535	14.7	57	23	03	3135	2.7	100	23	05	5765	–16.4	86	21	09
21	7	78132	68541	223	964	16.2	100	22	07	177	1545	13.1	100	24	18	3150	3.6	100	08	06	5785	–14.6	86	13	22
22	7	75022	686xx	108	963	16.2	100	18	03	172	1545	12.9	100	28	08	3140	2.4	100	07	03	5780	–12.7	88	21	02
23	7	60022	7xxxx	103	966	16.0	97	00	00	196	1570	13.1	74	02	06	3165	2.4	95	32	06	5810	–12.2	14	32	14
24	3	58020	3xxxx	000	962	16.4	90	00	00	164	1540	14.1	91	05	01	3155	4.2	95	04	03	5805	12.0	42	30	03
25	4	58021	4xxxx	107	958	15.5	100	19	07	127	1500	13.1	87	23	07	3090	1.3	93	27	05	5710	–16.2	94	28	11
26	5	56012	5xxxx	002	958	15.8	100	00	00	129	1505	14.1	93	00	00	3110	4.0	86	23	11	5765	–11.6	90	22	22
27	6	58022	6xxxx	106	959	15.8	100	00	00	137	1510	13.5	100	28	05	3110	2.3	100	28	05	5750	–12.8	47	28	07
28	3	80020	35600	206	959	16.2	80	00	00	137	1495	9.5	56	24	16	3070	–3.7	70	23	20	5690	–16.7	45	28	33
29	8	70616	855xx	705	952	16.8	90	00	00	074	1440	9.0	100	22	22	3015	0.1	100	23	33	5635	–16.2	90	25	28
30	6	78022	65500	210	956	11.1	100	22	08	117	1455	5.1	92	25	15	3010	–5.2	100	28	14	5565	–22.7	87	30	23
Moyen					—	13.7	89	—	—	166	1528	10.3	—	—	—	3110	0.2	—	—	—	5730	–15.8	—	—	—

Juin 1959

1	2	65020	22500	400	963	18.9	50	36	07	163	1540	8.4	73	00	00	3095	–3.2	95	00	00	5685	–20.4	99	31	12
2	3	60020	32501	702	968	18.7	60	03	08	211	1575	6.0	92	04	11	3125	–5.0	97	01	07	5700	–20.7	30	36	20
3	3	70021	12501	709	966	19.6	54	03	05	193	1570	11.1	29	00	00	3160	3.1	25	03	03	5800	–15.0	32	03	10
4	3	70020	11501	712	962	23.2	46	00	00	152	1545	13.7	34	00	00	3150	4.4	10	29	03	5805	–14.9	25	24	12
5	5	65022	22501	809	956	23.0	53	00	00	097	1500	15.5	48	29	02	3110	4.6	62	21	08	5750	–16.0	25	23	05
6	2	70020	22600	600	959	20.7	64	00	00	131	1515	12.6	48	23	03	3110	1.5	45	22	11	5735	–15.3	45	23	10
7	4	70021	42501	102	958	21.8	60	05	05	121	1495	11.6	92	04	07	3090	1.0	100	15	06	5705	–16.6	48	22	11
8	8	65152	854xx	204	963	14.8	75	36	06	173	1535	8.1	100	27	05	3105	0.5	100	20	05	5735	–14.8	67	24	12
9	8	60606	854xx	201	962	15.4	80	23	05	159	1515	6.9	75	24	15	3090	–0.7	100	25	17	5695	–16.2	73	26	25
10	4	70031	41701	201	965	14.9	46	35	05	193	1550	3.7	75	34	03	3085	–6.0	54	33	15	5645	–21.5	11	34	44
11	5	70022	33630	202	968	15.2	52	06	10	216	1565	3.5	65	36	11	3100	–7.9	69	36	12	5660	–21.3	50	35	45
12	6	70602	65731	703	967	11.8	62	04	11	213	1555	1.2	85	05	20	3075	–9.1	100	05	27	5615	–20.1	16	07	38
13	8	65022	3551x	602	967	14.8	75	06	10	209	1555	3.1	99	05	22	3100	–3.0	98	05	35	5690	–18.4	63	05	27
14	2	60030	15601	706	968	19.1	60	05	12	211	1585	9.2	90	06	17	3175	2.8	27	06	33	5815	–15.4	11	05	10
15	4	65020	11710	710	965	19.8	60	06	03	184	1555	11.1	70	00	00	3145	2.8	39	14	03	5800	–13.3	36	04	08
16	3	70020	32601	710	960	22.6	54	00	00	131	1520	12.0	74	00	00	3105	0.6	58	25	12	5730	–14.0	60	29	20
17	1	75030	12600	400	962	21.6	57	00	00	158	1535	11.8	59	24	10	3125	0.6	80	24	28	5745	–15.0	31	25	20
18	5	66171	59600	710	962	25.0	50	24	06	152	1555	14.8	64	24	07	3145	1.5	92	24	16	5770	–16.1	24	27	11
19	6	62631	32601	710	962	23.2	58	04	03	154	1550	15.6	42	22	05	3165	4.1	84	23	14	5800	–13.5	25	25	17
20	6	78022	48641	302	962	22.7	60	01	03	149	1545	15.9	43	34	03	3155	4.2	80	22	13	5800	–14.0	76	19	12
21	7	75022	58641	708	962	22.0	71	00	00	160	1545	13.3	89	21	11	3140	2.5	86	20	03	5770	–15.2	78	14	11
22	7	70022	68531	400	965	21.2	65	00	00	185	1565	12.2	77	00	00	3155	2.0	94	31	05	5785	–14.2	92	30	07
23	1	55020	12600	712	964	23.6	60	04	07	170	1570	16.0	85	04	07	3190	5.7	77	34	03	5855	–11.8	26	32	08
24	6	26012	66300	400	960	20.0	90	00	00	139	1525	14.6	78	00	00	3130	4.4	78	23	04	5775	–13.5	44	27	04
25	6	65032	68530	708	958	23.4	52	23	06	115	1515	13.7	74	25	08	3105	2.6	85	28	14	5750	–13.5	54	29	26
26	8	60022	854xx	109	959	18.1	100	23	07	131	1515	11.3	97	22	13	3100	2.9	100	27	10	5745	–13.3	95	25	22
27	6	78022	65500	701	959	20.7	62	27	05	131	1515	10.9	84	25	08	3095	0.8	84	23	16	5725	–15.4	46	29	17
28	6	80022	65640	806	958	19.3	64	23	10	121	1500	10.0	81	22	17	3085	3.1	86	26	22	5740	–12.4	81	27	33
29	6	75022	58601	202	954	16.1	66	29	06	91	1435	6.2	74	26	10	3000	–2.2	100	24	23	5585	–22.4	60	23	32
30	8	65818	6954x	309	959	11.8	100	16	07	139	1485	4.2	97	26	08	3025	–4.5	100	30	13	5595	–21.6	98	29	12
Moyen					—	19.4	63	—	—	158	1534	10.3	—	—	—	3115	0.5	—	—	—	5734	–16.2	—	—	—

niveaux standard

00.00 h

400 mb					300 mb					200 mb				150 mb				100 mb				Tropopause		
H	t	Hum	dd	ff	H	t	Hum	dd	ff	H	t	dd	ff	H	t	dd	ff	H	t	dd	ff	H	p	t
7220	–34.5	47	01	23	9185	–46.9	—	01	40	11820	–51.7	35	33	13670	–54.0	30	24	16250	–55.0	—	—	12680	175	–54.0
7315	–32.2	100	28	16	9290	–45.4	—	27	28	11900	–54.9	27	28	13750	–54.0	29	30	16350	–55.3	29	14	10880	235	–56.2
7425	–28.1	80	03	33	9410	–42.1	—	05	44	12040	–59.7	04	53	13830	–57.7	36	22	16410	–56.9	36	12	12200	195	–60.5
7445	–27.5	27	33	08	9450	–43.4	—	32	02	12060	–61.8	24	06	13820	–61.9	26	06	16380	–58.1	28	13	12670	181	–65.5
7420	–27.5	55	20	15	9420	–41.1	—	26	26	12070	–57.3	25	26	13870	–57.1	27	18	16470	–53.9	27	13	13130	169	–59.6
7360	–26.6	66	25	08	9380	–40.7	—	28	12	12030	–58.6	28	05	13820	–58.3	29	07	16410	–52.8	28	12	13420	160	–60.1
7380	–26.8	32	19	18	9380	–45.0	—	21	20	11970	–59.4	18	10	13780	–56.0	21	04	16360	–55.6	27	03	11640	211	–60.1
7395	–26.9	91	20	08	9420	–41.3	—	24	08	12050	–62.8	28	08	13850	–55.5	32	07	16420	–58.0	32	06	12050	200	–62.8
7390	–25.7	81	28	22	9410	–41.3	—	29	33	12040	–59.6	30	49	13820	–58.2	29	28	16390	–55.7	28	22	13150	167	–64.2
7210	–34.4	18	28	44	9150	–52.3	—	29	55	11780	–52.0	29	44	13630	–53.9	28	43	16220	–55.0	27	32	9500	284	–54.6
7280	–32.3	41	38	40	9220	–48.7	—	33	49	11870	–50.3	33	50	13740	–52.8	32	38	16380	–53.4	32	17	9700	279	–52.2
7235	–32.9	10	34	71	9230	–41.4	—	34	99	11920	–48.7	34	50	13810	–52.0	34	24	16430	–52.1	36	17	11630	209	–48.7
7340	–30.0	90	04	27	9330	–47.3	—	05	33	11900	–58.5	05	33	13730	–53.4	05	22	16380	–53.4	06	11	11000	230	–60.6
7425	–28.3	36	04	27	9420	–44.9	—	05	23	12000	–63.0	05	44	13830	–54.1	05	32	16430	–53.8	05	08	12000	200	–63.0
7475	–26.0	25	05	33	9485	–42.8	—	06	33	12085	–61.7	06	27	13880	–57.2	05	08	16450	–55.5	03	05	12540	186	–62.5
7400	–26.8	14	31	19	9405	–42.9	—	31	17	12000	–61.8	32	16	13805	–56.2	31	15	16400	–55.3	30	20	12280	192	–62.3
7405	–24.0	18	28	17	9440	–39.6	—	30	09	12090	–58.7	30	14	13890	–58.1	31	15	16470	–55.1	29	16	12090	200	–58.7
7435	–26.8	70	21	15	9450	–42.8	—	22	14	12065	–56.2	23	10	13880	–55.8	29	22	16460	–56.8	25	14	11520	218	–57.8
7415	–27.0	60	28	32	9420	–43.9	—	27	37	12000	–57.7	27	38	13835	–57.5	26	22	16425	–57.2	25	21	11250	226	–57.8
7395	–28.0	65	21	07	9405	–43.8	—	17	07	12000	–63.2	19	10	13790	–56.8	25	20	16370	–58.0	24	17	12320	190	–64.5
7445	–25.7	67	12	22	9470	–40.9	—	10	12	12070	–60.0	11	19	13890	–54.6	23	10	16490	–55.0	20	11	11770	210	–61.5
7450	–25.5	82	15	04	9450	–41.9	—	15	13	12080	–56.5	13	11	13910	–54.3	24	09	16520	–55.4	30	06	11710	212	–57.8
7480	–23.8	10	32	17	9510	–38.5	—	32	24	12180	–57.8	31	25	13970	–59.5	30	21	16550	–55.3	30	05	13690	157	–60.7
7470	–24.5	80	29	06	9510	–38.7	—	27	13	12180	–56.7	29	39	13980	–56.9	29	16	16570	–54.2	30	10	13310	167	–60.6
7350	–26.9	61	26	11	9370	–41.4	—	27	12	12000	–61.1	27	22	13790	–57.1	28	20	16360	–56.3	30	11	12350	189	–62.0
7410	–22.3	93	21	13	9480	–36.7	—	23	21	12140	–59.6	26	37	13930	–57.7	24	28	16490	–57.1	24	14	12690	183	–61.0
7410	–25.3	100	21	05	9430	–40.4	—	21	10	12070	–60.6	23	28	13880	–52.1	24	18	16500	–53.6	25	14	12190	196	–61.6
7330	–27.0	32	29	46	9350	–42.2	—	29	55	11970	–60.0	31	45	13760	–56.8	29	33	16330	–55.6	29	40	12720	183	–61.8
7285	–25.0	24	25	55	9330	–38.0	—	24	50	12030	–49.9	24	50	13910	–50.0	24	28	16560	–50.0	24	28	12190	195	–50.0
7160	–35.2	58	31	22	9090	–51.9	—	32	12	11760	–47.2	27	28	13680	–46.5	27	22	16330	–53.0	25	18	9230	294	–53.0
7373	–27.8	—	—	—	9376	–42.9	—	—	—	12006	–57.6	—	—	13824	–55.5	—	—	16417	–55.1	—	—	—	—	—

12.00 h

7300	–32.5	95	32	18	9275	–46.4	—	31	30	11865	–58.5	30	33	13675	–57.6	29	26	16235	–56.4	29	20	11440	214	–58.3
7315	–32.5	60	02	22	9275	–50.0	—	03	18	11850	–59.1	01	55	13655	–57.2	33	30	16225	–58.0	30	18	11370	216	–60.0
7460	–28.0	49	02	13	9450	–43.7	—	02	17	12040	–63.5	05	22	13800	–61.5	34	11	16330	–60.4	30	06	12570	183	–65.7
7440	–28.7	31	22	12	9440	–44.1	—	20	16	12050	–61.0	23	28	13820	–60.1	29	20	16370	–58.5	28	12	12230	194	–61.6
7390	–27.5	20	22	08	9390	–45.4	—	25	13	11970	–63.9	29	11	13740	–58.0	27	08	16300	–58.5	27	10	12930	171	–65.8
7385	–26.3	17	24	08	9400	–43.0	—	24	05	12000	–61.0	32	03	13800	–57.2	31	05	16380	–55.5	30	05	12200	194	–62.0
7340	–28.4	72	19	12	9340	–43.8	—	20	22	11935	–63.0	28	26	13730	–57.1	22	05	16315	–55.7	24	02	11870	202	–63.7
7380	–26.7	72	25	16	9400	–41.6	—	24	28	12030	–59.4	30	20	13830	–56.5	30	18	16410	–55.2	32	06	10680	247	–50.6
7335	–27.2	74	26	38	9350	–41.3	—	26	51	12000	–58.2	27	54	13800	–53.9	27	40	16380	–55.0	27	25	16840	93	–54.3
7245	–34.5	88	33	76	9200	–47.8	—	33	72	11850	–49.5	32	49	13730	–52.6	30	38	16340	–53.0	29	16	9580	283	–48.9
7250	–34.7	39	35	35	9210	–48.7	—	34	53	11860	–48.1	34	45	13740	–50.9	34	33	16380	–51.9	34	23	10180	258	–53.5
7235	–31.2	54	09	39	9200	–47.3	—	10	56	11840	–51.0	02	27	13710	–51.0	01	17	16340	–51.5	01	12	9590	283	–50.0
7310	–30.1	82	05	34	9300	–44.3	—	05	48	11900	–62.0	06	57	13720	–54.9	06	18	16320	–53.1	06	15	12100	194	–62.1
7450	–29.7	25	05	24	9420	–45.2	—	05	33	12030	–61.9	05	43	13830	–57.2	05	25	16410	–55.1	05	16	11940	203	–62.2
7450	–25.4	87	05	13	9470	–40.4	—	09	14	12100	–63.0	10	10	13870	–56.3	26	12	16470	–54.7	30	05	12740	180	–65.0
7375	–27.2	61	32	16	9385	–43.1	—	32	16	12000	–60.7	35	25	13790	–60.6	32	17	16345	–56.1	31	14	11850	205	–62.0
7405	–24.6	20	23	13	9430	–42.7	—	11	28	12030	–61.9	23	04	13800	–61.4	25	16	16330	–60.7	25	08	13800	150	–61.4
7400	–26.5	64	26	18	9415	–43.5	—	26	33	12060	–56.7	26	33	13880	–55.8	25	28	16470	–55.1	26	18	12400	189	–57.7
7450	–27.8	30	25	22	9470	–40.6	—	26	24	12115	–56.4	25	18	13950	–51.7	26	22	16600	–53.9	24	14	12450	190	–56.9
7450	–25.5	35	17	11	9470	–41.7	—	17	16	12100	–59.3	17	24	13920	–52.6	25	08	16540	–54.0	21	08	12400	191	–59.9
7415	–25.7	87	15	13	9420	–40.5	—	13	12	12060	–54.6	17	12	13920	–51.6	20	08	16560	–50.4	21	03	11340	224	–57.0
7440	–26.0	94	31	10	9450	–40.9	—	32	05	12090	–57.1	31	13	13910	–54.9	26	12	16510	–53.3	26	08	12180	197	–57.4
7530	–24.0	46	30	15	9550	–40.7	—	30	28	12200	–58.6	28	16	14000	–56.5	28	15	16570	–55.4	11	03	13100	173	–60.1
7485	–23.5	27	27	10	9470	–40.3	—	27	16	12090	–63.7	27	21	13860	–56.6	27	13	16450	–56.5	28	10	12090	200	–63.7
7410	–25.0	28	30	26	9430	–41.3	—	30	23	12040	–61.8	29	34	13860	–56.3	28	23	16440	–57.0	28	05	11800	208	–62.2
7410	–23.9	87	24	28	9450	38.5	—	22	32	12090	–61.1	21	27	13910	–56.6	24	22	16500	–54.7	25	11	11940	205	–61.5
7370	–27.2	38	29	32	9380	–41.7	—	32	33	12020	–57.1	31	72	13850	–53.1	29	22	16460	–54.4	28	17	12310	191	–57.4
7415	–23.6	80	27	33	9450	–38.6	—	27	55	12110	–58.6	27	72	13900	–58.0	27	44	16480	–56.5	26	20	12430	190	–60.1
7175	–34.3	22	25	34	9140	–44.3	—	24	52	11835	–46.8	25	32	13735	–49.6	24	34	16385	–51.3	25	30	18680	70	–53.2
7195	–35.0	95	31	06	9130	–50.6	—	28	08	11815	–44.0	29	12	13735	–46.1	29	18	16405	–49.2	28	17	9410	288	–51.9
7372	–28.1	—	—	—	9372	–43.4	—	—	—	11999	–58.1	—	—	13816	–55.4	—	—	16408	–55.0	—	—	—	—	—

Observations aux

Juillet 1959

Jour	Données synoptiques en surface (Code SYNOP)				Surface 491 m					1000 mb	850 mb					700 mb					500 mb				
	N	VVwwW	NhClhCmCh	app	P	t	Hum	dd	ff	H	H	t	Hum	dd	ff	H	t	Hum	dd	ff	H	t	Hum	dd	ff
1	8	78022	855xx	217	964	11.5	100	23	07	181	1585	6.0	92	27	11	3090	–4.5	90	31	11	5660	–20.6	31	33	24
2	8	50032	864xx	209	972	13.0	90	00	00	250	1605	6.9	98	29	08	3170	–1.5	40	35	18	5780	–15.6	32	35	44
3	0	80020	00900	400	968	14.5	82	00	00	216	1590	11.7	70	25	01	3180	3.2	19	33	18	5835	–13.6	10	30	25
4	1	78020	15600	400	964	15.4	85	00	00	181	1570	15.3	27	34	07	3175	4.0	54	35	12	5845	–9.4	68	33	38
5	0	80020	00900	105	962	15.8	73	00	00	168	1560	16.0	57	05	12	3165	8.0	16	24	05	5860	–9.1	10	03	05
6	1	78020	14600	108	963	16.8	70	13	02	175	1575	19.1	30	25	08	3195	5.8	28	26	17	5845	–13.1	40	31	24
7	2	70020	24500	219	966	18.0	85	07	05	191	1585	13.8	100	03	07	3195	6.0	46	03	15	5880	–9.4	24	01	44
8	2	70020	14541	205	964	18.6	80	02	05	177	1555	16.8	97	07	08	3190	10.9	10	07	04	5900	–8.1	16	06	20
9	—	—	—	—	963	19.7	100	00	00	164	—	—	—	—	—	—	—	—	—	—	—	—	—	—	—
10	1	60020	14541	114	962	20.0	85	00	00	155	1555	18.9	63	16	03	3180	8.3	82	17	02	5875	–9.9	27	18	05
11	4	65131	34571	212	960	21.4	80	00	00	141	1550	20.3	77	08	03	3175	8.8	67	36	03	5865	–11.1	28	16	09
12	7	65132	796xx	109	961	18.0	100	00	00	146	1525	16.0	75	00	00	3145	4.7	91	21	12	5800	–12.4	96	23	15
13	4	70021	34701	110	959	15.4	100	18	05	137	1525	14.9	66	24	15	3120	3.2	100	24	23	5785	–12.2	13	25	22
14	5	74022	54600	109	960	17.3	90	32	02	149	1525	13.6	92	10	01	3135	5.0	42	25	31	5780	–13.7	42	24	24
15	8	70806	8xxxx	302	956	17.0	100	19	10	111	1490	12.8	100	07	07	3095	3.4	100	08	13	5735	–13.9	81	31	03
16	7	60022	7xxxx	104	960	13.0	100	19	02	148	1515	9.8	85	35	10	3095	0.1	88	06	10	5715	–14.0	14	29	33
17	2	58100	2xxxx	206	963	13.0	100	00	00	170	1535	11.7	67	11	05	3125	0.8	72	27	09	5755	–13.0	20	33	20
18	0	58100	00900	702	964	13.0	80	00	00	179	1555	13.4	36	07	11	3155	5.9	19	03	06	5845	–8.8	13	33	17
19	0	55100	00900	208	962	15.4	70	00	00	164	1535	14.4	38	03	01	3135	2.8	30	36	07	5810	–10.9	16	31	05
20	2	60020	20901	205	962	15.0	70	00	00	168	1555	15.5	63	06	15	3160	5.6	49	05	05	5820	–12.1	43	32	03
21	2	58100	20903	104	962	16.2	70	00	00	162	1550	18.2	55	08	24	3170	6.0	68	06	10	5840	–13.2	30	32	15
22	0	60020	00900	206	959	14.6	63	00	00	137	1525	15.6	38	07	22	3130	4.4	10	07	06	5775	–14.1	18	33	11
23	0	60020	00900	210	958	15.2	62	00	00	130	1510	17.6	41	06	10	3130	6.0	32	25	03	5790	–13.2	31	22	05
24	8	60022	855xx	400	958	17.3	85	20	06	129	1505	14.0	62	22	03	3095	–0.1	97	06	07	5705	–17.0	100	16	04
25	6	58021	4966x	102	959	16.8	80	00	00	131	1510	14.8	76	06	10	3115	2.9	88	06	10	5755	–13.3	97	02	05
26	6	65031	54710	109	959	18.8	70	00	00	128	1520	16.1	69	04	05	3120	3.3	93	02	03	5770	–13.6	87	27	12
27	1	70020	14700	111	960	14.2	60	00	00	143	1530	18.2	38	27	05	3150	4.7	30	28	14	5820	–10.4	18	29	21
28	2	70020	24700	202	959	18.1	65	20	02	130	1525	17.7	82	24	15	3140	4.7	100	25	34	5800	–11.7	16	27	39
29	4	70021	456xx	804	953	18.4	83	16	05	080	1475	15.3	71	24	15	3075	4.1	91	24	27	5720	–13.2	20	24	43
30	6	73022	657xx	110	952	16.0	90	22	05	078	1450	11.3	75	25	20	3035	1.0	98	24	38	5670	–14.8	42	24	43
31	6	70022	657xx	107	956	12.6	97	00	00	109	1475	9.5	82	25	12	3045	–1.5	97	25	14	5645	–17.7	28	26	13
Moyen					—	16.1	83	—	—	153	1534	14.5	—	—	—	3137	3.9	—	—	—	5789	–12.8	—	—	—

Juillet 1959

1	7	60606	755xx	212	970	16.4	75	00	00	227	1590	6.3	90	30	10	3150	–2.0	95	35	15	5750	–17.1	30	35	33
2	6	65012	68540	706	971	19.8	60	27	05	236	1605	9.8	90	25	10	3195	2.7	17	31	20	5865	–10.0	17	33	33
3	3	80020	12605	710	965	25.5	43	00	00	179	1585	14.8	41	34	03	3170	2.8	32	35	07	5820	–11.4	25	31	33
4	2	80020	12701	708	963	23.6	60	01	03	160	1565	16.2	10	01	05	3170	5.5	41	35	14	5865	–7.4	19	35	18
5	1	72020	11700	704	964	24.5	70	26	01	166	1565	18.0	42	25	10	3185	7.0	10	29	16	5860	–12.0	10	26	16
6	5	65012	32649	602	965	25.4	60	27	07	178	1585	17.2	62	27	14	3205	6.2	65	28	22	5865	–12.2	32	33	22
7	3	58100	35601	710	966	23.7	65	03	12	187	1590	17.7	54	06	28	3215	9.8	26	06	15	5900	–6.3	22	03	26
8	0	58100	00900	710	964	25.0	67	00	00	169	1585	18.8	63	24	05	3210	9.2	10	19	07	5895	–9.7	10	10	10
9	1	70020	12600	709	963	27.1	40	00	00	161	1565	18.7	43	23	05	3195	7.5	47	13	04	5880	–9.6	10	16	14
10	1	70010	18600	707	962	28.2	55	00	00	142	1575	19.7	73	03	04	3215	9.7	56	09	11	5920	–7.3	17	17	08
11	5	50101	44721	710	959	28.5	50	24	05	118	1535	19.2	66	24	06	3165	7.5	92	24	10	5840	–11.8	72	23	11
12	3	56031	13641	711	958	21.0	67	34	05	120	1525	17.3	55	23	15	3145	6.5	70	23	22	5805	–12.0	20	23	17
13	6	70022	58760	705	960	22.4	52	00	00	139	1535	12.0	59	23	14	3125	3.0	30	25	28	5775	–11.4	18	26	38
14	4	70032	18641	715	958	24.0	47	00	00	115	1515	14.3	64	34	04	3130	5.2	70	23	14	5790	–11.6	25	24	22
15	8	65022	856xx	220	958	18.2	88	22	06	121	1495	7.7	100	01	08	3060	–1.1	100	01	06	5680	–16.0	100	30	08
16	2	55101	28600	706	961	20.4	60	36	07	143	1530	11.7	74	05	11	3120	1.1	88	05	07	5760	–12.4	10	31	28
17	0	56101	00900	900	964	19.8	83	04	05	176	1555	13.7	32	06	12	3155	3.2	37	02	11	5820	–12.1	24	33	20
18	0	60100	00900	711	962	21.7	65	04	07	158	1540	13.9	24	04	04	3145	5.1	22	03	04	5820	–10.0	11	32	15
19	0	56100	00900	706	963	22.9	45	00	00	159	1555	13.1	39	02	05	3150	2.8	12	02	14	5795	–14.1	18	35	09
20	2	65100	22510	706	962	25.8	51	03	10	152	1560	16.2	68	05	10	3160	3.6	60	05	05	5805	–14.7	10	36	05
21	1	58100	12700	811	961	25.6	60	05	12	140	1535	15.9	47	06	16	3125	3.4	28	34	10	5755	–17.5	23	34	10
22	0	58100	00900	708	959	24.7	53	01	05	123	1525	16.5	47	09	07	3135	6.0	38	15	05	5790	–12.9	32	27	07
23	0	67000	00900	805	958	24.7	52	01	06	111	1520	18.2	52	13	03	3140	7.0	41	23	12	5815	–11.1	26	24	06
24	3	60022	3553x	400	959	19.6	100	00	00	131	1510	14.8	84	08	10	3120	4.3	99	11	07	5780	–11.3	90	14	08
25	2	65100	22600	808	959	24.2	64	00	00	124	1530	16.5	72	06	05	3135	5.3	57	05	14	5800	–11.9	28	27	08
26	2	60100	22600	708	959	26.1	58	00	00	126	1530	14.4	77	26	04	3130	2.1	70	26	07	5750	–15.9	17	28	15
27	5	70032	22601	705	961	25.9	48	28	06	143	1545	16.5	48	23	13	3145	1.8	82	26	16	5790	–11.5	74	28	28
28	3	55101	31600	717	957	26.0	50	00	00	107	1515	17.0	96	24	05	3135	7.2	100	24	50	5815	–10.0	24	26	45
29	6	75012	65600	804	954	18.4	70	26	07	084	1460	9.2	98	24	22	3035	1.5	55	24	40	5675	–13.0	23	25	58
30	7	75022	58530	400	953	17.8	65	24	10	073	1450	9.3	83	23	19	3025	0.0	100	23	55	5635	–16.3	64	24	56
31	7	70022	65630	207	958	16.8	80	22	14	129	1490	7.7	86	26	11	3050	–3.3	95	28	12	5655	–19.1	43	29	13
Moyen					—	23.0	61	—	—	145	1541	14.6	—	—	—	3143	4.2	—	—	—	5799	–12.2	—	—	—

niveaux standard

00.00 h

400 mb					300 mb					200 mb				150 mb				100 mb				Tropopause		
H	t	Hum	dd	ff	H	t	Hum	dd	ff	H	t	dd	ff	H	t	dd	ff	H	t	dd	ff	H	p	t
7265	–33.3	49	35	22	9210	–51.9	—	35	33	11850	–46.3	34	21	13750	–48.0	32	22	16400	–50.5	30	15	9490	287	–54.6
7440	–25.2	53	35	42	9440	–45.1	—	35	54	12000	–66.0	35	56	13800	–54.3	24	03	16380	–55.1	23	08	11880	201	–67.5
7495	–23.2	10	30	28	9530	–40.9	—	30	30	12170	–59.6	30	22	13950	–59.0	32	35	16510	–58.4	33	12	13060	173	–63.0
7535	–20.4	95	33	26	9600	–35.2	—	34	24	12310	–55.1	35	44	14120	–57.0	35	33	16700	–54.6	34	28	12900	182	–59.0
7550	–22.4	17	15	08	9590	–38.8	—	18	22	12250	–57.1	22	18	14070	–56.6	34	12	16630	–58.1	36	15	12540	191	–58.5
7515	–24.8	25	31	33	9540	–40.2	—	29	30	12255	–48.1	29	22	14145	–51.7	31	22	16735	–57.9	32	22	12190	202	–48.6
7575	–20.8	20	01	45	9630	–36.2	—	01	38	12050	–52.9	36	54	14130	–60.2	36	44	16680	–58.4	36	09	14060	152	–60.4
7600	–18.8	10	05	28	9690	–33.9	—	05	23	12380	–57.0	02	17	14180	–63.2	02	13	16680	–62.2	03	02	14180	150	–63.2
—	—	—	—	—	—	—	—	—	—	—	—	—	—	—	—	—	—	—	—	—	—	—	—	—
7555	–22.4	17	17	08	9600	–38.7	—	11	10	12275	–56.4	10	03	14090	59.7	12	10	16610	–58.6	14	04	14420	142	–60.8
7545	–21.0	53	12	08	9620	–36.4	—	15	27	12280	–56.3	15	17	14000	–51.1	21	30	16630	–54.2	21	11	14510	141	–58.4
7475	–22.8	70	23	23	9520	–38.8	—	22	11	12185	–57.2	18	32	13970	–54.0	23	13	16500	–56.1	21	12	12290	197	–57.7
7440	–25.5	52	26	27	9470	–41.0	—	26	25	12130	–58.8	27	22	14000	–58.5	25	50	16585	–58.3	24	33	12360	192	–55.1
7440	–25.2	11	24	27	9475	–40.0	—	27	52	12130	–52.1	26	58	14100	–57.0	19	05	16680	–55.1	19	10	11850	226	–53.9
7400	–24.9	69	23	05	9395	–39.8	—	18	15	12000	–50.9	21	44	13880	–51.3	24	33	16495	–52.8	24	17	11380	220	–54.0
7385	–23.6	10	29	35	9415	–39.4	—	28	24	12085	–54.7	27	23	13960	–50.0	27	22	16595	–51.0	25	22	12220	196	–54.9
7425	–25.2	37	32	15	9445	–39.2	—	34	50	12125	–53.4	—	—	14000	–50.8	—	—	16600	–55.1	—	—	11600	217	–58.4
7530	–21.4	32	33	28	9595	–36.3	—	33	28	12275	–57.1	32	33	14065	–58.9	30	22	16630	–56.4	29	12	13070	176	–59.3
7485	–22.1	20	29	06	9530	–38.1	—	28	09	12200	–50.8	28	18	14050	–55.0	30	22	16640	–55.3	30	17	11110	226	–51.6
7490	–22.8	10	32	11	9540	–38.7	—	27	14	12230	–51.2	26	33	14100	–50.8	25	33	16690	–57.6	25	15	11720	216	–51.2
7500	–26.0	59	33	07	9520	–40.5	—	33	03	12206	–49.7	29	12	14090	–48.0	25	17	16740	–54.4	24	15	11170	224	–49.8
7420	–26.2	46	32	15	9440	–40.9	—	32	23	12090	–55.6	29	20	13940	–50.0	28	22	16570	–53.8	25	13	11720	212	–56.1
7450	–24.9	32	24	06	9480	–41.0	—	28	20	12140	–56.4	27	30	13980	–52.9	27	25	16590	–53.2	25	25	12510	189	–56.2
7345	–27.0	100	15	11	9360	–43.0	—	16	11	11985	–55.6	23	07	13880	–53.0	22	33	16410	–55.4	21	16	11290	223	–56.8
7415	–24.1	89	36	05	9450	–41.3	—	33	09	12070	–58.0	24	22	13930	–51.4	24	22	16510	–54.8	24	08	11850	207	–60.3
7420	–25.8	96	26	11	9430	–42.1	—	27	10	12070	–55.6	27	11	13920	–51.2	26	25	16550	–54.0	26	21	11610	215	–56.5
7510	–19.7	35	28	32	9580	–36.4	—	28	43	12260	–58.1	28	49	14070	–53.9	28	45	16680	–53.7	28	24	12590	190	–59.7
7470	–22.7	10	27	50	9520	–36.6	—	27	47	12220	–54.8	28	53	14030	–60.8	28	72	16580	–60.6	26	65	14960	129	–63.0
7375	–25.0	16	25	49	9420	–38.0	—	25	66	12100	–51.9	25	78	13950	–52.5	25	67	16550	–58.0	26	43	11300	226	–51.7
7320	–25.8	47	25	50	9340	–40.5	—	26	61	12020	–51.3	26	50	13890	–50.2	26	54	16530	–49.2	25	48	12150	196	–51.8
7280	–29.7	85	25	27	9260	–41.8	—	25	71	12000	–44.1	24	60	13900	–46.3	25	38	16600	–48.9	25	31	10650	241	–45.0
7455	–24.1	—	—	—	9486	–39.7	—	—	—	12145	–54.3	—	—	13996	–53.7	—	—	16592	–55.4	—	—	—	—	—

12.00 h

7385	–26.0	30	35	48	9415	–39.8	—	36	80	12070	–57.3	36	70	13900	–58.8	35	27	16530	–52.4	35	20	12280	193	–57.9
7535	–22.4	34	34	48	9585	–38.1	—	33	36	12255	–59.6	32	42	14000	–64.8	34	28	16555	–56.2	33	15	13900	153	–65.4
7490	–24.3	60	32	38	9540	–37.3	—	32	40	12200	–60.8	32	35	13975	–60.0	32	45	16520	–60.2	32	20	12440	192	–62.6
7565	–18.8	39	01	15	9650	–34.4	—	36	10	12340	–56.2	35	15	14150	–58.5	33	14	16710	–56.8	01	12	13950	155	–58.7
7525	–25.0	10	19	25	9555	–39.6	—	20	34	12245	–51.6	24	08	14095	–54.2	34	17	16670	–57.1	01	13	15690	117	–57.4
7540	–19.7	16	35	58	9615	–36.2	—	36	68	12315	–52.7	36	46	14150	–57.1	34	30	16750	–59.5	35	25	14000	154	–57.1
7640	–16.7	20	02	44	9740	–32.5	—	03	52	12450	–55.5	03	57	14260	–59.8	02	40	16800	–57.9	02	15	15290	127	–62.4
7580	–21.2	10	06	20	9630	–39.4	—	04	28	12285	–56.6	05	10	14075	–61.1	05	07	16610	–57.7	10	10	12840	183	–60.1
7560	–22.1	10	12	15	9610	–39.4	—	12	13	12270	56.8	09	07	14070	–59.8	08	03	16610	–59.2	12	05	12920	180	–60.1
7595	–23.0	27	15	05	9650	–37.2	—	13	18	12340	–53.8	11	24	14180	–55.6	17	11	16750	–55.6	14	05	12980	181	–55.5
7510	–23.0	38	22	10	9555	–38.3	—	18	18	12230	–56.0	17	13	14040	–56.7	18	15	16600	–57.6	20	12	12760	184	–58.2
7475	–24.0	48	22	37	9510	–37.0	—	22	25	12225	–53.4	23	23	14070	–53.8	23	15	16670	–54.0	22	12	12520	191	–54.1
7450	–23.6	29	25	28	9480	–39.9	—	24	33	12140	–55.4	24	35	13960	–57.3	24	33	16530	–57.3	17	11	13060	173	–57.9
7465	–21.6	61	25	28	9530	–35.9	—	23	44	12220	–53.6	24	55	14090	–49.6	25	44	16720	–53.6	23	32	12420	194	–54.2
7330	–26.8	96	28	12	9330	–43.8	—	20	11	11940	–55.0	23	28	13800	–53.0	25	20	16400	–54.2	24	20	11420	217	–59.0
7435	–22.4	13	29	26	9470	–40.2	—	28	44	12130	–53.5	28	33	14000	–50.7	27	28	16610	–53.0	26	22	11670	216	–54.1
7485	–22.2	10	31	28	9545	–36.7	—	32	44	12230	–55.3	32	59	14050	–56.4	31	40	16620	–55.7	27	17	12820	182	–58.7
7570	–20.8	13	33	16	9570	–36.6	—	32	11	12260	–55.7	29	16	14070	–56.4	27	18	16650	–56.1	29	12	13100	175	–58.0
7450	–26.0	17	28	07	9460	–43.3	—	25	12	12110	–51.7	26	33	13960	–56.4	27	25	16500	–60.7	20	03	11460	221	–54.6
7450	–27.5	35	34	03	9460	–43.1	—	27	27	12100	–50.9	25	27	13980	–51.1	24	22	16590	–56.3	23	11	11380	223	–52.5
7380	–29.2	22	34	12	9370	–45.0	—	34	27	11970	–56.0	33	17	13820	–54.2	27	12	16390	–58.0	25	10	11120	229	–58.0
7440	–25.2	39	32	07	9470	–39.6	—	27	11	12130	–53.8	27	33	14000	–51.1	28	22	16630	–53.7	23	14	11480	221	–52.9
7495	–22.1	48	23	07	9540	–38.9	—	24	12	12210	–55.0	24	14	14070	–49.7	24	38	16710	–52.9	17	08	12380	195	–55.7
7450	–22.3	74	14	06	9510	–38.0	—	12	16	12180	–54.1	22	14	14040	–50.3	24	33	16670	–51.8	23	22	12380	197	–54.3
7475	–23.2	18	27	16	9510	–39.5	—	27	20	12150	–57.5	27	21	14000	–53.8	26	25	16580	–55.4	26	22	11780	212	–57.3
7390	–26.3	15	29	27	9400	–41.8	—	29	27	12040	–58.4	28	38	13870	–54.2	28	38	16450	–57.0	27	25	12290	192	–58.9
7470	–20.5	65	28	41	9520	–38.5	—	29	38	12160	–61.6	32	40	13950	–57.6	28	63	16530	–55.3	31	06	12460	200	–61.6
7490	–22.8	24	25	44	9550	–35.4	—	26	49	12260	–51.7	26	111	14100	–57.3	26	98	16640	–57.6	26	30	15660	117	–61.2
7380	–26.3	18	25	55	9320	–43.7	—	25	68	11985	–49.4	25	55	13870	–50.7	25	60	16490	–49.7	25	38	10770	241	–52.3
7280	–25.2	26	24	66	9320	–40.0	—	24	114	12010	–49.8	24	120	13900	–47.6	24	55	16570	–50.8	24	18	11020	230	–49.3
7265	–31.1	43	31	12	9240	–46.4	—	31	22	11940	–43.0	28	22	13890	–44.6	26	18	16580	–48.3	24	12	9905	270	–48.7
7468	–23.6	—	—	—	9505	–39.2	—	—	—	12174	–54.6	—	—	14012	–54.7	—	—	16601	–55.5	—	—	—	—	—

Observations aux

Août 1959

Jour	Données synoptiques en surface (Code SYNOP)				Surface 491 m					1000 mb	850 mb					700 mb					500 mb				
	N	VVwwW	NhClhCmCh	app	P	t	Hum	dd	ff	H	H	t	Hum	dd	ff	H	t	Hum	dd	ff	H	t	Hum	dd	ff
1	8	65602	896xx	202	962	13.9	100	22	03	163	1520	7.3	83	26	17	3085	–2.8	98	28	17	5685	–17.7	33	31	25
2	0	58000	00900	000	962	12.0	85	00	00	165	1525	10.0	91	05	08	3110	2.3	63	28	07	5770	–12.3	26	27	21
3	4	72011	4xxxx	102	961	11.0	92	00	00	159	1510	7.8	99	35	08	3070	–2.4	93	27	08	5690	–15.1	45	32	22
4	8	56032	8xxxx	703	959	14.2	83	05	06	134	1510	10.8	93	06	08	3085	1.4	89	29	08	5720	–13.7	70	29	22
5	3	58020	3xxxx	002	959	13.0	74	00	00	140	1510	12.0	66	06	08	3100	2.2	89	26	09	5760	–11.9	10	33	15
6	4	61011	4xxxx	208	960	13.3	71	00	00	148	1530	12.4	86	05	05	3120	3.1	92	36	08	5775	–10.3	93	01	34
7	3	60021	3xxxx	400	961	15.1	75	03	04	150	1525	13.8	89	10	03	3145	8.6	41	01	04	5840	–7.9	23	01	10
8	0	59000	00900	204	959	16.0	75	21	06	137	1525	17.9	65	24	07	3145	6.7	48	24	13	5825	–9.1	23	18	14
9	8	60606	4552x	205	962	16.5	100	00	00	162	1525	11.6	98	25	08	3110	1.8	100	22	20	5755	–12.5	100	22	23
10	0	70020	00900	202	959	16.5	88	00	00	137	1515	16.3	81	22	07	3130	4.3	98	23	22	5780	–10.6	15	23	18
11	0	80020	00900	105	961	12.8	95	00	00	150	1515	11.7	59	23	14	3105	0.6	85	25	17	5730	–14.6	19	25	20
12	4	70131	39603	210	959	15.6	83	00	00	129	1510	9.6	96	31	12	3075	–2.2	76	28	05	5670	–18.1	49	27	17
13	7	70021	746xx	209	958	15.0	90	00	00	133	1500	10.4	87	00	00	3075	–1.9	100	01	03	5700	–14.7	15	31	10
14	5	68021	50901	203	956	14.0	90	00	00	110	1495	14.3	79	00	00	3080	2.0	100	25	07	5725	–12.8	13	28	06
15	8	58636	6552x	211	959	16.8	100	22	07	137	1505	10.7	100	26	07	3095	1.3	100	20	02	5740	–12.2	98	18	28
16	5	70026	55500	108	962	16.3	100	00	00	166	1535	10.7	97	02	07	3125	0.1	100	28	03	5760	–13.8	19	30	16
17	2	65020	24600	108	966	11.6	70	00	00	201	1555	8.0	78	05	15	3125	–1.9	86	36	17	5755	–14.6	12	33	29
18	2	70020	22513	001	965	13.0	75	05	07	186	1555	8.4	100	07	28	3135	4.8	93	08	27	5800	–11.7	97	07	22
19	1	70020	14600	802	962	14.0	85	00	00	165	1535	11.2	100	07	20	3135	4.9	52	08	17	5805	–11.2	10	02	24
20	0	60020	00900	001	960	13.3	100	00	00	145	1525	12.8	97	10	03	3115	2.2	84	08	01	5740	–16.0	10	03	22
21	2	70010	24700	002	959	13.4	100	00	00	132	1505	12.0	84	23	15	3090	1.2	90	24	07	5705	–16.9	53	29	15
22	8	70162	856xx	205	960	16.3	85	22	10	143	1515	11.0	83	22	15	3100	0.2	100	19	17	5715	–18.8	92	20	20
23	8	76602	875xx	209	964	14.4	100	00	00	179	1540	8.9	100	36	13	3120	1.3	100	05	10	5750	–15.1	96	11	23
24	8	59606	872xx	104	967	16.4	100	00	00	204	1575	13.0	61	05	08	3175	2.7	78	01	17	5805	–14.6	95	04	18
25	2	56010	2xxxx	000	968	17.8	97	09	03	210	1590	14.5	82	06	15	3195	2.1	87	08	16	5820	–16.6	50	07	20
26	2	57020	2xxxx	204	968	17.4	87	00	00	218	1605	16.9	80	06	17	3225	5.6	70	08	10	5885	–11.5	37	08	27
27	2	57020	2xxxx	802	965	17.2	82	00	00	186	1575	17.6	48	07	17	3200	7.3	47	03	01	5860	–10.6	61	09	17
28	4	58021	4xxxx	400	960	18.0	78	03	05	141	1530	15.7	100	09	07	3150	7.6	28	00	00	5820	–11.2	39	12	07
29	3	59020	3xxxx	204	958	14.1	85	00	00	126	1505	15.8	76	05	08	3115	5.3	65	30	05	5780	–9.7	22	31	17
30	0	60020	00900	208	959	14.0	80	04	09	137	1495	9.8	99	08	07	3090	2.8	15	27	08	5730	–13.6	10	29	17
31	0	80010	00900	209	959	10.2	72	00	00	143	1495	7.4	72	07	28	3060	0.9	10	07	11	5705	–14.1	10	29	20
Moyen					—	14.6	87	—	—	156	1528	11.9	—	—	—	3119	2.3	—	—	—	5761	–13.3	—	—	—

Août 1959

1	1	70022	28640	400	963	19.3	60	31	07	166	1535	7.7	68	25	07	3095	–2.3	84	28	13	5710	–13.9	26	31	44
2	6	57102	68600	805	959	19.4	67	00	00	131	1500	7.1	79	26	04	3065	–2.9	98	26	07	5650	–18.7	51	28	29
3	5	65021	52602	804	960	19.4	62	35	07	138	1500	8.4	88	02	05	3070	–0.7	88	01	07	5705	–13.3	10	32	18
4	6	68021	32607	804	958	21.2	55	00	00	121	1505	9.7	83	02	05	3075	0.6	57	27	05	5710	–14.7	28	30	27
5	8	62021	32601	601	959	21.7	45	02	05	131	1515	10.0	52	05	07	3095	1.7	12	01	08	5720	–16.1	29	34	12
6	3	60100	32600	706	960	22.8	46	02	08	133	1520	10.2	88	05	12	3110	4.0	57	01	13	5775	–10.4	23	02	24
7	1	58100	12600	705	961	21.6	57	00	00	144	1535	14.8	72	24	08	3140	6.2	34	24	11	5825	–10.4	16	20	05
8	8	58102	12607	400	960	23.0	60	00	00	130	1530	16.6	58	24	17	3145	4.9	67	22	12	5795	–13.1	29	21	18
9	6	65021	48541	807	961	22.2	65	36	03	144	1535	14.8	74	24	10	3140	3.2	93	21	16	5775	–13.3	21	24	18
10	1	65031	22631	802	957	25.8	54	07	03	105	1525	17.5	54	10	03	3135	4.3	65	19	17	5785	–12.3	30	20	33
11	2	70030	22540	712	958	21.0	70	00	00	124	1500	12.0	84	22	09	3095	0.2	62	22	21	5725	–16.0	20	21	20
12	6	70032	53630	601	959	20.4	70	00	00	126	1510	11.7	90	34	03	3095	1.0	90	33	02	5725	–14.5	12	33	07
13	4	67031	23552	711	957	21.5	63	00	00	112	1495	13.9	65	10	05	3100	3.3	67	05	02	5755	–12.3	26	26	04
14	8	65022	5551x	109	958	19.4	80	00	00	121	1500	11.8	93	23	04	3085	1.2	100	23	11	5725	–14.1	100	26	12
15	5	75012	58501	106	961	20.9	75	00	00	146	1515	9.0	79	35	05	3095	–1.6	100	31	03	5710	–16.8	10	29	12
16	4	70021	33541	002	964	20.0	50	05	09	178	1545	9.5	75	04	11	3125	0.3	65	34	07	5775	–15.0	60	31	23
17	2	65100	24600	704	965	19.4	45	05	12	187	1550	7.6	90	06	23	3135	1.3	17	05	20	5780	–15.0	15	03	23
18	6	63031	65600	203	964	17.2	68	03	15	181	1545	9.5	90	08	15	3150	6.3	42	07	13	5815	–12.7	24	05	22
19	8	57102	865xx	202	962	17.4	90	02	06	162	1530	11.5	90	05	05	3135	5.3	12	11	04	5785	–13.1	10	07	24
20	5	58031	39603	713	959	22.0	70	00	00	127	1510	13.0	78	23	02	3105	1.2	85	22	07	5710	–19.1	69	32	06
21	7	68022	45541	004	959	19.4	89	00	00	132	1515	13.7	56	22	13	3105	0.6	86	20	14	5720	–15.8	28	20	17
22	7	76022	68571	207	962	19.2	81	00	00	155	1525	8.6	87	33	02	3100	–0.9	100	20	09	5705	–18.0	65	18	17
23	8	59022	872xx	205	964	16.4	100	01	05	182	1545	10.3	100	06	12	3135	4.3	52	11	08	5770	–14.5	62	10	22
24	2	60020	21600	400	967	22.4	80	04	06	203	1580	11.3	75	06	16	3175	1.9	56	07	17	5790	–18.2	40	08	22
25	1	55100	11600	400	969	22.6	70	01	06	216	1615	15.9	64	06	14	3235	6.0	58	08	15	5895	–12.4	10	08	28
26	0	50100	00900	708	968	23.2	68	00	00	206	—	—	—	—	—	—	—	—	—	—	—	—	—	—	—
27	3	45101	25520	710	963	24.0	68	02	10	161	1555	15.4	85	06	14	3175	6.7	58	07	12	5845	–11.4	70	10	18
28	0	57100	00900	710	959	22.0	73	00	00	131	1520	14.4	96	00	00	3130	6.0	12	28	06	5780	–12.7	38	10	03
29	0	60100	00900	706	958	20.4	65	00	00	121	1505	12.6	58	33	04	3090	1.1	58	29	11	5730	–13.7	10	30	22
30	4	68031	40720	400	959	16.4	48	04	12	137	1490	6.1	80	06	16	3060	1.3	19	23	22	5695	–15.4	12	30	22
31	0	70020	00900	400	959	16.0	45	03	09	138	1495	7.2	71	07	15	3065	–0.1	18	12	04	5675	–17.9	16	31	14
Moyen					—	20.6	66	—	—	148	1525	11.4	—	—	—	3115	2.1	—	—	—	5752	–14.5	—	—	—

niveaux standard

00.00 h

400 mb					300 mb					200 mb				150 mb				100 mb				Tropopause		
H	t	Hum	dd	ff	H	t	Hum	dd	ff	H	t	dd	ff	H	t	dd	ff	H	t	dd	ff	H	p	t
7310	–27.2	10	31	28	9340	–40.4	—	32	70	12000	–50.8	30	45	13880	–51.5	28	44	16520	–52.0	27	27	11190	227	–51.2
7450	–22.4	34	25	36	9190	–37.1	—	26	47	12170	–55.6	27	50	14000	–53.5	26	39	16610	–52.3	27	17	12500	190	–56.9
7370	–28.4	42	32	32	9330	–42.6	—	32	34	12060	–43.9	31	38	13970	–48.6	30	39	16620	–50.4	30	22	11910	130	–50.5
7400	–23.5	55	29	25	9430	–39.9	—	29	45	12100	–50.5	29	58	13970	–51.7	29	22	16570	–53.5	29	18	11510	219	–52.9
7420	–25.2	11	33	22	9450	–42.5	—	34	26	12120	–47.2	31	30	14000	–49.1	31	19	16660	–51.6	32	13	10420	259	–49.2
7460	–21.0	84	02	37	9510	–38.9	—	03	36	12160	–59.2	03	35	13975	–56.0	01	17	16550	–54.6	04	08	12160	200	–59.2
7545	–19.0	10	36	12	9615	–34.8	—	35	16	12380	–54.5	28	08	14120	–61.5	29	09	16660	–57.1	29	05	13960	154	–61.5
7515	–22.0	36	21	14	9565	–38.1	—	21	33	12230	–56.8	22	36	14050	–57.1	23	30	16600	–58.8	23	11	12140	203	–57.2
7420	–23.2	100	22	22	9450	–39.8	—	21	23	12120	–54.0	26	48	13960	–52.6	24	38	16580	–54.0	25	23	11100	224	–54.9
7460	–24.1	18	24	28	9490	–39.2	—	25	33	12170	–54.1	27	38	14020	–54.1	26	49	16620	–54.7	25	17	12040	204	–54.9
7385	–24.8	10	24	30	9400	–40.1	—	24	40	12070	–52.4	24	33	13930	–50.5	23	22	16550	–53.1	23	20	11520	218	–53.1
7300	–30.0	64	27	08	9290	–45.1	—	22	27	11930	–49.0	23	25	13820	–48.5	26	26	16480	–50.6	25	22	10630	244	–54.1
7370	–25.9	18	31	14	9370	–40.8	—	31	20	12000	–51.8	30	22	13840	–54.7	29	12	16440	–54.6	27	10	11310	223	–57.5
7390	–22.7	11	31	22	9440	–39.5	—	32	34	12090	–59.2	31	50	13910	–55.4	30	18	16480	–56.2	29	13	12080	200	–59.2
7410	–23.8	94	20	32	9450	–40.6	—	21	35	12070	–61.2	22	38	13900	–53.4	25	35	16480	–56.0	25	12	12170	197	–61.5
7415	–25.9	12	30	15	9430	–41.1	—	30	27	12120	–49.0	29	33	14000	–50.2	29	33	16645	–51.7	28	20	11190	230	–49.8
7405	–24.9	18	33	49	9450	–39.2	—	33	94	12110	–49.8	33	67	14000	–53.4	33	55	16560	–54.5	33	11	11200	228	–52.2
7475	–23.2	98	07	25	9510	–39.5	—	07	17	12195	–49.2	01	49	14075	–50.7	34	27	16700	–54.0	34	11	11710	215	–50.7
7480	–22.8	10	02	37	9525	–38.4	—	01	57	12195	–56.8	01	45	14000	–51.0	36	48	16650	–53.1	35	35	12190	191	–57.9
7380	–28.0	13	03	33	9380	–46.1	—	02	37	12000	–53.3	36	34	13820	–53.9	35	25	16425	–55.8	36	18	10750	243	–57.4
7370	–27.7	71	28	34	9265	–42.8	—	29	48	12000	–52.0	29	38	13850	–54.0	29	16	16450	–55.2	28	16	11570	214	–54.6
7385	–24.2	74	21	22	9245	–38.0	—	23	17	11860	–53.4	23	11	13710	–53.5	23	05	—	—	—	—	9450	291	–53.1
7385	–26.0	89	11	26	9400	–43.6	—	13	39	12000	–53.9	16	48	13860	–52.2	29	05	16460	–54.2	00	00	11220	226	–59.7
7450	–25.8	91	05	15	9460	–43.8	—	05	20	12050	–61.3	08	25	13870	–56.1	08	15	16450	–56.9	07	18	11670	213	–63.3
7460	–29.0	25	07	30	9445	–41.8	—	06	68	12080	–58.5	06	72	13880	–58.7	06	35	16420	–59.0	05	07	11690	213	–58.1
7555	–22.6	59	08	35	9620	–35.6	—	08	86	12325	–53.6	08	66	14130	–60.1	08	46	16670	–58.4	08	33	13500	166	–62.1
7540	–20.7	74	10	32	9600	–35.8	—	09	36	12310	–55.5	09	42	14100	–61.0	09	33	16590	–61.3	27	04	14000	153	–63.9
7495	–22.9	75	11	20	9550	–35.6	—	10	17	12260	–53.6	09	16	14070	–60.9	08	11	16590	–60.4	26	12	14000	152	–60.8
7470	–20.4	37	30	11	9520	–35.1	—	32	18	12230	–55.0	33	16	14030	–58.9	20	22	16590	–58.1	29	17	13290	169	–58.7
7385	–24.6	40	29	44	9420	–40.4	—	28	66	12050	–58.1	29	29	13860	–56.0	28	33	16440	–56.2	28	30	11900	205	–58.2
7360	–24.8	10	29	27	9380	–40.2	—	29	38	12040	–57.0	29	40	13860	–54.2	28	41	—	—	—	—	12120	197	–57.4
7423	–24.7	—	—	—	9419	–40.4	—	—	—	12111	–54.0	—	—	13951	–54.4	—	—	16554	–55.1	—	—	—	—	—

12.00 h

7365	–25.1	19	31	66	9380	–41.2	—	31	68	12040	–56.6	31	105	13870	–54.5	29	35	16480	–52.9	29	24	12400	189	–58.2
7270	–32.2	39	28	18	9240	–45.6	—	28	20	11970	–44.5	28	44	13880	–48.9	28	27	16530	–50.8	28	11	9470	290	–46.2
7370	–25.0	62	30	50	9390	–41.3	—	29	34	12070	–49.6	30	50	13920	–56.0	29	38	16480	–57.6	29	22	10880	240	–50.9
7350	–27.2	86	29	26	9360	–42.9	—	29	38	12010	–48.8	28	53	13880	–52.1	28	25	16520	–52.1	30	12	10910	237	–51.6
7365	–27.4	50	35	20	9380	–40.2	—	03	38	12050	–55.0	05	82	13890	–53.1	01	23	16500	–54.7	36	06	11460	219	–53.4
7445	–22.8	24	02	33	9490	–37.9	—	02	30	12160	–57.6	04	30	13950	–61.8	34	17	16480	–57.0	02	07	13630	158	–62.0
7505	–21.7	14	19	04	9570	–36.5	—	20	05	12250	–54.2	20	14	14060	–68.4	23	22	16600	–58.0	23	12	11000	242	–48.8
7455	–25.0	59	20	30	9480	–40.3	—	21	20	12120	–57.7	20	26	13950	–53.2	23	36	16540	–55.9	22	18	11720	213	–58.2
7435	–24.4	18	26	25	9470	–40.5	—	25	32	12110	–57.8	25	38	13960	–53.8	26	35	16550	–54.7	25	17	12110	200	–57.8
7440	–25.0	15	21	39	9481	–42.1	—	22	40	12100	–57.5	23	55	13920	–56.2	23	50	16490	–59.3	23	35	11440	222	–57.1
7355	–29.3	42	22	26	9350	–43.8	—	22	44	12000	–51.0	22	33	13875	–49.3	23	33	16520	–52.0	23	08	11590	213	–52.1
7375	–26.9	23	31	13	9360	–46.4	—	29	12	12000	–51.4	30	15	13850	–51.9	30	20	16470	–55.2	28	15	10680	245	–53.4
7425	–22.8	89	15	10	9480	–37.8	—	16	15	12180	–48.8	21	15	14065	–50.2	29	17	16690	–51.5	28	06	11310	228	–50.6
7375	–24.8	54	26	20	9415	–37.8	—	26	39	12100	–54.5	27	42	13940	–52.7	26	26	16550	–53.5	22	05	12100	200	–54.5
7340	–28.8	14	24	15	9330	–43.7	—	17	27	12000	–50.0	23	25	13870	–49.5	26	23	16500	–54.2	22	07	11520	215	–52.1
7425	–26.8	25	31	23	9425	–41.3	—	30	54	12130	–45.7	31	70	14030	–49.7	31	50	16670	–51.0	31	43	10800	241	–46.7
7435	–25.3	15	03	27	9450	–38.3	—	32	120	12150	–50.0	34	43	14030	–51.1	34	45	16630	–56.3	33	28	11830	210	–50.8
7470	–25.0	10	04	23	9485	–42.0	—	04	24	12110	–57.7	02	19	13955	–52.0	35	29	16555	–56.9	35	18	12000	203	–58.5
7440	–24.9	10	01	25	9475	–41.3	—	03	55	12090	–57.3	02	53	13940	–53.3	01	22	16530	–56.0	01	22	11810	209	–59.5
7320	–31.5	62	32	22	9300	–44.9	—	33	38	11940	–51.4	33	28	13810	–53.1	36	28	16410	–55.6	01	30	11150	226	–53.4
7370	–26.3	91	25	21	9395	–41.0	—	25	20	12030	–55.7	25	25	13870	–53.0	25	24	16470	–55.7	26	11	11610	213	–57.0
7395	–29.5	59	17	39	9320	–43.5	—	18	44	11950	–54.4	18	45	13820	–51.5	19	18	16440	–53.3	20	18	10550	249	–53.8
7420	–26.0	53	09	24	9440	–42.0	—	10	24	12065	–59.4	13	34	13900	–52.9	10	12	16520	–52.8	11	02	11910	205	–61.0
7420	–25.4	28	06	33	9400	–45.7	—	06	60	12020	–57.4	07	55	13840	–56.0	06	30	16410	–57.6	33	06	11610	213	–57.5
7355	–24.5	10	07	38	9590	–39.0	—	07	50	12250	–58.5	07	72	14040	–59.4	07	44	16580	–59.0	09	16	12750	185	–61.9
—	—	—	—	—	—	—	—	—	—	—	—	—	—	—	—	—	—	—	—	—	—	—	—	—
7420	–22.8	80	10	26	9570	–36.6	—	10	24	12270	–54.1	09	32	14070	–63.1	11	14	16570	–61.0	25	08	14240	146	–63.6
7450	–25.0	53	09	04	9500	–37.7	—	09	04	12190	–55.1	08	11	13980	–61.0	26	11	16510	–60.8	28	15	13320	167	–61.2
7380	–24.0	14	30	16	9430	–39.2	—	29	36	12100	–57.8	28	34	13880	–60.7	28	28	16410	–58.8	28	28	12820	178	–61.9
7440	–25.3	10	29	38	9370	–39.3	—	28	35	12020	–59.5	28	35	13830	–55.8	29	38	16430	–55.5	29	23	12340	190	–60.4
7405	–29.2	15	31	27	9305	–42.6	—	29	32	11945	–53.3	28	39	13810	–50.7	28	32	16425	–54.1	28	20	11640	210	–54.2
7402	–26.1	—	—	—	9421	–41.1	—	—	—	12081	–54.1	—	—	13923	–54.5	—	—	16515	–55.4	—	—	—	—	—

Observations aux

Septembre 1959

Jour	Données synoptiques en surface (Code SYNOP)				Surface 491 m					1000 mb	850 mb					700 mb					500 mb				
	N	VVwwW	NhClhCmCh	app	P	t	Hum	dd	ff	H	H	t	Hum	dd	ff	H	t	Hum	dd	ff	H	t	Hum	dd	ff
1	0	80020	00900	206	961	9.8	74	00	00	160	1505	7.8	85	07	10	3085	0.3	34	23	03	5695	–18.6	15	32	11
2	0	65020	00900	105	960	9.4	78	00	00	151	1505	10.4	86	06	03	3095	–1.1	100	20	05	5700	–18.4	10	23	10
3	3	57011	30930	204	959	12.4	77	00	00	143	1495	8.8	96	08	02	3065	–2.1	100	08	04	5660	–18.1	100	22	05
4	6	57022	60530	208	962	13.5	90	00	00	164	1520	9.7	84	03	03	3100	–1.0	98	22	05	5700	–18.5	96	24	06
5	0	57020	00900	804	961	12.0	90	00	00	160	1515	10.6	95	07	07	3100	0.2	94	18	03	5715	–16.7	18	22	06
6	6	60022	655xx	001	958	11.4	75	00	00	132	1485	9.1	81	06	12	3070	1.0	81	06	05	5685	–16.8	27	05	09
7	1	70020	14601	104	961	9.0	90	00	00	157	1515	9.3	83	05	03	3100	–0.2	14	05	02	5705	–16.9	30	04	10
8	0	70020	00900	206	963	12.0	50	05	05	176	1525	10.0	85	06	05	3115	0.4	78	12	08	5735	–13.0	19	08	45
9	1	70020	14600	001	965	9.8	72	00	00	196	1565	13.0	56	06	05	3155	2.8	39	09	06	5820	–12.8	10	08	20
10	0	70020	00900	104	965	11.0	62	00	00	192	1570	13.0	90	09	04	3175	7.0	25	09	08	5835	–13.0	40	09	06
11	0	70020	00900	101	965	12.0	70	18	03	191	1565	13.8	70	28	03	3165	4.6	30	09	09	5805	–15.9	25	26	02
12	0	65020	00900	701	962	11.0	65	00	00	172	1535	14.0	16	03	03	3140	2.0	15	26	04	5775	–15.9	10	20	05
13	1	65020	14600	208	960	13.7	65	21	05	142	1520	14.3	66	28	01	3110	2.1	80	23	02	5750	–15.2	30	24	08
14	4	70026	25541	001	957	16.2	90	13	05	118	1490	14.7	67	13	11	3085	4.0	62	14	07	5730	–14.9	93	26	13
15	8	65022	5551x	112	958	15.8	100	00	00	125	1495	9.7	98	00	00	3080	1.3	96	14	03	5700	–16.0	37	14	09
16	4	70012	24540	110	959	13.3	100	00	00	135	1505	11.6	90	22	05	3090	–0.1	85	21	05	5710	–13.8	38	21	11
17	7	70022	65540	106	957	15.9	87	16	02	117	1490	12.0	96	26	07	3075	–0.2	100	25	15	5690	–16.8	100	28	09
18	8	40022	874xx	207	960	14.6	100	21	02	144	1500	8.7	100	06	10	3080	0.2	20	06	09	5695	–16.6	10	02	13
19	0	70020	00900	110	964	10.3	76	00	00	183	1540	11.4	89	23	08	3125	4.0	25	30	02	5780	–15.1	19	03	08
20	0	58410	00900	210	964	12.2	100	00	00	183	1545	9.4	97	10	02	3120	–1.4	95	00	00	5735	–17.0	10	00	00
21	0	50410	00900	400	964	11.0	100	00	00	186	1545	11.7	70	08	03	3140	5.6	22	26	02	5790	–14.5	22	20	05
22	1	57020	15600	400	965	14.0	88	22	05	190	1570	13.8	78	24	20	3165	2.9	85	25	14	5835	–10.0	31	28	20
23	0	68010	00900	105	966	15.2	98	00	00	198	1570	13.3	100	24	12	3160	2.0	48	26	17	5800	–15.5	29	29	20
24	5	75021	58600	702	963	16.0	90	19	04	172	1555	16.5	76	23	12	3165	5.1	54	26	16	5835	–10.0	10	28	30
25	1	52010	14600	400	958	14.6	90	00	00	120	1495	13.4	94	25	04	3100	2.8	85	25	06	5745	–12.5	34	26	14
26	0	57020	00900	801	956	14.0	90	00	00	110	1485	15.2	85	22	06	3095	4.8	85	22	09	5760	–11.0	30	22	16
27	8	57606	8xxxx	109	959	16.0	100	00	00	140	1515	9.7	100	03	04	3105	0.6	100	34	06	5745	–13.7	100	23	08
28	5	45012	5xxxx	104	964	13.0	94	02	09	181	1550	9.5	93	07	28	3140	2.3	74	07	11	5775	–15.9	100	06	08
29	8	75022	8xxxx	400	967	11.5	62	04	10	208	1555	5.7	87	06	04	3145	2.5	24	06	04	5780	–15.0	19	08	16
30	3	75021	3xxxx	400	964	9.8	70	05	08	189	1535	9.7	80	05	04	3135	1.6	40	00	00	5765	–15.2	22	08	09
Moyen					—	12.7	83	—	—	161	1525	11.3	—	—	—	3116	1.8	—	—	—	5749	–15.1	—	—	—

Septembre 1959

1	0	65100	00900	802	961	16.5	45	01	07	150	1505	7.8	81	25	05	3085	–1.8	40	22	06	5685	–20.8	10	27	03
2	2	65100	15501	806	960	17.0	50	05	07	141	1505	10.0	80	11	03	3095	–1.1	100	19	04	5675	–19.4	90	26	09
3	1	65100	15540	804	959	18.4	45	01	05	133	1500	8.5	90	31	08	3075	–1.3	95	09	07	5660	–19.3	100	27	04
4	2	66100	14640	801	962	18.8	48	00	00	160	1540	11.0	92	18	05	3125	1.0	100	18	03	5750	–18.1	18	21	15
5	8	60012	865xx	802	958	15.8	70	00	00	132	1495	10.4	84	02	05	3075	–0.9	85	08	05	5675	–18.4	18	09	09
6	2	65020	25540	803	959	17.0	53	02	08	137	1515	7.7	85	05	07	3085	0.8	22	04	09	5700	–17.3	22	35	05
7	1	68020	11700	805	962	18.7	45	03	12	156	1520	7.3	77	07	15	3100	–1.8	55	08	24	5720	–14.3	33	08	30
8	1	65020	12740	804	965	18.9	48	00	00	183	1555	11.2	47	23	03	3140	–0.6	61	00	00	5780	–12.9	26	09	30
9	0	58100	00900	805	965	19.3	61	35	05	189	1560	10.5	49	05	08	3155	6.4	25	08	16	5810	–13.0	35	08	17
10	0	57100	00900	400	966	20.0	60	00	00	195	1575	12.3	81	00	00	3180	6.0	32	12	03	5840	–12.5	28	09	05
11	0	56100	00900	810	964	23.8	46	00	00	165	1560	15.2	30	06	03	3160	3.4	25	07	05	5810	–14.6	10	21	03
12	0	60050	00900	707	961	21.0	62	00	00	150	1535	15.0	87	20	05	3145	2.5	52	20	05	5785	–14.5	15	20	08
13	1	65050	15601	808	959	22.0	59	00	00	128	1515	15.0	57	00	00	3120	4.2	72	26	02	5765	–14.5	76	25	03
14	6	60032	30741	706	956	20.0	60	05	06	104	1495	14.4	72	05	12	3090	4.0	75	09	08	5730	–14.6	63	29	03
15	3	60012	36600	000	959	20.8	60	00	00	131	1510	11.3	95	00	00	3095	1.5	80	18	11	5730	–14.8	76	14	09
16	4	60031	28543	705	958	20.9	70	00	00	121	1505	12.4	62	22	11	3090	0.3	90	23	16	5720	–14.4	80	26	17
17	5	55012	38541	205	957	20.4	75	00	00	113	1490	11.5	87	01	02	3075	1.7	87	29	04	5710	–14.9	41	24	05
18	5	50012	55500	210	962	16.8	80	02	10	158	1530	9.1	71	06	11	3110	1.9	10	07	05	5745	–16.4	10	06	08
19	2	55100	20740	000	964	16.1	66	00	00	181	1555	11.2	100	26	06	3140	1.3	80	20	04	5775	–16.7	17	12	04
20	0	57100	00900	802	965	16.2	80	00	00	190	1555	11.4	80	05	05	3140	2.7	32	00	00	5785	–15.4	10	18	03
21	7	50104	7097x	400	966	16.5	85	36	04	196	1575	12.4	74	24	12	3175	2.2	28	23	17	5815	–13.1	48	26	08
22	3	65011	15640	801	966	21.2	72	00	00	194	1575	12.8	80	24	14	3175	2.1	91	25	22	5815	–13.1	18	27	22
23	2	67050	24640	811	965	22.8	70	00	00	183	1575	14.2	62	25	07	3175	2.8	69	25	17	5825	–12.4	10	27	28
24	6	60021	22641	715	960	24.5	50	36	02	131	1535	16.0	49	23	04	3155	4.7	52	26	14	5815	–12.0	100	28	25
25	7	56102	55431	101	957	19.0	72	00	00	116	1495	12.4	100	22	08	3100	2.8	100	22	07	5735	–12.6	58	25	11
26	6	50012	58560	400	957	19.2	85	00	00	113	1505	11.8	85	09	02	3100	1.0	85	16	04	5735	–14.3	60	21	07
27	8	50022	864xx	213	962	16.1	88	06	10	161	1535	10.8	100	06	16	3135	3.3	85	05	10	5775	–13.2	80	23	05
28	8	50102	865xx	202	967	13.6	85	04	11	206	1550	7.8	76	09	10	3140	2.0	15	09	12	5760	–17.9	17	08	12
29	8	50102	855xx	104	967	12.4	82	02	02	214	1565	9.9	70	00	00	3150	1.9	23	18	05	5790	–14.7	19	17	06
30	8	60022	855xx	805	964	11.4	72	02	03	185	1530	8.4	83	05	02	3125	4.1	10	08	05	5770	–13.7	10	06	12
Moyen					—	18.5	65	—	—	157	1532	11.3	—	—	—	3124	1.9	—	—	—	5756	–15.1	—	—	—

niveaux standard

00.00 h

400 mb					300 mb					200 mb				150 mb				100 mb				Tropopause		
H	t	Hum	dd	ff	H	t	Hum	dd	ff	H	t	dd	ff	H	t	dd	ff	H	t	dd	ff	H	p	t
7325	–30.0	17	29	22	9310	–44.7	—	29	38	11950	–54.8	29	39	13790	–54.0	29	33	16390	–54.5	28	27	11480	215	–55.2
7320	–29.6	10	25	22	9310	–44.8	—	26	39	11930	–53.6	26	38	13780	–54.0	26	33	16360	–57.0	27	22	11200	224	–58.0
7290	–28.4	100	24	08	9290	–43.6	—	25	22	11920	–54.9	25	35	13770	–50.7	25	28	16400	–53.4	25	21	11030	230	–56.8
7320	–31.2	63	22	16	9290	–46.6	—	25	27	11890	–58.5	26	22	13700	–56.0	26	22	16270	–57.0	26	22	11200	223	–58.7
7355	–27.5	40	25	10	9360	–44.0	—	26	12	11970	–60.8	26	35	13810	–53.6	26	26	—	—	—	—	11970	200	–60.8
7325	–28.2	53	05	14	9325	–44.2	—	05	10	11930	–55.0	29	11	13780	–52.5	28	12	16390	–54.6	27	14	11180	225	–58.5
7350	–29.7	33	05	13	9320	–46.0	—	05	14	11930	–54.9	07	15	13790	–53.6	04	09	16380	–58.3	34	04	11270	222	–57.7
7415	–26.3	25	08	38	9425	–43.9	—	08	40	12040	–59.7	08	50	13830	–59.2	08	45	16400	–56.3	04	11	12630	182	–61.1
7485	–24.0	10	08	24	9510	–40.6	—	08	25	12170	–60.3	08	28	13940	–60.0	07	16	16500	–57.5	30	07	12490	190	–63.7
7505	–24.7	34	09	08	9530	–40.3	—	09	09	12190	–58.8	08	15	13960	–63.2	08	07	16470	–58.9	30	05	12670	185	–61.2
7435	–28.4	24	13	03	9450	–43.0	—	09	02	12090	–58.9	04	04	13860	–62.3	27	11	16385	–60.2	28	08	13090	170	–62.4
7415	–28.6	10	27	06	9410	–43.4	—	31	16	12000	–60.3	31	25	13810	–61.7	31	22	16320	–63.1	30	15	12760	178	–62.3
7380	–26.8	30	22	10	9390	–41.3	—	21	11	12040	–58.4	22	12	13840	–58.6	25	16	16400	–58.2	30	12	12740	179	–60.0
7380	–25.1	78	25	16	9400	–41.3	—	27	15	12000	–62.2	27	23	13810	–57.4	29	10	—	—	—	—	11890	204	–62.2
7330	–27.5	34	15	09	9330	–43.8	—	14	14	11940	–58.1	13	22	13760	–57.1	08	05	16320	–58.5	27	05	11700	208	–58.8
7370	–25.9	14	24	10	9390	–41.1	—	27	17	12000	–62.3	28	28	13780	–61.5	28	27	16300	–60.7	28	16	12760	177	–63.6
7230	–26.2	96	28	10	9350	–42.1	—	29	05	11980	–59.0	28	15	13770	–60.0	27	20	16310	–59.2	28	22	12400	187	–60.1
7335	–27.9	10	02	11	9330	–43.1	—	01	10	11960	–58.3	36	13	13780	–57.0	30	22	16360	–56.8	29	23	11960	200	–58.3
7425	–27.1	21	02	02	9420	–43.1	—	13	03	12040	–61.1	18	05	13820	–59.6	29	17	16370	–59.0	29	17	12520	185	–62.4
7365	–29.4	10	18	02	9350	–46.0	—	23	02	11920	–62.8	29	02	13710	–62.0	30	07	16220	–61.0	29	15	11690	208	–62.8
7440	–26.2	22	24	16	9440	–43.2	—	25	28	12060	–62.2	27	55	13840	–61.2	27	17	16350	–61.3	28	17	12410	189	–64.2
7525	–19.3	10	27	17	9600	–35.6	—	32	11	12290	–57.0	32	06	14060	–68.1	32	22	16540	–64.9	30	24	14150	148	–68.4
7435	–26.6	60	28	44	9460	–42.2	—	29	60	12100	–57.7	29	50	13890	–62.4	28	30	16380	–60.6	29	27	13530	115	–65.2
7510	–22.5	58	28	28	9570	–37.0	—	28	35	12230	–59.3	29	55	14000	–65.4	28	39	16500	–62.6	29	38	13910	152	–65.8
7405	–24.8	15	24	07	9430	–41.2	—	27	07	12060	–62.2	29	51	13830	–59.8	30	20	16360	–60.7	30	22	13000	172	–65.6
7440	–19.5	66	22	15	9510	–36.1	—	24	13	12100	–57.0	25	17	13990	–59.4	26	23	16550	–58.6	28	22	13360	166	–62.4
7405	–25.1	100	22	18	9445	–41.2	—	22	24	12080	–59.7	23	30	13870	–58.7	23	17	16435	–58.4	25	15	12740	180	–60.7
7420	–27.4	100	06	03	9420	–43.1	—	33	08	12030	–59.4	26	07	13835	–58.2	21	14	16390	–57.2	26	10	11580	215	–60.3
7485	–27.1	16	07	16	9445	–41.3	—	07	08	12100	–57.5	07	17	13905	–58.3	05	10	16480	–57.5	32	11	12730	181	–59.6
7415	–27.9	23	05	12	9415	–43.8	—	04	12	12025	–60.7	05	08	13810	–60.1	34	08	16355	–59.0	34	12	12380	189	–61.7
7393	–26.6	—	—	—	9408	–42.4	—	—	—	12033	–58.8	—	—	13837	–58.9	—	—	16389	–58.6	—	—	—	—	—

12.00 h

7295	–31.1	10	27	06	9280	–44.6	—	26	32	11910	–53.1	27	27	13760	–55.0	27	23	16350	–53.6	28	20	11000	230	–55.1
7305	–29.4	94	26	25	9300	–42.7	—	25	48	11930	–54.7	25	38	13790	–51.8	25	28	16420	–52.8	26	15	11130	227	–55.8
7295	–31.2	96	25	11	9250	–48.2	—	24	20	11840	–53.8	25	21	13690	–55.3	25	25	16270	–55.5	25	28	10900	232	–60.5
7365	–31.7	32	23	21	9345	–45.8	—	25	40	11935	–56.2	25	20	13780	–53.4	25	16	16370	–55.8	26	15	10850	238	–57.5
7295	–31.0	56	09	17	9285	–43.2	—	14	17	11890	–59.8	19	12	13730	–53.8	25	16	16330	–55.2	27	10	11780	204	–61.0
7340	–28.8	37	29	10	9330	–44.1	—	21	11	11950	–52.3	30	09	13800	–52.1	30	09	16430	–51.6	26	08	11160	226	–59.0
7370	–26.6	32	08	35	9380	–42.8	—	09	35	12000	–59.4	09	52	13800	–57.3	05	12	16380	–55.2	02	08	11340	222	–57.2
7445	–24.7	24	09	38	9470	–41.0	—	10	44	12110	–59.9	09	48	13900	–59.5	09	22	16460	–56.6	09	08	10760	247	–51.3
7470	–24.9	40	07	17	9490	–40.1	—	07	18	12130	–59.6	07	24	13890	–65.4	31	05	16390	–59.6	31	05	12090	171	–66.4
7510	–22.6	30	08	05	9550	–39.6	—	11	11	12210	–56.8	10	08	14000	–62.4	10	03	16530	–57.8	30	08	13710	157	–63.5
7450	–27.1	10	23	02	9460	–43.1	—	25	08	12080	–59.0	26	17	13880	–60.4	31	18	16400	–60.5	29	16	11510	219	–57.7
7425	–25.7	15	21	06	9445	–41.7	—	25	05	12100	–57.0	28	11	13890	–60.7	28	18	16420	–59.9	28	16	13120	170	–62.4
7405	–25.1	59	26	07	9430	–41.1	—	28	20	12070	–58.5	28	23	13870	–58.7	28	11	16420	–58.2	29	10	13670	155	–60.2
7390	–26.2	95	26	06	9400	–42.1	—	24	15	12000	–58.2	26	02	13840	–58.1	28	02	16400	–57.0	29	02	11730	210	–58.9
7380	–27.7	52	14	12	9380	–44.4	—	14	16	11970	–62.0	20	08	13750	–60.5	27	08	16280	–61.2	30	08	11840	204	–62.2
7375	–24.9	53	27	24	9390	–43.5	—	27	15	11990	–62.1	27	33	13760	–62.9	26	25	16250	–62.6	28	28	13330	161	–62.9
7355	–26.5	28	19	03	9360	–44.8	—	27	06	11940	–61.1	26	14	13730	–61.5	29	22	16240	–60.1	29	25	11350	220	–61.7
7380	–29.1	10	05	04	9370	–45.0	—	31	05	11970	–60.2	33	05	13760	–60.2	30	22	16290	–59.5	28	20	12760	176	–61.1
7405	–28.5	18	15	04	9410	–44.1	—	16	06	12010	–60.7	21	13	13800	–61.4	30	12	16330	–60.1	31	15	12600	182	–62.1
7425	–28.2	12	21	02	9430	–43.1	—	24	03	12060	–60.7	27	12	13840	–59.4	28	08	16370	–61.3	30	10	12720	180	–62.0
7485	–23.2	70	30	14	9525	–40.4	—	23	22	12150	–59.9	24	32	13940	–61.9	27	22	16440	–61.5	29	20	12950	176	–61.1
7480	–24.8	14	27	23	9500	–41.0	—	25	26	12170	–56.9	27	31	13960	–62.0	28	17	16440	–64.8	28	17	11790	212	–55.2
7495	–23.7	11	27	33	9525	–39.4	—	28	27	12180	–58.2	—	—	14000	–58.2	—	—	16510	–69.6	—	—	13000	175	–60.4
7485	–22.3	60	28	33	9530	–38.2	—	28	38	12200	–58.7	28	44	14000	–59.7	29	32	16530	–58.7	30	29	12750	183	–60.6
7405	–23.2	86	25	09	9430	–40.9	—	25	20	12070	–62.0	26	20	13820	–63.0	27	23	16340	–61.1	28	16	12280	193	–63.0
7400	–23.3	80	20	19	9440	–38.8	—	20	24	12095	–61.1	22	25	13875	–59.4	28	22	16415	–61.2	24	13	12550	186	–63.2
7455	–24.2	52	23	13	9495	–41.0	—	25	12	12135	–60.0	25	33	14000	–60.0	25	26	16455	–59.6	25	15	13290	166	–62.4
7395	–28.5	14	08	12	9395	–43.5	—	08	13	12020	–58.8	07	11	13820	–58.2	28	03	16380	–58.0	27	15	11770	208	–58.6
7445	–25.9	14	17	12	9450	–43.9	—	19	12	12045	–63.7	18	13	13800	–64.4	09	08	16280	–63.4	07	10	11770	209	–62.6
7415	–26.3	10	05	20	9430	–43.3	—	08	27	12055	–59.2	01	24	13850	–59.7	35	22	16390	–59.3	35	15	12880	175	–61.0
7405	–26.5	—	—	—	9416	–42.5	—	—	—	12041	–58.8	—	—	13844	–59.2	—	—	16384	–59.0	—	—	—	—	—

Observations aux

Octobre 1959

Jour	Données synoptiques en surface (Code SYNOP)				Surface 491 m					1000 mb	850 mb					700 mb					500 mb				
	N	VVwwW	NhClhCmCh	app	P	t	Hum	dd	ff	H	H	t	Hum	dd	ff	H	t	Hum	dd	ff	H	t	Hum	dd	ff
1	8	60032	8xxxx	102	966	11.0	75	00	00	208	1535	10.5	79	22	12	3135	3.6	16	24	09	5765	−16.8	10	10	17
2	3	30114	3xxxx	204	970	9.8	100	00	00	234	1600	11.6	90	00	00	3200	4.4	20	08	03	5855	−13.8	18	13	12
3	3	40020	3xxxx	400	970	9.3	100	00	00	241	1605	10.5	93	22	05	3195	1.9	24	22	07	5885	−15.8	19	21	07
4	0	15114	00900	804	967	8.0	100	00	00	209	1560	10.0	10	05	05	3140	−0.1	10	22	11	5750	−18.7	58	31	11
5	0	03464	00900	400	963	6.0	100	00	00	183	1530	9.6	61	06	12	3120	3.2	10	05	06	5760	−14.4	10	02	17
6	5	30464	5xxxx	104	964	5.3	100	00	00	189	1530	8.0	96	20	12	3110	−0.2	45	06	06	5715	−18.1	20	08	11
7	0	04464	00900	211	965	6.0	100	00	00	201	1545	8.6	78	33	03	3125	−0.6	54	22	05	5730	−17.3	29	09	13
8	0	30114	00900	400	965	6.0	100	20	02	200	1540	8.6	75	04	04	3115	−0.5	27	17	03	5715	−20.3	32	08	07
9	0	30114	00900	400	961	6.4	100	00	00	166	1510	8.9	77	21	02	3090	0.0	45	20	09	5710	−18.2	22	20	04
10	0	30114	00900	103	963	5.4	100	23	05	183	1525	8.7	78	16	03	3105	0.2	44	08	06	5710	−19.3	41	08	07
11	8	78636	8052x	400	957	9.8	100	00	00	126	1465	3.7	100	26	14	3010	−5.5	100	26	07	5575	−22.0	100	19	06
12	8	60626	8042x	207	963	9.6	100	21	07	177	1515	2.6	100	32	08	3065	−7.1	100	36	10	5605	−23.7	88	03	15
13	0	18410	00900	201	965	5.0	100	00	00	201	1540	5.4	93	07	10	3105	−3.0	64	06	05	5695	−19.0	15	01	08
14	0	26410	00900	400	967	4.0	100	00	00	217	1545	6.0	95	20	03	3115	−1.6	37	19	06	5720	−18.5	10	05	03
15	9	03474	9x0xx	400	966	7.1	100	00	00	208	1540	4.1	71	00	00	3090	−5.7	66	23	02	5670	−18.8	23	33	02
16	8	25102	803xx	400	965	7.0	87	00	00	201	1525	8.2	40	00	00	3100	−1.8	61	20	11	5710	−17.7	10	19	17
17	0	18464	00900	400	962	4.5	100	00	00	175	1510	7.2	86	20	06	3085	−2.3	65	21	09	5690	−17.0	10	23	10
18	1	40410	14540	804	956	4.0	100	00	00	127	1475	8.5	62	21	16	3055	0.2	82	21	22	5680	−15.2	74	21	17
19	4	60021	28402	805	963	6.6	100	19	05	180	1525	6.3	100	23	07	3085	−1.0	25	23	14	5715	−16.9	20	25	20
20	8	78606	854xx	101	956	10.0	100	00	00	113	1455	1.9	93	00	00	3000	−4.4	100	22	10	5595	−19.7	69	21	23
21	8	60026	856xx	211	966	8.0	100	02	05	203	1545	3.4	98	06	17	3100	−1.5	99	06	11	5730	−13.3	73	23	12
22	5	65021	14640	001	970	7.7	100	20	05	236	1585	6.2	57	24	10	3155	−0.2	18	29	12	5800	−12.4	96	35	14
23	2	75011	24500	211	974	7.4	100	00	00	296	1605	3.0	100	02	06	3155	−2.3	13	01	33	5765	−15.6	10	35	39
24	3	70021	00941	001	974	2.8	100	00	00	276	1615	7.6	21	03	04	3190	−0.3	36	36	05	5805	−15.2	81	35	28
25	3	63020	30901	706	967	5.4	90	00	00	220	1570	10.4	10	—	—	3150	1.8	10	—	—	5780	−16.5	10	28	40
26	5	68031	5xxxx	400	966	8.0	95	00	00	203	1550	5.5	92	23	08	3115	−2.3	63	26	18	5710	−17.9	34	26	37
27	8	69032	8xxxx	828	955	10.4	83	00	00	112	1460	4.9	93	23	28	3015	−2.9	61	23	28	5600	−18.5	68	24	33
28	8	78022	8xxxx	725	930	11.6	90	23	11	620	1240	7.9	85	22	34	2810	−2.8	97	20	63	5390	−20.4	28	20	63
29	8	64636	8xxxx	002	938	3.3	100	08	08	530	1290	−0.4	100	03	20	2820	−9.7	100	03	21	5355	−19.5	100	10	28
30	8	56616	10103	116	951	3.2	100	19	02	078	1390	−2.5	100	00	00	2915	−9.0	100	01	25	5455	−19.7	96	02	18
31	4	75021	40901	802	953	1.8	100	21	05	107	1415	−1.2	93	23	15	2950	−6.6	100	26	10	5495	−25.0	100	25	22
Moyen					—	6.8	97	—	—	171	1511	6.2	—	—	—	3078	−1.8	—	—	—	5680	−17.9	—	—	—

Octobre 1959

1	5	45102	555xx	007	969	15.1	78	00	00	222	1590	10.7	91	00	00	3180	5.5	13	09	05	5820	−16.1	15	10	12
2	8	35102	862xx	001	971	15.2	98	00	00	245	1615	10.9	65	00	00	3205	3.3	10	20	04	5850	−14.6	15	17	04
3	6	45022	55473	400	969	15.0	95	00	00	227	1600	10.6	20	23	02	3180	0.3	10	24	08	5790	−18.4	35	22	20
4	8	40022	865xx	400	965	11.2	100	06	05	199	—	—	—	—	—	—	—	—	—	—	—	—	—	—	—
5	8	22102	861xx	400	963	11.5	90	00	00	177	1525	7.4	90	17	02	3105	0.6	35	10	08	5735	−14.2	13	06	32
6	8	20022	863xx	206	965	10.3	95	00	00	196	1530	8.5	77	04	05	3100	−3.3	55	09	12	5700	−19.6	10	09	22
7	2	35102	26400	400	966	13.9	90	00	00	198	—	—	—	—	—	—	—	—	—	—	—	—	—	—	—
8	9	02454	9x0xx	400	964	9.0	100	00	00	186	1535	6.5	76	05	04	3105	0.0	40	09	05	5700	−19.6	53	04	11
9	0	25101	00900	000	964	10.4	100	00	00	186	1530	8.6	57	00	00	3105	−0.2	22	13	02	5705	−19.2	24	31	05
10	8	25024	4622x	715	957	9.5	100	00	00	126	1480	9.2	62	24	03	3070	−0.4	71	22	10	5680	−16.8	98	23	16
11	8	75022	2542x	211	958	12.2	100	21	08	134	1480	3.3	92	25	14	3030	−4.9	100	28	11	5605	−20.2	89	07	05
13	6	70022	69330	400	964	12.8	100	36	03	183	1545	4.8	85	06	08	3095	−3.6	77	04	07	5695	−18.5	42	36	18
13	8	45022	861xx	106	967	9.5	87	02	02	211	1550	5.4	53	16	03	3125	−1.8	10	11	02	5715	−18.4	10	01	06
14	8	40012	865xx	104	968	10.2	100	00	00	217	1570	8.8	66	00	00	3125	−2.5	67	22	03	5720	−17.6	20	35	07
15	8	40102	864xx	801	966	9.7	100	00	00	201	1535	6.8	37	00	00	3100	−2.8	20	13	03	5715	−18.1	32	23	01
16	4	40012	45441	705	964	9.8	80	00	00	183	1525	7.0	61	20	05	3095	−4.3	100	20	11	5700	−18.1	15	19	15
17	8	08454	861xx	804	960	7.4	100	00	00	158	1505	8.9	21	00	00	3095	−0.5	59	20	06	5680	−17.2	38	20	15
18	8	65606	856xx	216	963	12.8	100	20	10	178	1530	6.7	82	25	15	3105	−2.2	100	24	25	5725	−16.4	10	28	18
19	8	45014	6634x	707	959	11.6	100	00	00	146	1500	7.7	91	22	25	3070	−2.5	100	21	41	5680	−16.5	100	23	33
20	8	50636	8732x	214	959	7.4	100	22	02	149	1475	2.0	100	05	12	3025	−4.3	100	09	06	5620	−15.2	100	18	47
21	7	60012	6575x	219	969	11.4	100	08	08	229	1565	3.0	100	06	08	3135	−0.9	92	23	16	5750	−16.7	37	27	16
22	8	65602	8097x	204	970	12.8	90	21	03	232	1580	6.6	22	24	18	3155	−0.1	100	32	20	5790	−14.1	100	30	25
23	2	78030	10971	000	975	12.1	57	05	10	283	1620	4.0	20	06	10	3180	−2.3	36	01	22	5775	−16.3	40	34	36
24	1	70020	10901	716	972	10.3	80	35	02	253	1660	10.4	29	22	06	3190	1.2	48	35	05	5810	−17.2	41	32	25
25	5	74031	14505	704	965	16.0	35	23	14	190	1545	7.1	43	25	19	3115	0.0	20	23	31	5780	−16.0	34	25	34
26	7	60032	46440	708	962	12.5	80	34	07	164	1540	3.3	100	23	17	3065	−3.3	100	24	28	5650	−19.5	72	25	38
27	8	60022	6547x	750	941	12.4	85	22	05	515	1335	4.6	100	22	38	2895	−3.8	100	23	18	5480	−20.5	42	22	52
28	8	60602	4731x	111	935	6.8	100	18	03	559	1265	−0.5	100	25	04	2790	−9.8	100	28	15	5325	−22.5	100	18	44
29	8	45636	6742x	220	941	4.8	100	06	06	507	1305	−4.8	100	03	20	2800	−11.4	100	04	22	5305	−23.4	98	05	17
30	4	70021	35521	106	956	6.4	90	00	00	120	1430	−2.0	97	34	03	2945	−11.6	42	35	20	5500	−22.0	56	36	33
31	8	60022	4542x	400	954	5.3	100	29	07	107	1420	−0.4	90	25	22	2955	−8.5	100	27	27	5480	−26.4	88	28	17
Moyen					—	10.8	91	—	—	168	1510	5.7	—	—	—	3074	−2.7	-	- -	- -	5670	−18.3	—	—	—

niveaux standard

00.00 h

400 mb					300 mb					200 mb				150 mb				100 mb				Tropopause		
H	t	Hum	dd	ff	H	t	Hum	dd	ff	H	t	dd	ff	H	t	dd	ff	H	t	dd	ff	H	p	t
7410	–29.7	10	04	17	9440	–45.1	—	06	17	12045	–60.0	03	14	13840	–59.8	02	17	16375	–58.4	02	17	12710	180	–61.3
7500	–28.5	21	13	17	9495	–43.5	—	14	17	12100	–63.0	17	07	13865	–62.7	16	11	16380	–61.3	31	08	12190	197	–63.3
7475	–28.7	22	22	14	9465	–45.7	—	25	09	12055	–62.1	28	16	13885	–62.2	29	16	16345	–60.3	32	12	12850	176	–63.9
7370	–30.1	41	31	32	9350	–44.8	—	20	33	11970	–59.6	31	30	13760	–60.2	32	22	16280	–59.1	33	22	12730	177	–61.5
7415	–25.6	10	04	33	9430	–40.8	—	03	33	12060	–62.8	35	35	13880	–59.6	34	17	16380	–57.5	35	16	12600	183	–63.1
7385	–31.6	17	08	22	9320	–45.6	—	08	22	11940	–57.0	02	07	13770	–54.3	34	21	16350	–56.4	33	15	11940	200	–57.0
7365	–29.7	30	08	09	9350	–45.9	—	08	14	11940	–62.3	35	13	13740	–57.3	32	11	16300	–58.8	32	18	11940	200	–62.3
7330	–30.7	31	04	03	9300	–47.4	—	07	05	11880	–59.7	36	16	13700	–55.8	36	14	16280	–56.5	33	17	11540	211	–60.6
7340	–27.4	18	32	30	9350	–41.3	—	32	46	11980	–62.8	32	46	13730	–64.5	31	28	16220	–64.5	31	32	12070	197	–63.5
7330	–32.3	45	02	05	9290	–46.7	—	01	06	11880	–57.8	36	38	13690	–58.2	34	28	—	—	—	—	11280	220	–58.7
7180	–33.1	97	15	07	9140	–47.1	—	14	44	11740	–63.0	15	55	—	—	—	—	—	—	—	—	—	—	—
7200	–33.1	80	02	14	9170	–47.6	—	03	07	11750	–62.1	10	07	—	—	—	—	—	—	—	—	—	—	—
7315	–30.6	10	34	22	9290	–46.9	—	34	33	11870	–62.3	34	28	—	—	—	—	—	—	—	—	—	—	—
7355	–28.7	11	01	12	9340	–46.2	—	36	17	11940	–62.1	08	08	13710	–61.8	02	11	16230	–62.3	26	13	12440	184	–62.4
7290	–30.8	30	33	13	9280	–44.4	—	33	04	11920	–58.4	15	11	13690	–61.1	31	08	16230	–61.4	01	15	13080	165	–61.4
7325	–32.4	28	20	16	9290	–48.0	—	20	17	11880	–59.2	17	17	13690	–59.4	16	11	16220	–59.7	34	06	12010	196	–59.4
7320	–30.2	10	21	11	9310	–47.2	—	25	16	11870	–63.1	28	27	13650	–61.6	26	14	16160	–61.0	26	07	12520	180	–63.6
7330	–27.8	64	21	27	9340	–44.0	—	22	31	11950	–65.0	25	16	13690	–61.5	28	16	16210	–63.0	30	15	12470	183	–67.9
7350	–29.8	74	26	22	9340	–45.1	—	30	34	11970	–56.0	30	45	13770	–61.0	30	18	16270	–63.3	29	38	13850	148	–61.2
7200	–33.1	78	22	25	9155	–49.5	—	22	17	11730	–55.6	23	54	13540	–57.6	23	47	16060	–62.4	21	17	10720	235	–61.7
7405	–27.2	67	23	12	9405	–43.4	—	21	25	12000	–59.8	32	15	13835	–57.8	35	27	16380	–58.5	29	02	11920	203	–60.0
7450	–24.1	91	01	27	9500	–40.0	—	01	18	12150	–57.0	02	13	13940	–65.2	03	25	16380	–68.5	02	16	14680	133	–68.0
7425	–27.0	10	35	40	9420	–42.8	—	31	44	12060	–58.3	11	39	13860	–61.1	11	38	16345	–62.8	11	10	12060	200	–58.3
7450	–26.1	81	34	39	9485	–41.9	—	34	34	12100	–61.9	35	48	13870	–63.0	35	33	16360	–63.6	35	32	12050	202	–61.7
7405	–28.3	36	26	22	9400	–44.4	—	29	37	12000	–62.8	28	29	13760	–65.8	28	32	16220	–65.2	28	14	11880	204	–62.8
7340	–28.9	58	26	44	9340	–44.2	—	25	48	11920	–67.1	26	44	13650	–66.7	26	15	16100	–66.1	26	22	12360	186	–70.5
7220	–29.3	71	24	48	9220	–45.0	—	24	58	11810	–65.8	25	47	13560	–62.2	25	49	16070	–61.6	26	33	12000	194	–66.5
7000	–31.0	45	20	44	8970	–46.8	—	20	44	11540	–60.4	21	77	13350	–58.7	22	50	15910	–57.7	25	18	10940	220	–64.1
6975	–31.2	100	15	25	8950	–47.9	—	15	42	11530	–55.0	16	22	13370	–54.3	16	10	15965	–55.1	22	10	10620	231	–60.7
7070	–32.0	95	36	25	9040	–47.7	—	36	35	11610	–57.0	36	18	13430	–55.3	01	22	16030	–57.1	27	10	10850	226	–61.7
7075	–37.5	98	27	15	9010	–49.3	—	31	15	11600	–53.1	31	28	13440	–55.3	33	28	16020	–55.9	31	30	10630	233	–58.3
7308	–29.9	—	—	—	9296	–45.4	—	–	—	11896	–60.4	—	—	13699	–60.2	—	—	16225	–60.7	—	—	—	—	—

12.00 h

7460	–28.2	16	11	20	9450	–45.3	—	12	27	12050	–62.7	11	23	13840	–63.8	08	05	16300	–63.7	36	05	12730	179	–64.1
7500	–27.9	27	17	08	9495	–44.5	—	19	09	12090	–63.5	19	10	13860	–61.5	34	10	16380	–60.2	33	05	12740	180	–65.4
7425	–27.9	86	26	16	9430	–43.7	—	26	18	12040	–61.4	30	34	13840	–61.0	30	23	16350	–59.0	30	08	12720	179	–64.0
—	—	—	—	—	—	—	—	—	—	—	—	—	—	13770	–59.1	33	18	16335	–57.6	02	05	—	—	—
7380	–28.3	25	05	17	9375	–44.3	—	01	22	12000	–62.4	32	20	–	–	—	—	—	—	—	—	11860	201	–62.4
7300	–32.9	10	09	18	9260	–48.0	—	08	33	11890	–60.1	05	12	13650	–59.6	36	10	16190	–59.6	36	05	11840	200	–60.1
–	—	–	–	–	–	—	—	—	–	—	—	—	—	—	—	—	—	—	—	—	—	—	—	–
7315	–31.3	52	04	16	9290	–47.2	—	01	20	11870	–58.9	36	30	13690	–57.2	36	20	16250	–58.1	36	22	11980	230	60.2
7320	–32.7	22	29	07	9290	–46.1	—	32	24	11920	–57.0	34	38	13720	–59.7	33	28	16250	–59.6	34	17	12320	160	–59.7
7330	–27.5	93	29	22	9330	–42.2	—	23	18	11950	–58.4	23	28	13760	–59.0	26	28	16360	–60.0	31	07	16620	95	60.2
7230	–31.0	83	08	07	9210	–46.3	—	09	16	11810	–56.6	11	17	13660	–53.0	00	00	16250	–56.5	30	14	11420	213	–57.0
7315	–32.0	52	36	33	9295	–45.8	—	36	43	11890	–61.3	35	35	13680	–57.9	34	18	16220	–59.1	34	15	12470	182	–62.1
7345	–30.4	10	35	09	9320	–46.9	—	35	20	11900	–64.2	32	05	13670	–61.0	31	04	16180	–61.5	30	05	11990	200	–64.2
7355	–31.8	31	35	15	9330	–46.1	—	12	11	11920	–59.8	35	03	13720	–61.8	35	06	16230	–61.1	35	12	11500	214	–57.5
7335	–31.0	28	23	05	9320	–45.8	—	18	07	11930	–58.8	17	11	13725	–60.0	11	13	16260	–59.9	56	10	12060	178	–61.8
7315	–32.0	17	20	17	9275	–49.8	—	21	16	11840	–63.2	21	12	13610	–62.9	20	09	16110	–62.9	01	06	12160	190	–64.3
7320	–29.3	27	21	08	9310	–45.3	—	26	08	11850	–63.0	26	15	13680	–59.4	26	12	16220	–58.9	27	12	12080	196	–63.2
7350	–31.7	10	29	23	9325	–45.0	—	30	14	11945	–59.0	30	44	13730	–60.2	30	38	16260	–62.1	30	37	12290	192	–60.2
7320	–28.6	92	23	35	9310	–43.6	—	24	48	11950	–53.5	25	58	13790	–57.7	26	34	16320	–62.0	26	30	12820	189	–64.0
7280	–26.1	100	20	50	9300	–40.8	—	20	50	11900	–58.7	20	89	13770	–58.5	21	20	16380	–58.9	21	20	11840	204	–60.0
7385	–28.8	26	27	14	9410	–39.0	—	03	45	12090	–54.6	02	61	13800	–60.1	02	33		—	—	—	13270	166	59.4
7450	–25.2	93	28	20	9470	–41.5	—	29	20	12140	–55.1	28	15	13920	–64.8	28	20	16370	–63.5	28	24	13270	197	–62.7
7415	–28.7	62	34	47	9420	–42.5	—	31	60	12030	–61.2	01	72	13800	–63.5	35	66	16280	–64.0	32	22	12450	187	–62.0
7445	–28.5	42	33	17	9450	–42.4	—	33	17	12080	–57.1	32	33	13880	–60.4	31	26	16330	–63.6	—	—	11770	210	–56.8
7370	–28.2	41	26	44	9380	–41.1	—	25	52	12000	–61.5	25	52	13760	–62.9	26	55	16250	–64.5	26	40	12250	191	–63.2
7270	–30.0	27	25	48	9270	–43.8	—	25	55	11880	–63.0	24	50	13620	–63.0	25	71	16120	–62.5	25	65	11770	203	63.0
7090	–31.7	91	22	57	9070	–45.5	—	22	70	11670	–61.2	24	55	13450	–60.1	24	48	15980	–60.3	23	45	12320	180	–63.6
6925	–33.1	100	19	53	8890	–47.2	—	18	94	11470	–56.8	18	77	13310	–54.3	20	28	15900	–55.0	22	40	12080	215	61.8
6900	–34.0	92	05	24	8860	–49.2	—	06	38	11450	–54.4	05	23	13270	–53.9	04	02	15870	–54.2	25	08	10300	228	–59.4
7090	–33.8	75	34	24	9050	–48.7	—	33	28	11640	–58.0	34	30	13470	–54.5	34	23	16070	–56.5	34	22	10840	227	–59.4
7065	–36.2	70	35	60	9000	–50.0	—	34	50	11610	–56.0	35	44	13440	–57.3	36	41	16000	–58.8	34	35	11480	204	–56.6
7297	–30.2	—	—	—	9282	–45.1	—	–	–	11889	–59.3	–	–	13687	–59.4	—	—	16213	–60.1	—	–	—	—	–

Observations aux

Novembre 1959

Jour	Données synoptiques en surface (Code SYNOP)				Surface 491 m					1000 mb	850 mb					700 mb					500 mb				
	N	VVwwW	NnCℓhCmCH	app	P	t	Hum	dd	ff	H	H	t	Hum	dd	ff	H	t	Hum	dd	ff	H	t	Hum	dd	ff
1	8	60606	4732x	208	958	5.2	100	23	08	140	1460	–1.9	100	28	15	2970	–12.2	100	31	14	5455	–33.6	89	36	30
2	0	60020	00900	213	969	2.0	100	00	00	239	1540	–1.2	100	02	05	3080	–4.9	11	01	16	5650	–19.8	45	01	46
3	0	60020	00900	712	965	–0.2	100	00	00	206	1515	1.8	80	07	15	3070	–1.1	10	02	17	5675	–17.5	50	01	38
4	8	55022	864xx	802	961	1.3	100	00	00	172	1470	1.3	62	00	00	3030	–2.1	23	36	04	5615	–19.7	34	34	05
5	8	55022	864xx	810	961	3.2	90	00	00	166	1480	–2.1	98	24	10	3000	–9.9	100	30	17	5535	–23.4	100	29	34
6	8	60022	854xx	706	957	2.0	100	06	06	139	1440	–4.4	100	06	05	2940	–13.8	100	34	08	5425	–30.3	53	35	08
7	8	50022	864xx	801	955	3.3	95	04	05	114	1430	–2.6	100	06	16	2940	–10.4	100	06	21	5470	–24.2	48	06	14
8	8	50022	854xx	801	960	3.0	100	05	06	157	1465	–2.2	100	06	16	3000	–6.1	56	05	15	5555	–22.0	64	03	20
9	8	40022	865xx	803	961	2.8	100	04	03	166	1475	–2.9	99	06	07	3000	–6.0	59	02	11	5600	–19.8	43	02	22
10	8	45022	854xx	710	957	3.0	100	00	00	134	1445	–3.6	90	26	05	3000	–5.5	10	26	06	5555	–19.3	94	31	15
11	8	70022	856xx	708	952	4.2	100	20	05	093	1415	0.3	98	25	12	2935	–10.8	100	23	25	5455	–26.2	81	23	24
12	3	70021	30940	717	947	0.2	100	00	00	050	1370	1.5	91	21	09	2900	–9.0	50	21	22	5415	–27.9	60	25	27
13	8	45616	864xx	210	951	4.4	100	00	00	083	1415	–1.2	96	05	07	2935	–9.5	97	14	03	5465	–24.3	89	19	18
14	7	50031	75900	711	951	1.3	100	00	00	088	1400	4.2	80	22	15	2950	–2.9	81	23	32	5550	–19.1	21	24	34
15	8	78012	874xx	809	947	3.8	100	00	00	046	1375	–0.2	100	23	16	2895	–9.6	74	23	16	5405	–26.7	100	—	—
16	8	78022	875xx	208	948	4.4	100	21	10	058	1365	–3.9	100	26	16	2870	–14.5	100	27	16	5340	–32.1	87	28	13
17	5	68031	50909	105	954	0.0	100	00	00	117	1420	–2.3	91	21	11	2950	–9.9	23	23	15	5470	–23.8	81	26	28
18	6	30404	60907	724	943	0.6	100	00	00	018	1340	4.8	67	19	20	2900	–2.7	65	20	56	5485	–20.5	63	20	46
19	2	66110	20901	227	957	2.4	100	00	00	142	1465	4.4	72	21	20	3025	–4.9	43	21	23	5590	–21.1	31	24	36
20	9	00454	9x0xx	206	964	0.5	100	00	00	200	1525	7.5	27	21	10	3110	0.8	10	21	17	5715	–19.2	35	21	13
21	9	00454	9x0xx	103	964	0.4	100	00	00	193	1510	7.0	37	27	03	3095	1.6	23	16	16	5710	–20.1	22	16	38
22	9	02454	9x0xx	204	966	0.0	100	00	00	214	1530	6.4	36	06	12	3095	1.1	25	06	06	5710	–19.7	24	13	20
23	9	02454	9x0xx	400	968	–0.4	100	00	00	230	1535	3.4	50	06	08	3105	0.0	28	06	13	5710	–19.2	28	05	16
24	9	02454	9x0xx	704	966	–1.3	100	00	00	214	1515	3.9	60	24	11	3100	2.1	10	09	18	5700	–20.2	10	08	28
25	8	22022	862xx	706	965	0.8	100	00	00	206	1495	0.3	45	16	03	3045	–3.7	22	10	15	5620	–21.8	40	09	16
26	8	30022	864xx	708	964	0.8	100	00	00	197	1500	6.0	36	18	06	3065	–3.4	59	18	05	5655	–17.5	10	06	11
27	9	03474	9x0xx	706	960	0.4	100	00	00	163	1485	3.6	75	24	16	3035	–3.7	41	22	13	5630	–18.1	86	21	35
28	8	22216	874xx	202	962	5.0	100	00	00	175	1505	1.5	100	23	23	3045	–7.0	100	23	33	5595	–24.3	10	25	40
29	8	07454	860xx	809	959	5.2	100	00	00	145	1470	2.1	100	23	17	3000	–7.7	100	23	33	5545	–24.8	38	25	35
30	8	01454	860xx	818	948	4.3	100	00	00	055	1385	3.1	96	16	05	2930	–4.8	72	20	25	5495	–23.3	95	21	28
Moyen					—	2.1	100	—	—	144	1458	1.2	80	—	—	3000	–5.7	56	—	—	5560	–22.7	54	—	—

Novembre 1959

1	7	58022	45430	202	964	6.7	90	33	06	192	1505	–2.1	95	36	03	3020	–11.5	90	04	08	5555	–23.0	10	02	71
2	7	09424	760xx	703	969	4.0	100	00	00	235	1545	1.4	98	05	12	3100	–0.7	17	02	23	5705	–17.1	54	01	35
3	9	04454	9x0xx	805	962	0.6	100	00	00	179	1475	0.0	65	06	08	3040	0.1	10	03	12	5670	–16.2	14	36	22
4	8	35102	863xx	001	963	3.6	100	00	00	181	1490	1.2	33	00	00	3045	–2.2	20	28	07	5645	–18.8	29	26	09
5	8	45636	863xx	710	957	3.2	100	24	05	133	1430	–4.6	100	27	09	2930	–13.5	100	28	02	5435	–30.7	98	28	10
6	8	45102	856xx	604	955	3.8	85	05	08	113	1430	–3.0	98	07	25	2935	–11.4	84	07	22	5455	–26.2	53	11	19
7	7	45102	855xx	104	957	4.4	91	05	07	135	1445	–3.3	98	05	16	2965	–7.1	70	05	16	5505	–24.9	42	04	09
8	8	45022	863xx	102	961	3.2	95	07	09	164	1470	–3.6	100	06	11	3015	–4.6	55	02	09	5590	–19.0	72	02	25
9	7	40104	764xx	602	961	4.6	85	33	03	164	1470	–4.5	100	00	00	3005	–4.2	51	33	10	5595	–18.6	10	34	25
10	8	56602	5542x	710	955	3.6	100	24	07	113	1420	–1.7	100	25	13	2955	–6.9	100	26	16	5515	–23.2	100	25	22
11	7	70012	56660	810	950	7.4	85	22	09	074	1400	–1.0	90	22	28	2915	–11.6	100	23	21	5405	–32.0	78	26	29
12	7	60012	56531	104	946	4.2	100	10	02	040	1355	–1.1	96	21	22	2885	–9.7	85	21	22	5400	–27.4	54	22	29
13	8	56022	6641x	107	954	5.4	100	00	00	105	1420	–1.8	100	11	05	2965	–4.3	50	19	12	5525	–20.9	14	29	11
14	8	57636	7742x	808	948	6.8	100	26	07	054	1380	0.2	100	24	24	2950	–7.7	100	20	33	5465	–21.5	100	21	56
15	7	56012	45210	805	947	4.4	100	00	00	046	1365	–2.5	98	23	07	2880	–10.0	67	23	06	5395	–26.8	37	18	06
16	8	57016	45420	207	953	5.9	90	24	12	098	1420	–2.0	97	24	23	2935	–13.0	100	26	22	5410	–30.0	40	28	24
17	9	05474	9x0xx	712	950	1.4	100	00	00	079	1380	2.7	41	13	04	2930	–5.6	42	19	22	5510	–19.3	95	22	33
18	4	60012	15440	210	949	8.0	80	00	00	055	1400	6.6	59	22	22	2960	–5.0	78	20	33	5525	–22.8	35	21	39
19	9	02454	9x0xx	206	963	2.4	100	00	00	188	1510	6.0	44	20	10	3075	–3.3	29	22	18	5640	–21.2	29	24	22
20	9	01474	9x0xx	400	963	1.8	100	00	00	183	1510	10.3	20	11	04	3110	3.6	10	19	11	5725	–18.8	11	17	28
21	9	03434	9x0xx	204	965	1.0	100	00	00	206	1510	5.4	42	04	08	3070	0.2	21	07	06	5685	–18.4	20	15	29
22	9	02454	9x0xx	400	967	0.1	100	00	00	222	1540	4.0	55	06	08	3105	0.0	29	05	18	5700	–19.2	27	07	15
23	8	18102	862xx	801	968	–1.0	100	03	02	232	1535	3.1	35	07	08	3115	3.7	14	07	14	5745	–17.3	15	07	15
24	8	35102	862xx	608	964	0.5	100	19	05	197	1500	6.3	34	23	09	3075	3.1	10	06	13	5695	–16.8	10	07	22
25	8	40102	863xx	804	965	2.0	100	00	00	206	1505	3.9	15	16	03	3035	–1.6	41	17	08	5675	–17.5	14	16	10
26	8	12102	861xx	806	962	0.7	100	00	00	178	1495	6.4	42	22	12	3065	–2.3	44	22	11	5685	–16.3	10	24	02
27	8	20102	867xx	608	959	2.3	100	20	02	154	1465	4.6	57	20	05	3020	–5.7	64	20	22	5585	–20.4	100	22	48
28	8	18102	867xx	804	962	5.6	100	00	00	172	1500	2.3	91	28	09	3035	–7.3	98	22	33	5580	–24.2	17	23	40
29	8	15102	861xx	708	954	5.3	100	00	00	103	1425	4.4	76	21	12	2980	–6.1	100	22	33	5535	–23.6	93	22	38
30	8	18104	860xx	713	941	3.2	100	16	02	511	1310	3.4	75	21	07	2875	–4.5	58	17	28	5430	–22.9	69	19	37
Moyen					—	3.5	97	—	—	140	1454	1.4	—	—	—	3001	–5.0	—	—	—	5566	–21.8	—	—	—

niveaux standard

00.00 h

400 mb					300 mb					200 mb				150 mb				100 mb				Tropopause		
H	t	Hum	dd	ff	H	t	Hum	dd	ff	H	t	dd	ff	H	t	dd	ff	H	t	dd	ff	H	p	t
6980	–41.0	48	36	72	—	—	—	—	—	—	—	—	—	—	—	—	—	—	—	—	—	—	—	—
7275	–31.0	42	01	55	9250	–46.8	—	01	66	11860	–58.0	02	65	13660	–59.0	01	60	16170	–63.5	36	50	11640	207	–58.0
7305	–30.0	42	36	38	9290	–45.6	—	35	44	11890	–60.8	35	33	13670	–61.0	35	28	16160	–64.3	34	17	12480	182	–63.0
7220	–33.1	53	30	05	9200	–46.0	—	28	16	11790	–61.0	28	28	13570	–61.2	29	22	16080	–63.2	29	12	12080	191	–61.2
7135	–34.9	100	28	39	9080	–48.8	—	28	44	11690	–53.5	28	46	13530	–54.4	29	35	16120	–58.2	29	22	10550	239	–55.1
6970	–43.1	64	35	15	8870	–49.7	—	33	17	11540	–47.0	34	26	13430	–50.6	34	16	16050	–54.0	33	17	8530	316	–50.2
7055	–37.5	36	06	18	8970	–54.0	—	06	14	11590	–49.3	33	03	13480	–51.4	34	08	16080	–53.5	33	08	9510	276	–54.9
7145	–37.1	60	03	17	9055	–52.5	—	03	18	11620	–59.1	02	25	13440	–55.9	01	17	16000	–57.3	35	11	11110	217	–60.8
7220	–31.0	21	02	33	9200	–47.8	—	01	38	11770	–59.4	01	33	13590	–55.7	01	28	16160	–57.5	01	22	11420	212	–60.7
7190	–30.0	100	31	22	9170	–44.4	—	30	27	11770	–62.8	31	28	13530	–62.2	30	17	16000	–62.2	30	15	11930	195	–63.7
7030	–38.4	92	24	33	8950	–49.2	—	24	43	11585	–53.4	25	33	13420	–52.3	25	35	16050	–53.6	25	27	10510	236	–53.4
6970	–40.4	67	26	34	8880	–55.4	—	26	49	11495	–50.4	25	34	13360	–52.0	25	32	16000	–52.2	26	12	9350	279	–56.7
7070	–32.2	88	19	44	9020	–50.3	—	19	50	11600	–55.9	30	27	13430	–55.6	31	23	16000	–54.1	32	09	10460	240	–56.2
7170	–32.0	10	26	35	9140	–47.0	—	26	48	11730	–60.1	27	58	13540	–54.2	26	38	16120	–57.7	26	28	11280	215	–60.1
6985	–36.9	100	—	—	8930	–47.4	—	22	94	11585	–48.6	22	72	13465	–53.2	24	40	16065	–54.2	24	27	10530	256	–51.0
6885	–41.7	95	16	07	8780	–49.8	—	22	17	11450	–49.3	22	22	13335	–49.8	23	26	15960	–53.7	23	30	8300	323	–50.1
7065	–33.1	100	26	52	9035	–47.0	—	27	72	11610	–60.7	27	66	13420	–57.9	26	47	15980	–56.8	26	16	11050	219	–61.0
7095	–32.2	76	21	44	9055	–50.9	—	21	05	11605	–65.6	21	82	13380	–59.2	21	47	15925	–58.7	21	26	11720	196	–66.1
7185	–34.7	43	23	30	9140	–49.8	—	24	52	11705	–61.3	25	44	13490	–61.3	24	39	16050	–55.5	23	28	11610	203	–61.7
7325	–31.7	10	20	20	9290	–49.7	—	19	26	11825	–67.3	28	14	13550	–66.2	27	18	16030	–62.9	26	17	12330	184	–69.0
7305	–33.4	24	15	44	9265	–49.9	—	16	32	11820	–65.2	16	05	13575	–63.3	29	04	16060	–64.4	18	04	11820	200	–65.2
7310	–32.4	24	14	17	9280	–49.0	—	15	22	11830	–64.9	15	05	13570	–66.2	27	02	16040	–65.2	30	12	12660	174	–66.4
7330	–32.0	28	05	18	9280	–49.3	—	03	16	11840	–64.0	08	17	13610	–64.4	02	35	16080	–64.6	02	38	12000	195	–64.4
7315	–31.5	10	08	30	9280	–47.3	—	09	50	11850	–63.0	08	57	13630	–66.3	08	44	16080	–65.8	36	22	11670	206	–63.2
7215	–35.0	60	10	20	9160	–50.3	—	11	32	11740	–56.7	07	20	13550	–60.2	06	11	16050	–65.1	05	07	10400	247	–57.7
7280	–33.4	10	07	11	9230	–49.1	—	01	12	—	—	—	—	—	—	—	—	—	—	—	—	—	—	—
7270	–27.3	81	24	36	9270	–43.1	—	26	50	11860	–66.0	27	55	13590	–63.0	26	60	16100	–65.1	24	44	12430	182	–67.7
7175	–37.6	10	25	49	9100	–49.0	—	24	80	11700	–58.8	24	70	13480	–61.0	23	66	16000	–63.5	24	60	11090	220	–59.6
7130	–37.9	86	25	49	9070	–47.3	—	27	32	11670	–58.8	28	21	13460	–62.0	28	25	15960	–63.3	27	25	14160	134	–63.2
7080	–36.2	88	21	32	9000	–52.6	—	21	39	11595	–56.0	21	32	13400	–57.9	21	22	15930	–61.8	21	11	10700	230	–57.2
7156	–34.6	56	—	—	9112	–48.9	—	—	—	11701	–58.5	—	—	13506	–58.5	—	—	16046	–59.7	—	—	—	—	—

12.00 h

7155	–31.6	10	02	93	9140	–45.4	—	02	99	11760	–55.5	01	128	13590	–57.4	01	28	16130	–61.8	36	35	11360	213	–56.5
7330	–29.3	75	01	44	9330	–44.9	—	01	45	11940	–60.7	01	50	13715	–59.9	01	49	16230	–63.4	36	30	13100	166	–62.4
7300	–27.3	16	36	22	9315	–43.0	—	35	35	11920	–62.2	33	28	13690	–64.9	11	17	16180	–64.5	11	15	14000	142	–65.4
7270	–33.0	48	25	20	9230	–44.3	—	25	28	11860	–58.6	26	43	13650	–60.2	27	22	16200	–59.7	28	12	14320	135	–60.5
6970	–42.2	96	28	08	8890	–45.1	—	29	13	11590	–47.0	31	23	13480	–48.8	31	23	16120	–53.5	32	15	11900	191	–47.6
7030	–37.8	68	11	28	8970	–48.9	—	10	26	11650	–45.8	33	07	13545	–49.0	31	11	16180	–52.2	31	10	9560	274	–48.9
7090	–37.7	33	04	18	9000	–52.8	—	05	20	11590	–56.0	36	10	13430	–53.6	34	10	16000	–55.0	32	12	10570	235	–57.4
7215	–33.0	69	02	38	9175	–46.6	—	03	30	11780	–57.3	03	38	13600	–55.8	01	23	16200	–54.3	01	20	11180	220	–58.9
7210	–31.5	10	35	33	9200	–45.0	—	36	50	11790	–61.6	01	68	13570	–61.7	35	35	16100	–59.8	35	33	12200	180	–62.8
7120	–32.7	32	25	46	9090	–45.8	—	24	44	11700	–59.1	25	72	13510	–56.8	25	44	16070	–58.2	26	33	11380	210	–59.2
6940	–41.2	42	26	38	8850	–51.0	—	26	36	11465	–53.0	25	46	13330	–51.8	26	35	15950	–52.3	26	28	10440	234	–54.1
6960	–40.7	—	22	40	8850	–55.8	—	23	66	11430	–54.3	24	38	13265	–55.0	26	17	15875	–54.1	26	15	9270	281	–58.2
7140	–32.1	12	30	11	9120	–46.9	—	33	18	11740	–58.3	30	25	13550	–55.7	30	35	16130	–55.2	29	36	12350	181	–60.0
7070	–34.5	100	21	48	9025	–47.7	—	23	66	11625	–55.9	23	66	13460	–57.4	24	54	16050	–55.3	24	38	10790	228	–56.3
6975	–36.0	59	18	60	8915	–50.2	—	22	72	11560	–49.3	22	50	13450	–47.5	22	50	16085	–55.0	22	23	9150	289	–51.3
6960	–41.2	37	29	38	8870	–51.5	—	29	60	11510	–51.2	27	28	13360	–53.7	26	28	15960	–56.0	25	16	8950	296	–51.7
7125	–30.5	100	24	33	9105	–47.5	—	24	54	11660	–65.4	24	70	13420	–61.3	25	33	15970	–58.2	23	33	12000	188	–65.6
7115	–35.5	87	21	60	9006	–48.8	—	19	49	11670	–53.0	21	52	13520	–55.7	21	38	16100	–53.5	22	27	10450	242	–54.8
7240	–33.6	23	26	28	9200	–48.7	—	31	44	11760	–64.5	27	33	13520	–62.1	24	29	16070	–57.0	26	29	12580	175	–65.3
7340	–32.3	10	16	44	9310	–48.4	—	15	23	11870	–65.1	14	11	13600	–66.2	25	07	16080	–64.1	26	08	12700	174	–69.6
7305	–31.1	20	15	34	9270	–48.2	—	17	42	11830	–66.9	16	09	13570	–64.2	26	14	16050	–61.8	27	16	12300	185	–67.6
7320	–31.3	22	08	16	9280	–49.4	—	07	06	11820	–67.1	34	05	13570	–66.5	35	22	16020	–65.6	35	23	11820	200	–67.1
7370	–31.5	16	06	27	9350	–46.4	—	06	33	11945	–60.1	05	45	13710	–62.5	04	28	16220	–62.1	04	28	13130	165	–63.9
7340	–28.8	10	07	33	9340	–43.2	—	07	40	—	—	—	—	—	—	—	—	—	—	—	—	—	—	—
7315	–30.5	13	15	22	9280	–48.0	—	15	17	11860	–61.5	04	09	13650	–60.2	03	09	16160	–64.1	35	08	11740	204	–61.9
7320	–28.8	10	29	04	9320	–43.2	—	32	18	11920	–66.7	31	33	13660	–61.7	31	38	—	—	—	—	11920	200	–66.7
7200	–29.9	99	23	50	9205	–44.8	—	23	65	11780	–67.6	23	76	13505	–64.9	24	49	16000	–65.3	24	37	12240	185	–69.9
7165	–36.2	61	23	45	9110	–51.1	—	23	57	11650	–60.4	24	62	13450	–60.2	23	55	16000	–61.5	26	22	10810	229	–60.7
7120	–36.0	65	22	45	9055	–50.9	—	22	39	11675	–58.8	22	12	13450	–61.9	23	10	15930	–65.2	25	11	9280	290	–52.2
7030	–35.3	70	20	44	8950	–53.6	—	20	58	11510	–56.7	19	68	13340	–55.6	19	68	15920	–58.0	20	23	10090	250	–62.0
7168	–33.8	—	—	—	9125	–47.9	—	—	—	11719	–58.6	—	—	13523	–58.4	—	—	16071	–58.8	—	—	—	—	—

Observations aux

Décembre 1959

Jour	Données synoptiques en surface (Code SYNOP)				Surface 491 m					1000 mb	850 mb					700 mb					500 mb				
	N	VVwwW	NhClhCmCh	app	P	t	Hum	dd	ff	H	H	t	Hum	dd	ff	H	t	Hum	dd	ff	H	t	Hum	dd	ff
1	8	03454	860xx	729	930	2.0	100	00	00	592	1215	1.4	100	18	12	2775	–4.2	63	18	33	5325	–26.1	71	18	26
2	8	03472	860xx	221	938	1.0	100	00	00	525	1285	4.5	51	16	05	2855	–3.6	42	10	08	5415	–22.9	78	13	20
3	8	70022	856xx	106	952	3.5	90	00	00	089	1415	0.1	98	25	08	2955	–3.9	65	25	05	5550	–19.3	14	25	16
4	8	55632	855xx	711	946	1.3	100	18	02	049	1355	0.2	100	24	25	2895	–7.1	100	24	23	5440	–24.7	100	24	24
5	8	57026	855xx	105	951	1.4	100	20	05	090	1395	–1.7	100	32	07	2905	–13.2	94	32	12	5400	–29.0	100	19	07
6	0	67010	00900	400	955	–1.7	100	00	00	124	1425	–3.0	100	13	13	2930	–10.9	47	36	09	5450	–26.3	44	25	12
7	0	60000	00900	718	949	–3.6	100	07	02	075	1360	–1.9	90	23	17	2900	–6.6	10	19	11	5450	–22.9	10	34	10
8	8	55032	8097x	805	941	0.4	100	00	00	001	1315	0.1	100	19	06	2860	–6.7	100	19	26	5410	–23.8	100	20	24
9	8	76912	885xx	226	949	3.2	100	22	08	063	1375	–1.7	100	25	27	2890	–12.3	100	25	12	5375	–30.3	100	17	08
10	3	20110	35500	708	950	–1.7	100	00	00	078	1385	2.1	69	13	08	2930	–4.9	64	21	25	5500	–21.5	63	22	25
11	8	55022	885xx	727	941	0.0	100	10	03	001	1310	7.0	56	14	10	2885	–3.5	59	14	17	5450	–23.0	87	17	48
12	8	18104	80901	214	949	–0.2	100	00	00	069	1380	1.1	92	08	06	2915	–8.6	68	17	11	5430	–27.5	92	17	23
13	7	40022	76430	210	957	0.3	100	04	12	139	1435	0.8	95	06	22	2985	–5.9	72	07	30	5535	–25.6	60	08	16
14	8	54022	864xx	205	963	0.4	100	09	05	188	1485	–5.8	100	04	06	3000	–8.8	79	03	16	5545	–24.0	21	03	22
15	8	57022	864xx	715	957	–1.2	80	00	00	139	1425	–3.9	80	23	16	2960	–5.8	15	13	04	5510	–23.6	10	10	22
16	0	57020	00900	400	958	–4.4	100	00	00	153	1445	–1.0	96	23	17	2970	–8.9	26	21	11	5515	–23.3	23	18	16
17	0	43020	00900	210	962	–5.0	100	00	00	186	1475	–1.1	97	24	33	3000	–8.0	71	24	22	5550	–23.2	28	30	11
18	8	80022	865xx	818	958	5.6	80	22	10	140	1470	2.3	75	23	40	3015	–6.3	58	26	28	5565	–23.4	100	28	28
19	8	71022	85400	400	961	2.2	100	24	06	172	1475	–3.3	84	25	09	2980	–13.1	100	32	16	5460	–31.3	83	34	27
20	8	57022	865xx	400	966	3.2	90	21	09	208	1520	–1.1	52	25	15	3060	–4.9	100	33	26	5625	–20.3	90	35	37
21	8	65602	856xx	715	951	7.0	86	22	07	080	1415	2.4	97	24	30	2960	–4.4	100	24	39	5550	–19.3	100	25	53
22	8	65606	855xx	204	946	1.4	90	00	00	047	1350	–3.2	96	28	03	2855	–13.0	100	29	07	5340	–31.2	96	27	10
23	7	70031	757xx	715	949	2.2	95	20	08	066	1375	2.2	39	23	37	2935	–3.6	97	36	44	5505	–21.9	85	29	47
24	8	65616	872xx	205	942	2.1	100	00	00	013	1325	–0.7	100	24	11	2850	–7.9	87	25	28	5385	–25.2	82	24	50
25	8	65602	872xx	217	946	3.4	100	22	12	040	1355	–1.7	100	26	28	2875	–10.5	100	30	29	5380	–28.7	100	30	30
26	8	65606	853xx	801	953	4.2	91	23	09	102	1425	0.3	98	23	39	2980	–2.7	98	27	45	5560	–21.9	79	28	55
27	8	70606	855xx	801	951	7.8	100	21	13	072	1405	2.0	100	26	34	2935	–7.3	100	24	45	5500	–22.4	100	26	40
28	8	65606	855xx	206	944	5.9	88	25	13	023	1335	–1.0	98	24	39	2865	–10.6	100	27	45	5360	–30.2	100	28	40
29	8	69636	875xx	236	955	4.0	100	22	11	111	1430	–1.2	100	27	33	2955	–10.6	100	32	31	5450	–29.9	100	32	42
30	8	60606	875xx	711	960	3.0	100	23	06	161	1475	–0.2	100	26	30	3030	–2.3	100	31	32	5630	–19.3	35	32	52
31	3	80010	3xxxx	108	969	4.9	100	21	03	234	1570	3.0	98	32	08	3130	–1.5	64	33	30	5730	–17.2	13	33	45
Moyen					—	1.7	96	—	—	090	1400	–0.1	—	—	—	2937	–7.1	—	—	—	5480	–24.5	—	—	—

Décembre 1959

1	8	14104	860xx	400	930	2.5	100	06	04	608	1215	–1.0	100	13	13	2780	–2.3	29	16	13	5350	–22.3	94	21	23
2	8	18104	860xx	214	946	3.2	100	00	00	037	1340	2.8	69	27	04	2915	–2.1	45	16	07	5505	–19.0	12	15	08
3	8	56104	864xx	810	951	4.0	100	00	00	082	1400	1.0	88	24	07	3000	–1.6	59	24	16	5580	–15.9	10	28	17
4	8	70022	8097x	804	950	3.8	92	20	07	071	1385	–2.5	92	25	15	2890	–13.4	99	30	18	5375	–30.8	57	30	15
5	8	66022	854xx	400	954	1.7	95	00	00	116	1420	–2.0	100	31	05	2935	–12.5	100	01	16	5455	–23.8	100	20	08
6	2	60020	25500	712	954	2.2	100	00	00	110	1405	–1.1	98	17	04	2930	–7.2	43	14	03	5470	–25.1	26	32	08
7	8	20022	862xx	707	943	–0.3	100	00	00	020	1325	0.3	100	17	11	2860	–8.4	100	23	40	5395	–24.4	100	22	18
8	8	38606	873xx	210	942	2.7	100	00	00	002	1320	–3.6	100	25	16	2830	–12.9	100	25	07	5310	–30.3	100	17	08
9	3	70031	35400	704	953	4.8	100	00	00	098	1405	–2.0	95	22	13	2920	–10.5	45	21	13	5425	–29.0	62	28	22
10	8	20102	5541x	704	947	0.3	90	00	00	054	1370	4.4	60	14	05	2935	–3.1	43	18	22	5510	–22.1	80	22	29
11	4	40101	15410	400	944	4.0	100	00	00	020	1340	3.2	100	00	00	2890	–5.5	92	17	18	5435	–27.5	83	18	15
12	4	18102	36140	210	954	1.0	100	00	00	114	1425	0.4	95	05	08	2965	–6.4	63	08	14	5500	–26.0	100	16	18
13	8	42022	863xx	208	961	0.4	100	04	10	172	1470	–1.7	80	06	13	3000	–7.9	47	03	22	5535	–25.2	24	03	24
14	8	56102	865xx	703	961	0.3	83	06	05	173	1465	–7.5	92	07	08	3000	–6.8	10	04	19	5545	–22.8	10	06	25
15	8	45102	864xx	104	957	–0.9	90	20	03	140	1435	0.7	45	18	02	2965	–6.2	26	15	13	5545	–21.0	23	14	23
16	8	08434	861xx	001	959	–2.4	100	00	00	153	1445	–0.3	75	24	15	3000	–5.1	33	24	12	5535	–21.2	28	23	16
17	5	45101	55700	806	963	0.4	90	00	00	188	1515	2.2	80	24	25	3050	–2.6	78	25	32	5665	–15.3	10	02	11
18	8	56606	873xx	601	957	4.7	91	24	08	130	1435	–1.9	97	27	27	2960	–11.8	95	27	28	5450	–29.7	82	24	38
19	3	70011	38500	107	966	4.4	100	22	07	209	1515	–2.0	97	28	07	3030	–12.8	97	33	09	5560	–20.7	45	36	70
20	7	78022	55440	724	961	6.2	74	21	08	166	1495	4.4	84	22	24	3070	–2.6	100	26	22	5660	–19.2	81	30	27
21	7	65152	695xx	706	947	6.8	95	26	13	047	1375	–0.1	100	25	26	2900	–10.2	80	24	30	5400	–29.6	73	25	35
22	5	70012	38440	106	952	5.3	100	22	08	092	1400	–2.4	100	24	13	2920	–11.7	72	30	07	5400	–27.4	22	34	55
23	8	70216	6742x	805	945	5.9	100	24	10	031	1355	2.5	100	24	34	2910	–5.2	72	25	52	5470	–22.2	100	25	62
24	6	70022	65440	108	944	4.9	100	21	08	016	1335	–0.7	98	26	18	2860	–11.3	94	26	15	5355	–29.8	28	24	20
25	6	70012	68500	114	955	5.2	90	20	11	118	1435	–1.7	100	24	22	2950	–12.2	100	29	22	5475	–23.0	30	31	42
26	8	70606	4561x	011	953	9.8	95	23	12	086	1435	5.1	95	25	35	3000	–4.5	68	28	55	5570	–20.0	96	27	54
27	2	70011	25640	814	948	9.0	70	21	08	048	1395	2.6	76	23	28	2925	–9.3	72	24	31	5455	–25.8	42	26	48
28	7	70216	6731x	107	947	4.1	100	24	15	046	1365	–1.1	94	26	41	2875	–11.1	80	28	52	5380	–29.2	96	31	40
29	8	70022	864xx	213	964	4.7	95	21	10	192	1505	–2.9	100	27	15	3010	–13.0	100	29	13	5530	24.2	10	35	58
30	8	60022	8531x	228	965	8.3	90	23	16	196	1530	2.6	88	24	26	3070	–3.4	33	29	24	5675	–17.0	57	32	60
31	9	01454	9x0xx	806	967	3.0	100	00	00	217	1545	8.7	30	12	02	3125	–0.4	22	05	18	5750	–14.2	19	34	26
Moyen					—	3.5	95	—	—	098	1413	0.1	—	—	—	2951	–7.5	—	—	—	5492	–23.7	—	—	—

niveaux standard

00.00 h

400 mb					300 mb					200 mb				150 mb				100 mb				Tropopause		
H	t	Hum	dd	ff	H	t	Hum	dd	ff	H	t	dd	ff	H	t	dd	ff	H	t	dd	ff	H	p	t
6900	–39.2	71	18	30	8790	–55.3	—	18	42	11340	–56.2	18	50	13180	–55.5	20	18	15730	–58.6	22	20	9620	263	–61.9
7010	–33.9	87	12	18	8970	–49.9	—	12	25	11535	–58.4	10	07	13310	–56.5	06	07	15910	–57.8	36	10	10850	223	–63.9
7160	–32.0	10	26	15	9140	–46.0	—	34	28	11790	–55.3	36	50	13600	–60.2	36	50	16110	–64.8	36	32	9650	278	–48.9
7030	–35.0	97	23	38	9000	–44.5	—	22	48	11670	–46.4	22	38	13585	–48.0	24	33	16200	–56.1	24	38	10000	259	–49.9
6965	–37.2	100	16	29	8885	–53.8	—	17	33	11520	–49.8	24	18	13380	–51.2	24	23	16000	–54.4	25	14	9340	279	–55.5
7030	–37.1	55	20	33	8960	–51.3	—	21	22	11590	–51.9	33	21	13450	–52.3	32	20	16055	–55.3	28	07	9290	281	–52.4
7045	–33.8	41	33	30	9030	–44.3	—	32	50	11630	–64.6	32	28	13400	–59.0	33	28	15940	–59.5	31	14	11720	197	–65.5
7000	–36.4	100	20	33	8925	–51.5	—	19	40	11540	–51.6	22	24	13410	–51.9	25	20	16010	–55.2	23	09	10530	234	–53.9
6920	–43.0	100	16	08	8810	–50.0	—	25	14	11490	–47.1	25	17	13380	–48.5	25	18	16000	–54.8	25	20	8710	305	–50.3
7105	–33.3	64	24	28	9070	–46.8	—	27	45	11665	–60.0	25	10	13470	–56.0	25	40	16070	–54.2	24	27	12920	180	–62.1
7055	–34.0	84	17	34	9000	–48.0	—	14	33	11580	–58.0	22	36	13420	–57.1	18	08	16000	–58.5	22	11	11070	217	–61.0
6990	–41.3	87	19	20	8885	–50.3	—	20	33	11510	–53.3	20	29	13350	–54.5	21	11	15940	–56.0	24	10	8120	338	–50.6
7095	–42.8	62	11	13	8980	–55.7	—	13	12	11560	–54.0	00	00	13400	–55.3	02	08	15970	–55.0	20	15	9410	280	–56.7
7135	–34.8	21	02	20	9085	–47.9	—	02	25	11710	–54.3	01	30	13550	–53.0	36	12	16150	–54.8	28	14	11280	214	–55.4
7100	–34.9	10	09	27	—	—	—	—	—	—	—	—	—	—	—	—	—	—	—	—	—	—	—	—
7105	–36.0	24	20	16	9040	–50.7	—	20	14	11590	–62.3	22	18	13390	–59.3	24	17	15930	–57.8	24	34	11350	208	–62.4
7150	–35.4	32	33	12	9090	–47.5	—	34	17	11700	–58.2	35	28	13480	–62.9	36	22	15970	–61.6	33	18	11140	218	–58.2
7160	–34.3	96	25	33	9110	–49.0	—	23	38	11660	–67.6	23	38	13390	–66.6	24	30	15860	–65.8	27	28	11830	194	–68.6
7000	–41.8	67	36	22	8920	–49.2	—	36	43	11540	–54.8	34	38	13360	–57.4	34	26	15920	–58.2	32	28	11240	209	–55.2
7235	–32.7	66	35	39	9200	–49.2	—	34	49	11740	–67.5	34	55	13480	–64.0	31	50	15960	–64.6	32	28	11650	203	–67.9
7165	–31.2	100	24	52	9135	–49.2	—	24	44	11690	–62.7	25	38	13470	–57.6	28	33	16000	–60.6	27	20	10860	229	–63.6
6875	–45.0	84	27	27	8760	–49.3	—	30	38	11435	–49.0	29	39	13300	–53.4	29	34	15900	–57.9	29	33	7740	351	–51.9
7100	–33.3	81	28	55	9050	–50.0	—	29	65	11610	–59.4	30	82	13450	–56.2	29	85	16000	–61.8	29	55	11050	219	–62.0
6950	–39.3	84	24	40	8860	–55.5	—	24	68	11425	–53.4	24	72	13290	–53.3	24	61	15870	–58.5	25	60	9410	275	–59.5
6930	–41.5	100	31	33	8830	–53.4	—	30	30	11450	–52.9	29	35	13310	–54.5	28	43	15910	–55.8	27	49	9150	286	–54.0
7170	–31.1	89	29	53	9150	–46.2	—	29	62	11715	–68.1	30	60	13430	–69.7	29	52	15875	–66.4	29	70	11920	193	–69.6
7105	–33.8	95	27	53	9090	–45.2	—	27	59	11690	–62.2	27	50	13450	–63.7	26	40	15970	–60.9	26	58	12560	174	–65.3
6915	–44.2	94	28	22	8770	–58.7	—	28	47	11340	–56.0	27	58	13130	–60.5	27	70	15620	–65.2	27	60	9220	279	–59.2
7000	–41.9	97	32	32	8900	–53.3	—	34	62	11490	–56.1	35	48	13300	–60.6	—	—	15820	–62.8	—	—	8960	297	–53.4
7250	–30.4	15	33	55	9230	–44.9	—	33	91	11840	–62.3	32	108	13590	–67.4	33	90	16030	–69.4	33	76	12800	171	–67.0
7375	–29.2	10	33	46	9360	–43.9	—	33	62	11960	–63.5	32	67	13690	–68.9	32	58	16090	–72.0	31	36	14540	130	–71.9
7065	–36.4	—	—	—	9001	–49.7	—	—	—	11600	–57.2	—	—	13414	–57.9	—	—	15960	–59.7	—	—	—	—	—

12.00 h

6955	–33.5	83	20	40	8900	–50.5	—	23	50	11440	–60.0	23	28	13260	–55.6	19	18	15830	–57.7	21	20	10940	217	–65.8
7115	–35.4	35	11	11	9040	–54.1	—	04	11	11590	–60.1	01	42	13390	–60.8	02	35	15880	–65.3	01	11	10430	241	–60.5
7240	–25.0	10	28	35	9250	–39.6	—	29	45	11910	–54.1	30	33	13750	–58.5	31	44	16270	–62.2	31	33	11590	210	–56.0
6940	–37.4	97	18	33	8860	–48.4	—	20	30	11550	–45.1	24	25	13460	–48.5	24	28	16090	–55.3	26	22	8450	319	–50.3
7040	–37.4	100	16	22	8950	–55.6	—	16	28	11570	–49.1	25	13	13440	–52.1	25	11	16060	–52.3	29	16	9380	280	–56.4
7050	–39.0	26	36	38	8965	–50.3	—	34	69	11580	–56.8	34	28	13400	–57.9	34	15	15940	–59.5	33	10	11750	195	–57.6
6985	–34.1	100	21	22	8940	–48.4	—	20	25	11550	–56.8	21	30	13370	–56.9	23	33	15950	–55.8	27	08	11880	190	–57.4
6850	–42.5	100	16	20	8760	–49.4	—	16	25	11420	–48.1	21	22	13310	–49.9	25	15	15930	–54.2	27	10	8000	337	–50.0
6975	–42.2	63	30	33	8880	–51.9	—	28	50	11510	–51.5	27	33	13380	–52.2	25	28	15980	–55.0	24	22	9280	282	–52.4
7120	–31.0	83	20	28	9100	–47.7	—	21	33	11660	–63.6	22	33	13440	–58.5	22	33	16030	–55.6	23	24	11880	193	–64.5
6995	–39.1	90	09	33	8930	–46.7	—	08	60	11590	–52.5	19	18	13430	–54.8	20	22	16030	–56.0	24	16	9820	262	–48.3
7080	–37.2	87	20	33	9000	–47.0	—	19	17	11680	–50.2	18	11	13550	–51.1	26	17	16200	–47.2	25	11	8400	329	–47.8
7110	–35.8	20	02	04	9040	–52.7	—	15	20	11630	–53.0	01	12	13490	–52.8	34	08	16100	–53.1	33	11	9740	269	–57.0
7155	–32.2	10	05	39	9135	–47.4	—	05	44	11705	–60.7	03	22	13515	–55.2	01	11	16100	–55.3	27	15	11350	212	–61.2
7145	–33.8	24	13	17	9100	–49.1	—	13	16	11660	–61.8	13	03	13480	–55.6	25	15	16085	–54.6	24	28	12050	188	–61.9
7145	–34.0	28	21	33	9100	–49.1	—	21	32	11670	–60.2	22	07	13480	–57.3	31	12	16000	–58.0	20	17	11590	203	–60.6
7205	–26.9	24	01	18	9335	–41.8	—	02	28	11970	–58.8	01	45	13740	–63.0	36	22	16240	–63.1	34	09	13420	158	–64.2
7000	–40.4	75	22	43	8940	–46.7	—	20	50	11610	–50.6	25	37	13475	–56.8	26	38	16050	–56.5	27	22	10000	255	–49.1
7175	–31.4	48	36	70	9140	–46.2	—	36	50	11750	–59.2	36	69	13560	–56.5	35	50	16090	–57.6	34	22	12000	193	–59.8
7270	–32.6	90	29	28	9230	–48.7	—	29	44	11770	–68.3	29	44	13510	–68.9	29	55	—	—	—	—	11650	204	–69.3
6940	–42.6	73	25	52	8830	–50.2	—	25	48	11455	–58.0	26	48	13320	–56.1	26	37	15880	–55.6	27	27	11370	203	–53.1
7060	–36.7	33	34	50	8920	–50.1	—	33	72	11540	–54.7	31	62	13380	–55.3	32	54	15930	–62.5	31	40	10700	228	–54.7
7060	–35.4	99	26	70	9000	–49.3	—	26	68	11580	–57.5	26	82	13430	–51.3	26	70	16000	–61.3	26	55	10380	242	–58.6
6910	–40.9	32	20	50	8810	–52.8	—	20	48	11420	–54.1	25	35	13260	–55.2	25	49	15850	–55.2	25	48	9610	265	–54.4
7070	–34.8	30	32	61	9020	–49.0	—	33	90	11585	–60.9	32	40	13090	–60.1	31	38	15920	–63.3	29	22	11740	195	–61.0
7180	–31.2	96	27	54	9170	–44.7	—	28	57	11780	–59.7	28	43	13540	–67.8	29	40	16050	–58.5	28	33	13420	153	–68.3
7035	–38.3	63	26	43	8960	–50.8	—	27	54	11540	–60.0	27	98	13350	–58.2	26	60	15890	–61.7	25	55	11540	200	–60.0
6925	–42.6	84	31	41	8820	–54.3	—	31	50	11400	–56.4	30	48	13220	–57.8	30	50	15750	–63.3	30	42	10640	225	–57.0
7135	–29.5	76	34	72	9130	–44.6	—	34	120	11720	–62.9	34	70	13480	–67.1	34	70	15940	–69.6	34	58	12200	185	–64.4
7075	–30.8	51	34	40	9280	–47.2	—	33	70	11840	–66.6	33	45	13550	–66.9	32	45	16000	–71.6	32	44	12950	166	–71.6
7100	–27.8	47	32	37	9400	–45.0	—	31	40	11990	–65.0	31	49	13720	–66.7	32	40	16140	–69.0	33	33	12840	174	–68.2
7084	–35.3	—	—	—	9031	–48.7	—	—	—	11634	–57.1	—	—	13444	–57.6	—	—	16007	–58.9	—	—	—	—	—

Observations aux

Janvier 1959 — 00.00 h — Février 1959 — 00.00 h

Jour	70 mb				50 mb				30 mb				70 mb				50 mb				30 mb			
	H	t	dd	ff	H	t	dd	ff	H	t	dd	ff	H	t	dd	ff	H	t	dd	ff	H	t	dd	ff
1	18240	–62.1	26	53	20310	–62.8	26	45	—	—	—	—	18450	–53.2	34	10	20600	–52.6	35	05	—	—	—	—
2	18250	–58.4	27	45	20375	–59.5	28	40	—	—	—	—	18450	–54.0	36	12	20610	–54.8	33	06	—	—	—	—
3	18085	–54.8	26	48	20215	–59.4	26	30	—	—	—	—	18220	–58.9	00	00	20320	–59.0	00	00	—	—	—	—
4	—	—	—	—	—	—	—	—	—	—	—	—	18240	–58.6	30	07	20350	–59.0	30	05	—	—	—	—
5	18050	–59.0	—	—	20210	–57.0	—	—	—	—	—	—	18430	–58.6	31	11	20550	–56.8	32	12	—	—	—	—
6	18180	–61.3	31	28	20270	–60.0	29	35	—	—	—	—	18370	–57.0	31	15	20500	–57.0	30	16	—	—	—	—
7	18230	–59.9	29	58	20330	–61.6	29	24	—	—	—	—	18420	–55.5	29	22	20560	–56.3	30	22	—	—	—	—
8	18440	–49.0	29	44	20590	–59.2	29	48	—	—	—	—	18305	–55.5	30	05	20460	–54.7	31	12	—	—	—	—
9	18240	–56.6	33	27	20380	–56.8	32	22	—	—	—	—	—	—	—	—	—	—	—	—	—	—	—	—
10	18310	–51.9	33	22	20480	–55.0	32	15	—	—	—	—	18340	–56.4	34	02	20480	–56.0	34	05	—	—	—	—
11	18280	–53.0	29	35	20460	–53.0	29	33	—	—	—	—	18220	–58.3	35	10	20350	–57.5	35	09	—	—	—	—
12	18140	–52.6	28	46	20290	–57.3	28	41	—	—	—	—	18400	–55.8	34	05	20530	–55.9	03	03	—	—	—	—
13	18140	–51.0	31	50	20300	–59.7	29	46	—	—	—	—	18320	–57.9	35	05	20440	57.4	35	03	—	—	—	—
14	18120	–54.4	31	38	20270	–56.5	31	35	—	—	—	—	18480	–55.9	05	03	20620	–55.2	04	02	—	—	—	—
15	18120	–57.6	—	—	20260	–53.6	—	—	—	—	—	—	18470	–56.3	36	08	20620	–55.8	36	08	—	—	—	—
16	18320	–48.5	28	35	20520	–51.2	28	36	—	—	—	—	18560	–57.1	36	15	20690	–55.9	36	12	—	—	—	—
17	18330	–49.6	31	40	20520	–50.0	31	33	—	—	—	—	18480	–59.0	34	15	20600	–57.2	01	25	—	—	—	—
18	18360	–56.9	31	53	20490	–54.7	29	58	—	—	—	—	18220	–62.5	02	27	20300	–60.9	02	16	—	—	—	—
19	18290	–60.4	27	49	20380	–58.1	28	59	—	—	—	—	18410	–57.4	35	10	20540	–56.2	34	10	—	—	—	—
20	18240	–60.7	26	45	20360	–56.2	26	45	—	—	—	—	18430	–58.9	31	16	20550	–56.0	30	20	—	—	—	—
21	18280	–60.7	24	80	20350	–62.0	24	80	—	—	—	—	18130	–63.9	31	55	20180	–65.2	30	55	—	—	—	—
22	18240	–61.2	26	47	20340	–60.2	26	47	—	—	—	—	18130	–70.4	34	35	20140	–66.0	34	33	—	—	—	—
23	18370	–57.3	25	60	20500	–57.0	25	54	—	—	—	—	18190	–72.5	34	55	20180	–72.0	33	50	—	—	—	—
24	18430	–55.4	26	58	20600	–53.9	25	51	—	—	—	—	18360	–69.2	31	39	20370	–67.5	31	44	—	—	—	—
25	18340	–55.1	—	—	—	—	—	—	—	—	—	—	—	—	—	—	—	—	—	—	—	—	—	—
26	18440	–56.7	35	40	20580	–55.7	36	40	—	—	—	—	—	—	—	—	—	—	—	—	—	—	—	—
27	18460	–55.8	03	24	20610	–56.5	04	22	—	—	—	—	—	—	—	—	—	—	—	—	—	—	—	—
28	18510	–57.7	05	17	20650	–53.1	24	20	—	—	—	—	—	—	—	—	—	—	—	—	—	—	—	—
29	18520	–52.9	06	17	20690	–53.0	06	17	—	—	—	—												
30	18480	–53.4	35	18	20640	–53.0	07	30	—	—	—	—												
31	18460	–52.9	03	10	20640	–54.7	10	27	—	—	—	—												
Moyen	18297	–55.9	—	—	20435	–56.6	—	—	—	—	—	—	18358	–59.1	—	—	20468	–58.4	—	—	—	—	—	—

Janvier 1959 — 12.00 h — Février 1959 — 12.00 h

1	—	—	—	—	—	—	—	—	—	—	—	—	18330	–57.4	01	12	20440	–57.3	03	10	—	—	—	—
2	18145	–58.3	27	65	20270	–60.5	27	48	—	—	—	—	18330	–56.4	32	03	20460	–57.2	32	03	—	—	—	—
3	18250	–54.4	30	72	20380	–58.2	30	60	23610	–58.1	—	—	18520	–55.1	23	02	20670	–54.1	23	02	—	—	—	—
4	18160	–57.2	—	—	20290	–56.0	—	—	23520	–60.0	—	—	18415	–57.4	26	05	20530	–60.0	32	07	—	—	—	—
5	18190	–59.8	31	33	20310	–56.0	31	30	—	—	—	—	18510	–57.2	30	08	20630	–57.5	30	14	—	—	—	—
6	18360	–56.4	29	40	20480	–59.3	29	35	—	—	—	—	18390	–57.4	31	16	20510	–57.8	31	15	—	—	—	—
7	18330	–54.2	30	26	20470	–57.7	30	28	23670	–59.0	—	—	18240	–57.7	29	15	20370	–57.3	29	10	—	—	—	—
8	18230	–58.7	28	20	20340	–59.4	30	20	—	—	—	—	18390	–54.4	32	04	20530	–55.3	32	05	—	—	—	—
9	18430	–55.7	32	36	20570	–56.3	32	30	—	—	—	—	18400	–55.5	35	05	20550	–54.4	35	04	—	—	—	—
10	18430	–51.5	29	20	20600	–53.3	28	16	—	—	—	—	18380	–56.2	34	11	20520	–56.9	34	05	—	—	—	—
11	17710	–61.2	28	50	19790	–62.9	28	46	22900	–59.0	—	—	18520	–54.8	33	08	20670	–54.7	33	06	—	—	—	—
12	18110	–53.7	31	59	20240	–58.9	29	35	—	—	—	—	18270	–58.1	31	11	20390	–58.4	02	06	—	—	—	—
13	18170	–54.8	29	50	20300	–59.1	29	52	23540	–52.8	—	—	18460	–56.2	03	08	20600	–56.1	03	05	—	—	—	—
14	18410	–53.3	30	48	—	—	—	—	—	—	—	—	18370	–60.6	02	15	20460	–59.2	01	15	—	—	—	—
15	—	—	—	—	—	—	—	—	—	—	—	—	18460	–62.3	05	17	20540	–60.3	36	10	—	—	—	—
16	18240	–51.3	27	45	20420	–51.9	27	45	23720	–53.7	—	—	18570	–59.2	01	14	20670	–57.7	02	28	—	—	—	—
17	18280	–56.2	28	70	20430	–51.0	27	70	—	—	—	—	18420	–60.3	01	13	20520	–59.7	01	10	—	—	—	—
18	18320	–60.3	28	53	20410	–59.6	28	56	—	—	—	—	—	—	—	—	—	—	—	—	—	—	—	—
19	—	—	—	—	—	—	—	—	—	—	—	—	18490	–58.9	33	17	20610	–57.1	33	07	—	—	—	—
20	18230	–61.2	—	—	20310	–60.0	—	—	—	—	—	—	18390	–60.2	29	50	20480	–61.9	30	44	—	—	—	—
21	18320	–57.5	—	—	20420	–59.9	—	—	23640	–56.7	—	—	18340	–63.2	32	50	—	—	—	—	—	—	—	—
22	18190	–63.3	26	44	20290	–60.6	26	48	23470	–59.7	—	—	18270	–70.5	33	48	20270	–69.0	32	44	—	—	—	—
23	18450	–52.0	—	—	20610	–53.5	—	—	23880	–55.6	—	—	18290	–70.7	32	59	20260	–74.5	32	59	—	—	—	—
24	18350	–57.0	—	—	20530	–45.0	—	—	—	—	—	—	18320	–69.3	29	34	20330	–68.8	32	45	—	—	—	—
25	18250	–57.9	34	38	20380	–56.0	34	32	23620	–52.7	—	—	18450	–61.8	31	15	20525	–62.8	33	25	—	—	—	—
26	18580	–55.2	01	40	20730	–56.4	02	30	24000	–54.0	—	—	18610	–59.9	33	15	20720	–58.1	28	10	—	—	—	—
27	18380	–56.7	05	22	20500	–57.0	05	14	23730	–53.2	—	—	18610	–59.2	30	09	20730	–55.5	30	09	—	—	—	—
28	18610	–55.6	04	22	20750	–53.5	04	10	24040	–53.5	—	—	18605	–55.9	28	02	20740	–56.0	28	02	—	—	—	—
29	18620	–52.2	05	16	20790	–53.2	05	13	—	—	—	—												
30	18570	–52.9	02	12	20740	–53.9	02	11	24020	–52.8	—	—												
31	18400	–54.6	36	16	20550	–54.9	01	12	23820	–51.7	—	—												
Moyen	18311	–56.2	—	—	20441	–56.4	—	—	—	—	—	—	18420	–59.5	—	—	20528	–59.1	—	—	—	—	—	—

niveaux standard

Mars 1959 — 00.00 h — Avril 1959 — 00.00 h

Jour	70 mb				50 mb				30 mb				70 mb				50 mb				30 mb			
	H	t	dd	ff	H	t	dd	ff	H	t	dd	ff	H	t	dd	ff	H	t	dd	ff	H	t	dd	ff
1	18390	–58.3	19	20	20515	–57.8	14	09	23770	–56.7	—	—	18530	–55.1	03	44	20680	–56.1	03	44	23950	–53.4	—	—
2	18530	–57.7	26	02	—	—	—	—	—	—	—	—	18510	–56.8	07	12	20640	–56.4	07	15	—	—	—	—
3	—	—	—	—	—	—	—	—	—	—	—	—	18510	–59.3	03	08	20640	–57.4	06	08	23880	–56.6	—	—
4	18515	–58.7	24	02	20640	–56.7	24	02	—	—	—	—	18420	–60.3	35	08	20520	–58.9	02	06	—	—	—	—
5	18300	–58.1	25	10	20420	–60.1	25	10	—	—	—	—	18420	–60.2	32	05	20550	–57.7	28	03	—	—	—	—
6	18440	–59.5	25	60	20535	–60.0	25	60	23720	–59.4	—	—	18520	–55.2	28	06	20670	–54.8	27	05	—	—	—	—
7	18420	–58.0	23	77	20530	–58.4	23	80	—	—	—	—	18450	–54.4	28	06	20600	–54.5	28	04	—	—	—	—
8	18430	–55.8	25	22	20560	–56.5	27	14	—	—	—	—	18420	–54.4	—	—	20560	–55.6	—	—	23810	–54.2	—	—
9	18390	–53.9	26	20	20530	–58.0	26	20	23790	–54.9	—	—	18260	–56.5	23	22	20390	–56.2	23	22	23620	–56.0	—	—
10	18250	–59.0	28	28	20360	–59.4	28	22	—	—	—	—	18260	–56.0	24	06	20410	–54.2	24	04	23690	–56.4	—	—
11	18290	–58.1	31	30	20420	–58.4	31	25	23610	–59.3	—	—	18350	–53.7	26	16	20500	–55.4	24	12	23780	–55.7	—	—
12	—	—	—	—	—	—	—	—	—	—	—	—	18330	–56.5	24	14	20460	–57.7	22	10	23690	–57.0	—	—
13	18270	–56.4	36	16	20390	–57.4	35	14	—	—	—	—	18450	–56.7	28	07	20570	–56.5	28	05	23820	–56.1	—	—
14	18410	–57.0	36	27	20540	–56.7	36	12	—	—	—	—	18370	–56.1	15	05	20500	–58.0	16	05	—	—	—	—
15	18450	–58.5	35	20	20560	–58.0	36	20	—	—	—	—	18420	–57.1	20	15	20560	–56.7	11	05	23800	–57.0	—	—
16	18400	–58.6	36	33	20500	–58.0	36	35	23740	–58.2	—	—	18480	–54.9	17	05	20630	–55.0	10	04	—	—	—	—
17	18480	–54.8	36	22	20620	–55.2	02	13	—	—	—	—	18470	–53.2	15	05	20630	–54.5	12	07	—	—	—	—
18	18580	–53.8	05	04	20730	–54.4	05	05	—	—	—	—	18550	–53.4	04	16	20710	–53.8	04	08	24000	–55.8	—	—
19	18530	–56.0	06	07	20660	–58.0	06	08	23850	–61.0	—	—	18580	–55.2	36	07	20720	–54.9	01	06	—	—	—	—
20	18440	–58.6	02	07	20550	–58.9	02	05	—	—	—	—	18460	–55.4	33	11	20600	–55.4	33	11	—	—	—	—
21	—	—	—	—	—	—	—	—	—	—	—	—	18510	–54.4	33	08	20670	–53.6	34	06	—	—	—	—
22	18720	–53.5	08	04	20860	–56.0	08	07	24100	–56.0	—	—	18480	–55.7	28	08	20640	–54.6	22	05	23910	–52.8	—	—
23	18590	–56.8	04	07	20700	–57.8	06	04	23930	–56.7	—	—	18470	–54.7	33	17	20620	–54.6	33	12	—	—	—	—
24	18470	–58.1	24	03	20570	–58.0	22	02	—	—	—	—	18300	–56.2	33	12	20440	–55.3	33	06	23700	–55.4	—	—
25	18600	–55.4	23	20	20740	–55.6	23	11	—	—	—	—	18580	–53.7	30	08	20740	–53.1	31	07	24020	–53.1	—	—
26	18490	–56.1	24	09	20630	–56.3	23	07	—	—	—	—	18420	–56.6	27	11	20550	–56.2	27	09	23810	–54.0	—	—
27	18370	–57.5	36	12	20500	–58.0	36	11	23710	–58.3	—	—	18680	–50.6	25	14	—	—	—	—	—	—	—	—
28	18540	–55.7	31	17	20680	–56.7	31	12	23930	–55.8	—	—	18520	–53.6	25	11	—	—	—	—	—	—	—	—
29	18460	–55.3	01	08	20610	–54.4	03	08	23870	–54.6	—	—	18560	–56.1	27	20	20710	–51.9	27	18	24030	–51.2	—	—
30	18420	–54.2	32	05	20580	–54.2	36	07	—	—	—	—	—	—	—	—	—	—	—	—	—	—	—	—
31	18280	–55.8	04	17	20420	–56.8	04	14	—	—	—	—												
Moyen	18445	–56.8	—	—	20569	–57.2	—	—	—	—	—	—	18458	–55.6	—	—	20589	–55.5	—	—	—	—	—	—

Mars 1959 — 12.00 h — Avril 1959 — 12.00 h

1	—	—	—	—	—	—	—	—	—	—	—	—	18520	–58.7	03	22	20640	–57.5	05	22	23870	–56.0	—	—
2	18530	–56.8	20	11	20660	–56.1	18	11	23880	–56.5	—	—	18550	–59.5	05	11	20650	–60.0	06	12	23850	–53.7	—	—
3	18590	–57.2	24	12	20700	–58.6	24	06	23930	–56.3	—	—	18580	–59.9	01	05	20680	–58.0	09	04	23900	–56.5	—	—
4	18550	–57.3	23	30	20670	–56.0	23	30	—	—	—	—	18480	–58.7	10	06	20600	–57.7	10	03	23820	–57.8	—	—
5	18730	–49.7	26	32	20900	–52.3	27	38	—	—	—	—	18360	–59.7	27	03	20470	–58.8	00	00	—	—	—	—
6	18600	–54.2	25	60	20750	–54.8	24	60	24040	–52.5	—	—	—	—	—	—	—	—	—	—	—	—	—	—
7	18470	–54.8	26	28	20610	–56.4	31	33	—	—	—	—	18530	–51.8	—	—	20700	–51.3	—	—	—	—	—	—
8	18460	–55.5	25	40	20600	–56.6	24	20	23840	–56.0	—	—	18320	–55.7	26	58	20470	–56.8	26	60	—	—	—	—
9	—	—	—	—	—	—	—	—	—	—	—	—	18370	–52.1	23	20	20530	–53.3	23	15	23830	–54.0	—	—
10	18440	–57.4	31	22	20580	–56.0	31	14	23820	–56.4	—	—	18350	–54.7	25	22	20500	–54.8	21	15	—	—	—	—
11	18390	–57.4	30	18	20510	–57.2	33	20	—	—	—	—	18280	–54.7	27	15	20420	–55.3	27	28	23680	–54.8	—	—
12	18400	–56.0	31	11	20550	–55.4	36	18	—	—	—	—	18270	–57.3	27	10	20370	–58.6	27	10	23580	–58.8	—	—
13	—	—	—	—	—	—	—	—	—	—	—	—	18490	–56.3	20	05	20630	–54.9	21	10	—	—	—	—
14	18480	–56.5	01	22	20610	–57.5	01	18	—	—	—	—	18450	–59.0	18	10	20560	–57.5	16	14	23800	–58.0	—	—
15	18420	–59.6	01	33	20530	–59.0	01	40	—	—	—	—	18530	–55.8	20	19	20680	–55.1	18	19	23920	–56.8	—	—
16	18680	–51.3	02	22	20860	–50.7	03	25	24180	–50.1	—	—	18490	–52.7	20	05	20660	–53.1	20	03	—	—	—	—
17	18560	–52.9	05	16	20710	–54.4	04	19	—	—	—	—	18720	–48.7	07	14	20920	–49.9	10	12	—	—	—	—
18	18570	–55.1	05	09	20710	–56.5	06	10	—	—	—	—	18550	–52.6	07	06	20730	–50.9	08	07	—	—	—	—
19	18610	–54.6	04	09	20790	–55.6	04	05	—	—	—	—	18640	–53.5	36	16	20810	–51.8	36	16	—	—	—	—
20	18720	–54.0	02	05	20870	–54.4	02	05	—	—	—	—	18590	–54.0	32	10	20750	–52.2	32	07	24060	–52.3	—	—
21	18620	–56.5	06	04	20740	–59.3	06	05	23930	–58.5	—	—	18530	–54.5	34	09	20690	–55.8	34	08	23940	–55.6	—	—
22	18620	–56.2	04	09	20760	–56.8	06	07	—	—	—	—	18400	–56.5	34	12	20540	–56.1	32	09	23790	–56.5	—	—
23	18640	–55.7	06	08	20780	–55.7	02	11	—	—	—	—	18420	–56.4	30	07	20550	–55.3	30	10	—	—	—	—
24	18610	–55.5	15	02	20770	–53.2	05	09	—	—	—	—	18380	–56.0	26	05	20520	–55.1	29	04	—	—	—	—
25	18560	–53.6	34	05	20710	–53.5	34	07	—	—	—	—	18480	–57.2	31	07	20610	–57.0	31	02	23850	–54.3	—	—
26	18430	–54.7	34	10	20560	–56.2	02	12	—	—	—	—	18510	–53.9	25	11	20680	–51.0	25	10	—	—	—	—
27	18490	–55.5	34	15	20620	–57.2	35	12	—	—	—	—	18470	–53.6	26	05	20630	–52.0	26	02	23960	–48.5	—	—
28	18480	–56.9	29	15	20600	–56.4	07	22	—	—	—	—	—	—	—	—	—	—	—	—	—	—	—	—
29	18420	–54.8	27	08	20570	–53.6	02	04	—	—	—	—	18660	–53.1	24	05	20850	–50.0	24	05	—	—	—	—
30	18420	–53.5	33	15	20580	–54.3	33	08	—	—	—	—	18670	–51.3	23	08	20850	51.4	23	05	—	—	—	—
31	18620	–51.6	04	27	20800	–53.1	04	18	—	—	—	—												
Moyen	18541	–55.2	—	—	20682	–55.6	—	—	—	—	—	—	18486	–55.3	—	—	20632	–54.7	—	—	—	—	—	—

Observations aux

Mai 1959 — 00.00 h — Juin 1959 — 00.00 h

Jour	70 mb				50 mb				30 mb				70 mb				50 mb				30 mb			
	H	t	dd	ff	H	t	dd	ff	H	t	dd	ff	H	t	dd	ff	H	t	dd	ff	H	t	dd	ff
1	18560	–54.5	25	12	—	—	—	—	23880	–53.8	—	—	—	—	—	—	—	—	—	—	—	—	—	—
2	18450	–56.4	34	08	20590	–54.0	31	03	—	—	—	—	18625	–54.6	26	12	20790	–53.2	26	14	—	—	—	—
3	—	—	—	—	—	—	—	—	—	—	—	—	18670	–55.3	31	06	20820	–53.0	31	06	24110	–51.3	—	—
4	18410	–55.4	29	22	—	—	—	—	—	—	—	—	18630	–56.7	28	12	20770	–54.9	28	12	—	—	—	—
5	—	—	—	-	—	—	—	—	—	—	—	—	18760	–53.0	27	19	20920	–54.0	28	10	—	—	—	—
6	—	—	—	—	—	—	—	—	—	—	—	—	18700	–53.5	28	12	20870	–51.1	28	04	—	—	—	—
7	18350	–56.1	26	08	20470	–55.4	26	03	—	—	—	—	18640	–54.0	25	03	20800	–52.5	25	03	—	—	—	—
8	—	—	—	—	—	—	—	—	—	—	—	—	—	—	—	—	—	—	—	—	—	—	—	—
9	18540	–55.2	21	03	—	—	—	—	—	—	—	—	18670	–54.0	26	04	20830	–53.0	28	08	—	—	—	—
10	18540	–55.8	15	08	20690	–54.6	14	07	—	—	—	—	18500	–54.3	27	11	20660	–53.8	27	07	—	—	—	—
11	18640	–55.0	17	04	—	—	—	—	—	—	—	—	18620	–53.7	32	16	—	—	—	—	—	—	—	—
12	18590	–55.2	24	08	20740	–53.0	25	05	—	—	—	—	18730	–53.0	02	12	20890	–53.0	02	10	—	—	—	—
13	18650	–54.6	04	14	20790	–54.4	04	10	—	—	—	—	18630	–53.8	05	06	20780	–54.4	00	00	—	—	—	—
14	18760	–52.8	01	14	20930	–54.0	01	15	—	—	—	—	18730	–53.0	08	05	20890	–54.5	08	02	—	—	—	—
15	18730	–52.4	01	10	20900	–54.0	36	10	—	—	—	—	18730	–55.1	03	05	20880	–53.4	03	06	—	—	—	—
16	18510	–54.7	07	07	20650	–55.5	09	06	—	—	—	—	—	—	—	—	—	—	—	—	—	—	—	—
17	18190	–63.0	25	03	—	—	—	—	—	—	—	—	18730	–56.1	29	12	20880	–54.2	29	12	24180	–52.2	—	—
18	18490	–57.4	26	02	20600	–55.8	00	00	—	—	—	—	18730	–53.6	25	08	20880	–53.9	25	09	—	—	—	—
19	18520	–56.6	23	08	—	—	—	—	—	—	—	—	18680	–56.1	25	16	20815	–54.0	25	09	—	—	—	—
20	18530	–56.4	21	05	20680	–56.0	21	05	—	—	—	—	18620	–58.4	23	10	20740	–56.0	23	10	—	—	—	—
21	18690	–54.8	21	15	20840	–53.6	21	12	—	—	—	—	18770	–56.6	27	08	20900	–56.2	27	08	—	—	—	—
22	18660	–54.4	22	27	20810	–55.3	22	27	—	—	—	—	18800	–55.3	34	03	20930	–56.0	08	06	—	—	—	—
23	18680	–54.2	00	00	20820	–55.5	00	00	—	—	—	—	18810	–56.1	05	05	20940	–56.4	34	05	—	—	—	—
24	18580	–56.2	05	05	20710	–55.5	03	03	—	—	—	—	18860	–56.1	07	05	21000	–53.7	08	05	24290	–52.0	—	—
25	18570	–53.5	31	03	—	—	—	—	—	—	—	—	18630	–55.7	00	00	20770	–54.8	00	00	—	—	—	—
26	—	—	—	—	—	—	—	—	—	—	—	—	—	—	—	—	—	—	—	—	—	—	—	—
27	18600	–54.2	30	05	20750	–54.2	31	05	—	—	—	—	18800	–53.6	33	08	20970	–50.9	28	06	—	—	—	—
28	18635	–55.0	30	14	20790	–52.7	30	10	—	—	—	—	18610	–55.0	28	07	20770	–53.7	28	05	24050	–51.2	—	—
29	18605	–52.6	29	14	20780	–52.0	27	18	—	—	—	—	18880	–50.0	24	23	21090	–50.0	24	18	—	—	—	—
30	18570	–52.8	27	15	20750	–51.9	27	16	—	—	—	—	18630	–54.5	26	07	20790	–51.6	27	05	—	—	—	—
31	—	—	—	—	—	—	—	—	—	—	—	—												
Moyen	18562	–55.2	—	—	20738	–54.3	—	—	—	—	—	—	18699	–54.6	—	—	20855	–53.7	—	—	—	—	—	—

Mai 1959 — 12.00 h — Juin 1959 — 12.00 h

1	18690	–52.2	24	05	20860	–53.0	29	02	—	—	—	—	18505	–54.9	27	17	20655	–54.1	25	10	—	—	—	—
2	18565	–51.5	19	12	20750	–50.0	19	05	—	—	—	—	18470	–55.4	31	07	20630	–53.6	31	10	—	—	—	—
3	18490	–54.7	33	11	20650	–55.0	17	09	—	—	—	—	18590	–55.6	30	16	20720	–54.4	28	05	—	—	—	—
4	18480	–55.2	26	12	20630	–54.6	21	08	23920	–54.1	—	—	18630	–55.4	31	05	20780	–53.7	31	02	—	—	—	—
5	18600	–52.7	23	22	20780	–52.2	23	13	24080	–52.5	—	—	18550	–56.4	28	07	20680	–55.8	29	06	—	—	—	—
6	18450	–55.2	25	22	20590	–55.8	24	08	—	—	—	—	18660	–55.1	29	05	20810	–52.5	29	05	—	—	—	—
7	18390	–54.5	25	20	20540	–54.1	26	12	—	—	—	—	18580	–55.0	25	04	20740	–53.6	25	02	—	—	—	—
8	18350	–55.7	27	12	20470	–54.8	28	02	—	—	—	—	18690	–54.1	25	05	20860	–52.2	00	00	—	—	—	—
9	18570	–54.1	17	06	20720	–53.8	15	06	—	—	—	—	18670	–53.6	27	05	20850	–49.4	27	05	—	—	—	—
10	18680	–53.3	13	12	20840	–50.5	13	15	24190	–49.7	—	—	18660	–50.7	29	08	20850	–49.6	00	00	—	—	—	—
11	18720	–53.2	00	00	20890	–52.3	00	00	—	—	—	—	18690	–50.6	34	05	20890	–48.8	34	02	—	—	—	—
12	18670	–55.8	35	08	20810	–55.8	35	12	24050	–57.1	—	—	18650	–52.6	06	15	20830	–51.8	08	16	—	—	—	—
13	18595	–55.1	01	13	20740	–55.2	02	05	—	—	—	—	18610	–54.4	08	07	20760	–52.4	08	10	—	—	—	—
14	18680	–53.0	02	12	20840	–52.8	03	12	—	—	—	—	18700	–54.3	07	08	20810	–55.0	08	05	—	—	—	—
15	18450	–55.4	07	14	20600	–56.4	07	12	—	—	—	—	18760	–54.0	04	06	20920	–51.7	09	08	—	—	—	—
16	18400	–57.9	06	07	20510	–56.6	07	05	—	—	—	—	18610	–53.8	28	05	20760	–53.7	28	05	—	—	—	—
17	18570	–56.6	31	05	20710	–53.5	31	02	—	—	—	—	18560	–58.0	26	07	20680	–56.3	24	07	—	—	—	—
18	18500	–55.7	21	02	20640	–55.3	18	05	—	—	—	—	—	—	—	—	—	—	—	—	—	—	—	—
19	18600	–55.9	23	08	20700	–55.9	23	11	—	—	—	—	18900	–51.5	20	05	21100	–47.6	20	05	—	—	—	—
20	18560	–55.8	22	10	20700	–55.9	22	10	—	—	—	—	18810	–55.6	16	07	20960	–52.5	18	07	—	—	—	—
21	18570	–56.3	01	03	20720	–55.4	01	05	24000	–54.5	—	—	18870	–51.8	00	00	21060	–49.3	00	00	—	—	—	—
22	18600	–55.6	17	04	20760	–55.1	16	03	—	—	—	—	18790	–55.6	11	07	20920	–53.3	14	10	—	—	—	—
23	18560	–56.3	28	11	20700	–54.8	28	03	—	—	—	—	18850	–56.2	10	05	21000	–53.5	10	03	—	—	—	—
24	18520	–55.2	35	02	20660	–55.9	35	02	—	—	—	—	18710	–54.9	08	11	20860	–53.5	07	07	—	—	—	—
25	18710	–51.2	25	05	20900	–50.1	19	06	24270	–45.2	—	—	18700	–55.1	07	03	20850	–52.3	11	05	—	—	—	—
26	18710	–51.4	26	04	20900	–51.7	26	04	—	—	—	—	18760	–55.5	27	04	20920	–53.0	24	04	—	—	—	—
27	18490	–54.9	31	08	20640	–54.2	27	08	23940	–52.9	—	—	18740	–55.7	26	07	20890	–54.0	23	05	—	—	—	—
28	18520	–54.0	29	08	20680	52.8	28	08	24000	–51.0	—	—	18740	–55.3	26	13	20910	–51.8	26	05	—	—	—	—
29	18540	–53.4	26	10	20710	51.4	26	11	—	—	—	—	18680	–53.2	00	00	20855	–50.3	00	00	—	—	—	—
30	18725	–49.8	26	13	20920	–48.4	25	08	—	—	—	—	18737	–51.2	00	00	20905	–49.4	11	05	—	—	—	—
31	—	—	—	—	—	—	—	—	—	—	—	—												
Moyen	18562	–54.4	—	—	20719	–53.8	—	—	—	—	—	—	18685	–54.3	—	—	20845	–52.4	—	—	—	—	—	—

niveaux standard

Juillet 1959 — 00.00 h — Août 1959 — 00.00 h

Jour	70 mb				50 mb				30 mb				70 mb				50 mb				30 mb			
	H	t	dd	ff	H	t	dd	ff	H	t	dd	ff	H	t	dd	ff	H	t	dd	ff	H	t	dd	ff
1	18720	–51.6	00	00	20900	–50.4	02	03	—	—	—	—	—	—	—	—	—	—	—	—	—	—	—	—
2	—	—	—	—	—	—	—	—	—	—	—	—	18910	–51.4	27	08	21100	–48.7	27	06	24450	–48.9	—	—
3	18780	–54.4	33	05	20930	–53.0	33	03	—	—	—	—	18940	–51.6	31	13	21130	–49.7	31	13	—	—	—	—
4	18970	–55.7	35	20	21120	–52.8	02	14	—	—	—	—	18870	–52.4	29	16	21050	–51.0	29	10	—	—	—	—
5	18880	–57.8	01	20	21000	–56.7	09	15	—	—	—	—	18970	–50.9	09	02	21170	–46.8	06	07	—	—	—	—
6	—	—	—	—	—	—	—	—	—	—	—	—	18850	–51.3	04	03	21040	–49.6	04	03	—	—	—	—
7	18910	–60.1	—	—	21040	–56.5	—	—	—	—	—	—	18930	–54.5	29	04	21090	–51.8	29	03	—	—	—	—
8	18900	–59.7	03	02	21000	–57.5	03	02	—	—	—	—	18860	–54.6	23	05	21030	–52.0	23	03	—	—	—	—
9	—	—	—	—	—	—	—	—	—	—	—	—	—	—	—	—	—	—	—	—	—	—	—	—
10	18870	–56.5	12	04	21000	–53.8	11	04	—	—	—	—	18910	–54.2	25	05	21070	–52.4	26	06	—	—	—	—
11	18900	–56.8	18	10	—	—	—	—	—	—	—	—	18850	–53.1	23	07	21010	–53.0	23	05	—	—	—	—
12	18840	–54.0	21	14	—	—	—	—	—	—	—	—	18800	–52.1	00	00	20960	–53.4	00	00	—	—	—	—
13	18855	–54.9	16	12	21000	–50.7	16	12	—	—	—	—	18710	–56.1	18	02	20860	–54.9	09	03	—	—	—	—
14	18940	–57.1	16	05	21070	–56.0	15	06	—	—	—	—	18750	–55.5	00	00	20900	–55.6	00	00	—	—	—	—
15	18790	–54.9	22	16	—	—	—	—	—	—	—	—	18750	–55.7	24	05	—	—	—	—	—	—	—	—
16	18900	–54.3	25	22	21065	–52.7	23	17	24370	–51.0	—	—	18950	–53.1	27	15	21100	–53.1	28	09	—	—	—	—
17	18875	–54.8	—	—	21000	–53.4	—	—	—	—	—	—	18850	–54.4	33	05	21000	–54.5	33	05	—	—	—	—
18	18900	–54.5	08	05	21070	–51.5	34	05	—	—	—	—	19000	–54.9	35	10	21130	–54.5	35	10	—	—	—	—
19	18900	–56.0	12	05	21080	–50.3	09	10	—	—	—	—	18960	–53.4	35	16	21100	–54.6	35	15	—	—	—	—
20	—	—	—	—	—	—	—	—	—	—	—	—	18680	–56.2	36	11	—	—	—	—	—	—	—	—
21	19000	–54.9	25	07	21160	–52.7	25	05	—	—	—	—	18730	–53.7	27	08	20900	–53.2	28	05	—	—	—	—
22	18850	–54.0	22	04	21020	–52.0	31	03	24340	–51.4	—	—	—	—	—	—	—	—	—	—	—	—	—	—
23	—	—	—	—	—	—	—	—	—	—	—	—	18740	–54.3	11	05	—	—	—	—	—	—	—	—
24	18710	–55.2	20	05	20870	–52.4	12	12	—	—	—	—	18710	–56.6	02	04	20850	–52.8	01	02	—	—	—	—
25	18820	–54.1	25	05	21000	–51.8	26	03	—	—	—	—	18670	–57.7	05	07	20800	–56.0	05	07	—	—	—	—
26	18810	–53.9	26	05	20970	–52.7	26	03	—	—	—	—	18930	–55.7	08	18	21070	–55.4	08	10	—	—	—	—
27	18970	–55.7	28	25	21120	–51.9	28	15	—	—	—	—	18800	–61.2	01	03	20900	–57.0	09	03	—	—	—	—
28	18760	–57.2	27	38	20890	–55.7	27	35	—	—	—	—	18820	–59.5	30	14	20920	–58.4	30	03	—	—	—	—
29	18820	–56.5	26	10	20930	–52.6	26	05	—	—	—	—	—	—	—	—	—	—	—	—	—	—	—	—
30	18870	–52.9	25	33	21040	–52.4	24	25	—	—	—	—	18710	–55.0	28	17	20870	–53.7	28	05	—	—	—	—
31	18920	–51.5	22	12	21090	–51.6	20	12	—	—	—	—	—	—	—	—	—	—	—	—	—	—	—	—
Moyen	18864	–55.3	—	—	21016	–53.1	—	—	—	—	—	—	18833	–54.6	—	—	21002	–53.1	—	—	—	—	—	—

Juillet 1959 — 12.00 h — Août 1959 — 12.00 h

1	18800	–52.7	35	15	21000	–53.2	35	10	24300	–48.9	—	—	18780	–52.4	29	17	20960	–52.3	29	15	24270	–49.6	—	—
2	18820	–54.7	00	00	21000	–52.8	00	00	24300	–49.5	—	—	18830	–51.7	28	08	21020	–49.7	28	05	24370	–46.5	—	—
3	18750	–58.7	00	00	20870	–55.3	00	00	—	—	—	—	18770	–54.2	28	06	20930	–53.0	28	05	24220	–51.5	—	—
4	18970	–56.2	05	14	21130	–51.1	06	15	—	—	—	—	18830	–50.5	31	04	21020	–50.1	31	05	24390	–48.0	—	—
5	18930	–55.5	04	10	21080	–54.5	03	07	24390	–50.3	—	—	18790	–54.6	01	02	20950	–51.0	01	05	24310	–47.5	—	—
6	18930	–59.9	35	25	21060	–55.3	35	25	—	—	—	—	18750	–55.4	05	03	20910	–50.8	05	05	24250	–48.5	—	—
7	19040	–60.0	02	12	21150	–55.6	02	10	24410	–53.1	—	—	18870	–55.3	22	05	21020	–52.6	21	05	24350	–48.9	—	—
8	18870	–56.6	11	12	21000	–52.9	11	11	24330	–49.2	—	—	18820	–54.0	21	12	20980	–51.8	20	08	24350	–46.6	—	—
9	18840	–56.9	11	09	20980	–53.4	11	11	24290	–50.5	—	—	18000	–53.4	00	00	21000	–51.9	00	00	24320	–50.0	—	—
10	19020	–55.5	13	06	21180	–53.6	12	11	24470	–49.8	—	—	18710	–58.0	21	05	20840	–55.5	18	02	24100	–52.3	—	—
11	18860	–56.7	19	11	21000	–54.9	17	10	—	—	—	—	18820	–52.5	23	22	21000	–54.0	23	17	24270	–52.5	—	—
12	18950	–56.7	21	11	21100	–51.9	20	65	—	—	—	—	18740	–55.4	28	05	20880	–56.1	28	02	24160	–52.8	—	—
13	18790	–57.0	18	10	20920	–55.0	18	07	24220	–50.9	—	—	19000	–51.2	28	03	21190	–52.8	28	02	—	—	—	—
14	19040	–54.7	22	12	21170	–53.2	19	11	24460	–53.1	—	—	18850	–54.5	21	05	—	—	—	—	—	—	—	—
15	18680	–56.3	20	12	20820	–50.8	18	06	24160	–51.0	—	—	18790	–54.0	19	05	20950	–52.8	18	03	24290	–48.5	—	—
16	18900	–54.7	16	08	21060	–52.9	14	05	24400	–48.5	—	—	19000	–45.1	31	20	—	—	—	—	—	—	—	—
17	18940	–55.8	22	08	21000	–53.1	13	11	24330	–49.3	—	—	18900	–55.5	35	13	21040	–55.3	35	10	24310	–50.8	—	—
18	18920	–55.3	16	06	21070	–54.0	15	06	—	—	—	—	18810	–56.2	35	16	20960	–54.6	35	11	24240	–51.4	—	—
19	18740	–59.2	20	03	20860	–54.8	14	04	—	—	—	—	18800	–55.8	01	07	20940	–53.8	01	03	24240	–49.0	—	—
20	18850	–59.0	19	05	20960	–54.8	16	05	24250	–52.8	—	—	18680	–55.0	23	13	20840	–54.1	05	03	24150	–50.0	—	—
21	18630	–57.6	12	08	20770	–55.0	09	22	24040	–51.8	—	—	18740	–54.9	22	04	20900	–53.1	22	03	24210	–49.2	—	—
22	18910	–55.4	21	06	21060	–53.8	17	07	24340	–53.3	—	—	18730	–53.5	10	03	20900	–53.2	09	05	24200	–50.2	—	—
23	19000	–53.2	17	06	21180	–51.6	18	14	24510	–49.2	—	—	18810	–52.7	29	05	21000	–48.7	21	04	24380	–45.0	—	—
24	18970	–54.1	20	11	21130	–51.8	15	05	24460	–50.5	—	—	18680	–55.1	11	04	20830	–54.8	00	00	24130	–52.8	—	—
25	18860	–54.7	26	07	21000	–53.0	26	03	24320	–50.4	—	—	—	—	—	—	—	—	—	—	—	—	—	—
26	18710	–57.4	25	07	20850	–53.2	24	03	24180	–50.7	—	—	—	—	—	—	—	—	—	—	—	—	—	—
27	18810	–53.1	05	07	20980	–49.8	05	08	24350	–47.1	—	—	18780	–61.7	28	12	—	—	—	—	—	—	—	—
28	18880	–57.0	26	18	21020	–55.4	26	10	24280	–52.0	—	—	18740	–58.3	29	14	20850	–58.3	30	08	24070	–57.0	—	—
29	18800	–54.8	25	32	20950	–52.8	25	20	24270	–50.4	—	—	18660	–56.5	30	11	20800	–55.2	29	07	—	—	—	—
30	18880	–52.6	24	12	21030	–53.6	24	14	24360	–50.1	—	—	18710	–54.9	29	26	20850	–54.8	29	18	—	—	—	—
31	—	—	—	—	—	—	—	—	—	—	—	—	18710	–53.6	29	05	20880	–51.5	29	05	—	—	—	—
Moyen	18867	–56.1	—	—	21013	–53.4	—	—	24323	–50.5	—	—	18762	–54.2	—	—	20940	–53.1	—	—	24254	–49.9	—	—

Observations aux

Septembre 1959 — 00.00 h — Octobre 1959 — 00.00 h

Jour	70 mb				50 mb				30 mb				70 mb				50 mb				30 mb			
	H	t	dd	ff	H	t	dd	ff	H	t	dd	ff	H	t	dd	ff	H	t	dd	ff	H	t	dd	ff
1	18670	–54.9	29	16	20820	–54.0	29	15	—	—	—	—	—	—	—	—	—	—	—	—	—	—	—	—
2	18630	–55.2	27	20	20800	–52.6	26	08	—	—	—	—	18600	–60.3	27	08	—	—	—	—	—	—	—	—
3	18690	–54.1	26	14	20850	–53.7	26	08	—	—	—	—	18580	–58.7	31	09	20700	–56.9	33	10	23970	–56.1	—	—
4	18530	–56.0	27	18	20660	–56.4	25	20	23900	–52.6	—	—	18540	–57.4	00	00	20660	–57.3	00	00	23890	–56.7	—	—
5	—	—	—	—	—	—	—	—	—	—	—	—	18640	–57.5	35	07	20770	–55.9	35	05	24030	–56.7	—	—
6	18670	54.9	25	16	—	—	—	—	—	—	—	—	18620	–55.5	35	07	—	—	—	—	—	—	—	—
7	18670	–54.0	20	03	20850	–52.5	20	03	—	—	—	—	18550	–56.7	31	07	—	—	—	—	—	—	—	—
8	18660	–55.7	27	10	20800	–55.5	27	10	—	—	—	—	18540	–57.0	33	16	—	—	—	—	—	—	—	—
9	18760	–55.2	32	05	20900	–55.2	32	05	—	—	—	—	—	—	—	—	—	—	—	—	—	—	—	—
10	18730	–57.1	32	05	20870	–55.1	33	05	—	—	—	—	—	—	—	—	—	—	—	—	—	—	—	—
11	18630	–57.8	33	07	20730	–57.7	35	05	—	—	—	—	—	—	—	—	—	—	—	—	—	—	—	—
12	18520	–61.9	30	09	20620	–59.0	02	05	—	—	—	—	—	—	—	—	—	—	—	—	—	—	—	—
13	—	—	—	—	—	—	—	—	—	—	—	—	—	—	—	—	—	—	—	—	—	—	—	—
14	—	—	—	—	—	—	—	—	—	—	—	—	18450	–60.5	35	18	20540	–59.8	34	14	—	—	—	—
15	18580	–56.4	28	05	—	—	—	—	—	—	—	—	18440	–61.0	35	15	20510	–60.5	35	15	23690	–60.7	—	—
16	18540	–58.2	27	16	—	—	—	—	—	—	—	—	18450	–58.7	01	16	20570	–58.0	36	05	23790	–56.4	—	—
17	18550	–58.3	29	12	20680	–54.2	29	15	23950	–53.0	—	—	18380	–59.6	27	08	20490	–59.6	02	05	23680	–58.3	—	—
18	18620	–56.1	32	15	20770	–54.1	32	10	—	—	—	—	18400	–61.7	29	16	20500	–61.2	29	10	—	—	—	—
19	18610	–57.8	31	11	20730	–54.5	31	09	—	—	—	—	18470	–61.9	29	10	20570	–59.7	30	07	—	—	—	—
20	18440	–61.0	31	16	—	—	—	—	—	—	—	—	18280	–62.0	23	12	20380	–60.8	23	08	—	—	—	—
21	18570	–59.0	29	12	20680	–59.2	29	13	23910	–54.0	—	—	18630	–58.3	35	03	20740	–57.7	35	03	—	—	—	—
22	18720	–62.8	30	22	20810	–60.0	30	13	—	—	—	—	18540	–66.2	36	06	19470	–64.6	36	05	—	—	—	—
23	18600	–58.7	30	15	20720	–58.0	29	12	23960	–55.0	—	—	18570	–61.2	11	33	20660	–59.8	11	10	—	—	—	—
24	18700	–60.8	30	28	20800	–59.6	30	22	23720	–58.2	—	—	18580	–61.2	35	16	20660	–59.5	35	10	—	—	—	—
25	18590	–58.5	31	17	20710	–55.6	31	14	—	—	—	—	18410	–61.0	31	10	20500	–61.6	29	17	—	—	—	—
26	18800	–56.8	31	18	20930	–56.3	32	14	—	—	—	—	18270	–64.0	26	22	20350	–62.1	26	22	—	—	—	—
27	18680	–57.5	26	08	20800	–57.3	27	06	—	—	—	—	18280	–60.8	26	22	20370	–62.1	26	22	—	—	—	—
28	18650	–56.5	31	06	20785	–57.3	32	08	24050	–55.0	—	—	18160	–57.9	25	24	20260	–59.4	25	38	—	—	—	—
29	18735	–55.1	32	22	20880	–54.9	34	38	24160	–55.4	—	—	18240	–56.7	22	23	20360	–58.3	21	37	—	—	—	—
30	18605	–55.7	34	08	20750	–55.9	36	08	—	—	—	—	18260	–62.3	24	07	20330	–63.0	26	12	—	—	—	—
31													18260	–61.4	32	25	20350	–61.6	32	20	—	—	—	—
Moyen	18635	–57.3	—	—	20780	–56.0	—	—	—	—	—	—	18446	–60.0	—	—	20464	–60.0	—	—	—	—	—	—

Septembre 1959 — 12.00 h — Octobre 1959 — 12.00 h

1	18650	–54.1	28	21	—	—	—	—	—	—	—	—	18500	–62.2	33	07	20580	–61.6	01	10	23770	–60.0	—	—
2	18720	–52.8	26	17	—	—	—	—	—	—	—	—	18610	–58.1	00	00	20730	–57.2	00	00	23980	–53.2	—	—
3	18540	–55.9	25	10	20690	–55.2	25	07	23970	–53.5	—	—	18590	–58.4	35	08	20715	–57.8	35	10	—	—	—	—
4	18660	–54.3	26	14	20810	–54.4	26	10	—	—	—	—	18600	–55.4	34	03	20750	–57.2	34	05	24000	–53.5	—	—
5	18600	–55.2	30	15	20740	–56.2	30	12	24000	–54.2	—	—	—	—	—	—	—	—	—	—	—	—	—	—
6	18730	–55.5	31	04	20880	–53.9	32	04	24170	–51.4	—	—	18430	–58.4	34	05	20540	–58.6	35	05	—	—	—	—
7	18650	–56.8	03	07	20790	–54.7	03	08	24070	–52.9	—	—	—	—	—	—	—	—	—	—	—	—	—	—
8	18720	–55.7	03	05	20870	–53.3	03	03	24170	–51.3	—	—	18500	–59.3	32	08	20620	–58.4	34	07	23830	–57.9	—	—
9	18630	–57.8	32	06	20750	–56.8	34	06	24010	–54.5	—	—	18500	–57.7	34	14	20610	–57.8	34	09	—	—	—	—
10	18780	–57.4	32	05	20910	–55.9	33	05	—	—	—	—	18540	–56.0	33	08	20690	–56.0	30	07	—	—	—	—
11	18630	–59.3	34	07	20740	–58.2	36	05	23980	–53.9	—	—	18510	–57.2	30	15	20640	–57.2	25	14	—	—	—	—
12	18660	–58.0	02	05	20780	–56.2	07	05	24060	–52.4	—	—	18470	–58.0	34	17	—	—	—	—	—	—	—	—
13	18670	–56.2	33	08	20810	–54.8	31	05	24100	–50.6	—	—	18400	–60.0	33	14	20500	–59.9	33	08	—	—	—	—
14	18650	–57.7	00	00	20790	–55.8	00	00	24100	–50.9	—	—	—	—	—	—	—	—	—	—	—	—	—	—
15	18500	–58.2	27	06	20630	–57.1	27	03	23900	–49.9	—	—	18490	–58.7	36	11	20600	–59.7	36	09	23840	–56.9	—	—
16	18460	–59.9	28	14	20570	–59.6	29	10	23780	–57.5	—	—	18310	–61.5	33	03	20410	–61.4	33	05	23590	–59.1	—	—
17	18470	–59.7	30	27	20590	–58.8	30	15	23820	–53.5	—	—	—	—	—	—	—	—	—	—	—	—	—	—
18	18520	–59.8	31	20	20620	–59.0	31	22	—	—	—	—	—	—	—	—	—	—	—	—	—	—	—	—
19	18560	–60.7	32	11	20640	–61.4	33	10	23830	–59.6	—	—	—	—	—	—	—	—	—	—	—	—	—	—
20	18580	–59.9	34	07	20680	–60.8	35	06	23870	–59.5	—	—	18660	–55.3	21	20	20800	–56.3	21	20	—	—	—	—
21	18655	–60.4	29	20	20755	–60.1	29	20	24000	–54.0	—	—	—	—	—	—	—	—	—	—	—	—	—	—
22	18630	–61.2	33	20	20730	–60.0	33	10	24000	–51.7	—	—	—	—	—	—	—	—	—	—	—	—	—	—
23	—	—	—	—	—	—	—	—	—	—	—	—	—	—	—	—	—	—	—	—	—	—	—	—
24	18780	–58.5	30	30	20920	–57.1	30	25	—	—	—	—	—	—	—	—	—	—	—	—	—	—	—	—
25	18550	–61.2	29	17	20650	–60.5	29	15	23870	–57.7	—	—	—	—	—	—	—	—	—	—	—	—	—	—
26	18640	–59.0	24	08	20750	–58.2	24	06	23980	–57.1	—	—	—	—	—	—	—	—	—	—	—	—	—	—
27	18700	–59.0	26	14	20795	–60.2	27	14	24000	–60.8	—	—	—	—	—	—	—	—	—	—	—	—	—	—
28	18630	–57.0	33	08	20770	–56.5	36	13	24015	–54.0	—	—	18190	–54.9	22	23	20320	–60.4	21	27	—	—	—	—
29	18500	–61.2	07	07	20610	–56.7	09	07	23870	–53.0	—	—	18120	–58.4	23	18	20250	–57.0	21	20	23460	–58.7	—	—
30	18630	–57.9	35	07	20760	–57.0	35	07	24000	–55.3	—	—	18325	–60.9	31	10	20410	–60.5	28	10	—	—	—	—
31													18210	–60.2	33	27	20300	–62.6	32	25	—	—	—	—
Moyen	18624	–57.9	—	—	20742	–57.3	—	—	23981	–54.3	—	—	18442	–58.4	—	—	20557	–58.8	—	—	—	—	—	—

niveaux standard

Novembre 1959 — 00.00 h

Jour	70 mb				50 mb				30 mb			
	H	t	dd	ff	H	t	dd	ff	H	t	dd	ff
1	—	—	—	—	—	—	—	—	—	—	—	—
2	18370	–64.6	36	25	20430	–62.0	36	30	—	—	—	—
3	18350	–63.9	32	13	20420	–62.8	33	06	—	—	—	—
4	18280	–62.7	33	14	20340	–61.4	30	07	—	—	—	—
5	18370	–59.2	30	24	20460	–60.0	30	16	—	—	—	—
6	18330	–57.2	33	06	20460	–58.0	33	07	23670	–59.2	—	—
7	18370	–55.5	32	10	20510	–57.0	33	10	—	—	—	—
8	18250	–58.9	35	11	20380	–60.7	33	11	—	—	—	—
9	18420	–56.7	01	23	20545	–58.0	34	15	23760	–59.3	—	—
10	18260	–61.3	31	11	20360	–60.0	32	11	—	—	—	—
11	18340	–53.2	26	35	20500	–55.2	27	15	23750	–54.2	—	—
12	18290	–53.7	26	15	20440	–53.8	25	11	—	—	—	—
13	18310	–56.7	25	18	20440	–56.2	25	21	—	—	—	—
14	18370	–56.1	26	16	20540	–57.1	26	20	—	—	—	—
15	18325	–56.9	24	24	20450	–58.0	24	14	—	—	—	—
16	18240	–56.9	24	20	20375	–56.1	24	17	—	—	—	—
17	18230	–58.4	25	20	20350	–59.0	25	10	—	—	—	—
18	18160	–59.0	21	22	20270	–59.0	21	22	—	—	—	—
19	18330	–56.5	23	28	20450	–57.3	23	18	—	—	—	—
20	18240	–61.0	26	13	20330	–61.5	25	16	—	—	—	—
21	18240	–62.6	28	06	20320	–61.0	28	06	—	—	—	—
22	18220	–61.6	30	20	20290	–62.6	30	18	23420	–63.4	—	—
23	18260	–63.9	01	22	20320	–64.2	34	22	23450	–64.4	—	—
24	18240	–67.4	34	20	20260	–67.4	35	18	—	—	—	—
25	18220	–63.8	27	10	20280	–65.2	31	16	23390	–65.6	—	—
26	—	—	—	—	—	—	—	—	—	—	—	—
27	18260	–66.7	25	35	20290	–66.7	24	20	—	—	—	—
28	18180	–64.6	24	40	20230	–66.7	24	33	23300	–67.7	—	—
29	18135	–65.7	27	27	20170	–65.9	27	29	—	—	—	—
30	—	—	—	—	—	—	—	—	—	—	—	—
31												
Moyen	18281	–60.3	—	—	20377	–60.5	—	—	—	—	—	—

Décembre 1959 — 00.00 h

Jour	70 mb				50 mb				30 mb			
	H	t	dd	ff	H	t	dd	ff	H	t	dd	ff
1	18000	–60.9	25	24	20040	–61.7	24	15	—	—	—	—
2	18170	–58.5	36	03	20260	–61.7	24	10	—	—	—	—
3	18270	–63.7	36	20	20340	–65.6	31	12	—	—	—	—
4	18450	–61.1	24	22	20520	–63.5	24	20	—	—	—	—
5	18270	–60.5	26	09	20360	–61.4	28	08	23490	–63.0	—	—
6	18320	–57.0	30	11	20430	–56.7	30	14	23650	–59.8	—	—
7	18170	–58.4	32	06	20270	–60.5	33	02	23450	–59.7	—	—
8	18280	–57.6	23	05	20400	–58.0	27	03	—	—	—	—
9	18290	–56.4	25	18	20420	–57.3	26	14	—	—	—	—
10	18360	–54.7	24	22	20500	–56.4	23	25	23750	–56.8	—	—
11	18200	–59.0	25	16	20430	–57.0	24	17	23670	–57.0	—	—
12	18290	–56.6	24	16	20320	–59.2	31	22	—	—	—	—
13	18250	–56.1	32	06	20370	–56.1	33	10	—	—	—	—
14	18150	–55.4	28	18	20590	–54.0	28	08	23900	–52.4	—	—
15	—	—	—	—	—	—	—	—	—	—	—	—
16	18180	–58.0	25	44	20310	–57.1	26	10	23530	–57.2	—	—
17	18150	–63.4	30	15	20210	–64.0	26	38	23400	–60.0	—	—
18	18010	–68.2	26	22	20050	–65.2	25	20	—	—	—	—
19	18140	–62.5	30	28	20210	–61.6	30	33	23390	–60.8	—	—
20	18140	–65.6	31	28	20200	–63.0	29	22	23320	–63.5	—	—
21	—	—	—	—	—	—	—	—	—	—	—	—
22	18140	–58.2	29	21	20230	–62.0	29	17	—	—	—	—
23	18170	–64.2	29	43	20220	–65.0	29	35	—	—	—	—
24	18080	–61.3	25	68	20170	–62.0	25	40	—	—	—	—
25	18160	–61.1	26	40	20230	–62.3	26	45	—	—	—	—
26	18020	–68.5	28	61	20060	–68.5	28	60	—	—	—	—
27	18170	–65.0	26	50	20250	–60.8	26	53	—	—	—	—
28	17780	–67.4	27	85	19820	–64.5	27	90	—	—	—	—
29	17990	–68.2	—	—	—	—	—	—	—	—	—	—
30	18150	–73.0	33	50	20100	–71.4	33	50	—	—	—	—
31	18180	–72.4	32	43	20170	–70.9	32	30	—	—	—	—
Moyen	18180	–61.8	—	—	20267	–61.8	—	—	—	—	—	—

Novembre 1959 — 12.00 h

Jour	70 mb				50 mb				30 mb			
	H	t	dd	ff	H	t	dd	ff	H	t	dd	ff
1	—	—	—	—	—	—	—	—	—	—	—	—
2	18400	–63.5	35	12	20470	–64.6	35	10	23610	–64.7	—	—
3	18370	–63.1	11	15	20430	–63.5	11	15	—	—	—	—
4	18410	–62.4	28	10	—	—	—	—	—	—	—	—
5	18400	–55.5	32	10	20550	–55.8	32	05	—	—	—	—
6	—	—	—	—	—	—	—	—	—	—	—	—
7	18300	–56.7	30	08	20420	–58.0	09	04	—	—	—	—
8	18480	–55.8	36	15	20630	–56.5	36	12	—	—	—	—
9	—	—	—	—	—	—	—	—	—	—	—	—
10	18315	–60.7	26	22	20440	–56.8	26	11	—	—	—	—
11	18285	–55.2	26	06	20380	–55.2	26	14	—	—	—	—
12	18150	–56.7	30	08	20270	–56.6	23	11	—	—	—	—
13	18420	–55.7	29	22	20560	–55.0	28	18	—	—	—	—
14	18300	–55.5	24	32	20430	–58.3	24	34	—	—	—	—
15	18350	–55.4	22	15	—	—	—	—	—	—	—	—
16	18210	–56.9	25	22	—	—	—	—	—	—	—	—
17	—	—	—	—	—	—	—	—	—	—	—	—
18	18390	–56.2	23	20	20520	–58.3	23	13	23760	–56.5	—	—
19	18330	–56.6	23	17	20440	–59.5	24	11	—	—	—	—
20	18280	–61.5	26	18	20360	–63.0	25	18	—	—	—	—
21	18260	–62.9	27	15	—	—	—	—	—	—	—	—
22	18200	–64.4	34	20	20250	–64.7	33	13	—	—	—	—
23	18420	–64.5	02	27	—	—	—	—	—	—	—	—
24	—	—	—	—	—	—	—	—	—	—	—	—
25	18330	–63.3	30	09	20400	–65.2	25	09	—	—	—	—
26	—	—	—	—	—	—	—	—	—	—	—	—
27	18160	–67.2	24	42	20180	–67.0	24	40	—	—	—	—
28	—	—	—	—	—	—	—	—	—	—	—	—
29	18160	–66.7	26	14	20130	–65.8	26	20	—	—	—	—
30	18150	–60.2	22	20	20240	–61.4	22	20	—	—	—	—
31												
Moyen	18303	–59.9	—	—	20394	–60.3	—	—	—	—	—	—

Décembre 1959 — 12.00 h

Jour	70 mb				50 mb				30 mb			
	H	t	dd	ff	H	t	dd	ff	H	t	dd	ff
1	18090	–56.0	21	08	20200	–60.1	21	08	23360	–62.4	—	—
2	18060	–66.5	31	06	20080	–66.7	27	07	—	—	—	—
3	18430	–66.0	31	15	20470	–66.0	31	05	—	—	—	—
4	18340	–59.5	27	13	20440	–60.0	25	25	—	—	—	—
5	18340	–57.4	25	16	20460	–59.1	31	14	—	—	—	—
6	18170	–60.3	34	06	20250	–63.3	34	10	—	—	—	—
7	18220	–56.5	28	05	20350	–57.8	28	05	—	—	—	—
8	18210	–56.0	24	14	20330	–57.1	27	04	—	—	—	—
9	18240	–57.6	26	15	20370	–58.4	27	12	—	—	—	—
10	—	—	—	—	—	—	—	—	—	—	—	—
11	18280	–59.2	26	22	20390	–59.4	29	20	—	—	—	—
12	—	—	—	—	—	—	—	—	—	—	—	—
13	18390	–54.3	32	11	20540	–54.3	28	06	—	—	—	—
14	18470	–56.2	26	12	20510	–55.9	27	08	—	—	—	—
15	18360	–55.1	23	30	—	—	—	—	—	—	—	—
16	17440	–60.1	28	22	—	—	—	—	—	—	—	—
17	—	—	—	—	—	—	—	—	—	—	—	—
18	18320	–57.9	27	25	—	—	—	—	—	—	—	—
19	18330	–61.2	34	33	20440	–61.9	34	28	—	—	—	—
20	—	—	—	—	—	—	—	—	—	—	—	—
21	18130	–61.1	28	25	20210	–62.9	28	22	—	—	—	—
22	18140	–59.3	31	45	20230	–65.1	31	35	23360	–62.3	—	—
23	18200	–64.7	26	52	20250	–62.5	26	50	—	—	—	—
24	18110	–58.3	25	50	20210	–61.3	25	39	—	—	—	—
25	18120	–62.4	28	19	20180	–63.7	27	19	—	—	—	—
26	18270	–63.0	28	45	20370	–60.0	28	60	—	—	—	—
27	18070	–63.9	25	50	20130	–65.5	25	55	—	—	—	—
28	—	—	—	—	—	—	—	—	—	—	—	—
29	—	—	—	—	—	—	—	—	—	—	—	—
30	18070	–74.4	32	38	20000	–72.4	32	30	23080	–72.5	—	—
31	18270	–70.2	32	48	20270	–69.6	32	33	—	—	—	—
Moyen	18203	–60.7	—	—	20204	–62.0	—	—	—	—	—	—

Moyennes

Janvier 1959

Surface de pression standard (mb)	Hauteur de la surface de pression standard (en gpm)								Température ° C								Humidité relative %					
	00		12		Dies		Max.	Min.	00		12		Dies		Max.	Min.	00		12		Dies	
	n	Moy	n	Moy	n	Moy			n	Moy	n	Moy	n	Moy			n	Moy	n	Moy	n	Moy
Surface	—	—	—	—	—	—	—	—	31	0.8	31	0.7	62	0.8	9.8	–7.0	31	91	31	91	62	91
1000	31	148	31	153	62	151	288	011	—	—	—	—	—	—	—	—	—	—	—	—	—	—
850	31	1449	31	1453	62	1451	1585	1315	31	–1.5	31	–1.5	62	–1.5	9.2	–11.3	31	74	31	75	62	75
700	31	2972	31	2977	62	2975	3150	2820	31	–9.2	31	–9.6	62	–9.4	1.7	–23.8	31	67	31	70	62	69
500	31	5501	31	5502	62	5502	5760	5255	31	–25.1	31	–25.4	62	–25.3	–15.2	–38.3	31	58	31	50	62	54
400	31	7082	31	7084	62	7083	7390	6750	31	–36.4	31	–36.2	62	–36.3	–27.7	–47.6	31	56	31	54	62	55
300	31	9024	31	9029	62	9027	9370	8640	31	–49.1	31	–48.6	62	–48.9	–43.2	–59.2	—	—	—	—	—	—
200	31	11620	31	11621	62	11622	11960	11150	31	–57.7	31	–57.9	62	–57.8	–42.2	–68.9	—	—	—	—	—	—
150	31	13440	31	13444	62	13442	13750	12970	31	–55.9	31	–55.3	62	–55.6	–46.0	–66.0	—	—	—	—	—	—
100	30	16025	30	16034	60	16030	16330	15490	30	–56.0	30	–55.9	60	–56.0	–50.2	–62.3	—	—	—	—	—	—
70	30	18297	28	18311	58	18304	18620	17710	30	–55.9	28	–56.2	58	–56.1	–48.5	–63.3	—	—	—	—	—	—
50	29	20435	27	20441	56	20438	20790	19790	29	–56.6	27	–56.4	56	–56.5	–45.0	–62.9	—	—	—	—	—	—

Février 1959

Surface de pression standard (mb)	Hauteur de la surface de pression standard (en gpm)								Température ° C								Humidité relative %					
	00		12		Dies		Max.	Min.	00		12		Dies		Max.	Min.	00		12		Dies	
	n	Moy	n	Moy	n	Moy			n	Moy	n	Moy	n	Moy			n	Moy	n	Moy	n	Moy
Surface	—	—	—	—	—	—	—	—	28	–0.5	28	1.9	56	0.7	8.2	–4.8	28	95	28	85	56	90
1000	28	259	28	264	56	262	370	147	—	—	—	—	—	—	—	—	—	—	—	—	—	—
850	26	1568	28	1572	54	1570	1690	1440	26	1.5	28	2.3	54	1.9	7.5	–9.8	26	65	28	56	54	61
700	26	3109	28	3120	54	3115	3250	2930	26	–6.3	28	–6.0	54	–6.2	0.5	–16.4	26	47	28	43	54	45
500	26	5658	28	5673	54	5666	5820	5410	26	–23.8	28	–23.1	54	–23.5	–16.3	–33.0	26	47	28	48	54	48
400	26	7253	28	7268	54	7261	7430	6990	26	–36.2	28	–35.1	54	–35.7	–29.0	–42.0	26	45	28	47	54	46
300	26	9182	28	9213	54	9203	9400	8905	26	–50.6	28	–49.1	54	–49.9	–44.9	–56.0	—	—	—	—	—	—
200	25	11748	28	11798	53	11773	12000	11550	25	–60.0	28	–58.9	53	–59.5	–48.7	–69.0	—	—	—	—	—	—
150	24	13557	28	13604	52	13581	13780	13390	24	–57.6	28	–56.8	52	–57.2	–49.4	–68.9	—	—	—	—	—	—
100	24	16115	27	16179	51	16147	16380	15950	24	–58.3	27	–57.5	51	–57.9	–52.4	–67.3	—	—	—	—	—	—
70	24	18358	27	18420	51	18389	18610	18130	24	–59.1	27	–59.5	51	–59.3	–53.2	–72.5	—	—	—	—	—	—
50	24	20468	26	20528	50	20498	20730	20140	24	–58.4	26	–59.1	50	–58.8	–52.6	–74.5	—	—	—	—	—	—

Mars 1959

Surface de pression standard (mb)	Hauteur de la surface de pression standard (en gpm)								Température ° C								Humidité relative %					
	00		12		Dies		Max.	Min.	00		12		Dies		Max.	Min.	00		12		Dies	
	n	Moy	n	Moy	n	Moy			n	Moy	n	Moy	n	Moy			n	Moy	n	Moy	n	Moy
Surface	—	—	—	—	—	—	—	—	31	5.5	31	8.4	62	7.0	13.3	0.6	31	97	31	86	62	92
1000	31	144	31	142	62	143	237	049	—	—	—	—	—	—	—	—	—	—	—	—	—	—
850	31	1471	31	1470	62	1471	1590	1375	31	2.7	31	2.7	62	2.7	9.9	–3.3	31	84	31	74	62	79
700	31	3014	31	3015	62	3015	3145	2910	31	–6.2	31	–6.2	62	–6.2	0.0	–11.5	31	74	31	67	62	71
500	31	5570	31	5576	62	5573	5735	5405	31	–22.5	31	–21.4	62	–22.0	–15.8	–28.9	31	71	31	61	62	66
400	31	7170	31	7182	62	7176	7345	6970	31	–34.3	31	–33.1	62	–33.7	–25.8	–41.0	31	70	31	59	62	65
300	31	9123	31	9141	62	9132	9320	8860	31	–48.8	31	–47.8	62	–48.3	–41.6	–56.2	—	—	—	—	—	—
200	31	11723	30	11760	61	11742	11930	11490	31	–55.5	30	–53.8	61	–54.7	–46.2	–64.7	—	—	—	—	—	—
150	31	13574	29	13626	60	13600	13790	13370	31	–53.1	29	–50.9	60	–52.0	–46.7	–60.3	—	—	—	—	—	—
100	31	16174	29	16248	60	16211	16420	16000	31	–56.0	29	–54.4	60	–55.2	–49.5	–59.5	—	—	—	—	—	—
70	28	18445	28	18541	56	18493	18730	18250	28	–56.8	28	–55.2	56	–56.0	–51.3	–59.6	—	—	—	—	—	—
50	27	20569	28	20682	55	20626	20900	20360	27	–57.2	28	–55.6	55	–56.4	–52.3	–60.1	—	—	—	—	—	—

Avril 1959

Surface de pression standard (mb)	Hauteur de la surface de pression standard (en gpm)								Température ° C								Humidité relative %					
	00		12		Dies		Max.	Min.	00		12		Dies		Max.	Min.	00		12		Dies	
	n	Moy	n	Moy	n	Moy			n	Moy	n	Moy	n	Moy			n	Moy	n	Moy	n	Moy
Surface	—	—	—	—	—	—	—	—	30	6.5	29	11.5	59	9.0	17.3	0.0	30	86	29	66	59	76
1000	30	116	29	108	59	112	225	–18	—	—	—	—	—	—	—	—	—	—	—	—	—	—
850	30	1449	29	1453	59	1451	1555	1315	30	4.1	29	4.4	59	4.3	10.7	–4.0	30	74	29	62	59	68
700	30	2998	29	3004	59	3001	3135	2825	30	–5.0	29	–4.2	59	–4.6	6.0	–13.8	30	65	29	54	59	60
500	30	5568	29	5573	59	5571	5760	5300	30	–20.6	29	–21.0	59	–20.8	–16.4	–31.7	30	47	29	47	59	47
400	30	7176	29	7182	59	7179	7390	6845	30	–33.3	29	–32.7	59	–33.0	–27.6	–45.0	30	49	29	46	59	48
300	30	9138	29	9147	59	9143	9380	8760	30	–47.5	29	–47.1	59	–47.3	–42.1	–51.9	—	—	—	—	—	—
200	30	11751	29	11746	59	11749	12000	11170	30	–55.4	29	–55.5	59	–55.5	–43.0	–65.0	—	—	—	—	—	—
150	30	13600	29	13605	59	13603	13810	13330	30	–54.0	29	–53.6	59	–53.8	–45.6	–62.7	—	—	—	—	—	—
100	30	16182	29	16204	59	16193	16370	15970	30	–55.6	29	–54.9	59	–55.3	–47.4	–62.5	—	—	—	—	—	—
70	29	18458	28	18486	57	18472	18720	18260	29	–55.6	28	–55.3	57	–55.5	–48.7	–60.3	—	—	—	—	—	—
50	27	20589	28	20632	55	20611	20920	20370	27	–55.5	28	–54.7	55	–55.1	–49.9	–60.0	—	—	—	—	—	—

mensuelles

Mai 1959

Surface de pression standard (mb)	Hauteur de la surface de pression standard (en gpm)								Température ° C								Humidité relative %					
	00		12		Dies		Max.	Min.	00		12		Dies		Max.	Min.	00		12		Dies	
	n	Moy	n	Moy	n	Moy			n	Moy	n	Moy	n	Moy			n	Moy	n	Moy	n	Moy
Surface	—	—	—	—	—	—	—	—	28	10.1	31	16.2	59	13.2	21.2	3.6	28	88	31	61	59	75
1000	28	127	31	118	59	123	196	022	—	—	—	—	—	—	—	—	—	—	—	—	—	—
850	28	1472	31	1482	59	1477	1555	1405	28	7.3	31	7.8	59	7.6	13.6	–1.7	28	79	31	71	59	75
700	28	3036	31	3047	59	3042	3135	2980	28	–2.7	31	–2.3	59	–2.5	4.7	–10.0	28	72	31	62	59	67
500	28	5628	31	5636	59	5632	5725	5515	28	–19.2	31	–19.2	59	–19.2	–13.6	–27.9	28	52	31	41	59	47
400	28	7246	31	7255	59	7251	7385	7095	28	–31.4	31	–31.4	59	–31.4	–25.5	–41.9	28	54	31	48	59	51
300	28	9218	31	9229	59	9224	9375	9000	28	–46.7	31	–46.4	59	–46.6	–41.3	–53.1	—	—	—	—	—	—
200	28	11829	31	11837	59	11833	12000	11630	28	–56.7	31	–56.9	59	–56.8	–47.0	–63.9	—	—	—	—	—	—
150	28	13663	31	13656	59	13659	13810	13450	28	–54.0	31	–53.8	59	–53.9	–47.9	–58.0	—	—	—	—	—	—
100	28	16269	30	16274	58	16272	16450	15990	28	–54.3	30	–53.8	58	–54.1	–49.3	–61.0	—	—	—	—	—	—
70	25	18562	30	18562	55	18562	18760	18190	25	–55.5	30	–54.4	55	–55.0	–49.8	–63.0	—	—	—	—	—	—
50	18	20738	30	20719	48	20729	20930	20470	18	–54.3	30	–53.8	48	–54.1	–48.4	–56.6	—	—	—	—	—	—

Juin 1959

Surface de pression standard (mb)	Hauteur de la surface de pression standard (en gpm)								Température ° C								Humidité relative %					
	00		12		Dies		Max.	Min.	00		12		Dies		Max.	Min.	00		12		Dies	
	n	Moy	n	Moy	n	Moy			n	Moy	n	Moy	n	Moy			n	Moy	n	Moy	n	Moy
Surface	—	—	—	—	—	—	—	—	30	13.7	30	19.4	60	16.6	25.0	5.2	30	89	30	63	60	76
1000	30	166	30	158	60	162	225	074	—	—	—	—	—	—	—	—	—	—	—	—	—	—
850	30	1528	30	1534	60	1531	1585	1435	30	10.3	30	10.3	60	10.3	16.1	1.2	30	78	30	73	60	76
700	30	3110	30	3115	60	3113	3190	3000	30	0.2	30	0.5	60	0.4	5.7	–8.3	30	79	30	77	60	78
500	30	5730	30	5734	60	5732	5855	5565	30	–15.8	30	–16.2	60	–16.0	–11.6	–22.9	30	56	30	51	60	54
400	30	7373	30	7372	60	7373	7530	7160	30	–27.8	30	–28.1	60	–28.0	–22.3	–35.2	30	54	30	53	60	54
300	30	9376	30	9372	60	9374	9550	9090	30	–42.9	30	–43.4	60	–43.2	–36.7	–52.3	—	—	—	—	—	—
200	30	12006	30	11999	60	12003	12180	11760	30	–57.6	30	–58.1	60	–57.9	–44.0	–63.9	—	—	—	—	—	—
150	30	13824	30	13816	60	13820	14000	13630	30	–55.5	30	–55.4	60	–55.5	–46.1	–61.9	—	—	—	—	—	—
100	30	16417	30	16408	60	16413	16600	16220	30	–55.1	30	–55.0	60	–55.1	–49.2	–60.7	—	—	—	—	—	—
70	26	18699	29	18685	55	18692	18900	18470	26	–54.6	29	–54.3	55	–54.5	–50.0	–58.4	—	—	—	—	—	—
50	25	20855	29	20845	54	20850	21100	20630	25	–53.7	29	–52.4	54	–53.1	–47.6	–56.4	—	—	—	—	—	—

Juillet 1959

Surface de pression standard (mb)	Hauteur de la surface de pression standard (en gpm)								Température ° C								Humidité relative %					
	00		12		Dies		Max.	Min.	00		12		Dies		Max.	Min.	00		12		Dies	
	n	Moy	n	Moy	n	Moy			n	Moy	n	Moy	n	Moy			n	Moy	n	Moy	n	Moy
Surface	—	—	—	—	—	—	—	—	31	16.1	31	23.0	62	19.6	28.5	11.5	31	83	31	61	62	72
1000	31	153	31	145	62	149	250	73	—	—	—	—	—	—	—	—	—	—	—	—	—	—
850	30	1534	31	1541	61	1538	1605	1450	30	14.5	31	14.6	61	14.6	20.3	6.0	30	67	31	63	61	65
700	30	3137	31	3143	61	3140	3215	3025	30	3.9	31	4.2	61	4.0	10.9	–4.5	30	62	31	56	61	59
500	30	5789	31	5799	61	5794	5920	5635	30	–12.8	31	–12.2	61	–12.5	–6.3	–20.6	30	37	31	31	61	34
400	30	7455	31	7468	61	7462	7640	7265	30	–24.1	31	–23.6	61	–23.9	–16.7	–33.3	30	43	31	33	61	38
300	30	9486	31	9505	61	9496	9690	9210	30	–39.7	31	–39.2	61	–39.5	–32.5	–51.9	—	—	—	—	—	—
200	30	12145	31	12174	61	12160	12450	11850	30	–54.3	31	–54.6	61	–54.5	–44.1	–61.6	—	—	—	—	—	—
150	30	13996	31	14012	61	14004	14260	13750	30	–53.7	31	–54.7	61	–54.2	–44.6	–63.2	—	—	—	—	—	—
100	30	16592	31	16601	61	16597	16800	16380	30	–55.4	31	–55.5	61	–55.5	–48.3	–62.2	—	—	—	—	—	—
70	26	18864	30	18867	56	18866	19040	18630	26	–55.3	30	–56.1	56	–55.6	–51.5	–60.0	—	—	—	—	—	—
50	23	21016	30	21013	53	21015	21180	20770	23	–53.1	30	–53.4	53	–53.3	–49.8	–57.5	—	—	—	—	—	—

Août 1959

Surface de pression standard (mb)	Hauteur de la surface de pression standard (en gpm)								Température ° C								Humidité relative %					
	00		12		Dies		Max.	Min.	00		12		Dies		Max.	Min.	00		12		Dies	
	n	Moy	n	Moy	n	Moy			n	Moy	n	Moy	n	Moy			n	Moy	n	Moy	n	Moy
Surface	—	—	—	—	—	—	—	—	31	14.6	31	20.6	62	17.6	25.8	10.2	31	87	31	66	62	77
1000	31	156	31	148	62	152	218	105	—	—	—	—	—	—	—	—	—	—	—	—	—	—
850	31	1528	30	1525	61	1527	1615	1490	31	11.9	30	11.4	61	11.7	17.9	6.1	31	85	30	77	61	81
700	31	3119	30	3115	61	3117	3235	3060	31	2.3	30	2.1	61	2.2	8.6	–2.9	31	77	30	60	61	69
500	31	5761	30	5752	61	5757	5895	5650	31	–13.3	30	–14.5	61	–13.9	–7.9	–19.1	31	43	30	32	61	38
400	31	7423	30	7402	61	7413	7555	7270	31	–24.7	30	–26.1	61	–25.4	–19.0	–34.2	31	45	30	38	61	42
300	31	9449	30	9421	61	9435	9620	9240	31	–40.4	30	–41.1	61	–40.8	–34.8	–53.0	—	—	—	—	—	—
200	31	12111	30	12081	61	12096	12330	11860	31	–54.0	30	–54.1	61	–54.1	–43.9	–61.3	—	—	—	—	—	—
150	31	13951	30	13923	61	13937	14130	13710	31	–54.4	30	–54.5	61	–54.5	–48.5	–68.4	—	—	—	—	—	—
100	29	16554	30	16515	59	16535	16700	16410	29	–55.1	30	–55.4	59	–55.3	–50.4	–61.7	—	—	—	—	—	—
70	26	18833	29	18762	55	18798	19000	18000	26	–54.6	29	–54.2	55	–54.4	–45.1	–61.7	—	—	—	—	—	—
50	23	21002	26	20940	49	20971	21170	20800	23	–53.1	26	–53.1	49	–53.1	–46.8	–58.4	—	—	—	—	—	—

Moyennes

Septembre 1959

Surface de pression standard (mb)	Hauteur de la surface de pression standard (en gpm)								Température ° C								Humidité relative %					
	00		12		Dies		Max.	Min.	00		12		Dies		Max.	Min.	00		12		Dies	
	n	Moy	n	Moy	n	Moy			n	Moy	n	Moy	n	Moy			n	Moy	n	Moy	n	Moy
Surface	—	—	—	—	—	—	—	—	30	12.7	30	18.5	60	15.6	24.5	9.0	30	83	30	65	60	74
1000	30	161	30	157	60	159	214	104	—	—	—	—	—	—	—	—	—	—	—	—	—	—
850	30	1525	30	1532	60	1528	1575	1485	30	11.3	30	11.3	60	11.3	16.5	5.7	30	83	30	76	60	80
700	30	3116	30	3124	60	3120	3180	3065	30	1.8	30	1.9	60	1.9	7.0	–2.1	30	63	30	59	60	61
500	30	5749	30	5756	60	5753	5840	5660	30	–15.1	30	–15.1	60	–15.1	–10.0	–20.8	30	38	30	40	60	39
400	30	7393	30	7405	60	7399	7525	7230	30	–26.6	30	–26.5	60	–26.5	–19.3	–31.7	30	39	30	41	60	40
300	30	9408	30	9416	60	9412	9600	9250	30	–42.4	30	–42.5	60	–42.4	–36.1	–48.2	—	—	—	—	—	—
200	30	12033	30	12041	60	12037	12290	11840	30	–58.8	30	–58.8	60	–58.8	–52.3	–63.7	—	—	—	—	—	—
150	30	13837	30	13844	60	13840	14060	13690	30	–58.9	30	–59.2	60	–59.0	–50.7	–68.1	—	—	—	—	—	—
100	28	16389	30	16384	58	16386	16550	16220	28	–58.6	30	–59.0	58	–58.8	–51.6	–69.6	—	—	—	—	—	—
70	27	18635	29	18624	56	18629	18780	18440	27	–57.3	29	–57.9	56	–57.6	–52.8	–62.8	—	—	—	—	—	—
50	23	20780	27	20742	50	20761	20930	20570	23	–56.0	27	–57.3	50	–56.6	–52.5	–61.4	—	—	—	—	—	—

Octobre 1959

Surface de pression standard (mb)	Hauteur de la surface de pression standard (en gpm)								Température ° C								Humidité relative %					
	00		12		Dies		Max.	Min.	00		12		Dies		Max.	Min.	00		12		Dies	
	n	Moy	n	Moy	n	Moy			n	Moy	n	Moy	n	Moy			n	Moy	n	Moy	n	Moy
Surface	—	—	—	—	—	—	—	—	31	6.8	31	10.8	62	8.8	15.2	1.8	31	97	31	91	62	94
1000	31	171	31	168	62	170	296	–120	—	—	—	—	—	—	—	—	—	—	—	—	—	—
850	31	1511	29	1510	60	1510	1620	1240	31	6.2	29	5.7	60	6.0	11.6	–4.8	31	78	29	70	60	74
700	31	3078	29	3074	60	3076	3205	2790	31	–1.8	29	–2.7	60	–2.2	5.5	–14.4	31	55	29	63	60	59
500	31	5680	29	5670	60	5675	5855	5305	31	–17.9	29	–18.3	60	–18.1	–12.4	–26.4	31	44	29	49	60	47
400	31	7308	29	7297	60	7302	7500	6900	31	–29.9	29	–30.3	60	–30.1	–24.1	–37.5	31	48	29	52	60	50
300	31	9296	29	9282	60	9289	9500	8860	31	–45.4	29	–45.1	60	–45.3	–39.0	–50.0	—	—	—	—	—	—
200	31	11896	29	11889	60	11893	12150	11430	31	–60.4	29	–59.3	60	–59.8	–53.1	–67.1	—	—	—	—	—	—
150	28	13699	29	13687	57	13693	13940	13270	28	–60.2	29	–59.4	57	–59.8	–53.0	–66.7	—	—	—	—	—	—
100	27	16225	28	16213	55	16219	16330	15870	27	–60.7	28	–60.1	55	–60.4	–53.9	–68.5	—	—	—	—	—	—
70	25	18446	18	18442	43	18444	18660	18120	25	–60.0	18	–58.4	43	–59.2	–54.9	–66.2	—	—	—	—	—	—
50	21	20464	17	20557	38	20510	20800	19470	21	–60.0	17	–58.8	38	–59.4	–55.9	–64.6	—	—	—	—	—	—

Novembre 1959

Surface de pression standard (mb)	Hauteur de la surface de pression standard (en gpm)								Température ° C								Humidité relative %					
	00		12		Dies		Max.	Min.	00		12		Dies		Max.	Min.	00		12		Dies	
	n	Moy	n	Moy	n	Moy			n	Moy	n	Moy	n	Moy			n	Moy	n	Moy	n	Moy
Surface	—	—	—	—	—	—	—	—	30	2.1	30	3.5	60	2.8	7.4	–1.3	30	100	30	97	60	99
1000	30	144	30	140	60	142	239	–11	—	—	—	—	—	—	—	—	—	—	—	—	—	—
850	30	1458	30	1454	60	1456	1545	1310	30	1.2	30	1.4	60	1.3	10.3	–4.6	30	80	30	72	60	76
700	30	3000	30	3001	60	3001	3115	2870	30	–5.7	30	–5.0	60	–5.4	3.7	–14.5	30	56	30	58	60	57
500	30	5560	30	5566	60	5563	5745	5340	30	–22.7	30	–21.8	60	–22.3	–16.2	–33.6	30	54	30	45	60	50
400	30	7156	30	7168	60	7162	7370	6885	30	–34.6	30	–33.8	60	–34.2	–27.3	–43.1	30	56	30	44	60	50
300	29	9112	30	9125	59	9119	9350	8780	29	–48.9	30	–47.9	59	–48.4	–43.0	–55.8	—	—	—	—	—	—
200	28	11701	29	11719	57	11710	11945	11430	28	–58.5	29	–58.6	57	–58.6	–45.8	–67.6	—	—	—	—	—	—
150	28	13506	29	13523	57	13515	13715	13265	28	–58.5	29	–58.4	57	–58.5	–47.5	–66.5	—	—	—	—	—	—
100	28	16046	28	16071	56	16059	16230	15875	28	–59.7	28	–58.8	56	–59.3	–52.2	–65.8	—	—	—	—	—	—
70	27	18281	23	18303	50	18292	18420	18100	27	–60.3	23	–59.9	50	–60.1	–53.2	–67.4	—	—	—	—	—	—
50	27	20377	18	20394	45	20386	20630	20130	27	–60.5	18	–60.3	45	–60.4	–53.8	–67.4	—	—	—	—	—	—

Décembre 1959

Surface de pression standard (mb)	Hauteur de la surface de pression standard (en gpm)								Température ° C								Humidité relative %					
	00		12		Dies		Max.	Min.	00		12		Dies		Max.	Min.	00		12		Dies	
	n	Moy	n	Moy	n	Moy			n	Moy	n	Moy	n	Moy			n	Moy	n	Moy	n	Moy
Surface	—	—	—	—	—	—	—	—	31	1.7	31	3.5	62	2.6	9.8	–5.0	31	95	62	96	31	96
1000	31	96	31	98	62	97	234	–108	—	—	—	—	—	—	—	—	—	—	—	—	—	—
850	31	1400	31	1413	62	1407	1570	1215	31	–0.1	31	0.1	62	0.0	8.7	–7.5	31	88	62	89	31	89
700	31	2937	31	2951	62	2944	3130	2775	31	–7.1	31	–7.5	62	–7.3	–0.4	–13.4	31	67	62	72	31	77
500	31	5480	31	5492	62	5486	5750	5325	31	–24.5	31	–23.7	62	–24.1	–14.2	–31.3	31	55	62	63	31	70
400	31	7065	31	7084	62	7075	7400	6850	31	–36.4	31	–35.3	62	–35.9	–25.0	–45.0	31	61	62	65	31	68
300	30	9001	31	9031	61	9016	9400	8760	30	–49.7	31	–48.7	61	–49.2	–39.6	–58.7	—	—	—	—	—	—
200	30	11600	31	11634	61	11617	11990	11340	30	–57.2	31	–57.1	61	–57.2	–45.1	–68.1	—	—	—	—	—	—
150	30	13414	31	13443	61	13429	13750	13090	30	–57.9	31	–57.6	61	–57.8	–48.0	–69.7	—	—	—	—	—	—
100	30	15960	30	16007	60	15984	16270	15620	30	–59.7	30	–58.9	60	–59.3	–47.2	–72.0	—	—	—	—	—	—
70	28	18180	25	18203	53	18192	18470	17440	28	–61.8	25	–60.7	53	–61.3	–54.7	–74.4	—	—	—	—	—	—
50	28	20267	22	20304	50	20286	20590	19820	28	–61.8	22	–62.0	50	–61.9	–54.0	–74.4	—	—	—	—	—	—

mensuelles

Janvier 1959

Surface de pression standard (mb)	Vecteur du vent moyen								
	00			12			Dies		
	n	dd	ff	n	dd	ff	n	dd	ff
Surface	31	225	06	31	223	01	62	224	05
1000	—	—	—	—	—	—	—	—	—
850	31	243	17	31	243	12	62	243	14
700	31	275	17	31	283	15	62	279	16
500	31	292	27	30	305	26	61	299	27
400	31	303	37	29	306	33	60	305	35
300	30	299	38	27	310	45	57	305	41
200	29	299	41	26	304	36	55	301	39
150	29	295	35	26	305	38	55	300	36
100	28	285	36	25	305	31	53	293	33
70	27	287	32	23	299	31	50	292	32
50	27	283	28	22	296	27	49	288	27

Février 1959

Surface de pression standard (mb)	Vecteur du vent moyen								
	00			12			Dies		
	n	dd	ff	n	dd	ff	n	dd	ff
Surface	28	61	02	28	31	02	56	48	02
1000	—	—	—	—	—	—	—	—	—
850	26	63	04	28	58	03	54	61	04
700	26	43	02	28	74	02	54	58	02
500	26	360	05	28	318	03	54	346	04
400	26	350	06	28	319	02	54	344	04
300	26	345	10	28	355	07	54	349	09
200	25	357	16	28	7	11	53	1	13
150	24	339	17	28	334	12	52	337	14
100	24	327	17	27	327	14	51	327	16
70	24	325	14	27	326	15	51	325	15
50	24	323	14	26	330	13	50	326	14

Mars 1959

Surface de pression standard (mb)	Vecteur du vent moyen								
	00			12			Dies		
	n	dd	ff	n	dd	ff	n	dd	ff
Surface	31	212	01	31	43	01	62	00	00
1000	—	—	—	—	—	—	—	—	—
850	31	228	03	31	210	01	62	225	02
700	31	227	10	31	220	07	62	225	09
500	31	210	14	31	238	10	62	239	12
400	31	236	17	31	245	18	62	241	18
300	31	253	21	31	244	27	62	248	24
200	31	264	17	30	262	20	61	263	18
150	31	275	17	29	272	16	60	274	16
100	31	286	13	29	285	10	60	285	12
70	28	289	09	28	302	08	56	295	09
50	27	290	07	28	331	08	55	311	07

Avril 1959

Surface de pression standard (mb)	Vecteur du vent moyen								
	00			12			Dies		
	n	dd	ff	n	dd	ff	n	dd	ff
Surface	30	206	02	29	278	02	59	234	02
1000	—	—	—	—	—	—	—	—	—
850	30	243	05	29	237	04	59	239	05
700	30	245	08	29	247	05	59	246	07
500	30	280	11	29	293	10	59	286	10
400	30	294	13	29	289	13	59	291	13
300	30	299	15	29	293	16	59	295	15
200	30	302	21	28	297	18	58	300	19
150	30	300	16	28	298	15	58	299	15
100	29	303	10	28	288	11	57	295	10
70	28	300	05	27	271	06	55	289	05
50	26	324	03	27	264	04	53	288	03

Mai 1959

Surface de pression standard (mb)	Vecteur du vent moyen								
	00			12			Dies		
	n	dd	ff	n	dd	ff	n	dd	ff
Surface	28	00	00	31	28	03	59	29	02
1000	—	—	—	—	—	—	—	—	—
850	28	53	03	31	55	03	59	54	03
700	28	333	01	31	56	02	59	29	02
500	28	309	06	31	317	03	59	311	04
400	28	318	07	31	305	07	59	311	07
300	28	302	09	31	293	09	59	297	09
200	28	290	13	31	290	11	59	290	12
150	28	295	08	31	291	10	59	293	09
100	28	259	07	30	278	08	58	269	07
70	25	275	04	30	264	04	55	269	04
50	18	269	04	30	240	02	48	254	03

Juin 1959

Surface de pression standard (mb)	Vecteur du vent moyen								
	00			12			Dies		
	n	dd	ff	n	dd	ff	n	dd	ff
Surface	30	17	02	30	206	01	60	00	00
1000	—	—	—	—	—	—	—	—	—
850	30	276	01	30	331	02	60	311	01
700	30	264	04	30	295	03	60	278	03
500	30	298	08	30	298	07	60	298	08
400	30	300	08	30	299	11	60	299	10
300	30	279	08	30	308	14	60	298	10
200	30	304	15	30	303	15	60	303	15
150	30	286	15	30	291	14	60	289	14
100	29	281	09	30	279	10	59	280	10
70	26	294	02	29	280	05	55	283	03
50	25	195	01	29	272	04	54	261	02

Juillet 1959

Surface de pression standard (mb)	Vecteur du vent moyen								
	00			12			Dies		
	n	dd	ff	n	dd	ff	n	dd	ff
Surface	31	185	01	31	323	01	62	284	01
1000	—	—	—	—	—	—	—	—	—
850	30	29	01	31	284	02	61	315	01
700	30	273	05	31	265	07	61	269	06
500	30	298	13	31	285	13	61	292	13
400	30	291	14	31	290	13	61	290	13
300	30	284	17	31	288	17	61	286	17
200	29	277	21	31	282	22	60	280	21
150	29	268	21	31	271	23	60	270	22
100	29	262	16	31	269	10	60	264	12
70	26	247	06	30	207	03	56	233	04
50	21	240	03	30	167	04	51	192	03

Août 1959

Surface de pression standard (mb)	Vecteur du vent moyen								
	00			12			Dies		
	n	dd	ff	n	dd	ff	n	dd	ff
Surface	31	00	00	31	27	04	62	27	02
1000	—	—	—	—	—	—	—	—	—
850	31	50	04	30	58	03	61	54	04
700	31	267	01	30	225	02	61	240	01
500	31	319	06	30	304	05	61	312	05
400	31	314	08	30	306	08	61	310	08
300	31	325	14	30	312	13	61	319	13
200	31	313	15	30	295	13	61	305	14
150	30	297	16	30	292	17	60	294	16
100	30	288	09	30	287	10	60	288	10
70	26	309	04	29	284	06	55	293	05
50	23	319	03	26	292	03	49	304	03

Septembre 1959

Surface de pression standard (mb)	Vecteur du vent moyen								
	00			12			Dies		
	n	dd	ff	n	dd	ff	n	dd	ff
Surface	30	86	01	30	30	03	60	39	02
1000	—	—	—	—	—	—	—	—	—
850	30	58	01	30	90	02	60	71	02
700	30	212	01	30	170	02	60	187	02
500	30	260	01	30	214	03	60	231	03
400	30	240	04	30	242	08	60	241	06
300	30	270	06	30	232	09	60	247	08
200	30	285	12	29	251	11	59	270	12
150	30	282	12	29	271	12	59	277	12
100	28	286	14	29	282	09	57	284	12
70	27	295	12	29	302	10	56	298	11
50	23	305	10	27	311	07	50	308	08

Octobre 1959

Surface de pression standard (mb)	Vecteur du vent moyen								
	00			12			Dies		
	n	dd	ff	n	dd	ff	n	dd	ff
Surface	31	205	01	31	229	01	62	213	01
1000	—	—	—	—	—	—	—	—	—
850	30	232	03	29	228	04	59	230	03
700	30	247	04	29	253	07	59	250	06
500	31	252	04	29	248	06	60	250	05
400	31	292	08	29	271	08	60	281	08
300	31	286	09	29	274	09	60	280	09
200	31	295	09	29	283	12	60	288	10
150	28	300	12	29	297	14	57	298	13
100	27	313	12	27	284	11	54	298	13
70	25	302	07	18	305	08	43	303	07
50	21	278	07	17	285	06	38	280	06

Novembre 1959

Surface de pression standard (mb)	Vecteur du vent moyen								
	00			12			Dies		
	n	dd	ff	n	dd	ff	n	dd	ff
Surface	30	09	00	30	00	00	60	00	00
1000	—	—	—	—	—	—	—	—	—
850	30	221	04	30	208	03	60	215	03
700	30	229	07	30	203	06	60	217	06
500	29	252	07	30	224	08	59	237	08
400	29	265	09	30	228	09	59	245	09
300	29	249	17	30	258	13	59	253	15
200	28	267	16	29	270	19	57	269	18
150	28	278	13	29	264	16	57	272	14
100	24	282	13	28	283	12	56	282	12
70	27	278	14	23	272	10	50	275	12
50	27	279	12	18	253	10	45	269	11

Décembre 1959

Surface de pression standard (mb)	Vecteur du vent moyen								
	00			12			Dies		
	n	dd	ff	n	dd	ff	n	dd	ff
Surface	31	215	03	31	228	01	62	222	03
1000	—	—	—	—	—	—	—	—	—
850	31	244	14	31	242	11	62	243	13
700	31	279	11	31	278	12	62	284	12
500	31	269	14	31	288	15	62	279	14
400	31	267	15	31	281	16	62	274	15
300	30	281	21	31	291	21	61	286	21
200	30	290	25	31	291	26	61	290	25
150	29	291	25	31	292	25	60	291	25
100	29	282	25	30	283	21	59	282	23
70	28	276	24	25	277	20	53	276	22
50	28	277	21	22	279	19	50	278	22

Moyennes

Vitesse du vent (ff) m

Janvier 1959 — 00.00 h

Surface de pression standard (mb)	Vent ndd, (ff) m 00																							
	N		30°		60°		E		120°		150°		S		210°		240°		W		300°		330°		n C
	n		n		n		n		n		n		n		n		n		n		n		n		
Surface	—	—	2	6	1	7	—	—	—	—	—	—	—	—	11	9	8	13	—	—	—	—	—	—	9
1000	—	—	—	—	—	—	—	—	—	—	—	—	—	—	—	—	—	—	—	—	—	—	—	—	—
850	1	13	1	4	3	16	2	15	—	—	—	—	—	—	—	—	18	31	3	18	1	7	—	—	2
700	1	17	2	34	4	20	—	—	—	—	—	—	—	—	—	—	8	44	8	23	5	26	3	15	—
500	2	50	4	32	1	27	—	—	—	—	—	—	—	—	—	—	7	49	4	64	9	33	4	34	—
400	2	63	4	37	1	27	—	—	—	—	—	—	—	—	—	—	5	52	5	54	8	59	6	47	—
300	2	53	3	65	1	33	—	—	—	—	—	—	—	—	—	—	8	53	4	80	5	62	7	53	—
200	3	43	2	55	1	28	—	—	—	—	—	—	—	—	—	—	4	65	6	53	9	62	4	47	—
150	4	31	2	41	1	27	—	—	—	—	—	—	—	—	—	—	4	62	6	54	8	49	4	42	—
100	2	29	3	22	—	—	—	—	—	—	—	—	—	—	—	—	3	75	8	54	10	41	2	29	—
70	2	29	2	17	2	17	—	—	—	—	—	—	—	—	—	—	2	70	9	47	8	43	2	25	—
50	1	40	1	22	2	24	—	—	—	—	—	—	—	—	—	—	4	51	8	43	8	39	2	18	—

Février 1959

Surface de pression standard (mb)	Vent ndd, (ff) m 00																							
	N		30°		60°		E		120°		150°		S		210°		240°		W		300°		330°		C
	n		n		n		n		n		n		n		n		n		n		n		n		n
Surface	—	—	2	8	4	14	—	—	—	—	—	—	1	7	1	7	1	9	—	—	—	—	—	—	19
1000	—	—	—	—	—	—	—	—	—	—	—	—	—	—	—	—	—	—	—	—	—	—	—	—	—
850	—	—	—	—	13	13	—	—	2	4	—	—	1	7	1	5	3	12	2	7	—	—	—	—	4
700	1	8	2	16	4	14	2	10	2	10	3	5	2	5	2	6	3	8	1	15	2	5	2	19	—
500	3	36	2	25	2	24	—	—	1	12	3	12	4	16	3	7	1	5	2	8	1	28	4	19	—
400	1	66	2	28	2	30	1	17	1	2	2	30	3	22	3	13	1	5	2	11	1	24	7	25	—
300	2	72	3	28	2	33	—	—	2	14	2	26	1	55	4	21	2	13	—	—	2	30	6	34	—
200	3	49	3	26	3	32	—	—	—	—	1	8	5	7	—	—	—	—	1	15	2	25	7	25	—
150	3	14	5	22	1	28	—	—	—	—	1	10	—	—	2	7	2	9	1	5	3	31	6	40	—
100	6	15	3	19	1	5	—	—	—	—	—	—	—	—	1	6	1	7	—	—	7	29	5	24	—
70	6	10	1	27	1	3	—	—	—	—	—	—	—	—	—	—	—	—	—	—	9	19	6	20	1
50	6	10	3	7	—	—	—	—	—	—	—	—	—	—	—	—	—	—	—	—	8	22	6	19	1

Mars 1959

Surface de pression standard (mb)	Vent ndd, (ff) m 00																							
	N		30°		60°		E		120°		150°		S		210°		240°		W		300°		330°		C
	n		n		n		n		n		n		n		n		n		n		n		n		n
Surface	1	2	1	6	1	2	—	—	—	—	—	—	1	6	4	6	1	7	—	—	—	—	—	—	22
1000	—	—	—	—	—	—	—	—	—	—	—	—	—	—	—	—	—	—	—	—	—	—	—	—	—
850	1	15	3	9	4	11	1	6	—	—	1	3	2	18	5	11	8	13	1	8	—	—	3	5	2
700	1	4	4	11	2	9	—	—	2	15	—	—	—	—	8	24	10	18	1	16	3	7	—	—	—
500	1	38	2	25	2	15	1	8	—	—	1	17	3	23	6	22	8	34	4	23	3	16	—	—	—
400	2	19	1	55	—	—	1	7	—	—	3	21	4	29	4	31	9	37	3	28	3	26	1	28	—
300	2	45	1	66	1	3	—	—	—	—	2	22	3	27	5	37	8	37	4	53	3	39	2	18	—
200	4	21	1	98	—	—	—	—	—	—	2	10	—	—	6	34	7	36	5	29	3	25	3	24	—
150	3	18	2	44	1	7	—	—	—	—	—	—	1	4	—	—	9	35	10	20	4	22	1	33	—
100	3	24	2	11	2	8	—	—	—	—	—	—	—	—	1	9	8	27	5	25	3	16	6	19	1
70	7	20	3	10	2	5	1	4	—	—	—	—	1	20	—	—	8	25	3	17	2	24	1	5	—
50	6	16	4	10	3	6	1	7	—	—	1	9	—	—	1	2	6	28	3	18	2	18	—	—	—

Avril 1959

Surface de pression standard (mb)	Vent ndd, (ff) m 00																							
	N		30°		60°		E		120°		150°		S		210°		240°		W		300°		330°		C
	n		n		n		n		n		n		n		n		n		n		n		n		n
Surface	—	—	—	—	3	5	1	4	—	—	—	—	2	5	8	7	2	11	—	—	—	—	—	—	14
1000	—	—	—	—	—	—	—	—	—	—	—	—	—	—	—	—	—	—	—	—	—	—	—	—	—
850	—	—	2	9	8	18	1	8	—	—	—	—	—	—	5	10	10	25	3	13	—	—	1	10	—
700	2	6	5	16	4	24	—	—	—	—	1	18	1	22	5	25	5	36	6	19	—	—	1	16	—
500	6	20	9	8	2	25	1	16	1	33	1	55	—	—	3	22	4	37	7	32	2	44	—	—	—
400	4	26	3	36	1	48	—	—	2	28	—	—	1	44	3	24	5	33	5	30	3	42	3	32	—
300	3	33	5	43	—	—	—	—	1	58	—	—	3	29	1	38	5	38	4	38	5	41	3	23	—
200	4	32	2	63	1	22	—	—	1	16	1	15	1	36	1	30	4	27	5	54	5	47	5	25	—
150	1	17	3	37	—	—	—	—	—	—	1	8	—	—	3	16	3	23	8	24	3	43	8	20	—
100	2	12	3	34	—	—	—	—	—	—	—	—	1	12	1	14	4	20	8	19	1	11	7	16	2
70	2	8	3	23	1	12	—	—	—	—	2	5	1	5	1	15	5	13	7	11	1	8	5	11	—
50	1	6	3	19	2	12	1	4	2	6	1	5	—	—	2	7	3	13	6	7	1	7	4	9	—

mensuelles

Janvier 1959

Vitesse du vent (ff) m

12.00 h

Surface de pression standard (mb)	Vent ndd, (ff)m 12																							
	N		30°		60°		E		120°		150°		S		210°		240°		W		300°		330°		C
	n		n		n		n		n		n		n		n		n		n		n		n		n
Surface	—	—	2	8	2	11	—	—	1	7	—	—	—	—	7	14	6	11	1	7	—	—	1	8	11
1000	—	—	—	—	—	—	—	—	—	—	—	—	—	—	—	—	—	—	—	—	—	—	—	—	—
850	1	8	—	—	6	16	1	5	—	—	—	—	—	—	3	24	14	27	2	13	2	10	1	17	1
700	3	14	3	21	—	—	3	9	—	—	—	—	—	—	—	—	7	32	6	29	5	24	4	18	—
500	4	34	1	18	2	33	—	—	—	—	—	—	—	—	—	—	6	42	3	36	7	43	7	40	—
400	3	45	2	31	1	33	—	—	—	—	—	—	—	—	—	—	4	49	3	47	10	47	6	44	—
300	2	67	2	39	1	56	—	—	—	—	—	—	—	—	—	—	2	86	4	64	8	56	8	60	—
200	2	68	3	32	—	—	1	66	—	—	—	—	—	—	—	—	2	74	5	67	8	47	5	45	—
150	2	45	2	30	1	50	—	—	—	—	—	—	—	—	—	—	2	56	4	61	10	50	5	45	—
100	3	28	2	26	1	27	—	—	—	—	—	—	—	—	—	—	—	—	6	45	11	40	2	44	—
70	2	28	2	17	2	19	—	—	—	—	—	—	—	—	—	—	—	—	7	50	8	43	2	37	—
50	1	12	3	17	2	13	—	—	—	—	—	—	—	—	—	—	—	—	7	47	7	37	2	31	—

Février 1959

Surface de pression standard (mb)	Vent ndd, (ff)m 12																							
	N		30°		60°		E		120°		150°		S		210°		240°		W		300°		330°		C
	n		n		n		n		n		n		n		n		n		n		n		n		n
Surface	—	—	4	12	—	—	1	3	—	—	—	—	—	—	1	5	—	—	—	—	—	—	—	—	22
1000	—	—	—	—	—	—	—	—	—	—	—	—	—	—	—	—	—	—	—	—	—	—	—	—	—
850	3	5	—	—	8	13	3	8	—	—	1	5	—	—	2	5	4	7	1	2	—	—	2	6	4
700	2	13	2	12	5	13	4	9	—	—	2	6	4	12	3	7	2	9	—	—	1	11	2	12	1
500	4	24	1	39	2	6	1	17	3	16	—	—	4	17	3	15	4	6	2	22	2	16	1	47	1
400	2	55	1	40	1	10	2	28	4	19	—	—	3	29	3	8	1	7	3	18	4	14	4	26	—
300	2	61	2	46	2	30	1	20	2	34	2	21	4	33	1	22	2	12	2	20	2	34	6	28	—
200	6	42	—	—	4	31	1	43	1	68	2	15	2	24	1	8	2	23	2	37	1	10	6	21	—
150	4	26	1	24	3	26	—	—	1	7	1	5	1	22	1	8	2	9	3	22	3	23	8	22	—
100	7	19	1	8	1	22	—	—	—	—	—	—	—	—	1	3	1	4	3	24	5	19	8	20	—
70	4	11	2	12	1	17	—	—	—	—	—	—	—	—	—	—	1	2	2	4	8	20	9	24	—
50	4	10	4	12	—	—	—	—	—	—	—	—	—	—	—	—	1	2	2	6	5	18	10	21	—

Mars 1959

Surface de pression standard (mb)	Vent ndd, (ff)m 12																							
	N		30°		60°		E		120°		150°		S		210°		240°		W		300°		330°		C
	n		n		n		n		n		n		n		n		n		n		n		n		n
Surface	2	3	6	5	2	16	—	—	1	5	—	—	—	—	2	8	3	6	—	—	1	2	—	—	14
1000	—	—	—	—	—	—	—	—	—	—	—	—	—	—	—	—	—	—	—	—	—	—	—	—	—
850	4	5	2	12	4	17	1	5	1	6	1	5	4	3	3	14	6	13	—	—	1	5	—	—	4
700	—	—	5	11	2	25	—	—	1	20	2	5	3	12	7	23	7	18	2	19	1	5	1	7	—
500	3	16	1	11	2	17	—	—	1	11	1	22	2	15	8	33	5	28	4	28	3	31	—	—	1
400	1	22	1	4	1	16	1	11	—	—	1	23	2	16	8	25	8	31	4	39	2	32	2	33	—
300	1	36	2	44	—	—	—	—	—	—	1	19	3	29	8	44	5	57	7	42	2	42	2	24	—
200	2	38	1	44	2	4	—	—	—	—	—	—	—	—	5	43	7	41	8	21	1	50	4	30	—
150	2	29	2	22	1	10	—	—	—	—	—	—	—	—	2	16	9	34	6	22	1	25	6	17	—
100	5	19	2	17	1	5	1	6	—	—	—	—	—	—	1	17	7	31	4	14	2	17	6	11	—
70	2	28	4	16	5	9	—	—	—	—	1	2	—	—	1	11	4	35	3	23	4	16	4	11	—
50	4	22	8	12	5	11	—	—	—	—	—	—	1	11	—	—	4	29	1	38	2	23	3	12	—

Avril 1959

Surface de pression standard (mb)	Vent ndd, (ff)m 12																							
	N		30°		60°		E		120°		150°		S		210°		240°		W		300°		330°		C
	n		n		n		n		n		n		n		n		n		n		n		n		n
Surface	1	5	5	10	4	11	—	—	—	—	—	—	—	—	4	12	7	8	1	27	1	5	2	4	4
1000	—	—	—	—	—	—	—	—	—	—	—	—	—	—	—	—	—	—	—	—	—	—	—	—	—
850	1	16	—	—	9	13	1	7	1	11	—	—	1	8	3	15	9	19	2	23	—	—	—	—	2
700	2	14	4	21	4	16	2	6	1	8	2	14	1	7	3	27	7	26	3	26	—	—			
500	4	16	6	28	—	—	1	36	1	16	—	—	1	33	3	34	4	26	4	35	4	36	1	12	
400	4	18	4	28	1	50	2	42	—	—	—	—	1	48	4	40	3	34	4	35	4	60	2	24	
300	5	24	3	53	—	—	1	68	1	28	—	—	2	39	3	55	3	41	5	37	3	61	3	50	
200	7	32	2	48	1	18	—	—	—	—	1	8	—	—	4	35	4	35	5	33	3	52	1	28	
150	5	26	2	48	1	5	—	—	—	—	—	—	—	—	3	19	6	24	3	42	6	27	2	12	—
100	—	—	2	29	2	15	—	—	—	—	—	—	—	—	3	16	7	17	3	32	4	18	7	15	
70	2	10	1	22	3	10	1	6	—	—	—	—	1	10	3	10	5	13	6	16	2	7	3	10	—
50	1	16	—	—	2	17	4	6	—	—	1	14	1	19	3	9	4	9	4	25	3	5	3	8	1

Moyennes

Vitesse du vent (ff) m

Mai 1959 — 00.00 h

Surface de pression standard (mb)	Vent ndd, (ff) m 00																							
	N		30°		60°		E		120°		150°		S		210°		240°		W		300°		330°		C
	n		n		n		n		n		n		n		n		n		n		n		n		n
Surface	—	—	2	8	1	6	—	—	—	—	—	—	1	7	2	9	2	5	—	—	—	—	—	—	20
1000	—	—	—	—	—	—	—	—	—	—	—	—	—	—	—	—	—	—	—	—	—	—	—	—	—
850	1	8	2	6	7	13	3	8	—	—	1	2	2	2	1	11	2	13	2	5	1	4	1	13	5
700	3	11	2	16	1	7	4	7	2	12	2	12	—	—	4	7	3	12	2	9	3	8	2	16	—
500	3	17	1	28	1	2	3	17	2	10	2	19	2	10	3	20	2	18	1	14	4	27	4	29	—
400	3	39	1	15	3	19	3	12	1	20	2	25	2	10	2	21	3	31	1	14	4	30	3	31	—
300	3	47	—	—	3	31	3	23	1	33	1	14	1	30	3	30	3	29	2	40	7	31	1	20	—
200	4	35	1	17	2	19	1	28	—	—	2	28	—	—	—	—	5	43	4	25	5	27	4	10	—
150	6	21	1	16	1	11	—	—	2	6	—	—	1	11	3	19	4	13	6	16	3	22	1	8	—
100	3	16	—	—	1	12	—	—	—	—	1	6	1	11	5	10	7	16	5	10	5	9	—	—	—
70	2	12	1	14	2	6	—	—	—	—	1	8	1	4	4	12	4	8	3	8	5	12	1	8	1
50	2	12	2	7	—	—	1	6	—	—	1	7	—	—	3	15	1	5	3	12	3	6	—	—	2

Juin 1959

Surface de pression standard (mb)	Vent ndd, (ff) m 00																							
	N		30°		60°		E		120°		150°		S		210°		240°		W		300°		330°		C
	n		n		n		n		n		n		n		n		n		n		n		n		n
Surface	1	8	1	8	1	10	—	—	—	—	—	—	2	5	5	4	2	5	—	—	—	—	—	—	18
1000	—	—	—	—	—	—	—	—	—	—	—	—	—	—	—	—	—	—	—	—	—	—	—	—	—
850	1	2	5	9	6	15	1	7	—	—	—	—	—	—	2	12	7	12	5	5	—	—	—	—	1
700	2	12	4	7	4	25	1	6	—	—	—	—	—	—	—	—	9	15	7	9	1	8	2	6	—
500	1	35	2	25	3	25	—	—	1	22	1	7	2	10	2	12	3	18	8	21	5	13	2	24	—
400	1	23	3	29	1	33	—	—	1	22	1	4	1	18	6	10	2	32	6	24	4	23	4	34	—
300	1	40	—	—	4	33	1	12	—	—	1	13	1	7	3	15	3	26	6	21	5	34	5	37	—
200	1	33	1	53	3	35	—	—	2	15	—	—	2	10	—	—	5	24	7	24	6	36	3	35	—
150	1	22	—	—	3	21	—	—	—	—	—	—	—	—	1	4	6	19	6	22	10	21	3	23	—
100	2	15	1	5	2	10	—	—	—	—	—	—	—	—	1	11	7	18	6	16	8	16	2	11	—
70	—	—	2	8	3	5	1	5	—	—	—	—	—	—	—	—	5	12	9	11	2	9	3	9	1
50	—	—	2	8	—	—	3	4	—	—	—	—	—	—	—	—	5	10	10	8	2	9	1	5	2

Juillet 1959

Surface de pression standard (mb)	Vent ndd, (ff) m 00																							
	N		30°		60°		E		120°		150°		S		210°		240°		W		300°		330°		C
	n		n		n		n		n		n		n		n		n		n		n		n		n
Surface	—	—	1	5	1	5	—	—	1	2	1	5	3	6	3	4	1	7	—	—	—	—	1	2	19
1000	—	—	—	—	—	—	—	—	—	—	—	—	—	—	—	—	—	—	—	—	—	—	—	—	—
850	1	10	3	5	8	12	3	10	1	5	1	3	—	—	1	3	7	14	1	16	1	8	1	7	1
700	4	10	3	8	7	7	1	13	—	—	—	—	1	2	1	12	8	22	3	13	1	11	1	18	—
500	2	44	2	5	1	20	—	—	—	—	2	6	1	5	1	5	5	29	3	21	6	18	7	18	—
400	4	28	—	—	1	28	—	—	1	8	2	9	1	8	—	—	7	27	4	30	4	25	6	17	—
300	3	42	—	—	1	23	—	—	1	10	2	19	2	18	1	14	2	68	10	31	2	30	6	23	—
200	3	51	1	17	—	—	1	3	—	—	1	17	1	32	2	31	4	42	10	35	4	21	2	27	—
150	2	38	1	13	—	—	—	—	1	10	—	—	1	5	2	32	9	31	7	38	3	22	3	23	—
100	2	12	1	2	—	—	—	—	—	—	1	4	1	10	3	13	11	21	4	39	3	14	3	21	—
70	2	20	1	2	—	—	1	5	2	5	2	8	1	10	5	10	4	17	4	19	—	—	1	5	1
50	3	6	—	—	2	12	2	8	2	9	—	—	1	12	3	16	5	12	1	3	2	4	—	—	—

Août 1959

Surface de pression standard (mb)	Vent ndd, (ff) m 00																							
	N		30°		60°		E		120°		150°		S		210°		240°		W		300°		330°		C
	n		n		n		n		n		n		n		n		n		n		n		n		n
Surface	—	—	3	6	2	6	1	3	—	—	—	—	—	—	4	7	—	—	—	—	—	—	—	—	21
1000	—	—	—	—	—	—	—	—	—	—	—	—	—	—	—	—	—	—	—	—	—	—	—	—	—
850	2	10	1	7	13	14	4	5	—	—	—	—	—	—	2	11	4	11	2	12	1	12	—	—	2
700	4	8	2	10	2	10	5	15	—	—	—	—	1	17	2	11	5	13	7	8	2	6	—	—	1
500	2	22	3	21	2	21	2	22	2	30	—	—	2	21	2	21	2	19	3	16	8	18	3	22	—
400	1	12	3	36	3	23	2	33	1	20	1	26	—	—	4	22	3	31	2	21	8	24	3	34	—
300	2	36	2	36	3	35	3	46	1	39	—	—	—	—	4	29	3	30	2	56	5	35	6	46	—
200	2	40	2	42	1	72	4	38	—	—	1	48	—	—	2	37	3	23	4	36	10	38	2	41	—
150	3	30	—	—	1	35	4	26	—	—	—	—	—	—	—	—	5	26	6	39	10	20	2	41	—
100	2	26	1	3	2	12	1	33	—	—	—	—	—	—	—	—	6	17	8	17	5	15	3	12	1
70	4	10	2	3	1	7	2	10	1	5	—	—	1	2	—	—	4	5	4	12	4	12	1	5	2
50	3	9	1	3	2	4	3	5	—	—	—	—	—	—	—	—	2	4	5	6	4	7	1	5	2

mensuelles

Mai 1959

Vitesse du vent (ff) m

12.00 h

Surface de pression standard (mb)	Vent ndd, (ff) m 12																							
	N		30°		60°		E		120°		150°		S		210°		240°		W		300°		330°		C
	n		n		n		n		n		n		n		n		n		n		n		n		n
Surface	5	5	8	9	3	7	1	2	—	—	—	—	—	—	1	12	—	—	—	—	—	—	1	6	12
1000	—	—	—	—	—	—	—	—	—	—	—	—	—	—	—	—	—	—	—	—	—	—	—	—	—
850	—	—	2	8	10	10	4	5	2	3	1	6	—	—	1	2	1	11	2	10	—	—	3	4	5
700	3	12	5	9	3	14	3	12	1	14	2	8	2	7	5	7	1	10	2	14	1	6	1	10	1
500	2	31	3	26	2	7	4	14	2	18	2	20	1	11	2	15	6	17	2	31	1	28	4	19	—
400	1	29	1	34	3	10	3	20	2	15	2	20	1	25	2	15	5	23	2	36	3	34	3	24	—
300	6	31	2	16	2	17	1	37	2	18	2	30	2	35	1	22	5	24	4	45	3	34	1	54	—
200	6	24	2	10	2	28	—	—	1	12	1	11	1	38	1	44	5	31	6	25	3	23	3	25	—
150	1	22	2	15	2	6	—	—	1	7	1	7	1	14	1	25	3	18	9	22	4	14	3	9	—
100	3	17	3	14	—	—	—	—	—	—	1	10	—	—	3	14	7	13	6	16	4	13	2	5	1
70	4	6	1	12	2	10	—	—	1	12	—	—	3	7	2	6	6	14	6	10	3	7	1	11	1
50	3	6	2	8	2	8	—	—	1	15	2	5	4	6	2	9	4	10	7	7	2	2	—	—	1

Juin 1959

Surface de pression standard (mb)	Vent ndd, (ff) m 12																							
	N		30°		60°		E		120°		150°		S		210°		240°		W		300°		330°		C
	n		n		n		n		n		n		n		n		n		n		n		n		n
Surface	4	5	5	7	5	8	—	—	—	—	1	7	—	—	—	—	5	7	1	5	1	6	—	—	8
1000	—	—	—	—	—	—	—	—	—	—	—	—	—	—	—	—	—	—	—	—	—	—	—	—	—
850	1	11	3	8	3	20	—	—	—	—	—	—	—	—	4	12	6	8	3	8	1	2	2	3	7
700	2	9	1	3	3	32	—	—	—	—	2	5	—	—	5	8	8	16	3	15	3	7	2	9	1
500	2	33	2	9	3	23	—	—	—	—	1	11	1	12	1	11	8	16	4	19	6	16	2	26	—
400	1	35	2	18	3	24	1	39	—	—	1	13	2	11	2	10	6	20	4	25	5	18	3	36	—
300	—	—	2	17	2	40	2	35	2	20	—	—	1	16	3	24	4	24	6	31	3	27	5	16	—
200	2	40	1	27	3	41	1	10	—	—	—	—	2	18	1	27	5	21	5	39	6	27	4	32	—
150	1	17	—	—	2	21	—	—	—	—	—	—	—	—	2	7	5	21	9	21	7	21	4	23	—
100	1	12	—	—	2	16	—	—	1	3	—	—	—	—	2	5	5	13	10	14	7	12	2	15	—
70	—	—	1	6	3	9	3	8	1	7	1	7	—	—	1	5	2	4	8	8	5	8	1	5	3
50	—	—	—	—	1	7	5	8	2	5	1	10	1	7	1	5	5	6	4	5	4	6	1	2	4

Juillet 1959

Surface de pression standard (mb)	Vent ndd, (ff) m 12																							
	N		30°		60°		E		120°		150°		S		210°		240°		W		300°		330°		C
	n		n		n		n		n		n		n		n		n		n		n		n		n
Surface	4	5	4	9	1	12	—	—	—	—	—	—	—	—	2	10	2	7	5	6	—	—	1	5	12
1000	—	—	—	—	—	—	—	—	—	—	—	—	—	—	—	—	—	—	—	—	—	—	—	—	—
850	1	8	4	4	6	14	2	8	1	3	—	—	—	—	—	—	11	11	3	10	1	10	2	3	—
700	4	10	3	10	4	10	1	11	2	5	1	5	1	7	—	—	8	29	4	14	2	18	1	10	—
500	4	16	1	26	—	—	1	10	—	—	2	11	1	8	—	—	6	28	7	22	4	20	5	20	—
400	3	40	1	44	1	20	—	—	1	15	2	5	1	25	2	24	6	38	4	20	3	22	7	22	—
300	3	51	2	40	—	—	—	—	3	16	—	—	1	18	3	23	6	47	5	30	3	29	5	31	—
200	3	44	1	57	1	10	1	7	1	24	—	—	1	13	1	14	9	40	7	41	1	16	5	39	—
150	1	27	1	40	1	7	1	3	—	—	—	—	2	13	—	—	9	35	10	35	1	40	5	27	—
100	4	16	1	15	—	—	1	10	1	5	1	5	2	10	3	9	9	20	5	23	2	9	2	22	—
70	2	20	2	11	2	11	—	—	4	9	1	8	5	7	7	9	3	17	2	12	—	—	—	—	2
50	2	17	2	8	2	12	—	22	4	12	5	5	6	9	1	65	3	12	2	6	—	—	—	—	2

Août 1959

Surface de pression standard (mb)	Vent ndd, (ff) m 12																							
	N		30°		60°		E		120°		150°		S		210°		240°		W		300°		330°		C
	n		n		n		n		n		n		n		n		n		n		n		n		n
Surface	4	5	8	9	3	8	—	—	—	—	—	—	—	—	—	—	—	—	—	—	1	7	—	—	15
1000	—	—	—	—	—	—	—	—	—	—	—	—	—	—	—	—	—	—	—	—	—	—	—	—	—
850	1	5	3	7	10	13	3	8	—	—	—	—	—	—	2	11	6	8	1	4	—	—	3	3	1
700	3	9	—	—	5	13	1	15	3	5	—	—	1	17	6	13	3	15	4	8	2	7	2	5	—
500	—	—	2	24	2	23	5	19	—	—	—	—	1	17	5	19	1	18	3	15	7	23	4	11	—
400	1	20	4	27	2	36	3	18	—	—	1	10	2	21	3	32	2	18	3	21	8	33	1	22	—
300	—	—	4	37	2	55	3	17	—	—	1	15	2	35	4	27	2	26	3	31	7	39	2	79	—
200	—	—	3	34	3	69	2	22	1	34	—	—	1	45	4	22	4	36	6	41	4	60	2	36	—
150	4	25	—	—	2	37	1	12	1	14	—	—	1	18	—	—	5	33	8	26	6	33	2	31	—
100	4	19	1	7	1	16	1	2	—	—	—	—	—	—	4	12	5	16	7	15	5	25	2	17	—
70	4	9	—	—	1	3	1	3	1	4	—	—	1	5	5	6	2	18	5	7	8	13	—	—	1
50	4	7	—	—	2	4	1	5	—	—	—	—	2	2	4	5	1	17	4	3	6	10	—	—	2

Moyennes

Vitesse du vent (ff) m

Septembre 1959 — 00.00 h

Surface de pression standard (mb)	Vent ndd, (ff) m 00																							
	N		30°		60°		E		120°		150°		S		210°		240°		W		300°		330°		C
	n		n		n		n		n		n		n		n		n		n		n		n		n
Surface	—	—	2	10	2	6	—	—	1	5	1	2	2	4	3	4	—	—	—	—	—	—	—	—	19
1000	—	—	—	—	—	—	—	—	—	—	—	—	—	—	—	—	—	—	—	—	—	—	—	—	—
850	—	—	3	10	11	8	4	3	—	—	—	—	—	—	2	5	5	11	3	5	—	—	—	—	1
700	—	—	—	—	5	6	4	7	1	8	2	6	1	3	4	6	5	8	4	10	1	2	1	6	2
500	—	—	3	10	3	8	4	22	—	—	1	9	—	—	6	8	4	8	6	15	1	20	1	11	1
400	1	2	1	11	5	12	3	23	1	3	1	9	1	2	4	15	7	13	5	21	1	22	—	—	—
300	1	10	1	12	3	11	4	19	1	3	1	14	—	—	2	17	5	18	6	21	4	19	2	10	—
200	1	13	1	4	3	13	3	31	1	22	—	—	1	5	1	12	3	27	8	28	7	32	1	6	—
150	—	—	2	7	3	11	1	45	—	—	—	—	—	—	1	14	3	20	11	24	7	19	2	15	—
100	—	—	1	10	—	—	—	—	—	—	—	—	—	—	—	—	2	18	11	17	11	20	3	9	—
70	—	—	—	—	—	—	—	—	—	—	—	—	—	—	1	3	1	16	7	13	12	15	6	10	—
50	2	6	1	5	—	—	—	—	—	—	—	—	—	—	1	3	1	20	4	8	8	14	6	13	—

Octobre 1959

Surface de pression standard (mb)	Vent ndd, (ff) m 00																							
	N		30°		60°		E		120°		150°		S		210°		240°		W		300°		330°		C
	n		n		n		n		n		n		n		n		n		n		n		n		n
Surface	—	—	1	5	—	—	1	8	—	—	—	—	2	4	4	5	2	8	—	—	—	—	—	—	21
1000	—	—	—	—	—	—	—	—	—	—	—	—	—	—	—	—	—	—	—	—	—	—	—	—	—
850	—	—	4	8	4	11	—	—	—	—	1	3	—	—	8	11	5	14	1	14	—	—	2	5	5
700	4	18	1	21	4	7	2	4	—	—	—	—	2	5	9	16	4	13	3	12	1	12	—	—	—
500	4	22	3	17	1	3	6	14	1	12	—	—	2	12	5	23	5	19	2	39	1	11	1	2	—
400	4	26	5	14	—	—	2	15	1	17	2	21	—	—	5	25	3	24	4	26	1	32	4	26	—
300	4	19	2	20	2	11	2	18	—	—	3	34	—	—	5	33	4	33	—	—	5	32	4	30	—
200	6	28	3	21	—	—	2	8	1	39	3	30	2	12	1	77	3	39	4	29	2	37	4	29	—
150	4	24	3	18	—	—	—	—	1	38	3	11	—	—	1	50	2	48	4	27	4	25	6	21	—
100	4	19	2	16	—	—	—	—	1	14	—	—	—	—	1	10	2	17	5	17	5	19	7	17	—
70	8	11	—	—	—	—	—	—	1	33	—	—	—	—	1	23	3	14	4	15	5	10	2	20	1
50	6	7	1	5	—	—	—	—	1	10	—	—	—	—	1	37	4	22	1	12	3	11	3	15	1

Novembre 1959

Surface de pression standard (mb)	Vent ndd, (ff) m 00																							
	N		30°		60°		E		120°		150°		S		210°		240°		W		300°		330°		C
	n		n		n		n		n		n		n		n		n		n		n		n		n
Surface	—	—	2	4	2	6	—	—	—	—	—	—	—	—	2	7	1	8	—	—	—	—	—	—	23
1000	—	—	—	—	—	—	—	—	—	—	—	—	—	—	—	—	—	—	—	—	—	—	—	—	—
850	—	—	1	5	8	11	—	—	—	—	2	4	2	13	5	13	7	15	4	10	—	—	—	—	1
700	2	10	2	14	4	14	2	16	—	—	2	10	1	5	6	26	6	26	2	11	2	15	1	8	—
500	3	38	2	21	3	14	2	22	1	20	1	38	1	18	4	31	6	33	2	20	2	25	2	6	—
400	4	45	2	25	3	16	2	25	—	—	3	23	1	44	3	32	5	39	4	40	2	14	—	—	—
300	4	40	2	17	1	14	1	50	1	32	2	27	2	38	4	51	3	58	7	44	1	27	1	17	—
200	2	33	3	36	2	39	—	—	—	—	2	5	—	—	4	52	4	45	7	41	2	28	2	17	—
150	4	33	1	35	1	11	1	44	—	—	—	—	—	—	2	35	6	39	6	32	4	19	3	16	—
100	4	26	1	38	1	7	—	—	—	—	—	—	1	4	2	19	6	36	5	18	4	15	4	13	—
70	4	20	—	—	—	—	—	—	—	—	—	—	—	—	1	22	7	26	7	17	3	18	5	13	—
50	2	24	—	—	—	—	—	—	—	—	—	—	—	—	1	22	9	18	4	18	4	14	7	12	—

Décembre 1959

Surface de pression standard (mb)	Vent ndd, (ff) m 00																							
	N		30°		60°		E		120°		150°		S		210°		240°		W		300°		330°		C
	n		n		n		n		n		n		n		n		n		n		n		n		n
Surface	—	—	1	12	1	2	2	4	—	—	—	—	1	2	10	9	4	9	—	—	—	—	—	—	12
1000	—	—	—	—	—	—	—	—	—	—	—	—	—	—	—	—	—	—	—	—	—	—	—	—	—
850	—	—	1	6	1	22	1	6	2	10	2	7	2	9	—	—	15	24	5	26	—	—	2	8	—
700	2	26	1	16	1	30	1	8	1	4	1	17	4	20	2	18	7	25	3	39	3	23	5	23	—
500	1	37	1	22	—	—	2	19	1	20	—	—	6	21	2	24	5	31	5	35	3	29	5	35	—
400	2	30	1	20	—	—	1	27	2	16	2	18	3	28	3	27	5	38	5	34	2	43	5	35	—
300	1	43	1	25	—	—	—	—	2	18	1	33	3	38	4	29	4	41	3	50	4	49	7	51	—
200	4	39	—	—	—	—	1	7	—	—	—	—	1	50	5	29	6	37	2	54	4	54	6	53	1
150	3	28	1	8	1	7	—	—	—	—	—	—	1	8	2	15	8	30	4	45	3	57	6	47	—
100	2	21	—	—	—	—	—	—	—	—	—	—	—	—	2	15	8	26	7	34	6	37	4	37	—
70	2	12	—	—	—	—	—	—	—	—	—	—	—	—	—	—	9	26	7	41	6	24	4	26	—
50	—	—	—	—	—	—	—	—	—	—	—	—	—	—	—	—	7	21	10	36	7	22	4	23	—

mensuelles

Septembre 1959

Vitesse du vent (ff) m

12.00 h

Surface de pression standard (mb)	Vent ndd, (ff) m 12																							
	N		30°		60°		E		120°		150°		S		210°		240°		W		300°		330°		C
	n		n		n		n		n		n		n		n		n		n		n		n		n
Surface	5	5	6	8	3	7	—	—	—	—	—	—	—	—	—	—	—	—	—	—	—	—	—	—	16
1000	—	—	—	—	—	—	—	—	—	—	—	—	—	—	—	—	—	—	—	—	—	—	—	—	—
850	1	2	1	5	9	9	2	6	1	3	—	—	1	5	3	8	6	7	1	6	1	8	—	—	4
700	—	—	1	9	3	6	7	11	1	3	1	4	4	6	4	5	4	18	2	8	1	4	—	—	2
500	1	5	—	—	2	10	6	17	1	4	1	9	2	5	4	8	4	6	8	14	1	3	—	—	—
400	—	—	—	—	3	14	5	21	—	—	2	8	2	7	3	9	5	11	8	20	2	12	—	—	—
300	—	—	1	27	1	18	3	31	1	11	3	13	1	12	2	17	11	20	6	23	1	5	—	—	—
200	1	24	—	—	2	17	3	36	—	—	—	—	2	12	3	15	5	29	11	21	1	9	1	5	—
150	1	22	—	—	1	12	3	11	—	—	—	—	—	—	—	—	6	22	12	16	6	15	—	—	—
100	1	15	1	8	1	10	1	8	—	—	—	—	—	—	—	—	3	18	11	17	11	13	—	—	—
70	1	7	3	6	1	7	—	—	—	—	—	—	—	—	—	—	2	9	6	14	7	19	8	9	1
50	4	8	2	5	1	5	1	7	—	—	—	—	—	—	—	—	2	6	3	9	8	15	5	7	1

Octobre 1959

Surface de pression standard (mb)	Vent ndd, (ff) m 12																							
	N		30°		60°		E		120°		150°		S		210°		240°		W		300°		330°		C
	n		n		n		n		n		n		n		n		n		n		n		n		n
Surface	2	2	1	2	3	7	1	8	—	—	—	—	1	3	5	6	1	14	—	—	1	7	1	7	15
1000	—	—	—	—	—	—	—	—	—	—	—	—	—	—	—	—	—	—	—	—	—	—	—	—	—
850	—	—	2	14	5	8	—	—	—	—	1	3	1	2	4	18	9	13	—	—	—	—	1	3	6
700	3	16	2	15	—	—	5	7	3	2	—	—	—	—	6	12	6	26	3	20	—	—	1	20	—
500	4	16	1	11	3	18	2	17	—	—	—	—	4	25	3	29	5	25	3	16	2	15	2	30	—
400	4	29	1	16	2	20	2	12	1	20	—	—	2	30	4	33	4	27	4	23	2	15	3	29	—
300	4	28	1	46	1	38	2	25	2	19	—	—	3	37	3	45	4	43	2	13	2	32	5	36	—
200	5	37	1	61	2	17	—	—	2	20	—	—	3	33	2	50	5	48	2	15	2	39	5	25	—
150	5	29	2	17	—	—	1	5	1	13	—	—	—	—	3	19	2	59	5	30	4	22	5	18	1
100	6	10	1	5	—	—	—	—	—	—	—	—	—	—	2	30	3	40	4	26	5	14	6	19	—
70	2	9	—	—	—	—	—	—	—	—	—	—	—	—	2	22	1	18	—	—	2	12	10	11	1
50	4	8	—	—	—	—	—	—	—	—	—	—	—	—	3	22	1	14	1	10	1	7	6	10	1

Novembre 1959

Surface de pression standard (mb)	Vent ndd, (ff) m 12																							
	N		30°		60°		E		120°		150°		S		210°		240°		W		300°		330°		C
	n		n		n		n		n		n		n		n		n		n		n		n		n
Surface	—	—	1	2	3	8	1	2	—	—	1	2	1	5	2	5	3	8	1	7	—	—	2	4	15
1000	—	—	—	—	—	—	—	—	—	—	—	—	—	—	—	—	—	—	—	—	—	—	—	—	—
850	1	3	1	8	7	12	—	—	3	4	1	3	—	—	8	15	5	15	2	9	—	—	—	—	2
700	—	—	4	13	6	15	—	—	—	—	—	—	5	16	8	25	2	13	4	12	—	—	1	10	—
500	2	28	3	35	3	17	—	—	1	19	2	20	3	24	6	41	4	22	4	18	1	11	1	25	—
400	3	33	3	50	2	30	1	16	1	28	3	33	1	60	5	47	5	39	3	24	3	17	—	—	—
300	3	43	2	65	4	25	1	26	—	—	2	20	2	45	3	57	7	54	1	36	3	39	2	18	—
200	4	64	2	24	1	45	—	—	—	—	2	10	1	68	3	38	7	61	3	35	3	27	3	13	—
150	5	31	2	18	—	—	—	—	1	17	—	—	1	68	2	44	8	35	5	23	4	27	1	10	—
100	6	25	1	28	—	—	—	—	1	15	—	—	—	—	3	25	5	27	8	20	2	23	2	13	—
70	2	13	1	27	—	—	—	—	1	15	—	—	—	—	2	17	5	27	6	14	4	12	2	15	—
50	2	11	—	—	—	—	1	4	1	15	—	—	—	—	1	20	7	19	4	16	—	—	2	9	—

Décembre 1959

Surface de pression standard (mb)	Vent ndd, (ff) m 12																							
	N		30°		60°		E		120°		150°		S		210°		240°		W		300°		330°		C
	n		n		n		n		n		n		n		n		n		n		n		n		n
Surface	—	—	1	10	2	4	—	—	—	—	—	—	—	—	9	8	5	12	1	13	—	—	—	—	13
1000	—	—	—	—	—	—	—	—	—	—	—	—	—	—	—	—	—	—	—	—	—	—	—	—	—
850	—	—	—	—	3	10	—	—	2	7	1	5	3	6	2	18	12	22	6	19	1	5	—	—	1
700	1	16	2	20	1	18	1	14	—	—	4	9	2	20	1	13	8	28	5	34	5	17	1	9	—
500	2	64	2	18	1	25	—	—	—	—	3	16	2	11	4	19	5	34	4	35	4	31	4	37	—
400	3	42	1	4	1	39	1	33	1	11	3	20	1	33	7	36	1	52	4	50	3	34	5	52	—
300	1	50	2	20	1	44	1	60	1	16	3	24	1	17	6	36	2	49	4	57	4	45	5	84	—
200	4	42	1	22	—	—	—	—	1	3	—	—	2	15	4	23	5	27	5	61	5	47	4	46	—
150	3	27	1	35	—	—	—	—	—	—	—	—	1	18	2	27	7	25	5	44	6	40	6	39	—
100	1	11	—	—	—	—	—	—	—	—	—	—	—	—	1	20	7	30	8	24	6	28	7	27	—
70	—	—	—	—	—	—	—	—	—	—	—	—	—	—	1	8	5	32	11	23	3	22	5	27	—
50	—	—	—	—	—	—	—	—	—	—	—	—	—	—	1	8	3	40	10	19	4	19	4	25	—

Moyennes annuelles

Surface de pression standard (mb)	Hauteur de la surface de pression standard (en gpm)								Température ° C								Humidité relative %					
	00		12		Dies		Max.	Min.	00		12		Dies		Max.	Min.	00		12		Dies	
	n	Moy	n	Moy	n	Moy			n	Moy	n	Moy	n	Moy			n	Moy	n	Moy	n	Moy
Surface	—	—	—	—	—	—	—	—	362	7.5	364	11.5	726	9.5	28.5	–7.0	362	91	364	77	726	84
1000	362	153	364	150	726	152	370	–120	—	—	—	—	—	—	—	—	—	—	—	—	—	—
850	359	1491	361	1495	720	1493	1690	1215	359	5.8	361	5.9	720	5.9	20.3	–11.3	359	78	361	71	720	75
700	359	3052	361	3057	720	3055	3250	2775	359	–3.0	361	–2.9	720	–3.0	10.9	–23.8	359	66	361	61	720	64
500	359	5639	361	5644	720	5642	5920	5255	359	–19.4	361	–19.3	720	–19.4	–6.3	–38.3	359	51	361	46	720	49
400	359	7258	361	7264	720	7261	7640	6750	359	–31.3	361	–31.0	720	–31.2	–16.7	–47.6	359	52	361	48	720	50
300	357	9234	361	9243	718	9239	9690	8640	357	–46.0	361	–45.6	718	–45.8	–32.5	–59.2	—	—	—	—	—	—
200	355	11847	359	11858	714	11853	12450	11150	355	–57.2	359	–57.0	714	–57.1	–42.2	–69.0	—	—	—	—	—	—
150	351	13672	358	13682	709	13677	14260	12970	351	–56.1	358	–55.8	709	–56.0	–44.6	–69.7	—	—	—	—	—	—
100	345	16246	352	16262	697	16254	16800	15490	345	–57.0	352	–56.6	697	–56.8	–47.2	–72.0	—	—	—	—	—	—
70	321	18505	324	18517	645	18511	19040	17440	321	–57.2	324	–56.8	645	–57.0	–45.1	–74.4	—	—	—	—	—	—
50	295	20630	308	20650	603	20640	21180	19470	295	–56.7	308	–56.4	603	–56.6	–45.0	–74.5	—	—	—	—	—	—

Surface de pression standard (mb)	Vecteur du vent moyen								
	00			12			Dies		
	n	dd	ff	n	dd	ff	n	dd	ff
Surface	362	209	01	364	332	01	726	245	01
1000	—	—	—	—	—	—	—	—	—
850	358	243	03	361	241	02	719	242	03
700	358	256	05	361	254	05	719	255	05
500	358	284	09	360	284	08	718	284	08
400	358	288	11	359	284	11	717	286	11
300	356	288	14	357	288	15	713	288	14
200	352	292	19	352	289	16	704	291	17
150	346	291	17	351	290	17	697	291	17
100	340	287	14	344	289	13	684	288	14
70	317	286	11	318	291	09	635	289	10
50	290	288	09	302	291	07	592	290	08

Vitesse du vent (ff) m

Surface de pression standard (mb)	Vent ndd, (ff) m 00																							
	N		30°		60°		E		120°		150°		S		210°		240°		W		300°		330°		C
	n		n		n		n		n		n		n		n		n		n		n		n	
Surface	2	10	18	7	19	7	5	5	2	3	2	4	15	5	57	7	24	9	—	—	—	—	1	2	217
1000	—	—	—	—	—	—	—	—	—	—	—	—	—	—	—	—	—	—	—	—	—	—	—	—	—
850	7	10	26	7	86	12	20	7	5	7	8	4	9	10	32	11	91	20	32	12	5	8	11	8	24
700	26	12	28	14	42	14	22	10	8	11	11	10	13	11	43	18	73	22	47	15	24	14	18	16	3
500	28	30	34	18	21	17	21	18	10	17	12	18	23	17	37	19	52	29	47	27	45	23	33	23	1
400	28	34	25	29	20	23	14	22	11	18	17	20	16	28	39	22	54	32	45	32	46	34	42	34	—
300	28	39	21	36	21	23	14	25	10	23	16	25	17	28	35	30	50	38	47	39	45	37	52	36	—
200	37	35	20	38	16	30	12	25	5	21	13	20	13	15	22	37	48	37	63	36	59	39	43	31	1
150	34	25	21	25	13	17	6	32	4	15	5	10	4	7	17	21	61	31	75	29	62	28	45	29	—
100	32	19	18	19	9	9	1	33	1	14	2	5	4	9	17	12	65	25	72	24	68	23	46	19	4
70	39	15	15	13	12	8	5	7	4	12	5	7	5	8	13	13	52	21	64	21	57	20	37	15	7
50	29	13	21	10	9	10	12	8	5	8	5	8	—	—	10	14	41	18	51	15	43	15	34	12	8

Surface de pression standard (mb)	Vent ndd, (ff) m 12																							
	N		30°		60°		E		120°		150°		S		210°		240°		W		300°		330°		C
	n		n		n		n		n		n		n		n		n		n		n		n	
Surface	27	5	51	8	31	9	4	4	2	6	2	5	2	4	33	9	32	9	10	9	5	5	8	5	157
1000	—	—	—	—	—	—	—	—	—	—	—	—	—	—	—	—	—	—	—	—	—	—	—	—	—
850	14	6	18	8	80	13	17	7	11	5	6	5	10	4	35	14	89	16	23	14	7	7	14	5	37
700	23	12	32	14	36	15	27	10	12	7	16	8	23	12	48	15	63	23	38	20	21	14	16	12	5
500	32	25	23	24	22	18	20	18	9	15	12	16	22	17	39	25	52	21	45	23	35	23	24	24	2
400	29	34	21	29	21	23	21	23	10	18	15	18	18	25	43	28	50	29	46	29	49	32	36	33	—
300	27	39	25	38	16	34	15	32	14	20	14	21	22	32	37	37	53	38	49	37	41	41	44	44	—
200	42	40	17	34	21	32	9	31	7	26	6	13	15	27	29	31	60	39	65	35	38	39	43	31	—
150	37	28	15	27	14	21	6	9	5	12	2	6	7	24	16	21	64	30	79	28	58	30	47	25	1
100	41	18	15	17	8	16	4	10	4	6	2	8	2	10	23	15	59	21	75	21	64	21	46	19	1
70	25	13	17	13	20	11	5	6	8	9	3	6	10	8	24	10	36	20	62	18	54	19	45	16	9
50	29	11	21	12	17	10	13	8	8	11	9	6	15	8	16	14	35	16	49	18	42	17	36	15	12

Wetterlagen und Fronten im Jahr 1959

1. *Wetterlage im Alpengebiet*

Strömung (Anströmrichtung) 12.00 h im 1000-mb- und 500-mb-Niveau im Umkreis von 2 Breitengraden, d. h. in einem Gebiet von etwa 225 km Durchmesser um den Zentralpunkt 46° 30′ n. B. 9° ö. L. im Rheinwaldgebiet, sowie Luftdruckunterschied Nordseite — Südseite der Alpen zwischen den Punkten 47° 30′ und 45° 30′ n. B. auf dem 9. östl. Längengrad

D	Druckgefälle in der Bodenwetterkarte	0 Hoch	1 NW→SE	2 N→S	3 NE→SW	4 E→W	5 SE→NW	6 S→N	7 SW→NE	8 W→E	9 Tief	x flach
		< 5 mb (bzw. < 3.3 mb)	Druckgradient innerhalb des 2°-Umkreises mindestens 5 mb (bei einheitlicher Strömung innerhalb des 6°-Umkreises mindestens 3.3 mb)								< 5 mb (bzw. < 3.3 mb)	
d	Strömungsrichtung im 500-mb-Niveau (etwa 5500 m)	antizyklonal (Hoch)	NE	E	SE	S	SW	W	NW	N	zyklonal (Tief)	unbestimmt
		< 15 kts (bzw. ≦ 10 kts)	Windgeschwindigkeit mehr als 15 Knoten (kts), (bei einheitlicher Strömungsrichtung innerhalb des 6°-Umkreises mehr als 10 Knoten)								≦ 15 kts (bzw. ≦ 10 kts)	
f	Windgeschwindigkeit im 500-mb-Niveau	0—9	10—19	20—29	30—39	40—49	50—59	60—69	70—79	80—89	≧ 90	
		Knoten (1 Knoten = 1.85 km/Std.)										
g	Luftdruck Unterschied Nordseite — Südseite der Alpen	1	2	3	4	5	6	7	8	9		
		−10.5	−7.5	−4.5	−1.5	1.5	4.5	7.5	10.5			
		tieferer Druck auf der Alpennordseite (Föhn)			Millibar ausgeglichene Druckverteilung			höherer Druck auf der Alpennordseite (Stau)				

rr Relative Topographie 1000—500 mb in geopotentiellen Dekametern — 500 (große bzw. kleine Werte der relat. Topographie entsprechen hoher bzw. tiefer Mitteltemperatur der Schicht zwischen Meeresniveau und etwa 5500 m. 1 Dekameter Änderung von rr entspricht etwa ½ ° C Temperaturänderung)

In der Zeile «Mittel» sind links die Mittelwerte der Windgeschwindigkeit f in Knoten, rechts die Mittelwerte der relativen Topographie in Dekametern — 500 angegeben

2. *Frontdurchgänge auf der Alpennordseite* (im Gebiet von Zürich)

A Art der Front

W = Warmfront
K = Kaltfront
w = Warmfrontokklusion
k = Kaltfrontokklusion
o = Okklusion

ein zugesetzter Index h bedeutet Höhenfront

I Intensität der Front

0 = schwach 1 = mäßig 2 = stark

Z Zeit des Frontdurchgangs

s_v	= am vorangehenden Abend	17.30 h — 21.30 h	
n_v	= in der vorangehenden Nacht	21.30 h — 03.30 h	
f	= frühmorgens	03.30 h — 07.30 h	
a	= vormittags	07.30 h — 11.30 h	Durch das Zeichen ∞
m	= mittags	11.30 h — 13.30 h	werden unsichere
p	= nachmittags	13.30 h — 17.30 h	Angaben gekennzeichnet
s	= abends	17.30 h — 21.30 h	
n	= in der nachfolgenden Nacht	21.30 h — 03.30 h	
f_n	= am nachfolgenden frühen Morgen	03.30 h — 07.30 h	

L_v L_n Luftmassen vor / nach Frontdurchgang

		Bezeichnung nach Scherhag
A	= Arktische Polarluft	P_a
P	= Polarluft	P
p	= gealterte Polarluft	P_t
t	= gemäßigte Tropikluft	T_p
T	= Tropikluft	T
m	= maritime Luftmasse	
c	= kontinentale Luftmasse	

Januar

	Wetterlage			Fronten			
	Ddf	g	rr	AI	Z	L_v	L_n
1	x53	6	40	K 1	a	m T	m p
2	663	4	37	W 0	p	m p	m T
3	772	6	29	K 1	s_v	m T	m P
4	x64	5	25	K 2	p	m P	m A
5	174	7	22				
6	674	3	40	W 2	m	m A	m T
7	663	3	37	K 1	n_v	m T	m p
8	853	7	24	K 2	f	m p	m A
9	173	8	23				
10	773	7	19	o 2	a	m A	m A
11	676	6	19				
12	x75	6	20				
13	x75	6	26				
14	x65	4	34	w 2	n	m A	m p
15	x65	6	36	K 1	p	m p	m A*
16	171	9	29	K 2	f	m p	m A
17	185	8	27				
18	072	4	39	W 0	s	m A	m T
19	562	3	44				
20	554	1	45	K 1	n	m T	m p
21	565	3	40				
22	552	2	43	W 0	a	m p	m T
23	x64	5	40	K 2	f	m T	m p*
24	167	8	38	K 2	a	m T	m A
25	176	8	30				
26	187	7	35				
27	116	7	42	W 0	≈ n	m A	c t
28	013	5	45				
29	012	6	45				
30	082	6	46				
31	161	7	41	K 1	p	c t	m A
Mittel	42		34				
		*	15.	W 0	s	m A	m p
		*	23.	W 1	n	m p	m T

Februar

	Wetterlage			Fronten			
	Ddf	g	rr	AI	Z	L_v	L_n
1	262	8	26				
2	242	6	27				
3	352	5	36				
4	332	4	40	W 0	≈ n	m A	c t
5	311	4	41				
6	000	6	41				
7	300	5	39				
8	300	5	36				
9	x01	5	36				
10	xx0	5	34	K 1	m	c t	m p
11	3x0	5	33				
12	331	5	32				
13	341	5	36				
14	042	5	42				
15	100	7	43				
16	283	7	33	W 0	p	m p	m t
17	284	6	41				
18	012	6	45				
19	211	6	46				
20	x62	5	46				
21	775	9	43	K 0	f	m t	m p
22	185	5	43	k 1	s_v	m p	m P
23	x82	6	42	W 0	s	m P	m t
24	x62	4	44				
25	001	5	46	W 0	s	m t	c t
26	001	5	49				
27	001	5	50				
28	032	5	47				
29							
30							
31							
Mittel	21		40				

März

	Wetterlage			Fronten			
	Ddf	g	rr	AI	Z	L_v	L_n
1	042	5	44				
2	x42	4	45				
3	452	2	47	W 0	n	c t	m T
4	457	1	48	K 1	p	m T	m p
5	554	4	47	W 0	m	m p	m T
6	555	2	53				
7	x52	5	47	K 2	p	m T	m p
8	162	7	41				
9	x53	4	46	W 0	m	m p	c T
10	352	4	45				
11	391	4	43				
12	xx1	6	39	K 2	f	c T	m p
13	1x1	8	37				
14	211	7	37				
15	283	6	41	W 0	s	m p	m T
16	292	5	37	K 1	a	m T	m p
17	331	4	38				
18	352	3	39				
19	x51	3	41				
20	563	3	46				
21	561	3	48				
22	x51	4	48	W 0	n_v	m p	m T
23	x00	5	46	K 1	n_v	m T	m p*
24	000	4	48				
25	x42	4	45	K 2	s	m T	m p
26	141	4	43				
27	x91	5	43				
28	x63	5	44	W 1	f	m p	m T*
29	x62	6	41				
30	x52	6	38	k 1	f	m p	m p
31	222	7	42	K 0	f	m p	c p
Mittel	25		43				
		*	23.	W 0	a	m p	m T
		*	28.	K 1	f	m T	m p

April

1	212	8	46				
2	x12	6	50				
3	083	5	51	W 0	≈ n	c p	m T
4	071	4	54				
5	662	4	53				
6	662	4	50				
7	967	7	44	K 2	n_v	m T	m p
8	664	3	50	W 0	p	m p	m T
9	x44	5	44	K 2	a	m T	m p
10	652	6	35	K 1	a	m p	m P
11	x74	5	36	W 1	n	m P	m T
12	x73	4	47				
13	561	3	55				
14	441	3	56				
15	541	3	54	KW	n-mT-mp-mT schleifend		
16	542	1	52				
17	x22	7	45	K 2	s_v	m T	m p
18	812	6	49				
19	181	9	50				
20	171	9	39	K 2	n_v	m p	m P
21	241	7	32				
22	282	6	33				
23	x81	5	40				
24	x81	5	41	W 0	p	m P	m t
25	x81	4	47	W 0	n	m t	m T
26	552	3	48				
27	x52	5	45	K 1	n_v	m T	m p*
28	553	2	48	o 0	m	m p	m p
29	452	2	51	W 0	p	m p	m T
30	941	6	47	K 0	n	m T	m p
31							
Mittel	26		16				
		*	27.	o 0	n	m p	m p

Mai

1	883	7	47	k 1	n	m p	m p
2	1x0	8	44				
3	183	7	43				
4	062	5	47	W 0	≈ n	m p	m T
5	x62	4	48				
6	x52	4	50				
7	x62	4	51				
8	x51	4	55	W 0	≈ n	m T	c T
9	322	3	56				
10	521	3	56	K 1	s	c T	m p
11	xx0	4	56				
12	x81	6	55	K 0	s	m p	c P
13	282	6	50				
14	182	6	45	K 1	s	c P	m P
15	191	6	43				
16	122	6	47				
17	x21	5	52	W 0	≈	m P	m T
18	xx0	4	55				
19	x51	4	55				
20	x62	4	59				
21	543	3	61	K 1	s	m T	m p
22	x32	5	59	W 0	≈ p	m p	m T
23	922	5	55	K 1	n_v ≈	m T	m p
24	911	5	52	K 1	p	m p	c p
25	xx0	4	53	W 0	≈	c p	m t
26	x11	5	53				
27	x81	6	55	K 0	p	m t	m P
28	x62	6	53				
29	x62	6	50	K 1	p	m P	m P
30	153	7	47				
31	141	6	46	W 0	≈ n	m P	m t
Mittel	20		52				

Juni

1	x81	6	50				
2	181	7	52	K 1	f	m t	m p
3	012	5	60	W 0	a	m p	m T
4	x72	5	64				
5	500	4	61	K 0	s	m T	m p
6	x00	4	61	W 0	≈	m p	m T
7	x00	5	60	K 2	s	m T	m p
8	100	6	60	W 0	p	m p	m T
9	262	7	58	K 2	s	m T	m p
10	173	9	48				
11	173	8	46				
12	122	8	46				
13	113	7	52	W 2	m	m p	m t
14	112	8	58	K 0	a	m t	m p
15	1x1	6	63	W 0	≈ n_v	m p	m T
16	162	6	61	K 0	a	m T	m p
17	x61	4	60	W 0	≈ n_v	m p	m T
18	x61	4	62				
19	x61	5	65				
20	x51	4	63				
21	9x1	4	62	K 2	p	m T	m p
22	xx0	6	62				
23	x71	6	65	W 1	m	m p	c t
24	xx0	5	64				
25	x62	5	62				
26	x51	5	65	K 2	a	c t	m p
27	x71	6	62				
28	x63	6	63	W 0	a	m p	m T
29	754	8	57	K 2	≈	m T	m p
30	761	7	49				
31							
Mittel	19		59				

Juli

	Wetterlage			Fronten			
	Ddf	g	rr	AI	Z	L_v	L_n
1	782	8	53				
2	073	6	61	W 1	a	m p	m T
3	072	6	65				
4	081	6	68				
5	x61	5	70				
6	x71	6	69	K 2	a	m T	m p
7	182	6	70	W 0	n_v ∽	m p	m T
8	012	4	70				
9	022	4	72				
10	021	5	73				
11	x01	4	72	K 2	p	m T	m p
12	x51	4	69	W 0	a	m p	m T*
13	x63	6	67				
14	x52	6	68				
15	191	7	61	k 1	f	m p	m P
16	162	8	62	K 1	p	m P	c P
17	171	7	62				
18	x72	6	65				
19	180	7	67	W 0	n	c P	m T
20	180	6	66				
21	181	6	65				
22	x71	5	66				
23	xx0	5	67				
24	x90	5	66	K 0	a	m T	m p
25	xx0	5	65				
26	xx1	5	64	W 0	∽ n	m p	m T
27	x62	5	68				
28	x62	5	70	K 2	n	m T	m p
29	x54	6	62				
30	x54	6	61				
31	x51	7	56				
Mittel	19		66				
		*	12.	K 2	p	m T	m p

August

	Wetterlage			Fronten			
	Ddf	g	rr	AI	Z	L_v	L_n
1	774	7	56	W 0	f_n	m p	m t
2	152	6	56	K 1	a	m t	m p
3	171	6	57				
4	x62	6	58				
5	x71	6	59				
6	282	6	62	W 1	a	m p	m T
7	000	5	67				
8	551	4	66	K 2	p	m T	m p
9	x51	4	64	W 1	p	m p	m T
10	652	4	67	K 2	p	m T	m p
11	x52	5	64				
12	182	7	61				
13	1x0	7	64				
14	xx0	5	66	W 1	p	m p	m T
15	161	7	62	K 2	n_v	m T	m p
16	171	8	61				
17	293	8	58	W 0	s	m p	c t
18	x11	6	62				
19	x21	5	59				
20	590	5	59				
21	xx1	4	61				
22	xx1	5	60	K 1	f	c t	m p
23	x32	5	61	W 0	∽ n	m p	m T
24	x21	5	62				
25	022	5	67				
26	121	5	70				
27	x01	6	69				
28	x00	6	66	K 0	p	m T	m p
29	172	6	62	K 0	p	m p	m P
30	262	7	57	K 0	a	m P	m A
31	271	5	54				
Mittel	18		62				
		*	14.	K 2	p	m T	m P

September

	Wetterlage			Fronten			
	Ddf	g	rr	AI	Z	L_v	L_n
1	xx1	5	54	W 0	∽ n	m A	c t
2	3x1	4	54				
3	xx0	4	54				
4	x01	4	57				
5	xx1	4	56				
6	2x1	6	54	K 0	∽ n	c t	c p
7	223	6	54	W 0	∽ n	c p	c t
8	022	4	58				
9	011	5	59				
10	011	4	64				
11	001	5	63				
12	000	4	64	W 0	∽ n	c t	m T
13	xx1	5	62				
14	xx0	4	62				
15	xx1	4	61				
16	x61	4	61				
17	x61	6	62	K 1	a	m T	m P
18	x01	5	58				
19	x00	5	59				
20	000	5	60	W 0	∽ n	m P	m t
21	561	4	62				
22	063	4	64	K 0	p	m t	m p
23	x63	5	64				
24	x62	5	64				
25	x62	5	62	W 0	p	m p	m T
26	xx0	4	63	K 1	s	m T	m p
27	1x0	6	61				
28	201	6	58				
29	300	5	57				
30	312	4	54				

Oktober

	Wetterlage			Fronten			
	Ddf	g	rr	AI	Z	L_v	L_n
1	021	4	56	W 0	∽	m p	c t
2	041	5	58				
3	051	5	58				
4	x71	5	54				
5	312	5	51	K 0	f	c t	c P
6	322	4	49				
7	011	5	52				
8	011	5	52				
9	x81	5	52				
10	551	4	52	W 0	m	c P	m T
11	xx1	6	50	K 2	n_v	m T	m p
12	x81	7	47	K 0	p	m p	c P
13	x00	5	51				
14	000	5	50				
15	xx0	5	50				
16	4x1	4	49				
17	541	3	50				
18	552	4	53	w 1	a	c P	m p
19	552	3	53	W 0	s	m p	m T
20	945	6	53	K 1	f	m T	m p
21	x62	5	53				
22	771	6	57	W 1	a	m p	m T
23	274	8	48	K 1	s_v	m T	m p
24	072	5	55	W 1	n_v	m p	m T
25	663	4	57	K 1	p	m T	m p
26	x53	4	50				
27	555	2	53	W 0	p	m p	m t
28	145	8	48	K 2	n_v	m t	m P
29	111	8	38				
30	171	7	37				
31	x51	5	40	w 2	m	m P	m p
Mittel	22		51				

November

	Wetterlage			Fronten			
	Ddf	g	rr	AI	Z	L_v	L_n
1	222	7	37				
2	284	6	44	W 0	∽	m p	m t
3	283	6	46				
4	1x0	7	46	K 1	n	m t	m p
5	191	8	35	K 1	m	m p	m P
6	132	7	33				
7	111	7	36				
8	182	7	39				
9	082	6	41				
10	x62	5	41	W 1	p	m P	m t
11	x52	5	33	K 1	n_v	m t	m p
12	453	4	39	w 1	s	m p	m p
13	x52	6	45				
14	x52	4	46	W 0	m	m p	m T*
15	943	7	41				
16	x62	6	33				
17	453	3	42				
18	545	3	46	w 1	n_v	m P	m p
19	561	3	47	W 0	p	m p	m t
20	442	3	53				
21	322	6	50				
22	011	5	48				
23	013	5	47				
24	023	4	43				
25	031	5	45				
26	5x0	4	46				
27	554	3	46	K 1	s	m t	m p
28	553	4	44				
29	553	4	43	W 0	p	m p	m t
30	443	3	44	K 0	p	m t	m p
Mittel	27		43				

Dezember

	Wetterlage			Fronten			
	Ddf	g	rr	AI	Z	L_v	L_n
1	423	3	45	w 0	p	m p	m p
2	x01	6	48				
3	x61	5	54				
4	141	8	37	k 2	n_v	m p	m P
5	1x1	8	36				
6	0x0	5	35				
7	451	3	38	W 0	p	m P	m T
8	x42	5	35	K 1	p	m T	m p
9	x63	4	33				
10	453	2	42				
11	541	3	42	o 0	n	m p	m p
12	x41	5	39	K 1	∽ n	m p	m P
13	111	9	37				
14	111	7	36				
15	022	5	39				
16	051	5	38				
17	5x0	4	42	W 1	n	m P	m T
18	653	5	36	K 1	f	m T	m P
19	154	7	35	W 1	n	m P	m T
20	572	3	43				
21	552	4	37	K 1	p	m T	m p
22	173	7	32				
23	556	3	42	W 1	f	m p	m T*
24	152	6	36				
25	x74	5	34	W 2	n	m p	m T
26	567	2	46	K 1	a	m T	m p*
27	555	4	42	K 2	f	m T	m p
28	663	5	34	o 2	s_v	m p	m p
29	175	7	33				
30	775	5	49	W 2	f	m p	m T*
31	073	6	52	W 0	p	m p	m T
Mittel	29		40				
		*	23.	K 1	a	m T	m p
		*	26.	W 1	s	m p	m T
		*	30.	K 0	a	m T	m p

Nr. 8

Atmosphärisches Ozon (10^{-3} cm) Arosa 1959

	I	II	III	IV	V	VI	VII	VIII	IX	X	XI	XII
	(neue Skala = Juli 1957)											
1	—	—	337	368	—	—	—	—	324	287	—	—
2	309	399	338	338	—	—	—	—	319	289	—	302
3	—	343	335	340	398	358	334	340	324	299	259	269
4	—	343	350	343	365	355	315	324	314	305	268	—
5	346	351	336	339	358	356	324	333	313	311	323	—
6	—	348	312	368	362	359	316	—	315	313	—	298
7	330	337	—	—	362	358	315	318	317	302	—	—
8	—	365	332	373	362	353	310	315	322	293	—	340
9	—	381	360	407	365	—	309	321	315	286	297	341
10	—	406	370	430	374	—	312	310	309	288	288	—
11	—	424	376	419	372	—	315	320	304	—	—	331
12	396	420	346	376	382	—	330	—	312	287	329	356
13	365	399	—	351	395	—	322	317	311	278	324	—
14	353	400	376	353	—	—	320	318	306	274	298	347
15	306	366	370	—	—	—	—	—	307	280	—	300
16	—	341	391	—	374	—	344	—	300	287	331	344
17	401	364	396	—	363	—	340	—	—	294	293	332
18	330	341	381	—	351	—	323	319	301	281	—	—
19	322	346	382	—	352	—	316	339	293	260	287	—
20	347	347	341	—	348	—	317	328	291	—	280	316
21	357	346	361	—	349	—	331	318	295	268	263	—
22	373	—	349	408	347	—	329	311	271	—	297	—
23	367	247	343	384	369	—	321	329	278	270	272	269
24	—	264	345	388	364	—	328	316	277	261	262	—
25	385	335	331	377	371	—	—	303	273	254	256	337
26	360	330	—	371	393	—	328	290	—	—	267	—
27	349	320	364	396	389	—	319	293	—	—	—	338
28	340	339	368	383	395	—	317	299	278	—	279	343
29	339	—	—	368	378	—	347	305	279	—	326	—
30	364	—	—	388	—	—	—	—	293	—	298	272
31	373	—	—	—	413	—	374	311	—	—	—	267
Mittel	353	354	356	376	371	(356)	325	316	301	285	290	316

L'échosondage de l'atmosphère

par

Jean Lugeon

1. Préambule

Il existe actuellement de nombreux types de radiosondes construites en Europe, en Amérique, au Japon, en Union soviétique et aux Indes.

En 1952, six types d'entre elles furent comparées simultanément dans notre Station aérologique de Payerne [1]. En 1956 eut lieu dans le même observatoire la Comparaison mondiale des radiosondes, sous l'égide de l'Organisation Météorologique Mondiale (OMM); c'est à nouveau l'Institut suisse de météorologie qui offrit l'hospitalité [2]. La direction de cette opération fut confiée au soussigné, qui présidait à l'époque aux destinées du groupe de travail d'aérologie expérimentale de la Commission Internationale des Instruments et Méthodes d'Observation (CIMO) de l'OMM.

Là, nous présentâmes, le Dr Nobile et moi-même, aux savants de nombreux pays, opérant avec quatorze types de radiosondes différentes et un radar anglais, notre nouvelle méthode *d'échosondage* dont je publiai le principe dans les Comptes Rendus de l'Académie des Sciences de France en 1953 [3, 4].

Nos appareils n'étaient pas encore définitivement achevés. Néanmoins, une comparaison des mesures de distances avec un radar anglais entre 0 et 75 km ne donna qu'une différence insignifiante.

Depuis 1959, notre équipement est achevé et donne entière satisfaction.

Sans vouloir refaire l'historique de nos diverses créations, rappelons que le Dr Nobile et moi-même imaginions tôt avant la guerre, en 1939, un procédé pour déterminer d'une seule station la direction et la vitesse du vent en atmosphère libre, procédé que nous appelâmes la radiotélémétrie suisse [5, 6, 7, 8, 9, 10, 11]. Les premières expériences y relatives faisaient emploi de ballons captifs auxquels nous attachions les premiers «répondeurs», ainsi qu'on les dénomme aujourd'hui. A l'époque, nous appelions télésondes ces appareils TSF recevant les signaux du sol et les lui renvoyant.

Pendant la guerre 1940—1945, nous fîmes de nombreuses ascensions avec le procédé radiotélémétrique et des mesures jusqu'à de grandes distances en planeur à partir du Poste de Payerne. Plusieurs publications parues dans les Annales de l'Institut suisse de météorologie décrivent cette technique [11]. A ce moment-là, il nous était impossible de développer le radar — bien que nous fussions parmi les premiers à l'avoir décrit en 1932, à Varsovie —, les lampes d'émission sur les longueurs d'onde centimétriques manquant en Suisse. C'est ainsi que nous travaillâmes pendant plusieurs années sur des ondes métriques.

Dès la fin des hostilités, les nécessités du service des prévisions du temps et de l'aéronautique nous obligèrent à installer à Payerne, pour déterminer la direction et la vitesse du vent, un procédé moins onéreux que la radiotélémétrie, dont le répondeur est cher et d'un réglage assez délicat. Nous adoptâmes provisoirement la méthode bien connue du radiothéodolite, en passant de la longueur d'onde de 3 m (fixée par la Convention radiotélégraphique du Caire de 1938) à une longueur d'onde comprise entre 380 et 400 Mc, environ 80 cm. Cette fréquence est particulièrement favorable, car elle est pratiquement soustraite aux phénomènes de réfraction et les effets de rebondissement des échos sur le sol ou les versants montagneux sont très faibles et ne gênent en aucun cas les mesures.

Toutefois, nous remarquâmes rapidement que, malgré cette fréquence apparemment favorable, l'emploi du radiothéodolite est décevant quant à la précision des mesures angulaires. De nombreuses comparaisons optiques nous apprirent qu'au-dessous d'un angle de hauteur compris entre 18 à 15° au-dessus de l'horizon, les données sont illusoires pour la détermination de la direction et de la vitesse des vents, surtout quand ceux-ci sont forts.

Voulant conserver à Payerne sa doctrine instrumentale essentiellement helvétique et pour en faire bénéficier aussi notre industrie nationale, nous fîmes retour en arrière, revenant à notre méthode télémétrique, mais en abandonnant l'idée d'un répondeur, trop onéreux dans un service de routine.

Nous créâmes l'échosondage qui remplit les conditions de travail idéales de la radiotélémétrie pour déterminer la direction et la vitesse du vent, fig. 1, mais avec des conditions techniques et d'exploitation très sévères, énumérées ci-dessous:

1) haute précision dans la mesure des angles d'azimut, de hauteur et de distance du sol au ballon; tolérance: ± 0,1° pour les angles, avec exploration jusque près de l'horizon, et pour la distance ± 50 mètres;

2) distance de réception des réponses de la radiosonde quasi-illimitée, de manière à pouvoir enregistrer avec sûreté des vents violents, tel le jet-stream; portée d'au moins 200 km;

3) emploi d'un système de répondeur amovible très simple, à un seul tube, permettant de faire:

ou des sondages TEMP complets: PTU, DDFF, avec radiosondes, fig. 2

ou des sondages RAWIN, vent simple: DDFF, sans radiosondes, fig. 3;

Fig. 1 voir page suivante.

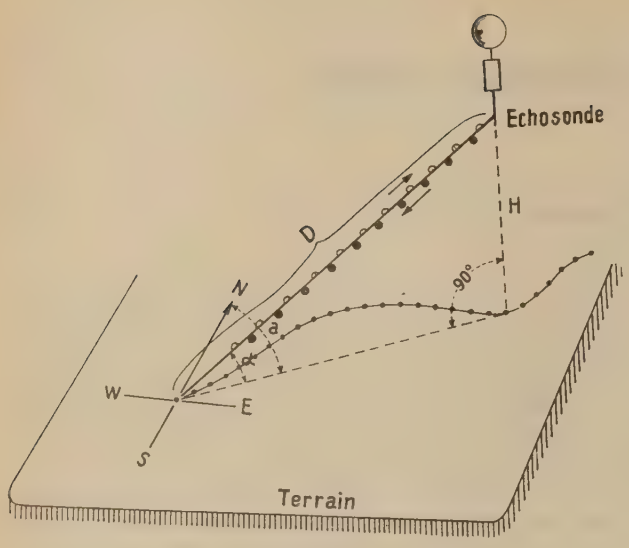

Fig. 1

Principe de la méthode d'échosondage

Un transmetteur au sol envoie des impulsions à la radiosonde sur la même longueur d'onde que le petit transmetteur qu'il porte. Celui-ci se met à vibrer à l'unisson en renvoyant les impulsions au sol. La différence entre le temps d'émission et de réception des impulsions dans le sens sol-air et air-sol donne, sur un tube cathodique, la distance entre la radiosonde et la station au sol. Comme l'angle de hauteur α et l'azimut a de la radiosonde sont connus, on en tire l'altitude et, ainsi, la position de celle-ci est fixée à tout instant dans l'espace, d'où découlent la vitesse et la direction du vent (ligne pointillée).

4) poids du répondeur très léger, ne dépassant pas celui des cibles de radar à grande distance, afin de réduire les dimensions des ballons et, partant, le volume d'hydrogène;

5) sûreté dans l'exploitation; mise en place immédiate du ballon dans la mire radioélectrique dès le lâcher au sol; précision dans l'enregistrement des signaux PTU de la radiosonde; mesure quasi-instantanée des angles de hauteur et d'azimut, ainsi que de la distance pour annuler toute erreur de position;

6) facilités d'adapter à notre technique la poursuite automatique du ballon, comme dans les radars de guerre, supprimant le maniement du dipôle rotatif par l'opérateur;

7) frais d'acquisition raisonnables; personnel d'exploitation réduit au strict minimum: deux opérateurs au maximum, le dépouillement complet étant terminé tôt après l'explosion du ballon;

8) contrôle instantané de l'exactitude de la radiosonde en vol par la comparaison des altitudes intégrées PTU et des altitudes géométriques données par l'échosondage;

9) installation au sol peu encombrante, sans réseau d'antenne; dipôle rotatif installable en tout lieu.

2. Principe de l'échosondage

Voici comment ces critères imposés furent réalisés:

Un émetteur au sol transmet, dirigées ou non, à une certaine cadence, des impulsions très courtes, comme dans un radar. Ces impulsions sont reçues directement par l'antenne de transmission de la radiosonde, qui travaille ainsi en antenne de réception.

Le transmetteur de la radiosonde est monté de façon à émettre, lui aussi, des impulsions courtes, dont la cadence est voisine de celle de l'émetteur au sol. Entre deux de ses impulsions consécutives, le transmetteur de la radiosonde est au repos, c'est-à-dire qu'il n'oscille plus et, vers la fin de ce repos, il se met de lui-même à travailler en récepteur. C'est à ce moment-là qu'il reçoit le signal du sol, qui déclenche automatiquement sa prochaine impulsion. Ce déclenchement est facile à entretenir et à maintenir stable.

Le schéma du transmetteur de la radiosonde, qui remplit les dites fonctions, est celui d'un émetteur normal, dont il ne se différencie que par les valeurs de la résistance et du condensateur de grille. Ainsi, tout dispositif de réception du répondeur est effectivement supprimé.

La mesure de la distance D entre le ballon et l'enregistreur au sol est obtenue, comme dans la méthode bien connue des échos, par la mesure sur le tube cathodique de l'intervalle de temps 2 t entre le départ du signal au sol et son retour, qui n'est autre que l'impulsion de la radiosonde. On a ainsi:

$$D = 2\,t \cdot C$$

où C est la vitesse de la lumière.

La mesure de la distance est donc indépendante de la fréquence de répétition des impulsions et de leur durée.

En transmettant du sol des impulsions de très courte durée — notablement inférieures à la microseconde —, il est possible d'obtenir un déclenchement assez rapide des impulsions de la radiosonde, de telle sorte que la mesure de la distance n'est pas affectée par des retards irréguliers. La fréquence de répétition des impulsions est de 1000 à la seconde. Le signal de réponse de la radiosonde est beaucoup plus long que l'impulsion qu'elle reçoit du sol. Il est de l'ordre de 50 à 100 microsecondes, ce qui donne en fait beaucoup plus d'énergie à la réception et assure la grande stabilité du procédé de mesure.

Les variations de température pendant le sondage et la chute de tension des batteries d'alimentation influencent en général les caractéristiques des circuits haute fréquence de la radiosonde. Toutefois, ces effets peuvent, et à tout instant, être entièrement compensés depuis le sol, en rendant réglable la longueur d'onde de l'émetteur au sol, ainsi que la fréquence de répétition de ses impulsions. On évite ainsi tout dispositif d'autoréglage de la radiosonde en vol, et même son réglage au lâcher.

L'azimut et l'angle de hauteur au-dessus du plan de l'horizon de la radiosonde sont constamment contrôlés au sol par le truchement d'un multidipôle à la fois directionnel, c'est-à-dire tournant horizontalement de 0° à 360°, et inclinable selon la verticale de 0° à 90°, comme dans les radiothéodolites du commerce, fig. 4.

Le dispositif pour la capture des angles est basé sur le balayage de l'espace dans la direction de la radiosonde par 2 lobes principaux à faible enflure se superposant partiellement dans leur partie inférieure. Ils sont interrogés consécutivement à très grande vitesse. Le pointage de l'angle est donné par l'axe de symétrie d'intersection des lobes qui passe par le centre géométrique de rotation de l'aérien mobile. Grâce aux phénomènes de dispersion

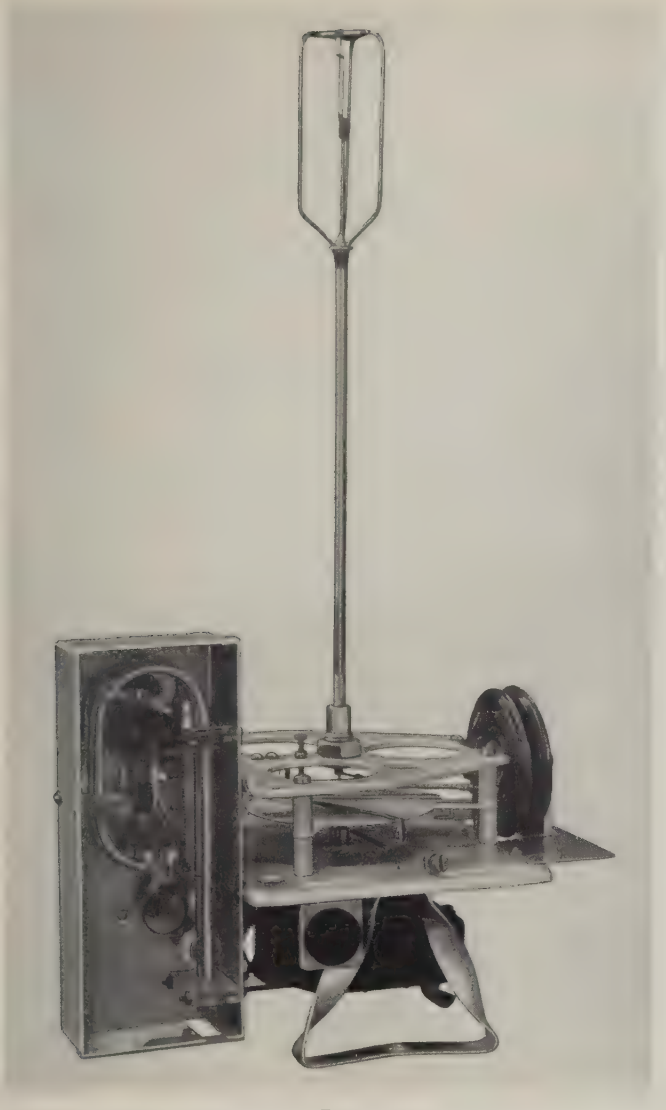

Fig. 2

Radiosonde suisse avec son transmetteur TSF ordinaire qui, avec une adjonction insignifiante, travaille en répondeur pour l'échosondage. Ce transmetteur ne comporte qu'un seul tube et n'a pas besoin d'une batterie spéciale. La radiosonde ainsi combinée en échosonde donne donc les éléments P T U et DDFF.

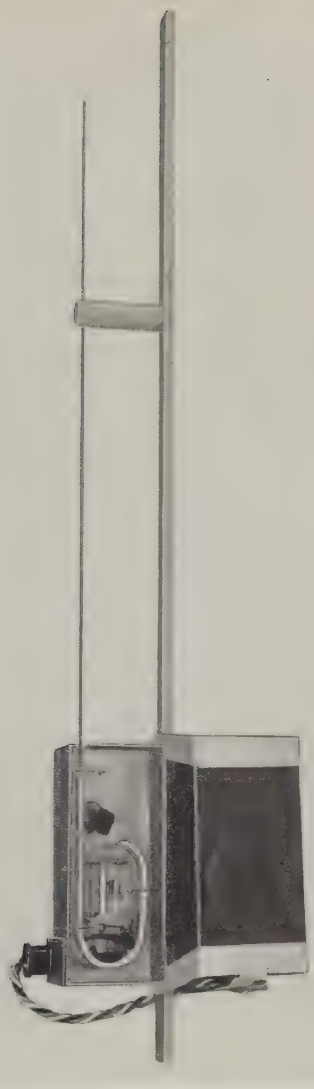

Fig. 3

Le petit transmetteur TSF d'échosondage

Il suffit de l'attacher à un ballon sans radiosonde pour faire du radiovent, direction et vitesse du vent (DD FF). Il remplace donc l'écran-cible d'un radar, avec cet avantage que la distance de réception des signaux est quasi illimitée, dépassant d'ailleurs de beaucoup les nécessités de l'aérologie, lorsqu'on doit tenir compte de la rotondité de la terre.

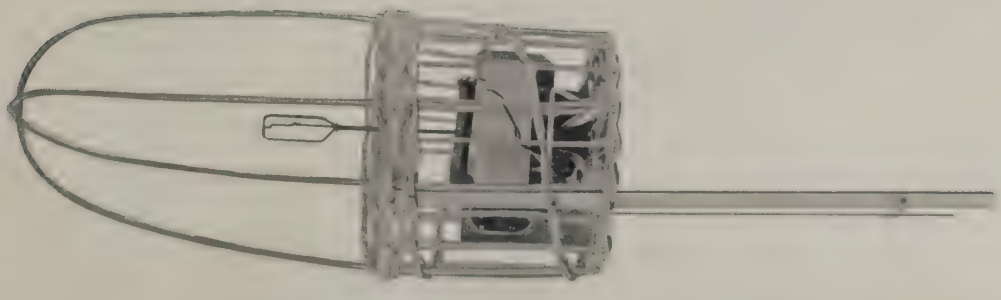

Fig. 4

Le dipôle de transmission et de réception rotatif (0° à 360°) et inclinable 0° à 90°, commandé par servo-moteur depuis les enregistreurs logés dans la remorque.

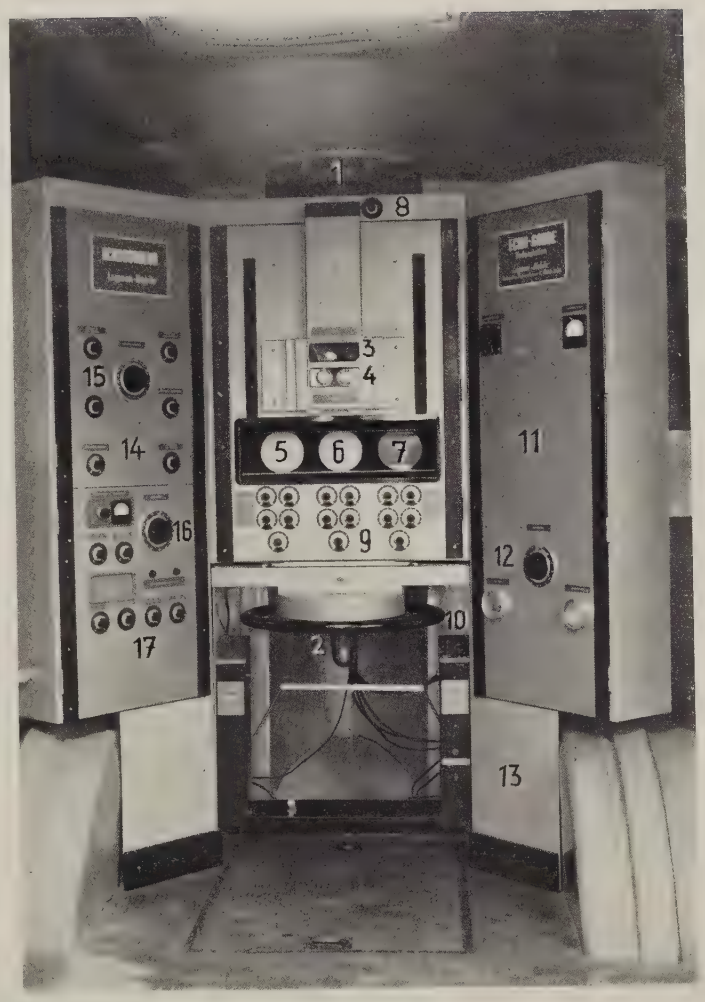

Fig. 6

Echosondeur sans l'enregistreur des signaux P T U

1. Axe du dipôle rotatif pour l'azimut et l'angle de hauteur (voir fig. 1).
2. Volant de commande pour la rotation du dipôle (azimut).
3. Fenêtre pour la lecture des directions sur un limbe circulaire rotatif solidaire du dipôle.
4. Cadran des angles de hauteur. A gauche: dizaines de degré; à droite: degrés et minutes.
5. Tube cathodique pour la lecture des distances en dizaines de kilomètres.
6. Tube cathodique vernier pour la lecture des kilomètres et mètres.
7. Tube cathodique témoin pour l'ajustage de l'angle de hauteur et de l'azimut.
8. Bouton d'ajustage de l'échelle des azimuts, à utiliser lorsque la remorque est orientée et que le nord a été déterminé.
9. Tableau général pour la luminosité et la mise au point des tubes cathodiques.
10. Manette à translation pour l'élévation ou l'abaissement de l'angle de hauteur du dipôle.
11. Armoire du transmetteur.
12. Bouton de réglage de la fréquence d'émission du transmetteur.
13. Armoire pour les opérations de contrôle de tension du réseau, interrupteurs, etc.
14. Armoire des amplificateurs de réception commandant l'enregistreur des signaux à dérouleur à bande.
15. Bouton pour le réglage de la fréquence de réception des impulsions de synchronisation de la radiosonde.
16. Réglage de la syntonie du récepteur.
17. Boutons pour la commande des signaux sur l'enregistreur.

complexe et de réflexions secondaires sur le sol, on ne perd jamais le ballon car ses signaux PTU sont toujours enregistrés, même si l'antenne est mal orientée dans les deux ou trois premières minutes après le lâcher.

Les lectures de la distance, de l'angle de hauteur et de l'azimut se font au gré de l'opérateur, par exemple toutes les minutes et quasi-simultanément, grâce à un dispositif de bloquage des angles de visée du ballon, qui peut se faire en une fraction de seconde. Il en résulte que la triangulation du ballon est très précise, les erreurs spatiales et temporelles étant quasiment éliminées. L'opérateur a ainsi, sans se fatiguer ni s'énerver, tout le temps pour inscrire ses chiffres, qui restent fixés sur les cadrans immobilisés.

Les signaux de température, pression et humidité sont émis par la radiosonde comme dans le système chronographique ordinaire, en coupant la transmission pendant de petits intervalles de temps. Ils sont enregistrés en un système d'axes cartésiens sur un dérouleur à bande synchronisé avec le mouvement d'horlogerie de la radiosonde (voir le Mémoire sur le Poste Aérologique de Payerne [6] qui décrit en détail cette technique).

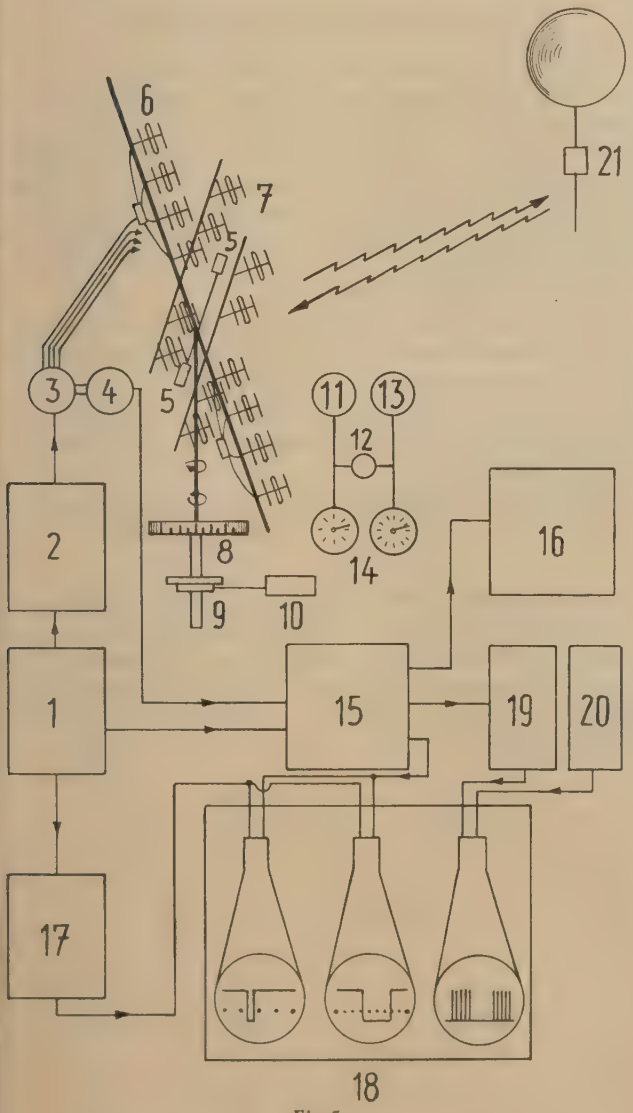

Fig. 5
Disposition des organes de l'échosondage

3. Aperçu du mode d'emploi

Sans vouloir, dans cette note, entrer dans tous les détails de notre procédé, rappelons qu'il a été installé provisoirement dans un remorque automobile pour faire des mesures des éléments de l'atmosphère libre TEMP et RAWIN dans les divers coins de la Suisse.

Les fig. 5 et 6 donnent quelques informations complémentaires sur l'exécution. Notons que deux tubes cathodiques permettent de lire la distance; l'un indique les dizaines de kilomètres et l'autre, fonctionnant comme vernier, donne des distances à un kilomètre à la précision de $\pm$ 50 m, ce qui est amplement suffisant pour l'aérologie.

Le troisième tube cathodique indique alternativement, soit l'angle de hauteur, soit l'azimut, par l'emploi d'un bouton de translation qui permet d'ajuster l'image du signal stationnaire du sol à l'image renvoyée par la radiosonde. Ce dispositif est bien connu et utilisé dans de nombreux confrontateurs de signaux électroniques. Les opérations de lecture sont très simples et sûres. Le maniement de l'installation est particulièrement agréable.

La direction est donnée en tournant à la main un volant d'automobile horizontal très léger; l'azimut est alors lu, après stabilisation de l'image sur l'écran cathodique, sur un limbe horizontal éclairé, situé devant les yeux de l'opérateur.

La mesure de l'angle de hauteur se fait d'une manière analogue, en superposant l'image stationnaire et l'image de réponse sur le tube cathodique par un bouton de commande qu'on abaisse ou qu'on élève selon que

---

1. Générateur principal de la fréquence de répétition des impulsions. Fréquence variable 350/1200 Hz.
   Générateur de l'impulsion de modulation pour le transmetteur.
   Générateur de l'impulsion de bloquage du récepteur.
2. Transmetteur 380 Mc., fréquence ajustable.
3. Commutateur d'antenne: Azimut/angle de hauteur.
4. Commutateur d'antenne à moteur: commutateur des lobes.
5. Transformateur d'adaptation des groupes d'antenne.
6. Antenne à caractéristique directive dans le plan vertical.
7. Antenne à caractéristique directive dans le plan horizontal.
8. Echelle des azimuts; alimentation des lampes d'éclairage.
9. Réduction pour commande manuelle de l'orientation de l'antenne. Commande électromagnétique. Frein d'antenne.
10. Alimentation pour réduction de la transmission d'orientation.
11. Moteur d'élévation d'antenne.
12. Alimenteur pour moteur d'élévation.
13. Potentiomètre pour mesure de l'angle de hauteur.
14. Echelle des angles de hauteur. Alimentation et dispositif de mesure.
15. Récepteur 380 Mc. Fréquence réglable.
16. Enregistreur des signaux P T U.
17. Générateur des tensions de balayage des tubes cathodiques pour la mesure de la distance.
18. Oscilloscope à 3 tubes cathodiques pour la mesure de la distance et des angles de position. — Premier tube: contrôle général et mesure de distance de 10 en 10 km, champ de mesure 50—100—150 km. Deuxième tube: mesure de distance de précision. Troisième tube: mesure des angles de position. Commutateur électronique pour marque de distance.
19. Amplificateur séparé pour déviation verticale du troisième tube.
20. Amplificateur synchronisé pour balayage horizontal du troisième tube.
21. Ballon avec échosonde.

l'angle croît ou diminue; l'angle est donné au dixième de degré sur deux petits cadrans munis de trotteuses.

Toutes les opérations manuelles de rotation horizontale et de balancement du dipôle sont entièrement supprimées dans le nouvel appareil d'échosondage à poursuite automatique. L'opérateur n'a donc qu'à lire les angles d'azimut et de hauteur toutes les minutes ou à son gré. Il a donc amplement le temps de dépouiller les éléments PTU sur l'enregistreur de signaux et, au demeurant, de les intégrer pendant l'ascension du ballon.

Ainsi, une seule personne peut faire un sondage PTU, DDFF sans fatigue, tout travail de codification étant terminé peu de temps après l'explosion du ballon.

*

Nous nous abstiendrons de décrire tous les détails accessoires, soit: les diverses commandes pour les ventilateurs de refroidissement, les thermomètres, les instruments pour le contrôle du réseau pour les balayeurs des tubes cathodiques, la focusisation, le centrage vertical et horizontal du dipôle, le servo-moteur du dipôle, le frein à pied du dipôle, le chronographe pour le pointage des minutes, les planchettes de lecture, etc. L'enregistreur des signaux PTU, décrit en 1942, est placé à côté de l'opérateur mesurant les angles [6]. Il n'est pas sur la photographie fig. 4.

Quant à la radiosonde suisse que nous employons actuellement, elle a fait l'objet d'un mémoire imprimé en 1949 [12, 13], lequel contient aussi un bréviaire théorique et pratique des erreurs dans les radiosondages [14].

*

Quant à l'exactitude de notre prototype d'échosondage, elle a été dûment contrôlée dans plus de 200 ascensions, ainsi qu'avec des repères au sol et dans les montagnes, à grande distance. Entre autres, les mesures échosondées de Payerne (495 m) au sommet du Chasseron (1601 m), à 31 km de distance, ont entièrement répondu aux conditions préliminaires imposées, c.-à-d. que la tolérance de $\pm$ 50 m a été dépassée et l'erreur sur l'angle de hauteur très petit sur l'horizon fut d'environ 20 minutes, ce qui est remarquable quand on pense aux phénomènes complexes de la propagation troposphérique.

4. Contrôle de la radiosonde en vol

Plus d'une centaine d'ascensions effectuées de 1958 à 1960 ont permis de contrôler en vol les erreurs systématiques et de rayonnement de la radiosonde suisse.

En effet, l'échosondage donne à tout instant la position exacte du ballon dans l'espace, donc son altitude. Ainsi, on dispose d'un paramètre surabondant, celui de l'altitude triangulée qui, comparée toutes les minutes avec l'altitude calculée par la formule de Laplace contenant PTU, permet de dire si la radiosonde est bonne ou médiocre. Si la différence entre l'altitude géométrique (échosondage) et l'altitude barométrique (Laplace) est importante, c'est que la coquille barométrique ou le thermomètre sont imparfaits, ou que le rayonnement ou le traînage thermique nuisent à l'exactitude du TEMP.

Cela est donc d'importance fondamentale pour l'homogénéité des réseaux aérologiques.

Or, nous fûmes satisfaits de constater que ces différences d'altitude sont faibles et tolérables au moins dans le 95 % de nos essais: les coïncidences sont les meilleures entre 10 km et 25 km d'altitude, même une fois où le ballon volait à 195 km de distance, envoyant encore des échos vigoureux.

5. Avantage de l'échosondage

L'avantage fondamental de l'échosondage est qu'on peut faire avec célérité, précision et un minimum de personnel

soit un: TEMP et RAWIN (P, T, U; DD,FF) complet, avec une radiosonde ordinaire et un ballon de 500 grammes jusqu'au-delà des nécessités pratiques de la synoptique et de l'aéronautique courante (30 km d'altitude, 200 km de distance),

soit un: RADIOVENT (DD, FF),

sans l'emploi d'une radiosonde, en attachant simplement à un ballon de 100 à 300 grammes le petit transmetteur TSF d'échosondage.

L'échosondage permet de *contrôler* les erreurs de fonctionnement de la radiosonde en vol par rapport au paramètre altitude.

L'équipement terrestre est simple, d'emploi sûr et facile.

*

La gratitude de l'Institut suisse de météorologie est acquise à M. le Dr Ing. Guido Nobile, constructeur de notre installation d'échosondage, qui n'a ménagé ni temps ni moyens pour aboutir à une solution technique élégante, répondant à toutes les exigences d'un service aérologique.

Bibliographie

1. *Jean Lugeon* et *Paul Ackermann*. — L'Acte final de la première comparaison mondiale des radiosondes à Payerne, 1950. — Actes SHSN, Berne 1952
2. *Jean Lugeon*. — La comparaison mondiale des radiosondes, Payerne, mai/juin 1956. — Actes SHSN. Bâle 1956.
3. *Jean Lugeon*. — Le radiogoniosondage du vent par impulsion sans répondeur. — Comptes rendus Acad. Sc., Paris, t. 236, p. 2426—2428, 1953.
4. *Jean Lugeon*. — L'échosondage de l'atmosphère. — Actes SHSN, Lugano 1953.
5. *Jean Lugeon*. — La détermination instantanée de la direction et de la vitesse du vent dans l'atmosphère libre à toute altitude et par tous les temps, sans recoupement radiogoniométrique. — Actes SHSN, Bâle 1941.
6. *Jean Lugeon* (avec Guido Nobile et Pierre de Haller). — Le Poste Aérologique de la Station centrale de Météorologie à Payerne et les nouvelles méthodes suisses de radiosondage. — Ann. MZA 1941. Zurich 1942.
7. *Jean Lugeon*. — Quelques innovations aux méthodes suisses de radiosondage. I. Contrôle du procédé radiotélémétrique de mesure des distances en planeur remorqué. II. La technique des ballons de remplacement en papier cellux; le larguage des radiosondes. III. Méthode pour extrapoler la direction du vent dans les radiosondages ordinaires avec l'azimètre. IV. La correction de température des radiosondages. V. Perfectionnements apportés à l'intégrateur d'altitudes donnant la vitesse ascensionnelle et les corrections de température, ainsi que d'autres fonctions comme les températures virtuelles et potentielle sans calcul. — Ann. MZA 1942, Zurich 1943.
8. *Jean Lugeon*. — Le poste aérologique de la Station centrale suisse de météorologie, à Payerne: construction, organisation, développement. — Actes SHSN, Sion 1942.
9. *Jean Lugeon*. — Nouveaux procédés suisses de sondages aérologiques: la radiotélémétrie, l'azimètre, le translateur, l'étalonnage automatique, le radiopilote ou goniopilote. — Actes SHSN, Sion 1942.
10. *Jean Lugeon*. — Quelques adjonctions aux nouvelles méthodes de radiosondage du Poste aérologique de la Station centrale suisse de météorologie, à Payerne. — Actes SHSN, Schaffhouse 1943.
11. *Jean Lugeon*. — Vérification en planeur remorqué du procédé radiotélémétrique de mesure des grandes distances. — Actes SHSN, Schaffhouse 1943.
12. *Jean Lugeon, Paul Ackermann, Max Bohnenblust*. — La radiosonde suisse sans contact. — Actes SHSN, Lausanne 1949.
13. *Jean Lugeon, Paul Ackermann, Max Bohnenblust*. — La radiosonde suisse. — Ann. MZA 1948, Zurich 1949.
14. *Jean Lugeon* et *Paul Ackermann*. — Bréviaire des erreurs de radiosondage. — Ann. MZA 1948, Zurich 1949.

Beiheft zu den Annalen der Schweizerischen Meteorologischen Zentralanstalt (Jahrgang 1959)

Klimatologie der Schweiz

C

LUFTTEMPERATUR

von

M. Schüepp

1. Teil

Herausgegeben von der Schweizerischen Meteorologischen Zentralanstalt, Zürich

City-Druck AG, Zürich 1
1960

Eine neue Klimatologie der Schweiz aus den Beobachtungen des 20. Jahrhunderts

Seit der Herausgabe des «Klima der Schweiz» von J. Maurer, R. Billwiller und C. Heß (1909) sind mehr als 50 Jahre verflossen. Das 6. Jahrzehnt des 20. Jahrhunderts steht vor dem Abschluß. Wohl ist in der Klimatologie der Fortschritt nicht so stürmisch wie in anderen technischen Gebieten, und die früheren Beobachtungen behalten ihren Wert, doch ändern sich einerseits die klimatischen Verhältnisse allmählich und anderseits sind die Verarbeitungsmethoden in Entwicklung begriffen. Daher dürfte die Herausgabe einer neuen Klimatologie sicher allgemein begrüßt werden. Die Veröffentlichung wird in Form von Beiheften zu den Annalen der Schweizerischen Meteorologischen Zentralanstalt erfolgen. Diese können später zu einem Gesamtband zusammengefaßt werden. Das vollständige Werk besteht aus 3 Teilen:

I. Zahlentabellen und Karten für die einzelnen Wetterelemente.

II. Regionale Klimabeschreibungen.

III. Klimatologie der einzelnen Witterungslagen.

Zunächst wurde der I. Teil in Angriff genommen. Er gliedert sich folgendermaßen :

A. Vorwort
B. Luftdruck
C. Lufttemperatur
D. Luftfeuchtigkeit
E. Niederschlag
F. Schneedecke
G. Wind
H. Bewölkung und Nebel
I. Strahlung und Sonnenscheindauer
K. Gewitter und Hagel
L. Klimatabellen

Bisher wurden vor allem die beiden wichtigsten Wetterelemente: Temperatur und Niederschlag, durch die beiden Klimatologen, die Herren Dr. Schüepp und Uttinger, bearbeitet. Der erste Abschnitt des Kapitels C (Temperatur), umfassend die Monats-, Jahreszeiten- und Jahresmittel aller Stationen, ist in den nachfolgenden Seiten enthalten. Die Fortsetzung (kartographische Darstellung dieser Ergebnisse, Tagesgang und säkularer Gang der Temperatur an ausgewählten Stationen sowie Häufigkeitsstatistiken) soll mit den Annalen 1960 erfolgen.

Bei den Niederschlägen ist eine Neubearbeitung und Erweiterung der früheren Zusammenstellung von Herrn Uttinger: «Die Niederschlagsmengen in der Schweiz 1901 bis 1940, Verlag des Schweizerischen Wasserwirtschaftsverbandes, Zürich, 1949» in Vorbereitung. Sie wird erst später veröffentlicht werden.

Der Direktor der
Schweizerischen Meteorologischen Zentralanstalt

Jean Lugeon

1. Monats-, Jahreszeiten- und Jahresmittel der Temperatur

Die nachfolgende Tabelle enthält die auf die Periode 1901—1940 reduzierten Monats-, Jahreszeiten- und Jahresmittel aller schweizerischen, von der meteorologischen Zentralanstalt kontrollierten Beobachtungsstationen seit 1864. Angenommen wurden jedoch im allgemeinen nur Serien von mindestens 3 Jahren Beobachtungsdauer, vereinzelt auch 2jährige Serien an Orten, an denen kein anderes Material zur Verfügung stand. Die Orte sind in einer vom Nordwesten des Landes (Juranordfuß) nach dem Südosten (Tessin) verlaufenden Linie in der Tabelle angeordnet, wobei einzelne Klimaregionen von Nordosten nach Südwesten durchlaufen werden (Jura, Alpennordhang und Alpensüdseite), andere dagegen von Südwesten nach Nordosten (Mittelland und inneres Alpengebiet). Die Lage der Stationen ist aus dem Kärtchen Seite C/3 ersichtlich. Das allgemeine Temperaturniveau wird in der Schweiz in viel stärkerem Maße durch die Höhe der Station als durch ihre geographische Lage innerhalb der Klimaregion bestimmt. Es besteht eine allgemeine Temperaturabnahme mit der Höhe, die südlich der Alpen etwas größer ist als auf der Alpennordseite. Im Juli, zur Zeit starker Sonneneinstrahlung und der damit verbundenen Bodenüberhitzung, ist die Abnahme größer als im Januar, weil im Winter häufig Inversionen über den Mulden und Ebenen auftreten. Wir sehen aber auch aus den Werten von Stationen in ähnlicher Höhenlage, daß oft beträchtliche Unterschiede auf kurze Entfernungen vorhanden sind, ja daß sogar bei den Werten der gleichen Ortschaft Unterschiede von gleicher Größenordnung auftreten, wie wir sie zwischen den verschiedenen Regionen finden (vgl. z. B. Werte in Rheinfelden Nr. 5 und Liestal Nr. 6). Welchen Ursachen sind diese Streuungen zuzuschreiben?

Es sind im wesentlichen zwei Faktoren, welche daran beteiligt sind. Da ist zunächst die lokale Lage der Beobachtungsstation. Es spielt eine bedeutende Rolle, ob die Temperaturen in einer Mulde, in einer Ebene, auf einem erhöhten Plateau oder einem flachen Abhang gemessen werden, ob ein Nordhang, ein Südhang, ein Paß oder Gipfel vorliegt. Wir haben daher die Lage der Beobachtungsstation nach folgendem Schema durch einen Buchstaben in der Tabelle angegeben, damit eine bessere Beurteilung der Resultate durch den Benützer möglich ist:

M = Muldenlage (enger Talabschluß)
F = Ebene, flaches Tal, weniger als 30 m über Talboden
U = Seeufer
A = erhöhte Lage, 30—100 m über Talboden (Plateau oder flacher Abhang)
T = geneigtes Tal
H = Hanglage > 100 m ü. Tal (N, E, S, W) mit Angabe der Hangneigungsrichtung
P = Paßlage (Sattel)
G = Gipfellage oder Grat

e = englische Hütte (Stevenson screen)
w = Wildsche Hütte
■ = Stadtstation

normale Schrift = frühere langjährige Reihe
kursive Schrift = frühere kurze Reihe (Mittel unsicher)
fette Schrift = heutige Stationslage 1960/61

Neben diesem ersten Grund für die lokalen Unterschiede ist ein zweiter in der Aufstellung des Thermometers zu suchen. In der Schweiz finden wir größtenteils noch die sogenannten Hausaufstellungen, d. h. das Thermometer wird in einem Zinkgehäuse auf der Nordwestseite eines Hauses einige Meter über dem Boden angebracht, wo es zur Zeit der drei Beobachtungstermine (7 h 30, 13h 30 und 21 h 30) ständig im Schatten liegt. Rückstrahlung von gegenüberliegenden Hauswänden und andere lokale Einflüsse können jedoch nicht völlig ausgeschaltet werden. Die Tiefe bzw. die Wirksamkeit des Schattens ist von der Stellung und der Größe des Hauses abhängig. So war z. B. in der 3. Aufstellung von Rheinfelden (1913—1944) die Belüftung des Thermometers ungenügend, so daß die dort gemessenen Temperaturen infolge von Strahlungseinflüssen sehr wahrscheinlich etwas zu hoch sind.

Es ergeben sich somit an einzelnen Orten bedeutende Unterschiede zwischen den verschiedenen Reihen, nicht nur im erwähnten Beispiel von Rheinfelden. In Liestal befand sich das Thermometer vor 1933 über einem gepflasterten Hof, während es in der Aufstellung 1933 bis 1939 in den Baumschatten einer Tannengruppe zu liegen kam, so daß sich trotz der nur geringen Höhendifferenz der beiden Standorte die Mittelwerte der Temperatur im Sommer um einen vollen Grad unterscheiden. Zwischen innerstädtischen Verhältnissen und dem umgebenden Freiland besteht nach verschiedenen Untersuchungen (vgl. z. B. Bibliographie Nr. [1] und [2]) ein Temperaturunterschied von ½—1°, und zwischen Freiland und Wald liegt er in derselben Größenordnung, wie die aus (3) entnommenen Reihen im Anhang der Tabelle (Station 644) zeigen.

Indem wir alle an einem bestimmten Ort gemessenen Reihen auf die Periode 1901—1940 reduzierten und sie damit vergleichbar machten, möchten wir falschen Interpretationen kleiner Unterschiede zwischen den verschiedenen Orten vorbeugen. Die oben erwähnten Lokaleinflüsse überlagern sich den regionalen Einflüssen und können sie oft völlig verdecken, denn nur in den Bergen, wo die vertikale Temperaturabnahme in Erscheinung tritt und wo in abgeschlossenen Talbecken besonders im Winter vielfach «Kaltluftseen» auftreten, finden wir ausgeprägte regionale Unterschiede im Temperaturverlauf (vgl. z. B. die Stationen Schatzalp Nr. 188 und Davos Nr. 189).

Damit sich der Benützer der Tabelle ein Bild davon

machen kann, wie sich die für die Periode 1901—1940 berechneten Mittel von denjenigen anderer Perioden unterscheiden, werden in einem späteren Abschnitt die Extensoreihen einiger ausgewählter Stationen mit den zugehörigen Mittelwerten verschiedener Klimaperioden veröffentlicht werden. Wenn in Zukunft die Abweichungen von Einzelmonaten, bzw. Jahren, vom langjährigen Durchschnitt der nachfolgenden Tabelle ermittelt werden sollen, sind womöglich die mit fett gedruckten Stationsnamen versehenen Reihen als Vergleichbasis zu benützen, da mit Fettdruck die jetzt (Ende 1960) in Betrieb stehenden Stationen bezeichnet wurden. Nach Möglichkeit werden die Stations-Aufstellungen beibehalten, doch muß man selbstverständlich auch in Zukunft mit Verlegungen rechnen. Dadurch wird in den Tabellen ein Fettdruck in eine normale Beschriftung verwandelt. Es handelt sich beim klimatologischen Beobachtungsnetz ja größtenteils um nebenamtliche Tätigkeit privater Personen, welche in verdankenswerter Weise die Bürde auf sich nehmen, 3mal täglich, Werktag und Sonntag, ihre Messungen vorzunehmen. Nur an einzelnen Observatorien, an sogenannten Säkularstationen, kann die Stationslage Jahrzehnte hindurch beibehalten werden (Genf annähernd gleiche Aufstellung seit 1826!), und auch dort sind wir nie sicher, ob nicht bei veränderter Umgebung durch das Wachstum der Städte oder andere Einflüsse die Reihe in Zukunft gestört werden wird. Da diese Änderungen besonders in der Umgebung der Städte auftreten, in der sich die wichtigsten meteorologischen Observatorien befinden, wurde zur Ergänzung der ebenfalls wenig beeinflußten Bergobservatorien auf das Jahr 1961 eine Säkularstation im Mittelland in Öschberg-Koppigen, zwischen Burgdorf und Herzogenbuchsee, errichtet. Es gilt, besonders auch im Hinblick auf die kommende Entwicklung der Atomenergie, die zukünftigen Klimaänderungen aufmerksam zu verfolgen (vgl. [4]).

Bibliographie

1. *M. Bider, M. Schüepp und H. Rudloff:* Die Reduktion der 200-jährigen Basler Temperaturreihe. Archiv für Meteorologie, Geophysik und Bioklimatologie Serie B, Band 9, Heft 3/4, 1959, S. 360—412.
2. *A. Kratzer:* Das Stadtklima. Die Wissenschaft, Bd. 90, 2. Aufl., 1956.
3. *H. Burger:* Waldklimafragen IV. Mitteilung. Meteorologische Beobachtungen im Brandiswald. Mitteilungen der Schweizerischen Anstalt für das forstliche Versuchswesen, XXVII. Band, Zürich 1951.
4. *M. Schüepp:* Der Temperaturverlauf in der Schweiz seit dem Beginn der meteorologischen Beobachtungen. Annalen der Schweizerischen Meteorologischen Zentralanstalt 1957, Anhang Nr. 11.

Karte C — 1: Stationskarte zur Tab. C — 1.

Tab. C — 1: Monats- und Jahresmittel der Temperatur sowie periodische Jahresschwankung für sämtliche schweizerischen Stationen reduziert auf die Periode 1901—1940.

Periodische Jahresschwankung = Differenz zwischen dem höchsten und dem tiefsten Monatsmittel.

Die Berechnung der Monatsmittel erfolgt aus den drei Terminbeobachtungen um 7 h 30, 13 h 30 und 21 h 30 MEZ nach der Formel:

$$\frac{7\,\text{h}\,30 + 13\,\text{h}\,30 + (2 \times 21\,\text{h}\,30)}{4}$$

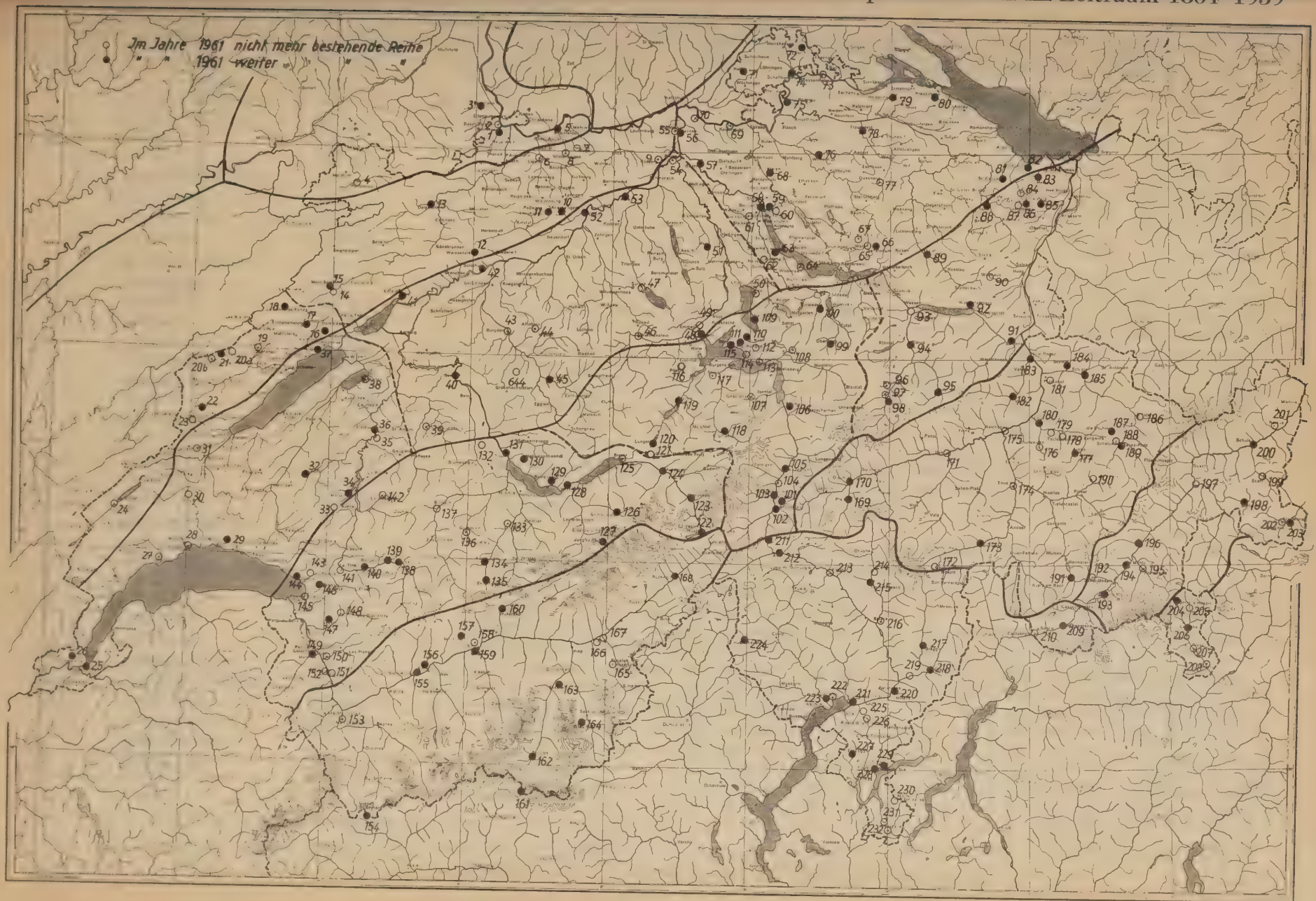

— C/3 —

Tab. C—1

Temperaturmittel, reduziert auf die Periode 1901-1940

°C

Nr.	Station	Beobachtungsperiode	Lage	Höhe m	Januar	Februar	März	April	Mai	Juni	Juli	August	Sept.	Oktober	Nov.	Dez.	Winter	Frühling	Sommer	Herbst	Jahr	Jahresschwankung
	Juranordfuß																					
1	**Basel-Binningen**	1929—	Aw	317	0.5	1.4	4.9	8.5	13.3	16.4	18.1	17.3	14.0	9.1	4.2	1.3	1.1	8.9	17.3	9.1	9.1	17.6
2a	Basel-Albananlage	1864—1874	F■	270	1.5	2.6	5.7	9.6	14.2	17.2	19.2	18.2	14.8	9.9	5.2	1.9	2.0	9.8	18.2	10.0	10.0	17.7
2b	Basel-Bernoullianum I	1875—1894	F■	277	1.2	2.2	5.7	9.5	14.3	17.6	19.3	18.6	14.9	9.8	4.9	2.0	1.8	9.8	18.5	9.9	10.0	18.1
2c	Basel-Bernoullianum II	1894—1928	F■	277	1.3	2.2	5.7	9.4	14.1	17.1	18.8	18.0	14.7	9.8	5.0	2.1	1.9	9.7	18.0	9.8	9.9	17.5
3	**Basel-Blotzheim**	1953—	Fe [1]	268	0.4	1.2	4.8	8.5	13.3	16.5	18.3	17.6	14.3	9.3	4.3	1.3	1.0	8.9	17.5	9.3	9.1	17.9
4a	Porrentruy I	1866—1878	T	430	0.4	1.2	4.4	7.7	12.3	15.2	17.0	16.5	13.4	8.6	3.9	1.2	0.9	8.1	16.2	8.6	8.5	16.6
4b	Porrentruy II	1898-1906, 1948 52	T	460/444	0.1	0.7	3.9	7.4	12.2	15.2	16.9	16.2	13.0	8.4	3.8	1.0	0.6	7.8	16.1	8.4	8.2	16.8
5a	Rheinfelden I	1884—1891	F■	275	0.8	1.8	5.3	8.9	13.8	17.0	18.7	17.9	14.5	9.6	4.6	1.7	1.4	9.3	17.9	9.6	9.6	17.9
5b	Rheinfelden II	1896—1912	F	283	0.5	1.2	4.7	8.4	13.3	16.4	18.0	17.1	13.9	9.1	4.3	1.4	1.0	8.8	17.2	9.1	9.0	17.5
5c	Rheinfelden III	1913—1944	F [2]	280	1.2	2.0	5.4	8.9	13.6	16.6	18.2	17.2	14.1	9.6	5.0	2.2	1.8	9.3	17.3	9.6	9.5	17.0
5d	**Rheinfelden IV**	1945—	F	287	0.2	1.0	4.4	8.0	12.9	15.9	17.6	16.7	13.5	8.7	3.9	1.0	0.7	8.4	16.7	8.7	8.7	17.4
	Östliches Juragebiet																					
6a	Liestal I	1880-1900, 1916-32	F	325	0.4	1.2	4.7	8.4	13.2	16.4	18.0	17.2	13.9	9.1	4.2	1.3	1.0	8.8	17.2	9.1	9.0	17.6
6b	Liestal II	1901—1915	F	325	0.1	1.0	4.5	8.2	13.1	16.2	17.8	16.9	13.6	8.7	3.9	1.0	0.7	8.6	17.0	8.7	8.8	17.7
6c	Liestal III	1933—1939	F [3]	342	0.0	0.7	3.9	7.4	12.3	15.3	16.9	16.1	13.0	8.3	3.6	0.8	0.5	7.9	16.1	8.3	8.2	16.9
7	Buus	1888—1913	T	450	0.2	0.9	4.2	7.8	12.5	15.7	17.3	16.6	13.5	8.8	4.0	1.1	0.7	8.2	16.5	8.8	8.6	17.1
8	Wintersingen	1913—1926	T	444	–0.2	0.6	4.1	7.7	12.5	15.5	17.0	16.2	13.0	8.4	3.6	0.7	0.4	8.1	16.2	8.3	8.3	17.2
9	*Bözberg*	1864—1868	P	571	–1.0	0.0	3.6	7.4	12.2	15.2	16.9	16.3	13.1	8.1	3.0	–0.2	–0.4	7.7	16.1	8.1	7.9	17.9
10	**Allerheiligenberg**	1912-1919, 1950-	HS	890	–0.5	0.1	3.1	6.4	11.3	14.2	16.0	15.4	12.4	7.8	3.2	0.3	0.0	6.9	15.2	7.8	7.5	16.5
11	**Langenbruck**	1885—	T	704/740	–1.8	–1.3	2.1	5.9	10.8	14.1	15.7	14.8	11.8	6.8	2.2	–1.1	–1.4	6.3	14.9	6.9	6.7	17.5
12	Weißenstein	1882—1959	G [4]	1285	–2.8	–2.9	–0.4	2.5	7.7	10.7	12.8	12.3	9.5	5.1	0.9	–1.8	–2.5	3.3	11.9	5.2	4.5	15.5
13	**Delémont**	1958—	F	417	–0.2	0.7	3.9	7.4	12.1	15.1	16.8	16.1	12.8	7.9	3.3	0.5	0.3	7.8	16.0	8.0	8.0	17.0
14	*St. Imier*	1864—1868	T	833	–1.3	–0.3	3.0	6.0	10.9	13.8	15.8	15.2	12.1	7.2	2.8	–0.7	–0.8	6.6	14.9	7.4	7.0	17.1
15	**Mont Soleil**	1908—	HS [5]	1180	–2.2	–2.1	0.5	3.6	8.6	11.4	13.5	13.0	10.3	5.8	1.5	–1.3	–1.9	4.2	12.6	5.9	5.2	15.7
	Westliches Juragebiet																					
16a	Chaumont I	1864—1873	G	1149	–2.1	–2.0	0.8	4.0	8.9	11.8	13.8	13.3	10.4	5.7	1.5	–1.2	–1.8	4.6	13.0	5.9	5.4	15.9
16b	Chaumont II	1876—1899	HS	1128	–1.4	–1.3	1.3	4.4	9.3	12.1	14.2	13.7	10.9	6.4	2.1	–0.6	–1.1	5.0	13.3	6.5	5.9	15.6
16c	Chaumont III	1899—1934	HS	1127	–1.9	–1.8	0.9	4.0	9.0	11.9	14.1	13.6	10.7	6.2	1.8	–1.0	–1.6	4.6	13.2	6.2	5.6	16.0
16d	**Chaumont IV**	1934—	G	1141	–2.3	–2.1	0.6	3.8	8.8	11.7	13.8	13.3	10.4	5.7	1.4	–1.4	–1.9	4.4	12.9	5.8	5.3	16.1
17a	Cernier I	1901—1915	T	800	–1.4	–0.7	2.7	6.3	11.2	14.2	16.0	15.4	12.4	7.4	2.6	–0.6	–0.9	6.7	15.2	7.5	7.1	17.0
17b	**Cernier II**	1916—	T	790	–1.6	–1.0	2.3	5.8	10.7	13.8	15.8	15.3	12.1	7.1	2.5	–0.6	–1.1	6.3	15.0	7.2	6.8	17.0
18a	La Chaux-de-Fonds I	1901—1952	M■	986	–2.1	–1.7	1.3	4.7	9.8	12.8	14.9	14.1	11.2	6.6	2.1	–1.1	–1.6	5.3	13.9	6.6	6.0	17.0
18b	**La Chaux-de-Fonds II**	1953—	M■	990	–1.5	–1.2	1.6	5.0	10.2	13.2	15.3	14.6	11.4	6.6	2.1	–0.6	–1.1	5.6	14.4	6.5	6.4	16.8
19	*Les Ponts-de-Martel*	1866—1870	F	1023	–2.4	–2.0	1.2	4.3	9.2	12.2	14.4	13.9	10.7	5.6	1.1	–1.9	–2.1	4.9	13.5	5.8	5.5	16.8
20a	La Brévine I	1896—1931	F	1080	–3.2	–2.8	0.2	3.5	8.6	11.4	13.4	12.8	10.0	5.4	1.0	–2.2	–2.7	4.1	12.5	5.5	4.8	16.6

[1] Basel-Blotzheim: Station des französischen Wetterdienstes
[2] Rheinfelden: Werte wahrscheinlich zu hoch infolge ungünstiger Aufstellung
[3] Liestal: Werte wahrscheinlich zu tief infolge Aufstellung im Baumschatten
[4] Weißenstein: Seit 1960 englische Hütte
[5] Mont Soleil: Südhang, jedoch schattige Aufstellung

Nr.	Station	Beobachtungsperiode	Lage	Höhe m	Januar	Februar	März	April	Mai	Juni	Juli	August	Sept.	Oktober	Nov.	Dez.	Winter	Frühling	Sommer	Herbst	Jahr	Jahresschwankung
20b, 21	La Brévine II+III	1933—1957	M[6]	1077/1060	–4.1	–3.7	–0.6	2.8	8.0	11.0	13.1	12.4	9.3	4.7	0.4	–2.9	–3.6	3.4	12.2	4.8	4.2	17.2
22	**Chasseron**	1946—	G	1588/1601	–3.8	–4.1	–2.1	0.4	5.1	8.0	10.3	10.1	7.7	3.7	–0.2	–2.9	–3.6	1.1	9.5	3.7	2.7	14.4
23	Ste. Croix	1864-75, 1901-06	HS	1089/1092	–1.7	–1.6	1.2	4.3	9.3	12.1	14.1	13.6	10.8	6.2	1.9	–0.9	–1.4	4.9	13.3	6.3	5.8	15.8
24	*Le Sentier*	1864—1866	F	1024	–4.0	–3.1	0.0	2.9	8.4	11.6	13.2	12.4	9.6	5.4	1.0	–2.9	–3.3	3.8	12.4	5.3	4.5	17.2
	Westliches Mittelland																					
25	**Genève Observatoire**	1826—	Ae■	405	1.1	2.0	5.5	9.2	13.9	17.3	19.2	18.5	15.0	9.8	5.2	2.0	1.7	9.5	18.3	10.0	9.9	18.1
26	**Genève-Cointrin**	1951—	F	424/430	0.3	1.3	4.8	8.6	13.2	16.5	18.4	17.8	14.3	9.1	4.5	1.2	0.9	8.9	17.6	9.3	9.2	18.1
27	*Allaman*	1952—1954	A	432	0.9	1.9	5.5	9.2	13.9	17.3	19.0	18.2	14.7	9.6	5.0	1.8	1.5	9.5	18.2	9.8	9.8	18.1
28	*Morges*	1864—1866	U	380	0.6	1.5	5.0	8.6	13.2	16.6	18.3	17.6	14.3	9.3	4.9	1.6	1.2	8.9	17.5	9.5	9.3	17.7
29a	Lausanne I	1874—1886	HS■	508	0.9	1.7	5.1	8.8	13.5	16.7	18.5	17.9	14.7	9.6	4.9	1.8	1.5	9.1	17.7	9.7	9.5	17.6
29b	**Lausanne II** (Champ de l'Air)	1887—	HSe	553/589	0.5	1.3	4.7	8.3	13.3	16.4	18.2	17.6	14.3	9.3	4.7	1.4	1.1	8.8	17.4	9.4	9.2	17.7
30	*Dizy*	1864—1866	A	588	–0.6	0.3	4.0	7.8	12.4	15.8	17.5	16.9	13.5	8.3	3.6	0.3	0.0	8.1	16.7	8.5	8.3	18.1
31	Valeyres-sous-Rances	1887—1938	A	505	0.3	1.0	4.4	8.2	13.1	16.2	18.0	17.4	14.2	9.0	4.4	1.2	0.8	8.6	17.2	9.2	9.0	17.7
32	**Romont**	1906—	A	764	–1.6	–0.9	2.6	6.4	11.4	14.7	16.4	15.7	12.4	7.4	2.5	–0.7	–1.1	6.8	15.6	7.4	7.2	18.0
33	Vuadens	1864—1883	A	822	–1.8	–1.0	2.4	6.0	10.7	14.0	15.9	15.3	12.0	7.0	2.1	–1.0	–1.3	6.4	15.1	7.0	6.8	17.7
34a	Marsens I	1896—1925	F	721	–1.6	–0.8	2.8	6.6	11.4	14.5	16.2	15.5	12.3	7.4	2.6	–0.7	–1.0	6.9	15.4	7.4	7.2	17.8
34b	**Marsens II**	1926—	F	721	–1.8	–0.9	2.8	6.6	11.6	15.0	16.7	15.9	12.5	7.5	2.6	–0.8	–1.2	7.0	15.9	7.5	7.3	18.5
35	Bourguillon (Fribourg)	1882—1901	A	656	–1.3	–0.3	3.4	7.3	12.2	15.3	17.0	16.3	13.0	7.9	2.9	–0.4	–0.7	7.6	16.2	7.9	7.8	18.3
36	**Fribourg**	1903—	A	677	–1.1	–0.2	3.4	7.0	11.9	15.1	16.9	16.3	13.0	7.9	3.0	–0.2	–0.5	7.4	16.1	8.0	7.7	18.0
37	**Neuchâtel**	1864—	A	489	0.2	1.0	4.5	8.4	13.3	16.5	18.4	17.8	14.4	9.1	4.3	1.1	0.8	8.7	17.6	9.3	9.1	18.2
38	*Murten*	1871—1873	A	468	–0.3	0.7	4.3	8.3	13.3	16.6	18.1	17.2	13.9	8.8	4.0	0.6	0.3	8.6	17.3	8.9	9.0	18.4
	Zentrales Mittelland																					
39	*Schwarzenburg*	1867—1873 m. U.	T	805	–1.7	–1.1	2.3	6.1	10.9	14.1	15.9	15.4	12.2	7.1	2.2	–0.8	–1.2	6.4	15.1	7.2	6.9	17.6
40	**Bern**	1864—(1958)	Aw■[7]	572	–1.0	0.0	3.8	7.7	12.6	15.7	17.4	16.7	13.3	8.2	3.2	–0.1	–0.4	8.0	16.6	8.2	8.1	18.4
41	**Biel**	1953—	F■[8]	436	0.3	1.1	4.6	8.7	13.9	17.3	19.1	18.3	14.7	9.2	4.3	1.2	0.9	9.1	18.2	9.4	9.4	18.8
42a	Solothurn I	1864—1876	F	441	–0.3	0.5	4.2	8.1	13.0	16.2	17.8	17.0	13.6	8.7	4.1	0.9	0.4	8.4	17.0	8.8	8.6	18.1
42b	**Solothurn II**	1911—	A	470	–0.8	0.2	4.1	8.2	13.2	16.3	17.9	17.2	13.8	8.6	3.4	0.1	–0.2	8.5	17.1	8.6	8.5	18.7
43	Burgdorf	1870—1875	F	550	–0.8	0.2	3.7	7.5	12.4	15.4	17.1	16.5	13.3	8.2	3.3	0.0	–0.2	7.9	16.3	8.3	8.1	17.9
44	Affoltern i. Emmental	1864—1905	P	800	–1.3	–0.7	2.6	6.3	11.0	14.1	15.8	15.3	12.2	7.3	2.5	–0.5	–0.8	6.6	15.1	7.3	7.0	17.1
45	**Langnau i. Emmental**	1907—	T	685/692	–1.7	–0.8	2.8	6.5	11.5	14.8	16.3	15.6	12.5	7.6	2.7	–0.9	–1.1	6.9	15.6	7.6	7.2	18.0
46	Werthenstein	1934—1955	T	594	–1.5	–0.6	3.0	6.6	11.4	14.5	16.1	15.5	12.4	7.5	2.6	–0.6	–0.9	7.0	15.4	7.5	7.3	17.6
47a	Sursee I	1868—1876	F	505	–1.4	–0.7	3.1	6.8	11.5	14.5	16.2	15.6	12.4	7.6	2.9	–0.4	–0.8	7.1	15.4	7.6	7.3	17.6
47b	Sursee II	1877—1890	F	510	–0.6	0.3	4.2	7.9	12.6	15.6	17.5	17.2	14.1	8.9	3.8	0.4	0.0	8.2	16.8	8.9	8.5	18.1
47c	Sursee III	1892—1898	F	505	–1.1	–0.3	3.5	7.3	12.4	15.5	17.2	16.4	13.1	8.1	3.3	0.1	–0.4	7.7	16.4	8.2	8.0	18.3
48a	Luzern I	1879—1954	A	451/498	–0.2	0.7	4.5	8.3	13.1	16.2	17.9	17.2	13.9	8.8	4.0	0.7	0.4	8.6	17.1	8.9	8.8	18.1
48b	**Luzern II**	1955—	Ae	498	–0.6	0.1	3.9	7.7	12.7	15.8	17.4	16.8	13.5	8.3	3.4	0.2	–0.1	8.1	16.7	8.4	8.3	18.0

[6] La Brévine: Die Aufstellung seit 1957 ergibt geringfügig tiefere Wintertemperaturen, dagegen etwa 1° tiefere Sommertemperaturen als die bisherigen Reihen II + III

[7] Die Berner Beobachtungsreihe des 19. Jahrhunderts ist nicht völlig homogen, vgl. Maurer, Billwiller u. Heß: Das Klima der Schweiz 1909): Bd. 1, S. 18. Seit 1958 werden infolge von Umbauten erneut Hilfsaufstellungen benutzt, welche Abweichungen von den früheren Werten erwarten lassen.

[8] Biel: Dachaufstellung, hohe Sommertemperaturen

Nr.	Station	Beobachtungsperiode	Lage	Höhe m	Januar	Februar	März	April	Mai	Juni	Juli	August	Sept.	Oktober	Nov.	Dez.	Winter	Frühling	Sommer	Herbst	Jahr	Jahresschwankung
49	*Rathausen*	1864—1867	F	437	–0.8	0.1	3.8	7.5	12.4	15.5	17.2	16.6	13.4	8.3	3.4	0.2	–0.2	7.9	16.4	8.4	8.1	18.0
50a	*Zug I*	1864—1866	U	426	0.1	1.0	4.7	8.3	13.2	16.2	18.0	17.7	14.7	9.7	4.7	1.2	0.8	8.7	17.3	9.7	9.1	17.9
50b	*Zug II*	1873—1877	U	437	–0.1	0.8	4.5	8.1	12.8	15.7	17.4	17.0	13.9	9.0	4.2	1.0	0.6	8.5	16.7	9.0	8.7	17.5
51a	Muri I	1864—1904	T	480	–0.5	0.4	4.3	7.9	12.7	15.7	17.4	16.9	13.7	8.7	3.7	0.4	0.1	8.3	16.7	8.7	8.4	17.9
51b	Muri II	1915—1944	T[9]	480	–0.8	0.2	4.0	7.8	12.7	15.7	17.2	16.5	13.3	8.3	3.3	0.1	–0.2	8.2	16.5	8.3	8.2	18.0
52a	Olten I	1864—1902	F	395	0.1	1.0	4.7	8.4	13.2	16.2	17.8	17.1	14.0	9.1	4.3	1.1	0.7	8.8	17.0	9.1	8.9	17.7
52b	Olten II	1904—1956	F	400	–0.4	0.5	4.3	8.2	13.2	16.3	17.9	17.1	13.7	8.6	3.7	0.5	0.2	8.6	17.1	8.7	8.6	18.3
52c	**Olten III**	1955—	Fe	391	–0.7	0.2	3.8	7.5	12.4	15.6	17.2	16.5	13.3	8.4	3.6	0.4	0.0	7.9	16.4	8.4	8.2	17.9
53a	Aarau I	1864—1902	F	386/403	–0.1	0.7	4.4	8.0	12.7	15.5	17.0	16.4	13.3	8.6	4.0	0.8	0.5	8.4	16.3	8.6	8.4	17.1
53b	**Aarau II**	1902—	F	408	–0.5	0.1	3.9	8.0	12.8	15.9	17.3	16.5	13.3	8.4	3.6	0.6	0.1	8.2	16.6	8.4	8.3	17.8
54	*Königsfelden*	1864—1866	F	368	0.3	1.0	4.9	8.8	13.6	16.4	17.8	17.0	13.7	8.9	4.3	1.2	0.8	9.1	17.1	9.0	9.0	17.5
	Nordöstliches Mittelland																					
55a	Böttstein I	1881—1895	A	367	–0.1	0.7	4.3	8.1	13.0	16.0	17.6	16.7	13.5	8.7	3.8	0.9	0.5	8.5	16.8	8.7	8.6	17.7
55b	Böttstein II-Beznau I	1896—1942	F	360/330	–0.2	0.7	4.4	8.2	13.2	16.3	17.9	17.0	13.7	8.8	3.8	0.8	0.4	8.6	17.1	8.8	8.7	18.1
56a	Beznau II	1943—1956	F	330	0.3	1.1	4.3	8.0	13.0	16.2	17.9	17.1	13.8	8.9	4.1	1.2	0.9	8.4	17.1	8.9	8.8	17.6
56b	**Beznau III**	1956—	F	326	–0.3	0.4	4.1	8.0	12.8	15.8	17.3	16.6	13.3	8.7	4.0	1.0	0.4	8.3	16.6	8.7	8.5	17.6
57a	Baden I	1894—1935	F	381/387	–0.4	0.5	4.2	8.0	12.8	15.8	17.3	16.7	13.5	8.6	3.8	0.6	0.2	8.3	16.6	8.6	8.5	17.7
57b	**Baden II**	1935—	Fe[10]	387	–0.3	0.6	4.2	8.1	13.0	16.1	17.6	16.9	13.5	8.5	3.8	0.6	0.3	8.4	16.9	8.6	8.6	17.9
58	**Zürich Bot. Garten**	1953—	Uw■	411	0.0	1.0	4.7	8.6	13.7	16.8	18.4	17.6	14.2	9.1	4.2	1.0	0.7	9.0	17.6	9.2	9.1	18.4
59a	Zürich MZA I	1864—1949	Aw■	470/493	–0.1	0.9	4.6	8.3	13.1	16.1	17.7	17.1	13.9	8.9	4.0	0.8	0.5	8.7	17.0	8.9	8.8	17.8
59b	**Zürich MZA II**	1949—	HSw	569	–0.9	0.1	3.7	7.4	12.2	15.3	16.9	16.3	13.1	8.1	3.2	0.0	–0.3	7.8	16.2	8.1	8.0	17.8
60	Zürich-Adlisberg	1889—1895	P	670	–1.3	–0.3	3.3	7.0	11.7	14.7	16.4	15.9	12.7	7.8	2.8	–0.4	–0.7	7.3	15.7	7.8	7.6	17.7
61	Uetliberg	1864—1872	G	871	–1.6	–1.1	2.2	5.4	10.0	12.8	14.5	14.2	11.4	6.7	2.0	–0.9	–1.2	5.9	13.8	6.7	6.3	16.1
62	Albishorn	1905—1916	G	910	–2.0	–1.4	1.6	5.5	10.4	13.2	15.0	14.8	11.6	7.0	1.8	–0.9	–1.4	5.8	14.3	6.8	6.4	17.0
63	**Horgen**	1951—	A	445	–0.6	0.2	3.8	7.7	12.8	16.0	17.6	16.9	13.6	8.6	3.7	0.4	0.0	8.1	16.8	8.6	8.4	18.2
64a	Wädenswil I	1898—1905	A	466	0.1	0.8	4.4	8.0	12.8	15.8	17.4	16.9	13.9	9.2	4.5	1.2	0.7	8.4	16.7	9.2	8.8	17.3
64b	Wädenswil II	1924—1940	A	475	–0.1	0.6	4.2	8.0	12.9	16.0	17.6	16.9	13.8	8.9	4.0	0.8	0.4	8.4	16.8	8.9	8.6	17.7
65	Wald	1883—1898	T	613	–1.4	–0.7	3.1	6.9	11.8	14.7	16.3	15.8	12.7	7.9	3.0	–0.6	–0.9	7.3	15.6	7.9	7.5	17.7
66a	Wald Sanatorium I	1899—1920	HS	912	–1.0	–0.7	2.5	5.9	10.8	13.9	15.6	15.2	12.2	7.7	3.1	–0.2	–0.6	6.4	14.9	7.7	7.1	16.6
66b	**Wald Sanatorium II**	1936—	HS	908	–1.0	–0.6	2.9	6.4	11.2	14.1	15.8	15.4	12.5	8.0	3.4	0.0	–0.5	6.8	15.1	8.0	7.3	16.8
67	Bachtel	1909—1920	G	1115	–2.0	–1.6	0.8	4.2	9.2	11.8	13.6	13.3	10.5	6.1	1.5	–1.3	–1.6	4.7	12.9	6.0	5.5	15.6
68	**Kloten**	1949—	Fe[11]	431	–1.2	–0.3	3.5	7.3	12.3	15.5	17.2	16.5	13.2	8.1	3.1	–0.2	–0.6	7.7	16.4	8.1	7.9	18.4
69	*Kaiserstuhl*	1867—1869	F	359	0.1	0.9	4.7	8.2	12.8	15.8	17.6	17.2	14.1	9.2	4.4	1.1	0.7	8.6	16.9	9.2	8.8	17.5
70	*Zurzach*	1864—1866	F	352	–0.5	0.6	4.2	7.6	12.3	15.3	16.9	16.1	12.7	7.9	3.5	0.5	0.2	8.0	16.1	8.0	8.1	17.4
71	**Hallau**	1886—	F	459	–0.8	0.2	4.1	8.1	13.2	16.2	17.8	16.9	13.6	8.4	3.5	0.2	–0.1	8.5	17.0	8.5	8.4	18.6

[9] Muri: Die jetzige Station Muri (1957—1960) weist etwas tiefere Temperaturen auf als die beiden angeführten Reihen (Differenz etwa ½°)

[10] Baden: Englische Hütte seit 1960, vorher Hütten anderer Konstruktion

[11] Kloten: Vor 1954 Wildsche Hütte

Nr.	Station	Beobachtungs-periode	Lage	Höhe m	Januar	Februar	März	April	Mai	Juni	Juli	August	Sept.	Oktober	Nov.	Dez.	Winter	Frühling	Sommer	Herbst	Jahr	Jahres-schwankung
72a	Lohn I	1864—1901	HS	642/635	–1.1	–0.1	3.6	7.3	12.0	14.9	16.6	16.2	13.0	8.1	3.0	–0.2	–0.5	7.6	15.9	8.0	7.8	17.7
72b	Lohn II	1901—1930	HS	640/633	–1.4	–0.3	3.6	7.4	12.4	15.5	17.1	16.6	13.3	8.1	2.8	–0.6	–0.8	7.8	16.4	8.1	7.9	18.5
72c	**Lohn III**	1930—	HS	643	–1.8	–0.7	3.2	7.0	12.0	15.1	16.8	16.2	13.0	7.7	2.5	–0.8	–1.1	7.4	16.0	7.7	7.5	18.6
73	*Diessenhofen*	1882—1895	F	412/409	–0.8	0.1	3.9	7.7	12.4	15.4	16.9	16.3	13.1	8.2	3.5	0.3	–0.1	8.0	16.2	8.3	8.1	17.7
74a	Schaffhausen I	1864—1871	T	395/386	–0.4	0.6	4.5	8.1	12.9	16.0	17.6	17.0	13.7	8.7	3.9	0.6	0.3	8.5	16.9	8.8	8.6	18.0
74b	Schaffhausen II	1874—1903	A	437/445	–0.6	0.3	4.1	7.9	12.6	15.5	17.1	16.5	13.3	8.3	3.5	0.3	0.0	8.2	16.4	8.4	8.2	17.7
74c	Schaffhausen III	1904—1959	A [12]	448/451	–1.1	–0.1	3.8	7.7	12.7	15.7	17.2	16.5	13.1	8.0	3.1	–0.2	–0.5	8.1	16.5	8.1	8.0	18.3
75a	**Rheinau (Rhein)**	1948—	T	354	–0.8	0.0	3.5	7.3	12.4	15.5	17.2	16.5	13.3	8.2	3.5	0.2	–0.2	7.7	16.4	8.3	8.0	18.0
75b	**Rheinau (Korb)**	1948—	T	365	–0.9	–0.1	3.6	7.6	12.7	15.8	17.5	16.6	13.4	8.2	3.4	0.1	–0.3	8.0	16.6	8.3	8.1	18.4
75c	**Neu-Rheinau**	1948—	F	390	–1.3	–0.4	3.4	7.4	12.5	15.5	17.2	16.3	12.9	7.7	2.9	–0.3	–0.7	7.8	16.3	7.8	7.8	18.5
76a	Winterthur I	1864—1876	F	444	–0.7	0.1	3.9	7.6	12.4	15.5	17.2	16.5	13.3	8.3	3.5	0.3	–0.1	8.0	16.4	8.4	8.2	17.9
76b	Winterthur II	1877—1919	F■	445/448	–0.5	0.4	4.1	7.9	12.8	15.8	17.4	16.7	13.4	8.4	3.7	0.5	0.1	8.3	16.6	8.5	8.4	17.9
76c	Winterthur III	1919—1943	F	449/454	–1.2	–0.5	3.3	7.4	12.5	15.5	17.0	16.2	12.8	7.7	3.0	–0.2	–0.6	7.7	16.2	7.8	7.8	18.2
76d	**Winterthur IV**	1945—	A	485	–0.8	0.0	3.7	7.5	12.4	15.4	17.0	16.2	12.9	8.0	3.2	0.1	–0.2	7.9	16.2	8.0	8.0	17.8
77	*Dußnang*	1877—1880	T	592	–1.1	–0.3	3.1	6.6	11.3	14.1	15.8	15.3	12.3	7.4	2.7	–0.3	–0.6	7.0	15.1	7.5	7.2	16.9
78a	Frauenfeld I	1864—1872	F	419	–0.7	0.2	4.0	7.7	12.5	15.6	17.2	16.5	13.2	8.3	3.6	0.4	0.0	8.1	16.4	8.4	8.2	17.9
78b	Frauenfeld II	1881—1889	F■	409/424	–0.2	0.7	4.4	8.0	12.7	15.8	17.4	16.8	13.7	8.8	3.9	0.8	0.4	8.4	16.7	8.8	8.6	17.6
78c	Frauenfeld III	1918—1959	A [13]	433	–0.8	–0.1	3.8	8.0	12.9	16.2	17.7	16.7	13.2	8.2	3.3	0.2	–0.2	8.2	16.9	8.2	8.3	18.5
79	**Haidenhaus**	1889-1915, 1956-	P	694	–1.5	–0.6	3.0	6.7	11.5	14.6	16.3	15.8	12.6	7.6	2.6	–0.6	–0.9	7.1	15.6	7.6	7.3	17.8
80a	Kreuzlingen I	1869—1897	U	424/431	–0.1	0.7	4.5	8.2	13.1	16.0	17.7	17.2	14.1	9.1	4.1	0.9	0.5	8.6	17.0	9.1	8.8	17.8
80b	Kreuzlingen II	1898—1907	U	427	–0.5	0.2	4.0	7.7	12.5	15.5	17.0	16.4	13.2	8.4	3.8	0.6	0.1	8.1	16.3	8.5	8.3	17.5
80c	Kreuzlingen III	1907—1931	U	427/424	–0.5	0.3	4.2	8.1	13.1	16.2	17.9	17.2	13.8	8.7	3.8	0.6	0.1	8.5	17.1	8.8	8.6	18.4
80d	**Kreuzlingen IV**	1932—	A [14]	446	–0.9	–0.2	3.6	7.5	12.5	15.5	17.1	16.4	13.1	8.1	3.3	0.1	–0.3	7.9	16.3	8.2	8.0	18.0
81a	St. Gallen I	1867-1879, 1890-1937	A	666/702	–1.2	–0.4	3.1	6.6	11.3	14.3	16.0	15.5	12.5	7.7	2.9	–0.3	–0.6	7.0	15.3	7.7	7.3	17.2
81b	St. Gallen II	1883—1890	T■	680/696	–0.9	–0.2	3.3	6.9	11.6	14.6	16.2	15.8	12.7	7.8	3.0	0.0	–0.4	7.3	15.5	7.8	7.6	17.1
81c	St. Gallen-Bruggen III	1937—1954	A	679	–1.8	–1.0	2.4	5.9	10.9	14.0	15.6	15.0	11.8	7.0	2.3	–0.9	–1.2	6.4	14.9	7.0	6.8	17.4
81d	**St. Gallen IV**	1954—	Te	664	–1.9	–1.1	2.5	6.0	11.1	14.2	15.9	15.1	11.9	7.2	2.3	–0.9	–1.3	6.5	15.1	7.1	6.9	17.8
82a	Rorschach I	1901—1937	A	455	0.2	0.9	4.4	8.1	12.9	15.9	17.6	17.0	13.8	8.9	4.2	1.1	0.7	8.5	16.8	9.0	8.8	17.4
82b	**Rorschach II**	1937—	A	455	–0.1	0.5	3.8	7.4	12.3	15.4	17.1	16.6	13.5	8.7	4.0	0.9	0.4	7.8	16.4	8.7	8.3	17.2
	Östl. Alpennordhang																					
83a	Heiden I	1887—1930	T	795/809	–1.5	–1.1	2.3	5.9	10.7	13.6	15.3	14.8	11.7	7.2	2.6	–0.7	–1.1	6.3	14.6	7.2	6.7	16.8
83b	Heiden II	1930—1936	T	809	–1.5	–1.0	2.4	6.5	11.4	14.4	16.0	15.3	12.1	7.3	2.5	–0.8	–1.1	6.8	15.2	7.3	7.1	17.5
83c	**Heiden III**	1936—	T	811	–1.8	–1.4	2.0	5.6	10.5	13.4	15.1	14.8	11.6	7.0	2.5	–0.9	–1.4	6.0	14.4	7.0	6.5	16.9
84	Trogen	1864—1887	HN	874/890	–1.2	–0.9	2.2	5.4	10.2	13.3	15.1	14.7	11.7	7.2	2.7	–0.5	–0.9	5.9	14.4	7.2	6.7	16.3
85a	Altstätten I	1864—1905	F■	477/451	–0.3	0.9	4.8	8.5	13.1	16.0	17.5	17.1	14.1	9.3	4.2	0.7	0.4	8.8	16.9	9.2	8.8	17.8

[12] Schaffhausen: Seit 1960 neue Station (457 m) mit englischer Hütte und etwas tieferen Temperaturen als Schaffhausen III

[13] Frauenfeld: Seit März 1959 neue Station (409 m) mit höheren Temperaturen als Frauenfeld III

[14] Kreuzlingen: seit 1959 englische Hütte in gleicher Aufstellung wie Kreuzlingen IV, wahrscheinlich keine wesentliche Änderung gegenüber der bisherigen Reihe

Nr.	Station	Beobachtungs-periode	Lage	Höhe m	Januar	Februar	März	April	Mai	Juni	Juli	August	Sept.	Oktober	Nov.	Dez.	Winter	Frühling	Sommer	Herbst	Jahr	Jahres-schwankung
85b	Altstätten II	1905—1927	F	453/474	–0.9	0.3	4.5	8.4	13.2	16.1	17.6	16.9	13.7	8.7	3.7	0.2	–0.1	8.7	16.9	8.7	8.5	18.5
85c	Altstätten III	1927—1945	F	474	–1.2	–0.2	3.9	7.9	12.8	15.9	17.4	16.7	13.6	8.5	3.3	–0.2	–0.5	8.2	16.7	8.5	8.2	18.6
85d	**Altstätten IV**	1945—	F	468	–1.2	–0.2	3.8	7.7	12.6	15.6	17.1	16.5	13.3	8.2	3.2	–0.2	–0.5	8.0	16.4	8.2	8.0	18.3
86a	Schwäbrig I	1891—1897	P	1150	–1.7	–1.7	1.0	4.2	9.0	11.8	13.6	13.4	10.8	6.5	2.1	–0.9	–1.4	4.7	12.9	6.5	5.7	15.3
86b	**Schwäbrig II**	1901-25, 1942-	P	1152/1156	–2.1	–2.1	0.7	3.9	8.7	11.7	13.6	13.3	10.5	6.3	1.9	–1.3	–1.8	4.4	12.9	6.2	5.4	15.7
87	Gäbris	1881—1890	G	1250	–1.3	–1.5	0.9	3.8	8.5	11.3	13.2	13.0	10.3	6.1	2.1	–0.6	–1.1	4.4	12.5	6.2	5.5	14.5
88	**Stein**	1958—	HE	786	–1.9	–1.3	2.0	5.6	10.8	13.8	15.5	15.2	12.1	7.3	2.4	–1.2	–1.5	6.1	14.8	7.3	6.7	17.4
89a	Ebnat I	1881—1925	T	649	–1.9	–0.9	2.6	6.3	11.1	14.2	15.9	15.4	12.2	7.4	2.4	–1.0	–1.3	6.7	15.2	7.3	7.0	17.8
89b	**Ebnat II**	1926—	T	649	–2.5	–1.6	2.0	5.9	11.0	14.1	15.7	15.0	11.7	6.9	2.0	–1.4	–1.8	6.3	14.9	6.9	6.6	18.2
90a	Wildhaus I	1886—1898	P	1090/1115	–1.4	–1.3	1.6	4.8	9.6	12.5	14.3	14.0	11.2	7.0	2.7	–0.5	–1.1	5.3	13.6	7.0	6.2	15.7
90b	Wildhaus II	1898—1919	P	1115	–1.8	–1.7	1.2	4.4	9.2	12.1	13.9	13.6	10.9	6.6	2.1	–0.9	–1.5	4.9	13.2	6.5	5.8	15.7
91a	Sargans I	1864—1887	F	501	0.3	1.5	5.2	8.7	13.0	15.5	17.0	16.8	14.2	9.6	4.6	1.2	1.0	9.0	16.4	9.5	9.0	16.7
91b	Sargans II	1888—1941	F	507/508	–0.4	0.8	5.0	8.6	13.3	16.1	17.4	16.9	14.0	9.4	4.4	0.5	0.3	9.0	16.8	9.3	8.8	17.8
91c	**Sargans III**	1950—	F	510	–0.6	0.4	4.5	8.2	12.9	15.8	17.3	16.7	13.6	8.8	4.0	0.6	0.1	8.5	16.6	8.8	8.5	17.9
92	**Walenstadtberg**	1948—	HS	982	–0.8	–0.4	2.8	6.0	10.8	13.7	15.3	14.9	12.1	7.8	3.3	0.1	–0.4	6.5	14.6	7.7	7.1	16.1
93	Linthkolonie	1872—1887	F	434	–0.4	0.9	5.1	8.9	13.2	15.8	17.3	16.8	13.9	9.1	4.1	0.6	0.4	9.1	16.6	9.0	8.8	17.7
94a	Glarus I	1864—1878	F	480/476	–0.9	0.1	4.1	7.8	12.5	15.3	16.8	16.4	13.6	8.8	3.7	0.0	–0.3	8.1	16.2	8.7	8.2	17.7
94b	Glarus II	1879—1891	F	477	–1.8	–0.8	3.5	7.7	12.6	15.2	16.7	16.2	13.2	8.1	3.0	–0.8	–1.1	7.9	16.0	8.1	7.7	18.5
94c	Glarus III	1901—1952	F	483	–1.9	–1.0	3.3	7.5	12.2	15.1	16.6	15.9	12.9	8.0	3.1	–0.9	–1.3	7.7	15.9	8.0	7.6	18.5
94d	Glarus IV	1952—1959	F[15]	503	–1.6	–0.7	3.4	7.5	12.4	15.3	17.0	16.3	13.2	8.2	3.2	–0.6	–1.0	7.8	16.2	8.2	7.8	18.6
95a	Elm I	1881—1915	T	961	–2.9	–2.2	1.0	5.1	10.1	12.9	14.4	13.8	10.9	6.4	1.5	–2.1	–2.4	5.4	13.7	6.3	5.7	17.3
95b	Elm II	1918—1947	T	962	–3.1	–2.1	1.5	5.2	10.2	13.1	14.6	13.9	10.9	6.5	1.7	–2.0	–2.4	5.6	13.9	6.4	5.9	17.7
95c	**Elm III**	1948—	T	962	–3.2	–2.5	1.1	5.1	10.2	13.2	14.8	14.1	10.9	6.2	1.3	–2.3	–2.7	5.5	14.0	6.1	5.7	18.0
96	Braunwald	1922—1952	HS	1190	–1.9	–1.7	1.2	4.5	9.3	12.1	13.8	13.4	10.7	6.4	2.1	–1.0	–1.5	5.0	13.1	6.4	5.7	15.7
97	Linthal	1881—1890	T	656	–2.3	–1.1	3.0	7.1	11.7	14.3	15.7	15.3	12.5	7.8	2.8	–1.3	–1.6	7.3	15.1	7.7	7.1	18.0
98a	Auen I	1864—1880	T	818	–0.8	–0.3	3.0	6.4	11.1	13.9	15.5	15.2	12.4	7.9	3.2	–0.1	–0.4	6.8	14.9	7.8	7.3	16.3
98b	Auen II	1901—1940	T	821	–1.4	–0.8	2.7	6.1	11.0	13.8	15.4	14.9	12.1	7.6	2.8	–0.6	–0.9	6.6	14.7	7.5	7.0	16.8
98c	**Auen III**	1944—	T	830/815	–1.4	–0.8	2.9	6.5	11.3	14.2	15.9	15.4	12.4	7.9	3.0	–0.5	–0.9	6.9	15.2	7.8	7.2	17.3
	Zentraler Alpennordhang																					
99	**Oberiberg**	1886—	T	1126/1090	–3.1	–2.6	0.6	4.0	9.0	12.2	13.9	13.4	10.5	6.0	1.3	–2.2	–2.6	4.5	13.2	5.9	5.2	17.0
100a	Einsiedeln I	1864—1899	F	910	–3.0	–2.4	1.2	4.8	9.8	12.9	14.6	14.1	11.0	6.4	1.6	–2.1	–2.5	5.3	13.9	6.3	5.7	17.6
100b	**Einsiedeln II**	1899—	F	914	–2.2	–1.6	1.8	5.4	10.4	13.5	15.1	14.5	11.4	6.8	2.2	–1.3	–1.7	5.9	14.4	6.8	6.3	17.3
101	**Gütsch**	1954—	HSe	2284	–7.2	–7.6	–5.9	–3.2	1.2	4.4	7.0	7.2	4.6	0.7	–3.5	–6.1	–7.0	–2.6	6.2	0.6	–0.7	14.8
102	**Andermatt**	1864—	M	1442	–5.8	–5.1	–1.5	1.8	6.6	9.9	11.5	11.3	8.4	4.2	–0.8	–4.5	–5.1	2.3	10.9	3.9	3.0	17.3
103a	Göschenen I	1876—1895	T	1125/1108	–0.9	–1.0	1.7	4.8	9.6	12.7	14.5	14.2	11.4	7.2	3.0	0.0	–0.6	5.4	13.8	7.2	6.4	15.6
103b	Göschenen II	1895—1954	T	1109	–1.5	–1.1	1.5	4.6	9.5	12.6	14.3	14.1	11.3	7.0	2.7	–0.4	–1.0	5.2	13.7	7.0	6.2	15.8

[15] Glarus: Seit 1960 neue Station mit englischer Hütte

Nr.	Station	Beobachtungs-periode	Lage	Höhe m	Januar	Februar	März	April	Mai	Juni	Juli	August	Sept.	Oktober	Nov.	Dez.	Winter	Frühling	Sommer	Herbst	Jahr	Jahres-schwan-kung
103c	**Göschenen III**	1954—	Te [16]	1125	–1.9	–1.7	1.4	4.7	9.4	12.2	14.0	13.6	11.0	6.8	2.3	–1.1	–1.6	5.2	13.3	6.7	5.9	15.9
104	Wassen	1876—1882	T	850	0.2	0.1	2.8	6.2	11.1	13.9	15.4	14.9	12.1	8.1	4.0	1.0	0.4	6.7	14.7	8.1	7.5	15.5
105a	Gurtnellen I	1883—1906	T	739	0.7	1.2	4.6	8.0	12.5	15.1	16.7	16.4	13.5	9.3	4.8	1.5	1.1	8.4	16.1	9.2	8.7	16.0
105b	**Gurtnellen II**	1907—	T	739	–0.3	0.2	3.7	7.3	12.1	14.9	16.5	16.1	13.2	8.7	4.0	0.6	0.2	7.7	15.8	8.6	8.1	16.8
106a	Altdorf I	1864—1892	F	451/480	1.0	1.8	5.3	8.8	13.3	16.0	17.6	17.2	14.4	9.8	5.2	1.8	1.5	9.1	16.9	9.8	9.4	16.6
106b	Altdorf II	1892—1901	F	451	1.7	2.2	5.6	9.1	13.7	16.4	17.9	17.4	14.6	10.2	5.8	2.6	2.2	9.5	17.2	10.2	9.8	16.2
106c	Altdorf III	1901—1958	F	456	0.5	1.3	5.1	8.7	13.3	16.1	17.5	17.0	13.9	9.3	5.0	1.5	1.1	9.0	16.9	9.4	9.1	17.0
106d	**Altdorf IV**	1955—	Fe	451	0.1	0.9	4.8	8.5	13.3	16.1	17.5	16.9	13.8	9.1	4.6	1.1	0.7	8.9	16.8	9.2	8.9	17.1
107	Gitschenen	1942—1950	P	1600	- 2.4	–2.8	–0.7	1.7	6.5	9.6	11.6	11.6	9.2	5.4	1.4	–1.5	–2.2	2.5	10.9	5.3	4.1	14.4
108a	Schwyz I	1864—1896	A	567	0.1	1.0	4.4	7.8	12.2	15.2	16.9	16.4	13.4	8.8	4.1	0.9	0.7	8.1	16.2	8.8	8.4	16.8
108b	Schwyz II	1897—1909	A	567	–0.3	0.3	3.8	7.4	12.1	15.1	16.7	16.3	13.3	8.6	4.0	0.8	0.3	7.8	16.0	8.6	8.2	17.0
109a	Walchwil I	1907—1916	F	426	0.6	1.2	4.8	8.5	13.3	16.4	18.1	17.9	14.6	9.6	4.8	1.5	1.1	8.9	17.5	9.7	9.3	17.5
109b	**Walchwil II**	1916—	Ae [17]	452/449	0.1	0.8	4.4	8.2	13.1	16.2	17.9	17.2	14.1	9.1	4.2	1.1	0.7	8.6	17.1	9.1	8.9	17.8
110	**Rigi-Kulm**	1864-1948, 1954-	G	1787/1775	–4.3	–4.6	–2.7	–0.2	4.8	8.0	9.8	9.7	7.2	3.4	–0.6	–3.3	–4.1	0.6	9.2	3.3	2.3	14.4
111	**Rigi-Kaltbad**	1954—	HS	1490	–2.1	–2.3	–0.3	2.2	7.0	9.9	11.6	11.5	9.2	5.4	1.4	–1.2	–1.9	3.0	11.0	5.3	4.4	13.9
112	*Rigi-Scheidegg*	1893—1896	G	1647	–3.9	–4.1	–2.0	0.7	5.8	9.1	11.0	10.9	8.3	4.2	–0.1	–2.9	–3.6	1.5	10.3	4.1	3.1	14.9
113a	Gersau I	1867—1919	U	443	1.3	1.8	5.1	8.7	13.3	16.2	17.8	17.4	14.5	9.9	5.2	2.2	1.8	9.0	17.1	9.9	9.5	16.5
113b	Gersau II	1923—1935	U	449	1.0	1.5	4.9	8.4	13.1	15.9	17.6	17.2	14.2	9.5	5.0	2.0	1.5	8.8	16.9	9.6	9.2	16.6
114a	Vitznau I	1873—1888	U	440	1.3	1.7	5.0	8.3	12.7	15.6	17.3	16.9	14.1	9.5	5.0	2.2	1.7	8.7	16.6	9.5	9.1	16.0
114b	Vitznau II	1906—1917	U	442	0.5	1.2	4.5	8.0	12.7	15.7	17.3	16.8	13.8	9.1	4.4	1.4	1.0	8.4	16.6	9.1	8.8	16.8
115a	Weggis I	1893—1930	U	450	0.7	1.4	4.7	8.3	12.9	15.8	17.4	17.0	14.1	9.4	4.8	1.7	1.3	8.6	16.7	9.4	9.0	16.7
115b	**Weggis II**	1930—	U	440	0.5	1.0	4.2	7.7	12.6	15.6	17.3	16.9	13.9	9.1	4.6	1.5	1.0	8.2	16.6	9.2	8.7	16.8
116	Pilatus	1891—1959	G	2068	–5.7	–6.1	–4.3	–1.8	2.8	5.8	7.9	8.1	5.8	2.2	–1.8	–4.7	–5.5	–1.1	7.3	2.1	0.7	13.8
117	*Stans*	1864—1866	F	453	–1.1	0.0	3.7	7.2	11.8	14.8	16.4	15.7	12.3	7.8	3.1	–0.2	–0.4	7.6	15.6	7.7	7.6	17.5
118	**Engelberg**	1864—	T	1018	–2.9	–2.4	1.0	4.5	9.3	12.3	13.9	13.4	10.5	6.0	1.3	–2.0	–2.4	4.9	13.2	5.9	5.4	16.8
119	**Sarnen**	1891—	F	487/479	–0.6	0.1	3.9	7.9	12.8	16.0	17.6	16.9	13.5	8.5	3.7	0.4	0.0	8.2	16.8	8.6	8.4	18.2
120	**Lungern**	1904—	T	715/735	–0.9	–0.3	3.2	6.7	11.5	14.4	16.1	15.5	12.4	7.9	3.2	0.0	–0.4	7.1	15.3	7.8	7.5	17.0
121	Brünig	1889—1898	P	1010	–1.8	–1.5	1.6	5.1	9.9	13.0	14.7	14.4	11.5	6.9	2.3	–0.8	–1.4	5.5	14.0	6.9	6.3	16.5
	Westl. Alpennordhang																					
122a	Grimsel-Hospiz I	1864—1875	T	1871	–6.0	–5.8	–3.4	–0.4	3.8	7.0	9.5	9.5	6.9	2.5	–2.2	–5.1	–5.6	0.0	8.7	2.4	1.4	15.5
122b	Grimsel-Hospiz II	1876—1882	T	1871	–5.8	–5.5	–2.9	0.5	5.0	7.8	10.2	10.5	7.8	3.2	–1.6	–4.8	–5.4	0.9	9.5	3.1	2.1	16.3
122c	Grimsel-Hospiz III	1931—1946	U [18]	1959	–5.6	–5.8	–4.1	–1.1	3.6	6.8	9.1	8.9	6.2	2.4	–1.9	–4.6	–5.3	–0.5	8.3	2.2	1.2	14.9
123a	**Guttannen I+III**	1877-1901, 1922-	T	1055/1058	–2.0	–1.7	1.6	5.1	10.0	12.9	14.6	14.2	11.3	6.8	2.2	–1.1	–1.6	5.6	13.9	6.8	6.2	16.6
123b	Guttannen II	1901—1922	T	1055	–2.1	–1.6	1.6	4.9	9.6	12.4	14.1	13.8	11.2	6.9	2.3	–1.1	–1.6	5.4	13.4	6.8	6.0	16.2
124	**Meiringen**	1889—	Fe [19]	605	–1.5	–0.2	4.1	8.1	12.5	15.2	16.7	16.2	13.2	8.4	3.4	–0.7	–0.8	8.2	16.0	8.3	8.0	18.2
125	Brienz	1864—1870	U	580	–1.9	–0.9	2.9	7.2	12.2	15.4	17.3	16.6	13.0	7.5	2.1	–1.2	–1.3	7.4	16.4	7.5	7.5	19.2

[16] Göschenen: Seit Okt. 1959 neue Station in geringer Entfernung von Göschenen III, wahrscheinlich ohne bedeutende Temperaturänderung
[17] Walchwil: Seit Nov. 1958 englische Hütte, wahrscheinlich ohne bedeutende Temperaturänderung in bezug auf die Aufstellung 1916—1958
[18] Grimsel: Von 1946 bis 1957 Verlegung, zu hohe Temperaturen. Ab 1958: Sommertemperaturen ähnlich Grimsel III, Wintertemperaturen ½—¾° tiefer
[19] Meiringen: Seit Juni 1958 englische Hütte, bis 1960 in provisorischer Aufstellung

Nr.	Station	Beobachtungs-periode	Lage	Höhe m	Januar	Februar	März	April	Mai	Juni	Juli	August	Sept.	Oktober	Nov.	Dez.	Winter	Frühling	Sommer	Herbst	Jahr	Jahres-schwankung
126a	*Grindelwald I*	1898—1902	T	1050	–3.4	–2.2	1.2	4.8	9.6	12.2	13.7	13.4	10.5	5.9	1.0	–2.6	–3.7	5.2	13.1	5.8	5.3	17.1
126b	Grindelwald II	1929—1952		1050/1005	–3.9	–3.2	0.6	4.3	9.0	12.1	13.7	13.3	10.4	5.8	0.6	–3.1	–3.4	4.6	13.0	5.6	5.0	17.6
126c	**Grindelwald III**	1952—	T	1040	–2.7	–1.9	1.7	5.3	10.2	13.1	14.6	14.1	11.2	6.6	1.6	–2.0	–2.2	5.7	13.9	6.5	6.0	17.3
127	**Jungfraujoch**	1938—	P	3579	–14.2	–14.8	–13.6	–11.2	–6.8	–3.6	–1.8	–1.7	–3.6	–7.1	–10.6	–13.2	–14.1	–10.5	–2.4	–7.1	–8.5	13.1
128a	Interlaken I	1865—1892	F	565/569	–0.6	0.3	4.2	8.3	13.1	16.0	17.6	16.9	13.7	8.6	3.6	0.4	0.0	8.5	16.8	8.6	8.5	18.2
128b	Interlaken II	1892—1902	F	571	–0.9	–0.2	3.4	7.4	12.3	15.1	16.6	15.9	12.6	7.7	3.2	0.1	–0.3	7.7	15.9	7.8	7.8	17.5
128c	Interlaken III	1902—	Fe [20]	568/595	–0.4	0.4	3.9	7.6	12.1	15.1	16.6	16.3	13.3	8.4	3.7	0.4	0.1	7.9	16.0	8.5	8.1	17.0
129a	Beatenberg I	1864—1955	HS	1148	–1.6	–1.4	1.3	4.4	9.2	12.2	14.0	13.7	10.9	6.4	2.1	–0.9	–1.3	5.0	13.3	6.5	5.9	15.6
129b	**Beatenberg II**	1956—	HSe	1196/1183	–1.5	–1.2	1.7	4.5	9.1	12.1	14.0	13.8	11.2	6.9	2.3	–0.8	–1.2	5.1	13.3	6.8	6.0	15.5
130	**Heiligenschwendi**	1956—	HS	1126	–1.1	–1.0	1.8	4.8	9.7	12.7	14.5	14.2	11.3	6.9	2.5	–0.2	–0.8	5.4	13.8	6.9	6.3	15.6
131	**Thun**	1875—	F	560	–1.0	–0.1	3.9	7.8	12.7	16.0	17.7	16.9	13.7	8.5	3.4	–0.1	–0.4	8.1	16.9	8.5	8.3	18.7
132	Gurzelen	1874—1880	F	579	–0.9	0.2	3.9	7.5	12.2	15.3	17.4	16.8	13.8	8.6	3.4	–0.1	–0.3	7.9	16.5	8.6	8.2	18.3
133	*Frutigen*	1871—1873	T	637	–2.2	–1.4	2.1	5.7	10.7	13.7	15.2	14.7	11.7	7.0	2.3	–1.5	–1.7	6.2	14.5	7.0	6.5	17.4
134	**Adelboden**	1928—	HE	1340	–2.2	–2.1	0.7	4.0	9.0	12.2	13.9	13.3	10.2	5.7	1.4	–1.5	–1.9	4.6	13.1	5.8	5.4	16.1
135	*Engstligenalp*	1955—1958	M [21]	1955	–5.2	–4.9	–3.1	–0.8	4.2	7.6	10.0	10.0	6.9	2.6	–1.8	–4.7	–4.9	0.1	9.2	2.6	1.8	15.2
136	*Grimmialp*	1950—1954	T	1214	–1.8	–1.5	1.0	4.2	9.4	12.6	14.3	13.8	10.8	6.0	1.5	–1.4	–1.6	4.9	13.6	6.1	5.7	16.1
137	*Reidenbach/Boltigen*	1873—1875	T	867	–0.2	0.4	3.8	7.3	11.6	14.5	16.3	15.9	13.0	8.3	3.7	0.6	0.3	7.6	15.6	8.3	7.9	16.5
138a	*Saanen I*	1882—1885	T	1020	–3.5	–2.2	1.7	5.3	10.2	13.3	14.9	14.4	11.4	6.8	1.9	–2.0	–2.6	5.7	14.2	6.7	6.0	18.4
138b	**Saanen II**	1952—	HS	1155	–1.9	–1.5	1.6	5.0	9.7	12.6	14.3	13.9	11.1	6.7	2.1	–1.2	–1.5	5.4	13.6	6.6	6.0	16.2
139	**Rougemont**	1952—	T	1003	–3.3	–2.5	1.4	5.4	10.5	13.6	15.3	14.6	11.4	6.5	1.3	–2.4	–2.7	5.8	14.5	6.4	6.0	18.6
140a	Château d'Oex I	1879—1887	T	970	–3.4	–2.5	1.2	4.7	9.7	12.6	14.3	13.8	10.9	6.2	1.5	–2.4	–2.8	5.2	13.6	6.2	5.5	17.7
140b	Château d'Oex II	1909-21, 1936-52	HS	1020	–2.5	–1.9	1.4	4.7	9.8	12.8	14.5	14.0	11.1	6.4	1.6	–1.8	–2.1	5.3	13.8	6.4	5.8	17.0
140c	Château d'Oex III	1921—1936	HS	1000	–2.1	–1.6	1.8	5.4	10.3	13.4	15.2	14.6	11.5	6.6	2.0	–1.3	–1.7	5.8	14.4	6.7	6.3	17.3
140d	**Château d'Oex IV**	1952—	HS	994	–3.0	–2.1	1.3	5.2	10.0	13.1	14.7	14.2	11.1	6.2	1.3	–2.2	–2.4	5.5	14.0	6.2	5.8	17.7
141	La Tine (Cuves)	1880—1887	T	883	–3.1	–2.0	1.5	5.1	9.8	12.9	14.5	13.9	10.9	6.1	1.3	–2.1	–2.4	5.5	13.8	6.1	5.7	17.6
142	*La Valsainte*	1866—1868	T	1029	–1.7	–1.4	1.6	5.0	10.1	13.2	15.1	14.7	11.7	6.9	2.3	–0.9	–1.3	5.6	14.3	7.0	6.4	16.8
143	Les Avants	1887—1906	T	978	–1.0	–0.5	2.5	5.8	10.7	13.6	15.3	14.9	12.1	7.5	3.0	–0.3	–0.6	6.3	14.6	7.5	7.0	16.3
144a	Montreux I	1864—1877	U	382	2.0	2.8	6.0	9.5	14.1	17.4	19.0	18.3	15.2	10.4	6.0	2.9	2.6	9.9	18.2	10.5	10.3	17.0
144b	Montreux II	1888—1905	U	380	1.6	2.3	5.6	9.2	13.9	17.3	19.1	18.5	15.2	10.1	5.7	2.6	2.2	9.6	18.3	10.3	10.1	17.5
144c	Montreux III	1905—1924	Ue	376	1.9	2.7	5.9	9.1	13.5	17.0	18.9	18.4	15.4	10.6	6.0	2.8	2.5	9.5	18.1	10.7	10.2	17.0
144d	**Montreux IV**	1927—	Ae	408	1.1	1.8	5.3	9.1	13.8	17.2	19.0	18.3	15.0	9.9	5.4	2.1	1.7	9.4	18.2	10.1	9.8	17.9
145	Villeneuve	1896—1909	U	380	0.8	1.5	4.9	8.6	13.4	16.9	18.4	17.5	14.2	9.4	5.0	1.7	1.3	9.0	17.6	9.5	9.4	17.6
146	**Rochers-de-Naye**	1928—	G	1982	–4.7	–4.9	–3.0	–0.7	4.1	7.2	9.1	9.2	6.8	3.0	–1.0	–3.7	–4.4	0.1	8.5	2.9	1.8	14.1
147a	Leysin I	1893—1905	HS	1450	–1.5	–1.9	0.1	2.8	7.7	10.7	12.6	12.4	9.9	5.9	2.1	–0.7	–1.4	3.5	11.9	6.0	5.0	14.5
147b	**Leysin II**	1930—	HS	1350	–1.2	–1.2	1.4	4.3	9.1	12.2	14.0	13.6	10.8	6.3	2.4	–0.4	–0.9	4.9	13.3	6.5	5.9	15.2
148a	Le Sépey I *(Ormont-Dessous)*	1881-82, 1884-85	HS	1050	–1.8	–1.4	1.5	5.0	10.0	13.0	14.8	14.3	11.3	6.6	2.1	–1.0	–1.4	5.5	14.0	6.7	6.2	16.6

[20] Interlaken: Seit 1958 englische Hütte: im Jan./Febr. etwa 1°, im April und Sept. etwa ½ ° kälter als Interlaken III, im Juni/Juli ungefähr gleich warm

[21] Engstligenalp: Seit Frühjahr 1959 neue Aufstellung mit etwa 1° tieferen Sommertemperaturen

Nr.	Station	Beobachtungs-periode	Lage	Höhe m	Januar	Februar	März	April	Mai	Juni	Juli	August	Sept.	Oktober	Nov.	Dez.	Winter	Frühling	Sommer	Herbst	Jahr	Jahres-schwan-kung
148b	*Le Sépey II (Ormont-Dessous)*	1886—1888	HS	1050	–1.4	–1.1	2.1	5.6	10.7	13.7	15.3	14.9	11.8	7.0	2.5	–0.7	–1.1	6.1	14.6	7.1	6.7	16.7
149	**Monthey**	1954—	F [22]	416/405	0.7	1.7	5.6	9.5	14.2	17.4	19.1	18.2	14.8	9.8	5.0	1.5	1.3	9.8	18.2	9.9	9.8	18.4
150a	Bex I	1861-72, 1895-98	T	435/426	0.8	1.8	5.3	8.7	13.2	16.4	18.0	17.3	14.1	9.3	4.7	1.6	1.4	9.1	17.2	9.4	9.3	17.2
150b	*Bex II*	1901—1905	F	414	0.5	1.6	5.2	9.0	13.8	17.1	18.5	17.7	14.6	9.6	4.9	1.4	1.2	9.3	17.8	9.7	9.5	18.0
151	Dailly	1898—1903	HS	1244	–1.3	–1.1	1.0	3.8	8.5	12.0	13.8	13.6	10.8	6.4	2.1	–0.6	–1.0	4.4	13.1	6.4	5.8	15.1
152	Savatan	1898—1903	HW	671	0.2	1.1	4.2	7.6	12.2	15.7	17.5	17.1	14.0	8.7	4.0	0.9	0.7	8.0	16.8	8.9	8.7	17.3
	Wallis																					
153a	Martigny-Bourg	1864—1882	T	498	–0.3	1.5	5.8	9.9	14.6	17.7	19.1	18.3	15.1	9.8	4.5	0.2	0.5	10.1	18.4	9.8	9.7	19.4
153b	Martigny-Ville	1887—1895	F	480	–0.9	1.0	5.2	9.0	13.8	17.0	18.5	17.8	14.5	9.4	4.2	–0.2	0.0	9.3	17.8	9.4	9.1	19.4
154	**Grand-St-Bernard**	1818—	P	2479	–8.4	–8.6	–7.1	–4.2	0.5	3.9	6.6	6.8	3.8	–0.6	–5.0	–7.6	–8.2	–3.6	5.8	–0.6	–1.7	15.4
155	**Sion-Aérodrome**	1953—	Fe	482	–1.5	0.5	4.8	8.8	13.4	16.5	18.0	17.3	14.0	8.5	3.2	–0.9	–0.6	9.0	17.3	8.6	8.6	19.5
156	**Sion-Couvent**	1864—	A	549	–0.1	1.6	5.8	9.8	14.6	17.8	19.2	18.4	15.1	9.8	4.6	0.6	0.7	10.1	18.5	9.8	9.8	19.3
157a	Montana I	1928—1960	HS [23]	1453	–2.0	–1.8	0.7	4.1	9.2	12.3	14.3	14.1	10.8	6.2	1.5	–1.3	–1.7	4.7	13.6	6.2	5.7	16.3
157b	Montana II	1953—1959	HS	1509	–2.6	–2.2	0.3	3.3	8.3	11.8	13.7	13.4	10.5	5.9	1.2	–1.8	–2.2	4.0	13.0	5.9	5.2	16.3
158a	Sierre I	1892—1925	F	552	–0.5	1.3	5.7	9.9	14.7	17.8	19.2	18.4	15.1	9.7	4.3	0.2	0.3	10.1	18.5	9.7	9.6	19.7
158b	Sierre II	1929—1940	A	573	–0.9	0.4	4.4	8.6	14.1	17.4	18.9	18.0	14.8	9.4	4.1	0.0	–0.2	9.0	18.1	9.4	9.1	19.8
159	**Chippis**	1953—	Fe	522	–1.1	0.8	5.1	9.2	13.9	16.9	18.2	17.3	13.9	8.6	3.5	–0.5	–0.3	9.4	17.5	8.7	8.8	19.3
160	**Leukerbad**	1885—	T	1391	–2.8	–2.3	0.3	3.5	8.6	12.2	13.9	13.4	10.4	5.8	1.2	–1.9	–1.3	4.1	13.2	5.8	5.2	16.7
161	**Plat. Rosà (Testa Grigia)**	1953—	G [24]	3488	–12.3	–12.9	–11.7	–9.3	–4.7	–1.5	0.7	1.1	–1.4	–4.9	–8.6	–11.4	–12.2	–8.6	0.1	–5.0	–6.4	14.0
162a	Zermatt I	1888—1904	T	1610	–5.8	–5.2	–2.3	1.6	7.0	10.4	12.4	12.0	8.6	3.9	–1.5	–5.2	–5.4	2.1	11.6	3.7	3.0	18.2
162b	Zermatt II	1904—1958	T [25]	1610	–5.5	–4.6	–1.2	2.8	7.9	11.1	12.6	11.9	9.0	4.5	–0.7	–4.4	–4.8	3.2	11.9	4.3	3.6	18.1
163	**Grächen**	1864—	HW	1617	–3.8	–3.4	–0.8	2.6	7.6	10.9	13.2	13.0	9.4	4.7	–0.1	–3.2	–3.5	3.1	12.4	4.7	4.2	17.0
164	**Saas Fee**	1907—	T	1785	–5.7	–5.1	–2.3	1.3	6.5	9.8	11.8	11.5	8.2	3.6	–1.4	–4.9	–5.2	1.8	11.0	3.5	2.8	17.5
165	Simplon-Hospiz	1865—1873	P	2000	–6.2	–6.1	–4.0	–1.0	3.9	7.5	10.1	10.0	6.5	2.0	–2.6	–5.4	–5.9	–0.4	9.2	2.0	1.2	16.3
166	*Glis*	1864—1866	A	725	–1.3	0.4	4.6	8.4	13.3	16.7	18.1	17.2	13.6	8.4	3.4	–0.5	–0.5	8.8	17.3	8.5	8.5	19.4
167a	*Brig I*	1895—1899	F	678	–1.4	0.4	4.8	8.9	13.4	16.8	18.4	17.6	14.2	9.2	3.7	–0.7	–0.6	9.0	17.6	9.0	8.8	19.8
167b	*Brig II*	1900—1905	F	678	–0.6	1.0	5.0	8.9	14.1	17.3	18.4	17.4	14.2	9.3	4.2	0.2	0.2	9.3	17.7	9.2	9.1	19.0
168	**Reckingen**	1864—	T	1332	–5.8	–4.6	–1.0	2.7	8.3	11.9	13.8	12.9	9.7	4.9	–0.5	–4.6	–5.0	3.3	12.9	4.7	4.0	19.6
	Nord- und Mittelbünden																					
169	**Platta-Medels**	1864—	T	1378	–3.2	–2.8	–0.1	3.3	8.1	11.3	13.0	12.7	10.0	5.6	1.2	–2.0	–2.7	3.8	12.3	5.6	4.8	16.2
170	**Disentis**	1948—	HS	1173	–1.7	–1.4	1.9	5.3	10.2	13.2	14.9	14.5	11.8	7.4	2.7	–0.7	–1.3	5.8	14.2	7.3	6.5	16.6
171	*Ilanz*	1864—1866	T	704	–3.7	–1.8	3.1	7.6	12.7	15.6	17.2	16.5	13.1	7.9	2.2	–2.3	–2.6	7.8	16.4	7.7	7.3	20.9
172	San Bernardino (Ospizio)	1864- 1940	P	2073	–6.6	–6.7	–4.5	–1.3	3.3	6.5	8.8	8.7	5.7	1.3	–3.1	–5.8	–6.4	–0.8	8.0	1.3	0.5	15.5
173a	**Splügen I+IV**	1864-1904, 1951-	T	1469/1504	–6.4	–5.4	–1.8	2.3	7.4	10.8	12.5	12.0	8.8	4.2	–1.2	–5.3	–5.7	2.6	11.8	3.9	3.2	18.9
173b	Splügen II	1905—1920	T	1464/1467	–7.4	–6.2	–2.1	2.0	7.2	10.7	12.3	11.7	8.6	4.0	–1.3	–5.8	–6.5	2.4	11.6	3.8	2.8	19.7

[22] Monthey: Hohe Sommertemperaturen infolge der Dachaufstellung des Thermometers
[23] Montana: Seit November 1960 neue Station in 1510 m Höhe, ab April 1959 englische Hütte
[24] Plateau Rosà: Station des italienischen Wetterdienstes.
[25] Zermatt: 1959 zwei Stationsverlegungen, ab Februar 1959 englische Hütte

Nr.	Station	Beobachtungs-periode	Lage	Höhe m	Januar	Februar	März	April	Mai	Juni	Juli	August	Sept.	Oktober	Nov.	Dez.	Winter	Frühling	Sommer	Herbst	Jahr	Jahres-schwankung
173c	Splügen III	1924—1951	T	1506	–5.7	–4.9	–1.4	2.3	7.2	10.6	12.4	12.0	9.0	4.4	–0.7	–4.5	–5.0	2.7	11.7	4.2	3.4	18.1
174a	Thusis I	1864—1870	T	706	–1.9	–0.4	4.1	8.1	12.9	15.7	17.3	16.7	13.5	8.8	3.4	–0.8	–1.0	8.4	16.6	8.6	8.1	19.2
174b	*Thusis II*	1871—1875	T	708	–0.5	0.8	5.0	8.8	13.8	16.7	18.3	17.6	14.3	9.4	4.1	0.3	0.2	9.2	17.5	9.3	9.1	18.8
175	Reichenau	1864—1935	T	604	–0.9	–0.1	3.8	7.7	12.5	15.2	16.8	16.2	13.2	8.6	3.7	0.0	–0.3	8.0	16.1	8.5	8.1	17.7
176a	Churwalden I	1864—1875	T	1212	–2.2	–1.8	0.8	4.3	9.1	12.2	13.8	13.4	10.7	6.3	1.9	–1.1	–1.7	4.7	13.1	6.3	5.6	16.0
176b	Churwalden II	1886—1893	T	1256	–3.3	–2.8	0.2	3.9	8.8	11.8	13.2	12.8	10.0	5.6	1.0	–2.3	–2.8	4.3	12.6	5.5	4.9	16.5
177a	Arosa I	1890—1929	HS	1954/1870	–4.6	–4.6	–2.2	0.8	5.6	8.9	10.7	10.6	7.9	3.8	–0.6	–3.6	–4.3	1.4	10.1	3.7	2.7	15.3
177b	Arosa II	1930—1953	HSe[26]	1865	–5.1	–5.2	–2.6	0.6	5.3	8.6	10.2	10.1	7.6	3.5	–1.0	–3.8	–4.7	1.1	9.6	3.4	2.4	15.4
177c	**Arosa III**	1954—	Te	1818	–5.7	–5.5	–3.1	0.0	4.9	8.1	9.9	9.7	7.0	3.0	–1.3	–4.6	–5.3	0.6	9.3	2.9	1.9	15.6
178	Tschiertschen	1895—1960	HN	1347/1351	–3.7	–3.1	–0.2	3.5	8.4	11.5	13.0	12.6	9.8	5.5	0.8	–2.7	–3.2	3.9	12.4	5.4	4.6	16.7
179	*Praden*	1919—1921	HN	1230	–3.2	–2.2	0.8	4.9	8.6	11.9	13.5	13.0	9.9	5.2	0.4	–2.8	–2.7	4.8	12.8	5.2	4.9	16.7
180a	Chur I	1864—1878	F■	600	0.2	1.2	4.9	8.5	13.1	15.9	17.4	17.0	14.3	9.5	4.4	1.1	0.8	8.8	16.8	9.4	9.0	17.2
180b	Chur II	1887—1940	F■	607/610	–0.8	0.5	4.4	8.1	12.9	15.8	17.3	16.7	13.8	9.0	3.9	0.2	0.0	8.5	16.6	8.9	8.5	18.1
180c	Chur III	1941—1956	A	633	–1.0	0.3	4.2	7.8	12.6	15.4	16.9	16.4	13.6	8.8	3.7	0.1	–0.2	8.2	16.2	8.7	8.2	17.9
180d	**Chur IV**	1956—	Fe	586	–1.0	0.5	4.6	8.2	13.0	15.8	17.3	16.8	13.8	8.9	3.7	–0.2	–0.2	8.6	16.6	8.8	8.5	18.3
181	Marschlins	1864—1885	F	543	–0.3	0.8	4.5	7.9	12.4	15.0	16.4	16.1	13.4	8.8	3.9	0.6	0.4	8.3	15.8	8.7	8.3	16.7
182a	Vättis I	1899—1918	T	950	–2.1	–1.7	1.7	5.2	10.2	13.2	14.6	13.8	11.0	6.8	2.3	–1.1	–1.6	5.7	13.9	6.7	6.2	16.7
182b	Vättis II	1919—1933	T	950	–1.6	–0.9	2.5	5.8	10.6	13.4	15.0	14.4	11.5	7.3	2.9	–0.7	–1.1	6.3	14.3	7.2	6.7	16.6
182c	**Vättis III**	1944—	T	956	–2.5	–2.2	1.1	4.7	9.8	12.7	14.2	13.7	10.7	6.4	1.8	–1.5	–2.1	5.2	13.5	6.3	5.7	16.7
183a	Bad Ragaz I	1871—1912	F	517	–0.1	1.0	5.0	8.7	13.3	16.1	17.6	17.1	14.3	9.5	4.4	0.8	0.6	9.0	16.9	9.4	9.0	17.7
183b	Bad Ragaz II	1939—1956	Fe	518	–0.9	0.4	4.4	8.3	13.0	15.8	17.3	16.7	13.7	8.8	3.7	0.2	–0.1	8.6	16.6	8.7	8.5	18.2
183c	**Bad Ragaz III**	1956—	Fe	510	–1.1	0.1	4.3	8.1	12.7	15.6	17.1	16.5	13.3	8.4	3.6	0.1	–0.3	8.4	16.4	8.4	8.2	18.2
184a	Seewis i. Pr. I	1895—1902	HS	950	–1.5	–1.3	2.1	5.9	11.0	13.9	15.5	15.0	12.0	7.6	3.1	–0.4	–1.1	6.3	14.8	7.6	6.9	17.0
184b	**Seewis i. Pr. II**	1902—	HS	953	–2.3	–1.4	1.9	5.6	10.5	13.6	15.2	14.6	11.7	6.9	2.2	–1.2	–1.6	6.0	14.5	6.9	6.4	17.5
185a	Schiers I	1909—1922	F	650	–3.7	–2.2	2.6	7.0	11.9	14.9	16.6	16.0	12.6	7.1	1.4	–2.6	–2.8	7.2	15.8	7.0	6.8	20.3
185b	Schiers II	1929—1940	F	657	–3.7	–2.5	1.7	5.8	10.7	13.7	15.3	14.7	11.4	6.2	0.9	–2.7	–3.0	6.1	14.6	6.2	6.0	19.0
185c	Schiers III	1942—1951	A	670	–2.7	–1.3	2.8	6.8	11.8	14.7	16.4	15.9	12.9	7.7	2.2	–1.7	–1.9	7.1	16.0	7.6	7.1	19.1
185d	**Schiers IV**	1951—	T	682	–3.4	–2.2	1.8	6.0	11.0	14.2	15.7	15.1	11.9	6.7	1.4	–2.4	–2.7	6.3	15.0	6.7	6.3	19.1
186	Klosters	1864-76, 1886-89	T	1204/1211	–3.4	–2.9	0.5	4.1	9.0	11.9	13.6	13.2	10.4	5.9	0.9	–2.6	–3.0	4.5	12.9	5.7	5.1	17.0
187	**Weißfluhjoch**	1947—	G	2667	–9.1	–9.6	–8.0	–5.7	–0.9	2.3	4.4	4.7	2.6	–1.2	–5.4	–8.0	–8.9	–4.9	3.8	–1.3	–2.8	14.3
188	Schatzalp	1909—1939	HS	1872	–5.2	–4.8	–2.6	0.6	5.5	8.8	10.5	10.3	7.7	3.6	–0.9	–4.1	–4.7	1.2	9.9	3.5	2.4	15.8
189a	*Davos I*	1867—1871	f	1580	–6.9	–6.4	–3.3	0.8	6.0	9.4	11.0	10.6	7.4	2.6	–2.4	–6.3	–6.5	1.2	10.3	2.5	1.9	17.9
189b	Davos II	1890—1901	F	1557	–7.1	–5.9	–2.1	1.9	6.9	10.1	11.7	11.2	8.1	3.5	–1.6	–5.8	–6.3	2.2	11.0	3.3	2.6	18.8
189c	**Davos III**	1876-85, 1901-	F	1560/1561	–6.6	–5.6	–2.1	2.0	7.2	10.4	12.0	11.4	8.2	3.6	–1.4	–5.3	–5.8	2.4	11.3	3.5	2.8	18.6
190	Wiesen	1882—1887	HS	1454	–3.5	–2.7	0.1	3.6	8.4	11.5	13.2	12.8	9.8	5.6	1.1	–2.3	–2.8	4.0	12.5	5.5	4.8	16.7
191a	*Bivio (Stalla) I*	1864—1866	T	1780	–4.9	–5.5	–2.7	1.0	6.0	9.4	11.0	10.7	7,9	3.7	–0.9	–3.5	–4.6	1.4	10.4	3.6	2.7	16.5
191b	**Bivio II**	1952—	T	1774/1770	–6.1	–5.7	–2.9	0.6	5.5	8.8	10.3	9.9	7.0	3.1	–1.6	–5.0	–5.6	1.1	9.7	2.8	2.0	16.4

[26] Arosa: Ab 1937 englische Hütte

Nr.	Station	Beobachtungsperiode	Lage	Höhe m	Januar	Februar	März	April	Mai	Juni	Juli	August	Sept.	Oktober	Nov.	Dez.	Winter	Frühling	Sommer	Herbst	Jahr	Jahresschwankung
	Engadin																					
192	Julier-Hospiz	1864—1910	P	2237	–8.3	–8.6	–6.3	–2.1	2.6	6.1	8.0	7.7	5.0	0.2	–4.8	–7.4	–8.1	–1.9	7.3	0.1	–0.7	16.3
193a	Sils-Maria I	1864—1892	F	1811	–7.5	–7.0	–3.8	0.2	5.3	8.9	10.7	10.2	7.0	2.5	–2.5	–6.3	–6.9	0.6	9.9	2.3	1.5	18.2
193b	**Sils-Maria II**	1893-1904, 1952-	F	1811/1802	–7.8	–7.1	–3.6	0.4	5.6	9.1	10.9	10.4	7.2	2.6	–2.3	–6.3	–7.1	0.8	10.1	2.5	1.6	18.7
193c	Sils-Maria III	1904—1947	F	1814	–8.1	–7.4	–3.5	0.2	5.5	5.3	11.0	10.5	7.3	2.5	–2.8	–6.8	–7.4	0.7	8.9	2.3	1.1	19.1
194a	St. Moritz I	1876-79, 1900-22	A	1840	–6.3	–5.8	–2.5	1.3	6.3	9.7	11.5	11.0	7.9	3.4	–1.6	–5.2	–5.8	1.7	10.7	3.2	2.5	17.8
194b	St. Moritz II	1932—1953	A	1853	–6.7	–6.0	–2.8	1.2	6.0	9.4	11.1	10.5	7.5	3.0	–2.0	–5.7	–6.1	1.5	10.3	2.8	2.1	17.8
194c	St. Moritz III	1955—1960	Ae[27]	1833	–7.4	–6.7	–3.6	0.2	5.3	8.7	10.4	10.0	7.1	2.6	–2.6	–6.5	–6.9	0.6	9.7	2.4	1.5	17.8
195a	*Pontresina I*	1879—1882	T	1805	–7.8	–7.1	–3.7	0.2	5.3	7.7	10.4	9.9	6.9	2.2	–3.0	–6.8	–7.2	0.6	9.3	2.0	1.2	18.2
195b	Pontresina II	1914—1937	T	1805	–7.8	–6.8	–3.3	0.7	6.0	9.6	11.2	10.6	7.4	2.7	–2.7	–6.7	–7.1	1.1	10.5	2.5	1.7	19.0
196a	Bever I	1864-1933, 1945-54	F	1708/1713	–9.2	–7.9	–3.9	0.7	6.2	9.8	11.4	10.7	7.4	2.5	–3.3	–7.9	–8.3	1.0	10.6	2.2	1.4	20.6
196b	Bever II	1934—1944	F	1711	–8.7	–7.4	–3.3	1.2	6.7	10.3	11.9	11.2	7.9	3.0	–2.8	–7.4	–7.8	1.5	11.1	2.7	1.9	20.6
196c	**Bever III**	1955—	Fe	1712	–9.8	–8.1	–4.0	0.3	5.7	9.2	10.9	10.2	6.9	2.0	–3.9	–8.6	–8.8	0.7	10.1	1.7	0.9	20.7
197	*Zernez*	1864—1868	F	1476	–7.0	–5.7	–1.5	2.8	8.0	11.2	12.9	12.5	9.4	4.5	–1.2	–5.7	–6.1	3.1	12.2	4.2	3.4	19.9
198	**Buffalora**	1917—	T	1968	–10.5	–9.4	–5.7	–1.1	4.4	8.0	9.8	9.2	5.9	1.0	–4.9	–9.3	–9.7	–0.8	9.0	0.7	–0.2	20.3
199a	*Scarl I*	1917—1921	T	1810	–7.6	–6.5	–3.3	0.6	5.9	9.0	10.1	9.5	6.9	2.7	–2.6	–6.5	–6.9	1.1	9.5	2.3	1.5	17.7
199b	Scarl II	1941—1950	T	1810	–6.8	–6.0	–2.8	1.1	5.9	9.3	11.2	10.7	7.9	3.6	–1.7	–5.6	–6.1	1.4	10.4	3.3	2.2	18.0
200a	Schuls I	1881—1903	A	1244	–5.2	–3.5	1.0	5.4	10.5	13.7	15.1	14.3	10.9	5.8	0.1	–4.2	–4.3	5.6	14.4	5.6	5.3	20.3
200b	Schuls II	1925—1935	A	1240	–6.0	–4.4	0.0	4.4	9.5	12.5	13.7	13.2	10.0	5.0	–0.7	–5.0	–5.1	4.6	13.1	4.8	4.4	19.7
200c	**Schuls III**	1935—	A	1253	–5.8	–4.2	0.1	4.8	10.1	13.4	14.9	14.0	10.5	5.3	–0.5	–4.7	–4.9	5.0	14.1	5.1	4.8	20.7
201	Remüs	1898—1923	HS	1237	–5.5	–3.8	0.4	4.9	10.0	13.1	14.7	13.9	10.8	5.6	–0.2	–4.5	–4.6	5.1	13.9	5.4	4.9	20.2
	Alpensüdseite																					
202	*Valcava*	1899—1901	T	1410	–5.0	–4.0	–0.2	4.1	9.4	12.6	14.0	13.2	9.8	5.2	0.1	–4.0	–4.3	4.4	13.3	5.0	4.6	19.0
203	**Sta. Maria (Münstertal)**	1901—	T	1388/1411	–3.9	–2.9	0.1	4.3	9.5	12.8	14.5	13.8	10.5	5.5	0.2	–2.9	–3.2	4.6	13.7	5.4	5.1	18.4
204a	Bernina-Hospiz I	1872-73, 1878-79	P	2340	–8.2	–8.4	–6.3	–2.6	2.1	5.7	8.0	8.0	5.1	0.4	–4.2	–7.0	–7.9	–2.3	7.2	0.4	–0.6	16.4
204b	**Bernina-Hospiz II**	1919—	P	2258	–7.9	–7.6	–4.9	–1.6	2.9	6.6	9.2	9.0	6.1	1.7	–3.5	–7.0	–7.5	–1.2	8.3	1.4	0.2	17.1
205	La Rösa	1864—1870	T	1873	–5.9	–6.1	–3.4	0.5	5.2	9.0	11.0	10.4	7.2	2.3	–2.4	–4.9	–5.6	0.8	10.1	2.4	1.9	17.1
206	**Robbia (San Carlo)**	1957—	Te	1079	–1.8	–0.9	1.9	5.6	10.3	13.8	15.3	14.7	11.5	6.8	2.3	–0.6	–1.1	5.9	14.6	6.9	6.6	17.1
207	*Poschiavo/Le Prese*	1897—1906	F	960	–2.0	–0.7	2.9	7.0	11.7	15.1	16.5	15.4	11.9	7.1	2.2	–1.4	–1.4	7.2	15.7	7.1	7.1	18.5
208	Brusio	1864—1872	T	777	1.2	2.1	5.0	8.7	12.4	16.3	18.1	17.6	14.4	9.6	5.1	2.1	1.8	8.7	17.3	9.7	9.4	16.9
209a	Vicosoprano I	1929—1939	T	1087	–1.4	–0.5	2.4	6.0	10.8	14.5	16.3	15.7	12.4	7.5	2.6	–0.5	–0.8	6.4	15.5	7.5	7.2	17.7
209b	**Vicosoprano II**	1939—	T	1087/1065	–0.9	–0.2	2.6	6.3	11.1	14.7	16.4	15.8	12.5	7.8	3.2	0.2	–0.3	6.7	15.6	7.8	7.5	17.3
210	Castasegna	1864—1928	T	700	1.1	2.1	5.2	8.9	13.0	16.7	18.4	17.9	14.5	9.5	4.9	1.8	1.7	9.0	17.7	9.6	9.5	17.3
211	**St. Gotthard**	1903—	P	2096	–7.3	–7.2	–5.3	–2.4	2.3	5.4	7.8	7.9	5.0	0.7	–3.6	–6.3	–6.9	–1.8	7.0	0.7	–0.2	15.2
212a	Airolo I	1876-82, 1884-89	T	1142	–2.4	–1.9	1.2	4.7	9.9	13.4	15.4	14.9	11.7	6.8	1.6	–1.9	–2.1	5.3	14.6	6.7	6.1	17.8
212b	Airolo II	1898-1931, 1933-35	T	1142	–2.3	–1.6	1.7	5.1	10.3	13.7	15.7	15.0	11.7	6.8	1.9	–1.7	–1.9	5.7	14.8	6.8	6.4	18.0

[27] St. Moritz: September 1960 Stationsverlegung (wahrscheinlich nur für etwa ½ Jahr, später evtl. wieder St. Moritz III)

Nr.	Station	Beobachtungs-periode	Lage	Höhe m	Januar	Februar	März	April	Mai	Juni	Juli	August	Sept.	Oktober	Nov.	Dez.	Winter	Frühling	Sommer	Herbst	Jahr	Jahres-schwankung
212c	**Airolo III**	1936—	T	1170	–2.1	–1.6	1.5	4.7	9.6	12.9	14.9	14.2	11.2	6.8	2.0	–1.4	–1.7	5.3	14.0	6.7	6.1	17.0
213a	*Faido I*	1864—1866	T	722	0.7	1.6	5.0	8.7	13.3	17.1	19.0	18.5	14.9	9.5	4.5	1.4	1.2	9.0	18.2	9.6	9.5	18.3
213b	Faido II	1876—1882	T	727	0.8	1.7	4.9	8.6	12.9	16.6	18.3	17.6	14.0	9.0	4.6	1.6	1.4	8.8	17.5	9.2	9.2	17.5
213c	Faido III	1882—1934	T	758	0.3	1.2	4.4	8.3	12.7	16.5	18.2	17.5	13.9	8.7	4.1	1.0	0.8	8.5	17.4	8.9	8.9	17.9
214	*Lottigna*	1878—1880	T	656	1.4	2.4	5.4	8.8	12.9	16.4	17.9	17.5	14.4	9.5	5.1	2.2	2.0	9.0	17.3	9.7	9.5	16.5
215	**Comprovasco**	1892—	T	544	1.0	2.1	5.4	9.3	13.4	16.7	18.4	17.8	14.5	9.5	4.8	1.6	1.6	9.4	17.6	9.6	9.5	17.4
216	Biasca	1876—1882	F	298	1.4	3.0	6.9	11.0	15.4	18.9	20.7	20.0	16.4	10.9	5.9	2.4	2.3	11.1	19.9	11.1	11.1	19.3
217a	Braggio I	1884—1908	HW	1313	–0.8	–0.8	1.6	4.6	9.0	12.6	14.6	14.3	11.3	6.7	2.5	–0.1	–0.6	5.1	13.8	6.8	6.3	15.4
217b	**Braggio II**	1908—	HW	1332	–0.9	–0.7	1.8	4.8	9.5	13.0	15.0	14.7	11.7	7.2	2.8	–0.2	–0.6	5.4	14.2	7.2	6.6	15.9
218	**Grono**	1896—	T	336/357	1.5	3.0	6.8	10.7	15.2	18.6	20.4	19.8	16.2	11.0	5.8	2.3	2.3	10.9	19.6	11.0	10.9	18.9
219	San Vittore	1869—1888	F	268/272	0.8	2.6	6.7	10.9	15.3	19.0	20.6	19.8	16.0	10.5	5.2	1.4	1.6	11.0	19.8	10.6	10.7	19.8
220a	Bellinzona I	1876—1883	F	245	2.2	3.7	7.5	11.5	16.1	20.0	21.7	20.6	16.7	11.4	6.5	3.1	3.0	11.7	20.8	11.5	11.7	19.5
220b	Bellinzona II	1887—1898	F	231	2.7	4.1	7.9	11.7	15.9	19.5	21.2	20.5	17.0	11.8	6.8	3.4	3.4	11.8	20.4	11.9	11.9	18.5
220c	**Bellinzona III**	1898—	F	237/230	1.8	3.5	7.4	11.3	15.8	19.4	21.2	20.4	16.8	11.5	6.2	2.6	2.6	11.5	20.3	11.5	11.5	19.4
221	**Locarno-Aéroporto**	1953—	Fe	199	1.0	2.7	6.7	10.6	15.0	19.0	20.8	20.1	16.3	10.7	5.3	1.6	1.8	10.8	20.0	10.8	10.8	19.8
222a	*Locarno-Muralto I*	1876—1880	F■	205	2.7	3.7	7.3	11.4	16.2	20.3	22.3	21.4	17.3	11.7	6.7	3.6	3.3	11.6	21.3	11.9	11.9	19.6
222b	Locarno-Muralto II	1883—1958	F	239/244	2.9	4.3	7.8	11.5	15.7	19.0	20.8	20.3	17.0	11.9	7.0	3.7	3.6	11.7	20.0	12.0	11.8	17.9
223	**Locarno-Monti**	1935—	HSe	379	3.0	4.1	7.5	11.2	15.4	19.1	20.9	20.3	16.8	11.7	7.0	3.8	3.6	11.4	20.1	11.8	11.7	17.9
224a	Bosco-Gurin I	1931—1944	T	1506/1486	–3.5	–3.0	0.0	3.3	8.0	11.7	13.8	13.3	10.2	5.3	0.4	–2.8	–3.1	3.8	12.9	5.3	4.7	17.3
224b	**Bosco-Gurin II**	1945—	T	1510	–2.9	–2.5	0.3	3.6	8.4	12.3	14.4	13.8	10.6	6.0	1.3	–2.0	–2.5	4.1	13.5	6.0	5.3	17.3
225	*Monte Ceneri*	1876—1878	P	547	0.6	1.7	4.9	8.8	13.3	17.0	19.0	18.3	14.7	9.5	4.6	1.4	1.2	9.0	18.1	9.6	9.4	18.4
226	Rivera-Bironico	1884—1900	T	475	2.1	3.1	6.4	10.0	14.2	17.9	19.6	18.9	15.4	10.5	5.9	2.9	2.7	10.2	18.8	10.6	10.6	17.5
227	**Fescoggia**	1950—	HE	855	2.0	2.7	5.5	8.8	12.6	16.2	18.2	18.0	14.8	10.2	5.9	3.0	2.6	9.0	17.5	10.3	9.8	16.2
228a	Lugano I	1864—1938	F■(w)	276	1.9	3.2	6.9	10.8	15.2	19.0	21.0	20.3	16.7	11.5	6.3	3.0	2.7	11.0	20.1	11.5	11.3	19.1
228b	**Lugano II**	1948—	F■w	276	2.6	3.9	7.5	11.4	15.8	19.4	21.3	20.8	17.4	12.2	7.2	3.6	3.4	11.6	20.5	12.3	11.9	18.7
229	**Monte Bré**	1916—	G	910	1.3	1.6	4.4	7.7	12.5	16.1	18.1	17.6	14.4	9.6	5.0	1.9	1.6	8.2	17.3	9.7	9.2	16.8
230	Monte Generoso	1892—1918	G	1610	–2.2	–2.2	–0.4	2.5	7.2	10.5	13.1	12.9	9.6	5.3	1.0	–1.5	–2.0	3.1	12.2	5.3	4.7	15.3
231	*Mendrisio*	1864—1866	F	355	2.3	3.6	7.2	11.3	16.3	20.3	22.3	21.6	17.9	12.2	7.0	3.3	3.1	11.6	21.4	12.4	12.1	20.0
232	Mezzana	1948—1955	F	335	2.0	3.2	6.7	10.6	15.2	19.6	22.0	21.4	17.5	11.9	6.6	2.9	2.7	10.8	21.0	12.0	11.6	20.0
	Anhang: Vergleich zwischen Temperatur im Freiland und im Wald nach H. Burger (vgl. Bibl. [3])																					
644	Brandiswald (Emmental)																					
	Freiland	1929—1949	G	948	–1.9	–1.6	2.0	5.5	10.6	13.7	15.3	15.0	12.3	7.2	2.3	–1.4	–1.6	6.0	14.7	7.3	6.6	17.2
	Plenterwald	1929—1949	G	930	–2.0	–1.8	1.4	4.6	9.6	12.6	14.2	13.9	11.3	6.6	1.9	–1.4	–1.7	5.2	13.6	6.6	5.9	16.2